

P R E F A Ț Ă

Moto : » Prefața supermatematicii este chiar matematica,
matematica centrică sau matematica ordinară.
Conținutul matematicii excentrice și a
supermatematicii este **SUPER..** »
Autorul

Dedicăm această carte celei de a 90-a aniversări de existență a
Școlii Politehnice din Timișoara.

P R E F A Ț Ă

Superalbi, superfini, supergingași, superfiravi, cad din înaltul cerului, într-un superb dans superhalucinant, fulgii de nea. Ninge. Paienjenișul de fire albe de argint a învăluit natura într-o mantie de zibelină albă, străvezie. E iarnă. E iarnă iar și vor trece multe la rând, să-și despletească neaua albă în vânt.

Iarna care vine, însă, este una aniversară, în care se sărbătoresc **90 de ani** de la înființarea **Școlii Politehnice din Timișoara** (Decret Lege 4822 / 11. 11. 1920).

Anii aniversări au fost benefici pentru autor:

- La a **55-a aniversare**, au fost descoperite, sau mai bine zis, inventate « **Funcțiile circulare excentrice** » publicate 3 ani mai târziu [1] la Prima Conferință Națională de Vibrații în Construcția de Mașini, prilej prin care Prof. Em. Dr. Doc. Ing. **Gheorge Silaș** a constatat că « acestea nu sunt numai « **niște funcții** », ci o **nouă matematică**, o **supermatematică** » ;
- La festivitățile prilejuite de a **70-a aniversare**, autorul, împreună cu soția sa, au câștigat concursul de dans **cu premii** ;
- Prima lucrare științifică cu denumirea de **SUPERMATEMATICĂ** [10], susținută la The VII-TH INTERNATIONAL CONFERENCE OF MANUFACTURING ENGINEERING, a fost dedicată celei de a **75-a aniversări** a **Școlii Politehnice din Timișoara** ;
- Această primă carte de « **SUPERMATEMATICA. Fundamente** », care va apăre în doua volume, este dedicată celei de a 90 aniversări a **Școlii Politehnice din Timișoara**.
- La aniversarea centenarului nu știm ce va urma.

Funcțiile supermatematice (FS) stau la baza generării obiectelor **neogeometrice**, cum le-a denumit renumitul matematician și fizician Prof. **Dr. Florentin Smarandache**, șeful Departamentului de Matematica de la Universitatea Gallup din New Mexico (SUA), care le-a găsit o primă aplicație în domeniul artistic [21], deși autorul dorea, ca acest lucru, să se producă în domeniul lui, cel tehnic. Mai mult sau mai puțin artistice, toate figurile 2D și 3D, incluse în această lucrare, sunt realizate cu noile funcții matematice, denumite **funcții supermatematice (FSM)**.

Aceste funcții sunt rodul a 46 de ani de cercetări, începute în 1969 la Universitatea din Stuttgart, timp în care au fost publicate peste 100 de lucrări în acest domeniu, scrise de peste 25 de autori, așa cum se poate deduce și din bibliografie.

Denumirea aparține, așa cum am afirmat anterior, și-mi face plăcere să repet, regretatului matematician Prof. em. dr. doc.ing. **Gheorghe Silaș** care, la susținerea primei lucrări din acest domeniu, la Prima Conferință Națională de Vibrații în Construcția de Mașini, Timișoara, 1978, intitulată „**FUNȚII CIRCULARE EXCENTRICE**” a declarat „**Tinere**, dumneata n-ai descoperit numai „**niște funcții**” ci o nouă matematică, o **supermatematică**”. M-am bucurat, la cei 40 de ani, ca un adolescent. Și am constatat cu multă satisfacție că s-ar putea să aibă dreptate!

Prefixul **super** se justifică, astăzi, pentru a scoate în evidență apariția noilor componente de matematică, reunite sub denumirea de **matematică excentrică (ME)** cu entități mult mai importante și infinite mai numeroase decât entitățile existente în **actuala matematică**, pe care suntem obligați s-o denumim **matematica centrică (MC)**.

Fiecărei entități din **MC** îi corespund o infinitate de entități similare în **ME**, astfel că **supermatematica (SM)** este reuniunea celor două domenii, adică $SM = MC \cup ME$ și **MC** este un caz particular, de excentricitate nulă, a **ME**. Adică, $MC = SM(e = 0)$. Fiecărei entități și funcții, cunoscute în **MC**, îi corespund o familie infinită de funcții în **ME** și, în plus, apar o serie de funcții noi, cu largi utilizări în matematică și tehnologie.

Astfel, la $x = \cos \alpha$ îi corespunde familia de funcții $x = cex\theta = cex(\theta, s, \varepsilon)$, în care, $s = e/R$ și ε sunt coordonatele polare ale **excentrului S(s, ε)**, corespunzător cercului unitate/trigonometric, sau **E(e, ε)** corespunzător cercului oarecare, de rază **R**, considerat **pol** al unei drepte **d** care se rotește în jurul lui **E** sau **S** cu unghiul de poziție **θ**, generând astfel funcțiile trigonometrice excentrice, sau funcții supermatematice circulare excentrice (**FSM-CE**), prin intersecția dreptei excentrice **d** cu cercul unitate (v.**Fig.1**). Printre care și pe **cosinus excentric** de **θ**, cu notația $cex\theta = x$, în care **x** este proiecția punctului **W**, de intersecție al dreptei cu cercul trigonometric **C(1,0)**, sau coordonata carteziană a punctului **W(x, y)**. O dreaptă, dusă prin **S**, interior cercului ($s \leq 1 \rightarrow e < R$), intersectează cercul în două puncte **W₁** și **W₂**, notate concentrat **W_{1,2}**.

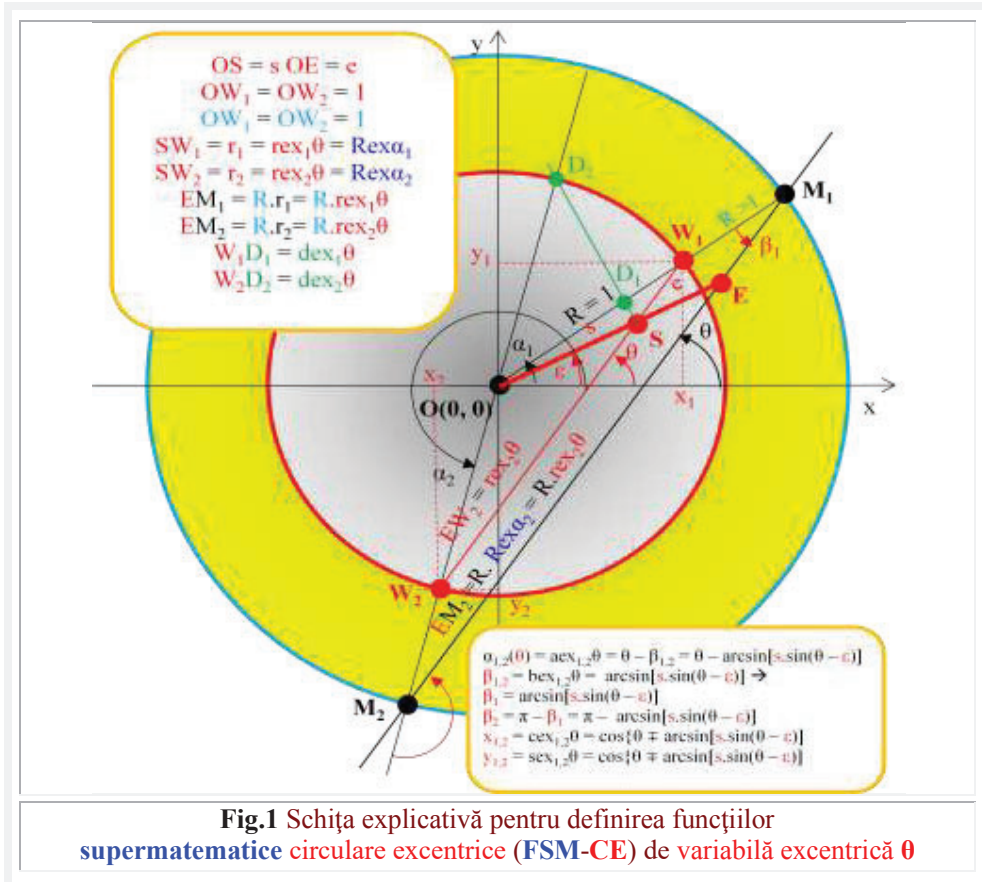
Ca urmare, vor exista **două determinări** ale funcțiilor supermatematice circulare excentrice (**FSM-CE**): una principală, de indice 1- **cex₁θ** și una secundară **cex₂θ**, de indice 2, notate concentrat **cex_{1,2}θ**. **E** și **S** au fost denumite **ex-centre** pentru că au fost expulzate din centrul **O(0,0)**. Această expulzare a condus la apariția **ME** și, implicit, a **SM**. Prin ea, toate obiectele matematice s-au multiplicat de la unu la infinit: unei **unice** funcții din **MC**, de exemplu **cosa**, corespunzându-i o **infinite** de funcții **cexθ**, grație posibilităților de plasare în plan a **excentrului S** și/sau **E**.

S(e, ε) poate ocupa o infinitate de poziții în planul în care se află cercul unitate sau trigonometric. Pentru fiecare poziție, a lui **S** și **E**, se obține câte o funcție **cexθ**. Dacă **S** este un punct fix, atunci se obțin funcții **SM** circulare excentrice (**FSM –CE**) de **excentru fix**, sau cu **s** și **ε** constante. Dar **S** sau **E** se pot deplasa, în plan, după diverse reguli sau legi, în timp ce dreapta care generează funcțiile, prin intersecția ei cu cercul, se rotește cu unghiul **θ** în jurul lui **S** și **E**. În cazul din urmă, avem de-a face cu **FSM-CE** de excentric **S/E** punct variabil, adică $s = s(\theta)$ și/sau $\varepsilon = \varepsilon(\theta)$.

Dacă poziția variabilă a lui **S/E** este reprezentată tot de **FSM-CE**, de același excentru **S(s, ε)**, sau de un alt excentru **S₁[s₁ = s₁(θ), ε₁ = ε₁(θ)]**, atunci se obțin funcții de dublă excentricitate. Prin extrapolare, se obțin funcții de triplă și de multiplă

P R E F A Ț Ă

excentricitate. Prin urmare, **FSM-CE** sunt funcții de atâtea variabile câte dorim, sau de câte avem nevoie.



Dacă distanțele de la O la punctele $W_{1,2}$, de pe cercul $C(1,O)$, sunt constante și egale cu raza $R = 1$ a cercului trigonometric C , distanțe pe care le vom denumi **raze centrice**, distanțele de la S la $W_{1,2}$ notate cu $r_{1,2}$ sunt variabile și sunt denumite **raze excentrice** ale cercului unitate $C(1,O)$ și reprezintă, totodată, noi funcții supermatematice circulare excentrice (FSM-CE), care au fost denumite **funcții radiale excentrice** și notate cu $rex_{1,2}\theta$, dacă se exprimă în funcție de **variabila** denumită **excentrică** și **motoare** θ , care este unghiul de la excentrul E . Sau, notate $Rex_{1,2}\alpha$, dacă se exprimă în funcție de unghiul α sau **variabila centrică**, unghiul din $O(0,0)$.

Punctele $W_{1,2}$ se văd sub unghiurile $\alpha_{1,2}$ din $O(0,0)$ și sub unghiurile θ și $\theta + \pi$ din $S(e, \varepsilon)$ și E . Dreapta d este împărțită de $S \subset d$ în cele două **semidrepte**, una pozitivă d^+ și una negativă d^- . De aceea, se poate considera $r_1 = rex_1\theta$ un segment orientat

pozitiv pe \mathbf{d}^+ ($\rightarrow \mathbf{r}_1 > 0$) iar $\mathbf{r}_2 = \mathbf{r}e\mathbf{x}_2\theta$ un segment orientat în sens negativ pe \mathbf{d}^+ ($\rightarrow \mathbf{r}_2 < 0$) și în sensul semidreptei negative \mathbf{d}^- .

Prin relații trigonometrice simple, în triunghiurile oarecare $\mathbf{OEW}_{1,2}$, sau, mai precis, scriind teorema sinusului (în funcție de θ) și teorema lui **Pitagora** generalizată (pentru variabilele $\alpha_{1,2}$) în aceste triunghiuri, rezultă imediat expresiile **invariante** ale funcțiilor radial excentrice, și anume:

$$\mathbf{r}_{1,2}(\theta) = \mathbf{r}e\mathbf{x}_{1,2}\theta = -s \cdot \cos(\theta - \varepsilon) \pm \sqrt{1 - s^2 \sin^2(\theta - \varepsilon)} \quad \text{și}$$

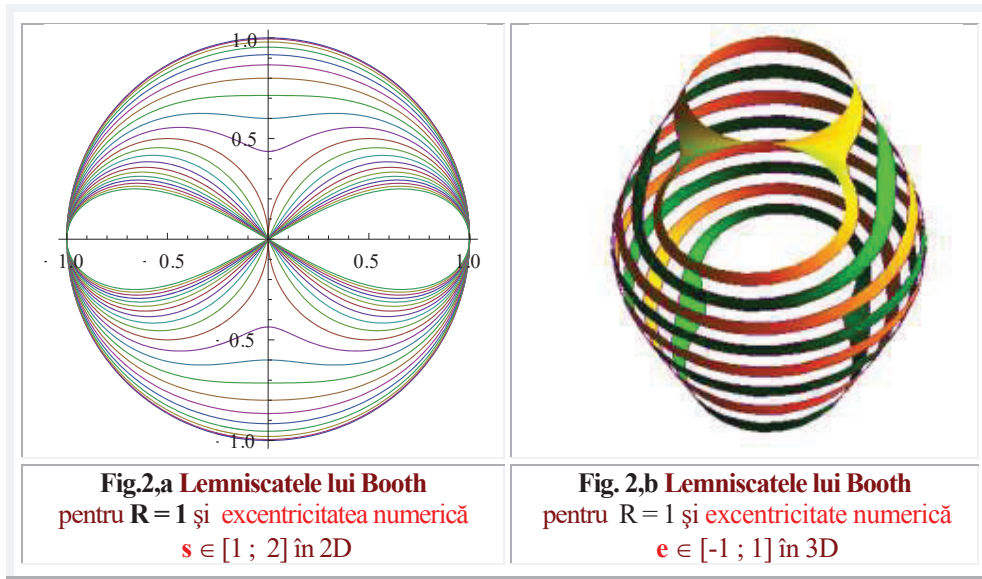
$$\mathbf{r}_{1,2}(\alpha_{1,2}) = \mathbf{R}e\mathbf{x}\alpha_{1,2} = \pm \sqrt{1 + s^2 - 2s \cos(\theta - \varepsilon)}.$$

Toate **FSM-CE** au expresii **invariante**, din care cauză ele nu trebuie tabelate; tabelate fiind funcțiile centrice, din **MC**, cu ajutorul cărora se exprimă.

În toate expresiile lor, se va găsi, invariabil, unul dintre radicalii din expresiile anterioare, ale funcțiilor **radial excentrice** $\mathbf{r}_{1,2}(\theta)$.

Depistarea celor două determinări este simplă: pentru + (**plus**) în fața radicalilor se obține întotdeauna prima determinare ($\mathbf{r}_1 > 0$) și pentru semnul - (**minus**) se obține cea de a doua determinare ($\mathbf{r}_2 < 0$). Regula rămâne valabilă pentru toate **FSM-CE**.

Prin convenție, prima determinare, principală, de indice **1**, se poate utiliza / scrie și fără indice.



Câteva observații, legate de aceste funcții **REX** ("rege"), se impun:

- Funcțiile radial excentric exprimă distanța, în plan, în coordonate polare, dintre două puncte: $\mathbf{S}(s, \varepsilon)$ și $\mathbf{W}_{1,2}$ ($\mathbf{R} = 1, \alpha_{1,2}$) sau $\mathbf{W}_{1,2}$ ($x_{1,2}, y_{1,2}$), pe direcția dreptei excentrice \mathbf{d} , înclinată cu unghiul θ față de axa \mathbf{Ox} ;
- Ca urmare, cu ajutorul lor, și numai al lor, pot fi exprimate ecuațiile **tuturor curbelor plane** cunoscute, cât și a altora noi, care au apărut odată cu apariția **ME**.

P R E F A Ț Ă

Un exemplu îl reprezintă **lemniscatele lui Booth** (v. Fig.2, a, b, c), exprimate prin relațiile, în coordonate polare, de ecuație

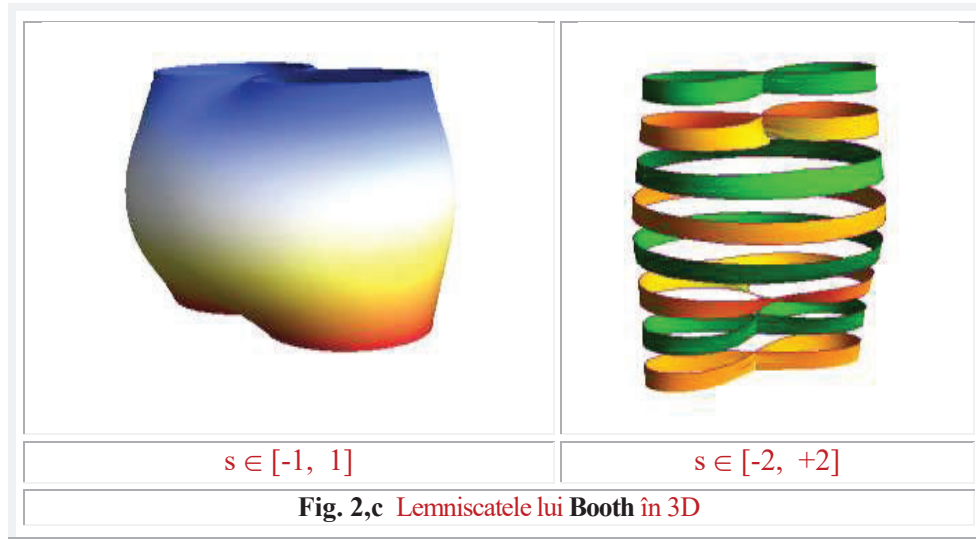
$$\rho(\theta) = R(\text{rex}_1 \theta + \text{rex}_2 \theta) = -2sR \cos(\theta - \varepsilon), \text{ pentru } R = 1, \varepsilon = 0 \text{ și } s \in [0, 2]$$

- O altă consecință constă în **generalizarea definiției cercului: Cercul este curba plană ale cărei puncte M se găsesc la distanțele**

$$r(\theta) = R \cdot \text{rex}_{1,2} \theta = R \cdot \text{rex}_{1,2}[\theta, E(e, \varepsilon)]$$

față de un punct oarecare, denumit excentru, din planul cercului $E(e, \varepsilon)$.

Dacă $S \equiv O(0,0)$ atunci $s = 0 \rightarrow \text{rex} \theta = 1 = \text{constant}$ și $r(\theta) = R = \text{constant}$, obținându-se **definiția clasică** a cercului: puncte M situate la aceeași distanță R de centrul cercului O(0,0).



- Funcțiile **rex θ** și **Rex α** exprimă **funcțiile de transmitere de ordinul zero**, sau **de transfer a poziției**, din teoria mecanismelor și este raportul dintre parametrul $R(\alpha_{1,2})$ ce poziționează elementul condus $OM_{1,2}$ și parametrul $R \cdot r_{1,2}(\theta)$ ce poziționează elementul conducător $EM_{1,2}$. Între acești doi parametri, există următoarele relații, care se deduc, la fel de simplu, din schița **figurii 1** de definire a **FSM-CE**.

Între unghiurile de poziție ale celor două elemente, condus și conducător, există relațiile

$$\alpha_{1,2}(\theta) = \theta \mp \arcsin[e \cdot \sin(\theta - \varepsilon)] = \theta \mp \beta_{1,2}(\theta) = \text{aex}_{1,2} \theta \quad \text{și}$$

$$\theta(\alpha_{1,2}) = \alpha_{1,2} \pm \beta_{1,2}(\alpha_{1,2}) = \alpha_{1,2} \pm \arcsin \frac{s \cdot \sin(\alpha_{1,2} - \varepsilon)}{\sqrt{1 + s^2 - 2s \cdot \cos(\alpha_{1,2} - \varepsilon)}} = \text{Aex}(\alpha_{1,2}).$$

Funcțiile **aex $_{1,2} \theta$** și **Aex $\alpha_{1,2}$** sunt denumite **amplitudine excentrică** deoarece ele se pot utiliza la definirea **FSM-CE** cosinus și sinus excentrice, tot așa cum funcția

amplitudine sau amplitudinus $am(k,u)$ se folosește la definirea funcțiilor eliptice

Jacobi: $sn(k,u) = \sin[am(k,u)]$, $cn(k,u) = \cos[am(k,u)]$, adică:

$$\begin{aligned} \text{cex}_{1,2}\theta &= \cos(\text{aex}_{1,2}\theta), & \text{Cex } \alpha_{1,2} &= \cos(\text{Aex } \alpha_{1,2}) \text{ și} \\ \text{sex}_{1,2}\theta &= \sin(\text{aex}_{1,2}\theta), & \text{Sex } \alpha_{1,2} &= \sin(\text{Aex } \alpha_{1,2}) \end{aligned}$$

- Funcțiile radial excentrice pot fi considerate ca module ale vectorilor $\vec{r}_{1,2}$ de poziție ai punctelor $\mathbf{W}_{1,2}$ de pe cercul unitate $\mathbf{C}(\mathbf{1}, \mathbf{O})$, vectori exprimați prin relațiile

$$\vec{r}_{1,2} = \text{rex}_{1,2} \theta \cdot \text{rad } \theta,$$

în care, $\text{rad } \theta$ este vectorul unitate, de direcție variabilă, sau versorul /fazorul direcției dreptei \mathbf{d}^+ , a cărei derivată este fazorul $\text{der } \theta = \mathbf{d}(\text{rad } \theta)/d\theta$ și reprezintă vectori perpendiculari pe direcțiile dreptelor $\mathbf{OW}_{1,2}$, tangenți la cerc, în punctele $\mathbf{W}_{1,2}$. Ei sunt denumiți fazorii **derivat centric**. Totodată, modulul funcției $\text{rad } \theta$ este corespondentul în MC al funcției $\text{rex } \theta$ pentru $s = 0 \rightarrow \theta = \alpha$ când $\text{rex } \theta = 1$ iar $\text{der } \alpha_{1,2}$ sunt versorii tangenți la cercul unitate în punctele $\mathbf{W}_{1,2}$.

- Derivatele vectorilor $\vec{r}_{1,2}$ sunt vectorii viteză

$$\vec{v}_{1,2} = \frac{d \vec{r}_{1,2}}{d\theta} = \text{dex}_{1,2} \theta \cdot \text{der } \alpha_{1,2}$$

ai punctelor $\mathbf{W}_{1,2} \subset \mathbf{C}(\mathbf{O}, \mathbf{1})$, în mișcarea lor de rotație pe cerc, cu viteze de module variabile $\mathbf{v}_{1,2} = \text{dex}_{1,2} \theta$, când dreapta generatoare \mathbf{d} se rotește în jurul excentrului \mathbf{S} cu viteza unghiulară constantă și egală cu unitatea, adică $\Omega = 1$.

Vectorii viteză au expresiile anterior prezentate, în care $\text{der } \alpha_{1,2}$ sunt fazorii razelor centrice $\mathbf{R}_{1,2}$ de modul 1 și de direcții $\alpha_{1,2}$. Expresiile funcțiilor **SM-CE** $\text{dex}_{1,2}\theta$, **derivată excentrică** de θ sunt, totodată, și derivatele unghiurilor $\alpha_{1,2}(\theta)$ în funcție de variabila motoare sau independentă θ , adică

$$\text{dex}_{1,2}\theta = \mathbf{d}\alpha_{1,2}(\theta)/d\theta = 1 - \frac{s \cdot \cos(\theta - \varepsilon)}{\sqrt{1 - s^2 \sin^2(\theta - \varepsilon)}}$$

ca funcție de θ și

$$\text{Dex } \alpha_{1,2} = \mathbf{d}(\theta)/d(\alpha_{1,2}) = 1 - \frac{s \cdot \cos(\theta - \varepsilon)}{\sqrt{1 + s^2 - 2s \cdot \cos(\alpha_{1,2} - \varepsilon)}}$$

ca funcții de $\alpha_{1,2}$.

S-a demonstrat că funcțiile **SM-CE derivată excentrică** exprimă **funcțiile de transfer de ordinul 1**, sau **a vitezelor unghiulare**, din teoria mecanismelor, pentru **toate (!)** mecanismele plane cunoscute.

- Funcția radial excentric $\text{rex } \theta$ exprimă exact deplasarea mecanismului bielă-manivelă $\mathbf{S} = \mathbf{R} \cdot \text{rex } \theta$, a cărei manivelă motoare are lungimea \mathbf{r} , egală cu excentricitatea reală \mathbf{e} și lungime bielei este egală cu raza cercului \mathbf{R} , un mecanism atât de cunoscut, ce intră în componența tuturor autoturismelor, cu excepția aceloră cu motor **Wankel**. Și enumerarea aplicațiilor funcțiilor radial excentric ar putea continua, dar vom reveni la aplicațiile mai generale ale **FSM - CE**.

Concret, unicelor forme de cerc, pătrat, parabolă, elipsă, hiperbolă, diverse spirale, ș.m.a. din MC, grupate acum sub denumirea de **centrice**, le corespund o infinitate de **excentrice** de același gen: **excentrice** circulare, pătratice (cuadrilobe), parabolice, eliptice, hiperbolice, spirale, ș.m.a. Oricare **excentrică**, pentru excentri-

P R E F A Ț Ă

citare nulă ($e = 0$), degenerază într-o **centrică**, care reprezintă, totodată, și curba ei **generatoare**. De aceea, însăși **MC** aparține **ME** pentru unicul caz ($s = e = 0$), din infinitatea de cazuri posibile, în care poate fi plasat, în plan, un punct denumit **excentru** $E(e, \varepsilon)$, caz în care **E** se suprapune peste unul sau două puncte denumite **centru**: **originea** $O(0,0)$ a unui reper, considerat, totodată, **originea** $O(0,0)$ a sistemului referențial și / sau **centrul** $C(0,0)$ al cercului unitate, pentru **funcții circulare**, respectiv, centrul de simetrie al celor două ramuri ale hiperbolei echilaterale, pentru **funcții hiperbolice**.

A fost suficient ca un punct **E** să fie expulzat din centru (**O** și/sau **C**) pentru ca, din lumea **MC**, să apară o nouă lume a **ME**, iar reuniunea celor două lumi să dea naștere lumii **SM**. Și această apariție a avut loc în **orasul revoluției române** din 1989, **Timișoara**, același oraș, în care, la 3 noiembrie 1823 **Janos Bolyay** scria: "**Din nimic am creat o nouă lume**". Cu aceste cuvinte el a anunțat descoperirea formulei fundamentale a primei **geometrie neeuclidiene**.

El din **numic**, eu din efortul colectiv de multiplicare a funcțiilor periodice, funcții necesare inginerului pentru a descrie anumite fenomene periodice, am completat matematica cu noi entități și obiecte matematice.

Dacă **Euler**, la definirea funcțiilor trigonometrice, ca funcții circulare directe, **n-ar fi ales trei puncte confundate**: originea **O**, centrul cercului **C** și **S** ca pol al unei semidrepte, cu care a intersectat cercul trigonometric / unitate, **FSM-CE** ar fi putut fi cunoscute demult, eventual sub o altă denumire.

În funcție de modul în care se „**spliteaza**” (separă câte un punct din cele suprapuse sau toate), apar următoarele tipuri de **FSM**:

$O \equiv C \equiv S \rightarrow$ **Funcții Centrice aparținând MC** ;

iar cele aparținând **ME** sunt

$O \equiv C \neq S \rightarrow$ **Funcții Supermatematice Circulare Excentrice (FSM-CE)**;

$C \neq O \equiv S \rightarrow$ **Funcții Supermatematice Circulare Elevate (FSM-CEL)**;

$O \neq C \neq S \rightarrow$ **Funcții Supermatematice Circulare Exotice (FSM-CEX)**;

Aceste **complemente noi de matematici**, reunite sub denumirea **provizorie** de **SM**, sunt unelte sau instrumente deosebit de utile, demult așteptate, dovada fiind numărul mare și diversitatea funcțiilor periodice introduse în matematică și modul, uneori complicat, de a se ajunge la ele, încercându-se substituirea cercului cu alte curbe, în majoritate închise. Se pare că nimic nu durează mai mult decât provizoratul !

Pentru obținerea unor funcții speciale și periodice noi, s-a încercat înlocuirea cercului trigonometric cu **pătratul** sau cu **rombul**, așa cum a procedat fostul șef al Catedrei de Matematică de la Facultatea de Mecanică din Timișoara, profesorul universitar Dr. mat. **Valeriu Alaci**, descoperind funcțiile trigonometrice **pătratice** și **rombice**. Apoi, profesorul de matematică timișorean **Eugen Vișa** a introdus funcțiile **pseudo-hiperbolice**, iar profesorul de matematici **M.O. Enculescu** a definit funcțiile **poligonale**, înlocuind cercul cu un poligon cu n laturi; pentru $n = 4$ obținând funcțiile trigonometrice pătratice **Alaci**.

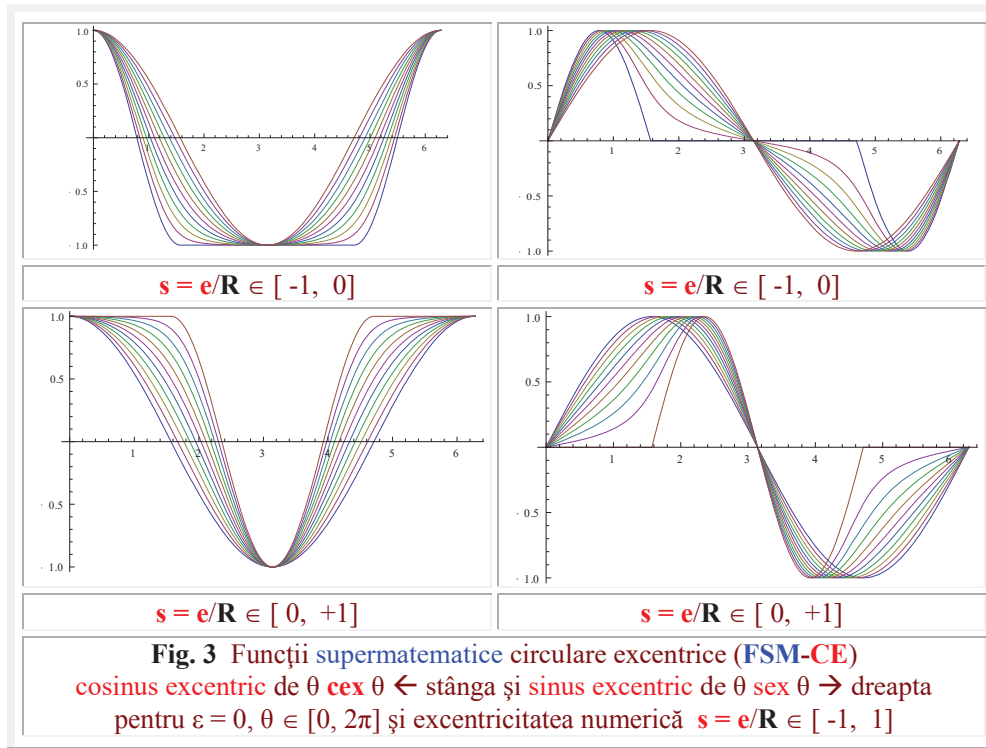
De curând, matematiciana americană, de origine română, Prof. **Malvina Baica** de la Universitatea Wisconsin, împreună cu **Mircea Cârdu** au completat spațiul dintre

funcțiile circulare Euler și funcțiile pătratice Alaci cu funcțiile **transtrigonometrice (Periodic Transtrigonometric Funcțios).**

Matematicianul sovietic **Marcușevici** a descris, în lucrarea sa “**Funcții sinus remarcabile**” funcțiile trigonometrice **generalizate** și funcțiile trigonometrice **lemniscate**.

Încă din anul 1877, matematicianul german **Dr. Biehringer**, substituind triunghiul dreptunghic cu unul oarecare, a definit **funcțiile trigonometrice înclinate**.

Savantul englez de origine română ing. **George (Gogu) Constantinescu** a înlocuit **ceroul** cu **evolventa** și a definit **funcțiile trigonometrice românești: cosinus românesc și sinusul românesc**, exprimate de funcțiile **Cora** și **Sira** cu care a soluționat, exact, unele ecuații diferențiale neliniare ale teoriei sonicității creată de el. Și ce puțin cunoscute sunt toate aceste funcții chiar în **România!**



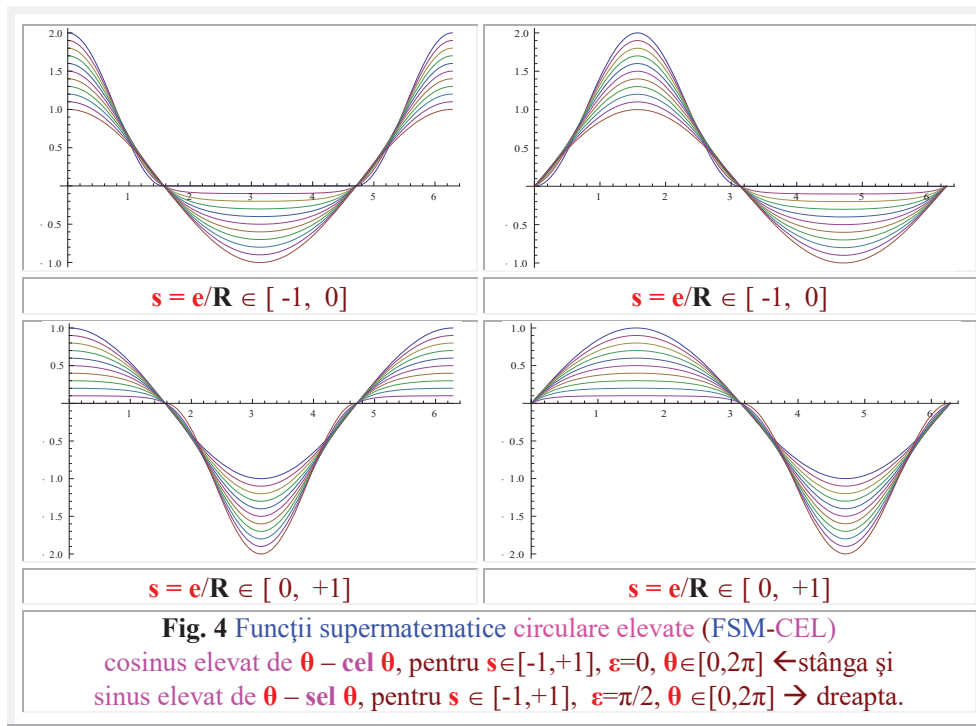
Și funcțiile eliptice sunt definite pe o elipsă. Una rotită, cu axa mare pe direcția axei Oy, în funcție de arcul de elipsă **u**. Autorul a definit funcțiile eliptice centrice și excentrice ca funcții de arcul cercului unitate, ceea ce simplifică mult lucrurile.

Ce simple pot deveni și, de fapt, sunt lucrurile « complicate »! Acest **paradox(ism)** sugerează că prin simpla deplasare / expulzare a unui **punct** dintr-un

P R E F A Ț Ă

centru și prin apariția **excentrului**, poate să apară o nouă lume, lumea **ME** și, totodată, un nou univers, universul vast al **SM**.

Noțiuni ca „**Supermathematics Functions**” și „**Funcții circulare excentrice**” au apărut pe cele mai utilizate motoare de căutare ca Google, Yahoo, Altavista ș.a., încă de la apariția Internetului. Noile noțiuni, cum ar fi cea de **cuadrilobe** „quadrilobas”, cu care sunt numite **excentricele** care umplu continuu spațiul dintre un **cerc** și un **pătrat** circumscris cercului, au fost incluse și în dicționarul de matematică. Intersecția **cuadrilobei** cu dreapta **d** generează noile funcții denumite **funcții quadrilobe** (cvadrilobe): **cosinus cuadrilob-ic**, **sinus cuadrilob-ic** ș.m.a.



Beneficiile pe care **SM** le aduce, în știință și în tehnologie, sunt mult prea numeroase pentru a fi etalate aici. Dar, ne face o deosebită plăcere să amintim că **SM** șterge granițele dintre **liniar** și **neliniar**; liniarul aparținând **MC**, iar neliniarul fiind apanajul **ME**, ca și dintre **ideal** și **real**, sau dintre **perefecțiune** și **imperfecțiune**.

Se afirmă că **Topologia** este matematica care nu face deosebire între un covrig și o ceașcă. Ei bine, **SM** nu face distincție dintre un **cerc** ($e = 0$) și un **pătrat perfect** ($s = \pm 1$), dintre un **cerc** și un **triunghi perfect**, dintre **elipsă** și un **dreptunghi perfect**, dintre **sferă** și un **cub perfect** ș.m.a; cu aceleași ecuații parametrice obținându-se atât formele **ideale** ale **MC** (cerc, elipsă, sferă ș.a) cât și cele **reale** (pătrat, dreptunghi, cub ș.a.). Pentru $s \in [-1, 1]$,

în cazul funcțiilor de **variabilă excentrică θ** , ca și în cazul funcțiilor de **variabilă centrică α** , pentru $s \in [-\infty, +\infty]$, se obțin o infinitate de forme intermediare, ca de exemplu, pătrat, dreptunghi sau cub cu colțuri rotunjite și cu laturi, respectiv, fețe ușor curbate. Ceea ce facilitează utilizarea noilor funcții **SM** la desenarea și reprezentarea unor piese tehnice, cu muchii rotunjite sau teșite, în programele **SM-CAD/CAM**, care nu mai utilizează computerul ca pe o planșetă de desen, ci realizează obiectul tehnic dintr-odată, prin ecuații parametrice, cu consecințe remarcabile în economia de memorare a acestora; memorate fiind ecuațiile și nu imensitatea de pixeli care definesc / mărginesc o piesă tehnică.

Numeroasele funcții, prezentate, sunt pentru întâia oară introduse în matematică. Pentru fixarea lor în memorie, autorul a considerat necesară o prezentare a ecuațiilor lor, astfel încât, cei ce doresc să contribuie la extinderea aplicațiilor lor să o poată face și a figurilor lor pentru plăcerea ochilor (v. **Fig.5**).

SM nu este o lucrare încheiată ci, de abia o **introducere** în acest domeniu vast, un prim pas, un pas mic al autorului și un **pas uriaș al matematicii**.

Funcțiile **SM circulare elevate (FSM- CEL)**, denumite astfel pentru că, prin modificarea excentricității numerice s , punctele curbelor funcțiilor sinus elevat **sel θ** ca și a funcției circulare elevate cosinus elevat **cel θ** se **elevează**, adică se ridică pe verticală, ieșind din ecartul de $[-1, +1]$ al celorlalte funcții sinus și cosinus **centrice** și **excentrice**. Graficele funcțiilor **cex θ** și **sex θ** sunt prezentate în **figura 3**, în care, se observă, că punctele acestor grafice se modifică pe direcția orizontală, toate rămânând în ecartul $[-1, +1]$, denumit domeniu de existență al acestor funcții.

Graficele funcțiilor **cel θ** și **sel θ** pot fi simplu reprezentate prin produsele:

$$\text{cel}_{1,2}\theta = \text{rex}_{1,2}\theta \cdot \cos\theta \quad \text{și} \quad \text{Cela}_{1,2} = \text{Rex}\alpha_{1,2} \cdot \cos\theta$$

$$\text{sel}_{1,2}\theta = \text{rex}_{1,2}\theta \cdot \sin\theta \quad \text{și} \quad \text{Sela}_{1,2} = \text{Rex}\alpha_{1,2} \cdot \sin\theta$$

fiind prezentate în **figura 4**.

Cele mai generale funcții **SM** sunt **funcțiile circulare exotice** care sunt definite pe un cerc unitate necentrat în originea sistemului de axe xOy și nici în excentrul **S**, ci într-un punct oarecare **C(c, γ)** din planul cercului unitate, de coordonate polare **(c, γ)** în reperul xOy .

Foarte multe dintre planșele cuprinse în albumul [<http://fs.unm.edu/SelariuFunctions.pdf> (12,9MB)] sunt realizate cu **FSM-CE** de excentru variabil și de arce care sunt multiplii n de **$\theta(n.\theta)$** . Relațiile folosite, pentru fiecare caz în parte, sunt prezentate explicit, în majoritatea cazurilor, utilizându-se funcțiile matematice **centrice** prin care, așa cum s-a văzut, pot fi exprimate toate funcțiile **SM**, mai ales atunci când programele de vizualizare a graficelor nu dispun de programme cu **FSM**. Ceea ce nu înseamnă că, în viitor, computerele nu vor avea implementate noile componente de matematică, pentru a le lărgi vast domeniul lor de utilizare.

Și nici specialiștii în realizarea de programe de proiectare, asistate de calculator **CAD/CAM/CAE**, nu vor întârzia prea mult în realizarea noilor programe, fundamental diferite, prin care obiectele tehnice sunt realizate cu **FSM circulare** sau **hiperbolice** parametrice, așa cum sunt exemplificate unele realizări ca avioane, case ș.a. în <http://www.eng.upt.ro/~mselariu> și cum o șaiba poate fi reprezentată ca o excentrică toroidală (sau ca un “tor excentric”) pătrat sau dreptunghiular într-o secțiune axială și, respectiv, o placă pătrată cu un orificiu central pătrat poate fi un “tor pătrat de

P R E F A Ț Ă

secțiune pătrată”. Toate acestea, deoarece **SM** nu face distincție între cerc și pătrat sau între elipsă și dreptunghi, așa cum s-a mai afirmat.

Dar, cele mai importante realizări pot fi obținute în știință, prin soluționarea unor probleme neliniare, deoarece **SM** reunește într-un tot unitar cele două domenii atât de diferite în trecut, dintre care **domeniul neliniar** necesită ingenioase abordări pentru fiecare problemă în parte. Astfel, în domeniul vibrațiilor, caracteristici elastice statice (**CES**) neliniare moi (regresive) sau tari (progresive) se pot obține foarte simplu scriind $y = m \cdot x$, numai ca **m** nu mai este $m = \tan \alpha$ ca în cazul liniar ($s = 0$) ci $m = \tan \alpha \cdot \theta$ și, în funcție de semnul excentricității numerice **s**, pozitiv sau negativ, sau pentru **S** plasat pe axa x negativă

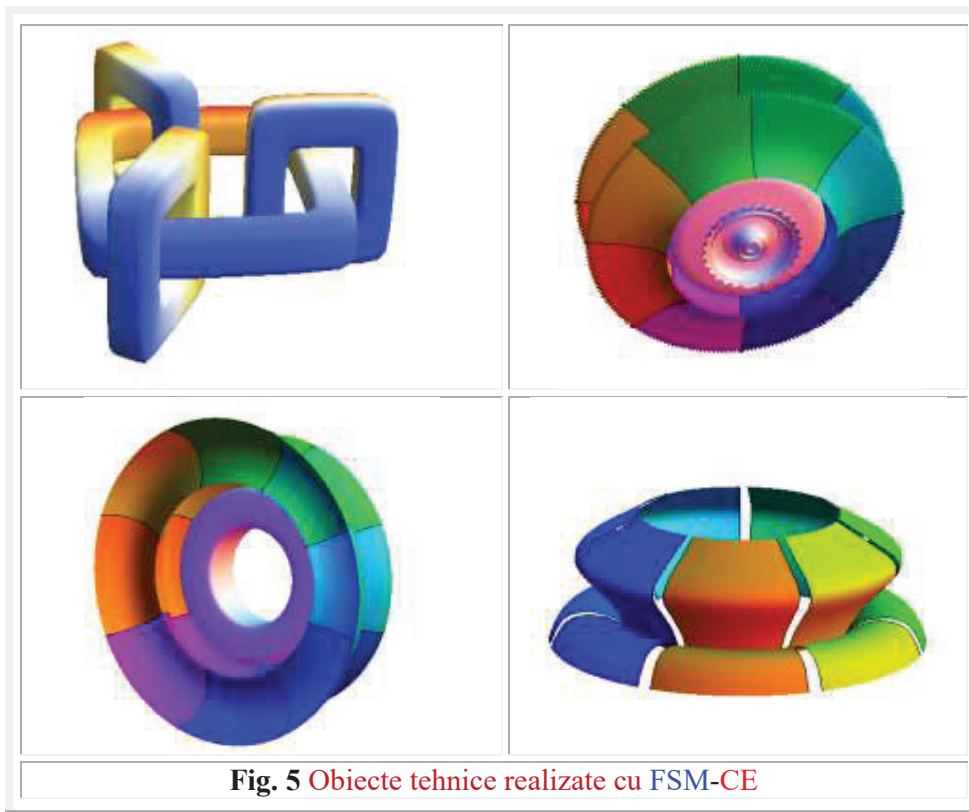


Fig. 5 Obiecte tehnice realizate cu **FSM-CE**

($\epsilon = \pi$) sau pe axa x pozitivă ($\epsilon = 0$), se obțin cele două tipuri de caracteristici elastice neliniare și, evident, pentru $s = 0$ se va obține **CES** liniară.

Deoarece, funcțiile **cex θ** și **sex θ** ca și **Cex α** și **Sex α** și combinațiile lor, sunt soluții ale unor ecuații diferențiale de ordinul doi cu coeficienți variabili, s-a constatat că și pentru $s = \pm 1$, și nu numai pentru $s = 0$, se obțin sisteme liniare (**Cebâșev**). La acestea, masa (punctul **M**) se rotește pe cerc cu o viteză unghiulară $\omega = 2 \cdot \Omega$ dublă

(față de sistemul liniar de $s = 0$ de $\omega = \Omega = \text{constant}$) o jumătate de perioadă, iar în cealaltă jumătate de perioadă stagnează în punctul $A(R,0)$ pentru $e = sR = R$ sau $\varepsilon = 0$ și în punctul $A'(-R, 0)$ pentru $e = -sR = -1$, sau $\varepsilon = \pi$. În acest fel, perioada de oscilație T a celor **trei sisteme liniare** este aceeași și egală cu $T = \Omega/2\pi$.

Pentru celelalte valori, intermediare, ale lui s și e se obțin sisteme de **CES neliniare**. Proiecția, pe oricare direcție, a mișcării de rotație a punctului M pe cercul de rază R , egală cu amplitudinea oscilației, cu viteza unghiulară $\omega = \Omega \cdot \text{dex}\theta$ variabilă (după funcția $\text{dex}\theta$) este o mișcare oscilantă **neliniară**.

Apariția funcției „**rege**” $\text{rex}\theta$ și a proprietăților ei, a facilitat apariția unei metode **hibride** (analitico-numerice) prin care s-a obținut o **relație** simplă, cu numai doi termeni, de **calcul** a integralei eliptice complete de prima speta $K(k)$, cu o precizie

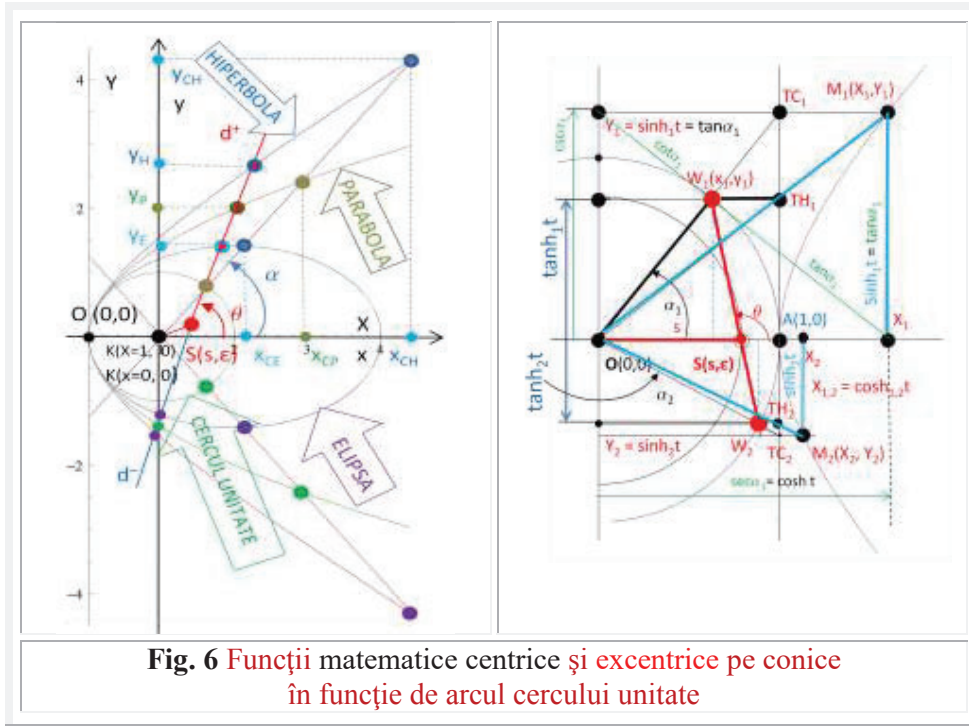


Fig. 6 Funcții matematice centrice și excentrice pe conice în funcție de arcul cercului unitate

incredibil de mare, de minimum **15 zecimale exacte**, după numai 5 pași. Realizarea pașilor următori, poate conduce la obținerea unei noi relații de calcul a lui $K(k)$, cu precizie considerabil mai mare și cu posibilități de extindere și la alte integrale eliptice și nu numai. Relația lui $E(k)$ după 6 pași are aceeași precizie de calcul.

Apariția **FSM** a facilitat apariția unei noi metode de integrare, denumită **integrarea prin divizarea diferențialei**.

P R E F A Ț Ă

Nu putem încheia, fără să evidențiem introducerea în matematică, prin această lucrare, a funcțiilor eliptice, parabolice și hiperbolice, în funcție de arcul cercului unitate, așa cum este schițat în **figura 6**, precum și a **funcțiilor hiperbolice excentrice**.

Ne oprim aici, pentru a nu vă răpi din plăcerea de-a vă delecta cu studiul prezentei lucrări.

Autorul

selariume@gmail.com

selariu_m@yahoo.ro

www.supermatematica.ro;

www.supermathematica.com;

www.supermathematica.org;

www.supermatematicaonline.blogspot.ro;

www.cartiAZ.ro

Preface

SUPERMATHEMATICS FUNCTIONS

The Functions, which are the base to generate the most often, technical objects, so less artistical, neogeometrical, included in this book, are named

Supermathematics functions (SMF)

These functions are the fruit of 38 research years, begun in 1969 at University of Stuttgart. Meanwhile, 42 related works were published, written by over 19 authors, as can be seen in the bibliography.

The name belongs to the regretted mathematician Prof. em. dr. doc.ing. **Gheorghe Silas** which, at the presentation of the very first work in this domain, at the First National Conference in Vibrations in Machine Constructions, Timișoara, Romania, 1978, named „CIRCULAR ECCENTRIC FUNCTIONS”, declared: „Young man, you just discovered not only „some functions”, but a new mathematics, a **supermathematics!**” I was glad, at my 40 years old, like a teenager. And I proudly found that he might be right!

The prefix **super** is justified today, to point out the birth of new complements in mathematics, joined together under the name of **Eccentric Mathematics (EM)** with much more important entities and infinitely more numerous than the existing entities in the **actual mathematics**, which we are obliged to name it **Centric Mathematics (CM)**

To each entity from CM is corresponding an infinity of similar entities in EM, so Supermathematics (SM) is the reunion of the two domains, it means $SM = CM \cap EM$ and CM is a particular case, of null eccentricity of EM. Namely, $CM = SM(e = 0)$.

To each known function in CM is corresponding an infinity family of functions in EM, and in addition, a series of new functions appears, with a wide range of applications in mathematics and technology.

In this way, to $x = \cos \alpha$ is corresponding the functions family $x = cex\theta = cex(\theta, s, \varepsilon)$ where $s = e/R$ and ε are the polar coordinates of the **eccenter S(s, ε)**, corresponding to the unity / trigonometrical circle or **E(e, ε)** corresponding to certain circle of R radius, considered as **pole** of a straight line **d** which is rotating around **E or S** with position angle θ , generating in this way the eccentrictrigonometric functions, or eccentric circular supermathematical functions (**EC-SMF**), by the cross of **d** with unity circle (see **Fig.1**).

Among them the **eccentric cosine** of θ , noted $cex\theta = x$, where **x** is the projection of **W** point, the cross of the straight line with the trigonometric circle **C(1,O)**, or the cartesian coordinate of **W** point.

Because a straight line, taken by **S**, interior to the circle ($s \leq 1 \rightarrow e < R$), is crossing the circle in two points, **W₁** and **W₂**, briefly named **W_{1,2}**,

It results that **two determinations** of the Eccentric circular supermathematics functions (**EC-SMF**) will exist, one principal of indice 1- $cex_1\theta$ and one secondary $cex_2\theta$, of indice 2, noted briefly $cex_{1,2}\theta$. **E** and **S** were named **ex-centre** because they were dropped out of the center **O(0,0)**. This expulsion lead to the birth of **EM** and

P R E F A C E

implicitly, of **SM**. Trough this, all the mathematical objects were multiplied from one to infinity: To the **unique** function from **CM**, let's say $\cos \alpha$, is corresponding an **infinity** of functions $\text{cex}\theta$, thanks to the possibilities to place the **eccenter S** and / or **E** in the plane.

S(e, ε) can take an infinity of positions in the plane where is the unity or trigonometric circle . For each position of **S** and **E** a function $\text{cex}\theta$ is obtained. If **S** is a fixed point, then eccentric circular **SM** functions are obtained (**EC-SMF**), with **fixed eccenter**, or with constant **s** and **ε**. But **S** or **E** can move, in the plane, by various rules or laws, while the straight line which generates the functions by crossing the circle, is rotating by the angle θ around **S** and **E**. In this last case, we have a **EC-SMF** by variable point

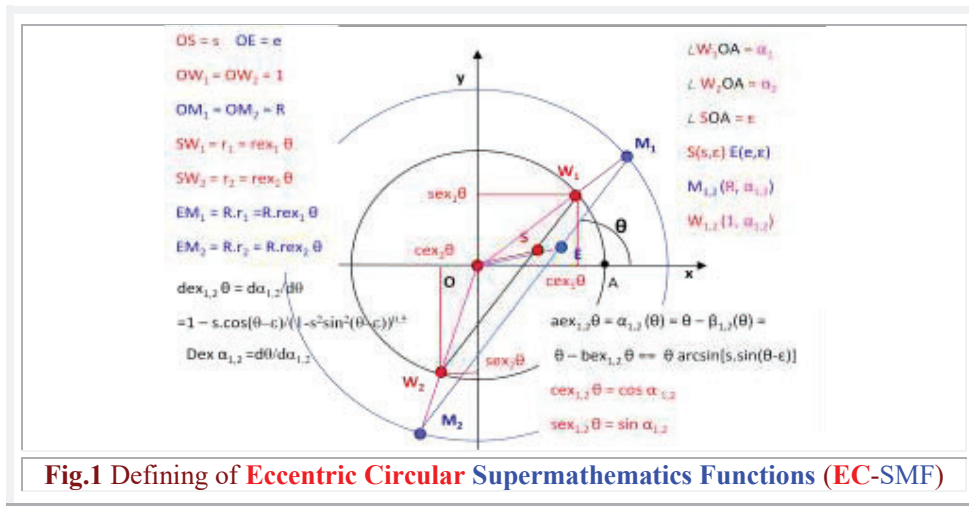


Fig.1 Defining of **Eccentric Circular Supermathematics Functions (EC-SMF)**

S/E eccenter, it means $s = s(\theta)$ and/or $\epsilon = \epsilon(\theta)$. If the variable position of **S/E** is represented still by **EC-SMF** of same eccenter **S(s, ε)** or by another eccenter **S₁[s₁ = s₁(θ), ε₁ = ε₁(θ)]**, then double eccentricity functions are obtained. Trough extrapolation, triple and multiple eccentricity functions are obtained. Therefore, **EC-SMF** are functions of so many variables as we wish or we need.

If the distances from **O** to **W_{1,2}** points from **C(1,O)** circle are constants and equals with the radius **R = 1** of the trigonometric circle **C**, distances we will name **eccentric radiuses** pe care le vom denumi **raze centrice**, the distances from **S** to **W_{1,2}** noted by **r_{1,2}** are variables and are named **eccentric radiuses** of the unity circle **C(1,O)** and represent, at the same time, new eccentric circular supermathematics functions (**EC-SMF**), which were named **eccentric radial functions** and are noted with **rex_{1,2}θ**, if is expressed as function of the **variable** named **eccentric θ** and **motor**, which is the angle from the eccenter **E**. Or, noted **Rexα_{1,2}**, if it is expressed as function of the angle α or **centric variable**, the angle of **O(0,0)**.

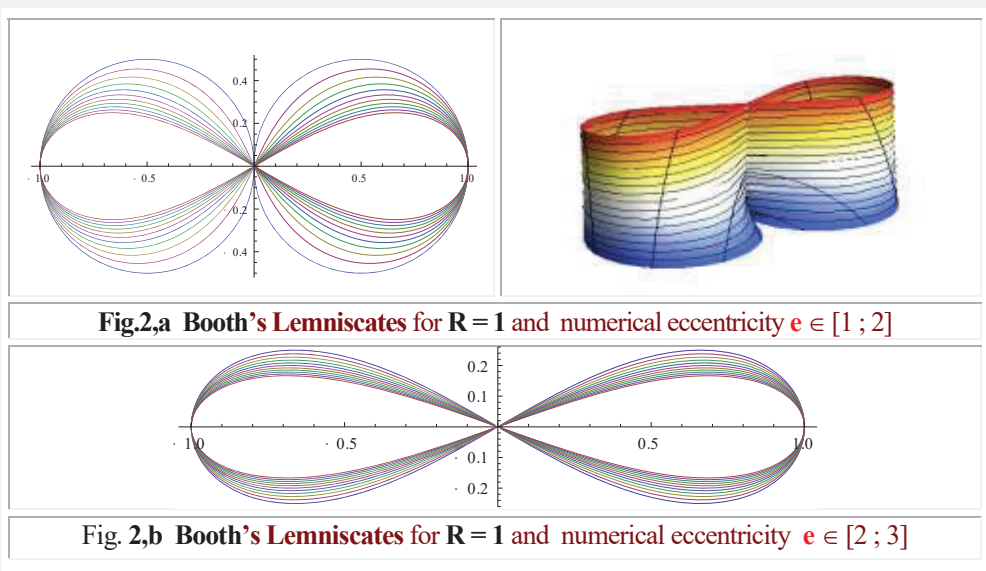
The points $W_{1,2}$ are seen under the angles $\alpha_{1,2}$ from $O(0,0)$ and under the angles θ and $\theta + \pi$ from $S(e, \varepsilon)$ and/or E . The straight line d is divided by $S \subset d$ in two semi-straight lines, one positive d^+ and the other negative d^- . Therefore, we can consider $r_1 = rex_1\theta$ a positively oriented segment on d ($\rightarrow r_1 > 0$) and $r_2 = rex_2\theta$ a negatively oriented segment on d ($\rightarrow r_2 < 0$) and in the sense of the negative semi-straight line d^- .

Trough simple trigonometric relations, in certain triangles $OEW_{1,2}$, or, more precisely, writing sine theoreme (as function of θ) and Pitagora's generalized theoreme (for $\alpha_{1,2}$ variables) in these triangles, immediatly we find the **invariant expressions** of the eccentric radial functions :

$$r_{1,2}(\theta) = rex_{1,2}\theta = -s \cdot \cos(\theta - \varepsilon) \pm \sqrt{1 - s^2 \sin^2(\theta - \varepsilon)} \quad \text{and}$$

$$r_{1,2}(\alpha_{1,2}) = Rex\alpha_{1,2} = \pm \sqrt{1 + s^2 - 2s \cdot \cos(\theta - \varepsilon)}$$

All **EC-FSM** has **invariant** expressions, and because this they don't need to be tabulated; tabulated being the centric functions, from **CM**, which help to express them. In all their expressions, we will find constantly, one of the square roots of previous expressions, of eccentric radial functions.



Finding these two determinations is simple : for + (**plus**) in the front of square roots we always obtain the first determination ($r_1 > 0$) and for the - (**minus**) sign we obtain the second determination ($r_2 < 0$). The rule is still available for all **EC-FSM**. By convention, the first determination, of index **1**, we can be use/write without index number.

About these **REX („King”)** functions, we have to make some observations:

P R E F A C E

The eccentric radial functions are the expression, in the plane, in polar coordinates, of the distance between two points: $\mathbf{S}(s, \varepsilon)$ and $\mathbf{W}_{1,2}(R=1, \alpha_{1,2})$, on direction of straight line \mathbf{d} , inclined by θ angle reported to \mathbf{Ox} axis;

- Therefore, with their help and only (exclusively) their, it can be expressed the equations of **All known plane curves**, as of other new ones, which appeared together with the birth of **ME**. An example is represented by **Booth's lemniscates** (see Fig. 2, a, b, c), expressed, in polar coordinates, by the equation:

$$\rho(\theta) = R(\text{rex}_1\theta + \text{rex}_2\theta) = -2s.R \cos(\theta - \varepsilon) \text{ for } R=1, \varepsilon=0 \text{ and } s \in [0, 3]$$

- Another consequence is the generalization of circle's definition: „The Circle is the plane curve which's M points we find at the distances $\mathbf{r}(\theta) = R.\text{rex}\theta = R.\text{rex}[\theta, \mathbf{E}(e, \varepsilon)]$ regarding to a certain point from the circle's plane $\mathbf{E}(e, \varepsilon)$ ”. If $\mathbf{S} \equiv \mathbf{O}(0,0)$, then $\mathbf{s} = \mathbf{0}$ and $\text{rex}\theta = 1 = \text{constant}$ and $\mathbf{r}(\theta) = R = \text{constant}$, the **classical definition** of the circle is obtained: points placed at the same R distance from de center of the circle.

- The **rex** θ and **Rex** α functions asserts the transfer functions of zero degree, or of position transfer, from the

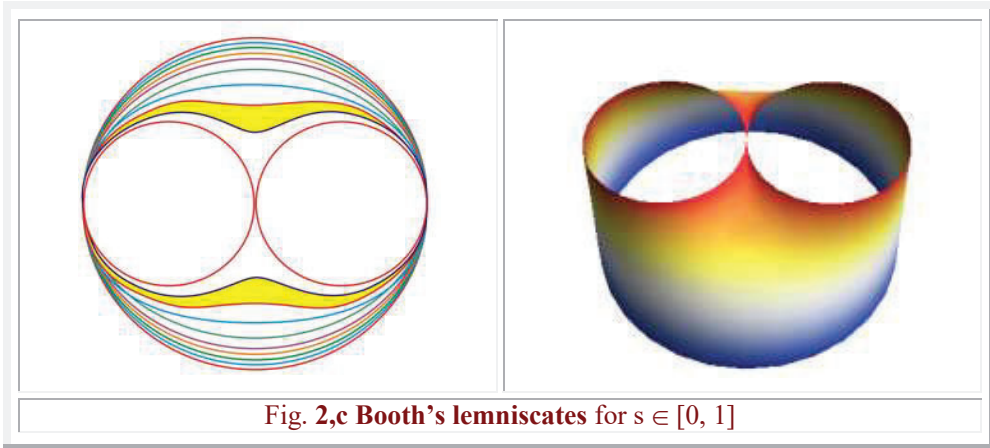


Fig. 2,c Booth's lemniscates for $s \in [0, 1]$

Mechanism theory, an it is the ratio between $R(\alpha_{1,2})$ parameter which position the conducted element $\mathbf{OM}_{1,2}$ and $R.r_{1,2}(\theta)$ parameter which position the leader element $\mathbf{EM}_{1,2}$. Between these two parameters, the following relations exists, which can simply deduced from fig 1, the defining of **EC-SMF** figure.

Between the position angles of the two elements, leader and leaded, the following relations exists:

$$\alpha_{1,2} = \theta \Upsilon \arcsin[e.\sin(\theta - \varepsilon)] = \theta \Upsilon \beta_{1,2}(\theta) = aex_{1,2} \theta \quad \text{and}$$

$$\theta = \alpha_{1,2} \pm \beta_{1,2}(\alpha_{1,2}) = \alpha_{1,2} \pm \arcsin\left[\pm \frac{s.\sin(\alpha_{1,2} - \varepsilon)}{\sqrt{1+s^2-2s.\cos(\alpha_{1,2} - \varepsilon)}}\right] = Aex(\alpha_{1,2}).$$

The functions $\mathbf{aex}_{1,2}\theta$ and $\mathbf{Aex}\alpha_{1,2}$ are the **EC-SMF** named **eccentric amplitude because** deoarece they can be used for defining **EC-SMF** cosine and sine eccentrics, as amplitude function or amplitudinus $\text{am}(k,u)$ is used for defining of elliptical **Jacobi** functions: $\text{sn}(k,u) = \sin[\text{am}(k,u)]$, $\text{cn}(k,u) = \cos[\text{am}(k,u)]$, or :

$$\begin{aligned} \mathbf{cex}_{1,2}\theta &= \cos(\mathbf{aex}_{1,2}\theta), & \mathbf{Cex}\alpha_{1,2} &= \cos(\mathbf{Aex}\alpha_{1,2}) \quad \text{and} \\ \mathbf{sex}_{1,2}\theta &= \sin(\mathbf{aex}_{1,2}\theta), & \mathbf{Sex}\alpha_{1,2} &= \cos(\mathbf{Aex}\alpha_{1,2}) \end{aligned}$$

- The radial eccentric functions can be considered as modules of the position vectors $\vec{r}_{1,2}$ of the points $\mathbf{W}_{1,2}$ from the unit circle $\mathbf{C}(\mathbf{1},\mathbf{O})$, vectors expressed trough the following relations :

$\vec{r}_{1,2} = \mathbf{rex}_{1,2}\theta \cdot \mathbf{rad}\theta$, where $\mathbf{rad}\theta$ is the unit vector of variable direction or the versor / **fazor** of \mathbf{d}^+ straight line direction, which derivative is the fazor $\mathbf{der}\theta = \mathbf{d}(\mathbf{rad}\theta)/\mathbf{d}\theta$ and is representing normal vectors on the straight lines $\mathbf{OW}_{1,2}$, directions, tangents to the circle in $\mathbf{W}_{1,2}$ points. They are named the **centric derivative fazors**. Meanwhile, the modulus of $\mathbf{rad}\theta$ function is the corresponding in **CM** of the function $\mathbf{rex}\theta$ for $\mathbf{s} = \mathbf{0} \rightarrow \theta = \alpha$ when $\mathbf{rex}\theta = \mathbf{1}$ and $\mathbf{dera}_{1,2}$ are the tangent versors to the unit circle in $\mathbf{W}_{1,2}$ points.

- The derivative of the $\vec{r}_{1,2}$ vectors are the speed vectors $\vec{v}_{1,2} = \frac{d\vec{r}_{1,2}}{d\theta} = \mathbf{dex}_{1,2}\theta \cdot \mathbf{dera}_{1,2}$ of the $\mathbf{W}_{1,2} \subset \mathbf{C}$ points in their rotating motion on the circle, with speeds of variable modulus $\mathbf{v}_{1,2} = \mathbf{dex}_{1,2}\theta$, when the generating straight line \mathbf{d} is rotating around the eccentric \mathbf{S} with constant angular speed and equal with the unity, namely $\Omega = \mathbf{1}$. The speed vectors has the previously presented expressions, where $\mathbf{dera}_{1,2}$ are the fazors of centric radiuses $\mathbf{R}_{1,2}$ of module $\mathbf{1}$ and of $\alpha_{1,2}$ directions. The expressions of the functions **EC-SM** $\mathbf{dex}_{1,2}\theta$, **eccentric derivative of θ** , are, meanwhile, also the $\alpha_{1,2}(\theta)$ angles derivatives, as function of the motor or independent variable θ , namely

$$\begin{aligned} \mathbf{dex}_{1,2}\theta &= \mathbf{d}\alpha_{1,2}(\theta)/\mathbf{d}\theta = \mathbf{1} - \frac{s \cdot \sin(\alpha_{1,2} - \varepsilon)}{\pm \sqrt{1 + s^2 - 2s \cdot \cos(\alpha_{1,2} - \varepsilon)}} \quad \text{as function of } \theta \text{ and} \\ \mathbf{Dex}\alpha_{1,2} &= \mathbf{d}(\theta)/\mathbf{d}\alpha_{1,2} = \frac{1 - s \cdot \cos(\alpha_{1,2} - \varepsilon)}{1 + s^2 - 2s \cdot \cos(\alpha_{1,2} - \varepsilon)} = \frac{1 - s \cdot \cos(\alpha_{1,2} - \varepsilon)}{\mathbf{Rex}^2\alpha_{1,2}}, \end{aligned}$$

as functions of $\alpha_{1,2}$.

It was demonstrated that the **eccentric derivative EC-SM** functions shows the first order transfer functions, or angular speeds, from the Mechanisms Theory, for **all (!)** known plane mechanisms.

- The radial eccentric function $\mathbf{rex}\theta$ exactly express the movement of push-pull mechanism $\mathbf{S} = \mathbf{R} \cdot \mathbf{rex}\theta$, which motor connecting rod has the \mathbf{r} , length, equal with the real eccentricity \mathbf{e} and the length of the crank is equal with the radius of the circle \mathbf{R} , a such well-known mechanism, because it is a component of all automobiles, except those with Wankel engine. The applications of radial eccentric functions could continue, but we will insist on more general applications of **EC-SMF**.

Concrete, to the uniques forms of circle, square, parabola, ellipse, hyperbola, different spirals, etc from **CM**, grouped now under the name of **centrics**, correspond an infinity of the same type of **eccentrics**: circular, square (quadrilobe), parabolic,

P R E F A C E

elliptic, hyperbolic, spiral **eccentrics**, etc. Any **eccentric**, for null eccentricity ($e = 0$), is degenerating into a **centric**, which represents, at same time, it's **generating** curve. Therefore, the **CM** himself belongs to **EM** for the unique case ($s = e = 0$), from the infinity possible cases where it can be placed, in the plane, a point named **eccenter** **E(e, ε)**. In this case, **E** is superposing on one or two points named **center** : the **origine** **O(0,0)** of a frame of a referential system, and/or the **center** **C(0,0)** of the unit circle, for circular functions, or, respectively, the symmetry center of the two arms of the equilateral hyperbola, for hyperbolic functions.

It was enough that a point **E** be expelled from the center (**O** and/or **C**) and from the **MC** world appears a new world of **EM**, and the reunion of these two worlds give birth to the **SM** world. And this occurred in the town of Romanian Revolution from 1989, **Timișoara**, the same town where at November 3-th, 1823 **Janos Bolyai** wrote : „From **nothing** I've created a new world”. With these words, he announced the discovery of the fundamental formula of the first **non-euclidean geometry**.

He – from nothing, me – from the collective effort to multiply the periodical functions, functions which are necessary to an engineer to describe some periodical phenomena. In this way, I have completed the mathematics with new objects.

If **Euler**, when defined the trigonometric functions, as direct circular functions, wouldn't be chosen **three superposed points** : the origine **O**, the center of the circle **C** and **S** as a pole of a semistraight line, which intersects the trigonometric/unit circle, the **FSM-CE** could be known much earlier, maybe under other name. Depending on the way to „**split**” (we separate one point by one of the superposed ones, or all of them), the following types of **SMF** appears: **O ≡ C ≡ S → Centric functions belonging to CM** ; and those which belong to **EM** are :

O ≡ C ≠ S → Eccentric Circular Supermathematics Functions (EC-SMF);

C ≠ O ≡ S → Elevated Circular Supermathematics Functions (ELC-SMF);

O ≠ C ≠ S → Exotic Circular Supermathematics Functions (EXC-SMF);

These **new mathematics complements**, joined together under the **temporary** name of **SM**, are tools or instruments of extreme utility, of a long ago waiting, the proof being the large number and the diversity of periodical functions introduced in mathematics, and the way sometimes complicated to reach them, trying to substitute the circle with other curves, most of them closed.

For obtaining some special and periodical new functions, it was tried the replacement of trigonometric circle with a **square** or a **diamond**. This was the proceeding of the former chief of Mathematics Department from Mechanics College from Timișoara, prof. Dr. Mat. **Valeriu Alaci**, discovering the **square** and **diamond** shape trigonometric functions.

Hereafter, mathematics teachers **Eugen Vișa** introduced the **pseudo-hyperbolic** functions, and **M.O. Enculescu** defined the **polygonal** functions, replacing the circle with a n-sided polygon; for $n = 4$ he obtained the square **Alaci** trigonometric functions.

Low, the Romanian origin American mathematician, Prof. **Malvina Baica** from University of Wisconsin together with **Mircea Cârdu**, completed the gap between the

circular **Euler** functions and **Alaci** square functions, with the so-called **Periodic Transtrigonometric Functions**.

The russian mathematician **Marcusevici** describe, in his work “**Remarcable sine functions**” the **generalized trigonometric functions** and the **lemniscate**.

Even since 1877, the german mathematician **Dr. Biehringer**, replacing right triangle with an oblique triangle, defined the **inclined** trigonometric functions.

The romanian origin british scientist ing. **George (Gogu) Constantinescu** replaced the **circle** with the **evolvent** and defined the **romanian** trigonometric functions: **romanian cosine** and **romanian sine**, expressed by $\text{Cor } \alpha$ and $\text{Sir } \alpha$ functions, which helped him to resolve exactly some non-linear differential equations of the Sonicity Theory, created by him-self. And how little known are all these functions even in Romania!

The elliptical functions are defined on an ellipse. A rotated one, with the main axis along Oy axis.

How simple can become, and, as a matter a fact, are the complicated things ! This **paradox(ism)** suggest that by the simple displacement/expulsion of a **point from a center** and trough the apparition of the **eccenter**, a new world may appear, the world of **EM** and, concurrently, a new Universe, the **SM Universe**.

Notions like „**Supermathematics Functions**” and „**Functii circulare excentrice**” appeared on most search engines like Google, Yahoo, Altavista a.a, since the birth of Internet. The new notions, like **cuadrilobe** „quadrilobas”, which help to name the **eccentrics** which continuously fill the space between a **circle** and a **square**, circumscribed to the circle, were included in Mathematics Dictionary.

The cross of the **cuadriloba** with the straight line **d** generate the new functions called **cosine cuadrilobe-ic** and **sine cuadrilobe-ic**.

The benefits of **SM** in science and technology are too numerous to show them all here. But we are please to remind that **SM** wipe the boundaries between **linear** and **non-linear**; The linear belongs to **CM**, and the non-linear is the appanage of **EM**, like between **ideal** and **real**, or between **perfection** and **imperfection**.

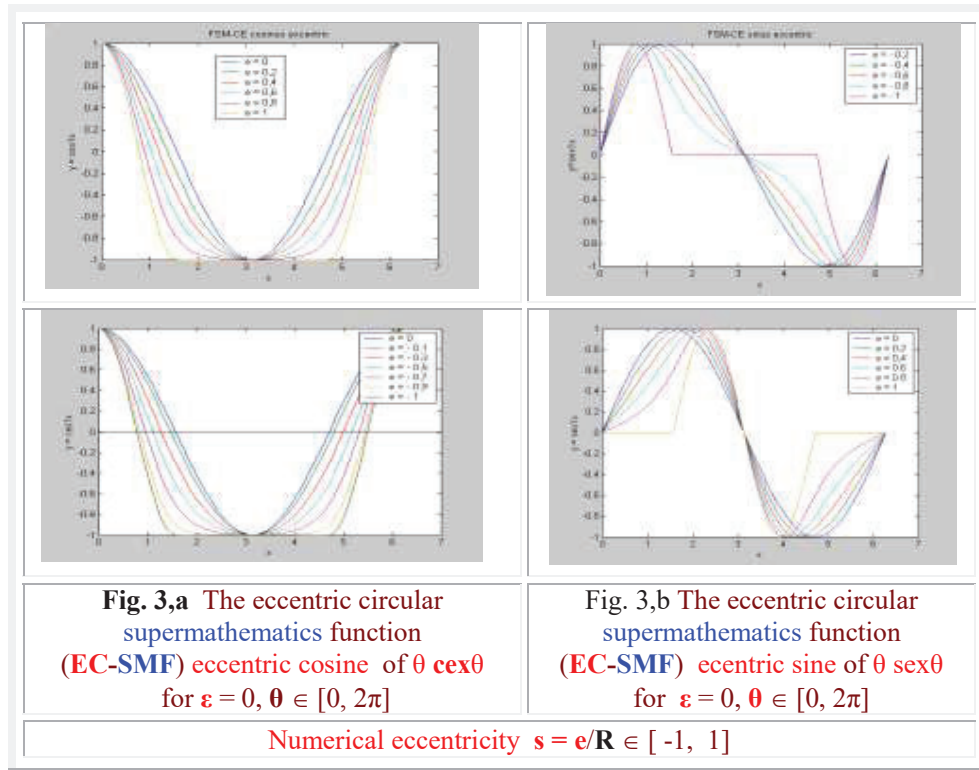
It says that **Topology** is the mathematics which doesn't make the difference between a pretzel and a tea cup. Well, **SM** doesn't make the difference between a **circle** ($e = 0$) and a **perfect square** ($s = \pm 1$), between a **circle** and a **perfect triangle**, between an **ellipse** and a **perfect oblong**, between a **sphere** and a **perfect cube**, a.a; with the same parametric equations it can be obtained besides the **ideal** forms of **CM** (circle, ellipse, sphere a.a) , as the **real** ones (square, oblong, cube, a.a.).

For $s \in [-1,1]$, in the case of eccentric variable **θ** , as in the case of centric variable **α** , for $s \in [-\infty, +\infty]$, it can be obtained in infinity of intermediate forms, like square, oblong or cube with rounded corners and slightly curved sides or, respectively, faces. What makes easier to use the new **SM** functions for drawing and representing some technical parts, with rounded or splayed edges, in the programmes **SM – CAD / CAM**, which doesn't use the computer any more as a drawing board, but make the technical object at once, trough parametric equations, with remarcable consequences memory spare ; Only the equations are memorized, not the vaste number of pixels which define/bounds a technical piece.

P R E F A C E

The numerous presented functions, being for the first time introduced in mathematics, for an easier fixing in memory, the author considered as necessary a short presentation of their equations, so anyone wants to contribute to their application development, can do it.

SM is not a finished work, it's still an **introduction** in this vast domain, a first step, a small author's step and a giant leap for mathematics.



The **elevated circular SM functions (ELC-SMF)**, named so because trough modification of numarical eccentricity s the points of the curves of elevated sine functions $sel\theta$ as of the elevated circular function elevated cosine $cel\theta$ is elevating – in other words it rise on the vertical, getting out from the space $\{-1, +1\}$ of the other sine and cosine functions, central or eccentrical.

The plots of the functions $cex\theta$ and $sex\theta$ are shown in fig. 3, where it can see that the points of these plots are modifying in horizontal direction, all of them remaining in the space $[-1, +1]$, named domain of existence of these functions.

The plots of $cel\theta$ and $sel\theta$ functions can be simply represented by the products:

$$cel_{1,2}\theta = rex_{1,2}\theta \cdot \cos\theta \quad \text{and} \quad Cel_{\alpha,1,2} = Rex_{\alpha,1,2} \cdot \cos\theta$$

$$se_{1,2}\theta = rex_{1,2}\theta \cdot \sin\theta \quad \text{and} \quad Sela_{1,2} = Rexa_{1,2} \cdot \sin\theta$$

and are shown **fig. 4**.

The most general **SM** are the **exotic circular functions** which are defined on an unit circle un-centered in the origin of axis system **xOy** neither in the eccentric **S**, but in a certain point **C(c, γ)** from the unit circle plane, with the polar coordinates **(c, γ)** in the coordinate system **xOy**.

Many of the drawings from this album are made with **EC-SMF** of variable eccentric and with arcs which are *n* multiples of **θ (n.θ)**. The used relations, for each particular case, are explicitly shown, in most cases using the **centric** mathematical functions, which trough, as we could see, can be expressed all **SM** functions, especially when the visualisation programs cannot use **SMF**.

This doesn't means that, in the future, the new math complements will not be implemented in computers, for largely expand their useful domain.

Neither the specialists in making computer assisted design programs **CAD/CAM/CAE**, won't be late too much to make these new programs, fundamantaly differents, trough which the technical objects are made with parametric **circular** or **hyperbolic SMF**'s, in the way there are examplified some achievements such as airplanes, buildings, etc in <http://www.supermatematica.ro>;

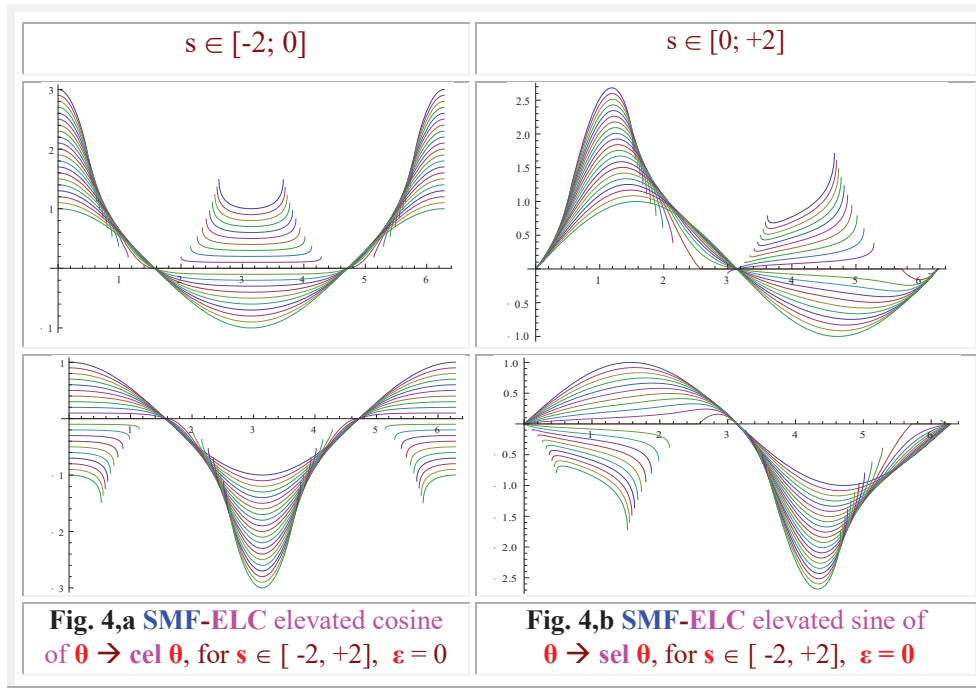
www.eng.upt.ro/~mselariu and www.supermathematica.com and how a washer can be represented asaa toroid eccentricity (or an "eccentric torus"), square or oblong in an axial section, and, respectively, a square plate with a central square hole can be a "square torus of square section". And all these, because **SM** doesn't make distinction between a circle and a square or between an ellipse and an oblong, as said before.

But the most important achievements can be obtained in science trough solutioning some non-linear problems, because **SM** reunite in a single entity these two domains, such different in the past. Among these, the non-linear domain ask ingenious approaches for each particular problem. Therefore, in the domain of vibrations, static elastical characteristics (**SEC**) soft non-linear (regressive) or hard non-linear (progressive) can be simply obtained writing $y = m \cdot x$, only **m** is not anymore $m = \tan \alpha$ as in linear case ($s = 0$), but $m = tex_{1,2}\theta$ and depending on numerical eccentricity **s** sign, postive or negative, or for **S** placed on negative x axis ($\epsilon = \pi$) or on positive x axis ($\epsilon = 0$), the two nonlinear elastical characteristics is obtained, and obviously for $s=0$ a linear CES will be obtained.

Because the functions **cexθ** and **sexθ**, as **Cexα** and **Sexα** and their combinations, are solutions of some differntial equations of second order with variable coefficients, it being stated that **even** for $s = \pm 1$, and not only for $s = 0$, linear systems (Cebasev) are obtained. At these, the mass (**M** point) is rotating on the circle with a double angular speed $\omega = 2 \cdot \Omega$ (reported to the linear system of $s = 0$ at $\omega = \Omega = \text{constant}$) a half of a period, and in the other half of period stops in the point **A(R,0)** for $e = sR = R$ or $\epsilon = 0$ and in the point **A'(-R, 0)** for $e = -s \cdot R = -1$, or $\epsilon = \pi$. In this way, the oscilation period **T** of the **three linear systems** is the same and equal with $T = \Omega / 2\pi$ For the others values, intermediates, of **s** and **e** the nonlinear **CES** systems are obtained. The projection, on any direction, of the rotating motion of **M**

P R E F A C E

point on \mathbf{R} radius circle, equal with the oscillation amplitude, with variable angular speed $\omega = \Omega \cdot \mathbf{dex} \theta$ (after $\mathbf{dex} \theta$ function) is an **non-linear** oscillating motion.



The apparition of „king” function $\mathbf{rex} \theta$ and of his properties made easier the apparition of a **hybrid** method (analytico-numerical), through which a simple **relation** was obtained, with only two terms, to **calculate** the first kind complete elliptic integral $\mathbf{K}(\mathbf{k})$, with an unbelievable precision, with minimum **15 accurate decimals**, after only 5 steps. Making the next steps, can lead to a new relation to calculate $\mathbf{K}(\mathbf{k})$, with a considerable higher precision and with the possibility to expand the method to other elliptic integrals and not only to these. The relation of $\mathbf{E}(\mathbf{k})$ after 6 steps has the same precision to calculate.

The apparition of **FSM** facilitated the apparition of a new integration method, named **integration through the differential dividing**.

We will stop here, letting you the pleasure to delight yourselves looking the drawings of this album.

The Autor

Mircea Eugen Şelariu selariume@gmail.com; selariu_m@yahoo.ro

www.supermatematica.com; www.supermatematica.ro; www.supermatematica.org;
www.supermatematicaonline.blogspot.ro

ABREVIERI și NOTĂȚI
utilizate în cuprinsul lucrării

A B R E V I E R E A			
MARIMILOR GEOMETRICE		FUNCTIILOR F	
A	Amplitudine	Am, am	F Amplitudinus
AI	Autoindus(e)	amh	Am hiperbolică
B	Beta	amhex	Amh excentrică
βSOE	Beta sistem oscilant excentric	aex	FSM-CE amplitudine excentrică de VE (θ sau x)
C	Cerc ∨ Centric ∨ Circular	aexai	Aex autoindusă
CC	Circular Centric	Aex	FSM-CE amplitudine excentrică de VC (α sau y)
CE	Circular Excentric	bex	FSM-CE beta excentrică de VE
CEI	Circulare Elevate	Bex	FSM-CE beta excentrică de VC
CEx	Circulare Exotice	ce	Cosinus eliptic definit pe cerc
CT	C Trigonometric	ceex	Cosinus eliptic excentric
CU	C Unitate	ceai	Ce utoindusă
D	Direcție ∨ Dreapta	cel	FSM-CEI cosinus (elevat) de VE
DR	D Radială	Cel	FSM-CEI cel de VC
DRC	DR Centrică (D⁺ ∪ D⁻)	celh	FSM-HEl cosinus hiperbolic elevat de VE
DRE	DR Excentrică (d⁺ ∪ d⁻)	Celh	FSM-HEl celh de VC
E	Excentru ∨ Excentrice Integrala eliptică de speța a doua	cex	FSM-CEx cosinus (excentric) de VE
e	Excentricitatea liniară reală	Cex	FSM-CE cex de VC
El	Elevate	cexai	Cosinus excentric autoindus de VE
Ex	Exotice	Cexai	Cosinus excentric autoindus de VC
F	Funcție ∨ Final	cexh	FSM-HE cosinus hiperbolic de VE
f	final	Cexh	FSM-HE cexh de VC
FAI	F autoindusă	cexoh	FSM-HEx cosinus hiperbolic de VE

A B R E V I E R I

FAIC	FAI Centrică	Cexoh	FSM-HEX cosinus hiperbolic de VC
FAIE	FAI Excentrică	ci	Cosinus intratrigonometric
FC	F Circulare	ciex	Cosinus intratrigonometric excentric de VE
FCC	F Circulare centrice	cos, sin	Cosinus și sinus centrice
FCE	FC Excentrice	Ciex	Cosinus intratrigonometric excentric de VC
FCEI	FC Elevate	cosai	Cosinus autoindus
FCEx	FC Exotice	cotai	Cotangenta autoindusă
FE	F Eliptice	ctexai	Cotangenta excentrică de VE
FEC	FE Centrice	Ctexai	Cotangenta excentrică de VC
FEE	FE Excentrice	cexai	Cosinus excentric autoindus de VE
FG	F Gudermann , F Gheorghiu Em. Octav	Cex	Cosinus excentric autoindus de VC
FGC	FG Centrice	Cexai	Cosinus excentric autoindus de VC
FG E	FG Excentrice	cqa	FSM-CC cosinus cuadrilob Alaci Valeriu
FH	F Hiperbolice, F Hibride	coq	FSM-CC cosinus cuadrilob
FHC	FH Centrice	cscai	Cosecanta autoindusă
FHE	FH Excentrice	csci	Cosecanta indusă
FHSM	FH superMatematice	cscex	Csc excentrică de VE
FHSMC	FHSM Centrice	Cscex	Csc excentrică de VC
FHSME	FHSM Excentrice	ctex	FSM-CE tangentă excentrică de VE
FI	F Indusă	Ctex	FSM-CE ctex de VC
FIT	F IntraTrigonometrică	der	FCC derivata ($\text{der}(x) = i.e^{ix}$)
FM	F Matematice	dex	FSM-CE derivat excentric
FMC	FM Centrice	Dex	FSM-CE dex de VC
FME	FM Excentrice	del	FCC delta, $\text{del}(x,k) = (1 - k^2 \sin^2 x)^{0.5}$
FP	F Periodică	der	FCC derivata ($\text{der}(x) = i.e^{ix}$)
FSM	Funții SuperMatematice	dex	FSM-CE derivat excentric
FSm	F Smarandache Florentin	Dex	FSM-CE dex de VC
FT	F Trigonometrică	dexai	dex autoinduse de V E

FTC	FT Centrică	Dexai	Dex autoinduse de VC
FTE	FT Excentrică	rad	FCC Radial centric de VC ($\text{rad}(x) = e^{i \cdot x}$)
FTT	F TransTrigonometrică	rexai	FSM-CE radial excentric autoindusă de VE
G	Gudermman, Gheorghiu O.	Rexai	FSM-CE radial excentric autoindusă de VC
H	Hiperbolă \vee hiperbolic	se	Sinus eliptic de variabilă circulară
i	Inițial	sel	FSM-CEI sinus elevat de VE
I	Indus(e)	Sel	FSM-CEI sinus elevat de VC
IT	IntraTrigonometric	selh	FSM-HEI sinus hiperbolic elevat de VE
K	Integrala eliptică de prima speță	Selh	FSM-HEI sinus hiperbolic elevat de VC
k	Modulul integralelor și a F eliptice,	sex	FSM-CE sinus excentrice de VE
M	Matematică	Sex	FSM-CE sinus excentrice de VC
m	Modulul integralelor și a F eliptice	seex	Sinus eliptic excentric de variabilă circulară
MC	M Centrică	sexai	Sex autoindus de VE
ME	M Excentrică	Sexai	Sex autoindus de VC
MEI	M Elevată	sexi	Sex indus de VE
MEx	M Exotică	Sexi	Sex indus de VC
O	Originea	sexo	FSM-CEx sinus exotic de VC
Q	Quadrilob , Cvadrilob	Sexo	FSM-CEx sinus exotic de VC
R	Rază constantă (în modul)	sexh	FSM-HE sinus hiperbolic excentric de VE
r	R variabilă (în direcție și modul)	Sexh	FSM-HE sinus hiperbolic excentric de VC
S	Super \vee Solar \vee Excentrul CU	sexoh	FSM-HEx sinus hiperbolic exotic de VE
s	Excentricitatea liniară numerică	Sexoh	FSM-HEx sinus hiperbolic exotic de VC
SM	SuperMatematica	si	Sinus intratrigonometric
Sm	Smarandache	siex	Sinus intratrigonometric excentric de VE
T	Tangent(ă)	Siex	Sinus intratrigonometric excentric de VC
TV	T Voinoiu	siq	FSM-CC sinus quadrilob

A B R E V I E R I

TT	TransTrigonometric	sqa	FSM-CC sinus cuadrilob Alaci Valeriu
V	Variabilă Voinoiu	tel	FSM_CEI tangenta elevata de VE
VC	V Centrică	Tel	FSM-CEI tangenta elevata de VC
VE	V Excentrică	tev	FCE Noua tangenta excentrica Voinoiu de VE
		Tev	FCE noua tangenta excentrica Voinoiu de VC
		tex	FSM-CE tangenta excentrica de VE
		Tex	FSM-CE tangenta excentrica de VC
		texai	Tangenta excentrică autoindusă de VE
		Texai	Tangenta excentrică autoindusă de VC

1 INTRODUCERE

Motto: “**CREAȚIA**- singurul surâs al tragediei noastre”
Lucian Blaga

Capitolul 1. INTRODUCERE

1.1 ESENȚA (**SUPER**)MATEMATICHII (SM) : TRECEREA DE LA **CENTRIC** LA **EXCENTRIC** ȘI REUNIUNEA CELOR DOUĂ DOMENII

Omenirii i-au trebuit aproape 100 de ani ca să ia în serios teoria heliocentrică a lui **Nicholaus Copernic** (1514) și mult mai mult timp pentru a o înțelege și a o accepta. Și aceasta, pentru că orice prost poate să știe, dar numai cei inteligenți și înțeleg. Și pentru că vedem soarele cum, aparent, se deplasează pe bolta cerească, ca și Luna și stelele, iar pentru înțelegerea realității, a adevărului, avem nevoie de cunoaștere, de știință și, toate acestea, presupun un efort de gândire. Gândirea, o spune **Sorin Comoroșan**, care și-a câștigat, prin creația sa, dreptul la cuvânt, este nu numai una dintre cele mai nobile activități umane, dar și una dintre cele mai grele. Nici **supermatematica (SM)** n-a avut o soartă mai bună. I-au fost necesari peste 45 de ani de acumulari cantitative pentru a se cristaliza și a prinde viață într-o carte. În cartea de față, în cea de a 3-a ediție, din **Editura Matrix Rom**.

Să nu ne mirăm că, în scurta sa existență, la scară cosmică, și extrem de îndelungată, raportată la durata de viață a unui om, omenirea n-a creat decât două lumi noi, lipsite, până de curând, de o a treia dimensiune – **inteligența**.

Trezit într-o lume dinamică și agresivă, omul, ca și toate viețuitoarele pământului, sunt într-o continuă luptă de supraviețuire: **care pe care**. Provenit, zice-se, din maimuță, cu darul de-a imita și călăuzit, în scurta sa existență, de minunata aventură a cunoașterii, cele două lumi noi, **create** de om, sunt

☀ **ETNOSFERA** – lumea simbolurilor și a limbajelor și

⚙ **TEHNOSFERA** – lumea uneltelor (mașini, dispozitive, aparate, scule)

prin care el, omul, se bazează în lupta sa de supraviețuire și apoi de cucerire și de dezvoltare a supremației în lume / cosmos.

O **a treia lume**, a **mecatronicii** și a **integronicii**, rezultată din combinarea tehnologiilor mecanice cu cele electronice și cu informatica, este în curs de formare. Ea și-a impus **inteligența** ca atribut și dimensiune suplimentară a dezvoltării sale și criteriu de apreciere a calității ei. Apariția ei ar fi fost de neconceput fără dezvoltarea uneia dintre cele mai mari creații ale genului uman – **matematica**.

Matematica, care este **inteligentă în stare pură**, este în curs de dezvoltare și de transformare într-o **super→matematică**, transformare la care aspiră și lucrarea de față.

Așa cum a demonstrat **Claude Levi-Strauss**, trecerea de la **natură** la **cultură** presupune aptitudinea de a utiliza **simboluri** (“*La Science des symboles*” René Alléau.)

1 INTRODUCERE

O componentă esențială a gândirii umane abstracte o constituie limbajul. El ne oferă posibilitatea de-a gândi clar, concis și fără dificultăți, despre concepte din ce în ce mai abstracte și mai sofisticate. “**Matematica**, cea care permite **simplitatea** atractivă și **concizia** expresiei - necesare pentru o discuție a legilor fizicii și a consecințelor lor, este însăși **limbajul fizicii**” [Curs de fizica Berkley, Vol.1 Mecanica, p.26].

Acceptând, astăzi, teoria **Big Bang**-ului, înseamnă că suntem pe această **planetă albastră**, numită **Pământ**, ca pe o navă cosmică, în zbor continuu și halucinant spre necunoscutul denumit viitor, oricare ar fi el, în spații ale căror dimensiuni savanții le multiplică neconținut. Dacă nu putem să ne oprim, pentru a gândi, atunci măcar să gândim din mers, la îndemnul lui **S. Comoroșan**, și în mare viteză, la perpetua întrebare: **cine suntem, de unde venim, încotro ne îndreptăm** și în ce stadiu de dezvoltare se află **inteligenta** noastră, adică **matematica** ?

Prezenta lucrare este un răspuns concret la ultima întrebare : **matematica** suferind o explozie, **nemaîntâlnită în istoria ei**, un salt **de la unu la infinit**, sau de la **matematica centrică (MC)**, actuală, de dimensiunea topologică zero - a unui punct $O(0,0)$, dintr-o suprafață plană - la **matematica excentrică (ME)** – de dimensiune topologică de minim doi - a unei suprafețe - și, de aici, totodată, la **supermatematică (SM)**.

Se poate demonstra, matematic, că ordinea perfectă și haosul perfect (absolut sau desăvârșit) reprezintă una și aceeași stare, sau unul și același obiect: **sfera matematică** – perfectă și nemărginită. Spunem **perfectă**, pentru că, acum, odată cu apariția **SM**, sfera perfectă și cubul perfect, ca și cercul și pătratul perfect, pot fi exprimate prin aceleași ecuații parametrice și, între ele, mai există o infinitate de **excentrice sferice** sau ”sfere excentrice”. Excentricitatea **e** sau **s** asigurând diferența: **e = s = 0** reprezentând **sfera** și **cercul**, iar **s = e / R = ± 1** sau **e = R** (raza sferei) reprezentând **cubul** și **pătratul**. Între **e = s = 0** și **e = R**, sau excentricitatea numerică **s = e/R = ± 1**, există o infinitate de forme intermediare, care reprezintă o transformare continuă a unei sfere într-un cub perfect, ca și a unui cerc într-un pătrat perfect, sau invers. Pentru $s \in [-\infty, +\infty]$, apar și mai multe entități, dar nu toate sunt curbe închise.

Astfel de transformări, ca și multe altele, sunt vizibile pe website-urile :

www.supermatematica.ro; www.supermathematica.com; www.supermathematica.org;
www.supermatematicaonline.blogspot.ro.

Sfera este, prin natura ei, un obiect neorientabil, De exemplu, o bilă de rulment, este deja gata ordonată, deoarece este lipsită de elemente de tipul axelor de simetrie (distincte) și având gradul de dezordine maximă a ordonării (D_{MO}) cel mai redus posibil: $D_{MO} = 0$.

Nu se poate afirma că o bilă sferică este cu capul în sus sau în jos, că este rotită spre stânga sau spre dreapta ș.a.m.d., pentru că nu are « **excentricitatea** » sau excrescența numită cap sau coadă. Sfera matematică, indiferent de dimensiunea ei, reprezintă, în acest caz, **ordinea perfectă** sau **dezordinea minimă**.

Ordonarea obiectelor de lucru, s-a dovedit a fi cel mai complex proces de automatizare, ultimul realizat în tehnică, de-abia parțial, prin care s-a închis lanțul proceselor complet și complex automatizate și s-a deschis calea robotizării,

1 INTRODUCERE

cibernetizării, mecatronizării și s-a deschis calea apariției sistemelor integrate, sistemelor de producție, în care omul devine anacronic, cu consecințe viitoare greu de imaginat, sesizabile deja.

Complexitatea procesului de ordonare a obiectelor poate fi exprimată de **raportul convențional de complexitate K_C** , a cărui expresie este (Mircea Șelariu, « **DISPOZITIVE DE AUTOMATIZARE A PROCESELOR DE PRODUCTIE** », Cap. 20 din « **PROIECTAREA DISPOZITIVELOR** » coordonator Vasii-Roșculeț Sanda, EDP, Buc., 1982, pag. 573 ... 664) raportul dintre coeficientul de complexitate al obiectului ideal K_I și a celui real K_R , adică $K_C = K_I / K_R$, ambii coeficienți determinându-se cu relația :

$$(1.1) \quad K_{I,R} = 1 + 1.A_2 + 2.A_3 + 3.A_4 + \dots + (n-1).A_n + \dots$$

în care A_n reprezintă numărul de axe de simetrie de ordinul n pe care le are obiectul **real** și, respectiv, cel **ideal**, din grupa în care se încadrează obiectul real.

Un obiect prezintă o axă de simetrie de ordinul n dacă, prin rotirea lui, în jurul acestei axe, cu $2\pi / n$, obiectul se va oglindi / proiecta identic pe un plan oarecare.

Dezordinea, ca și **haosul**, care reprezintă o dezordine maximă, conform relației (1.1), cresc cu creșterea numărului axelor de simetrie ale obiectelor și cu ordinul n al acestora. Dar, tot sfera matematică prezintă o infinitate de axe de simetrie de ordin maxim (infinit), deoarece, o rotire oricât de neînsemnată, în jurul unei axe imaginare, ce trece sau nu prin centrul sferei, nu modifică cu nimic oglindirea sub formă de disc circular / cerc a sferei pe un plan.

În spațiul unei astfel de **sferă amfotere**, de rază nedeterminată, **spațiul** nu există din cauza **haosului** și **timpul** nu poate exista din cauza **ordinii perfecte**; **timpul** fiind perceput numai dacă spațiul este ocupat și scurgerea lui este sesizabilă numai prin schimbarea a ceea ce îl ocupă.

Această **sferă nevăzută**, absolut transparentă, pare a fi un **nimic**. Dar, din « nimic » s-a născut întregul univers. Acest nimic este de fapt « totul ». Să nu uităm că, așa cum se zice că s-ar fi constatat prin observații recente, un orificiu spațio-temporal, numit **gaură neagră**, de dimensiunea unui graunte de nisip, în acest moment, « înghite » galaxii întregi. Impresia că o întregă galaxie **trece printr-o gaură neagră**, ca prin « urechea unui ac », este o iluzie falsă. De fapt nu « înghite », pentru că « *nimic nu dispare și nimic nu apare, ci totul se transformă* ». În acest punct, are loc fie un proces de ordonare, încă nedesăvârșit, care se termină mai rapid decât în mod obișnuit, într-o ordine perfectă, fie că are loc un proces de revenire, la fel de rapid, la starea inițială a dezordinii absolute, din care s-a pornit, ceea ce conduce la același obiect nevăzut.

Albul imaculat este un amestec al tuturor culorilor ! Sticla, cel mai transparent material, se obține din nisip. **Organizarea** face diferența ! Nisipul rămâne în sticlă, nu dispare! Adică, se modifică poziția / organizarea reciprocă a diverselor elemente componente în cadrul sistemului, ceea ce este dat de dimensiunile de coordonare sau excentricitatea, într-un sens mai general, ale părților componente. Un cilindru și o țevă cilindrică (la care cele două corpuri cilindrice, cel plin și cel gol, au axele coliniare, adică situate la distanța $e = 0$) au același centru de simetrie și același grad de

1 INTRODUCERE

dificultate al ordonării, deci, aceeași dezordine maximă $D_{MO} = 2$. Dar, dacă unul dintre aceste obiecte își pierde centrul de simetrie, prin existența unui orificiu excentric, la distanța e față de fostul centru de simetrie, atunci dezordinea lui se amplifică. Este, deci, suficientă apariția unei **excentricități** e , oricât de reduse, pentru ca un proces de ordonare să înceapă, sau, dimpotrivă, să revină la starea inițială de haos, sensul procesului depinzând de semnul excentricității.

« **Nava** » noastră cosmică, **Pământul**, se deplasează în sensul în care dezordinea se transformă în ordine, entropia sistemului scade și organizarea sistemului urcă pe trepte din ce în ce mai înalte și saltă de pe un nivel de organizare pe un altul, din ce în ce mai complex, cu inteligență din ce în ce mai ridicată, complexitatea fiind o caracteristică a tuturor sistemelor. Complicarea, mai ales cea inutilă – **nu** !

SM, care este o reuniune dintre **MC** și **ME**, este în mod evident mai complexă decât **MC** actuală, nu numai datorită excentricității, care i-a dat naștere, dar nu mult mai complicată. În **SM**, excentricitatea liniară reală e sau cea numerică s poate reprezenta o a 3-a dimensiune a spațiului bidimensional (2D) sau o a 4-a dimensiune a spațiului tridimensional (3D), dacă un punct $E(e, \varepsilon)$ sau $S(s, \varepsilon)$ denumit **excentru**, pentru că a fost **expulzat** din centru, este un punct fix într-un plan. Dacă $E(e, \varepsilon)$ sau $S(s, \varepsilon)$ sunt puncte mobile, adică, una dintre coordonatele excentrului, e sau ε , sunt variabile, **E** se deplasează pe o dreaptă (de direcție $\varepsilon = \text{constant}$), dacă excentricitatea liniară reală e este variabilă și pe un cerc (cu centrul în $O(0,0)$ sau în oricare alt punct fix $E_0(e_0, \varepsilon_0)$ și de rază $e = \text{constant}$) dacă excentricitatea unghiulară ε este variabilă, după o lege oarecare, care va imprima viteza punctului **E** pe acest cerc.

Dar, e_i pot fi și cele n dimensiuni ale spațiului 2D, în cazul funcțiilor **supermatematice** de excentricitate multiplă, în care, toate excentrele E_i sunt puncte mobile într-un plan, deplasându-se pe anumite curbe, după diverse legi de mișcare.

Două dintre coordonatele (s, t) ale universului determină un plan, denumit **plan energetic**, în care se poate reprezenta mișcarea de expansiune a ordinii în domeniul dezordinii și, ca urmare, în care crește masa materiei vizibile a universului, odată cu creșterea stării de ordonare, din ce în ce mai completă și mai complexă a acesteia, fără să ajungă la apogeu. **Materia vizibilă** apare ca urmare a **organizării** sau a **dezorganizării materiei invizibile**. A **organizării**, dacă **materia invizibilă** reprezintă **haosul absolut** și a **dezorganizării**, dacă ea reprezintă **ordinea perfectă**.

Perpendicular pe acest plan, înălțat majestos pe verticală, este **planul sinergetic**, în care, o a treia coordonată, verticală, exprimă fie gradul de organizare (ordonare), fie cantitatea de informație, fie calitatea, în esență **inteligența** la un moment dat a sistemului în expansiunea lui continuă.

Deși lungă, pornind de la facerea universului, această introducere o considerăm utilă scopului propus, deoarece precum în **Ceruri** și în **SM**, așa și pe **Pământ** sau în **MC**.

Să luăm aminte, că sensul dezvoltării matematicii este același cu cel al dezvoltării universului, din care ea face parte, ca să nu mai încercăm, în zadar, așa cum obișnuim de prea multe ori, să « înotăm » în contra curentului sau în contra sensului dezvoltării, ca să ne exprimăm cuviincios.

1 INTRODUCERE

Acum reținem, că matematica evoluează prin sporirea și mărirea **insulelor de cunoaștere** (spațiul ordonat) din **oceanul ignoranței** (haosului), prin sporirea informației, a organizării, a calității, pe scurt, a utilizării inteligenței în detrimentul cantității, a mișcării și a forței.

Matematica este, deci, și un **limbaj**. Un limbaj în continuă completare și dezvoltare. **Supermatematica (SM)** la fel, este un limbaj provizoriu, pentru noile complemente de matematică descoperite și introduse în matematică de autor. În viitor, când noile concepte se vor fi cristalizat, prefixul **super**, un element de compunere însemnând « **supra** », « **deasupra** » sau « **peste** », care dă cuvântului un sens de superioritate sau de superlativ, va deveni **superfluu**, putând fi abandonat.

Supermatematica, privită ca matematică centrică (**MC**) plus complementele de matematică ce se încadrează în **matematica excentrică (ME)**, prin multitudinea de funcții, curbe, forme și obiecte matematice noi, ilustrează faptul că și **SM** este și un limbaj, dar nu numai. Numai că, aceste complemente - cuprinse în **matematica excentrică**- sunt ieșite din comun. Pe de o parte, pentru că ele depășesc, din punct de vedere numeric, referitor la numărul entităților / obiectelor matematice, cu mult matematica ordinară, numită în continuare — **centrică** — care are de-abia dimensiunea topologica zero — a unui punct, **centrul O**. În timp ce, matematica **excentrică** are dimensiunea topologica de minimum doi, a unei suprafețe, în care centrul **O** este un punct originar, din care s-a născut, fiind **expulzat** și, apoi, deplasat în plan, punctul care a devenit **excentrul E (S sau K)**. Pe de altă parte, pentru că raportul dintre posibilitățile de aplicare și gradul de complexitate al complementelor depășește cu mult tot ce este consemnat ca salt (cantitativ și calitativ) în istoria matematicii, așa cum va rezulta și din conținutul prezentei lucrări.

Și, astfel, procesul apariției, din nimic (**O(0, 0) ≡ MC**), a noului **univers supermatematic (SM)** a început și prin publicarea prezentei lucrări.

Vechii **greci** divinizau **cercul**, ca fiind o formă perfectă și ușor de realizat practic. Și, parcă, au presimțit că nu e nevoie să-l abandonezi în favoarea altor curbe, mai sofisticate, pentru a diversifica, în sensul de a înmulți sau completa, matematica cu **funcții periodice** noi, cele mai utilizate funcții în știință și în tehnologie.

De exemplu, în grădinărit: un țărș se înfinge în centrul cercului și cu celălalt țărș se înregistrează pe sol forma circulară a straturilor concentrice de flori. Chiar și anticii agreau frumosul! Frumosul **SM** poate fi admirat în albumul « **Tehno Art of Șelariu Supermathematics Functions** » Ed. ARP (American Research Press), 2007.

Apollonius din Perga (sec. III î.e.n.), cel mai mare geometru al antichității, a studiat, descoperit și introdus în matematică **parabola**, **elipsa**, și **hiperbola** și le-a denumit astfel, în funcție de coeficientul q a lui x^2 din expresia conicelor

$$(1.2) \quad y^2 = 2px + qx^2, \text{ în care, pentru}$$

$q = 0$ ► **paravelin (egalitate** în limba greacă veche), rezultă o ► **parabolă**

$q < 0$ ► **elipin (în lipsă / minus)** corespunde la o ► **elipsă**

$q > 0$ ► **hipervalin (în surplus / peste/plus)** se obține o ► **hiperbolă**.

Abia după cca. **1000** de ani, elipsele “urâte” ale lui **Apollonius** au fost imaginate ca orbite ale Pământului și ale altor planete. Din fericire, **excentricele**

1 INTRODUCERE

circulare, care multiplică la infinit forma matematică centrică, cunoscută sub denumirea de **cerc**, acum denumit **centrică circulară**, au fost demult descoperite de **Kepler**, atunci când a formulat prima lui lege, în felul urmator: “Planetele se rotesc / învârtesc (de fapt se deplasează învârtindu-se în jurul axei proprii) în jurul **Soarelui** pe **cercuri**, dar Soarele nu se găsește în centrul cercurilor” [V.I. Arnold, « Metodele matematice ale mecanicii clasice », Editura Științifică și Enciclopedică, București, 1980, pag.54]. Că traiectoria Pământului, în spațiul cosmic, nu este nici cerc și nici elipsă (de excentricitate numerică $s = e / R = 0,0016$, cât este cea a orbitei **Pământului**), datorită interacțiunii cu celelalte planete ale sistemului solar, cu Luna și cu alte obiecte cosmice, este o certitudine.

Excentricele eliptice, de excentricitate variabilă, sunt orbitele care se pot apropia și mai mult de forma reală a orbitelor planetelor, dacă se face abstracție de deplasarea, cu viteze uluitoare, a întregului sistem solar și a galaxiei în spațiul cosmic.

Apollonius, înlocuind cercul prin conice și introducând în matematică **elipsa**, a introdus, implicit, și **excentricitatea**, stricând imaginea grecilor asupra perfecțiunii **cercului**. Arătând că cercul este un caz particular al elipsei, și anume: când doi, dintre cei trei țărushi, se înfig în pământ în același loc (**excentricitate $e = 0$**), el a fost **hulit** de greci, contemporanii săi, pentru distrugerea imaginii perfecțiunii: **cercul**.

Kepler a utilizat **excentricitatea** în practică, în cadrul mișcării planetelor și nouă ne-a revenit sarcina de-a consolida, din punct de vedere matematic și mecanic, această mișcare, introducând **mișcarea circulară excentrică (MCE)**, mai generală decât **mișcarea circulară centrică (MCC)**, care derivă din **MCE** pentru $e = s = 0$, mișcare studiată cu ajutorul noilor **funcții supermatematice circulare excentrice (FSM-CE)** în capitolul 6, §6.4 al prezentei lucrări.

Imaginați-vă ce va păți cel care a multiplicat, de la unul la **infinit**, **toate formele și entitățile/obiectele matematice cunoscute** și, în plus (dacă după infinit se mai poate plusa), a introdus în matematică o infinitate de noi forme / obiecte / entități matematice.

1.2 CUM S-AU DESCOPERIT ȘI CE SUNT **MATEMATICA EXCENTRICĂ (ME)** ȘI **SUPERMATEMATICA (SM)**.

Ocupându-ne de **determinarea experimentală a amortizărilor**, provenite de la cuplele cinematice arbore principal – pană – roată dințată, ale strungurilor universale, în ideea de a mări aceste amortizări și a diminua amplitudinile de vibrații la torsiune ale mașinilor-unelte, măsurările experimentale au eșuat, datorită prezenței și a altor amortizări, mult mai puternice, provenite de la standul de încercare, pe de o parte, iar, pe de altă parte, datorită puternicelor neliniarități ale cuplei cinematice arbore-stand.

Astfel, a apărut necesitatea realizării unui studiu teoretic al unor sisteme elastice neliniare, în cadrul grupei de **Vibrații ale Mașinilor-Unelte**, condusă de dr. Ing **Wolfgang Bühler**, de la Catedra de Mașini-Unelte a Prof. Dipl.-Ing. **Karel Tuffentsammer**, de la Universitatea din Stuttgart, universitate la care autorul a activat în perioada 1969-1970 cu o bursă **DAAD**.

1 INTRODUCERE

Dacă simulăm mișcarea vibratorie, prin proiecția mișcării de rotație a unui punct de pe un cerc, pe o direcție oarecare, atunci, unei caracteristici elastice liniare îi corespunde mișcarea punctului pe cerc cu o viteză unghiulară constantă Ω .

Poziția, la un moment dat, a masei (punctuale) pe cerc, este dată de unghiul la centru α având expresia $\alpha = \Omega \cdot t$ și reprezintă o dreaptă ce trece prin originea O , într-un sistem de coordonate rectangular drept $\alpha O t$. Rezultă că masa, sau punctul reprezentativ M , se rotește pe cercul de raza $R = A$, în care A este amplitudinea oscilației, cu viteza unghiulară $\omega = \Omega = \text{constantă}$ și unghiul de poziție al lui M pe cerc, este dat de $\alpha(t)$ și crește proportional / liniar cu timpul.

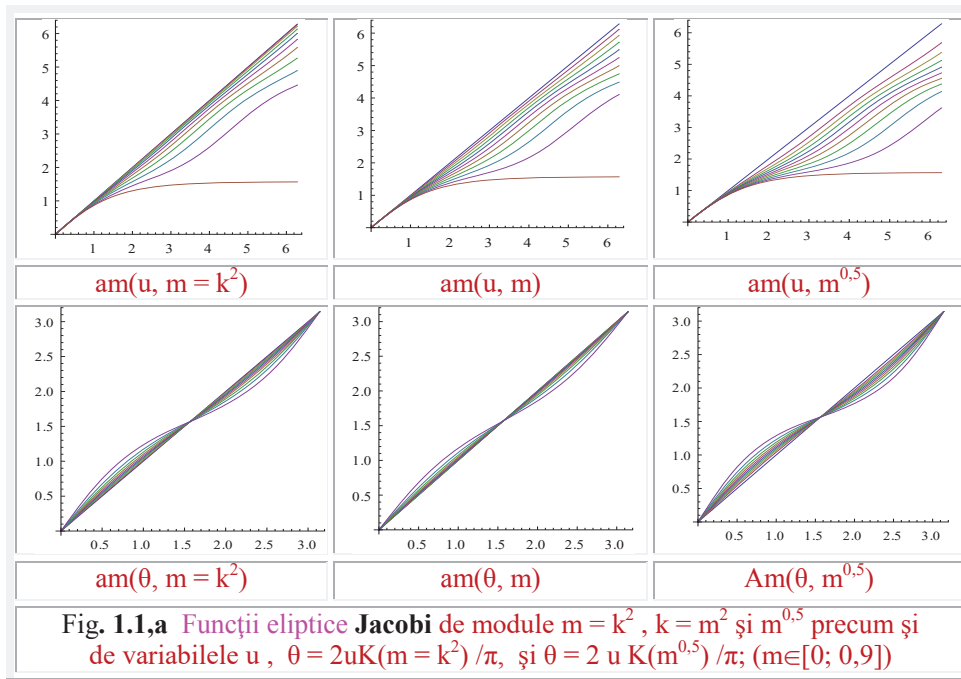
Unui sistem liniar, de pulsație proprie Ω , îi corespund o **infinitate** de sisteme neliniare echivalente, având aceeași pulsație proprie Ω , de viteze unghiulare

$$(1.3) \quad \omega(t) = d\alpha(t)/dt, \text{ în care } (1.3') \quad \alpha(t) = \Omega \cdot t + \varphi(t) = \int_0^t \omega(t) \cdot dt$$

Funcția $\alpha(t) = \mathbf{am}(u, k)$ este funcția eliptică amplitudine sau **amplitudinus** a lui **Jacobi** [v. relația (1.32) și figura 1.1,a], de variabilă u și/sau modificată θ

$$(1.4) \quad u \rightarrow \theta = 2uK(k)/\pi, \text{ în care } K(k) \text{ este integrala eliptică completă de prima speță}$$

$$(1.5) \quad K(k) = \int_0^{\pi/2} \frac{d\varphi}{\sqrt{1-k^2 \sin^2 \varphi}}$$

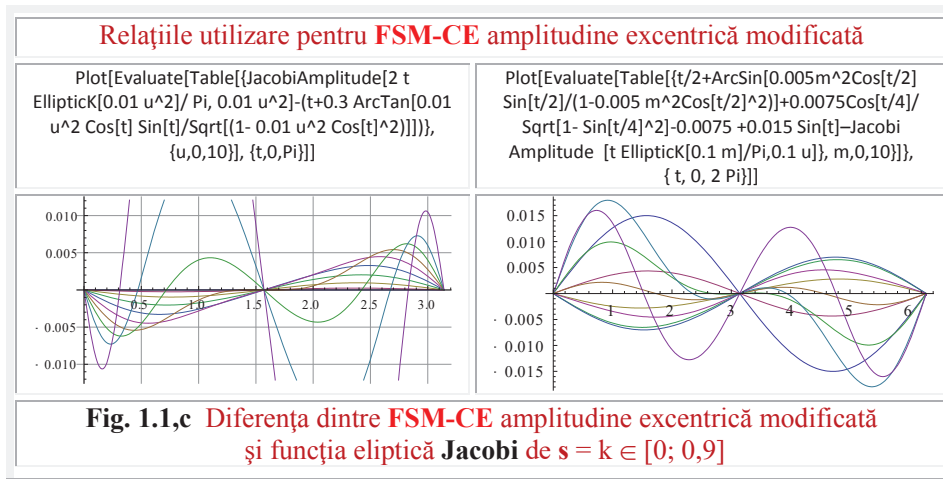
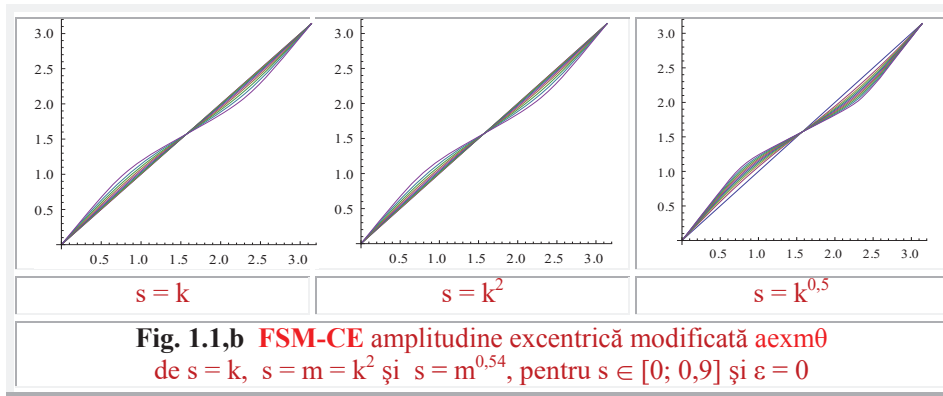


Modulele, care au domeniul normal de variație $m, k \in [0; 1]$, au fost limitate la domeniul $m, k \in [0; 0,9]$, deoarece programul de matematică nu înregistrează funcțiile

1 INTRODUCERE

eliptice și pentru $m = k = 1$.

Pentru unele sisteme neliniare, $\alpha(t)$ poate fi, cu destul de bună aproximare (v. Fig.1.1,c), funcția supermatematică trigonometrică circulară excentrică amplitudine excentrică modificată (Fig.1.1,b) $aexm[\theta(t)]$, iar $\varphi(t)$ este o funcție periodică care «șerpuiește» / oscilează de o parte și de alta a dreptei $\Omega.t$. Acum, această curbă este denumită **strâmbă** [18], de genul celor prezentate în figurile 1.2,a.



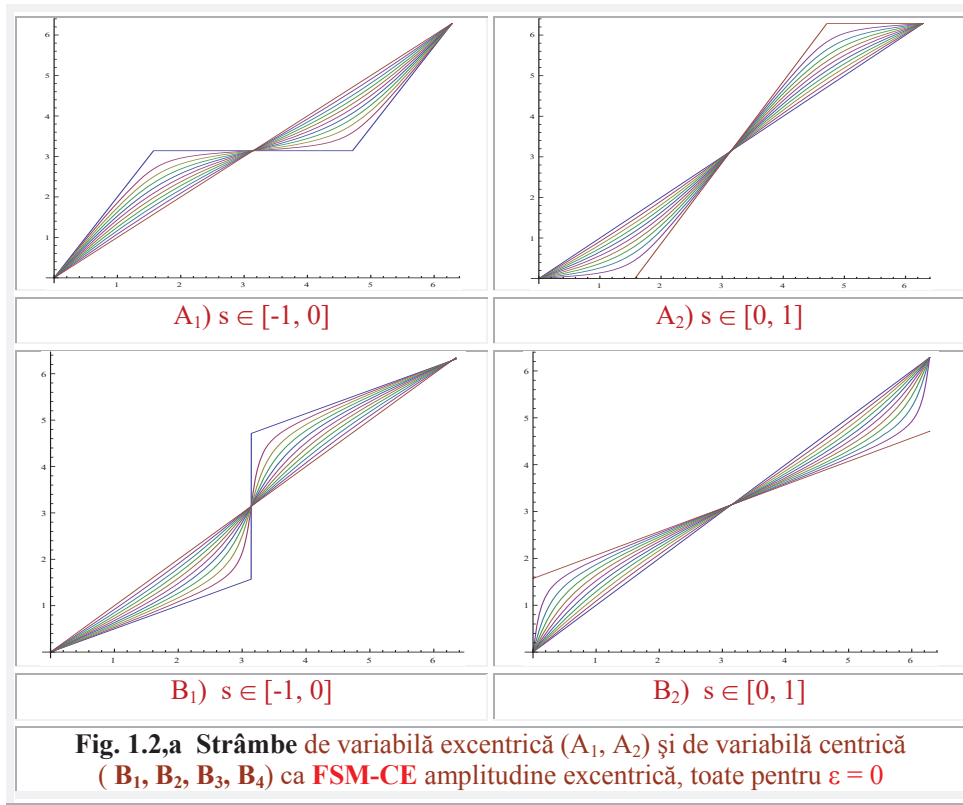
În privința parametrului/modulului m sau k , cu care operează diverse programe de matematică, e necesară o mare atenție, mai ales la programele de matematică care exprimă funcțiile eliptice prin modulul $m = k^2$. Aceasta nu înseamnă că, de aici, se deduce / rezultă sau se va considera $\sqrt{m} = k$, deoarece, luând, pentru $m \in [0, 1]$ rezultă $\rightarrow k^2 \in [0, 1]$, or, e necesar să fie $k \in [0, 1]$.

1 INTRODUCERE

De aceea, la $m^2 = k \rightarrow m^2 = k \in [0, 1]$ și rezultă că, în relațiile de definire a funcțiilor sau integralelor eliptice, să se modifice $m \rightarrow m^2$, pentru că, numai așa,

$$(1.6) \quad m^2 \in [0, 1] \rightarrow k \in [0, 1].$$

Pentru sistemul studiat, funcția $\varphi(t)$ seamăna cu o funcție $-\sin(t)$, cu deosebirea că punctele de extrem sunt defazate, în sensul că extremele puteau să apară ceva mai devreme sau ceva mai târziu față de $t = \pi/2 \pm k\pi$, $k = 0, 1, 2, \dots$ în timp ce punctele de nul rămâneau neschimbate, de genul graficelor din **figura 1.2,b** care, pentru $\Omega = 1$ reprezintă o familie de funcții supermatematice circulare excentrice (**FSM-CE**) de variabilă centrică α . Aveam, astfel, nevoie imperioasă de « un fel de sinus » la care primul maxim să nu apară la $\alpha = \pi/2$ ci, ceva mai repede, sau ceva mai târziu.



Acest « ceva », care dă « alunecarea » punctelor de maxim, este, acum, fie **FSM-CE**

$$(1.7) \quad \text{bex}[\theta, S(s, \varepsilon)] = \arcsin[s \cdot \sin(\theta - \varepsilon)],$$

$$(1.8) \quad \text{Bex}[\alpha, S(s, \varepsilon)] = \arcsin \frac{s \cdot \sin(\alpha - \varepsilon)}{\sqrt{1 + s^2 - 2 \cdot s \cdot \cos(\alpha - \varepsilon)}} = \arctan \frac{s \cdot \sin(\alpha - \varepsilon)}{1 - s \cdot \cos(\alpha - \varepsilon)},$$

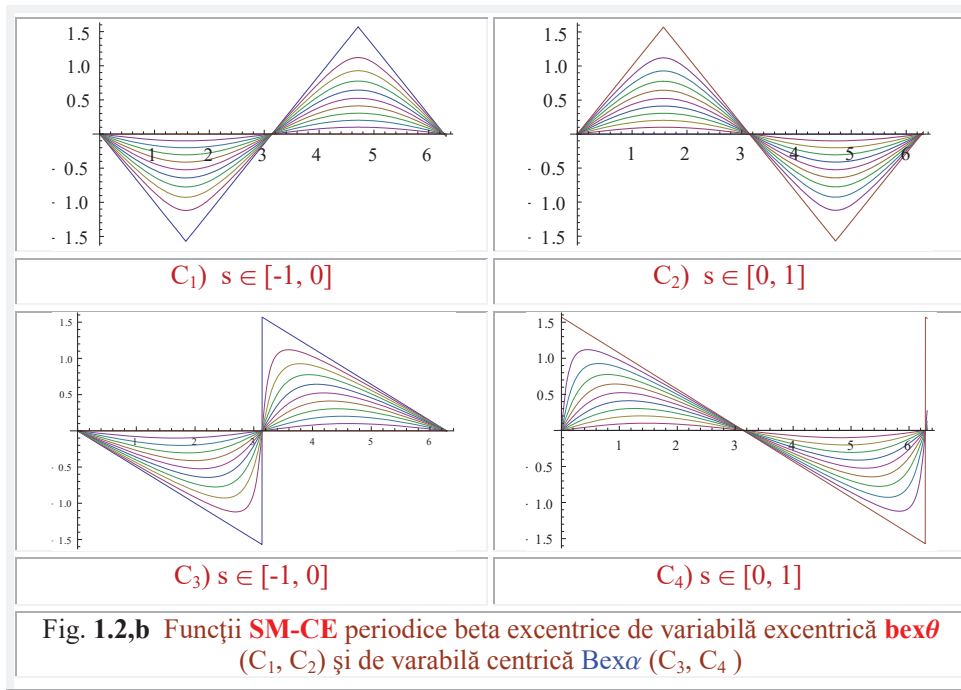
1 INTRODUCERE

(Fig.1.2,b) funcții ce exprimă deplasarea maximelor **FSM-CE** sinus excentrice de variabilă **excentrică** θ

$$(1.9) \quad \text{sex } \theta = \sin[\text{aex } \theta] = \sin[\theta - \arcsin[s \cdot \sin(\theta - \varepsilon)]],$$

maxime care apar, pentru $\varepsilon = 0$, primul la $\theta = \pi/2$ și următoarele la $\theta = \pi/2 + \beta(2k\pi) = \pi/2 \pm \text{bex}[\theta = \pi/2, S(s, \varepsilon)]$ sau de **variabilă centrică** **Sex**.

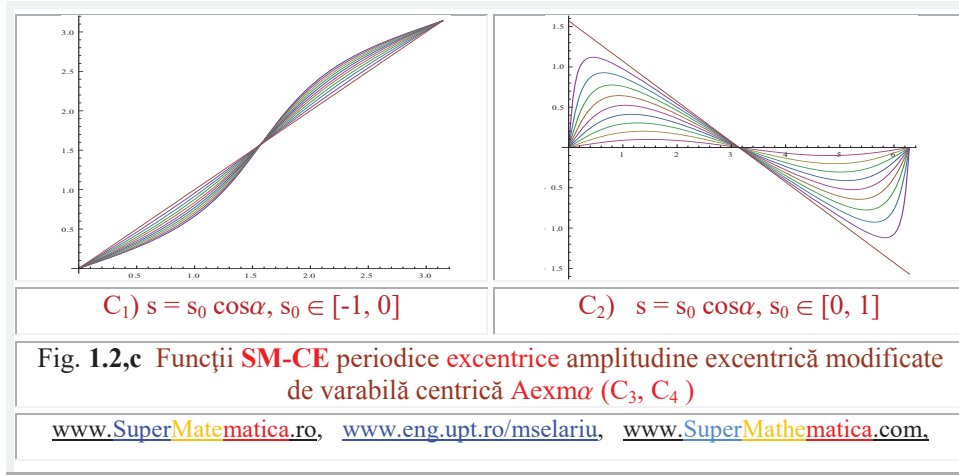
S-a constatat că acest fapt este posibil, dacă polul semidreptei nu se alege în originea sistemului $O(0,0)$ de coordonate, cum a procedat **Euler**, la definirea funcțiilor trigonometrice ca funcții circulare directe, ci, mai în dreapta, sau mai în stânga originii **O**, pe axa absciselor. Pe cât de simplu, pe atât de util ! S-a denumit această expulzare (deplasare), din centru, **excentricitate liniară e** (reală) sau $s = e / R$ și, uneori, $k = e / R$ (**excentricitatea numerică**) și polul s-a notat cu **E(e,ε)**, respectiv, **S(s,ε)** sau **K(k,ε)**, puncte denumite **excentre** (ex-centre).



Acesta a fost începutul (**Big-Bangul SM**) și, pentru generalizare, expulzarea lui **E** din **O** s-a realizat nu numai pe direcția axei absciselor ($\varepsilon = 0$) ci pe oricare altă **direcție radială centrică** ε . Astfel că, excentrul **E** are coordonatele polare **E**(e, ε) și cele carteziene **E** (e_x, e_y), iar **S** are coordonatele polare **S**(s, ε) și cele carteziene **S** ($s_x = s \cdot \cos \varepsilon, s_y = s \cdot \sin \varepsilon$) și **K** are coordonatele polare (k, ε) și carteziene ($k_x = k \cos \varepsilon$ i $k_y = k \cdot \sin \varepsilon$). De la caz la caz, **excentrul**, corespunzator cercului unitate, va fi **S** – **punct solar** -

1 INTRODUCERE

sau **K** – punct modular – utilizat cu precădere la mecanica vibrațiilor, funcții eliptice de modul k sau $m = k^2$.



Pentru evitarea confuziilor cu constanta sau numărul lui **Euler** $e = 2,718281828\dots$, număr care stă la baza logaritmilor naturali, **excentricitățile numerice**, inițial notate cu e , se vor nota în continuare cu s sau k , când s poate fi și un modul.

Visul, de-a avea o infinitate de matematici, și de a opera simplu cu ele, a devenit realitate în 1978, prin publicarea lucrării "**Funcții Circulare Excentrice**" [1], în care, se arată că fiecărui punct solar $S(s, \epsilon)$, din planul cercului trigonometric, denumit și **excentru**, îi corespunde o matematică. **SM multiplică la infinit** toate funcțiile trigonometrice cunoscute, toate obiectele și formele matematice cunoscute și pe care acum suntem obligați să le denumim **centrice** și a introdus funcții, forme și obiecte matematice noi, denumite **excentrice**, deosebit de utile pentru știință și pentru tehnică.

Acum, există o infinitate de cosinusuri, sinusuri, tangente (vechi) și tangente **Voinoiu** (noi), ș.a., o infinitate de cercuri, elipse, parabole, hiperbole, spirale **Arhimede**, spirale logaritmice ș.a., precum și o infinitate de forme noi ca trilobe, cuadrilobe, polilobe, forme hibride, cum ar fi conopirămida, cilindroprișma, ș.m.a. care, încă, nu și-au găsit nici măcar o denumire (v. www.supermatematica.ro, www.supermathematica.com; www.supermatematicaonline.blogspot.ro);

Trigonometria excentrică (**TE** [33]) folosește punctul $S(s, \epsilon)$, denumit **excentru**, fiindcă a fost expulzat din centrul $C(0,0)$ al cercului unitate / trigonometric $CT(O,1)$ și din originea $O(0,0)$ a unui reper cartezian drept, ca **pol** al unei drepte mobile d , de direcție θ , (turnantă în jurul polului S), denumită și **variabilă independentă (argument) excentrică**, ale cărei intersecții cu CT sunt punctele $W_1 = d^+ \cap CT(O,1)$ și $W_2 = d^- \cap CT(O,1)$, scrise concentrat $W_{1,2}$ și ale căror coordonate sunt :

1 INTRODUCERE

(1.10) $x_{1,2} = \mathbf{cex}_{1,2}\theta$, denumit **cosinusul excentric** de variabilă excentrică θ și de excentru $S(s, \varepsilon)$, scris și sub forma $\mathbf{cex}_{1,2}(\theta, S)$ sau $\mathbf{cex}_{1,2}(\theta, s, \varepsilon)$ și

(1.11) $y_{1,2} = \mathbf{sex}_{1,2}\theta$, denumit **sinusul excentric** de variabilă excentrică θ și de excentru $S(s, \varepsilon)$, iar

(1.12) $y_{1,2} / x_{1,2} = \mathbf{tex}_{1,2}\theta$ este denumită **tangentă excentrică** de **excentru S** , sau de **excentricitate liniară reală e** și **excentricitate numerică $s = e / R$** ; R fiind raza unui cerc oarecare. Cotangenta, secanta și cosecanta excentrice sunt definite prin aceleași rapoarte, de funcții excentrice, ca și funcțiile similare trigonometrice centrice.

Toate aceste funcții, **centrice** și **excentrice**, sunt dependente de originea O și centrul cercului unitate C , care, în acest caz, pentru **funcții excentrice**, se coincid, adică $C \equiv O$.

Funcțiile excentrice noi, nu depind de poziția reciprocă a punctelor O și C , ci numai de poziția reciprocă a punctelor S și C , situate la distanța relativă s pe direcția ε .

Evidențiate **numai** în domeniul excentric, aceste funcții noi sunt **radial excentric**, **derivată excentrică**, **amplitudine excentrică** ș.a.

Prima dintre ele, o adevărată funcție « **rege** », cu ajutorul căreia pot fi exprimate ecuațiile tuturor curbelor plane cunoscute, și a multor curbe noi, este funcția supermatematică circulară excentrică (**FSM-CE**) **radial excentric** de **variabilă excentrică θ** . Ea exprimă distanța, dintre două puncte în plan, de la S la $W_{1,2}$, în coordonate polare, așa cum bine a observat Prof. dr. math. **Octavian Em. Gheorghiu**, cel care a denumit această funcție « o adevărată **funcție rege** ». Totodată, reprezintă și funcția de transmitere de ordinul zero, sau a poziției punctelor $W_{1,2}$, față de punctul S din planul cercului unitate și are **expresia invariantă**

$$(1.13) \quad \mathbf{rex}_{1,2}(\theta, s) = -s \cdot \cos(\theta - \varepsilon) \pm \sqrt{1 - s^2 \sin^2(\theta - \varepsilon)},$$

ca **FSM-CE** de variabilă excentrică θ

Aceeași funcție, dar de **variabilă centrică α** , are **expresia invariantă**

$$(1.14) \quad \mathbf{Rex}(\alpha_{1,2}, s) = \pm \sqrt{1 + s^2 - 2s \cdot \cos(\alpha_{1,2} - \varepsilon)},$$

ambele exprimând, în funcție de cele două variabile independente, **distanța în plan**, aici, în coordonate polare, dar poate fi exprimată și în alte coordonate, ca cele carteziane, de la excentrul $S(s, \varepsilon)$ la punctele de intersecție $W_{1,2}(\mathbf{1}, \alpha)$ ale cercului unitate (CT) sau a cercului trigonometric cu **dreapta excentrică d** .

Dependența dintre cele două variabile, centrică și excentrică, denumită funcția **amplitudine excentrică** de variabilă excentrică θ are expresia invariantă

$$(1.15) \quad \mathbf{aex}_{1,2}(\theta) = \alpha_{1,2}(\theta) = \theta - \beta_{1,2}(\alpha) \rightarrow \begin{cases} \mathbf{aex}_1\theta = \theta - \arcsin[s \cdot \sin(\theta - \varepsilon)] \\ \mathbf{aex}_2\theta = \theta - \arcsin[s \cdot \sin(\theta - \varepsilon)] - \pi \end{cases}$$

știind că

$$(1.16) \quad \beta_1 + \beta_2 = \pi.$$

Aceeași **FSM-CE**, dar de **variabilă centrică α** , are expresia invariantă

$$(1.17) \quad \mathbf{Aex}(\alpha_{1,2}) = \theta(\alpha_{1,2}) = \alpha_{1,2} + \beta(\alpha_{1,2}) = \alpha_{1,2} \pm \frac{\arcsin[s \cdot \sin(\alpha_{1,2} - \varepsilon)]}{\sqrt{1 + s^2 - 2s \cdot \cos(\alpha_{1,2} - \varepsilon)}}$$

Ele sunt, poate, cele mai importante **funcții noi**, a căror denumire derivă de la **funcția eliptică amplitudine / (amplitudinus) $\mathbf{am}(u, k)$** a lui **Jacobi**.

1 INTRODUCERE

Așa cum $\cos[\text{am}(u,k)] = \text{cn}(u, k)$ și $\sin[\text{am}(u, k)] = \text{sn}(u, k)$, tot așa, prin înlocuirea variabilei $\alpha \rightarrow \alpha(\theta) = \text{aex}(\theta)$ în funcțiile trigonometrice centrice cosa , sina , $\text{tana} / (\text{tga})$ etc, cu funcția **amplitudine excentrică** $\text{aex}\theta$, se obțin funcțiile excentrice de variabilă excentrică $\text{cex}\theta$, $\text{sex}\theta$, $\text{tex}\theta$ ș.a. Se deduce că **FSM-CE** sunt funcții de funcție sau, sub denumirea mai nouă, dar nefericită, funcții compuse.

Prin înlocuirea variabilei independente cu **Aex** se obțin **FSM-CE** de variabilă centrică **Cex**, **Sex**, **Tex** ș.a. Adică,

$$(1.18) \quad \cos[\text{aex}(\theta)] = \text{cex}[\theta, S(s,\varepsilon)] = \text{cex}\theta,$$

$$(1.19) \quad \sin[\text{aex}\theta] = \text{sex}\theta, \text{ iar}$$

$$(1.20) \quad \cos[\text{Aex}(\alpha)] = \text{Cex}[\alpha, S(s, \varepsilon)] = \text{Cex}\alpha \quad \text{și}$$

$$(1.21) \quad \sin[\text{Aex}(\alpha)] = \text{Sex}[\alpha, S(s, \varepsilon)] = \text{Sex}\alpha.$$

O altă funcție, complet nouă, cea mai frumoasă funcție periodică (*de gustibus non est disputandum*), care exprimă raportul (funcția) de transmitere de **ordinul 1**, a turațiilor sau a vitezelor, pentru **toate mecanismele plane cunoscute**, este funcția supermatematică circulară excentrică (**FSM-CE**) **derivată excentrică dex** de variabilă excentrică θ , definită ca raport al derivatei uneia dintre variabile (α) în raport cu cealaltă (θ), și are expresia invariantă, ca funcție de variabila excentrică θ

$$(1.22) \quad \text{dex}_{1,2}\theta = \frac{d\alpha_{1,2}(\theta)}{d\theta} = 1 - \frac{s \cdot \cos(\theta - \varepsilon)}{\pm \sqrt{1 - s^2 \sin^2(\theta - \varepsilon)}} = \frac{\text{rex}_{1,2}\theta}{\cos[\beta_{1,2}(\theta)]} = \frac{\text{rex}_{1,2}\theta}{\cos[\text{bex}_{1,2}\theta]}$$

Între variabila centrică α , sau **unghiul la centrul O(0,0)** și variabila excentrică θ , sau **unghiul la excentrul S(s, ε)** sau **E(e, ε)** și unghiul cu vârful pe cercul unitate $\beta_{1,2}$, din punctele $W_{1,2}$, pentru $R = 1$ și / sau $M_{1,2}$, pentru $R \neq 1$, unghi notat cu $\beta_{1,2}$, există relațiile

$$(1.23) \quad \alpha_{1,2}(\theta) = \theta - \beta_{1,2}(\theta) = \theta - \text{bex}_{1,2}\theta \quad \text{și, respectiv,}$$

$$(1.24) \quad \theta(\alpha_{1,2}) = \alpha_{1,2} + \beta_{1,2}(\alpha_{1,2}) = \alpha_{1,2} + \text{Bex}(\alpha_{1,2}),$$

așa cum se poate observa și în **figura 1.3,a** și **1.3,b**.

Funcția **SM-CE derivată excentrică** de **variabilă centrică α** are expresia invariantă

$$(1.25) \quad \text{Dex } \alpha_{1,2} = \frac{d\theta}{d\alpha_{1,2}} = \frac{1 - s \cdot \cos(\alpha_{1,2} - \varepsilon)}{1 + s^2 - 2s \cdot \cos(\alpha_{1,2} - \varepsilon)} = \frac{1 - s \cdot \cos(\alpha_{1,2} - \varepsilon)}{\text{Rex}^2 \alpha_{1,2}} = \sum_{n=0}^{\infty} s^n \cos(\alpha_{1,2} - \varepsilon)$$

Se observă / deduce, imediat, că cele două funcții derivate excentrice **dex** $_{1,2}\theta$ și **Dex** $\alpha_{1,2}$, sunt inverse una alteia.

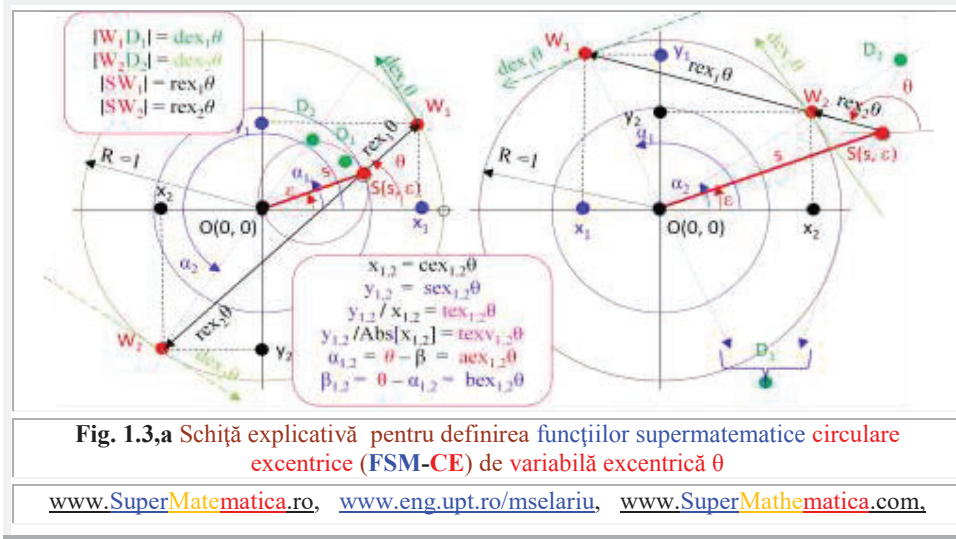
Observatii :

- Cei doi indici **1,2** reprezintă cele **două determinări** ale **FSM-CE**, corespunzătoare celor două puncte de intersecție ale dreptei **d**, formată din cele două **semidrepte (d⁺ semidreapta pozitivă și d⁻ semidreapta negativă)** cu cercul trigonometric (**CT**) sau cu cercul unitate (**CU(O, 1)**): **principală** de indice **1(+)** și **secundară (-)** de indice **2**; diferența dintre ele constând doar din schimbarea semnelor + cu -, între ele, în fața radicalului

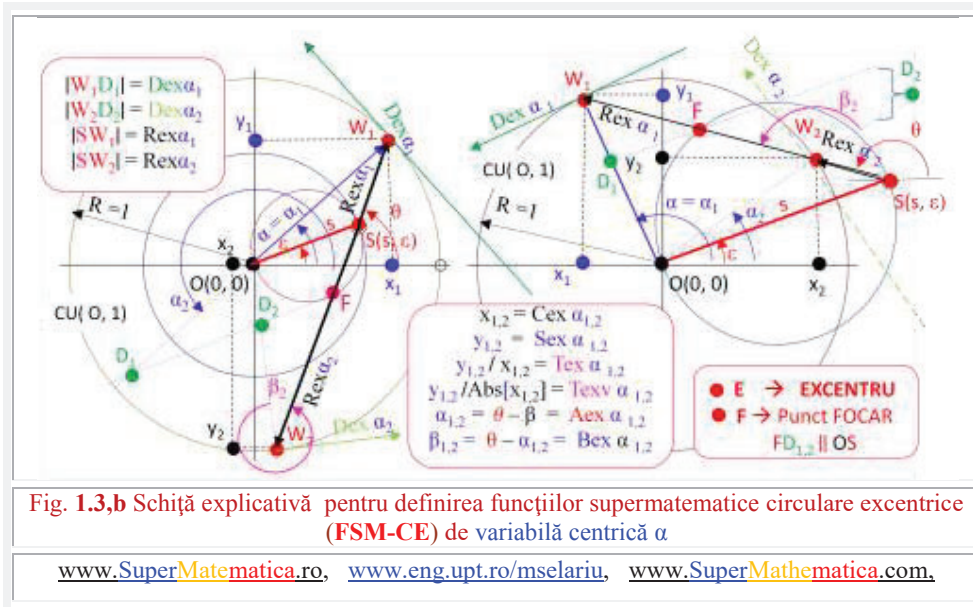
$$(1.26) \quad \Delta(\theta) = \pm \sqrt{1 - s^2 \sin^2(\theta - \varepsilon)} = \text{del}_{1,2}\theta,$$

radical cunoscut în literatura funcțiilor matematice speciale ca funcția « del » sau **delta amplitudine**, radical prezent în expresiile de definire a tuturor **FSM-CE**.

1 INTRODUCERE



Dacă se utilizează în exclusivitate prima determinare **1**, atunci nu mai este necesar să se treacă și indicele 1; confuziile dintre cele două determinări nefiind posibile.



- Redefinirea funcțiilor circulare excentrice, ca intersecție cu o dreaptă și nu cu o

1 INTRODUCERE

semidreaptă, precum în cazul funcțiilor trigonometrice centrice **Euler**, s-a făcut la sfatul matematicianului și mecanicistului Prof. dr. mat. **Klepp Horst**, pentru a aduce de acord **Trigonometria** cu **Geometria Analitică**.

- Cu această ocazie, funcția **rex θ** , definită inițial cu dimensiunea lungimii [L], a fost normată, adică, definită ca o funcție adimensională, prin împărțirea ei cu raza **R** a cercului, la sugestia Prof. dr. ing. **Dan Perju**.

- Ca și în cazul funcțiilor eliptice, se va nota **cex θ** , respectiv **Cex α** , funcțiile cosinus excentric de o singură variabilă **θ** și, respectiv **α** , pentru a nu complica scrierea.

Dacă **θ** sau **α** se păstrează constante, cum este cazul pendulului matematic excentric și coordonatele excentrului **ε** sau **s** sunt variabile sau devin argumente, atunci notația va fi **sex ε** sau **sex s** , **Sex ε** sau **Sex s** , iar dacă ambele entități (**θ** și **s**) sau (**α** și **s**) sunt considerate variabile, atunci notația va fi **tex(θ, s)**, **Tex(α, s)**.

În fine, dacă excentrul **S** evoluează pe o curbă, în planul cercului, având atât pe **s** cât și pe **ε** variabile, atunci notația va fi **rex(θ, S)**, **Rex(α, S)** sau **rex[$\theta, S(s, \varepsilon)$]** și **Rex[$\alpha, S(s, \varepsilon)$]**. Dacă **S** este variabil, ca de exemplu, conform relației **$s = s_0 \cdot \sin 3\theta$** și **$\varepsilon = \cos 2\theta$** , atunci se poate scrie **dex[$\theta, S(s = s_0 \sin 3\theta, \varepsilon = \cos 2\theta)$]**.

- Echivalentele, în **centric**, a funcțiilor excentrice **rex θ** și **dex θ** sunt **rad α** și **der α** , **funcții centrice**, denumite, prin analogie cu cele excentrice, **radial centric** și, respectiv, **derivat centric** și sunt **fazori**, de direcție variabilă și, evident, de modul unu. Acești **vectori unitate**, sau **versori / fazori**, sunt **rad $\alpha = e^{i\alpha}$** și **der $\alpha = i \cdot e^{i\alpha}$** și reprezintă, așa cum se cunoaște, funcțiile lui **Euler-Cotes**, subliniind, totodată, apartenența la trigonometrie ale acestor funcții. Aici **e** nu este excentricitatea liniară reală, ci numărul / constanta lui **Euler** (**$e = 2,718281828\dots$**).

Astfel, funcțiile **Euler-Cotes** vechi sunt, deci, funcții trigonometrice circulare **centrice « noi »**.

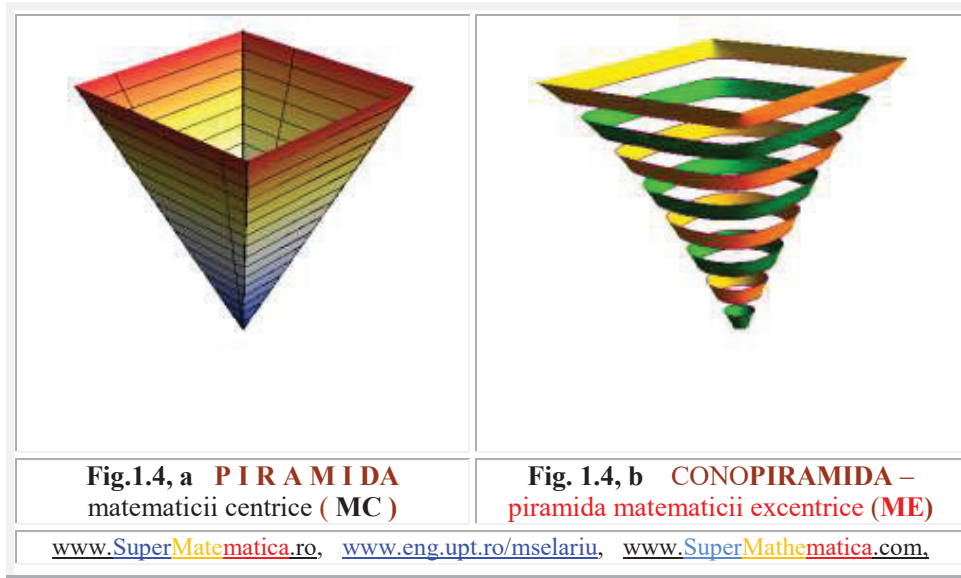
1.3 PIRAMIDELE MATEMATICII

Supermatematica (SM) este o nouă treaptă, **superioară**, de dezvoltare a matematicii. Trebuie să te sprijini pe matematica **centrică (MC)** pentru a ajunge pe treapta următoare, a matematicii **excentrice (ME)**. Avem de-a face cu o “**piramidă**” cu vârful în jos. În vârful piramidei, stau simbolurile (+, \square , =, <, >, !, ... **x, y, z, ..**), nu toate și nu neaparat matematice și, mai sus, deasupra simbolurilor, se află numerele întregi (**1, 2, 3, ...9, ...0, ...**).

Omenirii i-au trebuit mii de ani ca să constate că între două numere întregi **n** și **n+1**, **n = 1, 2, 3...** mai există o infinitate de numere și, mult mai mult, cu peste două mii de ani (! !), ca să constate că între două **FCC cos $n\alpha$** și **cos $(n+1)\alpha$** , ca și între **sin $(n-1)\alpha$** și **sin $n\alpha$** , funcții care fac parte dintr-o așa zisă bază a sistemului trigonometric de funcții (BSTFC), mai există o infinitate de funcții cosinus dar **excentrice cex $n\theta$** , **cex $(n\theta)$** , pentru **$s \in [-\infty, +\infty]$** și sinus excentrice **sex $(n-1)\theta$** , **sex $n\theta$** , apoi **FSM-CE** elevate **cel $n\theta$** , **cel $(n+1)\theta$** și **sel $(n-1)\theta$** , **sel $n\theta$** , ca și **FSM-CE** exotice **sexo $n\theta$** , **sexo $(n+1)\theta$** și **sexo $(n-1)\theta$** , **sexo $n\theta$** . Și au fost enumerate doar cele de **variabilă excentrică θ** , dar mai sunt cele de variabilă centrică **α** . Rezultă că **FCC** formează o **bază discretă** de funcții trigonometrice, în timp ce **FSM-CE** formează o **bază continuă** de funcții

1 INTRODUCERE

trigonometrice (**BSTFE**). Deosebit de important este faptul că, utilizând **bază continuă** în locul celei **discrete**, o serie enormă de suprafețe **nematematice** devin matematice, mai precis **supermatematice**.



Ca urmare, ele pot fi exprimate și descrise prin funcții **(super)matematice**, pot fi vizualizate și prelucrate pe mașini-unelte cu comenzi numerice de conturare (CNC). Mai rezultă că istoria numerelor s-a repetat și în cea a funcțiilor. Din păcate.

Cu ajutorul numerelor întregi pot fi definite, într-o treaptă superioară, diverse alte **numere**, mai mari, mai complexe, apoi **funcții**, implicit cele trigonometrice, ca de exemplu, expresiile invariante ale funcțiilor cosinus și sinus, așa cum au fost cunoscute de antici

$$(1.27) \quad \cos x = 1 - \frac{x^2}{2!} + \frac{x^4}{4!} - \frac{x^6}{6!} + \dots - \dots + (-1)^n \frac{x^{2n}}{(2n)!}, \quad n \in \mathbb{N} = 1, 2, 3, \dots$$

$$(1.28) \quad \sin x = x - \frac{x^3}{3!} + \frac{x^5}{5!} - \frac{x^7}{7!} + \dots - \dots + (-1)^{n+1} \frac{x^{2n+1}}{(2n+1)!}, \quad n \in \mathbb{N} = 1, 2, 3, \dots$$

Cu acestea pot fi definite / exprimate funcții speciale, aflate pe un palier mult superior, cum sunt : **cosinusul eliptic Jacobi**

$$(1.29) \quad \operatorname{cn}(u, k) = \frac{2\pi}{k \cdot K(k)} \sum_{n=1}^{\infty} \frac{q^{n-\frac{1}{2}}}{1+q^{2n-1}} \cos(2n-1) \frac{\pi \cdot u}{2K(k)}, \quad \text{sinusul eliptic Jacobi}$$

$$(1.30) \quad \operatorname{sn}(u, k) = \frac{2\pi}{k \cdot K(k)} \sum_{n=1}^{\infty} \frac{q^{n-\frac{1}{2}}}{1+q^{2n-1}} \sin(2n-1) \frac{\pi \cdot u}{2K(k)} \quad \text{și amplitudine Jacobi}$$

$$(1.31) \quad \operatorname{am}(u, k) = \frac{\pi \cdot u}{2K(k)} + 2 \sum_{n=1}^{\infty} \frac{1}{n} \frac{q^n}{1+q^{2n}} \operatorname{sin} \frac{n\pi u}{K(k)},$$

în care **q** este parametrul lui **Jacobi**

1 INTRODUCERE

(1.32) $q = e^{-\pi \frac{K'(k)}{K(k)}}$, în care $K(k)$ și $K'(k)$ sunt integrale eliptice complete de prima speță, în funcție de modulul k sau $m = k^2$ și, respectiv, de modulul complementar $k' = \sqrt{1 - k^2}$ sau $m' = \sqrt{1 - m}$.

1.4 CORECTAREA MULTIPLELOR COINCIDENȚE ALE LUI EULER, CARE AU SĂRĂCIT MATEMATICA

După multe sute de ani, **Leonhard Euler** (1707-1783) a definit funcțiile trigonometrice pe cercul **trigonometric**, acum cercul **unitate**, și le-a denumit **funcții circulare** directe. Dar, spre **nenorocul** matematicii, **a ales trei puncte confundate**:

- **O-originea** unui sistem de axe rectangular drept,
- **C- centrul** cercului unitate și
- **E ≡ S → polul** unei semidrepte mobile, turnante în jurul acestui punct.

Și, din această cauză, această matematică, atât de **sărăcită**, pe care acum o denumim, din motive lesne de înțeles, **centrică (MC)**, s-a ales cu câte o singură formă matematică, din infinitatea de forme care există, acum, în **matematica excentrică (ME)**.

Pe cea mai înaltă treaptă, o platformă nemarginită, care este, **deocamdată**, și ultima treaptă a piramidei, se ajunge la **matematica excentrică**, bazându-ne / sprijinindu-ne pe cea **centrică**. Referindu-ne la aceleași exemple, ale funcțiilor cosinus și sinus, cosinusul excentric (**cxθ**) și sinusul excentric (**sexθ**) de excentru **S** și de **variabilă la excentru θ** sau **x** au **expresiile invariante**, construite cu **funcțiile circulare centrice**, de pe treapta anterioară a matematicii:

(1.33) $cx_{1,2}(\theta, S) = \cos(\theta \mp b_{ex_{1,2}}\theta) = s \cdot \sin\theta \cdot \sin(\theta - \varepsilon) \pm \cos\theta \sqrt{1 - s^2 \sin^2(\theta - \varepsilon)}$
sau, considerând variabila θ notată cu x și excentricitatea unghiulară ε cu z , se poate scrie

(1.33') $cx_{1,2}(x, S) = \cos(x \mp b_{ex_{1,2}}x) = s \cdot \sin x \cdot \sin(x - z) \pm \cos x \sqrt{1 - s^2 \sin^2(x - z)}$ și

(1.34) $sex_{1,2}(\theta, S) = \sin(\theta \mp b_{ex_{1,2}}\theta) = -s \cdot \cos\theta \sin(\theta - \varepsilon) \pm \sin\theta \sqrt{1 - s^2 \sin^2(\theta - \varepsilon)}$
sau

(1.34') $sex_{1,2}(x, S) = \sin(x \mp b_{ex_{1,2}}x) = -s \cdot \cos x \cdot \sin(x - z) \pm \sin x \sqrt{1 - s^2 \sin^2(x - z)}$.

Altfel spus, prin înlocuirea variabilei independente y , sau a unghiului α , la **centru O**, din diversele funcții centrice, cu variabila dependentă $y(x)$, sau cu unghiul $\alpha(\theta)$ date de :

(1.35) $\alpha(\theta, E) = \theta \mp \beta_{1,2}(\theta) = \theta \mp \left\{ \arcsin[s \cdot \sin(\theta - \varepsilon)] - \frac{0}{\pi} \right\}$ sau

(1.36) $y(x, E) = x \mp \beta_{1,2}(x) = \theta \mp \left\{ \arcsin[s \cdot \sin(x - z)] - \frac{0}{\pi} \right\}$,

în care x sau θ este **unghiul la excentrul S**.

Concis, **variabila se înlocuiește cu o funcție (amplitudine excentrică aex θ sau Aex α)**, rezultând, astfel, o funcție de funcție (denumită, mai nou, funcție compusă) pentru a evada din universul mai sărac al funcțiilor **centrice** în universul, mult mai

1 INTRODUCERE

bogat, al funcțiilor **excentrice**. Pentru funcțiile anterior exprimate, se obțin funcțiile supermatematice circulare excentrice (**FSM-CE**) de variabilă excentrică și, respectiv, centrică.

Supermatematica (SM) putea fi demult descoperită dacă, la exprimarea funcțiilor trigonometrice, ca funcții circulare, repetăm, pentru că “repetiția este mama învățaturii”: **Euler** n-ar fi ales trei puncte confundate: centrul **C** al cercului trigonometric, **originea O** a unui reper cartezian drept și **polul E** al unei semidrepte variabile.

Dacă $O \equiv C \neq E$ se obțin funcțiile supermatematice (**FSM**) **circulare excentrice (FCE)**. Dacă $C \neq O \equiv E$ se obțin **FSM** circulare **elevate (FCEI)**, iar dacă toate cele 3 puncte sunt distincte, se obțin cele mai generale **FSM** denumite **FSM circulare exotice (FCEX)**, așa cum se arată în schema următoare:

$$(SM) \quad \left\{ \begin{array}{l} \text{Mat. centrică (MC)} \Rightarrow C \equiv O \equiv P \Rightarrow \text{Funcții CENTRICE (FC)} \\ \text{Mat. excentrică (ME)} \Rightarrow \left\{ \begin{array}{l} C \equiv O \neq S \Rightarrow \text{Funcții EXCENTRICE (FE)} \\ C \neq O \equiv S \Rightarrow \text{Funcții ELEVATE (FEL)} \\ C \neq O \neq S \Rightarrow \text{Funcții EXOTICE (FEX)} \end{array} \right. \end{array} \right.$$

Deoarece, coincidența / identicul este unică / unic, în timp ce diversitatea este infinită, rezultă că **FC** ale **MC**, fie ele circulare, hiperbolice sau de altă natură, sunt unice / singulare, în sensul că numai ele aparțin **MC** și fiecare dintre funcțiile conținute în **MC** are câte un singur membru, în timp ce, **ME** este mai diversificată, conținând **trei tipuri** / clase de funcții, fiecare tip fiind format dintr-o familie de funcții cu o **infinitate** de membri.

Se observă, fără dificultate, că din **FCEX**, dacă distanța $e = |OE| \rightarrow 0$ se vor obține **FCEI**, iar dacă distanța $|OC| \rightarrow 0$, atunci se vor obține **FCE** și, în fine, dacă atât distanța $|OC| \rightarrow 0$, cât și distanța $|CE| \rightarrow 0$, atunci cele 3 puncte redevin confundate și se vor obține **FCC**. În consecință, ar rezulta că studiul **FCEX** ar fi suficient pentru a acoperi toate **funcțiile matematicii excentrice**. Concluzie adevărată, numai că, aceste funcții sunt cel mai puțin utilizate, deocamdată, și cele mai complicate ca expresii matematice. Procedând astfel, aparatul matematic, pentru celelalte funcții - **FCE** și **FCEI**- mai frecvent utilizate s-ar încălca / complica în mod inutil.

Prin considerarea hiperbolei echilateră, în asociație cu cercul trigonometric, au fost definite și **FSM hiperbolice excentrice, elevate și exotice**.

Parafrazându-l pe **Philip Davis** și pe matematicianul american, de origine română, **Isaac J. Schoenberg SM** "conține paradoxul delicios al Simfoniei Clasice a lui Prokofiev: pare ca și cum ar fi putut fi descoperită în urmă cu multe secole, dar, firește, nu ar fi putut".

Toate **FSM** se exprimă prin expresii analitice **invariante**, în funcție de cele centrice, astfel că ele **nu necesită tabelarea** lor; tabelele fiind cele centrice.

Toate aceste familii de funcții s-au dovedit deosebit de utile la soluționarea unor probleme de complexitate foarte ridicată ca, de exemplu, exprimarea sub formă trigonometrică a sumei și a diferenței numerelor complexe, sau soluționarea exactă a unor ecuații diferențiale liniare cu coeficienți variabili și respectiv la găsirea soluțiilor unor sisteme oscilante mecanice de caracteristică elastică neliniară, din care, pentru $e =$

1 INTRODUCERE

0 (dar și pentru $e = \pm 1$!!), se obțin soluțiile sistemelor **liniare, ș.a.**. Toate acestea fiind prezentate în cadrul prezentei lucrări.

SM survolează spațiile superioare ale tuturor disciplinelor științifice și tehnice și produce la baza lor un **tsunami (solitoni)** care sfidează și spulberă granițele dintre ele. Pentru fiecare punct **S(s, ε)**, din planul cercului unitate, de coordonate polare (**s, ε**) sau carteziene (**s_x, s_y**), pentru $x = \theta$ (modulo 2π), $y = \alpha$ (modulo 2π) și $z = \varepsilon$ (modulo 2π) - obținem o altă formă a funcției; o infinitate de funcții sinus excentrice cu una și aceeași expresie matematică. Pentru $Abs[s] < 1$, **FSM-CE** sunt continue. Pentru $Abs[s] > 1$, sau $e > R$, funcțiile **SM**, de **variabilă excentrică θ**, există numai în domeniul în care, dreapta excentrică **d**, turmantă în jurul punctului excentric **S**, în acest caz, un excentru **exterior** cercului unitate, **intersectează** cercul unitate.

Pentru a avea **FSM-CE** continue, pe toată axa reală, pentru $s \in (-\infty, +\infty)$ au fost definite și **FSM-CE** de **variabilă centrică** $y = y(x) = \alpha(\theta) \pmod{2\pi}$.

Pentru evitarea confuziilor, această familie de funcții se notează cu prima literă mare / majusculă. Astfel, cosinusul excentric, de variabilă centrică **a** sau **y**, este notat cu **Cex**($\alpha_{1,2}$; **S**) sau **Cexy**_{1,2} și sinusul excentric de variabilă centrică este **Sex**($\alpha_{1,2}$; **S**) sau **Sexy**_{1,2}. Aceste funcții s-au obținut prin înlocuirea variabilei independente **θ** sau **x** cu o nouă variabilă independentă **a** sau **y** și a variabilei dependente **α(θ)** sau **y(x)** cu variabila dependentă **θ(a)** sau **x(y)**, ale cărei expresii invariante sunt:

$$(1.37) \quad \theta(\alpha_{1,2}, S) = \alpha_{1,2} \pm \beta_{1,2} = \alpha_{1,2} \pm \arcsin \frac{s \cdot \sin(\alpha_{1,2} - \varepsilon)}{\sqrt{1 + s^2 - 2s \cdot \cos(\alpha_{1,2} - \varepsilon)}}$$

$$= \alpha_{1,2} + \arcsin \frac{s \cdot \sin(\alpha_{1,2} - \varepsilon)}{Rex\alpha_{1,2}} = \mathbf{Aex}\alpha_{1,2} \quad \text{și}$$

$$(1.38) \quad x(y_{1,2}, S) = y_{1,2} \pm \beta_{1,2} = y_{1,2} \pm \arcsin \frac{s \cdot \sin(y_{1,2} - z)}{\sqrt{1 + s^2 - 2s \cdot \cos(y_{1,2} - z)}}$$

$$= y_{1,2} + \arcsin \frac{s \cdot \sin(y_{1,2} - z)}{Rexy_{1,2}} = \mathbf{Aexy}_{1,2}$$

Se obține:

$$(1.39) \quad \mathbf{Sex}(\alpha_{1,2}; S) = \sin[\theta(\alpha_{1,2})] = \sin\alpha_{1,2} \cdot \cos\beta(\alpha_{1,2}) \pm \cos\beta(\alpha_{1,2}) \cdot \sin\alpha_{1,2} =$$

$$= \sin\alpha_{1,2} \cdot \arcsin \frac{1 - s \cdot \sin(\alpha_{1,2} - \varepsilon)}{Rex\alpha_{1,2}} \pm \cos\alpha_{1,2} \frac{s \cdot \sin(\alpha_{1,2} - \varepsilon)}{\sqrt{1 + s^2 - 2s \cdot \cos(\alpha_{1,2} - \varepsilon)}}$$

$$= \frac{\sin\alpha_{1,2} - s \cdot \sin[\alpha_{1,2} \mp (\alpha_{1,2} - \varepsilon)]}{\sqrt{1 + s^2 - 2s \cdot \cos(\alpha_{1,2} - \varepsilon)}} = \frac{\sin\alpha_{1,2} - s \cdot \sin[\alpha_{1,2} \mp (\alpha_{1,2} - \varepsilon)]}{Rex\alpha_{1,2}}$$

Între două puncte, oricât de apropiate, dar fără a fi confundate, există o infinitate de alte puncte. Tot așa, între două curbe diferite, concentrice, de exemplu o mică elipsă în centrul unui mare dreptunghi sau, transformatele afine ale acestora, un mic cerc în mijlocul unui pătrat de mai mari dimensiuni, există o infinitate de alte curbe închise. Funcțiile **SM** ne oferă posibilitatea de-a « umple » **continuu** acest spațiu plan, cu o infinitate de curbe noi, denumite **excentrice** (în aceste cazuri, **eliptice** și/sau **circulare**) Ecuțiile parametrice ale acestor excentrice sunt:

1 INTRODUCERE

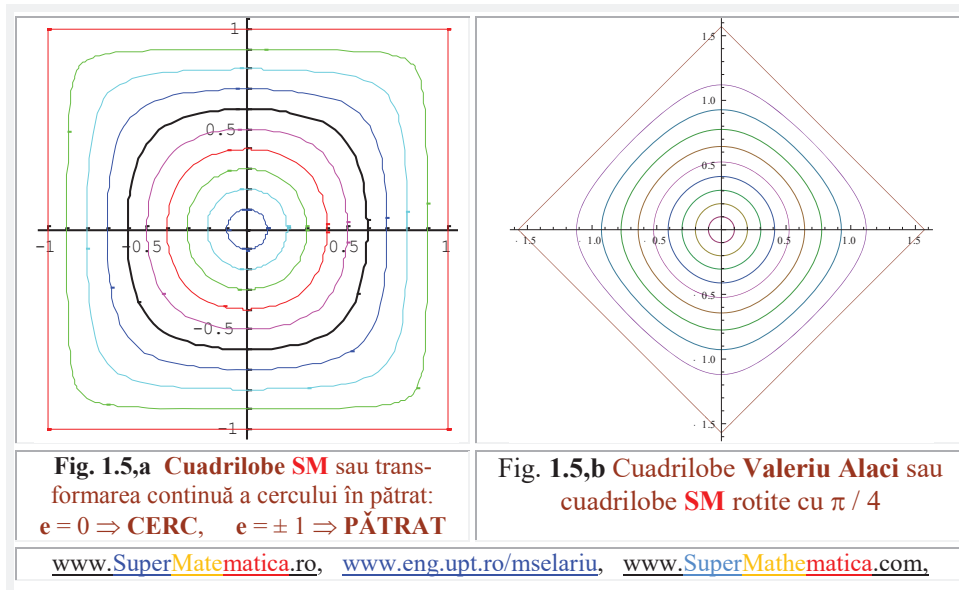
(1.40) $\begin{cases} x = a \cdot dex\theta \\ y = b \cdot dex(\theta \mp \frac{\pi}{2}) \end{cases}$, dacă $a = b = R$ și $e = 0$ se obține transformarea continuă a cercului, de raza R (pentru $e = 0$), în pătratul de latură $L = 2R$ (pentru $e = \pm 1$) și dacă $a \neq b$, se obține transformarea continuă a elipsei ($e = 0$) în dreptunghi ($e = 1$).

Cercul și pătratul (v.secțiuni prin conopiramidă, **figura 1.4, b**), ca și elipsa și dreptunghiul, sunt, astfel, **homografice**. Aceași familie de curbe, denumite **quadrilobe / cvadrilobe**, se obține cu următoarele ecuațiile parametrice, în care **coq** și **siq** sunt cosinusul și sinusul **quadrilob**, denumiri introduse de autor [19] și acceptate:

$$(1.41) \begin{cases} x = \frac{\cos\theta}{\sqrt{1-s^2\sin^2\theta}} = coq\theta \\ y = \frac{\sin\theta}{\sqrt{1-s^2\cos^2\theta}} = siq\theta \end{cases}, \text{ reprezentate în figura 1.5,a cu } \begin{cases} x = R \cdot coq\theta \\ y = R \cdot siq\theta \end{cases}$$

în care R este variabil, în domeniul $R \in [0.5, 2.5]$, iar cuadrilobele **Alaci Valeriu** (**Fig. 1.5,b**) au introduse, în relațiile anterioare, o rotație cu $\pi/4$ și au raza R variabilă, pentru ca toate colțurile cuadrilobelor să treacă prin punctul $A(1, 0)$.

Transformarea continuă a unor curbe închise în alte curbe închise, cum este exemplul prezentat al cuadrilobelor, cu ajutorul **FSM** este un succes de seamă al noilor complemente de matematică. Alte curbe, noi, pot umple continuu spațiul dintre un cerc și cele 2 triunghiuri isoscele, rezultate prin secționarea în două a pătratului, circumscris cercului, prin una din diagonalele sale. Ele au fost denumite **trilobe**. Notând cercul cu $C(O,R)$, pătratul centrat în O și de latură $L = 2R$ cu $P(O, 2R)$ și triunghiul isoscel, format dintr-o diagonală a pătratului și două laturi ale acestuia, cu $T(D, 2 \times 2R)$, transformările anterioare se poate scrie prescurtat:



1 INTRODUCERE

$$(1.42) \quad \begin{cases} C(O, R) \stackrel{dex}{\cong} P(O, 2R) \\ C(O, R) \stackrel{cex}{\cong} T(D, 2 * 2R) \end{cases} \Rightarrow P(O, 2R) \Rightarrow T(D, 2 * 2R), \text{ pentru } a = b = 1.$$

Pentru $a \neq b$ se obține transformarea continuă a elipsei $E(a, b)$ în dreptunghiul $D(a, b)$ sau în triunghiul oarecare $TO(a, b, c)$ și, în consecință, apare posibilitatea transformării dreptunghiului în triunghi oarecare, ceea ce, prescurtat, se poate scrie astfel :

$$(1.43) \quad \begin{cases} E(a, b) \stackrel{dex\theta}{\cong} D(a, b) \\ E(a, b) \stackrel{cex\theta}{\cong} TO(a, b, c) \end{cases} \rightarrow D(a, b) \Rightarrow TO(a, b, c).$$

Fiind vorba de limbaj, cum ar putea fi denumite **noile curbe**, rezultate în transformarea cercului în pătrat și / sau a elipsei în dreptunghi sau a cercului în triunghi isoscel și / sau a elipsei în triunghi oarecare ?

Primele au fost denumite **cuadrilobe** [18. M. Șelariu, « QUADRILOBIC VIBRATION SYSTEMS », The 11th International Conference on Vibration Engineering, Timișoara, 2005], iar următoarele **trilobe**: deoarece, primele dispun de 4 lobi, iar ultimele de 3 lobi.

Nu toate curbele închise, cu un număr oarecare de lobi, fac parte din această categorie / familie de curbe **polilobe** sau **n-lobe**, ci numai acelea care au, la cele două capete ale transformărilor directe și / sau inverse, **cercul** ($s = 0$) și, respectiv, un **poligon perfect** ($s = \pm 1$), nu neapărat și regulat, ca în cazul cuadrilobelor.

Există multe alte curbe închise cu n lobi care, însă, nu sunt polilobe. Astfel, cu funcția **Rex** ($n\alpha$) se obțin curbe închise cu n lobi, care pentru $s = 0$ degenerază în cerc, dar, pentru $s = \pm 1$ nu se obține un poligon, ci se obțin roze cu n petale.

Denumirea de **excentrice**, dată noilor curbe, ce apar prin înlocuirea funcțiilor centrice cu cele excentrice, a fost dată de Prof. math. **Anton Hadnagy**, unul dintre matematicienii timișoreni cu vaste cunoștințe și mari perspective, ale cărui aripi s-au frânt mult prea brusc și mult prea devreme. Entuziasmat de vastele aplicații ale noilor complemente de matematică el a “decretat”: “Acum, tot ce știm în matematică trebuie cuprins într-un domeniu denumit **CENTRIC** și tot ce apare nou, grație complementelor **supermatematice**, trebuie înglobat într-un domeniu denumit **EXCENTRIC**”. Și care, pentru $e = s = 0$, îl cuprinde și pe cel centric.

Noul domeniu, rezultat prin reuniunea celor două domenii, a fost denumit **SUPERMATEMATICĂ (SM)**. Deci : **SM = MC \cap ME**

Dacă matematica a fost, cândva, numai un limbaj, ce se servea de o mulțime de simboluri și aparținea exclusiv etnosferei, ea s-a furișat /difuzat și în lumea uneltelor, în care este folosită astăzi din plin, la soluționarea multor probleme tehnice.

Matematica este **liantul** dintre cele două lumi noi, dintre etnosferă și tehnosferă și **forța** sau **resortul** care le-a înălțat pe axa verticală a calității și le-a marcat dezvoltarea continuă a inteligenței lor. Este germenul care a făcut posibilă dezvoltarea pe verticală a tehnosferei și apariția “copilului minune” al informaticii: **CALCULATORUL**. Apoi s-a născut “**ROBOTUL**” - “operatorul în salopetă de oțel”

1 INTRODUCERE

(cum l-a denumit Prof. Dr. Ing. **Dolphi Drimer**) ca, mai târziu, să se dezvolte, impetuos, **MECATRONICA** și **INTEGRONICA**, primele **sisteme artificiale inteligente** create de om.

Orice dezvoltare sau revoluție dintr-un domeniu, de exemplu în **etnosferă**, atrage după sine dezvoltări și revoluții în tehnosferă, dar și invers, condiționându-se reciproc. Prin decantarea celor mai reușite realizări, din cele două sfere și prin organizarea lor superioară, **sinergetică**, au dat naștere celei de **a treia sferă**, aceea a sistemelor/dispozitivelor artificiale **inteligente**, cum sunt, așa cum s-a aratat anterior, **mecatronica** și, apoi, **integronica**.

E de necontestat că teoria relativității, a lui **Einstein**, a constituit un pas enorm în domeniul cunoașterii științifice a universului în care trăim. Și în care, în principiu, un sistem inerțial Oxy se deplasează cu viteza v , față de un alt sistem inerțial (sau considerat « fix », scris între ghilimele, pentru că în natură nimic nu-i fix: totul e în continuă mișcare..) $O'x'y'$. Astfel, încât O' se deplasează pe direcția x și distanța OO' crește proporțional cu produsul dintre viteza relativă v și timpul t , adică cu $s = v.t$.

S-a considerat că timpul ar fi o **patra dimensiune** a spațiului (?). În realitate, O' este un **excentru** (pentru că a plecat, sau a fost expulzat, din centrul $O(0, 0)$ la momentul $t = 0$) și care se deplasează, pe direcția $\varepsilon = 0$, direcția axei x , cu distanța OO' , care este, tocmai, o **excentricitate variabilă e** și care crește continuu, adică $O' \equiv E$ ($e = vt$, $\varepsilon = 0$).

Excentricitatea variabilă este, sau poate fi, o **a patra dimensiune a spațiului**; timpul neputând fi spațiu și nici spațiul nu poate fi timp. Dacă, cele două sisteme se deplasează relativ, printr-o translație circulară, având și o direcție ε variabilă, atunci ε devine o a cincea dimensiune a spațiului, sau $e_x = e.\cos \varepsilon$ și $e_y = e.\sin \varepsilon$ sunt două noi dimensiuni variabile ale spațiului, dacă planele xOy și $x'O'y'$ rămân confundate în timpul translației, adică, $z' = z$ în permanență. Dacă nu, apare o a șasea dimensiune variabilă a spațiului $e_z = v_z.t$, pentru translația sistemului $x'O'y'$ pe direcția z .

Pentru mai multe dimensiuni suplimentare ale spațiului, acesta trebuie să se curbeze. Adică, traiectoria lui $O' \equiv E$ nu mai este liniară /**rectilinie** și nici **circulară**, ci este o **curbă strâmbă** în spațiu 3D. Schimbând continuu curbele strâmbe, savanții pot multiplica progresiv, oricât, dimensiunile universului / spațiului, cu ajutorul **FSM**.

Apariția și dezvoltarea teoriei relativității a dat aripi cercetării științifice, care a îndrăznit, în cele din urmă, să se extindă în spațiul cosmic. Pentru a-l cuceri, sprijinită din plin de noua revoluție a informaticii, de apariția calculatoarelor electronice numerice, de trecerea de la semnale analogice la semnale numerice și, nu în ultimul rând, de **îndrazneală**, care este cel mai bun « corăbier ».

1.5 DEZLEGAREA ENIGMEI MATEMATICE A MARI TEOREME A LUI FERMAT

Prin eforturi susținute și eșecuri repetate, într-o perioadă de peste 350 de ani, matematica a rezolvat « Marea teorema a lui **Fermat** ». Autorul (dar, mai precis, ar trebui spus autorii) care a dus la bun sfârșit această aventură a cunoașterii, în mai 1995,

1 INTRODUCERE

este considerat **Andrew Wiles**, care a făcut, totodată, un mare pas înainte în teoria algebrică a numerelor.

Istoria acestui succes este descrisă de **Simon Singh**, care la pag. 209 [**Simon Singh**, «MAREA TEOREMA A LUI FERMAT, povestea unei enigme care a contaminat cele mai luminate minți ale lumii vreme de 358 de ani», Ed. Humanitas, Bucuresti, 2005] afirmă că «**Matematica** e formată din **insule de cunoaștere într-un ocean de ignoranță**». Fiecare insulă aparține unei «secte»: a geometrilor, analiștilor, algebriştilor ș.a.m.d. care dezvoltă limbaje noi, numai de ei știute, încât băștinașii unei insule nu se mai înțeleg cu alții de pe alte insule. Acest lucru scoate în evidență faptul că evoluțiile esențiale în matematică s-au produs cu precădere în lumea etnosferei și mai puțin în cea a tehnosferei. Matematica și-a schimbat continuu **limbajul matematic**, pretinzând, de fiecare dată, că acum el este **mai adecvat**, fără să se muncească, cu aceeași râvnă, la multiplicarea **uneltelor matematicii**. Și, este recunoscut, că matematica este, sau ar trebui să fie, un puternic **instrument** sau **unealtă**, cu ajutorul căreia omul să modeleze natura. **Simon Singh** afirma, în lucrarea lui, că la susținerea conferinței, cu privire la demonstrarea mării teoreme a lui **Fermat**, în lume nu existau mai mult de 6 (șase!) persoane care să înțeleagă, pe deplin, cele discutate. Ne referim la ecuațiile eliptice, sistemele modulare, conjectura **Taniyama - Shimura** ș.a. Dacă se schimbă mereu limbajul și nu unealta, cine să mai înțeleagă..., cine să mai îndrăgească..., cine să mai servească... matematica ?

Dar, înainte de-a servi matematica, trebuie să servim adevărul în matematică.

Din respect pentru adevăr, e necesar să amintim că aceeași teoremă a fost soluționată și de reputata matematiciană americană de origine română Dr. **Malvina Florica Baica**, profesor la Universitatea Wisconsin, membră a Academiei de Științe din New York, așa cum se vor prezenta în continuare, relatările acestei **doamne a matematicii**.

“Adevărul cu FLT (Fermat Last Theorem) sau Teorema mare (ultima) a lui **Fermat** este următorul:

Teorema originară a fost expusă în Geometria Euclideana (EG).

*Cum nu se poate calcula într-o geometrie, se **inventează** Algebra geometriei respective. Algebra geometriei Euclidiene a fost inventată de **Gauss** și este numită Algebraic Number Theory. Mai nou, în fiecare Algebră, există un rezultat major numit EULER SYSTEM (**ES**) în care, dacă se implementează corect condițiile oricărui rezultat, ce se dorește a fi demonstrat în algebra respectivă, acel rezultat devine o consecință a acestui **Euler System (ES)**.*

*Ce a făcut **Wiles**? A folosit Algebra curbilor eliptice, adică (Elliptic Geometry-EG) descoperită de **E. Schmidt** în 1940 și dezvoltată de **Hecke** în zilele noastre și a încercat să rezolve FLT în Elliptic (**ELFLT**), zicând că-i același lucru ca și EFLT (teorema în Euclidean).*

*Acest lucru nu-i adevărat. Mai mult, el nu a rezolvat nici **ELFLT**. A folosit un **ES** pentru cazul $n = 3$, ca să demonstreze un caz general. Nu au putut să inventeze un **ES** pentru cazul general n . Dacă ar fi descoperit un n -dimensional **ES**, în Algebra Curbilor Eliptice, atunci ar fi demonstrat că EFLT este echivalentă cu ELFLT. Așa că,*

1 INTRODUCERE

nu s-a putut demonstra nici măcar echivalența. **G.Faltings** a abandonat **ES** și a folosit deformațiile, astfel demonstrând **ELFLT**, fără să demonstreze că sunt echivalente.

Prof. Dr. **Malvina Baica** a descoperit **BGEA** (**Baica's General Euclidean Algorithm – BGEA-**), care a arătat că-i **ES** în algebra **GE** și a demonstrat originala **EFLT** (în Euclidean).

Folosind solvabilitatea prin radicali, a demonstrat că **ELFLT**, demonstrată de **Faltings**, este echivalentă cu **EFLT**, demonstrată de **Baica**. Tot ea a demonstrat că nu-i același lucru, căci în Eliptic nu se poate demonstra cum se demonstrează în Euclidean, căci, pentru $n = 2$, sunt soluții parametrice determinate prin fracții continue, care-i Algoritmul lui **Euclid** original și-i $n = 2$ în **BGEA**.

În Eliptic nu se poate aplica cazul $n = 2$, din moment ce în Eliptic se începe numai cu $n = 3$ și nu există cazul $n = 2$.

ÎN CONCLUZIE, pentru restabilirea adevărului: **A.Wiles** a încercat să demonstreze **ELFLT** și nu a reușit, cu tot ajutorul lui **R.Taylor**. **G.Faltings** a rezolvat **ELFLT**, de unde s-a încurcat **A.Wiles**, cotind-o pe deformații ca să obțină modularitatea.

În timp ce, **Malvina Baica** a rezolvat

1) în Euclidean (originala) **EFLT**,

2) a demonstrat că **ELFLT** este echivalentă cu **EFLT** și

3) a demonstrat că nu sunt același, fiind în geometrii și, ca atare, în algebre (Algebraic Geometries) diferite.”

Matematica este cu siguranță, pe lângă limbaj și simboluri, totodată, și **unealta**, fără de care știința n-ar fi putut să se dezvolte atât de impetuos și apariția dispozitivelor inteligente era de neconceput. În domeniul etnosferei, prin înmulțirea insulelor și prin extinderea suprafețelor lor, oceanul de ignoranță s-a redus considerabil. Deși pare de necrezut, în domeniul tehnosferei « **petele albe** » sau « **oceanul ignoranței** » au rămas, fără exagerare, mai întinse decât în geografia dinainte de **Columb**. Astfel se explică de ce matematica actuală, pe care o denumim și **centrică**, are doar dimensiune topologică **zero**, a unui punct, conținut într-o suprafață, în timp ce noua matematică, denumită **excentrică**, ca și **SM**, are dimensiunea topologică de **minimum doi**, a suprafeței, în care, un punct, denumit excentru **E**, poate fi plasat și deplasat.

La 3 noiembrie 1823, **Janos Bolyay** scria, la Timișoara: " **Din nimic am creat o nouă lume**". Cu aceste cuvinte a anunțat descoperirea formulei fundamentale a primei **geometrii neeuclidiene**. Tot la Timișoara, tot din nimic, pentru că un punct este nimicul de dimensiune topologică zero, în 1978, prin publicarea lucrării " **Funcții circulare excentrice**", în care se arăta că fiecărui punct **E(e,e)** din planul cercului trigonometric, denumit **excentru**, îi corespunde o matematică, s-a născut noua matematică, matematica excentrică (**ME**), care, asociată cu vechea matematică, matematica centrică, a dat naștere **supermatematicii (SM)**.

La prezentarea acestei lucrări, în cadrul « Primei Conferințe Naționale de Vibrații în Construcția de Mașini », Prof. Em. Dr. Doc. Ing. **Gheorghe Silaș** a declarat: » **Tinere**, dumneata nu ai descoperit « niste » funcții noi, ci o **nouă matematică, o**

1 INTRODUCERE

supermatematică » . Și profesorul emerit de mecanică și vibrații era, înainte de toate, profesor de matematică; vorbea în cunoștință de cauză.

Supermatematica s-a născut din efortul milenar și disperat al omului de-a modela lumea, așa cum este ea: **complexă și neliniară** și nu liniară și simplistă.

SM este împlinirea visul matematicienilor de-a avea o infinitate de matematici și de-a opera cât mai simplu cu ele și, dacă este posibil, de-a renunța la sistemele de referință. Și, cu supermatematica (**SM**), acest lucru este parțial posibil !

SM nu mai face distincție între liniar și neliniar. **MC**, cu $\mathbf{e} = \mathbf{s} = \mathbf{0}$, este domeniul propriu sistemelor **liniare**, ideale, perfecte, în timp ce, **ME**, cu $\mathbf{s} = \mathbf{e} / \mathbf{R} \neq \mathbf{0}$, este domeniul sistemelor **neliniare, reale, imperfecte**. Rezultă că **SM**, ca reuniune, cuprinde atât liniarul cât și neliniarul într-un **singur tot, fără granite**.

Dărâmarea zidului, care a existat de mii de ani și atât de nepenetrabil, între liniar și neliniar, este un alt succes de prestigiu al noilor complemente de matematică, reunite sub denumirea de **SM**. Neexistând, până în prezent, o matematică a **neliniarului**, rezolvarea problemelor neliniare era o adevărată artă; unealta matematică **centrică** trebuind să se modeleze special pentru rezolvarea fiecărei probleme neliniare în parte. Cel puțin așa afirmă matematicienii.

Descoperirea trecerii **de la centric la excentric** în matematică este, fără exagerare, similară trecerii **de la geocentric la heliocentric** în cosmologie / cosmogonie; ambele domenii beneficiind de saltul uriaș de la unu la infinit.

Înlocuindu-se, de exemplu, în ecuațiile parametrice ale diverselor curbe cunoscute, precum cerc, elipsă, parabolă, hiperbolă ș.a., pe care le numim **centrice**, funcțiile trigonometrice centrice **cosa**, **sina** ș.a. cu cele excentrice **cex θ** , **sex θ** , ș.a se obține o altă formă de curbă, denumită **excentrică**, pentru fiecare poziție posibilă a excentrului **S** sau **E** în planul curbei. Se vor obține o infinitate de **excentrice** circulare, eliptice, hiperbolice ș.a.m.d. și, pentru $e = 0$, se va obține curba generatoare, **centrică**, de la care s-a plecat.

Se deduce, că matematica centrică (**MC**) este un caz particular, de excentricitate nulă, a **SM** și că **matematica excentrică (ME)** a **SM** are dimensiune topologică de **minimum 2**, în timp ce, matematica centrică are numai dimensiunea **topologică zero**, a unui punct ($\mathbf{E} \equiv \mathbf{O} \equiv \mathbf{C}$).

În plus, la funcții noi se obțin o infinitate de forme 2D sau 3D noi (vizibile pe www.supermathematica.org, www.supermatematica.ro; www.supermathematica.com; www.supermatematicaonline.blogspot.ro) dintre care, amintim obiectele geometrice hibride:

- **conopiramida**, (**Fig. 1.4**), care începe ca o piramidă cu baza un pătrat și se termină ca un con circular drept, conopiramidă obținută prin **transformarea continuă a cercului în pătrat**, cu funcția **dex θ** , sau cu funcțiile cvadrilobe **coq θ** și **siq θ** ;
- **țeava cilindro-pătrato-triunghiulară** la care, pe lângă transformarea anterioară, se adaugă și **transformarea continuă a cercului în triunghi**, cu ajutorul funcție **cex θ** ; ș.m.a. care stau la baza unei noi metode de reprezentare a pieselor tehnice, denumită **SM - CAD / CAM** și care permite desenarea, pur supermatematică, a oricărei piese tehnice (v. casa și avionul). Cu avantajele majore, care derivă din

1 INTRODUCERE

această acțiune și care se referă la o enormă economisire de memorie; memorându-se doar expresiile matematice ale formei piesei și nu imensitatea de puncte (pixeli) ce o alcătuiesc.

Aceste complemente noi de matematici, reunite sub denumirea de **SM**, sunt unelte sau instrumente deosebit de utile, de mult așteptate, dovadă fiind numărul mare și diversitatea funcțiilor periodice introduse în matematică și modul, uneori complicat, de a se ajunge la ele, așa cum se prezintă situația în capitolul următor. Capitolul 2 a fost introdus, în prezenta lucrare, pentru **a releva multiplele contribuții românești** și străine la dezvoltarea matematicii și pentru a sublinia, astfel, că prezentele complemente de supermatematică, introduse în matematică, sunt un fenomen firesc, normal.

1.6 CE NE OFERĂ MATEMATICA EXCENTRICĂ ȘI SUPERMATEMATICA

Pe lângă multiplicarea la infinit a tuturor funcțiilor centrice și spulberarea granițelor dintre liniar și neliniar, pe lângă multiplicarea dimensiunilor spațiului 2D și 3D cu un număr oarecare, nelimitat, de dimensiuni și obținerea, prin hibridare matematică, a noi entități și obiecte matematice, numite din această cauză hibride, anterior inexistente / necunoscute, mai sunt demne de etalat următoarele realizări :

A) ÎNTRODUCEREA / DESCOPERIREA ÎN MATEMATICĂ A UNOR FAMILII DE FUNCȚII PERIODICE NOI, DENUMITE SUPERMATEMATICE:

A1. Funcții circulare excentrice de variabilă excentrică ($cex\theta$, $sex\theta$, $tex\theta$, $rex\theta$, $dex\theta$, $ax\theta$, $bex\theta$ ș.a.) și de variabilă centrică ($Cex\alpha$, $Sex\alpha$, $Tex\alpha$, $Rex\alpha$, $Dex\alpha$, $Aex\alpha$, $Bex\alpha$ ș.a.), a celor **elevate** de variabilă excentrică ($cel\theta$, $sel\theta$, $tel\theta$ ș.m.a) și de variabilă centrică ($Cel\alpha$, $Sel\alpha$, $Tel\alpha$ ș.m.a), precum și a celor **exotice** de variabilă excentrică ($cexo\theta$, $sexo\theta$, $texo\theta$ ș.a) și de variabilă centrică ($Cexo\alpha$, $Sexo\alpha$, $Texo\alpha$ ș.m.a). Pentru excentricitate nulă, toate aceste funcții degenerază în funcțiile circulare (trigonometrice) centrice, clasice ($\cos\alpha$, $\sin\alpha$, $\tan\alpha$), iar $rex\theta$ și $dex\theta$ degenerază în **funcțiile circulare centrice noi** ($rad\theta$ și $der\theta$) care sunt funcțiile lui **Euler-Cotes**

$$(1.44) \quad rad\theta = e^{i\theta} \text{ și } der\theta = i \cdot e^{i\theta}.$$

Se observă, fără dificultate, că, astfel, matematica centrică (clasică, ordinară) devine un caz particular de $e = 0$ al **supermatematicii**.

A2. Funcții hiperbolice excentrice de variabilă excentrică ($cexh\theta$, $sexh\theta$, $texh\theta$, $rexh\theta$, $dexh\theta$ ș.m.a.) și de variabilă centrică ($Cexh\alpha$, $Sexh\alpha$, $Texh\alpha$, $Rexh\alpha$, $Dexh\alpha$ ș.m.a.), a celor **elevate** de variabilă excentrică ($celh\theta$, $selh\theta$, $telh\theta$ ș.m.a.) și de variabilă centrică ($Celh\alpha$, $Selh\alpha$, $Telh\alpha$ ș.a.) și a celor **exotice** de variabilă excentrică ($cexoh$, $sexoh$, $texoh$, $rexoh$, $dexoh$ ș.m.a.) și de variabilă centrică ($Cexoh\alpha$, $Sexoh\alpha$, $Texoh\alpha$ ș.m.a.).

Pentru excentricitate nulă și aceste funcții degenerază în cele **hiperbolice centrice** ($ch\alpha$, $sh\alpha$, $th\alpha$).

1 INTRODUCERE

A3. Funcții pe curbe închise necirculare, cum ar fi funcții trilobe, cvadrilobe, polilobe ș. a., unele dintre acestea fiind prezentate anterior.

A4. Funcții induse și funcții autoinduse, circulare și hiperbolice, centrice, excentrice, elevate și exotice prezentate în volumul II al lucrării. Exemple de astfel de funcții sunt $A \sin[B \cdot \sin[C \cdot \sin[\dots G \cdot \sin[x] \dots]]]$, $A \cdot \text{cex}[B \cdot \text{cex}[C \cdot \text{cex}[\dots G \cdot \text{cex}[\theta] \dots]]]$ ș.m.a.

A5. Funcții hiperbolice, parabolice și eliptice definite în **funcție de arcul cercului unitate, centrice și excentrice** (Vol. II).

A6. Funcții intratrigonometrice circulare și hiperbolice (Vol. II), **centrice și excentrice, elevate și exotice**, care completează continuu spațiul dintre funcțiile circulare directe **Euler** și funcțiile pătratice ale lui **Alaci Valeriu**.

B. APLICAȚII MATEMATICE ALE FUNCȚIILOR SUPERMATEMATICE:

B1. Descoperirea și introducerea în matematică a **excentricelor**, curbe plane noi, care multiplică la infinit curbele centrice corespondente (sau generatoare: cerc, elipsă, hiperbolă, spirale, cuadrilobe, polilobe ș. m. a.)

B2. Descoperirea și introducerea în matematică a unor noi **transformări continue** a formelor obiectelor matematice, ca de exemplu: transformarea continuă a cercului în pătrat, a elipsei în dreptunghi, a cercului în triunghi dreptunghic echilateral și a elipsei în triunghi dreptunghic oarecare, a elipsei în profile aerodinamice (**Jukowski, Carafoli** simetrice sau asimetrice), a sferei în cub ș. m. a.

B3. Descoperirea și introducerea în matematică a ecuațiilor parametrice ale triunghiului, pătratului, dreptunghiului cu sau fără colțuri rotunjite (cuadrilobe / cvadrilobe); a cubului, piramidei cu baza un pătrat, sau alt poligon cu muchii rotunjite sau nerotunjite, a prismelor ș.m.a.

B4. Descoperirea și introducerea în matematică ale **corpurilor 3D hibride** (cono-piramide, cilindri cu secțiune triunghiulară, pătrată, poligonală, cu colțuri ascuțite sau rotunjite, care se transformă continuu unul în altul, sau se transformă într-o secțiune circulară.

B5. Stabilirea unei dependențe mult mai generale, decât dintre unghiul cu vârful pe cerc și unghiul cu vârful în centrul cercului (caz obținut pentru excentricitate $s = -1$), la dependența dintre unghiurile cu vârful plasat **oriunde în planul cercului** (în **S** sau **E**) și unghiurile cu vârful pe cerc (în **W_{1,2}**), dependență care este reprezentată chiar de funcțiile amplitudine excentrică de θ sau de α (**ax θ** și, respectiv, **Aex α**)

B6. Determinarea unor relații de calcul, **oricât de exacte**, ale integralei eliptice complete de prima speță **K(k)** și transformarea, implicită, a unei metode numerice (**LANDEN**) într-o metodă analitică, cu păstrarea avatajelor preciziei, specifice metodelor numerice și a comodității relațiilor analitice de calcul.

Relația de calcul, astfel obținută, după numai 5 pași, conținând **numai doi termeni** simpli, asigură precizia de minimum **15 (cincisprezece !)** zecimale exacte, mai multe decât conțin tabelele din cartea de funcții speciale a lui **Milton**

1 INTRODUCERE

Abramowitz și Irene Stegun "HANDBOOK OF MATHEMATICAL FUNCTIONS with formulas, graphs and mathematical tables".

Precizia de 9 zecimale exacte este echivalentă cu considerarea a 162 de termeni în seria lui $K(k)$. Prin continuarea pașilor, se pot obține relații de calcul și mai precise, iar metoda se poate extinde și la alte aplicații, cum ar fi integrala eliptică de speța 2-a $E(k)$ ș.m.a., la care s-a obținut același grad extraordinar de ridicat de precizie.

B7. Soluționarea unor ecuații diferențiale liniare de ordinul doi, cu coeficienți variabili și, respectiv, a unor sisteme mecanice oscilante cu caracteristică elastică neliniară cu **FSM** $\text{cex}\theta$ și $\text{sex}\theta$ de variabilă excentrică și / sau de variabilă centrică.

B8. Extinderea **FSM**, de la excentru $E(e, \varepsilon)$ punct **fix** în plan (e și ε - constante), la excentru mobil ($e(\theta)$ și $\varepsilon(\theta)$ -variabile) și la **FSM** de dublă, triplă și multiplă excentricitate.

B9. Extinderea **FSM** de la funcții circulare la funcții hiperbolice excentrice, elevate și exotice.

B10. Introducerea funcțiilor matematice de transfer informational.

B11. Descoperirea și introducerea în matematică a funcțiilor excentrice pseudohiperbolice.

B12. Descoperirea și introducerea în matematică a domeniului FRACTALELOR TRANSFORMISME (DINAMICE) prin repetarea nu identică a reproducerii curbelor matematice, ci prin repetarea lor cu modificări progresive, abia vizibile, posibile prin modificarea continuă a excentricității e și / sau a direcției ε .

B13. Descoperirea proprietății funcțiilor $\text{rex}\theta$ și $\text{Rex}\alpha$ de a reprezenta ecuațiile tuturor curbelor plane cunoscute, ca și a multora noi, prin observarea faptului că ele reprezintă, în coordonate polare, expresia distanței dintre două puncte în plan.

B14. Exprimarea, în premieră, a formei trigonometrice a sumei și a diferenței numerelor complexe, cu ajutorul funcțiilor $\text{rex}\theta$ și / sau $\text{rad}\alpha$ și $\text{der}\alpha$.

B15. Introducerea în matematică a funcțiilor $\text{rad}\alpha$ și $\text{der}\alpha$ (funcții **Cotes-Euler**) ca funcții centrice corespondente, a celor excentrice $\text{rex}\theta$ și $\text{dex}\theta$. Favorii $\text{rad}\theta$ și $\text{der}\theta$ fiind derivata și, respectiv, integrala celuilalt favor.

B16. Descoperirea și introducerea în matematică a unei noi metode de integrare, denumită prin divizarea diferențialei și stabilirea derivatelor și integralelor unor **FSM**.

B17. Exprimarea cu **FSM** a sumei unor serii matematice, a căror sumabilitate nu s-a cunoscut, până în prezent, pentru că nici **FSM** respective nu erau cunoscute.

B18. Reprezentare epi- și hipo cicloidelor cu funcția $\text{Rex}(n, \alpha, S(s, \varepsilon))$.

B19. Stabilirea faptului că **FSM**, reprezentând suma unor dezvoltări în serie, realizează operația inversă a dezvoltării în serie (de exemplu **Fourier**), de

1 INTRODUCERE

sumare a acestora. Adică, de la o serie cu o infinitate de termeni se poate trece la o relație exactă cu numai doi termeni.

B20. Produsul celor două determinări ale funcției $\text{rex}(\theta, E)$ reprezintă puterea unui punct (a excentrului E) față de cerc și poate înlocui teorema coardelor, teorema secantelor și teorema tangentelor (Cap. 4, § 4.2.3).

B21. Inversa funcției $\text{Rex}(\alpha, E)$ reprezintă funcția generatoare a polinoamelor **Legendre**. Prin schimbarea variabilei centrice α cu cea excentrică θ , sau a lui $\text{Rex}(\alpha, E)$ cu $\text{rex}(\theta, E)$, se realizează o schimbare de variabilă în polinoamele **Legendre** și se obțin expresii cu mult mai simple.

B22. Inversa funcției $\text{Dex}\alpha$ reprezintă funcția generatoare a polinoamelor **Cebâșev**.

B23. Pentru θ și ε variabile, se obțin funcții dublu periodice.

B24. Pentru θ variabilă independentă și excentricitatea e/s un parametru constant, iar ε variabil (E se rotește în jurul unui punct, ca de exemplu în jurul originii și centrului cercului O) se obține o mișcare pendulară a unui punct pe cerc, mișcare denumită a **pendulului supermatematic**.

B25. Cele două determinări (principală -1 și secundară - 2) ale FSM $\text{rex}\theta$ sunt, totodată, cele două rădăcini (soluții) ale ecuațiilor algebrice de gradul 2.

C. APLICAȚII ALE SUPERMATEMATICHII IN INFORMATICA ȘI ÎN PROGRAMARE:

C1. Dezvoltarea unui nou procedeu denumit **SM-CAD/CAM**, de generare și vizualizare a suprafețelor pieselor tehnice și de programare a generării lor pe mașini-unelte cu CNC. Procedeu se bazează pe facilitățile pe care le asigură noua matematică (**SM**) la definirea numerică a suprafețelor complexe denumite "**nematematice**", anterior descoperirii **FSM** (v. procedeu UNISURF a lui **P. Bezier** de definire numerică a acestor suprafețe).

Prin saltul de la unu la infinit, realizat de **SM**, aproape toate suprafețele "**nematematice**" **devin matematice**, sau, mai precis, **supermatematice**.

C2. Realizarea unor programe de reprezentare și simulare a unor mecanisme mecanice și a mărimilor cinematice și dinamice ale acestora.

C3. Realizarea unor programe de simulare a cinematicii și ale mărimilor dinamice ale oscilațiilor sistemelor mecanice neliniare (descrierea curbei integrale din planul fazelor $V_x(x)$ și $V_y(y)$ și a caracteristicilor elastice statice neliniare (CES), pentru diverse valori ale excentricității e , rezultând **3 sisteme** de caracteristică elastică liniară, pentru $e = 0$ (normal, $e = 0$ fiind domeniul funcțiilor centrice, ideale, liniare), dar și pentru $e = +1$ și $e = -1$, cazuri în care, punctul de masă m se oprește, o jumătate de perioadă, la una dintre extremitățile cursei de oscilație și care corespund **sistemelor oscilante Cebâșev**.

C4. Realizarea unui program de proiectare a camelor cu **FSM** pentru îmbunătățirea calității mișcării (marirea cronosecțiunii, de exemplu, fără transformări proiective) și reducerea accelerațiilor maxime. O astfel de camă

1 INTRODUCERE

echipează deja o mașină de îndreptat bare și de sudat plase de sârmă, fabricată de S.C. **Electrotimiș** din Timișoara, la care alte tipuri de came au dat greș.

D. APLICAȚII TEHNICE ALE FUNCȚIILOR SUPERMATEMATICE:

D1. FSM $\text{rex}\theta$ este funcția universală de transfer de ordinul 0 (a poziției) și **$\text{dex}\theta$** - funcția universală de transfer de ordinul 1 (a vitezelor sau a turațiilor) **tuturor mecanismelor plane cunoscute.**

D2. FSM-CE $\text{rex}\theta$, $\text{rex}'\theta$, $\text{rex}''\theta$ sunt expresile exacte ale cursei, vitezei și, respectiv, ale accelerației **mecanismelor bielă-manivelă**, centrice și excentrice.

D3. FSM-CE $\text{rex}\theta$ transformă elipsele (centricele eliptice) în profile **Joukovski** (care sunt denumite, acum, **excentrice eliptice**), **Carafoli**, ș.m.a. și reprezintă, totodată- prin **$\text{Rex}\alpha$** , de excentricitate egală cu pătratul pulsației normate, expresia rigidității dinamice a sistemelor mecanice oscilante liniare și neliniare.

D4. Inversa **FSM-CE $\text{Rex}\alpha$** reprezintă, totodată, expresia complianței dinamice sau răspunsul în frecvență ale sistemelor vibrante.

D5. Descrierea cu **FSM-CE $\text{rex}\theta$** și / sau **$\text{Rex}\alpha$** a traiectoriilor roboților industriali cu module de rotație (Tip RRTR).

D6. Introducerea în mecanică a "**mişcării circulare excentrice**", o mișcare neuniformă a mobilului pe cerc, mișcare condusă din excentrul **$E(e,\varepsilon)$** .

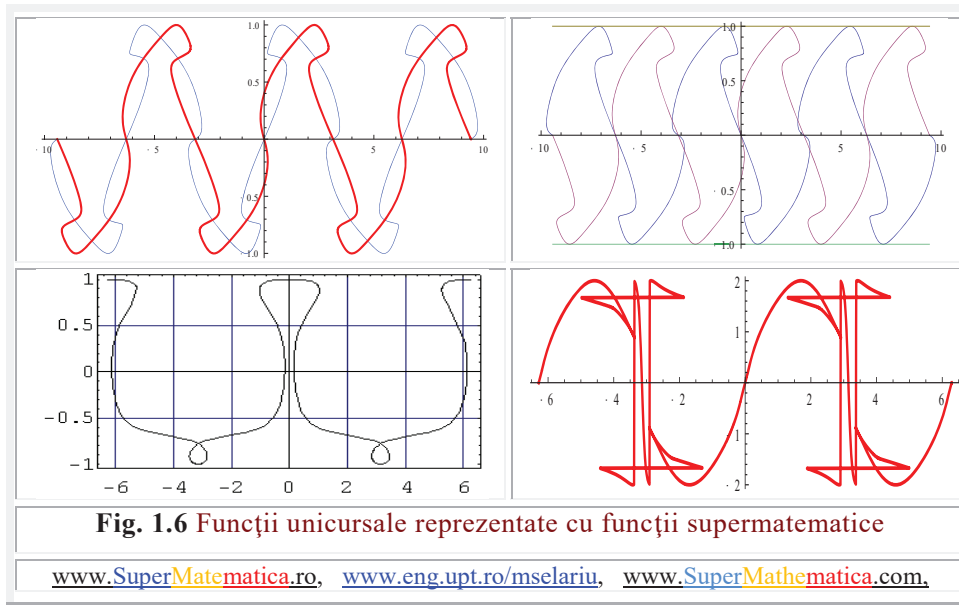
În lipsa perfecțiunii sistemelor reale, toate sistemele considerate cu mișcare circulară (**centrică**) sunt, de fapt, mai mult sau mai puțin, **excentrice**. De aceea, domeniul (sistemele) **excentric** este al sistemelor reale (**neliniare**), iar cel **centric** al sistemelor ideale (**liniare**). Din aceste cauze, matematicile centrice n-au putut soluționa, decât cu mari dificultăți și complicații, sistemele reale neliniare. Nu de la liniar se ajunge la neliniar, cum ne-am fi așteptat, ci exact invers: liniarul este un caz particular, de **$e = 0$** , al neliniarului, adică **centricul este un caz particular al excentricului**; idealul este un caz particular al realului. Dacă el există !?

Pentru **$e = 0$** , mișcarea circulară excentrică devine centrică, arhicunoscută.

Dacă cercul și pătratul au aceleași ecuații parametrice ($x = \text{dex}(\theta)$, $y = \text{dex}(\theta \pm \pi / 2)$), pentru **$e = s = 0$** obținându-se cercul și pentru **$s = 1$** sau **$s = -1$** obținându-se pătratul cu colțuri în unghiuri riguros drepte, se conchide că **cercul** este un caz particular al **pătratului** și nu invers: perfecțiunea fiind un caz particular (teoretic- ideal, **matematic** posibil, dar practic prea puțin atins, dacă nu chiar deloc) al imperfecțiunii.

Pornind de la pătrat, prin micșorarea excentricității **s** de la 1 la 0, se obțin colțurile rotunjite ale pătratului, astfel că, la **$s = 0$** , raza de rotunjire este exact jumătate din latura pătratului.

1 INTRODUCERE



D7. Reprezentarea semnalelor dreptunghiulare cu **FSM-CE** $\text{dex}\theta$ de $e = \pm 1$, care poate înlocui funcțiile **Rademacher** $\text{rad}(n, \theta)$ și $\text{wal}(m, \theta)$ utilizate la prelucrarea numerică a semnalelor. Totodată, se vor elabora ecuațiile unor semnale (curbe unicursale) ce nu pot fi obținute cu matematica actuală, centrică. Astfel de exemple, sperăm concludente, a fost prezentate în **figură 1.6**.

D8. Utilizarea **FSM-CE** $\text{dex}(n\theta, e = 1)$ la eșantionarea semnalelor (în locul funcției **Hevisaid**);

D9. Dezvoltarea unui nou mod de reprezentare exactă a vibrațiilor sistemelor liniare cu amortizare vâscoasă, prin care diagrama polară (locul geometric al fazorului amplitudine / complianță) a receptanței devine **riguros exact un cerc**, prezentând și multe alte avantaje față de metodele actuale, pentru care, la frecvențe mici, abaterile de la circularitate sunt foarte mari.

Noul mod de reprezentare, permite exprimarea amortizării, prin lărgimea de bandă și pentru sistemele cu amortizare foarte mare, a căror amplitudine maximă normată (raportată la amplitudinea statică) ca funcție de amplificare, în sistemele actuale, pare a fi în origine (la frecvența / pulsație normată nulă) și de ordonată egală cu unitatea, sau cu deformația statică, dar care, în realitate, este doar un punct de trecere (nod) al famililor de curbe, ale căror maxime sunt situate la o abscisă de pe **axa $\chi = \frac{\omega}{\omega_0}$ negativă (!)**.

Ce înseamnă frecvență negativă ?

Dacă, pentru o rotație în sens sinistrorum / levogin sau trigonometric, frecvența este considerată pozitivă, atunci la schimbarea sensului de rotație în sensul dextrorum/dextrogin sau invers trigonometric se obțin frecvențe negative.

1 INTRODUCERE

D10. Amplitudinea elastică - componenta reală a receptanței $\mathbf{Re}(\mathbf{x})$ - în funcție de pulsația normată, sau de raportul dintre pulsația de excitație și pulsația proprie, a sistemelor liniare cu amortizare vâscoasă, este dată de **FSM-CE cosinus elevat - cel(θ)**.

D11. Amplitudinea absorbtivă - componenta imaginară a receptanței $\mathbf{Im}(\mathbf{x})$ - a sistemelor vibrante, anterior menționate, sunt exprimate de **FSM-CE sinus elevat - sel(θ)**.

D12. **FSM-CE** oferă posibilitatea "teleportării" mecanismelor din domeniul tehnic în cel matematic; între mecanismele tehnice și cele matematice existând o similitudine perfectă. Cândva, matematica și mecanica formau un tot unitar. Se va revenii ?

D13. **FSM-CE**, împreună cu o nouă metodă, dezvoltată de autor, denumită **METODA SEPARĂRII (FORȚELOR și a) MOMENTELOR** (pe scurt **MSM**), o metodă de cinetostatică geometrică, prin care soluționarea sistemelor de ecuații de echilibru **d'Alambert** se reduce la o problemă de geometrie (plană, pentru sisteme solicitate de forțe plane sau reductibile la acestea, iar pentru sisteme 3D la matrici partiționate), permite soluționarea **exactă, rapidă, simplă și intuitivă** a tuturor sistemelor mecanice.

Prin **MSM**, o serie de elemente și sisteme mecanice cunoscute (pană, pârghie, excentric, plunjer, etc) obțin relații ale funcțiilor de transmitere (transfer) a forțelor (și, prin aceasta, a tuturor celorlalte funcții de transfer) **exacte, fără scrierea și soluționarea ecuațiilor de echilibru**, ci pur și simplu pe cale pur geometrică, elementară, mai simple și mai ușor de manipulat în cadrul sistemelor complexe, iar pentru unele elemente și sisteme, pentru care astfel de expresii exacte nu erau cunoscute până în prezent, în literatură, acum se pot determina, fără dificultate.

MSM se poate aplica fiecărui element în parte, al unui sistem, dar și **sistemului în ansamblul lui**. (v.Cap. 8)

D14. **FSM** pot descrie figurile de interferență ale cristalelor biax.

D15. **FSM** pot descrie caracteristici elastice statice neliniare de orice tip (moi - regresive, tari - progresive sau combinate) cu **FSM-CE $\text{tex}\theta$** , precum și o serie de curbe de histerezis și de modele reologice.

D16. **FSM** pot **descrie suprafețele complexe ale pieselor tehnice**, [v. **Mircea Șelariu, DISPOZITIVE DE PRELUCRARE**, Cap 17 din **PROIECTAREA DISPOZITIVELOR**, E.D.P, Buc., 1982, coordonator **Vasii Sanda Roșculeț**], servind, deja, la prelucrarea acestora cu directoare programată pe calculator. Un mare număr de corpuri de legătură ale pieselor se descriu cu ajutorul **FSM**, care realizează diverse transformări continue a unei forme în altă formă matematică și, totodată, tehnică.

D17. **FSM**, descriind profilele aerodinamice și hidrodinamice, aidoma excentrelor eliptice, au fost concepute dispozitive și mașini-unelte de generare, cu directoare cinematică și / sau programată, a suprafețelor complexe ale unor piese prin operații de strunjire, frezare, rectificare ș.a., astfel că, manopera

1 INTRODUCERE

îndelungată și costisitoare, altfel necesară, de exemplu, după realizarea paletelor de turbină pe mașini-unelte CNC, să se elimine complet.

D18. FSM au sugerat posibilitățile realizării unor sisteme tehnologice de prelucrare pe **principii complet noi**. La baza acestor procedee se află generarea unor curbe de rostogolire de tip cicloidale (cele normale obținându-se, prin definiție, fără alunecare) dar noile curbe (**excentrice cicloidale**) se obțin cu alunecare controlată. În acest mod, cu două motoare, eventual pas-cu-pas, comandate de un calculator, pot fi generate, cu directoare cinematică (sau obținute cu directoare programată pe mașini-unelte CNC), toate curbele plane cunoscute.

Tot astfel, pot fi obținute **mese turnante**, a căror axă de rotație poate fi teleportată și localizată **oriunde**, într-un plan perpendicular pe axa de rotație.

Pot fi realizate și mese, cunoscute sub denumirea de **tripod și hexapod**, cu trei și, respectiv, cu șase grade de libertate, trei translații și trei rotații, cu ajutorul cărora, un obiect poate fi poziționat (localizat și orientat) oricum în spațiul 3D.

Tipic descoperirilor de până acum, afirma savantul anglo-sovietic **Kapitza**, este că valoarea unor descoperiri, deși importante, este recunoscută de abia după 20...30 de ani. În România, această perioadă este cu mult mai lungă. Noi am așteptat peste **35** de ani, timp în care **SM** s-a îmbogățit cu **FSM** circulare și hiperbolice, elevate și exotice, de excentru **E** punct **fix** sau punct **variabil**, ce evoluează pe o anumită curbă, după anumite legi, cu **FSM** de variabilă centrică, cu **FSM** de **dublă excentricitate** și de **excentricitate multiplă**, precum și cu o pleiada de aplicații dintre cele mai importante, dacă e să amintim doar **SM-CAD / CAM** și **fractalele dinamice**, inițiate de noi și **haosul excentric** al Prof. Dr. Math. **Emilia Petrișor**.

În acest domeniu, sunt publicate peste 40 de lucrări științifice, scrise de peste 30 de autori. Noi ne considerăm **schilozii** care șchioapătă pe un **drum drept și bun și suntem convinși** că vom întrece trapașii care zburdă pe un **drum greșit**.

Dar, considerăm că n-ar fi "**fair play**" să așteptăm finalul și ne-am hotărât să vă desvăluim acest drum **simplu și drept**, motiv pentru care ne-am adresat **Dvs.**, prin intermediul acestei cărți. Fiind convinși că aveți un ascuțit simț al umorului, și o nețărmită dragoste față de matematică și față de tot ce este nou în știință și tehnologie, ne-am luat permisiunea să vă sugerăm amintirea pățaniei lui **Napoleon** cu **Fulton** și, bazați pe disponibilitatea **Dvs.**, în aprecierea noii realități, așteptăm, cu mare încredere, să contribuiți la extinderea suprafeței « **insulei SM** » în **oceanul ignoranței** și, eventual, la o posibilă colaborare într-un viitor apropiat.

Pentru orice informații suplimentare și observații, vă stăm cu cea mai mare plăcere la dispoziție. Noi am făcut un prim pas. **Un pas mic...**

CONSTATARE

Toate beneficiile rezultate din descoperirea noilor **fucții super-matematiche**, etalate anterior, pălesc față de constatarea că **excentricitatea**

1 INTRODUCERE

constitue o nouă dimensiune a spațiului: minimum a treia, pentru spațiul bidimensional 2D și cel puțin a patra, pentru spațiul tridimensional 3D.

Excentricitatea este aceea care deformează spațiul și forma obiectelor din acesta, transformând un tip de obiecte centrice în alte tipuri de obiecte centrice și făcând posibilă, în domeniul **excentric**, apariția obiectelor **super-matematice** hibride, printr-o operație denumită de **hibridare matematică** (amănunte în Vol. II al lucrării).

E consternant cât de simplist pot să gândească unii, așa-ziși specialiști, care declară, fără jenă, că dacă o funcție, ca unele dintre funcțiile **supermatematice** și nu numai, cum ar fi **cex θ** , **sex θ** , ș.m.a., se pot exprima prin funcțiile **cosa**, **sina**, **tana** ș.a **pentru ei** nu mai prezintă niciun interes.

Extrapolând acest mod primitiv și păgubos de gândire, rezultă că nici funcțiile trigonometrice centrice **cosx**, **sinx**, **tanx** ș.a. nu prezintă niciun interes, deoarece ele se pot exprima prin argumentul x la diverși exponenți, numere întregi și prin factorialele (!) aceluiași numere întregi.

E oare suficient să se cunoască doar numerele întregi, (singurele cunoscute într-o anumită perioadă (pre)istorică, de foarte mult apusă) pe x și semnul factorial ? A, mai sunt necesare și semnele $+$, $-$ și !

Funcțiile hiperbolice $\text{sh}x$, $\text{ch}x$ ș.a se exprimă și ele în funcție de cele circulare centrice, prin expresiile

$$(1.45) \quad \text{ch} x = \text{cos}ix, \quad \text{i.sh} x = \text{sin}ix.$$

Le eliminăm din matematică ? De ce să nu eliminăm și **FCC cosa** și **sina** și să păstrăm doar funcțiile **Euler – Cotes** e^{ix} și e^{-ix} , cu care aceste se pot exprima:

$$(1.46) \quad \text{cos}x = 0,5(e^{ix} + e^{-ix}) \text{ și } \text{sin}x = 0,5(e^{ix} - e^{-ix}) ?$$

Toate **integralele și funcțiile speciale** ar trebui eliminate din matematică, pentru că și ele se pot exprima cu ajutorul **FCC cosa** și **sina**. S-ar elimina **integralele eliptice** $K(\varphi, k)$, $E(\varphi, k)$, $D(\varphi, k)$, **funcțiile eliptice Jacobi** **cn(u)**, **sn(u)** și **dn(u)** și toate **funcțiile Theta**, definite ca sume de serii trigonometrice ϑ_1 , ϑ_2 , ϑ_3 , ϑ_4 , ca de exemplu

$$(1.47) \quad \vartheta_3(u) = 1 + 2\sum_{n=1}^{\infty} q^{n^2} \cdot \text{cos}2nu.$$

Ce să mai caute în matematică **funcția lui Lobacevski**

$$(1.48) \quad L(x) = x \cdot \ln 2 - \frac{1}{2} \sum_{k=1}^{\infty} (-1)^{k-1} \frac{\text{sin}2kx}{k^2}, \text{ dacă se exprimă printr-o serie de funcții sinus ?}$$

Și exemplele ar putea continua, frizând ridicolul și, totodată, absurdul pentru că s-ar ajunge ca matematica să se nege pe sine.

Sperăm să fi fost corect înțeleși.

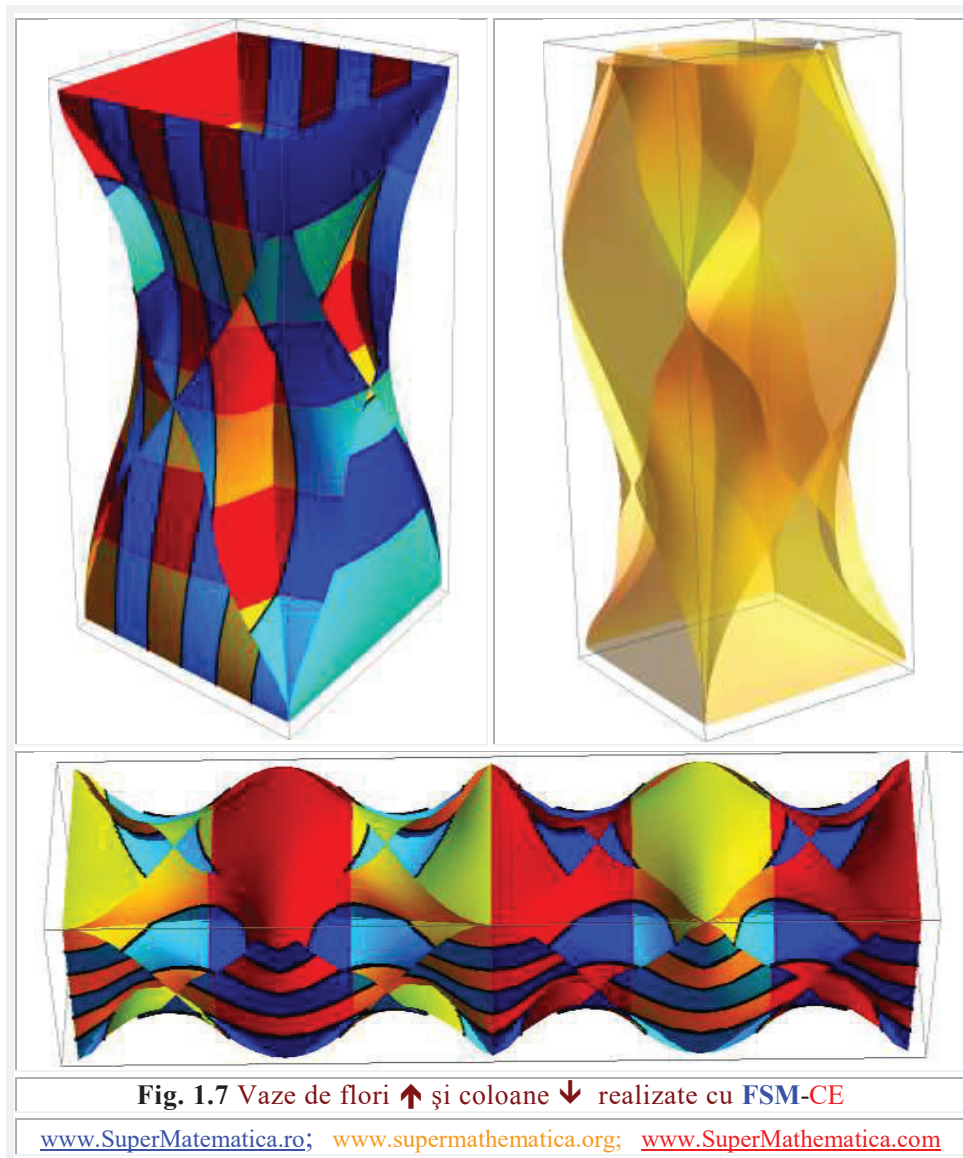
Mircea Eugen Șelariu

selariume@gmail.com
selariu_m@yahoo.ro

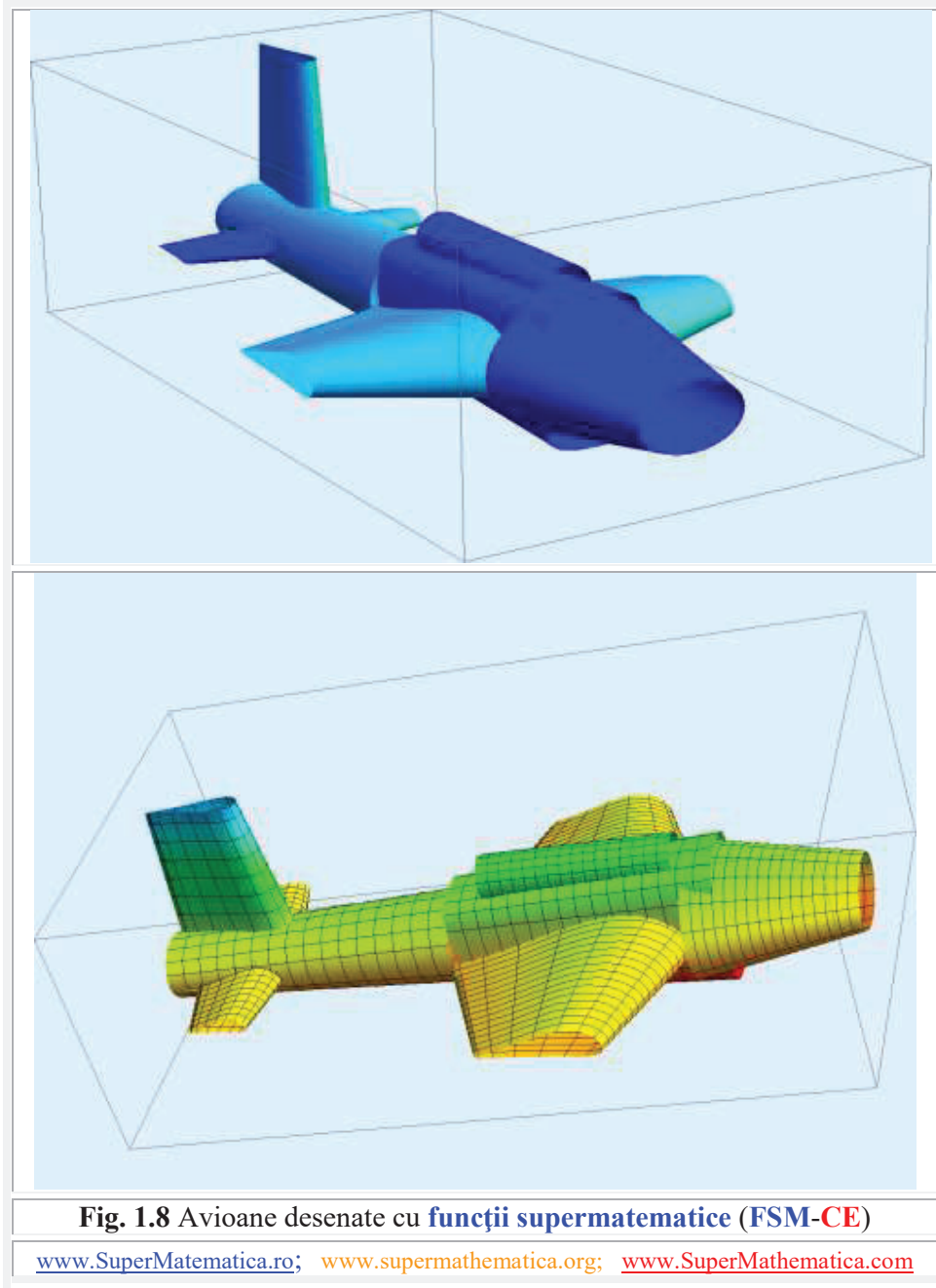
1 INTRODUCERE

Pentru utilizarea integrală și rațională a spațiului și pentru a începe capitolele pe pagini impare, vă prezentăm unele desen realizat cu **FSM-CE**, vizibile și pe website-urile

www.supermatematica.ro; www.supermatematica.org; www.supermatematica.com;
www.supermatematicaonline.blogspot.ro



1 INTRODUCERE



Motto :” După ce a descoperit celebra sa teoremă, **Pythagoras** a sacrificat o sută de boi. De atunci, de fiecare dată, când se descoperă vreun **adevăr nou**, vitele cornute mari au mari palpitații.
(Ludwig Björne)

2. DIVERSIFICAREA FUNCȚIILOR PERIODICE

2.1 Contribuții mai recente la diversificarea funcțiilor periodice, prin înlocuirea cercului unitate (trigonometric) cu alte curbe închise.

Experiența pe care o deținem, acum, ne permite să afirmăm, încă de la început, că această direcție, pe care s-a căutat diversificarea funcțiilor periodice, s-a dovedit a fi un drum întortocheat, complicat și, în final, închis.

Pentru obținerea unor funcții speciale și periodice noi, s-a încercat înlocuirea **cercului** trigonometric cu **pătratul** sau cu **rombul**, așa cum a procedat fostul șef al Catedrei de Matematică a Facultății de Mecanică a Universității „**POLITEHNICA**” din Timișoara, profesorul universitar timișorean dr. mat. **Valeriu Alaci**, descoperind (definind și introducând în matematica centrică **MC**) funcțiile **trigonometrice pătrate și funcțiile trigonometrice rombice**.

Apoi, profesorul de matematici **Eugen Vișa** a introdus funcțiile **pseudo-hiperbolice**, iar profesorul de matematici **M.O. Enulescu** a definit **funcțiile poligonale**, înlocuind **cercul** cu un **poligon** cu n laturi; pentru $n = 4$ obținându-se funcțiile trigonometrice pătrate **Alaci**.

În lucrarea matematicianului sovietic **Marcusevici** [SINUSURI REMARCABILE] sunt introduse funcțiile trigonometrice **generalizate** și funcțiile trigonometrice **lemniscate**.

Încă din anul 1877, matematicianul german **Dr. Biehringer**, substituind triunghiul dreptunghic cu unul oarecare, a definit și publicat **funcțiile trigonometrice înclinate**.

Savantul englez, de origine română, ing. **George (Gogu) Constantinescu** a înlocuit **cercul** cu **evolventa** și a definit **funcțiile evolventice**, denumite de el **funcții trigonometrice românești**: **cosinus românesc Cora** și **sinusul românesc Sira**, cu care a soluționat, exact, unele ecuații diferențiale, neliniare, ale **teoriei sonicității**, creată de el. Dar, prea **puțin** cunoscute tocmai în **România**. Toate aceste realizări vor fi prezentate succint în continuare. Dece ? Pentru a demonstra că și în matematică, ca și în natură, nimic nu-i imuabil, ci totul se transformă / evoluează, prin mici acumulări cantitative, de la simplu la complex, ducând la un brusc salt calitativ, salt care, în acest domniul, conduce de la **matematica centrică (MC)** la la **matematica excentrică (ME)** și, totodată, la **supermatematică (SM)**.

2.2 TRIGONOMETRIA PĂTRATICĂ ȘI TRIGONOMETRIA ROMBICĂ ALE LUI VALERIU ALACI

Profesorul Dr. Mat. **Valeriu Alaci** i-a urmat la șefia Catedrei de Matematici, profesorului **Traian Lalescu**, matematician de nivel mondial, primul rector și întemeiator al **Școlii Politehnice din Timișoara**, astăzi **Universitatea „POLITEHNICA” din Timișoara**.

În 1939 a publicat „**Trigonometria patratică**” cu funcții pătratice, denumire pe care a atribuit-o unei clase de funcții periodice, prezentate succint în continuare, prin care se pot exprima unghiuri abstracte și funcții trigonometrice din spații **Banach**, după aprecierea matematicienilor.

Fie pătratul $P \equiv ABA'B'$ înscris în cercul unitate (Fig. 2.1,a) de rază $R = OA = 1$ și o semidreaptă, turnantă în jurul **polului P**, situat în centrului de simetrie al pătratului **O**, care este și originea unui reper cartezian drept xOy . Cele trei **puncte esențiale** (originea **O**, centrul **C** și **polul P**) fiind confundate, ne situăm în cadrul **matematicii centrice** (MC). Rezultă, încă de la început, că dacă **P** este expulzat din **O** în **S**, pătrundem în domeniul **matematicii excentrice** (ME) și că pot fi definite și **funcții pătratice excentrice, elevate și exotice** și nu numai **centrice**.

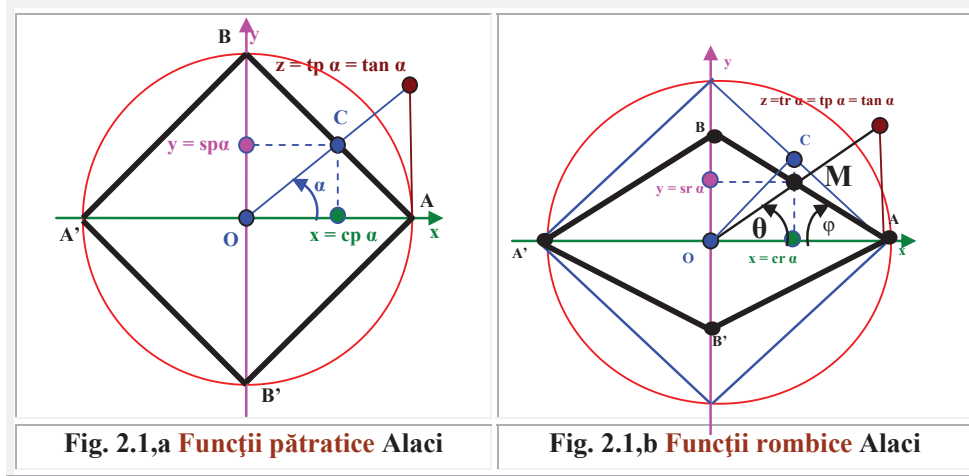


Fig. 2.1,a Funcții pătratice Alaci

Fig. 2.1,b Funcții rombice Alaci

Semidreapta D^+ intersectează pătratul în punctul $C(x, y)$ ale cărui coordonate carteziene sunt, prin definiția dată de **Valeriu Alaci**:

- (2.1) **Cosinusul pătratic**, notat **cp** definit prin $cp\alpha = \frac{x}{R}$ cu graficul din **figura 2.2, a**;
- (2.2) **Sinusul patratic**, notat **sp** și definit prin $sp\alpha = \frac{y}{R}$, cu graficul din **figura 2.2, b**;

Deoarece funcția trigonometrică centrică suplimentară **versinus** (notată **vers**) este definită de relația $vers\alpha = 1 - \cos\alpha$, se va defini, în mod asemănător FCC pătratică suplimentară **versinus pătratic**, notată **versp** cu relația $versp\alpha = 1 - cp\alpha$.

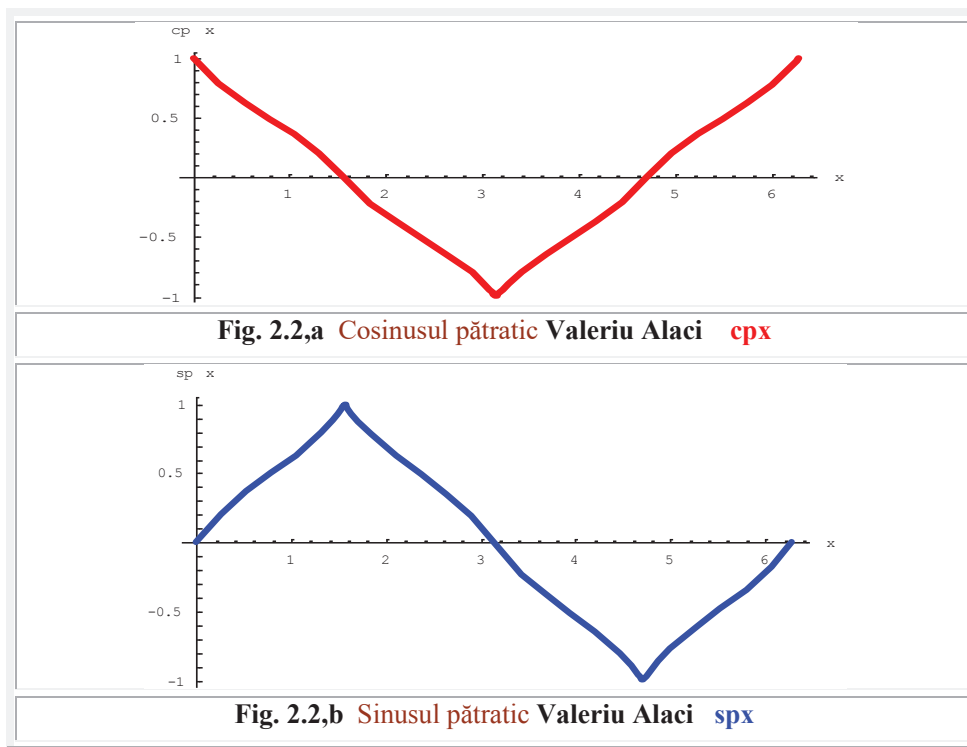
2.2 – Trigonometria pătratică și trigonometria rombică ale lui Valeriu Alaci

Se observă, din **figura 2.1,a**, că sinusul pătratic este egal cu $1 - cp\alpha$, adică $verspa = sp\alpha$, în cadranul I și, pentru toate cadranele, $1 - Abs[cp\alpha] = Abs[sp\alpha]$, este o proprietate importantă a funcțiilor pătratice.

Tangenta pătratică, notată **tp** este definită prin

$$(2.3) \quad tp\alpha = \frac{z}{R} = \frac{sp\alpha}{cp\alpha} = \frac{y}{x} = \mathbf{tana} \equiv \mathbf{tg\alpha}$$
, așa cum rezultă și din **figura 2.1,a**.

Tangenta ordinară este **gresit introdusă în matematică**, ca raport dintre sinus și cosinus, așa cum a demonstrat **Octavian Voinoiu** în a sa “**MATEMATICĂ SIGNADFORASICĂ**”, iar corect, este același raport dar cu semnul funcției sinus, adică **tangenta Voinoiu** are notația **tav** și expresia $\mathbf{tava} = \sin\alpha / Abs[\cos\alpha]$.



În acest mod, **tangenta pătratică Voinoiu** poate fi definită corect, prin :

$$(2.4) \quad \mathbf{tpv\alpha} = \sin\alpha / Abs[\cos\alpha] = \frac{y}{Abs[x]}$$

cotangenta pătratică Voinoiu, notată **ctp**, este definită de

$$(2.5) \quad \mathbf{ctp\alpha} = \frac{\cos\alpha}{Abs[\sin\alpha]} = x/|y| \text{ și } \mathbf{versinus pătratică Voinoiu}$$
 este

$$(2.6) \quad \mathbf{versp\alpha} = 1 - cp\alpha.$$

Tangenta pătratică și cotangenta pătratică sunt identice cu tangenta și cotangenta.

Secanta pătratică și cosecanta pătratică au fost definite, în cazul funcțiilor circulare centrice (**FCC**), ca inverse ale funcțiilor cosinus și sinus pătratice sau rombice (v. **Fig.**

2.1,b) și cu tangenta funcțiilor circulare centrice (FCC) Euler $\tan\alpha$ sau $t\alpha$. De aceea, Valeriu Alaci nu le-a mai notat, cum n-a mai notat nici funcțiile secantă și cosecantă pătratică. Notățiile au fost introduse de noi astfel :

$$(2.7) \quad \text{scpa} = 1 / \text{sp} \alpha \quad \text{și} \quad \text{cscpa} = 1 / \text{cp} \alpha.$$

O formulă fundamentală arată cu suma modulelor funcțiilor cosinus și a sinus pătratice este egală cu unitatea

$$(2.8) \quad |x| + |y| = 1 \Rightarrow \text{cp}\alpha + \text{sp}\alpha = \begin{cases} \dots 1 \dots \dots \dots \text{in} \dots \text{cadranul} \dots I \\ -1 \dots \dots \dots \text{in} \dots \text{cadranu} \dots \dots \dots III \end{cases}$$

$$\text{cp}\alpha - \text{sp}\alpha = \begin{cases} -1 \dots \dots \dots \text{incadranul} \dots II \\ 1 \dots \dots \dots \text{in} \dots \text{cadranul} \dots IV \end{cases} \quad \text{sau} \quad \text{cp}x + \text{sp}x = \text{Sign}[\cos x].1$$

Suma pătratelor funcțiilor pătratice nu mai este egală cu unitatea, ca în cazul funcțiilor circulare centrice (FCC) sau **excentrice (FSM-CE)**. Notând cu r „**raza polară**” variabilă, cu polul în $O(0,0)$ a **pătratului Alaci** $r = |OC|$

$$(2.9) \quad \text{cp}^2\alpha + \text{sp}^2\alpha = r^2 \quad \text{sau} \quad \text{cp}^2x + \text{sp}^2x = r^2, \quad \text{așa cum rezultă și din (2.10).$$

Pentru reprezentarea computațională a graficelor funcțiilor $\text{cp}x$ și $\text{sp}x$, ecuațiile de definiție ale acestora se exprima prin relații diferite de cele elaborate de V. Alaci,

$$(2.10) \quad \text{cp}x = \frac{\text{Sign}[\cos x]}{1 + \text{Abs}[\tan x]} \quad \text{și} \quad \text{sp}x = \frac{\text{Sign}[\sin x] \cdot \text{Abs}[\tan x]}{1 + \text{Abs}[\tan x]}$$

care au și fost utilizate la elaborarea graficelor din **figura 2.2**.

S-a constatat că, funcția $\text{sp}x$ poate exprima variația intensității curentului, ca funcție de perioada ωt , în care ω este **pulsația sau frecvența circulară**, la liniile electrice lungi, fără dezvoltare în serii **Fourier**.

Un pătrat Valeriu Alaci, ale cărui laturi sunt rotite cu $\pi/4$, față de axele de coordonate (x, y) și ale cărui semidiagonale sunt, evident, egale între ele și egale cu R , poate fi reprezentat de ecuațiile parametrice

$$(2.11) \quad (C) \quad \begin{cases} x = R \cdot \text{cp}\alpha \\ y = R \cdot \text{sp}\alpha \end{cases}$$

Dacă cele două semidiagonale sunt a și b ($a > b$), atunci rezultă un romb ale cărui ecuațiile parametrice vor fi

$$(2.12) \quad (M) \quad \begin{cases} x = a \cdot \text{cp}\alpha \\ y = a \cdot \text{sp}\alpha \end{cases}$$

Profesorul Valeriu Alaci a demonstrat următoarele :

Teorema 1. Într-un triunghi dreptunghic $TD(a,b,c) \equiv \triangle ABC$, de laturi, a, b, c , cu unghiul drept în A , o catetă este egală cu suma catetelor înmulțită cu sinusul pătratic al unghiului opus catetei respective sau cu cosinusul pătratic al unghiului adiacent, adică:

$$(2.13) \quad b = (b + c) \text{cp}C, \quad b = (b + c) \text{sp}B, \quad \text{sau}$$

$$(2.14) \quad c = (b + c) \text{cp}B, \quad c = (b + c) \text{sp}C \quad \text{deoarece}$$

$$(2.15) \quad \text{cp}C = \text{sp}B$$

Teorema 2. Într-un triunghi dreptunghic $TD(a, b, c) \equiv \triangle ABC$, de laturi a, b, c , cu unghiul drept în A și de perimetru $p = a + b + c$, o catetă este egală cu perimetrul înmulțit cu sinusul pătratic al semiunghiului opus sau a semiunghiului adiacent, conform relațiilor

2.2 – Trigonometria pătratică și trigonometria rombică ale lui Valeriu Alaci

$$(2.16) \quad \mathbf{b} = p \operatorname{sp} \frac{B}{2}, \quad \mathbf{c} = p \operatorname{sp} \frac{C}{2}.$$

Aplicând **trigonometria pătratică** la un triunghi oarcare $\mathbf{T}(a,b,c) \equiv \Delta \mathbf{ABC}$, **Valeriu Alaci** a demonstrat și următoarele relații:

$$(2.17) \quad \operatorname{sp} \frac{A}{2} \operatorname{sp} \frac{B}{4} \operatorname{sp} \frac{C}{4} + \operatorname{cp} \frac{A}{2} \operatorname{cp} \frac{B}{2} \operatorname{cp} \frac{C}{2} = \frac{1}{2} \quad \text{și o relație asemănătoare cu teorema sinusurilor}$$

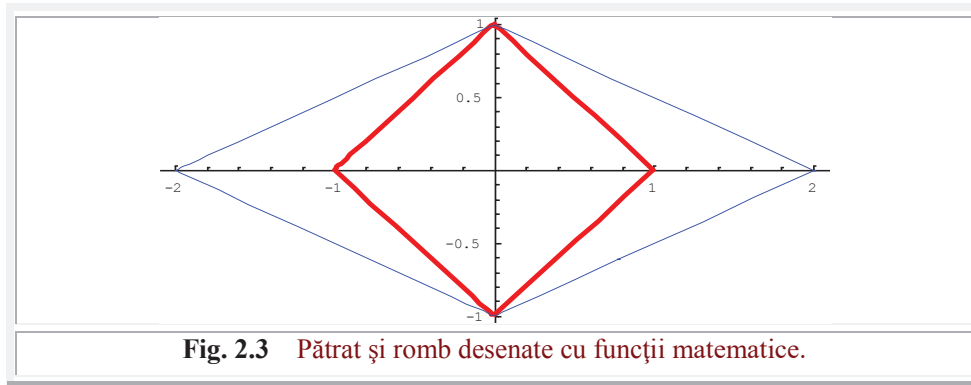


Fig. 2.3 Pătrat și romb desenate cu funcții matematice.

$$(2.18) \quad \frac{a}{\operatorname{spa}} = \frac{b}{\operatorname{sp}\beta} = \frac{c}{\operatorname{sp}\gamma} = \frac{b+c}{\operatorname{cp}\alpha} = \frac{c+a}{\operatorname{cp}\beta} = \frac{a+b}{\operatorname{cp}\gamma} = \mathbf{p}, \quad \text{în care } \alpha, \beta, \gamma \text{ sunt}$$

unghiurile opuse laturilor a, b, c din 3 **triunghiuri asociate**, cum le-a numit **Valeriu Alaci**, care sunt trei triunghiuri dreptunghice, în care, unghiul drept este format de laturile \mathbf{a} și $\mathbf{b} + \mathbf{c}$; \mathbf{b} și $\mathbf{c} + \mathbf{a}$; și al treilea, din \mathbf{c} și $\mathbf{a} + \mathbf{b}$.

Pătratul și rombul au fost reprezentate computerizat în **figura 2.3** cu ajutorul relațiilor (2.10), în care $\mathbf{R} = \mathbf{b} = 1$ și $\mathbf{a} = 2$.

Notând **modulul** funcțiilor rombice cu \mathbf{k}

$$(2.19) \quad \mathbf{k} = \tan \varphi \equiv \operatorname{tg} \varphi, \quad \text{în care } \varphi \in [0, \pi/2] \text{ a fost numit de Alaci } \mathbf{unghi\ auxiliary}, \text{ reprezentat în varful } \mathbf{A} \text{ al rombului din } \mathbf{figura 2.1}, \mathbf{b}, \text{ cu } \mathbf{R} = |\mathbf{OA}| = 1.$$

Atunci, coordonatele unui punct curent $\mathbf{M}(x,y)$, aparținând rombului $\mathbf{ABA'B'}$, determinat de raza polară \mathbf{r} și de unghi polar θ din \mathbf{O} cu axa x , sunt

$$(2.20) \quad (\mathbf{M}) \quad \begin{cases} x(\theta) = R \cdot \operatorname{cp}\alpha \\ y(\theta) = R \cdot k \cdot \operatorname{sp}\alpha \end{cases} \quad \text{în care}$$

$$(2.21) \quad \operatorname{tg} \alpha \equiv \tan \alpha = \frac{\tan \theta}{\tan \varphi} = \frac{\tan \theta}{k} \quad \text{și } \alpha \text{ este unghiul polar, din } \mathbf{O}, \text{ al razei polare a punctului } \mathbf{C} (\mathbf{x}_p = \operatorname{cp}\alpha, \mathbf{y}_p = \operatorname{sp}\alpha), \text{ al pătratului; punct } \mathbf{C} \text{ situat pe aceeași verticală cu } \mathbf{M}, \text{ adică, pentru care } \mathbf{x}_p(\alpha) = \mathbf{x}(\theta). \text{ Pentru } \varphi = \pi/4 \text{ sau } \varphi = 45^\circ \Rightarrow k = \tan \varphi = 1 \text{ și relațiile (2.20) reprezintă un pătrat de } \mathbf{semidiagonale} \text{ egale cu } \mathbf{R} = 1.$$

În acest mod, **Valeriu Alaci** a reprezentat cosinusul și sinusul rombice prin cosinusul și sinusul pătratic, evitând să definească explicit funcțiile rombice. Ceea ce putem încerca să facem noi, considerând $\mathbf{R} = 1$ și introducând, în locul lui **Valeriu Alaci**, notațiile \mathbf{cr} și \mathbf{sr} pentru **cosinusul** și **sinusul** rombice astfel:

$$(2.22) \begin{cases} x(\theta) = R.c\theta = R.c\varphi = c\varphi \\ y(\theta) = R.s\theta = k.R.s\varphi = k.s\varphi \end{cases}, \text{ relații care dau dependențele dintre } \\ \text{coordonatele rectangulare } (x, y) \text{ și coordonatele rombice } (R, \theta, \varphi) \text{ ale unui punct } \mathbf{M}.$$

2.3 FUNCȚIILE TRANSTRIGONOMETRICE (FTT) ale
Malvinei Baica și Mircea Cârdu,
FUNȚII QUADRILOBE / (CVADRILOBE) SM (FQ),
FUNȚII PĂTRATICE SM (FPSM) și
FUNȚII QUADRILOBE / (CVADRILOBE) Alaci (FQA)

Între cercul unitate al lui **Euler** și pătratul rotit cu $\pi/4$ al lui **Valeriu Alaci**, **înscris** în cercul unitate, există un spațiu bidimensional (**2D**) care, după descoperirea **FSM-CE**, s-a reușit umplerea lui continuă cu funcțiile, denumite de noi, **funcții cvadrilobe Alaci**, pentru a le distinge de **funcțiile quadrilobe SM (Fig.1.4,a)**, în care cvadrilobele drepte sunt nerotite; ambele tipuri de **quadrilobe / cvadrilobe** fiind prezentate în figura 1.4 și în figurile 2.4 și 2.5.

Această acțiune constituie, totodată, și unificare funcțiilor circulare centrice **Euler (FCC)** cu **funcțiile pătratice centrice Alaci (FPC)**; cercul fiind obținut pentru o excentricitate numerică $s = 0$ și pătratul **Alaci**, pentru $s = 1$. **Quadrilobele Alaci (QA)** sunt exterioare pătratului **Alaci** și interioare cercului unitate, în timp ce **quadrilobele SM (QS)** sunt exterioare cercului unitate și interioare **pătratului SM**, așa cum se observă în figura 2.4. În consecință, aceste noi curbe închise umplu continuu spațiul **2D**, dintre pătratul **SM (PSM)**, cu laturile paralele cu axele x și y și pătratul **Alaci (PA)**, rotit cu $\pi/4$ și înscris în pătratul **SM**. Așa cum rezultă din figura 2.4, procesul poate fi continuat cu astroide de diverse ordine.

Plecând de la relațiile de bază, existente între coordonatele x și y , de la funcțiile circulare centrice **Euler (FCC)** și cele din trigonometria pătratică **Valeriu Alaci (FPC)**, adică

$$(2.23) \quad \cos^2 \alpha + \sin^2 \alpha = 1 \quad \text{de la FCC și}$$

$$(2.24) \quad c\varphi + s\varphi = 1, \text{ de la FPC, doi autori, Malvina Baica și Mircea Cârdu, au constatat că ele reprezintă sumele}$$

$$(2.25) \quad x^k + y^k = 1, \quad \text{pentru } k = 2 \text{ și, respectiv, } k = 1.$$

Aceste curbe sunt prezentate în figura 2.6 pentru $\alpha \in [0, \pi/2]$, $k \in [1, 2]$, cu pasul 0,2.

Observând că pentru $k \in (1, 2)$ spațiul dintre cercul unitate **Euler** și pătratul **Valeriu Alaci** poate fi completat, dând valori intermediare, între **2** și **1** exponentului k , reputata matematiciană **Malvina Baica**, profesoară la Universitatea din Wisconsin (USA), împreună cu **Mircea Cârdu**, au publicat lucrarea „**Periodic Transtrigonometric Functions** „sau, pe românește „**Funcții periodice transtrigonometrice**” prin care spațiu **2D**, dintre cercul unitate **Euler** și **PA**, l-au completat / umplut continuu cu funcțiile exponentiale de generare a **funcțiilor transtrigonometrice**.

2.2 – Trigonometria pătratică și trigonometria rombică ale lui Valeriu Alaci

Deoarece, aceste funcții sunt **între** funcțiile trigonometrice circulare și funcțiile trigonometrice pătratice, și nu în afara lor sau **peste**, considerăm că denumirea de **funcții intratrigonometrice** ar fi fost mai potrivită.

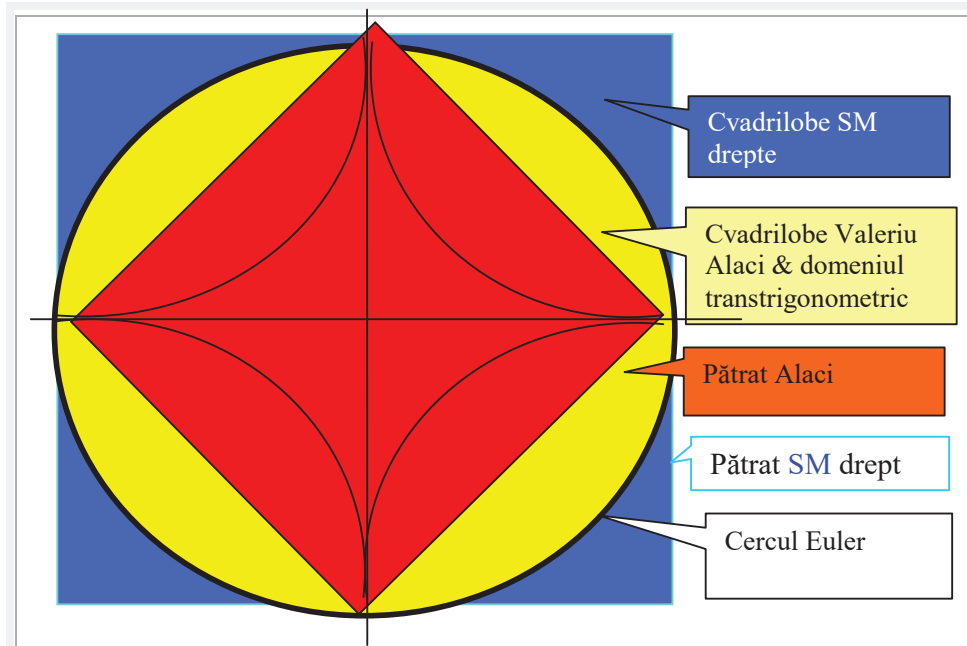


Fig. 2.4,a Domeniile diverselor funcții centrice circulare și necirculare

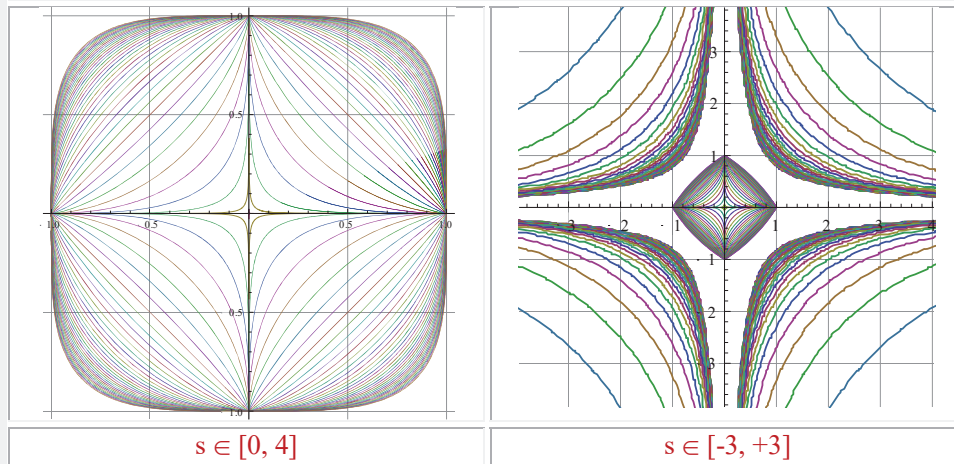


Fig. 2.4,b Funcții transtrigonometrice în 2 D

DIVERSIFICAREA FUNCȚIILOR PERIODICE

Pe baza relației (2.25) rezultă

(2.26) $st_k^k \alpha + ct_k^k \alpha = 1$ în care, s-a notat cu $x = ct_k \alpha$ **cosinusul transtrigonometric** de exponent k și argument α și cu $y = st_k \alpha$ **sinusul transtrigonometric** de exponent k și argument α .

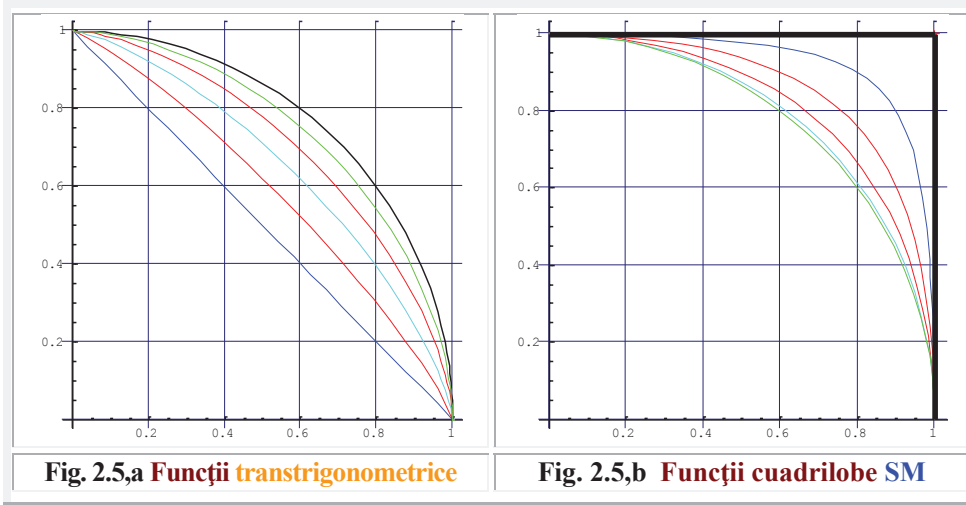
Rezultă imediat că, pentru $k=2 \Rightarrow ct_2 \alpha = \cos \alpha$ și $sp_2 \alpha = \sin \alpha$, iar pentru $k=1 \Rightarrow ct_1 \alpha = cp \alpha$ și $st_1 \alpha = sp \alpha$. Prin urmare, și aceste funcții unifică funcțiile trigonometrice centrice **Euler** cu funcțiile trigonometrice pătratice **Alaci**, dar cu funcții exponențiale, distincte de funcțiile cvadrilobe.

Se observă din **figurile 2.5,a** domeniul dintre pătratul **Alaci** și cerc, acoperit de **funcțiile transtrigonometrice** și de **funcțiile cvadrilobe Alaci** și din **figura 2.5,b** domeniul dintre cerc și pătratul **SM**.

Tangenta transtrigonometrică $tgt \alpha$ este aceeași cu tangenta pătratică $tp \alpha$ și aceeași cu tangenta circulară centrică $tg \alpha \equiv \tan \alpha$, adică

(2.27) $tgt \alpha = tp \alpha = \tan \alpha = tg \alpha$

Cu această observație, funcțiile transtrigonometrice pot fi exprimate cu ajutorul **FCC** prin relațiile **Malvinei Baica** și ale lui **Mircea Cârdu** sub forma



(2.28) $ct_k \alpha = \pm (1 + \tan \alpha)^{-1/k}$

(2.29) $st_k \alpha = \pm (1 + ctan^k \alpha)^{-1/k}$ sau cu relațiile, cu care au fost reprezentate computațional aceste funcții în graficele din **figurile 2.6, a** și **2.6, b**,

(2.30) $ck_k x = \frac{Sign[cosx]}{(1+Abs[tan^k x])^{1/k}}$ și

(2.31) $sk_k x = \frac{Sign[sinx].Abs[tanx]}{(1+Abs[tan^k x])^{1/k}}$

Funcțiile cvadrilobe **SM**, notate cu **coq θ** - cosinusul cvadrilob și cu **siq θ** - sinusul cvadrilob, de **variabilă excentrică θ** și de **excentricitate numerică s** au expresiile

2.2 – Trigonometria pătratică și trigonometria rombică ale lui Valeriu Alaci

$$(2.32) \quad \mathbf{coq} \theta = \frac{\cos\theta}{\sqrt{1-s^2\sin^2\theta}} \quad \text{și, respectiv,}$$

$$(2.33) \quad \mathbf{siq} \theta = \frac{\sin\theta}{\sqrt{1-s^2\cos^2\theta}} \quad \text{cu graficele din figurile 2.7,a și 2.7,b .}$$

Se observă, din aceste figuri, că pentru $s=1$, funcțiile cosinus și sinus cvadrilobe degenează în funcții dreptunghiulare, fără utilizarea dezvoltărilor în serii **Fourier** și care, pentru un număr limitat de termeni, așa cum este cunoscut, în colțurile graficelor, dau erori destul de mari.

Aceste funcții pot fi denumite **funcții pătratice SM**, pentru a le distinge de cele **Alaci**. Ele au expresiile analitice, rezultate din relațiile anterioare pentru $s = 1$:

$$(2.34) \quad \mathbf{cps} \theta = \frac{\cos\theta}{\sqrt{1-\sin^2\theta}} = \frac{\cos\theta}{\text{Abs}[\cos\theta]} \quad \text{și}$$

$$(2.35) \quad \mathbf{sps} \theta = \frac{\sin\theta}{\sqrt{1-\cos^2\theta}} = \frac{\sin\theta}{\text{Abs}[\sin\theta]}$$

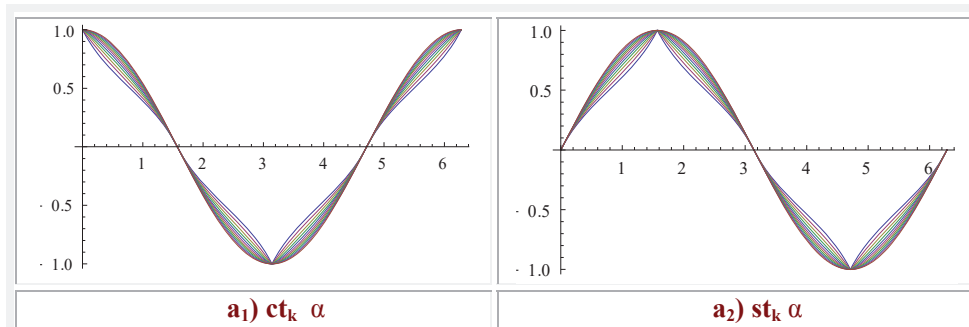


Fig. 2.6,a Funcția transtrigonometrică (FTT) pentru $k \in [1, 2]$

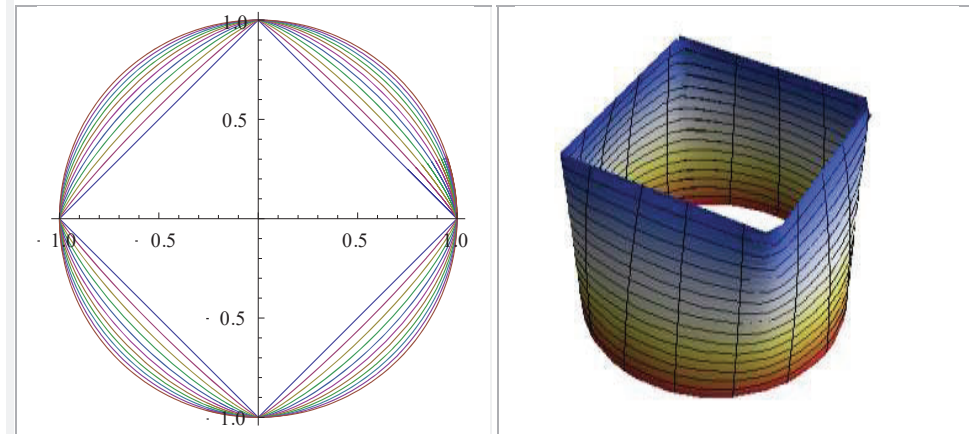


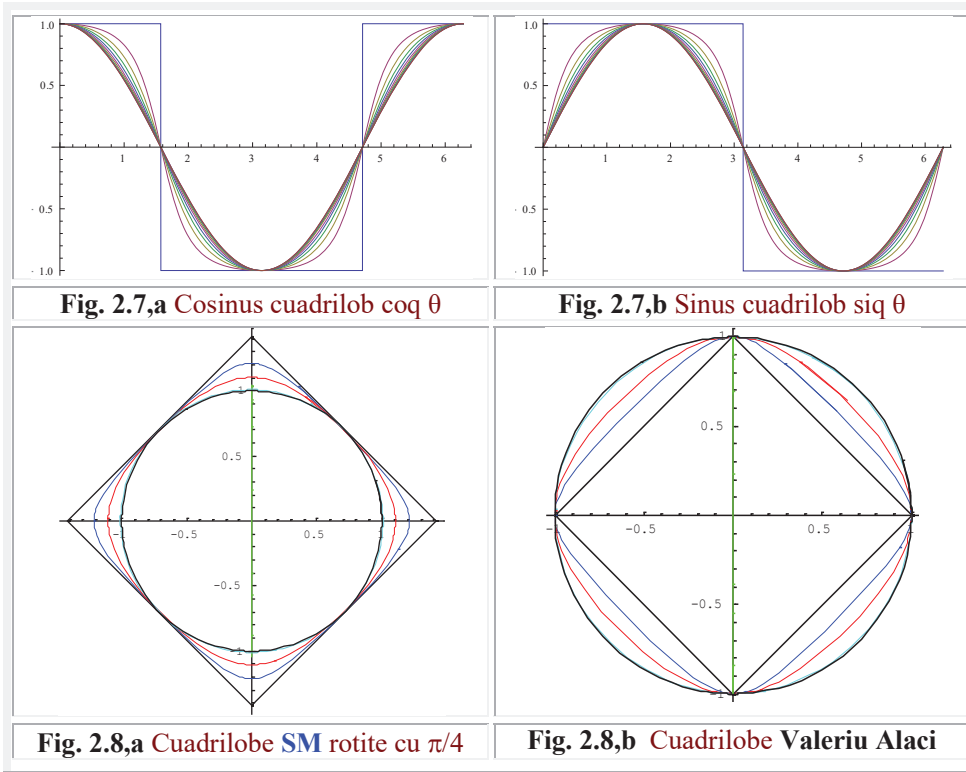
Fig. 2.6,b Entități transtrigonometrice (FTT) în 2D și în 3D pentru $k \in [1, 2]$

Graficele lor au fost reprezentate pentru $s \in [0,1]$ cu pasul 0,2. Pentru $s = 0$ se obțin FCC iar pentru $s = 1$ funcțiile pătratice **SM (FPS)**.

Cvadrilobele SM rotite cu $\pi/4$ sunt reprezentate în **figura 2.8,a** iar coadrilobele **Alaci** în **figura 2.8,b**. Trecerea de la cvadrilobe **SM** drepte la cele rotite se face cu relațiile de la rotațiile de același centru $O(0,0)$; cvadrilobele **SM** rotite având ecuațiile parametrice

$$(2.36) \quad (\mathbf{P}) \quad \begin{cases} x = coq\theta \cdot \cos \frac{\pi}{4} - siq\theta \cdot \sin \frac{\pi}{4} \\ x = coq\theta \cdot \sin \frac{\pi}{4} - siq\theta \cdot \cos \frac{\pi}{4} \end{cases}$$

Trecerea, de la acestea la cvadrilobele **Alaci**, se realizează prin multiplicarea relațiilor anterioare cu valoarea inversei razei $r(\theta)$ a cvadrilobelor drepte.



Raza $r(\theta)$ a cvadrilobelor **SM** drepte are expresia

$$(2.37) \quad r(\theta) = \sqrt{coq^2\theta + siq^2\theta} = \sqrt{\frac{1-s^2(\cos^4\theta + \sin^4\theta)}{1-s^2(1-s^2\cos^2\theta \cdot \sin^2\theta)}} \quad \text{și pentru } \theta = \pi/4$$

$$(2.38) \quad r(\pi/4) = \frac{1}{\sqrt{1-\frac{s^2}{2}}}$$

În acest mod, cvadrilobele **Valeriu Alaci (QA)** au ecuațiile parametrice

$$(2.39) \quad (\text{QA}) \quad \begin{cases} x = \frac{\sqrt{2}}{2} \sqrt{1 - \frac{s^2}{2}} (\text{coq}\theta - \text{siq}\theta) \\ y = \frac{\sqrt{2}}{2} \sqrt{1 - \frac{s^2}{2}} (\text{siq}\theta - \text{coq}\theta) \end{cases} \quad \text{cu ajutorul cărora au fost realizate}$$

curbele și graficele prezentate anterior. Atragem atenția că aceste funcții cuadrilobe sunt de **variabilă excentrică θ** și aparțin, în consecință, **matematicii excentrice (ME)**.

2.4 FUNCȚIILE POLIGONALE ALE LUI M. OVIDIU ENULESCU

Aceste funcții periodice noi au fost prezentate de autorul lor, **M. O. Enulescu**, fără grafice și fără ecuațiile lor de definire, în primul număr al revistei „Revista de Matematica POZITIVA”, iar în numărul 2, al aceleiași reviste (pag.1 .. 3), **Valeriu Alaci** intervine cu unele observații și completări, recomandându-i autorului să încerce să prezinte expresiile lor, graficele funcțiilor și derivatele lor, ceea ce vom face noi aici.

Domnul **Valeriu Alaci** a remarcat „*concepția de generalizare – a funcțiilor sale pătratice – și, mai ales, de realizare a ei într-o forma matematică*” și a prezentat o formă modificată a „*formulei fundamentale exacte pentru funcții poligonale de ordinul n*”.

Fie poligonul regulat P_n , convex, de n laturi $P_n \equiv A_1A_2 \dots A_n$ înscris în cercul unitate / trigonometric $C(O, R=1)$ orientat, cu originea în $A(1, 0) \equiv A_1$.

Fie M un punct de pe latura A_iA_{i+1} ($i = 1, 2, \dots, n$) și MN perpendiculara pe OA (Fig. 2.9) sau pe axa x .

Este evident că, pentru $n \rightarrow \infty$, poligonul tinde spre cercul unitate - $P_n \rightarrow C(O, R=1)$, iar pentru $n = 4$ spre pătratul **Valeriu Alaci** ($PA \equiv P_4$). Astfel, că apare o nouă completare a spațiului dintre cerc și pătrat, cu funcții poligonale de $n \geq 4$, spațiu deja coplețat fie cu funcții cuadrilobe **Alaci**, fie cu funcțiile **transtrigonometrice Malvina Baica**, fiind o **zonă aglomerată** cu diverse funcții periodice vechi și noi.

Se vor nota cu $L_i = 1, 2, \dots, n$, știind ca $L_1 = L_2 = L_3 = \dots = L_n$ - laturile poligonului P_n , circumscris cercului de raza $R_M = 1$, în care se înscrie cercul de rază R_m , rază egală cu apotema poligonului, dată de relația

$$(2.40) \quad R_m = OP_i = R_M \cdot \cos \frac{\alpha}{2}, \quad \text{în care } \alpha \text{ este unghiul la centrul } O, \text{ sub care se vede fiecare latura } L_i, \text{ și este}$$

$$(2.41) \quad \alpha = \frac{2\pi}{n}$$

Păstrând notațiile originare, unghiul de poziție β al punctului curent $M \subset P_n$ sau $AOM \equiv \alpha A_1OM$ este evident că

$$(2.42) \quad \beta = \frac{2(i-1)\pi}{n} + \alpha, \quad \text{în care } \alpha = \alpha A_1OM, \alpha \in [0, 2\pi/n]$$

M. O. Enulescu a definit geometric funcțiile poligonale, cosinus și sinus poligonale, ale poligoanelor cu n laturi, pe care le-a notat cu cp_n β și, respectiv, sp_n β prin următoarele expresii

$$(2.43) \quad \mathbf{M}(x, y) \begin{cases} cp_n\beta = \pm|ON| = \frac{x}{R} \\ sp_n\beta = \pm|NM| = \frac{y}{R} \end{cases}, \quad \text{semnele } \pm \text{ ale segmentelor ON și OM}$$

și ale funcțiilor cosinus și sinus poligonale, în cele IV cadrane, sunt afectate de aceleași reguli ca și în **Trigonometria Pătratică**, adică de funcția **Sign**[cosβ].

Prima latură și ultima, a poligonului, intersectează axa x în punctul $B_1(1,0) \equiv A(1,0) \equiv A_1 \equiv A_0$. Dreptele suport ale laturilor a doua L_2 și a (n-2) a laturii L_{n-2} intersectează axa x în punctul $B_2(s_2, 0)$ ș.a.m.d. astfel că prelungirile dreptelor suport, ale laturilor $L_i = |A_i A_{i+1}|$ și $L_{n-i} = |A_{n-i+1} A_{n-i}|$, intersectează axa x în $B_i(s_i, 0)$.

Unele puncte, ca pentru $n = 4, 6, 8, 12, \dots$, fiind simetrice față de axa y și originea $O(0, 0)$, dintre care $n = 6, 12, \dots$ având câte două puncte la $B_i \rightarrow \pm \infty$. Pentru numere impare, $n = 3, 5, 7, \dots$, punctele B_i nu mai sunt dispuse simetric față de axa y și de originea $O(0, 0)$.

Oricare ar fi disponerea acestor puncte B_i pe axa x, ele pot fi alese drept **excentre** $S_i(s_i, \epsilon_i)$, în care, dacă $s_i > 0$, pentru toate punctele B_i , atunci $\epsilon_i = 0$ pentru toate punctele B_i de pe semiaxa $x > 0$ și $\epsilon_i = \pi$ pentru toate punctele B_i situate pe semiaxa $x < 0$. Situația este echivalentă cu aceea în care se consideră întotdeauna $\epsilon_i = 0$ dar s_i se ia cu semnul semiaxe x pe care se situează punctele B_i , adică, cu semnul absciselor s_i ale punctelor $B_i(s_i, 0)$. Astfel, coordonatele celor două puncte S_i și B_i devin identice și, în consecință, $S_i \equiv B_i$.

Este evident că, exceptând polinomul P_3 , este singurul care are excentrul $P_2 \equiv E_2(-0,5; 0)$ în interiorul cercului unitate (**Fig. 2.9,b**, $s_2 = -0,5$), toate celelalte polinoame au cel mult două excentre $E_1(1, 0)$ și $E_{n/2}(-1, 0)$ dispuse pe cercul unitate, la intersecția lui cu axa x, iar restul excentrele sunt exterioare discului unitate. Rezultă că $s_i \geq 1$ și există cel mult patru excentre, simetrice față de axa y, la distanțe infinite, pentru laturile poligoanelor care sunt dispuse paralel cu axa x.

Notând cu β_i unghiurile la centrul O , corespunzătoare vârfurilor A_i ale polinoamelor P_n , rezultă ca expresiile funcțiilor polinomiale $cp_n\beta_i$ și $sp_n\beta_i$ vor fi aceleași cu ale funcțiilor **SM-CE** de variabilă centrică $\alpha = \beta_i$, sau de **variabilă excentrică** θ , care exprimă și direcția laturilor poligonului în raport cu axa x, variabilă excentrică dată de relația (1.12)

$$(2.44) \quad \theta = \beta_i + \arcsin \frac{s_i \sin \beta_i}{\pm \sqrt{1 + s_i^2 - 2s_i \cos \beta_i}} = \beta_i + \arcsin \frac{s_i \sin \beta_i}{R \epsilon \beta_i}, \quad \text{în care, unghiurile } \beta_i$$

sunt date de relația (2.42).

Excentricitățile numerice $s_i = OB_i$ sunt date de relația

$$(2.45) \quad s_i = \frac{\cos \frac{\pi}{n}}{\cos \frac{(2i-1)\pi}{n}}$$

fiind deduse din triunghiurile $OP_i B_i$, și egale cu raportul dintre

apotecele OP_i , perpendicularele pe mijloacele laturilor L_i , date de relația

$$(2.46) \quad OP_i = OA_i \cos \frac{\pi}{n} = \cos \frac{\pi}{n} \quad (\text{deoarece } A_i \in C(O,1) \text{ T } OA_i = 1) \text{ și cosinusul unghiului } \varphi_i = \sphericalangle P_i O B_i, \text{ dat de}$$

$$(2.47) \quad \cos \varphi_i = \cos \frac{(2i-1)\pi}{n}.$$

2.2 – Trigonometria pătratică și trigonometria rombică ale lui Valeriu Alaci

Utilizarea variabilei excentrice θ are avantajul de a oferi, dintrodată, ambele valori ale funcțiilor de la ambele capetele ale unei laturi L_i ale poligonului P_n , care sunt, tocmai, cele două determinări ale **FSM-CE**.

Dacă **excentrul** este situat pe semiaxa $x > 0$, atunci punctul A_{i+1} , care se rotește în același sens, sinistror / levogin, ca și semidreapta pozitivă în jurul excentrului **S** în sensul creșterii lui θ , constituie prima determinare principală **1**, iar punctul A_i , care se rotește în sens invers- dextror / dextrogin - pe cerc, este a doua determinare, secundară **2**.

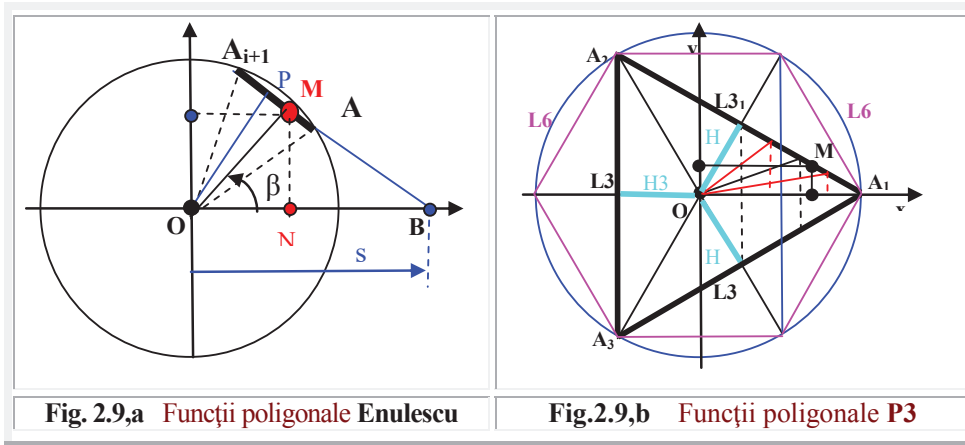


Fig. 2.9,a Funcții poligonale Enulescu

Fig.2.9,b Funcții poligonale P3

Sensul creșterii lui θ , constituie prima determinare principală **1**, iar punctul A_i , care se rotește în sens invers- dextror / dextrogin - pe cerc, care este a doua determinare secundară **2**.

Dacă excentrul S_i este situat pe semiaxa x negativă, atunci, situația se inversează: A_i va fi prima determinare și A_{i+1} cea de a doua.

Se va nota unghiul la centrul O , de poziție al punctelor P_i , situate la mijlocul laturilor L_i , ale poligonului P_n , cu $\psi_i = \sphericalangle P_i O A_1$, date de relațiile

$$(2.48) \quad \psi_i = i \cdot \alpha - \alpha / 2$$

Între două vârfuri consecutive A_i și A_{i+1} , pentru punctele curente de pe laturile L_i ale polinoamelor, date de unghiurile $\beta \in [\beta_i, \beta_{i+1}]$, valorile funcțiilor vor fi, dacă $R_M = 1$:

$$(2.49) \quad (M_i) \begin{cases} cp_n \beta = r_i \cos(\psi_i - \beta_i) \cos \beta \\ sp_n \beta = r_i \cos(\psi_i - \beta_i) \sin \beta \end{cases}, \text{ pentru } s_i > 0, \text{ în care } r_i \text{ este raza unui punct curent } M_i, \text{ de pe latura } L_i, \text{ a poligonului } P_n, \text{ care se poate exprima în funcție de apotema } OP_i \text{ a laturii } L_i \text{ cu relațiile}$$

$$(2.50) \quad r_i = OP_i / \cos(\psi_i - \beta) = \frac{\cos \frac{\alpha}{2}}{\cos(\psi_i - \beta)} \in [R_m, R_M], \quad \forall i \in [1, n] \text{ și pentru valorile lui } \beta \in [\beta_i, \beta_{i+1}), \text{ pentru care punctul } M_i \text{ aparține laturii } L_i \text{ a poligonului } P_n.$$

În colțurile poligonului, funcțiile poligonale au aceleași valori cu ale funcțiile circulare.

DIVERSIFICAREA FUNCȚIILOR PERIODICE

De aceea, graficele funcțiilor poligonale ale poligonului P_3 (Fig. 2.11) au fost prezentate împreună cu funcțiile circulare $\cos\beta$ și $\sin\beta$, separat pentru fiecare latură, la capetele laturilor $\cos\beta$ și $\cos_3\beta$, ca și $\sin\beta$ și $\sin_3\beta$ având puncte comune, așa cum se observă în figura 2.10. Pentru P_3 , $OP_i = 0.5$; pozițiile punctelor P_i fiind date de unghiurile de poziție $\psi_1 = \pi/3$, $\psi_2 = \pi$ și $\psi_3 = 5\pi/3$, iar domeniile de variație ale unghiului β , pe fiecare latură, fiind $\beta \in [0, 2\pi/3]$, $\beta \in [2\pi/3, 4\pi/3]$ și $\beta \in [4\pi/3, 2\pi]$.

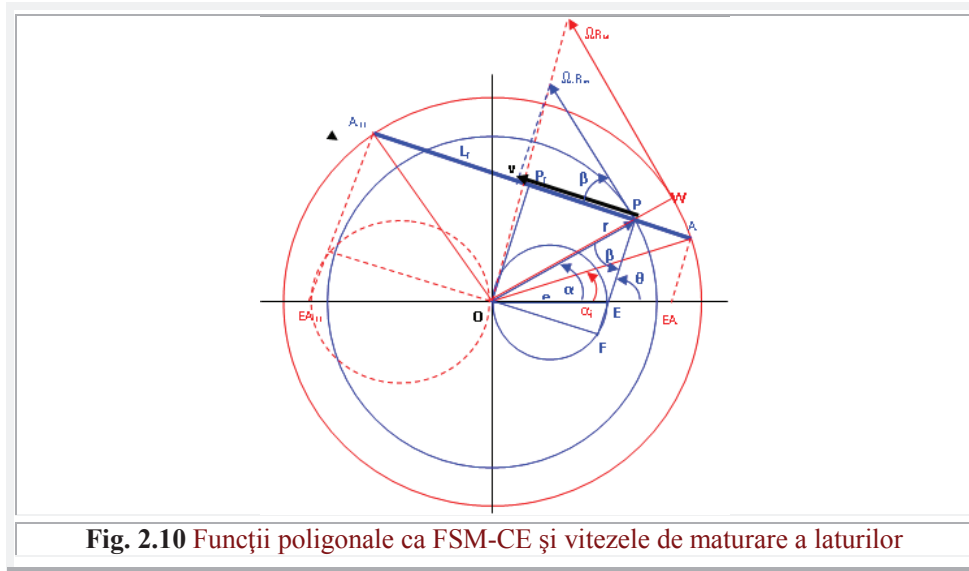


Fig. 2.10 Funcții poligonale ca FSM-CE și vitezele de maturare a laturilor

Punctele P_i sunt dispuse pe cercul inscripționat în P_n și, în aceste puncte, razele r_i au dimensiunea minimă $r(\psi_i) = R_m$. Din această cauză, la o rotație, cu viteza unghiulară Ω constantă, a semidreptei OM , viteza v a punctului pe latura L_i în acest punct, va fi minimă și egală cu $\Omega \cdot R_m$. De la A_i spre P_i vitezele scad, iar de la acest punct spre A_{i+1} , vitezele cresc progresiv. De aceea, aceste puncte constituie puncte de **inflexiune** ale funcțiilor $\cos_n\beta$ și $\sin_n\beta$, așa cum se observă și din graficele acestor funcții.

Pentru a soluționa problemele funcțiilor polinomiale, pentru oricare polinom, utilizând **FSM-CE**, va trebui să se renunțe la notațiile anterioare date de **Enulescu** și **Alaci** și să se introducă notațiile din figura 2.10.

Dacă poligonul este inscripționabil, atunci punctele A_i și A_{i+1} sunt pe același cerc, de rază R_M , dar acest lucru nu este necesar.

Așa cum s-a arătat, în punctele extreme ale laturii L_1 , care aparțin cercului de rază R_M , în figura 2.11 (sau de raze R_{M_i} și $R_{M_{i+1}}$, dacă cele două puncte A_i și A_{i+1} nu sunt pe același cerc) funcțiile poligonale sunt aceleași cu **FCC** și aceleași cu cele ale **FSM-CE**

$$(2.51) \quad P(x_i, y_i) \equiv A_i \begin{cases} x_i = R_M \cos \alpha_i = R_M \cos \alpha_i = R_M \cos(\alpha_i, E_{A_i}) \\ y_i = R_M \sin \alpha_i = R_M \sin \alpha_i = R_M \sin(\alpha_i, E_{A_i}) \end{cases}$$

2.2 – Trigonometria pătratică și trigonometria rombică ale lui Valeriu Alaci

Vectorul viteză, tangent la cercul de rază R_M , este $\vec{V} = \Omega \cdot R_M \cdot \text{der} \alpha_i$ și are modulul $\Omega \cdot R_M$. Viteza, pe direcția laturii L_i , este proiecția acesteia pe direcția laturii L_i , unghiul dintre ele fiind β_{A_i} și $\Omega = d\alpha/dt$ astfel că

(2.52) $\vec{v}_{A_i} = \Omega \cdot R_M \cdot \cos \beta_{A_i} \cdot \text{der} \psi_i$ și este aceeași ca și în punctul A_{i+1} și în toate vârfurile poligonului, dacă el este inscripabil, deoarece $\cos \beta_{A_{i+1}} = \cos(-\beta_i) = \cos \beta_i$.

Coordonatele unui punct $P(x, y) \in L_i$ între A_i și P_i , de rază polară r (α) = $R_m / \cos(\psi_i - \alpha)$ variabilă, sunt

$$(2.54) \quad P(x, y) \begin{cases} x = r \cdot \text{cp} \alpha = r \cdot \text{Cex}(\alpha, E) = r \cdot \cos \alpha = R_m \frac{\cos \alpha}{\cos(\psi_i - \alpha)} \\ y = r \cdot \text{sp} \alpha = r \cdot \text{Sex}(\alpha, E) = r \cdot \sin \alpha = R_m \frac{\sin \alpha}{\cos(\psi_i - \alpha)} \end{cases}$$

și vitezele lui P pe L_i vor fi

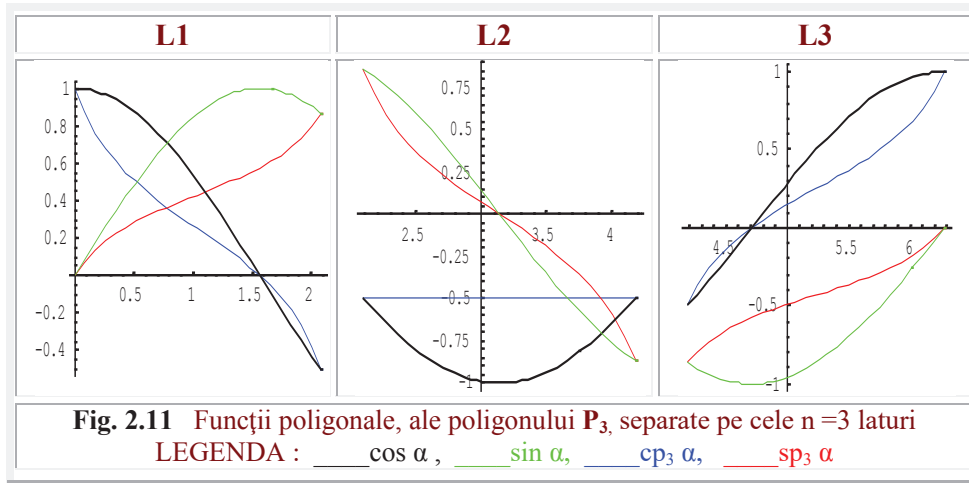
$$(2.55) \quad \vec{V} = \Omega \cdot r \cdot \cos \beta \cdot \text{der} \psi_i, \quad \text{cu componentele pe direcțiile axelor x și y}$$

$$(2.56) \quad \begin{cases} \vec{V}_x = \dot{x} = \Omega \cdot r \cdot \cos \beta \cdot \cos \varphi_i \cdot \text{rad} 0^\circ \\ \vec{V}_y = \dot{y} = \Omega \cdot r \cdot \cos \beta \cdot \sin \varphi_i \cdot \text{rad} \frac{\pi}{2} = \Omega \cdot r \cdot \cos \beta \cdot \sin \varphi_i \cdot \text{der} 0^\circ \end{cases}$$

Dacă se derivează relațiile (1.70) se obțin derivatele funcțiilor poligonale, cerute de Alaci lui Enulescu

$$(2.57) \quad \begin{cases} x' = \frac{dx}{d\alpha} = -R_m \frac{\sin \psi_i}{\cos^2(\psi_i - \alpha)} \\ y' = \frac{dy}{d\alpha} = -R_m \frac{\cos \psi_i}{\cos^2(\psi_i - \alpha)} \end{cases} \quad \text{și, pentru } R_m = \cos \frac{\pi}{n} \quad (2.47), \text{ rezultă}$$

$$(2.58) \quad \begin{cases} x' = -\cos \frac{\pi}{n} \cdot \frac{\sin \psi_i}{\cos^2(\psi_i - \alpha)} = -\cos \frac{\pi}{n} \cdot \frac{\sin \psi_i}{\cos^2 \beta} \\ y' = \cos \frac{\pi}{n} \cdot \frac{\cos \psi_i}{\cos^2(\psi_i - \alpha)} = \cos \frac{\pi}{n} \cdot \frac{\cos \psi_i}{\cos^2 \beta} \end{cases}$$



Se știe că

$$\left\{ \begin{array}{l} \dot{x} = \frac{dx}{dt} = \frac{dx}{d\alpha} \frac{d\alpha}{dt} = x' \dot{\alpha} \\ \dot{y} = \frac{dy}{dt} = \frac{dy}{d\alpha} \frac{d\alpha}{dt} = y' \dot{\alpha} \end{array} \right. \quad \text{astfel c\aa} \quad \dot{\alpha} = \frac{\dot{x}}{x'} = \frac{\dot{y}}{y'} = \Omega = \text{constant}$$

Intersecția perpendiculararei din P, pe latura L_i , intersectează axa x în excentrul $\mathbf{E}(e,0)$, punct care variază pe axa x în limitele $e \in [L \cdot \cos \varphi_i / 2, -L \cdot \cos \varphi_i / 2]$, având expresia

$$(2.59) \quad e = r \cdot \sin(\psi_i - \alpha) \cdot \cos \varphi_i = r \cdot \sin \beta \cdot \cos \varphi_i .$$

În timp ce excentricitatea reală e este variabilă, direcția $\theta = \psi_i$ a razei excentrice din \mathbf{E} este constantă, pentru fiecare latură în parte. Rezultă că funcțiile poligonale sunt un caz tipic de **FSM-CE** de argument excentric θ constant și de excentricitate – reală și/sau numerică- și raze variabile.

În figura 2.11 sunt prezentate funcțiile poligonale $cp_3\alpha$ și $sp_3\alpha$, ale poligonului $n = 3$. Ele au fost prezentate separat, pentru cele 3 laturi ale lui P_3 , împreună cu **FCC** $\cos \alpha$ și $\sin \alpha$ cu care au puncte comune în vârfurile $A_1(1,0)$, $A_2(-0.5; \sqrt{3}/2)$ și $A_3(-0.5; -\sqrt{3}/2)$, adică pentru $\alpha_1 = 0$, $\alpha_2 = 2\pi/3$ și $\alpha_3 = 4\pi/3$.

Formula fundamentală dintre aceste noi funcții, stabilită inițial eronat de **Enulescu** și corectată de **Alaci**, cu notațiile autorilor, este:

$$(2.60) \quad \sin \frac{(2i-1)\pi}{n} sp_n \beta + \cos \frac{(2i-1)\pi}{n} cp_n \beta = \cos \frac{\pi}{n}, \text{ pentru } i = 1, 2, \dots, n \text{ și}$$

$$(2.61) \quad \beta_i = \alpha + \frac{2(i-1)\pi}{n}$$

2.5 FUNCȚIILE PSEUDOHIPERBOLICE ALE LUI EUGEN VIȘA

Într-un extras din „GAZETA MATEMATICA din Timișoara” anul XX, Nr. 1,2, 4 și 5, **Eugen Vișa** afirmă că „raportul dintre aceste noi funcțiuni și cele hiperbolice, este de aceeași natură ca și raportul dintre funcțiunile pătratice Alaci și funcțiunile circulare”. Și că „funcțiunile pseudo-hiperbolice sunt de-aproape înrudite cu funcțiunile hiperbolice propriu-zise”.

Pseudohiperbola, este definită de autor, ca două unghiuri, situate într-un același plan, cu vârfurile A și A' situate pe axa x, care este și dreapta de simetrie și bisectoarea unghiului. Dacă unghiurile din A și A' sunt drepte, atunci pseudohiperbola este echilaterală.

În figura 2.12 este prezentată o astfel de pseudohiperbola echilaterală, împreună cu o hiperbolă echilaterală atașată ei și cu cercul unitate care conține vârfurile A(1,0) și A'(-1,0).

O semidreaptă pozitivă \mathbf{d}^+ intersectează hiperbola în punctul N și pseudohiperbola în punctul M(x,y). Dublul ariei sectorului hiperbolic **OANO** se notează cu α .

2.2 – Trigonometria pătratică și trigonometria rombică ale lui Valeriu Alaci

A fost denumit **cosinus pseudohiperbolic** al argumentului α și notat cu **cph** lungimea segmentului **OP** care este întotdeauna pozitiv.

(2.62) **cph** $\alpha = |\overline{OP}| > 0$. Ea este o funcție pară, deoarece **cph** $\alpha = \mathbf{cph}(-\alpha)$.

A fost denumit **sinus pseudohiperbolic** al argumentului α și notat cu **sph** lungimea perpendicularei **MP**, dusă din **M**, luată cu semnul + sau -, după cum punctul **M** se găsește în cadranul I sau în cadranul IV

(2.69) **sph** $\alpha = \pm |\overline{MP}|$. Ea este o funcție impară, deoarece **sph** $(-\alpha) = -\mathbf{sph} \alpha$.

Din aceste definiții geometrice, rezultă că aceste funcții există și sunt continue pe toată axa reală $\alpha \in [-\infty, +\infty]$.

Tangenta, cotangenta, secantă și cosecantă **pseudohiperbolice** sunt definite similar cu cele hiperbolice, ca rapoarte, formate cu funcțiile anterioare, cu observația că, pentru simplificarea scrierii funcțiilor, secantă și cosecanta pseudohiperbolice, s-au folosit litere mari. Astfel

$$(2.70) \quad \mathbf{tpha} = \frac{\mathbf{spha}}{\mathbf{cpha}}, \quad \mathbf{ctpha} = \frac{\mathbf{cpha}}{\mathbf{spha}}, \quad \mathbf{Spha} = \frac{1}{\mathbf{cpha}} \quad \text{și} \quad \mathbf{Cpha} = \frac{1}{\mathbf{spha}}$$

Eugen Vișa prezintă următoarele formule fundamentale cu privire la aceste funcții:
Dacă α este un argument **pozitiv**, atunci

$$(2.71) \quad \mathbf{cps}\alpha - \mathbf{sph}\alpha = 1, \quad \mathbf{spha} = \frac{\mathbf{th}\alpha}{1 - \mathbf{th}\alpha}, \quad \mathbf{cpha} = \frac{1}{1 - \mathbf{th}\alpha}$$

Dacă α este un argument **negativ**, atunci

$$(2.72) \quad \mathbf{cph}\alpha + \mathbf{sph}\alpha = 1, \quad \mathbf{spha} = \frac{1}{1 + \mathbf{th}\alpha}, \quad \mathbf{cpha} = \frac{1}{1 + \mathbf{th}\alpha}$$

Sunt demonstrate următoarele formule / teoreme de adițiune:

Teorema 1 : Dacă α și β sunt argumente de același semn (+ + sau - -) atunci

$$(2.73) \quad \mathbf{sph}(\alpha + \beta) = \mathbf{spha} \cdot \mathbf{cph}\beta + \mathbf{cpha} \cdot \mathbf{sph} \beta$$

$$(2.74) \quad \mathbf{cph}(\alpha + \beta) = \mathbf{cpha} \cdot \mathbf{cph}\beta + \mathbf{spha} \cdot \mathbf{sph}\beta, \text{ iar, dacă ambele sunt pozitive,}$$

$$(2.75) \quad \mathbf{sph}(\alpha - \beta) = \frac{\mathbf{spha} \cdot \mathbf{cph}\beta - \mathbf{cpha} \cdot \mathbf{sph}\beta}{1 + 2\mathbf{sph}\gamma}$$

$$(2.76) \quad \mathbf{cph}(\alpha - \beta) = \frac{\mathbf{cpha} \cdot \mathbf{cph}\beta - \mathbf{spha} \cdot \mathbf{sph}\beta}{1 + 2\mathbf{sph}\gamma}, \text{ în care } \gamma = \min[\alpha, \beta],$$

Dacă ambele argumente sunt negative (- și -), atunci

$$(2.77) \quad \mathbf{sph}(\alpha - \beta) = \frac{\mathbf{spha} \cdot \mathbf{cph}\beta - \mathbf{cpha} \cdot \mathbf{sph}\beta}{1 - 2\mathbf{sph}\gamma}.$$

$$(2.78) \quad \mathbf{cph}(\alpha - \beta) = \frac{\mathbf{cpha} \cdot \mathbf{cph}\beta - \mathbf{spha} \cdot \mathbf{sph}\beta}{1 - 2\mathbf{sph}\gamma}$$

Dacă, cele două argumente sunt de semne contrare, sunt prezentate relațiile

$$(2.79) \quad \mathbf{sph}(\alpha - \beta) = \mathbf{spha} \cdot \mathbf{cph}\beta - \mathbf{cpha} \cdot \mathbf{sph}\beta$$

$$(2.80) \quad \mathbf{cph}(\alpha - \beta) = \mathbf{cpha} \cdot \mathbf{cph}\beta - \mathbf{spha} \cdot \mathbf{sph}\beta.$$

DIVERSIFICAREA FUNCȚIILOR PERIODICE

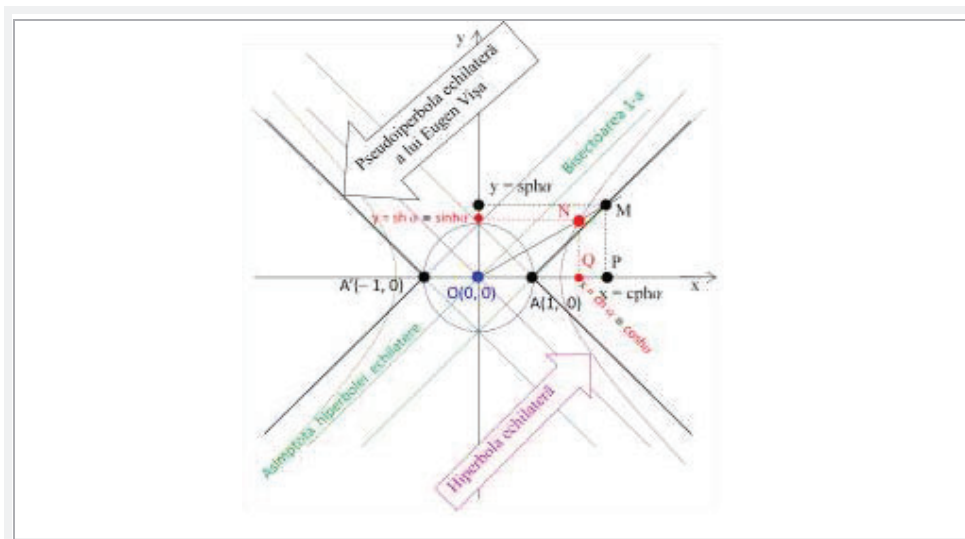


Fig. 2.12 Pseudohiperbolele lui Eugen Vișă

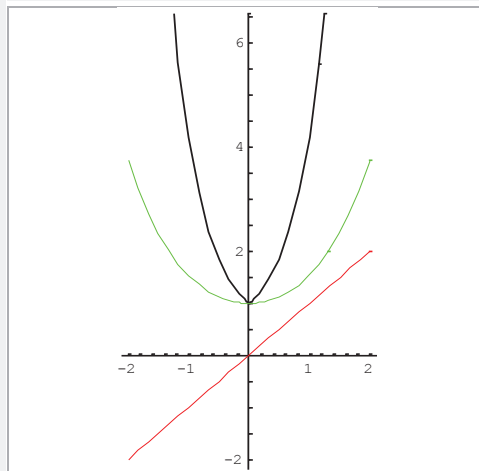


Fig. 2.13,a Cosinus pseudohiperbolic
 _____ cph x, _____ cosh x, _____ y = x

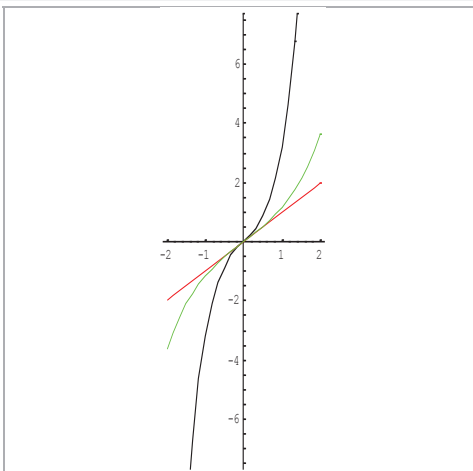


Fig. 2.13,b Sinus pseudohiperbolic
 _____ sph x, _____ sinh x, _____ y = x

Derivatele acestor funcții sunt

$$(2.81) \quad (\text{cph}x)' = \frac{d(\text{cph}x)}{dx} = \pm (\text{cph}x \pm \text{sph}x)$$

$$(2.82) \quad (\text{sph}x)' = \frac{d(\text{sph}x)}{dx} = \text{cph}x \pm \text{sph}x,$$

în care semnul + sau – corespunde semnului argumentului x.

În figurile 2.13, a și 2.13, b sunt prezentate funcțiile **cph x** și **sph x** cu relațiile

$$(2.83) \quad \mathbf{cph} \ x = \frac{1}{1 - \text{Abs}[thx]} \quad \text{și} \quad \mathbf{sph} \ x = \frac{thx}{1 - \text{Abs}[thx]}$$

2.6 TRIGONOMETRIA EVOLVENTICĂ A LUI

George (Gogu) Constantinescu.

Cosinusul (Cora) și sinusul (Sira) românești

Creatorul „**Teoriei sonicității**” (1912), lucrare tipărită pentru prima oară la Londra în 1918, într-un număr limitat și controlat de exemplare, lucrare declarată secret de guvernul Britanic, din cauza aplicațiilor în domeniul armelor și mijloacelor de război, **Gogu Constantinescu**, inventator și constructor de **mașini și dispozitive sonice**, a fost nu numai un inginer român de valoare mondială dar și un bun matematician, fiind creatorul unei **mașini de integrat** ecuații diferențiale.

Revista engleză „**The Graphyc**” (10 01 1926) în articolul „**Leaders (Pioneers) in the March of Progress**” (Conducători (Inițiatori) în mersul spre progres) prezintă figurile a 17 mari inventatori și oameni de știință, din intervalul 1900-1925. Printre aceștia, alături de Albert **Einstein**, Guglielmo **Marconi**, Lord **Rayleigh**, Thomas **Edison**, Marie **Curie**, se află și **George Constantinescu**.

Considerând următoarele ecuațiile diferențiale, în care **H** este presiunea alternativă maximă [daN/cm²] și **I** este debitul alternativ maxim [cm³ / s],

$$(2.84) \quad \begin{cases} \frac{d^2 H}{d\alpha^2} + \frac{2}{\alpha} \frac{dH}{d\alpha} + H = 0 \\ \frac{d^2 I}{d\alpha^2} + \frac{2}{\alpha} \frac{dI}{d\alpha} + I = 0 \end{cases} \quad \mathbf{Gogu \ Constantinescu} \text{ a găsit următoarea soluție}$$

generală

$$(2.85) \quad \begin{cases} H = \frac{1}{\alpha} (A \cdot \cos \alpha + B \cdot \sin \alpha) \\ I = A_1 \cdot \cos \alpha + B_1 \cdot \sin \alpha \end{cases} \quad \text{în care, funcțiile } \mathbf{Cora} \text{ și } \mathbf{Sira} \text{ sunt}$$

cosinusul românesc

$$(2.86) \quad \mathbf{Cora} = \cos \alpha + \alpha \cdot \sin \alpha = 1 + 1 \cdot \frac{\alpha^2}{2!} - 3 \frac{\alpha^4}{4!} + 5 \frac{\alpha^6}{6!} - 7 \frac{\alpha^8}{8!} + \dots + (2n - 1) \frac{\alpha^{2n}}{(2n)!} +$$

$$\text{sau} \quad \mathbf{Cora} = \int \alpha \cdot \cos \alpha \cdot d\alpha \quad \text{și}$$

sinusul românesc

$$(2.87) \quad \mathbf{Sira} = \sin \alpha - \alpha \cdot \cos \alpha = 2 \frac{\alpha^3}{3!} - 4 \frac{\alpha^5}{5!} + 6 \frac{\alpha^7}{6!} - 8 \frac{\alpha^9}{9!} + \dots + (-1)^{2n+1} 2n \frac{\alpha^{2n}}{(2n)!} +$$

$$\text{sau} \quad \mathbf{Sira} = \int \alpha \cdot \sin \alpha \cdot d\alpha$$

Formula fundamentală a **funcțiilor trigonometrice românești**, prezentată de **Gogu Constantinescu**, este

$$(2.88) \quad \mathbf{Cor}^2 \alpha + \mathbf{Sir}^2 \alpha = 1 + \alpha^2.$$

Au mai fost prezentate relațiile

$$(2.89) \quad \mathbf{Cora} \cdot \sin \alpha - \mathbf{Sira} \cdot \cos \alpha = \alpha$$

$$(2.90) \quad \mathbf{Cora} \cdot \cos \alpha + \mathbf{Sira} \cdot \sin \alpha = 1.$$

Se poate arăta geometric că, **funcțiile trigonometrice românești (FTR)** sunt definite pe o evolventă (desfășurată sau desfășurătoarea) unui cerc unitate, care este totodată și evolută, situație prezentată în **figura 2.14**.

Evolventa (evolventă = a se desfășura) cercului $C(O,R)$ poate fi obținută prin desfășurarea unui fir, bine întins, de pe un tambur cilindric de rază R , ca loc geometric al vârfului acestui fir. Rezultă că distanța, de la punctul de tangență $T(x = \cos\alpha, y = \sin\alpha)$ al firului de pe cercul C , la punctul $E(X, Y)$ al **evolventei**, are lungimea egală cu arcului / unghiului α de pe care s-a desfășurat firul.

Deoarece lungimea segmentului este **$TE = \alpha$** , proiectându-l pe direcția axelor x și y , rezultă, fără dificultate, relațiile (2.86) și (2.87) ale funcțiilor **cosinus și sinus românești** ca funcții **cosinus și sinus evolventic**.

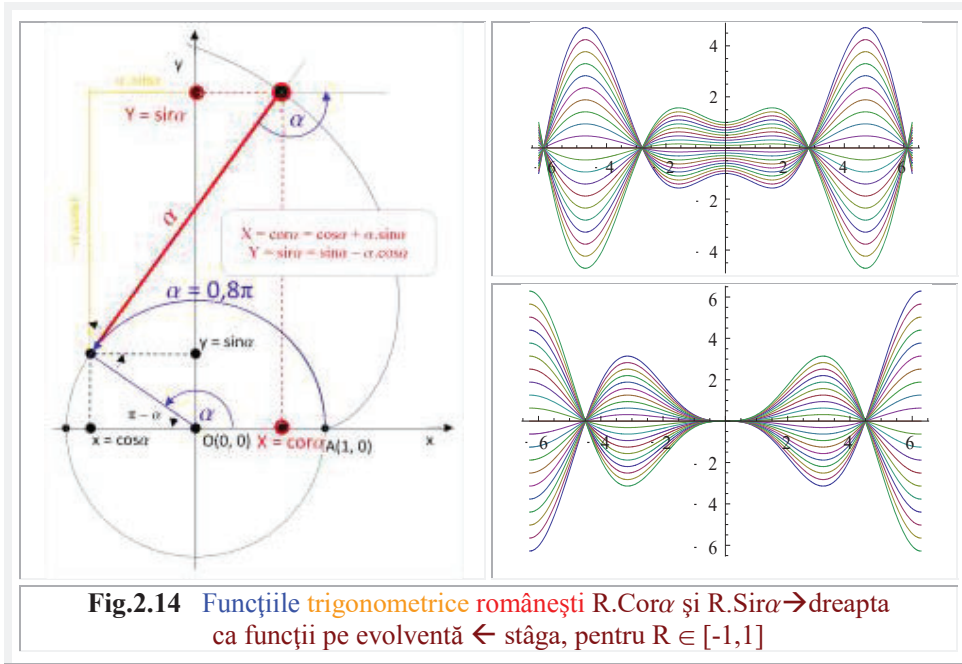


Fig.2.14 Funcțiile trigonometrice românești $R.Cora$ și $R.Sira \rightarrow$ dreapta ca funcții pe evolventă \leftarrow stânga, pentru $R \in [-1, 1]$

Se deduce imediat că funcția **Sir** $(-\alpha) = -\text{Sir } \alpha$ este impară, iar funcția **Cor** $(-\alpha) = \text{Cor } \alpha$ este pară.

Derivatele de ordinul întâi ale acestor funcții sunt

$$(2.91) \quad \begin{cases} \dot{x} = \frac{d(\text{Cor}\alpha)}{d\alpha} = \alpha \cdot \cos \alpha \\ \dot{y} = \frac{d(\text{Sir}\alpha)}{d\alpha} = \alpha \cdot \sin \alpha \end{cases} \quad \text{și derivatele de ordinul doi au expresiile}$$

$$(2.92) \quad \begin{cases} \ddot{x} = \frac{d^2(\text{Cor}\alpha)}{d\alpha^2} = \text{Cor } \alpha - 2 \alpha \cdot \sin \alpha \\ \ddot{y} = \frac{d^2(\text{Sir}\alpha)}{d\alpha^2} = \text{Sir } \alpha + 2 \alpha \cdot \cos \alpha \end{cases}$$

Între două variabile / argumente α și β există formulele / teoremele de adăuine:

$$(2.93) \quad \mathbf{cor}(\alpha + \beta) = \mathbf{cor} \alpha \cdot \mathbf{cor} \beta - \mathbf{sir} \alpha \cdot \mathbf{sir} \beta + \alpha \cdot \beta \cdot \cos(\alpha + \beta)$$

(2.94) $\mathbf{sir}(\alpha + \beta) = \mathbf{sir} \alpha \cdot \mathbf{cor} \beta + \mathbf{cor} \alpha \cdot \mathbf{sir} \beta + \alpha \cdot \beta \sin(\alpha + \beta)$ și se mai pot demonstra unele formule asemănătoare

$$(2.95) \quad \cos(\alpha + \beta) = \cos \alpha \cdot \cos \beta - \sin \alpha \cdot \sin \beta - \beta \cdot \sin(\alpha + \beta) \quad \text{și}$$

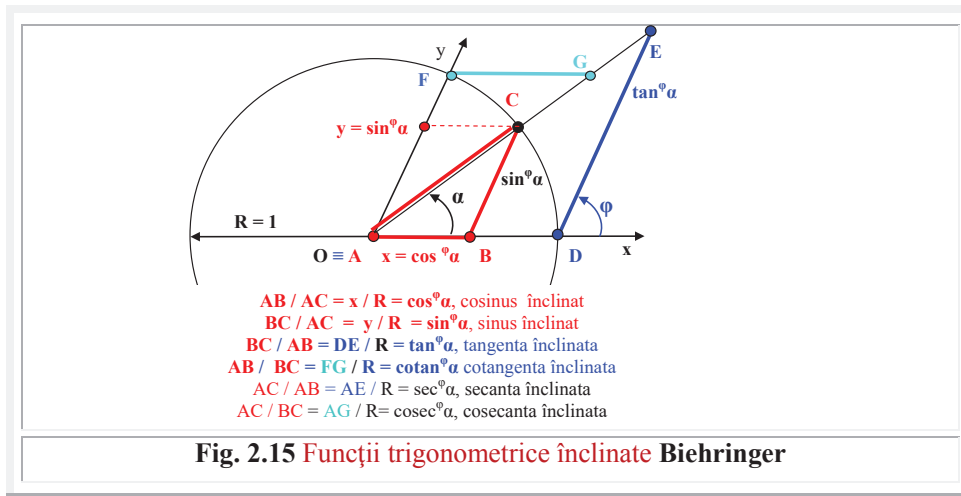
$$(2.96) \quad \sin(\alpha + \beta) = \sin \alpha \cdot \cos \beta + \cos \alpha \cdot \sin \beta + \beta \cos(\alpha + \beta)$$

2.7 FUNCȚIILE TRIGONOMETRICE ÎNCLINATE ALE Prof. Dr. AUGUST BIEHRINGER

Aceste funcții trigonometrice **noi** au fost publicate în lucrarea „**ÜBER SCHIEFE TRIGONOMETRISCHE FUNKTIONENE UND IHRE ANVENDUNGEN**” în Editura Nordlingen, în anul 1877 de către **August Biehringer**, profesor de matematică la Școala Regală Industrială din Nürnberg.

Considerând triunghiul oarecare **ABC**, cu notațiile originare ale lui **Biehringer**, din **figura 2.15**, în care latura **BC**, perpendiculară pe axa x, în cazul **trigonometriei clasice**, pe care o vom denumi și **trigonometria „dreapată”**, datorită unghiului drept din **B**, este, acum, înclinată cu unghiul ϕ iar ipotenuza **AC** face unghiul α cu axa x.

În acest triunghi oarecare, **A. Biehringer** a definit următoarele **funcții trigonometrice înclinate**:



$$(2.97) \quad \cos^\circ \alpha = \frac{AB}{AC} = \frac{x}{R} = x, \quad \text{cosinusul înclinat cu unghiul } \phi \text{ de rgument } \alpha,$$

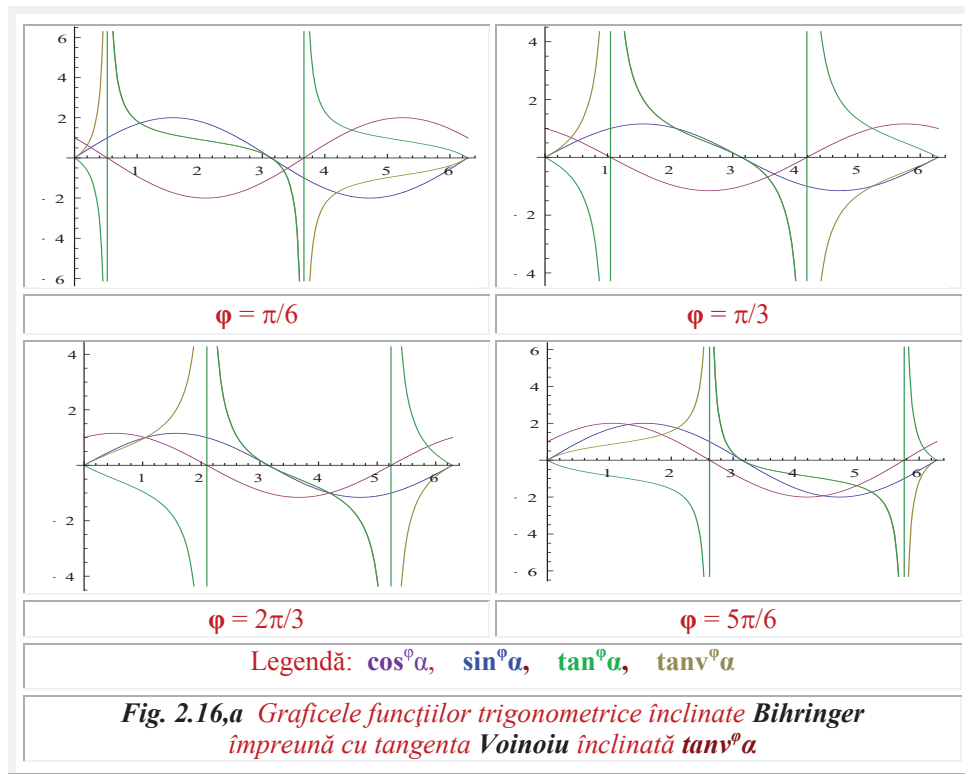
$$(2.98) \quad \sin^{\circ}\alpha = \frac{BC}{AC} = \frac{y}{r} = y, \quad \text{sinsusul } \hat{\text{inclinat}} \text{ cu unghiul } \varphi \text{ de rgument } \alpha,$$

$$(2.99) \quad \tan^{\circ}\alpha = \frac{BC}{AB} = \frac{DE}{R} = y_E, \quad \text{tangenta } \hat{\text{inclinat}} \text{ă cu unghiul } \varphi \text{ de rgument } \alpha,$$

$$(2.100) \quad \text{ctan}^{\circ}\alpha = \frac{AB}{BC} = \frac{FG}{R} = x_G, \quad \text{cotangenta } \hat{\text{inclinat}} \text{ă cu unghiul } \varphi \text{ de rgument } \alpha,$$

$$(2.101) \quad \sec^{\circ}\alpha = \frac{AC}{AB} = \frac{AE}{R} = z_E, \quad \text{secanta } \hat{\text{inclinat}} \text{ă cu unghiul } \varphi \text{ de rgument } \alpha \text{ și}$$

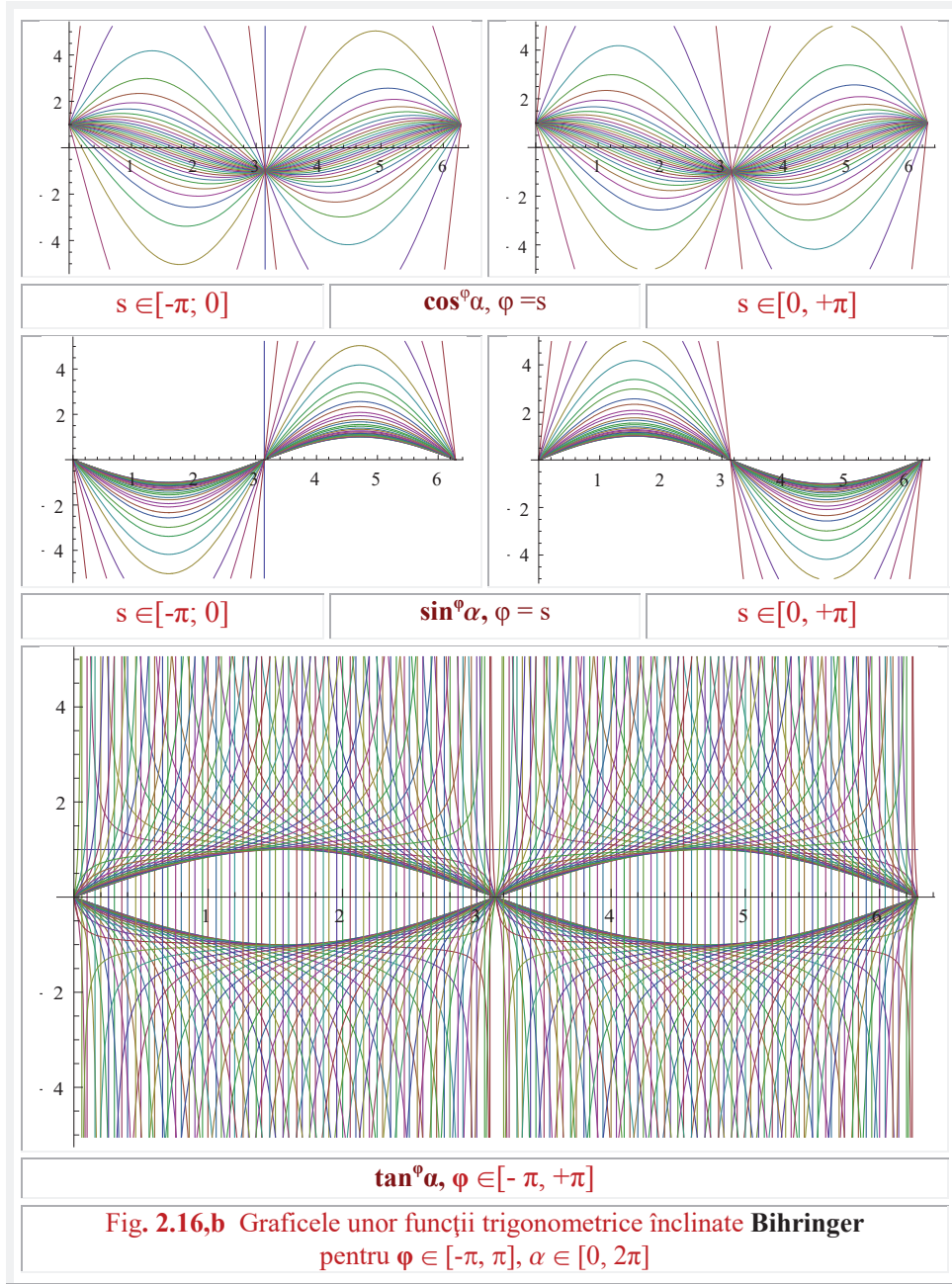
$$(2.102) \quad \text{cosec}^{\circ}\alpha = \frac{AC}{BC} = \frac{AG}{R} = z_G, \quad \text{cosecanta } \hat{\text{inclinat}} \text{ă cu unghiul } \varphi \text{ de rgument } \alpha.$$



Axa z a fost considerată semidreapta pozitivă din O , *înclinată* cu unghiul α .

Spre deosebire de notațiile anterioare, **Dr. A. Bieringer** a notat tangenta și cotangenta cu **tang** și respectiv **cotang**. Pentru comparație, s-a introdus și tangenta **Voioiu**

$$\tan^{\vee^{\circ}}\alpha = \sin^{\circ}\alpha / \text{Abs}[\cos^{\circ}\alpha].$$



Este evident că, pentru $\varphi = \pi/2$, funcțiile trigonometrice înclinate degenerază în funcții trigonometrice drepte, trigonometrice sau circulare ordinare / centrice.

Dacă privim, cu atenție, schița din **figura 2.15**, se poate observa că punctul **B** poate fi considerat un excentru $S(s, 0)$, situat pe axa x, cu excentricitatea liniară numerică s și unghiulară $\varepsilon = 0$, dacă cercul este unitate și raza lui este $R = 1$, iar punctul **C** poate fi asimilat ca punct W_1 . Unghiul $\alpha \rightarrow \alpha_1$ va fi variabila la centrul $O(0,0)$, iar variabila la excentrul **S** este $\theta \equiv \varphi$.

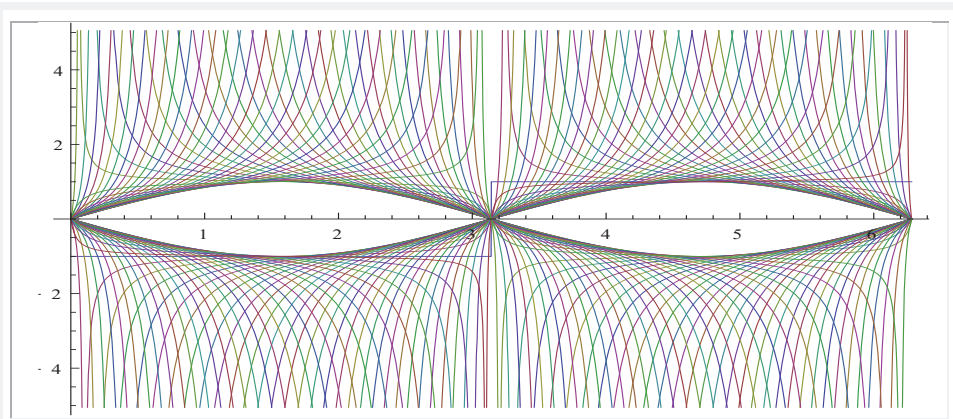


Fig. 2.16,c Graficele funcțiilor trigonometrice înclinate **Bihringer** $\tan^\varphi \alpha$, pentru $\varphi \in [-\pi, +\pi]$ și $\alpha \in [0, 2\pi]$

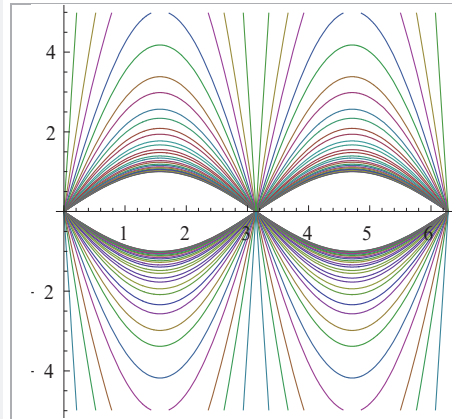


Fig. 2.17,a Funcția $\pm \text{Rex } \alpha = \sin^\varphi \alpha$, pentru $\varphi \in [-\pi, \pi]$

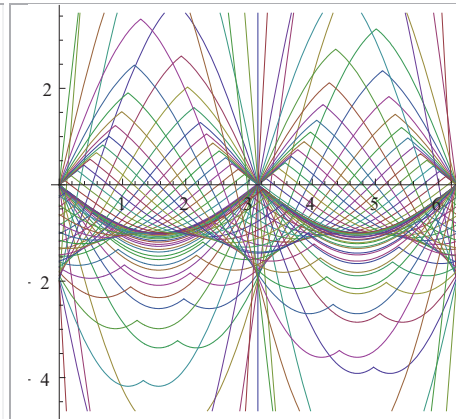


Fig. 2.17,b Funcția $\text{rex}(\varphi, S) = \sin^\varphi \alpha$, pentru $S(s = \cos^\varphi \alpha, \varepsilon = 0)$, $\varphi \in [-\pi, \pi]$

În aceste condiții, rezultă că

$$(2.103) \quad BC = SW_1 = \text{rex}_1[\theta = \varphi, S(s = \cos^\varphi \alpha, \varepsilon = 0)] = \text{rex}_1 \theta = \frac{\sin \alpha}{\sin \varphi} = \sin^\varphi \varphi$$

cu graficele din **figura 2.16,a**, pentru câteva valori discrete ale lui φ și cu graficele din **figura 2.16,b**, pentru valori continue ale lui $\varphi \in [-\pi, +\pi]$.

În **figura 2.16,c** sunt prezentate funcțiile înclinate tangenta **Voinoiu** $\tan^{\varphi}\alpha = \sin^{\varphi}\alpha / \text{Abs}[\cos^{\varphi}\alpha]$.

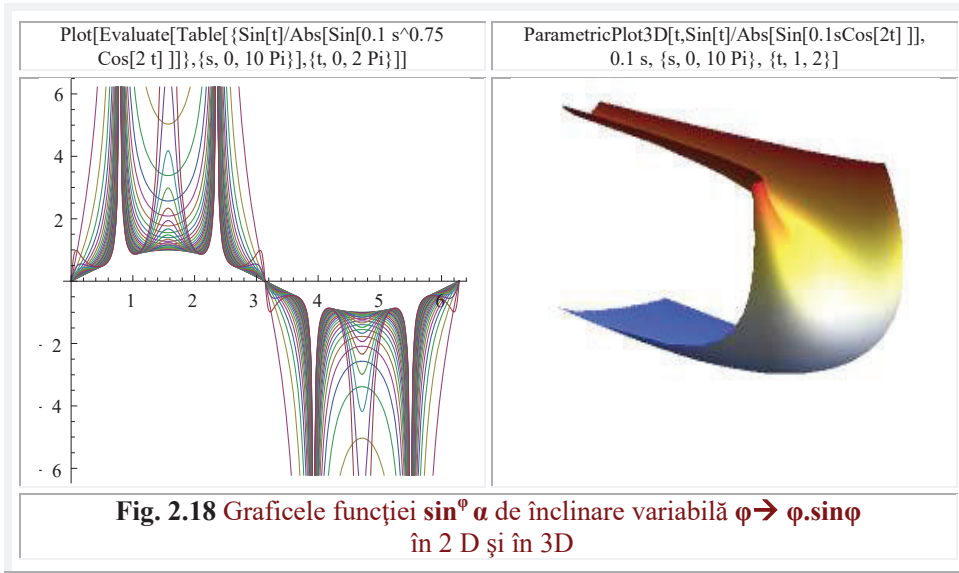
Relația (2.103) ne permite să reprezentăm, mai simplu, graficul funcției trigonometrice înclinate **sinus înclinat** **Fig.2.17,a**, ceea ce **A. Bihringer** n-a făcut-o în lucrarea sa. **FSM-CE** radial excentric de variabilă excentrică $\theta = \varphi \text{ rex}\theta$, permite exprimarea și reprezentarea graficelor funcțiilor trigonometrice înclinate în funcție de înclinarea variabilă φ , așa cum sunt prezentate în **figura 2.17,b**.

Din grafice, rezultă că alura funcției $\sin^{\varphi}\alpha$ este a funcției $\sin\alpha$, atât timp cât unghiul φ este constant, el intervenind doar ca o amplitudine $A = 1/\sin\varphi = \text{constantă}$ și supraunitară.

În cazul funcției $\cos^{\varphi}\alpha$ apare, în plus, și o defazare cu φ a **FCC** $\cos\alpha$ (**Fig. 2.16,a**).

Dacă α și $\theta = \varphi$ sunt într-o relație în care $\cos^{\varphi}\alpha = s = \text{constant}$ și $AC = R = 1$, relație dată de funcția $\alpha(\theta) = \text{aex } \theta$, sau de $\theta(\alpha_1) = \text{Aex } \alpha_1$, atunci $\sin^{\varphi}\alpha$ este funcția **SM-CE** $\text{rex}_1 \theta$ și, respectiv **Rex** α_1 , de excentricitate numerică $s = \cos^{\varphi}\alpha$ și de variabilă excentrică $\theta = \varphi$ sau centrică α_1 , a căror grafice sunt prezentate în **figurile 2.17,a** și **2.17,b**.

Dând unghiului φ variații cu funcția $\varphi = s^{0.75} \cdot \cos 2\alpha$, sau $\varphi = s \cdot \cos 2\alpha$, de diverse excentricități $s \in [0, 1]$, se obțin graficele funcțiilor înclinate din **figura 2.18**.

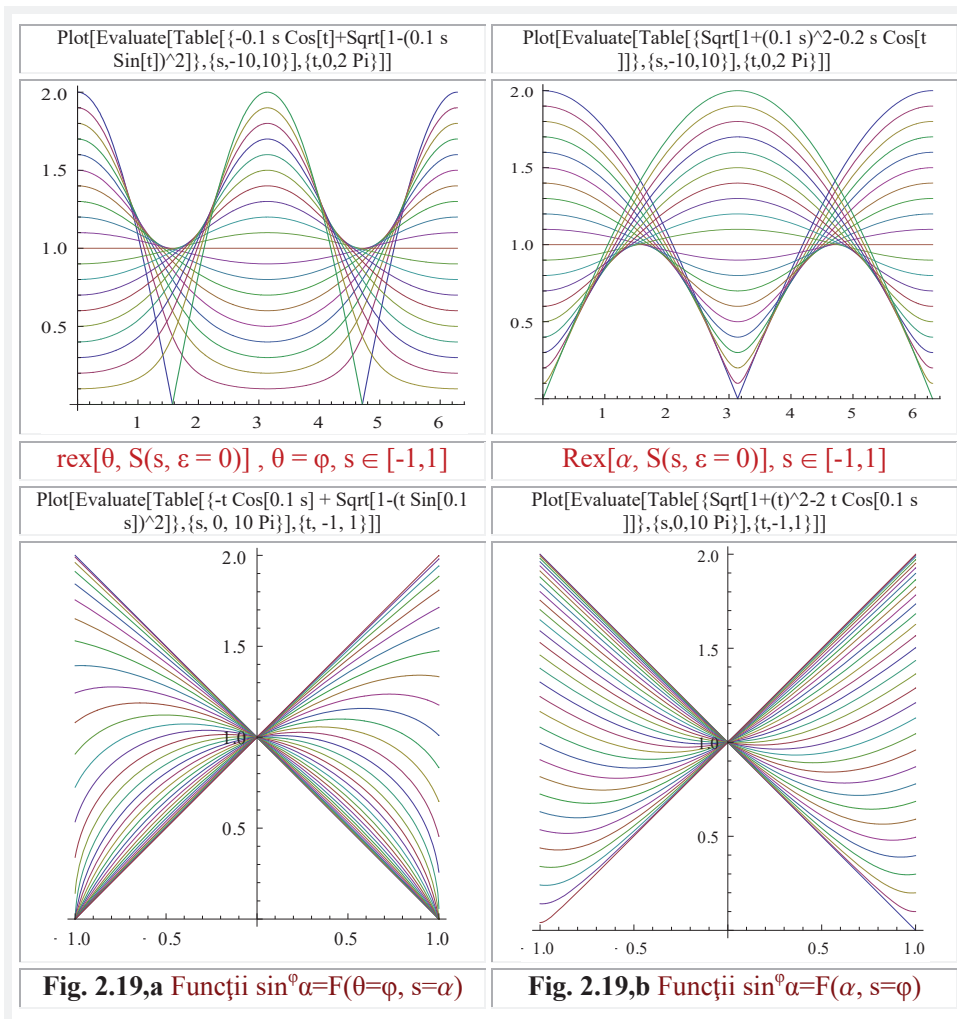


Funcția **cosinus înclinat** reprezintă tocmai excentricitatea numerică s ca funcție de α și de parametrul φ , care dă amplitudine exprimată de inversul funcției $\sin\varphi$, conform relației

$$(2.104) \quad s = \frac{AB}{AC} = \frac{e}{R} = \frac{\sin[\beta(\alpha)]}{\sin(\theta = \varphi)} = \frac{1}{\sin\varphi} \frac{s \cdot \sin\alpha}{\text{Re } x\alpha} \text{ din care rezultă ecuația}$$

$$(2.105) \quad s(\alpha) = \cos\alpha - \sin\alpha \tan\left(\frac{\pi}{2} - \varphi\right) = \cos\alpha - \sin\alpha \cdot \cot\varphi = \frac{\sin(\varphi - \alpha)}{\sin\varphi} = \cos^{\varphi}\alpha$$

Domeniul de variație al funcției $\sin^{\circ}\alpha$ este $[-\infty, \infty]$. Valorile extreme apar atunci când $\alpha = \pm \varphi$ și punctul de intersecție $C \rightarrow \pm \infty$, $BC \rightarrow \pm \infty$ (Fig. 2.15).



În partea superioară a **figurii 2.19 a** și **b** sunt prezentate funcțiile radiale excentrice de variabilă excentrică $\text{rex}\theta$ și, respectiv, de variabilă centrică $\text{Rex}\alpha$. Ambele funcții reprezintă aceeași mărime, segmentul BC , pentru $AC = R = 1$, adică pe $\sin^{\circ}\alpha$, dar prima FSM-CE o reprezintă în funcție de variabila excentrică θ , iar a doua în funcție de cea centrică α .

Deoarece, FSM-CE sunt definite pe cercul unitate de $R = AC = 1$, rezultă că $\text{Rex}\alpha$ poate exprima o funcție trigonometrică, sau mai precis, circulară înclinată a cărei domeniu să nu depășească diametrul cercului unitate, adică cifra 2, dacă excentrul $S(s, \varepsilon)$ este interior cercului unitate. O funcție $\text{Rex}\alpha$ este prezentată în partea de sus a **figurii 2.19,b**, ca funcție de

argumentul $\alpha \in [0, 2\pi]$ și de parametrul $s = \varphi \in [-1, 1]$ și, în partea de jos, cu α ca parametru și de argument φ .

În **figura 2.19,a** – jos ▼, sunt prezentate graficele unor funcții înclinate $\sin^\varphi \alpha$, ca funcții de $\varphi \in [0, 2\pi]$ și de parametru $\alpha \in [-1, 1]$.

Concluzia este că se pot defini, **geometric**, funcții periodice pe oricare curbă închisă. Însă, exprimarea relațiilor lor analitice și realizarea graficelor acestor funcții necesită, în majoritatea cazurilor, așa cum s-a putut observa anterior, existența **FSM-CE**.

Variabilele **dependente**, de alegerea originii $O(0,0)$, sunt **lungimea arcului circularizat**. În figura **2.20** se arată posibilitățile de generare a unor familii de funcții periodice **centrice** (Fig. **2.20,a**) și, respectiv, **excentrice** (Fig. **2.20,b**).

Drept argument sau variabilă **independentă** de sistemul de referință ales, este lungimea arcului **AB**, lungime exprimată de relația

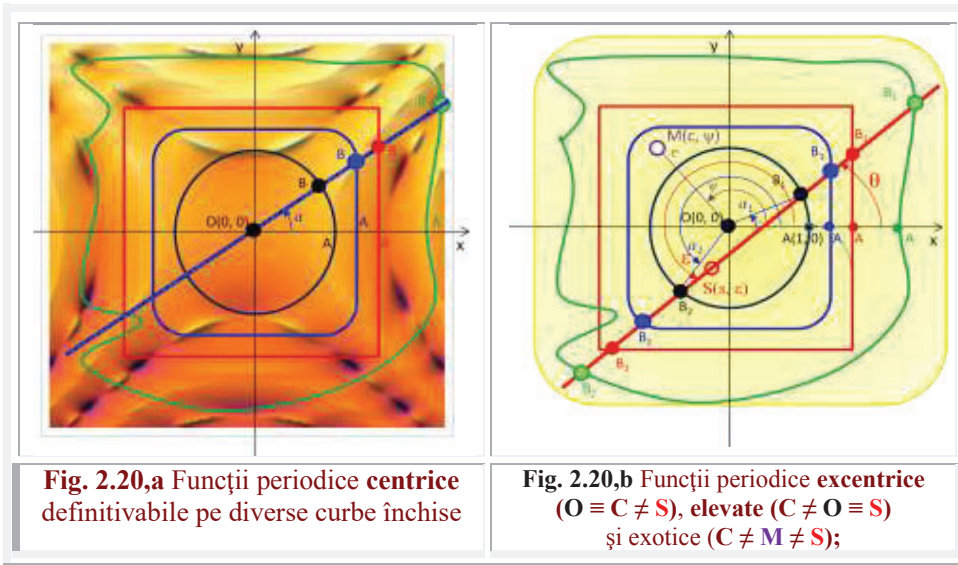
$$(2.106) \quad \overline{AB} = \int_A^B ds = \int_A^B \sqrt{dx^2 + dy^2} = \int_A^B \sqrt{1 + (y')^2} dx = \int_A^B \sqrt{1 + (x')^2} dy$$

și lungimea arcului circularizat este

$$(2.107) \quad \overline{AB}^O = \int_A^B r \cdot d\varphi = \int_A^B \sqrt{(r \cdot d\varphi)^2 + dr^2} = \int_A^B \sqrt{r^2 + \left(\frac{dr}{d\varphi}\right)^2} \cdot d\varphi$$

iar dublul suprafeței triunghiului **OAB** se exprimă prin integrala definită

$$(2.108) \quad 2* \blacktriangle OAB = \int_A^B r^2 d\varphi$$



Numai funcțiile **circulare centrice** au aceleași grafice, pentru toate variabilele anterior prezentate. În celelalte cazuri, graficele sunt dependente de variabila aleasă și, în toate cazurile, de natura curbei închise, pe care se definește familia de funcții periodice.

Variabila, cea mai comodă și mai simplă, este unghiul α , pe care dreapta generatoare **centrică** îl face cu axa x , sau unghiul θ , pe care dreapta generatoare **excentrică** îl face cu axa x .

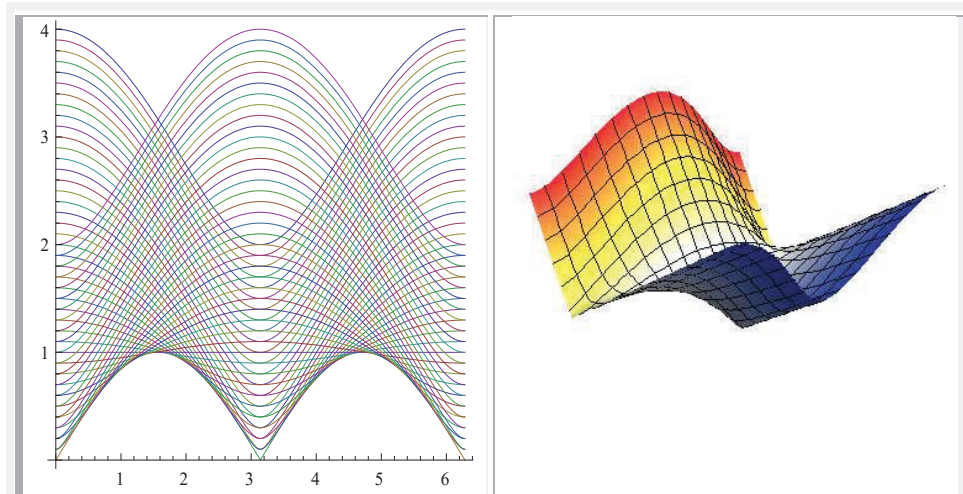


Fig. 2.21,a FSM-CE $Rex\alpha$ $s \in [-3, +3]$

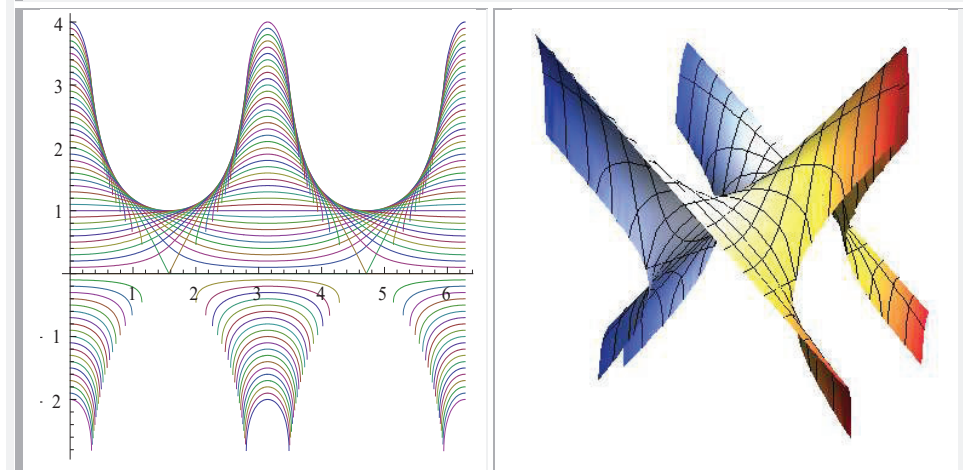


Fig. 2.21,b FSM-CE $rex\theta$, $s \in [-3, +3]$ în 2D și $s \in [-2, +2]$ în 3D

Dreapta generatoare este dreapta mobilă, în jurul unui **pol**, pol care poate fi **O**, în cazul funcțiilor **centrice** și **E** în cazul funcțiilor **excentrice** (cu originea în **O**), **elevate** (cu originea în **S**) și **exotice** (cu originea oarecare în planul cercului, dar diferită de originea sistemului de referință **O** și de excentrul **S** sau **E**).

Dacă matematica **centrică (MC)** operează ca argument doar cu **unghiul α la centru centru**, în **ME** se operează atât cu argument **unghiul θ la excentrul E** cât și cu **unghiul α la centrul O**.

Funcțiile supermatematice circulare excentrice FSM-CE de **variabilă excentrică θ** sunt continue **numai** pentru excentricitatea liniară numerică $s \in [-1,1]$ și discontinue în rest, deoarece, o dreaptă excentrică **d**, turnantă în jurul unui excentru **S** exterior cercului unitate ($s^2 > 1$), intersectează cercul numai pentru anumite valori ale lui **θ** .

FSM-CE de **variabilă centrică** sunt continue pentru oricare poziție a excentrului **S** ($s \in [-\infty, +\infty]$, ε) adică pe toată axa reală \mathbb{R} . Se vor exemplifica aceste proprietăți pe funcțiile radiale excentrice **rex θ** și **Rex α** ale căror grafice sunt prezentate în **figura 2.21** pentru $s \in [-3, 3]$ în 2D și în 3D. Reprezentarea funcțiilor în 3D, pe lângă atributul lor artistic, are menirea să elucideze suprapunerile de curbe care apar în 2D.

În acest caz și funcțiile trigonometrice înclinate care pot fi reprezentate prin **FSM-CE** pot lua aceleași valori ca și funcțiile înclinate **Biehringer**.

(3.74) $\ddot{r} + 2\zeta \cdot \omega_0 \cdot \dot{r} + \omega_0^2 r = \omega_0^2 \frac{F}{k} \text{rad}\omega t$, în care ζ este factorul de amortizare, sau fracțiunea din amortizarea critică c_c , exprimată de relația

(3.75) $\zeta = \frac{c}{c_c} = \frac{c}{2m\omega_0}$ și se vor nota

(3.76) $1 - 2\zeta^2 = \cos \alpha_1$ sau $\alpha_1 = 2 \cdot \arcsin \zeta = \arccos(1 - 2\zeta^2)$.

Admițând că $\vec{r} = R \cdot \text{rad}(\omega t + \theta)$ este o **soluție a ecuației diferențiale** și introducând-o în (3.74), rezultă, ordonând termenii în funcție de versorii **rad ωt** și **der ωt**

(3.77) $R \{ \text{rad}\omega t [(\omega_0^2 - \omega^2) \cdot \cos\theta - 2\zeta \cdot \omega_0 \cdot \omega \cdot \sin\theta - F \cdot \omega_0^2 / k \cdot R] + \text{der}\omega t [(\omega_0^2 - \omega^2) \cdot \sin\theta + 2\zeta \cdot \omega_0 \cdot \omega \cdot \cos\theta] \} = 0$

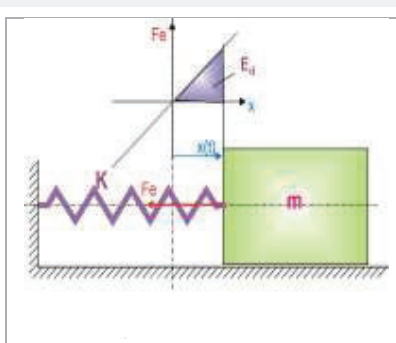


Fig. 2.22,a Modelul dr.ing. Titus Cioară al unui sistem vibrant conservativ cu un singur grad de libertate

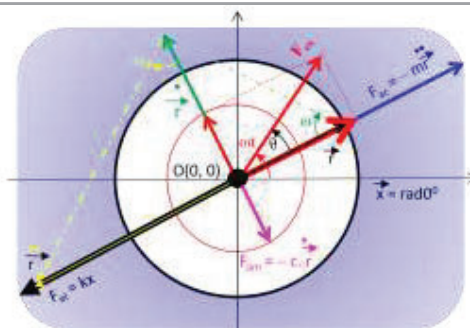
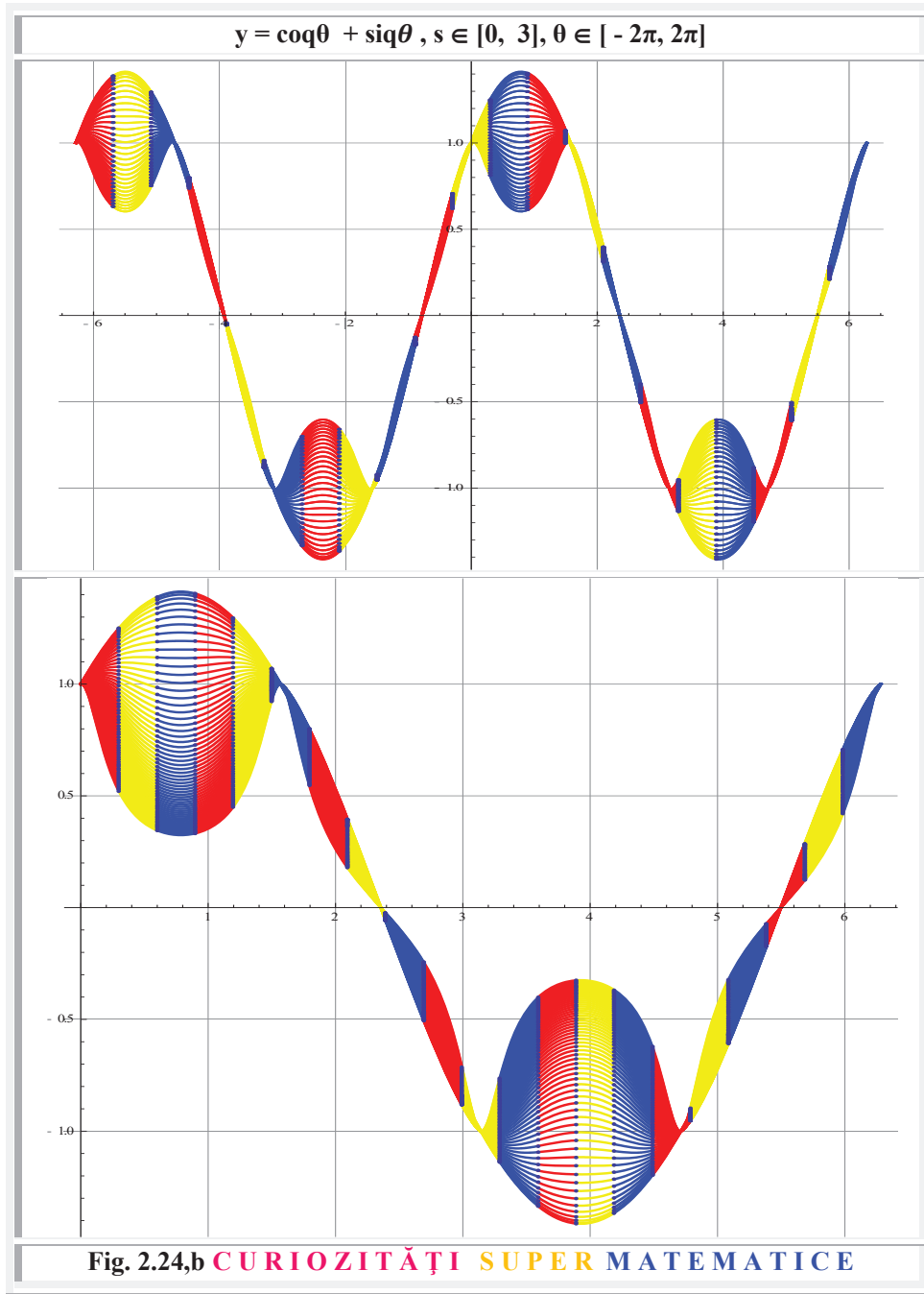


Fig. 2.23 Vectorii deplasare \vec{r} , viteză \vec{v} și accelerație \vec{a} ai vibrațiilor sistemelor liniare, forțate, amortizate vâscos.



Motto: "Errare humanum est, perseverare diabolicum"
Sofocle

Capitolul 3

COMPLETĂRI ȘI REDEFINIRI CORECTE ÎN MATEMATICA CENTRICĂ

3.1 DIVAGATII ASUPRA MATEMATICII CULESE DE PE INTERNET

Există multe discuții contradictorii și chiar dure, pe internet, cu privire la matematică și la locul ei în știință. Redăm câteva opinii din portalul de matematică **Wikipedia**

Matematica este, în general, definită ca știința ce studiază modelele de structură, schimbare și spațiu. În conversații amicale, poate fi descrisă ca „analiza cifrelor și a numerelor”, în timp ce, cu alte ocazii, poate fi utilizată o descriere pedantă, de genul „cercetarea axiomatică a structurilor abstracte folosind raționamente logice și notații matematice”. Un compromis se obține prin „studiul obiectelor sau noțiunilor a căror existență este independentă de această investigație științifică”.

Datorită utilizării sale, în majoritatea disciplinelor științifice, matematica a fost numită **'limbajul științei'** sau **'limbajul universului'**. Această afirmație, pe care am făcut-o și noi în capitolul anterior, îi irită la maximum pe unii matematicieni.

Structurile, anume investigate de matematică, își au deseori rădăcinile în științele naturale, cel mai adesea în fizică. Matematica definește și investighează și structuri și teorii proprii, în special pentru a sintetiza și unifica multiple câmpuri matematice sub o teorie unică, o metodă ce facilitează în general metode generice de calcul. Ocazional, matematicienii studiază unele domenii ale matematicii strict pentru interesul abstract exercitat de acestea, ceea ce le transformă într-o abordare mai degrabă legată de artă decât de știință.

Cuvântul "matematică" vine din grecescul μάθημα (*máthema*) care înseamnă "știință, cunoaștere sau învățare"; μαθηματικός (*mathematikós*) înseamnă "cel care îndrăgește învățarea".

Din punct de vedere istoric, ramurile majore ale matematicii au derivat din necesitatea de a face calcule comerciale, de a măsura terenuri și de a determina evenimente astronomice. Aceste domenii specifice pot fi folosite pentru a delimita în mod generic tendințele matematicii până în ziua de astăzi, în sensul delimitării a trei tendințe specifice: studiul structurii, spațiului și al schimbărilor.

Studiul structurii se bazează în mod generic pe teoria numerelor: inițial studiul numerelor naturale, apoi numere întregi, continuând cu numere raționale și în sfârșit numere reale, întotdeauna corelate cu operațiile aritmetice între acestea, toate acestea făcând parte din algebra elementară. Investigarea în profunzime a acestor teorii și abstractizarea lor a dus în final la algebra abstractă care studiază printre altele inele

(algebră) și **corpuri**, structuri care generalizează proprietățile numerelor în sensul obișnuit. Conceptul indispensabil în fizică de **vector**, generalizat în sensul de **spațiu vectorial** și studiat în **algebra lineară** este comun studiului **structurii** și studiului **spațiului**.

Studiul **spațiului** pornește în mod natural de la **geometrie**, începând de la **geometria euclidiană** și **trigonometria** familiară în trei **dimensiuni** și generalizată apoi la **geometrie neeuclidiană**, care joacă un rol esențial în **teoria relativității**. O mulțime de teorii legate de posibilitatea unor construcții folosind **rigla și compasul** au fost încheiate de **teoria Galois**. Ramurile moderne ale **geometriei diferențiale** și **geometriei algebrice** abstractizează studiul geometriei în direcții distincte: geometria diferențială accentuează uzul sistemului de coordonate și al direcției, pe când geometria algebrică definește obiectele mai degrabă ca soluții la diverse **ecuații polinomiale**. **Teoria grupurilor** investighează conceptul de simetrie în mod abstract, făcând legătura între studiul **structurii** și al **spațiului**. **Topologia** face legătura între studiul **spațiului** și studiul **schimbărilor**, punând accent pe conceptul **continuității**.

Studiul schimbării este o necesitate mai ales în cazul științelor naturale, unde măsurarea și predicția modificărilor unor variabile este esențială. **Calculul diferențial** a fost creat pentru acest scop, pornind de la definiția relativ naturală a **funcțiilor** dintre diverse dimensiuni și rata lor de schimbare în timp, metodele de rezolvare ale acestora fiind **ecuațiile diferențiale**. Din considerente practice, este convenabil să se folosească **numerele complexe** în această ramură.

Schimbarea poate fi și o metamorfozare sau o hibridare matematică, grație **SM**, prin care apar entități matematice noi, de care s-a amintit (conopiramida ș.m.a) și care pot transforma suprafețele complexe, considerate până în prezent **nematematice**, în suprafețe complexe **matematice** și, astfel, se pot lărgi nedefinit posibilitățile de exprimare, reprezentare, descriere și, prin acestea, de simplificare și îmbunătățire a generării suprafețelor tehnice complexe, din ce în ce mai numeroase.

Înainte de-a arăta cum **SM** realizează această transformare, e necesar să spunem ce este **supermatematica (SM)** ? Dar, înainte de asta, e necesar să știm ce este **matematica**?

Conform declarației, făcută de matematicianul de prestigiu Acad. **Solomon Marcus**, nimeni n-a reușit să dea o definiție acceptabilă matematicii. „*Nu putem spune ce este matematica, dar putem spune ce nu este matematica*”, declara domnia sa.

În aceste circumstanțe, definiția **supermatematicii (SM)** este posibilă și ușor de stabilit: **supermatematica** este o extensie nelimitată, infinită, a ceea ce nu știm ce este, adică a matematicii.

Este incredibil, dar adevărat, că **supermatematica** s-a născut prin simpla expulzare a unui singur punct, a polului **P**, din originea **O(0,0)**, în oricare alt punct din planul cercului, și care pol P a fost denumit ex-centru **E(e,ε)** sau **S(s,ε)**. Și, în acest mod, toate **funcțiile trigonometrice centrice** au fost multiplycate de la unu la infinit, corespunzător numărului infinit de puncte în care poate fi plasat excentrul **E** sau **S**. Și, mult mai important, au apărut o pleiadă de funcții noi, deosebit de utile în știință și în tehnologie. **O ramură importantă a matematicii aplicate**, despre care se va vorbi în continuare, este **trigonometria** și, evident, funcțiile trigonometrice **centrice** și, mai

3 COMPLETĂRI ȘI REDEFINIRI CORECTE ÎN MATEMATICĂ CENTRICĂ

ales, **excentrice**, care pot defini o **trigonometrie excentrică**, așa cum a denumit-o Dr. Ing. **Sorin George Le Mac**.

Trigonometria (din limba greacă $\tau\rho\acute{\iota}\omega\nu\omicron\varsigma$ *trigonos* = *triunghiular* și $\mu\acute{\epsilon}\tau\rho\nu$ *métron* = măsură) e o parte a **matematicii** care studiază **unghiuri**, **triunghiuri** și **funcții trigonometrice** precum **sinusul**, **cosinusul** și **tangenta**. Unii matematicieni consideră trigonometria o subdiviziune a **geometriei** iar alții ca o știință matematică distinctă.

Originea trigonometriei se consideră a fi în cultura antică din **Egipt**, **Babilon** și **Valea Indului**, acum mai mult de 3000 de ani. Matematicienii **indieni** au fost pionerii calculului algebric, cu aplicații în astronomie și în trigonometrie. **Lagadha** e unicul matematician cunoscut care a utilizat geometria și trigonometria pentru astronomie în cartea sa **VEDANGA JYOTISHA**, cu toate că multe din lucrările sale au fost distruse de către invadatorii Indiei.

Matematicianul grec **Hipparchus** a compilat un tabel trigonometric pentru triunghiuri cu circa **150 î.Hr.**. Un alt matematician grec, **Ptolemeu** (circa **100 î.Hr.**) a continuat să dezvolte calculul trigonometric.

Savantul **Shia Musulman Nasir al-Din Tusi** a fost probabil primul care a considerat trigonometria ca o disciplină matematică distinctă și a fost primul care a descris șase cazuri ale unui triunghi dreptunghic în trigonometria sferică.

Mathematicianul, de origine sileasă, **Bartholemaeus Pitiscus** a publicat o lucrare importantă în trigonometrie în anul **1595** și a introdus cuvântul în limbile franceză și engleză.

Există un număr enorm de aplicații pentru trigonometrie. O importanță specială deține tehnica de **triangulație** care este utilizată în **astronomie** pentru a măsura distanța până la stelele apropiate, în **geografie** pentru a măsura distanțele între repere terestre și în sisteme de satelit pentru navigație (maritimă, în aviație și în spațiul extraterestru). Alte domenii care utilizează în mod deosebit trigonometria este **topografia**. În acest domeniu, **trigonometria excentrică**, adică **FSM-CE** vor simplifica mult soluționarea problemele de planimetrie.

Deoarece corecțiile aduse matematicii, prin complementele de matematică signadforasică (**MS**), cât și a celor de supermatematică (**SM**) influențează profund această știință, nu putem încheia această introducere a capitolului fără să ne referim și la anumite aspecte / probleme filozofice ale matematicii.

Filozofia (filosofia) (gr. $\phi\iota\lambda\omicron\sigma\phi\iota\alpha$, *philein* și *sophia*, *dragoste de înțelepciune*) este o modalitate de gândire și investigare, formată dintr-un ansamblu de **noțiuni și idei**, care tinde să cunoască și să înțeleagă **sensul existenței** sub aspectele sale cele mai generale, o **concepție generală** despre lume și viață. Filosofia se deosebește de știință, prin faptul că își pune întrebări la **probleme** cu caracter general, în timp ce **știința** acumulează **cunoștințe** particulare în urma observării realității și experienței.

În filosofie nu se obțin niciodată răspunsuri definitive (deși și postulatele științifice sunt valabile **până la dovedirea contrariului**, nefiind absolute), cu fiecare răspuns primit, problema rămâne mai departe deschisă. De aceea, se poate spune că „**istoria filosofiei este istoria întrebărilor care revin și a răspunsurilor care trec**”. S-ar putea spune că **filosofia** este chintesența cunoașterii, **baza tuturor științelor**, în mod **paradoxal nefiind însă o știință** la rândul ei.

Metafizica este un domeniu al **filozofiei** al cărui obiect de studiu îl constituie explicarea naturii **lumii**. Este studiul **ființei și ființării**, deci al **realității**. Metafizica adresează gândirii întrebări de tipul, "Care este natura realității?", "Care este locul **omului** în **Univers**?"

O ramură esențială a metafizicii este **ontologia**, investigarea **categoriilor** de lucruri care există în lume și a relațiilor dintre acestea. Metafizicianul încearcă să clarifice noțiunile prin care oamenii înțeleg lumea, incluzând **existența**, noțiunea de **obiect**, **proprietatea**, **spațiul**, **timpul**, **cauzalitatea**, **interconexiunile** și **posibilitatea**.

Mult mai recent, termenul metafizică a fost asociat pentru a caracteriza subiecte care sunt "deasupra" sau "în afara" acestei lumi fizice, neavând o conotație ontologică academică. Termenul "metafizică", folosit într-un **sens peiorativ**, având denominarea de **senzațional**, **supranatural**, asociat cu alte **pseudoștiințe** cum ar fi **spiritismul**, "citirea" în **cristale**, **rune** sau **tarot**, **precizarea viitorului**, **ocultismul**, etc. nu este recunoscut de filozofia academică, aidoma sus-numitelor pseudoștiințe care nu au nimic de-a face cu metafizica.

În **filozofia matematicii**, termenul de **constructivism** presupune că este **necesar și suficient** ca un **obiect matematic să fie "găsit"** sau "**construit**" pentru a demonstra că **există**. În prezenta lucrare vor fi etalate o infinitate de noi obiecte matematice, majoritatea celor esențiale evident inventate și destul de multe, în special cele cu veleități artistice, „**găsite**”, pentru că au fost pierdute de **Euler** prin alegerea neinspirată a trei puncte confundate (originea, polul și centrul cercului unitate) la redefinirea funcțiilor trigonometrice ca funcții circulare directe.

Dacă se presupune că obiectul matematic există și această presupunere conduce la o contradicție, atunci obiectul nu a fost găsit și, în concluzie, existența nu i-a fost dovedită, conform constructiviștilor.

Constructivismul este adeseori confundat cu **intuiționismul**, deși de fapt, **intuiționismul** este doar un anumit tip de constructivism.

Intuiționismul susține că fundamentele matematicii constau în intuiția matematică individuală, făcând astfel matematica o activitate subiectivă intrinsecă.

„Matematica este regina științelor, pentru că aici nu există loc pentru interpretări, aproximări, greșeli sau măsurări greșite, ș.a.m.d. Aici **nu se mai revine** aproape niciodată cu reevaluări în lumina noilor descoperiri: „**să vedeți că ceea ce credeam acum 50 de ani nu mai este valabil astăzi**”. Lucrurile se demonstrează clar, **odată pentru totdeauna**, dacă sunt așa sau sunt pe dos.

Și totuși...

3.2 MATEMATICA SIGNADFORASICĂ (MS) A LUI

Octavian Nicolae Voinoiu

Cele câteva noțiuni de matematică signadforasică (MS), ce vor fi prezentate în continuare, sunt extrase din magistrala lucrare a profesorului **Octavian N. Voinoiu** „**BAZELE MATEMATICII SIGNADFORASICE**” publicată în editura Nemira din București în anul 1996.

S-au înserat aceste complemente de matematică, în prezenta lucrare, pentru a justifica introducerea noilor noțiuni de tangentă **Voinoiu** ($\tan\alpha \equiv \mathbf{tgv}\ \alpha$), cotangenta **Voinoiu** ($\cot\alpha \equiv \mathbf{ctgv}\alpha$) ș.a. alături de funcțiilor corespondente, introduse în mod

3 COMPLETĂRI ȘI REDEFINIRI CORECTE ÎN MATEMATICĂ CENTRICĂ

greșit în matematica centrică, așa cum se demonstrează în **MS** și așa cum se va putea observa, simplu, în **SM**. Ambele matematici converg spre aceleași soluții, în domeniul **funcțiilor compuse** $\tan \alpha \equiv \operatorname{tg} \alpha$, $\cot \alpha \equiv \operatorname{ctg} \alpha$, $\sec \alpha$ și $\operatorname{cosec} \alpha$. Și, totodată, de a stârni curiozitatea cititorilor pentru revoluționarele concluzii cuprinse în **MS**.

După părerea competentă a Acad. **Alexandru Surdu**, din prefață lucrării „**Matematica signadforasică**”, **MS** reconsideră întreaga matematică elementară, superioară, trigonometria și geometria în baza **noilor ei axiome**, aducând la rampă, pe de o parte, noi modalități de interpretare a unor noțiuni clasice ca: derivată, diferențială, dezvoltare în serie, etc. iar, pe de altă parte, **impunând reguli șocante**, într-o totală contradicție cu spiritul clasic al gândirii matematice.”..” Iată un fenomen straniu, fără precedent în istoria gândirii. O știință care a ajuns în stare pozitivă, revine la starea metafizică. Iar această știință este cea mai **veche**, cea mai **simplă** și cea mai **exactă** dintre toate - este **matematica**”

Pentru înțelegerea matematicii signadforasice (**MS**: **signa** = semn, ad **foras** = afară, pus în față) autorul ne trimite la noțiunile de număr, semn, variabilă, finalizate prin procedee de prezentare, de diferențiere și reguli de calcul.

Noțiunea, de la care pleacă **MS**, este cea de **variabilă signadforasică**, prezentă în componentele ei **diacronice** de **semn** și **valoare**. Necunoscuta **x**, în forma generală, este expresia unei forme dihotomice $/x/ | x |$ în care **semnul grafic** $/x/$ desemnează semnul variabilei, iar $|x|$ pune în evidență **valoarea** ei absolută (aritmetică), fiecare dintre părți supunându-se axiomelor specifice **semnului** și, respectiv, **modulului**.

Semnul $/x/$, asociat valorii absolute, ca element, este studiat în două ipostaze:

- Dacă este identificabil cu unul dintre elementele **(+)** sau **(-)**, el face parte din **mulțimea semn „SEMASIA” S (- ; +)**
- Dacă $/x/$ nu aparține acestei mulțimi, atunci el intră în componența mulțimii **M(x)**, rânduită, cum afirmă autorul, prin intermediul unei funcții „**SIGNUM**” $Sg(x)$ de cu totul alte axiome. Axiomele specifice, atât mulțimii **SEMASIA** cât și funcției **SIGNUM**, sunt strâns legate de noțiunea de **accedere**, definită ca o prezență, în vecinătate a elementelor, noțiune pusă în evidență prin semnul grafic//.

Operațiunea de **scădere** a fost înlocuită cu o **accedere**, în care **scăzătorul** este înlocuit prin **opusul** lui, notat simbolic \underline{x} . Noțiune de „**opus**” al unui element aparținând mulțimii **SEMASIA**.

Accederile de semn pot să apară în urma supunerii variabilelor signadforasice operațiilor matematice de **accedere**, înmulțire, logaritmare, derivare ș.a.

Într-un anumit fel, operația de **accedere** rezolvă problemele de **poziționare**, sau de **spațiu**. Pentru reglementarea acțiunilor în **timp**, s-a introdus noțiunea de **succedere**, notată $\backslash\backslash$, pe elementele unei mulțimi, iar în cazul manifestării unor însușiri atât poziționale cât și temporale se aplică operația **Wolner** ($/\backslash\backslash/$).

Plecând de la noțiunea de variabilă signadforasică, s-a definit noțiunea de „**Masor**” ca produs dintre o variabilă signadforasica și o constantă signadforasica, expresie de forma

$$(/x/ |x|) \bullet (/A/ |A|),$$

în care, **ordinea** celor două paranteze este fundamentală. A mai fost definită noţiunea de „**Polimasor**” prin operaţia de accedere aplicată pe mulţimea masorilor.

În cazul produsului a doi, sau mai multi masori, sau în cazul general al unor expresii signadforasice, s-a plecat de la o dependenţă a semnelui produsului de semnele factorilor, dată de o relaţie generală de forma

$(/x/ | x) \bullet (/y/ | y) = /x/n /y/m |x \bullet y|$ în care, ţinând cont de axiomele accederii pe elementele mulţimii **SEMASIA**, această relaţie dezvăluie trei cazuri distincte:

- Pentru $n = m = |1|$ rezultă regulile de semn ale înmulţirii din **algebra** clasică;
- Pentru $n = 2, m = 2$ rezultă regulile înmulţirii din **aritmetică**.
- Variantele $n = 1$ şi $m = 2$ ca şi pentru $n = 2$ şi $m = 1$ constituie una din

axiomele matematicii signadforasice poziţionale, factor principal **stânga**, cu sigla (**MSPS**) şi, respectiv, factor principal **dreapta**, matematică ce constituie obiectul matematicii signadforasice (**MS**).

Legea de bază a înmulţirii în **MSPS** devine

$$(/x/ | x) \bullet (/y/ | y) = /x/ (|x \bullet y|)$$
 valabilă pentru 2 sau mai mulţi factori.

Pentru 3 factori este:

$$x \bullet y \bullet z = /x/ (|x \bullet y \bullet z|)$$

Din axiomele de bază ale **MSPS** se deduc şi rezultatele care stau la baza **împărţirii** în **MS**:

$$x \bullet y = z \rightarrow /x/ (|x \bullet y|) = /z/ |z| \rightarrow /x/ = /z/$$
 din care rezultă

$$/x/ |x| = /x/ |z| / |y| = /x/ |z| / y \quad \text{sau}$$

$$/x/ |y| = /x/ |z| / x$$

Rezultă de aici că, în matematica signadforasica, semnul unei fracţii este dat **numai** de semnul **numărătorului**, cu **implicaţii profunde** dacă amintim că

$$\lim_{x \rightarrow 0} \frac{A}{x} = /A/ | \infty |$$

sau că fracţia signadforasică, care defineşte tangenta centrică $\mathbf{tgx} \equiv \mathbf{tan x}$, a cărei expresie este

$$\frac{\sin x}{\cos x} = /s/ | \sin x | / \cos x = /s/ \tan x,$$

face ca perioada acesteia să devină egală cu perioada funcţiei $\sin x$, adică 2π , în acord deplin cu o teorema de bază a matematicii, care afirmă ca **o funcţie compusă**, cum este şi tangenta, **trebuie să se bucure de toate proprietăţile funcţiilor componente**.

Vom denumi, în continuare, această funcţie trigonometrică centrică, **tangenta Voinoiu** şi se va nota **tgvx** sau **tanvx**; cele două tipuri de tangente centrice fiind prezentate în figura **3.1**.

În cazul ridicării la putere se obţine egalitatea

$x^n = /x/ |x|^n, \forall (x \in /R/ | r|)$, egalitate care, pentru exponenţi pari şi valori negative ale variabilei signadforasice devine, în cazul particular $n = 2$

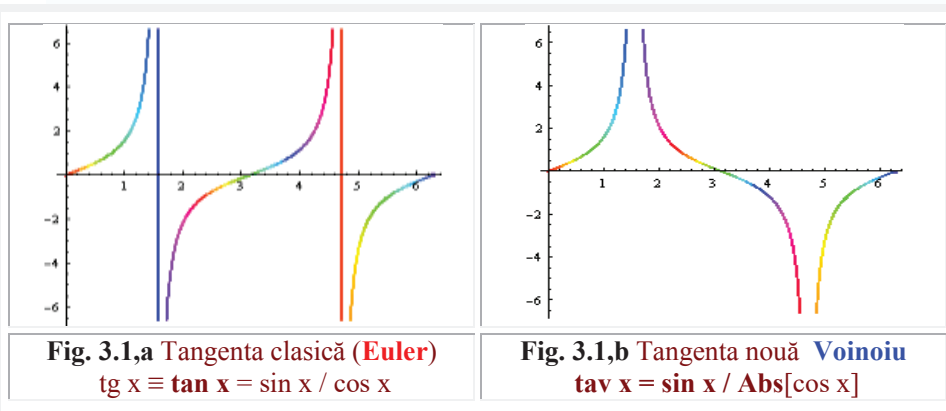
$$(/-/ | 1|)^2 = /-/ | 1| \text{ sau } \sqrt{/-/ | 1|} = /-/ | 1|,$$

rezultate **complet diferite** de cele din matematica clasică.

Rezultă că, axioma fundamentală a **MSPS** transformă semiaxa negativă ($/-/ R|$) în sediul unei structuri de grup abelian în care convenţiile clasice sunt total înlăturate, dezvăluind, după afirmaţiile autorului **MS**, o **altă lume**, bazată pe cu totul **alte reguli** într-un univers **eminamente real**, în care

3 COMPLETĂRI ȘI REDEFINIRI CORECTE ÎN MATEMATICĂ CENTRICĂ

- logaritmii cu baza **negativă** au aceeași legitimitate ca și cei cu baza pozitivă;
- funcțiile de grad **par** nu mai sunt obligate să-și schimbe **curbura** când variabila trece prin valori negative;
- semnele „infinițiilor” sunt impuse de alte reguli;
- **ecuațiile de grad par** nu mai fac „notă discordantă” și, ca o consecință, între numărul rădăcinilor și gradul ecuațiilor apar **alte legi**;
- derivatele signadforasice sunt mult mai **generalizatoare** și capătă alte interpretări.



Odată cu apariția **SM**, prin definirea celor **două** determinari ale funcțiilor circulare excentrice, **prima**, de indice **1**, dată de intersecția semidreptei turnante **pozitive** cu cercul unitate sau cu **tangenta** la acesta în $A(+1, 0)$ și, o **a doua**, de indice **2**, dată de intersecția cercului unitate sau a **tangentei** în $A(+1, 0)$ cu semiaxa **negativă**, a ieșit în evidență lipsa de **consecvență** la definirea funcție circulare centrice **Euler** $\operatorname{tg} x \equiv \tan x$, prin faptul că, în primul cadran și în cadranul IV, intersecția **tangentei** la cercul unitate din $A(+1, 0)$ se realizează cu **semidreapta pozitivă**, iar în cadranele II și III cercul unitate este intersectat de **semidreapta negativă**, ambele semidrepte fiind adiacente în **O** și turnante în jurul originii **O(0,0)**.

Prin introducerea în matematică a **tangentei Voinoiu**, intersecția se realizează cu **aceiași semidreaptă** turnantă **pozitivă**, dar cu cele **două tangente** la cercul unitate, una în $A(+1, 0)$ și a doua în $A'(-1,0)$ la cercul unitate. Așa cum se poate observa din figurile **3.1**, tangenta **Voinoiu** nu mai realizează salturi la $x = \pi/2 + k.\pi$ de la un infinit la celălalt.

3.3. FUNCȚII CIRCULARE / TRIGONOMETRICE CENTRICE **rada** ȘI **dera**, ECHIVALENTELE ÎN CENTRIC ALE funcțiilor **SM** CIRCULARE EXCENTRICE (**FSM-CE**) radial excentric **rexθ** ȘI DERIVAT EXCENTRICE **dexθ**

În planul euclidian \mathbb{R}^2 se consideră cercul unitate $CU(O, R = 1)$ din figura 3.2, de raza $R=1$ și cu centrul în originea $O(0,0)$ a sistemului de coordonate cartezian drept xOy .

Fie $W(0) \equiv A(1,0)$ și $\alpha \rightarrow W(\alpha)$ **funcția de reducere la primul cerc**.

Funcțiile trigonometrice centrice (**FTC**) sau funcțiile circulare centrice (**FCC**), deoarece se referă la definirea lor pe cerc de către **Euler**, sunt funcții reale de variabilă reală a unghiului orientat $\angle\alpha$ asociat lui α . Unghiul orientat este $\angle\alpha = W(0) \circ W(\alpha)$, iar $W(\alpha) = (x, y)$.

Pentru orice număr real α și θ , corespondențele

$$(3.1) \quad \left\{ \begin{array}{l} \alpha \rightarrow \cos\alpha = \cos \alpha = x, \text{ sau } \theta \rightarrow \cos\theta = \cos \theta = x \\ \alpha \rightarrow \sin\alpha = \sin \alpha = y, \text{ sau } \theta \rightarrow \sin\theta = \sin \theta = y, \\ \alpha \rightarrow \tan\alpha = \tan \alpha = \frac{y}{x}, \text{ sau } \tan\theta = \tan \theta = \frac{y}{x} \end{array} \right\} \text{ când } x \neq 0$$

(și altele: $\text{ctg} \equiv \cot$, sec , $\text{cosec} \equiv \csc$, versin) sunt **funcții circulare centrice (FCC)**.

În acord cu interpretarea geometrică, dată de **Gauss** (1797), mulțimea numerelor complexe poate fi interpretată ca fiind mulțimea punctelor planului euclidian, unde x, y reprezintă abscisa și ordonata punctului $P = (x, y)$.

Dacă $z = (x, y)$ este un număr complex oarecare, atunci

$$(3.2) \quad z = (x, y) = (x, 0) + (0, y) = x + i \cdot y \text{ este expresia algebrică a numărului complex.}$$

În această scriere

$$(3.3) \quad x = \text{Re } z, \quad y = \text{Im } z \text{ reprezintă partea reală și, respectiv, partea imaginară a numărului complex } z. \text{ Modulul numărului complex } z \text{ este}$$

$$(3.4) \quad |z| = r = \sqrt{x^2 + y^2}, \quad \text{iar } \theta = \arg z = \arctan \frac{y}{x} \text{ este argumentul acestuia.}$$

În acest fel, **forma trigonometrică** de scriere a numărului complex z este

$$(3.5) \quad z = r(\cos \theta + i \cdot \sin \theta), \text{ iar } \text{forma exponențială, dată de Leonhard Euler (1707 - 1783), pe baza notației lui Roger Cotes (1714)}$$

$$(3.6) \quad \cos \theta + i \sin \theta = e^{i\theta} \text{ este}$$

$$(3.7) \quad z = r \cdot e^{i\theta}, \text{ în care } r = |z| \text{ și } \theta = \arg z.$$

3.4 DEFINIREA FUNCȚIILOR RADIAL (**rad**) ȘI DERIVAT (**der**) CENTRICE

Din punct de vedere **istoric**, aceste funcții centrice noi (și vechi în același timp) au fost introduse în matematică după **FSM-CE rex** și **dex**. Deoarece **FCE cex**, **sex**, **tex**, **ctx** ș.a. au **echivalente** în domeniul FCC pe **cos**, **sin**, **tan**, **ctg**, s-a pus, în mod justificat, întrebarea: care sunt **echivalentele** în centric ale noilor funcții **rex** și **dex**?

Și, o întrebare bine pusă, dă și soluția: ele sunt **rad** și **der** de $\theta = \alpha$, în acest caz, al excentricității nule ($e = s = 0$).

Funcția **rad** nu trebuie confundată cu funcțiile **Rademacher** [**Pop Eugen**, ș.a. „Metode în prelucrarea numerică a semnalelor”, Vol. I, Ed. Facla, Timișoara, 1986, pag. 22 ș.u.], cu ajutorul cărora se pot construi familii de funcții ortonormate totale

$$(3.8) \quad \text{rad}(n, \theta) = \text{sgn}(\sin 2n\theta), \quad \theta = t / T, \text{ care permite construirea funcției } \text{Walsh}$$

3 COMPLETĂRI ȘI REDEFINIRI CORECTE ÎN MATEMATICĂ CENTRICĂ

$$(3.9) \quad \text{wal}(m, \theta) = \prod_{k=1}^n [\text{rad}(k, \theta)]^{p_{nk}}, \quad m = 1, 2, \dots, (2^n - 1), \quad \text{deci, ca produs de funcții}$$

Rademacher; exponentul p_{nk} având valoarea 0 sau 1 după anumite **reguli**, numite **de ordonare** și servind sintezei semnalelor de diferite forme în impulsuri dreptunghiulare. Se va vedea, în continuare, că aceleași funcții dreptunghiulare, ca și multe alte funcții speciale, pot fi mult mai simplu și mai eficient reprezentate cu ajutorul **FSM-CE** **dex θ** , **coq θ** și **siq θ** .

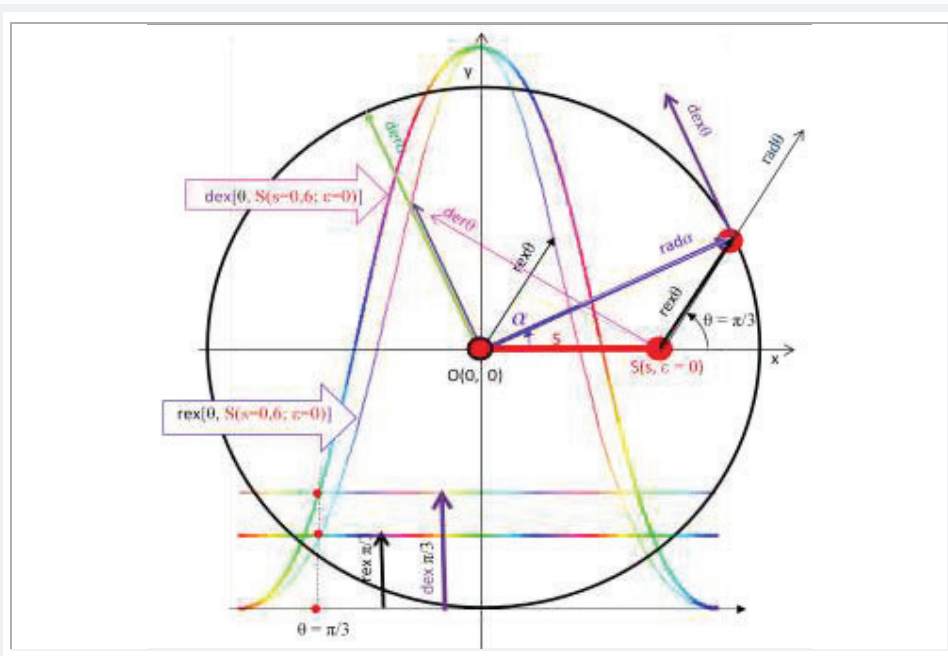


Fig. 3.2 FCC noi rada și dera precum și FSM-CE rex θ și dex θ

În schimb, funcțiile radial – **rad** - și derivat – **der**- centrice sunt aceleași cu funcțiile **e** definite de **P. Hamburg** [Hamburg, P. ș.a.. ” Analiză matematică. Funcții complexe” EDP, Buc., 1982, pag 7...16]

$$e(\theta) = [1 + i.\beta(\theta)] / [1 - i.\beta(\theta)], \quad \text{cu proprietățile}$$

$$e(\theta + 2\pi) = e(\theta), |e(\theta)| = 1, e(0) = 1, e(\theta_1 + \theta_2) = e(\theta_1) \cdot e(\theta_2),$$

proprietăți care sunt aceleași cu cele ale funcțiilor **rada** și **dera**

$$\text{rad } 0 = 1, \quad \text{der } 0 = \text{rad } \pi/2 = i, \quad \text{rad } \pi = -1, \quad \text{rad}(\alpha + 2\pi) = \text{rad } \alpha,$$

$$\text{der}(\alpha + 2\pi) = \text{der } \alpha, \quad |\text{rad } \alpha| = |\text{der } \alpha| = 1,$$

$$\text{der } \alpha = d(\text{rad } \alpha) / d\alpha = \text{rad}(\alpha + \pi/2)$$

$$\text{rad}(\alpha_1 + \alpha_2) = \text{rad } \alpha_1 \cdot \text{rad } \alpha_2,$$

$$\text{rad}(\alpha_1 - \alpha_2) = \text{rad} \alpha_1 / \text{rad} \alpha_2.$$

Toate punctele planului, aparținând cercului unitate centric $CU(\mathbf{0}, \mathbf{1})$, au coordonatele egale cu ale punctelor $\mathbf{W} = (x, y) = (\cos \alpha, \sin \alpha)$ și modulul

$$(3.10) \quad |z| = R = \sqrt{\cos^2 \alpha + \sin^2 \alpha} = 1$$

Atunci, pentru $\arg z = \alpha$, apare o corespondență directă între numerele reale α și **funcția de reducere la primul cerc $\mathbf{W}(\alpha)$** . Corespondența

$$(3.11) \quad \alpha \rightarrow \text{rad} \angle \alpha = \text{rad} \alpha = e^{i\alpha} \text{ se numește FCC „radial centric de } \alpha\text{”}, \text{ notată } \mathbf{rad} \alpha$$

Ea are expresiile

$$(3.12) \quad \text{rad} \alpha = e^{i\alpha} = \sum_0^{\infty} \frac{\alpha^n}{n!} = \cos \alpha + i \sin \alpha = \mathbf{W}(\alpha) = (x, y)$$

Punctul $\mathbf{W} = (x, y)$, afixul numărului complex $z = x + iy$ este determinat de vectorul $\vec{r}(\alpha)$ denumit **versorul direcție α** , deoarece are punctul de aplicație în **originea $\mathbf{O}(\mathbf{0}, \mathbf{0})$** a axelor xOy și este de modul egal cu unitatea și de argument α .

La notația **vectorului unitate** al direcției α ($\text{rad} \alpha$) **nu mai necesită o bară deasupra**, deoarece, $\text{rad} \alpha$ nu poate fi altceva decât **vector unitate**, **versor**, sau **fazor**, astfel că se poate scrie

$$(3.13) \quad \vec{r}(\alpha) = \text{rad} \alpha.$$

Prin derivarea funcției $\text{rad} \alpha$, data de (3.12) rezultă

$$(3.13) \quad \frac{d(\text{rad} \alpha)}{d\alpha} = i \cdot e^{i\alpha} = -\sin \alpha + i \cos \alpha = W_1 \left(\alpha + \frac{\pi}{2} \right).$$

Vom denumi această funcție **derivata excentrică** de α și va fi notată **der α** , fiind exprimată de corespondența

$$(3.15) \quad \alpha \rightarrow \text{der} \alpha = \text{der} \alpha = i \cdot e^{i\alpha} = \text{rad}(\alpha + \pi/2)$$

Notând cu \vec{d} **versorul**, **vectorul unitate** (**fazorul**, sau **cronoidul**, cum mai sunt numiți vectorii unitate) direcției tangente în $W_1(\alpha)$ la cercul unitate CU , din aceleași considerente, ca cele anterioare, se poate scrie

$$(3.16) \quad \vec{d} = \text{der} \alpha,$$

fără utilizarea barei deasupra vectorului unitate $\text{der} \alpha$.

Vectorii unitate \vec{i} și \vec{j} , ai axelor de coordonate x și y , pot fi exprimați cu ajutorul noilor vectori unitate astfel:

$$(3.17) \quad \begin{cases} \vec{u}_x = \vec{i} = \text{rad} 0^0 = \text{der}(-\pi/2) \\ \vec{u}_{yx} = \vec{j} = \text{der} 0^0 = \text{rad}(+\pi/2) \end{cases}$$

Apelând la regula paralelogramului, de însumare a vectorilor și a numerelor complexe, se obține

$$(3.18) \quad \frac{\text{rad} \alpha + \text{rad}(-\alpha)}{2} = \vec{x} = \cos \alpha \cdot \vec{u}_x = \frac{e^{i\alpha} + e^{-i\alpha}}{2},$$

una dintre formulele deduse de **Leonhard Euler** în 1740, din relația lui **Roger Cotes**.

În același mod rezultă

$$(3.19) \quad \frac{\text{rad} \alpha + \text{rad}(\pi - \alpha)}{2} = \vec{y} = \sin \alpha \cdot \vec{u}_y = \frac{e^{i\alpha} - e^{-i\alpha}}{2i}$$

a doua formulă a lui **Euler**.

Din aceste formule, **Euler** a obținut dezvoltarea în serie de puteri, în care variabila α s-a înlocuit cu x pentru a respecta notația tradițională a lui **cosx** și **sinx**, cu expresiile (1.1) și (1.2). Cu aceste formule **Euler** a construit integral **trigonometria** ca un **capitol al algebrei**.

3 COMPLETĂRI ȘI REDEFINIRI CORECTE ÎN MATEMATICĂ CENTRICĂ

Deoarece, așa cum s-a demonstrat, funcția **radx**, ca și **derx**, pot exprima funcțiile trigonometrice $\cos x$ și $\sin x$, **considerate** fundamentale (pentru că pot exprima funcțiile $\tan x$, $\cot x$, $\sec x$ și $\csc x$), rezultă că, de fapt, noile funcții circulare centrice **radx** și **derx** sunt, **de fapt**, și de **drept**, funcții circulare centrice **fundamentale**, deoarece ele pot exprima, așa cum s-a văzut, pe $\cos x$ și pe $\sin x$ și, implicit, celelalte FCC. Funcțiile **rad α** și **der α** sunt, așadar, corespondentele în MC ale **FSM-CE** **rex θ** și **dex θ** din ME.

3.5 TEOREME DE ADIȚIUNE ALE FCC **rad α** ȘI **der α**

Ca și celelalte FCC și noile FCC **rad** și **der** au teoreme de adăuune sau formule de adunare și, respectiv, de scădere, foarte asemănătoare cu ale FCC **cosa** (pentru **der α**) și **sina** (pentru **rad α**).

Fie unghiurile

$$(3.20) \quad \gamma = \theta + \beta \quad \text{și} \quad \alpha = \theta - \beta \quad \text{și funcția radial (centric) de sumă de arce rad}(\theta \pm \beta).$$

Pe baza egalității (3.12), se poate scrie

$$(3.21) \quad \begin{aligned} \text{rad}(\theta \pm \beta) &= \cos(\theta \pm \beta) + i \cdot \sin(\theta \pm \beta) = \cos \theta \cdot \cos \beta \pm \sin \theta \cdot \sin \beta \\ &+ i(\sin \theta \cdot \cos \beta \pm \cos \theta \cdot \sin \beta) = (\cos \theta + i \cdot \sin \theta) \cdot \cos \beta \pm (\sin \theta + i \cdot \cos \theta) \sin \beta = \\ &= \text{rad } \theta \cdot \cos \beta \pm \text{der } \theta \cdot \sin \beta = \begin{cases} \text{rad } \gamma & \rightarrow \text{pentru } + \\ \text{rad } \alpha & \rightarrow \text{pentru } - \end{cases} \end{aligned}$$

Pentru $\beta = \frac{\pi}{2}$, din (3.21) rezultă

$$(3.22) \quad \text{rad}\left(\theta + \frac{\pi}{2}\right) = \text{der } \theta$$

În mod asemănător, au fost deduse relațiile

$$(3.23) \quad \text{der}(\theta \pm \beta) = \text{der } \theta \cdot \cos \beta \mp \text{rad } \theta \sin \beta = \begin{cases} \text{der } \gamma & \rightarrow \text{pentru } - \\ \text{der } \alpha & \rightarrow \text{pentru } + \end{cases}$$

Se mai pot demonstra, facil, relațiile

$$(3.24) \quad \begin{aligned} e^{i(\theta \pm \beta)} &= e^{i\theta} e^{i\beta} = e^{i\theta} (\cos \beta \pm i \cdot \sin \beta) = e^{i\theta} (\cos \beta \pm i \cdot \sin \beta) = \\ &= \text{rad}(\theta \pm \beta) = \begin{cases} e^{i\gamma} & \rightarrow \text{pentru } + \\ e^{i\alpha} & \rightarrow \text{pentru } - \end{cases} \end{aligned}$$

$$(3.25) \quad i \cdot e^{i(\theta \pm \beta)} = i \cdot \text{rad}(\theta \pm \beta) = \text{der}(\theta \pm \beta) = \begin{cases} \text{der } \alpha & \rightarrow \text{pentru } - \\ \text{der } \gamma & \rightarrow \text{pentru } + \end{cases}$$

$$(3.26) \quad (\text{rad } \alpha)^n = \text{rad } n \cdot \alpha \quad \text{și} \quad (\text{rad } \alpha)^2 = \text{rad } 2\alpha$$

$$(2.27) \quad \sqrt[n]{\text{rad } \alpha} = \text{rad } \frac{\alpha + 2k\pi}{n}, \quad k = 0, 1, 2, \dots, (n-1)$$

Astfel, pentru $n = 2$, $\rightarrow k = 2 - 1 = 1 \rightarrow k = 0, 1$ și

$$(3.28) \quad \sqrt{\text{rad } \alpha} = \begin{cases} \text{rad } \frac{\alpha}{2} \\ \text{rad } \frac{\alpha + 2\pi}{2} = \text{rad } \frac{\alpha}{2} + \pi \end{cases} \quad \text{și, pentru } n = 3, \text{ rezultă}$$

$$(3.29) \quad \sqrt[3]{\text{rad } \alpha} = \begin{cases} \text{rad}\left(\frac{\alpha}{3}\right) \\ \text{rad}\left(\frac{\alpha}{3}\right) + \frac{2\pi}{3} \\ \text{rad}\left(\frac{\alpha}{3}\right) + 2\frac{2\pi}{3} \end{cases} . \text{ Pentru } n = 4, k = 0, 1, 2 \text{ și } 3, \text{ astfel că}$$

$$(3.30) \quad \sqrt[4]{\text{rad } \frac{\pi}{2}} = \sqrt[4]{i} = \begin{cases} \text{rad}\left(\frac{\alpha}{4}\right) \\ \text{rad}\left(\frac{\alpha}{4}\right) + \frac{\pi}{2} \\ \text{rad}\left(\frac{\alpha}{4}\right) + \pi \\ \text{rad}\left(\frac{\alpha}{4}\right) + 3\frac{\pi}{2} \end{cases}$$

Pe lângă relațiile (3.21) și (3.23), de însumare a funcțiilor **rad** și **der**, de suma și diferența de arce, poate fi obținută și relația lui **Pontreaghin**

(3.31) $a \cdot \text{rad } \alpha \cdot b \cdot \text{rad } \beta = a \cdot b \cdot \text{rad}(\alpha + \beta)$ care reprezintă înmulțirea vectorului de modul **a** și de argument α (**arg a**) sau de direcția **a** cu vectorul de modul **b** de pe direcția β sau **arg** β , iar înmulțirea a doi vector unitate, pentru $a = b = 1$, este

$$(3.32) \quad \text{rad } \theta \cdot \text{rad } \beta = \text{rad}(\theta + \beta) = \cos(\theta + \beta) + i \sin(\theta + \beta) .$$

Mai pot fi deduse următoarele relații:

$$(3.33) \quad \text{der}(\theta + \beta) = \text{der } \theta \cdot \text{rad } \beta = \text{der } \beta \cdot \text{rad } \theta .$$

$$(3.34) \quad \cos n \cdot \alpha = [\text{rad}^n \alpha + \text{rad}^n(-\alpha)] / 2$$

$$(3.35) \quad \text{rad}0^0 \cdot \text{rad}0^0 = \text{rad}0^0$$

$$(3.36) \quad \text{rad}\pi/2 \cdot \text{rad}\pi/2 = \text{rad}\pi = -\text{rad}0^0$$

$$(3.37) \quad \text{rad}0^0 \cdot \text{der}0^0 = \text{rad}0^0 \cdot \text{rad}\pi/2 = \text{rad}\pi/2 = \text{der}0^0$$

$$(3.38) \quad \text{der}0^0 \cdot \text{der}0^0 = \text{rad}\pi/2 \cdot \text{rad}\pi/2 = \text{rad}\pi = -\text{rad}0^0 = \text{der}\pi/2 .$$

În teza sa de doctorat (pag 17), **Mihail Germanescu** (1899-1962), matematician român, profesor la Politehnica din Timișoara (1940), demonstrează, evident cu alte mijloace, relația

$$(3.39) \quad 1 - e^{2x} = 2 \sin x \cdot e^{\frac{3\pi}{2} + x} \text{ în care, utilizând noile FCC și schimbând variabila } x \text{ cu variabila } \alpha, \text{ este echivalentă relației}$$

$$(3.40) \quad 1 - \text{rad}2\alpha = \text{rad}0^0 - \text{rad}2\alpha = 2 \sin \alpha \cdot \text{rad}\left(\frac{3\pi}{2} + \alpha\right) .$$

Demonstrație:

Utilizându-se noile **FCC**, relația (3.40) se poate scrie succesiv

$$\begin{aligned} \text{rad}0^0 - \text{rad}2\alpha &= \text{rad}0^0 - \text{rad}(0+2\alpha) = \text{rad}0^0 - [\text{rad}0 \cdot \cos 2\alpha + \text{der}0 \cdot \sin 2\alpha] = \\ &= \text{rad}0^0 \cdot (1 - \cos 2\alpha) + \text{der}0^0 \cdot \sin 2\alpha = 2 \cdot \sin^2 \alpha \cdot \text{rad}0^0 - \text{der}0^0 \cdot \sin 2\alpha = \\ &= 2 \cdot \sin^2 \alpha \cdot \text{rad}0^0 - 2 \cdot \sin \alpha \cdot \cos \alpha \cdot \text{der}0^0 = 2 \sin \alpha (\text{rad}0^0 \cdot \sin \alpha - \text{der}0^0 \cdot \cos \alpha) = \\ &= -2 \cdot \sin \alpha \cdot \text{der}(0 + \alpha) = 2 \cdot \sin \alpha \cdot \text{rad}\left(\frac{3\pi}{2} + \alpha\right) . \end{aligned}$$

În **Addenda** lucrării „MATEMATICI SPECIALE” a lui **Vasile Brânzescu** și **Octavian Stănașilă** (Ed. All, Buc. 1994) se afirmă că un sondaj, realizat în mediile universitare, cu privire la cel mai remarcabil rezultat al matematicii, pe locul întâi s-a clasat relația lui **Euler**, care stabilește o dependență între patru numere importante e , i , π și -1 .

$$(3.41) \quad e^{i\pi} = -1 , \text{ relație care, acum devine evidentă cu vectori și se poate scrie}$$

3 COMPLETĂRI ȘI REDEFINIRI CORECTE ÎN MATEMATICĂ CENTRICĂ

$$(3.42) \quad \text{rad } \pi = \text{der}(\pi + \pi/2) = \text{der}(3\pi/2) = -1.$$

Mai rezultă că

$$\text{rad } 0^0 = 1, \quad \text{rad } \pi/2 = i, \quad \text{rad } \pi = -1, \quad \text{rad } \frac{3\pi}{2} = -i$$

3.6 DERIVATELE ȘI INTEGRALELE FUNCȚIILOR **rad** α ȘI **der** α

Derivatele acestor funcții se obțin, fără dificultate, prin derivarea uneia dintre relațiile lor de definiție și / sau prin derivarea lor ca vectori unitate. Astfel, de exemplu, se știe că derivata lui i este j , a lui j este $-i$, a lui $-i$ este $-j$ și a acestuia este din nou i , ș.a.m.d. Cu alte cuvinte, prin derivarea unui versor, acesta se rotește cu $+\pi/2$, în sens trigonometric sau levogin / sinistrorum. În mod asemănător, dacă α este variabila și modulul este unitate

$$(3.43) \quad d(\text{rad}\alpha) / d\alpha = \text{der } \alpha$$

$$(3.44) \quad d(\text{der}\alpha) / d\alpha = -\text{rad } \alpha$$

$$(3.45) \quad d(-\text{rad}\alpha) / d\alpha = -\text{der } \alpha$$

(3.46) $d(-\text{der}\alpha) / d\alpha = \text{rad } \alpha$, adică, prin derivare, vectorii unitate **rad** α și **der** α se rotesc în sens trigonometric **pozitiv** (levogin, sinistrorum) cu $\pi/2$. Rezultă că derivatele de ordinul n vor fi

$$(3.47) \quad d^n(\text{rad}\alpha) / d\alpha^n = \text{rad}(\alpha + n\frac{\pi}{2}) \text{ și } d^n(\text{der } \alpha) / d\alpha^n = \text{der}(\alpha + n\frac{\pi}{2})$$

Se deduce imediat ca primitivele acestor FCC sunt

$$(3.48) \quad \int \text{rad} \cdot d\alpha = -\text{der}\alpha = \text{rad}(\alpha - \frac{\pi}{2}) = \text{rad}(\alpha + 3\frac{\pi}{2})$$

(3.49) $\int \text{der}\alpha \cdot d\alpha = \text{adr}\alpha = \text{der}(\alpha - \frac{\pi}{2}) = -\text{der}(\alpha + \pi)$, rezultând că, prin integrarea vectorilor unitate **rad** și/sau **der**, aceștia se rotesc în sens **negativ** (dextrorum / dextrogin) cu $\frac{\pi}{2}$.

Câteva **aplicații** ale noii FCC sau trigonometrice centrice **rad** α sunt prezentate în continuare, la exprimarea sub formă trigonometrică a sumei și a diferenței numerelor complexe, la exprimarea grafică a exponențialelor de diverse ordine, ș.a.

3.7 FORMA TRIGONOMETRICĂ CENTRICĂ A SUMEI ȘI A DIFERENȚEI NUMERELOR COMPLEXE

Lanțul de incluziuni $\mathbf{N} \subset \mathbf{Z} \subset \mathbf{Q} \subset \mathbf{R} \subset \mathbf{C} \subset \dots$ exprimă **extensia noțiunii de număr**.

Introducerea **numerelor negative** și a celor **întregi** \mathbf{Z} a fost necesară pentru exprimarea soluțiilor ecuațiilor de forma

$$a + x = b, \quad a, b \in \mathbf{N}, \quad (\mathbf{N} - \text{Mulțimea numerelor naturale } 1, 2, 3, \dots, n)$$

Numerale raționale au fost introduse pentru a exprima soluțiile ecuațiilor algebrice de gradul \mathbf{I} $ax + b = 0$, $a, b \in \mathbf{N}$ (sau $\mathbf{a}, \mathbf{b} \in \mathbf{Z}$).

Numerale reale sunt obiecte ale gândirii umane rezultate printr-un îndelungat proces de abstractizare. Mulțimea **numerelor reale** \mathbf{R} se justifică, în analiza

matematică și în geometrie, iar pentru exprimarea tuturor soluțiilor posibile ale ecuațiilor algebrice de gradul II

$$a x^2 + b x + c = 0, \quad a, b, c \in \mathbf{R}$$

s-au introdus, în matematică, **numerele complexe**. Ele au fost descoperite de **Niccolo Tartaglia** (1499 – 1557) și **Gerolamo Cardan** (1501 – 1575) din dorința lor de a rezolva, prin radicali, ecuațiile algebrice de gradul III și/sau IV cu coeficienți reali.

Se cunosc forme algebrice, aritmetică și exponențială, trigonometrică, geometrică- în planul numerelor lui **Gauss**- și vectorială ale numerelor **complexe C**.

Forma **trigonometrică** a operațiilor cu **numere complexe** este cunoscută **numai** pentru înmulțirea și împărțirea lor, precum și pentru ridicarea la o putere, ca o operație repetată de înmulțire a numărului complex cu el însuși (formula lui **Moivre**), sau extragerea radicalului de un ordin oarecare.

Până în prezent, nu a existat o formă trigonometrică a sumei și a diferenței numerelor complexe, deoarece nu au existat nici funcțiile trigonometrice **rada** și **dera** (**rex** θ și **dex** θ), cu ajutorul cărora acest lucru să devină posibil.

Și nici **ME** care realizează **și mai bine** acest lucru, ceea ce se va vedea într-un capitol cu privire la funcția **radial excentric rex** θ .

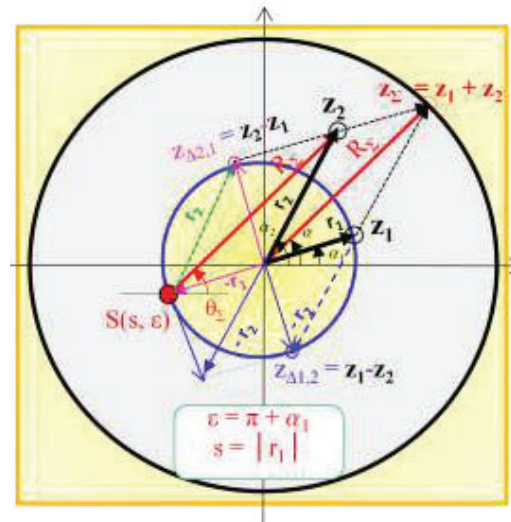


Fig. 3.3 Suma și diferența vectorială a numerelor complexe

Se cunoaște [**Homentcovshi, D.** „Funcții complexe cu aplicații în știința și tehnica”, Ed. Tehnică, Buc.,1986] ca sumă și diferența a două numere complexe z_1 și z_2 este numărul complex Z , definit de cele două diagonale ale paralelogramului construit pe cei doi vectori \vec{r}_1 și \vec{r}_2 ; diagonala cea mai lungă reprezentând suma ($Z_\Sigma = z_1 + z_2$) și diagonala mai scurtă diferența ($Z_{\Delta,1} = z_2 - z_1$). Lungimile diagonalelor $R_{\Sigma, \Delta}$, care sunt și

3 COMPLETĂRI ȘI REDEFINIRI CORECTE ÎN MATEMATICĂ CENTRICĂ

modulele numerelor complexe $Z_{\Sigma, \Delta}$, formează cu vectorii \vec{r}_1 și \vec{r}_2 câte un triunghi (Fig. 3.3) în care se poate aplica teorema cosinului sau teorema lui **Pitagora** generalizată.

Unghiul $\gamma_{\Sigma, \gamma}$ dintre cele două laturi opuse rezultatelor $R_{\Sigma, \Delta}$, care interesează, în acest caz, este

$$(3.50) \quad \gamma_{\Sigma} = \pi - (\alpha_2 - \alpha_1) \quad \text{și} \quad \gamma_{\Delta} = \alpha_2 - \alpha_1, \text{ astfel } \cos \gamma_{\Sigma, \gamma} = \pm \cos(\alpha_2 - \alpha_1) \text{ și,}$$

în consecință, rezultă, scris concentrat, **modulele rezultatelor**

$$(3.51) \quad R_{\Sigma, \Delta} = \sqrt{r_1^2 + r_2^2 - 2r_1r_2 \cos \gamma_{\Sigma, \Delta}},$$

sau, scoțând forțat pe r_2 în fața radicalului, rezultă

$$(3.51') \quad R_{\Sigma, \Delta} = r_2 \sqrt{1 + s^2 - 2s \cos \gamma_{\Sigma, \Delta}} = r_2 R_{\Sigma, \Delta} = r_2 \sqrt{1 + s^2 \pm 2s \cos(\alpha_2 - \alpha_1)},$$

în care, semnul **plus** este pentru **sumă** și semnul **minus** pentru **diferență**, iar s este raportul $s = r_1/r_2$ (sau **excentricitatea liniară numerică**) și se poate anticipa că, modulul sumei și a diferenței numerelor complexe, este dat de **FSM-CE** radial excentric de α (**Rexa**) exprimată pe cercul de rază $R = r_2$.

În final, expresia **trigonometrică** a sumei și a diferenței celor două numere complexe, exprimate cu ajutorul **FCC rada** este

$$(3.52) \quad Z_{\Sigma, \Delta} = z_1 \pm z_2 = r_1 \cdot \text{rad } \alpha_1 \pm r_2 \cdot \text{rad } \alpha_2 = r_2 \cdot \sqrt{1 + s^2 \pm 2s \cos(\alpha_2 - \alpha_1)} \cdot \text{rad } \theta_{\Sigma, \Delta}$$

în care $\theta = \alpha - \beta = \alpha - \arcsin [s \cdot \sin(\alpha - \epsilon)]$, β fiind unghiul dintre $R_{\Sigma, \Delta}$ și r_2 astfel că

$$(3.53) \quad \theta_{\Sigma, \Delta} = \alpha_2 \mp \arcsin \left[\frac{r_1}{R_{\Sigma, \Delta}} \sin(\alpha_1 - \alpha_2) \right]$$

În rezumat, modulul sumei și a diferenței a două numere complexe este dat de **FSM-CE** de **variabila centrică** α sau poate fi exprimată prin teorema cosinus (**Pitagora** generalizată), iar direcția este dată de unghiul la excentru θ și, astfel, numărul complex sumă și, respectiv, diferență $Z_{\Sigma, \Delta}$ fiind **complet** determinat / definit.

3.8 FORMA GEOMETRICĂ A EXPRESIILOR EXPONENȚIALE DE FORMA x^n și $x^{1/n}$

Fie triunghiul dreptunghic **OSW** (Fig. 3.4) cu unghiul drept în **S** și de unghi α în centrul **O**(0,0). Astfel, latura **OW**, numită de noi **segmentul subunitar** al **semidreptei exponențialelor**, poate fi exprimată prin relația

$$(3.54) \quad \overline{OW} = R \cdot \text{rada} \text{ și, pentru } R = 1, \text{ rezultă}$$

$$(3.55) \quad \vec{z} = \overline{OW} = \text{rada} \text{ a cărui proiecții pe direcțiile } x \text{ și } y, \text{ ale unui reper cartezina drept, sunt}$$

$$(3.56) \quad \vec{x} = \overline{OS} = \cos \alpha \cdot \text{rad} 0^0, \text{ de modul } x = \cos \alpha \text{ și } \vec{y} = \overline{SW} = \sin \alpha \cdot \text{der} 0^0.$$

Rotindu-l pe \vec{x} cu $+\alpha$, în sens trigonometric / levogin (sinistrorum), latura **OS** se suprapune peste latura **OW** și proiectându-l din nou pe axa x rezultă

$$(3.57) \quad \vec{x}_2 = \cos^2 \alpha \cdot \text{rad} 0^0 = x^2 \text{rad} 0^0, \text{ a cărui modul este } x_2 = \cos^2 \alpha.$$

Rotindu-l pe x_2 cu $+\alpha$ și proiectându-l, din nou, pe direcția x în x_3 rezultă

$$(3.58) \quad \vec{x}_3 = \cos^3 \alpha \cdot \text{rad} 0^0 = x^3 \text{rad} 0^0.$$

Repetând, în mod analog, operațiile vor rezulta, în continuare, diversele puteri ale lui x : $x^4, x^5, \dots, x^n, \dots$

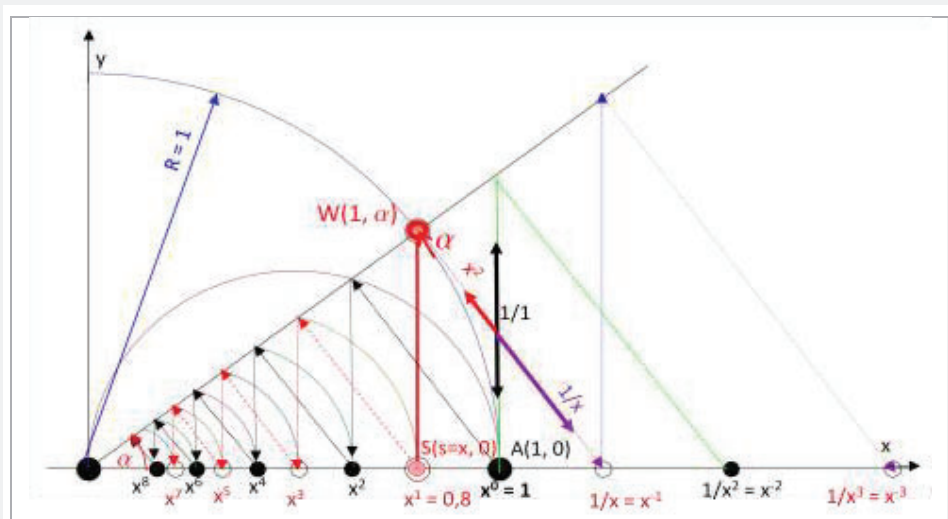


Fig. 3.4 Reprezentarea grafică a exponențialelor x^n și $x^{-n} = 1/x^n$, $x < 1$

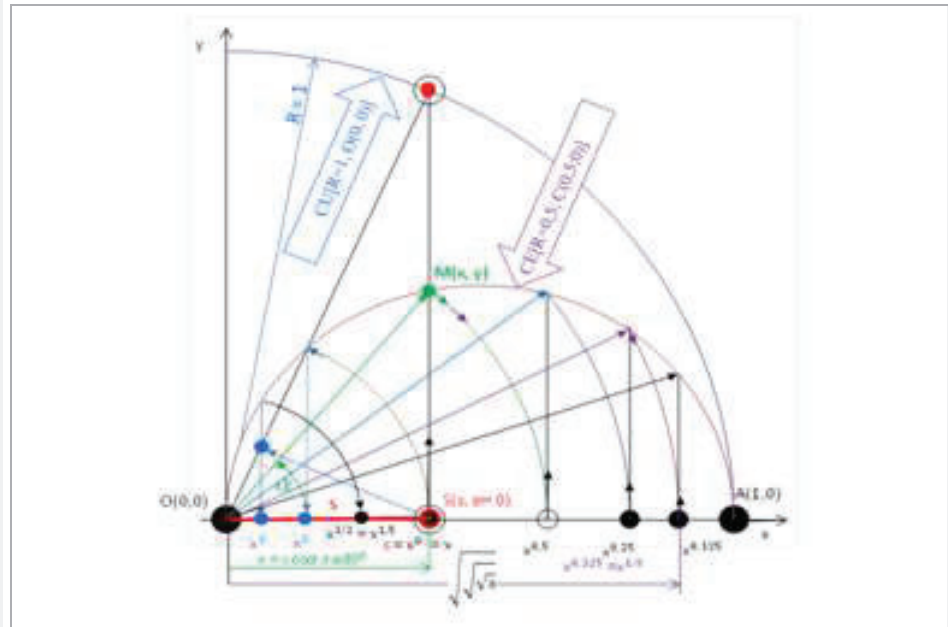


Fig. 3.5 Reprezentarea radicalului de ordinul n ($\sqrt[n]{x} = x^{1/n}$) și a exponențialelor de forma $x^{\frac{m}{n}} = \sqrt[n]{x^m}$ din numărul $x < 1$

3 COMPLETĂRI ȘI REDEFINIRI CORECTE ÎN MATEMATICĂ CENTRICĂ

În acest fel, a rezultat una din multiplele **metode grafice** de exprimare a diverselor puteri x^n ale unui număr oarecarei $x < 1$.

Pentru $X = 1/x > 1$, se consideră vectorul \vec{Z} , ca proiecție a vectorului \vec{X} de pe axa x , pe direcția OW , în care X rezultă

Rotindu-l pe acesta cu $+\alpha$ peste OW și considerând-ul proiecție a lui X_2 pe OW rezultă

$$(3.59) \quad \vec{X} = X \cdot \text{rad}0^0 = \frac{\text{rad}0^0}{\cos\alpha} = \frac{1}{x} \text{rad}0^0.$$

$$(3.60) \quad \vec{X}_2 = \frac{\text{rad}0^0}{\cos^2\alpha} = \frac{1}{x^2} \text{rad}0^0 = X^2 \cdot \text{rad}0^0.$$

Repetând operațiile, vom obține, în continuare, diferitele puteri ale unui număr oarecare $X : X^3, X^4, \dots, X^n, \dots$ în care $X = 1/x > 1$.

Pentru **exprimarea radicalilor** de diverse ordine dintr-un număr $0 < x < 1$, se consideră vectorul $\vec{r} = R \cdot \text{rad} \alpha$ (Fig. 3.5), care, pentru $R = 1$, este versorul direcției α **rad** α , a cărui proiecție pe axa x este

$$(3.61) \quad \vec{x} = \cos\alpha \cdot \text{rad}0^0$$

Procedeul grafic prezentat în figura anterioară seamănă foarte mult cu instrumentul XYZ al lui **René Descartes** [René Descartes, La Géometrie]

O verticală, ridicată din vârful lui \vec{x} , intersectează cercul **CE** [$R = 0.5; C(0,5; 0)$], denumit de noi **cercul exponențialelor**, care trece prin centrul **O(0,0)** al cercului unitate orientat **CU** [$R=1, O(0, 0)$] și prin originea lui **A(1,0)**, într-un punct **M** (x, y) de rază polară $\overline{OM} = \sqrt{x}$ din $O(0,0)$.

Demonstrație: Triunghiul **OMA** este dreptunghic, cu unghiul drept în **M**, deoarece **M** se află pe cercul exponențialelor **CE** și latura opusă acestui unghi este un diametru al cercului **CE** și ipotenuză a triunghiului **OMA**.

Se știe, din teorema înălțimii, că înălțimea unui triunghi dreptunghic, care este perpendiculară pe ipotenuza acestuia (**y**) este egală cu produsul segmentelor determinate de ea pe ipotenuza **OA**, adică

$$(3.62) \quad y^2 = x \cdot (1-x) = x - x^2$$

Pe de altă parte, modulul **razei polare** \vec{r}_M din **O** a lui **M** este

$$(3.63) \quad \|\vec{r}_M\| = \sqrt{x^2 + y^2} = \sqrt{x^2 + (x - x^2)} = \sqrt{x}, \text{ ceea ce era de demonstrat.}$$

Concluzii: Dacă pe cercul unitate **CU** se alege un punct **W(1, α)** \equiv **W** (**cos** α , **sin** α), pe aceeași verticală cu **M** (**x,y**), a căror proiecții pe axa **Ox** sunt aceleași și egale cu **x** = **cos** α , atunci modulul vectorului **OM** este egal cu radicalul lui **x**, adică

$$(3.64) \quad \|\vec{r}_M\| = OM = \sqrt{x} = \sqrt{\cos \alpha}.$$

Rotind vectorul \vec{r}_M până ce se suprapune peste axa x , obținem, pe această axă, valoarea radicalului din x și vectorul

(3.65) $\sqrt{x} \cdot \text{rado}^0$. Ridicând o perpendiculară din vârful acestui vector, ea intersectează pe **CE** într-un punct **M**₁ a cărui rază polară r_1 este

(3.66) $\overline{OM}_1 = \vec{r}_1 = \sqrt{\sqrt{x}} \cdot \text{rad}\beta_1 = x^{\frac{1}{4}} \cdot \text{rad}\beta_1$, în care $\cos\beta_1 = x^{1/4}$, ș.a.m.d. pentru următorii exponenți. Se observă imediat că, pentru $n \rightarrow \infty$, punctul $M_n \subset X_E$ tinde pe

cercul exponenţialelor spre originea cercului unitate $A(1,0)$, adică $OM_n \rightarrow 1$, oricare ar fi $x < 1$.

Deci, ridicând o perpendiculară în $x < 1$, $\vec{x} = \cos\alpha \cdot \text{rad}0^0$, pe axa Ox , ia intersecţiază cercul exponenţialelor în M şi $OM = \sqrt{x}$. Dacă-l rabatem pe $OM = \sqrt{x}$ pe axa Ox obţinem, pe axă, punctul de modul $x_1 = \sqrt{x}$. Ridicând din nou o perpendiculară pe Ox în x_1 şi intersectând-o cu **CE**, obţinem punctul $M_1 \in X_E$ şi raza polară centrică, din O , OM_1 a cărui modul este $\sqrt{x_1} = \sqrt{\sqrt{x}}$, ş.a.m.d.

Prin urmare, prin creşterea lui n , al exponentul $1/n$, punctele M_i se deplasează pe **CE** din M spre $A(1, 0)$ şi proiecţiile acestor puncte pe Ox sunt diversele puteri ale radicalului lui x .

Procedând în mod invers, întâi rotindu-l pe x , până ce vârful vectorului ajunge pe **CE**, se vor obţine succesiv, pe **CE**, punctele $P_2, P_4, P_6 \dots P_n$, apoi, proiectându-le pe Ox , obţinem succesiv o parte din puterile **pare** ale lui $x^{n^2} : x^2, x^4, x^8, x^{16}, x^{32}$ ($n = 1, 2, \dots$) şi pentru $n \rightarrow \infty$, $P_n \rightarrow O(0, 0)$ şi x^n ca şi $x^{n^2} \rightarrow 0$, pentru $x < 1$. Rezultă că, cercul exponenţialelor **CE** oferă de la $M(x, y)$ spre $A(1, 0)$ exponenţii **radicalilor** de diverse ordine $1/2, 1/4, 1/8, 1/16, \dots 1/n^2$, iar de la M spre $O(0, 0)$ exponenţii puterilor $2, 4, 8, 16, \dots$ lui x^{n^2} pentru $x < 1$.

Aşa cum s-a prezentat anterior, prin rotirea lui OS peste OW , pe **segmentul subunitar al semidreptei exponenţialelor OW** se obţin diverse puncte P_i , ($i = 0, 1, 2 \dots n$) a căror proiecţii pe axa x au abscisele $x^0 = x, x^2, x^3, x^4, \dots$ ş.a.m.d.; punctele P_i tinzând, pe această **segmentul subunitar al semidreptei exponenţialelor**, din $P_0 \equiv W(x, y)$ spre $O(0, 0)$, pentru $x < 1$. Razele polare ale punctelor P_i , de pe segmentul exponenţialelor, au toate acelaşi argument α şi au razele polare de modul r_i care exprimă pe x la exponenţialele $n, x^n : x^0 = 1, x^2, x^3, x^4, \dots, x^n = 0$, pentru $x < 1$. Punctul iniţial al **segmentul subunitar al semidreptei exponenţialelor** este **$P_0 \equiv W(x = \cos \alpha, y = \sin \alpha)$** şi punctul final **$P_n \equiv O$** , pentru $n \rightarrow \infty$.

Pentru $x > 1$, punctele P_i se deplasează tot pe **semidreapta exponenţialelor** dar evoluează pe **segmentul supraunitar**, de la **$P_0 \equiv W$ spre infinit**.

Dacă nu rabatem segmentele de pe axa x pe segmentul subunitar al semidreptei exponenţialelor, ci coborâm perpendiculară pe ea din punctele axei x , începând din **$S(x, 0)$** obţinem punctele a căror reproiectări pe axa x dau exponenţialele exponenţilor impari $x^3, x^5, x^7, \dots x^{2n+1}$, $n = 1, 2, 3, \dots$. Cu această observaţie, putem obţine exponenţiale cu exponenţi fracţionari. De exemplu, plecând din **$S(x, 0)$** prin două rotaţii, proiectări pe x şi rabateri pe semiaxa x , obţinem valoarea lui x^3 . Ridicând o perpendiculară în x , ea intersecţiază **semicercul exponenţialelor** într-un punct a cărui rază polară este

$$(3.67) \quad r = \sqrt{x^3} = x^{\frac{3}{2}} = x^{1.5}.$$

Dacă repetăm operaţia, pe **semicercul exponenţialelor**, obţinem

$$(3.68) \quad r_1 = \sqrt{r} = \sqrt{\sqrt{x^3}} = x^{\frac{3}{4}} = x^{0.75} \text{ şi procesul poate continua pentru a obţine şi alţi exponenţi fracţionari.}$$

Rezultă că, numărătorul exponentului este obţinut prin rotaţie (+) pe **semidreapta exponenţialelor** pe **segmentul subunitar**, iar numitorul **par** prin rotaţii (–) de pe **semicercul exponenţialelor**. Pentru valorile lui $x = 0, 1$ şi ∞ , procesul nu poate fi

3 COMPLETĂRI ȘI REDEFINIRI CORECTE ÎN MATEMATICĂ CENTRICĂ

antamat și, spre norocul nostru, pentru aceste valori ale lui x nici nu sunt necesare astfel de operații.

Se știe că inversul unui cerc, ce trece prin centrul de inversiune, este o dreaptă și inversa unei drepte arbitrare este un cerc, care trece prin centrul de inversiune.

Astfel, inversa **ceroului exponențialelor CE**, cu $O(0,0) \subset CE$ drept centru de inversiune, este dreapta tangentă la acesta în punctul $A(1,0)$. Vom denumi această dreaptă **D₁ - dreapta inverselor**, deoarece inversa unui punct de pe **CE** este un punct pe **D₁** la intersecția prelungirii razei polare, ce trece prin punctul de pe cerc și această dreaptă. Ea servește la determinarea inverselor lui x pentru a determina valorile $X = 1/x$, atât pentru determinarea exponențialelor supraunitare cât și a celor fracționare.

3.9 Aplicație:

TRANSFORMAREA RIGUROASĂ ÎN CERC A DIAGramei POLARE A COMPLIANȚEI

Diagrama polară este cunoscută și sub denumirile de **diagrama Nyquist**, **curbă polară**, **ceroului lui Smith** – care, de fapt, nu este un cerc, în cazul metodei clasice și a amortizării **vâscoase**, ci un arc de curbă ce se apropie mai mult de un cerc la frecvențe înalte, mult mai mult în apropierea rezonanței și mult mai puțin de acesta la frecvențe joase.

În acest paragraf se va aduce corecția necesară soluției și, implicit, curbei polare, în sensul că ea devine **riguros** un cerc, denumit **cerc de răspuns**, prin utilizarea funcției radial centric **rad ωt** și radial excentric **Rex $\alpha_{1,2}$** ca soluții ale răspunsului în frecvență a sistemelor oscilante amortizate vâscos și forțate de o forță armonică de excitație **F_e** (Fig. 3.6)

$$(3.69) \quad F_e = F \cdot e^{i\omega t} = F \cdot \text{rad } \omega t = F \text{ rad } \alpha$$

Vibrațiile forțate se pot clasifica, în funcție de tipul sistemului, cu și fără amortizare, cele cu amortizare putând fi cu amortizare **vâscoasă**, ca cel considerat acum, de coeficient de amortizare **c** și masa **m**, cu amortizare **uscată (columbiana)**, cu **amortizare histeretică** (pentru care diagrama **Nyquist** este un cerc) și, așa cum sunt majoritatea sistemelor reale, cu amortizare **combinată** sau **oarecare**. După excitație, ele pot fi cu excitație aleatoare sau cu excitație deterministă **periodică** (armonică sau oarecare), ca cel de față, prin impuls și oarecare sau combinată. S-a ales acest sistem, pentru că el este cel mai studiat în literatura de specialitate, dintre toate sistemele cu caracteristică elastică liniară. Dar metoda poate fi extinsă, fără dificultate, la oricare alt sistem liniar și, mai important, el se poate extinde la sistemele cu caracteristica elastică neliniară.

Ecuția diferențială a sistemului considerat, ca suma a tuturor forțelor ce-l soliciți, este

$$(3.70) \quad m \cdot \ddot{\vec{r}} + c \cdot \dot{\vec{r}} + k \cdot \vec{r} = F \cdot \text{rad } \alpha, \text{ în care vectorii } \ddot{\vec{r}}, \dot{\vec{r}} \text{ și } \vec{r} \text{ sunt vectorii } \textbf{acelerație}, \textbf{viteza} \text{ și, respectiv, } \textbf{deplasare}, \text{ prezentați în figura 3.6}$$

Vectorul **deplasare**, sau deformație, a elementului elastic, sau complianța \vec{r} este

$$(3.71) \quad \vec{r} = R \cdot \text{rad}(\omega t + \theta) = R(\text{rad}\omega t \cdot \cos\theta + \text{der}\omega t \cdot \sin\theta) \text{ și se rotește cu viteza unghiulară constantă } \omega \text{ în jurul centrului } O. \text{ Proiecțiile acestuia, pe oricare direcție, reprezintă o vibrație liniară, forțată, } \textbf{amortizată vâscos}. \text{ Prin derivarea lui se obține}$$

vectorul viteză, perpendicular pe vectorul deplasare, rotit cu (+) $\pi/2$ (în avans) coliniar, deci, cu fazorul **derot**

$$(3.72) \quad \dot{\vec{r}} = R \cdot \omega \cdot \mathbf{der}(\omega t + \theta), \text{ a cărei derivată, la randul ei, este vectorul accelerație}$$

$$(3.73) \quad \ddot{\vec{r}} = -R \cdot \omega^2 \cdot \mathbf{rad}(\omega t + \theta) = -R \cdot \omega^2 \cdot (\mathbf{rad}t \cdot \cos\theta + \mathbf{der}\omega t \cdot \sin\theta).$$

Prin divizarea cu m a ecuației diferențiale cu coeficienți constanți (3.70) se obține

$$(3.74) \quad \ddot{\vec{r}} + 2\zeta \omega_0^2 \cdot \dot{\vec{r}} + \omega_0^2 \vec{r} = \omega_0^2 \frac{F}{k} \mathbf{rad}\omega t, \text{ în care } \zeta \text{ este factorul de amortizare, sau fracțiunea din amortizarea critică } c_c, \text{ exprimată de relația}$$

$$(3.75) \quad \zeta = \frac{c}{c_c} = \frac{c}{2m\omega_0} \text{ și se vor nota}$$

$$(3.76) \quad 1 - 2\zeta^2 = \cos \alpha_1 \text{ sau } \alpha_1 = 2 \cdot \arcsin \zeta = \arccos(1 - 2\zeta^2).$$

Admițând că $\vec{r} = R \cdot \mathbf{rad}(\omega t + \theta)$ este o **soluție a ecuației diferențiale** și introducând-o în (3.74), rezultă, ordonând termenii în funcție de versorii **rad** ωt și **der** ωt

$$(3.77) \quad R \{ \mathbf{rad}\omega t [(\omega_0^2 - \omega^2) \cdot \cos\theta - 2\zeta \cdot \omega_0 \cdot \omega \cdot \sin\theta - F \cdot \omega_0^2 / k \cdot R] + \mathbf{der}\omega t [(\omega_0^2 - \omega^2) \cdot \sin\theta + 2\zeta \cdot \omega_0 \cdot \omega \cdot \cos\theta] \} = 0$$

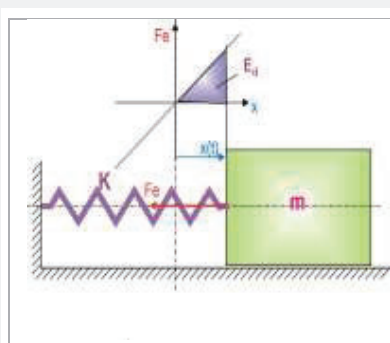


Fig. 3.6,a Modelul lui Titus Cioară al unui sistem vibrant conservativ cu un singur grad de libertate

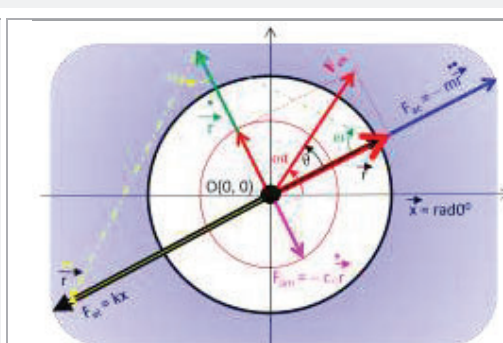


Fig. 3.6 Vectorii deplasare \vec{r} , viteză $\dot{\vec{r}}$ și accelerație $\ddot{\vec{r}}$ ai vibrațiilor sistemelor liniare, forțate, amortizate vâscos.

Deoarece versorii **rad** ωt și **der** ωt sunt reciproc perpendiculari și de modul constant și, evident, unitari, egalitatea anterioară devine posibilă **numai** dacă ambii coeficienți ai celor doi versori sunt simultan nuli, adică

$$(3.78) \quad (\omega_0^2 - \omega^2) \cdot \cos\theta - 2\zeta \omega_0 \cdot \omega \cdot \sin\theta - F \cdot \omega_0^2 / k \cdot R = 0, \quad \text{coeficientul lui } \mathbf{rad} \text{ și}$$

$$(3.79) \quad (\omega_0^2 - \omega^2) \cdot \sin\theta + 2\zeta \omega_0 \cdot \omega \cdot \cos\theta = 0, \quad \text{coeficientul lui } \mathbf{der}.$$

Din ecuația (3.79) rezultă unghiul de fază θ dintre răspunsul în deplasare \vec{r} și forța de excitație F_e aplicată asupra masei m

$$(3.80) \quad \theta = -\arctan \frac{2\zeta \omega_0 \omega}{\omega_0^2 - \omega^2} = -\arctan \frac{2\zeta}{1 - \chi^2}, \text{ în care s-a notat cu } \chi \text{ raportul, denumit}$$

pulsajie (sau, impropriu, frecvență) **normată** sau **adimensională**,

3 COMPLETĂRI ȘI REDEFINIRI CORECTE ÎN MATEMATICĂ CENTRICĂ

(3.81) $\chi = \sqrt{\frac{\omega}{\omega_0}}$ dintre pulsația de excitație ω și pulsația proprie a sistemului cu amortizare vâscoasă liniară ω_0 , considerată a fi **pulsația de rezonanță a vitezei ω_v** ,

$$(3.82) \quad \omega_v = \omega_0 = \sqrt{\frac{k}{m}},$$

celelalte pulsații de rezonanță fiind **pulsația de rezonanță a deplasării ω_s**

$$(3.83) \quad \omega_s = \omega_0 \sqrt{1 - 2\zeta^2}, \quad \text{pulsația de rezonanță a } \mathbf{accelerației } \omega_a$$

(3.84) $\omega_a = \frac{\omega_0}{\sqrt{1-2\zeta^2}}$ și pulsația proprie sau de **rezonanță a sistemului ω_p** , considerată a fi

$$(3.85) \quad \omega_p = \omega_0 \sqrt{1 - \zeta^2} \quad \text{căreia-i corespunde } \mathbf{pulsația proprie normată} \text{ sau adimensională}$$

$$(3.86) \quad \chi_p = \frac{\omega_p}{\omega_0} = \sqrt{1 - \zeta^2}.$$

Din ecuația (3.78) rezultă modulul R al vectorului \vec{r}

$$(3.87) \quad R = \frac{\omega_0^2 \frac{F}{k}}{(\omega_0^2 - \omega^2) \cos \theta - 2\zeta \omega_0 \omega \sin \theta} \quad \text{și notând amplitudinea, complianța sau deformația statică } (\omega = 0) \text{ cu } A_s, \text{ care este raportul}$$

$$(3.88) \quad A_s = F / k, \text{ astfel că modulul R, sau amplitudinea A, va fi produsul}$$

(3.89) $R = A = A_1 \cdot A_s$, în care A_1 este factorul (sau funcția) de amplificare, ca raport dintre deplasarea (complianța, admitanța sau receptanța) corespunzătoare pulsației normate curente χ și cea statică ($\chi_s = \chi = 0$), pentru care rezultă expresia

$$(3.90) \quad A_1 = \frac{1}{\sqrt{1 + \chi^4 - 2\chi^2(1 - 2\zeta^2)}} = \frac{1}{\sqrt{1 + s^2 - 2s \cos \alpha_1}} = \frac{1}{\text{Rex}[\alpha_1, S(s = \chi^2, \varepsilon = 0)]},$$

expresie în care se recunoaște, la numitor, funcția radial excentric **Rex α_1** de variabilă **centrică α_1** , cu expresia (3.76) și excentru **S**, notat acum și cu **E**, de coordonate polare (**e \equiv s, ε**) cu $s = \chi^2$ și de direcție $\varepsilon = 0$, pentru $s < 1$ și $\varepsilon = \pi$ pentru $s > 1$.

Se știe că **inversa complianței A_1** este **rigiditatea dinamică R_d** astfel că aceasta are expresia

$$(3.91) \quad R_d = 1/A_1 = \text{Rex}\alpha_1, \text{ fiind reprezentată în } \mathbf{figura 3.7,b} \text{ și } \mathbf{3.14,a} \text{ și } \mathbf{3.14,b}.$$

Inversa, funcției **Rex $\alpha_{1,2}$** este și funcția generatoare a polinoamelor **Legendre**, astfel că

$$(3.92) \quad A_1 = \frac{1}{\text{Rex}\alpha} = \sum_{n=0}^{\infty} P_n(x) s^n = e^{\sum_0^{\infty} \frac{s^n}{n} \cos n\alpha}, \text{ în care } x = \cos \alpha \text{ și s-a notat}$$

excentricitatea numerică e cu s, reprezentată în **figura 3.8,b** și **3.15,a** și **3.15,b**.

În concluzie, **FSM-CE Rex α_1** reprezintă **rigiditatea dinamică** a unui sistem dinamic de ordinul doi, cu amortizare vâscoasă liniară și inversa ei reprezintă **complianța normată** sau **factorul (de fapt, funcția) de amplificare A_1** .

$$(3.93) \quad A_1 = \frac{A}{A_{st}}, \text{ ca raport dintre amplitudinea A de vibrație la pulsația normată } \chi \text{ și amplitudinea statică } A_{st}, \text{ pentru } \chi = 0.$$

3.9.1 UN ALT CERC AL AMORTIZARILOR VASCOASE LINIARE

Pulsația proprie a sistemului cu amortizare ω_d este, așa cum s-a văzut,

$$(3.94) \quad \omega_d = \omega_0 \sqrt{1 - \zeta^2} = \frac{c}{2m}$$

Când pulsația de excitație ω ia valoarea pulsației sistemului amortizat ω_d rezultă pulsația normată a sistemului amortizat χ_d

$$(3.95) \quad \chi_d = \frac{\omega_d}{\omega_0} = \sqrt{1 - \zeta^2} = \chi_p, \quad \text{din care rezultă că}$$

$$(3.96) \quad \zeta_d^2 + \zeta^2 = 1, \text{ care este ecuația cercului unitate (CU), sau trigonometric (CT),}$$

CU(O, 1) și curba de dependență $\zeta = \zeta(\chi_d) < 1$ este un arc de cerc de unghi $\pi/2$, cerc cu centrul în originea $O(0, 0)$ a unui sistem rectangular drept și de raza 1 (**Fig. 3.9**). Sau de arc π al aceluiași cerc, dar de măsură $\alpha \in [0, \pi]$ pentru $\zeta \in [0, 1]$, dacă, în locul sistemului cartezian drept, se consideră un sistem bipolar, de reper format de punctele fixe A_1 și A_2 . Polii $A_1(1, 0)$ și $A_2(-1, 0)$ aparțin cercului **C** al carui punct mobil **PO** = **f** [**a**(ζ)] de pe **CU**, pe care îl vom numi, în această capitole **pol** al unei transformări de inversiune complexă, are unghiul polar α , din centrul și originea **O**, în care $\alpha = 2\arcsin(\zeta)$ sau $\alpha = \arccos(1 - 2\zeta^2)$.

Coordonatele polului **PO** pe **C** \equiv **CT** sunt măsurile segmentelor $r_i = A_i$, ($i = 1, 2$) sau a razelor vectoriale duse din polii A_i și reprezintă valorile $r_1 = 2\zeta$ din A_1 și $r_2 = 2\chi_d$ din A_2 , așa cum se poate observa în **figura 3.11**.

Transformarea homotetica **H**($A_1, 1/2$) de pol A_1 și modul $k = 1/2$, transformă cercul **C** în $C'(O'(1/2, 0), 1/2)$, A_1 fiind punct fix, comun celor două cercuri, **O** fiind transformatul punctului A_2 . Coordonatele bipolare ale unui punct aparținând cercului **C'** sunt $r'_1 = \zeta$ din A_1 și $r'_2 = \chi_d$ din **O**.

Așa cum s-a afirmat anterior, acest cerc **C'** este **cercul exponențialelor (CE)**, deoarece cu ajutorul lui putem construi grafic mărimile exponențiale ale absciselor x subunitare (x^2, x^3, \dots, x^n , sau $\sqrt{x}, \sqrt{\sqrt{x}}, \dots, \sqrt[n]{x} = x^{\frac{1}{n}}$ și alte combinații, (v. § 3.8) în felul următor: din punctul de abscisa $x \in [0, 1]$ se ridică o perpendiculară care intersectează **C'** în punctul $P'(x' = x, y' = \sqrt{x - x^2})$ și pe **C** în **P**.

Coordonata bipolară din **O** este $r'_2 = \sqrt{x}$.

Intersectând abscisa cu vârful compasului în **O** și deschiderea (raza) r'_2 , în sens dextrogin, obținem pe axa absciselor, în dreapta lui x , mărimea \sqrt{x} . Luând în compas raza $r'_2 = x$, cu același centru **O** dar în sens invers (levogin / trigonometric) intersectăm **C'** în **P''**. Abscisa lui **P''** este x^2 și va fi situată în stânga lui x .

Repetând operațiile, într-un sens obținem $(x^2)^2 = x^4$, apoi x^6 și toate puterile pare ale lui x , până se ajunge în originea **O**, în care, $\lim_{n \rightarrow \infty} x^{n^n}$, pentru $n < 1$, este evident zero.

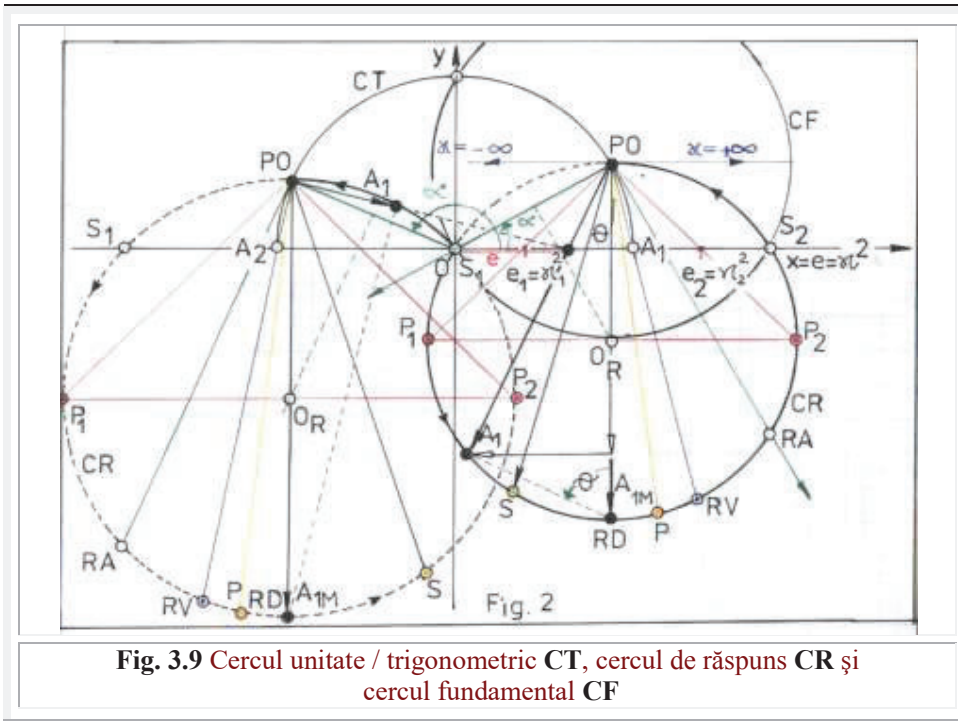


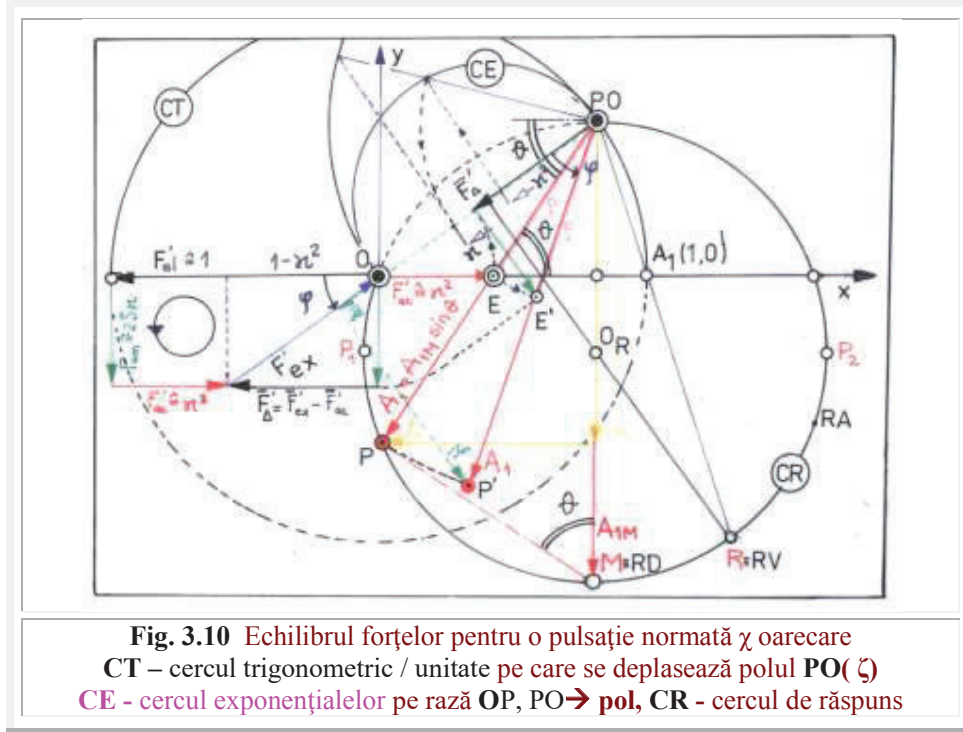
Fig. 3.9 Cercul unitate / trigonometric CT, cercul de răspuns CR și cercul fundamental CF

Din relațiile (3.75) și (3.86) sau (3.95) se deduce că, în punctul de pe axa absciselor $\chi = \chi_d$, pe axa ordonatelor se obține $\zeta = \zeta_d$, coordonate carteziene de aceeași mărime ($\zeta_d = \chi_d \frac{\sqrt{2}}{2} = 0,7071..$). Se deduce că punctul se află la mijlocul arcului sfertului de cerc, adică la un unghi de măsură $\pi/4$, pe prima bisectoare a primului cadran, în cazul primului mod de reprezentare.

În cea de a doua reprezentare, bipolară, rezultă pentru $\zeta = 0 \rightarrow \alpha = 0$ și polul PO (1, α) va fi plasat pe C în punctul A₁. Pentru $\zeta = 0,7071..$ poziția polului PO va fi la un unghi $\alpha = \arcsin 0,7071.. = \pi/2$, iar pentru limita maximă, pentru care mișcare oscilantă încetează, $\zeta = 1 \rightarrow \alpha = \pi$ polul va fi plasat în A₂.

3.9.2 RIGIDITATEA DINAMICĂ, FACTORUL DE RĂSPUNS ADIMENSIONAL SAU FACTORUL DE AMPLIFICARE A₁ (γ) ȘI DIAGRAMA POLARA A COMPLIANȚEI (RECEPTANȚEI ȘI ADMITANȚEI)

Funcțiile de amplificare A₁ trebuie considerate, determinate și trasate pe toată axa absciselor χ , deci **și pe semiaxa χ negativă**, mai ales pentru amortizări mari ($\zeta \geq 0,7071$, pentru care polul PO este plasat pe CT în cadranul II).



În aceste cazuri, curbele A_1 , corespunzătoare reprezentărilor clasice, din literatura mondială de specialitate, **apar eronat** ca având (aparent) un maxim în punctual (0,1). Și o absență efectivă a posibilității de determinare a amortizării sistemului, prin determinarea lățimii de bandă a frecvențelor pentru punctele de semiputere $P_{1,2}$, corespunzătoare amplitudinii maxime împărțită cu $\sqrt{2}$, datorită absenței (aparente a) punctului P_1 , punct care, pentru amortizări mari, **apare pe semiaxa negativă** (Fig 3.7 și Fig. 3.8). În reprezentări, apare doar curba corespunzătoare punctului P_2 , pe când, în realitate, ele au maximum pe axa χ negativă; **punctul (0, 1)** fiind un **nod** prin care trec toate curbele A_1 .

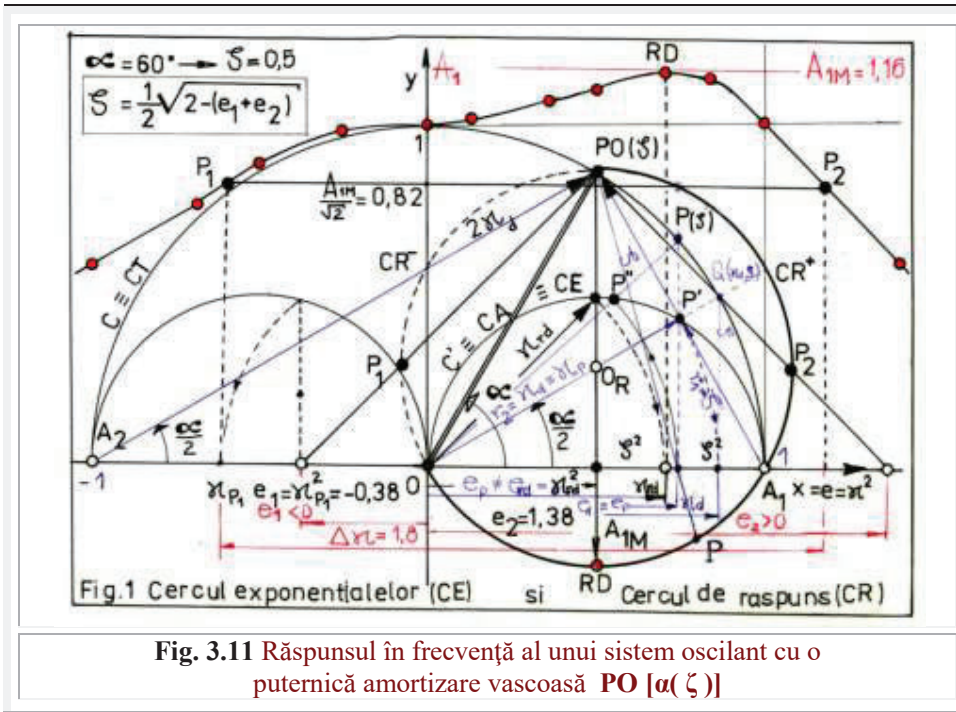


Fig. 3.11 Răspunsul în frecvență al unui sistem oscilant cu o puternică amortizare viscoasă $PO [\alpha(\zeta)]$

În punctul în care rigiditatea dinamică (adică $FSM_{Rex\alpha}$) are valoarea minimă, inversa, adică A_1 va avea valoarea maximă. Rex ia valoarea minimă atunci când $E(e,0)$ se află situat pe abscisă, sub punctul PO de pe CT , astfel încât E (sau S) devine și proiecția pe abscisă a polului PO . Dacă PO este pe CT în cadranul doi, atunci și proiecția lui va fi pe semiaxa negativă a absciselor, ca și maximum lui A_1 , așa cum se arată în figura 3.9, 3.11 și în diagramele din figurile 3.14 și 3.15.

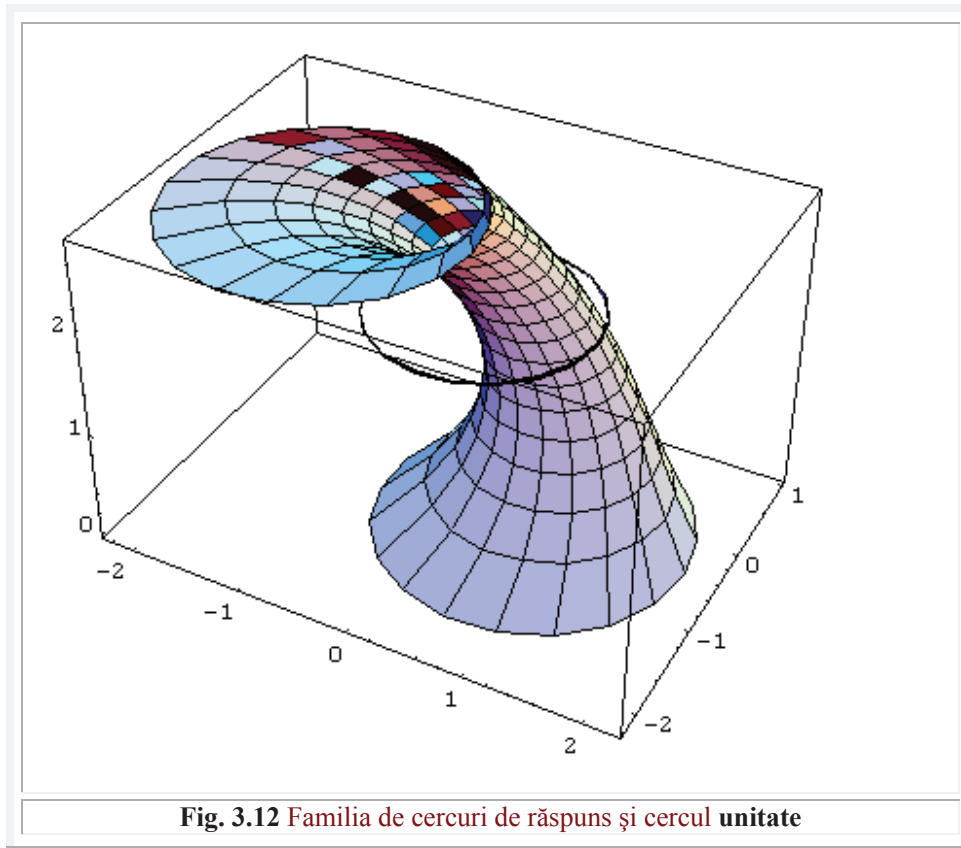
Punctul $O \equiv S_1$, ca și punctul $S_2 = CR = \chi \cap CF$, sunt puncte staționare ale transformării de inversiune complexă ca și celelalte puncte de pe cercul fundamental CF . Distanța de la O la PO fiind egală cu unitatea, punctul O de pulsații $\omega = \chi = 0$ are inversa de valoare tot 1.

Valorile $\chi < 0$ corespund transformării inverse a semiaxei negative și reprezintă arcului de cerc, marcat cu linii întrerupte în figura 3.9, de la O la polul PO . Se deduce că pulsația de excitație ω , ca și cea normată χ , evoluează pe arc de cerc, marcat, în figura 3.9, pe cercul de răspuns (CR) de la O la PO în sens levogin (sinistrorum), arc de cerc corespunzător transformării inverse a axei $\chi > 0$ pozitive și pe arcul de cerc marcat cu linie întreruptă, de la O la polul PO în sens dextrogin (dextrorum), arc corespunzător transformării inverse a semiaxei $\chi < 0$ negative.

În acest fel, polul PO corespunde și pulsației $\omega = \chi \rightarrow \infty$, dar și pulsației $\omega = \chi \rightarrow -\infty$; diferența rezultând din **sensul de rotație**, pe cercul de răspuns CR, care este locul geometric (hodograful) al vârfului vectorului A_1 cu originea în polul PO.

Astfel, **axa x este inversa cercului de răspuns CR.**

FSM circulara excentrică (CE) $Rex_{\alpha_{1,2}}$ reprezentând, prin definiție, distanța de la **E** la punctele $W_{1,2}$ de pe cercul trigonometric CT, iar excentrul **E**, evoluând pe toată axa absciselor ($x = s \equiv e = \chi^2$), rezultă că inversa funcției $Rex_{\alpha_{1,2}}$, față de punctul fix PO de pe CT ales și denumit pol al inversiunii complexe, revine la inversa axei x față de punctul PO exterior dreptei, care este **riguros** un cerc, denumit cerc al inversiunii și care este cercul de răspuns CR, fiind, totodată, locul geometric al vârfului versorului/fazorului A_1 .



Urmărind evoluția pe CR a unor puncte (**Fig. 3.9**), corespunzătoare evoluției pulsației normate (adimensionale) $\chi \in [0, \infty]$ se disting punctele:

- $S_{1,2}$ ► **Staționare** $S_1(0) \equiv O(0,0)$ și $S_2(\sqrt{2})$ de $e=0$ și, respectiv,
- $e = \zeta^2 = 2 \rightarrow \chi = \sqrt{2}$;
- $P_{1,2}$ ► **Semiputere** de excentricitate $e_{1,2} = \cos \alpha \mp \sin \alpha$ sau

$\chi_{1,2} = \sqrt{1 - 2\zeta^2 \mp 2\zeta\sqrt{1 - \zeta^2}}$, corespunzătoare amplitudinii de vibrație

$A_1 = \frac{A_{1M}}{\sqrt{2}}$, în care A_{1M} este diametrul cercului de răspuns **CR** sau valoarea maximă a amplitudinii (compliancei) de vibrație, corespunzătoare punctului:

- **RS / S** ► **Rezonanța sistemului dinamic de ordinul II** de $\chi_S = \sqrt{1 - \zeta^2}$;
- **RD / M** ► **Rezonanța compliancei** (deplasării), pentru $e_M = \chi^2 = 1 - 2\zeta^2$ și
 $\chi_{rd} = \sqrt{1 - 2\zeta^2}$;
- **RP / P** ► **Rezonanța proprie**, aleasă pentru $e_P = \sqrt{1 - \zeta^2}$ și $\chi_P = 1 - \zeta^2$
- **RV / V** ► **(Rezonanța vitezei) Rezonanța** de $\chi_{rv} = \chi_R = 1$;
- **RA / A** ► **Rezonanța accelerației** de $\chi_{ra} = \frac{1}{\sqrt{1 - \zeta^2}}$;
- **RE / E** ► **Rezonanța de eșantionare** de $\chi_E = 2\sqrt{1 - \zeta^2}$, urmează P_2, S_2 și, în final, dar pentru un singur capăt, PO de $\chi \rightarrow \infty$ pe CR cu o mișcare în sens levogin. Pentru amortizări mari, axa $x < 0$ se parcurge de la minus infinit la zero și de aici spre plus infinit.

3.9.3 UNGHIURILE DE FAZA

Pe curbele loc geometric ale compliancei, din literatura de specialitate, exprimate clasic și care diferă sensibil de un cerc, poziția (orientarea) vectorului A_1 este dată de argumentul

(3.97) $\varphi = \theta_v = \arctan \frac{-2\zeta\chi}{1 - \chi^2}$, denumit unghi de fază sau, mai corect, defazaajul dintre deplasarea r (sau x) și direcția forței de excitație F_{ex} sau unghiul format de vectorul A_1 cu axa reală $Re(x)$.

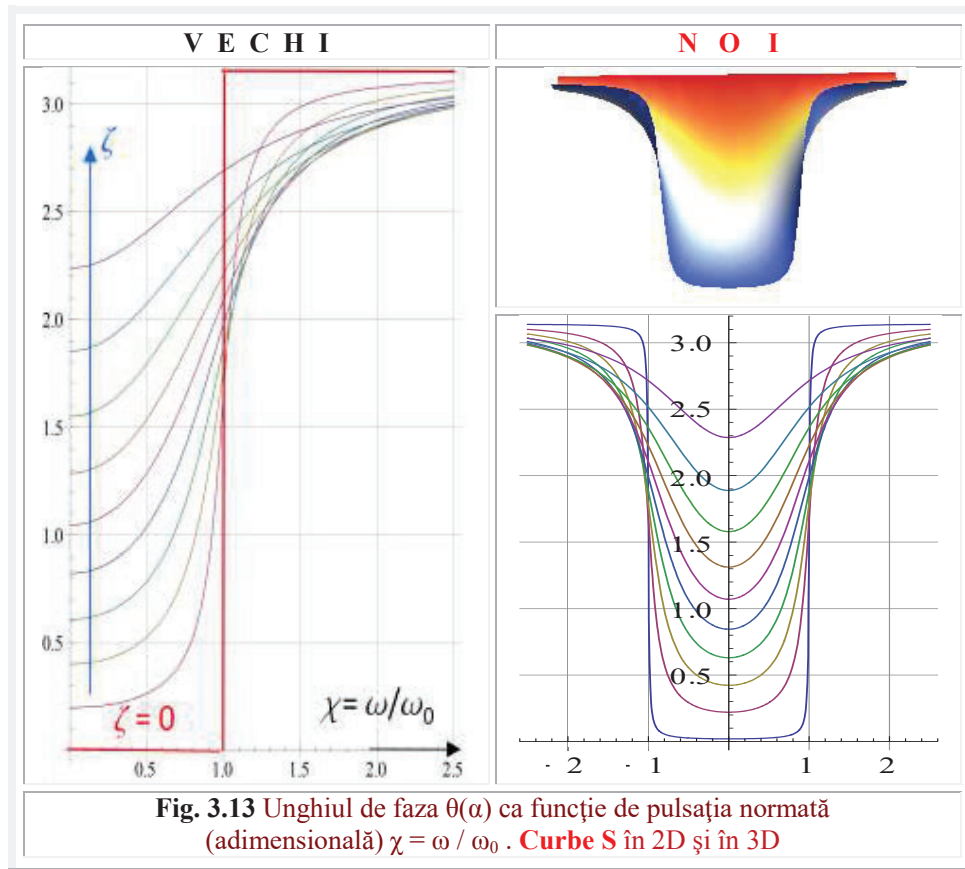
În noua reprezentare a diagramei polare a compliancei, din figura **3.11**, poziția vectorului A_1 , cu vârful pe CR, este dată de variabilă excentrică θ , care este unghiul format de semidreapta pozitivă din **E** cu axa x și reprezintă, totodată, și orientarea / direcția vectorului A_1 .

Defazaajul fiind notat, în literatura de specialitate, și cu θ , în lucrarea de față, i-am adăugat și un indice v (de la vechi), pentru a evita confuziile, altfel posibile. Evident ca $\theta_v \equiv \varphi$ diferă semnificativ de θ , care este dat de relațiile de dependență dintre cele două variabile, **centrică α** și **excentrică θ** . Unghiul de fază nou (**Fig. 3.13**), care exprimă poziția vârfului vectorului A_1 , pe cercul (de aceasta dată riguros) CR, are expresia:

$$(3.98) \quad \theta = \frac{\pi}{2} - \arctan \frac{\cos\alpha - \chi^2}{\rho_m} = \frac{\pi}{2} - \arctan \frac{1 - 2\zeta^2 - \chi^2}{2\zeta\sqrt{1 - \zeta^2}}, \quad \text{în care,}$$

(3.99) $\rho_m = Rex\alpha_{1,2m} = rex(\theta = \frac{\pi}{2}, e = s = \cos\alpha = \chi_M^2)$ este valoarea minimă pe care o ia funcția radial excentric, adică rigiditatea dinamică, pentru o anumită amortizare, sau inversa ei, care este amplitudinea maximă A_{1M} .

Noile curbe de fază $\theta(\chi, \zeta)$ sunt prezentate în figura 3.13 și au marele avantaj că în secțiunea $\chi = 0$ (limita din stânga) curbele au ordonatele egale cu amortizarea sistemului $\alpha(\zeta)$, facilitând, astfel, identificarea **curbelor S** (denumire sugerată de formele lor) în funcție de amortizare.



3.9.4 O RELAȚIE SIMPLĂ, RIGUROS EXACTĂ, DE CALCUL A FRAȚIUNII DIN AMORTIZAREA CRITICĂ ζ

Punctele de semiputere $P_{1,2}$ corespund, în noua reprezentare, excentricităților și respectiv pătratelor frecvențelor (pulsațiilor) normale $e_{1,2} = \chi_{1,2}^2$, fiind situate la intersecția dintre axa absciselor, cu două drepte duse din polul PO, paralele cu

direcțiile celor două bisectoare; unghiul dintre ele, în PO, fiind un unghi drept.

Perpendiculara coborâtă din PO pe axa absciselor este înălțimea unui triunghi isoscel dreptunghic și reprezintă minimul distanței de la axa la PO, adică, minimul rigidității dinamice și inversa complianței maxime:

$$(3.100) \quad \rho_m = \sin\alpha, \quad A_{1M} = \frac{1}{\rho_m} = \frac{1}{\sin\alpha} = \operatorname{cosec}\alpha \equiv \operatorname{csca}$$

și piciorul perpendicularei pe abscisa x este

$$(3.101) \quad x = e_{RM} = e_M = \cos\alpha, \quad \text{iar ipotenuza triunghiului este}$$

$$(3.102) \quad a = e_2 - e_1 = \chi_2^2 - \chi_1^2 = 2\sin\alpha,$$

deoarece ipotenuza, în acest triunghi, este dublul înălțimii

Piciorul perpendicularei din PO pe x are abscisa

$$(3.103) \quad x = \cos\alpha = e_1 + \frac{e_2 - e_1}{2} \quad \text{sau} \quad 2\cos\alpha = e_1 + e_2 = \chi_1^2 + \chi_2^2$$

Ținând cont de relația sinusului de jumătate de arc, rezultă relația exactă:

$$(3.104) \quad \zeta = \frac{1}{2} \sqrt{2 - (e_1 + e_2)} = \frac{1}{2} \sqrt{2 - (\chi_1^2 + \chi_2^2)}$$

Din această relație, rezultă că pentru amortizare nulă $e_1=e_2=1$ și pentru amortizarea maximă, în condiții de oscilație, $e_1 = e_2 = -1$ și $\zeta = 1$.

3.9.5 CONCLUZII

Avantajele care derivă din noua metodă de reprezentare a diagramelor polare ale complianței sunt:

a. Locul geometric al vârfului vectorului complianței normate sau adimensionale A_1 nu se mai **aproximează** cu un cerc ci **este** riguros **un cerc**. Diametrul acestuia este maximul lui A_1 , notat A_{1M} și are expresia simplă

$$(3.105) \quad A_{1M} = \frac{1}{\operatorname{Re}x_{1,2\min}} = \frac{1}{\sin\alpha} = \frac{1}{\sin(2\arcsin\zeta)} = \frac{1}{1-2\zeta^2}.$$

Centrul cercului de răspuns CR este plasat invariabil la intersecția dintre o dreaptă verticală din OP și una perpendiculară pe mijlocul razei din O a punctului OP. Că urmare centrului O_A este plasat sub polul OP, invariant pe o verticală, la distanța

$$(3.106) \quad y_A = -\frac{1}{2}\sin\alpha = -\frac{A_{1M}}{2} \quad \text{și locul geometric al centrului } O_A \text{ este o curbă simetrică,$$

sub forma de \cap , având ecuațiile parametrice:

$$(3.107) \quad \begin{cases} x = \cos\alpha \\ y = \frac{1}{2}\sin\alpha - \frac{\cos^2\alpha}{2\sin\alpha} = \frac{-\cos 2\alpha}{2\sin\alpha} \end{cases}$$

b. Punctul de maxim al deplasării (complianței) (RD)/M este plasat **invariant** în partea inferioară a CR la $\theta = \frac{\pi}{2}$. Dacă PO este plasat pe CT în cadranul I, pentru amortizări relativ mici, atunci M aparține arcului de cerc corespunzător inversiunii semiaxei pozitive. Dacă PO este plasat pe CT în cadranul II, corespunzător unor amortizări mari, atunci M se situează pe arcul de cerc corespunzător inversiunii semiaxei negative.

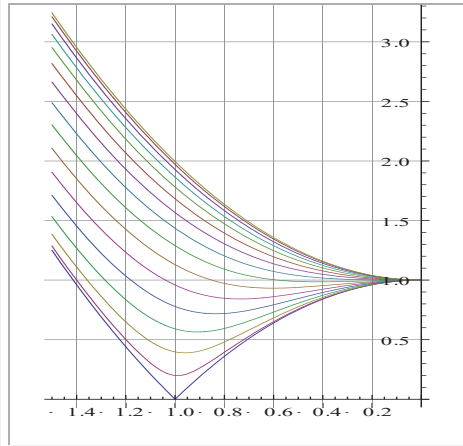


Fig. 3.14,a Rigiditatea dinamică
pentru $\chi < 0$

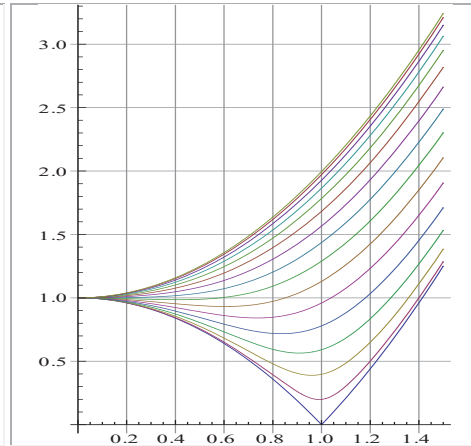


Fig. 3.14,b Rigiditatea dinamică
Pentru $\chi > 0$

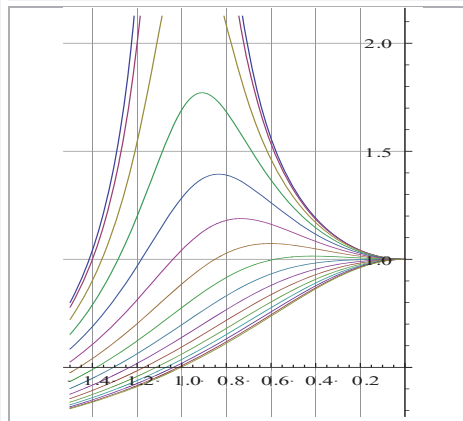


Fig. 3.15,a Funcția de amplificare
 $A_1 = 1/ \text{Rex } \alpha$ pentru $x < 0$

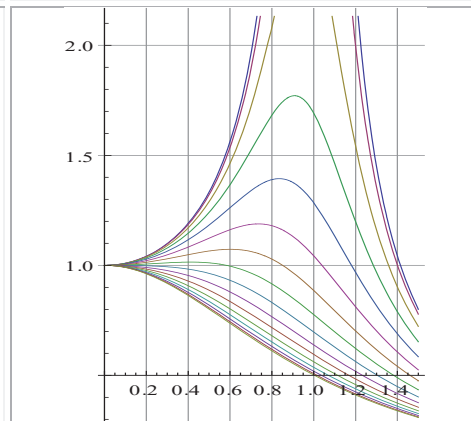


Fig. 3.15,b Funcția de amplificare
 $A_1 = 1/ \text{Rex } \alpha$ pentru $x > 0$

Amortizarea, pentru care OP este plasat la $\alpha = \frac{\pi}{2}$ pe CT are punctul M situat în punctul adiacent al celor două arce ale CR, punct ce corespunde inversului punctului adiacent al celor două semiaxe, pozitivă și negativă, care este tocmai originea O și care va coincide cu M, pentru ca $\text{Rex}\alpha = 1 = A_{1M}$.

c. Punctele de putere jumătate $P_{1,2}$ ocupă **invariant** o poziție pe CR **pe un diametru orizontal**, oricare ar fi amortizarea sistemului și nu se rotesc pe cercul de răspuns, ca în cazul reprezentărilor clasice. Ele pot fi localizate astfel pe CR mult mai simplu, decât în reprezentările clasice, coborând din polul OP două direcții înclinate cu $\pm \frac{\pi}{2}$ față de diametrul vertical al CR. Totodată, s-a obținut o relație mai simplă de calcul

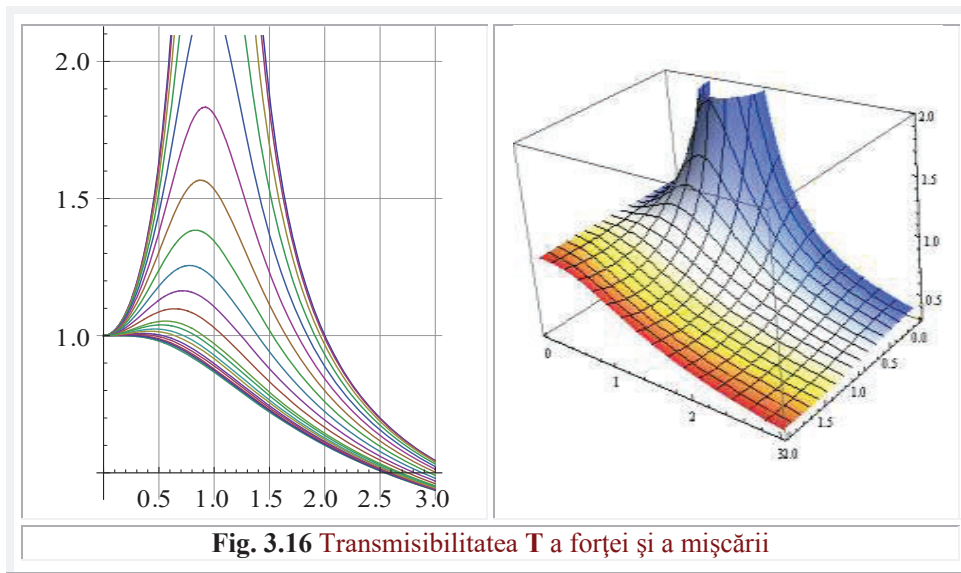
a amortizării, **riguros exactă** în tot domeniul posibil al fracțiunii din amortizarea critică din domeniul 0 ... 1.

d. Punctele **staționare** $S_{1,2}$ se localizează și ele foarte ușor, fiind determinate de $\theta_{P_1} = \alpha = 2\arcsin\zeta$ și, respectiv, $\theta_{P_2} = \pi - \alpha$ și situate pe CR la intersecția acestuia cu axa absciselor x.

e. Punctul **RV(V)** de **rezonanță a vitezei** se localizează pe **CR** la intersecția CR cu dreapta dusă din PO prin $A_1(1,0)$ originea cercului unitate orientat (CT), adică prin punctul (1,0).

f. Alegând o direcție orizontal, prin O, ca **axă reală** $Re(x)$ și una verticală ca **axă imaginară** $Im(x)$, expresiile componentelor reale și imaginare ale complianței (deplasării x) se simplifică, deoarece A_{1M} este situat permanent pe axa $Im(x)$ și direcția vectorului A_1 este invariant unghiul θ (variabila excentrică din (FSM)). Astfel, aceste componente sunt:

$$(3.108) \quad \begin{cases} Re(x) = A_1 \cos\theta = A_{1M} \sin\theta \cdot \cos\theta = \frac{A_{1M}}{2} \sin 2\theta \\ Im(x) = A_1 \sin\theta = A_{1M} \sin^2\theta \end{cases}$$



Metoda, anterior prezentată, poate fi extinsă la toate tipurile de vibrații liniare și chiar la cele neliniare, așa cum se va prezenta în capitolul de aplicații tehnice ale **funcțiilor SM circulare excentrice**. Se poate observa că sensul de parcurgere al cercului de răspuns **CR** este levogin, invers sensului clasic de parcurgere a curbilor polare de acest gen.

În **figura 3.12** sunt reprezentate în 3D cercurile de răspuns, corespunzătoare diverselor valori ale amortizării sistemului oscilant amortizat excitat de o forță cu variație sinusoidală.

În **figura 3.16** este prezentată transmisibilitatea forței și a mișcării sistemului cu amortizare vâscoasă dată de relația

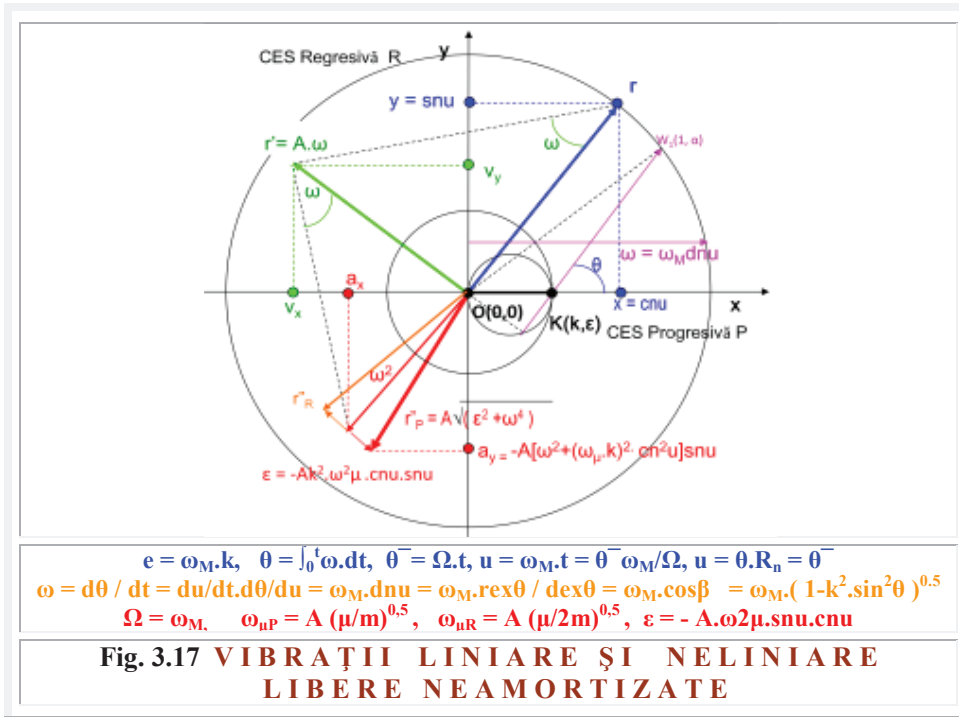
$$(3.109) \quad T = \frac{\sqrt{1-\chi^2}}{\sqrt{1+\chi^4-2\chi^2(1-2\zeta^2)}} = \frac{\sqrt{1-\chi^2}}{\sqrt{1+s^2-2s\cos\alpha_1}} = \frac{\sqrt{1-\chi^2}}{\text{Re}\{\alpha_1, S(s=\chi^2, \varepsilon=0)\}} \cdot$$

Transmisibilitatea forței se referă la forța F_T transmisă suportului, care este

$$(3.110) \quad F_T = c\dot{x} + kx \rightarrow |F_T| = \sqrt{c^2\dot{x}^2 + k^2x^2} \rightarrow \frac{F_T}{F_e} = T \cdot \sin(\omega t - \psi),$$

în care

$$(3.111) \quad \psi = \arctan \frac{2\zeta\frac{\omega}{\omega_n}}{1 - (\frac{\omega}{\omega_n})^2(1-4\zeta^2)}.$$



Motto: ”Este suficient să arăți, că un lucru oarecare este imposibil, că îndată se va găsi matematicianul care-l va face posibil ” W. W. Sawager

Partea I-a

FUNCȚII SUPERMATEMATICE CIRCULARE EXCENTRICE

Capitolul 4

**FUNCȚII SUPERMATEMATICE CIRCULARE EXCENTRICE
(FSM-CE) DE VARIABILĂ EXCENTRICĂ**

Funcțiile supermatematice circulare excentrice (FSM-CE), denumite mai scurt și **funcții circulare excentrice (FCE)**, pot fi de **variabilă motoare excentrică θ** , unde variabilele centrice **$\alpha_1(\theta)$** și **$\alpha_2(\theta)$** sunt, la rândul lor, funcții de **variabila motoare excentrică θ** și de **variabilă motoare centrică α** unde variabila excentrică **$\theta_1(\alpha)$** și **$\theta_2(\alpha)$** sunt funcții de variabilă motoare centrică **α** .

Dintre **FCE**, o parte, cele care au echivalente în centric (**FCC**), ca **$cex \leftrightarrow \cos$** , **$sex \leftrightarrow \sin$** , **$tex \leftrightarrow \tan$** , **$texv \leftrightarrow \text{tav}$** , **$ctex \leftrightarrow \text{ctan}$** ș.a. sunt **dependente** de poziția originii **O(0,0)**, a unui reper (cartezian drept și/sau polar). **FCE** noi, ca **aex** , **bex** , **rex** , **dex** ș.m.a. sunt independente de poziția aleasă a originii **O** a reperului (**Fig. 4.1,a**).

Din această cauză, **numai** aceste **FCE** sunt **aceleași** cu funcțiile **SM** circulare elevate (**FSM-CEL**) și cu funcțiile **SM** circulare exotice (**FSM-CEx**). Ca urmare, funcțiile **aex** , **bex** , **rex** , **dex** vor fi definite o singură dată, doar în acest capitol, capitolul de **FCE**.

**4.1 DEFINIREA FUNCȚIILOR SM CIRCULARE /
TRIGONOMETRICE EXCENTRICE DE VARIABILĂ EXCENTRICĂ θ**

Fie **C** cercul unitate, cu centrul în originea sistemului de coordonate **xOy** și **$W(\alpha)$** și **$W_1(\theta)$** două puncte aparținând cercului unitate **CU** (**Fig. 4.1,b**).

Fie **S** un punct **excentric**, denumit **excentru**, de coordonate

(4.1) **$S = (s_x, s_y)$** , în reperul cartezian drept

(4.2) **$S = (s, \varepsilon)$** , în reperul **polar**, astfel că

(4.3) **$S = (s_x = s \cdot \cos \varepsilon, s_y = s \cdot \sin \varepsilon)$** și o deplasare rigidă de translație a planului cu punctul **(s_x, s_y)** astfel încât segmentul **SW'_1** - în care **W'_1** este imaginea lui **W_1** după translație – să intersecteze cercul **C** în punctul **$W(\alpha)$** (**Fig.4.1,b**).

În acest fel, coordonatele punctului W pot fi exprimate atât ca funcții de unghiul α la centrul $O(0,0)$ cât și ca funcții de unghiul θ la excentrul S . În coordonate polare, acestea sunt:

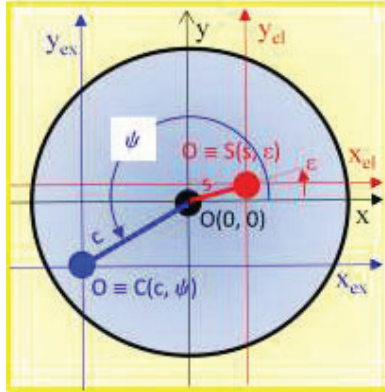


Fig. 4.1,a Pozițiile relative ale originilor $O(0, 0)$ ale axelor de coordonate pentru diferite tipuri de funcții supermatematice (FSM): **Exentrice** (O), **Elevate** ($O \equiv S$) și **Extotice** ($O \equiv C$)

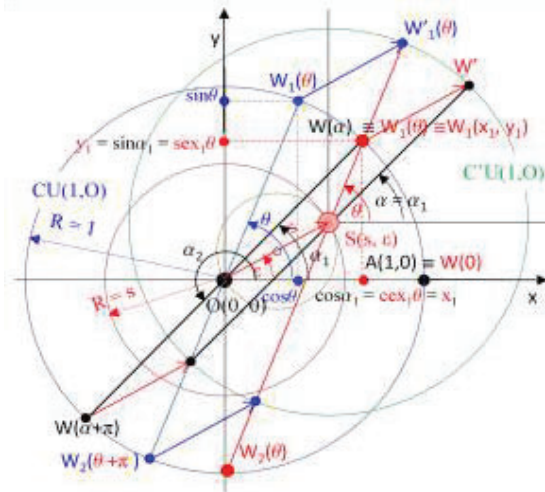


Fig. 4.1,b Cercul unitate centric (CU) și cercul unitate excentric (C'U) traslat cu vectorul $s \cdot \text{rad } \epsilon$

- (4.4) $W = (R, \alpha) = (r, \theta)$, iar în cele carteziene, pentru $R = 1$:
 (4.5) $W = (\cos \alpha, \sin \alpha) = (s_x + r \cdot \cos \theta, s_y + r \cdot \sin \theta)$.

4. FUNCȚII SUPERMATEMATICE CIRCULARE EXCENTRICE 131

Coordonatele punctelor **W**, de pe cercul **CU**, vor fi denumite, în continuare, **centrice**, dacă se exprimă în funcție de centrul cercului, adică de coordonatele polare (R, α) și / sau cele carteziane $(x = R \cos \alpha, y = R \sin \alpha)$.

Coordonatele punctelor **W**, de pe cercul unitate **CU**, care se exprimă în funcție de polul sau excentrul **S = (s, ε)** vor fi denumite **coordonate excentrice**. Ele sunt:

$$(4.6) \quad r = -s \cos(\theta - \varepsilon) + \sqrt{1 - s^2 \sin^2(\theta - \varepsilon)}, \text{ denumită } \mathbf{rază\ excentrică}$$

$$(4.7) \quad x = s_x + r \cdot \cos \theta, \text{ abscisa și}$$

$$(4.8) \quad y = s_y + r \cdot \sin \theta, \text{ ordonata punctului } \mathbf{W}, \text{ în reperul cartezian drept } \mathbf{xOy}.$$

Unghiul polar **excentric** este

$$(4.9) \quad \theta(\alpha) = \alpha + \beta(\alpha) = \alpha + \arcsin \frac{e \cdot \sin(\alpha - \varepsilon)}{R^2 \sqrt{1 + s^2 - 2s \cdot \cos(\alpha - \varepsilon)}} = \\ = \alpha + \arcsin \frac{s \cdot \sin(\alpha - \varepsilon)}{\sqrt{1 + s^2 - 2s \cdot \cos(\alpha - \varepsilon)}} \text{ sau}$$

$$\theta(\alpha) = \alpha + \arctan \frac{s \cdot \sin(\theta - \varepsilon)}{1 - s \cos(\alpha - \varepsilon)} \text{ și unghiul polar } \mathbf{centric} \text{ este}$$

$$(4.10) \quad \alpha(\theta) = \theta - \beta(\theta) = \theta - \arcsin \left[\frac{e}{R} \sin(\theta - \varepsilon) \right] = \\ = \theta - \arcsin [s \cdot \sin(\theta - \varepsilon)].$$

Aceste două unghiuri vor fi alese drept variabile esențiale ale **FSM** în general și ale **FCE** în special. Prezentarea începe cu **FSM-CE** de **variabilă excentrică θ**.

Partea I.1 FUNCȚII SUPERMATEMATICE CIRCULARE EXCENTRICE DE VARIABILĂ EXCENTRICĂ

Relațiile anterioare sunt imediate și rezultă aplicând teorema sinus în triunghiul **WOS**. Prin analogie cu **FCC / FTC (Euler)** – se definesc următoarele funcții circulare / trigonometrice – **excentrice (FCE / FTE)** :

$$(4.11) \quad r = rex(\theta; s; \varepsilon), \quad \mathbf{RADIAL\ EXCENTRIC} \text{ de } \theta, s \text{ și } \varepsilon$$

$$(4.12) \quad x = cex(\theta; s; \varepsilon), \quad \mathbf{COSINUS\ EXCENTRIC} \text{ de } \theta, s \text{ și } \varepsilon$$

$$(4.13) \quad y = sex(\theta; s; \varepsilon), \quad \mathbf{SINUS\ EXCENTRIC} \text{ de } \theta, s \text{ și } \varepsilon$$

$$(4.14) \quad \vec{d} = \overline{d\rho/d\theta} = \overline{dex}(\theta; s; \varepsilon) = dex\theta \cdot der\theta - \mathbf{DERIVATĂ\ VECTORIALĂ\ EXCENTRICĂ} \text{ de } \theta, s \text{ și } \varepsilon \text{ și de modul:}$$

$$(4.15) \quad d = d\alpha/d\theta = dex(\theta; s; \varepsilon), \mathbf{DERIVATĂ\ EXCENTRICĂ} \text{ de } \theta, s \text{ și } \varepsilon.$$

Pentru simplificarea scrierii lor, în condițiile precizării excentrului **S = (s, ε)** = $S(s_x = s \cdot \cos \varepsilon, s_y = s \cdot \sin \varepsilon)$ funcțiile anterior prezentate (**FCE**) se pot exprima și sub forma prescurtată:

$$(4.11') \quad r = rex \theta = rex(\theta, S) \quad - \mathbf{R\ E\ X} \text{ de } \theta -$$

$$(4.12') \quad x = cex \theta = cex(\theta, S) \quad - \mathbf{C\ E\ X} \text{ de } \theta$$

$$(4.13') \quad y = sex \theta = sex(\theta, S) \quad - \mathbf{S\ E\ X} \text{ de } \theta -$$

$$(4.14') \quad \vec{d} = \overline{dex\theta} = \overline{dex}(\theta, S) = dex \theta \cdot der \theta \quad - \mathbf{D\ E\ X} \text{ vector de } \theta$$

$$(4.15') \quad d = dex \theta = dex(\theta, S), \quad - \mathbf{D\ E\ X} \text{ de } \theta.$$

Aceste **FCE / FTE** sunt denumite **elementare** deoarece stau la baza definirii altor **FCE** prin combinarea lor. Astfel:

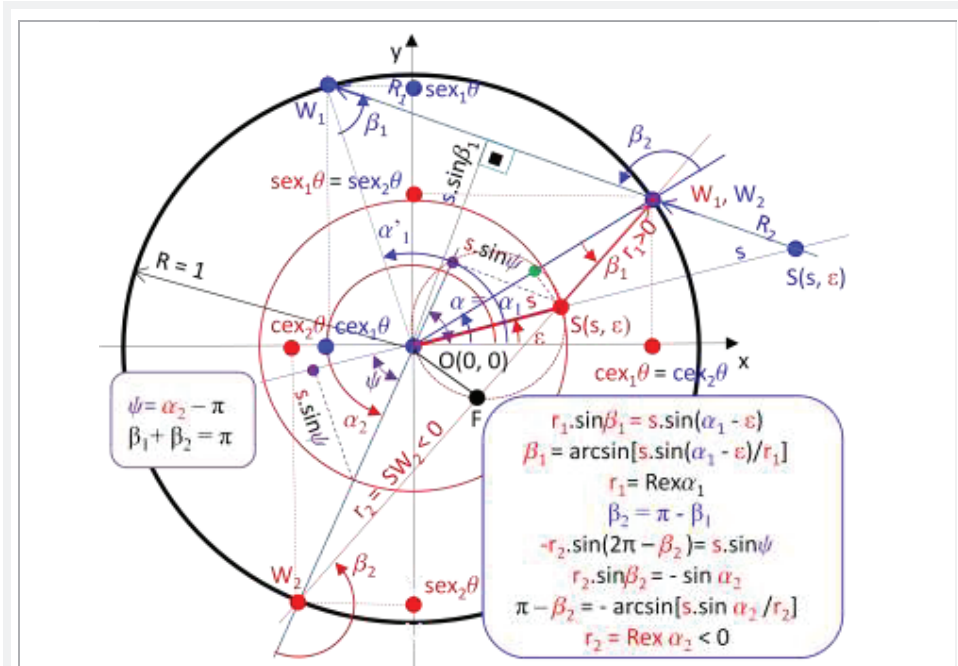


Fig. 4.2,a Elementele geometrice de definire ale FCE prin coordonatele punctelor $W_{1,2}$ de intersecție ale cercului unitate CU cu dreapta $d \equiv L$ în care $S \equiv E$

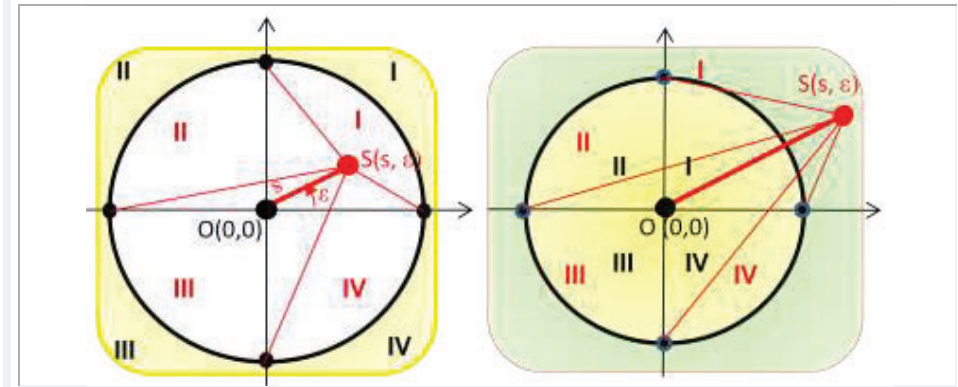


Fig. 4.2, b Semnele FCE în cele IV cadrane centrice și excentrice pentru $s < 1 \leftarrow$ stânga și $s > 1 \rightarrow$ dreapta

(4.16) $\text{tex}\theta = \frac{y}{x}, (\forall x \neq 0) = \frac{\text{sex}\theta}{\text{cex}\theta}$ - TEX de θ - este denumită

TANGENTĂ EXCETRICĂ de θ și $S(s, \varepsilon)$ și tangenta excentrică Voinoiu este

(4.17) $\text{texv}\theta = x / |y| = \text{sex}\theta / \text{Abs}[\text{cex}\theta]$ -TEX VOINOIU - de θ și $S(s, \varepsilon)$

4. FUNCȚII SUPERMATEMATICE CIRCULARE EXCENTRICE 133

(4.18) $\text{ctex } \theta = x / y, (y \neq 0) = \text{cex } \theta / \text{sex } \theta$ - **C T E X** de θ - este denumită **COTANGENTĂ EXCENTRICĂ** de θ și **S(s, ε)**, și cotangenta excentrică **Voinoiu**

(4.19) $\text{ctexv } \theta = y / |x| = \text{cex } \theta / \text{Abs}[\text{sex } \theta]$

(4.20) $\text{scex } \theta = 1 / x = 1 / \text{cex } \theta$ - **S E C E X** de θ - este denumită **SECANTĂ EXCENTRICĂ** de θ și **S(s, ε)**,

(4.21) $\text{csex} \theta = \frac{1}{y}, (y \neq 0) = \frac{1}{\text{sex} \theta}$ - **C O S E X** de θ - este denumită **COSECANTĂ EXCENTRICĂ** de θ și **S(s, ε)**.

În relația (4.10), $R=1$ și s este excentricitatea numerică. Dacă e ar fi excentricitatea naturală, atunci $s = e / R$ ar fi excentricitatea numerică. Păstrarea lui $R = 1$ în relație s-a făcut în scopul evidențierii formei expresiei, asemănătoare cu a relației (4.9), astfel mai ușor de reținut. Definițiile, astfel date, **FCE** sunt echivalente cu cele date anterior de autor și publicate în [1], prin intersecția cercului trigonometric cu o **semidreaptă** cu polul în excentrul (polul) $S \equiv E$ și care face cu direcția axei x unghiul de θ . Astfel definite, **FCE** sunt uniforme.

Pentru a aduce de acord trigonometria, care operează **numai** cu o **semidreaptă**, cea pozitivă $d^+ \equiv L^+$, cu **geometria analitică**, care operează cu **drepte**, $d = d^+ \cup d^-$, în lucrarea [2], autorul a revenit asupra definiției **FCE**, realizând definirea lor prin intersecția cercului trigonometric cu o **dreaptă**, adică, considerând și **extensiile** (denumire dată de math. **Anton Hadnagy**) acestor **FCE**, la sugestia Prof. Dr. **Horst Klepp**. Totodată, **FSM-CE** rex a fost normată, la sugestia Prof. Dr. Ing. **Dan Perju**. În acest fel, **FCE** sunt **multiforme** pentru oricare valoare a excentricității numerice s .

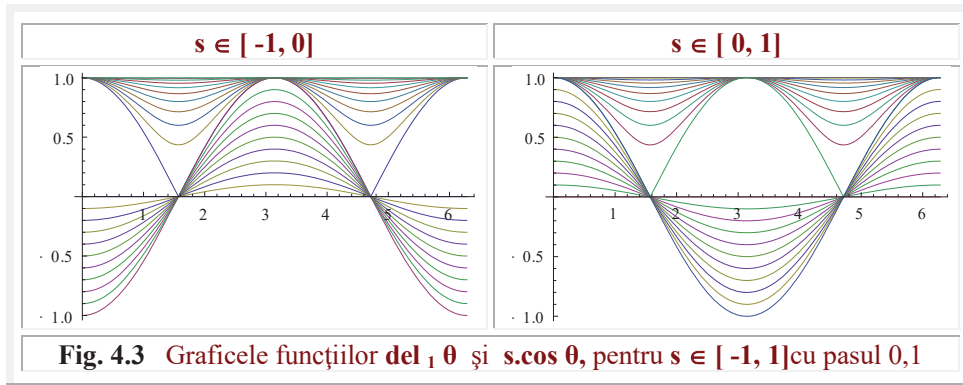
Pentru $s < 1$, prima determinare, denumită **principală** și notată cu indicele **1**, apare ca intersecție a cercului cu semidreapta **pozitivă** d^+ ; **FCE** fiind introduse prin coordonatele punctului $W_1 = CU \cap d^+$, în care **CU** este cercul trigonometric sau alt cerc cu centrul în originea sistemului de coordonate xOy . Astfel, exprimarea coordonatelor lui W_1 prin unghiul la centru α conduce la obținerea **FCE devariabilă centrică** iar exprimarea acelorași coordonate prin unghiul θ la excentrul S conduce la obținerea **primei determinări – principale**, de indice **1** – a **FCE de varioabilă excentrică**.

Al doilea punct W_2 , rezultat din intersecția cercului **CU** cu semidreapta d^- , pentru $s \leq 1$ și, respectiv, cu semidreapta d^+ pentru $s > 1$, prin coordonatele sale, determină o a doua familie de funcții, notate cu indicele **2** și denumite **determinarea secundară** a **FCE**.

În primul caz, adică pentru $s < 1$, determinarea secundară face parte din extensia **FCE**, deoarece W_2 , în acest caz, rezultă din intersecția lui **C** cu semidreapta negativă d^- . Pentru $s > 1$, $W_{3,4} = CU \cap d^-$, aceste două puncte determinând extensiile **FTE**. În cazul acesta, având două determinări: una principală (a extensiei) notată cu indicele **3** și una secundară - a extensiei – notată cu indicele **4**. Determinările principale sunt date, prin definiție, de punctele $W_{1,3}$ care se rotesc în același sens pe cerc ca și sensul de rotație a dreptei d în jurul excentrului S , iar cele secundare sunt date de punctele $W_{2,4}$, care se rotesc în sens invers (dextrogin sau dextrorum).

În **figura 4.2,a** intersecția este prezentată pentru cercul unitate **CU(O,1)**, deci prin reducerea desenului la scara $1/R$, R fiind raza cercului oarecare. Semidreapta d^-

fiind defazată cu π față de semidreapta d^+ și extensiile **FCE** vor fi defazate cu π față de funcțiile circulare / trigonometrice excentrice – **FCE** -. În acest fel, confuziile posibile dintre funcții și extensiile lor pot fi lesne evitate și scrierea poate fi simplificată, păstrându-se doar doi indici: - indicele **1** pentru determinarea principală, considerată ca fiind dată de punctele de intersecție de **indici impari** (W_1 pentru $s < 1$ și W_1 și W_3 pentru $s > 1$) și de indicele **2**, pentru determinarea secundară, considerată ca fiind dată de punctul de **indici numere pare**: W_2 (Fig. 4.2.a) pentru $s < 1$ și de punctele de intersecție W_2 și W_4 pentru $s > 1$, (Fig.4.2.a).



Așa cum va rezulta în continuare, toate expresiile **FCE** au **forme invariante** și conțin unul și **același radical** pe care îl notăm cu $\Delta(\theta, S)$ și îl vom numi **funcția delta**, denumită, în literatura funcțiilor matematice speciale, ca delta amplitudine / amplitudinus, notată și astfel:

$$(4.22) \quad \text{del}_{1,2}(\theta, S) = \pm \sqrt{1 - s^2 \sin^2(\theta - \varepsilon)} = \Delta_{1,2}(\theta, S)$$

Atunci, ori de câte ori, în expresiile analitice ale unei **FCE** oarecare, se ia semnul (+) **plus**, în fața radicalului, se va obține prima determinare – **principală** - de indice **1**, iar pentru semnul (-) **minus** se va obține cea de a doua determinare – **secundară** – de indice **2**. Același indice îl va purta și funcția $\text{del}(\theta, S)$: **1**- pentru determinarea principală ($\text{del}_1 \theta$) și **2** – pentru determinarea secundară ($\text{del}_2 \theta$). Scrierea cu doi indici ($\text{del}_{1,2} \theta$) are rolul de a concentra scrierea ambelor determinări.

Observația cu indicii este valabilă pentru toate **FSM**.

Vom da, în continuare, semnificațiile geometrice și tehnice ale funcției $\text{del}\theta$.

Fie elipsa rotită cu $+\pi/2$, astfel încât axa mare a elipsei (a) să fie dispusă pe axa y , de ecuații parametrice

$$\mathbf{M} \quad \begin{cases} x = b \cdot \cos \alpha \\ y = a \cdot \sin \alpha \end{cases} \text{ cu derivatele } \mathbf{M}' \quad \begin{cases} x' = \frac{dx}{d\alpha} = -b \cdot \sin \alpha \\ y' = \frac{dy}{d\alpha} = a \cdot \cos \alpha \end{cases}$$

atunci elementul de arc ds al acestei elipse este

$$ds = \sqrt{x'^2 + y'^2} d\alpha = \sqrt{b^2 \sin^2 \alpha + a^2 \cos^2 \alpha} d\alpha = R \sqrt{1 - s^2 \sin^2 \alpha} d\alpha, \text{ în care } R=a \text{ și } s^2 = (a^2 - b^2)/a^2 = 1 - b^2/a^2.$$

4. FUNCȚII SUPERMATEMATICE CIRCULARE EXCENTRICE 135

În consecință, relația (4.22) exprimă, geometric, pentru $R = a$ și $\varepsilon = 0$, derivata lungimii elementului de arc în raport cu variabila $\theta = \alpha$, adică
 (4.22') $\text{del}_{1,2}\theta = \pm ds/d\theta$ și, anticipând, $\text{del}_{1,2}\theta = \pm \cos\beta \frac{rex_{1,2}\theta}{dex_{1,2}\theta} = \pm \cos(\text{bex}_{1,2}\theta)$.

În cazul funcțiilor eliptice **Jacobi** (**cnu**, **snu**, **dnu**) și al vibrațiilor neliniare, variabila $u = \Omega_M t$ este dată de integrala eliptică incompletă de prima speță

$$(4.22'') \quad u = \int_0^\theta \frac{d\theta}{\sqrt{1-k^2 \sin^2 \theta}} = \Omega_M t$$

și reprezintă tocmai lungimea arcului elipsei începând din punctul $B(1,0)$ și până în punctul curent de unghi $\theta = \Omega_M t$, de pe elipsa cu $A(0,a)$, în care $a = 1/\sqrt{1-k^2}$ este pe axa y și în care Ω este pulsația proprie a sistemului neliniar, adică

$$(4.22''') \quad \sqrt{1-s^2 \sin^2 \alpha} = \frac{d\theta}{du} = \frac{d\theta}{\Omega_M dt} = \frac{\omega}{\Omega_M}, \text{ în care } \omega \text{ este viteza unghiulară}$$

variabilă a punctului curent $M[r(\theta), \theta]$ de pe elipsă, când raza polară r din originea $O(0,0)$ a punctului curent se rotește cu viteza unghiulară (pulsația proprie a sistemului) constanta $\Omega = \frac{\pi \Omega_M}{2 K(k)}$ și în punctul $A(0, a)$ trece cu viteza unghiulară maximă Ω_M , în

$$\text{care, } K(k) = F(\pi/2, k) = \int_0^{\pi/2} \frac{d\varphi}{\sqrt{1-k^2 \sin^2 \varphi}} = \frac{\pi}{2} \left[1 + \sum_{n=1}^{\infty} \left(\frac{2n!!}{2^n n!} \right)^2 k^{2n} \right]$$

este integrala eliptică completă de prima speță.

Radicalul (4.22''') exprimă, totodată, raza polară din centrul O al unui punct curent al elipsei, anterior considerate, cu axa mare $a = 1/\sqrt{1-k^2}$ pe direcția y și $b = 1$, pe direcția x .

4.2 DEFINIREA FSM-CE NOI, INDEPENDENTE DE POZIȚIA ORIGINII SISTEMULUI DE REFERINȚĂ

Funcția $\text{del}_{1,2}\theta$ are, ca interpretare geometrică, distanța de la punctul F , piciorul perpendicularei, coborâte din O pe dreapta de direcție variabilă d , la punctele $W_{1,2}$ (**Fig.4.2, a**).

Segmentul orientat FW_1 , fiind orientat în sensul (+) al dreptei d și în sensul pozitiv al semidreptei d^+ , este pozitiv și constituie prima determinare a funcției, iar segmentul FW_2 fiind orientat invers pe semidreapta d^+ , dar în sensul semidreptei d^- , va fi negativ și reprezintă a doua determinare, secundară, a funcției, deci:

$$(4.23) \quad FW_1 = \text{del}_1 \theta > 0 \quad \text{și} \quad FW_2 = \text{del}_2 \theta < 0$$

Graficele funcțiilor $\text{del}_{1,2}\theta$ sunt prezentate în **figurile 4.3**.

4.2.1 FSM-CE radial excentric de θ : $rex_{1,2}\theta$

Este una dintre cele mai importante **FSM-CE noi** deoarece, așa cum a observat Prof. Dr. **Octavian Em. Gheorghiu**, în tinerețe asistent al Prof. Dr. **Math. Grigore C. Moisil** și șef al Catedrei de Matematica a Universității Politehnica din Timișoara, după decesul Prof. Dr. **Math. Valeriu Alaci**, reprezintă distanța în plan, exprimată în

coordonate polare, dintre două puncte $S(s, \varepsilon)$ sau $E(e, \varepsilon)$ și $W_{1,2}(R = 1, \alpha) \subset X_1(O, R = 1)$ sau $M_{1,2} \subset X(O, R)$ și este o adevărată **FSM-CE rege**.

Acesta este motivul pentru care, cu ajutorul celor două determinări ale funcțiilor $rex_{1,2}\theta$, pot fi exprimate ecuațiile **tuturor curbelor plane**, cunoscute și a multor curbe plane noi.

Razele vectoriale –polare– ale punctelor de intersecție $W_{1,2}$, sunt notate cu $r_{1,2} = SW_{1,2}$, când sunt exprimate ca funcții de variabila excentrică θ și cu $R_{1,2}$, dacă sunt exprimate ca funcții de variabila centrică α . Ele reprezintă cele două determinări ale funcției **radial excentric** în funcție de unghiul θ sau α pe care d^+ îl face cu axa x .

Cu notațiile din figurile 4.2,a rezultă:

$$(4.24) \quad SW_{1,2} = EF + FW_{1,2} = EF + del_{1,2}\theta \quad \text{și}$$

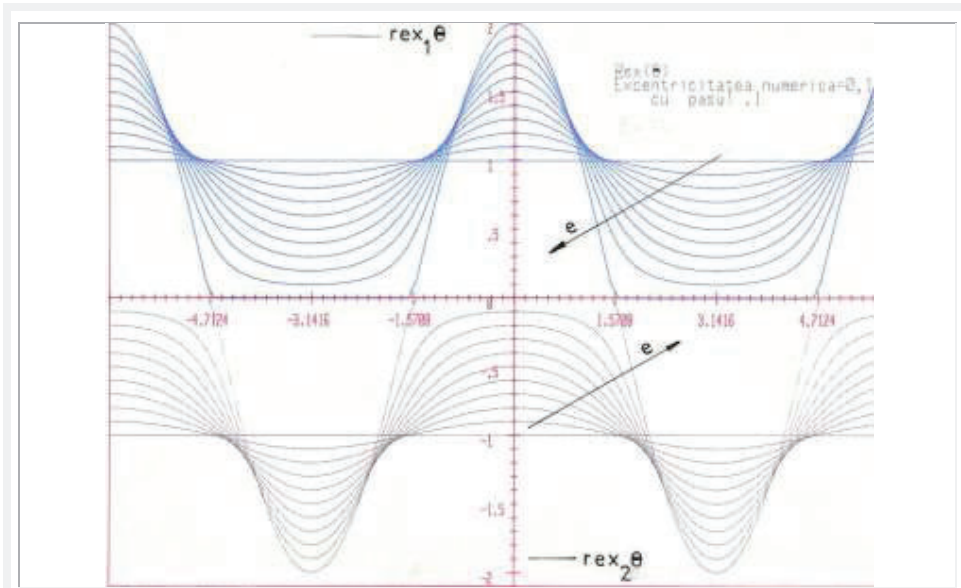


Fig.4.4,a Graficele FSM-CE $rex_1\theta$ și $rex_2\theta$ pentru $s \in [0,+1]$ cu pasul 0,1

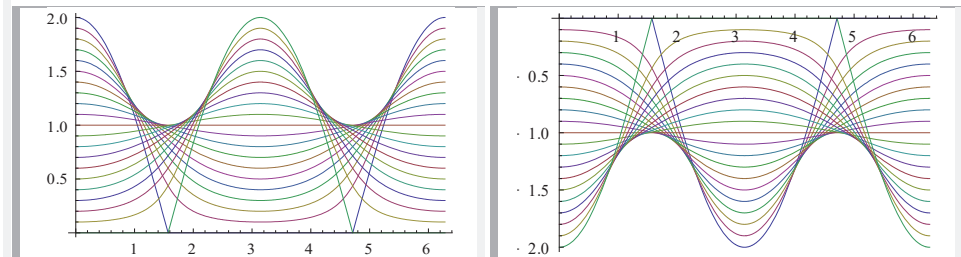


Fig. 4.4,b Graficele funcțiilor $rex_1\theta$ pentru $s \in [-1, 1]$ cu pasul 0,1

Fig. 4.4 c Graficele funcțiilor $rex_2\theta$, pentru $s \in [-1, 1]$ cu pasul 0,1

4. FUNCȚII SUPERMATEMATICE CIRCULARE EXCENTRICE 137

(4.25) $EF = -s \cdot \cos(\theta - \varepsilon)$ astfel că

$$(4.26) \quad SW_{1,2} = rex_{1,2}(\theta, S) = -s \cdot \cos(\theta - \varepsilon) \pm \sqrt{1 - s^2 \sin^2(\theta - \varepsilon)}$$

și distanțele de la excentrul $E(e, \varepsilon)$ la punctele $M_{1,2}$, de pe cercul de raza oarecare R , vor fi

$$(4.27) \quad EM_{1,2} = R \cdot rex_{1,2}(\theta, S).$$

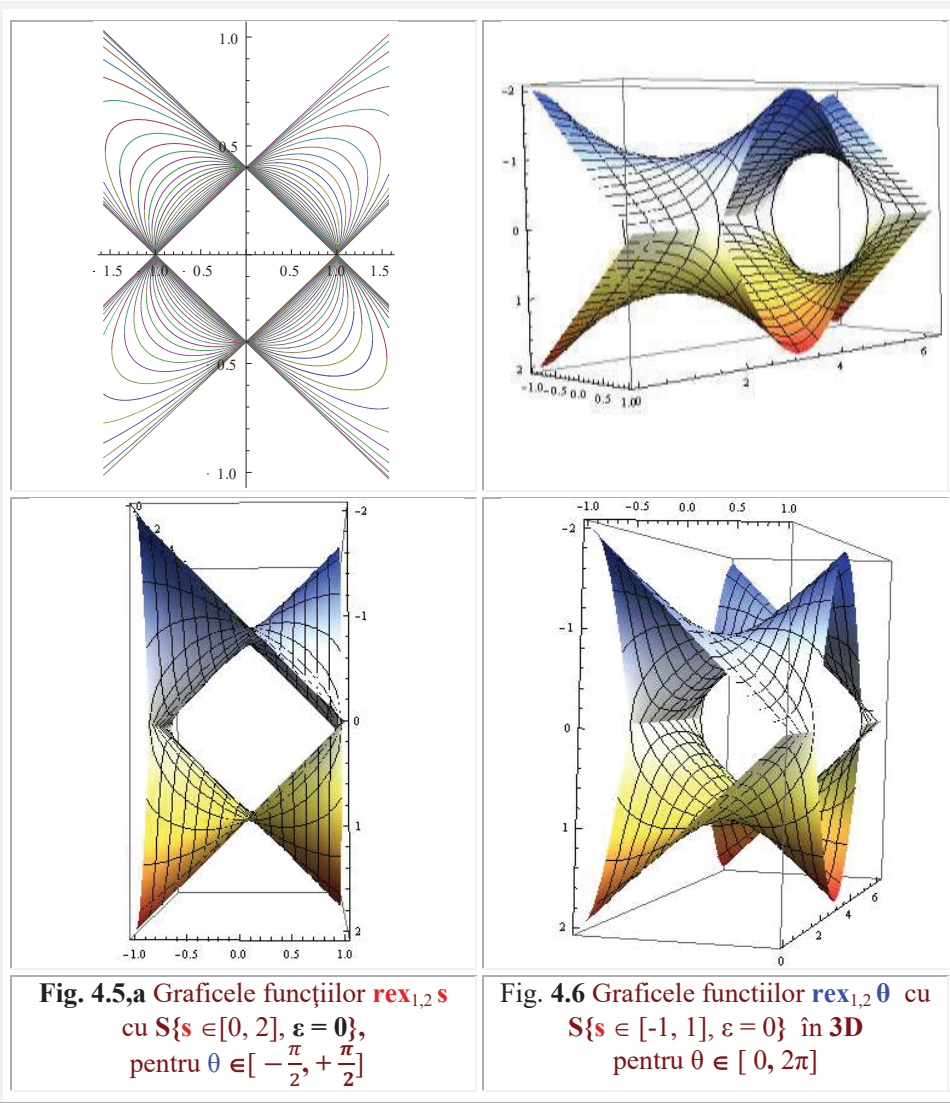


Fig. 4.5,a Graficele funcțiilor $rex_{1,2} s$ cu $S\{s \in [0, 2], \varepsilon = 0\}$, pentru $\theta \in [-\frac{\pi}{2}, +\frac{\pi}{2}]$

Fig. 4.6 Graficele funcțiilor $rex_{1,2} \theta$ cu $S\{s \in [-1, 1], \varepsilon = 0\}$ în 3D pentru $\theta \in [0, 2\pi]$

Graficele funcțiilor $rex_{1,2}\theta$ sunt reprezentate în **figura 4.4,a, 4.4,b și 4.4,c** în **2D**, ca funcții de variabila θ la excentru $S \equiv E$, pentru excentricitatea liniară numerică $s \equiv e \in [0, 1]$ și în **figura 4.6** în **3D**.

Pentru θ un parametru **constant**, cuprins în domeniul $\theta \in [0, \pi]$ cu pasul $\pi/6$ și excentricitatea s considerată ca **variabilă**, graficele sunt prezentate în figurile **4.5,a, 4.5,b și 4.5,c**. În aceste grafice, se remarcă forme ca cerc, pătrat, drepte înclinate cu $\pm 45^\circ$, paralele cu cele două bisectoare ale cadranelor centrice, elipse și hiperbole. Culoarea **albastră** corespunde primei determinări (1) și cea **verde** celei de a doua determinări (2) ale funcțiilor și punctele de graniță/aderență se situează pe hiperbole echilaterale (**Fig. 4.5,c**).

Din relațiile de definiție (4.22) rezultă că funcția $del_1\theta$ este strict pozitivă, în timp ce funcția $del_2\theta$ este strict negativă. Deoarece, toate **FCE** conțin un termen cu această funcție, domeniul de existență al acesteia este și domeniul de existență al tuturor **FCE**.

Pentru o excentricitate liniară numerică subunitară $s \in [-1, +1]$ sau pentru o excentricitatea liniară reală $e \in [-R, +R]$, radicalul există, astfel că **FCE** există pe toată axa reală, adică, pentru oricare $\theta \in (-\infty, +\infty)$.

Pentru o excentricitate numerică supraunitară $s^2 > 1$, sau pentru excentricități reale $e^2 > R^2$, **FCE** există în intervalele în care expresia de sub radical este pozitivă, ceea ce, geometric, revine la a considera intervalele sau unghiurile θ pentru care dreapta excentrică **turnanta** d , în jurul lui S sau a lui E , intersectează cercul unitate $C(O,1)$ și respectiv, cercul oarecare $C(O,R)$.



Fig. 4.5,b FSM – CE radial excentric
rex s de excentricitate variabila $s \equiv e$
pentru $\theta = \pi/2$, $s \in [-1, 0]$ și $s \in [0, 1]$

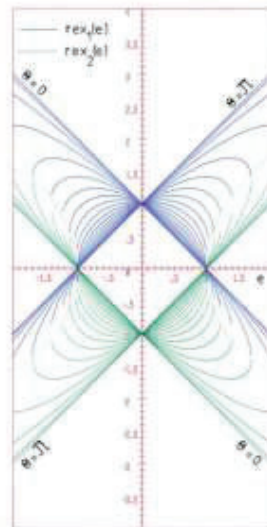
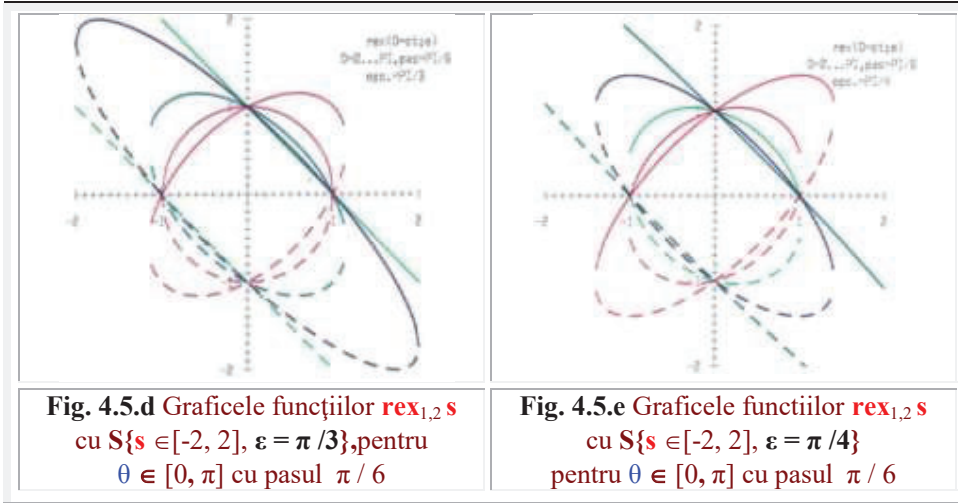


Fig. 4.5,c FSM – CE radial excentric
rex s de excentricitate $s \equiv e$ variabilă
pentru $\theta = 0$ și $\theta = \pi$

4. FUNCȚII SUPERMATEMATICE CIRCULARE EXCENTRICE 139



Notând cu θ_e intervalul de existență, din condițiile amintite, rezultă,

(4.28) $\theta_e = \arcsin(\mathbf{R} / \mathbf{e})$, și este semiunghiul format de celor două tangente din **S** la cerul unitate **CU(O,1)**. Notand cu θ_i inceputul intervalului, pentru prima perioadă, rezultă

(4.29) $\theta_i = \pi + \varepsilon - \theta_e$, iar $\alpha_{1i} = \alpha_{2i} = \pi/2 + \varepsilon - \theta_e$ și finalul intervalului θ_f va fi

(4.30) $\theta_f = \pi + \varepsilon + \theta_e$, iar $\alpha_{1f} = 3\pi/2 + \varepsilon + \theta_e$ și $\alpha_{2f} = -\pi/2 + \varepsilon + \theta_e < 0$.

Pentru $\theta = \theta_i$, dreapta $L \equiv d$ (Fig. 4.2,a) intersectează cercul **CU(O, 1)** în punctele de tangență (dedublate) în care $W_{i1} \equiv W_{i2}$ și $W_{f1} \equiv W_{f2}$; **L** fiind tangenta la cercul unitate.

În intervalul $\theta \in (\theta_i, \theta_f)$ dreapta **d** nu intersectează cercul unitate **CU(O,1)**, astfel că, în acest interval, **FCE nu există**.

Notind cu I^+ intervalul în care $L^+ \equiv d^+$ intersectează pe **CU** și cu I^- intervalul în care $L^- \equiv d^-$ intersectează pe **CU**, rezultă intervalele de existență ale **FCE**:

(4.31) $\theta \in [\theta_i + 2k\pi, \theta_f + 2k\pi] = I^+$, intervalul de existență al **FCE** (uniforme) și

(4.32) $\theta \in [\theta_i + \pi + 2k\pi, \theta_f + \pi + 2k\pi] = I^-$, intervalul de existență al **extensiilor FCE**.

Dând lui ε o creștere continuă, graficul funcției rex_θ va primi o deplasare continuă în direcția pozitivă a axei θ . O animație de acest gen se poate obține folosind programul **MAPLE** în care se scriu următoarele comenzi pentru rex_θ de excentricitate numerică $s = 0,6$ și $\varepsilon \equiv i$

STUDENT > with(plots,animate,display):

a:=plots[animate](-0.6*cos(x-i) + sqrt(1-(0.6*sin(x-i))^2), x=0..2*Pi,i=0..6):

b:=plot(-0.6*cos(x) + sqrt(1-(0.6*sin(x))^2), x=0..2*Pi):plots[display]({a,b});

și va rezulta un grafic al funcției rex_θ . Aplicând **click**, întâi pe grafic și apoi pe semnul ►, graficul funcției se va deplasa în sensul amintit (pozitiv) și repetând operația, se va deplasa din nou în același sens.

Animația poate fi repetată ori de câte ori dorim. Pentru o deplasare mai amplă, se va mări intervalul lui \mathbf{i} .

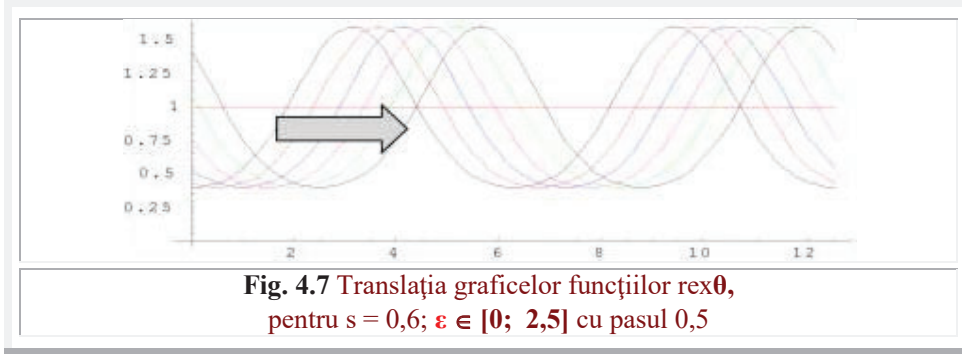


Fig. 4.7 Translația graficelor funcțiilor $\mathbf{rex}_1\theta$, pentru $s = 0,6$; $\varepsilon \in [0; 2,5]$ cu pasul 0,5

Din **figura 4.7** se observă că domeniul de existență al funcției $\mathbf{rex}_1\theta$ este $[1 - s, 1 + s]$, adică, graficul funcției este al unei cicloide care oscilează simetric față de dreapta $y = 1$ (**Fig.4.4,b**) și că funcția există pe toată axa reală dacă $s^2 < 1$, sau $e^2 < R$.

Funcția $\mathbf{rex}_2\theta$ fiind **strict** negativă, va oscila simetric față de dreapta $y = -1$, așa cum se poate observa și în **figura 4.4,c**.

Dacă excentricitatea $s = \text{const.}$, vom denumi **excentricitate complementară**, și se va nota cu $\mathbf{s'}$, expresia:

$$(4.33) \quad \mathbf{s'} = \sqrt{1 - s^2} = \mathbf{rex}_1\left(\frac{\pi}{2} + \varepsilon\right)$$

Produsul celor două determinări ale funcției radial excentric $r_1 = \mathbf{rex}_1\theta$ și $r_2 = \mathbf{rex}_2\theta$, așa cum rezultă din relația (invariantă) (4.26) de definire a acestor **FCE**, este:

$$(4.34) \quad \prod_{1,2} = r_{1,2} \cdot r_{2,1} = -(1 - s^2) = s^2 - 1 = -s'^2$$

Rezultă de aici că, cele două determinări sunt funcții inverse, având **modulul inversiunii \mathbf{k}** ,

$$(4.35) \quad \mathbf{k} = \sqrt{s^2 - 1} = \mathbf{i} \cdot \mathbf{s'}$$
 în care $\mathbf{i} = \sqrt{-1}$ și **puterea** de inversiune \mathbf{k}^2 .

Se deduce, pe baza proprietăților inversiunii, că \mathbf{W}_1 și \mathbf{W}_2 sunt **puncte inverse** sau **reciproce**, în inversiunea de putere de inversiune $\mathbf{k}^2 = \mathbf{E}\mathbf{W}_1.\mathbf{E}\mathbf{W}_2$ și centru de inversiune \mathbf{E} , între coordonatele cărora se stabilesc următoarele dependențe:

$$(4.36) \quad x_2 = \frac{k^2 x_1}{x_1^2 + y_1^2} = k^2 \cdot R \cdot \cos \alpha_1$$

$$(4.37) \quad y_2 = \frac{k^2 y_1}{x_1^2 + y_1^2} = k^2 \cdot R \cdot \sin \alpha_1$$

În relațiile anterioare, s-a considerat (v. **Fig.4.2**) $x_1^2 + y_1^2 = R^2$ deoarece $\mathbf{W}_{1,2} \subset C$ și \mathbf{R} este raza cercului \mathbf{CU} . Totodată: $\frac{x_1}{R} = \cos \alpha_1$ și $\frac{y_1}{R} = \sin \alpha_1$ deoarece și $\mathbf{W}_2 \subset C$. Rezultă că $\frac{x_2}{R} = \cos \alpha_2$ și $\frac{y_2}{R} = \sin \alpha_2$, astfel că relațiile anterioare (4.36) și (4.37) devin:

4. FUNCȚII SUPERMATEMATICE CIRCULARE EXCENTRICE 141

$$(4.38) \quad \begin{cases} \frac{\cos\alpha_2}{\cos\alpha_1} = k^2 = s^2 - 1 \\ \frac{\sin\alpha_2}{\sin\alpha_1} = k^2 = s^2 - 1 \end{cases} \text{ sau } \frac{\cos\alpha_2}{\cos\alpha_1} = \frac{\sin\alpha_2}{\sin\alpha_1} = k^2 = s^2 - 1$$

Din relația (4.35), rezultă că puterea de inversiune k^2 poate fi și puterea $p^2(\mathbf{E})$ lui \mathbf{E} față de cercul $\mathbf{C}\mathbf{U}$, considerând funcțiile ca vectori $\mathbf{E}\mathbf{W}_{1,2} \cdot \text{rad}\theta = \text{rex}_{1,2} \theta \cdot \text{rad}\theta$ și, totodata,:

$$(4.39) \quad \text{rex}_1\theta \cdot \text{rex}_2\theta = \begin{cases} k^2 < 0 \leftrightarrow s < 1 \rightarrow e < R \rightarrow \text{Teorema COARDELOR} \\ k^2 = 0 \leftrightarrow s = 1 \rightarrow e = R \rightarrow \text{Teorema INĂLȚIMII } \text{ș. a} \\ k^2 > 0 \leftrightarrow s > 1 \rightarrow e > R \rightarrow \text{Teorema SECANTELOR} \end{cases}$$

și reprezintă poziția excentrului \mathbf{E} în raport cu cercul $\mathbf{C}(\mathbf{O}, \mathbf{R})$: în interiorul și, respectiv, pe cerc și în exteriorul lui, poziții care vor servi, în continuare, la demonstrarea teoremelor specificate cât și a altora.

Din teorema asupra puterii unui punct (\mathbf{S}), față de un cerc \mathbf{C} , dacă \mathbf{S} este exterior cercului ($s > 1$, Fig.4.2.a) sau interior lui ($s < 1$, Fig.4.2, b) rezultă că produsul celor două determinari este același, oricare ar fi θ . Alegând două valori θ_1 și θ_2 , din domeniul – intervalul – de existență al funcției $\text{rex}\theta$, se obține relația:

$$(4.40) \quad \mathbf{R} \cdot \text{rex}_1\theta_1 \cdot \mathbf{R} \cdot \text{rex}_2\theta_1 = \mathbf{R}^2 \text{rex}_1\theta_2 \cdot \text{rex}_2\theta_2 = p^2(\mathbf{E}) = e^2 - R^2$$

și exprimă puterea excentrului \mathbf{E} , ca pol, în raport cu cercul $\mathbf{C}(\mathbf{O}, \mathbf{R})$ și în raport cu cercul unitate pentru $\mathbf{R} = 1$.

În particular, pentru $s > 1$ sau $e > R$, dacă una dintre valorile lui θ se alege θ_i , sau θ_f , se observă pe figura 4.2.a că $\text{rex}_1\theta_i = \text{rex}_2\theta_i$ astfel că $\Rightarrow \text{rex}_1\theta_i \cdot \text{rex}_2\theta_i = (\mathbf{S}\mathbf{W}_i)^2 = s^2 - 1$. În acest caz, puterea inversiunii este pozitivă și modulul inversiunii k este un număr real, reprezentând lungimea tangentei din \mathbf{S} la cercul unitate ($k = \|\mathbf{E}\mathbf{W}_i\| = \|\mathbf{E}\mathbf{W}_f\|$).

Pentru $s < 1$, alegând pentru una dintre valorile lui θ pe $\theta = \pi/2$, din (4.34) se obține, considerând pentru simplificare $\varepsilon = 0$ și $\mathbf{R} = 1$,

$$(4.41) \quad \text{rex}_{1,2} \frac{\pi}{2} \text{rex}_{2,2} \frac{\pi}{2} = -(1 - s^2) = p^2 < 0$$

În acest caz, puterea inversiunii k^2 este negativă, modulul inversiunii k fiind un număr **imaginar**.

Dacă $M_{1,2} \subset \mathbf{C}(\mathbf{O}, \mathbf{R})$ și M_2 este diferit de punctul $M_2' = I_E^k(M_1)$, care este inversul punctului M_1 , în inversiunea de centru \mathbf{E} și modul k și putere $k^2 \neq p^2$, atunci locul geometric al punctului M_2 este homoteticul cercului $\mathbf{C}(\mathbf{O}, \mathbf{R})$, deci un alt cerc $\mathbf{C}'(\mathbf{O}', \mathbf{R}')$ cu centrul în \mathbf{O}' dat de $\mathbf{E}\mathbf{O}' = (k/p)^2 \cdot \mathbf{E}\mathbf{O}$ și de rază \mathbf{R}' dată de relația $\mathbf{R}' = (k/p)^2 \cdot \mathbf{R}$. De aici rezultă că, dacă

$$(4.41') \quad k^2 = p^2, \text{ atunci } \mathbf{E}\mathbf{O}' = \mathbf{E}\mathbf{O} \text{ și } \mathbf{R}' = \mathbf{R}, \text{ adică cele două cercuri sunt confundate}$$

și $M_2' \equiv M_2$, de unde se deduce ca M_1 și $M_2 \subset \mathbf{C}(\mathbf{O}, \mathbf{R})$ ca și W_1 și $W_2 \subset C_1(\mathbf{O}, 1)$ pot fi atât inverse unul celuilalt cât și transformatul homotetic de centru de homotetie \mathbf{E} și, respectiv \mathbf{S} , și de modul $k = 1$, ceea ce devine evident din însăși definiția homotetiei.

Utilizând (3.26), **diferența** celor două determinări ale $\mathbf{FCE} \text{ rex}\theta$ este:

$$(4.42) \quad 2 \cdot \Delta_{1,2} = r_{1,2} - r_{2,1} = \text{rex}_{1,2}\theta - \text{rex}_{2,1}\theta = \pm 2\sqrt{1 - s^2 \sin^2(\theta - \varepsilon)} = 2 \cdot \text{del}_{1,2}\theta$$

și reprezentarea graficelor, în polar, este dată în figura 4.11.a,b și c, constituind un exemplu de reprezentare **numai** cu funcțiile $\text{rex}\theta$ a lemniscatelor lui **Booth**,

asemănătoare curbilor lui **Cassini**, dar care nu au puncte comune pentru $\theta = 0$ și $\theta = \pi$, iar **suma acestor funcții este**

$$(4.43) \quad 2. \Sigma_{1,2} = r_{1,2} + r_{2,1} = rex_{1,2}\theta + rex_{2,1}\theta = -2s \cos(\theta - \varepsilon)$$

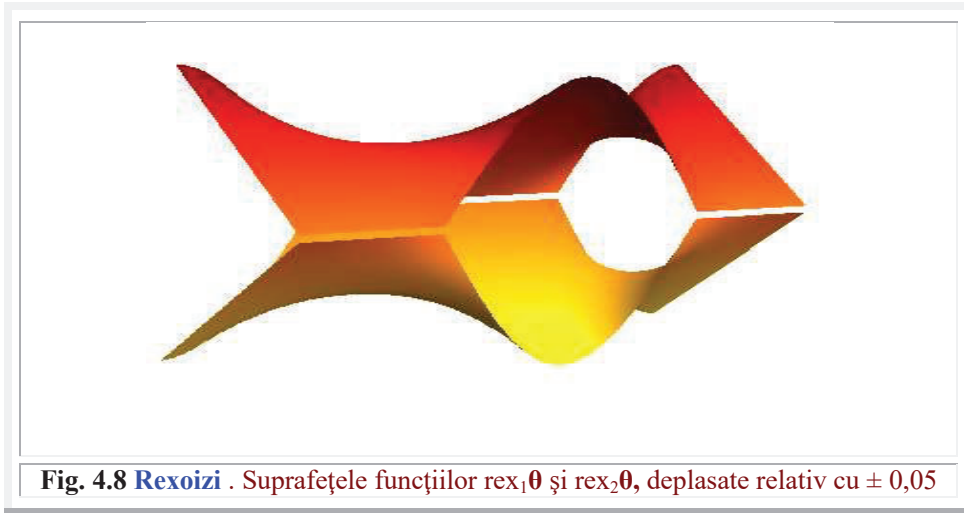


Fig. 4.8 Rexoizi . Suprafețele funcțiilor $rex_1\theta$ și $rex_2\theta$, deplasate relativ cu $\pm 0,05$

Pentru $\theta - \varepsilon = 0 \Rightarrow \text{del } \theta = 1$ și rezultă următoarele mărimi pentru diferența și suma celor două determinări ale funcției $rex \theta$

$$(4.42') \quad 2. \Delta_{1,2} = r_{1,2} - r_{2,1} = 2 \Rightarrow \Delta_{1,2} = 1$$

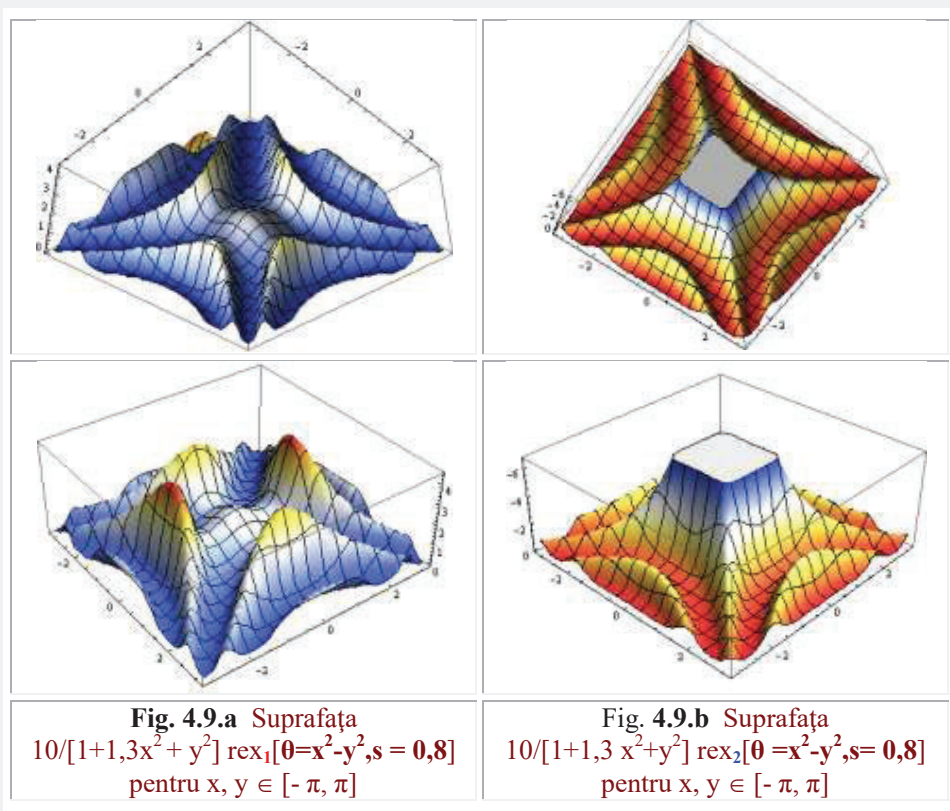
$$(4.43') \quad 2. \Sigma_{1,2} = r_{1,2} + r_{2,1} = -2s \Rightarrow \Sigma_{1,2} = -s.$$

Așa cum rezultă din (3.26), variabilele θ și ε pot fi schimbate între ele – inversate –, fără ca forma expresiei **FCE** $rex\theta$ să se modifice.

Considerând excentricitatea s ca **variabilă** (în intervalul $-2, +2$) și pe $\theta \in [0, \pi]$ cu pasul $\pi/6$, graficele celor două determinări ale **FTE** $rex_{1,2}s$ sunt prezente în **figurile 4.5.a, 4.5.b, 4.5.c, 4.5.d și 4.5.e**, în care se pot urmări modificările ce au loc, prin baleerea variabilei s și a parametrului ε . Pentru $\theta = 0$ (**Fig.4.5.a și c**) se obțin două drepte paralele între ele și paralele cu bisectoarea a 2-a ($m = -1$), desenată cu linie continuă, pentru prima determinare. Pentru $\theta = \pi/2$ se obține cercul, iar pentru $\theta = \pi$ se obțin din nou drepte paralele, dar paralele cu prima bisectoare ($m = 1$). Pentru celelalte valori ale lui θ se obțin elipse.

Așa cum s-a mai afirmat, modificarea lui ε de la valoarea 0 la valoarea π echivalează cu **schimbarea semnului excentricității** adică, a considera **excentricități negative**. Prin urmare, prezența excentrului $S(s, \varepsilon)$ pe axa x negativă poate fi exprimată considerând $\varepsilon = 0$ și un $s < 0$ sau $\varepsilon = \pi$ și $s > 0$.

Considerând **FCE** $rex\theta$ ca funcții de două variabile, θ și s , pentru fiecare determinare se obține câte o suprafață în spațiu (**Fig.4.8**). Așa cum arată **figurile 4.6** cele două suprafețe, sunt continue în zona lor de contact – joncțiune - astfel că ele mărginesc un corp pe care îl vom denumi **rexoid**, o parte din acest corp fiind reprezentată în **figurile 4.6 și 4.8 în 3D**.



Rexoidul are planele bisectoare ale diedrelor ca plane de simetrie. Prin urmare, și intersecția acestora, axa θ , este o axă de simetrie a rexoidului.

În **figura 4.9.a** și **4.9.b** sunt reprezentate două suprafețe descrise de inversele funcțiilor $\text{rex}_1 \theta$ și, respectiv, $\text{rex}_2 \theta$, cu $\theta = x^2 - y^2$ și $x, y \in [-\pi, \pi]$.

Funcția $\text{rex} \theta$ exprimă, printre altele, distanța de la punctul S la un punct de pe cerc, punct determinat de unghiul α la centrul $O(0,0)$. Pentru puncte, situate pe cercuri de rază R , diferită de unu, distanțele de la E la aceste două puncte $M_{1,2}$ se obțin amplificând funcțiile $\text{rex} \theta$ cu raza R a cercului oarecare:

$$(4.44) \quad EM_{1,2} = r_{1,2} = R \cdot \text{rex}_{1,2}(\theta, S) = R[-s \cdot \cos(\theta - \epsilon) \pm \sqrt{1 - s^2 \sin^2 \theta}]$$

Produsul dintre R și excentricitatea numerică liniară s fiind excentricitatea liniară naturală e , relația anterioară va fi:

$$(4.45) \quad EM_{1,2} = r_{1,2} = R \cdot \text{rex}_{1,2} \theta = -e \cdot \cos(\theta - \epsilon) \pm \sqrt{R^2 - e^2 \sin^2 \theta}$$

Utilizând formula uzuală a distanței în coordonate polare, sau teorema cosinusului, denumită și teorema lui **Pitagora** generalizată, formulată explicit de către **F. Viète** (1593), dar cunoscută și de **Euclid** (sec. 3 î.e.n.) rezultă:

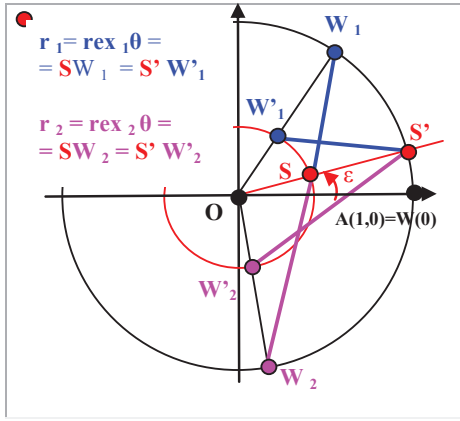


Fig. 4.10 Două reprezentări geometrice diferite ale funcțiilor radial excentric $\text{rex}_1 \theta$ și $\text{rex}_2 \theta$

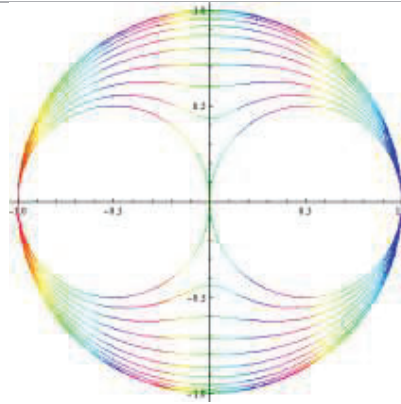


Fig. 4.11.a Lemniscatele lui Booth exprimate în polar cu $\rho = \text{rex}_2 \theta - \text{rex}_1 \theta$, $s \in [0, 1]$

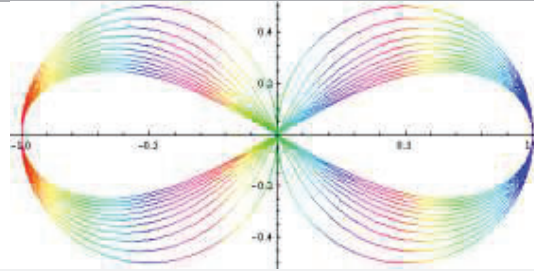


Fig. 4.11.b Lemniscatele lui Booth exprimate în polar cu $\rho = \text{rex}_2 \theta - \text{rex}_1 \theta$, $s \in [1, 2]$

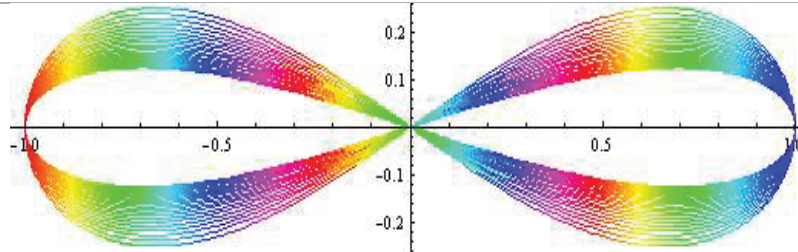


Fig. 4.11.c Lemniscatele lui Booth exprimate în polar cu $\rho = \text{rex}_2 \theta - \text{rex}_1 \theta$, $s \in [2, 3]$

(4.46) $EM_{1,2} = R_{1,2} = R \cdot \text{rex}_{1,2} \theta = R \cdot \text{Rex} \alpha_{1,2} = \pm \sqrt{R^2 + e^2 - 2eR \cdot \cos(\alpha_{1,2} - \varepsilon)}$, devenind, acum, o FSM-CE radial excentrică de variabilă $\alpha_{1,2}$, la rândul ei de variabilă excentrică θ , în care unghiul la centru $\alpha_{1,2}$ în funcție de θ se determină cu relația (4.10) pentru $R=1$.

4. FUNCȚII SUPERMATEMATICE CIRCULARE EXCENTRICE 145

Dând factor comun pe R^2 sub radical și scotându-l în afară, forțat, rezultă:

$$(4.47) \quad EM_{1,2} = R_{1,2} = R \cdot \text{Rex}\alpha_{1,2} = \pm R\sqrt{1 + s^2 - 2s \cdot \cos(\alpha_{1,2} - \varepsilon)}.$$

Aceasta este o **nouă formă** a funcției $\text{Rex}\alpha$, de variabilă $\alpha_{1,2}(\theta)$.

Funcțiile de variabilă **motoare** centrică α vor fi studiate, pe îndelete, pe îndelete, în capitolul de **FSM-CE** de variabilă centrică α . Funcția se notează cu majusculă (**Rex** $\alpha_{1,2}$), ca toate funcțiile de variabilă centrică, pentru evitarea confuziilor și graficul funcției reprezintă o **cicloidă** de rază R și excentricitate $e = R \cdot s$, în care unghiul la centru $\alpha_{1,2}$ în funcție de θ se determină cu relația (4.10) pentru $R=1$.

Dacă S se situează pe un cerc de rază s și punctele $W_{1,2}$ pe cercul de rază $R=1$, pozițiile acestor puncte pot fi interconvertite, adică, punctele $W'_{1,2}$ pot fi situate pe cercul de rază s și excentrul S poate fi situat pe cercul de raza $R=1$, așa cum este prezentat cazul în figura 4.10, fără ca expresiile geometrice a funcțiilor $\text{rex}_{1,2}\theta$, care definesc distanțele $SW_{1,2}$, să se modifice.

Se deduce că razele cercurilor de definire R și e și excentricitățile reale pot fi **interconvertite**, adică $R \cdot \text{rex}_1(\theta, s = e/R) = e \cdot \text{rex}_1(\pi - \beta_1, s = R/R = 1)$ (v. și Fig. 4.15).

În figura 4.12 sunt prezentate curbele parametrice în **2D** (Fig.4.12.a) și cu completarea lor cu **3D**, în figura 4.12.b. Ecuațiile parametrice sunt

$$(4.48) \quad \mathbf{M} \begin{cases} x = \text{rex}_1\theta \\ y = \text{rex}_1(\theta - \frac{\pi}{2}) \\ z = -s, s \in [0, 1] \end{cases}$$

În coordonate polare, ecuația

(4.49) $\rho = \text{rex}_1(\theta, s, \varepsilon)$ reprezintă o deplasare a cercului unitate, pe direcția ε , în sens invers semnului excentricității. În figura 4.13.c, în care s-a ales $\varepsilon = -\pi/6$ radiani, cercurile s-au deplasat pe direcția determinată de unghiul $\pi - \varepsilon$, cu valoarea excentricității numerice, în sens invers lui $s \in [0, +1]$, adică, în sensul $-s$ sau $s \in [0, -1]$.

Pentru **FSM-CE** radial excentric de multiplu de unghi $\text{rex}_{1,2}(n, \theta)$ se obțin în 2D curbe închise de forma **rozelor** cu n lobi, așa cum se prezintă situația în figura 4.13.a, pentru $n=2$ și $\varepsilon = -\pi/4$ și în figura 4.13.d, pentru $n=5$, $\varepsilon=0$ și $s \in [-1, +1]$.

În figura 4.13.b ecuațiile parametrice sunt hibride, adică, de tipul (4.50)

$$(4.50) \quad \mathbf{M} \begin{cases} x = 2\sqrt{\text{rex}4\theta} \cdot \text{cex}\theta = 0,5\text{cex}5\theta \\ y = \text{rex}_14\theta \cdot \text{sex}4\theta - 0,5 \text{sex}7\theta \end{cases}$$

obținându-se curbe care sugerează senzația de pasăre în **zbor**.

Așa cum s-a afirmat, și s-a arătat un exemplu din matematica centrică (**MC**), în figurile 4.11.a, 4.11.b și 4.11.c, la descrierea lemniscatelor lui **Booth**, curbe închise, asemănătoare curbelor lui **Cassini**, din familia cărora fac parte și cercul, ovalul, lemniscata, ovalele separate în jurul focarelor ș.a., funcțiile $\text{rex}_{1,2}\theta$, **singure**, pot exprima și ecuațiile altor funcții importante din matematica excentrică (**ME**).

Un astfel de exemplu este exprimarea ecuației de definire a funcției $\text{dex}_{1,2}\theta$ (v. pag. 10) prin expresia

$$(4.51) \quad \text{dex}_{1,2}\theta = \frac{\text{rex}_{1,2}\theta}{\pm\sqrt{1-s^2\sin^2(\theta-\varepsilon)}} = \frac{\text{rex}_{1,2}\theta}{\text{del}_{1,2}\theta} = \frac{\text{rex}_{1,2}\theta}{\text{rex}_{1,2}\theta - \text{rex}_{2,1}\theta} \quad \text{sau}$$

$\text{dex}_{1,2}\theta = \frac{1}{1-\Pi_{1,2}}$, în care s-a ținut cont de relațiile (4.52) și s-au notat **rapoartele**

funcțiilor $\text{rex}_{1,2}\theta$ cu inversul simbolului produsului Π , adică $\Pi_{1,2} = 1 / \Pi_{1,2}$.

Rezultă rapoartele celor două determinări ale **FSM-CE** radial excentric de θ

$$(4.52) \quad \Pi_{1,2} = \frac{\text{rex}_{1,2}\theta}{\text{rex}_{2,1}\theta} = \frac{\text{rex}_{1,2}^2\theta}{s^2-1} < 0 \quad \text{și} \quad \Pi_{2,1} = \frac{\text{rex}_{2,1}\theta}{\text{rex}_{1,2}\theta} = \frac{\text{rex}_{2,1}^2\theta}{s^2-1} < 0, \text{ pentru } s < 1.$$

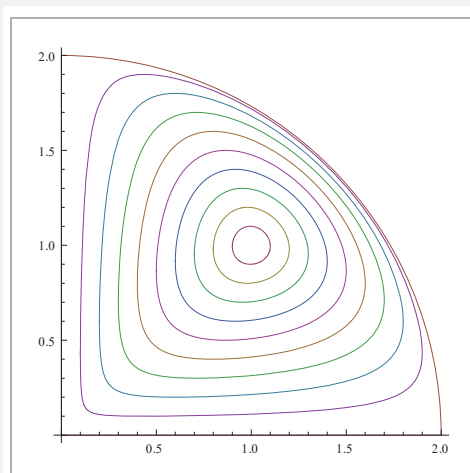


Fig. 4.12.a Curbe în ecuații parametrice cu $x = \text{rex}_1\theta$ și $y = \text{rex}_1(\theta \pm \pi/2)$, pentru $\varepsilon = 0$ și $s \in [0, 1]$ cu pasul 0.1

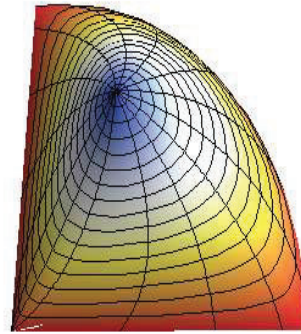


Fig. 4.12.b Rexoidul $x = \text{rex}_1\theta$ și $y = \text{rex}_1(\theta \pm \pi/2)$, $z = -s$, cu $s \in [0, 1]$ și $\varepsilon = 0$

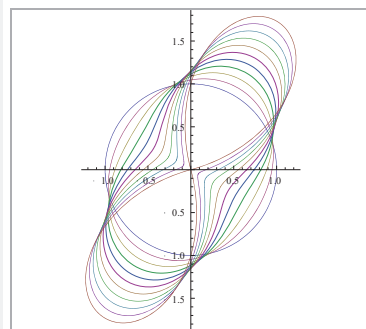


Fig. 4.13.a

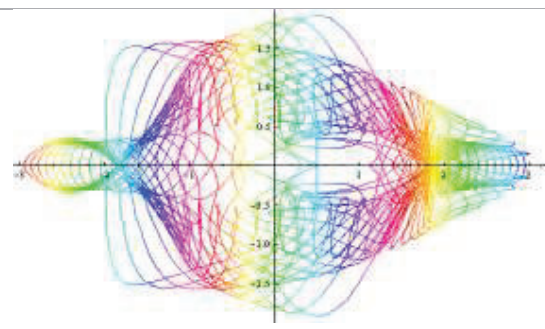
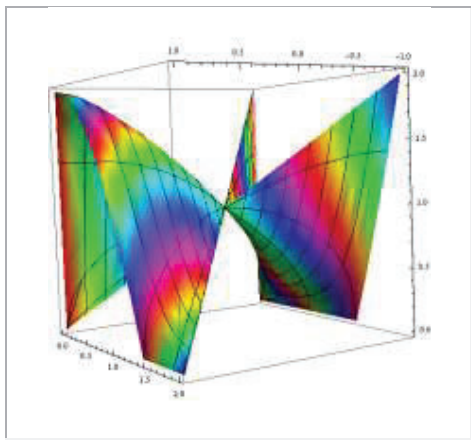


Fig. 4.13.b

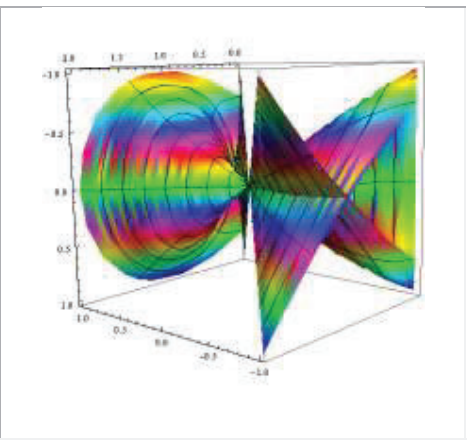
Diferențele dintre valorile funcțiilor **rex** de variabilă θ și cele de variabilă α_1 sunt vizibile în figurile 4.14.a în coordonate **polare**, pentru $n=3$ și, respectiv, $n=4$, prin **rozele** de excentricitate numerică $s \in [0, 1]$ și în figura 4.14.b în coordonate **carteziene**.

Se observă că **rozele** de α_1 au lobi mai lați decât **rozele** de variabilă θ . Totodată

4. FUNCȚII SUPERMATEMATICE CIRCULARE EXCENTRICE 147



ParametricPlot3D[{rex0, rex20, s},
{s, -1, 1}, {0, 0, 2 Pi}]



ParametricPlot3D[{-cos[30], rex(20), s},
{s, -1, 1}, {0, 0, 2 Pi}]

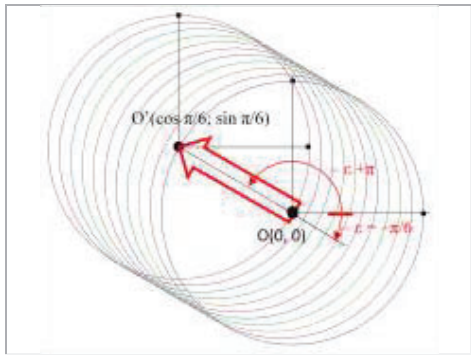


Fig. 4.13.c

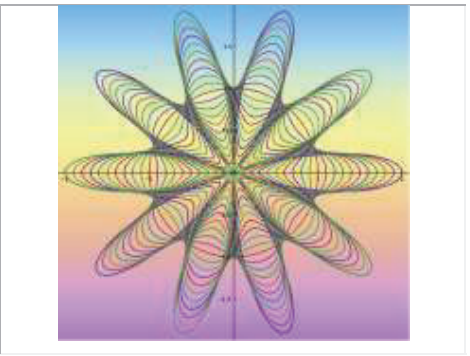


Fig. 4.13.d

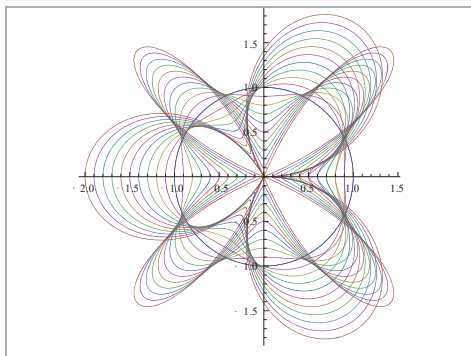


Fig. 4.14.a Deosebirile, în polar,
dintre $rex_1 4\theta$ și $Rex 3\alpha_1$,
pentru $s \in [0, 1]$

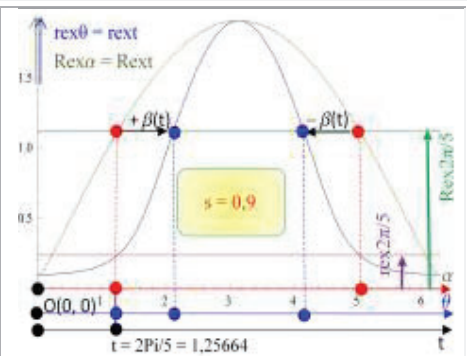


Fig. 4.14.b Deosebirile în cartezian 2D
dintre $rex_1 \theta$ și $Rex \alpha_1$, pentru $s = 0,9$
și $\varepsilon = 0$; $t = \alpha = \theta \in [0, 2\pi]$

se observă (Fig.4.14.b) că valorile funcției **rex** de θ sunt inferioare, valoric, celor de variabilă α_1 , adică, $\mathbf{rex}_1 t \leq \mathbf{Rex}t_1$, egalitatea având loc în punctele de extrem, atât de **maximum** ($t = \pi k + \varepsilon$, $k = 1, 2, \dots$; $y = 1+s$) cât și de **minimum** ($t = 2k\pi + \varepsilon$, $k = 0, 1, \dots$; $y = 1-s$).

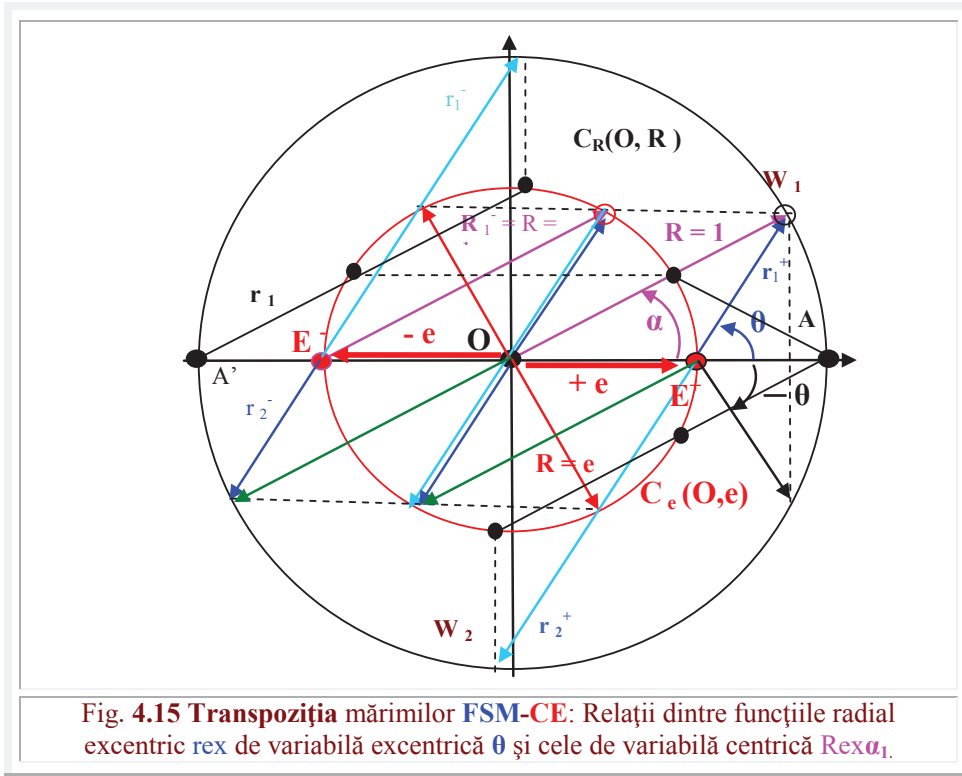


Fig. 4.15 **Transpoziția** mărimilor **FSM-CE**: Relații dintre funcțiile radial excentric **rex** de variabilă excentrică θ și cele de variabilă centrică $\mathbf{Rex}\alpha_1$.

Din **figura 4.15** se observă, fără dificultate, ca și din relațiile de definire a lor, că

$$(4.53) \quad \forall \theta \in [-\infty, +\infty] \Rightarrow \mathbf{rex}_{1,2} \theta = \mathbf{rex}_{1,2} (-\theta) \text{ și, în consecință, și}$$

$$(4.53') \quad \forall \alpha_{1,2} \in [-\infty, +\infty] \Rightarrow \mathbf{Rex}\alpha_{1,2} = \mathbf{Rex}(-\alpha_{1,2}) \text{ și proprietățile se extind și la alte } \mathbf{FCE} \text{ pare, cum ar fi}$$

$$(4.54) \quad \forall \theta \in \mathbb{R} \Rightarrow \mathbf{cex}_{1,2} \theta = \mathbf{cex}_{1,2} (-\theta) \text{ și } \forall \alpha_{1,2} \in \mathbb{R} \Rightarrow \mathbf{Cex}\alpha_{1,2} = \mathbf{Cex}(-\alpha_{1,2}).$$

Se mai observă că **FCE** **rex**, de excentricitate negativă, sunt egale și de semn contrar cu cele de excentricitate pozitivă, adică

$$(4.55) \quad \mathbf{R} \mathbf{rex}_{1,2}(\theta, s) = -\mathbf{R} \mathbf{rex}_{1,2}(\theta, -s) = \mathbf{R} \cdot \mathbf{Rex}(\alpha_{1,2}(\theta), s) = -\mathbf{R} \cdot \mathbf{Rex}(\alpha_{1,2}(\theta), -s)$$

Totodată, cele două raze, centrică \mathbf{R} și excentrică \mathbf{r}_1 sunt interconvertibile, în sensul că, pentru excentricitățile numerice e și $-e$ date, există o valoare a unghiului θ pentru care

$$(4.56) \quad \exists \theta \ \& \ \exists \alpha_1 \Rightarrow \mathbf{R} \cdot \mathbf{rex}(\theta, s = \mathbf{R}/e) = \mathbf{r}_1 \text{ și } \mathbf{r}_1 \mathbf{Rex}(\alpha_1, -1) = e \cdot \mathbf{Rex}(\alpha_1, -1) = \mathbf{R}.$$

(4.57) $r_1 = R \operatorname{rex}_1(\theta, +s) = e \operatorname{rex}(\theta, -1)$ și dacă se alege un excentru pe cercul de rază R în punctul $A'(-R,0)$ simetricul lui $A(1,0)$ față de originea O , atunci

(4.58) $r_2 = R \operatorname{rex}_2(\theta, +s) = e \operatorname{rex}_2(\alpha, s = R/e > 1)$ și rezultă următoarea

Teoremă:

O **FSM-CE** $\operatorname{rex}\theta$, radial excentric de variabilă **excentrică** θ , definită pe cercul de rază R și de excentru $E(e, \varepsilon)$, cu excentricitate numerică $s = e/R < 1$, de exemplu, este egală cu o **FSM-CE** $\operatorname{Rex}\alpha$ de variabilă **centrică** α , definită pe cercul de rază e și excentru $A(R, \varepsilon)$ și excentricitate numerică $s' = R/e > 1$. Și, pentru $s > 1$, va rezulta o excentricitate $s' < 1$. În **figura 4.15** s-a ales $\varepsilon = 0$.

O altă formulare este: Variabilele excentrică θ și cea centrică α a **FSM-CE** radial excentric pot fi interconvertite **simultan** cu interconvertirea razelor cercurilor lor cu excentricitățile reale, adică, raza R a variabilei excentrice θ devine excentricitatea reală ($e' = R$) a variabilei centrice α și excentricitatea reală e a variabilei excentrice, devine raza ($R' = e$) a cercului de definire a **FSM-CE** Rex de variabilă centrică.

4.2.2 APLICAȚII MATEMATICE ALE **FSM-CE** RADIAL EXCENTRICE

Teorema lui Apollonius. Locul geometric al vârfurilor W_i ale tuturor triunghiurilor $S S' W_i$ (**Fig. 4.16**) cu latura $S S'$ dată, având celelalte două laturi într-o proporție constantă $SW_i : S'W_i = \lambda$, este cercul lui **Thales** de diametru AA' a căror puncte A și A' împart segmentul SS' în raportul λ , interior și exterior. Sau, mai simplu, dacă două puncte (S și S') sunt inverse în raport cu un cerc, distanțele lor la un punct de pe cerc (W_i) sunt într-un raport constant.

RAPOARTE ARMONICE ȘI ANARMONICE

În consecință, rezultă că raportul a două funcții radial excentrice de excentricități diferite este același și egal cu **raportul anarmonic** sau cu **biraportul** ($SS'AA'$). Raportul **interior**, notat ($SS'A$) este

$$(4.59) \quad (SS'A) = \lambda_e = \frac{\overline{SA}}{AS'} = \frac{1-s}{s'-1} > 0 \quad \text{și raportul exterior, notat } (SS'A') \text{ este}$$

$$(4.60) \quad (SS'A') = \lambda_i = \frac{\overline{SA'}}{A'S'} = -\frac{1+s}{1+s'} < 0, \text{ iar biraportul, sau raportul anarmonic, este}$$

$$(4.61) \quad (SS'AA') = \lambda = \lambda_e / \lambda_i = \frac{(1-s)(1+s')}{(1+s)(1-s')} = \frac{\operatorname{rex}_1(0, s) \cdot \operatorname{rex}_1(\pi, s')}{\operatorname{rex}_2(0, s) \cdot \operatorname{rex}_2(\pi, s')} < 0, \text{ sau } \lambda \text{ este}$$

raportul dintre maximul și minimul funcțiilor radial excentric de variabilă θ sau α și de cele două excentricități numerice $s < 1$ și $s' > 1$, ținând cont de faptul că, pentru $\varepsilon = 0$, maximele sunt date de prima determinare și minimele de cea de a doua determinare a acestor funcții, dacă excentrele S și S' sunt situate pe axa $x > 0$, ca în **figura 4.16**.

Deoarece, cele două determinări ale funcției rex de $s' > 1$ sunt ambele pozitive (1 și 2) și, respectiv, (3, 4) sunt ambele negative, iar cele două determinări pentru $s < 1$ sunt de semne contrare, rezultă că raportul anarmonic este negativ ($\lambda < 0$). Se poate scrie

(4.62) $\lambda = (SS'AA') = \frac{r_1(0)}{r_2(0)} \cdot \frac{r'_1(0)}{r'_2(0)} = \frac{r_M}{r_m} \cdot \frac{r'_M}{r'_m} < 0$ cu notațiile din figură și cu indicii inferiori simbolizând **M** \Rightarrow **Maximum** și **m** \Rightarrow **minimum**.

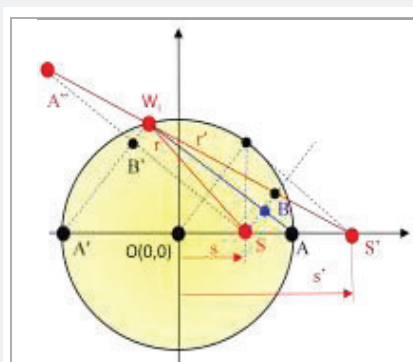


Fig. 4.16 Schiță explicativă pentru teorema **REX** sau Apollonius

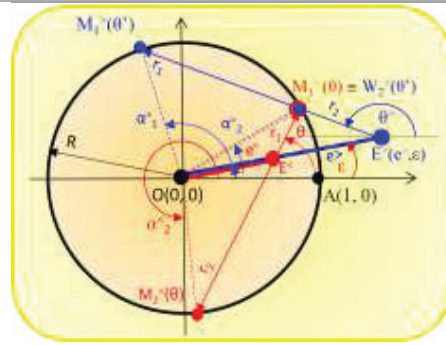


Fig. 4.17 Ecuația cercului față de polul E exprimată cu **FSM-CE** $\text{rex}\theta$ sau **Rexa**

FSM-CE radiale excentrice și, pentru $s' > 1$, $r'(\pi)$ de indici 1 și 2 au aceleași valori, dar de semne contrare, cu determinările 3 și 4 ale funcției $r'(0)$, astfel că, dacă în (4.60) o singură funcție este negativă, în (4.62) trei din cele patru funcții sunt negative, semnul (bi)raportului rămânând negativ.

Dacă cele patru puncte au biraportul $\lambda = 1$, atunci ele sunt **conjugate armonice** și cele patru puncte coliniare S, S', A, A' sunt într-un **raport armonic**.

Dacă excentricitățile sunt inverse, una alteia, adică $s' = 1/s$, atunci, din (4.59) rezultă raportul $\lambda_1 = s$ și din (4.60) $\lambda_2 = -s$ astfel că raportul $\lambda = \lambda_1 / \lambda_2 = -1$ și cele patru puncte sunt conjugate **armonice**. Se zice că SS' este **medie armonică** a lui SA și SA'.

Dacă raportul este armonic, atunci unghiul interior și cel exterior din $W_1 \equiv W_i$ al triunghiului SW_iS' sunt înjumătățite de dreptele AW_i și, respectiv, $A'W_i$.

Se mai observă că, dacă punctele $W_i \equiv W_1 \equiv W'_1$ sunt identice și, în consecință, $\alpha_1 = \alpha'_1$, deși $\theta_1 \neq \theta'_1$, nu același lucru se întâmplă cu celalalte puncte, deoarece $W_2 \neq W'_2$. De aceea, relațiile anterioare sunt valabile numai în punctul $W_i \equiv W_1 \equiv W'_1$.

Dacă excentrele sunt simetrice față de originea O, atunci $s = -s'$ și rezultă $\lambda = (1-s)^2 : (1+s)^2$. În final poate fi enunțată următoarea teoremă:

TEOREMA REX :

Raportul primelor determinări ale **FSM-CE** radial excentrice de aceeași variabilă (argument) centrică ($\alpha_1 = \alpha'_1$) și de excentricități diferite **s** și **s'** (sau **e** și **e'** pe același cerc de rază **R**) este egal cu raportul anarmonic (biraportul) λ , în care segmentul SS' sau EE' este împărțit de punctele A și A' (pentru $\epsilon = 0$) :

4. FUNCȚII SUPERMATEMATICE CIRCULARE EXCENTRICE 151

$$(4.63) \quad \lambda = \frac{Rex(\alpha_1, s)}{Rex(\alpha_1, s')} = \frac{(1-s)(1+s')}{(1+s)(1-s')} = \frac{rex_1(0, s).rex_1(\pi, s')}{rex_2(0, s).rex_2(\pi, s')} = \frac{rex_1(0, s).rex_3(\pi, s')}{rex_2(0, s).rex_4(\pi, s')}$$

Ecuția cercului față de un pol **E** {Lexicon Tehnic Roman nr. 4 pag. 190}, cu notațiile din figura 4.17, în care polul are coordonatele **E(e, ε)** și cercul **C(R, O)** are raza **R** și originea în **O(0,0)**, este

$$(4.64) \quad r^2 - 2.r.e \cos(\theta - \varepsilon) + e^2 - R^2 = 0, \text{ sau}$$

$$(4.65) \quad \left(\frac{r}{R}\right)^2 + 2\left(\frac{r}{R} \cdot \frac{e}{R}\right)\cos(\theta - \varepsilon) + \left(\frac{e}{R}\right)^2 - 1 = 0 \text{ o ecuație algebrică de gradul II, în}$$

care, notând **s = e / R** și $rex_{1,2}(\theta) = r_{1,2} = r / R$, rezultă rădăcinile

$$(4.66) \quad r_{1,2} = rex_{1,2}(\theta, s) = -s \cos(\theta - \varepsilon) \pm \sqrt{s^2 \cos^2(\theta - \varepsilon) - (s^2 - 1)} \text{ sau}$$

$$(4.67) \quad r_{1,2} = rex_{1,2}(\theta, s) = -s \cos(\theta - \varepsilon) \pm \sqrt{1 - s^2 \sin^2(\theta - \varepsilon)}$$

și se recunoaște imediat **FSM-CE** $rex_{1,2}\theta$. Se deduce că ambele determinări ale funcției $rex\theta$ descriu cercul **C(O, R)** și că, indiferent de poziția polului, în acest caz al excentrului **E[<](e[<], θ)** sau **E[>](e[>], θ[>])**, **FSM-CE** $rex\theta$ descriu cercul. Observația este deosebit de importantă, pentru programarea roboților industriali de sudare, în cazul sudării unui cordon circular, a cărui centru **O** se află la distanța **e** de centrul de rotație **E** al brațului robotului pe direcția **ε**. În plus, pentru **e > R**, se știe precis punctul de început/inițial θ_i (4.29) în care începe operația și punctul final θ_f (4.30) în care încetează programarea cu $rex_1\theta$, care sunt punctele de tangență ale tangentelor din **E** la cercul **C** și din care începe programarea cu funcția $rex_2\theta$, parcurgând intervalul $\theta_i \dots \theta_f$ în același sens sau revenind în M_i și parcurgându-l în sens invers (dextrorim), de la M_i spre M_f . Din relația (4.64) mai rezultă ca raza **R** a unui cerc **C** este

$$(4.68) \quad R = \pm \sqrt{r^2 + e^2 - 2ercos(\theta - \varepsilon)}, \text{ în care se recunoaște forma funcției } Rex_{\alpha_{1,2}}.$$

Se deduce că, dacă în relația **FSM-CE** $Rex_{\alpha_{1,2}}$ se înlocuiește variabila centrică α cu valoarea variabilei excentrice θ , în locul raziei **excentrice r**, se obține raza **centrică R**, cu precizarea că, în timp ce, dacă **R** este o **constantă**, **r** este **variabilă**. Altfel spus, convertirea variabilelor conduce la convertirea razelor, pentru același excentru **real**, deoarece excentricitățile numerice diferă: în primul caz **s = e / R** și în cel din urmă este **s[>] = e / r**.

Între variabilele centrice $\alpha_{1,2}$ și variabila centrică θ există următoarele dependențe. În toate cazurile, independent de mărimea excentricității numerice **s**,

(4.69) $\theta = \alpha_{1,2} + \beta_{1,2}$, ceea ce arată că, la $\theta = \text{constant}$, $\alpha_{1,2}$ și $\beta_{1,2}$ au variații de semn opus la creșterea excentricității **s** sau **e** și

$$(3.70) \quad \beta_1 + \beta_2 = \pi \quad \text{din care rezultă} \quad \beta_2 = \pi - \beta_1 \text{ și}$$

$$(3.71) \quad \alpha_{1,2} = \theta - \beta_{1,2} = \begin{cases} \alpha_1(\theta) = \theta - \beta_1(\theta) = \theta - \arcsin[s \cdot \sin(\theta - \varepsilon)] \\ \alpha_2(\theta) = \theta - \beta_2 = \theta - \pi + \arcsin[s \cdot \sin(\theta - \varepsilon)] \end{cases}$$

relații care se pot deduce, fără dificultate, din figurile ce conțin punctele $W_{1,2}$, ținând cont de sensul de creștere al unghiurilor $\beta_{1,2}$, formate de direcțiile $SW_{1,2}$ cu direcțiile $OW_{1,2}$ din punctele $W_{1,2}$, la creșterea excentricității numerice **s** și / sau reale **e**, pentru un unghi θ dat.

Astfel, pentru **e < R** \Rightarrow **s < 1**, ca și pentru **e > R** \Rightarrow **s > 1**, rezultă \Rightarrow $\beta_1 > 0$ și $\beta_2 > 0$, iar suma lor este constantă și egală cu π , oricare ar fi θ , **s** și **ε**.

În schimb, dacă pentru $s < 1$, o creştere a unghiului θ induce o creştere simultană a unghiurilor α_1 şi α_2 , pentru $s > 1$, la creşterea lui θ , unghiul α_1 creşte iar unghiul α_2 scade, întrucât, prin definiţie, W_1 a fost ales punctul care se roteşte pe cercul unitate în acelaşi sens cu rotaţia dreptei d , adică cu creşterea lui θ , iar W_2 este punctul care se roteşte pe cerc în sens invers rotaţiei dreptei d , deci α_2 scade, ceea ce rezultă şi din relaţiile (4.70) şi (4.71).

4.2.3 DEMONSTRAREA UNOR TEOREME CU AJUTORUL FSM-CE RADIAL EXCENTRIC

1) Teorema lui Pitagora.

Se consideră un triunghi dreptunghic $E_P W_\pi W_0 \equiv ABC$ înscris în cercul $C(R, O)$ din figura 4.18.a şi un excentru $E_P(R, \varepsilon) \equiv A$ situat chiar pe cercul C , având, deci, excentricitatea numerică $s = 1$. Laturile triunghiului b şi c pot fi exprimate ca FSM-CE de variabile θ , dar aceste unghiuri sunt mai greu de precizat. De aceea, se utilizează variabilele centrice $\alpha_{1,2}$ care sunt zero şi, respectiv π , astfel că, utilizând relaţia (4.47), de definire a acestor funcţii, rezultă în final expresiile laturilor b şi c

$$(4.72) \quad \begin{cases} b = AC \equiv E_P W_0 = r_1(0) = R \cdot \text{Rex}(\alpha_1 = 0, s = 1, \varepsilon) = R\sqrt{2 - 2\cos\varepsilon} \\ c = AB \equiv E_P W_\pi = r_1(\pi) = R \cdot \text{Rex}(\alpha_1 = \pi, s = 1, \varepsilon) = R\sqrt{2 + 2\cos\varepsilon} \end{cases}$$

Suma pătratelor acestora este $b^2 + c^2 = 4R^2$, adică tocmai a^2 , astfel ca $a^2 = b^2 + c^2$, care reprezintă tocmai expresia algebrică a teoremei lui Pitagora. Se mai deduce că, ne depinzând de ε , punctul E_P , poate ocupa orice poziţie pe cercul C şi, ne depinzând de R , mărimea triunghiului poate fi oricât de mare. S-ar parea ca aceste precizări ar fi de prisos, dar nu e chiar aşa.

2) Teorema înălţimii

Pentru demonstrarea ei, se alege un excentru $E_I(s, 0)$ pe axa x ($\Rightarrow \varepsilon = 0$). De această dată, vom folosi FSM-CE de variabilă θ , deoarece valoarea pentru înălţimea h , perpendiculara pe ipotenuza, este uşor de dedus, ea este $\pi/2$, iar pentru celelalte două vârfuri ale triunghiului dreptunghic, sunt 0 şi respectiv π , fiind aceleaşi cu α_1 , întrucât, în aceste puncte, razele centrice şi excentrice se suprapun, astfel că unghiurile β_1 sunt nule: $\beta_1(0) = \beta_1(\pi) = 0$. Utilizând relaţia (4.26) rezultă $h = E_I E_P = R \cdot \text{rex}(\pi/2, s, \varepsilon = 0) = R\sqrt{1 - s^2}$, iar cele două segmente determinate de înălţimea pe ipotenuză sunt

$$(4.73) \quad \begin{cases} r_1(0) = E_I W_0 = R \cdot \text{rex}_1(0, E_I) = R(-s + 1) \\ r_1(\pi) = E_I W_\pi = R \cdot \text{rex}_1(\pi, E_I) = R(s + 1) \end{cases}, \text{ astfel că produsul lor este}$$

$$(4.74) \quad \mathbf{r}(0) \bullet \mathbf{r}(\pi) = R^2(1 - s^2) = h^2, \text{ adică, tocmai expresia algebrică a}$$

Teoremei înălţimii, ce afirmă că, într-un triunghi dreptunghic, înălţimea, corespunzătoare ipotenuzei, este medie între segmentele determinate de ea pe ipotenuză. Adică, relaţia (4.75)

$$(4.74) \quad h^2 = R^2 \text{rex}_1(0) \bullet \text{rex}_2(0) = R^2 \text{rex}_1(0) \bullet \text{rex}_1(\pi) = R^2 \text{rex}_1(\pi/2), \text{ din care rezultă dependenţa dintre funcţiile rex de } 0, \pi/2 \text{ şi } \pi$$

4. FUNCȚII SUPERMATEMATICE CIRCULARE EXCENTRICE 153

(4.75) $\text{rex}_1(\pi/2) = \text{rex}_1 0 \cdot \text{rex}_1 \pi$, relație ce va sta la baza unei metode hibride, de mare precizie, de determinare a unei relații de calcul oricât de precise (dorim) a integralei eliptice de prima speță $K(k)$, prezentată în [14] ca și în prezenta lucrare.

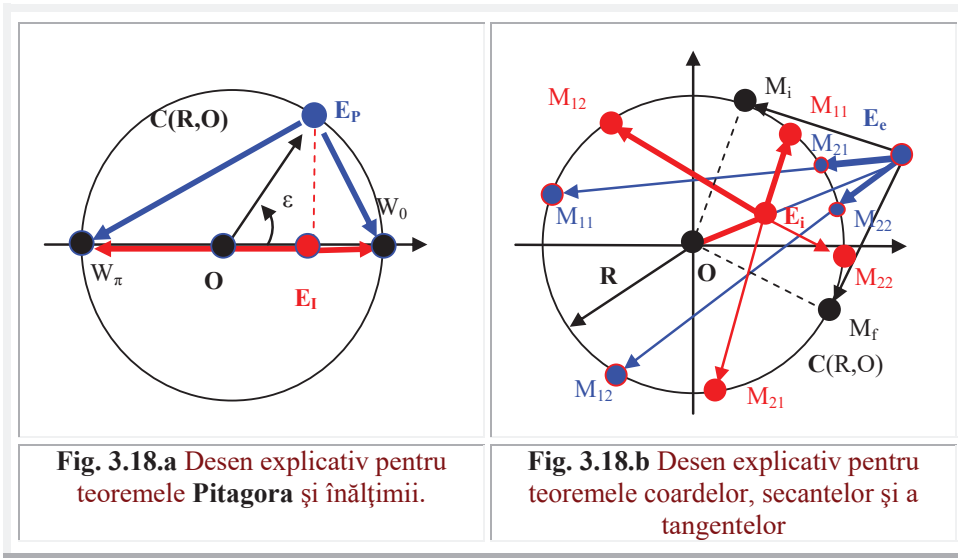


Fig. 3.18.a Desen explicativ pentru teoremele Pitagora și înălțimii.

Fig. 3.18.b Desen explicativ pentru teoremele coardelor, secantelor și a tangențelor

3) Teorema catetei sau teorema lui Euclid

Această teoremă afirmă că, într-un triunghi dreptunghic, o catetă este medie proporțională între ipotenuză și proiecția ei pe ipotenuză. Ceea ce algebric, cu notațiile anterioare, se exprimă astfel

$$(4.76) \quad \begin{cases} b^2 = a \cdot r(0) = 2R \cdot R(1 - s) = 2R^2(1 - s) \\ c^2 = a \cdot r(\pi) = 2R \cdot R(1 + s) = 2R^2(1 + s) \end{cases}$$

Ținând cont de faptul că

(4.77) $R \cdot \cos \varepsilon = e = R \cdot s \Rightarrow \cos \varepsilon = s$, excentricitatea reală e , corespunzătoare excentrului E_i , ca produs dintre excentricitatea numerică s și raza R a cercului (v. Fig. 4.18.a), relațiile (4.76) devin

$$(4.78) \quad \begin{cases} b = R\sqrt{2(1 - s)} \\ c = R\sqrt{2(1 + s)} \end{cases} \quad \text{și}$$

$$(4.78') \quad \begin{cases} b^2 = 2R^2(1 - s) \\ c^2 = 2R^2(1 + s) \end{cases}, \text{ astfel că teorema este demonstrată.}$$

4) Sinteză / unificarea teoremelor coardelor, secantelor și a tangențelor

În figura 4.18.b sunt schițate o pereche de **coarde** ($M_{11}M_{21}$ și $M_{12}M_{22}$).

Pentru $s < 1$ sau $e < R$, punctul comun E_i , interior cercului $C(R,O)$, le secționează pe fiecare în două.

Alte două secante (E_cW_{11} și E_cW_{12}), sunt reprezentate pentru $s > 1$ sau $e > R$ precum și două tangente (E_cW_i și E_cW_f) în punctele W_i și în punctul W_f duse din excentrul E_c , evident, exterior cercului $C(R, O)$.

Relațiile (4.39) exprimă produsul celor două determinări (principala 1 și secundară 2) dintre două funcții radial excentrice, produs independent de unghiul θ .

Prima relație din (4.39), pentru $s < 1$, și două poziții θ și θ' ale dreptei d , exprima tocmai

Teorema coardelor :

Produsul segmentelor în care se taie două coarde este constant.

Acum se poate merge mai departe și se poate determina valoarea acestei constante, considerând segmentele ca segmente orientate (cu semn). Produsul segmentelor (r_{11} și r_{21} pentru prima coarda și r_{12} și r_{22} pentru cea de a doua coardă) în care sunt împărțite două coarde oarecare de punctul lor de intersecție (E_i) este constant și egal cu diferența pătratelor razei vectoare a punctului de intersecție (e) și raza cercului R , adică

$$(4.79) \quad r_{11} \bullet r_{21} = r_{12} \bullet r_{22} = e^2 - R^2 < 0 \text{ sau } \text{rex}_1\theta \cdot \text{rex}_2\theta = \text{rex}_1\theta' \cdot \text{rex}_2\theta' = (s^2 - 1)$$

În ultima relație s-a simplificat cu R^2 .

A treia relație din (4.39), pentru $s > 1$ și două poziții distincte (θ și θ') ale dreptei d^+ exprima tocmai

Teorema secantelor :

Produsul segmentelor a două secante, care se intersectează, este constant.

Sau, după N.N.Mihaileanu [Complemente de geometrie sintetică, EDP, Buc. 1965, pag.24] :

« O secantă mobilă, dusă dintr-un punct E , taie un cerc în punctele M_1 și M_2 . Produsul $EM_1 \bullet EM_2$ este constant. » Și în acest caz, se poate merge mai departe, determinând valoarea acestui produs care este dat de a treia relație (4.39), deoarece $s > 1$ sau $e > R$. Deoarece, ambele puncte de intersecție sunt pe aceeași semidreaptă, produsul lor este pozitiv și egal cu

$$(4.80) \quad r_{11} \bullet r_{21} = r_{12} \bullet r_{22} = e^2 - R^2 > 0 \text{ sau } \text{rex}_1\theta \cdot \text{rex}_2\theta = \text{rex}_1\theta' \cdot \text{rex}_2\theta' = (s^2 - 1)$$

Aceeași relație din (4.39), dar pentru $\theta = \theta_i$ și dreapta de unghi θ' intersectează cercul în două puncte distincte exprimă

Teorema secantă-tangentă:

(“Kleine Enzyklopädie. Mathematik.” Ed. Enciclopedică Leipzig, pag. 205)

Oricare tangentă, dusă dintr-un punct la un cerc, este medie proporțională cu segmentele unei secante dusă din același punct ($t^2 = a \bullet b$). Acum putem afirma că această medie proporțională este pozitivă și are valoarea $e^2 - R^2$, în care, R este raza cercului și e distanța de la centrul O al cercului la punctul din care se duce tangenta și secanta, adică E_c .

În fine, tot din a treia relație (4.39) dar pentru $\theta = \theta_i$ și $\theta = \theta_f$, rezultă

Teorema tangentelor

care afirmă că cele două tangente duse dintr-un punct la cerc sunt de lungimi egale.

Acum putem adăuga că, lungimea acestor tangente este $t^2 = e^2 - R^2$, în care, deși se poate deduce, R este raza cercului și e distanța de la punctul, din care s-au dus cele două tangente (E_c) la centrul O al cercului, adică

4. FUNCȚII SUPERMATEMATICE CIRCULARE EXCENTRICE 155

$$(4.81) \quad t_i = t_r = t \text{ și } t^2 = e^2 - R^2.$$

Astfel, prin una și aceeași **teoremă**, a produselor celor două determinări ale funcției REX, sunt condensate/concentrate sau **unificate** 4 teoreme și, mai important, toate aceste teoreme sunt **completate** cu expresii cantitative care dau valoarea egalităților enunțate în cele 4 teoreme. Dacă cele două determinări ale funcției radial excentric rex sau Rex se iau în valoare absolută, adică nu se ține seama de sensul / semnul determinărilor pe dreapta d, atunci, atât pentru $s < 1$ cât și pentru $s > 1$, expresia produsul este aceeași și egal cu $\text{Abs}[1 - s^2]$, deoarece $\text{Abs}[e^2 - R^2] = R^2 \bullet \text{Abs}[s^2 - 1]$ și, evident, valoarea este întotdeauna pozitivă.

Vom nota constanta pozitivă cu p^2 , ea fiind denumită **puterea punctului E(e,ε)** în raport cu cercul **C(R,O)**

$$(4.82) \quad p^2 = e^2 - R^2$$

Axa, determinată de punctele **O** și **E**, adică de centrul **O** și excentrul **E**, este denumită **axă centrală**, deoarece împarte coarda $W_i W_f$ în părți egale [Mica enciclopedie matematică (MEM), Ed, Enciclopedică, Buc. pag. 207].

5) Inversiune de centru dat

Rezultă că inversul cercului **C**, în inversiunea de centru (de inversiune) **E** și de modul **k** și putere de inversiune $k^2 = e^2 - R^2$, este cercul însuși și ca M_1 și M_2 sunt inverse unul altuia,.

O inversiune de centru (pol) **E** și de modul **k** se notează i_E^k sau **I(E,k)** sau se poate scrie ca M_2 este inversul punctului M_1 , în inversiunea dată, adică $M_2 = I(M_1)$.

Proprietatea de **idempotență** a unei inversiuni **I** arată că **I(I(M)) = M**, $\forall M \in E^2$, adică, inversul inversului unui punct **M** este punctul însuși.

Dacă $k > 0$ sau $e > R$, atunci se poate alege **E(e,ε)**, drept centru al cercului $C_i(E,R_i)$ - de rază $R_i = k = \sqrt{e^2 - R^2}$, egală cu lungimea tangentei din **E(e,ε)**, la cercul **C(O,R)**.

În acest fel, toate punctele acestui cerc coincid cu transformatele lor, deoarece, puterea de inversiune k^2 este aceeași cu puterea $p^2(E)$ punctului **E** față de cercul $C_i(E,R_i)$ și, ca urmare, modulul de homotetie $k = 1$, -vezi relația (4.42'), astfel că punctele acestui cerc rămân fixe în inversiunea dată. Acest cerc poartă denumirea de **cerc de inversiune** sau **cerc fundamental**.

Două puncte inverse sunt conjugate în raport cu cercul de inversiune și sunt situate pe același diametru al cercului. Cercul de inversiune este **invariant**, punct cu punct, în inversiunea **I(E,k)**. Se deduce că, cercul de inversiune este locul geometric al punctelor care coincid cu inversele lor. El este un cerc cu centrul în polul **E(e,ε)** al inversiunii și de raza $R' = k = \sqrt{e^2 - R^2} = R\sqrt{s^2 - 1} = p(E)$, adică este cercul $C_i[E(e, \epsilon), R' = k]$

Modulul de inversiune **k** și $p^2(E)$ -puterea punctului / **excentrului E** față de cercul **C(O,R)**, are dimensiunea lungimii [**L**] și se exprimă în aceleași unități de lungime în care se exprimă și segmentele figurii și are expresia $p^2(E) = \overline{EM_1} \bullet \overline{EM_2} =$

$e^2 - R^2$, în care M_1 și M_2 sunt punctele de intersecție ale unei secante duse prin E cu cercul $C(O,R)$.

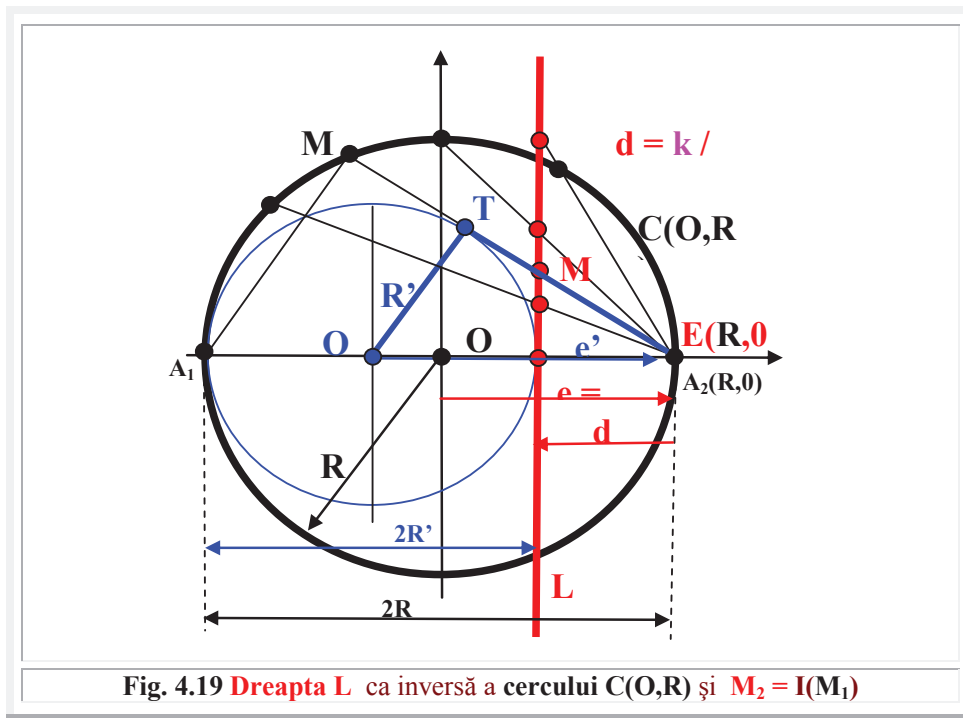
Putem presupune, întotdeauna, punctele M_1 și M_2 de aceeași parte a centrului (de inversiune) E , deoarece cealaltă situație ($e < R$), revine la precedenta, printr-o simetrie de centru E , aplicată punctului M_2 , de exemplu.

Fie o a doua secantă dusă din E care intersectează același cerc C în punctele N_1 și N_2 , astfel că

(4.83) $EM_1 \cdot EM_2 = EN_1 \cdot EN_2 = k^2$, care arată că triunghiurile EM_1N_1 și EM_2N_2 , cu un unghi comun (din E) și două perechi de laturi proporționale, sunt asemenea, de unde rezultă egalitatea unghiurilor

(4.84) $\angle EN_1M_1 = \angle EM_2N_2$, care arată că patrulaterul $M_1N_1N_2M_2$, cu unghiurile opuse din M_2 și din N_1 suplementare este inscripțibil, ceea ce este evident. Rezultă că două perechi de puncte omoloage într-o inverșiune sunt conciclice.

O dreaptă mobilă din E este tangenta la cercul C în punctele T_1 și T_f în care cele două puncte secante sunt confundate $M_1 \equiv M_2$.



Deoarece

$$(4.85) \quad ET_1^2 = ET_f^2 = e^2 - R^2 = k^2,$$

rezultă semnificația geometrică a modului de inverșiune k , ca fiind tocmai lungimea tangentei, adică a segmentului $ET_{i,f}$. $T_{i,f}$ sunt punctele de tangentă din E la cercul de

4. FUNCȚII SUPERMATEMATICE CIRCULARE EXCENTRICE 157

raza \mathbf{R} , echivalentele punctelor de tangentă $W_{i,f}$ din \mathbf{S} la cercul de raza $\mathbf{R} = \mathbf{1}$, iar $M_{1,2} \subset C(\mathbf{R}, \mathbf{O})$ sunt echivalentele punctelor $W_{1,2} \subset C_1(\mathbf{R}=1, \mathbf{O})$.

În timp ce punctele M_1 și N_1 parcurg arcul T_1T_f în sens sinistrorum /levogin, punctele M_2 și N_2 îl parcurg în sens dextrorum/dextrogin. Dacă E este situat pe cerc, atunci $EM_2 = EN_2 = 0$ și în \mathbf{E} se confundă și punctele de tangentă $T_{i,f}$, tangentele confundându-se (în una singură tangentă în \mathbf{E} la cercul \mathbf{C}). În acest caz, dacă dreapta d se rotește în jurul excentrului \mathbf{E} (cu $\mathbf{e} = \mathbf{R}$ sau $\mathbf{s} = \mathbf{1}$) de la $\theta = \pi/2$ la $\theta = 3\pi/2$ numai punctul M_1 , aparținând semidreptei d^+ , care se confundă cu tangenta EM_f , intersectează cercul \mathbf{C} și descrie complet cercul \mathbf{C} , în timp ce punctul M_2 staționează în \mathbf{E} . În continuarea rotației dreptei d , de la $\theta = 3\pi/2$ la $\theta = 2\pi$, numai semidreapta negativă d^- , care se confundă cu tangenta EM_f , intersectează cercul, într-un punct mobil M_2 , care va parcurge o rotație completă pe cercul \mathbf{C} , în timp ce punctul M_1 va staționa în \mathbf{E} , apoi situațiile se repetă.

Aceste observații sunt deosebit de importante, pentru înțelegerea comportării **FSM-CE**, în condițiile particulare, ale excentricității numerice $\mathbf{s} = \pm \mathbf{1}$.

Dacă excentrul E se află pe cerc [$E \subset C(\mathbf{R}, \mathbf{O}) \Rightarrow s = 1$], lungimea tangentei este nulă ($k = 0$, $e = R$), astfel că $EM_1 \bullet EM_2 = 0$ și în timp ce M_1 parcurge integral cercul \mathbf{C} , M_2 staționează în \mathbf{E} , o semiperioadă, apoi staționează M_1 în \mathbf{E} o semiperioadă și M_2 parcurge integral cercul \mathbf{C} .

Dacă punctul $M_{1,2}$ parcurge o linie \mathbf{L} (coarda $M_1 M_2$ de exemplu), locul geometric al punctelor $N_{1,2}$ va fi linia \mathbf{L}' , inversă liniei \mathbf{L} . Inversa unei secante (raze) dusă prin \mathbf{E} este secanta însăși. Dacă polul $\mathbf{E} \equiv \mathbf{O}$, coincide cu centrul cercului $\mathbf{C}(\mathbf{O}, \mathbf{R})$, atunci $\mathbf{e} = \mathbf{0}$ și $p^2(\mathbf{O}) = -\mathbf{R}^2$ astfel că inversiunea \mathbf{I}_O^k invariază punct cu punct cercul $\mathbf{C}(\mathbf{O}, \mathbf{R})$ și transformă interiorul lui (discul circular) în exteriorul lui și exteriorul cercului \mathbf{C} în interiorul lui.

Inversiunea de pol $\mathbf{E} \equiv \mathbf{O}$ și de modul \mathbf{k} este o transformare a planului $\mathbf{\Pi}$, prin care, fiecărui punct $M_1 \subset \mathbf{\Pi} - \{\mathbf{O}\}$ din plan i se asociază punctul M_2 de pe dreapta $OM_1 \equiv EM_1$ astfel încât $EM_1 \bullet EM_2 = OM_1 \bullet OM_2 = k$, iar polului \mathbf{O} i se asociază însăși punctul \mathbf{O} . Punctul \mathbf{O} fiind un punct invariant al inversiunii \mathbf{I}_O^k , rezultând că toate dreptele care trec prin $\mathbf{E} \equiv \mathbf{O}$ sunt invariante în inversiunea \mathbf{I}_O^k . Dacă punctul M_1 aparține unui cerc $\mathbf{C}(\mathbf{O}, \mathbf{R})$, atunci punctul invers M_2 va fi diametral opus, adică $R.\text{rex}_1(\theta = \alpha, s = 0) = -R.\text{rex}_2(\theta = \alpha, s = 0)$, astfel că $OM_1 \bullet OM_2 = k^2 = -R^2$.

Transformatul prin inversiunea \mathbf{i}_E^k de putere k^2 a unui cerc \mathbf{C} , care trece prin polul \mathbf{E} (**Fig. 4.19**), dacă $\mathbf{E} \subset \mathbf{C}(\mathbf{O}, \mathbf{R})$ aparține cercului $\mathbf{C}(\mathbf{O}, \mathbf{R})$, sau $e = R$ și $s = 1$, este o dreaptă \mathbf{L} perpendiculară pe diametrul cercului dus prin \mathbf{E} .

În cele ce urmează, vom indica și poziția (\mathbf{d}) dreptei \mathbf{L} , în raport cu cercul de centru \mathbf{O} și raza \mathbf{R} ca și puterea de inversiune \mathbf{k} , considerate ca date / cunoscute.

Alegând cercul $\mathbf{C}(\mathbf{O}, \mathbf{R})$ și $\mathbf{E}(\mathbf{R}, \mathbf{O}) \subset \mathbf{C}(\mathbf{O}, \mathbf{R})$ rezultă că inversul lui \mathbf{C} este dreapta \mathbf{L} care trece la distanța $\mathbf{d} = \mathbf{e}' - \mathbf{R}'$ de \mathbf{E} și este perpendiculară pe \mathbf{OE} . Știind că lungimea tangentei \mathbf{ET} este \mathbf{k} , rezultă sistemul de ecuații

$$(4.86) \quad \begin{cases} k = \sqrt{e'^2 - R'^2} \\ e' + r' = 2R \end{cases} \text{ din care, fără dificultate, rezultă că dreapta } \mathbf{L} \text{ se află la distanța}$$

(4.87) $d = \frac{k^2}{2R}$ de excentrul \mathbf{E} care a fost ales drept centru de inversiune de modul k .

Rezultă că, pentru $k = 1$, $\Rightarrow d = 1/R$ şi dreapta L se află la o distanţă egală cu inversul razei R a cercului $C(\mathbf{O}, R)$.

Dacă şi $R = 1$, atunci şi $d = 1$ şi L trece prin centrul \mathbf{O} al cercului C . Pentru $R = 0 \Rightarrow$ un cerc C , de dimensiune 0, plasat în $\mathbf{O}(0,0)$ şi pol $\mathbf{E}(e, \varepsilon)$ puterea de inversiune este $k^2 = p^2(E) = e^2$.

Dacă şi polul, sau centrul de inversiune \mathbf{E} , se suprapune cu centrul \mathbf{O} şi, inversele acestor puncte, în inversiunea de putere diferită de zero ($k \neq 0$) se află aruncate pe o dreaptă la infinit!

Este deosebit de interesant, că o infinitate de puncte, M_{1i} , suprapuse unele peste altele în acelaşi loc [$\mathbf{E} \equiv \mathbf{O}(0,0)$], deoarece $R = 0$, din spaţiu plan E^2 , au inversele lor M_{2i} distribuite pe o dreaptă de la infinit, aşa cum rezultă din relaţia (4.82), astfel că distanţele dintre ele, iniţial 0 ($\|M_{1i}M_{1j}\| = 0$), devin infinite ($\|M_{2i}M_{2j}\| = \infty$).

Se deduce că, transformarea prin inversiunea de putere k^2 a unei drepte, ce nu trece prin polul de inversiune, sau, mai precis, care trece la distanţa d de polul \mathbf{E} de inversiune, este un cerc care trece prin centrul \mathbf{E} de inversiune şi are raza R , obţinută din relaţia (4.82)

$$(4.88) \quad R = k/d.$$

Transformarea prin inversiunea de putere k^2 a unui cerc $C(\mathbf{O}, R)$, care nu trece prin centrul / polul \mathbf{E} de inversiune, este un cerc $C'(\mathbf{O}', R')$ care nu trece, nici el, prin polul de inversiune. Să încercăm să determinăm poziţia şi mărimea cercului inversat C' .

Există două inversiuni în plan, una de putere $p^2(E) > 0$ pozitivă şi una de putere $p^2(E') < 0$ negativă, având polurile în \mathbf{E} şi, respectiv, în \mathbf{E}' , care transformă un cerc în celălalt. Poli \mathbf{E} şi \mathbf{E}' corespund intersecţiilor tangentelor exterioare şi, respectiv, interioare la cele două cercuri [Fig.4.20].

Considerând cercul C_2 că transformatul prin homotetia de modul k a cercului C_1 , atunci, pentru $k > 0$ se obţine o asemănare de **genul unu** şi pentru $k < 0$ o asemănare de **genul doi**.

O asemănare $A_k: \Pi \rightarrow \Pi$ se numeşte de **genul unu** dacă A_k păstrează orientarea oricărui triunghi din planul Π . Dacă A_k schimbă orientarea, oricărui triunghi din planul Π , atunci orientarea este de **genul doi**. Homotetia de centru \mathbf{E} este de genul unu iar cea de centru \mathbf{E}' este de genul doi.

Dacă cercurile C_1 şi C_2 sunt **congruente**, atunci există o singură homotetie ($H_E^{k=-1}$) care transformă cercul C_1 în C_2 ; homotetie de modul $k = -1$ şi de centru \mathbf{E}' , astfel că $R_2 = R_1$ şi $e'_1 = O_1E' \cdot \text{rad}0 = e = -e'_2/2 = O_2E' \cdot \text{rad}\pi$.

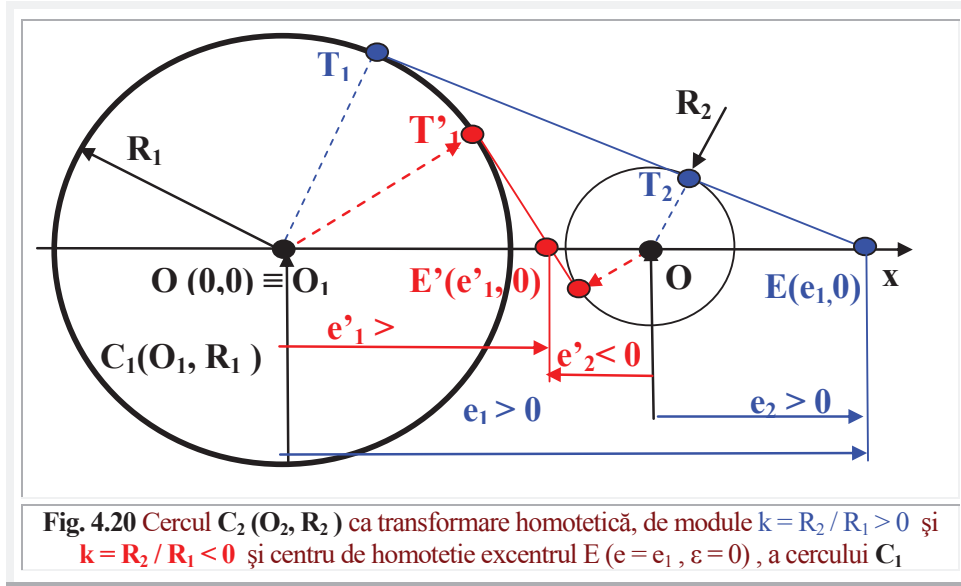
Dacă cercurile C_1 şi C_2 sunt **concentrice**, atunci, de asemenea, există o singură homotetie $H^k_{O_1} \equiv H^k_{O_2}$ modulul k fiind egal cu raportul razelor $k = R_2/R_1$.

Două cercuri **tangente**, interior sau exterior sunt homotetice în raport cu punctul lor de tangentă. Dacă sunt tangente interioare în excentrul \mathbf{E} , atunci $k > 0$, pentru că cele două cercuri sunt la fel orientate: au aceeaşi origine $W(0)$ şi punctele M_{11} şi M_{21} se rotesc pe cerc în acelaşi sens (trigonometric) şi pe aceleaşi semicercuri ale celor două cercuri, în timp ce punctele M_{21} şi M_{22} staţionează în E .

Dacă cercurile sunt tangente exterior, atunci $k < 0$ şi punctele $M_{12} \subset C_2$ şi $M_{21} \subset C_1$ se rotesc pe semicercuri diferite, primul pe semicercul superior al cercului C_2 cu

4. FUNCȚII SUPERMATEMATICE CIRCULARE EXCENTRICE 159

$y_2 > 0$, iar al doilea pe semicercul inferior al cercului C_1 cu $y_1 < 0$, ceea ce arată o schimbare a orientării.



Se mai știe că, dacă $|k| < 1$, asemănarea figurilor conduce la o reducere a dimensiunilor figurii, rezultate prin transformarea homotetică respectivă și la o majorare a dimensiunilor, dacă $|k| > 1$, știind că $EM' = k EM$, M' fiind transformatul prin homotetia H_E^k al lui M .

La putere pozitivă, punctele M_1 și $M_2 = I_E(M_1)$ se află pe aceeași semidreaptă, dusă prin $E(e, \varepsilon)$, astfel că $k^2 = r_1 \cdot r_2 = R^2 \cdot \text{rex}_1\theta \cdot \text{rex}_2\theta = e^2 - R^2 > 0$, de unde rezultă că, cele două cercuri se află cu centrele de aceeași parte a excentrului E , iar dacă cele două puncte M_1 și $M_2 = I_E(M_1)$ se situează pe semidrepte diferite, atunci, de exemplu

$$r_1 = R \cdot \text{rex}_1\theta > 0 \text{ și } r_2 = R \cdot \text{rex}_2\theta < 0,$$

astfel că cele două cercuri se află de o parte și de cealaltă a excentrului E' .

Considerăm cercul $C(O_1, R_1)$ și inversiunea I_E^k cunoscută, adică coordonatele punctelor polul $E(e, \varepsilon)$ și centrul cercului $O_1(0,0)$ precum și raza R_1 a acestuia ca date, urmând să se determine centrul $O_2(c, \varepsilon)$ al cercului transformat precum și raza acestuia R_2 . Evident că O_1, O_2 și E sunt pe aceeași dreaptă (axa centrelor), înclinată cu $\varepsilon = 0$, în figura 4.20, față de axă x , pentru ca tangentele la cele două cercuri se intersectează pe axa centrelor.

Se mai știe că două cercuri, care nu sunt concentrice și nici congruente, se pot transforma unul în celălalt prin două homotetii, una de centru E și alta de centru E' ; cele două homotetii sunt H_E^k și $H_{E'}^{-k}$ având modulele de semne diferite.

Dacă $k^2 > 0$, O_2 se află, între O_1 și E și din E sunt două tangente exterioare comune la celor două cercuri, astfel că, din cele două triunghiuri dreptunghice

asemenea E T₁O₁ și E T₂O₂, cu unghiurile drepte în T₁ și T₂, rezultă proporționalitatea laturilor și o primă constatare

$$(4.89) \quad \frac{O_1 T_1}{O_1 E} = \frac{O_2 T_2}{O_2 E} = \sin \theta_e \rightarrow \frac{e_1}{R_1} = \frac{e_2}{R_2} = \frac{1}{\sin \theta_e} \leftrightarrow s_1 = s_2$$

că excentricitățile numerice ale lui **E**, față de cele două cercuri, sunt aceleași, chiar dacă excentricitățile reale sunt diferite.

Deoarece, cercul **C**₂ este transformatul prin homotetia de modul **k** a cercului **C**₁ și presupunând R₁ > R₂ rezultă proporționalitatea razelor cercurilor **C**₁ și **C**₂ și a distanțelor de la centrele cercurilor la centrul E de homotetie, care sunt tocmai excentricitățile reale, ambele pozitive e₁ = O₁E și e₂ = O₂E, deoarece centrele O₁ și O₂ se află de aceeași parte (stânga, de exemplu) a excentrului **E**(e₁, 0)

$$(4.90) \quad k = \frac{R_1}{R_2} > 1 \quad \text{și} \quad k = \frac{\|EO_1\|}{\|EO_2\|} = \frac{R_1}{R_2}$$

Rezultă imediat că

$$(4.91) \quad R_2 = R_1/k \quad \text{și} \quad R_2 < R_1, \text{ iar } e_2 = \frac{R_2}{R_1} e_1 = \frac{e_1}{k} < e_1, \text{ ceea ce arată ca cercul } C_2 \text{ se află între } E \text{ și } O_1.$$

Dacă **k** < 0, centrul de homotetie **E'**(e₁', 0) este plasat între centrele celor două cercuri și relațiile anterioare se păstrează, cu observația că la o rază **R**₁ orientată în direcția + α rezultă o rază **R**₂ orientată în sens invers, adică pe aceeași direcție dar în sens invers (- α).

Dacă excentricitățile numerice **s**₁ și **s**₂ sunt aceleași, atunci toate valorile **FSM-CE**, definite pe cele două cercuri **C**₁ și **C**₂, sunt deasemenea egale, adică rex_{1,2}(θ, s₁) = rex_{1,2}(θ, s₂), precum și α_{1,2}(θ, s₁) = α_{1,2}(θ, s₂), astfel că și Rex[α_{1,2}(θ, s₁), s₁] = Rex[α_{1,2}(θ, s₂), s₂].

Deoarece

$$(4.92) \quad s \cdot \sin \alpha = r_1 \cdot \sin \beta = rex_1 \cdot \theta \cdot \sin \beta \text{ din care } \sin \beta = \frac{e}{r_1} \sin \alpha, \text{ astfel că}$$

$$(4.93) \quad \text{del}_1 \theta = \sqrt{1 - e^2 \sin^2 \theta} = \sqrt{1 - \frac{e^2}{r_1^2}} = \sqrt{1 - e^2 \left(\frac{\sin \alpha}{rex_1 \theta} \right)^2}$$

rezultă că funcțiile radial excentric pot fi exprimate și de raportul funcțiilor sinus, atât centrice cât și excentrice, ținând cont că sin α_{1,2} = sex_{1,2} θ, unde s-a considerat excentrul plasat pe axa x, adică pentru **ε** = 0

$$(4.94) \quad rex_{1,2} \theta = \frac{\sin \alpha_{1,2}}{\sin \theta} = \frac{sex_{1,2}}{\sin \theta}.$$

În final, se mai poate arăta că, ținând cont de relația (4.22') din care rezultă

$$(4.95) \quad rex_{1,2} \theta = \cos \beta \cdot dex_{1,2} \theta = \frac{d\theta}{du} \cdot dex_{1,2} \theta \quad \text{și, în care, prin definiție,}$$

$$(4.96) \quad dex_{1,2} \theta = d\alpha_{1,2} / d\theta, \text{ astfel că se obțin expresiile funcțiilor radial excentric sub forma raportului unor infiniti mici}$$

$$(4.97) \quad rex_{1,2} \theta = Rex \alpha_{1,2} = \frac{d\alpha_{1,2}}{du}$$

6) Problema Murray Klamkin

Prezentată în lucrarea matematicianului român, stabilit în SUA, **Isaac J. Echoenberg** ["Privești matematică", Ed. Tehnica, Buc.1989, pag 40] ca problemă dată la a XX-a Olimpiadă Internațională de Matematică, ea devine banală prin utilizarea **FSM-CE** radial excentric rexθ. Problema este de geometrie în spațiu **3D** și se

4. FUNCȚII SUPERMATEMATICE CIRCULARE EXCENTRICE

referea la un punct din interiorul unei sfere, dar rezolvarea este aceeași ca și în plan, pentru un punct din interiorul unui cerc.

Problema cere să se arate / demonstreze că suma vectorilor de poziție $\mathbf{r}' = \mathbf{r}(\theta)$ și $\mathbf{r}'' = \mathbf{r}(\theta + \pi/2)$ ambii cu originea într-un punct oarecare $\mathbf{E}(\mathbf{e}, \varepsilon)$, interior cercului $\mathbf{C}(\mathbf{O}, \mathbf{R})$ și cu vârful pe acest cerc, este un vector \mathbf{r} cu vârful în permanență pe un alt cerc $\mathbf{C}_c(\mathbf{O}, \mathbf{R}_c)$ și să se determine / calculeze raza \mathbf{R}_c a acestui cerc. (Care este și raza sferei în 3D).

Vectorii \mathbf{r}' și \mathbf{r}'' vor avea expresiile, exprimate cu funcțiile rex θ ,

$$(4.98) \quad \vec{r}' = R \cdot \text{rex}_{1,2} \theta \cdot \text{rad} \theta = R[-s \cdot \cos(\theta - \varepsilon) \pm \sqrt{1 - s^2 \sin^2(\theta - \varepsilon)}] \cdot \text{rad} \theta = \\ = [-e \cdot \sin(\theta - \varepsilon) \pm \sqrt{R^2 - e^2 \sin^2(\theta - \varepsilon)}] \cdot \text{rad} \theta \quad \text{și}$$

$$(4.99) \quad \vec{r}'' = R \cdot \text{rex}_{1,2}(\theta + \pi/2) \cdot \text{rad}(\theta + \pi/2) = \\ = [e \cdot \sin(\theta - \varepsilon) \pm \sqrt{R^2 - e^2 \cos^2(\theta - \varepsilon)}] \cdot \text{rad}(\theta + \pi/2)$$

și sunt reprezentați în figura 4.21 pentru cel mai general caz posibil. Se observă, din figură, că vectorul \mathbf{R}_c este suma vectorilor \mathbf{R}' și \mathbf{R}'' , care se obțin cu ajutorul proiecțiilor vectorului $\mathbf{e} \cdot \text{rad} \varepsilon$ pe cei doi vectori \mathbf{r}' și \mathbf{r}'' și sunt

$$(4.100) \quad \vec{R}' = \vec{r}' + e \cdot \cos(\theta - \varepsilon) \cdot \text{rad} \theta = \pm \sqrt{R^2 - e^2 \sin^2(\theta - \varepsilon)} \cdot \text{rad} \theta \quad \text{și}$$

$$(4.101) \quad \vec{R}'' = \vec{r}'' - e \cdot \sin(\theta - \varepsilon) \cdot \text{rad}(\theta + \pi/2) = \\ = \pm \sqrt{R^2 - e^2 \sin^2(\theta - \varepsilon)} \cdot \text{rad}(\theta + \pi/2)$$

Raza \mathbf{R}_c este modulul vectorului $\mathbf{R}_c \cdot \text{rad} \alpha_c$, în care unghiul la centru α_c este

$$(4.102) \quad \alpha_c = \arctan \frac{R''}{R'} = \arctan \sqrt{\frac{R^2 - e^2 \cos^2(\theta - \varepsilon)}{R^2 - e^2 \sin^2(\theta - \varepsilon)}} \quad \text{și modulul vectorului este}$$

$$(4.103) \quad R_c = \sqrt{R'^2 + R''^2} = \sqrt{2R^2 - e^2}, \quad \text{care este și raza cercului } \mathbf{C}_c(\mathbf{O}, \mathbf{R}_c).$$

Se poate verifica imediat relația anterioară, deoarece pentru $e = 0$, \mathbf{R}_c este diagonală $R\sqrt{2}$ a pătratului de latura \mathbf{R} , ceea ce rezulta și din (3.98).

Relația anterior dedusă este valabilă și pentru un excentru situat chiar pe cercul $\mathbf{C}(\mathbf{O}, \mathbf{R})$, adică pentru $e = R$, în care caz $\mathbf{R}_c = \mathbf{R}$, astfel că vectorul sumă \mathbf{r} are vârful pe același cerc, așa cum rezultă și din relație.

Există **trei** posibilități în acest caz. Primul, când θ are o valoare pentru care atât $\mathbf{M}'(\theta)$ cât și $\mathbf{M}''(\theta + \pi/2)$ staționează în $\mathbf{E}(\mathbf{R}, \varepsilon)$, caz în care θ și $\theta + \pi/2$, aparțin intervalului în care una dintre funcțiile $\text{rex}_{1,2} \theta$ nu există, semidreapta care generează punctele nu intersectează cercul decât în \mathbf{E} , astfel că ambii vectori sunt **nuli** și vârful vectorului lor sumă este tocmai excentrul \mathbf{E} situat pe cerc. În cel de-al doilea caz, una dintre valorile θ sau $\theta + \pi/2$ este în afara domeniului în care funcția rex θ sau rex $(\theta + \pi/2)$ nu există, astfel că unul dintre cei doi vectori este nul și vârful vectorului sumă este tocmai vârful celuilalt vector, care are, evident, vârful pe același cerc $\mathbf{C}(\mathbf{O}, \mathbf{R})$.

Al treilea caz este acela în care ambii vectori există, pentru că atât θ cât și $\theta + \pi/2$ sunt în domeniul de existență al **FSM-CE**, iar suma acestor doi vectori este un vector situat pe diametrul cercului $\mathbf{C}(\mathbf{O}, \mathbf{R})$ și cu vârful pe cerc, în punctul diametral opus punctului $\mathbf{E}(\mathbf{e}, \varepsilon)$ de pe cerc.

Aşa cum rezultă din relația (4.103) pentru $e \leq R \Rightarrow R_C \geq R$. Există și puncte, din exteriorul discului circular, în care poate fi plasat excentrul \mathbf{E} , pentru care, însă, vârful vectorului sumă se află pe un cerc C_C dispus în interiorul cercului $C(\mathbf{O}, R)$ dat, astfel că există și posibilitatea ca $R_C < R$, caz în care $R < e < R\sqrt{2}$, adică excentrul \mathbf{E} poate fi plasat numai în interiorul pătratului de latura $2R$ în care se înscrie cercul $C(\mathbf{O}, R)$.

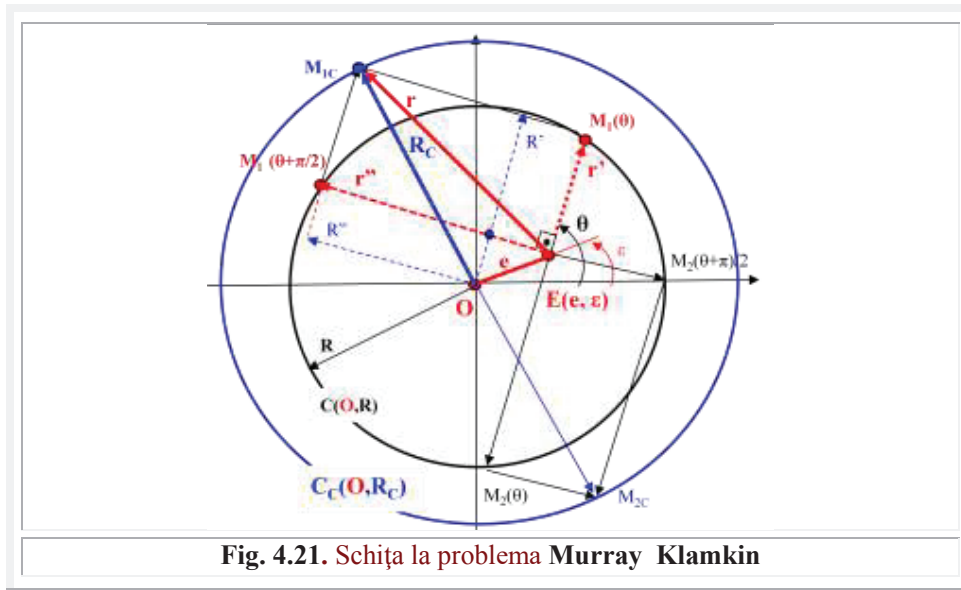


Fig. 4.21. Schița la problema Murray Klamkin

Dacă \mathbf{E} este plasat în colțul acestui pătrat, atunci cei doi vectori r' și r'' sunt tangenți la cercul C și vârful vectorului suma este plasat în centrul O al cercului, astfel că $R_C = 0$.

Expresia razei putea fi și mai simplu dedusă, considerând vectorii r' și r'' pentru $\theta = 0$, pentru care modulul lui r' este

$$(4.104) \quad r' = R - e \quad \text{și, respectiv } \theta = \pi/2, \text{ pentru care modulul lui } r'' \text{ este}$$

$$(4.105) \quad r'' = \sqrt{R^2 - e^2}, \text{ astfel că modulul vectorului suma } \mathbf{r} \text{ este } \sqrt{2R^2 - 2eR}, \text{ cu originea în } \mathbf{E}(e, 0) \text{ și modulul vectorului } R_C, \text{ cu originea în } O, \text{ este}$$

$$(4.106) \quad R_C = \sqrt{[e + (R - e)]^2 + [R^2 - e^2]^2} = \sqrt{2R^2 - e^2}, \text{ numai că, în acest caz, particular, demonstrația n-ar fi fost generală, valabilă pentru oricare punct } \mathbf{E} \text{ din discul circular.}$$

Deoarece, relația lui R_C nu depinde de θ , indică faptul că este independentă de θ , deci valabilă pentru oricare θ , iar faptul că nu depinde nici de ε , indică posibilitatea plasării indiferente a lui $\mathbf{E}(e, \varepsilon)$ în jurul originii O la distanța e . Singurele mărimi care influențează mărimea razei R_C sunt raza R a cercului considerat și excentricitatea reală

4. FUNCȚII SUPERMATEMATICE CIRCULARE EXCENTRICE

e; mai precis raportul lor **s**, creșterea razei **R** conducând la creșterea lui **R_C** și creșterea excentricității **e** la scăderea ei.

Considerând în problema anterioară **R = 1** rezultă că, din relația de definiție a funcțiilor $rex_{1,2}\theta$, oricare ar fi θ și excentrul **S(s,ε)**, radicalul sumei pătratelor funcțiilor radial excentric de θ și de $\theta + \pi/2$ este o **constanta**, iar aceasta constantă este

$$(4.107) \quad \sqrt{rex_{1,2}^2\theta + rex_{1,2}^2(\theta + \pi/2)} = \sqrt{2 - s^2} = \text{constant.}$$

În acest mod, problema enunțată a fost mult mai simplu rezolvată, pe de o parte, iar pe de alta parte, ea a fost extinsă și la punctele exterioare cercului și la cele situate pe cerc, stabilind, totodată, o altă proprietate și o altă valoare constantă pentru operațiile cu **FSM-CE** radial excentric.

Dacă, dintre cei doi vectori, unul este nul și vârful vectorului suma este tocmai vârful celui alt vector, el are, evident, vârful pe același cerc **C(O,R)**.

Al treilea caz este acela în care ambii vectori există, pentru că atât θ cât și $\theta + \pi/2$ sunt în domeniul de existență al **FSM-CE**, iar suma acestor doi vectori este un vector situat pe diametrul cercului **C(O,R)** și cu vârful pe cerc, în punctul diametral opus punctului **E(e,ε)** de pe cerc.

7) Reprezentarea într-un plan a triunghiurilor cu ajutorul FSM-CE radial excentric.

Notând cu **OEM** vârfurile unui triunghi oarecare (scalene) și cu α unghiul din **O** (0,0), cu $\pi - \theta$ unghiul din **E(e,ε)** și cu β unghiul din **M**(α, R), rezultă mărimile laturilor ca fiind

$$(4.108) \quad OE = e, OM = R \text{ și } r_{1,2} = EM_{1,2} = R \cdot rex_{1,2} \theta \text{ sau}$$

$$(4.108') \quad EM_{1,2} = R \cdot \text{Rex } \alpha_{1,2} \text{ și, în acest fel, atât poziția cât și mărimea acestui triunghi sunt complet determinate de expresia:}$$

$$(4.109) \quad R_{1,2} = R \cdot \text{rex}_{1,2} \theta \quad \text{sau de expresia}$$

$$(4.110) \quad R_{1,2} = R \cdot \text{Rex } \alpha_{1,2} \text{ , așa cum se poate observa în figurile 3.22 și 3.23.}$$

În prima formă, ca funcții de θ - **variabila motoare**, **R**, **e** și **ε**, **R** și **e** dau mărimea triunghiului iar θ tipul triunghiului, care poate fi , cu referire la triunghiul din cadranul I

- **Ascutitunghic**, pentru $\theta - \varepsilon > \pi / 2$ și $\alpha_1(\theta) - \varepsilon < \pi / 2$
- **Dreptunghic**, pentru $\theta - \varepsilon = \pi / 2$ și $\alpha_1(\theta) - \varepsilon < \pi / 2$
- **Obtuzunghic**, pentru $\theta - \varepsilon < \pi / 2$ și $\alpha_1(\theta) - \varepsilon < \pi / 2$

Unghiul ε dă poziția rotită a triunghiului în jurul vârfului **O(0,0)**, astfel, pentru $\varepsilon = 0$, triunghiul dreptunghic este în cadranul I pentru prima determinare (**M₁⁺**) și în cadranul IV pentru cea de a doua determinare (**M₂⁺**).

Pentru $\varepsilon = \pi$, ceea ce echivalează, așa cum s-a mai arătat, cu **E⁻** pe semiaxa **x** negativă, adică o excentricitate **e** < 0, cu prima determinare, triunghiul dreptunghic se situează în cadranul II, iar cu cea de a doua determinare în cadranul III, așa cum rezultă și din figura 4.22.b. Cu $\varepsilon = \pi / 2$, excentrele, ca și triunghiurile, se rotesc cu $\pi / 2$, **E⁺** situându-se pe semiaxa **y** > 0 și **E⁻** pe semiaxa **y** < 0. Se poate alege un unghi $\theta > \pi/2$

pentru $e > 0$ și un $\theta < \pi/2$ în cazul unui $e < 0$, astfel încât $\alpha(\theta) = \pi/2$ și unghiul drept din \mathbf{E} să apară în O .

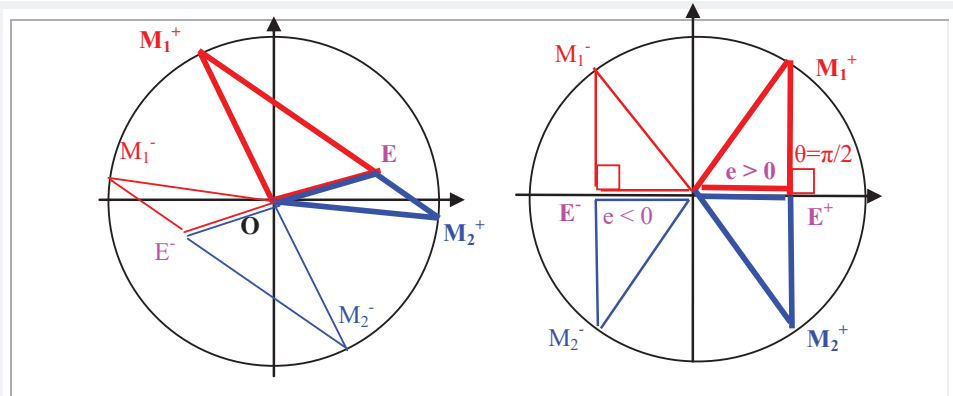


Fig. 4.22 Exprimarea mărimii și a poziției triunghiurilor în plan cu ajutorul FSM-CE $R.rex_{1,2}\theta$

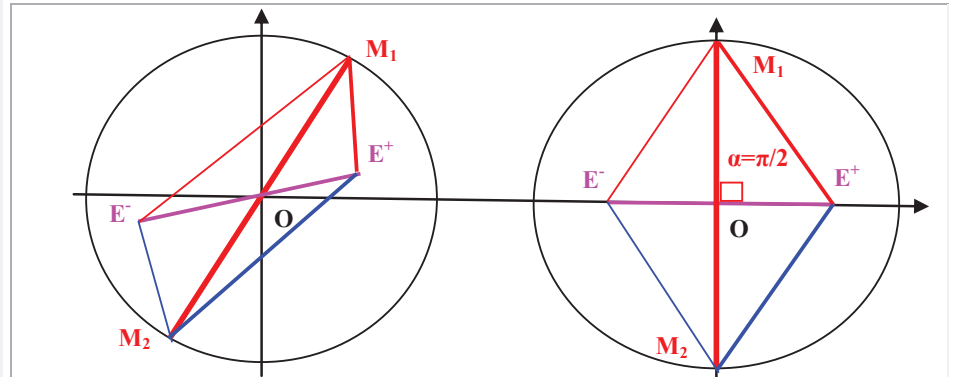


Fig. 4.23 Exprimarea mărimii și a poziției triunghiurilor în plan cu ajutorul FSM-CE $R.Rex_{1,2}\alpha$

În cea de a doua formă, (Fig. 4.23) ca funcție de α – variabilă motoare-, R , e și c situația este asemănătoare, cu observația că mărimea triunghiului este dată tot de dimensiunile liniare R și e , iar ϵ dă poziția rotită a triunghiului, în jurul lui $O(0,0)$ și α este variabila care stabilește tipul triunghiului, așa cum se poate observa în figura 4.23, pentru triunghiul din cadranul I,

- **Acutitunghic**, pentru $\alpha - \epsilon < \pi/2$ și $\theta_1(\alpha) - \epsilon > \pi/2$
- **Dreptunghic**, pentru $\alpha - \epsilon = \pi/2$ și $\theta_1(\alpha) - \epsilon > \pi/2$
- **Obtuzunghic**, pentru $\alpha - \epsilon > \pi/2$ și $\theta_1(\alpha) - \epsilon > \pi/2$.

În cazurile în care $\alpha_{1,2}(\theta) = \theta$, când $\epsilon = \alpha_{1,2} = \theta$, sau $\theta_{1,2}(\alpha) = \alpha$, când $\epsilon = \theta_{1,2} = \alpha$,

4. FUNCȚII SUPERMATEMATICE CIRCULARE EXCENTRICE

triunghiurile sunt **degenerate**, laturile OE și EM_{1,2} suprapunându-se peste latura OM_{1,2}.

Pot fi deduse, fără dificultate, și condițiile în care un anumit triunghi este **scalene** (oarecare), **isoscel** sau **echilateral**. Pentru $R \neq e \neq r_{1,2}$ triunghiul este scalen, pentru $R = e \neq r_{1,2}$, adică $s = 1$, triunghiul este **isoscel** și pentru $R = e = r_{1,2} \Rightarrow \beta(\alpha) = \pi - \theta + \varepsilon = \alpha - \varepsilon$ triunghiul este **echilateral**. Mai există, evident, și alte posibilități, pe lângă cele enumerate.

Entitățile/mărimile R , e și $r_{1,2}$, considerate anterior, se consideră **segmente orientate**. Dacă $R > 0$ pentru un unghi α oarecare, atunci, pentru $\alpha' = \alpha \pm \pi$, segmentul/vectorul R este orientată în sens invers, astfel că se poate considera $R < 0$.

La fel, dacă pentru un unghi ε oarecare $e > 0$, E situându-se inițial pe semidreapta pozitivă OE^+ , atunci, pentru un $\varepsilon' = \varepsilon \pm \pi$ excentrul E^- se va situa simetric față de originea O, pe semidreapta negativă, astfel că se consideră $e < 0$. Pentru $r_{1,2}(\theta) = R \cdot rex_{1,2}\theta = R \cdot Rex_{1,2}(\alpha)$ ca și pentru $r_{1,2}(\theta) = R \cdot rex_{1,2}(\alpha) = R \cdot rex(\theta_{1,2})$ au fost deja stabilite semnele plus și minus în funcție de una dintre cele două determinări posibile pentru $e \leq R$ și pentru cele patru determinări posibile ale **FSM-CE** radial excentric și, respectiv, a extensiilor lor pentru $e > R$. Și în acest caz, dacă $r_{1,2}(\theta) > 0$, atunci $r_{1,2}(\theta \pm \pi) < 0$ iar dacă $r_{1,2}(\alpha) > 0$, atunci $r_{1,2}(\alpha \pm \pi) < 0$, din aceleași motive, ale schimbării cu π a sensului segmentului / vectorului $r_{1,2}$ (impropriu / greșit denumită și schimbare „a orientării”, care rămâne neschimbată, pe aceeași direcție θ și, respectiv, α ; orientarea indicând doar **direcția** (θ sau α) nu și sensul [+ sau -] pe direcția respectivă).

8) FSM-CE $rex_{1,2}\theta$ ca soluții ale ecuațiilor algebrice de gradul al doilea cu o singură necunoscută

1. Fie ecuația algebrică **completă** sub **forma generală** de gradul al doilea cu o singură necunoscută x

(4.111) $x^2 + p \cdot x + q^2 = 0$ și $a \cdot x^2 + b \cdot x + c + 0$ sub forma **completă normală** ale carei rădăcini sunt [2]

(4.112) $x_{1,2} = R \cdot rex_{1,2}[\theta, E(e, \varepsilon)]$, în care s-a înlocuit q cu q^2 pentru omogenizare

(4.113) $R = \pm \sqrt{\frac{p^2}{4\cos^2(\theta - \varepsilon)} - q^2}$ și

(4.114) $e = R \cdot s = \|OE\| = \frac{p}{2\cos(\theta - \varepsilon)}$ astfel că $R = \pm \sqrt{e^2 - q^2}$ și

(4.115) $q^2 = e^2 - R^2$, reprezintă puterea punctului $E(s, \varepsilon)$ față de cercul $C(R, O)$ și, așa cum s-a arătat, reprezintă, totodată, pătratul lungimii $\|ET_{i,f}\|^2$ a tangentei din E la cercul $C(O, R)$.

Mai rezultă din (4.110) că

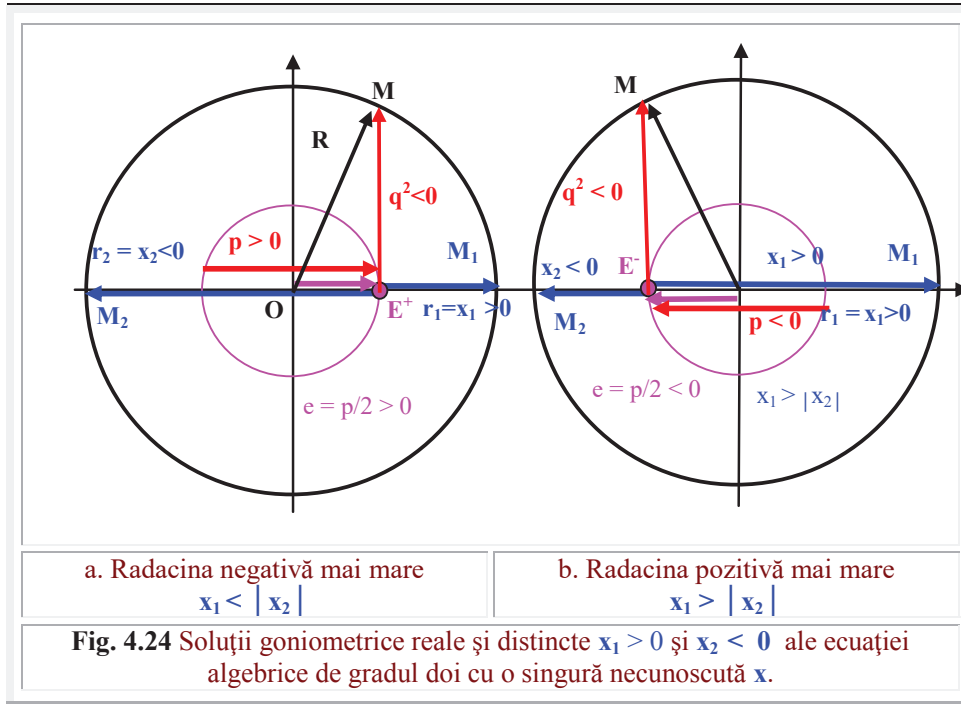
(4.116) $p = 2e\cos(\theta - \varepsilon) \rightarrow e \cdot \cos(\theta - \varepsilon) = p/2$

Se știe că suma și produsul rădăcinilor sunt date de formulele lui **François Viète**

Viète

(4.117)
$$\begin{cases} \Sigma \equiv x_1 + x_2 = -p = -\frac{b}{a}, \\ \Pi \equiv x_1 x_2 = q^2 = \frac{c}{a} \end{cases}$$
 iar suma și produsul celor două determinări

ale funcțiilor $R \cdot rex_{1,2}\theta$ sunt



$$(4.118) \begin{cases} R \cdot r \cos \theta + R \cdot r \sin \theta = R(1 - s^2) = -2Rscos(\theta - \varepsilon) = -2ecos(\theta - \varepsilon) \\ Rr \cos \theta \cdot Rr \sin \theta = -R^2(1 - s^2) = e^2 - R^2 \end{cases}$$

Soluțiile, arhicunoscute, ale ecuației sunt

$$(4.119) \quad x_{1,2} = -\frac{p}{2} \pm \sqrt{\left(\frac{p}{2}\right)^2 - q^2} = \frac{-b \pm \sqrt{b^2 - 4ac}}{2a}, \text{ iar } R \cdot r \cos \theta \text{ se poate scrie,}$$

înlocuind sinusul prin cosinus în relațiile de definire ale **FSM-CE** radial excentric de θ

$$(4.120) \quad r_{1,2} = R \cdot r \cos \theta = -ecos(\theta - \varepsilon) \pm \sqrt{[ecos(\theta - \varepsilon)]^2 - (e^2 - R^2)}$$

Comparand cele două seturi de relații (4.119) cu (4.120), rezultă

$$(4.121) \quad \begin{cases} p = \frac{b}{a} = 2ecos(\theta - \varepsilon) \\ q^2 = \frac{c}{a} = e^2 - R^2 \end{cases}, \text{ ceea ce demonstrează că } r_{1,2} = R \cdot r \cos \theta \text{ sunt}$$

radacinile ecuației algebrice de gradul doi cu o singură variabilă x , așa cum s-a afirmat prin relația (4.112).

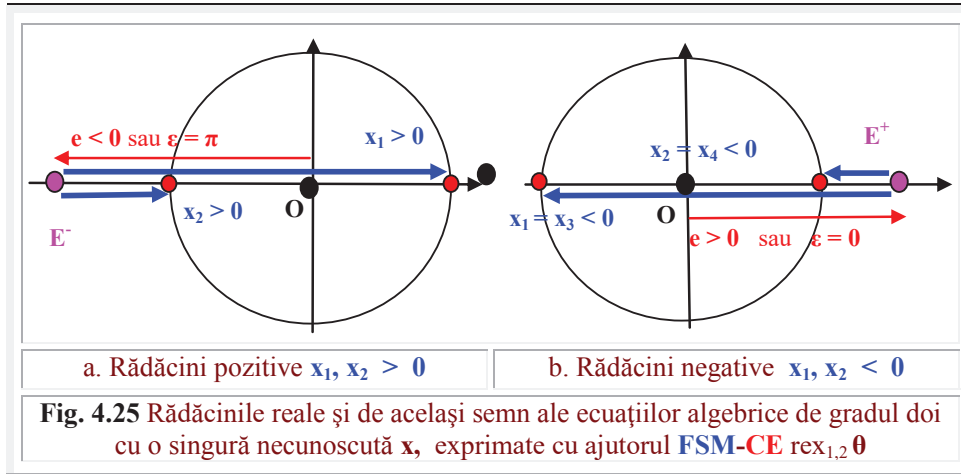
2. Din prima relație (4.116) mai rezultă că

$$(4.122) \quad \cos(\theta - \varepsilon) = \frac{p}{2e} \text{ și poate fi considerat } \pm 1, \text{ în toate cazurile [2], deci}$$

și pentru **rădăcini reale**, când discriminantul ecuației $\Delta > 0$, iar din relația (4.120) rezultă că, în acest caz, discriminantul Δ este chiar raza cercului

$$(4.123) \quad \Delta = \pm R \text{ și, din condiția } \cos(\theta - \varepsilon) = \pm 1, \text{ rezultă } \theta = 0 \text{ și } \varepsilon = 0, \text{ când } e > 0 \text{ pentru semnul plus (+) și } \varepsilon = \pi \text{ când } e < 0 \text{ pentru semnul minus (-).}$$

4. FUNCȚII SUPERMATEMATICE CIRCULARE EXCENTRICE



În toate cazurile, în care rădăcinile sunt **reale**, vectorii $\vec{r}_{1,2}$ trebuie să aibe componente numai pe axa x , adică ei se așează / confundă cu această axă, în care caz, este strict necesar ca $\theta = 0$ și $\varepsilon = 0$ ($e > 0$) sau $\varepsilon = \pi$ ($e < 0$). În acest caz, așa cum se prezintă în figura 4.24,a și 4.24,b și cum rezultă din relația (4.120), pentru rădăcini reale de semne contrare

$$(4.124) \quad x_{1,2} = r_{1,2} = R \cdot \text{rex}_{1,2} = -e \pm R \Rightarrow x_1 = R - e > 0 \text{ și } x_2 = -R - e < 0$$

(Fig. 4.24,a), pentru $p, e > 0$, când, se știe că $x_1 < |x_2|$, iar pentru $p, e < 0$ rezultă

$$(4.125) \quad x_{1,2} = r_{1,2} = R \cdot \text{rex}_{1,2}[\theta = 0, E^- (e < 0 \text{ sau } \varepsilon = \pi)] = e \pm R \Rightarrow x_1 = e + R > 0 \text{ și } x_2 = e - R < 0, \text{ deoarece } e < R \text{ sau } s < \text{ (Fig. 4.24,b), caz în care } x_1 > |x_2|.$$

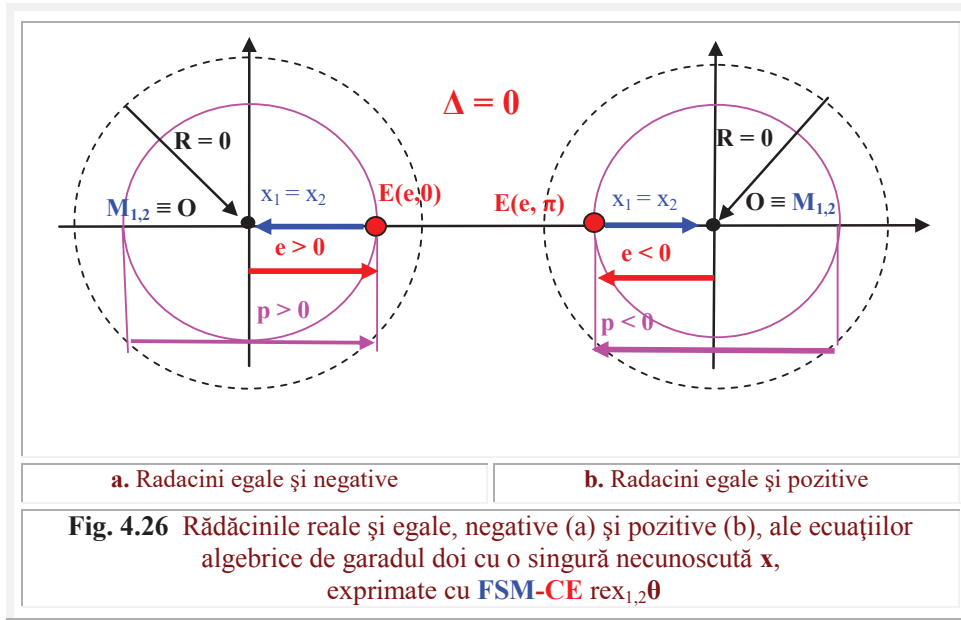
3. Soluțiile goniometrice [Hütte, Vol I, pag. 45] ca și rădăcinile exprimate cu ajutorul FTC [Rogai, E, Tabele și formule matematice, Ed. Tehnică, pag 42] sunt cu mult mai simple de determinat, analitic, așa cum s-a arătat, prin funcțiile $\text{rex}_{1,2}\theta$ și grafic, așa cum se indică în figurile 4.24,a și 4.24,b, pentru rădăcini reale și distincte: perpendicular pe extremitatea lui p se ridică înălțimea $h = q$ care este medie proporțională între segmentele determinate pe ipotenuză și care sunt tocmai rădăcinile căutate x_1 și x_2 . Jumătatea lui p este e și R este distanța de la mijlocul lui p la extremitatea lui q .

O metodă mai simplă ca aceasta n-a apărut încă și o vom denumi **rădăcinile ecuației de gradul doi exprimate cu ajutorul funcțiilor trigonometrice circulare excentrice (FCE)**. Această metodă se va dovedi deosebit de productivă la inecuațiile de gradul doi, pentru că, în funcție de poziția excentrului E față de O pe axa x , semnele rădăcinilor x_1 și x_2 sunt mult mai evidente.

Astfel, dacă E este **interior** cercului $C(O,R)$, atunci rădăcinile reale sunt de semne diferite. Dacă E este **exterior** cercului (Fig. 4.25 a și b) pe axa $x > 0$, pentru $p = 2e > 0$, atunci ambele rădăcini sunt negative, deoarece cercul C este intersectat la $\theta = 0$ numai de semidreapta negativă d^- , iar dacă E este situat la stânga lui O și în afara

Mircea Eugen Șelariu

cercului, pe semiaxă $x < 0$, pentru $p = 2e < 0$, atunci ambele rădăcini sunt pozitive (pentru $\theta = 0$), deoarece cercul este intersectat doar de semidreapta pozitivă d^+ .



4. Dacă discriminantul ecuației $\Delta = 0$, se știe că rădăcinile sunt egale. Considerând $a > 0$, atunci pentru $b, p > 0 \Rightarrow e > 0$ cele două radacini sunt negative, iar pentru $b, p < 0 \Rightarrow e < 0$ cele două radacini egale sunt pozitive, așa cum este ilustrat în figura 4.26,a și 4.26,b.

Din relația (4.123) rezultă că, pentru $\Delta = 0 \Rightarrow R = 0$, iar din relația (3.115) rezultă că

(4.126) $x_{1,2} = -e \cdot \cos(\theta - \varepsilon)$ și, pentru $\cos(\theta - \varepsilon) = \pm 1$, rezultă

(4.127) $x_{1,2} = r_{1,2} = \mp e$, rădăcinile ecuație în acest caz, în care $e = p / 2$.

5. Din relația (4.122) mai rezultă că, pentru $p = 0 \Rightarrow e = 0$, ecuația este incompletă, pur pătratică și rădăcinile sunt egale și de semne contrare $x_1 = -x_2$, sau $r_1 = -r_2$, sau $r_2 = -r_1$, caz în care, din relațiile (4.119) și (4.121), pentru $p = 0$ și pentru $q^2 < 0$ se obține

(4.128) $x_{1,2} = \pm \sqrt{-q^2} = \pm \sqrt{R^2 - e^2} = \pm R = \pm q$, iar pentru $q^2 > 0$

(4.129) $x_{1,2} = \pm i \cdot R$, așa cum se poate observa în figura 4.27,a și 4.27,b.

În exemplul $q^2 > 0$, argumentele $\varphi_{1,2}$ ale numerelor pur complexe și conjugate $x_{1,2}$ sunt

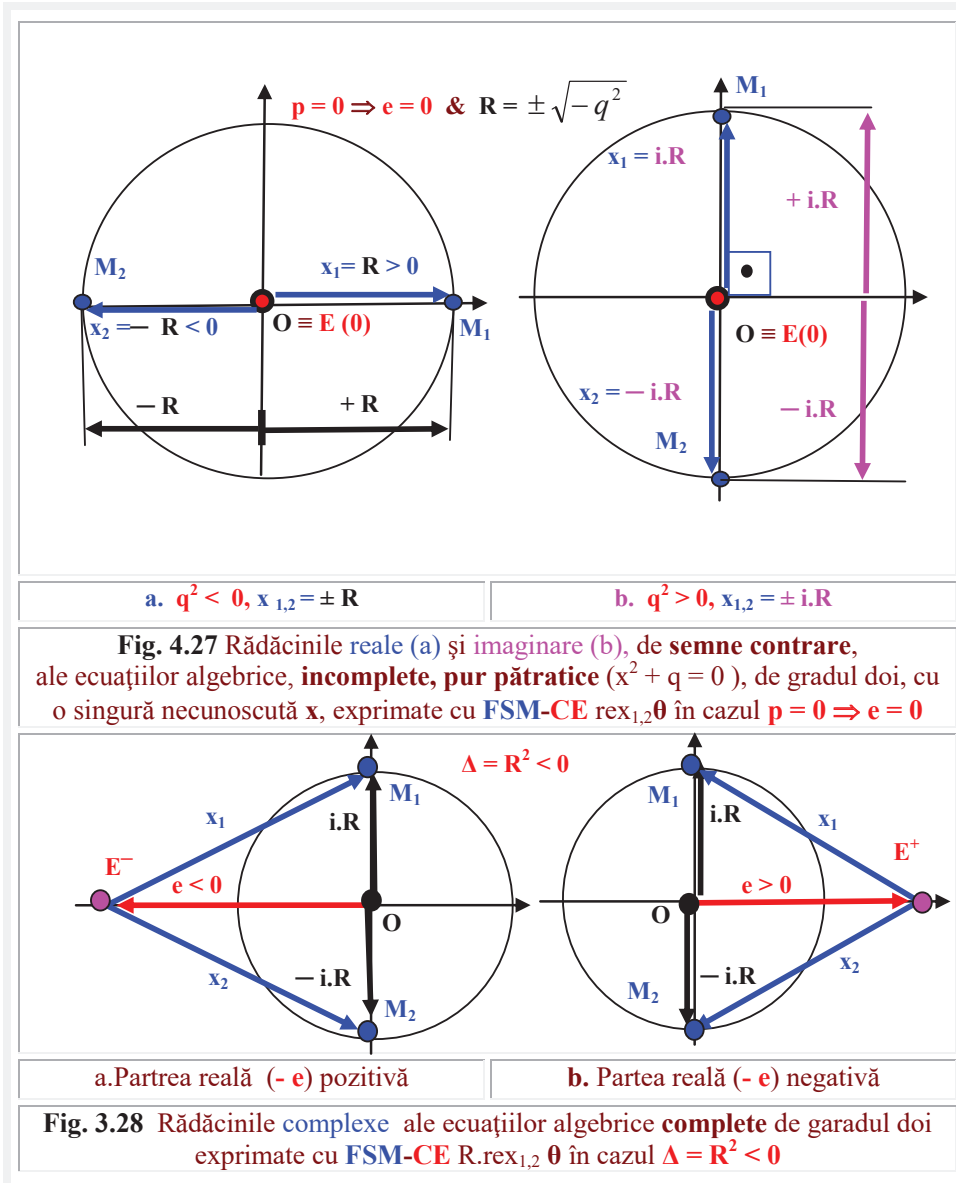
(4.130) $\varphi_{1,2} = \pm \pi / 2$, pentru că cele două rădăcini, pur imaginare, nu au, așezat, componente pe axa reală (Fig. 3. 27.b).

4. FUNCȚII SUPERMATEMATICE CIRCULARE EXCENTRICE

6. In cazul $\Delta < 0$ rădăcinile sunt **complexe conjugate**. Considerand $\theta - \varepsilon = 0$, rezultă

$$(4.131) \quad \Delta = R^2 = -q^2 < 0 \Rightarrow q^2 > 0 \Rightarrow R^2 < 0 \text{ astfel că radacinile sunt}$$

$$(4.132) \quad x_{1,2} = -e \pm i.R = -p/2 \pm \Delta = -p/2 \pm \sqrt{\left(\frac{p}{2}\right)^2 - q^2},$$



Mircea Eugen Șelariu

Pentru $p, e < 0$, componenta reală $-e > 0$ este pozitivă și situația este prezentată în figura 4.28.a, iar pentru $p, e > 0$ și componenta reală negativă ($-e < 0$), situația este prezentată în figura 4.28.b.

Rădăcinile complexe sunt și **conjugate**, ceea ce nu se subliniază întotdeauna suficient în literatura de specialitate, pentru ecuațiile de **gradul doi**; nu și pentru ecuații de grad superior.

Dacă rădăcinile sunt conjugate, atunci punctele $M_{1,2}$ sunt simetrice față de axa x , astfel că cele două componente imaginare sunt egale, de modul R și de semne contrare

$$(4.133) \quad y_{1,2} = \pm i.R = \sqrt{\left(\frac{p}{2}\right)^2 - q^2} = \sqrt{\Delta} = \sqrt{R^2} = \pm R ,$$

pentru $p/2 < q$ și componentele reale sunt

$$(4.134) \quad x_{1,2} = \pm (-e) = \mp e , \text{ așa cum se arată în figura 4.28,a și 4.28,b.}$$

Argumentele numerelor complexe, în acest caz, sunt

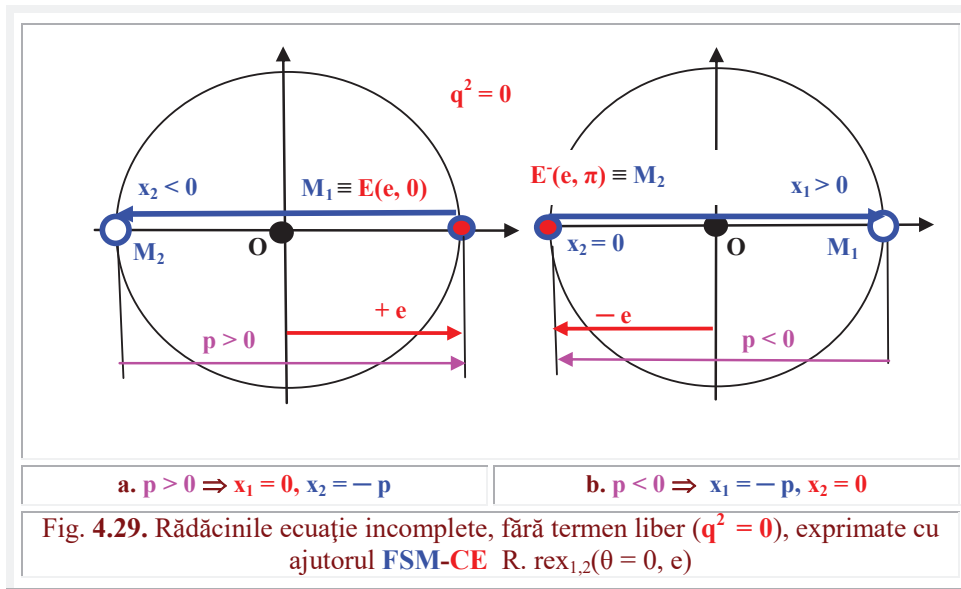
$$(4.135) \quad \varphi_{1,2} = \pm \arctan(R/e) = \pm \arctan(1/ s)$$

7. Ecuația incompletă, fără termen liber ($q^2 = 0$) sub forma normală este

$$(4.136) \quad x^2 + p.x = 0 \Rightarrow x(x + p) = 0 \quad \text{și are radacinile}$$

$$(4.137) \quad x_1 = 0 \text{ și } x_2 = -p = -e \text{ și din (3.126), pentru } q^2 = 0, \text{ rezultă același lucru}$$

$$(4.138) \quad x_{1,2} = -p/2 \pm p/2 \text{ sau } x_{1,2} = r_{1,2} = -e \pm e \Rightarrow x_1 = 0 \text{ și } x_2 = -2e = p, \text{ așa cum este ilustrat în figura 4.29,a, pentru } p > 0 \text{ și b pentru } p < 0.$$



8. În concluzie

- În **toate cazurile** soluțiile sunt **reprezentate** de funcțiile radial excentric

4. FUNCȚII SUPERMATEMATICE CIRCULARE EXCENTRICE

(4.139) $x_{1,2} = r_{1,2} = R \cdot \text{rex}_{1,2}\theta$, pentru $\theta = 0$ și $\varepsilon = 0$ ($\Rightarrow e = \pm e$) $\Rightarrow \cos(\theta - \varepsilon) = \pm 1$ astfel că și $e \cdot \cos(\theta - \varepsilon) = \pm e$ și relația de definiție a funcțiilor (3.132) va avea expresia simplă

(4.140) $x_{1,2} = r_{1,2}(\varphi_{1,2}) = -e \pm R$, în care, așa cum s-a văzut,

(4.141) $-e = -p$ și

(4.142) $R^2 = \Delta$, astfel că $\sqrt{\Delta} = \begin{cases} \pm R, \text{dacă } \Delta > 0 \\ \pm i \cdot R, \text{dacă } \Delta < 0 \end{cases}$ și $R = 0$ dacă $\Delta = 0$

• În toate cazurile, soluțiile sunt reprezentate de excentrul $E(e, \varepsilon) \equiv E(\pm e, 0)$ situat **invariabil** pe axa x ($\varepsilon = 0 \Rightarrow e \Rightarrow +e$ sau $\varepsilon = \pi \Rightarrow e \Rightarrow -e$) și de punctele $M_{1,2}(x_{1,2}, y_{1,2})$; vectorii $r_{1,2}(\varphi_{1,2}) = EM_{1,2} \cdot \text{rad } \varphi_{1,2}$ fiind rădăcinile căutate, sau soluțiile ecuației.

• Dacă rădăcinile sunt reale atunci **invariabil** $\varphi_{1,2} = \theta = 0$

• Dacă rădăcinile sunt complexe conjugate, cu sau fără parte reală, atunci $\theta = 0$, iar argumentele $\varphi_{1,2}$ ale numerelor complexe conjugate sunt date de relațiile

(4.143) $\varphi_{1,2} = \arctan(R/e) = \arctan(1/s)$

• Raza cercului R , de definiție a funcțiilor $R \cdot \text{rex}_{1,2}(0, E)$ este nulă ($R = 0$) numai când $\Delta = 0$, iar excentricitatea e este nulă ($e = 0$) numai când $p = 0$ și ecuația este incompletă, pur pătratică, cu sau fără termen liber. În ultimul caz (și $q^2 = 0$) și $R = 0$, astfel că ecuația are soluțiile banale $x_{1,2} = 0$ ($e = R = 0$), punctele $M_{1,2} \equiv E \equiv O$.

• Funcțiile radial excentric ($R \cdot \text{rex}_{1,2} \theta$) sunt, deci, definite pe același cerc de rază R , de același excentru $E(e, \varepsilon)$ și, evident, de aceeași excentricitate e (în modul) sau de $\pm e$, ceea ce înseamnă $\varepsilon = 0$, pentru semnul plus (+) și $\varepsilon = \pi$ pentru semnul minus (−) al lui e . Ca urmare, determinarea rădăcinilor ecuației consistă în determinarea a trei mărimi (R , $|e|$ și ε sau, mai precis, numai a două mărimi (R și $\pm e$, deoarece $\varepsilon = 0$), pentru rădăcini **reale**, pentru care $\theta = \varphi_{1,2} = 0$. Pentru rădăcini **complexe** ($\Delta < 0$) trebuie determinată, în plus, și valoarea argumentelor numerelor complexe $x_{1,2}$, adică unghiurile $\varphi_{1,2}$.

9. Notând funcția de gradul doi

(4.144) $F(x) \equiv a \cdot x^2 + b \cdot x + c = x^2 + p \cdot x + q^2$ se știe că ea poate fi scrisă, cu ajutorul rădăcinilor $x_{1,2}$ astfel

(4.145) $F(x) \equiv (x - x_1)(x - x_2)$, pentru forma **normală completă** ($a = 1$) **modificată**.

În figura 4.30 s-a luat un exemplu în care x_1 și x_2 sunt ambele pozitive și corespund cazului $p = 2e < 0$. Rădăcinile x_1 și x_2 au originea în excentrul E^- pe care îl vom considera o nouă origine O' , de la care se marchează variabila $x \in [x_2, x_1]$ a unui punct curent M_i de pe axa x .

În figura 3.30, se observă că diferențele $(x - x_1)$ și $(x - x_2)$ sunt, pe de o parte, valorile **FSM-CE** $\text{rex}_{1,2}(0, E \equiv M_i)$ și, pe de altă parte, așa cum s-a arătat deja, tocmai segmentele determinate de înălțimea unui triunghi dreptunghic, cu unghiul drept în $P_i(x, ih)$ înscris în cercul $C(O, R)$. Ca urmare, produsul lor, din relația (3.138) este chiar pătratul înălțimii — h^2 . Se observă că, pentru $x = x_2$ și $x = x_1$ rezultă $i \cdot h = 0$. Ca urmare, dacă $M_i(x)$ parcurge diametrul cercului $C(O, R)$, punctul P_i parcurge arcu cercului C de la M_2 la M_1 . Relația (3.138) devine

(4.146) $F(x) \equiv -h^2(x)$ pentru M_i interior cercului, adică $x \in [x_2, x_1]$.

Dacă M_i se asimilează unui excentru E_i și excentricitatea e_i abscisei lui M_i cu originea în O atunci

(4.147) $(x - x_1) = -R \cdot \text{rex}_1(0, e_i)$, iar $(x - x_2) = -R \cdot \text{rex}_2(0, e_i)$, astfel că

(4.148) $F(x) \equiv R^2 \text{rex}_1(0, e_i) \cdot \text{rex}_2(0, e_i)$, pentru $e_i \in [-R, +R]$.

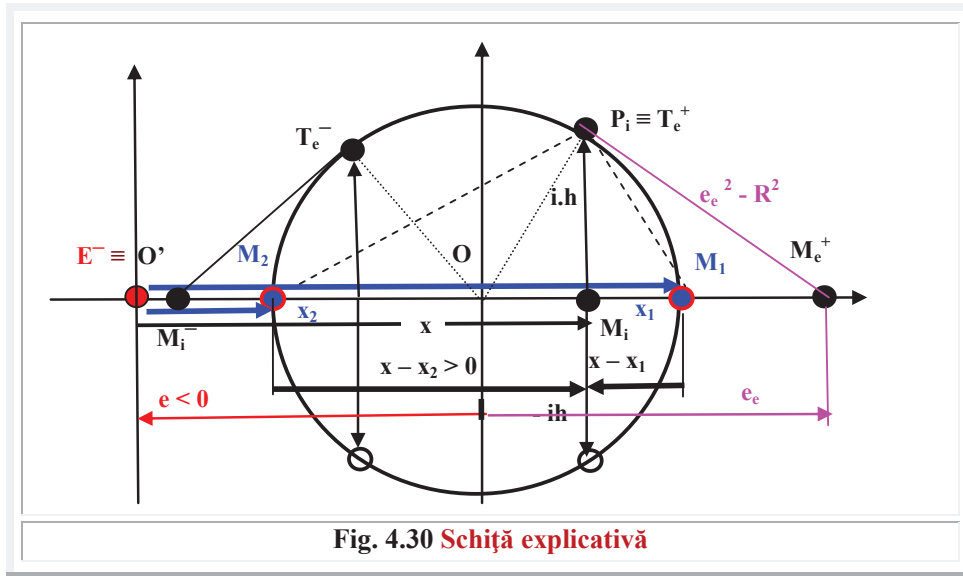


Fig. 4.30 Schiță explicativă

Dacă punctul curent este exterior cercului, ca M_e^+ și M_e^- , atunci ambele paranteze sunt de același semn, astfel că produsul lor este pozitiv și egal cu puterea punctului M_e^+ și, respectiv, M_e^- față de cercul $C(O, R)$, putere dată de expresia

(4.149) $F(x) \equiv e_e^2 - R^2$, ($e > R$) pentru x exterior cercului, adică $x > x_1$ și $x < x_2$, în care e_e este abscisa punctului curent M_e , considerată din originea O care este și centrul cercului $C(O, R)$ și, ținând cont de rădăcinile exprimate de FSM-CE radial excentric, sub forma

(4.150) $F(x) \equiv [x - R \cdot \text{rex}_1(\theta = 0)] \cdot [x - R \cdot \text{rex}_2(\theta = 0)] = (x - r_1) \cdot (x - r_2) = e_e^2 - R^2$

9. Inecuații fundamentale de gradul al doilea

Considerând în locul ecuației $x^2 + px - q^2$ funcția $y = x^2 + px - q^2$, imaginea ei este o parabolă cu vârful în punctul $V(x_V = -p/2, y_V = q^2 - p^2/2)$.

Abscisele punctelor, în care această parabolă se intersectează cu axa Ox , sunt soluțiile (rădăcinile) ecuației (Fig. 4.31.a).

În figura 3.31.a s-a reprezentat și cercul

(4.151) $y = \sqrt{R^2 - (x - a)^2}$ cu centrul pe axa Ox , în care $R = \sqrt{\left(\frac{p}{2}\right)^2 - q^2}$

4. FUNCȚII SUPERMATEMATICE CIRCULARE EXCENTRICE

și $a = \frac{x_1+x_2}{2}$ care demonstrează că rădăcinile ecuației algebrice de gradul al doilea, cu o singură necunoscută x , se pot obține și ca intersecție dintre **cercul** cu centrul pe axa Ox și axa Ox, adică pentru $\theta = 0$, așa cum s-a afirmat deja.

Polinomul de gradul doi mai poate fi scris și sub forma

$$(4.152) \quad x^2 = -p \cdot x - q^2 \quad \text{și notând}$$

(4.153) $F_1(x) = x^2$ și $F_2(x) = -p \cdot x - q^2$, cele două rădăcini pot fi determinate ca **abscise** ale punctelor de intersecție $[F_1(x) = F_2(x)]$ ale curbei $y = x^2$ cu dreapta $y = -p \cdot x - q^2$ (Fig. 4.31.b).

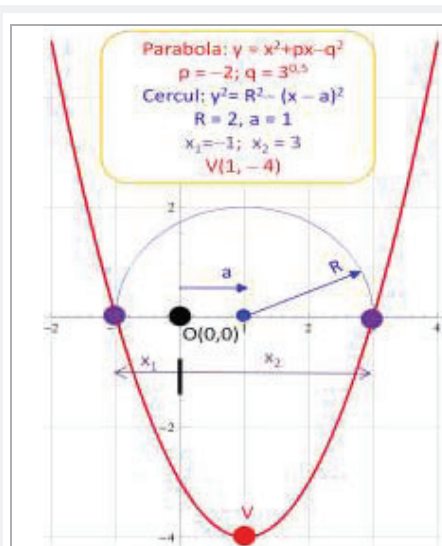


Fig. 4.31.a Soluțiile ecuației de gradul doi ca intersecție a parabolei cu axa Ox

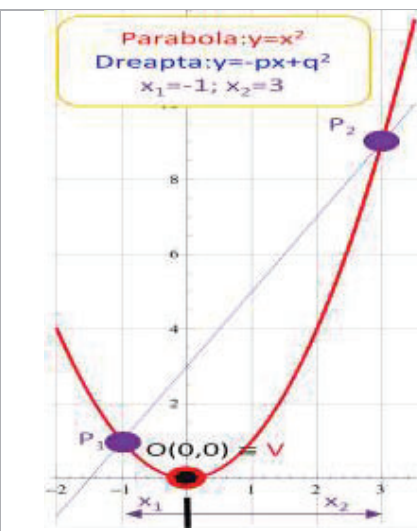


Fig. 4.31.b. Soluțiile ecuației de gradul doi ca intersecție a parabolei $y = x^2$ cu dreapta $y = -p \cdot x + q^2$

Din prima figură 4.31.a, rezultă că, pentru $a = 1 > 0$, funcția $F(x)$ este pozitivă în domeniul $x \in (-\infty, x_2) \cap (x_1, +\infty)$ și negativă între rădăcini, adică pentru $x \in (x_2, x_1)$.

Din cele expuse, rezultă că aceste intersecții pot constitui și metode geometrice/ grafice de soluționare a ecuațiilor de gradul al doilea.

Considerând inecuația

$$(4.154) \quad ax^2 + bx + c > 0, \quad a, b, c \in \mathbf{R}, \quad a \neq 0 \quad \text{și} \quad \Delta > 0$$

mulțimea S^+ a soluțiilor este dată de relația

$$(4.155) \quad S^+ \in (-\infty, x_2) \cap (x_1, +\infty), \quad \text{iar soluțiile inecuației}$$

$$(4.156) \quad ax^2 + bx + c < 0, \quad a, b, c \in \mathbf{R}, \quad a \neq 0 \quad \text{și} \quad \Delta > 0 \quad \text{sunt cuprinse în mulțimea } S^-$$

$$(4.157) \quad S^- \in (x_2, x_1) \quad \text{deoarece} \quad x_2 < x_1.$$

Ca tratarea să fie completă, în cazul inecuației (4.154), tabloul soluțiilor este

$$(4.158) \quad \left\{ \begin{array}{l} \Delta > 0 \left\{ \begin{array}{l} a > 0 \rightarrow S \in (-\infty, x_2) \cup (x_1, +\infty) \\ a < 0 \rightarrow S \in (x_2, x_1) \end{array} \right. \\ \Delta = 0 \left\{ \begin{array}{l} a > 0 \rightarrow S \in \mathbb{R} \{x_2\} \\ a < 0 \rightarrow S \in \{\Phi\} \end{array} \right. \\ \Delta < 0 \left\{ \begin{array}{l} a > 0 \rightarrow S \in \mathbb{R} \\ a < 0 \rightarrow S \in \{\Phi\} \end{array} \right. \end{array} \right.$$

Este suficient să se studieze cazul $a > 0$, deoarece, în caz contrar, se înmulţeşte inecuaţia cu -1 , simultan cu schimbarea sensului / semnul inecuaţiei.

10. MATEMATICA ATOMICA (MDSCCNS)

Metoda determinării succesive a cifrelor consecutive ale numărului soluţie.

Este o metodă nouă, extrem de importantă, de ezolvare a oricărei ecuaţii, de orice tip şi de orice ordin, ca şi a intersecţiilor diverselor curbe plane.

Metoda, extrem de simplă şi uşor de aplicat, dacă avem la dispoziţie un calculator numeric, cu un program de matematică, constă în scrierea de 10 ori a ecuaţiei date şi considerarea pe rând, în aceste ecuaţii, a celor zece cifre existente / posibile (0, 1, 2, 3..., 8, 9) drept primă **cifră** a **numărului-soluţie**. În zona în care erorile schimbă de semn este prima **cifră-soluţie exactă** şi se alege cifra a cărei eroare este cu semnul + sau cu semnul - în funcţie de modul în care curba / (funţia din ecuaţie) intersectează axa x: de la valori negative la cele pozitive, se alege cifra corespunzătoare erorii cu minus şi invers.

Cifra, considerată ca o **primă cifră exactă**, se trece în faţa celor 10 cifre existente / posibile introduse anterior în cele 10 ecuaţii şi se “dă enter”, obţinându-se, din nou, alte 10 valori ale erorilor. În zona în care erorile schimbă de semn, se alege drept **a doua cifră exactă** cifra care dă eroarea cu acelaşi semn ca şi în cazul anterior (prima cifră). Dacă, la un moment dat, o eroare apare zero, înseamnă că procesul s-a încheiat şi cifra care a dat această eroarea nulă este **ultima cifră exactă** a soluţiei. Dacă nu, procesul se continuă, până când obţinem atâtea cifre exacte câte se cer, sau câte dorim în **numărul-soluţie**.

Metoda a fost denumită **atomică**, deoarece, ca şi atomul, **numărul** a fost **disecat** în **cifre**, iar acestea au fost la rândul lor disecate în **partea întregă a numărului-soluţie**, cifre corespondente denumite **cifre protonice** şi în **partea zecimală** a căror cifre au fost denumite **cifre electronice**.

O metodă mai simplă nu s-a întâlnit încă, dar ea este posibilă numai în prezenţa unui computer. (V. lucrările **Mircea Eugen Şelariu** “**MATEMATICA ATOMICĂ. METODA DETERMINĂRII SUCCESIVE A CIFRELOR CONSECUTIVE ALE UNUI NUMĂR**” (www.cartiaz.ro) şi “**CIFRELE, PARTICULELE ELEMENTARE ALE MATEMATICII**” (www.cartiaz.ro).

4. FUNCȚII SUPERMATEMATICE CIRCULARE EXCENTRICE

Motto:” **Matematica** este singura metafizică bună”

William Thomson Baron Kelvin

„**Supermatematica**, una și mai bună”

Autorul

Capitolul 5

APLICAȚII MATEMATICE ȘI TEHNICE ALE FUNCȚIEI SUPERMATEMATICE CIRCULARE EXCENTRICE RADIAL EXCENTRIC $\text{rex}\theta$

5.1 Determinarea oricât de exactă a relației de calcul a integralei eliptice complete de speța întâia $K(k)$

1. Prezentare pe scurt

Frecvența este mărimea fizică care, astăzi, se poate măsura cu cea mai mare precizie. De aceea, definiția unității de lungime (metrul etalon de la Sèvres-Paris) a fost înlocuită, în 1983, cu multiplii lungimii de undă a unei oscilații (radiația kriptonului 86), iar unitatea de timp a fost redefinită prin multiplii de perioade ale unei anumite radiații. Calculul frecvențelor diverselor sisteme tehnice, în special neliniare, nu s-a ridicat, însă, până în prezent, la același nivel dorit de precizie.

Integrala eliptică completă de speța întâia $K(k)$ poate oferi soluția determinării cu precizie a frecvențelor unor sisteme neliniare, dar seria de puteri, prin care ea se exprimă, este slab convergentă. De aceea, au apărut metode numerice, ca metoda **Landen** sau a **mediei aritmetico-geometrice**, care oferă cu precizie valoarea **numerică** a lui $K(k)$ pentru un modul k dat, valori prezentate tabelar ($m = k^2$), cu diverse zecimale exacte, de exemplu, cu 9 în **Abramowitz** [Handbook of Mathematical Functions with Formulas, Graphs and Mathematical Tables, Edited by **Milton Abramowitz** and **Irene A. Stegun**, National Bureau of Standards Applied Mathematics Series – 55, 1964] .

Media aritmetică-geometrică (**AGM arithmetic-geometric mean**, în limba engleză), notată și $M(x_2, x_1)$ a două numere pozitive x_1 și x_2 se definește/calculează în următorul mod. În primul rând, se calculează **media aritmetică** a numerelor x_1 și x_2 .

În această lucrare, x_1 și x_2 sunt cele două rădăcini ale ecuației algebrice de gradul al doilea, problemă tratată anterior, arătându-se că $x_1 = \text{rex}_1(0, e) = -e + R > 0$, iar $x_2 = \text{rex}_2(0, e) = -e - R = -(e + R) < 0$.

În cazul de față, **excentrul** $S \equiv E$ și $s = e = k \in [0, 1]$ în faza inițială (de plecare / start) este interior cercului inițial de rază $R = 1$ și $s_i = e_i / R_i < 1$ în permanență, adică pentru toți pașii $i \in [1, \infty)$, excentricitatea reală ajungând, în final, la zero când raza ultimei orbite ia valoarea căutată $R_i \equiv R_N \equiv R_\infty \equiv R(k)$ cu ajutorul căreia se exprimă valoarea lui $K(k)$.

Media aritmetică a acestor două numere (x_1 și x_2), unul pozitiv și celălalt negativ, a fost denumită **media aritmetică, de semne opuse** sau **negativă** și este

4. FUNCȚII SUPERMATEMATICE CIRCULARE EXCENTRICE

$$A^- = (x_1 + x_2) / 2 = -e$$

Se construiește apoi **media geometrică G** a numerelor x_1 și x_2 , care este

$$G = \sqrt{x_1 \cdot x_2} = \sqrt{(-e + R) \cdot (e + R)} = \sqrt{R^2 - e^2} > 0, \dots R > e$$

Așa cum s-a arătat la **teorema înălțimii** într-un triunghi dreptunghic, **G** reprezintă tocmai valoarea funcției radial excentric pentru $\theta = \pi / 2$, adică

$$G = p = rex_1(\pi / 2, e)$$

Având calculate mediile $A_n^+ = R_n$, $A_n^- = e_n$ și $G_n = p_n$ se trece la pasul următor $n + 1$ prin relațiile

$$A_{n+1}^+ = \frac{A_n^+ + G_n}{2} = R_n, \quad A_{n+1}^- = \frac{A_n^- + G_n}{2} = e_n \quad \text{și} \quad G_{n+1} = \sqrt{A_n^+ \cdot G_n}.$$

Metoda **Landen**, sau a **mediei aritmetico-geometrice**, de determinare a valorii unei integrale eliptice de prima speta **K(k)**, pornește de la **numerele**

$$a_0 = 1, \quad b_0 = k' = \sqrt{1 - k^2} \quad \text{și} \quad c_0 = k,$$

pentru care se calculează media aritmetică pozitivă a_1, a_2, \dots, a_n , media geometrică b_1, b_2, \dots, b_n precum și media aritmetică negativă a numerelor c_1, c_2, \dots, c_n .

Numerele succesive a_i și c_i scad succesiv și, în final, $c_\infty \rightarrow 0$, în timp ce valorile numerelor a_n și b_n , pentru $n \rightarrow \infty$, (scad în mărime absolută (adică valorile reale) și cresc relativ (cele numerice) până în final, când se egalizează ($a_\infty = b_\infty = R_\infty = R_\infty$) și tind spre funcția **R(k)**, pe care o numim “**raza finală**” așa cum se poate observa în figura 5.1.

Razele $R_i \equiv a_i$ scad în mărime absolută și înălțimile $h_i = p_i \equiv k'_i$ cresc relativ, până în final, când se egalizează. Din figura 5.1 se poate observa convergența foarte puternică a metodei. În pofida alegerii unui modul $k \equiv e$ foarte mare (0.98), după numai doi pași, R_2 devine aproape egal cu p_2 , astfel că, mărimile din cel de al treilea pas nu mai pot fi desenate lizibil.

Se știe că valoarea integralei **K(k)** este dată de relația

$$K(k) = \frac{\pi}{2 \cdot R(k)}$$

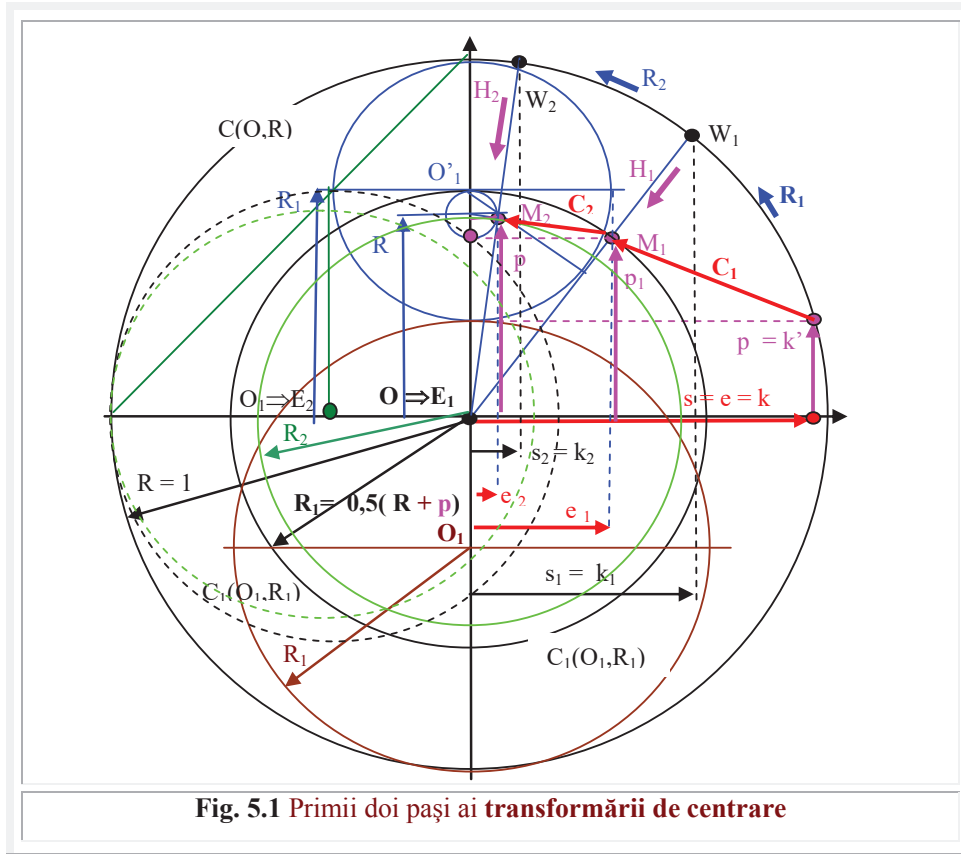
Chiar dacă se ia drept **rază finală R(k)** după numai 2 sau 3 pași ($R(k) = R_3$), rază determinată prin metoda grafică din figura 5.1, precizia de calcul a lui **K(k)**, calculată cu relația anterioară, depășește precizia necesară calculelor ingineresti. Așa cum s-a mai afirmat, după 5 pași precizia de calcul a **relației** astfel obținute cu $R(k) = R_5$, atinge precizia de **15 (cincisprezece !) zecimale exacte**.

Se mai știe că, media aritmetico - geometrică **M** (a_0, b_0) a numerelor a_0 și b_0 converge spre relația

$$M(a_0, b_0) = \frac{\pi}{4} \frac{a_0 + b_0}{K\left(\frac{a_0 - b_0}{a_0 + b_0}\right)} = \frac{\pi}{4} \frac{1 + \sqrt{1 - k^2}}{K\left(\frac{1 - \sqrt{1 - k^2}}{1 + \sqrt{1 - k^2}}\right)}$$

4. FUNCȚII SUPERMATEMATICE CIRCULARE EXCENTRICE

Ideea autorului a fost de a obține **nu** valoarea **numerică** a lui $\mathbf{K}(\mathbf{k})$, ci o **expresie algebrică (relație de calcul)** din care să rezulte, cu o precizie impusă (**oricât de ridicată** se dorește), valoarea integralei pentru oricare valoare \mathbf{k} , și nu numai pentru cele existente în tabele, evitându-se, astfel, interpolările uneori necesare. Pentru precizii nelimitate, această relație de calcul este $\mathbf{K}(\mathbf{k}) = \pi/2 \cdot \mathbf{R}(\mathbf{k})$ și, pentru **minimum 15 zecimale exacte (!)**, s-a constatat că funcția $\mathbf{R}_N(\mathbf{k})$ necesită doar **5 pași**, astfel că $\mathbf{R}_5(\mathbf{k})$ este pătratul perfect



$$(5.1) \quad \mathbf{R}_5(\mathbf{k}) = \frac{1}{4} \left[\frac{A+G}{2} + \sqrt[4]{\frac{A^2+G^2}{2} AG} \right]^2 = \frac{1}{4} \left[\sqrt{A_2(R_2, p_2)} + \sqrt{G_2(R_2, p_2)} \right]^2$$

cu notațiile

$$(5.2) \quad \mathbf{G} = \sqrt[8]{1-k^2} = \sqrt[4]{k'} = \sqrt[4]{\sqrt{1-k^2}} = \sqrt{p_1} \quad \text{și}$$

4. FUNCȚII SUPERMATEMATICE CIRCULARE EXCENTRICE

$$(5.3) \quad A = \sqrt{\frac{1 + \sqrt{1 - k^2}}{2}} = \sqrt{\frac{1 + G^4}{2}} = \sqrt{R_1}$$

Algoritmul de calcul, prezentat în lucrare, ce constituie, totodată, și o transformare geometrică nouă, denumită de “**centrare**” - pentru că la $N \Rightarrow \infty$ cercul trigonometric excentric, cu excentricitatea numerică $k \neq 0$, se transforma în cercul cu excentricitate numerică nulă ($k_N = 0$), deci centric - stabilește transformările din pas în pas, peste doi, trei sau patru pași și poate stabili, în continuare, și peste mai mulți pași.

De exemplu, relația anterioară R_5 , de dependență dintre mărimile din pasul 5 cu cele obținute după pasul întâi, adică peste patru pași. Se poate obține R_9 cu o relație asemănătoare în care $\sqrt{R_5} \rightarrow A$ și $\sqrt{p_5} \rightarrow G$, dar preciziile astfel obținute ar depăși cu mult cerințele practice ingineresti.

2. Introducere în integrale eliptice

Integralele de forma $\int R(z, w) dz$, în care R este o **funcție rațională** de două argumente și $w^2 = P(z)$ este un polinom de gradul 3 sau 4, sunt denumite **eliptice**.

Oricare integrală eliptică poate fi adusă în una din cele trei forme denumite de **speța întâia $K(k)$, speța a doua $E(k)$ sau de speța a treia $\Pi(k)$** .

Integralele eliptice **reale** de speța întâi, notată cu $F(k, \varphi)$ și de speța a doua, notată cu $E(k, \varphi)$, sunt integralele definite, în forma normală trigonometrică și, respectiv, forma normală (standard) **Legendre** de expresiile:

$$(5.4) \quad F(\varphi, k) \equiv \int_0^\varphi \frac{d\psi}{\sqrt{1 - k^2 \sin^2 \psi}} = \int_0^{\sin \varphi} \frac{dx}{\sqrt{(1 - x^2)(1 - k^2 x^2)}} = u, \text{ de speța întâia și}$$

$$(5.5) \quad E(\varphi, k) \equiv \int_0^\varphi \sqrt{1 - k^2 \sin^2 \psi} d\psi = \int_0^{\sin \varphi} \sqrt{\frac{1 - k^2 x^2}{1 - x^2}} dx, \text{ de speța a doua.}$$

Forma **trigonometrică** rezultă din cea **standard** prin schimbarea de variabilă

$$(5.6) \quad x = \sin \psi$$

Parametrul k , subunitar în valoare absolută, este denumit **modulul** acestor integrale, ca de altfel și al funcțiilor eliptice **Jacobi** în notația lui **Gudermann**

(5.7) $\text{sn}(u, k) = \sin \varphi$, $\text{cn}(u, k) = \cos \varphi$ și $\text{dn}(u, k) = \sqrt{1 - k^2 \sin^2 \varphi}$ și reprezintă, totodată, excentricitatea numerică ($e \equiv k$) a funcțiilor **supermatematice circulare excentrice**, iar expresia

(5.8) $k' = \sqrt{1 - k^2} = p$ se numește **modulul complementar**, notat în această lucrare și cu p (**perpendiculară în E** pe axa absciselor) și denumită și **pondere**.

Pentru limitele superioare ale integralelor reale $\varphi = \pi/2$ și, respectiv, $\sin \varphi = 1$, se obțin **integralele eliptice complete** de speța întâia $K(k)$ sau a doua $E(k)$.

4. FUNCȚII SUPERMATEMATICE CIRCULARE EXCENTRICE

$$(5.9) \quad \mathbf{F}(\pi/2, \mathbf{k}) \equiv \mathbf{K}(\mathbf{k}) \equiv \int_0^{\pi/2} \frac{d\psi}{\sqrt{1-k^2 \sin^2 \psi}}$$

Dezvoltarea în serie de puteri a funcției $\mathbf{K}(\mathbf{k})$ este

$$(5.10) \quad \mathbf{K}(\mathbf{k}) = \frac{\pi}{2} \left\{ 1 + \left(\frac{1}{2}\right)^2 k^2 + \left(\frac{1.3}{2.4}\right)^2 k^4 + \left(\frac{1.3.5}{2.4.6}\right)^2 k^6 + \dots + \left[\frac{(2n-1)!!}{(2n)!!}\right]^2 k^{2n} + \dots \right\} =$$

$$= \frac{\pi}{2} \mathbf{F}\left(\frac{1}{2}, \frac{1}{2}; 1; k^2\right) \text{ și prezintă o convergență foarte slabă, pentru } |\mathbf{k}| < 1.$$

În cea de a doua expresie (5.10), $\mathbf{F}(\alpha, \beta; \gamma; z)$ este funcția sau seria **hipergeometrică**, cu notația **Gauss**, în care $\mathbf{Re}(\alpha + \beta - \gamma) = 0 \Rightarrow$ seria este convergentă în tot cercul de rază unu (trigonometric- **CT** sau unitate **CU**), cu excepția punctului $z = \mathbf{k}^2 = 1$; punct în care nici relația de calcul ce va fi dedusă nu este valabilă, metoda în sine, însă, oferind valori **exacte** ($\mathbf{K}(1) = / \rightarrow \infty$).

În anul 1826, **Adrien Marie Legendre** (1752-1833) în “Traite des fonctions elliptiques et des integrales Euleriennes”, care reprezenta sinteza celor 40 de ani de cercetări în teoria integralelor eliptice și euleriene, prezintă tabelele valorilor integralelor $\mathbf{F}(\varphi, \mathbf{k})$ și $\mathbf{E}(\varphi, \mathbf{k})$. Ele sunt date pentru toate valorile unghiului φ din grad în grad și pentru 90 de valori ale lui \mathbf{k} , corespunzătoare unghiului

$$(5.11) \quad \beta_M = \arcsin k, \text{ (unghi notat în literatura de specialitate cu } \alpha \equiv \beta_M)$$

tot din grad în grad. Sunt, deci, 16.200 rezultate cu zece zecimale exacte pentru $\varphi \in [0, \pi/4]$ și cu nouă zecimale exacte pentru $\varphi \in [\pi/4, \pi/2]$; calculele fiind efectuate de el cu 14 și, respectiv, 12 zecimale exacte.

Problemele de calcul numeric, privitoare la integralele și funcțiile eliptice, se tratează mai ușor cu funcțiile **theta-eliptice**. Ele se definesc ca sume de parametrul \mathbf{q} al lui **Jacobi** pentru $|\mathbf{q}| < 1$. De exemplu,

$$(5.12) \quad \mathcal{G}_3(u) = 1 + 2 \sum_{n=1}^{\infty} q^{n^2} \cos 2nu \quad \text{și legătura cu } \mathbf{K}(\mathbf{k}) \text{ este}$$

$$(5.13) \quad \mathbf{K}(\mathbf{k}) = \frac{\pi \cdot \mathcal{G}_3^2}{2} = \frac{\pi}{2} R_N$$

La comunicările lunare ale Academiei din Berlin, în anul 1883, **Weierstrass** a prezentat posibilitatea sporirii preciziei de calcul a parametrului \mathbf{q} prin **metoda Landen**, oprindu-se la o singură iterație, după care a obținut, ceea ce, în această lucrare, s-a denumit excentricitatea **numerică** \mathbf{k}_1 , după primul pas, din **transformarea de centrare** ce va fi prezentată în continuare.

Cu notațiile actuale, din prezenta lucrare, care se referă la raza cercului \mathbf{R}_1 și la excentricitatea reală \mathbf{e}_1 , toate după un prim pas al transformării de centrare, excentricitatea numerică \mathbf{k}_1 este

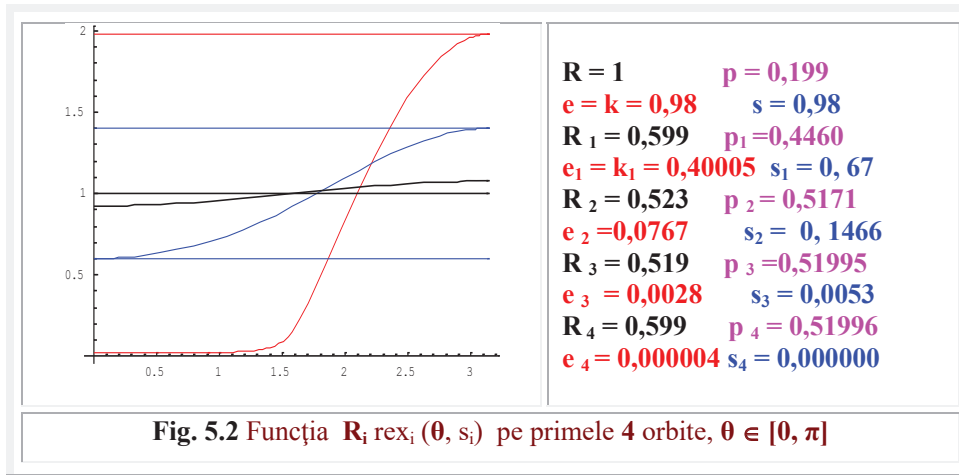
4. FUNCȚII SUPERMATEMATICE CIRCULARE EXCENTRICE

$$(5.14) \quad k_1 = \frac{e_1}{R_1} = \frac{1-k'}{1+k'} = \frac{1-\sqrt{1-k^2}}{1+\sqrt{1-k^2}} = \frac{2q+2q^9+2q^{25}+\dots}{1+2q^4+2q^{16}+\dots}$$

și prin inversarea acestei serii s-a obținut parametrul q , care este seria infinită

$$(5.15) \quad q = \frac{k_1}{2} + 2\left(\frac{k_1}{2}\right)^5 + 15\left(\frac{k_1}{2}\right)^9 + 150\left(\frac{k_1}{2}\right)^{13} + 1701\left(\frac{k_1}{2}\right)^{17} + \dots$$

Weierstrass a prevăzut posibilitatea sporirii în continuare a preciziei lui q , prin continuarea algoritmului de calcul, **dar nu a continuat astfel**, preferând alte căi. Păcat!



Funcția $\text{rex } \theta$ are proprietatea de **omogenitate de gradul unu** deoarece, fiind o funcție de raza cercului ($R = 1$ a cercului unitate/trigonometric (CT) și R_i a unui cerc oarecare) și excentricitatea lui ($e = s = k$ pe CT și e_i, R_i pe alte cercuri, dar de aceeași **excentricitate numerică** k), pentru $\varepsilon = 0$, funcția $f(R = 1, e)$, prin amplificarea variabilelor cu scalarul $R_i > 0$ se obține

(5.16) $f(R_i, R, e, R_i) = R_i \cdot f(R = 1, e)$, așa cum rezultă și din relațiile de definire ale funcției $R \cdot \text{rex } \theta$, ca și a funcției $R \cdot \text{Rex } \theta$.

În prezenta lucrare, se vor folosi numai determinările **principale (1)**, renunțându-se la acești indici. Indicii, ce vor fi să apară, se referă la numărul pasului ($n \equiv i = 1, 2, 3, \dots, N$) **transformării geometrice de centrare**.

Pentru $\theta = 0, \pi/2$ și π și $e = k$ se obțin valorile **reale**: minimă (**m**), ponderată (**p**) și, respectiv, maximă (**M**) și cele numerice (raportate la raza) $s = k$ și $s' = k'$ ale lui $\text{rex } \theta$.

În faza inițială, pe CT sau CU(0,1), deoarece raza $R = 1$, toate valorile reale sunt egale cu cele numerice

$$(5.17) \quad m = 1 - e = 1 - k = 1 - s,$$

4. FUNCȚII SUPERMATEMATICE CIRCULARE EXCENTRICE

$$\mathbf{p} = \sqrt{1 - e^2} = \sqrt{m \cdot M} = \sqrt{1 - k^2} = \mathbf{k}' = \mathbf{s}' \quad \text{și, respectiv,}$$

$$\mathbf{M} = \mathbf{1} + \mathbf{e} = \mathbf{1} + \mathbf{k} = \mathbf{1} + \mathbf{s}$$

Pentru un cerc de rază oarecare R_i , excentricitatea reală e_i , maximul M_i , ponderea p_i și minimum m_i sunt **mărimi reale** și **excentricitate numerică** $s_i = k_i$ este

$$(5.18) \quad \mathbf{k}_i = \frac{e_i}{R_i} = \frac{M_i - m_i}{2R_i} = \frac{M_i - m_i}{M_i + m_i} \quad \text{și complementara ei}$$

$$(5.19) \quad \mathbf{k}'_i = \frac{p_i}{R_i} = \frac{\sqrt{M_i \cdot m_i}}{M_i + m_i} \quad \text{sunt } \mathbf{mărimi\ numerice}.$$

Mărimile reale, corespunzătoare, sunt

$$(5.20) \quad \mathbf{m}_i = R_i - e_i = R_i (1 - k_i),$$

$$\mathbf{p}_i = \sqrt{m_i \cdot M_i} = \sqrt{R_i^2 - e_i^2} = R_i \sqrt{1 - k_i^2} \quad \text{și}$$

$$\mathbf{M}_i = R_i + e_i = R_i (1 + k_i)$$

Se observă, fără dificultate, că $\mathbf{M} = \sup_{\theta \in I} \text{rex}\theta$ și $\mathbf{m} = \inf_{\theta \in I} \text{rex}\theta$ astfel

că $\text{rex}\theta$ aparține clasei funcțiilor cu variație mărginită de un număr fix $V_{\Delta} = \mathbf{M} - \mathbf{m} = 2\mathbf{e}$ și, în consecință, o astfel de funcție este diferența a două funcții nedescrescătoare și reciproc [Bădescu R., Maican C-tin, INTEGRALE UTILIZATE în MECANICĂ, FIZICĂ, TEHNICĂ și CALCULUL LOR, Ed. Tehnică, Buc., 1968].

3. Exprimarea unor medii cu funcția $\text{rex}\theta$

Notând cu \mathbf{A}^+ media **aritmetică +** (semisuma) a două numere pozitive, \mathbf{A}^- (semidiferența) sau media **aritmetică -** în care minimum \mathbf{m} schimbă de semn ($\mathbf{m} \Rightarrow -\mathbf{m}$) și cu \mathbf{G} media lor **geometrică** rezultă

(5.21) $\mathbf{A}^+(\mathbf{m}, \mathbf{M}) = \mathbf{R} = \mathbf{1}$, $\mathbf{A}^-(\mathbf{m}, \mathbf{M}) = \mathbf{e} = \mathbf{k}$ și $\mathbf{G}(\mathbf{m}, \mathbf{M}) = \mathbf{p} = \mathbf{k}'$, în momentul inițial, pe cercul trigonometric (CT) de $\mathbf{R} = \mathbf{1}$ și, pentru oricare alt cerc de parametrii R_i , e_i și p_i , ele sunt

$$(5.22) \quad \mathbf{A}_i^+(m_i, M_i) = R_i, \quad \mathbf{A}_i^-(m_i, M_i) = e_i, \quad \text{și} \quad \mathbf{G}_i(m_i, M_i) = p_i = \sqrt{m_i M_i}$$

O perpendiculară, ridicată în excentrul $\mathbf{E} \equiv \mathbf{S}(e=s, \varepsilon=0) \equiv \mathbf{K}(k, 0)$, intersectează **cercul trigonometric CT** în punctul $\mathbf{W} \equiv \mathbf{M}$ și

$$(5.23) \quad \|\mathbf{EW}\| = \text{rex}(\pi/2, e = s = k) = \mathbf{p}(\pi/2, k) = \sqrt{(1-k)(1+k)} = \sqrt{m \cdot M}$$

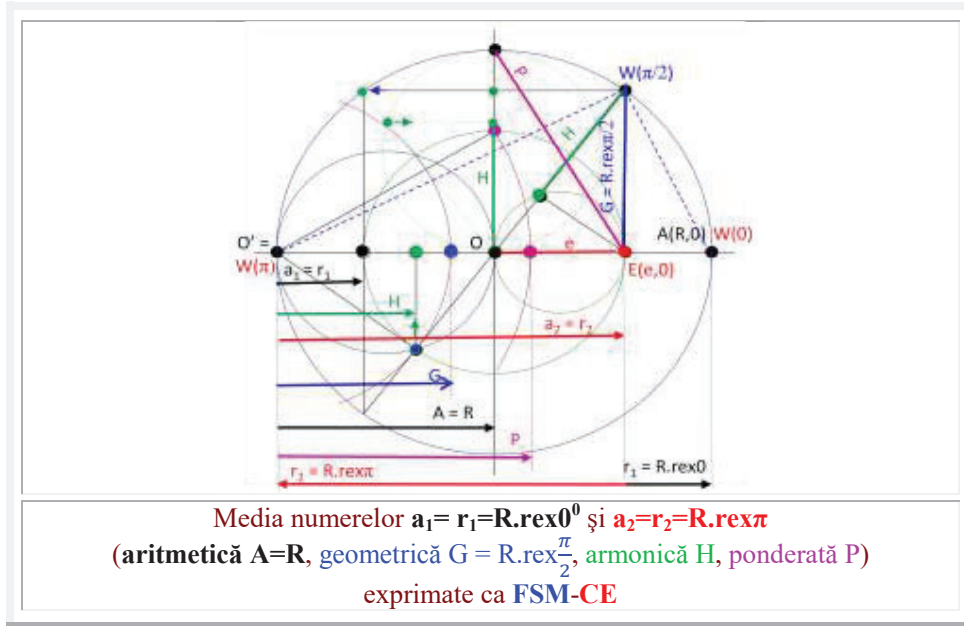
$= \sqrt{1 - k^2} = \mathbf{k}' = \mathbf{p}$ și din punctele \mathbf{K}_i intersectează CT în punctele \mathbf{W}_i pentru care

$$(5.24) \quad \|\mathbf{K}_i \mathbf{W}_i\| = \text{rex}(\pi/2, k_i) = \sqrt{(1-k_i)(1+k_i)} = \sqrt{1 - k_i^2} = \mathbf{k}'_i = \mathbf{p}_i / R_i \text{ și din excentrele } \mathbf{E}_i \text{ intersectează cercurile interioare în punctele } \mathbf{M}_i \text{ pentru care}$$

$$(5.25) \quad \|\mathbf{E}_i \mathbf{M}_i\| = R_i \text{rex}(\pi/2, k_i) = \sqrt{(R_i - e_i)(R_i + e_i)} = R_i \sqrt{1 - k_i^2} = R_i \mathbf{k}'_i = \mathbf{p}_i$$

4. FUNCȚII SUPERMATEMATICE CIRCULARE EXCENTRICE

p fiind denumită *pondere*, sau valoarea **medie geometrică ponderată**, de **pondere 1**, a funcției $\text{rex}\theta$, deoarece reprezintă media geometrică a valorilor extreme pe care le ia funcția radial excentric $\text{rex}\theta$. Cele mai importante medii cunoscute sunt reprezentate în figura următoare și sunt susceptibile reprezentării lor cu **FSM-CE**.



Mărimea obținută, formând **mediile aritmetică și geometrică** ale valorilor a două mărimi, apoi formând mediile aritmetică și geometrică ale acestor medii și repetând operațiile până când mediile astfel obținute devin egale, se numește **media aritmetică - geometrică** a celor două valori. În cazul de față, astfel de medii se pot obține în două moduri.

Alegând drept mărimi inițiale valorile extreme m și M ale funcției $\text{rex}\theta$, se pot obține mărimile caracteristice R și e specifice **FSM** pe un cerc de rază $R=1$, sau oarecare R_i , pe care le vom denumi **medii interne** și mediile de același gen, care permit saltul de pe un cerc (**orbită**) pe altul, de altă rază, sau de pe o **orbită** pe alta, făcând legătura dintre două orbite consecutive, denumite **medii externe** și care sunt (v. Fig.5.1)

(5.26) $A_1^+(R, p) = (1 + \sqrt{1 - k^2})/2 = R_1$ și $A_1^-(R, -p) = (1 - \sqrt{1 - k^2})/2 = e_1$, astfel că, se pot enunța următoarele **principii excentrice (PE)** importante

PE 1: **Raza** unei orbite este egală cu semisuma **razei și a ponderii** orbitei exterioare (mai mari), adică $R_{i+1} = R_i + p_i$, și

PE 2: **Excentricitatea** unei orbite este egală cu semidiferența **razei și a ponderii** orbitei exterioare, adică, $e_{i+1} = R_i - p_i$, care sunt scrise, în continuare, concentrat (prin simbolul \pm).

4. FUNCȚII SUPERMATEMATICE CIRCULARE EXCENTRICE

Cele două medii aritmetice, scrise concentrat, sunt

(5.27) $\mathbf{R}_1, \mathbf{e}_1 = \mathbf{A}_1^\pm (\mathbf{R} \pm \mathbf{p}) = (1 \pm \sqrt{1-k^2})/2$ și dau cele **două mărimi principale** ale unei orbite circulare: **raza** și **excentricitatea reală** și care servesc la calcularea extremelor orbitelor

(5.28) $\mathbf{m}_1, \mathbf{M}_1 = (\mathbf{R}_1 \mp \mathbf{e}_1), \Rightarrow \mathbf{m}_1 = \sqrt{1-k^2} = \mathbf{p}$ și $\mathbf{M}_1 = \mathbf{R} = \mathbf{1}$ și a ponderii

(5.29) $\mathbf{p}_1 = \mathbf{G}_1(\mathbf{m}_1, \mathbf{M}_1) = \sqrt{\mathbf{m}_1 \cdot \mathbf{M}_1} = \sqrt{1 \cdot \sqrt{1-k^2}}$, ca **medie internă** după primul salt (pas).

Relațiile (5.27) și (5.29) dau dependența dintre mărimile de pe orbita inițială

(CT: $\mathbf{R} = \mathbf{1}, \mathbf{e} = \mathbf{s} = \mathbf{k}$ și $\mathbf{p} = \mathbf{k}' = \sqrt{1-k^2}$) și cele de pe orbita următoare, de indice 1.

Raza și excentricitatea reală, ale noii orbite, sunt

(5.30) $\mathbf{R}_1 = \mathbf{A}_1^+(\mathbf{R}, \mathbf{p}), \mathbf{e}_1 = \mathbf{A}_1^-(\mathbf{R}, -\mathbf{p})$, astfel că, o altă proprietate a transformării este

PE 3: Suma **excentricității** reale și a **razei** de pe o orbită oarecare este egală cu raza orbitei circulare mai mari. Această rază aparține orbitei anterioare la saltul de pe o orbită mai mare pe una mai mică și orbitei următoare, la trecerea inversă de la mic la mare.

Acestea sunt cele două transformări posibile: **directă** sau de **impandare**, spre centru, denumită **centrare** și, respectiv, inversa sau de **expandare**, denumită **transformare excentrică** sau **descentrare**.

(5.31) $\mathbf{M}_1 = \mathbf{R}_1 + \mathbf{e}_1 = \mathbf{R} = \mathbf{1}$, deoarece $\mathbf{A}^+(\mathbf{A}_1^+, \mathbf{A}_1^-) = \mathbf{A}_1^+ + \mathbf{A}_1^- = \mathbf{R} = \mathbf{1}$, proprietate de seamă a **FCE**, ce se va folosi în continuare. Dar, suma (5.31) exprimă valoarea lui \mathbf{M}_1 astfel că

PE 4 : La trecerea de pe o orbită pe alta, **maximum** orbitei de raza mai mică este valoric egal cu **raza** orbitei de rază mai mare.

Aceasta este și **proprietatea pe orizontală**, sau pe **axa x**, a transformatei geometrice a **FCE** $\text{rex}\theta$, la trecerea de la/pe o orbită la/pe alta. Pe de altă parte, deoarece

$$\mathbf{A}^-(\mathbf{A}_1^+, \mathbf{A}_1^-) = \mathbf{A}_1^+ - \mathbf{A}_1^- = \mathbf{p} = \mathbf{k}' \text{ rezultă}$$

(5.32) $\mathbf{m}_1 = \mathbf{R}_1 - \mathbf{e}_1 = \mathbf{p} = \mathbf{k}'$ și

PE 5 : **Minimum** orbitei de rază mai mică (\mathbf{m}_{i+1}) este egal cu ponderea \mathbf{p}_i a orbitei de rază mai mare.

Deoarece **ponderea** este dirijată pe direcția verticală, direcția axei **y** ($\theta = \pi/2$), denumim această proprietate ca fiind "**pe verticală**" a transformării.

Se observă, fără dificultate, că

(5.33) $\mathbf{M}_1 - \mathbf{m}_1 = 2\mathbf{e}_1 = 1 - \mathbf{p} = 1 - \mathbf{k}' = 1 - \sqrt{1-k^2}$ iar noua pondere va rezulta ca

(5.34) $\mathbf{p}_1 = \mathbf{G}_1(\mathbf{m}_1, \mathbf{M}_1) = \mathbf{G}_1(\mathbf{p}, \mathbf{R}) = \sqrt{1 \cdot \sqrt{1-k^2}} = \sqrt[4]{1-k^2} = \sqrt{\mathbf{p}} = \sqrt{\mathbf{k}'}$, astfel că

$$\mathbf{p}_1^2 = \mathbf{p} \text{ sau } (\mathbf{R}_1 \cdot \mathbf{k}'_1)^2 = \mathbf{R} \cdot \mathbf{k}' \sqrt{\mathbf{R}_1} = \sqrt{\frac{1 + \sqrt{1-k^2}}{2}} \text{ și } \sqrt{\mathbf{p}_1} = \sqrt[8]{1-k^2}.$$

4. FUNCȚII SUPERMATEMATICE CIRCULARE EXCENTRICE

Valorile funcției $\text{rex}_i(\pi/2)$, sau ponderile succesive, cresc în progresie geometrică cu rație variabilă, proprietate care rezultă și din faptul că $p_i^2 = R_i^2 - e_i^2 = (R_i - e_i)(R_i + e_i) = M_i$. $m_i = R_i \cdot p = p$, pentru primul pas, deoarece $\mathbf{R} = \mathbf{1}$.

Pentru pașii următori, ținând cont de (5.34)

$$(5.35) \quad p_{i+1} = G_{i+1}(m_{i+1}, M_{i+1}) = \sqrt{p_i \cdot R_i} \quad \text{și} \quad (R_{i+1} k'_{i+1})^2 = k'_i R_i \cdot R_i = k'_i R_i^2 \text{ din care}$$

$$(5.36) \quad k'_i = \left[\frac{R_{i+1}}{R_i} k'_{i+1} \right]^2 \text{ sau } \sqrt{k'_i} = \sqrt{1 - k_i^2} = \frac{p_{i+1}}{R_i} \text{ și algoritmul trecerii de pe o}$$

orbită pe cea următoare devine simplu, transparent și ilustrat în figura 5.1.

4. Transformarea geometrică excentrică și transformarea geometrică de centrare

Salturile punctelor, de pe o orbită pe alta, pot avea loc în două sensuri.

În transformarea **directă**, rotațiile punctelor \mathbf{W}_i pe \mathbf{CT} au loc în sens levogin de la $\mathbf{W}(\mathbf{k})$ - punctul inițial - spre punctul final \mathbf{W}_N ($k_N = 0$), care tinde spre punctul $\mathbf{B}(0,1)$. În sens invers, de **descentrare**, din $\mathbf{W}(\mathbf{k})$ se ajunge în punctul de origine al cercului unitate $\mathbf{A}(1,0)$, astfel că $\mathbf{s}_N = \mathbf{1}$, $N \rightarrow -\infty$.

Salturile din \mathbf{W} în \mathbf{M}_i au loc de pe orbita inițială \mathbf{CT}/\mathbf{CU} (de start sau de plecare de $\mathbf{R} = \mathbf{1}$) pe cele interioare acesteia (de raze mai mici, $R_i < \mathbf{1}$), din punctul $\mathbf{W}(\mathbf{k})$, trecând prin punctele \mathbf{M}_i (\mathbf{e}_i) și până în **punctul final** \mathbf{M}_N ($\mathbf{e}_N = \mathbf{0}$; \mathbf{R}_N), iar $\mathbf{W}_N(\mathbf{k})$ prin care excentricitățile orbitelor scad, în salturi, până la valoarea $\mathbf{e}_N = \mathbf{k}_N = \mathbf{0}$ și pe care o denumim, din această cauză, **CENTRARE** (v. Fig. 5.5).

Centrarea este o transformare conformă circulară, compusă dintr-o **homotetie** de rație/modul $\mathbf{h} = R_i + 1/R_i$ combinată cu o **rotație** de unghi

$$\Delta\alpha = \alpha_{i+1} - \alpha_i = \arcsin(p_{i+1}/R_{i+1}) - \arcsin(p_i/R_i) = \\ = \arcsin k'_{i+1} - \arcsin k'_i = \arcsin(k'_{i+1} \sqrt{1 - k_i^2}) - k'_i \sqrt{1 - k_{i+1}^2}.$$

În figura 5.1 primele două rotații au fost notate cu \mathbf{R}_1 și \mathbf{R}_2 , iar homotetiile cu \mathbf{H}_1 și \mathbf{H}_2 , astfel că, prin compunerea lor, se obțin primele două transformări de centrare notate cu \mathbf{C}_1 și \mathbf{C}_2 .

Mulțimea centrărilor, transferă punctul inițial \mathbf{W} , de pe \mathbf{CT} , în punctul final \mathbf{M}_N , de pe cercul de rază \mathbf{R}_N , situat pe axa \mathbf{y} , pentru $N \rightarrow \infty$. Se va nota raza orbitei circulare finale a centrării cu \mathbf{R}_N , care este, evident, o constantă, pe de o parte - fiind raza unui cerc - și variabilă, pe de altă parte $\mathbf{R}(\mathbf{k})$, deoarece depinde de excentricitatea $\mathbf{e} = \mathbf{s} = \mathbf{k}$ (aleasă egală cu modulul integralelor eliptice) și de la care va pleca transformarea. De aceea,

$$(5.37) \quad \mathbf{R}_N = \mathbf{R}(\mathbf{k}), \text{ pentru } \mathbf{n} = \mathbf{N} \rightarrow \infty.$$

Independent de poziția inițială a lui \mathbf{W} pe \mathbf{CT} , transformatul acestuia după primul salt, punctul \mathbf{M}_1 , va fi situat pe o parabolă cu focarul în originea \mathbf{O} , vârful pe axa \mathbf{x} în punctul $\mathbf{V}(1/2, 0)$ și trecând prin punctul $\mathbf{B}(0, 1) \equiv \mathbf{W}_N \big|_{N \rightarrow \infty} \subset \mathbf{CT}$.

4. FUNCȚII SUPERMATEMATICE CIRCULARE EXCENTRICE

În cazul $k = 0$, transformarea de centrare nu modifică poziția punctului $\mathbf{W}(k = 0)$ - care rămâne el însuși -și ca urmare $\mathbf{R}(k = 0) = 1$ și $\mathbf{K}(0) = \pi/2$.

În cazul $k = 1$, punctul inițial $\mathbf{A}(1, 0) \equiv \mathbf{W}(k = 1) \Rightarrow \mathbf{p} = 0$ și chiar după prima transformare ajunge în $\mathbf{O}(0, 0)$, ceea ce înseamnă că raza $\mathbf{R}(k = 1)$, a ultimului cerc al transformării de centrare, va fi nulă $\mathbf{R}(1) = \mathbf{R}_1 = 0$ și $\mathbf{K}(1) = \infty$. Metoda, în sine, oferind, cum am afirmat anterior, valoarea exactă pentru $k = 1$.

Transformarea în sens invers, de pe CT pe orbite circulare de raze din ce în ce mai mari ($\mathbf{R}_i > 1$), când și excentricitatea orbitelor va crește de la k la $k_N = 1$, pentru $N \rightarrow -\infty$, o denumim, din aceste considerente, transformare geometrică **EXCENTRICĂ** (Fig. 5.6).

În ambele transformări, se pornește de pe CT cu $\mathbf{e} = \mathbf{s} = \mathbf{k}$, cu valoare diferită de valorile 0 sau 1 , discutate anterior, se trece prin excentricitățile reale \mathbf{e}_i , valoric diferite de cele numerice k_i , pentru ca, în finalul fiecărei transformări, să se ajungă din nou la egalizarea acestora: la valoarea 0 , în cazul transformării de centrare și la valoarea 1 în cazul transformării **excentrice**. În cazul centrării, cele două puncte finale \mathbf{W}_N și \mathbf{M}_N se vor situa pe aceeași verticală ($\alpha_N = \pi/2$): punctul inițial \mathbf{W} , corespunzător unghiului la centru $\alpha = \arccos k$, suferind exclusiv transformări de rotație, în salturi, în sens sinistrorum pe CT, prin punctele intermediare \mathbf{W}_i ($\alpha_i = \arccos k_i = \arcsin k_i^2$), până în cel final \mathbf{W}_N (de $\alpha_N = \pi/2$) $\equiv \mathbf{B}(0,1)$. Mulțimea tuturor rotațiilor fiind de unghi $\beta_M = \arcsin k = \arccos k^2$.

Punctele \mathbf{W}_N și \mathbf{M}_N au același argument $\alpha_N = \pi/2$ dar modulele (razele orbitelor) sunt $\mathbf{R} = 1$ și, respectiv, $\mathbf{R}_N = \mathbf{R}(k)$.

FSM-CE, exprimate pe cercuri de raze $\mathbf{R}_i \neq 1$, $i = n = 1 \dots N$, au punctele definiții, care au fost note cu \mathbf{M}_i și ele sunt transformate prin homotetie $\mathbf{H}_i(\mathbf{O}, h_i)$ - de centru de homotetie în originea \mathbf{O} și raport de homotetie h_i - ale punctelor \mathbf{W}_i de pe CT

$$(5.38) \quad h_i = \mathbf{R}_i / \mathbf{R} = \mathbf{e}_i / \mathbf{e},$$

pentru o transformarea de centrare, pe orbita i de rază \mathbf{R}_i a punctului \mathbf{M}_i , căruia îi corespunde punctul \mathbf{W}_i de pe CT cu $\mathbf{R} = 1$.

În transformarea de centrare, punctele \mathbf{W}_i se rotesc exclusiv, rămânând pe CT, în timp ce punctele \mathbf{M}_i se rotesc și sunt acelea care sar de pe o orbită pe alta, de raze diferite. Astfel, transformarea din \mathbf{W} în \mathbf{M}_1 are loc printr-o rotație $\mathfrak{R}(O, \Delta\alpha_1)$ (pe CT din \mathbf{W} în \mathbf{W}_1) urmată de o translație sau homotetie $\mathbf{H}_1(\mathbf{O}, h_1)$ din \mathbf{W}_1 în \mathbf{M}_1 . Toate rotațiile fiind de același centru \mathbf{O} , produsul a două rotații va fi tot o rotație, iar mulțimea rotațiilor formează un grup comutativ în raport cu operația de compunere.

Produsul rotațiilor prin care \mathbf{W} se transferă în \mathbf{W}_N este

$$(5.39) \quad \mathfrak{R}_1 \circ \mathfrak{R}_2 \circ \mathfrak{R}_3 \circ \dots \circ \mathfrak{R}_N = \mathfrak{R}(O, \Delta\alpha_N = \pi/2 - \alpha) = \mathfrak{R}(\mathbf{O}, \beta_M), \text{ pentru } N \rightarrow \infty$$

Homotetiile fiind de același centru \mathbf{O} , mulțimea lor formează un grup comutativ izomorf cu grupul multiplicativ al numerelor reale nenule.

Produsul a două sau mai multe homotetii va fi tot o homotetie

$$(5.40) \quad H_1 \circ H_2 \circ H_3 \circ \dots \circ H_N = H(\mathbf{O}, h = \prod h_i) = H[\mathbf{O}, h = \mathbf{R}(k)]$$

Scriind proprietatea (5.31) a **FSM-CE**, începând cu prima orbită și terminând cu ultima, în prima coloană, iar, în a doua coloană, aceleași **relații normate** sau adimensionale, obținute prin împărțirea cu razele \mathbf{R}_i , rezultă

4. FUNCȚII SUPERMATEMATICE CIRCULARE EXCENTRICE

$$(5.41) \quad \left\{ \begin{array}{l} e_1 + R_1 = R = 1, \Leftrightarrow 1 + k_1 = R / R_1 = 1 / R_1 \\ e_2 + R_2 = R_1, \Leftrightarrow 1 + k_2 = R_1 / R_2 \\ e_3 + R_3 = R_2, \Leftrightarrow 1 + k_3 = R_2 / R_3 \\ e_4 + R_4 = R_3, \Leftrightarrow 1 + k_4 = R_3 / R_4 \\ \dots\dots\dots \\ e_{i+1} + R_{i+1} = R_i, \Leftrightarrow 1 + k_{i+1} = R_i / R_{i+1} \\ \dots\dots\dots \\ e_N + R_N = R_{N-1}, \Leftrightarrow 1 + k_N = R_{N-1} / R_N \end{array} \right.$$

Efectuând produsul **relațiilor normate**, de pe **coloana a doua**, se obține

$$(5.42) \quad \prod_{i=1}^N (1 + k_i) = 1/R_N \text{ sau } \mathbf{R}_N = 1 / \prod_{i=1}^N (1 + k_i) \text{ și, pentru } \mathbf{i} \rightarrow \infty, \text{ rezultă } \mathbf{R}(\mathbf{k})$$

(5.43) $\mathbf{R}(\mathbf{k}) = 1 / \prod_{i=1}^{\infty} (1 + k_i)$ din care, pe baza relației (5.13), se obține una din formele **cunoscute** ale integralei eliptice complete de speta întâia

$$(5.44) \quad \mathbf{K}(\mathbf{k}) = \frac{\pi}{2} \prod_{i=1}^{\infty} (1 + k_i)$$

În aceste relații, pentru $i = 1$, rezultă $k_0 = k$ și k_i are expresia

$$(5.45) \quad k_i = e_i / R_i = \frac{1 - \sqrt{1 - k_{n-1}^2}}{1 + \sqrt{1 - k_{n-1}^2}}.$$

5. Metoda hibridă de determinare a lui $\mathbf{K}(\mathbf{k})$

Din această relație, pentru un număr mare de pași, se obține o expresie algebrică mult prea voluminoasă, ea fiind potrivită în cazul în care se realizează un program de calcul pentru calculatoare electronice numerice, deoarece are un algoritm foarte simplu.

În baza proprietăților **PE 1 ... PE 4**

$$(5.46) \quad \mathbf{M}_{i+1} = \mathbf{R}_i, \mathbf{m}_{i+1} = \mathbf{p}_i, \text{ astfel că, din suma și diferența acestor relații, se obține}$$

$$(5.47) \quad 2 \mathbf{R}_{i+1} = \mathbf{R}_i + \mathbf{p}_i, 2 \mathbf{e}_{i+1} = \mathbf{R}_i - \mathbf{p}_i \text{ și } \mathbf{R}_{i+1} = \mathbf{A}_i^+ = \mathbf{A}^+(\mathbf{R}_i, \mathbf{p}_i),$$

$$\mathbf{p}_{i+1} = \sqrt{R_i p_i} = \mathbf{G}_i = \mathbf{G}(\mathbf{R}_i, \mathbf{p}_i), \text{ iar pentru un salt dublu, ca de exemplu de pe}$$

CT pe a doua orbită, sau de pe a doua orbită pe a patra, pentru $i = 2$ ș.a.m.d.

$$(5.48) \quad 2 \mathbf{R}_{i+2} = \mathbf{R}_{i+1} + \mathbf{p}_{i+1} = (\mathbf{R}_i + \mathbf{p}_i) / 2 + \sqrt{p_i R_i} \text{ sau } 4 \mathbf{R}_{i+2} = \mathbf{R}_i + \mathbf{p}_i + 2 \sqrt{R_i p_i}$$

4. FUNCȚII SUPERMATEMATICE CIRCULARE EXCENTRICE

$$2 \mathbf{e}_{i+2} = R_{i+1} - p_{i+1} = (\mathbf{R}_i + p_i) / 2 - \sqrt{R_i p_i} \quad \text{sau} \quad 4 \mathbf{e}_{i+2} = \mathbf{R}_i + p_i - 2\sqrt{R_i p_i}$$

Din (5.48) se obține

$$(5.49) \quad \mathbf{R}_{i+2} = \left(\frac{\sqrt{R_i} + \sqrt{p_i}}{2} \right)^2 = \left(\frac{\sqrt{A_i^+} + \sqrt{G_i}}{2} \right)^2 \quad \text{și}$$

$$\mathbf{e}_{i+2} = \left(\frac{\sqrt{R_i} - \sqrt{p_i}}{2} \right)^2 = \left(\frac{\sqrt{A_i^+} - \sqrt{G_i}}{2} \right)^2 \quad \text{și, scris concentrat,}$$

$$(5.50) \quad (\mathbf{e}, \mathbf{R})_{i+2} = \left(\frac{\sqrt{R_i} \mp \sqrt{p_i}}{2} \right)^2 = \left(\frac{\sqrt{A_i^+} \mp \sqrt{G_i}}{2} \right)^2$$

$$(5.51) \quad p_{i+2} = \sqrt{R_{i+1} \cdot p_{i+1}} = \sqrt[4]{R_i p_i} \sqrt{\frac{R_i + p_i}{2}} = \sqrt{\frac{R_i + p_i}{2}} \sqrt{R_i p_i} = \sqrt{G_i} \sqrt{A_i^+} = \sqrt{A_i^+ \cdot G_i}$$

Dacă, în (5.50), se face $i \rightarrow i+2 \Rightarrow i+4$ se obține

$$(5.52) \quad (\mathbf{e}, \mathbf{R})_{i+4} = \left(\frac{\sqrt{R_{i+2}} \mp \sqrt{p_{i+2}}}{2} \right)^2 = \left(\frac{\sqrt{A_{i+2}^+} \mp \sqrt{G_{i+2}}}{2} \right)^2 \quad \text{iar} \quad p_{i+4} = \sqrt{A_{i+2}^+ \cdot G_{i+2}}$$

Pentru $i = 1$ în (5.50) și respectiv în (5.51) se obțin radicalii mărimilor de pe orbita a **3-a**

$$(5.53) \quad \sqrt{R_3} = (\sqrt{A_1^+} + \sqrt{G_1}) / 2 = (\sqrt{R_1} + \sqrt{p_1}) / 2 = \\ = \left(\sqrt{\frac{1 + \sqrt{1 - k^2}}{2}} + \sqrt{\sqrt{1 - k^2}} \right) / 2$$

$$(5.54) \quad \sqrt{p_3} = \sqrt{\frac{R_1 + p_1}{2}} \sqrt{R_1} \sqrt{p_1}$$

Și, pentru $i = 1$, în (5.52), rezultă raza celei de a **5-a** orbite (v. Fig. 5.2)

$$(5.55) \quad \mathbf{R}_5 = \frac{1}{4} (\sqrt{R_3} + \sqrt{p_3})^2 = \frac{1}{4} \left(\frac{A+G}{2} + \sqrt{\frac{A^2 + G^2}{2}} \sqrt{AG} \right)^2 \quad \text{astfel că}$$

$$(5.56) \quad \mathbf{K}(k) \cong \frac{\pi}{2R_5} = \frac{\pi}{\frac{1}{2} \left(\frac{A+G}{2} + \sqrt{\frac{A^2 + G^2}{2}} \sqrt{AG} \right)^2}, \quad \text{în care s-a notat}$$

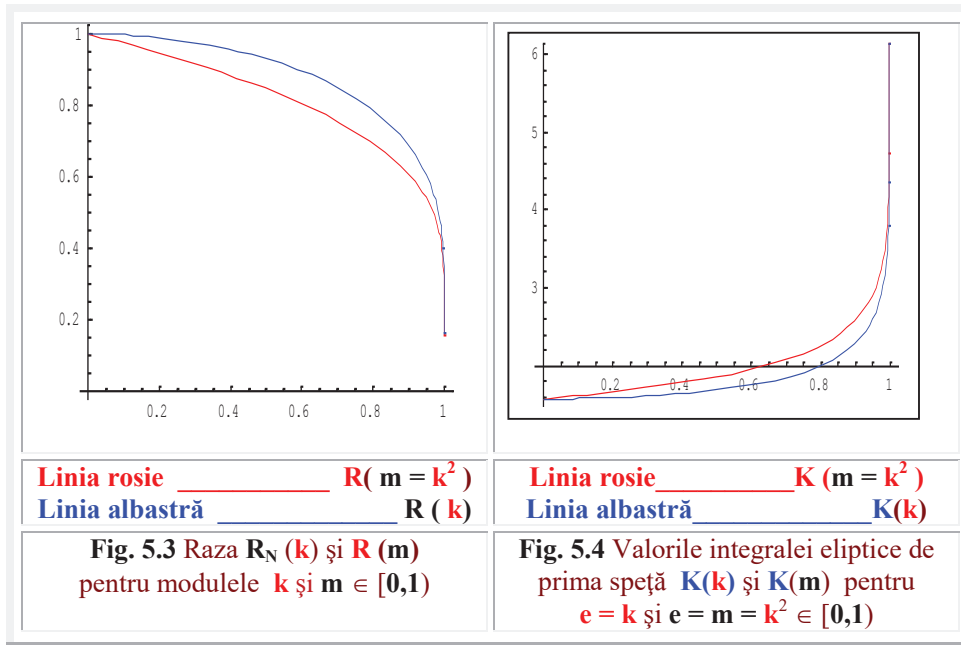
$$(5.57) \quad \mathbf{G} = \sqrt{p_1} = \sqrt[3]{1 - k^2} \quad \text{și} \quad \mathbf{A} = \sqrt{R_1} = \sqrt{\frac{1 + \sqrt{1 - k^2}}{2}} = \sqrt{\frac{1 + G^4}{2}}$$

6 Concluzii

4. FUNCȚII SUPERMATEMATICE CIRCULARE EXCENTRICE

6.1 Relațiile (5.55 ...5.57) obținute, a căror grafice sunt prezentate în figura 5.3 și, respectiv, 5.4 sunt cu mult mai simple decât alte relații similare, care nu asigură precizia de minimum **15 zecimale exacte**, precizie constatată practic prin compararea rezultatelor cu cele din tabele și prin calculul pe calculator cu cele două relații (v.Fig.5.8). De aceea, din punct de vedere practic, în domeniul ingineriei mecanice, ea poate fi asimilată cu o relație exactă pentru determinarea frecvenței proprii a unor sisteme dinamice neliniare. Ea poate fi memorată, în memoria calculatoarelor, în locul tabelelor de valori ale lui $K(k)$, având marele avantaj că spațiul alocat memorării este cu mult mai redus: se memorează doar relația de calcul și nu valorile integralei eliptice complete de prima speță.

6.2 Transformarea prezentată poate fi considerată și ca o transformare liniară (fuchsiana), după **H. Poincare**, cu punct fix dublu, care este punctul $C(-1, 0)$ de pe CT , denumită transformare parabolică. Privită în acest mod, transformarea se realizează prin schimbarea succesivă a centrului ca excentru pentru orbita următoare: $O \rightarrow E_1, O_1 \rightarrow E_2$, ș.a.m.d. până când $O_N \equiv E_N$, pentru $e_N \rightarrow 0$, prezentată în partea stângă a **figurii 5.5**.



Cercul C_1 de rază R_1 intersectează axa Oy în punctul de ordonată $y_1 = p_1$ iar distanța O_1O este tocmai excentricitatea e_1 a următoarei orbite (cea de a doua).

În acest caz, apare o nouă proprietate a transformării

4. FUNCȚII SUPERMATEMATICE CIRCULARE EXCENTRICE

$$(5.58) \quad \mathbf{R}_j + \sum_1^j e_j = 1, \text{ din care rezulta, la limită, } \mathbf{R}_N = 1 - \sum_{i=1}^N e_i .$$

6.3 De asemenea, este valabilă transformarea lui **Landen**

$$(5.59) \quad (1 + k'_i)(1 + k_{i+1}) = 2 \quad \text{sau} \quad (1 + \cos \beta_{M_{i+1}})(1 + \sin \beta_{M_{i+1}}) = 2$$

Această transformare stipulează, de fapt, că, în cursul transformărilor de centrare, suprafețele dreptunghiurilor de bază $1 + k_{i+1}$ și de înălțime $1 + k'_i$ sunt constante și egale cu jumătate din suprafața pătratului în care este înscris cercul unitate (CT) de raza $\mathbf{R} = 1$.

6.4 Se vede din **figura 5.1** că \mathbf{R}_N este valoarea pe care funcția **rex0** o ia în punctul ξ , de existența a unui subinterval, denumit interval de contracție. De existența acestui punct, din teorema de medie a lui **Lagrange**, sau din teorema creșterilor finite, s-a ocupat **D. Pompeiu**, iar exemple importante de funcții și intervalele lor de contracție au fost prezentate de **Miron Nicolescu**. În acest domeniu, studii cu privire la generalizarea noțiunii de diferență divizată a unei funcții și proprietățile de medie ale acestora au fost studiate de **Tiberiu Popoviciu**.

6.5 Un **exemplu numeric**, pentru un modul intenționat ales foarte mare ($k = 0,98$), ca un număr cât mai mare de transformări să fie distincte (lizibile), este prezentat în continuare, în tabelul **T₁**. El corespunde curbelor din **figura 5.2**, în care reprezentarea celei de-a 5-a orbite n-a mai putut fi realizată, din cauză că diferența dintre graficul orbitei 4 se confundă/suprapune peste cel al orbitei a 5-a.

6.6 Între cele două medii aritmetice (+ și -) și media geometrică există următoarea relație

$$(5.60) \quad \mathbf{A}^{+2} - \mathbf{A}^{-2} = \mathbf{G}^2$$

Tabelul T 5. 1					
ORBITA i	RAZA ORBITEI	PONDEREA		EXCENTRICITATEA	
	$R_{i+1} = (R_i + p_i)/2$	REALĂ	NUMERICĂ	REALĂ	NUMERICĂ
	$p_i = R_i k'_i$	k_i	$e_{i+1} = (R_i - p_i)/2$	$k_i = e_i/R_i = s_i$	
0	1	0, 1989974	0, 1989974	0, 98	0, 98
1	0, 59949870	0, 4460898	0, 7441047	0, 4005013	0, 66806030
2	0, 52279420	0, 5171365	0, 9891780	0, 0767044	0, 14672000
3	0, 51996530	0, 5199576	0, 9999852	0, 0028288	0, 00544403
4	0, 51996114	0, 5199614	1	0, 0000038	0, 00000730
N =5	0, 51996140	0, 5199614	1	0	0

4. FUNCȚII SUPERMATEMATICE CIRCULARE EXCENTRICE

Transformarea de centrare în care excentricitatea scade de la o valoare inițială $k \in (0, 1)$ la valoarea finală **zero** poate da naștere unei spirale ca cea din figura 5.5 iar transformarea inversă, denumită **transformare excentrică**, în care excentricitatea crește de la valoarea k până la valoarea $k_N = 1$ dă naștere unei **porțiuni** ale aceleiași spirale, porțiune și mai neobișnuită care, ca și “Spirala lui Cornu“ are două capete, însă al doilea capăt al noii spirale se termină cu un pătrat (v. Fig. 5.6). Spirala lui **Cornu** are la ambele capete un cerc.

Noua spirală are la un capăt un cerc și la celălalt capăt un pătrat. Din păcate cele două capete ale spiralei n-au putut fi reprezentate într-un singur desen, din motive lesne de înțeles.

Nici măcar pătratul n-a putut fi prezentat în întregime, ci este doar sugerat, observând că raportul dintre porțiunile liniare, ale acestui capăt al spiralei, și cele curbe (circulare) este în continuă creștere, urmând ca porțiunile circulare să dispară la un moment dat.

Pentru a putea continua calculele și a obține precizii și mai ridicate, decât cele 15 zecimale exacte, a fost întocmit și prezentat **tabelul T.5.2**. În acest tabel, fiecare linie conține datele unei orbite, începând cu cea inițială de rază $R = 1$, excentricitatea $s = e = k$ și ponderea $p = \sqrt{1 - k^2}$ și terminând pe orbita a 7-a cu R_7 , e_7 și p_7 .

Așa cum s-a mai afirmat, salturile se pot realiza de pe o orbită pe cea următoare, dar și **peste mai multe orbite deodată**. Astfel, dacă se cunosc expresiile de pe primele două orbite se pot determina cele de pe orbita a 4-a, apoi a 8-a, a 16-a ș.a.m.d.

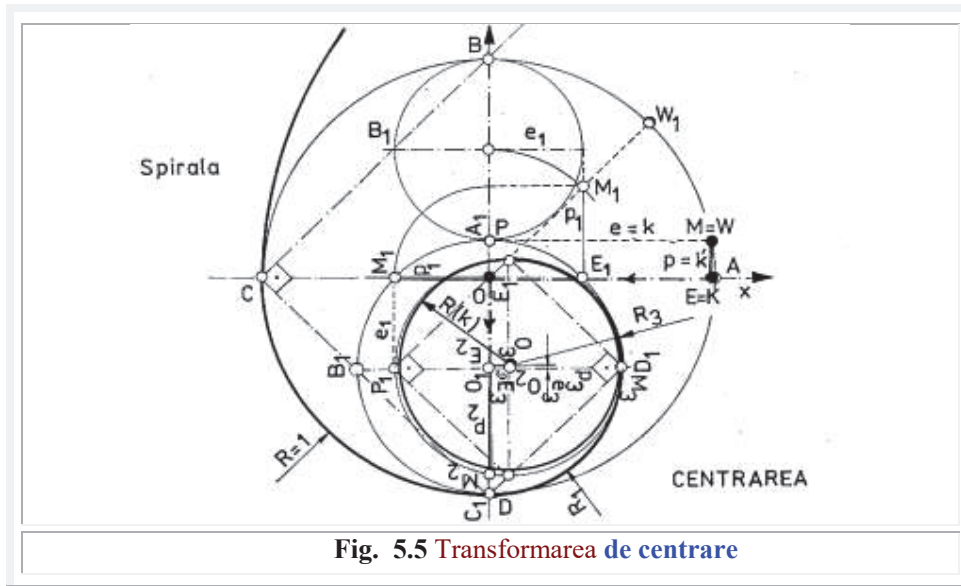


Fig. 5.5 Transformarea de centrare

4. FUNCȚII SUPERMATEMATICE CIRCULARE EXCENTRICE

Este de observat că în linia a 6-a, unde s-a trecut R_5 expresia acesteia este un **pătratul perfect**. Fiecare linie are o linie verticală de separare. În stânga acesteia, începând cu rândul al 2-lea, sunt trecute raza R_i și excentricitatea reală e_i a orbitei, iar în dreapta ponderea p_i .

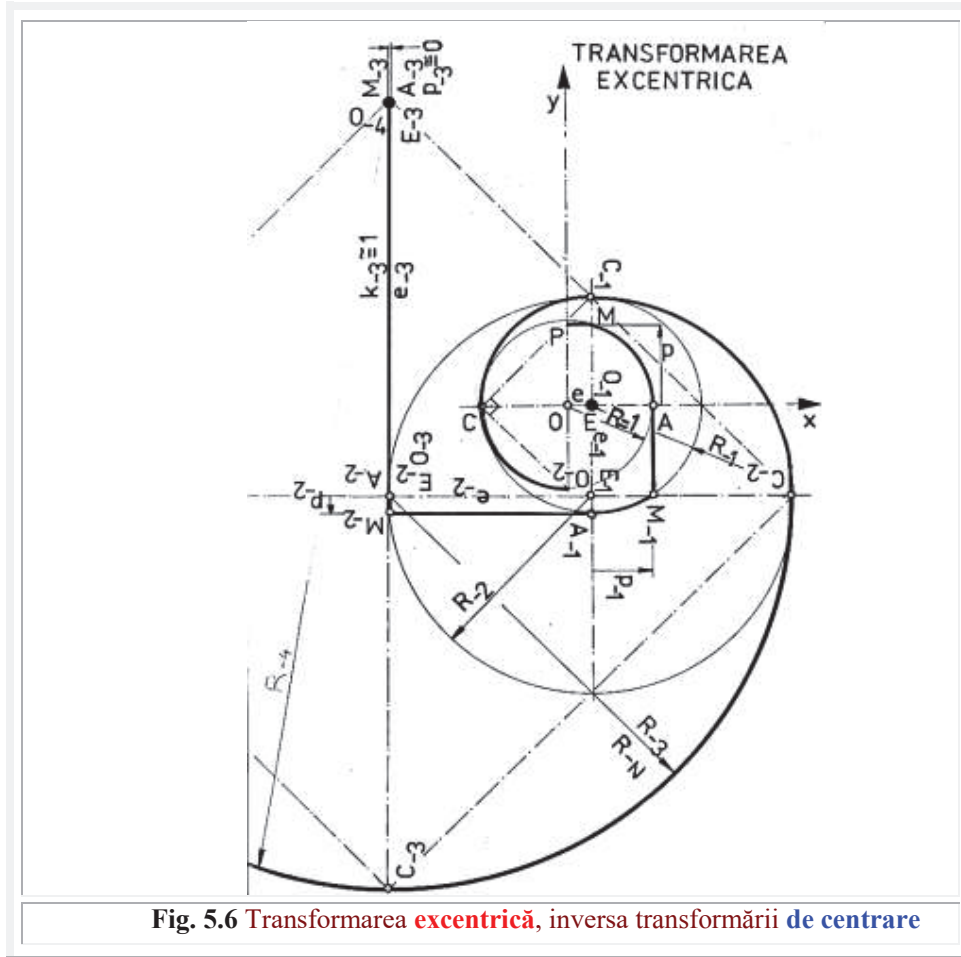


Fig. 5.6 Transformarea **excentrică**, inversa transformării **de centrare**

În primele două rânduri, relațiile de calcul ale razei și excentricității sunt distincte, iar începând cu rândul al 3-lea au fost scrise concentrat; semnul + fiind pentru raza R_i și semnul – pentru excentricitatea e_i .

Ponderile dintr-un rând (ultima poziție a rândului) se determină ca radical din produsul relațiilor din stânga cu **semn plus** (+ pentru că este vorba de raza R) și din dreapta liniei verticale de separație din rândul anterior, adică dintre **rază** și **ponderea** anterioară. Astfel,

4. FUNCȚII SUPERMATEMATICE CIRCULARE EXCENTRICE

$$p_1 = \sqrt{1 \cdot p}, \quad p_2 = \sqrt{\left(\frac{1}{2} + \frac{p}{2}\right) \cdot \sqrt{p}} = \sqrt{\frac{1+p}{2} \sqrt{p}},$$

$$p_3 = \sqrt{\left(\frac{1}{2^2} + \frac{p}{2^2} + \frac{\sqrt{p}}{2}\right) \cdot \sqrt{\frac{1+p}{2} \sqrt{p}}} = \sqrt{\frac{1+p}{2} + \frac{\sqrt{p}}{2}} \sqrt{\frac{1+p}{2} \sqrt{p}}$$

și algoritmul devine simplu și ușor de aplicat în continuare.

Două dintre transformările posibile de centrare sunt prezentate în **figura 5.7**, în dreapta și, respectiv, stânga desenului, pentru primele două salturi sau pași, însă, așa cum se poate observa din **figura 5.5**, în care este prezentată o parte din **spirală de centrare**, este posibilă și o a treia variantă, în care, excentrele reale E_i cu excentricitățile reale corespunzătoare, ca și originea cercurilor cu razele lor din ce în ce mai mici, până la limita R_N sunt plasate succesiv pe axa Ox și, respectiv, Oy .

Tabelul T 5.2			
$R = 1$ $e = k$	1	$p = (1 - k^2)^{0,5}$ Raza R_1 , excentricitatea reala e_1 și ponderea p_1 a orbitelor în transformarea de centrare	
$R_1 = (R_1 + p)/2$ $e_1 = (R_1 - p)/2$	$1/2 \pm p/2$	$p_1 = G_1 = (R \cdot p)^{0,5} = p^{0,5}$	
$R_2 = (R_1 + p)/2$ $e_1 = (R_1 - p_1)/2$	$1/2^2 + p/2^2 \pm p^{0,5}/2$	$p_2 = G_2 = (R_1 \cdot p_1)^{0,5} = [p^{0,5} \cdot (1 + p) / 2]^{0,5}$	
$R_3 = (R_2 \pm p_2)/2$ $e_3 =$	$1/2^3 + p/2^3 + p^{0,5}/2^2 \pm 0,5[0,5(1+p) \cdot p^{0,5}]^{0,5}$	$p_3 = \{0,5[(1+p)/2 + p^{0,5}] [0,5(1+p)p^{0,5}]^{0,5}\}^{0,5}$	
$R_4 = (R_3 \pm p_3)/2$ $e_4 =$	$1/2^4 + p/2^4 + p^{0,5}/2^3 + [0,5(1+p)p^{0,5}]^{0,5}/2^2 \pm \{0,5[(1+p)p^{0,5}]\}^{0,5}/2$	$p_4 = G_4 = \{R_3 p_3\}^{0,5}$	
$R_5 = (R_4 \pm p_4)/2$ $e_5 =$	$1/2^5 + p/2^5 + p^{0,5}/2^4 + [0,5(1+p)p^{0,5}]^{0,5}/2^3 + \{0,5[(1+p)p^{0,5}]\}^{0,5}/2^2 \pm p_4/2$	$p_5 = (R_4 p_4)^{0,5}$	
$R_6 = (R_5 \pm p_5)/2$ $e_6 =$	$1/2^6 + p/2^6 + p^{0,5}/2^5 + [0,5(1+p)p^{0,5}]^{0,5}/2^4 + \{0,5[(1+p)p^{0,5}]\}^{0,5}/2^3 + p_4/2^2 \pm p_6$	p_6	
$R_7 = (R_6 \pm p_6)/2$ $e_7 =$	$1/2^7 + p/2^7 + p^{0,5}/2^6 + [0,5(1+p)p^{0,5}]^{0,5}/2^5 + \{0,5[(1+p)p^{0,5}]\}^{0,5}/2^4 + p_4/2^3 + p_5/2^2 \pm p_6/2$		

Astfel O_1 și E_1 sunt pe axa Ox , O_2 și E_2 sunt plasate în jos pe direcția axei Oy , apoi O_3 și E_3 sunt din nou pe direcția pozitivă a axei Ox ș.a.m.d. Și, în acest fel, se poate observa convergența extraordinar de rapidă a metodei spre valoarea limită R_N , din care cauză nu pot fi reprezentați distinct prea mulți pași ai transformării.

4. FUNCȚII SUPERMATEMATICE CIRCULARE EXCENTRICE

În **transformarea** inversă, denumită **excentrică** (Fig. 5.6), excentrele sunt notate cu **indici negativi**, vrând să sugereze faptul că sensul deplasării centrelor O_{-i} și excentrelor E_{-i} sunt inverse sensului transformării de centrare.

Astfel, excentrul inițial E este plasat tot pe axa Ox . Dar, s-a ales o valoare mult mai mică a excentricității numerice și reale $s = e = k$, pentru a putea executa cât mai mulți pași din aceasta transformare excentrică.

Se observă, fără dificultate, că valoarea excentricității reale e_i ca și valorile razelor R_i cresc continuu de la $R = 1$ și $s = e = k$ la valoarea pentru care punctul M_{-i} și A_{-i} se confundă. Punctul M_{-i} separă **linia dreaptă** din stânga de **arc de cerc** dintre M_{-i} și A_{-i} . Punctele A_{-i} reprezintă punctele de origine ($\alpha = 0$) pentru fiecare cerc, astfel ca E_{-i} să fie situat între A_{-i} și O_{-i} .

Dacă în **transformarea de centrare** se egalizează R și p pentru $N \rightarrow \infty$ ($R_N = p_N$), în **transformarea excentrică** se egalizează raxa R_i cu excentricitatea e_i , astfel că

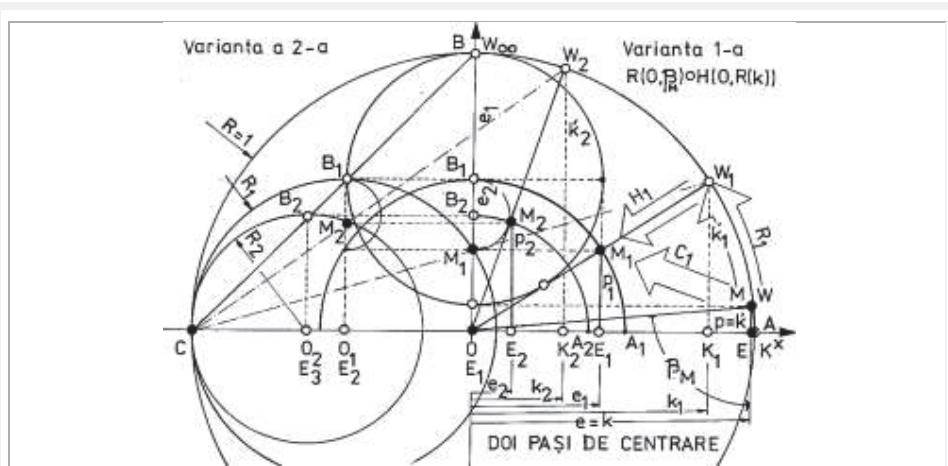


Fig. 5.7 Cele două variante ale transformării de centrare, pentru determinarea funcției R_N , necesară calculării lui $K(k)$, sau a determinării unei relații de calcul

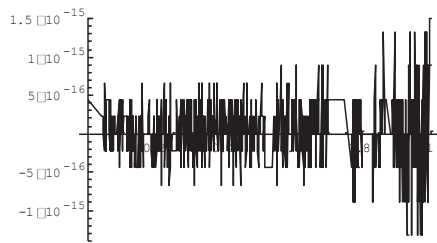


Fig. 5.8 Diferențele dintre seria $K(k)$ și relația F5 obținută de autor

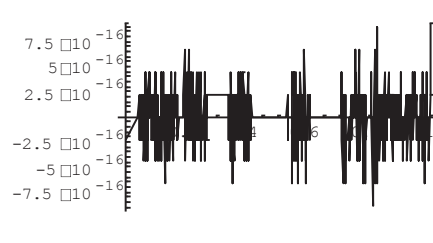


Fig. 5.9 Diferențele dintre seria $E(k)$ și relația E6 obținută de autor

4. FUNCȚII SUPERMATEMATICE CIRCULARE EXCENTRICE

$R_{-N} = e_{-N}$ și $s_{-N} \rightarrow 1$ pentru $-N \rightarrow -\infty$, așa cum se poate observa, în stânga sus, în **figura 5.6**.

Aprecierea preciziei relației deduse, notată cu **F5(m)** în **figura 5.8**, s-a făcut prin comparație (diferența) cu seria lui **K(m = k²)** rulată în unul dintre cele mai performante programe de matematică (**MATHEMATICA 7**) a lui **Stephen Wolfram (Fig. 5.8)**, în care, cu siguranță, au fost considerați foarte mulți termeni (peste 165).

O relație de calcul, puțin mai complicată, obținută însă după 6 pași de centrare, a fost obținută și pentru integrala eliptică completă de speță a doua **E(k)**. Precizia ei este, însă, la fel de ridicată, așa cum rezultă din diferențele înregistrate în **figura 5.9**.

Pentru determinarea razei **R**, ca **medie aritmetică⁺** sau **pozitivă A⁺** se consideră numai valorile primei determinări ale funcției **rex₁θ**, ambele valori, în acest caz **s₁ < 1**, fiind pozitive, adică **x₁' = rex₁(0, e) ≡ x₁** și **x₁' = rex₁(π, e) = e + R = -x₂ > 0**. S-a lucrat în continuare cu **x₁** și **± x₂**, adică cu funcțiile **rex₁θ** pentru **θ = 0** și **θ = π**, astfel că **mediile aritmetice plus (+) și minus (-)** sunt

$$A^+ = (x_1 + x_2) / 2 = e \quad \text{și}$$

$$A^- = (x_1 - x_2) / 2 = R$$

După 5 pași, relația lui **E(k) ≡ E5** avea eroarea (diferența) maximă de 8×10^{-16} .

Se pare că preciziile seriilor **K(k)** și **E(k)**, calculate de calculatoarele obișnuite, nu pot depăși preciziile de 15 sau 16 zecimale exacte, în simplă precizie, deoarece, continuând cu alți pași și comparând valorile expresiilor cu cele ale seriilor, diferențele se păstrează cvazi constante, ceea ce denotă că apare o saturație a preciziei de calcul a calculatoarelor sau, mai precis, a **programelor** lor de calcul.

Dacă relația de calcul a lui **K(k)** nu oferă valoarea precisă de **R_N(1) = 0** pentru **k = 1**, pentru care **K(k) → ∞**, metoda, însă, oferă această valoare, deoarece la **k = 1 ⇒ p = 0** și **e₁ = R₁ = R_N = 0**, astfel (**N = 1**) și **K(1) = π/2R_N → ∞**.

La fel se întâmplă și în cealaltă extremitate, pentru **s = e = k = 0**, când **p = 1** și **R₁ = R_N = p = 1**, astfel încât **K(0) = π/2R_N = π/2**.

Se pune întrebarea firească, de ce o relație de calcul, atât de exactă, nu oferă valori exacte și pentru excentricitățile și, respectiv, modulele **extreme k = 0** și **k = 1**? Răspunsul este relativ simplu: pentru că relația este dedusă pentru **N = 5**, iar în cazurile amintite anterior nu depășesc **N = 1**. Considerând relația **R_{N=1}**, care pot fi luate din linia a doua a tabelului **T 5.2**, se observă imediat că se vor obține valorile reale **exacte** ale lui **K(0) = π/2** și **K(1) = ∞**.

5.2 Rex α – funcția generatoare a polinoamelor Legendre centrice P_n(x) = P_n(α)

Polinoamele ortogonale, ca polinoamele **Legendre, Hermite, Laguerre, Cebâșev, Jacobi** ș.a., constituie o clasă importantă de sisteme ortogonale de funcții.

Sistemele ortogonale de funcții joacă un rol important în analiza matematică, în legătură cu posibilitatea dezvoltării unor funcții arbitrare, aparținând unor clase de funcții foarte largi, în serii de funcții ortogonale ca, de exemplu, serii **Fourier, Serii Fourier-Bessel**, ș.a.

4. FUNCȚII SUPERMATEMATICE CIRCULARE EXCENTRICE

Polinoamele **Legendre** $P_n(x)$ sunt ortogonale în raport cu ponderea / punctul $\rho(x) = 1$ în intervalul $(-1, 1)$ și sunt definite prin relația (5.61), denumită și formula lui **Rodrigues**

$$(5.61) \quad P_n(x) = \frac{1}{2^n n!} \frac{d^n}{dx^n} [(x^2 - 1)^n], \quad n = 0, 1, 2, \dots$$

Ele reprezintă un caz particular al polinoamelor **Jacobi** $P_n^{(\alpha, \beta)}(x)$, pentru $\alpha = \beta = 0$ și al polinoamelor **Gegenbauer** $C_n^\nu(x)$, pentru $\nu = 1/2$.

Polinoamele **Legendre** $P_n(x)$ formează sistemul ortogonal cu norma $N_n = \frac{2}{2n+1}$:

$$(5.62) \quad \int_{-1}^1 P_m(x) \cdot P_n(x) \cdot dx = \begin{cases} 0, & \text{pentru } m \neq n \\ \frac{2}{2n+1}, & \text{pentru } m = n \end{cases}$$

Expresiile $y = P_n(x)$ sunt soluții ale ecuației diferențiale, numită și ecuația lui

Legendre:

$$(5.63) \quad (1-x^2)y'' - 2xy' + n(n+1)y = 0, \quad (y' = dy/dx), \quad x \text{ o variabilă complexă.}$$

Ecuația diferențială poate fi scrisă și sub forma

$$(5.64) \quad \frac{d}{dx} [(1-x^2)y'] + n(n+1)y = 0, \quad \text{cu punctele singulare } x = \pm 1 \text{ care anulează ecuația (5.64).}$$

Plasând în polul **N (Nord)**, al unei sfere de rază R , o sarcină pozitivă unitară ($q = +1$), într-un punct variabil **M** de coordonate sferice r, α, φ , **potențialul columbian** $V(M)$ va fi direct proporțional cu sarcina q și invers proporțional cu distanța d dintre punctele **M** și **N**, adică

$$(5.65) \quad V(M) = \frac{q}{d} = \begin{cases} \frac{1}{R\sqrt{1+s^2-2s\cos\alpha}} & \text{pentru } s = \frac{r}{R} < 1 \\ \frac{1}{r\sqrt{1+s^2-2s\cos\alpha}} & \text{pentru } s = \frac{R}{r} < 1 \end{cases}$$

Notând cu $x = \cos \alpha$, în ambele cazuri, apare funcția $\Psi(s, \alpha) = \Psi(s, x)$, denumită **funcția generatoare** a polinoamelor **Legendre**, data de expresiile

$$(5.66) \quad \begin{cases} \Psi(s, \alpha) = \frac{1}{\sqrt{1+s^2-2s\cos\alpha}} = \frac{1}{\text{Rex}(\alpha, s)} \\ \Psi(s, \alpha) = \frac{1}{\sqrt{1+s^2-2sx}} = \frac{1}{\text{Rex}(x, s)} \end{cases} \quad \text{în care, la numitor,}$$

se remarcă prezența funcției radial excentric $\text{Rex}\alpha_1$, de variabilă centrică α și, respectiv, $x(\alpha)$ cu restricția $x = \cos \alpha \in [-1, 1]$ și $s \in (0, 1)$.

În relațiile (5.65), excentricitatea reală $e = r$, pentru $r < R$ și este $e = R$, pentru $r > R$, astfel încât excentricitatea numerică $s = e/R$ să fie întotdeauna subunitară.

Dezvoltând pe (5.66) în serie după puterile excentricității numerice s se obține

$$(5.67) \quad \Psi(s, x) = \frac{1}{\sqrt{1+s^2-2sx}} = 1 - \frac{1}{2}(s^2 - 2sx) + \frac{\left(-\frac{1}{2}\right)\left(-\frac{3}{2}\right)}{2!}(s^2 - 2sx)^2 + \dots = \\ = 1 + sx + s^2 \left(\frac{3}{2}x^2 - \frac{1}{2}\right) + s^3 \left(\frac{5}{2}x^3 - \frac{3}{2}\right) + \dots = \sum s^n \cdot P_n(x)$$

Așa cum se observă, coeficientul $P_n(x)$ a lui s^n este un polinom de gradul n .

Dacă n este par, atunci P_n conține numai termeni în x la puteri pare, iar dacă n este impar, atunci P_n conține numai termeni în x la puteri impare.

4. FUNCȚII SUPERMATEMATICE CIRCULARE EXCENTRICE

Expresiile primelor cinci polinoame Legendre sunt

$$\begin{aligned}
 P_0(x) &= 1 \\
 P_1(x) &= x = \cos \alpha \\
 P_2(x) &= \frac{1}{2}(3x^2 - 1) = \frac{1}{4}(3 \cos 2\alpha + 1) \\
 P_3(x) &= \frac{1}{2}(5x^3 - 3x) = \frac{1}{8}(5 \cos 3\alpha + 3 \cos \alpha) \\
 P_4(x) &= \frac{1}{8}(35x^4 - 30x^2 + 3) = \frac{1}{64}(35 \cos 4\alpha + 20 \cos 2\alpha + 9) \\
 P_5(x) &= \frac{1}{8}(63x^5 - 70x^3 + 15) = \frac{1}{128}(63 \cos 5\alpha + 35 \cos 3\alpha + 30 \cos \alpha)
 \end{aligned}
 \tag{5.68}$$

Prin derivarea expresiei (5.66), în funcție de excentricitatea numerică, considerată variabilă, se va obține

$$(1 + s^2 - 2sx) \frac{\partial \Psi}{\partial s} - (x - s)\Psi = 0
 \tag{5.69}$$

și substituind (5.67) și efectuând derivata lui, rezultă relația de recurență, care leagă trei polinoame succesive între ele

$$(n+1) P_{n+1}(x) - x(2n+1) P_n(x) + n P_{n-1}(x) = 0
 \tag{5.70}$$

Prin derivarea relației (5.66), în funcție de excentricitatea numerică s se obține

$$(1 + s^2 - 2sx) \frac{\partial \Psi}{\partial x} - s\Psi = 0 \text{ și, ținând seama de (5.65), rezultă}
 \tag{5.71}$$

$$s \frac{\partial \Psi}{\partial s} - (x - s) \frac{\partial \Psi}{\partial x} = 0 \text{ și o a doua formulă de recurență este}
 \tag{5.72}$$

$$n \cdot P_n(x) - x \cdot P_n'(x) + P_{n-1}'(x) = 0
 \tag{5.73}$$

Expresia generală a polinoamelor **Legendre** de grad n se obține din relația (5.61) folosind formula binomului

$$(x^2 - 1)^n = \sum_{k=0}^n \frac{(-1)^k n!}{k!(n-k)!} x^{2n-2k} \text{ din care rezultă}
 \tag{5.74}$$

$$P_n(x) = \sum_{k=0}^{\lfloor \frac{n}{2} \rfloor} \frac{(-1)^k (2n-2k)!}{2^n k!(n-k)!(n-2k)!} x^{n-2k}
 \tag{5.75}$$

5.2.1 Funcția **rex0** - funcția generatoare a polinoamelor Legendre excentrice

Considerând funcția generatoare a polinoamelor **Legendre centrice** (5.66) egală cu funcția generatoare a polinoamelor excentrice, adică:

4. FUNCȚII SUPERMATEMATICE CIRCULARE EXCENTRICE

$$(5.76) \quad \Psi(s, \alpha) = \Psi(s, \theta) = \frac{1}{-s \cdot \cos \theta + \sqrt{1 - s^2 \cdot \sin^2 \theta}} \text{ și, ținând cont de a doua}$$

relație, din câțul celor două determinări ale funcțiilor radial excentrice (4.34), rezultă funcția generatoare a polinoamelor **Legendre excentrice** (de variabilă excentrică θ , înlocuind variabila centrică α)

$$(5.77) \quad \Psi(s, \theta) = \frac{r_2}{s^2 - 1} = \frac{s \cdot \cos \theta + \sqrt{1 - s^2 \cdot \sin^2 \theta}}{1 - s^2} = \\ = \frac{1}{1 - s^2} (s \cdot \cos \theta + \sqrt{1 - s^2 \cdot \sin^2 \theta}) = A(B + C)$$

Dezvoltările în serie de puteri a termenilor A și C din (5.75) sunt

$$(5.78) \quad A = \frac{1}{1 - s^2} = \sum (s^2)^n = 1 + s^2 + s^4 + \dots + s^{2n} + \dots$$

$$(5.79) \quad B = s \cdot \cos \theta$$

$$(5.80) \quad C = \sqrt{1 - s^2 \cdot \sin^2 \theta} = 1 - \sum_{n=0}^{\infty} \frac{(2n-1)!!}{2^{n+1} \cdot (n+1)!} s^{2n} \cdot \sin^{2n} \theta = \\ = 1 - \frac{1}{2} s^2 \sin^2 \theta - \frac{1.1}{2.4} s^4 \sin^4 \theta - \frac{1.1.3}{2.4.6} s^6 \cdot \sin^6 \theta - \frac{1.1.3.5}{2.4.6.8} s^8 \sin^8 \theta - \dots \\ \dots - \frac{1.1.3.5.7}{2.4.6.8.10} s^{10} \cdot \sin^{10} \theta - \dots - \frac{(2n-1)!!}{2^{n+1} \cdot (n+1)!} s^{2n} \sin^{2n} \theta - \dots$$

Există mai multe posibilități de-a definiția polinoamele **Legendre** excentrice, dar cea mai simplă este de-a executa înmulțirile din relația (5.77) a seriei A cu termenul B și a celor două serii A și C. Din prima înmulțire rezultă polinoamele **Legendre excentrice impare PLE_I (S_I)**, iar din înmulțirea celor două serii rezultă expresiile polinoamelor **Legendre excentrice pare PLE_P (S_P)**. Din prima înmulțire, rezultă termenii **impairi** ai funcției $\Psi(s, \theta)_I$

$$(5.81) \quad \Psi(s, \theta)_I = \sum S_I \cdot s^{2n-1} = \\ = S_{2n-1} \sum_{n=1}^{\infty} s^{2n-1} = \cos \theta \sum_1^{\infty} s^{2n-1} = \cos \theta (s + s^3 + s^5 + \dots + s^{2n-1} + \dots)$$

și, din înmulțirea celor două serii (A x C), conform regulii adunării termenilor paraleli cu prima diagonală a matricii:

$$\begin{vmatrix} 1.1 & 1.(-\frac{1}{2} s^2 \sin^2 \theta) & 1.(-\frac{1.1}{2.4} s^4 \sin^4 \theta) & 1.(-\frac{1.1.3}{2.4.6} s^6 \sin^6 \theta) \\ s^2 \cdot 1 & s^2 \cdot (-\frac{1}{2} s^2 \sin^2 \theta) & s^2 \cdot (-\frac{1.1}{2.4} s^4 \sin^4 \theta) & s^2 \cdot (-\frac{1.1.3}{2.4.6} s^6 \sin^6 \theta) \\ s^4 \cdot 1 & s^4 \cdot (-\frac{1}{2} s^2 \sin^2 \theta) & s^4 \cdot (-\frac{1.1}{2.4} s^4 \sin^4 \theta) & s^4 \cdot (-\frac{1.1.3}{2.4.6} s^6 \sin^6 \theta) \\ s^6 \cdot 1 & s^6 \cdot (-\frac{1}{2} s^2 \sin^2 \theta) & s^6 \cdot (-\frac{1.1}{2.4} s^6 \sin^6 \theta) & s^6 \cdot (-\frac{1.1.3}{2.4.6} s^6 \sin^6 \theta) \end{vmatrix}$$

4. FUNCȚII SUPERMATEMATICE CIRCULARE EXCENTRICE

rezultă termenii **pari** ai funcției generatoare $\Psi(s, \theta)_p$

$$(5.82) \quad \Psi(s, \theta)_p = \sum_{n=0}^{\infty} s^{2n} \cdot S_{2n} = \sum_{n=0}^{\infty} s^{2n} \left(1 - \frac{(2n-1)!!}{2^{n+1}(n+1)!} \sin^{2n} \theta\right)$$

Expresia funcției generatoare a polinoamelor **Legendre excentrice** este

$$(5.83) \quad \Psi(s, \theta) = \cos \theta \sum_{n=1}^{\infty} s^{2n-1} + \sum_{n=0}^{\infty} s^{2n} \cdot S_{2n}$$

Notând cu $x = \cos \theta$ și cu $y = \sin \theta$ se constată că toate polinoamele **Legendre impare** au aceeași expresie, oricare ar fi gradul impar $(2n-1)$ al polinomului:

$$(5.84) \quad \text{PLE}_1 = \cos \theta = x \text{ iar cele pare sunt:}$$

$$(5.85) \quad \text{PLE}_p = S_{2n} = 1 - \sum_{n=0}^{\infty} \frac{(2n-1)!!}{2^{n+1}(n+1)!} \sin^{2n} \theta = 1 - \sum_{n=0}^{\infty} \frac{(2n-1)!!}{2^{n+1}(n+1)!} y^{2n}$$

Din (5.83) rezultă

$$(5.86) \quad \text{PLE}_1 = S_1 = S_3 = S_5 = \dots = S_{2n-1} = \cos \theta = x$$

Din (5.85) rezultă primele 10 polinoame **Legendre excentrice pare**:

$$(5.87) \quad \begin{aligned} S_0 &= 1 \\ S_2 &= 1 - \frac{1}{2} \sin^2 \theta = 1 - \frac{1}{2} y^2 \\ S_4 &= 1 - \frac{1}{2} \sin^2 \theta - \frac{1}{2.4} \sin^4 \theta = 1 - \frac{1}{2} y^2 - \frac{1}{2.4} y^4 \\ S_6 &= 1 - \frac{\sin^2 \theta}{2} - \frac{\sin^4 \theta}{2.4} - \frac{3 \cdot \sin^6 \theta}{2.4.6} = 1 - \frac{y^2}{2} - \frac{y^4}{2.4} - \frac{1.3 \cdot y^6}{2.4.6} \\ S_8 &= 1 - \frac{\sin^2 \theta}{2} - \frac{\sin^4 \theta}{2.4} - \frac{1.3 \cdot \sin^6 \theta}{2.4.6} - \frac{1.3.5 \cdot \sin^8 \theta}{2.4.6} = \\ &= 1 - \frac{y^2}{2} - \frac{y^4}{2.4} - \frac{1.3 \cdot y^6}{2.4.6} - \frac{1.3.5 \cdot y^8}{2.4.6.8} \end{aligned}$$

Se poate constata, fără dificultate, comparând relațiile anterioare cu cele ale polinoamelor centrice (5.68), că expresiile polinoamelor **Legendre excentrice, pare** și **impare**, sunt cu mult mai simple, putându-se memora sau deduce fără dificultate.

5.2.2 Ortogonalitatea unor polinoame Legendre excentrice

Toate polinoamele **Legendre excentrice impare** sunt identice, ceea ce arată că, de fapt, există un singur polinom **Legendre excentric impar** $S_1 = \cos \theta = x$. Ca urmare, produsul a două polinoame impare de același indice impar ca și de indici impari diferiți este x^2 și integrala acestui produs, între limitele $+1 \dots -1$ este $2/3$. Fiind diferită de zero, arată că, **astfel considerate**, acestea polinoame nu sunt ortogonale. Dar, pentru $m = n =$ **impar**, produsul a două astfel de polinoame este $\cos^2 \theta = x^2$ și

4. FUNCȚII SUPERMATEMATICE CIRCULARE EXCENTRICE

$$(5.87) \quad \int_{-1}^1 x^2 dx = \left| \frac{x^3}{3} \right|_{-1}^1 = \frac{2}{3}$$

Și integrala produselor a două polinoame **Legendre** excentrice, de același indice ca și de indici diferiți, între limitele $= +1 \dots -1$, este diferită de zero, astfel că două polinoame **pare** nu sunt ortogonale.

Singurele combinații de polinoame **Legendre** excentrice, care sunt ortogonale, sunt cele dintre unicul polinom **Legendre** excentric **impar** și oricare dintre polinoamele **Legendre** excentrice **pare**. Deoarece

$$(5.88) \quad \int_{-1}^1 S_I \cdot S_P dx = \begin{cases} 0, \Rightarrow I \neq P \\ \frac{2}{3}, \Rightarrow P = I \Rightarrow \text{produs PLE} - \text{impar} \\ 0, \Rightarrow P = P \Rightarrow \text{produs PLE} - \text{pare} \end{cases}$$

Pătratul **PLE** **pare** este

$$S_{P2n}^2 = 1 + 1^2 \cdot \left(1 - \frac{1-x^2}{2}\right)^2 + 1^2 \cdot \left(1 - \frac{1-x^2}{2}\right)^2 \cdot \left[1 - \frac{1-x^2}{2} - \frac{1 \cdot 3 \cdot (1-x^2)^3}{2 \cdot 4 \cdot 6}\right]^2 + \dots$$

și se observă că integrala acestei funcții este nulă deoarece toți termenii primitivei funcției sunt impari, astfel că pe intervalul $-1 \dots +1$ integrala este nulă.

În mod asemănător, pot fi definite și alte polinoame excentrice.

Câteva funcții generatoare sunt prezentate în lucrarea lui **Gh. Mocica** « Probleme de funcții speciale » și au expresiile cu **FSM-CE** de mai jos:

$$(5.89) \quad \left\{ \begin{array}{l} \frac{1-s \cdot \cos \alpha}{1+s^2-2s \cos \alpha} = \frac{1-sx}{1+s^2-2sx} = \sum_{n=0}^{\infty} T_n(x = \cos \alpha) \cdot s^n = Dex \alpha \\ \frac{1}{1+s^2-2s \cos \alpha} = \frac{1}{1+s^2-2sx} = \sum_{n=0}^{\infty} U_n(x = \cos \alpha) s^n = \frac{1}{\operatorname{Re} x^2 \alpha} \\ \frac{1-s^2}{1+s-2s \cos \alpha} = \frac{1-s^2}{1+s^2-2sx} = T_0(x) + 2 \sum_{n=1}^{\infty} T_n(x = \cos \alpha) = 2Dex \alpha - 1 \\ \ln(1+s^2-2s \cos \alpha) = \ln(1+s^2-2sx) = -2 \sum_{n=1}^{\infty} \frac{T_n(x = \cos \alpha)}{n} s^n = 2 \ln(\operatorname{Re} x \alpha) \\ \ln \frac{1+s^2+2s \cos \alpha}{1+s^2-2s \cos \alpha} = \ln \frac{1+s+2sx}{1+s-2sx} = 4 \sum_{n=0}^{\infty} \frac{T_{2n+1}(x = \cos \alpha)}{2n+1} = 2 \ln \left| \frac{\operatorname{Re} x_2 \alpha}{\operatorname{Re} x_1 \alpha} \right| \end{array} \right.$$

În care, polinoamele **Cebâșev** de primul gen T_n și de genul al doilea U_n sunt date de expresiile:

$$(5.90) \quad \left\{ \begin{array}{l} T_n(x = \cos[n \cdot \arccos(x = \cos \alpha)]) = \cos n \alpha, n \in Z_+ \\ U_n(x = \cos \alpha) = \frac{\sin[(n+1) \cdot \arccos(x = \cos \alpha)]}{\sin[\arccos(x = \cos \alpha)]} = \frac{\sin[(n+1)\alpha]}{\sin \alpha}, n \in Z_+ \end{array} \right.$$

și formează un șir ortogonal pe intervalul $[-1, 1]$ în raport cu ponderea

$$(5.91) \quad \rho = \sqrt{1-x^2} = \sqrt{1-\cos^2 \alpha} = \pm \sin \alpha$$

4. FUNCȚII SUPERMATEMATICE CIRCULARE EXCENTRICE

EXPRESII cu FUNCȚII CENTRICE EXPRIMABILE PRIN FSM-CE	
FUNCȚII CENTRICE	FUNCȚII EXCENTRICE
$\sum_{n=1}^{\infty} \frac{s^n}{n} \sin(n\alpha) = \arctan \frac{s \cdot \sin \alpha}{1 - s \cos \alpha} =$ $= \arcsin \frac{s \cdot \sin \alpha}{\sqrt{1 + e^2 - 2e s \cos \alpha}} =$	$= \text{Bex}(\alpha, s) = \arcsin \frac{s \cdot \sin \alpha}{\text{Rex}(\alpha, s)}$
$\sum_{n=1}^{\infty} \frac{s^n}{n} \cos(n\alpha) = \frac{s \cdot \sin \alpha}{1 + e^2 - 2e s \cos \alpha} =$	$= -\ln \text{Rex} \alpha $
$\frac{s \cdot \sin(\alpha - \varepsilon)}{\sqrt{1 + e^2 - 2e s \cos(\alpha - \varepsilon)}} =$	$= \sin[\beta(\alpha)] =$ $= \sin [\text{Bex}(\alpha, S(s, \varepsilon))]$
$\frac{1 - s \cdot \cos(\alpha - \varepsilon)}{\sqrt{1 + e^2 - 2e s \cos(\alpha - \varepsilon)}} =$	$= \cos[\beta(\alpha)] =$ $= \cos [\text{Bex}(\alpha, S(s, \varepsilon))]$
$\frac{s \cdot \sin(\alpha - \varepsilon)}{1 - s \cdot \cos(\alpha - \varepsilon)} =$	$= \tan[\beta(\alpha)] = \tan[\text{Bex}[\alpha, S(s, \varepsilon)]]$
$\frac{1 - s \cdot \cos(\alpha - \varepsilon)}{1 + e^2 - 2e s \cos(\alpha - \varepsilon)} =$	$= \text{Dex}[\alpha, S(s, \varepsilon)] = \frac{d\theta}{d\alpha} = \frac{d(\alpha + \beta)}{d\alpha}$
$\sum_{n=1}^{\infty} s^n \cos n\alpha = \frac{s(\cos(\alpha - \varepsilon) - s)}{1 + e^2 - 2e s \cos(\alpha - \varepsilon)}$	$= \frac{d}{d\alpha} (\text{Bex}(\alpha, S)) = \frac{d\theta}{d\alpha} - 1 =$ $= \text{Dex}(\alpha, S) - 1$
$\sum_{n=1}^{\infty} s^n \sin n\alpha =$	$= \frac{1}{\text{Rex} \alpha} \frac{d}{d\alpha} (\text{Rex} \alpha) = \frac{s \cdot \sin \alpha}{\text{Rex}^2 \alpha}$
$1 + 2 \sum_{n=1}^{\infty} s^n \cos n\alpha = \frac{1 - s^2}{1 + e^2 - 2e s \cos(\alpha - \varepsilon)} =$ <p style="text-align: center;">Nucleul integralei Poisson</p>	$= 1 + 2 \frac{d}{d\alpha} [\text{Bex}(\alpha, s, \varepsilon)] = \frac{d(\theta + \beta)}{d\alpha} =$ $= \frac{d\gamma}{d\alpha} = - \frac{\text{Rex} \alpha_2}{\text{Rex} \alpha_1}$

5.2.3 Derivatele funcției **rex θ**

Se obțin fără dificultate prin derivarea expresiei invariante a acestei funcții (4.26).

Astfel, derivata $r' = d(\mathbf{rex}\theta)/d\theta$ depinde de tipul excentrului **E** și sau **S**, dacă sunt puncte fixe în planul cercului unitate sau sunt variabile, ca și de curba închisă pe care se definesc: dacă este un cerc, atunci **R** = constant, iar dacă este o altă curbă (eventual închisă) **R** este o variabilă.

Ca să cuprindem și cazul la care ne vom referi în paragraful următor, vom considera cel mai general caz, în care toți factorii sunt variabili ca funcție de **θ**. Și, mai

4. FUNCȚII SUPERMATEMATICE CIRCULARE EXCENTRICE

precis, vom considera ca θ variază uniform continuu, adică $\theta = \Omega.t$, iar dacă și Ω este variabil, derivarea nu ridică probleme.

Se va nota cu S funcția $\text{rex}\theta$ pe cercul de raza R , și excentricitate reală $E(e,\varepsilon)$, adică

$$(5.92) \quad S_{1,2} = R.r_{1,2} = R.\text{rex}_{1,2}\theta = R. [-s.\cos \theta \pm \sqrt{1-s^2 \sin^2 \theta}]$$

funcție pe care o vom numi spațiu.

Prima derivată a acesteia, pe care o denumim viteză, notată cu V (de la modulul vitezei) reprezentată în diferite ipostaze, anterior amintite, este:

$R = ct$ și E și S puncte fixe în plan, adică $e = R.s$, s și $\varepsilon = \text{constante}$.

Rezultă

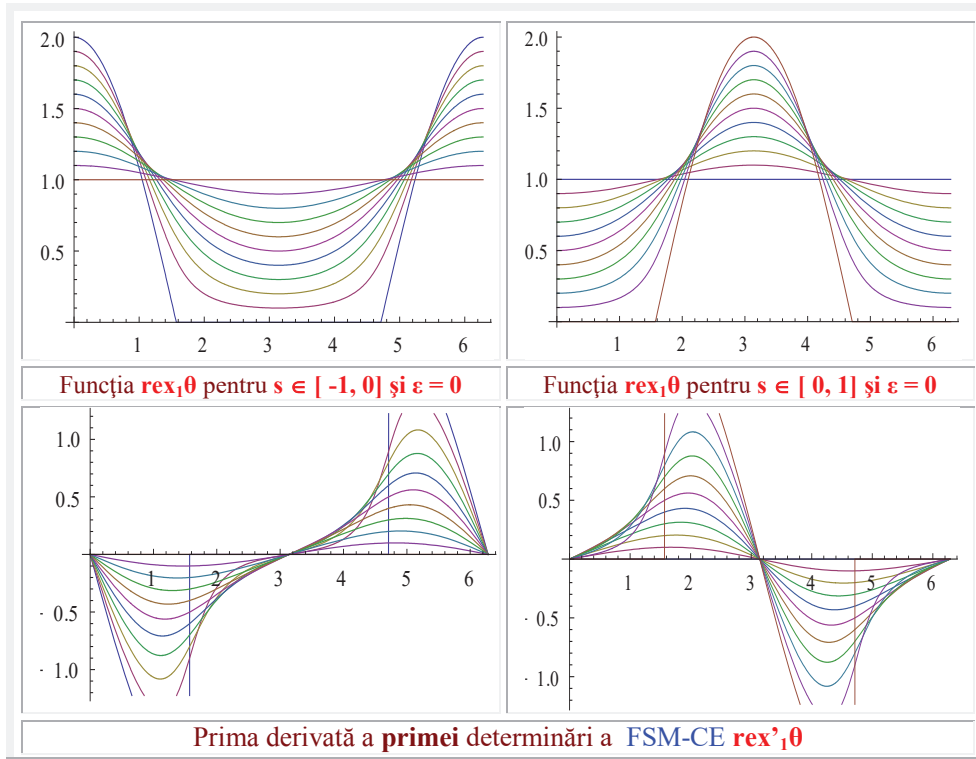
$$(5.93) \quad V_{1,2} = R.\frac{d(\text{rex}\theta)}{dt} = R.\frac{d(\text{rex}\theta)}{d\theta} \frac{d\theta}{dt} = R.\Omega.d(\text{rex}\theta)/d\theta =$$

$$R\Omega[s.\sin(\theta - \varepsilon) \mp \frac{s^2 \sin(\theta - \varepsilon).\cos(\theta - \varepsilon)}{\sqrt{1-s^2 \sin^2(\theta - \varepsilon)}}] = R\Omega.s.\sin(\theta - \varepsilon).\text{dex}_{1,2}\theta$$

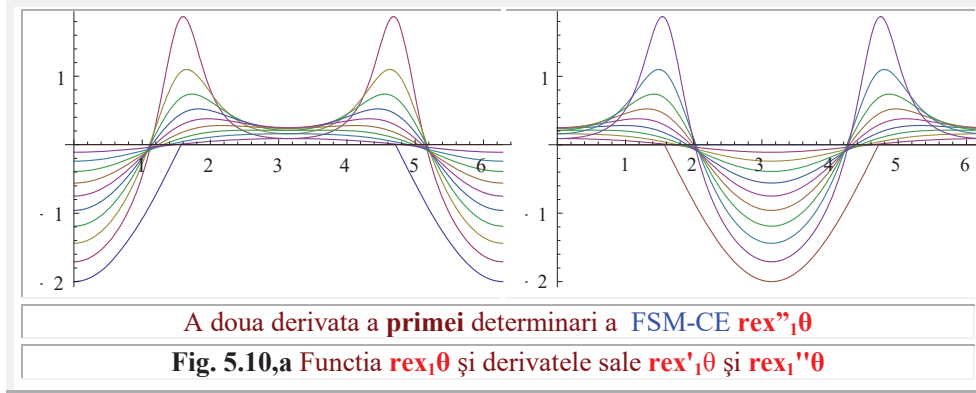
și

$$= \pm R\Omega.\sqrt{\text{dex}_{1,2}^2\theta - \text{rex}_{1,2}^2\theta} = \Omega e.\sin(\theta - \varepsilon).\text{dex}_{1,2}\theta = R.\Omega \text{dex}_{1,2}\theta.\sin \beta$$

și este o relație dintr-un caz mai des utilizat.



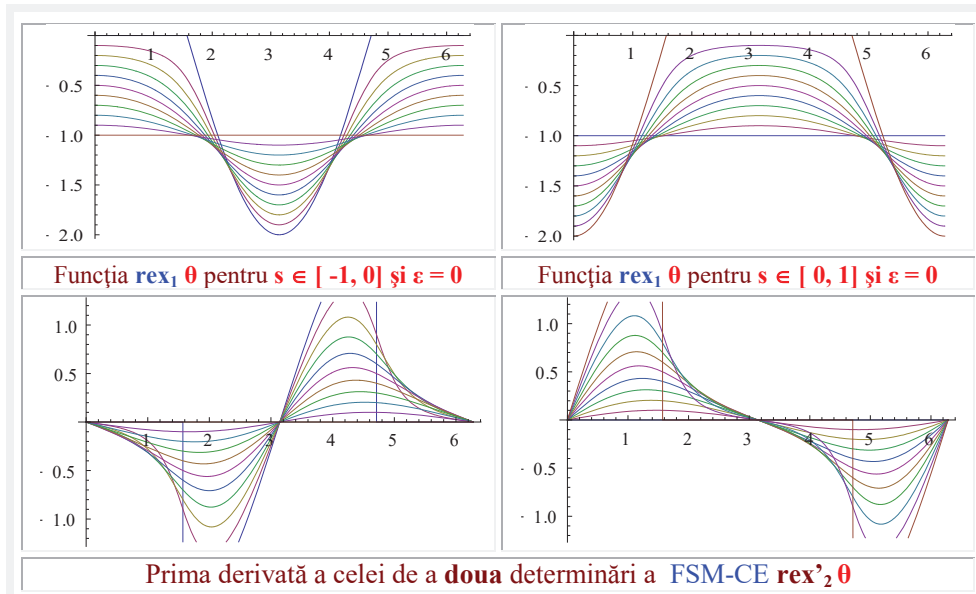
4. FUNCȚII SUPERMATEMATICE CIRCULARE EXCENTRICE



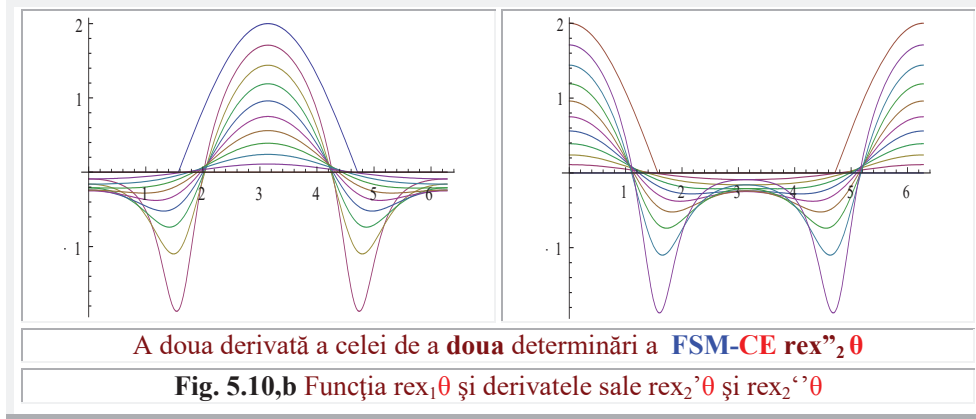
Graficele funcțiilor și a primelor două derivate ale FSM-CE $\text{rex}_{1,2}\theta$, în funcție de θ sunt prezentate în figura 5.10,a pentru prima determinare **principală**, de indice 1 și în figura 5.10,b pentru cea de a doua determinare **secundară**, de indice 2

Și, în fine, cel mai general caz posibil, din care se pot deduce și celelalte, inclusiv cazul anterior, în care derivatele în raport cu θ sunt notate cu “prim”, este

$$(5.94) \quad \mathbf{V}_{1,2} = d\mathbf{R}/dt \cdot \text{rex}\theta + \mathbf{R} \cdot d(\text{rex}\theta)/dt = \Omega \cdot [d\mathbf{R}/d\theta \cdot \text{rex}\theta + \mathbf{R} \cdot d(\text{rex}\theta)/d\theta] = \\ = \Omega \cdot [\mathbf{R}' \cdot \text{rex}\theta + \mathbf{R} \cdot \text{rex}'\theta] = \Omega \cdot \left\{ \mathbf{R}' \cdot \text{rex}\theta + \mathbf{R} \cdot \left[-s' \cdot \cos(\theta - \varepsilon) + s \cdot (1 - \varepsilon') \sin(\theta - \varepsilon) \right] \right. \\ \left. \mp \frac{s \cdot \sin(\theta - \varepsilon) [s' \cdot \sin(\theta - \varepsilon) - s \cdot (1 - \varepsilon') \cdot \cos(\theta - \varepsilon)]}{\sqrt{1 - s^2 \sin^2(\theta - \varepsilon)}} \right\}$$



4. FUNCȚII SUPERMATEMATICE CIRCULARE EXCENTRICE



A doua derivată în raport cu timpul, numai pentru primul caz, este notată cu **A** (de la modulul accelerației) și este:

$$(3.95) \quad \mathbf{A} = d\mathbf{V}/dt = (d\mathbf{V}/d\theta) \cdot (d\theta/dt) = \Omega \cdot d\mathbf{V}/d\theta = \Omega \cdot \mathbf{V}' = \\ = \Omega^2 [e \cdot \cos(\theta - \varepsilon) \cdot dex\theta + e \cdot \sin(\theta - \varepsilon) \cdot dex'\theta] = \\ = \Omega^2 [e \cdot \cos(\theta - \varepsilon) \cdot dex\theta + e \cdot \sin(\theta - \varepsilon) \cdot \frac{e(R^2 - e^2) \cdot \sin(\theta - \varepsilon)}{[R^2 - e^2 \cdot \sin^2(\theta - \varepsilon)]^{\frac{3}{2}}}]$$

în care, derivata funcției $dex\theta$, în condițiile unui excentru **S** (**s**, **ε**) punct fix este

$$(3.96) \quad dex'\theta = \frac{d(dex\theta)}{d\theta} = \frac{s(1-s^2) \cdot \sin(\theta - \varepsilon)}{[1-s^2 \cdot \sin^2(\theta - \varepsilon)]^{\frac{3}{2}}} = \frac{(1-s^2) \sin \beta(\theta)}{\cos^3 \beta(\theta)}$$

5.3 FSM-CE $rex\theta$ - expresia deplasării mecanismului motor bielă–manivelă sau manivelă – piston

1) Mecanismul motor bielă – manivelă centric

Deși mecanismul motor bielă - manivelă (Fig.5.11) este extrem de utilizat, în special la acționarea autovehiculelor, în literatura de specialitate se folosesc relații aproximative atât pentru **deplasarea S**, cât și pentru **viteza V și accelerația A**.

Practic, fiecare posesor de autoturism deține informații despre acest mecanism de transformare a mișcării rectilinii oscilante a pistonului în mișcarea de rotație a arborelui cardanic, care-l transferă printr-un diferențial la roțile motoare.

Anecdotic este faptul că deși, inițial, în literatura de specialitate, relația este dedusă sub forma exactă, care coincide cu expresia funcției $rex_1\theta$ de excentru negativ (**e < 0**)

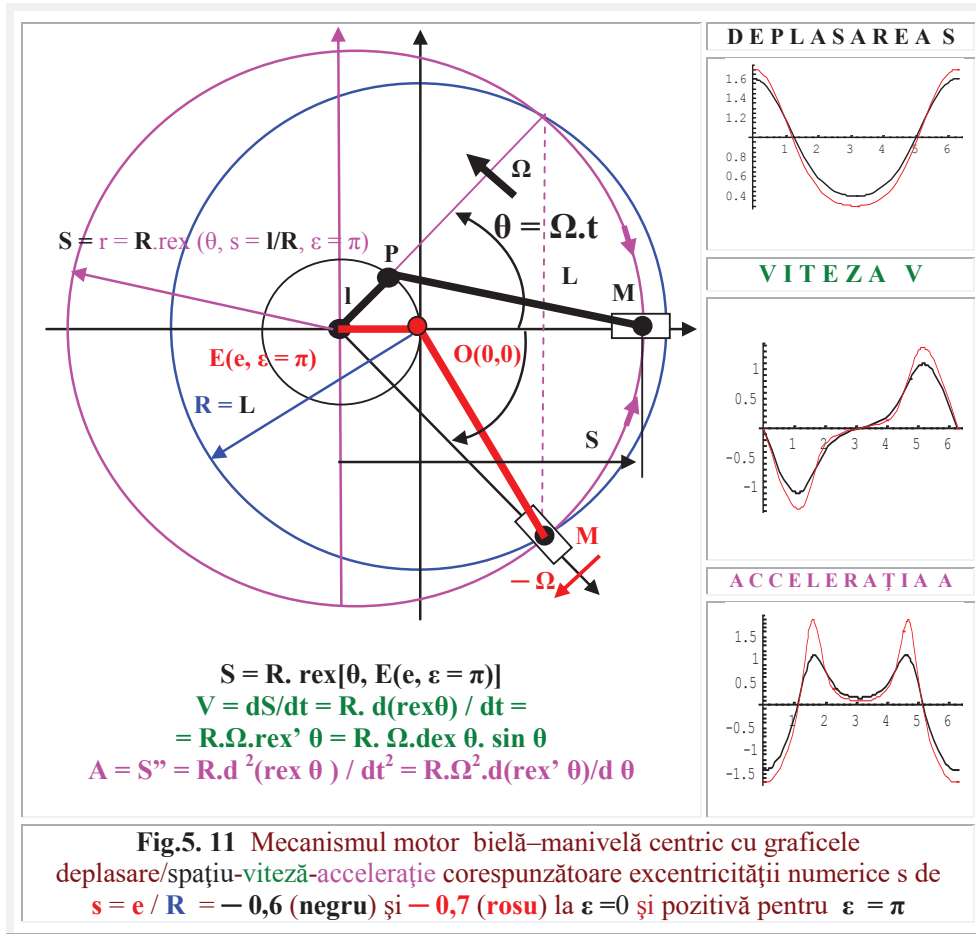
$$(5.97) \quad \mathbf{S} = \mathbf{R} \cdot \mathbf{rex}\theta = -\mathbf{e} \cdot \cos\theta + \sqrt{R^2 - e^2 \sin^2 \theta} = \mathbf{R} \cdot [-s \cdot \cos\theta + \sqrt{1 - s^2 \sin^2 \theta}],$$

în care

4. FUNCȚII SUPERMATEMATICE CIRCULARE EXCENTRICE

- $R = L$ lungimea bielei;
- $e = -1$ lungimea manivelei, **dacă** $\varepsilon = 0$ sau, echivalent, $e = 1$ și $\varepsilon = \pi$;
- θ poziția bielei față de axa Ox sau față de direcția mișcării oscilante a pistonului.

FSM-CE $\text{rex}\theta$ nefiind cunoscută, pentru simplificarea relației, s-a dezvoltat în serie de puteri radicalul și s-au reținut doar doi termeni.



Din relația 5.97 rezultă, astfel

$$(5.98) \quad S \cong R[s \cdot \cos\theta + 1 - \frac{1}{2}s^2 \sin^2\theta - \dots]$$

relația uzuală din literatura, care arată că deplasarea ar varia după funcțiile matematice centrice $\cos\theta$ și $\sin^2\theta$ ceea ce este neadevărat, așa cum se poate constata din alura spațiului reprezentat de funcția $\text{rex}\theta$,

4. FUNCȚII SUPERMATEMATICE CIRCULARE EXCENTRICE

pentru o excentricitate reală egală cu cea numerică ($e = s = l = -0,6$ și $-0,7$ și $\varepsilon = 0$) întrucât, la reprezentarea **spațiului S**, **vitezei V** și a **acelerației A**, s-a ales $R = L = 1$.

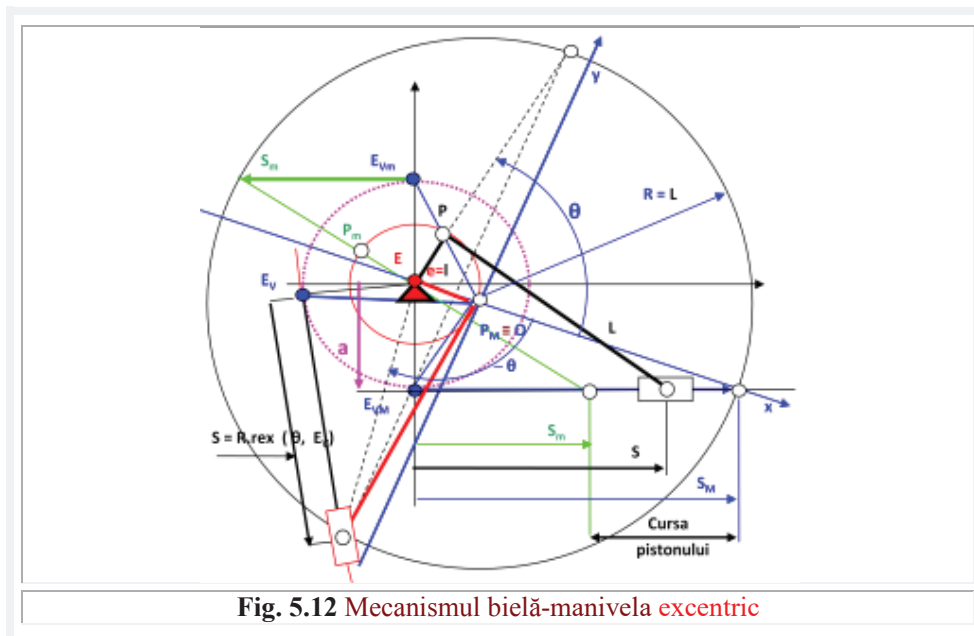
Se știe că mișcarea unui mecanism, în general și a acestuia în particular, este aceeași dacă se rotește manivela motoare de lungime l în jurul punctului fix E din **figura 5.11** cu $\theta = \Omega.t$, iar ghidajul pistonului rămâne fix, așa cum este situația reală a mecanismului, sau se menține manivela motoare EO fixă și se dă o mișcare de rotație restului mecanismului în jurul punctului O cu $\theta = +\Omega.t$, sau cu $\theta = -\Omega.t$. În cel din urmă caz, se observă că deplasarea pistonului sau spațiu $S = EM$ reprezintă tocmai **FSM-CE** $\text{rex}\theta$ de excentricitate negativă, dacă se alege un $\varepsilon = 0$ sau de excentricitate pozitivă, dacă se alege un $\varepsilon = \pi$, rezultatul fiind același.

Așa cum **FMC** au derivate cunoscute și **FSM-CE** $\text{rex}\theta$ de excentricitate negativă are derivatele care vor deveni cunoscute și prin prezenta lucrare. Astfel, modulele vectorilor **viteza V** și **acelerație A** sunt prezentate, împreună cu deplasarea / **spațiul S** în dreapta figurii **5.11** pentru două excentricități numerice, alese arbitrar de $-0,6$ și $-0,7$.

Mecanismul anterior prezentat este unul **centric**, în sensul ca direcția mișcării de translație alternativă a pistonului trece prin centrul de rotație E al manivelei motoare.

2) Mecanismul motor bielă – manivelă excentric

Un mecanism motor bielă - manivelă **excentric** are direcția mișcării de translație alternativă a pistonului pe o dreaptă ce trece la o distanță a de punctul fix E care este și centrul de rotație al manivelei motoare EP (**Fig. 5.12**).



4. FUNCȚII SUPERMATEMATICE CIRCULARE EXCENTRICE

Dând o mișcare inversă întregului mecanism excentric, direcția de translație va trece în permanență la aceeași distanță a de E , adică va trece în permanență tangentă la un cerc $C_a(E,a)$, de rază a cu centrul în centrul de rotație fix E . Așa cum s-a reprezentat în **figura 5.12**, punctul de tangență la cercul de rază a este un excentru variabil E_V . Poziția inițială este cea corespunzătoare deplasării maxime S_M față de care punctul M , de pe cercul de raza $R = L$ se rotește cu unghiul $-\theta$.

Distanța de la E_V la punctul M , de pe cercul de raza $R = L$, adică, lungimea distanței $E_V M$ este, prin definiție, o **FSM-CE** radial excentric dar de excentru variabil E_V , funcție multiplicată cu raza $R = L = \text{constantă}$ a cercului.

În acest caz, **excentrul variabil** E_V se rotește în jurul **excentrului fix** E ($e_F = l$, $\varepsilon_F = \pi$). Excentrul fix E situându-se, așa dar, pe semiaxa negativă, x rotită cu unghiul ψ (5.99) $\psi = \arcsin[a/(l + L)] = \arcsin[a/(e + R)]$ față de orizontală, sau față de direcția de mișcare a pistonului. $E_V(e_V, \varepsilon_V)$ se rotește pe cercul de rază a , de excentricitate reală egală cu distanța de la O la E_V și de excentricitate numerică

$$(5.100) \quad s = e_V / R = OE_V / R$$

Unghiurile polare, față de polul $O \equiv P_M$ ale punctelor E_{V_m}, E_{VM} și al unui punct curent oarecare E_V se pot determina tot cu ajutorul **FSM-CE** în cercul de raza a și de excentru fix $P_M \equiv O$. Față de centrul E al cercului $C_a(E,a)$ se cunosc unghiurile α la **centru** ale punctelor P de articulație dintre manivelă și bielă în diferite poziții și prin relația

$$(5.101) \quad \theta(\alpha) = \alpha + \beta(\alpha) = \left\{ \begin{array}{l} \alpha + \arcsin \frac{s \cdot \sin(\alpha - \varepsilon)}{\sqrt{1 + s^2 - 2s \cdot \cos(\alpha - \varepsilon)}} \\ \alpha + \arctan \frac{s \cdot \sin(\alpha - \varepsilon)}{1 - s \cdot \cos(\alpha - \varepsilon)} \end{array} \right\} = \alpha + \sum_1^{\infty} \frac{s^n}{n} \sin n\varepsilon.$$

anterioară se determină unghiurile la excentru $\theta(\alpha)$ care sunt tocmai unghiurile polare ale excentrului ε

Astfel

(5.102) $\alpha_m = \psi + \pi/2$ pentru punctul E_{V_m} , situat în partea superioară maximă a cercului $C_a(E,a)$ și care dă deplasarea minimă S_m ;

(5.103) $\alpha_M = \psi + 3\pi/2$ pentru punctul E_{VM} situat în partea inferioară minimă a cercului $C_a(E,a)$ și care dă deplasarea maximă S_M ; iar pentru punctul curent

(5.104) $\alpha = \alpha_M - \theta = \psi + 3\pi/2 - \theta$, ținând cont de rotația ansamblului mecanismului din poziția inițială (pentru $S_M - \text{maxim}$) cu $-\theta$.

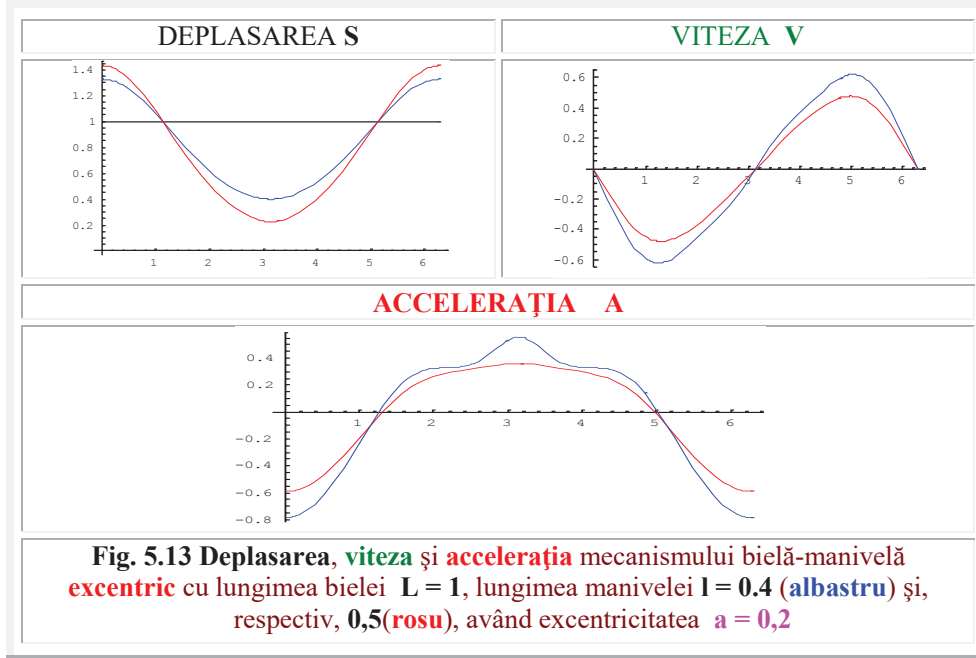
Excentricitatea reală e_V a excentrului E_V ($e_V = a, \varepsilon_V$) turnant este

(5.105) $s_V = e_V / R = a / R$ și este o **constantă față de** E fix, excentru variabil E_V rotindu-se pe cercul de rază $a = \text{constant}$ și egală cu excentricitatea **meccanismului bielă-manivelă**, dar **variabilă** față de O . Ca urmare ε_V variază de la ε_{Max} poziția corespunzătoare lui S_{Max} la ε_{min} , cea corespunzătoare lui S_{min} , măsurate, așa cum este prezentat și în figură, de la poziția punctului / excentrului fix E .

Rezultă că distanța de la O la E_V este variabilă și reprezintă valoarea **excentricității reale de calcul** e_C , valoare ce se poate obține prin însumarea corespunzătoare a celor două excentricități amintite anterior. Sau, folosind **FSM-CE**

4. FUNCȚII SUPERMATEMATICE CIRCULARE EXCENTRICE

excentricitățile variabile de calcul sunt date, din nou, de funcția $a.\text{rex}[\theta(a)] = a.\text{Rex}(\alpha)$ în cercul de rază a și de excentricitate reală $e = 1$ și numerică $s = 1/a$.



Așa cum rezultă imediat din figura 5.12, pentru poziția la deplasarea maximum a pistonului (S_{Max}) E_V se situează pe cercul de rază a în poziția inferioară maximă. Ca urmare

$$(5.106) \quad \theta_{\text{Max}} = 0 \rightarrow e_{\text{CMax}} = \sqrt{e_F^2 + e_V^2} \text{ și } \varepsilon_{\text{CMax}} = [\pi + \arctan(e_V / e_F)] = [\pi + \arctan(a / 1)],$$

cele două excentricități, componente ale excentricității de calcul e_{CMax} , fiind cele două catete ale unui triunghi dreptunghic, iar direcția lui $r_{\text{Max}} = S_{\text{Max}} = R.\text{rex}\theta_{\text{Max}}$ este orizontală ($\theta_{\text{Max}} = 0$), adică pe direcția ghidajului pistonului.

Pentru un alt punct extrem $M_{\text{min}} \subset C(O,R)$, diametral opus punctului $M_{\text{Max}} \subset C(O,R)$, corespunzător lui S_{min} și pentru o valoare $\theta_{\text{min}} = \pi$, excentrul E_V se află situat în partea superioară a cercului de rază a , astfel că excentricitatea de calcul este aceeași, ca și în cazul anterior ($e_{\text{Cmin}} = \sqrt{e_F^2 + e_V^2}$), iar unghiul de poziție $\varepsilon_{\text{Cmin}}$ al lui E_V față de Ox este

$$(5.107) \quad \varepsilon_{\text{Cmin}} = [\pi - \arctan(e_V / e_F)] = [\pi + \arctan(a / 1)],$$

Pentru un punct curent $M \subset [M_{\text{min}}, M_{\text{Max}}]$ poziția excentrului E_V față de O va fi dată de

$$(5.108) \quad \varepsilon_C = \psi + 3\pi/2 - \theta + \arcsin \frac{l \cdot \sin(\psi + 3\pi/2 - \theta)}{\sqrt{a^2 + l^2 - 2l \cdot a \cdot \cos(\psi + 3\pi/2 - \theta)}}$$

4. FUNCȚII SUPERMATEMATICE CIRCULARE EXCENTRICE

Nu vom continua în acest mod, pentru a nu complica în mod inutil rezolvarea problemei. E suficient că se știe că și acesta este un mod de rezolvare și că are soluții. **FSM-CE** radial excentric are, așa cum s-a mai subliniat, și avantajul multitudinii reprezentării lor.

Astfel, dacă în situația anterioară a unei raze $R = L = \text{constant}$ și a unui excentru E_V având e și ε variabile, o observație atentă ne arată că se pot considera **FSM-CE** radial excentric pe un cerc de **rază variabilă** $R_V = \|\mathbf{PM}\| = \|\mathbf{OM}\|$, în care $M \subset C(O, R=L)$ și care este tocmai deplasarea mecanismului bielă-manivelă **centric**, având același excentru E_V , dar, față de noul centru E , are excentricitatea reală egală cu a și **unghiul polar** $\varepsilon = 0$, iar unghiul la excentru E_V este egal în permanență cu $\pi/2$; direcția de oscilație a pistonului fiind în permanență tangență la cercul de rază a .

În consecință, deplasarea pistonului poate fi exprimată extrem de simplu prin relația

$$(5.109) \quad S = R_V \cdot \text{rex}[\pi/2, E_V(s_V = a / R_V, \varepsilon_V = 0)], \text{ în care}$$

$$(5.110) \quad S = R_V = R \cdot \text{rex}[\theta, s = l/R, \varepsilon = \pi] = l \cdot \cos\theta + \sqrt{L^2 - l^2} \cdot \sin^2\theta.$$

Pe baza relației anterioare, deplasările mecanismului bielă-manivelă **centric**, sunt

$$(5.111) \quad S_M = R \cdot \text{rex}[\theta = 0, E(e = l, \varepsilon = \pi)] = L + l = R_{VM}$$

$$(5.112) \quad S = R \cdot \text{rex}[\theta, E(e = l, \varepsilon = \pi)] = R_V, \text{ pentru punctul curent } M \text{ (Fig. 5.11) și}$$

$$(5.113) \quad S_m = R \cdot \text{rex}[\theta = \pi, E(e = l, \varepsilon = \pi)] = L - l = R_{Vm}$$

Știind expresia razelor variabile, rezultă deplasările S ale mecanismului bielă-manivelă excentric

$$(5.114) \quad S_{ME} = S_M \cdot \text{rex} \pi/2 = \sqrt{R_{VM}^2 - a^2} = \sqrt{(L+l)^2 - a^2}, \text{ deplasarea maximă}$$

$$(5.115) \quad S_E = S \cdot \text{rex} \pi/2 = \sqrt{[l \cos\theta + \sqrt{L^2 - l^2} \sin^2\theta]^2 - a^2}, \text{ o deplasare curentă, oarecare și deplasarea minimă}$$

$$(5.116) \quad S_{mE} = S_m \cdot \text{rex} \pi/2 = \sqrt{R_{Vm}^2 - a^2} = \sqrt{(L-l)^2 - a^2}.$$

Rezultă cursa mecanismului bielă-manivelă excentric, ca diferență dintre deplasarea maximă și cea minimă, adică

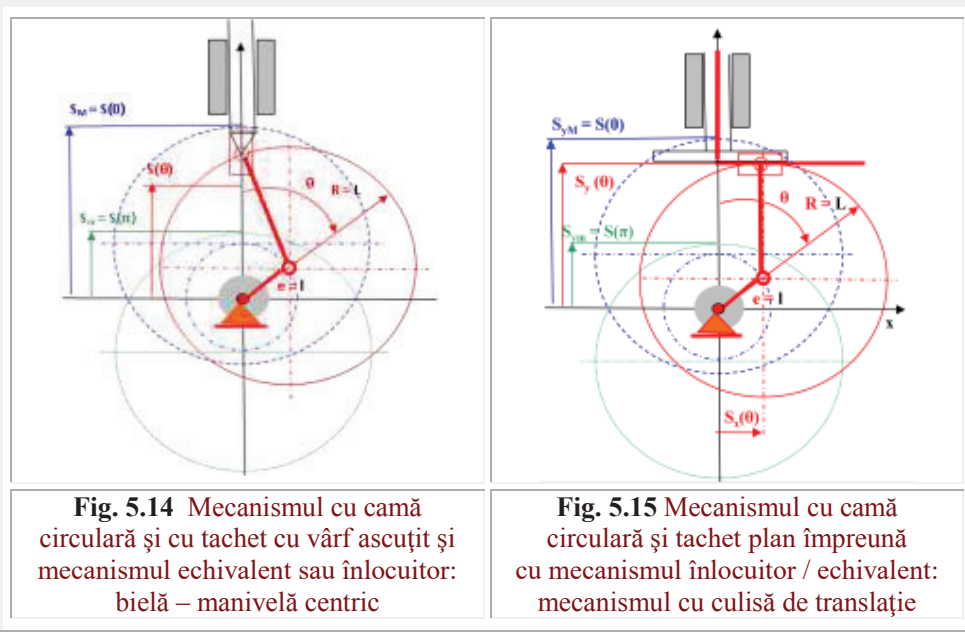
$$(5.117) \quad C = S_{ME} - S_{mE} = \sqrt{(L+l)^2 - a^2} - \sqrt{(L-l)^2 - a^2}$$

Graficele deplasării, vitezei și a accelerațiilor pentru $L = 1, l = 0, 4$ și $0,5$, iar $a/L = 0,2$ sunt prezentate în **figura 5.13**.

5.4 Mecanismul cu camă cilindrică

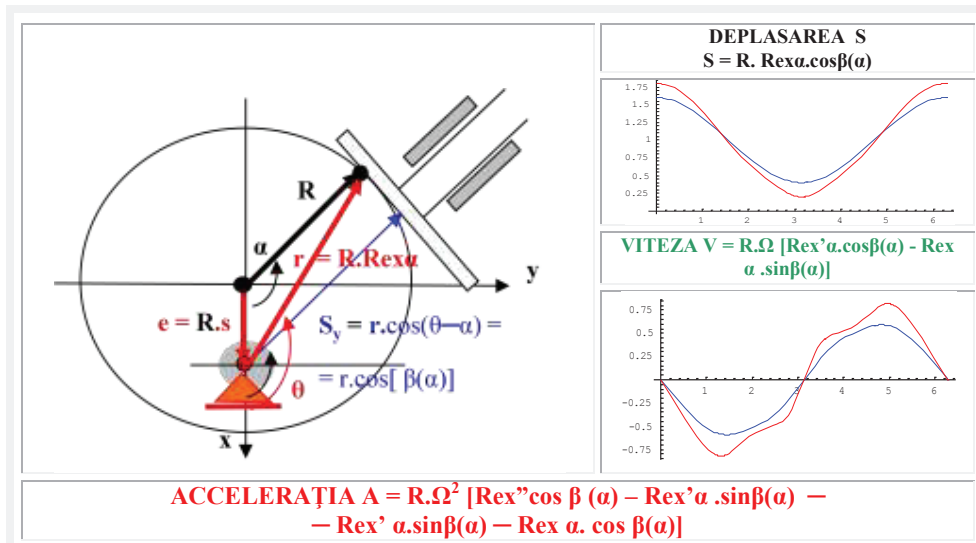
Acest mecanism poate funcționa cu tchet cu vârful ascuțit (**Fig. 5.14**) sau cu tchet cu taler sau cu rolă (**Fig. 5.15**).

4. FUNCȚII SUPERMATEMATICE CIRCULARE EXCENTRICE

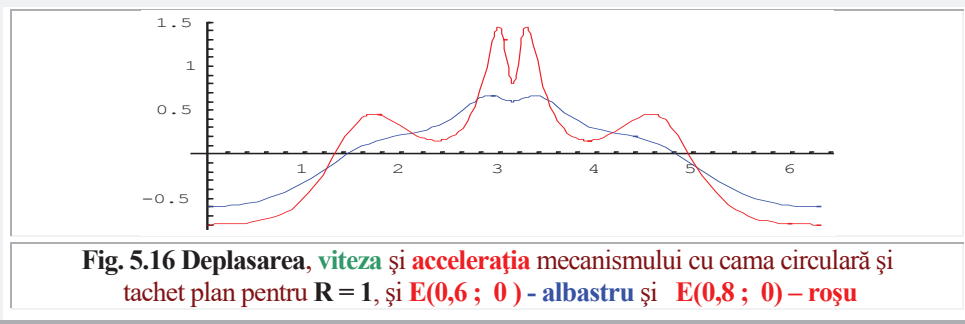


În primul caz, așa cum se poate observa fără dificultate din figură, mecanismul cu tachtet cu vârf este echivalent cu mecanismul bielă – manivelă centric, studiat anterior. Ca urmare, **spațiul**, **viteza** și **acelerația** sunt aceleași:

$$S = R \cdot r \cdot \cos \theta, \quad V = R \cdot \Omega \cdot r \cdot \sin \theta \quad \text{și} \quad A = R \cdot \Omega^2 \cdot r \cdot \cos \theta \quad \text{cu} \quad \theta = \Omega \cdot t.$$



4. FUNCȚII SUPERMATEMATICE CIRCULARE EXCENTRICE



Cursa acestui mecanism fiind

(5.118) $C = S_M - S_m = 2e = 2l$, dublul lungimii manivelei motoare și, respectiv, dublul excentricității camei cilindrice denumită și excentric circular.

Mecanismul cu tchet plan (Fig. 5.15) are, așa cum se poate observa, aceleași deplasări extreme, pe direcția y , maximă (S_{yM}) și minimă (S_{ym}) și pe cale de consecință, aceeași cursă $C = 2e = 2l$.

Distanța de la centrul de rotație al camei circulare la centrul de rotație al culisei orizontale de translație este o funcție radial excentriocă de **variabilă centrică** α , adică

$$(5.119) \quad r[\alpha = (\pi - \theta)] = R \cdot R_{ex} \alpha \cdot \cos\beta(\alpha) = R \cdot \sqrt{1 + s^2 - 2s \cdot \cos \alpha} \cdot \cos\beta(\alpha) = \\ = R \cdot \sqrt{1 + s^2 - 2s \cdot \cos(\pi - \theta)} \cos\left[\arcsin \frac{s \cdot \sin(\pi - \alpha)}{\sqrt{1 + s^2 - 2s \cdot \cos(\pi - \alpha)}}\right]$$

pentru $E(s > 0, \varepsilon = 0)$ și $\alpha = \pi - \theta$ așa cum se arată în figura.5.16, în care s-a menținut cama pe loc și s-a rotit tchetul în jurul centrului de rotație, conform unui principiu cunoscut în teoria mecanismelor și folosit și anterior.

Pentru $\theta = 0 \rightarrow \alpha = \pi$ și deplasarea maximă va fi

$$(5.120) \quad S_{yM} = r(0) = R \cdot \sqrt{1 + s^2 + 2s} = R \cdot (1 + s) = R + e, \text{ iar pentru } \theta = \pi \rightarrow \alpha = 0$$

și rezultă deplasarea minimă

$$(5.121) \quad S_{ym} = r(\pi) = R \cdot \sqrt{1 + s^2 - 2s} = R \cdot (1 - s), \text{ astfel cursa camei va fi}$$

$$(5.122) \quad C_y = S_{yM} - S_{ym} = 2R \cdot s = 2e$$

Deplasările orizontale, pe direcția x , sunt, pentru o poziție curentă oarecare

$$(5.123) \quad S_x = R \cdot s \cdot \sin\theta = e \cdot \sin\theta \text{ și cele extreme sunt nule}$$

$$(5.124) \quad S_{xM} = S_{xm} = 0.$$

Deși deplasările diverselor mecanisme cu came par asemănătoare, așa cum este și cazul din figura 5.16, vitezele și, în special, accelerațiile sunt acelea care diferențiază net calitatea mișcărilor obținute cu mecanisme cu came, ca și, de altfel, multe alte mecanisme tehnice.

Motto : ” Viteza este dimensiunea naturala a timpului ”

A. Suarès, Variables

Capitolul 6

6. FUNCȚIA DERIVATĂ EXCENTRICĂ dexθ ȘI UNELE APLICAȚII MATEMATICE ȘI TEHNICE

Așa cum s-a mai arătat, această funcție face parte din aceeași grupă cu funcția radial excentric **rexθ**, grupa **FSM-CE** independente de originea **O(0,0)** a sistemul de referință, astfel că funcțiile derivată excentrică, derivată elevată și derivată exotică sunt aceleași.

Deși nu este o „funcție rege” precum funcția **rexθ**, ea poate exprima funcția de transfer de ordinul doi, a vitezelor, sau raportul de transmitere a turațiilor tuturor mecanismelor plane cunoscute, așa cum se va prezenta într-o aplicație, în continuare.

6.1 Coordonate excentrice

Fie cercul **C(R,O)** din **figura 6.1** și excentrul **E(e, ε)**.

Dreapta **d** de direcție **θ**, cu axa **x**, a reperului excentric **xEy** și cu axa **X** a reperului centric **XOY**, intersectează cercul în punctele **M₁** și **M₂** sau **M_{1,2}** scrise concentrat.

Coordonatele punctelor **M_{1,2}** sunt, **simultan**, coordonate polare **M_{1,2}** (**α_{1,2}**, **R_{1,2}**) **centrice** și respectiv **M_{1,2}(θ, ρ_{1,2})** coordonatele polare **excentrice** în care **raza polară r_{1,2} ≡ ρ_{1,2}**, dusă din excentrul **E(e,ε)**, are expresia invariantă

$$(6.1) \quad \begin{aligned} \rho_{1,2} &= R.r\text{ex}\theta = R[-s.\cos(\theta - \varepsilon) \pm \sqrt{1 - s^2 \sin^2(\theta - \varepsilon)}] = \\ &= -e \cos(\theta - \varepsilon) \pm \sqrt{R^2 - e^2 \cdot \sin^2(\theta - \varepsilon)}, \text{in...care...} e = s.R \end{aligned}$$

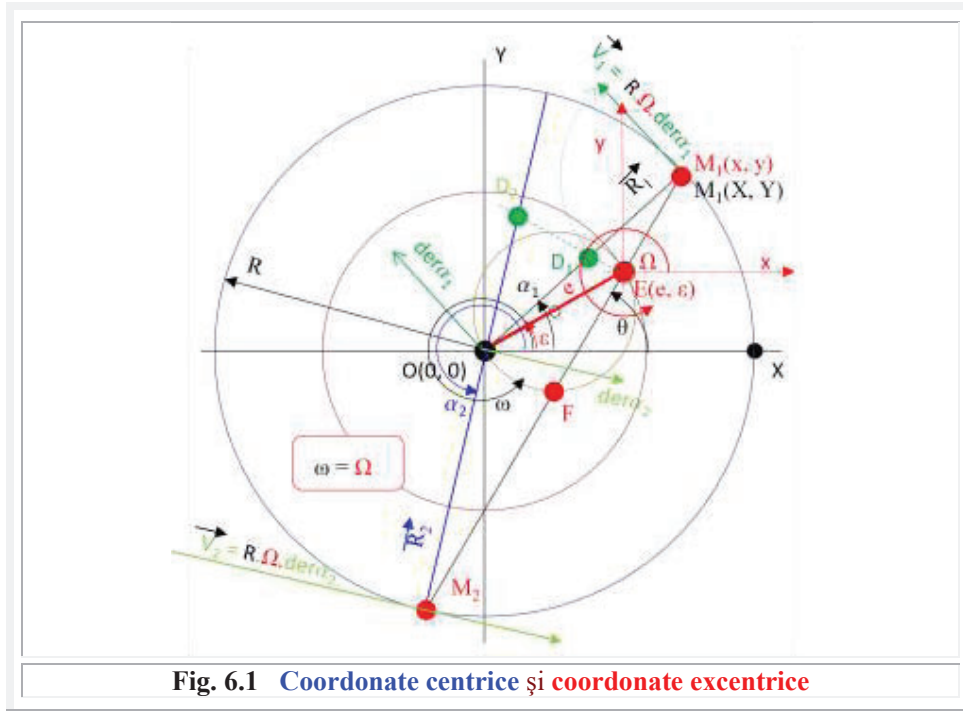
Presupunând **e < R**, adică **E(e,ε)** în interiorul discului circular de rază **R**, raza polară excentrică **ρ_{1,2}** este, așa cum s-a mai afirmat, și raza excentrică variabilă a cercului **C(O,R)**. Dacă un „compas inteligent” are vârful în **E** și **deschiderea variabilă ρ_{1,2}** după expresia (6.1), rotindu-se cu **θ ∈ [0, 2π]**, el va descrie integral cercul **C(O,R)** atât cu **ρ₁** cât și cu **ρ₂**, diferența constând în punctele de început și, evident, de sfârșit ale descrierii cercului, defazate între ele cu **π**. Dacă **e > R**, atunci cercul se va descrie din două arce: primul cu **ρ₁** și cu **θ ∈ [θ_i, θ_f]** și al doilea cu **ρ₂** în domeniul **θ ∈ [θ_f, θ_i]**.

Pentru excentricitate **s = e = 0 → rex_{1,2}θ = ± 1** și ecuația cercului este cea cunoscută din matematica centrică, și anume

(6.2) **ρ_{1,2} = ± R**, deducându-se că ea este un caz particular, de **e = 0**, al ecuației din matematica excentrică. Ceea ce ne-a permis să generalizăm definiția cercului, ca fiind
Definiție :

6.2. FUNCȚIA DERIVATĂ EXCENTRICĂ dex

Cercul este curba plană a căror puncte se situează la distanța $\rho_{1,2} = R \cdot rex_{1,2}\theta$ față de oricare punct **E** din planul cercului, sau a cărei rază polară excentrică, din **E**, variază după funcția $R \cdot rex_{1,2}\theta$.



Coordonatele carteziene **centrice** sunt $M_{1,2}(X_{1,2}, Y_{1,2})$ și coordonatele carteziene **excentrice** sunt $M_{1,2}(x_{1,2}, y_{1,2})$, în care

$$(6.3) \quad M_{1,2}(X_{1,2}, Y_{1,2}) \begin{cases} X_{1,2} = R \cdot \cos \alpha_{1,2} \\ Y_{1,2} = R \cdot \sin \alpha_{1,2} \end{cases} \quad \text{și coordonatele excentrice}$$

$$(6.4) \quad M_{1,2}(x_{1,2}, y_{1,2}) \begin{cases} x_{1,2} = R \cdot cex_{1,2}\theta \\ y_{1,2} = R \cdot sex_{1,2}\theta \end{cases}$$

6.2. Funcția derivată excentrică dex θ ca modul al derivatei vectorului radial excentric de variabilă excentrică θ : $(rex\theta \cdot rad\theta)' = dex\theta \cdot der\alpha$

Dacă excentrul **E(e,ε)** este un punct fix, în planul cercului C, atunci vectorul de poziție al lui **E** $\vec{e} = R \cdot \vec{s}$ este vectorul constant în modul și direcție și ecuația vectorială a punctelor $M_{1,2}$ ca și a cercului $C(O,R)$ este

6.2. FUNCȚIA DERIVATĂ EXCENTRICĂ dex

$$(6.5) \quad \vec{R} = \vec{e} + \rho_{1,2}$$

Derivând ecuația (6.5), în raport cu timpul t, se obține

$$(6.6) \quad \dot{\vec{r}} = \dot{\vec{R}} \text{ sau } \dot{\vec{v}}_{1,2} = \frac{d\vec{\rho}_{1,2}}{dt} = \vec{V}_{1,2} = \frac{d\vec{R}_{1,2}}{dt}, \text{ ceea ce arată că vitezele punctelor}$$

$M_{1,2}$ exprimate în coordonate centrice sau excentrice, pe cercul $C(O,R)$, sunt aceleași. Rezultat așteptat, întrucât cei doi vectori de poziție exprimă poziția acelorași puncte pe aceeași curbă hodograf, însă din două origini / puncte diferite O și, respectiv, E .

Dacă variabila excentrică θ este variabila motoare, dreapta d rotindu-se în jurul excentrului E cu viteza **unghiulară constantă** $\Omega = d\theta/dt$, atunci modulele vitezelor unghiulare **variabile** $\omega_{1,2}$ ale punctelor $M_{1,2}$ pe cerc sunt:

$$(6.7) \quad \omega_{1,2} = R \cdot \Omega \cdot dex_{1,2} \theta = R \cdot \frac{d\alpha_{1,2}}{dt} = R \cdot \frac{d\alpha_{1,2}}{d\theta} \cdot \frac{d\theta}{dt} = R \cdot dex_{1,2} \theta \cdot \Omega,$$

vitezele fiind exprimate de **FSM-CE** derivat excentric $dex_{1,2}$ de variabilă excentrică θ .

Dacă, în timp ce dreapta d se rotește cu viteza unghiulară constantă Ω iar excentrul E se deplasează pe o curbă oarecare, după o anumită lege, având viteza la un moment dat V_E , atunci vitezele punctelor $M_{1,2}$ pe cercul $C(O,R)$ vor fi date de o relație asemănătoare, în care **FSM-CE dex** este de excentru variabil.

Situația este prezentată în **figura 6.2**. În figură sunt prezentate, pentru comparație, atât vitezele pentru un excentru fix E_F , cât și pentru cel variabil.

Cunoscându-se, vector viteza V tangent în M la cercul $C(R,O)$, adică de direcție $der\alpha$, expresia generală a modulului vitezei este

$$(6.8) \quad V = R \cdot \omega = R \cdot d\alpha/dt = R \cdot \frac{d\alpha}{d\theta} \cdot \frac{d\theta}{dt} = R \cdot \Omega \cdot dex\theta = R \cdot \Omega \cdot dex\theta$$

Este necesar să se determine expresia **FSM-CE dex** pentru cel mai general caz posibil, în care excentrul $E(e,\varepsilon)$ se deplasează pe o curbă oarecare, adică e și ε sunt variabile.

Notând cu V_E **modulul** vectorului viteză \vec{V}_E al excentrului mobil E_V **compus din** $\dot{\vec{e}}$, o componentă (în **modul**) a vitezei lui E la un moment dat, vector unitate/fazor de direcție **rad** ε și cu

$$(6.9) \quad \dot{\varepsilon} = \frac{d\varepsilon}{dt} = \frac{d\varepsilon}{d\theta} \cdot \frac{d\theta}{dt} = \Omega \cdot \frac{d\varepsilon}{d\theta} \text{ componenta în } \mathbf{direcție}, \text{ dată de produsul}$$

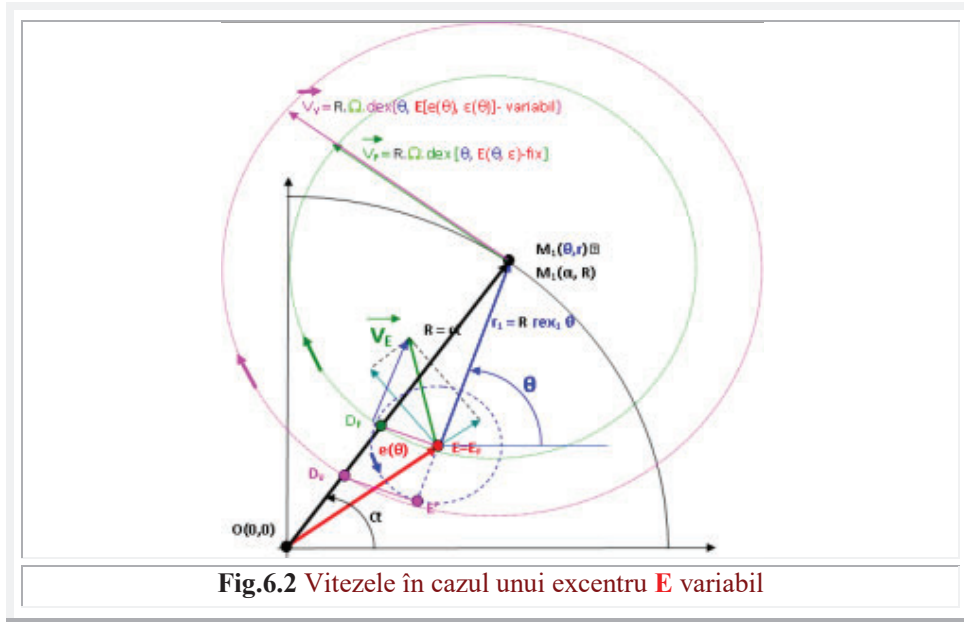
vectorial $\dot{\vec{e}} \times \vec{e}$, a vectorului excentricitate e (**vector e.rad** ε), de direcție normală pe vectorul \vec{e} , deci de direcția fazorului **der** $\varepsilon = \mathbf{rad}(\varepsilon + \pi)$, expresia funcției **dex** θ de excentru variabil va fi

$$(6.10) \quad dex_{1,2} \theta = d\alpha_{1,2}/d\theta = d\{\theta \mp \arcsin[s \cdot \sin(\theta - \varepsilon)]\}/d\theta = d\{\theta \mp \arcsin[\frac{e}{R} \cdot \sin(\theta - \varepsilon)]\}/d\theta = \\ = 1 \mp \frac{\frac{1}{R} ds \sin(\theta - \varepsilon) + \frac{s}{R} \cos(\theta - \varepsilon) (1 - \frac{d\varepsilon}{d\theta})}{\sqrt{1 - (\frac{s}{R})^2 \sin^2(\theta - \varepsilon)}} = 1 \mp \frac{s' \sin(\theta - \varepsilon) + s(1 - \varepsilon') \cos(\theta - \varepsilon)}{\sqrt{R^2 - s^2 \cdot \sin^2(\theta - \varepsilon)}}$$

6.2. FUNCȚIA DERIVATĂ EXCENTRICĂ dex

în care, s-au notat cu accent derivatele în raport cu variabila excentrică motoare θ .

Pe lângă componentele anterior definite ale vitezei excentrului \mathbf{E}_V , pot fi definite și componentele pe direcțiile vectorilor unitate (versori sau, mai precis, fazori) $\mathbf{rad}\theta$ și $\mathbf{der}\theta$.



Se observă din figură că viteza punctului M_1 pe cercul $C(O,R)$ nu se modifică prin deplasarea excentrului E_V pe direcția $\mathbf{rad}\theta$, deoarece poziția punctului M_1 pe cercul C rămâne ne modificată (aceeași), ci numai prin deplasarea lui pe oricare altă direcție, în special pe una perpendiculară, de direcție a versorului / fazorului $\mathbf{der}\theta$ prin care M_1 primește o mișcare suplimentară pe direcția mișcării.

Se observă că relația (6.10) poate fi descompusă în relația lui $\mathbf{dex}\theta$ de excentru considerat punct fix (E_F), de modul egal cu segmentul $D_F M$ de pe direcția razei centrice R , pe cercul de rază R și un termen care exprimă proiecția lui \mathbf{V}_E pe aceeași direcție OM , reprezentând segmentul $D_V D_F$ din figură.

Derivata $d\alpha_{1,2}/d\theta = \mathbf{dex}_{1,2}\theta$, într-un caz foarte general este

$$(6.11) \quad \mathbf{dex}_{1,2}\theta = 1 \frac{s \cdot \cos(\theta - \varepsilon)}{\sqrt{R^2 - s^2 \cdot \sin^2(\theta - \varepsilon)}} \mp \frac{s' \cdot \sin(\theta - \varepsilon) - s \cdot \varepsilon' \cdot \cos(\theta - \varepsilon)}{\sqrt{R^2 - s^2 \sin^2(\theta - \varepsilon)}} =$$

$$= \mathbf{dex}_{1,2}(\theta, E_F) \mp \frac{s' \cdot \sin(\theta - \varepsilon) - s \cdot \varepsilon' \cdot \cos(\theta - \varepsilon)}{\sqrt{R^2 - s^2 \sin^2(\theta - \varepsilon)}} = \mathbf{D}_f \mathbf{M}_{1,2} + \mathbf{D}_{1,2v} \mathbf{D}_{1,2} f .$$

Graficele $\mathbf{FSM-CE dex}\theta$ și de excentru S punct fix, adică s și $\varepsilon \rightarrow$ constante, sunt prezentate în figura 6.3.

6.2. FUNCȚIA DERIVATĂ EXCENTRICĂ dex

Pentru un excentru fix și/sau variabil funcția dex θ are expresiile

$$(6.12) \quad \text{dex}\theta = 1 - \{ [s \cdot \cos(\theta - \varepsilon) - s \cdot \varepsilon' \cos(\theta - \varepsilon) + s' \cdot \sin(\theta - \varepsilon)] / \text{del}(\theta - \varepsilon) \}$$

$S(s, \varepsilon) \rightarrow \text{fix}$

$S[s = ct, \varepsilon(\theta)] \rightarrow \text{variabil}$
pe un cerc de raza s \rightarrow

$S[s(\theta), \varepsilon(\theta)]$ variabil dar definită pe cercul $R = ct$ \rightarrow

Dacă și cercul unitate se înlocuiește cu o altă curbă închisă $R(\theta)$, atunci la expresia anterioară se mai **adaugă** termenul / expresia

$$(6.13) \quad -R'(\theta)(1 - 1/R(\theta)) \cdot s \cdot \sin(\theta - \varepsilon) / \text{del}(\theta - \varepsilon)$$

În figura 6.3 se poate remarca, pentru $s = \pm 1$, $\varepsilon = 0$ și $\varepsilon = \pi/2$ funcțiile dreptunghiulare perfecte de amplitudine 2. Dacă scădem o unitate din aceste funcții, se obțin funcții simetrice față de axa θ ; noua funcție ($\text{dex}\theta - 1$) fiind cuprinsă în intervalul de valori $[-1, +1]$, ca și FCC $\cos \theta$ și $\text{coq}\theta$, precum și $\sin \theta$.

Derivatele funcțiilor dex θ , de excentru S punct fix, sunt prezentate în figura 6.4.

Așa cum se va prezenta într-un capitol în continuare, funcția dex θ intră în expresia derivatelor celorlalte FSM-CE precum cex θ , sex θ ș.a.

Anticipând, se poate arăta că derivatele FSM-CE cex θ și sex θ sunt:

$$(6.14) \quad \begin{cases} \text{cex}'\theta = \frac{d(\text{cex}\theta)}{d\theta} = \frac{d(\cos \alpha)}{d\alpha} \cdot \frac{d\alpha}{d\theta} = \text{dex}\theta \cdot (-\sin \alpha) = -\text{dex}\theta \cdot \text{sex}\theta \\ \text{sex}'\theta = \frac{d(\text{sex}\theta)}{d\theta} = \frac{d(\sin \alpha)}{d\alpha} \cdot \frac{d\alpha}{d\theta} = \text{dex}\theta \cdot (+\cos \alpha) = +\text{dex}\theta \cdot \text{cex}\theta \end{cases}$$

Se observă că pentru $s = 0 \rightarrow \theta = \alpha$, $\beta = 0$, dex $\theta = 1$, sex $\theta = \sin\theta$, cex $\theta = \cos\theta$ și din (6.14) rezultă derivatele cunoscute ale FCC $\cos^2\theta = -\sin\theta$ și $\sin^2\theta = \cos\theta$.

6.3 Derivatele funcției dex θ

Considerând un excentru S punct fix, adică s și ε constante, prima derivată are expresia, mai frecvent utilizată

$$(6.15) \quad \text{dex}'\theta = \left[1 - \frac{s \cdot \cos(\theta - \varepsilon)}{\sqrt{1 - s^2 \sin^2(\theta - \varepsilon)}} \right]' = \frac{s(1 - s^2) \sin(\theta - \varepsilon)}{[1 - s^2 \sin^2(\theta - \varepsilon)]^{3/2}}$$

și curbele din figura 6.4.

Deoarece, $\alpha = \theta - \beta$ și dex $\theta = d\alpha / d\theta = 1 - d\beta/d\theta$, rezultă că

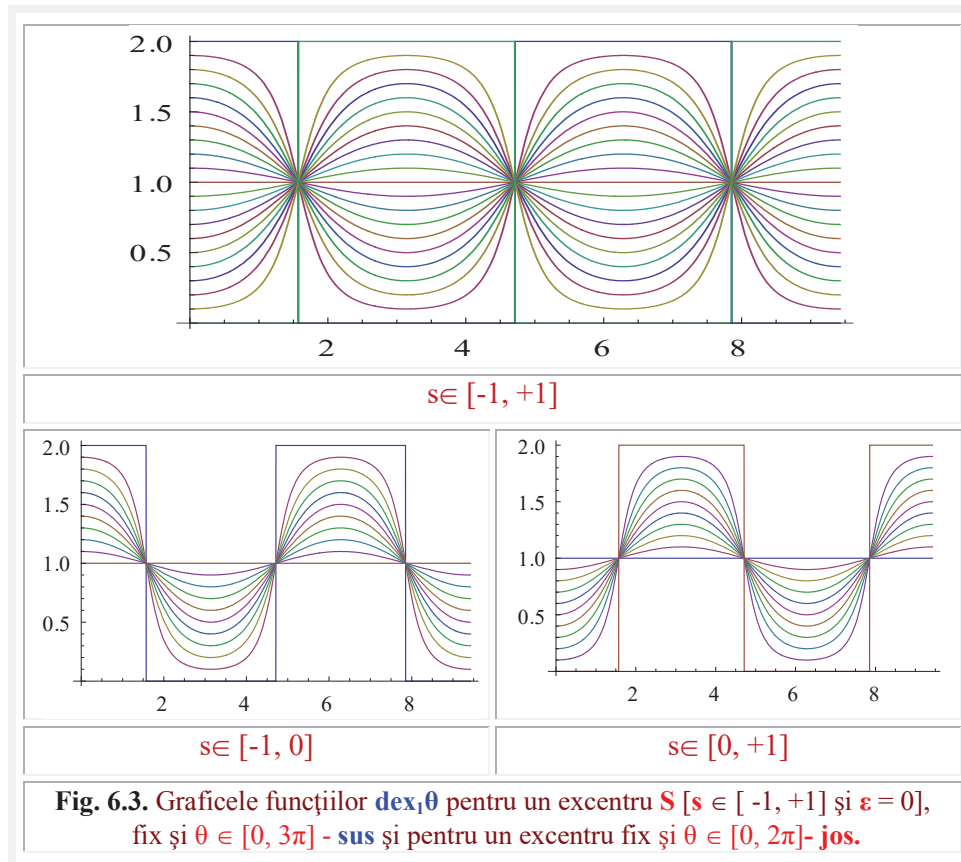
$$(6.16) \quad d\beta_{1,2}/d\theta = d(\text{bex}_{1,2} \theta) / d\theta = \text{bex}'_{1,2} \theta = \mp \frac{s \cdot \cos(\theta - \varepsilon)}{\sqrt{1 - s^2 \sin^2(\theta - \varepsilon)}}$$

$$(6.17) \quad \text{dex}'\theta = -d^2 \beta / d\theta^2 = -d^2 \{ \arcsin[s \cdot \sin(\theta - \varepsilon)] \} / d\theta^2 \text{ astfel că}$$

$$(6.18) \quad d(\text{bex}\theta) / d\theta = \text{bex}'\theta = - \frac{s \cdot \cos(\theta - \varepsilon)}{\sqrt{1 - s^2 \sin^2(\theta - \varepsilon)}} \quad \text{și}$$

6.2. FUNCȚIA DERIVATĂ EXCENTRICĂ dex

$$(6.19) \quad d^2(\text{dex } \theta)/d\theta^2 = \text{dex}''\theta = \frac{s(1-s^2)\sin(\theta-\varepsilon)}{[1-s^2\sin^2(\theta-\varepsilon)]^{3/2}}$$



Prin derivarea relației (6.15) se obține a doua derivată a funcției $\text{dex}\theta$

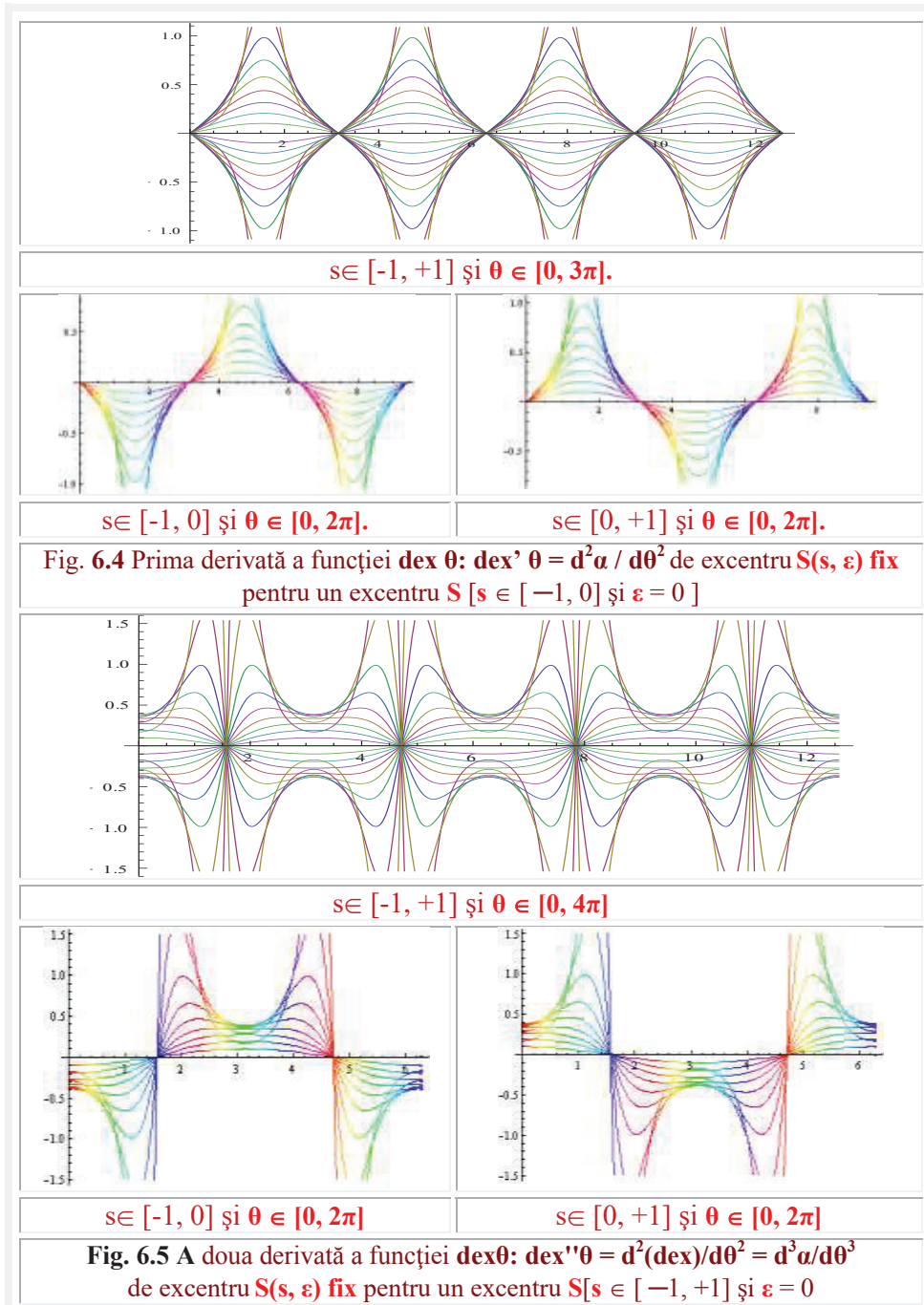
$$(6.20) \quad d^2(\text{dex } \theta) / d\theta^2 = \text{dex}''\theta = \pm \frac{s(1-s^2)\cos(\theta-\varepsilon)[1-s^2\sin^2(\theta-\varepsilon)-3s^2\sin(\theta-\varepsilon)]}{[1-s^2\sin^2(\theta-\varepsilon)]^{3/2}}$$

cu graficele din figura 6.5.

FSM-CE $\text{dex}_{1,2}\theta$ reprezintă, așa cum s-a mai afirmat, viteza punctelor $M_{1,2}$ pe cercul $C(O, R=1)$. Ca urmare $\text{dex}'_{1,2}\theta$ va reprezenta modulul vectorului primei accelerații, iar $\text{dex}''_{1,2}\theta$ va reprezenta modulul vectorului celei de a doua accelerații.

Se observa că, atât funcția $\text{dex}\theta$ cât și derivatele sale de $e > 0$ și $e < 0$, sunt simetrice față de axa Oy .

6.2. FUNCȚIA DERIVATĂ EXCENTRICĂ dex



6.2. FUNCȚIA DERIVATĂ EXCENTRICĂ dex

PRIMA DERIVATĂ	
$\frac{d}{d\theta}(\text{dex}\theta) =$ $= \text{dex}'\theta$	$D[1 - s \cos[t] / \sqrt{1 - (s \sin[t])^2}, t]$ $- ((s^3 \cos[t]^2 \sin[t]) / (1 - s^2 \sin[t]^2)^{3/2}) +$ $(s \sin[t]) / \sqrt{1 - s^2 \sin^2[t]}$
SIMPLIFICARE	FullSimplify[-((s ³ Cos[t] ² Sin[t]) / (1 - s ² Sin[t] ²) ^{3/2}) + (s Sin[t]) / $\sqrt{1 - s^2 \sin^2[t]}$]
$\frac{d}{d\theta}(\text{dex}\theta) =$	$-((s (-1 + s^2) \sin[t]) / (1 - s^2 \sin[t]^2)^{3/2})$
DERIVATA A DOUA	
$\frac{d^2}{d\theta^2}(\text{dex}\theta) =$	$D[-((s (-1 + s^2) \sin[t]) / (1 - s^2 \sin[t]^2)^{3/2}), t]$ $-((3 s^3 (-1 + s^2) \cos[t] \sin[t]^2) / (1 - s^2 \sin[t]^2)^{5/2}) -$ $(s (-1 + s^2) \cos[t]) / (1 - s^2 \sin[t]^2)^{3/2}$
SIMPLIFICARE	FullSimplify[-((3 s ³ (-1 + s ²) Cos[t] Sin[t] ²) / (1 - s ² Sin[t] ²) ^{5/2}) - (s (-1 + s ²) Cos[t]) / (1 - s ² Sin[t] ²) ^{3/2}]
$\frac{d^2}{d\theta^2}(\text{dex}\theta) =$	$(4 \sqrt{2} s (-1 + s^2) \cos[t] (-1 - s^2 + s^2 \cos[2 t])) /$ $(2 - s^2 + s^2 \cos[2 t])^{5/2}$
Derivarea automată cu Matematica 6 (Stephan Wolfram)	

6.4 MIȘCAREA CIRCULARĂ EXCENTRICĂ (MCE)

1. Introducere

Mișcarea circulară excentrică (**MCE**) este o mișcare, în general, neuniformă a unor puncte pe cerc, dirijată dintr-un pol **E**, expulzat din centrul cercului **O(0,0)** și denumit **excentru/ex-centru**.

Este aceeași „mișcare” prin care, dintr-un singur domeniu, existent în matematică, și pe care, acum, îl denumim **centric**, s-au născut o infinitate de domenii **excentrice** ale matematicii.

Apariția **supermatematicii** permite descrierea mișcării circulare excentrice; determinarea vitezelor și a accelerațiilor pe cale analitică sau pur geometrică, denumită **cinematica geometrică**, așa cum se va prezenta în continuare.

Mișcarea este obiectul de studiu al tuturor domeniilor științifice. Ea este strâns legată de spațiu și de timp. Mișcarea mecanică este schimbarea în timp a poziției corpurilor, sau a părților sale, în raport cu alte corpuri, alese drept sisteme de referință.

Un corp, de dimensiuni foarte mici, neglijabile în raport cu alte corpuri mult mai mari, se poate asimila cu un punct. Punctele pot fi fixe sau într-o mișcare oarecare.

Spațiul reflectă raportul de coexistență dintre obiecte și fenomene, sau părți ale acestora, indicând întinderea, sau **dimensiune de gabarit** și pozițiile relative sau distanțele dintre obiecte, sau părți ale acestora, denumite **dimensiuni de coordonare**.

Poziția obiectelor în spațiu depinde de coordonate ce pot fi dimensiuni **liniare**, denumite de **localizare** (x, y, z) și dimensiuni **unghiulare** (θ, φ, ψ) sau (A, B, C - cum sunt notate în robotică), denumite de **orientare** a obiectului în spațiu.

Localizarea și orientarea determină **poziționarea** în spațiu și sunt cei doi parametri ai unui vector: **modulul** - care **localizează** vârful vectorului, în raport cu originea sa, sau a unui punct în raport cu un alt punct; distanța dintre puncte constituind **modulul și argumentul** – care indică **orientarea** vectorului în spațiu.

Denumirile anterioare, **subliniate**, numesc aceleași mărimi în diverse domenii ale științei și / sau tehnicii, printre care, dimensiunile de gabarit și cele de coordonare, ca și localizarea și orientarea sunt, din păcate, neglijate sau insuficient utilizate.

Timpul este expresia duratei de trecere a obiectelor în dreptul diverselor repere și de coexistență a fenomenelor, care permite sesizarea simultaneității și succesiunii lor.

Timpul este perceput numai dacă este ocupat și trecerea lui este sesizabilă numai prin schimbarea a ceea ce îl ocupă; remanența unui obiect poate fi observată numai prin comparație cu cele care se schimbă și alături de care coexistă; imaginea coexistenței în timpul pur nu există. În spațiul pur nu există schimbare, pentru că orice schimbare sau modificare presupune o succesiune, care este posibilă numai în timp.

Coexistența nu există în timp și succesiunea nu există în spațiu.

Cele două forme –timp și spațiu– sunt fundamental diferite: ce este important pentru o formă este lipsit de valoare pentru cealaltă.

Ca actori, timpul și spațiul sunt aceia care dezvoltă universul în haos. Se poate demonstra că haosul și, ca și ordinea, absolute sunt unul și același lucru. Într-un moment anterior bing-bang-ului, spațiul nu există din cauza haosului absolut și timpul nu există din cauza ordinii perfecte / absolute (v. Cap.1).

O asimetrie, cât de mică, schimbă perfecțiunea ordinii și apare timpul, iar prima ordonare relativă a două puncte, ca de exemplu, centrul **O** și excentrul **E**, face posibilă apariția simultană și a spațiului. Unde există spațiu și timp, există și matematică și mecanică și alte științe.

Timpul și spațiul, astfel apărute, sunt ale supermatematicii, care s-a născut doar din deplasarea polului **E** din centrul **O**, în care l-a plasat **Euler**. Astfel, toate obiectele matematice s-au multiplicat de la unul la infinit.

Se admite că natura și tehnica sunt destul de departe de ceea ce se înțelege prin perfecțiune. Ca urmare, nici una din mișcările circulare – dirijate din centrul **O** al cercului și denumite **centrice** – nu va fi, în realitate, perfect centrică, ci, datorită imperfecțiunilor tehnice, a erorilor de localizare relativă a axei de rotație, a jocurilor și a multor altor cauze, mecanismele cu culisă circulară și/sau oscilantă nu vor fi acționate exact din centrul de rotație **O** al cercului ci dintr-un alt punct excentric **E**, situat la distanța **e**, denumită excentricitate reală, de **O** și expulzat pe direcția **e**.

6.2. FUNCȚIA DERIVATĂ EXCENTRICĂ dex

Dovedind că toate mișcările din natură și implicit cele din tehnică sunt, de fapt, **mișcări circulare excentrice**. O **MCE** pentru $e \rightarrow 0$ degerează într-o **MCC**.

Excentricitățile numerice liniare $s = k = e / R$ ale orbitelor planetelor sunt foarte mici. Pentru $e = s = k = 0$ orbita este circulară. O elipsă cu k foarte mic este asemănătoare cu un cerc. Dacă distanța de la focar la centrul este o mărime mică, de ordinul întâi, atunci diferența dintre semiaxe este de ordinul doi $[(b/a)^2 = 1 - k^2]$.

Excentricitatea numerică a orbitei planetei **Tera** este $k = 0,0016$. Din acest motiv, **Kepler** a formulat prima sa lege în modul următor: „**planetele se învârtesc în jurul soarelui pe cercuri, dar Soarele nu se găsește în centrul cercurilor**”. Aceasta este mișcarea circulară excentrică. Ea a fost definită, deci, de **Kepler** și se poate studia deosebit de simplu și elegant cu ajutorul funcțiilor **SM circulare excentrice**.

2. Poziția pe traiectorie în MCE

Notăm cu **W** punctele de pe cercul unitate ($R = 1$) și cu **M** de pe un cerc oarecare de rază **R**. Ele se pot suprapune printr-o transformare homotetica **H (O, R)** de centru **O** și de raport $k = R$. Toate mărimile cinematice ale lui **M** pot fi deduse din cele ale lui **W** prin amplificarea cu **R**. De aceea, se va insista pe cercul unitate, pe care sunt definite și funcțiile trigonometrice excentrice (**FTE** sau **FCE**).

MCE a fost utilizată, fără a fi denumită astfel, la obținerea unor mișcări oscilante neliniare [4], a căror soluții sunt date de $\text{cex}\theta$, $\text{sex}\theta$ și combinațiile liniare ale acestora.

Cosinusul și sinusul excentrice reprezintă proiecțiile mișcării celor două puncte **W_{1,2}** de intersecție a cercului unitate **CT** cu dreapta **d**, turnantă în jurul excentrului **S(s, ε)** cu viteza unghiulară **Ω**, dreaptă care face unghiul **θ** cu axa x, denumit variabilă (motoare) **excentrică**. Punctul $W_1 = CT \cap d^+$ și $M_1 = C(O,R) \cap d^+$ este determinarea principala și $W_2 = CT \cap d^-$ sau $M_2 = C(O,R) \cap d^-$ este determinarea secundară.

Coordonatele polare ale celor două puncte față de centrul **O(0,0)** sunt **W_{1,2} (R, α_{1,2})** iar față de **S(s, ε)** sunt **W_{1,2} (r_{1,2}, θ)**, în care **R** este raza cercului **CT(O,R=1)** și **r_{1,2}** sunt razele polare ale punctelor din **S**, denumite și **raze excentrice**, date de funcția radial excentric, în funcție de **θ** notată **rex_{1,2}θ**, sau, în funcție de **α**, notată **Rexα_{1,2}** a căror expresii sunt cunoscute din capitolul anterior:

$$\begin{aligned} R.\text{rex}_{1,2} \theta &= -e.\cos(\theta - \varepsilon) \pm \sqrt{R^2 - e^2 \sin^2(\theta - \varepsilon)} = \\ R [-s.\cos(\theta - \varepsilon) \pm \sqrt{1 - s^2 \sin^2(\theta - \varepsilon)}] &\quad \text{și} \\ R.\text{Rex}\alpha_{1,2} &= \pm \sqrt{R^2 + e^2 - 2eR \cos(\alpha_{1,2} - \varepsilon)} = \\ &= \pm R.\sqrt{1 + s^2 - 2s.\cos(\alpha_{1,2} - \varepsilon)} \end{aligned}$$

Această funcție este, repetăm, o adevărată funcție „rege”, deoarece cu ea se pot exprima ecuațiile tuturor curbelor plane cunoscute. Ea reprezintă și expresia distanței

6.2. FUNCȚIA DERIVATĂ EXCENTRICĂ dex

dintre două puncte din plan (**E** și **W**_{1,2} pentru R = 1 și, respectiv, **M**_{1,2} pentru R ≠ 1), în coordonate polare, așa cum a observat Prof.dr. mat. **Octav Em. Gheorgiu**.

Cele două funcții rex_{1,2}θ sunt, totodată, și cele două rădăcini/soluții ale ecuațiilor algebrice de gradul II, așa cum s-a demonstrat într-un capitol anterior.

Dependențele dintre variabila excentrică **θ** și cele centrice **α**_{1,2} sunt exprimate de funcțiile amplitudine excentrică aex**θ** și, respectiv Aex**α**_{1,2} date de relațiile

$$\alpha_{1,2}(\theta) = aex_{1,2}\theta = \theta - \beta_{1,2}(\theta) = \theta \mp \arcsin[s \sin(\theta - \varepsilon)] + \begin{cases} \mathbf{0, pentru indicele 1} \\ -\pi, pt\ indicele 2 \end{cases} \text{ și}$$

$$\theta(\alpha_{1,2}) = Aex\alpha_{1,2} = \alpha_{1,2} + \beta_{1,2} = \alpha_{1,2} + \arcsin \frac{s \cdot \sin(\alpha_{1,2} - \varepsilon)}{\sqrt{1 + s^2 - 2s \cos(\alpha_{1,2} - \varepsilon)}}$$

Revenirea, din **excentric în centric**, se face cu **s = k = /→ 0**, astfel că și **α**₁ → **θ** și **α**₂ → **θ + π**. Corespondența, în centric, a funcției radial excentric rex**θ** este funcția radial centric rad**α**, sau pe scurt, radial, notată **radα**, a cărei expresie este

rad**α** = e^{ia} care este, pe de o parte, funcția exponențială **Euler - Cotes** și, pe de altă parte, un vector unitate / versor sau fazor de direcție **α**.

Prin derivarea funcțiilor amplitudine excentrică se obțin funcțiile derivat excentric

$$dex_{1,2}\theta = \frac{d\alpha_{1,2}}{d\theta} = 1 - \frac{k \cdot \cos(\theta - \varepsilon)}{\pm \sqrt{1 - k \cdot \sin(\theta - \varepsilon)}} \quad \text{și}$$

$$Dex\alpha_{1,2} = \frac{d\theta}{d\alpha_{1,2}} = \frac{1 - k \cos(\alpha_{1,2} - \varepsilon)}{1 + k^2 - 2k \cdot \cos(\alpha_{1,2} - \varepsilon)} = \sum_{s=0}^{\infty} k^s \cos s\alpha_{1,2}$$

Corespondența în centric a acestei funcții este derivat centric, sau, pe scurt, derivat, notată dera și reprezintă derivata lui red**α**, de expresie

$$der \alpha = i \cdot e^{i\alpha}$$

În coordonate polare, poziția punctelor **W**_{1,2} este dată de

$$(6.21) \quad \begin{cases} R_{1,2}(\alpha_{1,2}) = rad\alpha_{1,2} \Leftrightarrow \text{Fata..de..centrul / polul..O(0,0)} \\ r_{1,2}(\theta) = R \cdot rex_{1,2}\theta \cdot rad\theta \Leftrightarrow \text{Fata..de..ex - centrul / polul..E(e, \varepsilon)} \end{cases}$$

iar în coordonate carteziene, față de centrul **O(0,0)** și respectiv ex-centrul **E(e,ε)** de

$$(6.22) \quad \begin{cases} x_{1,2}(\alpha_{1,2}) = R \cdot \cos \alpha_{1,2} \\ y_{1,2}(\alpha_{1,2}) = R \cdot \sin \alpha_{1,2} \\ x_{1,2}(\theta) = R \cdot cex_{1,2}\theta \\ y_{1,2}(\theta) = R \cdot sex_{1,2}\theta \end{cases}$$

3.Funcția de transmitere de ordinul zero (funcția de poziție)

Determinarea stării relative a elementului condus față de cel conducător, la un moment dat, considerată stare statică (sau înghețată), a stării cinematice sau de mișcare

6.2. FUNCȚIA DERIVATĂ EXCENTRICĂ dex

și a celei dinamice, în care se consideră și masele obiectelor, frecările din sistem și multe alte cauze care pot condiționa funcționarea mecanismelor, dispozitivelor și a mașinilor, constituie problemele de baza cu care se confruntă studiul mecanismelor a dispozitivelor și a mașinilor.

O metodă modernă de studiu o constituie introducerea **funcțiilor de transmitere** (de **transfer**) de diverse ordine [V. Handra-Luca, „FUNCȚIILE DE TRANSMITERE ÎN STUDIUL MECANISMELOR”, Ed. Academiei 1983]. Ele stabilesc o dependență, în diversele stări (statice, cinematice și dinamice), dintre elementul condus sau de la ieșire și cel conducător sau de la intrare.

Dacă funcțiile se referă nu la elementele unui mecanism oarecare ci la elementele geometrice ale unor figuri matematice, ele au fost denumite FUNCȚII DE TRANSMITERE **INFORMAȚIONALĂ**. [16] (**FTI**). În acest fel, raportul funcțiilor care leagă poziția unui punct, pe o curbă oarecare, față de două sisteme de referință / repere distincte reprezintă funcția de transfer informațional a poziției sau funcția de transfer informațional de ordinul **zero** sau a poziției.

Funcția de transmitere **informațională** de ordinul **ZERO**, în cazul mișcării circulare excentrice **P₁₀**, ca raport al vectorilor de poziție ai punctelor **M_{1,2} ∈ C(O,R)** cu polul în ex-centrul **E(e, ε)** și, respectiv în centrul **O(0,0)** este raportul a doi vectori, raport care este vectorul

$$(6.23) \quad \vec{P}_{10}(\theta) = \frac{\vec{R}_{1,2}(\theta)}{\vec{r}_{1,2}(\theta)} = \frac{R \cdot \text{rad}_{1,2}(\theta)}{R \cdot \text{rex}_{1,2}\theta \cdot \text{rad}\theta} = \frac{\text{rad}(\theta - \beta_{1,2}(\theta))}{\text{rex}_{1,2}\theta \cdot \text{rad}\theta} = \frac{\text{rad}(-\beta_{1,2})}{\text{rex}_{1,2}\theta}$$

Acest raport conține două mărimi distincte și anume: raportul dimensiunilor liniare sau a mărimilor/dimensiunilor de **localizare L₁** a vectorilor de poziție, sau **modulul** vectorului **P₁₀(θ)**, care dau **FTI de localizare** a punctelor **M_{1,2}** ca funcție de variabilă excentrică **θ** și care este

$$(6.24) \quad L_{10} = \frac{1}{\text{rex}_{1,2}\theta}, \text{ un scalar care ne arată în ce raport se află modulele vectorilor de}$$

poziție și, o a doua entitate/mărimă, care indică în ce raport se află dimensiunile unghiulare a acestor vectori, mai precis, modificarea orientării vectorilor, respectiv **diferența** dintre argumentele acestor doi vectori de poziție, denumită și **FTI₀** de **orientare O₁₀** și care este vectorul unitate / versorul sau fazorul / cronoidul

$$(6.25) \quad O_{10} = \text{rad}(-\beta_{1,2})$$

În concluzie, **FTI₀** ne arată că, în cazul în care o **influență** / mișcare se transmite prin **r_{1,2}** la **R_{1,2}**, atunci modulul vectorului **R_{1,2}** crește cu **L₁₀** și **R_{1,2}** are o orientare față de **r_{1,2}** modificată cu **O₁₀ = rad(-β_{1,2})**, adică se rotește în jurul punctului comun **M_{1,2}** cu **-β_{1,2}**.

Dacă influența / mișcarea se transmite invers: **O** fiind centrul conducător și **α** variabila motoare, iar **E** fiind ex-centrul condus și **θ** variabila excentrică condusă, va rezulta o **FTI₀ inversă de ordinul zero**,

Raportul modulele vectorilor de poziție **r_{1,2} / R_{1,2}** sunt

$$(6.26) \quad r_{1,2}(\alpha)/R_{1,2} = R \cdot \text{Rex}_{\alpha,1,2} / R, \text{ modulele } R_1 \text{ și } R_2 \text{ fiind egale între ele}$$

și egale cu raza cercului **R** iar între orientarea vectorilor **r_{1,2}** față de **R_{1,2}** există o diferență de **+β_{1,2}**, aceasta **FTI inversă** de ordinul zero fiind, deci

6.2. FUNCȚIA DERIVATĂ EXCENTRICĂ dex

$$(6.27) \quad \overrightarrow{FTII}_0 = \frac{\overrightarrow{r_{1,2}(\alpha_{1,2})}}{R_{1,2}(\alpha_{1,2})} = \frac{R \cdot \text{Re} x \alpha_{1,2} \cdot \text{rad} \theta}{R \cdot \text{rad} \alpha_{1,2}} = \text{Re} x \alpha_{1,2} \cdot \text{rad}(\theta - \alpha_{1,2}) = \text{Re} x \alpha_{1,2} \text{rad} \beta_{1,2}$$

Verificarea împărțirii vectorilor se face aidoma verificării oricărei împărțiri, adică, prin înmulțirea câtului cu numitorul / împărțitorul fracției:

$R \cdot \text{Re} x \alpha_{1,2} \text{rad} \beta_{1,2} \cdot R \cdot \text{rad} \alpha_{1,2} = R \cdot \text{Re} x \alpha_{1,2} \cdot \text{rad}(\alpha_{1,2} + \beta_{1,2}) = R \cdot \text{Re} x \alpha_{1,2} \cdot \text{rad} \theta$
și, se observă, că se obține expresia numărătorului / deîmpărțitului. Deci, se verifică.

4. Vitezele mișcării circulare excentrice

Se obțin prin derivarea vectorilor de poziție \vec{R} sau \vec{r} ale punctelor turnante pe cerc $W_{1,2}$ în funcție de timp, pentru $\theta = \Omega \cdot t$.

Deoarece, **rad** și **der** nu pot exprima altceva decât niște vectori unitate sau versori ori fazori, notarea lor cu o bară deasupra devine **superfluă**, motiv pentru care, așa cum s-a putut observa, s-a renunțat la ea. Acești vectori sunt :

$$(6.28) \quad \vec{R}_{1,2} = R \cdot \text{rad} \alpha_{1,2} \text{ și } \vec{r}_{1,2} = R \cdot \text{re} x_{1,2} \theta \cdot \text{rad} \theta \quad \text{și derivatele lor rezultă}$$

$$(6.29) \quad \frac{d\vec{R}_{1,2}}{dt} = \frac{d\vec{R}_{1,2}}{d\alpha_{1,2}} \frac{d\alpha_{1,2}}{d\theta} \frac{d\theta}{dt} = R \cdot \text{der} \alpha_{1,2} \bullet \text{dex}_{1,2} \theta \bullet \Omega = R \cdot \Omega \cdot \text{dex}_{1,2} \theta \cdot \text{der} \alpha_{1,2}$$

și, respectiv,

$$(6.30) \quad \frac{d\vec{r}_{1,2}}{dt} = \frac{d\vec{r}_{1,2}}{d\theta} \frac{d\theta}{dt} = \mathbf{R} \cdot \Omega \cdot [\text{dex}_{1,2} \theta \cdot \text{rad} \theta + \text{re} x_{1,2} \theta \cdot \text{der} \theta] =$$

$$\mathbf{R} \cdot \Omega \cdot \text{dex}_{1,2} \theta [\text{rad} \theta \cdot \sin \beta_{1,2} + \text{der} \theta \cdot \cos \beta_{1,2}] = \mathbf{R} \cdot \Omega \cdot \text{dex}_{1,2} \theta \cdot \text{der} \alpha_{1,2}$$

în care derivata funcției $\text{re} x_{1,2} \theta$ este

$$(6.31) \quad \frac{d(\text{re} x_{1,2} \theta)}{d\theta} = \text{dex}_{1,2} \theta \cdot \sin \beta_{1,2} \quad \text{și reprezintă, la scară, segmentul } \mathbf{ED}_{1,2}, \text{ iar}$$

$$(6.32) \quad \text{der} \alpha_{1,2} = \text{der}(\theta - \beta_{1,2}) = \text{der} \theta \cos \beta_{1,2} + \text{rad} \theta \sin \beta_{1,2}.$$

5. Expresia generala a funcției de transmitere / transfer a vitezelor unghiulare sau a turațiilor tuturor mecanismelor plane.

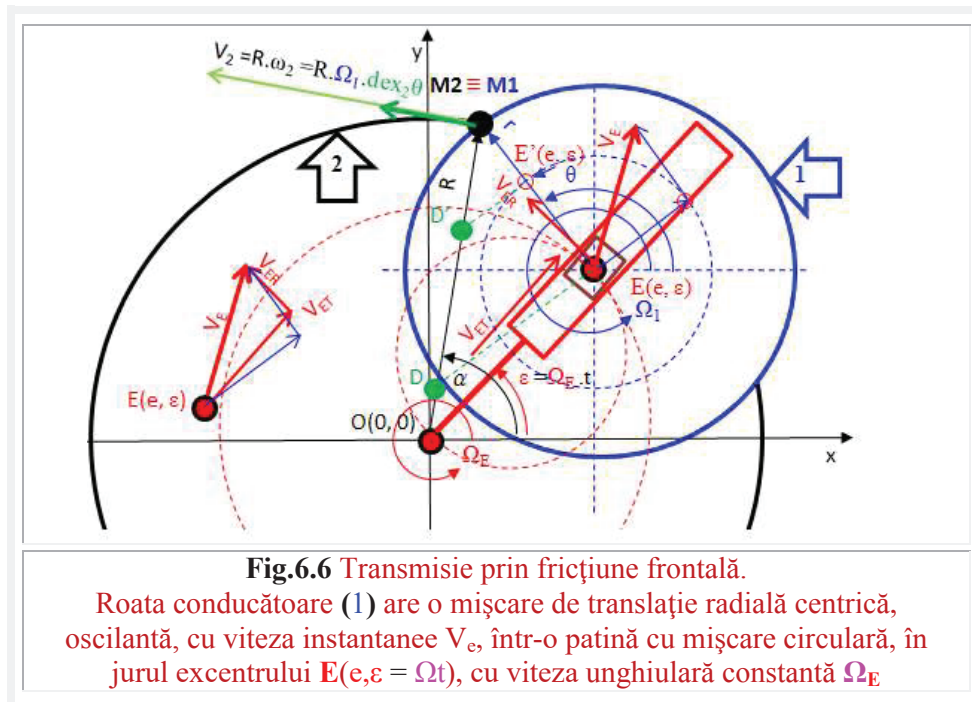
Se notează cu **1** elementul de **întare** a **MCE**, cel de acționare sau conducător, cu axa de rotație plasată în $\mathbf{E} \equiv \mathbf{I}_{01}$, considerat și **centrul instantaneu de rotație** al lui **1** și se notează cu **2** elementul condus sau de **ieșire**, cu axa de rotație plasată în $\mathbf{O} \equiv \mathbf{I}_{02}$ și **centru instantaneu de rotație** al lui **2**.

Fie $W_{1,2}$ punctul comun de contact al celor două elemente, prin care mișcarea se transmite prin frecare, de exemplu, fără alunecare, de la elementul (**1**) la celălalt (**2**), printr-o **infimă** abatere de paralelism a celor două axe de rotație, într-un sens W_1 sau în celălalt W_2 (Fig.6.6).

6.2. FUNCȚIA DERIVATĂ EXCENTRICĂ dex

Prin definiție, funcția de transmitere de ordinul **1**, sau a mișcării, vitezelor unghiulare și/sau a turațiilor, este raportul dintre mărimea corespunzătoare de **ieșire** și cea de **intrare**, adică

$$(6.33) \quad i_{\omega} = i_n = \frac{\omega_2}{\omega_1} = \frac{n_2}{n_1} = \frac{d\alpha_{1,2}/dt}{d\theta/dt} = \frac{d\alpha_{1,2}}{d\theta} = dex_{1,2}\theta.$$



În conformitate cu teorema lui **Menelaus**, a **coliniarității** celor trei centre instantanee de rotație, **centrul instantaneu de rotație** relativ I_{21} se va situa pe dreapta definită de punctele **O** și **E** la intersecția ei cu o dreaptă perpendiculară în $W_{1,2}$ pe $SW_{1,2}$ sau $EM_{1,2}$ (**Fig. 6.7,a**).

Dependența dintre viteze este dată de relația vectorială a lui **Euler**

$$(6.34) \quad \frac{\vec{v}_2}{R} = \frac{\vec{v}_1}{r} + \frac{\vec{v}_{21}}{WI_{21}}$$

vectori \vec{v}_1 și \vec{v}_2 și mărimile razelor **R** și **r** ale roților de fricțiune, că al treilea vector, care trebuie să închidă poligonul (triunghiul) vectorilor și să-l parcurgă în același sens, este orientat pe direcția EM_2 (**Fig. 6.6**).

6.2. FUNCȚIA DERIVATĂ EXCENTRICĂ dex

Se știe că, vitezele unghiulare relative sunt invers proporționale cu segmentele definite de centrele instantanee de rotație, adică

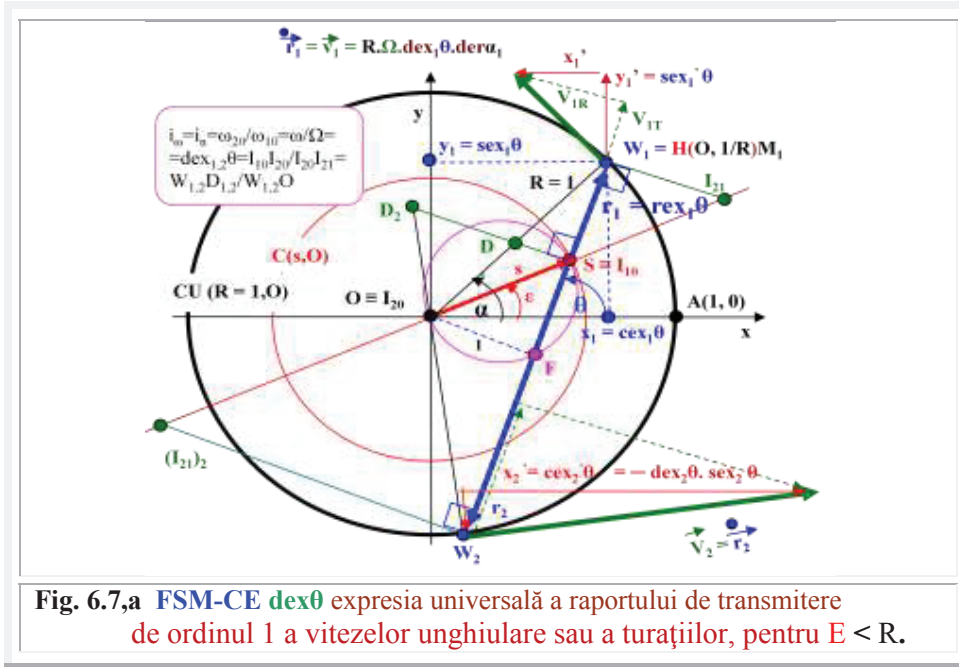


Fig. 6.7,a FSM-CE dexθ expresia universală a raportului de transmitere de ordinul 1 a vitezelor unghiulare sau a turațiilor, pentru $E < R$.

$$(6.35) \quad \frac{\omega_{20}}{\omega_{10}} = \frac{I_{10}I_{21}}{I_{20}I_{11}} = \frac{\omega}{\Omega} = dex\theta$$

Cu notațiile din figura 6.7,a, cu $R = \Omega = 1$, punctul $D_{1,2}$ se obține la intersecția razei centrice $OW_{1,2}$ cu o perpendiculară în E pe raza excentrică $EW_{1,2}$; segmentul $W_{1,2}D_{1,2}$, la scară, reprezintă mărimea lui $dex_{1,2}\theta$

Viteza punctului $W_{1,2}$ pe cerc este

$$(6.36) \quad \vec{v}_{1,2} = \vec{\omega}_{1,2} \times \vec{R} = \omega_{1,2} \cdot R \cdot \text{der} \alpha_{1,2} = \Omega \cdot R \cdot \frac{d(\text{rex}_{1,2}\theta \cdot \text{rad}\theta)}{d\theta} =$$

$$= \Omega \cdot R \cdot r_{1,2}' = \frac{dr_{1,2}}{dt} = \Omega R (\text{rex}_{1,2}' \theta \cdot \text{rad} \theta + \text{rex}_{1,2} \theta \cdot \text{der} \theta) = \Omega \cdot R \cdot dex_{1,2}\theta \cdot \text{der} \alpha_{1,2}$$

și are două componente: una datorită rotației dreptei suport turnante d^+

$$(6.37) \quad \vec{v}_{1,2R} = \Omega \cdot R \cdot \text{rex}_{1,2}\theta \cdot \text{der} \theta \quad \text{pe direcția } \text{der } \theta \text{ și, o a doua,}$$

datorită deplasării, prin translație, a lui $W_{1,2}$ pe dreapta suport d

$$(6.38) \quad \vec{v}_{T1,2} = \Omega \cdot R \cdot \text{rex}_{1,2}' \theta \cdot \text{rad} \theta$$

6.2. FUNCȚIA DERIVATĂ EXCENTRICĂ dex

Proiecțiile lui $\vec{v}_{1,2}$ pe cele două axe sunt

$$(6.39) \quad \vec{v}_{1,2x} = \dot{x}_{1,2} = \Omega.R.dex_{1,2}\theta.cex_{1,2}\theta \quad \text{și}$$

$$(6.40) \quad \vec{v}_{1,2y} = \Omega.R.dex_{1,2}\theta.sex_{1,2}\theta, \text{ în care}$$

$$(6.41) \quad cex_{1,2}\theta = \cos \alpha_{1,2} \text{ și } sex_{1,2}\theta = \sin \alpha_{1,2}.$$

Pentru un excentru exterior discului circular, adică $e > R$ sau $s > 1$, situația este prezentată în **figura 6.7,b**. Se observă că, în acest caz, cele două puncte $M_{1,2}$ se roteesc pe cerc în sensuri contrare: M_1 în sensul creșterii lui θ , adică în sens sinistrorum sau levogin și M_2 în sens invers, dextrorum sau dextrogin. Pe cale de consecință și vitezele vor fi de semn contrare, față de cazul anterior, când cele două puncte se roteau pe cerc în același sens, așa cum se poate observa și în **figura 6.7,a**.

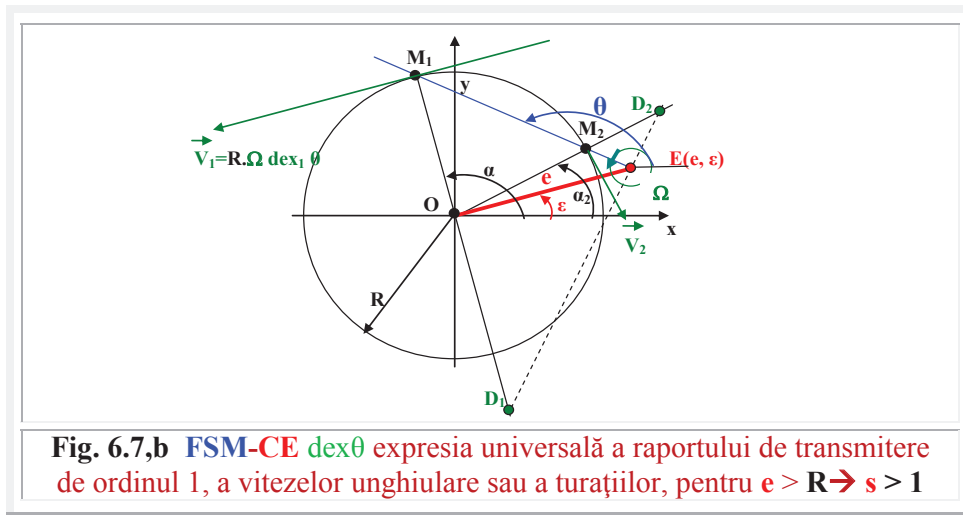


Fig. 6.7,b FSM-CE dexθ expresia universală a raportului de transmitere de ordinul 1, a vitezelor unghiulare sau a turațiilor, pentru $e > R \rightarrow s > 1$

Dacă în excentrul E , exterior cercului $C(R,O)$, se plasează axa unei roți conducătoare cu fricțiune frontală, atunci, dacă contactul se face între cele două roți de fricțiune în punctul M_1 , roata condusă se va roti în același sens cu roata conducătoare, iar dacă, contactul se va produce în punctul M_2 , roata condusă se va roti în sens invers cu roata conducătoare.

Acest lucru se datorează funcției $dex_{1,2}\theta$ care-și schimbă de la sine, în mod corespunzător semnul: pentru $e < R$ atât $dex_1\theta$ cât și $dex_2\theta$ sunt pozitive, ceea ce arată că o roată dințată interioară, cu axa de rotație în E , care se angrenează cu o coroană dințată sau cu fricțiune cu axa de rotație în $O(0,0)$ și cu contacte în M_1 sau în M_2 se vor roti în același sens cu roata conducătoare, iar dacă cele două roți se angrenează exterior, $e > R$ cu contact în M_2 , atunci se vor roti în sensuri opuse.

6.2. FUNCȚIA DERIVATĂ EXCENTRICĂ dex

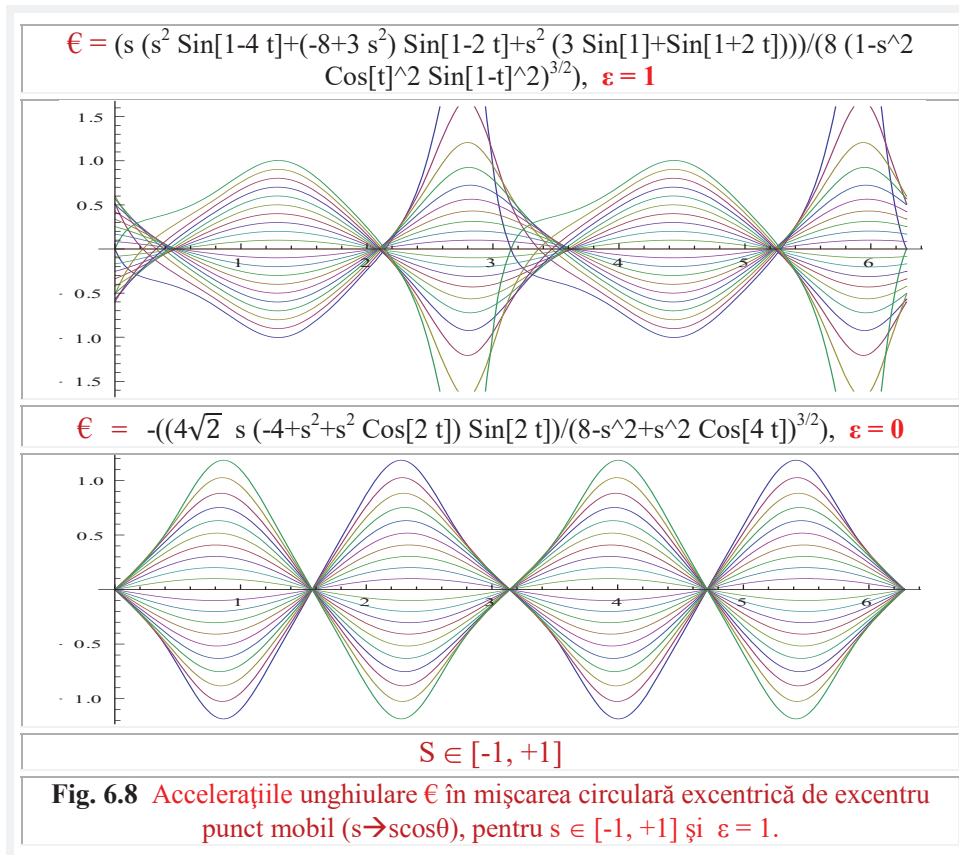
Contactul în M_1 în cazul roților dintate, conduce iarăși la angrenare interioară, numai că roata conducătoare, cu axa în E , este de mari dimensiuni, iar cea condusă, cu axa de rotație în $O(0,0)$, este interioară ei.

Spre deosebire de metoda clasică de exprimare a funcțiilor de transmitere de ordinul 1, exprimarea actuală, universală, uzând de facilitățile **FSM-CE dex_{1,2}θ** nu mai necesită explicații cu privire la sensul de rotație a două roți dintate sau cu fricțiune pentru diversele cazuri analizate anterior, așa cum este cazul în exprimările clasice; funcția **dex_{1,2}θ** luând semnele corespunzătoare pentru fiecare dintre cazuri în parte, așa cum se va vedea, în continuare, într-o aplicație.

6. Accelerațiile mișcării circulare excentrice

Se obțin, evident, prin derivarea, în funcție de timp, a vitezelor.

Prin derivarea vitezei unghiulare ω se va obține accelerația unghiulară ϵ



6.2. FUNCȚIA DERIVATĂ EXCENTRICĂ dex

$$(6.42) \quad \epsilon = \frac{d\omega}{dt} = \frac{d\omega}{d\theta} \frac{d\theta}{dt} = \Omega \frac{d(R.\Omega.dex_{1,2}\theta)}{d\theta} = R.\Omega^2.dex'_{1,2}\theta = R.\Omega^2 \cdot \frac{d^2\alpha_{1,2}}{d\theta^2}$$

care, pentru un excentru considerat punct fix, adică \mathbf{e} și ϵ constante și $\mathbf{R} = \mathbf{1}$ este

$$(6.43) \quad \epsilon = \mathbf{s} (1 - s^2) \sin(\theta - \epsilon) / [\pm(1 - s^2 \sin^2(\theta - \epsilon))]^{3/2}$$

Relație identică cu (6.19) și cu graficele din **figura 6.4**.

Dacă excentrul $\mathbf{S}(\mathbf{s}, \epsilon)$ este un punct mobil a cărui excentricitate liniară numerică \mathbf{s} variază după legea $\mathbf{s} \rightarrow \mathbf{s} \cdot \cos\theta$, atunci graficele accelerației și expresia ei sunt date în figura 6.8, pentru $\epsilon = 1$ și $\epsilon = 0$.

Accelerația $\overrightarrow{a_{1,2}}(\theta)$ a punctelor $M_{1,2} \subset C(O, R)$ se obține prin derivarea vitezei

(6.36). Rezultă

$$(6.44) \quad \begin{aligned} \overrightarrow{a_{1,2}}(\square) &= \ddot{\mathbf{r}}_{1,2}(\square) = \frac{\overrightarrow{d\mathbf{v}_{1,2}(\square)}}{dt} = \frac{\overrightarrow{d\mathbf{v}_{1,2}(\square)}}{d\square} \frac{d\square}{dt} = \mathbf{R} \cdot \Omega \frac{d(\mathbf{rex}'_{1,2}\theta)}{dt} = \\ &= \mathbf{R}\Omega^2 \mathbf{rex}''_{1,2}\theta = \mathbf{R}\Omega^2 (\mathbf{dex}'_{1,2}\theta \cdot \mathbf{der}\alpha - \mathbf{dex}^2_{1,2}\theta \cdot \mathbf{rada}) = \\ &= \mathbf{R}(\epsilon \cdot \mathbf{der}\alpha - \omega^2 \cdot \mathbf{rada}) = \ddot{\mathbf{R}} \end{aligned}$$

Modulul vectorului accelerație este

$$(6.45) \quad a_{1,2}(\theta) = \left| \overrightarrow{a_{1,2}}(\theta) \right| = R \cdot \sqrt{\left(\frac{d\omega}{dt}\right)^2 + \omega^4} \quad \text{și se recunoaște modulul accelerației}$$

din mișcarea generală neuniformă a unui punct oarecare pe o traiectorie circulară, rezultat absolut normal; mișcarea circulară excentrică fiind un caz particular, de excepție, al mișcării neuniforme pe o traiectorie circulară.

Accelerația Coriolis este un vector reprezentată de dublul produsului vectorial dintre vectorul vitezei unghiulare $\vec{\omega}$, perpendicular pe planul mișcării circulare excentrice, și derivata vectorului viteza relativă a punctului $M_{1,2}$ de pe cerc, care este vectorul viteza de translație a punctului pe dreapta d

$$(6.46) \quad \vec{V}_{1,2R} = \vec{v}_T = rad\theta \cdot \frac{d(\mathbf{rex}_{1,2}\theta)}{dt}, \text{ astfel că accelerația Coriolis } \vec{a}_C \text{ va fi}$$

orientată pe direcția fazorului $\mathbf{der}\theta$ și rezultă

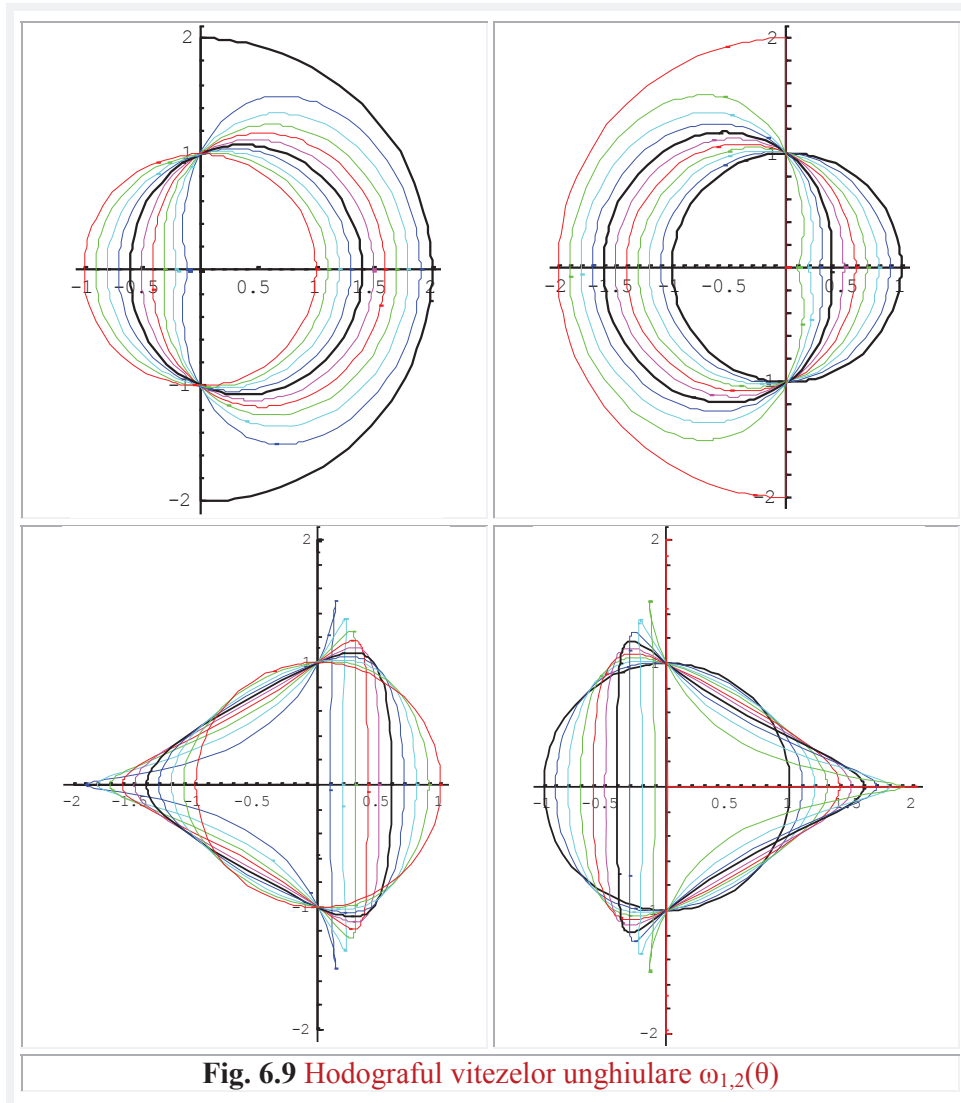
$$(6.47) \quad \begin{aligned} \vec{a}_{1,2C} &= 2 \cdot \vec{\omega}_{1,2} \times \vec{v}_{1,2R} = 2 \cdot \vec{\omega}_{1,2} \times rad\theta \cdot \frac{d(\mathbf{rex}_{1,2}\theta)}{dt} = \\ &= 2 \cdot R \cdot \Omega^2 \cdot \mathbf{dex}^2_{1,2}\theta \cdot \sin \beta_{1,2} \cdot \mathbf{der}\theta = 2 \cdot R \cdot \omega^2 \cdot \sin \beta_{1,2} \theta \cdot \mathbf{der}\theta \end{aligned}$$

a cărui modul este, așa cum se poate observa în figura **6.7,a** dublul segmentului orientat $\mathbf{ED}_{1,2}$ și care este

$$(6.48) \quad \begin{aligned} \mathbf{a}_C &= 2 \cdot \mathbf{dex}_{1,2} \theta \cdot \sin \beta_{1,2} = \\ &= 2 \left[1 - \frac{s \cdot \cos(\theta - \epsilon)}{\pm \sqrt{1 - s^2 \sin^2(\theta - \epsilon)}} \right] \sin \{ \mp \arcsin[s \cdot \sin(\theta - \epsilon)] \} = \\ &= \pm 2 \cdot s \cdot \sin(\theta - \epsilon) \cdot \mathbf{rex}_{1,2} \theta / \mathbf{del}\theta. \end{aligned}$$

6.2. FUNCȚIA DERIVATĂ EXCENTRICĂ dex

Hodograful vitezei unghiulare ω_1 (sus) și ω_2 (jos) pentru $R = 1$, $\Omega = 1$ sunt prezentate în figura 6.9. Se observă că pentru $s = 1$ accelerația unghiulară pe o semiperioada este nulă, timp în care câte unul dintre punctele $\mathbf{W}_{1,2}$ rămâne confundat în excentrul $\mathbf{S}(1,0)$ sau de $\mathbf{S}(1, \pi) \leftrightarrow \mathbf{S}(-1,0)$, iar, în cealaltă semiperioadă, punctul $\mathbf{W}_{1,2}$ se deplasează pe cercul $\mathbf{CT}(R = 1, \mathbf{O})$ cu o viteză unghiulară constantă, dar dublă și egală cu (6.49) $\omega_{1,2}(\theta) = 2\cdot\Omega$



6.2. FUNCȚIA DERIVATĂ EXCENTRICĂ dex

În figura 6.10 sunt prezentate hodografele accelerației unghiulare ϵ .

Determinarea pe cale grafică a vitezelor și a accelerației \mathbf{a}_1 , numai a punctului $M_1(\mathbf{R}, \alpha_1)$, sunt prezentate în figura 6.11, în care s-a considerat, pentru simplificare, $\mathbf{R} = 1$ și $\Omega = 1$.

Determinarea grafică a vectorului accelerație \mathbf{a}_1 s-a făcut cunoscându-se câte două componente ale acestuia din două dezvoltări diferite.

Astfel, din prima s-a cunoscut accelerația normală centrică \mathbf{a}_{1v} ca fiind

$$(6.50) \quad \mathbf{a}_{1v} = \frac{d\vec{v}_1}{dt} = -(\mathbf{R} \cdot \Omega \cdot \text{dex}_1 \theta)^2 \cdot \text{rad} \alpha_1 = -v_1^2 \cdot \text{rad} \alpha_1 = \mathbf{R} \cdot \omega^2 \text{rad} \alpha_1$$

egală, în figura, cu segmentul d_1^2 și orientată, evident, pe direcția normală în $M_1(\alpha_1)$ la cercul $C(\mathbf{R}, \mathbf{O})$, adică, pe direcția radială centrică a vectorului $-\mathbf{R}_1$, sau pe direcția fazorului $\text{rad}(\alpha_1 + \pi) = -\text{rad} \alpha_1$.

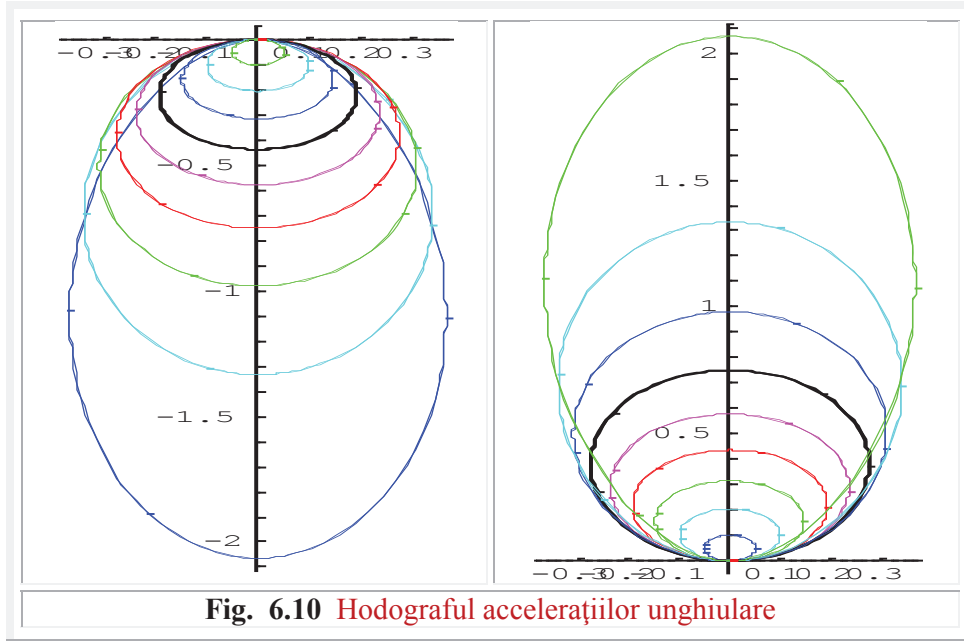


Fig. 6.10 Hodograful accelerațiilor unghiulare

Perpendicular pe acest vector normal se află, evident, vectorul tangent

$$(6.51) \quad \vec{a}_{1t} = \dot{\mathbf{e}}_1 + \dot{\mathbf{e}}_1 \times \mathbf{r}_1 + \omega_1 \times (\omega_1 \times \mathbf{r}_1) = \mathbf{R} \cdot \epsilon_1 \cdot \text{der} \alpha_1$$

De la componenta tangențială interesează doar direcția acesteia, perpendiculară în d_1^2 pe direcția radială centrică de fazor $\text{rad} \alpha_1$.

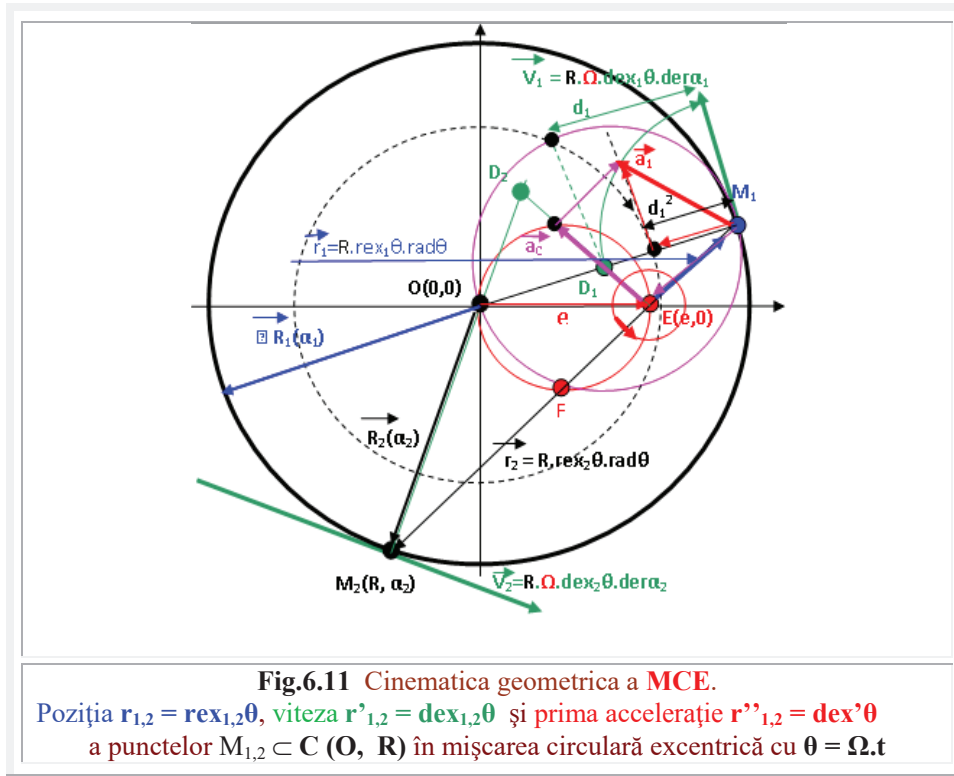
La intersecția acesteia, cu o perpendiculară dusă din extremitatea vectorului accelerație Coriolis \mathbf{a}_c , se va afla un punct în care se va situa vârful vectorului accelerație \mathbf{a}_1 al punctului M_1 în MCE pe cercul $C(\mathbf{O}, \mathbf{R})$, așa cum rezultă și din figură.

6.2. FUNCȚIA DERIVATĂ EXCENTRICĂ dex

Se vor sintetiza cele afirmate într-un tabel, în care, **MCE** se va exprima atât față de reperul cu polul în $O(0,0)$ cât și față de reperul cu polul în excentrul punct fix $E(e, \varepsilon)$. În ambele cazuri, valorile obținute fiind aceleași.

Câteva **concluzii** cu privire la această nouă mișcare mecanică, am numit astfel **MCE**, se impun:

- Suma **modulelor** razelor vectoare R_1 și R_2 din $O(0,0)$ este, evident egală cu **diametrul** cercului $2R$, care este și **coarda centrică**, pentru că trece prin $O(0,0)$, iar suma **modulelor** razelor vectoare r_1 și r_2 din excentrul $E(e, \varepsilon)$ este egală, în fiecare moment t , cu **coarda excentrică**, denumită astfel pentru că trece prin excentrul $E(e, \varepsilon)$ și pe care o vom nota cu **cdex θ** , adică



(6.52) $R(rex_1\theta + rex_2\theta) = 2 \cdot R \cdot cdex\theta$, comuna pentru ambele determinări.

Dacă cele două raze (vectoare) **centrice** R_1 și R_2 sunt coliniare numai pentru $e = s = 0$, dar au modulele în permanență egale cu raza R a cercului, razele vectoare excentrice, sau, pe scurt, **razele excentrice** $r_1 = R \cdot rex_1\theta$ și $r_2 = R \cdot rex_2\theta$ sunt în permanență coliniare dar nu sunt egale în modul, decât pentru $\theta = \pi/2 + \varepsilon$ când $rex_1\theta = -rex_2\theta$.

6.2. FUNCȚIA DERIVATĂ EXCENTRICĂ dex

În același caz, cele două determinări ale funcțiilor $\text{dex}_{1,2}\theta$ sunt egale între ele și de același semn și egale cu unitatea, însă vectorii viteza $\vec{v}_{1,2}.\text{der}\alpha_1$ și $\vec{v}_{2,2}.\text{der}\alpha_2$ au și ei modulele egale între ele și egale cu $R.\Omega$, însă sunt orientați diferit: direcțiile acestor doi vectori viteza intersectându-se într-un punct pe dreapta determinată de punctele $O(0,0)$ și $E(e, \epsilon)$.

Față de reperul $O(0,0)$	Față de reperul $E(e, \epsilon)$
$M_{1,2}(R_{1,2}, \alpha_{1,2}), \alpha_{1,2} = \theta - \beta_{1,2}$	$M_{1,2}(r_{1,2}, \theta), \theta = \alpha_{1,2} + \beta_{1,2}$
$\vec{R}_{1,2} = \vec{e} + \vec{r}_{1,2}$	
$\vec{R}_{1,2} = R.\text{rad}\alpha_{1,2}(\theta)$ $\alpha_{1,2} = \theta \text{ \textcircled{Y} } \arcsin[e.\sin(\theta - \epsilon)] = a\text{ex}_{1,2}\theta$	$\vec{r}_{1,2} = R.\text{rex}_{1,2}\theta.\text{rad}\theta$ $\theta = \alpha_{1,2} + \beta_{1,2} = A\text{ex}\alpha_{1,2}$
$\vec{v}_{1,2} = \vec{\omega}_{1,2} \times \vec{R}_{1,2}$ VITEZA $\vec{v}_{1,2} = \vec{\Omega} \times \vec{r}_{1,2}$	
$\dot{\vec{R}}_{1,2} = R.\frac{d[\text{rad}\alpha_{1,2}(\theta)]}{dt} =$ $R.\frac{d\alpha_{1,2}}{dt} \frac{d[\text{rad}\alpha_{1,2}(\theta)]}{d\theta} =$ $R.\omega_{1,2}.\text{der}\alpha_{1,2}(\theta) = R.\Omega.\text{dex}_{1,2}\theta.\text{der}\alpha_{1,2}$	$\dot{\vec{r}}_{1,2} = R.\frac{d(\text{rex}_{1,2}\theta.\text{rad}\theta)}{dt} =$ $R\Omega(\text{rex}'_{1,2}\theta.\text{rad}\theta + \text{rex}_{1,2}\theta.\text{der}\theta)$
ACCELERAȚIA	
$\ddot{\vec{R}}_{1,2} = R.\Omega^2 \frac{d(\text{dex}_{1,2}\theta.\text{der}\alpha_{1,2})}{d\theta} =$ $= R.\Omega^2 [\text{dex}'_{1,2}\theta.\text{der}\alpha_{1,2} -$ $- \text{dex}_{1,2}\theta.\text{rad}\alpha \frac{d\alpha}{d\theta}] =$ $= R.\Omega^2 [\text{dex}'_{1,2}\theta.\text{der}\alpha_{1,2} -$ $- \text{dex}_{1,2}^2\theta.\text{rad}\alpha_{1,2}] =$ $= R[\epsilon.\text{der}\alpha_{1,2} - \omega^2.\text{rad}\alpha_{1,2}] =$ $= \vec{a}_{1,2T} + \vec{a}_{1,2N}$ T, N \rightarrow Tangential, Normal (centric)	$\ddot{\vec{r}}_{1,2} = R.\Omega^2 (\text{rex}''_{1,2}\theta.\text{rad}\theta +$ $+ \text{rex}_{1,2}\theta.\text{der}\theta + \text{rex}'_{1,2}\theta.\text{der}\theta -$ $- \text{rex}_{1,2}\theta.\text{rad}\theta) =$ $= R.\Omega^2 [2\text{rex}'_{1,2}\theta.\text{der}\theta +$ $+ (\text{rex}''_{1,2}\theta - \text{rex}_{1,2}\theta)\text{rad}\theta] =$ $= R.\Omega^2 [\vec{a}_{1,2C} + \vec{a}_{1,2RE}] =$ $= R.\Omega^2 (\vec{a}_{1,2TE} + \vec{a}_{1,2RE})$ TE \rightarrow Tangential Excentric RE \rightarrow Radial Excentric C \rightarrow Coriolis
Tab. 6.1 Pozitia, viteza și accelerația în MCE exprimate față de două repere distincte	

- În matematica centrică (MC), pe lângă funcțiile arhicunoscute **cos**, **sin**, **tan**

6.2. FUNCȚIA DERIVATĂ EXCENTRICĂ dex

/ **tg, ctan / ctg, sec și cosec**, mai sunt utilizate și următoarele **funcții derivate**, mai rar utilizate, dar definite în lucrarea lui **Milton Abramowitz și Irene A. Stegun** „HANDBOOK OF MATHEMATICAL FUNCTIONS” Ed. National Bureau of Standards Applied Mathematics, Series 55, 1964 și tradusă în l.rusa (pag. 43...44)

(6.53) **Versine** de α , notată **vers α** și definită ca **vers $\alpha = 1 - \cos \alpha$**

(6.54) **Coversine** de α , notată **cversa** și definită ca **cversa $= 1 - \sin \alpha$**

(6.55) **Haversine** de α , notată **hava** și definită ca **hava $= \frac{1}{2} \text{versa}$** și

(6.56) **Exsecanta** de α , notată **exseca $= \sec \alpha - 1$**

Dacă **coarda centrică** nu-și găsea rostul, ca să fie introdusă în matematică, ea fiind o constantă, se vede din relația (6.52) că nu același lucru se întâmplă cu **coarda excentrică**, coardă care este o nouă funcție supermatematică circulară excentrică (**FSM-CE**), care merită privită cu mai mult interes în viitor decât în prezent.

- Deoarece

(6.57) **dex $_1\theta + dex_2\theta = 2$** , așa cum se poate constata din relațiile lor de definiție, dar și din figura **6.11**. rezultă pe cale de consecință că

(6.58) **$\omega_1 + \omega_2 = 2\Omega$** și că suma vitezelor celor două puncte $M_{1,2} \subset C(O,R)$, în fiecare moment t , este dublul vitezei medii pe o perioadă, adică

(6.59) $|\vec{v}_1| + |\vec{v}_2| = 2 R \cdot \Omega = 2 V_{\text{medie}}$

Mai rezultă că **D_1 și D_2** sunt centre **instantanee de rotație**, întrucât

(6.60) **$\vec{v}_1 = \Omega \cdot |D_1 M_1| = \Omega \cdot \vec{d}_1$ și $\vec{v}_2 = \Omega |D_2 M_2| = \Omega \cdot \vec{d}_2$**

Vitezele extreme, maximă (M) și minimă (m) sunt egal distanțate față de dreapta **$y = R \Omega$** , ca și funcțiile **dex $_1\theta$ și dex $_2\theta$** față de dreapta **$y = 1$** , deoarece

(6.61) **$v_{1,2m,M} = R \cdot \Omega (1 \pm s) = \Omega (R \pm e)$** , astfel că

(6.62) **$v_{1,2m} + v_{1,2M} = v_{\text{med}} = 2 \cdot R \cdot \Omega$**

La aceeași concluzie se ajunge și în felul următor: Știind că

(6.63) $\alpha_{1,2} = \theta - \beta_{1,2} \rightarrow \begin{cases} \alpha_1 = \theta - \beta_1 \\ \alpha_2 = \theta - \beta_2 \end{cases}$ și că **$\beta_1 + \beta_2 = \pi$** , rezultă

(6.64) **$\alpha_1 + \alpha_2 = 2\theta - \pi$ și $d\alpha_1 + d\alpha_2 = 2d\theta$** și, prin împărțire cu **dt** , rezultă

(6.65) **$\omega_1 + \omega_2 = 2 \cdot \Omega$** .

- Considerând **$\Omega = ct$** și diferențiind relația anterioară rezultă

(6.66) **$d\omega_1 + d\omega_2 = 0$** și împărțind relația cu **dt** se obține egalitatea modulelor, dar de semne contrare, în fiecare moment, a accelerațiilor unghiulare

(6.67) **$\epsilon_1 + \epsilon_2 = 0 \rightarrow \epsilon_1 = -\epsilon_2$** .

- Vectorul accelerație (absolută), ca oricare alt vector poate fi descompus după oricare pereche de direcții ortogonale. Mai importante sunt direcția normală (v) și tangentă (τ) în $M_{1,2}$ la cercul $C(R,O)$, apoi direcțiile radială (**\vec{r}** sau **rad θ**) și derivată (**\vec{d}** sau **der θ**) precum și componentele clasice ale accelerației absolute: accelerația de **transport (a_t)**,

6.2. FUNCȚIA DERIVATĂ EXCENTRICĂ dex

acelerația **relativă** (\mathbf{a}_r) și accelerația **Coriolis** (\mathbf{a}_c), dintre care \mathbf{a}_t și \mathbf{a}_r sunt orientate pe direcția radială excentrică (\vec{r} sau $\text{rad } \theta$) și sunt de semne contrare, așa cum se poate constata și din figura 6.11. Prin urmare, neglijând scrierea cu indicii 1,2

$$(6.68) \quad \vec{a} = \vec{a}_v + \vec{a}_\tau = \vec{a}_r + \vec{a}_d = \vec{a}_r + \vec{a}_t + \vec{a}_c$$

Așa cum s-a enunțat anterior, vectorul accelerației punctului M_1 din figura 6.11 a fost dedus cunoscându-se mărimile / modulele componentelor accelerațiilor normală

$$\vec{a}_{v1,2} = -\mathbf{R} \cdot \Omega^2 \text{dex}_{1,2}^2 \theta \cdot \text{rad} \alpha_{1,2} \quad \text{și accelerația Coriolis}$$

$$\vec{a}_{c1,2} = 2 \cdot \vec{\Omega} \times \frac{d\vec{r}_{1,2}}{dt} = 2 \cdot R \cdot \Omega^2 \cdot \sqrt{\text{dex}_{1,2}^2 - \text{rex}_{1,2}^2} \cdot \text{der} \theta = 2R \cdot \Omega^2 \cdot \text{dex}_{1,2} \theta \cdot \sin \beta_{1,2} \cdot \text{der} \theta$$

precum și direcțiile accelerațiilor tangențiale (\vec{a}_τ) și a celei radiale excentrice \mathbf{r} sau de fazor $\text{rad} \theta$, perpendiculară pe vectorul accelerației **Coriolis** de pe direcția \vec{d} sau a fazorului $\text{der} \theta$.

7. Cel mai general caz posibil al transmisiilor prin fricțiune și particularizări la transmisii cu roți (dințate și/ sau cu fricțiune)

Cazul a fost prezentat în figura 6.6, în care, roata cu fricțiune **1**, conducătoare, are axa fixată într-o culisă oscilantă, în excentrul - punct mobil $\mathbf{E}(\mathbf{e}, \epsilon)$.

Culisă, la rândul ei, este fixată în **brațul turnant** denumit și **portsateliti**, care se rotește în jurul centrului roții conduse **2**, cu axa în centrul $\mathbf{O}(\mathbf{0}, \mathbf{0})$ cu viteza unghiulară $\Omega = 1$ rad/s. Același caz este prezentat mai schematic și în prima parte a **tabelului 6.2** în care mai sunt prezentate, în continuare, diversele variante posibile plecând de la cel mai general caz posibil, denumit **transmisie generală sau universală cu roți**, caz nestudiat în literatura de specialitate (Teoria mecanismelor și a mașinilor).

Cel mai general caz, studiat în literatura de specialitate, este cel al diferențialului, care se obține din cazul general pentru o poziție fixă pe brațul port satelit al axei roții satelit, adică pentru o viteză relativă a centrului roții **2** pe brațul port satelit nulă ($\mathbf{V}_E = \mathbf{0}$).

Dacă brațul port satelit este fix, împreună cu cele două centre $\mathbf{O}(\mathbf{0}, \mathbf{0})$ și $\mathbf{E}(\mathbf{e}, \epsilon)$ și, evident și cu „**linia centrelor**” atunci cazul general se reduce la cel mai simplu caz studiat, al unor transmisii cu roți dințate, angrenate interior sau exterior, așa cum se prezintă în primele aplicații din **tabelul 6.2**.

În continuarea **tabelului 6.2** sunt prezentate cazurile unor **mecanisme planetare**, în care coroana dințată interior sau cu fricțiune și, respectiv, roata dințată exterior sau cu fricțiune are rotația blocată, adică este fixă ($\omega_1 = \mathbf{0}$).

8. Transmisii cu manivele paralele și cu roți (dințate sau cu fricțiune)

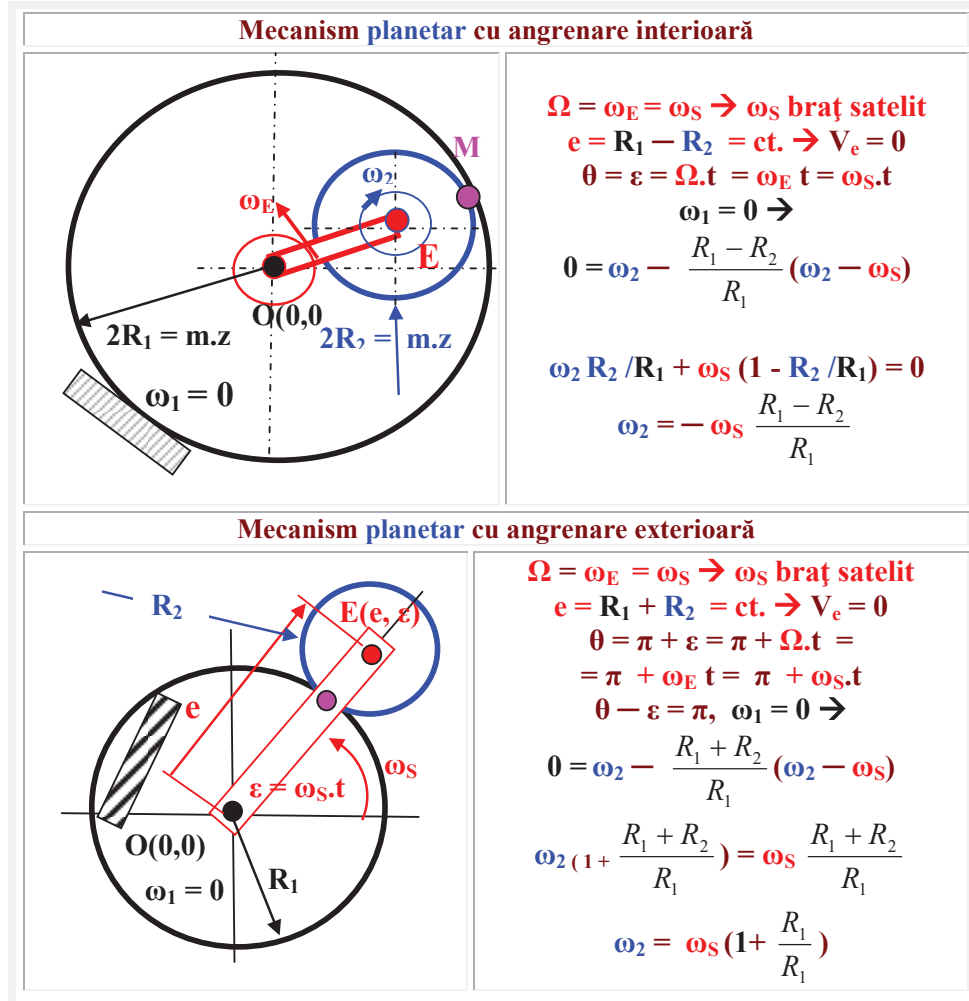
Se folosesc în construcția capetelor multiaxe la multiplicarea și distribuirea mișcărilor de rotație. Transmisile în exclusivitate cu manivele paralele au marele avantaj că pot asigura distanțe \mathbf{L} (v. **Tab. 6.3**) foarte apropiate dintre axele arborilor

6.2. FUNCȚIA DERIVATĂ EXCENTRICĂ dex

portsculă și dezavantajul că toate sculele primesc o aceeași turație $n_{S1} = n_C$, egală cu turația arborelui conducător n_C .

Tabelul 6.2	
Transmisia generală / universală cu roți	
	$R_1 = m z_1 / 2, R_2 = m z_2 / 2 \rightarrow ct.$ $\alpha, \beta, \theta, e, s = e / R_1, \varepsilon \rightarrow \text{Variabile}$ $\alpha = \theta - \beta, \frac{d\alpha}{dt} = \omega_1, \frac{d\theta}{dt} = \omega_2$ $\alpha = \theta - \arcsin[e \cdot \sin(\theta - \varepsilon)] \rightarrow$ $\omega_1 = \omega_2 -$ $\frac{\omega_2 - \omega_e}{R_1} [e \cdot \cos(\theta - \varepsilon) + V_E \cdot \sin(\theta - \varepsilon)]$ $\frac{1}{\sqrt{1 - s^2 \sin^2(\theta - \varepsilon)}}$ $V_E = e', \omega_e = d\varepsilon / dt$
Roți (dințate sau cu fricțiune) cu angrenare interioară	
	$\theta = \varepsilon = 0 \rightarrow \Omega = \omega_e = 0$ $e = R_1 - R_2 = ct. \rightarrow V_E = e' = 0$ $R_1 = m \cdot z_1 / 2, R_2 = m \cdot z_2 / 2$ $\omega_1 = \omega_2 \left(1 - \frac{R_1 - R_2}{R_1} \right)$ $\omega_1 = \omega_2 \left(R_2 / R_1 \right)$ și $n_2 = n_1 (z_2 / z_1)$ $\omega_i = 2 \pi n_i \rightarrow n_i = \omega_i / 2\pi$
Roți (dințate sau cu fricțiune) cu angrenare exterioară	
	$\theta = \pi, \Omega = \omega_e = 0, \varepsilon = 0$ $e = R_1 + R_2 = ct. \rightarrow V_E = e' = 0$ $R_1 = m \cdot z_1 / 2, R_2 = m \cdot z_2 / 2$ $\omega_1 = \omega_2 \left(1 - \frac{R_1 - R_2}{R_1} \right)$ $\omega_1 = \omega_2 \left(- R_2 / R_1 \right)$ și $n_2 = - n_1 (z_2 / z_1)$

6.2. FUNCȚIA DERIVATĂ EXCENTRICĂ dex



Pentru a diversifica turațiile sculelor, în funcție de necesitățile schemei de prelucrare, adică în funcție de dimensiunile / diametrele orificiilor de prelucrat, se folosesc sisteme hibride de transmisii cu manivele paralele și cu roți dințate [v. **Mircea Eugen Șelariu**, ș.a PROIECTAREA DISPOZITIVELOR. CAPETE MULTIAXE, Partea I-a: Construcție și exploatare, Centru de Multiplicare al IPTVT, 1980].

O astfel de transmisie este prezentată schematic în **tabelul 6.3**.

Se compune dintr-un **arbore conducător** care imprimă o turație $n_e = n_c$, datorită rotirii brațului excentric **e** al manivelei, denumită manivelă conducătoare, unei plăci cu o mișcare de **translație rotativă**, prin care fiecare punct al acestei plăci

6.2. FUNCȚIA DERIVATĂ EXCENTRICĂ dex

(denumită și intermediară) descrie o mișcare circulară cu aceeași **rază e**, egală cu **excentricitatea e a manivelei** și cu aceeași **turație n_C**.

Pentru evitarea rotirii plăcii intermediare în jurul axei arborelui conducător, s-a introdus o a doua manivelă, cu aceeași excentricitate **e**, denumită și **manivelă moartă**, cu axa de rotație fixă în punctul **O_{MM}**. În figură, placa intermediară este simbolizată de **bara verticală** pe care sunt fixate, fără posibilități de rotire față de această bară, două roți (dințate sau cu fricțiune de rază **R₂**) care transmit mișcarea la roțile denumite și **roți finale** de rază **R₁** de pe arborii portsculă.

Tabelul 6.3	
	<p>Relația generală:</p> $\omega_1 = \omega_2 - \frac{(\omega_2 - \omega_1)[e \cdot \cos(\theta - \varepsilon) + V_e \sin(\theta - \varepsilon)]}{\sqrt{R_1^2 - e^2 \sin^2(\theta - \varepsilon)}}$
	<p>Condiții pentru angrenarea exterioră (sus)</p> <p>$\omega_2 = 0$, $\omega_e = 2\pi \cdot n_C$, $V_e = 0$, $(\theta - \varepsilon) = \pi$, $\omega_C = \omega_e$, $e = R_1 + R_2$</p> <p>Rezultă</p> <p>$\omega_1 = \omega_2 - (\omega_2 - \omega_C)(1 + R_1 / R_2)[(-1)]$ $\omega_1 = \omega_C(1 + R_1 / R_2)$ sau $n_{S1} = n_C(1 + z_2 / z_{S1})$</p>
	<p>Condiții pentru angrenarea interioară (jos)</p> <p>$\omega_2 = 0$, $\omega_e = 2\pi \cdot n_C$, $V_e = 0$, $(\theta - \varepsilon) = \pi$, $\omega_C = \omega_e$, $e = R_1 - R_2$</p> <p>Rezultă</p> <p>$\omega_1 = \omega_2 - (\omega_2 - \omega_C)(1 + R_1 / R_2)$ $\omega_1 = \omega_C(1 - R_1 / R_2)$ sau $n_{S1} = n_C(1 - z_2 / z_{S1})$</p>
<p>Transmisii hibride cu manivele paralele și cu roți (dințate sau cu fricțiune)</p>	

Roata **superioară** se angrenează în **exterior** cu **roata finală**, în timp ce **roata inferioară** se angrenează cu o **coroană**, deci sunt într-o angrenare interioară.

6.2. FUNCȚIA DERIVATĂ EXCENTRICĂ dex

Condițiile prin care de la relația generală $\omega_2 = \omega_1 \cdot \text{dex}[\theta, E(e, \varepsilon)]$, cu **FSM-CE** $\text{dex}\theta$, pentru cel mai general caz, când toți parametri sunt variabili, se ajunge la particularizările acestei transmisii sunt indicate în **tabelul 6.3**.

Se va considera un nou caz, neprezentat în **tabelul 6.3**. Fixarea, în locul roților exterioare, din partea superioară a desenului, a unei **coroane** interioare, de raza $R_2 = m \cdot z_2 / 2$, pe placa intermediară și angrenarea ei cu aceeași roată (cu angrenare exterioară) de pe arborele port sculă cu roata, din partea superioară a desenului, de rază $R_1 = m \cdot z_1 / 2$, în care **m** este **modulul** roților dințate din angrenare și $z_2 \gg z_1$. În acest ultim caz, se observă că arborele portsculă se va roti în același sens cu coroana, deci, față de situația anterioară, va schimba de sens, obținându-se relația pentru turația sculei, exprimată de viteza unghiulară ω_s sau de turația n_s ,

$$(6.69) \quad \omega_s = \omega_1 = -\omega_2 (1 - R_1/R_2) \quad \text{sau} \quad n_s = n_1 = -n_c (1 - n_1/n_2).$$

Alte exemple de utilizare a **FSM-CE** în tehnică, utilizând și funcția $\text{dex}\theta$, la intermitoarele cu cruce de **Malta**, de exemplu, sunt prezentate în capitolul următor.

Nu putem încheia acest capitol fără a prezenta construcția unui cap multiax de burghiere.



Cap multiax

7. ANALIZA CALITĂȚII MIȘCĂRILOR PROGRAMATE CU FSM

Motto: ” **Calitatea** este defectul care știe să se facă util ”
M.Maeterlinck **Le double jardin**

Capitolul 7

ANALIZA CALITĂȚII MIȘCĂRILOR PROGRAMATE CU FUNCȚII SUPERMATEMATICE CIRCULARE EXCENTRICE

7.1 Asupra calității

Calitatea exprimă însușirile principale, esențiale, ale obiectelor și ale sistemelor, în raport cu procesele materiale și/sau spirituale la care iau parte, prin stabilirea unor criterii cantitative de satisfacere optimă a exigențelor societății.

Asigurarea calității (**CAQ: Computer Aided Quality Assurance**) cuprinde conceptul de calitate începând de la controlul calității de conformanță (fidelitate) cu modelul specificat, controlul serviciilor oferite de produs, controlul defectelor și până la controlul calității concepției și a proiectării produsului, adică a design-ului. În acest fel calitatea parcurge într-un circuit închis ansamblul economiei.

Există o politică a calității, **calitatea** se **planifică**, calitatea se **fabrică**, calitatea se **comercializează** (se vinde și se cumpără) și calitatea se **ameliorează** prin așa-zisa „**pârghie a calității**”.

Aceasta indică faptul că, dacă **ameliorarea calității** produsului, la fabricarea lui, se poate realiza într-un raport al pârghiei de **1 : 1**, la concepția tehnologiei lui de fabricare raportul pârghiei poate fi de **10 : 1**, în timp ce la concepția și proiectarea lui, adică la realizarea design-ului lui acest raport este de **100 : 1**.

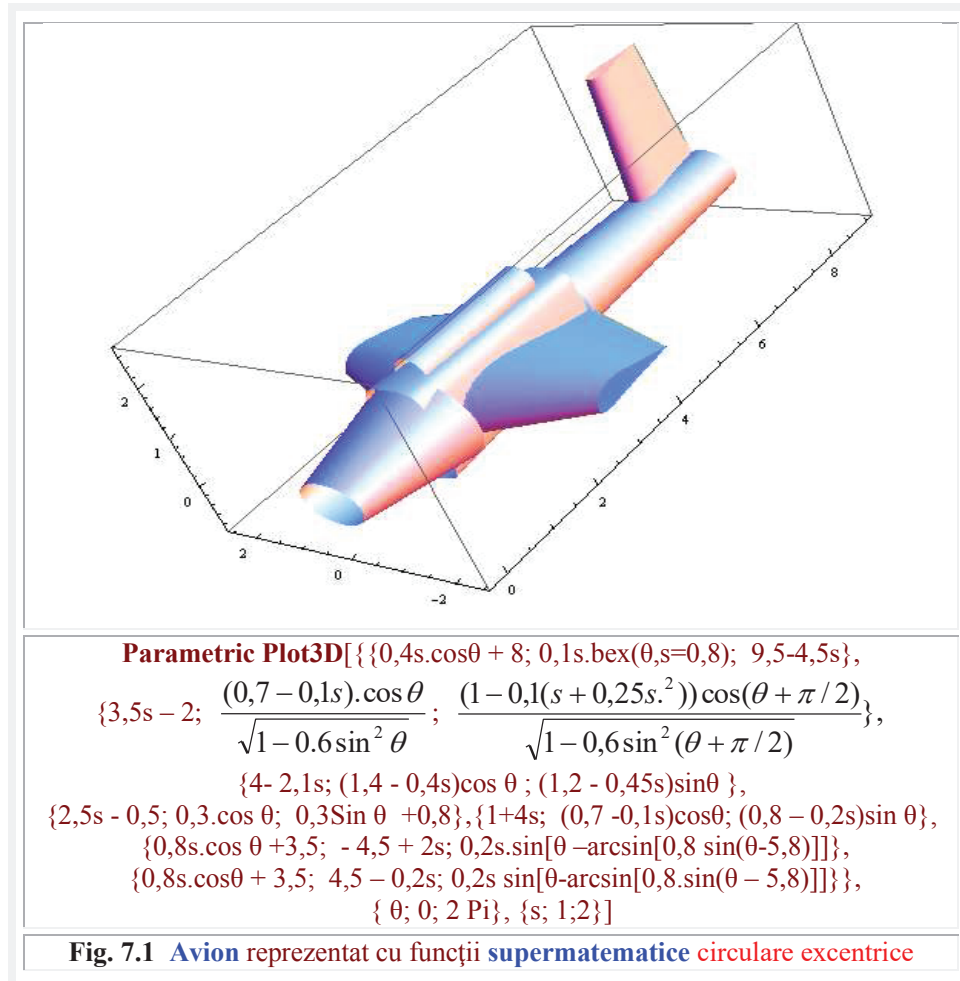
Acest lucru reliefează pregnant importanța primei faze, din activitatea de creere a unui nou produs, cea de **design** al acestuia, adică de **concepție și proiectare**.

Așa cum s-a mai specificat [v. articolul **Mircea Șelariu**, „CALITATEA CONTROLULUI CALITATII”, Lucrările Simpozionului AGIR „Controlul calității” Drobeta-Tr.-Severin] există o activitate, înaintea **design**-ului și pe care acesta se bazează, care poate realiza o amplificare și mai mare a pârghiei calității, și anume, de **1000 : 1** și consistă în ridicarea calității cunoștințelor noastre din domeniul de vârf al științei, domeniu în care se cuprinde și **Matematica** și, în special, **Supermatematica**, care multiplică la infinit toate funcțiile periodice și introduce, așa cum s-a văzut, multe funcții periodice noi, de importanță majoră, oferindu-ne o plajă vastă de noi posibilități de afirmare în domeniul ridicării calității **design**-ului.

7.2 Despre design și conexiunea lui cu supermatematica

O parte din ce în ce mai însemnată a omenirii, cea cu o calificare din ce în ce mai înaltă, la care va contribui din plin, în viitor și **supermatematica**, folosindu-se de o tehnică din ce în ce mai înaltă, mai perfecționată și mai sofisticată, de informare,

7. ANALIZA CALITĂȚII MIȘCĂRILOR PROGRAMATE CU FSM



vizualizare, programare, dimensionare, verificare și de execuție, își desfășoară activitatea în domeniul **design**-ului.

Designul tehnologic utilizează imaginația, informația tehnică și principiile științifice pentru definirea unei structuri, a unui sistem tehnic sau a unui element destinat să efectueze **funcții prestabilite**, cu **performanțe impuse**, în condiții **raționale**. Adică, cu **minimum** de efort uman (fizic și intelectual) și efort material să se obțină **maximum** de calitate și de eficiență economică.

Evident, o situație ideală: fără cheltuieli (prea mari) să devii miliardar. Numai în România acest lucru este, după cum se știe, posibil și, se cunoaște și prin ce mijloace. Ei bine, acum și știința supermatematicii v-a facilitat, prin mijloace corecte,

7. ANALIZA CALITĂȚII MIȘCĂRILOR PROGRAMATE CU FSM

această posibilitate. Dar, de la posibilitate la realizare e un drum lung ! Fără « găuri de vierme » !

Urmărind stabilirea, în mod corect, a componentelor unei structuri fizice, **design**-ul este o activitate cu scop precis, orientată spre rezolvarea unor probleme tehnice concrete /date, care implică un proces de decizie în condiții de incertitudine, deci de risc, cu penalizări mari în caz de eșec.

Design-ul este o activitate creatoare, ce dă viață unui lucru/produs nou și util, anterior inexistent, constituind un act de încredere foarte complicat, o muncă pe care mulți o fac cu greu și pe care nimeni nu o poate explica în mod satisfăcător, după afirmațiile lui **Chr. Jones** [**DESIGN. METODE SI APLICATII**, Editura Tehnica, București, 1975, Traducere din limba engleză].

Tot el a enunțat una dintre cele mai generale și mai apropiate de realitate definiții ale **design**-ului:

O inițiere a schimbării lucrurilor create de om

și, adăugăm noi, cuprinzând piese scrise și piese desenate, ale unui proiect, înmagazinate pe hârtie în epoca **Gutenberg**, sau pe un alt suport de memorare, în epoca modernă, și, de ce nu, în una sau mai multe relații matematice, acum și, în special, în viitorul apropiat. Pentru exemplificare, s-a prezentat în figura 7.1 un **avion** și relațiile sale matematice care-l descriu.

Aripile avionului din figură nu au profilele descrise cu funcții spline, un fel de florar matematic, ci sunt profilele aerodinamice **Carafoli** cu bot de fugă rotunjit, asimetrice, iar **coada** cu aceleași profile simetrice.

Fuselajul poate fi modificat după dorință, doar schimbând valoarea excentricității numerice **s**, de la unul pătrat sau dreptunghiular, de excentricitate numerică **s = 1** la unul circular sau eliptic de excentricitate numerică **s = e = 0**; în matematica excentrică (**ME**), așa cum s-a mai spus, cercul și pătratul, elipsa și dreptunghiul au aceleași ecuații parametrice, așa cum s-a văzut într-un capitol anterior.

Pe website-urile <http://www.supermatematicaonline.blogspot.ro>, <http://www.supermatematica.org> ; <http://www.supermatematica.com> și pe <http://www.SuperMatematica.ro> pot fi văzute, ca să nu zicem admirate, pe lângă avion și alte obiecte / forme cum sunt **casă**, **fotoliul**, **pernă** și multe altele obiecte (super)matematice hibride.

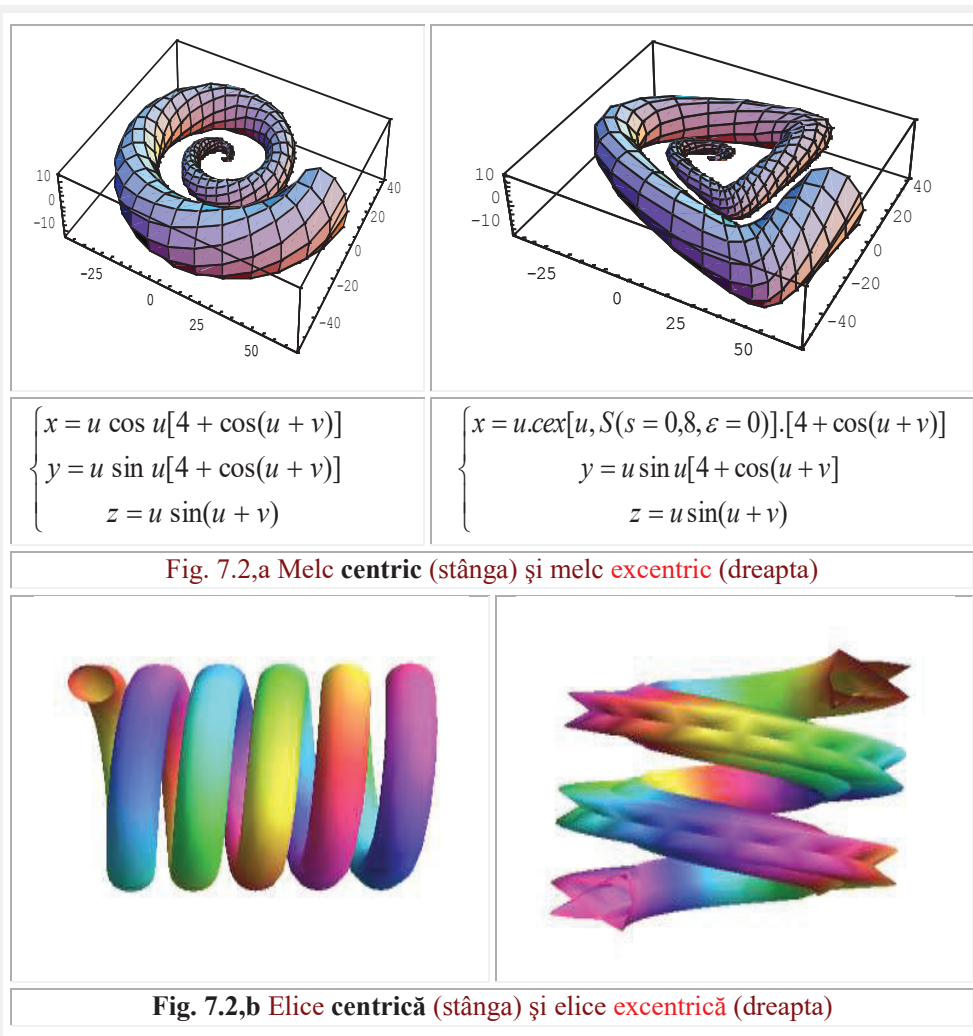
Multiplele programe de proiectare asistate de calculator folosesc acum calculatorul ca pe o planșetă de desen, în sensul că se trag linii, se intersectează, ce-i de prisos se șterge s.a.m.d.. Utilizându-se **FSM** există posibilitatea realizării dintr-odată / direct a diverselor forme plane sau în 3D, printr-un nou sistem de programare denumit **SM-CAD-CAM**.

Realizând saltul imaginativ de la faptele prezentului la posibilitățile viitorului, **design**-ul este un act temerar, cutezător. El este o activitate hibridă, ale cărei șanse de izbândă depind de îmbinarea armonioasă și fericită a **artei cu știința** și cu **matematica**, sau, de ce nu, în special cu **supermatematica**.

Artiștii și **oameni de știință** operează asupra lumii fizice actuale, iar **matematicienii** asupra unor relații abstracte, independente de timpul istoric.

7. ANALIZA CALITĂȚII MIȘCĂRILOR PROGRAMATE CU FSM

Specialiștii în **design – inginerii** – sunt condamnați pe veci să trateze ca reale lucruri care vor exista doar în viitorul imaginat de ei și trebuie să precizeze căile și mijloacele prin care, cele prevăzute, pot fi făcute să existe.

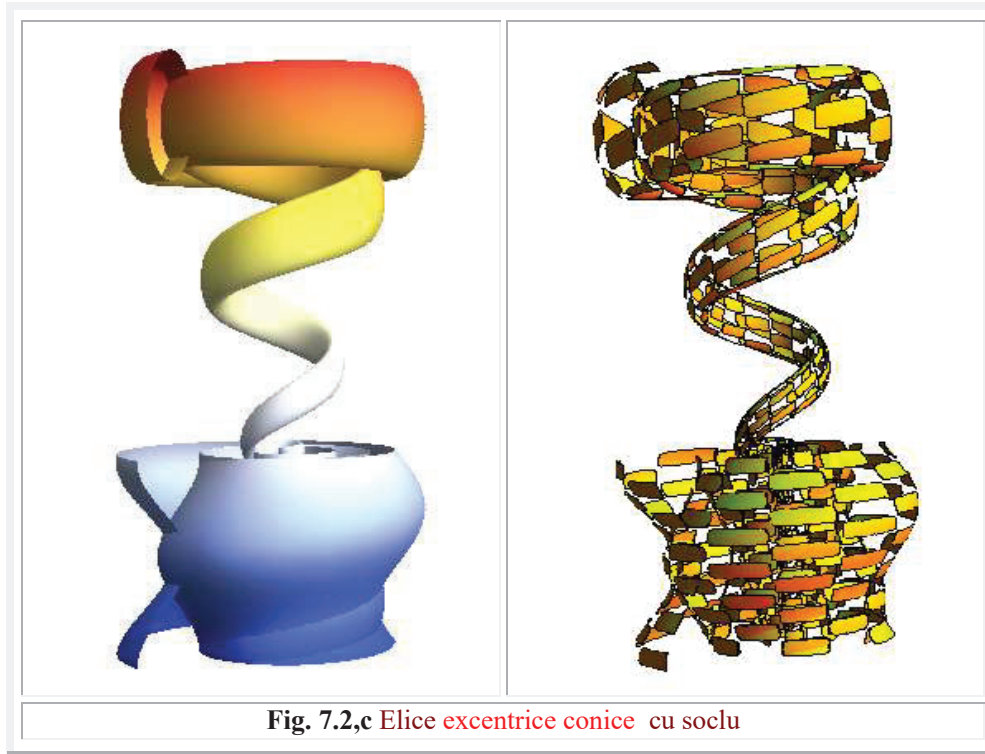


Astăzi, **inginerului proiectant** i se cere tot mai mult să fie un **creator**. După **Lucian Blaga**, creația este **singurul surâs** al tragediei noastre. ” *Creator este acela care vede ca toată lumea, dar visează ca nimei altul* ”, a zis **Sorin Comoroșan**.

Informatica și, în primul rând, **matematica**, este aceea care vine în sprijinul proiectantului, ajutându-l să-și vizualizeze visele pe ecranul unui calculator sau a unei stații grafice.

7. ANALIZA CALITĂȚII MIȘCĂRILOR PROGRAMATE CU FSM

Realitatea virtuală a apărut și, în domeniul imaginii calculate, **supermatematica** va aduce cu siguranță substanțiale facilități.



Printre primele se află multiplicarea la infinit a tuturor entităților matematice. Pornind de la **melcul centric**, reprezentat exclusiv cu funcții centrice, în stânga figurii 7.2,a prin înlocuirea funcției $\cos u$ cu **FSM-CE cexu**, pentru fiecare valoare dată excentricității numerice s se va obține o altă formă de **melc excentric** (dreapta). În dreapta figurii 7.2,a **$S(s = 0,8, \varepsilon = 0)$** . În figura 7.2,b sunt prezentate elice centrice și excentrice, care pot constitui piese mecanice frecvent utilizate în tehnică, denumite arcuri elicoidale. Unele elice, ca cele prezentate în figura 7.2,c au, pe lângă utilitate tehnică și atribute estetice.

Este suficient să se privească graficele unor **FSM-CE**, ca cele din figurile 7.3 și 7.4 pentru a se observa posibilitatea utilizării lor în locul funcțiilor polinomiale.

Funcția **sex₁ θ** a și fost utilizată cu succes la proiectarea unei came de comandă a unui mecanism de rețezare a mașinii de îndreptat bare, fabricată de Electrotimiș din Timișoara și livrată cu dispozitivul de sudat plase. Cu noua funcție, în locul celor polinomiale, recomandate de literatura de specialitate, accelerația maximă s-a redus la jumătate, cama având o comportare în funcționare excelentă, peste așteptări.

7. ANALIZA CALITĂȚII MIȘCĂRILOR PROGRAMATE CU FSM

Dacă, cu mulți ani în urmă, proiectantul se mulțumea să realizeze anumite mișcări cu diverse dispozitive, acum pretențiile sunt cu mult mai mari.

Astăzi se vorbește de calitatea sunetului, de **calitatea produselor**, de **calitatea serviciilor** ș.a, dar și de **calitatea mișcării**. Se zice că oricine poate să **miște** dar numai specialiștii o fac în mod **inteligent**, adică, obțin o **mișcare de calitate**. Ce înseamnă o mișcare de calitate?

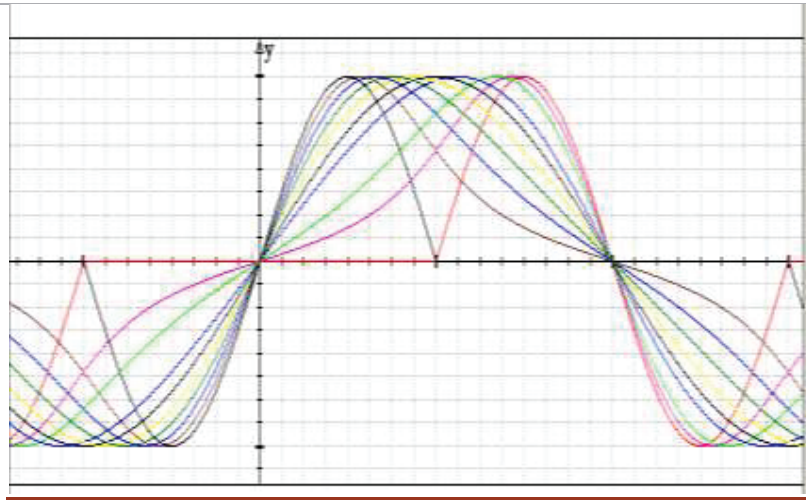


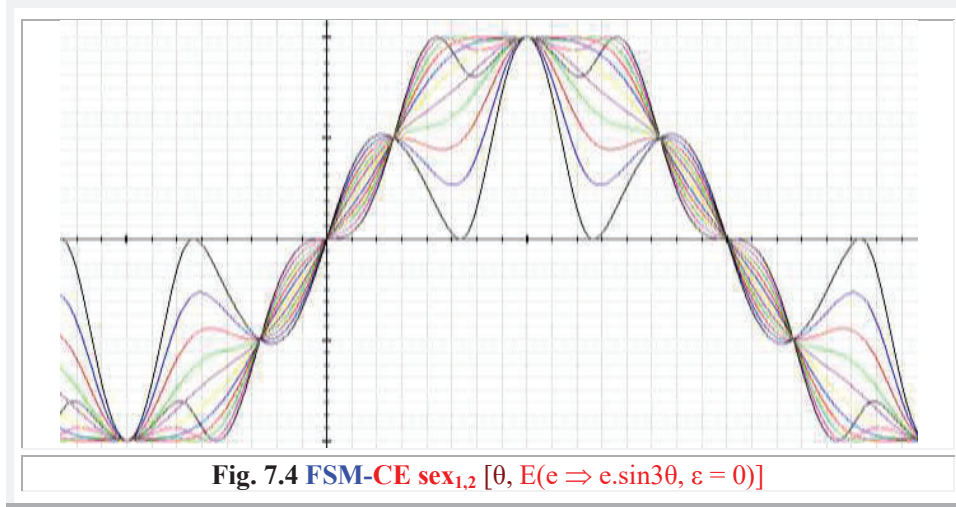
Fig.7.3 FSM-CE $sex_{1,2}$ [0], cu $S(s \in [-1, 1], \varepsilon = 0)$ și pasul 0,2

1. Asigurarea continuității spațiului/deplasării, vitezei și a accelerației, pentru reducerea forțelor de inerție, a șocurilor și a vibrațiilor parazite;
2. Reducerea vitezelor și/sau, în special, a accelerațiilor **maxime**, pentru reducerea puterii maxime și efective de acționare și/sau reducerea timpilor de realizare a anumitor operații tehnologice, ca și pentru realizarea unui mers cât mai uniformă și mai linistit;
3. Realizarea unei integrale a deplasării în funcție de timp (denumită **cronosecțiune**) maximă, la mecanismele de distribuție, de exemplu, pentru reducerea consumului de carburant.

Un exemplu cunoscut de specialiști, este prezentat de firma germană **Schütte** la construcția dispozitivului de divizare (intermitor cu **cruce de Malta**) al strungului automat multiax, fabricat de ea și necesar mișcării circulare intermitente a celor 6 arbori principali ai acestui strung. Prin înlocuirea unui intermitor normal/clasic, cu antrenor cu mișcare **circulară**, cu unul cu mișcare **epicicloidală**, mișcare realizabilă cu ajutorul **FSM-CE**, așa cum s-a prezentat în mai multe lucrări [Mircea Șelariu, „DISPOZITIVE DE PRELUCRARE”, Cap.17 din Sanda-Vasii Rosculeț, Șelariu

7. ANALIZA CALITĂȚII MIȘCĂRILOR PROGRAMATE CU FSM

Mircea, ș.a. „PROIECTAREA DISPOZITIVELOR” EDP, Buc, 1982, pag 474...542 și Staicu Florențiu, Mircea Șelariu „CICLOIDE EXPRIMATE PRIN FUNCȚII $\text{rex}\theta$ și $\text{Rex}\alpha$ „TEHNO’95, Vol.7: Mecatronica, dispozitive și roboți industriali, Timișoara], accelerația maximă s-a redus la jumătate.



Ca urmare, la aceeași durată de realizare a unei divizări, puterea de acționare s-a micșorat considerabil, iar, la aceeași putere, durata divizării a putut fi scurtată, conducând la importante economii de timp și la creșterea capacității de lucru a strungului și, implicit, la creșterea productivității muncii; la timpul de prelucrare al unei piese, pe strunguri cu 6 axe (de fapt, denumirea corectă este de «arbori principali»), timpul de divizare intrând de 6 ori.

Impresionați de realizările/succesele firmei **Schütte** s-a trecut la realizarea unui studiu mai aprofundat [35] al intermitoarelor cu cruce de **Malta**, realizându-se o generalizare importantă a mai multor tipuri de astfel de intermitoare, așa cum se va prezenta în continuare, generalizare facilitată de apariția/existența **FSM-CE**.

7.3 Generalizarea studiului intermitoarelor cu cruce de Malta clasice.

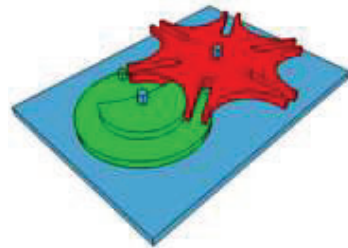
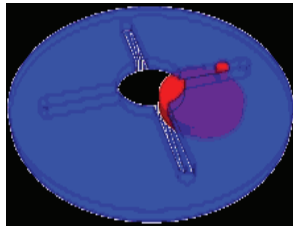
Două tipuri de intermitoare cu cruce de **Malta**, primul cu antrenare interioară (tip 1) și a doilea cu antrenare exterioară (tip 2) sunt prezentate schematic în figura 7.5.

În literatura engleză acest mecanism este cunoscut sub denumirea de “Geneva mecanism” și, un astfel de mecanism cu divizarea în 6 părți ($z = 6$), preluat de pe **Wikipedia** (http://en.wikipedia.org/wiki/Geneva_drive), acolo cu posibilități de animație este prezentat în figura 7.5-sus.

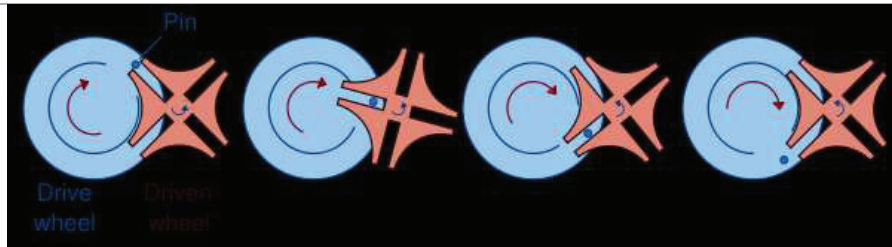
Intermitoarele sunt dispozitive cu mișcare de rotație periodică, denumite și dispozitive de divizare a unei rotații sau circumferințe de 2π în z părți egale, utilizate în

7. ANALIZA CALITĂȚII MIȘCĂRILOR PROGRAMATE CU FSM

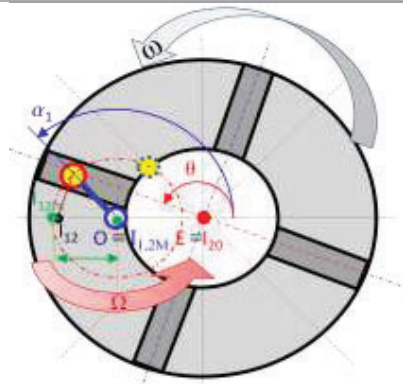
componenta mașinilor unelte agregate de prelucrare mecanică, când li se cere o rigiditate mare și la linii automate rotorice sau dispozitive agregate de asamblare mecanică a unor produse de dimensiuni mai reduse, când li se cere o viteză mare de divizare. Mecanisme de divizare ale acestor dispozitive, transformă mișcarea continuă a antrenorului, cu viteza unghiulară $\omega_1 = \Omega = ct.$, în sens **sinistrorum** sau levogin, la



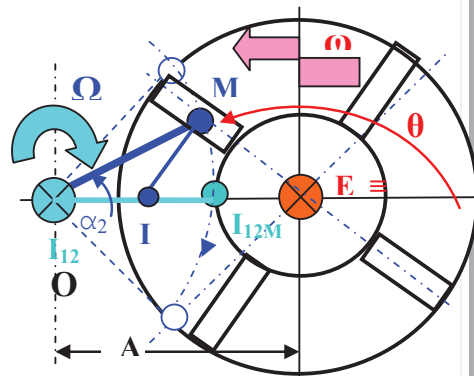
http://en.wikipedia.org/wiki/Geneva_drive



Mecanism intermitor **Geneva** tip 1 cu $z = 4$ și tip 2 cu $z = 6$



Tip 1 cu antrenare interioară



Tip 2 cu antrenare exterioară

Fig. 7.5. Intermitoare clasice cu cruce de Malta de tip 1 și 2

7. ANALIZA CALITĂȚII MIȘCĂRILOR PROGRAMATE CU FSM

tip 1 (Fig. 7.5) și în sens invers, **dextrorum** sau dextrogin la **tipul 2** într-o mișcare intermitentă a discului sau a mesei/platoului 2. Antrenorul 1 este fixat printr-un bolț de un disc special, care are și funcția de frânare, sau de împiedecare a rotirii discului divizor, în momentele în care antrenorul iese din cele z canale ale acestuia, neprezentat în figuri, timp în care discul divizor staționează într-una din cele z poziții .

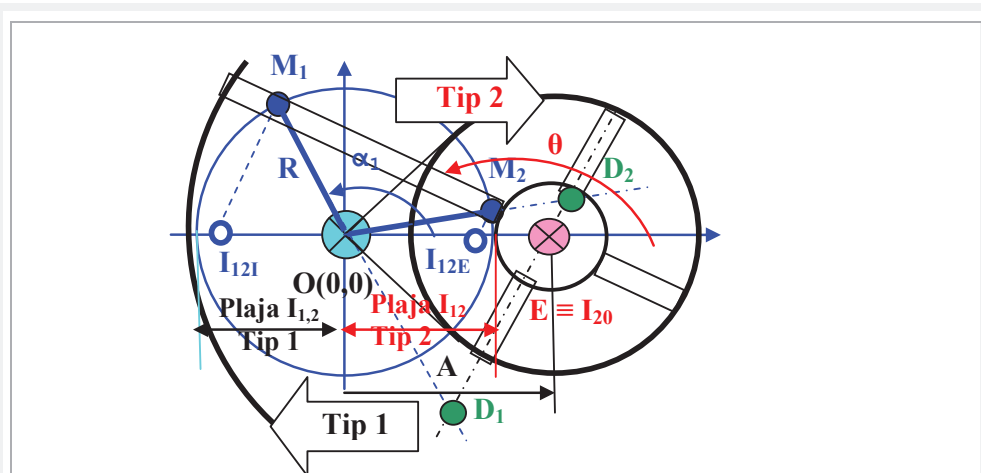
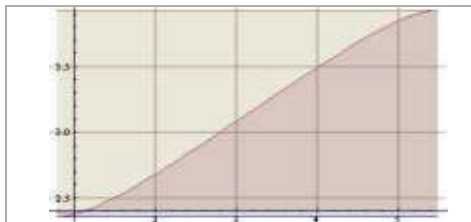


Fig. 7.6 Intermitor cu cruce de Malta (mecanism Geneva) generalizat

ROTAȚIA / SPĂȚIUL



$$\alpha \in \left[-\frac{\pi}{4}, \frac{\pi}{4}\right] \rightarrow$$

$$\rightarrow \theta \in \left[3\frac{\pi}{4}, 5\frac{\pi}{2}\right]$$

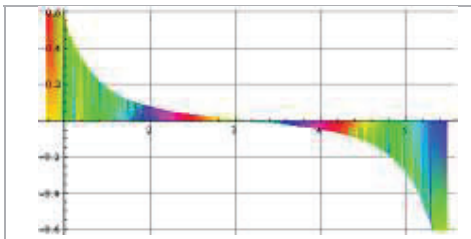
$$\theta = \pi - \arctan \frac{\sin \alpha}{\frac{1}{\sin \frac{\pi}{z}} - \cos \alpha}$$

$$R = 1, e = s = \frac{1}{\sin \frac{\pi}{z}}$$

VITEZA UNGHIULARĂ



ACCELERAȚIA



Mărimi cinematice ale mecanismului intermitor
cu cruce de Malta (MICM) de Tip 1

În **figura 7.5**, $z = 4$ și $z = 6$ și rareori se construiesc astfel de dispozitive cu z mai mare, deoarece pentru o divizare în mai mult decât 4 sau 6 părți, între discul divizor și platou/masă se interpune o transmisie cu roți dințate care transformă $z = 4$ într-un z oarecare, dorit. Transmisia cu roți dințate nu împiedică asupra preciziei de divizare, dacă se prevăd fixatori care stabilesc precis poziția finală, după divizare.

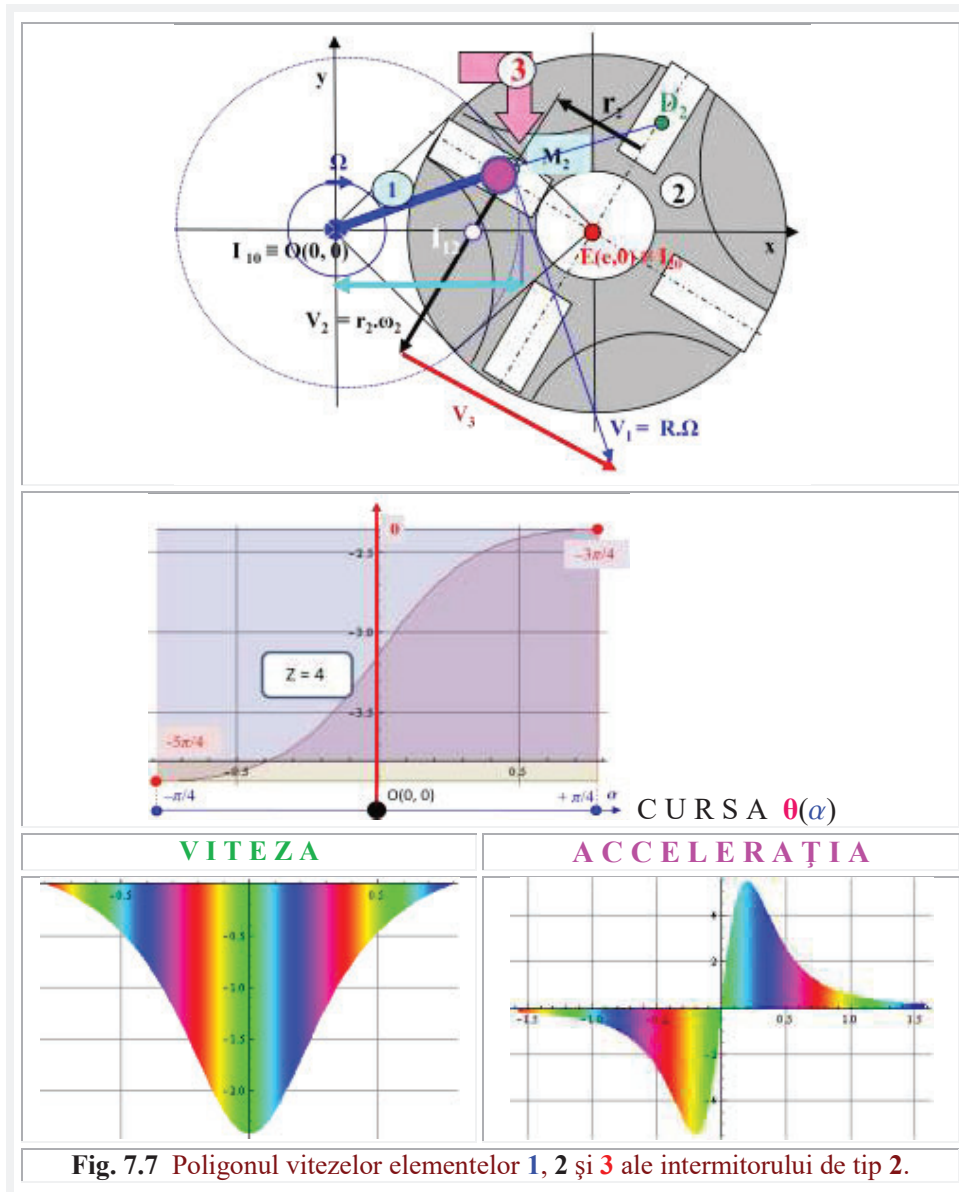


Fig. 7.7 Poligonul vitezelor elementelor 1, 2 și 3 ale intermitorului de tip 2.

7. ANALIZA CALITĂȚII MIȘCĂRILOR PROGRAMATE CU FSM

Antrenorul M_1 la tipul 1 și M_2 la tipul 2 se corespund cu cele două determinări ale **FSM-CE** sugerând posibilitatea și **facilitând**, astfel, **generalizarea** intermitorului, așa cum se ilustrează schematic în figura 7.6.

În figura 7.6 este prezentat modul de generalizare a acestor două tipuri de intermitoare cu cruce de **Malta**.

Axa de rotație $O(0,0)$ a antrenorului M_1 și M_2 este centrul cercului de rază R pe care sunt definite **FSM-CE**, iar axa de rotație a discului divizor este ex-centrul $E(e, 0)$ cu $e = A > R$ și $s = e / R$.

Elementul 1 este antrenorul și elementul 2 este discul divizor.

Punctul $I_{10} \equiv O(0,0)$ și punctul $I_{20} \equiv E(e,0)$ sunt centre instantanene de rotație **permanente** ale elementelor 1 și, respectiv, 2, iar I_{121} și I_{12E} sunt centre instantanee de rotație, sau al vitezelor, **nepermanente**, ele deplasându-se de la un moment la altul într-o plajă/domeniu, marcată în figură.

Centrele instantanee de rotație (CIR), punctele I_{121} , $O(0,0) \equiv I_{10}$ și $E \equiv I_{20}$ ca și I_{12E} sunt ale elementelor care sunt în angrenare și care sunt, conform **teoremei** lui **Aronhold – Kennedy** (bazată pe teorema lui **Menelaus**, a **coliniarității** celor trei centre instantanee de rotație), coliniare pe axa x , așa cum se poate observa în figurile anterioare și în figura 7.7.

Suportul lor comun, axa x , este denumită **dreapta centrelor** - a centrului $O(0,0)$ și a ex-centrului $E(e,0)$ - Pe aceasta se află **plaja** pe care o poate ocupa **CIR nepermanente** I_{121} și, respectiv, I_{12E} ale dispozitivelor de **tip1** și, respectiv, **tip 2**.

Se observă din figura 7.6 că, cele două **plaje**, ale celor două tipuri de mecanisme, sunt complementare, adiacente și, evident, coliniare.

Triunghiul OM_2E , pentru o **poziție inițială de intrare** a punctului M_2 într-unul din cele z canale radiale centrice de divizor din elementul 2, este un triunghi dreptunghic, cu unghiul drept în M_2 , oricare ar fi numărul de divizări z .

Unghiul OEM_2 este, datorită simetriei în acest moment, jumătatea unghiului dintre două canale radiale centrice, adică, unghiul π/z . Rezultă astfel, din triunghiul OM_2E , o prima relație dintre excentricitatea reală e și /sau cea numerică s și numărul de divizări z

$$(7.1) \quad e = \frac{R}{\sin \frac{\pi}{z}} \rightarrow s = \frac{1}{\sin \frac{\pi}{z}}, \text{ valabilă pentru toate tipurile de intermitoare cu}$$

cruce de **Malta** și oricare $z \in [3, n]$.

Pentru intermitoarele cu angajare exterioară (tip.2), **unghiurile limită** la excentrul E , care dau poziția inițială θ_i la care rola intră în canalul radial al crucii de **Malta** (2) și începe mișcarea periodică a discului divizor, și poziția finală θ_f , la care antrenorul părăsește canalul radial și mișcarea intermitentă a discului divizor încetează, sunt date de relațiile

$$(7.2) \quad \theta_{i,f} = \pi / Z + k \cdot \pi / Z, \quad k = 0, 1, 2, 3, \dots, n \quad \text{și} \quad Z = 3, 4, 5, \dots, N \quad \text{și}$$

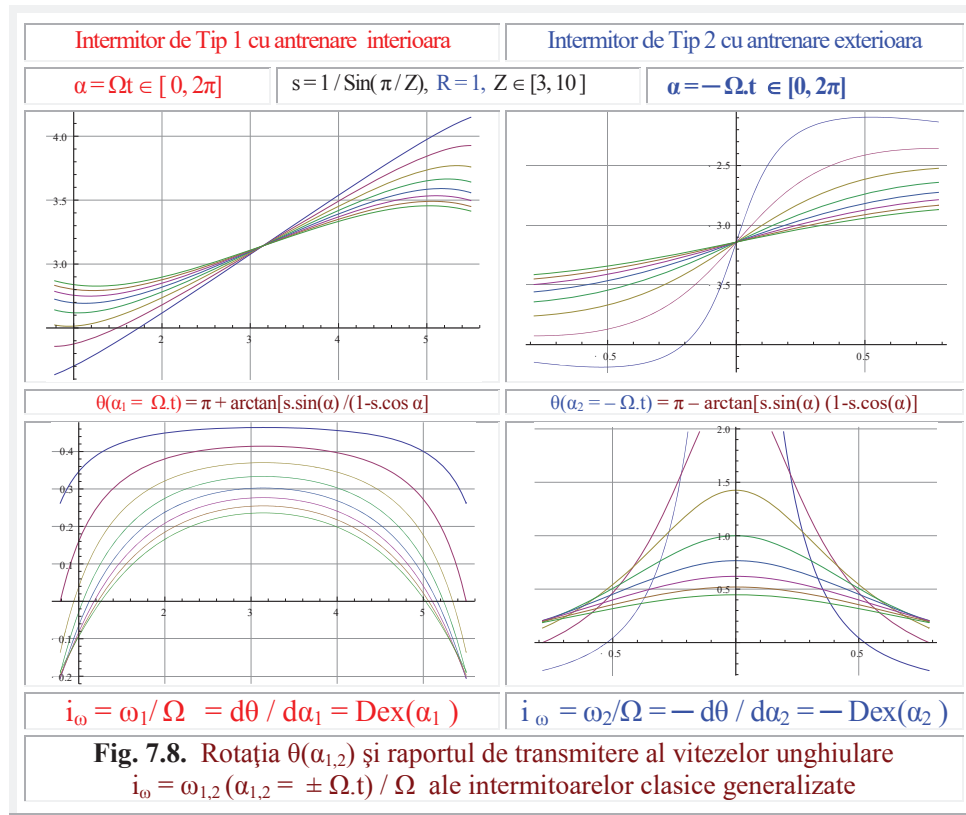
$$(7.3) \quad \theta_{i,f} = \pm [\pi - (\pm \pi / Z \pm k \cdot \pi / Z)], \text{ la tipul 1}$$

Viteza de rotație a antrenorului V_1 este

(7.4) $\mathbf{V}_1 = \mathbf{R} \cdot \Omega = \text{constant}$, deoarece \mathbf{R} și Ω sunt, în acest caz, **constante**, ceea ce nu se va mai întâmpla la un **nou tip** de intermitor, la care traiectoria axei antrenorului este o **epicicloidă** (roză cu z ramuri / lobi) exprimabilă cu funcția **Rex** z, α , așa cum se va prezenta puțin mai departe.

Din **figura 7.7** se vede că \mathbf{V}_2 este proiecția vectorului \mathbf{V}_1 pe o direcție normală pe direcția radială excentrică, adică, a vectorului \mathbf{r}_2

(7.5) $\vec{r}_2 = \mathbf{R} \cdot \text{rex}\theta \cdot \text{rad}\theta$



Ca urmare a coliniarității vectorilor \vec{V}_1 și \vec{V}_3 , care exprimă viteza de translație, în canalul radial centric, de antrenare a unei role cu rostogolire sau a culisei cu alunecare **3**, introdusă pentru a sugera mișcarea rectilinie în canalul radial centric al rolei de antrenare, vectorul \mathbf{V}_2 , care exprimă viteza de rotație a discului divizor **2**, este nul, echilibrul poligonului vitezelor degenerând într-o dreaptă radială centrică (direcția fazorului $\text{rad } \theta_{i,f}$) ce trece prin ex-centrul **E** (**Fig.7.7**), astfel că, dacă $\mathbf{V}_1 = \mathbf{V}_3$, rezultă $\rightarrow \mathbf{V}_2 = \mathbf{0} \rightarrow \omega_2 = \mathbf{0}$ când \mathbf{r}_2 este **maxim** și egal cu jumătatea diametrul exterior al discului divizor **2**, iar punctul instantaneu de rotație relativă \mathbf{I}_{12} coincide cu $\mathbf{O}(\mathbf{0},\mathbf{0})$, adică este în punctul $\mathbf{I}_{1,2 \text{ min}}$, la începutul **plajei** pe care acest punct îl poate parcurge,

7. ANALIZA CALITĂȚII MIȘCĂRILOR PROGRAMATE CU FSM

dus-intors, de la minim (**m**) spre maxim (**M**) și înapoi la minim, la fiecare divizare în parte.

Acest lucru arată că mișcarea intermitentă de rotație debutează **fără șocuri**, începând de la o viteză minimă nulă și trecând printr-o viteză de rotație ω_{2Max} , care, așa cum se poate observa fără dificultate, apare la cealaltă extremitate a plajei, când

$$r_2 \rightarrow r_{2 \min} \quad \text{și} \quad OI_{1,2} = R,$$

astfel că $I_{1,2}$ ocupă cealaltă limită extremă a plajei $I_{12 \text{ Max}}$. (**Fig. 7.5**, jos).

Unghiul la centrul O este $\alpha_{1,2}$ iar cel de la excentrul E este θ . Raportul de transmitere al vitezelor unghiulare este

$$(7.6) \quad i_{\omega 1,2} = \omega_2/\omega_1 = - (d\theta/dt)/(d\alpha_{1,2}/dt) = - d\theta/d\alpha_{1,2} = - 1 / (d\alpha_{1,2}/d\theta) = - 1/dex_{1,2}\theta = - Dex \alpha_{1,2},$$

semnul minus indicând faptul că rotațiile sunt de sensuri contrare.

Se știe că pentru $e < R$, **FSM-CE** sunt continue pe toată axa $\theta \in [-\infty, +\infty]$, în timp ce, pentru $e > R$, cum este acest caz, **FSM-CE** sunt discontinue, ele existând doar în domeniul în care dreapta d, turnantă în jurul lui **E**, intersectează cercul **C(O,R)**, adică, există doar în intervalul $\theta \in [\theta_i, \theta_f]$ dat de relațiile (7.2) și, respectiv, (7.3).

În intervalul $\theta \in [\theta_f, \theta_i]$ crucea de **Malta** staționează. Faptul că **FSM-CE** sesizează deosebirile dintre diversele tipuri de mișcări, continue sau intermitente, constituie încă un avantaj în favoarea utilizării lor.

Coordonata $y_{1,2}$ a punctului $M_{1,2}$ este

$$(7.7) \quad y_{1,2} = R \cdot \sin \alpha_{1,2} = (e - R \cdot \cos \alpha_{1,2}) \cdot \tan(\pi - \theta), \text{ din care rezultă}$$

$$(7.8) \quad \theta = \pi - \arctan(R \cdot \sin \alpha_{1,2} / (e - R \cos \alpha_{1,2})) = \pi - \arctan(\sin \alpha_{1,2} / (s - \cos \alpha_{1,2}))$$

La intermitoarele de tipul **1**, α_1 crește în același sens, cel trigonometric, cu θ , astfel că $\omega_1 = \Omega$ și ω_2 sunt de același semn, pozitive, iar la intermitoarele de tipul **2** sunt de sensuri diferite, astfel că în relația anterioară, pentru tipul **2**, $\alpha_2 \rightarrow -\alpha_1$.

Prin derivare, în raport cu $\alpha_{1,2}$ se obține raportul de transmitere al vitezelor unghiulare ale celor două elemente

$$(7.9) \quad Dex \alpha_{1,2} = d\theta / d\alpha_{1,2} = \frac{(s - \cos \alpha_{1,2})^2}{1 + s^2 - 2s \cdot \cos \alpha_{1,2}} = \left(\frac{s - \cos \alpha_{1,2}}{Re x \alpha_{1,2}} \right)^2 = i_{\omega} = \frac{\omega_{1,2}}{\Omega},$$

în care indicii 1,2 indică punctele $M_{1,2}$, care coincid și cu tipul **1**, respectiv, **2** al mecanismului intermitor, iar

$$(7.10) \quad \alpha_{1,2} = \pm \Omega \cdot t$$

Graficele funcțiilor $\theta(\alpha = \Omega \cdot t)$ și $i_{\omega} = \omega(\alpha_{1,2} = \pm \Omega \cdot t) / \Omega$ pentru cele două tipuri de intermitoare sunt prezentate în **figura 7.8**. pentru $\alpha_1 = \Omega t \in [0, 2\pi]$ și, respectiv, $\alpha_2 = -\Omega \cdot t \in [0, 2\pi]$.

7.4 Intermitoare speciale cu antrenor cu traiectorie epicycloidală.

Un astfel de intermitor special, derivat dintr-un intermitor clasic tip **2** cu antrenare exterioară, este prezentat schematic în **figura 7.9**. iar traiectoriile antrenorului, pentru $Z \in [3, 6]$ și $Z \in [3, 10]$ cu $s = 0,3$ - sus- și $Z = 4$ și $s \in [0,1 ; 0,3]$ - jos în **figura 7.10**.

La acest sistem, brațul port rolă, de antrenare a intermitoarelor clasice, a fost divizat în două brațe, unul mai lung, ce se rotește în jurul centrului $O(0,0)$, ca și în

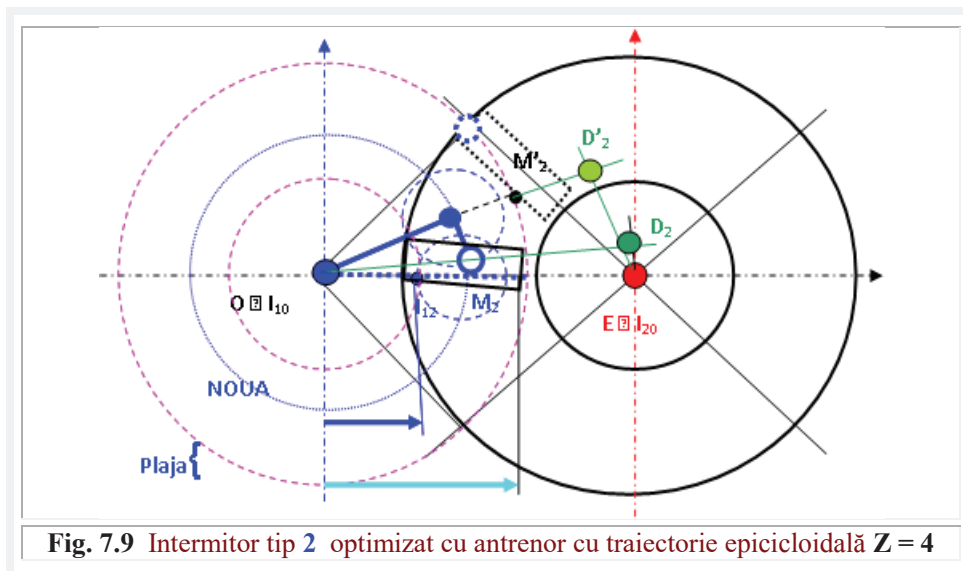


Fig. 7.9 Intermitor tip 2 optimizat cu antrenor cu traiectorie epicicloidală $Z = 4$

cazul clasic, cu viteza unghiulară $\Omega \rightarrow \Omega_1 = \text{constantă}$, și unul mai scurt, articulat în capătul primului braț, ce se rotește tot cu viteză constantă Ω_2 în jurul articulației, datorită roții solare (satelit) care se rostogolește cu angrenare exterioară pe o roată centrală cu centrul în O . Raportul turațiilor depinde de raportul numărului de dinți ale celor două roți dințate și se alege astfel, încât la o rotație completă, traiectoriile curbilor descrise de axa rolei antrenorului să se închidă și să se suprapună, așa cum se vede în figura 7.10.

Printr-un sistem de angrenare cu roți dințate, neprezentat în schiță, rola de antrenare a crucii de Malta (discului divizor) execută traiectoria de $Z = 4$ din figura 7.10, care este un epiciclu sau o roză (pentru $s = 1$) descrisă de funcția

$$(7.11) \quad \rho = R. \text{Rex}(Z\alpha) = R. \sqrt{1 + s^2 - 2s \cdot \cos(Z\alpha)}.$$

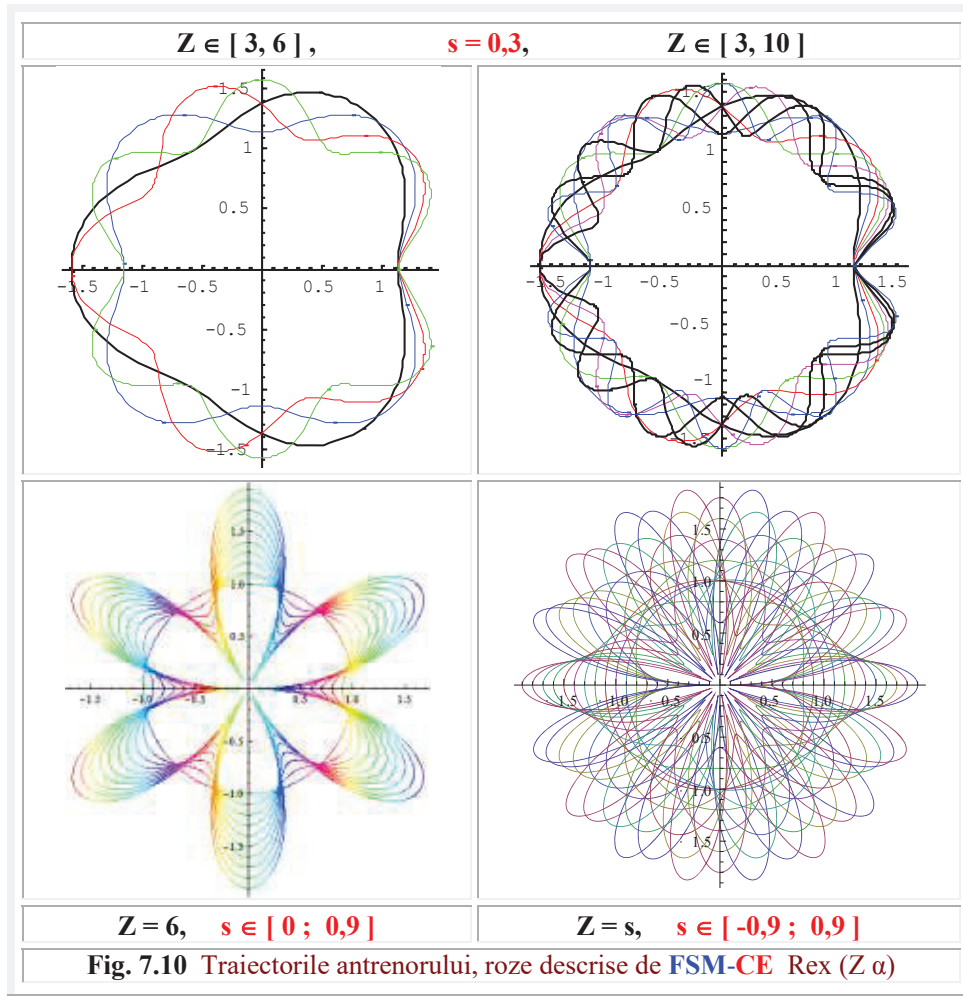
În figura 7.9, se observă că poziția plajei ($I_{12\text{Min}} .. I_{12\text{Max}}$) ocupate de centrul instantaneu de rotație I_{12} , a intermitorului special optimizat, se reduce substanțial în comparație cu cel clasic, prin deplasarea spre stânga a lui $I_{12\text{Max}}$ comparativ cu $I_{12\text{Max}}$ din figura 7.5.

Conform teoremei lui Tahles, o paralelă M_2I_{12E} și, respectiv M_1I_{12I} , la una din laturile unui triunghi (ED_2 și, respectiv, ED_1), împarte celelalte două laturi (OD_2 și, respectiv, OE , ca și pe EI_{12I} și, respectiv, M_1D_1) în segmente proporționale (Fig. 7.5). Rezultă astfel

7. ANALIZA CALITĂȚII MIȘCĂRILOR PROGRAMATE CU FSM

$$(7.12) \quad \frac{M_{1,2}D_{1,2}}{OM_{1,2}} = \frac{I_{12I,E}I_{20}}{I_{10}I_{12I,E}} = \mathbf{X}_2 / \mathbf{X}_1 = \omega_{10} / \omega_{20} = \omega_1 / \Omega, \text{ în care } \mathbf{X}_1 = \mathbf{O}I_{12} \text{ și } \mathbf{X}_2 = \mathbf{E}I_{12}$$

pe dreapta centrelor **OE**. Relația (7.12) este o consecință a teoremei coliniarității centrelor instantanee de rotație (permanente și temporare) care exprimă și raportul de transmitere al vitezelor unghiulare relative la același element $\omega_{13} / \omega_{23}$. Se știe că



biraportul format de cele trei centre instantanee de rotație, reprezintă, totodată, raportul vitezelor instantanee ale celor două elemente ale intermitorului [v. **Manolescu, N.I. & Popovici, M.M.**, „Lucrări teoretice complementare, structura, cinematica, cinetostatica

și dinamica mecanismelor”, EDP, Buc. 1981]. Cu privire la metoda proiecțiilor vitezei [v. **Levenson L.B.** „TEORIA MECANISMELOR ȘI A MAȘINILOR”, Ed.Tehnică, Buc. 1951, pag.80] se arată că, dacă se cunoaște viteza unui punct al unui mecanism oarecare, atunci se pot determina vitezele tuturor punctelor mecanismului prin metoda amintită.

O teoremă stipulează că proiecțiile vitezelor a două puncte ale unui element, pe dreapta ce unește aceste două puncte, sunt **egale** și de **același sens**, așa cum se poate observa în **figura 7.7** pentru veriga **3** care are o mișcare liniară în canalul discului divizor sau a crucii de **Malta**.

La intermitoarele clasice tip **2**, viteza unghiulară maximă a crucii de **Malta** era

$$(7.13) \quad \omega_M = R \cdot \Omega,$$

iar la intermitorul special optimizat, prin scurtarea brațului de antrenare de la **R** la **R - r** viteza unghiulară maximă scade la

$$(7.14) \quad \omega_M = (R - r) \cdot \Omega.$$

Astfel se va obține o uniformitate mai bună a vitezelor unghiulare și, cel mai important, o accelerație maximă mult mai redusă, deoarece, la intermitoarele de tipul **2**, viteza maximă apare pentru $\alpha = 0$ și $\theta = \pi$ din (7.11) rezultă

$$(7.15) \quad \rho(0) = R \cdot \text{Rex}(4\alpha) = R(1 - s),$$

din care rezultă că lungimea brațului mai scurt al antrenorului special este

$$(7.16) \quad r = R \cdot s = e.$$

Exprimarea cu ajutorul **FSM-CE** și realizarea curbelor epicyclice, pericyclice și hipociclice pe mașini unelte, cu directoare și/sau generatoare programate sau cinematice, se pot consulta în lucrarea **Șelariu Mircea** Cap 8. „DISPOZITIVE DE PRELUCRARE A SUPRAFETELOR COMPLEXE” din tratatul de „Proiectarea Dispozitivelor” de **Sanda-Vasii Roșculeț**, ș.a. EDP, Buc 1982.

Pentru o calitate superioară a analizei mișcării intermitoarelor, și nu numai, se impune o metodă nouă de abordare a problemelor de mecanică, calitativ superioară metodelor clasice, denumită **metoda separării forțelor** și a **momentelor**, sau mai scurt, **metoda separării momentelor (MSM)**, care va fi prezentată în capitolul următor.

Ea permite o analiză mai simplă și mai evidentă a problemelor determinării rapoartelor de transmitere ale **vitezelor**, **accelerațiilor**, **forțelor** și a **randamentelor** acestor mecanisme. Ea este o **nouă metodă de cinetostatică**, o metoda deosebit de **utilă**, care înlocuiește cu succes metoda clasică d’**Alembert**, reducând problemele de **cinetostatică** la simple probleme de **geometrie elementară**.

Dacă **Mecanica**, și în special **Mecanismele**, s-a dezlipit, cu mulți ani în urmă din **Matematică**, ca o disciplină aparte, iată că ea poate reveni din nou în cadrul reginei științelor: **Matematica**.

8. METODA SEPARĂRII MOMENTELOR

Motto: "Metoda este înțelegerea esenței ideii adevărate"
B. Spinoza

Capitolul 8

METODA SEPARĂRII FORȚELOR ȘI A MOMENTELOR

Metoda separării **forțelor** și a momentelor, sau pe scurt **metoda separării momentelor (MSM)** a fost publicată inițial la "Primul Simpozion Național de Roboți Industriali" din București - octombrie 1981- sub denumirea de "**Cinetostatică geometrică**" de **M.E. Șelariu [45]**. Datorită multiplelor facilități pe care le oferă, **MSM** s-a extins rapid, în prezent fiind publicate peste 20 lucrări cu peste 9 autori.

Cu ajutorul **MSM** au fost soluționate **exact** și **rapid** probleme de **cinetostatică** care anterior au avut numai soluții aproximative. De exemplu, determinarea funcției de transmitere a forțelor la elementele de tipul excentricului circular, evolventic și spiral, a plunjerului; în relațiile existente în literatură fiind neglijate momentele forțelor de frecare din ghidajele lui și multe altele.

Metoda se poate aplica cu același succes și în **dinamică**.

Totodată, relațiile analitice exacte obținute (ale unor elemente, ca de exemplu, pana) sunt mult mai simple și mai ușor de manipulat, la elementele legate în serie, decât cele clasice, deși elementele considerate au fost alese mai complexe (în sensul că pana, de exemplu (**Fig. 8.1**), are toate fețele înclinate).

8.1. Principiul metodei separării momentelor

MSM este o metodă analitică **exactă** și rapidă de determinare a funcțiilor de transfer a forțelor, curselor, vitezelor ș.a. ale unor elemente, grupe de elemente sau ale unui mecanism în ansamblul lui, ocolind scrierea și rezolvarea unor sisteme de ecuații de echilibru.

Se cunoaște faptul că soluționarea acestor tipuri de probleme, în mecanica clasică, după metodele lui **d'Alembert**, conduce la scrierea și rezolvarea celor șase ecuații de echilibru a forțelor: trei de proiecție a acestora pe direcțiile celor trei axe de coordonate, ale unui sistem rectangular drept, și trei de echilibru a momentelor forțelor în jurul acestor axe.

De asemenea, se cunoaște că rezolvarea unui astfel de sistem de ecuații conduce la formarea unor matrici, în cazul de față de 6×7 din care rezultă apoi determinanții sistemului și determinanții celor 6 necunoscute. Aplicând acestei matrici principiul **matricilor partiționate**, denumite și **matrici compuse** (aceste matrici au ca elemente componente tot matrici), pot fi eliminate dintr-odată necunoscutele, care nu ne interesează (**secundare**) în primul moment, obținându-se rapid și elegant o

dependența dintre două mărimi, de exemplu forța rezultantă de **ieșire** și forța rezultantă de **intrare**, care reprezintă tocmai **funcția de transfer** sau **de transmitere a forțelor rezultante** pentru elementul, subansamblul sau sistemul mecanic studiat, considerat în echilibru static sub acțiunea forțelor exterioare și de legătură.

Există **trei** astfel de **funcții** (expresii), corespunzătoare celor **trei stări posibile** de existență ale elementului, sau ale sistemului considerat:

1. De mișcare, sau tendință de mișcare, spre **stânga** sau de rotire în sens **sinistrorum** (levogin), sau în sensul **strângerii**, din care cauză toți indicii mărimilor sunt notați cu **S**

2. De mișcare, sau tendință de mișcare, spre **dreapta** sau de rotire în sens **dextrorum** (**dextrogin**), sau în sensul **destrângerii**, din care cauză toți indicii mărimilor sunt notați cu **D** și

3. De staționare, **fără tendință de mișcare** (translație, rotație sau combinate).

În acest caz forțele de frecare din sistem nu-și fac apariția, sistemul comportându-se **ca și / precum** un **sistem ideal**, în care se consideră că frecările lipsesc cu desăvârșire. În acest ultim caz indicii sunt cei ai sistemelor ideale **id**.

În concepția sistemică, raportul dintre oricare mărime de la ieșire, a unui element sau sistem și o aceeași mărime sau a alteia de la intrarea elementului sau a sistemului, este denumită **funcție de transfer (FT)** a mărimilor respective.

Dacă mărimile sunt de același gen, atunci **FT** este **adimensională** sau **normată**, iar dacă mărimile sunt de natură diferită, **FT** este cu dimensiunea ce rezultă din raportul mărimilor respective.

FT mai este denumită și **raport de transmitere** sau de transfer (**informațional**) și, pentru simplificarea scrierii, se notează cu **i** și cu indicele mărimii transmise (forțelor rezultante **i_R**, forțelor normale **i_N**, **cursei** sau **deplasării** **i_X**, sau **i_h**, sau **i_C**, **vitezelor** **i_V**, **acelerațiilor** **i_a**)

Funcția de transfer a rezultatelor forțelor ($FT_R \equiv i_R$), este **cea mai importantă**, deoarece, din expresia ei, **exactă** și numai în acest caz, pot fi deduse expresiile exacte ale oricăror altor mărimi. Ea este, prin definiție:

$$(8.1) \quad FT_R \equiv i_R = \frac{R_2}{R_1}, \text{ în care } R_2 \text{ și } R_1 \text{ sunt modulele rezultantele forțelor de la}$$

ieșirea și, respectiv, de la **întrarea** în element sau sistem.

FT_R se obțin, în mod curent, pentru sensul **S** sau **D**.

Dacă ele se calculează pentru sensul **S**, atunci există **convenția** renunțării la indicele **S**, pentru simplificarea scrierii relațiilor ($FT_R \equiv FT_{RS}$).

Din expresia **exactă**, și **numai dintr-o astfel de expresie**, prin schimbarea **sensului** (**semnului** din fața termenilor respectivi) **frecărilor** (unghiurilor de frecare φ_i , coeficienților μ_i și a razelor de frecare ρ_i) se obțin, imediat, **FT_{RD}** în sensul invers **D**, iar prin anularea termenilor de frecare (unghiuri, coeficienți și raze $\varphi_i = \mu_i = \rho_i = 0$) se obține imediat expresia **raportului de transmitere a forțelor ideal** $FT_{id} = FT_N$, același cu **FT** a forțelor normale, deoarece, în lipsa frecărilor, rezultantă se confundă cu normala în punctul de contact ($\bar{R} \equiv \bar{N}$). Adică:

8. METODA SEPARĂRII MOMENTELOR

$$(8.2) \quad \begin{cases} FT_{RD} = FT_R(\varphi_i, \mu_i, \rho_i \Rightarrow -\varphi_i, -\mu_i, -\rho_i) \\ FT_{id} = FT(\varphi_i, \mu_i, \rho_i \Rightarrow 0) \end{cases}$$

$\mathbf{FT}_x \equiv \mathbf{i}_x \equiv \mathbf{i}_C$ a **deplasărilor** unui element, subansamblu sau sistem este, prin definiție, raportul dintre deplasarea de la ieșire \mathbf{x}_2 sau \mathbf{h}_2 și deplasarea de la intrare \mathbf{x}_1 sau \mathbf{h}_1 , măsurate pe direcția normalelor din punctele de contact, la suprafețele de **ieșire** și, respectiv, de la cea de **intrare**:

$$(8.3) \quad \mathbf{FT}_x = \frac{x_2}{x_1} = \mathbf{i}_x, \text{ iar randamentul unui element sau sistem este } \mathbf{FT} \text{ a } \mathbf{energiei},$$

puterii sau a **lucrului mecanic** și este:

$$(8.4) \quad \eta = FT_E = FT_L = \frac{L_2}{L_1} = \begin{cases} \frac{N_2 \cdot x_2}{N_1 \cdot x_1} = \frac{R_2 \cdot \cos \varphi_2 \cdot x_2}{R_1 \cdot \cos \varphi_1 \cdot x_1} = \\ \frac{R_2 \cdot \cos \varphi_2 \cdot h_2}{R_1 \cdot \cos \varphi_1 \cdot h_1} = FT_R \cdot FT_x \cdot FT_C \end{cases}$$

în care forțele normale N_i s-au obținut ca proiecții ale rezultanțelor \mathbf{R}_i ($i=1,2$) și **raportul cosinusurilor** este notată \mathbf{FT}_C . În majoritatea cazurilor, **coeficienții de frecare** sunt considerați egali ($\mu_1 = \mu_2 = \mu_3 = \mu_4$) și raportul cosinusurilor este 1.

Randamentul, astfel obținut, este corespunzător tendinței de mișcare, sau a mișcării, în sensul **S**. Prin schimbarea semnelor frecărilor în (8.4) se va obține pentru sensul **D**, iar prin anularea frecărilor se obține randamentul unui sistem ideal, care este, evident, egal cu unitatea ca și raportul cosinusurilor, astfel că:

$$(8.5) \quad \eta_{id} = 1 = FT_{id} \cdot FT_x, \text{ în care rezultă că } \mathbf{raportul curselor (FT}_x) \text{ este inversul}$$

raportului de transmitere a forțelor sistemului ideal (\mathbf{FT}_{id}):

$$(8.6) \quad \mathbf{FT}_x = \frac{1}{FT_{id}}, \text{ astfel că, înlocuind în (8.4) rezultă ceea ce, în literatura de}$$

specialitate, poartă denumirea de **legea cutiei negre**:

$$(8.7) \quad \frac{FT_R \cdot FT_C}{FT_{id} \cdot \eta} = 1 \text{ sau (8.7')} \quad \frac{\mathbf{i}_R \cdot \mathbf{i}_C}{\mathbf{i}_{id} \cdot \boldsymbol{\eta}} = 1 \text{ și } \frac{\mathbf{i}_{RD} \cdot \mathbf{i}_C}{\mathbf{i}_{id} \cdot \boldsymbol{\eta}_D} = 1, \text{ pentru sensul } \mathbf{D}.$$

Pentru exemplificare, se consideră un sistem solicitat de forțe plane, sau reducibile la acesta, deci plan sau bidimensional, a cărui ecuații de echilibru sunt:

$$(8.8) \quad \begin{cases} \sum F_x = 0 \\ \sum F_y = 0 \\ \sum M = 0 \end{cases} . \text{ Primele două ecuații scalare din (8.8) sunt echivalente cu prima}$$

ecuație vectorială din (8.9) care exprimă faptul că, în condiții de echilibru, cei patru vectori $\overline{\mathbf{R}_i}$ ($i=1..4$) formează un patrulater (poligon) închis, parcurs în același sens.

$$(8.9) \quad \begin{cases} \sum_{i=1}^4 \vec{R}_i = \vec{R}_1 + \vec{R}_2 + \vec{R}_3 + \vec{R}_4 \\ \sum_{i=1}^4 \vec{M}_i|_M = \vec{M}_1 + \vec{M}_2 + \vec{M}_3 + \vec{M}_4 = 0, \text{ ultima ecuație din (8.9), scrisă} \\ \sum_{i=1}^4 \vec{M}_i|_S = \vec{M}_1 + \vec{M}_2 = 0 \end{cases}$$

vectorial, este $\sum_{i=1}^4 \vec{M}_i|_S = \vec{M}_1 + \vec{M}_2 = \vec{R}_1 \times \vec{d}_1 + \vec{R}_2 \times \vec{d}_2 = 0$

Primele două ecuații din (8.8) - de proiecție a forțelor pe axele x și, respectiv, y - sunt echivalente cu ecuația vectorială de echilibru a celor 4 forțe rezultante posibile ce pot solicita un element în cazul **plan**: \mathbf{R}_1 și \mathbf{R}_2 denumite, **arbitrar**, în funcție de scopul urmărit, dar una dintre ele trebuie să fie de modul cunoscut, rezultante **principale**: de **intrare** \mathbf{R}_1 (**activă**, presupusa dată sau cunoscută) și, respectiv, de **ieșire** \mathbf{R}_2 , precum și \mathbf{R}_3 și \mathbf{R}_4 numite rezultante **secundare**, a căror mărime - în acest **prim** moment nu interesează.

Vectorii forță sunt **echipolenți**, astfel că ei se pot transla pe suportul lor și intersecta, doi câte doi: rezultantele **principale** în **punctul principal P** și, respectiv, cele **secundare** în **punctul secundar S**

$$(8.10) \quad \begin{cases} \vec{R}_1 \cap \vec{R}_2 = P \\ \vec{R}_3 \cap \vec{R}_4 = S \end{cases}$$

Ei se pot însuma, doi câte doi, rezultând vectorul \mathbf{R}_{12} numit **rezultanta rezultantelor principale** și, respectiv \mathbf{R}_{34} - **rezultanta rezultantelor secundare**.

$$(8.11) \quad \begin{cases} \vec{R}_1 + \vec{R}_2 = \vec{R}_{12} \\ \vec{R}_3 + \vec{R}_4 = \vec{R}_{34} \end{cases}$$

Cu aceste observații și/sau defalcări sistemul (8.9) devine

$$(8.9') \quad \begin{cases} \vec{R}_1 + \vec{R}_2 + \vec{R}_3 + \vec{R}_4 = 0 \\ P = \vec{R}_1 \cap \vec{R}_2, \dots, S = \vec{R}_3 \cap \vec{R}_4 \\ \vec{R}_{12} = \vec{R}_1 + \vec{R}_2; \dots, \vec{R}_{34} = \vec{R}_3 + \vec{R}_4 \\ \left| \sum_1^4 \vec{M} \right|_S = 0 \Rightarrow R_1 d_1 - R_2 d_2 = 0 \end{cases}$$

Există **maximum 4 forțe rezultante posibile** ce pot solicita un element în cazul **plan**, deoarece din (8.8) se pot determina mărimile **modulelor a trei vectori forță rezultantă**; al patrulea fiind dat (cunoscut):

- \mathbf{R}_1 și \mathbf{R}_2 denumite, **arbitrar**, în funcție de scopul urmărit, **rezultante principale** dintre care
- \mathbf{R}_1 **de intrare**, care este forța activă de acționare (presupusă dată sau cunoscută) și toate celelalte forțe sunt de **reacțiune**

8. METODA SEPARĂRII MOMENTELOR

- R_2 o forță rezultantă principală pasivă (sau reacțiune) și, respectiv, **de ieșire**
- R_3 și R_4 numite **rezultante secundare**, a căror mărime- în acest prim moment nu ne interesează- ambele fiind forțe de reacțiune, de obicei cele din articulații, ghidaje ș.a..

Dacă două (sau toate cele 4) direcții sunt paralele între ele, atunci unul (sau ambele) puncte, P și/sau S , de intersecție și separare a forțelor și a momentelor rezultante (în principale și în secundare) sunt aruncate la infinit; însumarea forțelor făcându-se pentru forțe paralele, ceea ce simplifică mult însumarea lor.

Astfel, sistemul de 4 vectori în echilibru a fost redus la unul de doi vectori în echilibru care sunt egali, de semn opus și acționează de-a lungul segmentului $\|\overline{PS}\| = d$, direcție ce constituie, totodată, și **axa centrală** a elementului sau a sistemului considerat.

Lucrând, **nu cu forțe componente (normale și de frecare)**, așa cum se practică curent în mecanica teoretică, practica care s-a dovedit păguboasă ci, **numai cu forțe rezultante**, sistemul (8.8) de 3 ecuații, fiecare putând să conțină, în general, până la **8** termeni, se reduce la **2** ecuații vectoriale, din care, ecuația de echilibru a momentelor forțelor din (8.9 și 8.9') - **nu** față de **oricare punct** din planul forțelor ci- **față de punctul secundar S** situat la distanțele (brațele forțelor față de S) d_1 și, respectiv, d_2 de suporturile rezultantelor **principale**, se reduce la numai doi termeni

$$R_1 d_1 = - R_2 d_2.$$

Există, deci, în plan, și nu numai aici, anumite **puncte mai deosebite**, cum este de exemplu punctul secundar S , față de care ecuația de momente are o formă cu un număr **minim** de termeni, întrucât vectorii R_3 și R_4 , fiind concurenți în acest punct, au momente nule. Ca urmare, din această ultimă ecuație din (8.9'), funcția de transfer i_R sau raportul de transmitere a forțelor, definit ca raport dintre forța de ieșire și cea de intrare, **rezultă imediat** și este:

$$(8.12) \quad i_R = \frac{R_2}{R_1} = \frac{d_1}{d_2} = \frac{\sin \psi_1}{\sin \psi_2}, \quad \text{în care: } d_1 = d \cdot \sin \psi_1 \text{ și } d_2 = d \cdot \sin \psi_2$$

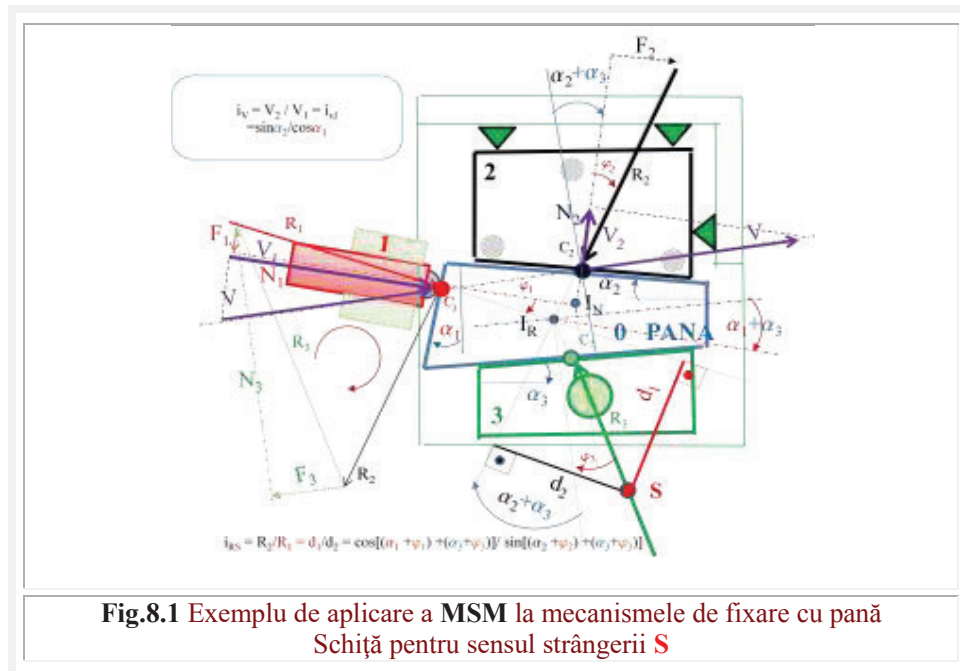
În acest fel, **problema** de cinetostatica **s-a redus la una de geometrie elementară**, fiind necesar să se determine doar punctul de intersecție S a două drepte suport ale vectorilor R_3 cu R_4 și distanțele d_1 și d_2 de la acest punct S la alte două drepte suport ale vectorilor principali R_1 și R_2 .

Dacă, în sistem acționează și un cuplu cunoscut C , cuplu care poate fi scris ca produs dintre modulul care se cunoaște (se dă) al vectorului, adică

$$(8.13) \quad C = \begin{cases} R_1 \cdot d_{1C} \\ R_2 \cdot d_{2C} \end{cases} \text{ atunci, suma momentelor față de } S \text{ rezultă}$$

$$(8.14) \quad \begin{cases} R_1 \cdot d_1 - R_2 \cdot d_2 + C = 0 \\ R_1 \cdot d_1 - R_2 \cdot d_2 + C = 0 \end{cases} \Rightarrow R_1 \cdot d_1 - R_2 \cdot d_2 + R_1 \cdot d_{1C} \quad , \text{ astfel că (8.12) devine}$$

$$(8.12'') \quad \mathbf{i}_{R} = \begin{cases} \frac{R_2}{R_1} = \frac{d_1 + d_{1C}}{d_2} = \frac{d_{1C} s + \sin \psi_1}{\sin \psi_2} \\ \frac{R_2}{R_1} = \frac{d_1}{d_2 + d_{2C}} = \frac{\sin \psi_1}{d_{2C} + \sin \psi_2} \end{cases},$$



Un exemplu de aplicare a metodei SM este prezentat în figura 8.1, la un dispozitiv de instalare a unei piese paralelipipedice, cu mecanism de fixare cu pană.

În desen sunt figurate toate forțele rezultante care acționează asupra penei din partea plunjerului 1 de la intrare, a piesei 2 de la ieșire și a a piesei de sprijin și de echilibrare 3.

Forța \mathbf{R}_3 , fiind unica forță rezultantă secundară din sistem, punctul secundar \mathbf{S} se alege arbitrar pe suportul lui \mathbf{R}_3 .

Scriind suma momentelor forțelor față de \mathbf{S} , rezultă imediat că

$$(a) \quad \mathbf{R}_1 \cdot \mathbf{d}_1 = \mathbf{R}_2 \cdot \mathbf{d}_2 \rightarrow \mathbf{R}_2 = \mathbf{R}_1 \frac{d_1}{d_2} = \mathbf{R}_1 \frac{\sin \psi_1}{\sin \psi_2}, \rightarrow \mathbf{i}_{RS} = \frac{R_2}{R_1} = \frac{d_1}{d_2}$$

în care brațele forțelor rezultante \mathbf{d}_1 și \mathbf{d}_2 sunt

$$(b) \quad \mathbf{d}_1 = \mathbf{d} \sin\left(\frac{\pi}{2} - [(\alpha_1 + \varphi_1) + (\alpha_3 + \varphi_3)]\right) = \mathbf{d} \cos[(\alpha_1 + \varphi_1) + (\alpha_3 + \varphi_3)]$$

și

$$(c) \quad \mathbf{d}_2 = \mathbf{d} \sin[(\alpha_2 + \varphi_2) + (\alpha_3 + \varphi_3)],$$

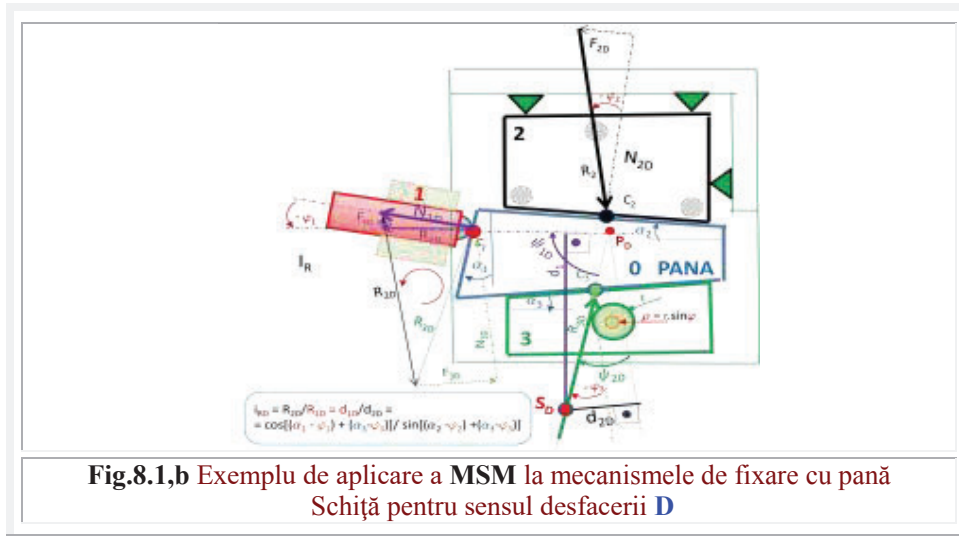
în care, s-a notat cu \mathbf{d} segmentul arbitrar $\mathbf{d} = \|\overline{\mathbf{I}_R \mathbf{S}}\|$.

8. METODA SEPARĂRII MOMENTELOR

Cu acestea, din relația (a) rezultă imediat funcția de transfer / transmitere a forțelor rezultante în sensul strângerii **S**

$$(d) \quad i_{RS} = \frac{R_{2S}}{R_{1S}} = \frac{d_{1S}}{d_{2S}} = \frac{\cos[(\alpha_1 + \varphi_1) + (\alpha_3 + \varphi_3)]}{\sin[(\alpha_2 + \varphi_2) + (\alpha_3 + \varphi_3)]}$$

pentru cel mai complex mecanism de fixare cu pană.



Funcția de transfer / transmitere a forțelor rezultante în sens invers, al desfacerii, **D** se obține prin schimbarea sensului frecărilor și este

$$(d') \quad i_{RD} = \frac{R_{2D}}{R_{1D}} = \frac{d_{1D}}{d_{2D}} = \frac{\cos[(\alpha_1 - \varphi_1) + (\alpha_3 - \varphi_3)]}{\sin[(\alpha_2 - \varphi_2) + (\alpha_3 - \varphi_3)]}$$

Funcția de transmitere a curselor /deplasărilor în sensul strângerii **S** va fi

$$(d'') \quad i_x = \frac{x_2}{x_1} = \frac{1}{i_{id}} = \frac{\sin[(\alpha_2 - 0) + (\alpha_3 - 0)]}{\cos[(\alpha_1 - 0) + (\alpha_3 - 0)]} = \frac{\sin(\alpha_2 + \alpha_3)}{\cos(\alpha_1 + \alpha_3)}$$

În fine, randamentul mecanismului cu pană, în sensul strângerii, va fi

$$(e) \quad \eta = \frac{L_2}{L_1} = \frac{N_2 x_2}{N_1 x_1} = \frac{R_2 \cos \varphi_2 x_2}{R_1 \cos \varphi_1 x_1} = \frac{\cos[(\alpha_1 + \varphi_1) + (\alpha_3 + \varphi_3)] \cos \varphi_2 \sin(\alpha_2 + \alpha_3)}{\sin[(\alpha_2 + \varphi_2) + (\alpha_3 + \varphi_3)] \cos \varphi_1 \cos(\alpha_1 + \alpha_3)}$$

8.2 Stabilirea condițiilor de autoblocare și de autofrânare

Din relația (8.12), rezultă că, pentru o valoare negativă sau nulă a raportului i_R , forța rezultantă R_2 , și, ca urmare, și celelalte forțe- normală N_2 și de frecare $F_2 = \mu_2 N_2$, sunt negative sau nule.

Fizic, acest lucru exprimă faptul că, oricât de mare ar fi forța rezultantă **activă** (de acționare) R_1 de la **intrare**, forța rezultantă R_2 , de la **ieșire**, va fi nulă sau negativă și, deci, dacă elementul este, de exemplu, de fixare prin strângere a unei

piese într-un dispozitiv, piesa nu va fi fixată. Elementul sau mecanismul neputând să-și îndeplinească rolul funcțional pentru care a fost conceput și realizat.

Dacă raportul este negativ, pentru a funcționa, elementul trebuie acționat nu numai de la intrare cu R_1 ci și de la ieșire, prin schimbarea semnului (sensului) forței $R_2 \rightarrow -R_2$. Adică, a schimbării naturii acestei forțe, dintr-o forță de **reacțiune** (pasivă) într-una activă, de **acționare**.

Deoarece, intrarea se mai denumește și element (mărime) **conducător** iar ieșirea element **condus**, rezultă două elemente conducătoare și nici un element sau mărime condusă. Halal mecanism, împins și tras de la ambele capete!

În rezumat, un astfel de element sau mecanism **nu funcționează**, ceea ce se mai denumește ca fiind **autoblocat** și, în consecință, pentru a evita autoblocarea trebuie cunoscută condiția de autoblocare (C_{AB}), care este

$$(8.15) \quad C_{AB} : i_{RS} \leq 0$$

Privind cu atenție ultima relație de echilibru a momentelor forțelor rezultante principale (R_1 și R_2) în jurul punctului secundar S din sistemul (8.9 și 8.9'), se constată că inecuația (8.15) este satisfăcută dacă momentele celor două forțe sunt de **același sens**. Prin urmare, rezultă următoarea regulă, deosebit de importantă pentru tinerii proiectanți, aflați în fața planșetei de desen sau a monitorului stației grafice, pe care se pot urmări direcțiile celor 4 forțe rezultante:

R1: Dacă forțele rezultante principale R_1 și R_2 (d)au momente de același sens (semn) față de punctul secundar S la **strângere** (S_s), de intersecție a celorlalte forțe rezultante secundare R_3 și R_4 , atunci mecanismul este **autoblocat** și **nu funcționează** !

Ca urmare, condiția ca un element sau un mecanism să funcționeze C_F este ca:

$$(8.16) \quad C_F : i_{RS} > 0$$

Dacă inversăm indicii **1** cu **2**, adică, dacă considerăm intrarea ca ieșire și ieșirea ca intrare și suntem în situația anterioară, atunci mecanismul sau elementul este **autoblocat** la mișcarea sau la tendința lui de mișcare în **sens invers**. Dar sensul invers al lui S este sensul D . Ceea ce revine la a afirma că:

(7.17) $C_{AF} : i_{RD} \leq 0$, adică, **autoblocarea în sensul D, invers de mișcare** (sau tendința de mișcare) a unui element sau a unui mecanism, **este autofrânare**, deoarece, oricât de mari ar fi forțele care acționează de la ieșire spre intrare, în sensul desfacerii D , acesta rămâne în echilibru, deci nu se desface, chiar dacă forțele de la intrare sunt nule sau acționează în sens invers, **până la o anumită valoare maximă**, dată de **rezerva de autofrânare**.

Rezerva de autofrânare există dacă $i_{RD} > 0$ și este cu atât mai mare cu cât distanța d_{2D} de la suportul rezultantei R_{2D} la punctul S_D crește. Ea nu depinde de d_{1D} . Astfel, în cazul în care această distanță d_{2D} este nula și rezerva de autofrânare este nulă; inecuația (8.17) fiind satisfăcută la limită, adică $i_{RD} = 0$.

Rezultă acum **regula 2:**

R2: Dacă forțele rezultante principale în sensul desfacerii R_{1D} și R_{2D} ($\mu_S \rightarrow \mu_D$) deobicei simetrice față de direcțiile normalelor în punctele de contact ale aceluiași forțe R_1 și R_2 (din sensul strângerii S) (d)au momente de **același sens față de punctul secundar la desfacere** S_D atunci, elementul sau sistemul (ca și mecanismul din care face parte acest element) prezintă proprietăți de **autofrânare**.

8. METODA SEPARĂRII MOMENTELOR

Această proprietate este **benefică**, deoarece conduce la creșterea rigidității unor sisteme tehnologice, cu atât mai mult, cu cât elementul cu astfel de proprietăți, de autofrânare, este plasat spre ieșirea din sistem – mecanism, dispozitiv, mașina -.

Proprietatea este obligatorie la dispozitivele cu mecanismele de fixare cu acționare mecanică (**manuală** sau cu piciorul).

MSM facilitează posibilitatea **optimizării** concepției constructive a elementelor și/ sau a sistemelor tehnologice mecanice pentru o funcție scop dată, optimizare care reprezintă asigurarea unei **calități supreme** a sistemului conceput și proiectat. Un exemplu concludent, în acest sens, este tratat în continuare.

8.3 Patrulateralele frecărilor la rezemarea în 2 (PF2) și în 3 puncte (PF3)

Se consideră poziționarea unei piese în dispozitiv pe trei reazeme (**Fig.8.2**), denumite și elemente de poziționare, dintre care P_2 realizează orientarea piesei, prin rotirea ei pe cele două fețe ale unei prisme de semicentrare în punctele P_3 și P_4 . Punctele de reazem sunt situate în același plan cu forțele normale N_i , ($i = 2,3,4$), de legatură dintre reazeme și obiectul (piesa sau semifabricat) instalat, contact stabilit sub acțiunea unei forțe rezultantă de **fixare prin forță** (strângere) $R_S \equiv R_1$ a obiectului în dispozitiv.

Sub acțiunea forțelor de strângere, reprezentate de rezultanta lor R_S , la contactul dintre reazeme și obiect, apar reacțiunile normale N_i , de frecare F_i și, ca sumă a acestora, reacțiunile rezultante R_i .

Reacțiunile trebuie să respecte anumite legi (reguli), care derivă din condiția impusă reazemelor fixe, ca suporturile reacțiunilor normale să nu aparțină aceluiași complex liniar sau de gradul I:

R3: Suporturile a două reacțiuni să nu coincidă (să nu fie confundate).

R4: Suporturile reacțiunilor, coplanare, nu trebuie să fie și concurrente într-un singur punct din plan.

R4': Nici în punctul de la infinit, deci cele trei reacțiuni nu pot fi toate paralele între ele și coplanare.

În funcție de poziția (localizarea și orientarea) vectorului R_S , în raport cu cele 3 puncte P_i , din plan, de contact dintre obiect și dispozitiv și de aplicare a reacțiunilor, apar două sensuri de mișcare posibile, coroborate între ele în cele 3 puncte pentru obiecte (considerate) rigide și lipsite de coroborare pentru obiecte elastice care, datorită deformației lor pot avea deplasări relative de sensuri opuse pe una și aceeași suprafață !

În fiecare din cele 3 puncte de contact P_i , rezultantele R_i pot să se rotească, față de direcțiile normalelor în punctele P_i , cu cel mult $\pm \varphi_i$. Pentru simplificare, considerăm două din cele trei puncte (P_2 și P_3) pe o suprafață plană a obiectului, formând o bază de poziționare de dirijare, având astfel două reacțiuni paralele între ele, iar în P_1 considerăm o bază de rezemare (de localizare prin translație).

Cele 3 puncte P_i unite între ele formează un triunghi, în planul considerat, denumit (**FPC**) **figura(triunghiul) punctelor de contact P_i** .

Dacă cele două suprafețe ale obiectului, care sunt baze de referință de poziționare - dirijare și rezemare- sunt ortogonale, atunci triunghiul rezultat este dreptunghic, **(triunghiul) punctelor de contact P_i** .

Rezultă, astfel, în plan 6 direcții și intersectând suporturile două câte două se obțin 2 până la 4 **patrulare interioare ale frecărilor** și tot atâtea patrulare adiacente - cu câte două dintre patrulare închise-: PF_{242} și PF_{243} corespunzătoare contactelor în numai 2 din cele 3 puncte: P_4 și în P_2 și, respectiv, în P_4 și în P_3 .

Două dintre laturile acestor patrulare sunt în coincidență, deoarece sunt cele două direcții limită posibile ale reacțiunii R_4 . În consecință, adiacent celor două patrulare **PF2** se află un al treilea patruler **PF3**, care corespunde cazului în care apar simultan reacțiuni în (toate) cele 3 puncte de contact cu reazemele.

Din **R4** rezultă că $P_2 \neq P_3$, considerate, de exemplu, situate pe o aceeași suprafață plană a piesei care este o bază de dirijare, (și, evident, distinct de P_4 situat pe o altă suprafață a obiectului, considerată bază de rezemare sau de localizare), astfel că cele două patrulare ale frecărilor în 2 puncte sunt disjuncte, adică:

$PF_{42} \cap PF_{43} = \Phi$ și sunt mulțimi complementare cu $PF3$ în mulțimea patrulerului de frecare PF , obținut din asocierea (însurarea suprafețelor) celor 3 patrulare și denumit simplu **PF sistemului**.

Pentru a exista tendința de mișcare pe suprafața de dirijare δ în punctele P_2 și P_3 , astfel încât, prin alunecarea piesei, să apară reacțiune și în punctul P_4 , este necesar ca R_s să fie înclinată cu un unghi $\pm \beta \geq \pm \varphi_\delta$ ($\delta = 2,3$).

Pentru a exista mișcare în punctul P_4 , astfel încât să apară reacțiuni în P_2 și în P_3 , este necesar ca forța R_s să fie înclinată cu un unghi $\pm \alpha \geq \pm \varphi_4$.

De aceea, când cele două baze de referință de poziționare, fac între ele unghiul solid (din materialul obiectului) γ , condiția de deplasare relativă posibilă a obiectului, în toate cele 3 puncte P_i este ca direcția forței active R_s să fie cuprinsă în unghiul solid (format de generatoarele unui con)

$$\chi \leq \gamma - (\alpha + \beta) \text{ și, pentru cazul considerat, } \gamma = \frac{\pi}{2} \text{ și rezultă}$$

$$(7.18) \quad \chi \leq \frac{\pi}{2} - (\alpha + \beta) \leq \frac{\pi}{2} - (\varphi_4 + \varphi_\delta)$$

Considerând condiția anterioară satisfăcută, dacă suportul lui R_s trece prin punctul de intersecție dintre R_4 și R_2 , punct notat cu P_{42} , atunci R_s se va descompune exclusiv după aceste două direcții, astfel că $R_3 = 0$; reacțiunea în cel de al treilea punct fiind nulă.

$$\text{Dacă } P_{43} = R_4 \cap R_3 \Rightarrow \overline{R_4} + \overline{R_3} = \overline{R_s} \Rightarrow R_2 = 0.$$

Dacă R_s intersectează segmentul $\overline{P_{42}P_{43}}$, atunci vom avea contactul dintre obiect și dispozitiv (reazema) în toate cele 3 puncte, cu observația că, în extremele segmentului, vom avea contact (la limită) dar mărimea câte unei reacțiuni va fi nulă.

În exteriorul acestui segment, dar interior PF , vom avea contactul doar în două puncte. Pierderea contactului este sinonimă cu pierderea controlului asupra rotirilor

8. METODA SEPARĂRII MOMENTELOR

piesei în dispozitiv, și, totodată, cu erori de fixare, datorate deformațiilor și deplasărilor obiectului în dispozitiv, inacceptabil de mari. Păstrarea contactului dintre piesă și dispozitiv, în toate punctele de contact, este o condiție obligatorie (prima condiție a concepției corecte a unui mecanism de fixare al unui dispozitiv **a**, iar a doua, **b**, este să nu apară mișcare globală între piesă și dispozitiv).

Pierderea contactului poate surveni în timpul:

- amplasării piesei pe reazemele dispozitivului, când se afirmă că nu există **stabilitate la amplasare**, sub acțiunea greutății proprii a piesei **G**.
- în timpul fixării piesei în dispozitiv, sub acțiunea forței rezultante de fixare R_s , în cazul inexistenței **stabilității piesei la fixare** și
- în timpul prelucrării piesei, sub acțiunea forțelor de prelucrare **F**, în lipsa **stabilității la prelucrare**.

R5: Pentru că, în toate cazurile enumerate, să existe stabilitate este necesar, nu și suficient, ca direcția lui \overline{G} , direcția lui $\overline{G} + \overline{R}_s$ și direcția lui $\overline{G} + \overline{R}_s + \overline{F}$ să intersecteze simultan patrulelateralul frecărilor în trei puncte **PF3** și **figura (triunghiul punctelor de contact)**.

Ultima condiție rezultă din posibilitatea rotirii piesei în jurul elementelor de reazem într-un sens în care piesa pierde contactul cu reazemele.

8.4. Optimizarea localizării și orientării forței rezultante de fixare

În sistemele solicitate de forțe coplanare (Fig.8.2), considerate în acest capitol, dintre cele 4 forțe rezultante posibile, numai una este forța **activă** (eventual ca sumă a mai multor forțe active date) de **acționare** care provoacă tendința de mișcare în sensul **S**, toate celelalte (și pot fi cel mult 3) fiind de reacțiune.

Cele 3 forțe de reacțiune, în cel mai general caz (în care nu există două normale paralele între ele), se intersectează, două câte două, în 3 puncte (ne coliniare și ne concurente) care sunt vârfurile unui triunghi P_{ij} , denumit **TS-triunghiul stabilității** piesei pe cele 3 reazeme. Există 3 astfel de **TS**, după cum punctele P_{ij} S_{ij} sunt în sensul **S**, P_{ij} D_{ij} -în sensul **D** sau, în cazul ideal sau fără tendința de mișcare, când P_{ij} N_{ij} .

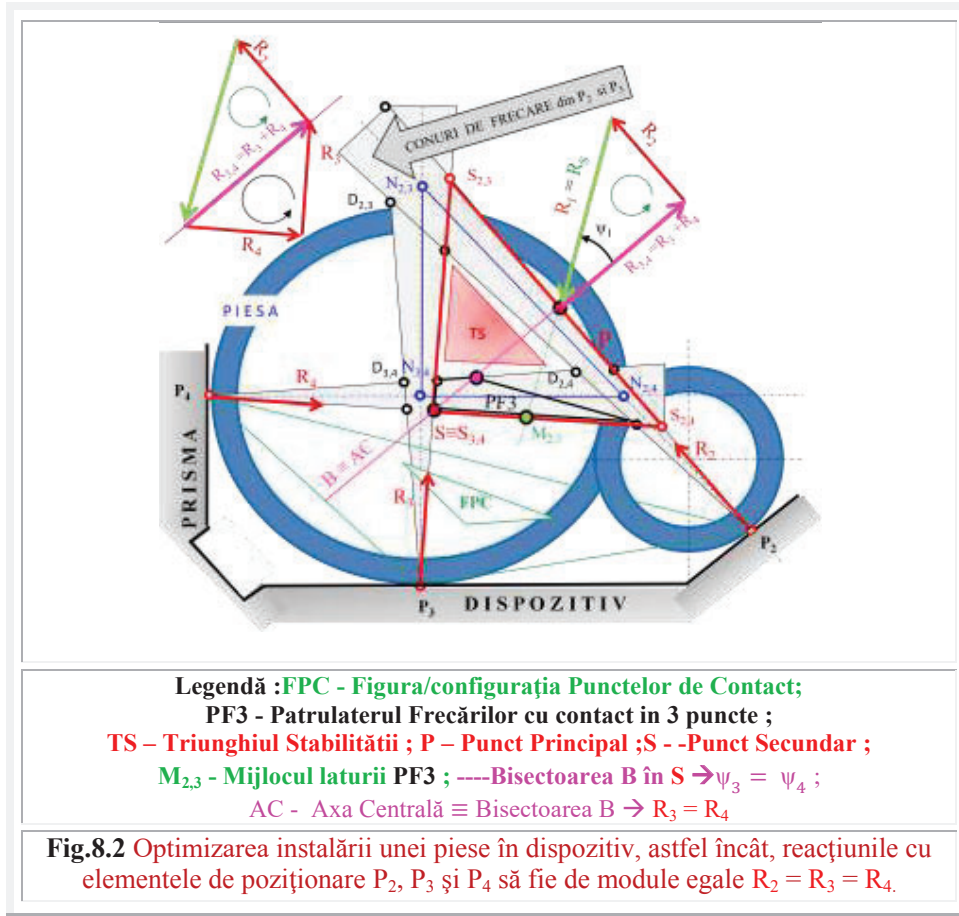
Unul dintre aceste puncte de intersecție ar putea fi aruncat la infinit, dacă suporturile a două reacțiuni sunt paralele, adică, dacă reazemele sunt pe o suprafață plană și coeficienții de aderență (sau de frecare) sunt de valori egale.

Pot fi formate **TS** mixte sau **hibride TSH**, alegând, pentru intersecție, direcțiile rezultatelor forțelor în unul sau în două puncte și direcțiile normalelor reacțiunilor în celelalte puncte de reazem.

Fiecare dintre vârfurile acestui triunghi reprezintă limita de stabilitate pe cele trei reazeme, în sensul că, dacă forța rezultantă de fixare R_s este **localizată** în plan, astfel încât să treacă prin unul din aceste vârfuri, de exemplu P_{34} , atunci reacțiunea în cel de al 3-lea punct P_2 va fi nulă; piesa rămânând însă, la limita, în contact în acest punct.

Se desprinde regulile:

R6: Dacă unul dintre punctele de intersecție ale reacțiunilor rezultante aparțin forței active, atunci rezerva de stabilitate este nulă într-un punct de reazem și forțele de reacțiune rezultante sunt maxime în celelalte două puncte în care se va descărca acțiunea.



În cazul **TS** hibrid, dacă cele două puncte sunt de intersecție ale normalelor reacțiunilor, atunci R_s se descompune (descarcă) exclusiv pe cele două normale și, în lipsa frecărilor în reazeme, dispăre tendința de mișcare relativă în aceste puncte de contact, ceea ce arată că, în aceste două puncte, stabilitatea este maximă posibilă.

Și, ca un corolar:

R7. Cu cât rezultanta forțelor active este mai îndepărtată de vârfurile triunghiului stabilității, format de punctele de intersecție ale reacțiunilor, cu atât mai apropiate între ele vor fi valorile reacțiunilor.

8. METODA SEPARĂRII MOMENTELOR

Dacă forța activă \mathbf{R}_S trece prin mijlocul (M_{ij}) unei laturi a \mathbf{TS} , a căror forțe rezultante de la capete sunt paralele între ele (situat pe o aceeași suprafață plană a piesei, de ex.), atunci cele 2 reacțiuni rezultante de la capetele laturii \mathbf{TS} pot avea valori egale între ele.

Dacă **axa centrală**, pe care se situează punctele \mathbf{P} și \mathbf{S} , este și **bisectoarea unghiului** din S , S_{34} din \mathbf{TS} , atunci unghiurile din S sunt egale ($\psi_3 = \psi_4$) și, deoarece $d_3 = d \cdot \sin \psi_3$ și $d_4 = d \cdot \sin \psi_4$, rezultă $d_3 = d_4$.

Suma momentelor față de punctul principal \mathbf{P} este:

$$(8.19) \quad R_3 \cdot d_3 - R_4 \cdot d_4 = 0 \text{ din care, raportul forțelor rezultante secundare va fi:}$$

$$(8.20) \quad i_{R_{34}} = k_S \text{ și, în condițiile anterior amintite, } i_{R_{34}} = k_S = 1,$$

astfel că reacțiunile rezultante secundare sunt egale între ele: $\mathbf{R}_3 = \mathbf{R}_4$.

Rezultă următoarea **regulă de optimizare**:

R8: În condiția în care axa centrală se alege ca **bisectoare** a unghiului din \mathbf{S} al \mathbf{TS} , atunci cele două reacțiuni considerate secundare sunt de module egale.

Determinarea modulelor a trei vectori R_2, R_3, R_4 de direcții date, când se cunoaște modulul și direcția vectorului $\mathbf{R}_1 \equiv \mathbf{R}_S$, revine la descompunerea unui vector după trei direcții date. Regula fiind următoarea:

1) Se intersectează vectorii doi câte doi (de exemplu \mathbf{R}_1 cu \mathbf{R}_2 și \mathbf{R}_3 cu \mathbf{R}_4). Punctele lor de intersecție (fiind \mathbf{P} și \mathbf{S}), determină o direcție ajutătoare (care este și **axa centrală**).

2) Se descompune vectorul dat ($\mathbf{R}_1 = \mathbf{R}_S$) după direcția ajutătoare și direcția vectorului \mathbf{R}_2 (Prin extremitățile vectorului dat, se duc paralele cu direcțiile date. Triunghiul astfel format are drept laturi cei trei vectori, printre care și cei doi căutați).

3) Direcția ajutătoare este tocmai direcția vectorului rezultat al rezultatelor secundare \mathbf{R}_{34} . Rezultă că

$$(8.21) \quad \vec{R}_1 = \vec{R}_2 + \vec{R}_{3,4} = \vec{R}_2 + \vec{R}_3 + \vec{R}_4 = \vec{R}_2 + \vec{R}_3 + \vec{R}_4$$

8.4.1 Metoda grafică

Se pune problema determinării **reacțiunilor secundare** într-un raport prestabilit k_S (8.20) și a reacțiunii principale \mathbf{R}_2 într-un raport k_P față de rezultanta

$\mathbf{R}_{12} = \mathbf{R}_{34}$, adică :

$$(8.22) \quad \frac{R_2}{R_{12}} = \frac{R_2}{R_{34}} = k_P$$

Se alege o mărime **arbitrară** a unei reacțiuni, de exemplu $\mathbf{R}_3 = 1$. Cunoscându-se raportul k_S , dat- dintre rezultantele secundare, rezultă $\mathbf{R}_4 = k_S \cdot \mathbf{R}_3 = k_S \cdot 1 = k_S$.

Se însușește grafic cei doi vectori secundari și se obține **rezultanta rezultatelor secundare** \mathbf{R}_{34} , egală, în modul, așa cum s-a demonstrat anterior, cu rezultanta rezultatelor principale \mathbf{R}_{12} .

$$(8.23) \quad \mathbf{R}_{12} = \mathbf{R}_{34} = \sqrt{R_3^2 + R_4^2 + 2 \cdot R_3 R_4 \cos(\theta_3 - \theta_4)} =$$

$$= \mathbf{R}_3 \cdot \sqrt{1 + k_S^2 + 2k_S \cdot \cos(\theta_3 - \theta_4)} = \mathbf{R}_3 \cdot \text{Rex}[\alpha = \theta_3, \mathbf{E}(s = k_S, \varepsilon = \theta_4)]$$

Se deplasează, de-a-lungul axei centrale din **S** în **P**, vectorul \mathbf{R}_{34} (v. **Fig.8.2**) și se însumează cu vectorul \mathbf{R}_2 , de raport dat k_P , rezultând

$$(8.24) \quad \mathbf{R}_2 = k_P \cdot \mathbf{R}_{34} = k_P \cdot R_3 \cdot \sqrt{1 + k_S^2 + 2k_S \cos(\theta_3 - \theta_4)}, \text{ astfel că, prin scăderea grafică a lui } \mathbf{R}_2 \text{ cu } \mathbf{R}_{12}, \text{ rezultă direcția grafic și modulul lui } \mathbf{R}_1$$

$$(8.25) \quad \mathbf{R}_1 = R_{12} \sqrt{1 + k_P^2 + 2k_P \cos(\theta_2 - \theta_{34})} = \mathbf{R}_{12} \cdot \text{Rex}[\alpha = \theta_2, \mathbf{E}(s = k_P, \varepsilon = \theta_{3,4})]$$

și, utilizând (8.23) și/sau (8.24) rezultă

$$(8.26) \quad R_1 = R_3 \sqrt{[1 + k_S^2 + 2k_S \cos(\theta_3 - \theta_4)] \cdot [1 + k_P^2 + 2k_P \cos(\theta_2 - \theta_{34})]} = \\ = \mathbf{R}_3 \cdot \text{Rex}[\alpha = \theta_3, \mathbf{E}(s = -k_S, \varepsilon = \theta_4)] \cdot \text{Rex}[\alpha = \theta_2, \mathbf{E}(s = -k_P, \varepsilon = \theta_{3,4})]$$

pentru care se obține valoarea aleasă arbitrar **1** a lui \mathbf{R}_4 .

Pentru alte valori ale lui \mathbf{R}_4 sau ale lui \mathbf{R}_1 se realizează o transformare homotetică simplă, prin care se măresc sau se micșorează modulele vectorilor la valoarea dorită, care nu modifică direcțiile acestora.

8.4.2. Metoda analitică

Notând cu α_i , ($i = 2,3,4$) direcțiile forțelor normale ale reacțiunilor, atunci direcțiile rezultatelor vor fi $\theta_i = \alpha_i - \varphi_i$, în sensul **S** și cu semnul + în fața unghiurilor de aderență φ_i (frecare) pentru sensul opus **D**.

Rezultantele rezultatelor secundare \mathbf{R}_{34} și principale \mathbf{R}_{12} , fiind coliniare pe **axa centrală**, formează, cu o axă de referință (orizontală în **Fig.8.2**) unghiurile $\theta_{3,4} = \theta_{1,2} + \pi$, iar axa centrală formează cu \mathbf{R}_3 și \mathbf{R}_4 unghiurile ψ_3 și ψ_4 a căror sumă este

$$\psi_S = \theta_3 - \theta_4.$$

Se deplasează vectorul ajutător \mathbf{R}_{34} pe suportul său în **S** și se descompune după cele două direcții ale vectorilor și rezultă modulele lor \mathbf{R}_3 și \mathbf{R}_4 . Cele două module vor fi egale, dacă direcția \mathbf{R}_{34} este **bisectoarea unghiului** format de cele două direcții date \mathbf{R}_3 și \mathbf{R}_4 , adică,

$$(8.27) \quad \psi_3 = \psi_4 = \frac{\psi_S}{2} = \frac{\theta_3 - \theta_4}{2}, \text{ unghiurile din } S \text{ al } TS.$$

În acest caz direcția rezultantei rezultatelor secundare este

$$(8.28) \quad \theta_{3,4} = \theta_3 + \frac{\theta_3 - \theta_4}{2} = \frac{3\theta_3 - \theta_4}{2} = \theta_{1,2} + \pi$$

Scriind teorema sinusurilor în cele două triunghiuri de însumare a rezultatelor secundare se poate scrie:

$$(8.29) \quad \frac{R_4}{\sin \psi_3} = \frac{R_3}{\sin \psi_4} = \frac{R_{3,4}}{\sin(\theta_3 - \theta_4)} = 2r_C \text{ din care, se obțin unghiurile}$$

$$(8.30) \quad \psi_3 = \arcsin \frac{k_S \sin(\theta_3 - \theta_4)}{\sqrt{1 + k_S^2 + 2k_S \cos(\theta_3 - \theta_4)}},$$

iar ca unghi β (din **trigonometria excentrică**)

8. METODA SEPARĂRII MOMENTELOR

$$(8.31) \quad \beta = \theta - \alpha = \arctan \frac{s \cdot \sin(\alpha - \varepsilon)}{1 - s \cdot \cos(\alpha - \varepsilon)} \text{ cu vârful pe cerc, cu } \varepsilon = \pi \text{ sau, ceea ce}$$

este același lucru, considerând **excentricitatea numerică** ($s = -k_s$) negativă, sub forma echivalentă, dar mai practică prin lipsa radicalului din expresia (8.30):

$$(8.32) \quad \psi_3 = -\arcsin \frac{k_s \sin(\theta_3 - \theta_4)}{1 + k_s \cos(\theta_3 - \theta_4)},$$

Considerând punctele **S** și **P** drept **excentre**, modulul rezultatelor rezultanțelor ca **FSM-CE radial excentric** (rex ca raport dintre modulul rezultatelor rezultanțelor - secundare și principale- și razele cercurilor în două cercuri distincte) și utilizând relațiile dintre unghiul la excentru și unghiul la centru de la funcțiile supermatematice circulare excentrice (**FSM-CE**)

$$(8.33) \quad \theta = \alpha + \beta = \alpha + \arctan \frac{s \cdot \sin(\alpha - \varepsilon)}{1 - s \cdot \cos(\alpha - \varepsilon)},$$

în care $s = k_s$ se consideră **excentricitate numerică** în cercul de rază R_3 , iar $s = -k_p$ excentricitate numerică în cercul de raza R_2 , se obține, considerând aceeași axă de referință, direcția lui R_{34} :

$$(8.34) \quad \theta_{3,4} = \theta_s = \theta_3 - \arctan \frac{k_s \sin(\theta_3 - \theta_4)}{1 + k_s \cos(\theta_3 - \theta_4)} = \theta_{1,2} + \pi,$$

fiind direcția rezultantei rezultanțelor secundare.

Cu ajutorul aceluiași **funcții supermatematice**, considerând ca **excentru** punctul **P**, R_2 ca **rază** și $R_{34} = R_{12}$ ca **excentricitate reală**, rezultă

$$(8.35) \quad \psi_1 = \theta_p = \alpha_p + \beta_p = \theta_2 - \theta_{3,4} - \arctan \frac{k_p \sin(\theta_2 - \theta_{3,4})}{1 + k_p \cos(\theta_2 - \theta_{3,4})} \text{ și, în final :}$$

$$(8.36) \quad \theta_1 = \theta_{3,4} + \psi_1 \text{ și rezultă direcția căutată a rezultantei } R_1$$

$$(8.37) \quad \theta_1 = \theta_2 - \arctan \frac{k_p \sin[\theta_2 - \theta_3 - \arctan \frac{k_s \sin(\theta_3 - \theta_4)}{1 + k_s \cos(\theta_3 - \theta_4)}]}{1 + k_p \cos[\theta_2 - \theta_3 - \arctan \frac{k_s \sin(\theta_3 - \theta_4)}{1 + k_s \cos(\theta_3 - \theta_4)}]}$$

Aceasta este direcția pe care trebuie să o aibe $R_1 = R_s$ pentru a obține **rapoartele prestabilite** k_s și k_p dintre cele trei reacțiuni.

Pot fi exprimate următoarele reguli

R9: Față de TS_{id} , cele 3 reacțiuni vor fi confundate cu cele normale și vor avea valori egale între ele.

În acest caz $\vec{R}_s = \vec{N}_2 + \vec{N}_3 + \vec{N}_4$, iar $F_2 = F_3 = F_4 = 0$; în nici unul dintre punctele de reazem neexistând tendința de mișcare relativă (dintre obiect și dispozitiv, de exemplu) rezerva de stabilitate va fi cea maximă posibilă.

Pentru a putea fi maximă, în toate punctele, rezultanta R_s , trebuie astfel **orientată** încât la descompunerea ei după trei direcții date (direcțiile normalelor) să se obțină fie egalitatea tuturor normalelor ($N_2 = N_3 = N_4$), fie rapoartele dorite dintre acestea. Soluția este posibilă deoarece în sistemele **perfect rigide** și coeficienții de aderență (frecare) în reazeme sunt nuli.

În sisteme reale, cu rigiditate limitată, în punctele de contact, între direcțiile axelor de rigiditate, direcția forței \mathbf{R}_s și valorile coeficienților de aderență în punctele de contact există o dependență bine determinată, față de nedeterminările actuale ale direcțiilor forțelor rezultante în interiorul conului de frecare și implicit ale unghiurilor și a coeficienților de aderență în domeniul definit de **ecartul limitelor extreme** $\pm \varphi_1$ de rotire ale **rezultantelor forțelor** reactive față de direcțiile normalelor din punctele de contact.

R8 : Rezerva de stabilitate este nulă în două puncte (în care forțele sunt nule $\mathbf{R}_2 = \mathbf{R}_3 = \mathbf{0}$), dacă forța activă este poziționată (dirijată, conținută, suprapusă) pe una dintre laturile triunghiului de stabilitate și va rezulta o forță maximă în cel de-al 3-lea punct, în care reacțiunea va fi egală cu forța activă de acționare $\mathbf{R}_4 = \mathbf{R}_s$, dacă direcția lui \mathbf{R}_s este astfel orientată încât să coincidă cu direcția rezultantei \mathbf{R}_4 .

Dacă $\mathbf{R}_s = \mathbf{N}_4$, atunci în cel de-al 3-lea punct și stabilitatea va fi maximă.

8.5.Optimizarea concepției sistemelor mecanice

Optimizarea constă în asigurarea diverselor condiții extreme impuse sistemului, rezultate din condițiile de raționalitate impuse acestora, printre care sunt:

- **Creșterea calității** produselor fabricate, prin **creșterea preciziei de prelucrare** a pieselor componente, ca rezultat al **diminuării erorilor** de fixare a pieselor în dispozitive, datorate deformațiilor sub acțiunea forțelor de fixare și a erorilor de fabricație, determinate de deformațiile sub acțiunea forțelor de prelucrare.

Dacă suportul forțelor de așchiere este invariant în spațiu, ca de exemplu, la găurire, alezare, filetare, presare, ștanțare ș.a, atunci problema se rezolvă foarte simplu: se plasează Z elementele nemijlocite de fixare astfel încât suma forțelor normale de

strângere $\mathbf{S} = \sum_{k=1}^Z \mathbf{S}_k$ să fie localizată în coincidență cu forța axială de prelucrare \mathbf{F} , iar elementele de rezemare, ca de exemplu cele 3 de așezare, se plasează astfel încât suportul forțelor $\overline{\mathbf{R}}_1 = \overline{\mathbf{S}} + \overline{\mathbf{F}} = \overline{\mathbf{S}} + \overline{\mathbf{F}}$ să treacă prin centrul de greutate al figurii (triunghiului) celor 3 puncte de contact cu reazemele de așezare.

Astfel, rezultă o comprimare centrică a sistemului, axa elastică principală fiind în coincidență cu direcția forței rezultante de fixare și acestea cu direcția forței axiale de prelucrare.

Dacă, din diverse motive, acest aranjament nu este posibil, atunci se renunță la coincidența suporturilor a două forțe, dar se păstrează paralelismul lor; axa elastică principală a sistemului tehnologic fiind menținută în coincidență cu suportul rezultantei acestor forțe paralele, astfel că piesa să se deplaseze **exclusiv prin translație** în direcția axei elastice principale.

Astfel, se asigură precizia de poziționare a elementelor geometrice de fabricație, față de cele de cotare (proiectare), ca de exemplu, perpendicularitatea axei orificiilor prelucrate față de suprafața piesei, care este baza de poziționare și pe care sunt dispuse elementele de reazem.

8. METODA SEPARĂRII MOMENTELOR

Păstrarea paralelismului, dintre suprafețele prelucrate și baza de poziționare de dirijare, se obține menținând constante reacțiunile din cele două reazeme, ale acestei baze, așa cum s-a arătat anterior.

Deformațiile, în punctele de contact piesă-dispozitiv, fiind egale între ele, influența lor poate fi eliminată prin corijarea cotei de reglare dimensională a sistemului tehnologic mașină-dispozitiv-piesă-sculă (MDPS).

Și exemplele pot continua..

8.6. Calculul expresiei generale a $\overline{FT}_R \equiv \mathbf{i}_R$ a oricărui element sollicitat de un sistem de forțe plane sau reductibil la acesta

Fie $P_i(x_i, y_i)$ punctele de aplicație ale celor 4 forțe rezultante R_i , care pot sollicita acest element sau sistem (« Bolovanul » din Fig.8.3) și ecuațiile direcțiilor suporturilor (D_i) a celor 4 vectori - forță de forma:

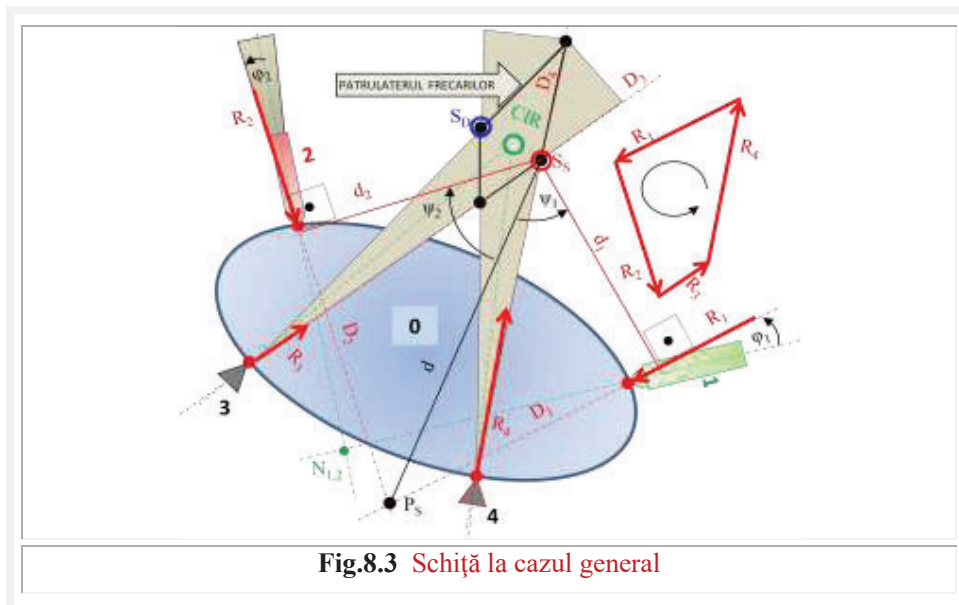


Fig.8.3 Schiță la cazul general

$$(8.38) \quad D_i: \quad A_i x + B_i y + C_i = 0.$$

Atunci, punctul principal P de intersecție va avea coordonatele:

$$(8.39) \quad R_1 \cap R_2 = P \begin{pmatrix} x_p = \frac{C_1 B_2 - B_1 C_2}{A_1 B_2 - B_1 A_2} \\ y_p = \frac{A_1 C_2 - C_1 A_2}{A_1 B_2 - B_1 A_2} \end{pmatrix}, \text{ iar punctul secundar } S \text{ coordonatele:}$$

$$(8.40) \quad \mathbf{R}_3 \cap \mathbf{R}_4 = \mathbf{S} \begin{pmatrix} x_s = \frac{C_3 B_4 - C_4 B_3}{A_3 B_4 - A_4 B_3} \\ y_s = \frac{A_3 C_4 - C_3 A_4}{A_3 B_4 - A_4 B_3} \end{pmatrix}$$

Distanțele (brațele forțelor) \mathbf{d}_i ($i = 1, 2$) de la punctul \mathbf{S} la suportul rezultatelor principale \mathbf{R}_1 și \mathbf{R}_2 sunt date de relația:

$$(8.41) \quad \mathbf{d}_i = \frac{\mathbf{A}_i x_s + \mathbf{B}_i y_s + \mathbf{C}_i}{\text{sgn } \mathbf{B}_i \sqrt{\mathbf{A}_i^2 + \mathbf{B}_i^2}}, \text{ astfel că funcția de transfer } \mathbf{FT}_R, \text{ sau raportul de}$$

transmitere a forțelor rezultante este \mathbf{i}_R , conform primei părți a relației (8.9), este:

$$(8.42) \quad \mathbf{i}_R = \frac{\mathbf{R}_2}{\mathbf{R}_1} = \frac{\mathbf{d}_1}{\mathbf{d}_2} = \frac{\mathbf{A}_1 x_s + \mathbf{B}_1 y_s + \mathbf{C}_1}{\mathbf{A}_2 x_s + \mathbf{B}_2 y_s + \mathbf{C}_2} \cdot \frac{\text{sgn } \mathbf{B}_2 \sqrt{\mathbf{A}_2^2 + \mathbf{B}_2^2}}{\text{sgn } \mathbf{B}_1 \sqrt{\mathbf{A}_1^2 + \mathbf{B}_1^2}}$$

Dacă în sensul \mathbf{S} direcțiile \mathbf{D}_i fac unghiurile φ_i cu direcțiile normalelor în punctele \mathbf{P}_i , atunci, în sensul invers \mathbf{D} (**desfacere**) direcțiile forțelor rezultante vor face, în general, unghiurile $-\varphi_i$ cu aceleași direcții ale forțelor normale din punctele de contact \mathbf{P}_i , fiind simetricele acestora față de normalele din punctele de contact.

Este ușor de observat, din cazul anterior prezentat, că **MSM** transferă, o problemă de **mechanică pură**, din domeniul mecanic în cel matematic, **pur geometric**.

Mecanica revenind, astfel, în matca de unde s-a desprins cu secole în urmă.

8.7 Reducerea numărului forțelor rezultante cheia MSM

În mod natural, elementele sistemelor mecanice solicate de **forțe coplanare** pot fi cu un număr \mathbf{n} de forțe rezultante: $\mathbf{n} = 2, 3$ și 4 .

S-a văzut că, prin separarea arbitrară a forțelor și, în consecință, și a momentelor, în **principale** și **secundare**, prin introducerea noțiunii de rezultantă a rezultatelor, un sistem solicitat de $\mathbf{n} = 4$ forțe rezultante s-a redus la unul cu numai $\mathbf{n}=2$ forțe, care sunt tocmai **rezultantele rezultatelor**. Astfel **MSM** a reușit să rezolve atât de simplu problemele suficient de complicate ale mecanicii.

Dacă $\mathbf{n} = 2$, ca de exemplu în cazul **tijelor** și a **bielelor** de transmitere a mișcărilor, neexistând și forțe secundare, echilibrul se stabilește exclusiv între cele două forțe principale \mathbf{R}_1 și \mathbf{R}_2 care, în aceste condiții, vor fi **egale**, de sens (semn) contrar și pe **același suport**. Fiind elemente atât de simple, proiectanții nu le acordă atenția cuvenită. Așa se face că, o tija de comandă a schimbătorului de viteze de la istorica mașinuță « Lăstun », fabricată la Mecatim din Timișoara, se manevra greu, pentru că era proiectată și construită în apropierea domeniului de autoblocare (**Fig.8.4**).

Există două tipuri de tije de transmitere a mișcărilor: Tip e_1 , cu excentricitatea la intrare, care se pot autobloca în anumite condiții (**Fig. 8.4,B**) când momentele rezultatelor principale au momente de același sens (semn) față de secundar \mathbf{S} .

Dacă se notează cu $h = L \cdot \tan \varphi = L \cdot \mu$ distanța de la \mathbf{S} la direcția ghidajului tijei, cu distanța L între reazeme, atunci pentru tip e_1 , brațul rezultantei de la intrare d_1 va fi

8. METODA SEPARĂRII MOMENTELOR

(8.43) $d_1 = h - e_1 = L \cdot \mu - e_1$, iar pentru R_2 , brațul d_2 al rezultantei R_2 , de la ieșire este

(8.44) $d_2 = h = L \cdot \mu$, ca urmare raportul de transmitere în sensul strângerii va fi

$$(8.45) \quad i_{RS1} = \frac{R_2}{R_1} \frac{d_1}{d_2} = \frac{\mu L - e_1}{\mu L} = 1 - \frac{e_1}{\mu L} < 1$$

La tipul e_2 mărimile anterioare sunt

$$(8.46) \quad \begin{cases} d_1 = h = L \cdot \mu \\ d_2 = h + e_2 = L \cdot \mu + e_2 \end{cases}, \text{ astfel că rezultă } i_{RS2} = \frac{R_2}{R_1} \frac{d_1}{d_2} = \frac{\mu L}{\mu L + e_2} = \frac{1}{1 + \frac{e_2}{\mu L}} < 1.$$

În concluzie, datorită frecărilor din ghidaje, ambele variante au raportul de transmitere subunitar, dar numai în cazul tipului e_1 acest raport poate fi negativ, și, ca urmare, numai la acest tip poate să apară autoblocarea, așa cum apare în **figura 8.4,B**.

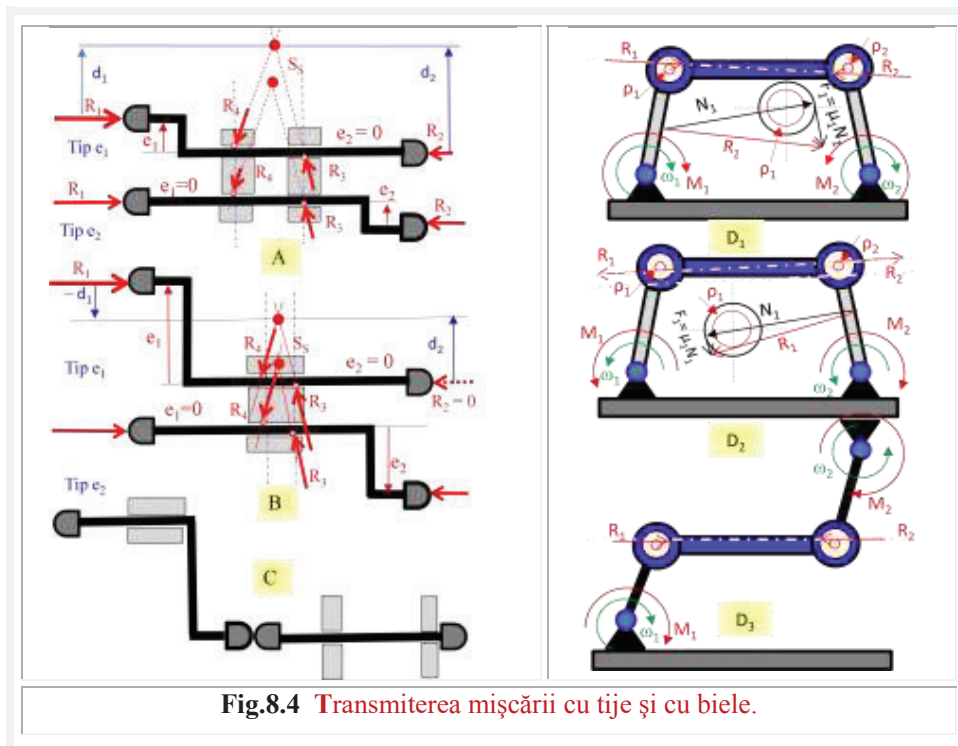


Fig.8.4 Transmiterea mișcării cu tije și cu biele.

Condițiile în care autoblocarea tijelor e_1 este posibilă pot fi : o excentricitate e_1 prea mare sau un ghidare al tijeii de lungime/distanță L prea scurtă. Autoblocarea se poate recunoaște imediat, urmărind sensul momentelor forțelor principale, față de S : dacă au același semn autoblocarea este prezenta, deoarece + cu + și - cu - nu se pot anula !

Tijele de tip e_2 , sunt cele care nu se pot autobloca, deoarece momentele lor sunt, în toate condițiile, de semne contrare, ca urmare, echilibrul, static există, $1 > i_{RS} > 0$ și mișcarea este posibilă. Ele pot fi utilizate la legarea în serie a mai multor tije

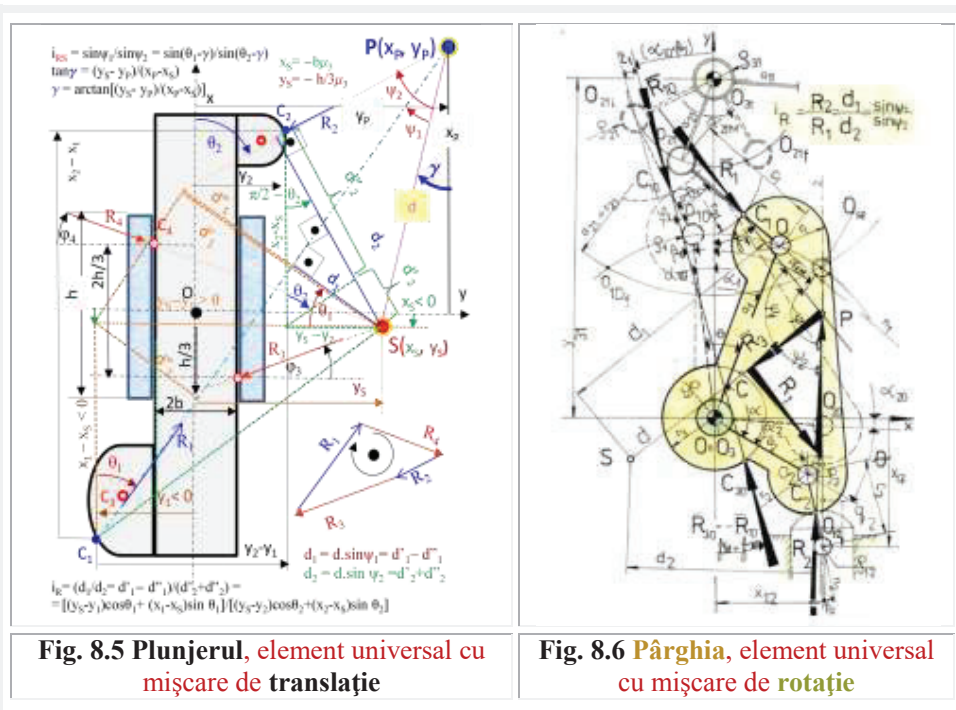
pentru transmiterea la distanță a mișcărilor (Fig. 8.4,C) cu excentricitate e ridicată/mare, între intrare și ieșire.

În cazul bielei, suportul forțelor rezultante (principale, pentru că cele secundare nu există) este constituit din una din cele 4 direcții tangente la cele două **cercuri de frecare**, de raze ρ_1 și ρ_2 , din cele două **ochiuri** ale bielei.

În **figura 8.4** sunt prezentate 3 tipuri de biele. În D_1 și D_3 bielele sunt solicitate la compresiune, iar în D_2 este solicitată la întindere. Toate forțele și momentele, reprezentate în **figura 8.4,D**, acționează asupra bielei și, pentru articulația din ochiul de acționare, sunt reprezentate și forțele normale și de frecare din fus.

De aceea, rezulta imediat: $i_R = 1$, pentru $n = 2$, (Fig.8.4 D).

Dacă $n = 3$, ca de exemplu în cazul unei element de amplificarea forțelor cu pană (Fig.8.1), cu mișcare de translație, pe suprafața plană de dirijare a mișcării de translație, înclinată cu un unghi α_3 , față de o axă oarecare de referință, apare forța rezultantă de legătură din ghidaj R_3 , ca sumă a forțelor distribuite pe această suprafață, **singura** forță rezultantă secundară din sistem.



La aceste elemente, echilibrul forțelor este **posibil numai** dacă toate cele 3 forțe rezultante sunt **concurrente într-un singur punct**. Acest punct este punctul principal **P** prin care va trece și R_3 . În lipsa celei de a doua rezultante secundare,

8. METODA SEPARĂRII MOMENTELOR

lipsește și punctul secundar **S**, de intersecție a rezultatelor secundare. Se poate arăta, fără dificultate, că, în acest caz, **S se alege arbitrar pe direcția lui R_3** .

În consecință, suportul lui R_3 este **axa centrală** a elementului și segmentul $d = \|\overline{PS}\|$ se situează pe direcția vectorului secundar R_3 .

Rezultă, pentru o astfel de **pană**, raportul de transmitere a rezultatelor:

$$(8.43) \quad i_R = \frac{\sin \psi_1}{\sin \psi_2} = \frac{\cos[(\alpha_1 + \varphi_1) + (\alpha_3 + \varphi_3)]}{\sin[(\alpha_2 + \varphi_2) + (\alpha_3 + \varphi_3)]}$$

în care **unghiurile α_i , $i = 1, 2, 3$**

sunt înclinațiile celor trei fețe ale unei **pene** față de fețele unui dreptunghi, iar indicii corespund cu tipul rezultatelor:

- **1 (forța activă de intrare)** și
- **2 (forța de ieșire de strângere)** în sens levogin și
- **3 (forța secundară din ghidajul penei)** în sens dextrogin.

Se observă forma mai avantajoasă a relației (8.43), mai ales la legarea în serie a penei cu alte elemente, la care raportul de transmitere global al mecanismului va fi dat, așa cum se știe, de produsul:

$$(8.44) \quad i_{RM} = \prod_{k=1}^n i_{Rk} = i_{R1} \cdot i_{R2} \cdot i_{R3} \cdots i_{Rn}$$

față de relația clasică (la care $\alpha_1 = 0$; rezultanta R_1 confundându-se cu normala N_1)

$$(8.45) \quad i_R = \frac{1}{\tan(\alpha_2 + \varphi_2) + \tan(\alpha_3 + \varphi_3)},$$

păstrând notațiile anterioare.

La un element de tipul plunjerului dublu ghidat bilateral (Fig.8.5), denumit și element universal cu mișcare de translație, se obține relația

$$(8.46) \quad i_R = \frac{(y_S - y_1) \cos \theta_1 + (x_1 - x_S) \sin \theta_1}{(y_S - y_2) \cos \theta_2 + (x_2 - x_S) \sin \theta_2},$$

în care axa **X** a fost aleasă pe

direcția de mișcare de translație a plunjerului, în sensul **S**, cu originea **O(0,0)** în mijlocul lungimii h de ghidare (coeficientul de aderență (frecare) fiind considerat același pe ambele fețe ale plunjerului, în care lucrează rezultantele secundare, ca sumă a forțelor triunghiular distribuite în ghidaj) și în axa plunjerului de lățime $2b$.

Punctul secundar **S** are coordonatele:

$$(8.47) \quad S = \overline{R_3} \cap \overline{R_4} \begin{pmatrix} x_s = -b \cdot \mu_{3,4} \\ y_s = -\frac{h}{3 \cdot \mu_{3,4}} \end{pmatrix},$$

iar $\theta_{1,2}$ sunt direcțiile rezultatelor principale,

$R_{1,2}$ cu axa **X**, care acționează în cele două puncte de coordonate $P_{1,2}(x_{1,2}, y_{1,2})$.

Există și cazuri, justificate din punct de vedere constructiv, când numărul rezultatelor nu scade, ci, dinpotrivă, crește.

O bielă poate prelua mișcarea de la un singur element și să o transmită, cu multiplicarea mișcărilor, la două elemente simultan, legate la același bolț / fus. În acest caz, bolțul este suprasolicitat și pentru evitarea acestui fapt se dispun două ochiuri la ieșire, cu

două bolțuri în paralel. Un astfel de caz este al unei **biele modificate**, sau, mai precis, al unei **“triele”**, pentru că are trei ochiuri.

Astfel de **triele** echipează presele hidraulice, pentru mase plastice, care au fost fabricate la Electrotimiș din Timișoara, în colaborare și după un proiect al unui partener din Italia.

8.8 Aplicații la elementele unor mecanisme plane

Fiind o metodă deosebit de simplă și expresivă, **MSM** permite constructorului, de sisteme mecanice, **optimizarea** construcției, astfel încât, diversele funcții scop, impuse, să se poată realiza fără dificultăți.

MSM se poate aplica sub formă **grafică** și / sau **grafo-analitică** în primele faze ale design-ului, acelea de concepție a sistemului, în care construcția mecanică se află sub forma unor schițe de principiu, urmând ca în ce-a de a doua fază, de proiectare a construcției, în varianta optimă, determinată în prima fază, să fie utilizată sub forma **analitică** pentru verificarea condițiilor de funcționare, de autofrânare și de evitare a autoblocării, ca și de determinare rapidă și exactă a tuturor forțelor care solicită sistemul, în vederea dimensionării și a verificării elementelor componente.

Desenele prezentate, în prezenta lucrare, sunt astfel realizate încât să se preteze și la metodele grafice, la fel de bine, ca și la cele analitice.

Determinarea rapoartele de transmitere a forțelor la diverse elemente și mecanisme a fost o veche preocupare a inaintașilor, din cele mai vechi timpuri. Ei au soluționat aceste probleme cum au putut și cum s-au priceput.

Cele mai cunoscute și utilizate “unelte” în vechime au fost pana și pârghia. Cine nu știe că forțele dezvoltate de pană depind de unghiul penei, iar forțele transmise, de obicei urmărindu-se amplificarea lor, depind de lungimea brațelor pârghiei.

Concluzii care astăzi nu ne mai satisfac pe deplin. Pentru că, în milenii III, pretențiile privind precizia de exprimare a rapoartelor de transmitere a forțelor, vitezelor, accelerațiilor ș.a. sunt cu mult mai mari: Se cere determinarea cu precizie absolută a acestor parametri. Numai **MSM** oferă facil un pas uriaș spre soluționarea acestui deziderat, așa cum s-a demonstrat deja și așa cum se va trata în continuare, analizând cele mai vechi element de transmitere și amplificare a forțelor, la fel de vechi ca și pana, e vorba de pârghie (**Fig. 8.6**) și de excentricul circular din **figura 8.7**.

La prima vedere, desenul pârghiei pare exagerat de complicat. Dar nu este.

Pârghia, fiind un element care se rotește în jurul unui bolț, cu centrul în punctul O_3 , forța rezultantă dintre acest bolț și pârghie va fi în permanență tangentă la cercul de frecare de rază ρ_3 , rază dată, așa cum se cunoaște, de produsul razei bolțului r_3 cu sinusul unghiului de frecare φ_3 dintre bolț și pârghie, adică de relația $\rho_3 = r_3 \cdot \sin \varphi_3$.

Ca și pana, pârghia este solicitată de 3 forțe rezultante: de intrare R_1 și de ieșire R_2 , care sunt, totodată considerate ca forțe principale; R_1 fiind presupusă cunoscută și singura forță secundară este R_3 , care apare la interacțiunea dintre bolț și pârghie.

8. METODA SEPARĂRII MOMENTELOR

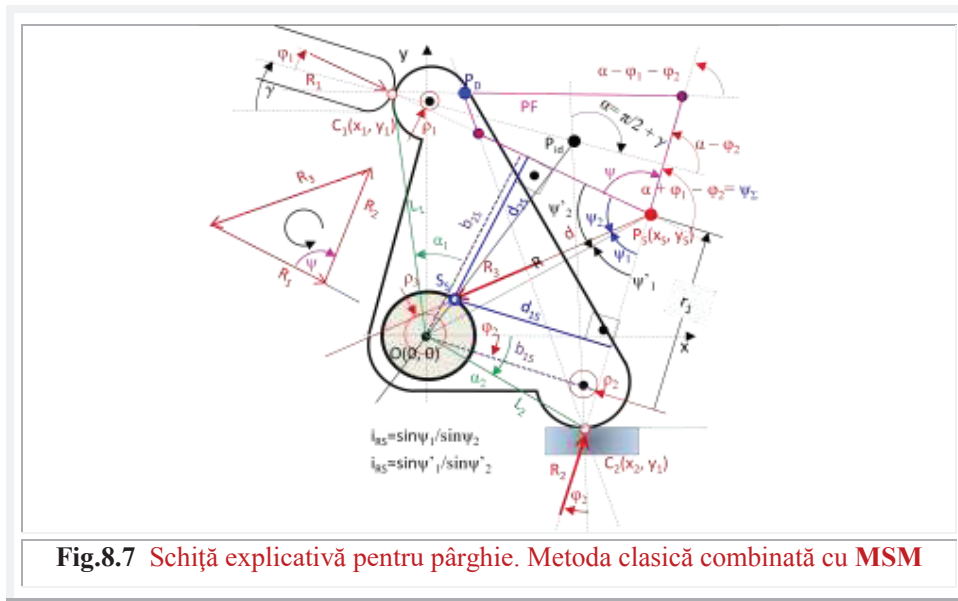
Suprafețele de la intrare și dela ieșire, având forma unor calote sferice sau a unor zone cilindrice, rezultantele R_1 și R_2 vor fi aplicate în punctele de contact C_1 și vor fi în permanență tangente la cercurile respective de frecare de raze ρ_1 și ρ_2 .

Cunoscându-se direcțiile forțelor rezultante, problema este ca și rezolvată.

Pe direcția rezultantei R_3 se alege arbitrar punctul secundar S , așa cum este ilustrat în figura 8.6 și, pentru metoda grafică, se măsoara lungimile d_1 și d_2 a căror raport este tocmai raportul de transmitere a forțelor în sensul strângerii S .

Rezolvarea exactă a pârghiei, prin metoda clasică d'Alambert, combinată cu MSM, este prezentată în lucrarea [48].

Știind că cele trei forțe rezultante, în condiții de echilibru, formează un poligon (triunghi) închis, parcurs în același sens și considerând modulul vectorului R_1 ca rază a unui cerc, modulul lui R_2 ca excentricitate liniară reală și raportul $i_{RS} = \frac{R_2}{R_1}$, care este și raportul de transmitere a forțelor rezultante în sensul S , ca excentricitate liniară



numerica și pe R_3 ca funcție radial excentrică, se poate scrie, ca și în cazul utilizării teoremei lui **Pitagora** generalizate:

$$(8.48) \quad R_3 = R_1 \operatorname{Re}x\left[\alpha = \psi, S\left(s = \frac{R_2}{R_1}, \varepsilon = 0\right)\right] = R_1 \sqrt{i_{RS}^2 + 1 - 2i_{RS} \cos \psi}$$

Dar, în acest caz, pentru simplificarea rezolvării analitice a problemei, se utilizează, totuși, ecuația de momente a forțelor față de centrul/axa de rotație $O(0, 0)$, uzând de brațele acestor forțe b_1 și b_2 , față de punctul O , brațe care se deduc fără dificultate; construcția pârghiei fiind dată/determinată. Astfel

$$(8.49) \begin{cases} b_1 = L_1 \cos \alpha_1 = \sqrt{x_1^2 + y_1^2} \cdot \cos \alpha_1 = \sqrt{x_1^2 + y_1^2} \cdot \sin(\gamma + \varphi_1) \\ b_2 = L_2 \cos(\alpha_2 - \varphi_2) = \sqrt{x_2^2 + y_2^2} \cdot \cos(\alpha_2 - \varphi_2) \end{cases}$$

Ecuția de momente este

$$(8.50) \begin{cases} R_1 b_1 - R_2 b_2 - R_3 \varrho_3 = 0, \\ \text{sau} \\ b_1 - i_{RS} b_2 - \frac{R_3}{R_1} \varrho_3 = 0 \end{cases} \text{ și înlocuind pe } R_3 \text{ din (8.48) în (8.50) rezultă}$$

ecuația algebrică de gradul al II-lea în i_{RS}

$$(8.51) i_{RS}^2 (b_2^2 - \varrho_3^2) - 2i_{RS} (b_1 b_2 - \varrho_3^2 \cos \psi) + (b_1^2 - \varrho_3^2) = 0$$

Rădăcinile acestei ecuații sunt

$$(8.52) i_{RS,D} = \frac{(b_1 b_2 - \varrho_3^2 \cos \psi) \pm \sqrt{(b_1 b_2 - \varrho_3^2 \cos \psi)^2 - (b_2^2 - \varrho_3^2)(b_1^2 - \varrho_3^2)}}{b_2^2 - \varrho_3^2}$$

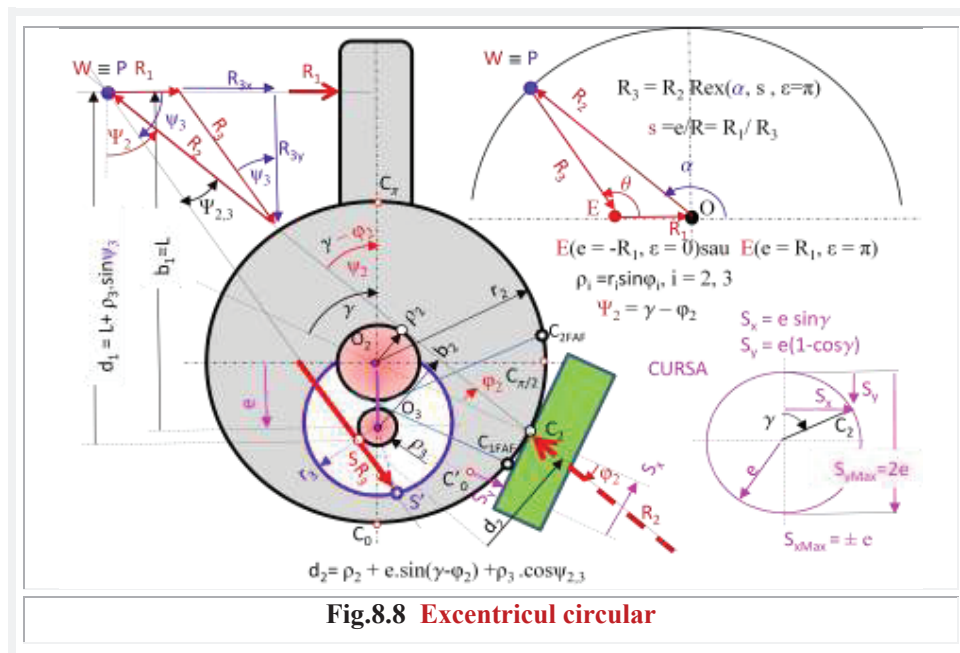
și, pentru semnul minus din fața radicalului îl reprezintă pe i_{RS} , iar pentru semnul plus din fața radicalului îl reprezintă i_{RD} , cu condiția să se schimbe și semnul frecărilor, adică $\varphi_1 \rightarrow -\varphi_1$ și $\varphi_2 \rightarrow -\varphi_2$, în relațiile anterioare.

Aceasta, deoarece se știe, că rapoartele de transmitere sunt în relația

$$(8.53) i_{RD} > i_{id} > i_{RS}$$

Prin anularea frecărilor, în relația (8.52), rezultă raportul ideal de transmitere a forțelor dezvoltate de pârghie, cel cunoscut și de înaintași

$$(8.54) i_{id} = \frac{N_2}{N_1} = \frac{b_1}{b_2}$$



8. METODA SEPARĂRII MOMENTELOR

Este de remarcat faptul, că rădăcinile unei ecuații de gradul II, cunoscute și de antici, sunt soluțiile exacte ale forțelor dezvoltate de o pârghie, soluții exacte care deabea acum, în epoca modernă, devin/sunt cunoscute.

Istoria este și mai hilară în cazul excentricului circular. În multe lucrări de specialitate se afirmă că el ar lucra ca o pană (! înfășurată pe un cilindru) și, în consecință, forțele dezvoltate de acesta imită, chipurile, relația de la pana clasică.

În realitate, relația exactă arată că el funcționează, de fapt, ca o pârghie [47].

Este suficient să înlocuim, în relația pârghiei (8.52), pe b_1 cu lungimea brațului excentricului L , adică $b_1 = L$ și pe b_2 cu relația (Fig. 8.8)

(8.55) $b_2 = \varrho_2 + e \cdot \sin(\gamma - \varphi_2)$ și rezultă relația pentru excentricul circular [47]

$$(8.56) \quad i_{RS,D} = \frac{Lb_2 \pm \sqrt{[L \cdot b_2 - \varrho_3^2 \sin(\gamma - \varphi_2)]^2 - (L^2 - \varrho_3^2)(b_2^2 - \varrho_3^2)}}{L^2 - \varrho_3^2}, \text{ tot dintr-o ecuație algebrică}$$

de gradul al 2-lea.

Concluzia ? Excentricul circular, ca și cel evolventic, ca și cel spiral lucrează ca o pârghie și nu ca o pană. Mai precis, el lucrează ca un ...excentric.

8.9 Aplicarea metodei separării momentelor (MSM) la sisteme în ansamblul lor

Revenim la sistemele de forțe plane, sau reducibile la acestea, care formează 90 % din problemele de mecanică.

Pentru început, se va considera un caz general, în plan, ales fictiv pentru o ilustrare clară, în care ambele elemente, ale mecanismului considerat, sunt solitate de câte 4 forțe rezultante, așa cum se ilustrează în **figura 8.9**.

În acest caz, un element component al sistemului vine în contact cu celelalte elemente în maximum 4 puncte, în care apar și forțele rezultante principale $\mathbf{R1}_1$ și $\mathbf{R1}_2$, cea care intră (se transmite de la elementul anterior - $\mathbf{R1}_1$) și cea de ieșire sau care se transmite mai departe la elementul următor ($\mathbf{R1}_2$) și forțele rezultante secundare $\mathbf{R3}_1$, $\mathbf{R3}_2$ și $\mathbf{R4}_1$, $\mathbf{R4}_2$ din reazeme, în cazul din figură și, în general, și din ghidaje, articulații ș.a.

Ca să simplificăm, considerăm doar două elemente ale sistemului. Amandouă vor avea câte un punct secundar $\mathbf{S1}$ și, respectiv, $\mathbf{S2}$ în care se intersectează suportul forțelor secundare : În $\mathbf{S1} \rightarrow \mathbf{R3}_1$ cu $\mathbf{R4}_1$ și în $\mathbf{S2} \rightarrow \mathbf{R3}_2$ cu $\mathbf{R4}_2$. Rezultă

$$(8.57) \quad \begin{cases} \mathbf{S1} = \mathbf{R1}_3 \cap \mathbf{R1}_4 \\ \mathbf{S2} = \mathbf{R2}_3 \cap \mathbf{R2}_4 \end{cases}$$

La fel vor exista punctele principale $\mathbf{P1}$ și $\mathbf{P2}$, în care se intersectează forțele principale $\mathbf{R1}_1$ și $\mathbf{R1}_2 \rightarrow$ în $\mathbf{P1}$ și $\mathbf{R2}_1$ cu $\mathbf{R2}_2 \rightarrow$ în $\mathbf{P2}$, ale celor două elemente. Astfel

$$(8.58) \quad \begin{cases} \mathbf{P1} = \mathbf{R1}_1 \cap \mathbf{R1}_2 \\ \mathbf{P2} = \mathbf{R2}_1 \cap \mathbf{R2}_2 \end{cases}$$

În punctele de contact dintre cele două elemente, forțele rezultante sunt egale și de semne contrare

$$(8.59) \quad \mathbf{R2}_1 = -\mathbf{R1}_2$$

Deci, pe ansamblul sistemului / mecanismului, cele două forțe R_{21} cu R_{12} se anulează reciproc.

Vectorii

$$(8.60) \begin{cases} \vec{R}_{12} = \vec{R}_1 + \vec{R}_2 \\ \vec{R}_{34} = \vec{R}_3 + \vec{R}_4 \end{cases}$$

însumați dau **rezultanta rezultatelor principale** a primului element, vectori care sunt poziționați, ca direcție, pe suportul **axei centrale** a primului element al mecanismului (linia verde, determinată de punctele **S1** și **P1**). Ei sunt egali în modul și de sensuri opuse:

$$(8.61) \vec{R}_{34} = -\vec{R}_{12}$$

În mod asemănător, pentru al doilea element al mecanismului

$$(8.62) \begin{cases} \vec{R}_{21} = \vec{R}_2 + \vec{R}_1 \\ \vec{R}_{23} = \vec{R}_3 + \vec{R}_2 \end{cases} \rightarrow$$

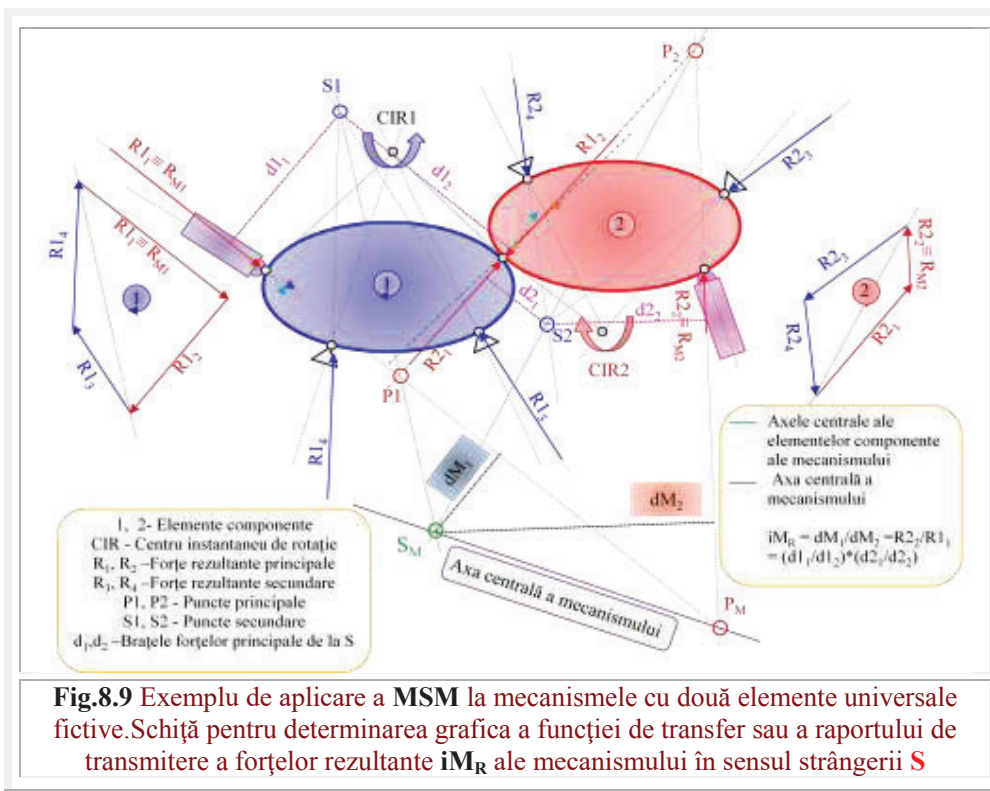


Fig.8.9 Exemplu de aplicare a MSM la mecanismele cu două elemente universale fictive. Schiță pentru determinarea grafică a funcției de transfer sau a raportului de transmitere a forțelor rezultante iM_R ale mecanismului în sensul strângerii **S**

$$(8.63) \vec{R}_{23} = -\vec{R}_{12}, \text{ plasați pe axa centrală a celui de al doilea element (linie verde).}$$

8. METODA SEPARĂRII MOMENTELOR

Și acum, urmează **cea mai importantă decizie** a **MSM**, prin care, de la două elemente, cu 4 forțe rezultante fiecare, se poate trece la un singur **element echivalent**, care este mecanismul în ansamblul lui, tot cu 4 forțe rezultante: **R1₁** și **R2₂**, forțele rezultante principale **ale mecanismului**, de la intrare **R1₁** și, respectiv, de la ieșire **R2₂**. Forțele rezultante secundare vor fi: **R1₃₄** și **R2₃₄** rezultantele rezultantelor secundare ale celor două elemente componente.

Mecanismul cu doua elemente, considerat ca un singur element, va avea două forțe rezultante principale, de la intrare **R1₁** și de la ieșire **R2₂** și două forțe rezultante secundare, care sunt rezultantele rezultantelor secundare ale celor două elemente **R1₃₄** și **R2₃₄**. Aceasta, deoarece, aceste rezultante ale rezultantelor secundare, însumate, sunt egale și de semn opus cu rezultanta rezultantelor principale ale mecanismului, care este

$$(8.64) \quad \overline{RM}_{12} = \overline{R1}_1 + \overline{R2}_2$$

forță poziționată pe **axa centrală a mecanismului**, determinată de punctul principal al mecanismului

$$(8.65) \quad \overline{PM} = \overline{R1}_1 \cap \overline{R2}_2$$

Punctul secundar al mecanismului **SM** se determină intersectând suporturile (verzi) **rezultantelor rezultantelor secundare** a celor două elemente

$$(8.66) \quad \overline{SM} = \overline{R1}_{34} \cap \overline{R2}_{34}$$

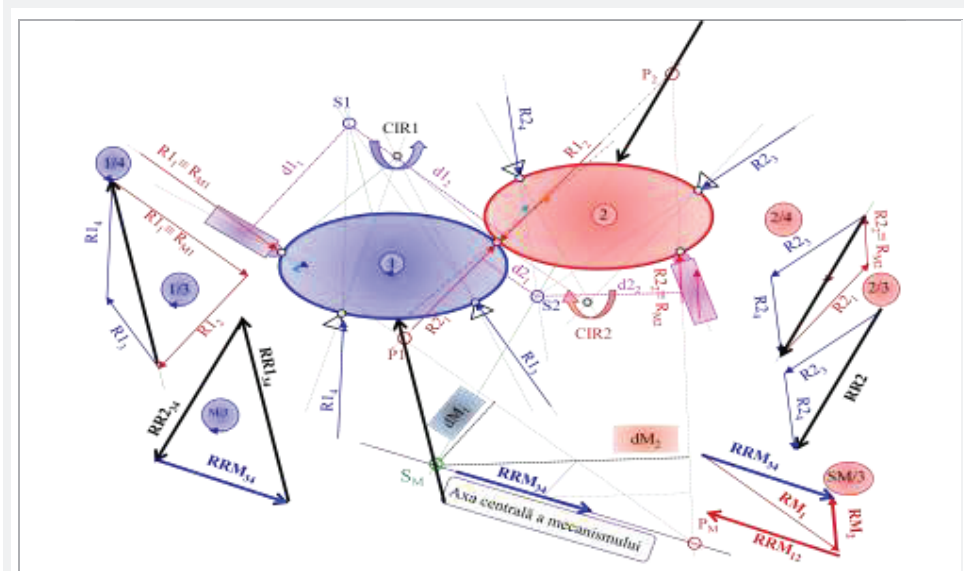


Fig.8.10 Exemplu de aplicare a MSM la mecanismele cu două elemente universale fictive cu exemplificarea reducerii forțelor rezultante de la 4 la 3, la elemente și la mecanism.

Însumând rezultantele rezultantelor secundare ale elementelor se va obține o rezultantă a rezultantelor rezultantelor secundare, orientată pe axa centrală a mecanismului.

Axa centrală a mecanismului este determinată de punctele **PM** și **SM** și este suportul a două forțe egale și opuse ca semn, pentru un sistem aflat în echilibru static.

Axa centrală, a unui element sau a unui mecanism, este locul geometric în care tursorul sistemului are valoare minimă. În cazul de față, această valoare minimă este zero, sistemul fiind considerat în echilibru static.

De la punctul secundar al mecanismului **SM** se măsoară distanțele dM_1 și dM_2 , care sunt și brațele forțelor principale ale mecanismului.

Alegând punctu **SM** al acestei axe, ca și oricare alt punct situat pe axă, pentru a scrie echilibrul de momente, deoarece $\vec{R1}_{34}$ și $\vec{R2}_{34}$ trec prin **SM**, ele au brațele forțelor și, în consecință, și momentele față de **SM** nule, astfel că ecuația de momente va fi

$$(8.67) \quad (\sum M)_{SM} = 0 \rightarrow R1_1 * dM_1 - R2_2 * dM_2 = 0$$

din care rezultă **funcția de transfer** a forțelor rezultante ale mecanismului sau raportul de transmitere al forțelor lui

$$(8.68) \quad FTM \equiv iM_R = \frac{R2_2}{R1_1} = \frac{dM_1}{dM_2}$$

În acest mod, două elemente, solificate fiecare de 4 forțe coplanare, a fost redus la un singur element echivalent (mecanismul în ansamblul lui) solicitat de 4 forțe coplanare.

Detalii, cu privire la trecerea elementelor solificate efectiv de 4 forțe rezultante la elemente solificate de 3 forțe rezultante, prin utilizarea forței rezultante rezultante secundare ($RRS_{1,2} = R_{1,23} + R_{1,24}$) și apoi mecanismului solicitat de 3 forțe rezultante ($R_{1,1}, R_{2,2}$ și RRR_{M}) sunt ilustrate în **figura 8.10**.

8.10 Cazul a două elemente legate în serie, fiecare element fiind solicitat de un număr diferit de forțe rezultante

În **figura 8.11** este prezentat mecanismul de fixare cu pârgii articulate, acționat pneumatic, al unui dispozitiv de instalare a unei piese paralelipipedice.

Motorul, pneumatic acționează un mecanism de amplificare a forțelor cu pârgii articulate 1, denumit și “genunchi” (știindu-se că piciorul uman amplifică la maximum foțele dezvoltate când unghiul la genunchi este de cca. 120°).

Forțele care se dezvoltă în diverse puncte ale mecanismului, articulațiile 1, 2 și 3, rezulta din triunghiurile forțelor prezentate în **figura 8.11**. Se observă că forța de acționare dezvoltată de motorului pneumatic $R1_1$ este amplificată la forța de strângere / fixare a piesei în dispozitiv $R3_2$.

Fig.8.12 prezintă mecanism de fixare a piesei în dispozitiv cu **pană circulară 1** și cu **plunjer dublu ghidat 2**. În mod mai frecvent, **pană circulară** este utilizată ca element de echilibrare a forțelor distribuite în două puncte. **Pana sferică** este utilizată la echilibrarea forțelor transmise / distribuite în 3 puncte / zone. Dar ea poate fi utilizată și

8. METODA SEPARĂRII MOMENTELOR

ca element de transmitere și modificare a direcției forțelor transmise, așa cum este cazul mecanismului din **figura 8.12**.

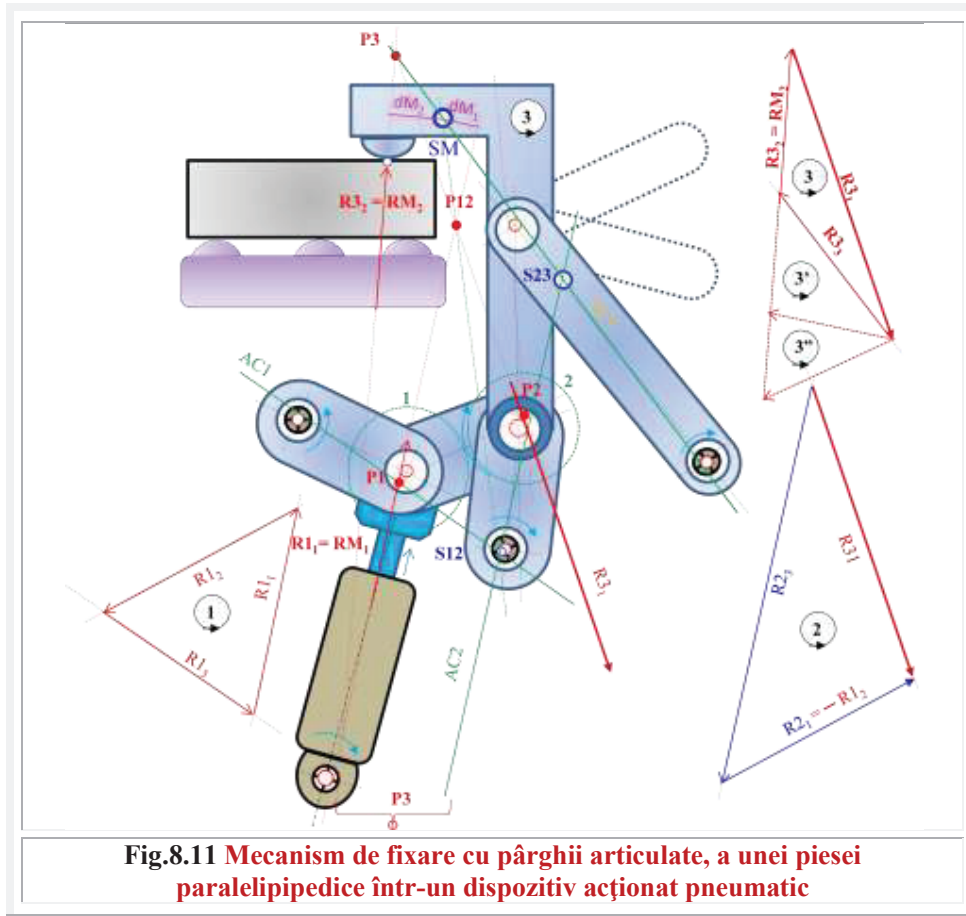


Fig.8.11 Mecanism de fixare cu pârghii articulate, a unei piesei paralelipedice într-un dispozitiv acționat pneumatic

R_1 este forța de acționare a mecanismului și forța de intrare pentru pana circulară iar R_2 este forța la ieșirea din mecanism și, totodată, forța rezultantă de fixare a piesei în dispozitiv.

Se observă simplu ca acest tip de mecanism nu amplifică forțele ci le demultiplacă, din care cauză, astfel de construcții mecanice trebuie evitate.

Dacă punctele de contact, dintre pana circulară și cele două elemente de contact, ar avea brațe diferite, în sensul ca $d_1 \gg d_2$, atunci este posibil ca și acest element să poată lucra asemănător upârghii și să asigure o amplificare a forțelor. Avantajul acestui element față de o pârghie este că este mult mai rigid și dezavantajul este că ocupă un volum mai mare și consumă mai mult material.

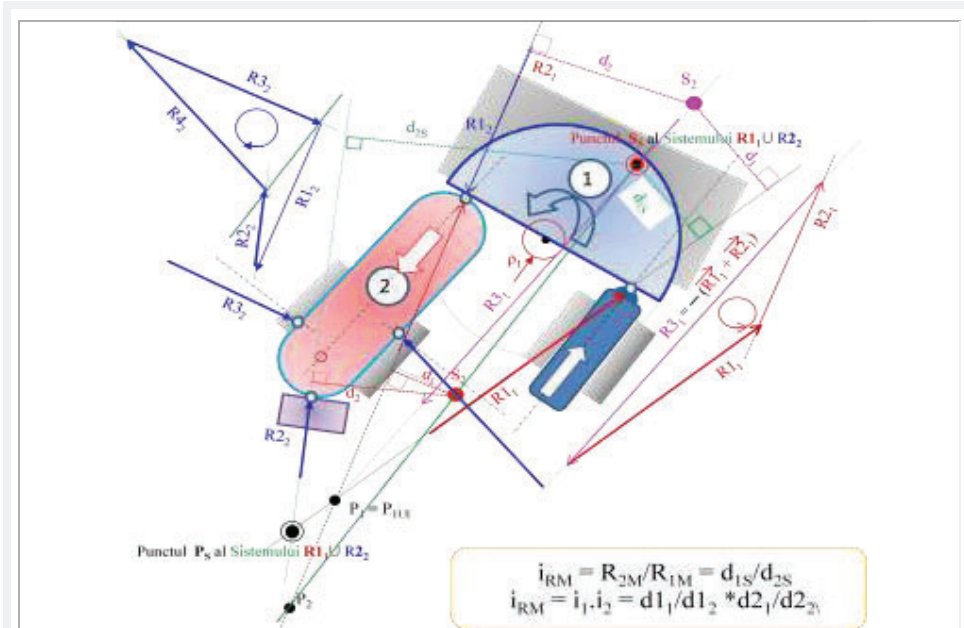


Fig.8.12 Mecanism de fixare a piesei în dispozitiv cu pană circulară 1 și cu plunjer dublu ghidat

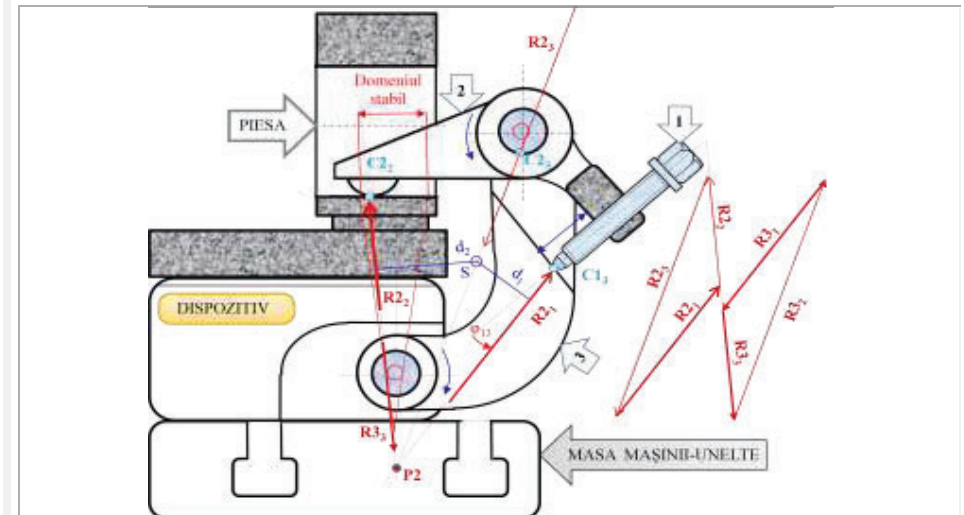


Fig.8.13 Determinarea grafică a raportului de transmitere a forțelor rezultante i_R prin MSM ($i_R = \frac{dM_1}{dM_2}$) și prin metoda clasică a poligonului (trigon) forțelor rezultante

9 COSINUSUL cex ȘI SINUSUL sex SUPERMATEMATICE
EXCENTRICE

Motto: "Filosofia, acțiunea rațiunii libere, se oprește acolo...
unde făclia științei ne lipsește"
Voltaire, *Dictionnaire philosophique*

Capitolul 9

FUNȚIILE SUPERMATEMATICE CIRCULARE
COSINUS $cex\theta$ ȘI SINUS $sex\theta$ EXCENTRICE

9.1 Definirea funcțiilor $cex\theta$ și $sex\theta$

Fie E_2 planul euclidian orientat, raportat la un reper polar de pol O și axă polară Ox . Simultan se consideră și sistemul cartezian asociat xOy , orientat pozitiv.

Cercul $C(O,R)$ de rază R și cercul unitate $CU(O,1)$ sunt centrate în $O(0,0)$, fiind concentrice. O transformare homotetică de pol O și raport $k = 1/R$ transformă toate cercurile oarecare, de raza R , într-un cerc unitate $C1 \equiv CU = C(O,1)$.

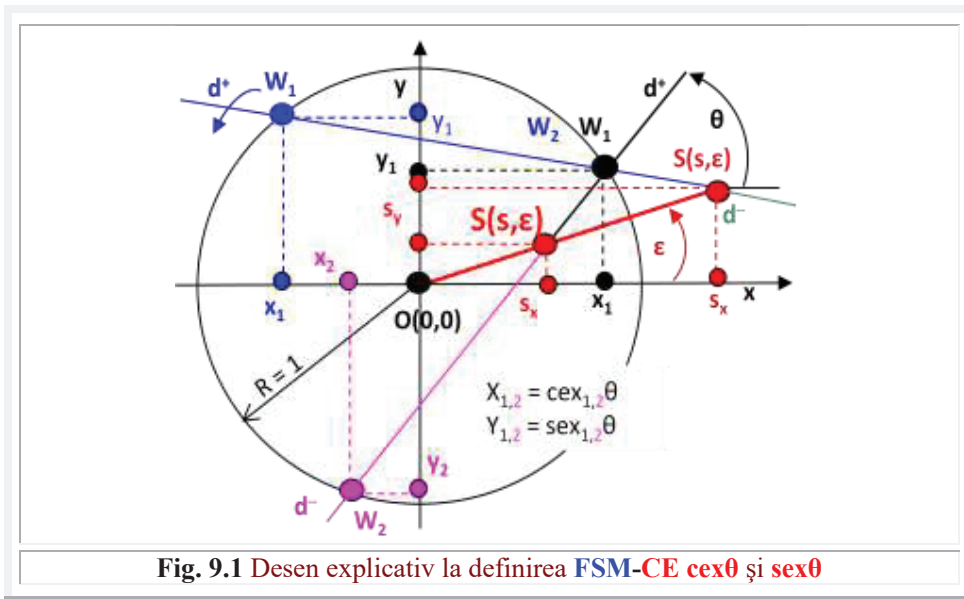


Fig. 9.1 Desen explicativ la definirea FSM-CE $cex\theta$ și $sex\theta$

Relativ la reperul polar, este dat punctul $E(e, \varepsilon)$ numit **excentru**, al cercului $C(O,R)$. Punctul $S(s,\varepsilon)$ este denumit **excentrul cercului unitate** și se poate obține printr-o transformare homotetică, de raport $1/R$ și pol $O(0,0)$ a oricărui excentru oarecare E .

9 COSINUSUL cex ȘI SINUSUL sex SUPERMATEMATICE
EXCENTRICE

Dacă $\mathbf{e}, \mathbf{s} = \mathbf{e} / R$ și $\boldsymbol{\varepsilon}$ sunt constante, atunci \mathbf{E} și \mathbf{S} sunt excentre (puncte) fixe în planul E_2 . Dacă sunt variabile, atunci excentrul este un punct variabil în plan, care se mișcă după anumite legi date.

Numerelor reale v_1 și v_2 li se asociază, pe cercul unitate, punctele \mathbf{W}_1 și \mathbf{W}_2 (sau $\mathbf{W}_{1,2}$) și pe cercul $\mathbf{C}(\mathbf{O}, R)$ punctele $\mathbf{M}_{1,2}$, de coordonate polare **centrice** α_1 și α_2 (sau $\alpha_{1,2}$) cu polul în $\mathbf{O}(\mathbf{0}, \mathbf{0})$. Acestea le corespunde numărul real \mathbf{u} denumit coordonata polară **excentrică**, cu polul în $\mathbf{S}(\mathbf{s}, \boldsymbol{\varepsilon})$ sau în $\mathbf{E}(\mathbf{e}, \boldsymbol{\varepsilon})$ ce exprimă direcția $\boldsymbol{\theta}$ a dreptelor turnante \mathbf{d}^+ și \mathbf{d}_s^+ , paralele între ele, în jurul punctelor lor \mathbf{S} și, respectiv, \mathbf{E} , a căror intersecții cu cercurile \mathbf{C} și $\mathbf{C1}$ sunt punctele $\mathbf{M}_{1,2}$ și, respectiv, $\mathbf{W}_{1,2}$.

Rezultă că, la un unghi $\boldsymbol{\theta} = \mathbf{u}$ (modulo 2π), care indică direcția dreptei turnante în \mathbf{E} sau \mathbf{S} față de \mathbf{Ox} , corespund două unghiuri $\alpha_{1,2} = v_{1,2}$ (modulo 2π), corespunzătoare celor două puncte de intersecție ale unui cerc cu o dreaptă, așa cum va rezulta în continuare.

Prin definiție, coordonatele carteziene $\mathbf{x}_{1,2}$ ale punctelor $\mathbf{W}_{1,2}$, notate cu $\mathbf{x}_{1,2} = \mathbf{cex}_{1,2}\boldsymbol{\theta}$ și $\mathbf{y}_{1,2} = \mathbf{sex}_{1,2}\boldsymbol{\theta}$, sunt denumite **cosinus excentric** și, respectiv, **sinus excentric**, de variabilă excentrică $\boldsymbol{\theta}$ și reprezintă prima determinare, de indice **1- principală** și, respectiv a doua determinare, de indice **2 - secundară** a **FSM-CE** dependente de originea \mathbf{O} a reperului polar sau cartezian drept, (Fig. 9.1).

Dacă $\mathbf{e} > R$ rezultă $\mathbf{s} > 1$, atunci \mathbf{E} și \mathbf{S} sunt **exterioare** cercurilor lor și intersecțiile dreptelor cu aceste cercuri au loc doar într-un interval / domeniu \mathbf{I} în care $\boldsymbol{\theta} \in [\theta_i = \theta_{\text{initial}}, \theta_f = \theta_{\text{final}}]$, interval ce se repetă periodic, cu perioada 2π . Pentru primul interval:

$$(9.1) \quad \theta_{i,f} = \boldsymbol{\varepsilon} + \pi \mp \arcsin\left(\frac{1}{\mathbf{s}}\right) = \boldsymbol{\varepsilon} + \pi \mp \arcsin\left(\frac{R}{\mathbf{e}}\right)$$

Din (9.1) rezultă că pentru $\mathbf{s} \rightarrow \infty$ intervalul se reduce la punctul $\boldsymbol{\varepsilon} + \pi$, caz în care se obțin funcții de distribuție de tip impuls, care, față de cele clasice, sunt periodice cu perioada 2π , așa cum se arată în lucrarea [20 \rightarrow **Mircea Șelariu**, "Smarandache Stepped Functions", Rev. « Scientia Magna », Vol.3, Nr.1 (2007), pag. 81 .. 92].

Geometric, punctele $\mathbf{W}_{1,2}$ sunt punctele de intersecție ale dreptei turnante, în jurul polului \mathbf{S} , cu cercul unitate $\mathbf{C1}$, iar punctele $\mathbf{M}_{1,2}$ sunt intersecțiile cu cercul $\mathbf{C}(\mathbf{O}, R)$ ale dreptei turnante, în jurul punctului \mathbf{E} .

Unghiurile $\theta_{i,f}$ reprezintă unghiurile de direcție ale celor două drepte tangente la $\mathbf{C1}$ duse din \mathbf{S} , aceleași **unghiuri** $\theta_{i,f}$ ca și ale tangentelor din \mathbf{E} la \mathbf{C} .

Punctelor $\mathbf{W}_{1,2}$, de coordonate polare $(\mathbf{r}_{1,2}, \boldsymbol{\theta})$ cu polul în \mathbf{S} , le corespund pe cercul \mathbf{C} câte un unic punct $\mathbf{M}_{1,2}$, cari, în reperul polar de pol \mathbf{O} , au coordonatele $(\mathbf{R}, \alpha_{1,2})$, iar în reperul polar de pol \mathbf{S} , au coordonatele polare $(\mathbf{R}.\mathbf{r}_{1,2}, \boldsymbol{\theta})$, în care $\mathbf{R}.\mathbf{r}_{1,2}$ sunt razele polare, variabile, ale cercului \mathbf{C} , exprimate prin funcțiile **radial excentric** de variabilă excentrică $\mathbf{R}.\mathbf{rex}_{1,2}\boldsymbol{\theta}$ sau de variabile centrice $\mathbf{R}.\mathbf{Rex}\alpha_{1,2}$.

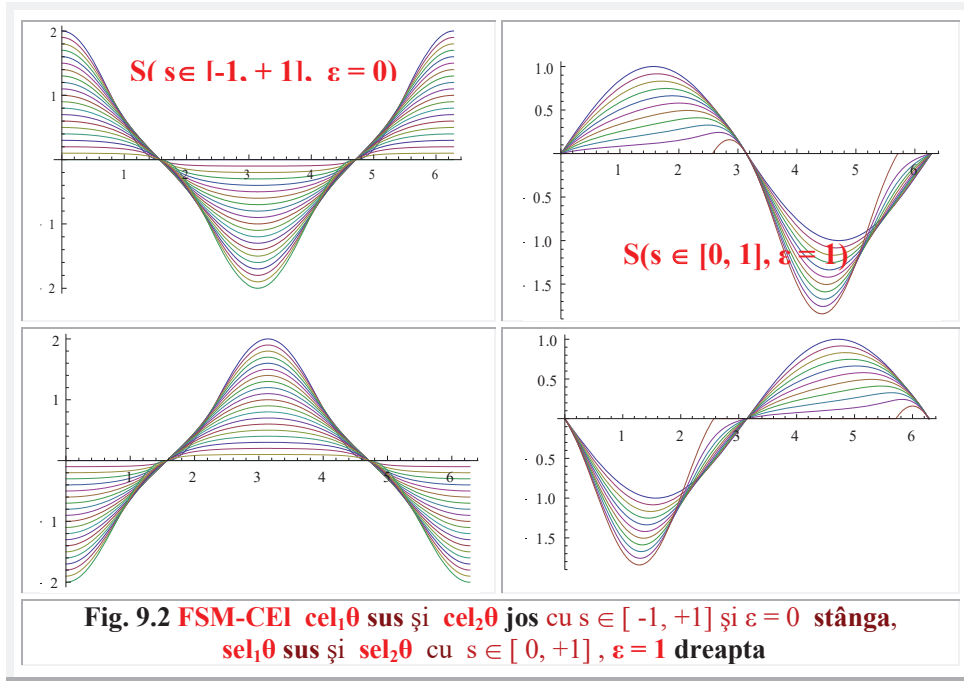
Se știe că, prin schimbarea originii reperului din \mathbf{O} în \mathbf{S} , respectiv \mathbf{E} , adică, pentru $\mathbf{O} \equiv \mathbf{S} \neq \mathbf{C}$, \mathbf{C} fiind centrul cercului unitate, se obțin funcțiile supermatematice circulare **elevate** (FSM-CEI). De aceea, proiectând razele excentrice $\mathbf{r}_{1,2}$ pe noile axe

9 COSINUSUL cex ȘI SINUSUL sex SUPERMATEMATICE
EXCENTRICE

de coordonate X și Y, cu originea în **S**, rezultă expresiile FSM-CEI cosinus $cel_{1,2}\theta$ și sinus $sel_{1,2}\theta$ elevate

$$(9.2) \quad \begin{cases} X_{1,2} = cel_{1,2}\theta = rex_{1,2}\theta \cdot \cos \theta \\ Y_{1,2} = sel_{1,2}\theta = rex_{1,2}\theta \cdot \sin \theta \end{cases}, \text{ în care, așa cum s-a mai afirmat, FSM-CE}$$

redial excentric $rex_{1,2}\theta$ sunt independente de originea **O** a reperului. Ele sunt dependente numai de **E** și **C**, ceea ce face ca și funcțiile elevate să nu depindă nici ele de reper, dacă sunt exprimate în funcție de unghiul la excentru θ , știind că, prin definiție, ele se obțin pentru $O \equiv S \neq C$.



Graficele acestor funcții sunt prezentate în figura 9.2.

În cazul în care, excentrul **S** este plasat pe axa y, adică $\epsilon = \pi/2$ sau $\epsilon = 3\pi/2$, funcțiile $cel_{1,2}\theta$ sunt egale și graficele se confundă cu cele ale funcțiilor $cex_{1,2}\theta$, iar dacă, excentrul **S** este plasat pe axa x, adică $\epsilon = 0$ sau $\epsilon = \pi$, atunci $sel_{1,2}\theta$ se confundă cu $sex_{1,2}\theta$. Din această cauză, în figura 9.2 s-au prezentat graficele funcțiilor $cex_{1,2}\theta$ pentru $\epsilon = 0$ iar garficele funcțiilor $sel_{1,2}\theta$ pentru $\epsilon = 1$. Rezultă

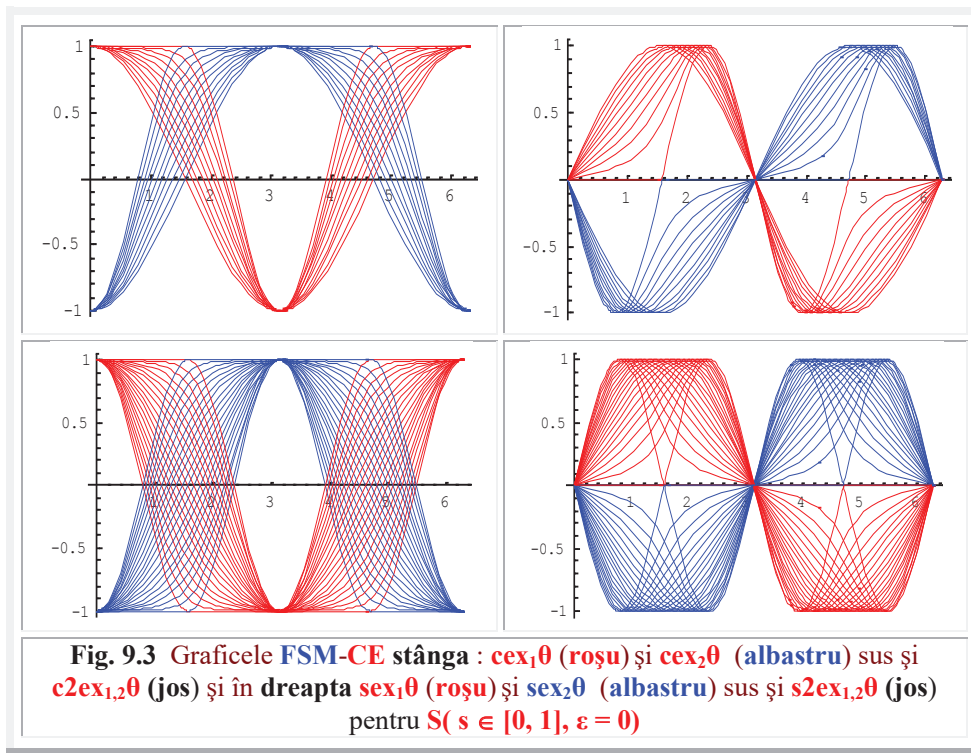
$$(9.3) \quad \begin{cases} x_{1,2} = cex_{1,2}\theta = cel_{1,2}(\theta, S \subset Oy) \\ y_{1,2} = sex_{1,2}(\theta, S \subset Ox) \end{cases}$$

9 COSINUSUL cex ȘI SINUSUL sex SUPERMATEMATICE
EXCENTRICE

Au fost denumite **elevate**, deoarece, așa cum se poate observa din graficele lor, prin modificarea excentricității graficul funcție **urcă sau coboară**, adică **este elevat**.

Din **figura 9.1**, se observă că punctele $W_{1,2}$ au, simultan, aceleași coordonate $x_{1,2}$, $y_{1,2}$, exprimabile odată cu ajutorul variabilei centrice $\alpha_{1,2}$, prin FCC $\cos\alpha_{1,2}$ și $\sin\alpha_{1,2}$ și, altădată, prin variabila excentrică θ , **coordonate** care devin, geometric, prin definiție, funcțiile **FSM-CE** cosinus $cex_{1,2}\theta$ și sinus $sex_{1,2}\theta$ **excentrice** de variabilă excentrică θ . Expresiile lor sunt, așa cum s-a mai arătat

$$(9.4) \quad \begin{cases} x_{1,2}(\theta) = cex_{1,2}\theta = \cos \alpha_{1,2} = \cos[aex_{1,2}\theta] = \cos[\theta \mp \arcsin[s \cdot \sin(\theta - \varepsilon)]] \\ y_{1,2}(\theta) = sex_{1,2}\theta = \sin \alpha_{1,2} = \sin[aex_{1,2}\theta] = \sin[\theta \mp \arcsin[s \cdot \sin(\theta - \varepsilon)]] \end{cases}$$



În **figura 9.3**, sus, sunt prezentate graficele **FSM-CE** $cex_{1,2}\theta$ - stanga și $sex_{1,2}\theta$ în dreapta, pentru un excentru punct fix și excentricitate **simplică**, adică $S(s \in [0, 1], \varepsilon = 0)$ și în partea inferioară de **dublă excentricitate**, notate convențional cu $c2ex_{1,2}\theta$ și, respectiv, cu $s2ex_{1,2}\theta$ și a căror expresii de definiție sunt

9 COSINUSUL cex ȘI SINUSUL sex SUPERMATEMATICE
EXCENTRICE

$$(9.5) \quad \begin{cases} c2ex_{1,2}\theta = cex_{1,2}\{\theta \mp \arcsin[s \cdot \sin(\theta - \varepsilon)], S(s, \varepsilon)\} \\ s2ex_{1,2}\theta = sex_{1,2}\{\theta \mp \arcsin[s \cdot \sin(\theta - \varepsilon)], S(s, \varepsilon)\} \end{cases}$$

În exemplul anterior, cele două excentricități $s_1 = s_2 = s$ erau egale, ca și unghiurile $\varepsilon_1 = \varepsilon_2 = \varepsilon$. Ele pot fi, însă, și diferite $S_1(s_1, \varepsilon_1) \neq S_2(s_2, \varepsilon_2)$, în care caz, funcțiile se pot nota $c1;2ex_{1,2}\theta$ și, respectiv, $s1;2ex_{1,2}\theta$.

Pentru un excentru $S(s \in [0, 1], \varepsilon = 1)$ cu $\varepsilon = 1$, graficele sunt prezentate în figura 9.4.

Așa cum s-a prezentat în lucrările [5], [6], [7] și [8], curbele plane, sau din 2 D, obținute prin utilizarea FSM au fost denumite **excentrice**, spre deosebire de cele cunoscute din matematica centrica (MC) care au fost denumite **centrice**.

Denumirile aparțin regretatului matematician **Anton Hadnagy**.

Excentricile elevate ale căror ecuații parametrice sunt FSM-CEI (9.3), adică

$$(9.6) \quad M_{1,2} \begin{cases} x_{1,2} = cel_{1,2}\theta \\ y_{1,2} = sel_{1,2}\theta \end{cases}, \text{ sunt prezentate, în 3D, în figura 9.4: în stânga pentru}$$

prima determinare, de indice 1 și în dreapta pentru a doua determinare, de indice

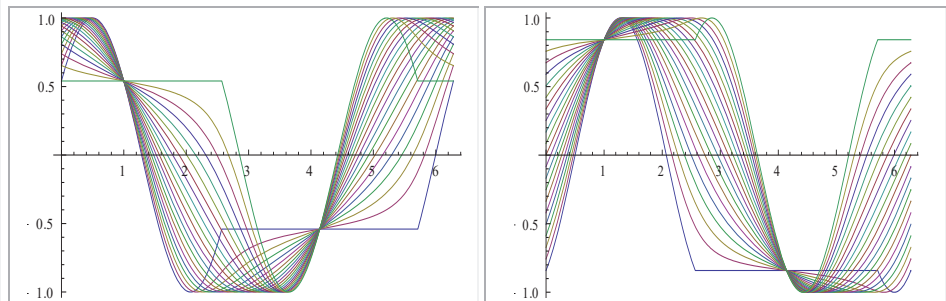


Fig. 9.4 Graficele FSM-CE $cex\theta$ și $sex\theta$ de $S(s \in [-1, +1], \varepsilon = 1)$.

Pentru excentricitate numerică supraunitară ($s > 1$), FSM-CE sunt **discontinue**.

O familie de funcții $cex_{1,2}\theta$ (sus) și $sex_{1,2}\theta$ (jos) cu $s \in [1, 3]$ sunt prezentate în figura 9.6.

În aceleași figuri, s-au prezentat și funcțiile $sina$ (sus) și $cosa$ (jos), funcții care delimitează zonele de **adiacență** dintre extremitățile celor două determinări, principală și secundară, care, împreună dau o curbă închisă. Cu creșterea excentricității numerice $s \in [1, 3]$, maximele curbelor $sex_{1,2}\theta$ se apropie de axa y , la fel ca și punctele de nul ale funcțiilor $cex_{1,2}\theta$.

În aceste grafice ε s-a ales nul ($\varepsilon = 0$). Comparând figura 9.3 cu 9.6 se observă că, dacă, în prima, $sex_{1,2}\theta$, pentru $s < 1$ cele două determinări sunt de semne contrare,

9 COSINUSUL cex ȘI SINUSUL sex SUPERMATEMATICE
EXCENTRICE

pentru $s > 1$ sunt de același semn, așa cum rezultă și din **figura 9.1**, deoarece, ambele puncte $W_{1,2}$ se situează pe aceeași semidreaptă d^+ , ceea ce nu se mai potrivește pentru funcția $cex_{1,2}\theta$, care are un punct M_1 în cadranul **2**, pentru $\theta \in [-\pi/2, \pi/2]$, și punctul M_2 în cadranul **1**. De aceea, prima determinare este negativă și cea de a doua este pozitivă, în domeniul amintit, reprezentat în **figura 9.6**-sus \uparrow .

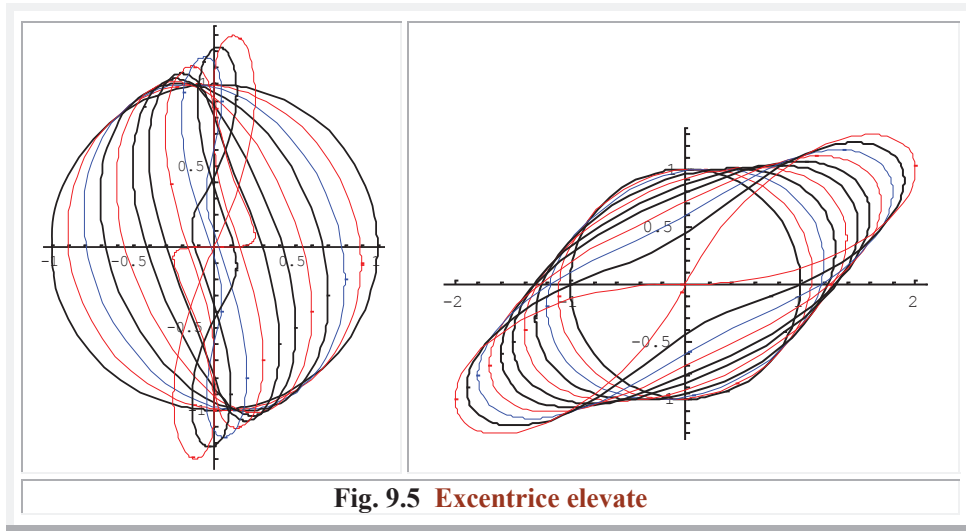


Fig. 9.5 Excentrice elevate

Fie cercul $C(R,O)$, plasat cu centrul în originea $O(0,0)$ și de rază R , a cărui ecuație este

$$(9.7) \quad C: x^2 + y^2 = R^2.$$

Prin intersectarea lui cu dreapta d , care trece prin punctul $E(e, \varepsilon)$, având coeficientul unghiular $m = \tan\theta$ și ecuația

$$(9.8) \quad d: y - R \cdot e \cdot \sin\varepsilon - \tan\theta (x - R \cdot e \cdot \cos\varepsilon) = 0,$$

se obțin punctele de intersecție

$$(9.9) \quad M_{1,2} \begin{cases} x_{1,2} = R[e \cdot \sin(\theta) \cdot \sin(\theta - \varepsilon) \pm \cos\theta \sqrt{1 - s^2 \sin^2(\theta - \varepsilon)}] \\ y_{1,2} = R[-e \cdot \cos(\theta) \cdot \sin(\theta - \varepsilon) \pm \sin\theta \sqrt{1 - s^2 \sin^2(\theta - \varepsilon)}] \end{cases}$$

Expresiile din relațiile (9.9) reprezintă produsul dintre raza R , a cercului $C(R,O)$ și **FSM-CE** $cex_{1,2}\theta$ și, respectiv $sex_{1,2}\theta$, astfel că aceste **FSM-CE** au, pentru $R=1$ și expresiile

$$(9.10) \quad x_{1,2} = cex_{1,2}\theta = e \cdot \sin\theta \cdot \sin(\theta - \varepsilon) \pm \cos\theta \sqrt{1 - s^2 \sin^2(\theta - \varepsilon)} \text{ și}$$

$$(9.11) \quad y_{1,2} = sex_{1,2}\theta = -e \cdot \cos\theta \cdot \sin(\theta - \varepsilon) \pm \sin\theta \sqrt{1 - s^2 \sin^2(\theta - \varepsilon)}$$

Așa cum s-a mai afirmat, toate **FSM-CE** conțin radicalul

9 COSINUSUL cex ȘI SINUSUL sex SUPERMATEMATICE
EXCENTRICE

$del_{1,2}\theta = \sqrt{1-s^2 \sin^2(\theta-\varepsilon)}$, prin care Prof. Dr. Math. **Octav Em. Gheorghiu** afirma că aceste funcții se alătură, sau că aparțin familie funcțiilor eliptice.

Semnul plus (+) din fața radicalului corespunde primei determinări, principale **1**, iar semnul minus (-) celei de a doua determinări secundare **2**.

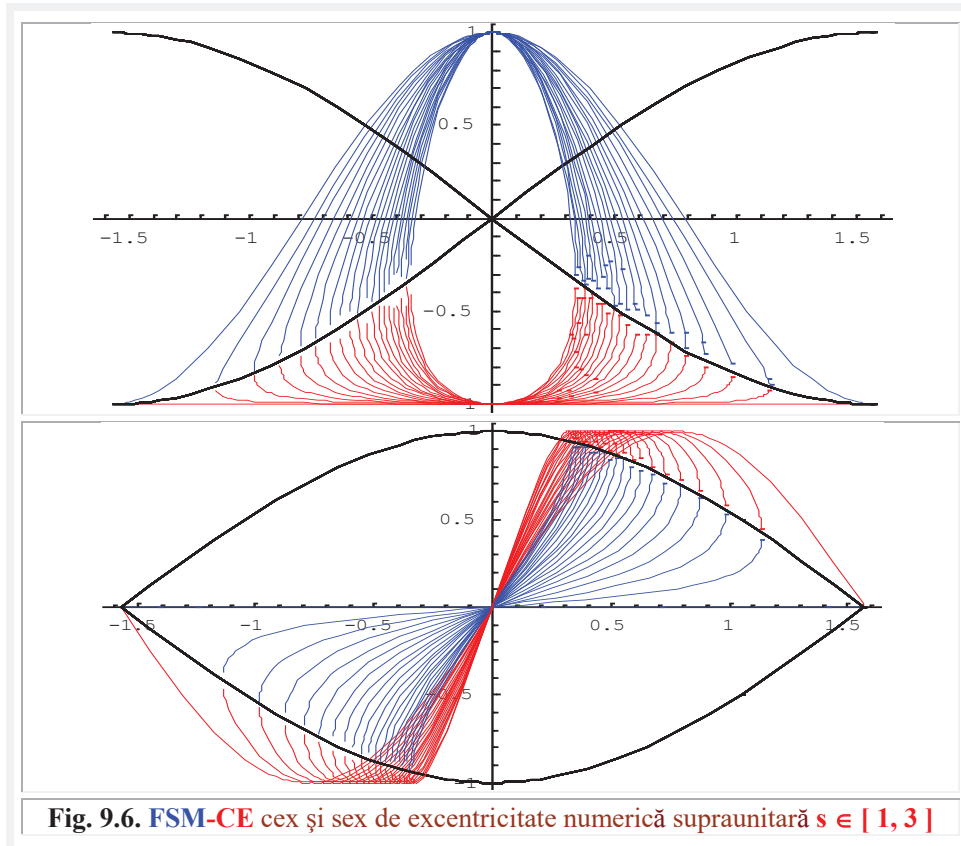


Fig. 9.6. FSM-CE cex și sex de excentricitate numerică supraunitară $s \in [1, 3]$

Se observă, din relațiile de definiție (9.10) și (9.11) că

$$(9.12) \quad cex_1(\theta + \pi) = cex_2\theta \quad \text{și} \quad cex_2(\theta + \pi) = cex_1\theta \quad \text{și}$$

$$(9.13) \quad sex_1(\theta + \pi) = sex_2\theta \quad \text{și} \quad sex_2(\theta + \pi) = sex_1\theta, \text{ ceea ce, prescurtat, se scrie}$$

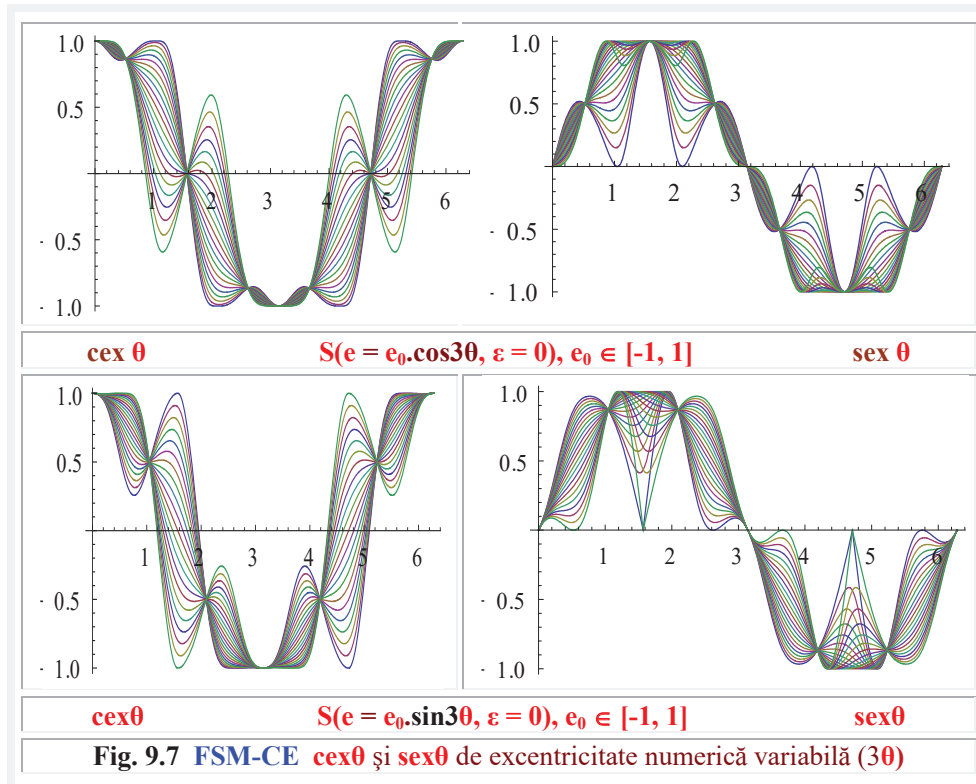
$$(9.14) \quad \begin{cases} cex_{1,2}(\theta + \pi) = cex_{2,1}\theta \\ sex_{1,2}(\theta + \pi) = sex_{2,1}\theta \end{cases}$$

Pe baza relației dintre unghiuri $\theta = \alpha_{1,2} + \beta_{1,2} \rightarrow \alpha_{1,2} = \theta - \beta_{1,2}$ și pe baza relației (9.4), de corespondență dintre funcțiile circulare centrice și excentrice, rezultă

9 COSINUSUL cex ȘI SINUSUL sex SUPERMATEMATICE
EXCENTRICE

$$(9.15) \quad \begin{cases} x_{1,2} = cex_{1,2}\theta = \cos \alpha_{1,2} = \cos(\theta - \beta_{1,2}) = \cos \theta \cos \beta_{1,2} + \sin \theta \cdot \sin \beta_{1,2} \\ y_{1,2} = sex_{1,2}\theta = \sin \alpha_{1,2} = \sin(\theta - \beta_{1,2}) = \sin \theta \cdot \cos \beta_{1,2} - \cos \theta \cdot \sin \beta_{1,2} \end{cases}$$

o nouă formă a expresiilor **FSM-CE** $cex_{1,2}\theta$ și $sex_{1,2}\theta$.



Deoarece $\beta_{1,2} = bex_{1,2}\theta \rightarrow bex_{1,2}\theta = \arcsin[s \cdot \sin(\theta - \varepsilon)]$ pentru prima determinare, principală și $bex_{2,2}\theta = \pi - \arcsin[s \cdot \sin(\theta - \varepsilon)]$, știind că $\beta_1 + \beta_2 = \pi$, rezultă o altă formă a expresiilor funcțiilor, dată, în exclusivitate, de variabila excentrică θ .

(9.16) **W_{1,2}**

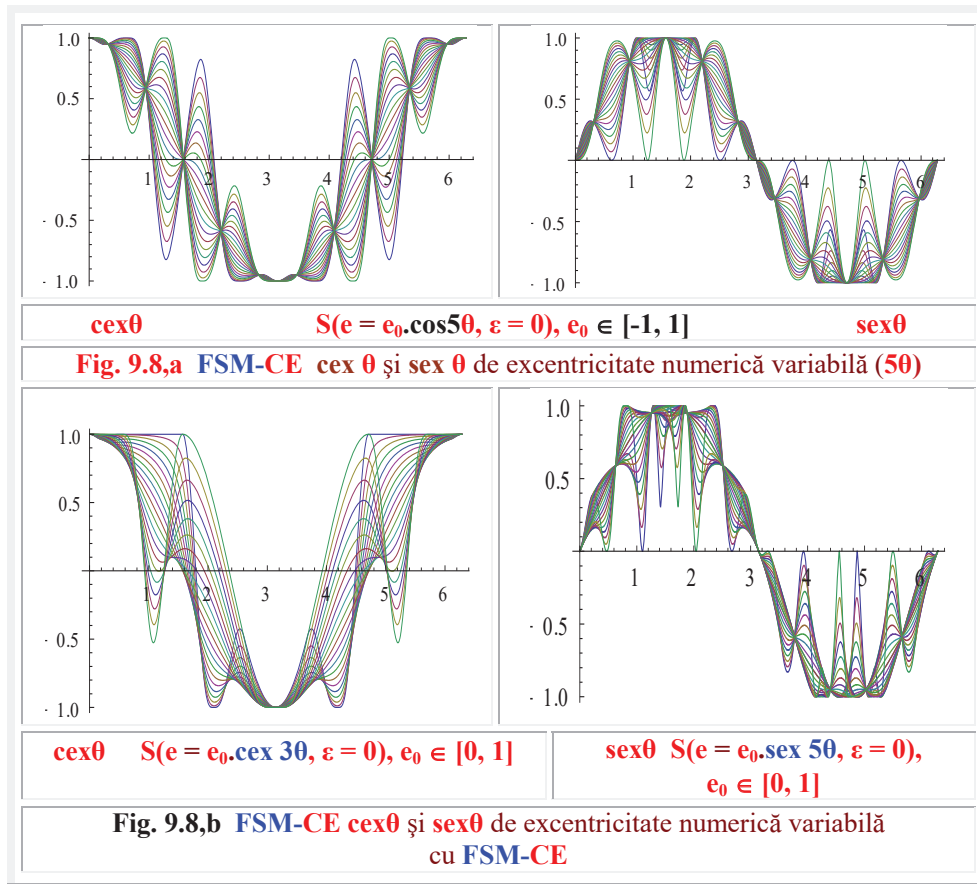
$$\begin{cases} x_{1,2} = cex_{1,2}\theta = \cos(\theta - bex_{1,2}\theta) = \cos \theta \cos(bex_{1,2}\theta) + \sin \theta \cdot \sin(bex_{1,2}\theta) \\ y_{1,2} = sex_{1,2}\theta = \sin(\theta - bex_{1,2}\theta) = \sin \theta \cdot \cos(bex_{1,2}\theta) - \cos \theta \cdot \sin(bex_{1,2}\theta) \end{cases}$$

În cazul în care, excentrul este un punct variabil, adică e și/sau ε sunt variabile, după diverse legi date, se obțin grafice ale funcțiilor $cex_{1,2}\theta$ și $sex_{1,2}\theta$ precum cele din **figura 9.7**. Ele pot fi utilizate fie pentru reprezentarea și prelucrarea unor semnale complexe, fie, ca atare, pentru frumusețea lor, așa cum sunt cele publicate în lucrarea

9 COSINUSUL cex ȘI SINUSUL sex SUPERMATEMATICE
EXCENTRICE

[21] care se bucura în SUA de succes, ocupând locul 10 în topul de 10, din luna august 2007, din cele peste 1650 de lucrări.

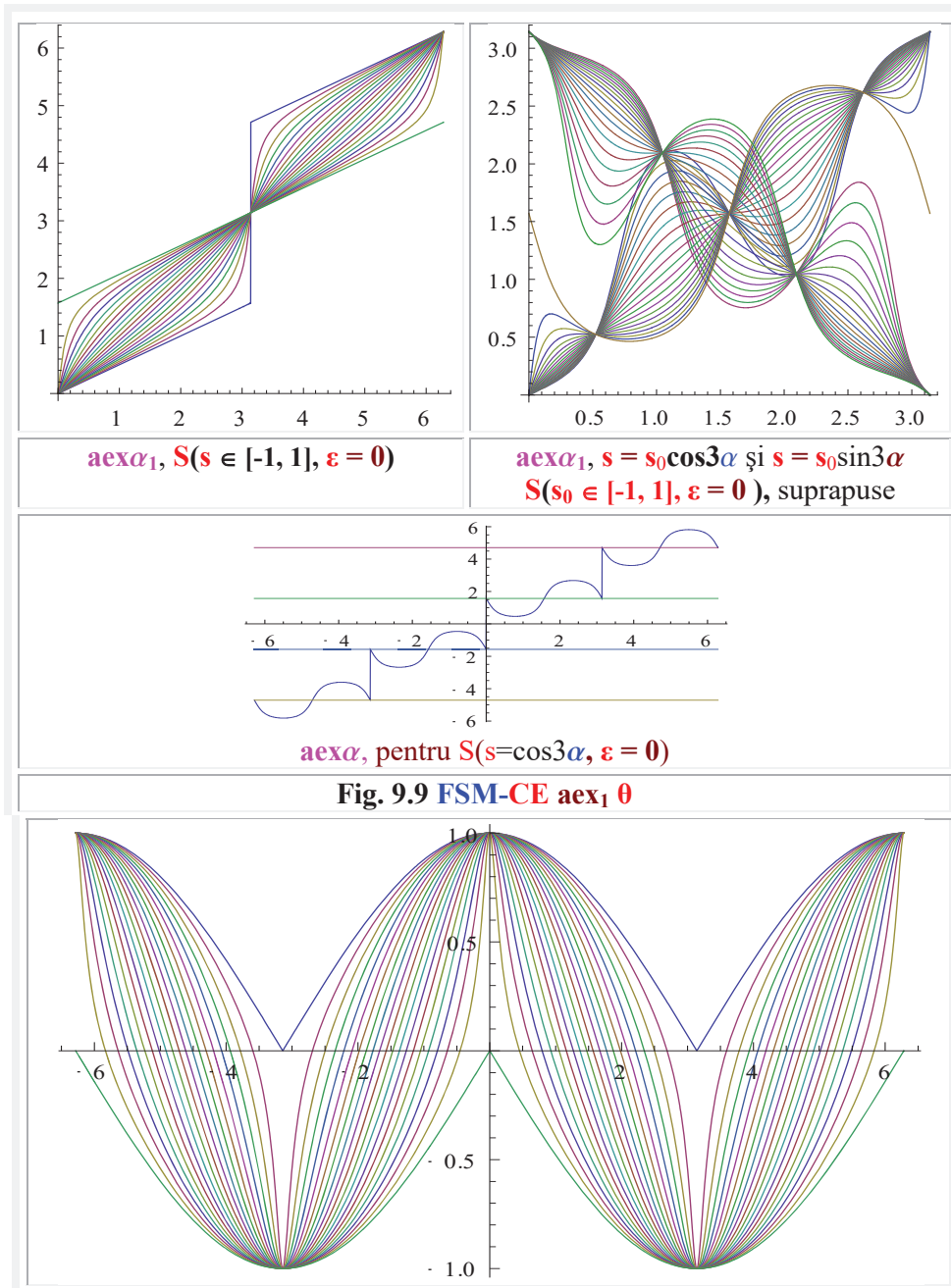
În **figura 9.7** sunt prezentate primele determinări ale **FSM-CE $cex\theta$** și **$sex\theta$** a cărui excentru **S** se deplasează din originea **O(0,0)** $\rightarrow (s = 0, \theta = 0, \cos 3\theta = 1)$, pe axa **x** ($\varepsilon = 0$ și $\varepsilon = \pi$), până în punctele **X** de pe axa **Ox** - **X(s > 0, 0)** - puncte care evoluează progresiv până în extremitatea **A(1, 0)** $\rightarrow (s = 1, \theta = 0 \rightarrow \cos 3\theta = 1)$, ajungând și în extremitatea **A'(-1, 0)** $\rightarrow (s = 1, \cos 3\theta = -1 \rightarrow 3\theta = \pi \rightarrow \theta = \pi/3)$.



La fel pot fi determinate și deplasările excentrului **S(s, ε)** dacă **s = s₀ · sin 3 θ** pentru **s₀ \in [0, 1]**, cu **$\varepsilon = 0$** și **$\theta \in [0, 2\pi]$** ce corespund graficelor din figura 9.7 jos.

În **figura 9.8** sunt prezentate primele determinări ale **FSM-CE $cex\theta$** și **$sex\theta$** a cărui excentru **S** se deplasează pe axa **x** după legea **e = e₀ · cos 5 θ** și **$\varepsilon = 0$** cu **e₀ \in [0, 1]**.

9 COSINUSUL cex ȘI SINUSUL sex SUPERMATEMATICE
EXCENTRICE



9 COSINUSUL cex ȘI SINUSUL sex SUPERMATEMATICE
EXCENTRICE

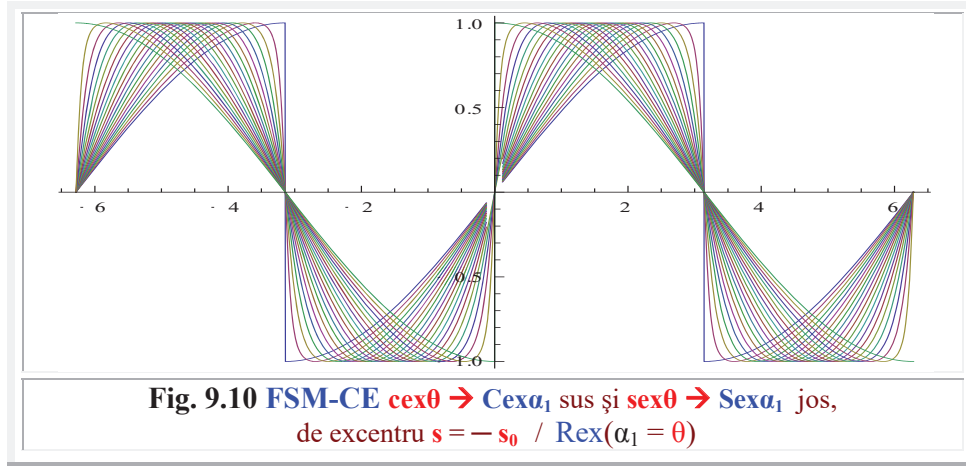


Fig. 9.10 FSM-CE $cex\theta \rightarrow Cex\alpha_1$ sus și $sex\theta \rightarrow Sex\alpha_1$ jos,
de excentru $s = -s_0 / Rex(\alpha_1 = \theta)$

FSM-CE, având multiple utilizări, ele pot fi folosite și la exprimarea legii de deplasare pe axa x a excentrului mobil S , așa cum se poate observa din graficele prezentate în figura 9.9.

În această figură, legea de variație a FSM-CE este dată tot de o FSM-CE, și anume, $cex3\theta$ pentru $cex\theta$ și $cex5\theta$ pentru $sex\theta$.

O situație mai deosebită o reprezintă graficele FSM-CE din figura 9.10 pentru care excentrul S variază după legea

$$(9.17) \quad s = \frac{-s_0}{\sqrt{1-s^2-2s \cdot \cos(\theta-\varepsilon)}} = -s_0/Rex(\alpha \rightarrow \theta) \text{ astfel că funcția amplitudine}$$

excentrică de variabilă excentrică devine

$$(9.18) \quad aex_1\theta = \theta - \arcsin[s \cdot \sin(\theta - \varepsilon)] = \\ = \theta + \arcsin[s \cdot \sin(\theta - \varepsilon) / \sqrt{1+s^2-2s \cdot \cos(\theta - \varepsilon)}] = Aex(\alpha_1 \rightarrow \theta)$$

cu graficele din figura 9.9. În stânga -sus- excentrele S_i sunt puncte fixe, iar în dreapta sunt mobile după legile indicate în desen.

Funcțiile de $s = s_0 \sin 3\alpha$ au fost suprapuse peste cele de $s = s_0 \cos 3\alpha$, care oscilează în jurul primei bisectoare, după ce li s-au schimbat semnul și s-a adăgat constanta $\pi/2$, ca să oscilze față de direcția celei de a doua bisectoare.

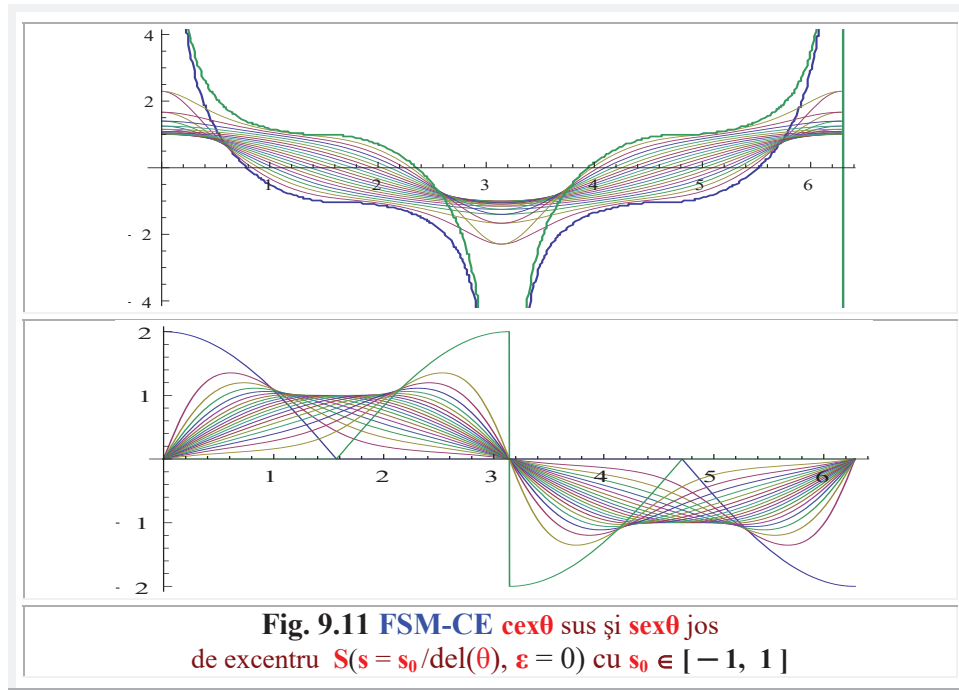
Din prima familie de funcții, de excentricitate numerică variabilă, pentru $s = 1 \cdot \cos 3\alpha$, rezultă funcții periodice în salturi, care oscilează în jurul valorilor de $-3\pi/2$, $-\pi/2$, $\pi/2$, $3\pi/2$ ș.a.m.d, (Fig. 9.9 jos) având câte o perioadă completă de oscilație în jurul fiecărei constante amintite.

Graficele funcțiilor, reprezentate în figura 9.10, sunt ale funcțiilor **cosinus - $Cex(\alpha_1 = \theta)$ - și sinus - $Sex(\alpha_1 = \theta)$ - excentrice de variabilă centrică $\alpha_1 \rightarrow \theta$.**

9 COSINUSUL cex ȘI SINUSUL sex SUPERMATEMATICE EXCENTRICE

Forma graficelor nu depinde, evident, de denumirea pe care o atribuim variabilei și nici de litera grecească cu care o notăm.

Dacă, în locul radicalului $Rex(\alpha_1 = \theta)$, introducem funcția $del_1\theta$, adică
(9.19) $s = s_0 / del_1 \theta$ se obțin graficele din **figura 9.11**.



În **figura 9.13 sus** este prezentată funcția

(9.20) $C(\theta) = bex\theta - bex(\theta - \pi)$, cu ajutorul căreia, pentru $e = 1$, se obține o formă de cremalieră, așa cum este reprezentat și în figură. Ea, funcția, ca și multe alte **FSM-CE**, ar putea servi la desenarea sau reprezentarea unui organ de mașină, de acest gen, în cadrul unui nou tip de programare asistată de calculator denumită și abreviată prin **SM – CAD - CAM**.

9.2 DERIVATELE FUNCȚIILOR $cex\theta$ și $sex\theta$.

Derivatele acestor funcții se obțin, fără nicio dificultate, prin derivarea expresiilor lor de definire. Astfel, derivata lui cosinus excentric, ca funcție de variabila excentrică θ , notată $cex'_{1,2}\theta$, este

9 COSINUSUL cex ȘI SINUSUL sex SUPERMATEMATICE
EXCENTRICE

$$(9.21) \quad cex'_{1,2}\theta = d(cex_{1,2}\theta)/d\theta = \frac{d(cex_{1,2}\theta)}{d\alpha_{1,2}} \frac{d\alpha_{1,2}}{d\theta} = \frac{d(\cos \alpha_{1,2})}{d\alpha_{1,2}} \cdot \frac{d\alpha_{1,2}}{d\theta} =$$

$$= -\sin \alpha_{1,2} \cdot dex_{1,2}\theta = -sex_{1,2}\theta \cdot dex_{1,2}\theta$$

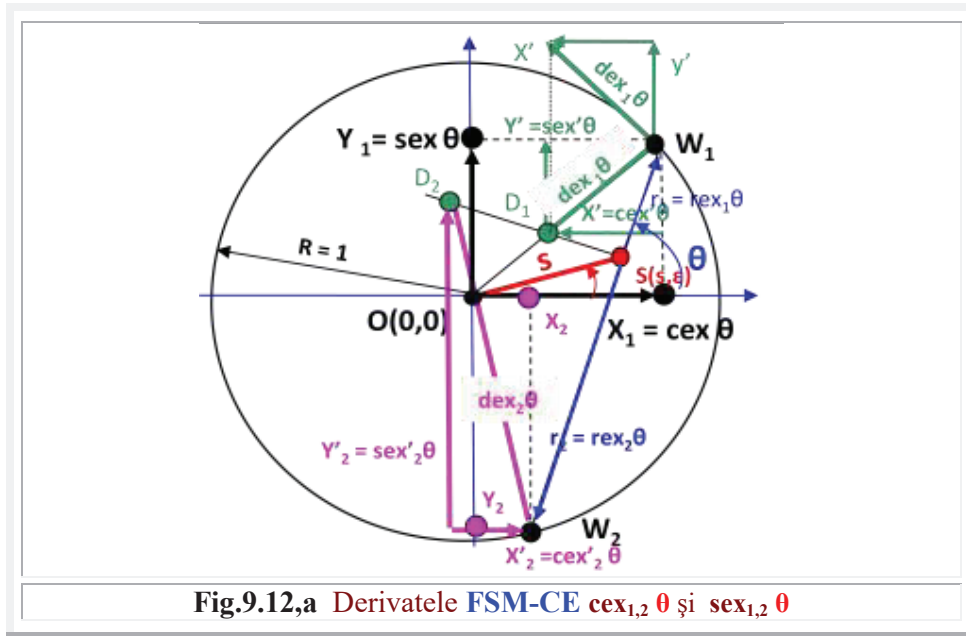


Fig.9.12,a Derivatele FSM-CE $cex_{1,2}\theta$ și $sex_{1,2}\theta$

În mod asemănător, și la fel de simplu, se determină derivata funcției sinus excentric $sex\theta$.

$$(9.22) \quad sex'_{1,2}\theta = d(sex_{1,2}\theta)/d\theta = \frac{d(sex_{1,2}\theta)}{d\alpha_{1,2}} \frac{d\alpha_{1,2}}{d\theta} = \frac{d(\sin \alpha_{1,2})}{d\alpha_{1,2}} \cdot \frac{d\alpha_{1,2}}{d\theta} =$$

$$= \cos \alpha_{1,2} \cdot dex_{1,2}\theta = cex_{1,2}\theta \cdot dex_{1,2}\theta$$

Grafic, derivatele primelor determinări ale funcțiilor sunt prezentate în figura 9.12. Se observă că, pentru $s = 0$, se obțin cunoscutele derivate ale FCC:

$\cos\theta' = -\sin\theta$ și $\sin\theta' = \cos\theta$, deoarece, în acest caz, FSM-CE $dex\theta = 1$. Fiindcă, în acest caz, $\theta = \alpha$, rezultă că și $(\cos\alpha)' = -\sin\alpha$ și $(\sin\alpha)' = \cos\alpha$.

Deoarece

$$(9.23) \quad cex_{1,2}\theta = cel_{1,2}\theta + e_x = cel_{1,2}\theta + e \cdot \cos\epsilon \quad \text{și}$$

$$(9.24) \quad sex_{1,2}\theta = sel_{1,2}\theta + e_y = sel_{1,2}\theta + e \cdot \sin\epsilon, \text{ rezultă că derivatele FSM - CEI}$$

(elevate), pentru un excentru **S punct fix**, sunt aceleași cu ale FSM-CE (excentrice).

Aceste derivate exprimă proiecțiile vitezelor variabile ale punctelor $W_{1,2}$ de pe cercul $C(O,1)$, pe axele de coordonate x și, respectiv, y , în mișcarea circulară

9 COSINUSUL cex ȘI SINUSUL sex SUPERMATEMATICE
EXCENTRICE

excentrică (MCE), pentru o viteză unghiulară de rotație a dreptei d , în jurul excentrului S , constantă și egală cu unitatea ($\Omega = 1$).

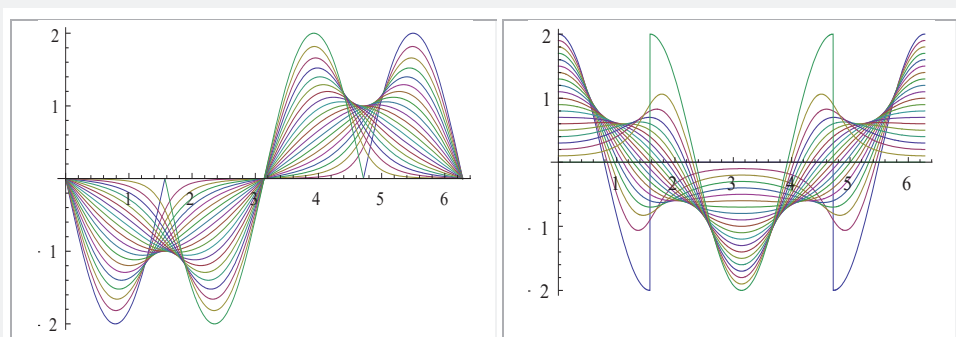


Fig.9.12,b Graficele derivatelor FSM-CE $cex'_{1,2}\theta$ – stânga- și $sex'_{1,2}\theta$ -dreapta- pentru $s \in [-1, +1]$

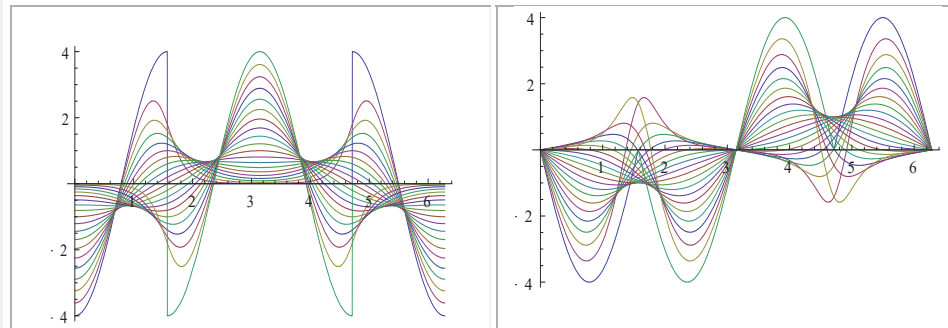


Fig.9.12,c Graficele derivatelor FSM-CE de ordinul doi $cex''_{1,2}\theta$ ← stânga - și $sex''_{1,2}\theta$ → dreapta- pentru $s \in [-1, +1]$

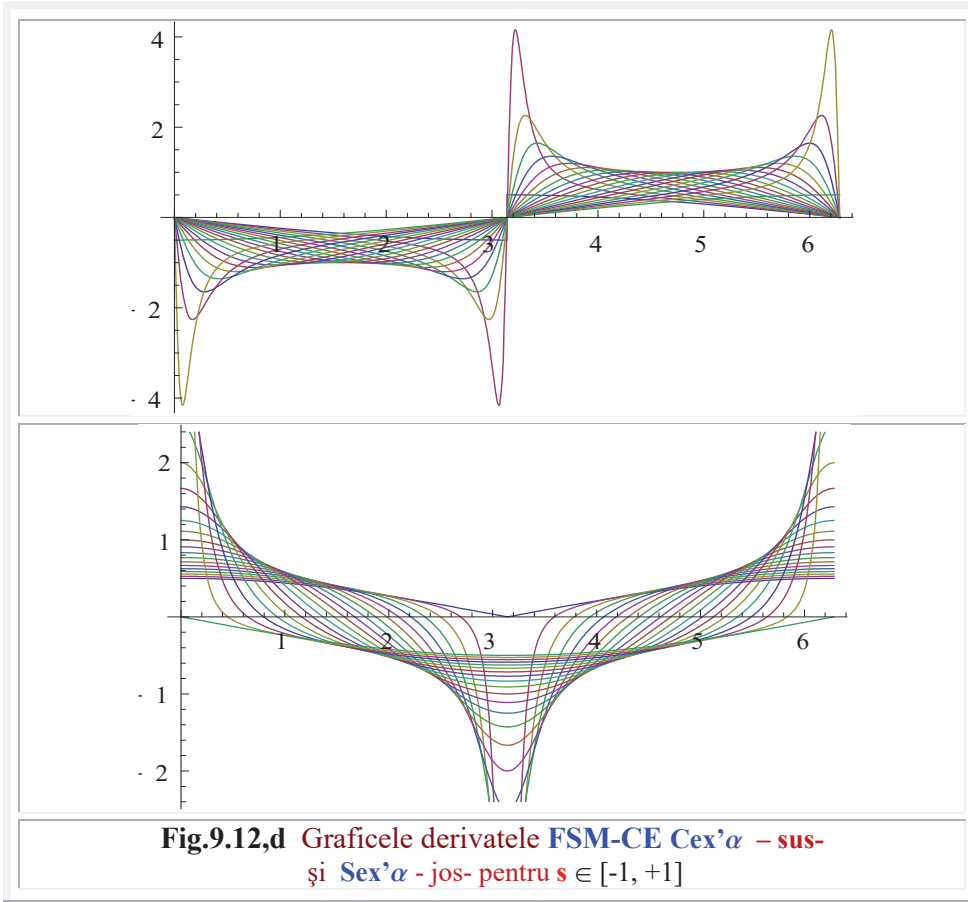
Vitezele punctelor sunt exprimate prin derivatele FSM-CE, față de centrul $O(0,0)$ și, prin derivatele FSM-CEL, față de ex-centrul $S(s, \varepsilon)$.

Derivatele acestor funcții fiind aceleași, rezultă că vitezele nu depind de originea sistemul de coordonate ales. Concluzie la care s-a ajuns și în cadrul capitolului dedicat MCE, arătându-se că derivatele vectorilor de poziție ai punctelor $M_{1,2}$ de pe cercul $C(O,1)$, exprimate atât de vectorii $R_{1,2}(a_{1,2})$ de modul constant și egal cu unitatea, cu polul în $O(0,0)$, cât și de vectorii de poziție, de modul variabil $r_{1,2}(\theta) = R \cdot cex_{1,2}\theta$ cu polul în $S(s, \varepsilon)$, erau egale și egale cu vitezele de modul $v_{1,2} = R \cdot \Omega \cdot dex_{1,2}\theta$.

Se observă și din figura 9.12, că sumele vectoriale ale vectorilor derivată ale lui $x_{1,2}$ și $y_{1,2}$ sunt

9 COSINUSUL cex ȘI SINUSUL sex SUPERMATEMATICE
EXCENTRICE

(9.25) $\vec{x}'_{1,2} + \vec{y}'_{1,2} = \vec{v}_{1,2} = dex_{1,2} \cdot der \alpha_{1,2}$, pentru $R = 1, \Omega = 1$,
fiind, deci, egale cu vitezele din punctele $W_{1,2}$.



Cea de a doua derivată a acestor funcții, excentrice și elevate, sunt

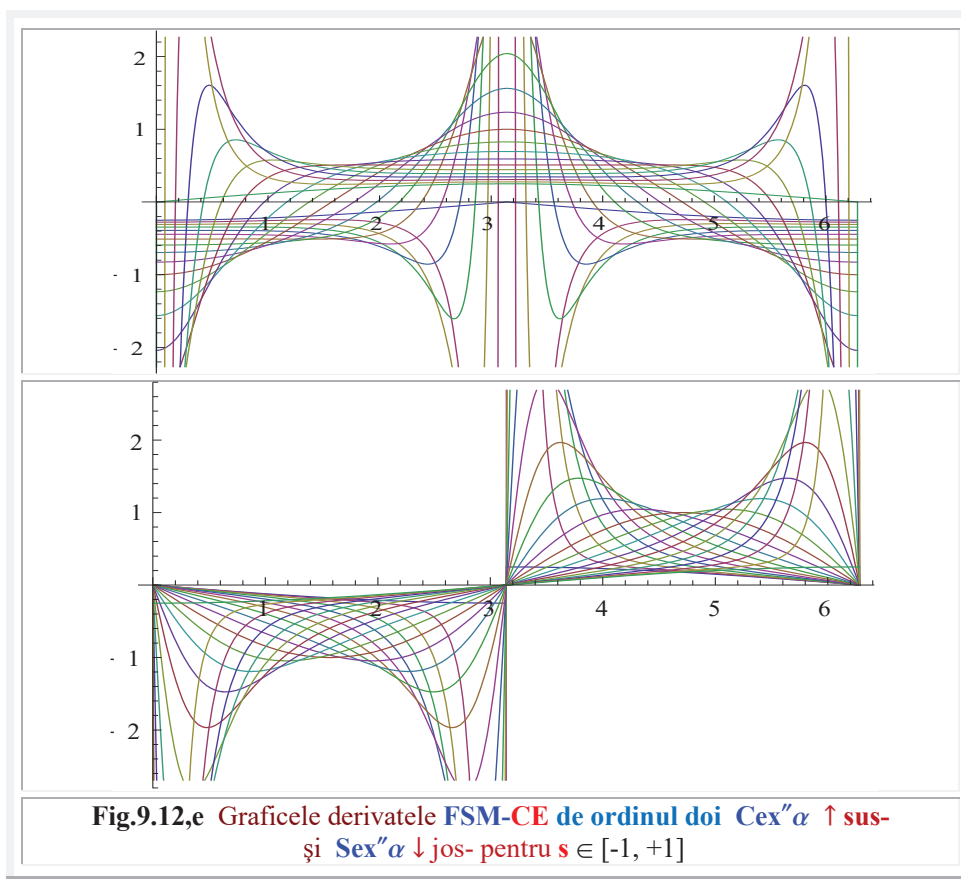
$$(9.26) \quad cex''_{1,2}\theta = d(cex'_{1,2}\theta) / d\theta = d(-sex_{1,2}\theta \cdot dex_{1,2}\theta) / d\theta = \\ = -(cex_{1,2}\theta \cdot dex^2_{1,2}\theta + sex_{1,2}\theta dex'_{1,2}\theta) \quad \text{și}$$

$$(9.27) \quad sex''_{1,2}\theta = d(sex'_{1,2}\theta) / d\theta = d(cex_{1,2}\theta \cdot dex_{1,2}\theta) / d\theta = \\ = (-sex_{1,2}\theta \cdot dex^2_{1,2}\theta + cex_{1,2}\theta dex'_{1,2}\theta).$$

Ele reprezintă **proiecțiile** accelerațiilor punctelor $W_{1,2}$ din **MCE** pe cele două axe x și y . Observația anterioară, de la viteze, fiind valabilă și pentru accelerații.

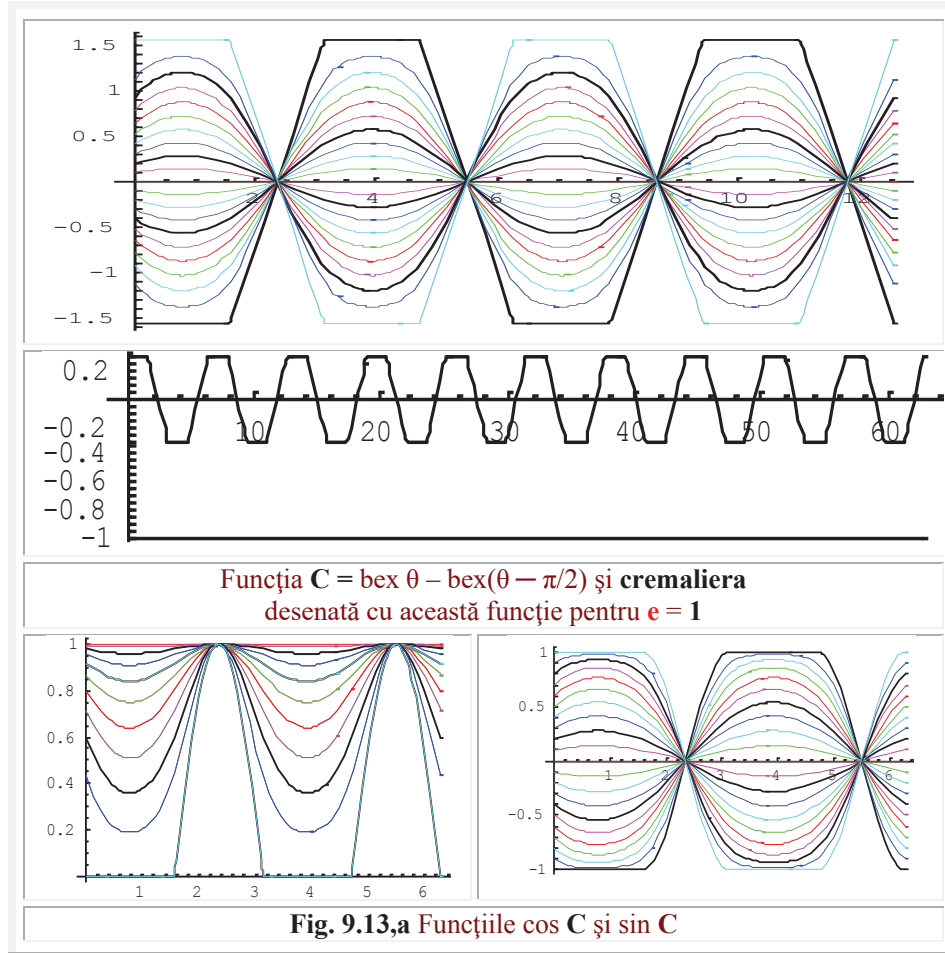
9 COSINUSUL cex ȘI SINUSUL sex SUPERMATEMATICE EXCENTRICE

Graficele derivatelor de ordinul doi ale **FSM-CE $cex\theta$** și **$sex\theta$** sunt prezentate în **figura 9.12,c**, iar graficele primei derivate a funcțiilor $cex\alpha$ și $sex\alpha$, de variabilă centrică, sunt prezentate în **figura 9.12,d**.



9.3 APLICAȚII MATEMATICE ȘI TEHNICE ale FSM-CE $cex\theta$ și $sex\theta$

Așa cum s-a afirmat anterior, una dintre aplicațiile cele mai importante, după părerea autorului, consistă în aplicația tehnică ce constă în desenarea unor organe de mașini (cremalieră, care a fost amintita anterior - **Fig.9.13,a** -) și chiar a unor sisteme tehnice în ansamblul lor (avion **Fig.7.1**, casă ș.a) și ele prezentate succint în aceasta lucrare, precum și a unor entități artistice (Meduze, **Fig. 9,13,b**).



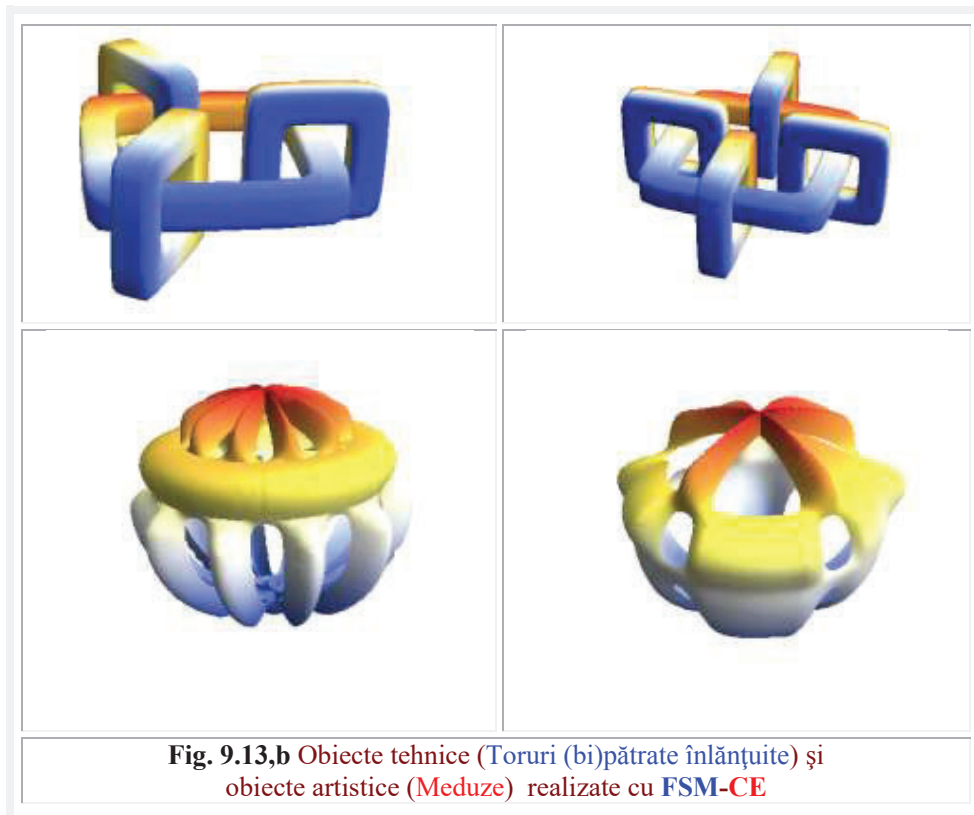
SM - CAD-CAM, de care s-a amintit, ar fi o aplicație în care **matematica și tehnica** s-ar regăsi / contopi într-un singur tot: obiectele tehnice (**Fig. 9.13,b**) s-ar putea înlocui prin reprezentările lor matematice, ceea ce ar fi un început promițător pentru economia de memorie și pentru un viitor de succes al științei și al tehnicii.

În partea de jos a **figurii 9.13,a** sunt reprezentate funcțiile $\cos C$ și $\sin C$. Întrebarea este dacă aceste funcții aparțin **ME** sau **MC**? Sigur este că ele aparțin supermatematicii (**SM**), care înglobează/cuprinde ambele domenii.

Alte aplicații, mult mai importante, ale noilor funcții **cexθ** și **sexθ** vor fi prezentate în continuare, începând cu diversificarea obiectelor matematice sau, mai precis, la obținerea unor obiecte matematice noi cum este, de exemplu, strâmba, ca o generalizare a dreptei, torul cu secțiune pătrată, tiunghiulară sau hexagonală și de

9. APLICAȚII ALE FSM – CE cex ȘI sex

formă rotundă/circulară, ca și torul cu secțiunile amintite și de forme triunghiulare, pătrate, hexagonale, tor (bi)pătrat, **Fig. 9.13,b** ș.a.



În domeniul 3 D se pot aminti și reprezenta elice de diverse forme (circulare, pătrate, tringhiulare ș.a.) de pas variabil, în sensul că pentru $2n$ rotații pasul poate fi stabilit constant, apoi, pentru următoarele $2n$ rotații elicea are pasul zero.

9.3.1 INTRODUCEREA NOȚIUNII DE STRAMBĂ ÎN MATEMATICĂ

Aflându-ne, acum la finele primului volum, poate rezulta mai clar, ceea ce s-a afirmat în introducerea lucrării, și anume, că **matematica centrică** are dimensiunea topologică zero, a unui punct, în timp ce, **matematica excentrică** are dimensiunea topologică de minimum 2, a unei suprafețe. De asemenea, că **matematica centrică** este proprie sistemelor ideale, perfecte, liniare, în timp ce, **matematica excentrică** este proprie sistemelor reale, imperfecte, neliniare.

9. APLICAȚII ALE FSM – CE cex ȘI sex

Între cele două matematici nu există nicio graniță, niciun obstacol real, de aceea se poate afirma că noile componente de matematică șterg granițele, care au existat până acum, dintre liniar și neliniar !

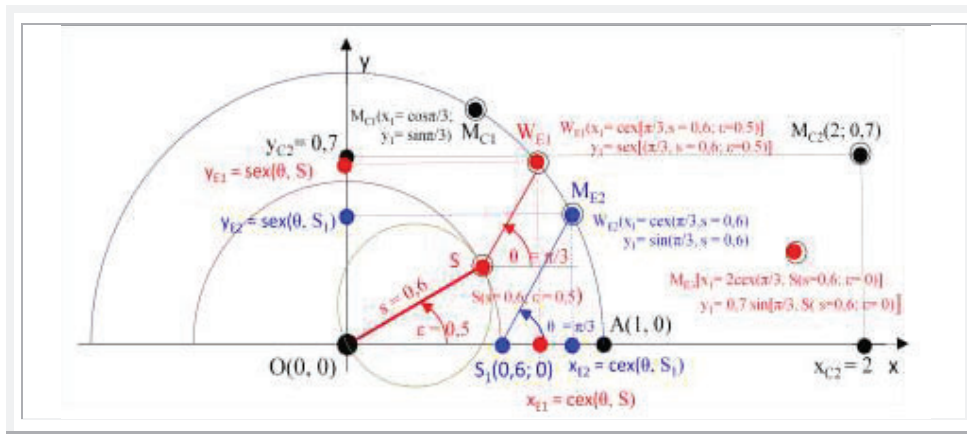
Așa cum a propus regretatul matematician **Anton Hadnagy**, toate curbele cunoscute din matematica centrică se vor denumi în continuare **centrice** și cele corespondente matematicii excentrice se vor denumi **excentrice** [1],[4],[5],[6], [7].

Fiecărei curbe cunoscute din centric, adică fiecărei centrice, îi corespund o infinitate de excentrice. Astfel, unui cerc, unei elipse, unei hiperbole, unei spirale ș.a.m.d. îi corespund o infinitate de excentrice circulare, eliptice, hiperbolice ș.a.m.d., evident de forme care se abat de la **centricele generatoare**, cu atât mai mult, cu cât excentricitatea are valori mai mari. Din ecuațiile **excentricelor**, pentru $e = s = 0$, se obțin, în mod evident, **centricele**.

În mod analog, fiecărei centrice liniare, denumită **dreaptă**, din matematica centrică (**MC**), în matematica excentrica (**ME**) îi vor corespunde o infinitate de excentrice “liniare” ce vor fi denumite **strâmbe**. Deoarece, ceea ce **nu e drept e stramb** și totodată “liniar”, pentru că are o singură dimensiune, lungimea, pentru a se deosebi de dreaptă, chiar dacă-i mai spunem și excentrică. Prin urmare și dreapta este un caz particular de strâmbă : o strâmbă de excentricitate nulă, așa cum este prima bisectoare din **figura 9.14**.

PUNCTUL

Punctul și dreapta sunt entități și noțiuni elementare ce nu pot fi definite în matematică; dar numai dreapta este o figură fundamentală în geometria centrică.



În plus, punctul este singura entitate de dimensiune nulă, astfel că el este același, ca formă sau, mai precis, fără ea, în ambele matematici: **centrică** și **excentrică**, întrucât el (ne- având “figură”) nu-și poate modifica forma prin creșterea valorii excentricității.

Totodată, punctul nu are coordonate unghiulare (unghiurile lui **Euler** θ, φ, ψ) ci numai coordonate liniare x, y, z . În consecință, el este **neorientabil**, fiind doar **localizabil** în spațiul bi- sau tridimensional **3D**.

Localizarea punctului în spațiul **2D** (planul **centric**), dat de $\mathbf{M}_{C2}(x,y) = \mathbf{M}_{C2}(2, 0,7)$, diferă, însă, de localizarea lui în planul **excentric** \mathbf{M}_{E2} și \mathbf{M}_{E3} .

Coordonatele punctului, în planul excentric, prezentate în figura alăturată, în care ambele axe sunt excentrice, de același **excentru** \mathbf{S} ($s, \varepsilon = z$ [rad]) = $\mathbf{S} [0,6 ; 0,5]$ sunt: $\mathbf{M}_E \{ \cos[x - \arcsin[s \cdot \sin[x-z]] = cex\theta ; \sin[y - \arcsin[s \cdot \sin[x-z]] = sex\theta \}$, aici $\theta \rightarrow x, \varepsilon \rightarrow z$ și $\alpha \rightarrow y$

DISTANȚA DINTRE DOUĂ PUNCTE

Distanța dintre două puncte $M_1(x_1, y_1)$ și $M_2(x_2, y_2)$, exprimate în coordonate carteziene, se calculează, așa cum se știe, cu formula :

$$(9.28) \quad (M_1 M_2) = \sqrt{(x_1 - x_2)^2 + (y_1 - y_2)^2}$$

Identificăm pe \mathbf{M}_1 cu excentrul $\mathbf{S}(s_x, s_y)$ exprimat prin coordonate carteziene $\mathbf{S}(s_x = s \cdot \cos\varepsilon, s_y = s \cdot \sin\varepsilon)$ sau în coordonate polare $\mathbf{S}(s, \varepsilon)$ și pe \mathbf{M}_2 cu punctul \mathbf{W} de intersecție a semidreptei \mathbf{d}^+ , turnante în jurul excentrului \mathbf{S} , cu **ceroul unitate** exprimat prin \mathbf{W} ($x = cex \theta, y = sex \theta$), în coordonate carteziene sau, în coordonate polare, cu $\mathbf{W}(R \cdot rex \theta, \theta)$, dacă funcția $rex \theta$ este exprimată în funcție de **variabila excentrică** θ și cu $\mathbf{W}(R \cdot Rex\alpha, \alpha)$ dacă este exprimată în funcție de variabila la centru (sau centrică) α .

Atunci, relația (9.28) va exprima și distanța dintre excentrul \mathbf{E} și punctul \mathbf{W} de pe ceroul de rază \mathbf{R} care este, prin definiția funcției radial excentric ($rex \theta$) - multiplicată cu raza cercului \mathbf{R} , adică, tocmai distanța de la \mathbf{E} la \mathbf{W} :

$$(9.29) \quad d(\mathbf{M}_1, \mathbf{M}_2) = d(\mathbf{E}, \mathbf{W}) = \begin{cases} R \cdot rex\theta = R[-s \cdot \cos(\theta - \varepsilon) + \sqrt{1 - s^2 \sin^2(\theta - \varepsilon)}] \\ R \cdot Rex\alpha = R \sqrt{1 + s^2 - 2s \cdot \cos(\alpha - \varepsilon)} \end{cases}$$

în care: s este excentricitatea numerică și $e = sR$ este excentricitatea reală, e - distanța de la originea \mathbf{O} la excentrul \mathbf{E} .

S-a mai afirmat în lucrare, că **FSM-CE** radial excentric $rex_{1,2}\theta$ exprimă distanța, în plan, dintre două puncte \mathbf{S} și $\mathbf{M}_{1,2}$ în coordonate polare.

Relațiile (9.29) rezultă prin înlocuirea coordonatelor punctelor $\mathbf{E} \equiv \mathbf{M}_1$ și $\mathbf{W} \equiv \mathbf{M}_2$ în relația (9.28), dar sunt cunoscute și ca expresiile invariante ale funcției supermatematice circulare excentrice **radial excentric** ($rex\theta$ sau $Rex\alpha$) [1], [8], [11].

Observația prin care funcția rex și Rex , o adevărată **funcție “rege”**, poate exprima toate curbele plane cunoscute și o infinitate de curbe plane noi, dar exprimă și distanța dintre două puncte în plan, în coordonate polare, aparține Prof. em. dr. math. **Octav Emilian Gheorghiu**, regretatul șef al Catedrei de Matematica de la Facultatea de Mecanică din Timișoara. Totodată, trebuie reamintit că, normarea funcțiilor radial

excentrice s-a făcut la propunerea Prof. Dr. Ing. **Dan Perju**, în vremea în care era decan al Facultății de Mecanică din Timișoara.

STRÂMBA DE VARIABILĂ EXCENTRICĂ θ

Dreapta, având o (singură) dimensiune, **liniară**, își modifică forma la trecerea din liniar (centric) în nelinier (excentric), adică **se strâmbă** din ce în ce mai mult, prin creșterea **excentricității numerice s**, așa cum se poate observa în **figura 9.14**.

Ca și în cazul altor **excentrice** [4] [5] [6], **strâmba** se va obține prin înlocuirea funcțiilor centrice, din ecuațiile dreptelor, cu cele excentrice corespondente.

Funcțiile supermatematice, obținându-se prin înlocuirea **variabilei centrice α** cu funcția (de **variabila excentrică θ**) denumită în **SM** funcția amplitudine excentrică **$aex\theta$** .

De aceea, ecuația

$$(9.30) \quad \alpha(\theta) = aex \theta = \theta - \arcsin[s \cdot \sin(\theta - \epsilon)],$$

va reprezenta **ecuația strâmbei primei bisectoare**.

Ca sa fie mai ușor de recunoscut, prin funcția de reducere la primul cerc, ea se poate scrie nu în funcție de unghiul θ , ci în funcție de variabila reală $x \in \mathfrak{R}$ astfel :

(9.30') $y(x) = aex(x) = x - \arcsin[s \cdot \sin(x - z)]$, funcție reprezentată în **figura 9.14** pentru excentricități numerice variind în domeniul $s \in [-1, +1]$, în care **strâmbele** prezintă grafice continue.

Pentru $|s| > 1$, strâmbele sunt continue numai pe porțiuni. Pe acele porțiuni pe care, dreapta turnantă din excentrul **S**, acum exterior cercului unitate, intersectează cercul unitate.

Principiul este valabil și pentru distanța dintre două puncte: pentru $e = 0 \rightarrow E \equiv O$ și distanța $SW = OW = R$, raza cercului. În acest caz, $rex((\theta, s = e = 0)) = Rex((\alpha, s = e = 0)) = 1$; ceea ce rezultă și din relațiile (9.29) pentru $s = e = 0$.

Ecuația dreptei ce trece prin originea **O (0, 0)** a sistemului cartezian drept **xOy** este

$$(9.31) \quad y = m \cdot x = \tan k \cdot x,$$

astfel că ecuația strâmbei, de variabilă excentrică x va fi

$$(9.32) \quad y = m \cdot aex(x, S) = \tan k \cdot aex[x, S(s, \epsilon)] = m \cdot \{x - \arcsin[s \cdot \sin(x - z)]\},$$

în care s și $z = \epsilon \bmod (2\pi)$ sunt coordonatele polare ale excentrului **S**.

Ecuația strâmbei (și a dreptei) determinată (ce trece prin) de punctul $M_0(x_0, y_0)$ și de direcție **m** este

$$(9.33) \quad y = m \{x - x_0 - \arcsin[s \cdot \sin(x - z)]\} + y_0,$$

obținută din ecuația dreptei generatoare

$$(9.33') \quad y - y_0 = m(x - x_0)$$

Plecând de la forma generală a dreptei și a ecuației de gradul întâi, dată de **Pier Fermat** (1637), rezultă ecuația generală a strâmbei :

(9.34) $A \cdot \{x - \arcsin[s \cdot \sin(x-z)]\} + B \cdot y + C = 0 .$

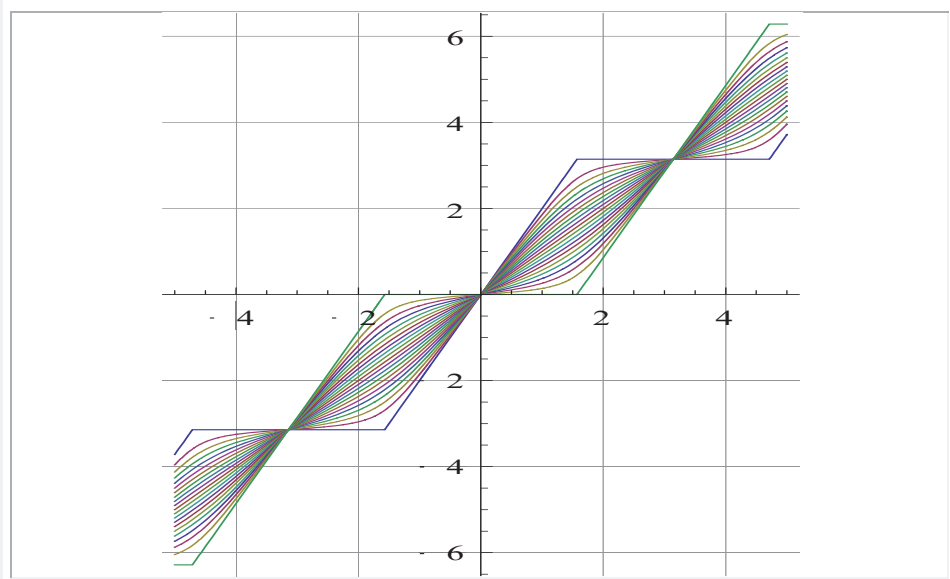


Fig. 9.14. Familie de STRĂMBE rezultate din ecuația primei bisectoare ca FSM-CE amplitudine excentrică.
Pentru $s = \pm 1$ se obțin linii frânte (Curbe «în trepte» Florentin Smrandache și Curbe « linii drepte frânte » Octav Gheorgiu)

Ecuația normală a strâmbei, rezultată din ecuația normală a dreptei, dată de **A. Cauchy** (1826), este

(9.35) $\{x - \arcsin[s \cdot \sin(x-z)]\} \cdot \cos a + y \cdot \sin a - p = 0 ,$

în care p este lungimea normalei la strâmba de $e = 0$, dusă din originea reperului, iar a este unghiul pe care normala îl face cu direcția pozitivă a axei absciselor x .

Asemănător, se pot obține ecuațiile strâmbelor ce trec prin două puncte, plecând de la forma dată de **S. Lacroix** (1798);

(9.36) $\frac{y - y_1}{y_2 - y_1} = \frac{\{x - \arcsin[s \cdot \sin(x-z)]\} - x_1}{x_2 - x_1}$

sau ecuația strâmbei de $s = 0$ (dreptei)

‘prin taieturi’ data de **A. Crelle** (1821)

(9.37) $\frac{x - \arcsin[s \cdot \sin(x-z)]}{a} + \frac{y}{b} - 1 = 0 .$

Importanța strâmbei consistă în aceea că ea poate reprezenta caracteristici elastice neliniare, strict necesare în dinamica sistemelor tehnice, a vibrațiilor sistemelor neliniare, caracteristici elastice statice (CES) greu de obținut anterior numai cu MC.

În **figurile 9.15** și **9.16** sunt prezentate strâmbi de $m = 1$ și excentricitate supraunitară și, respectiv, strâmbi ce trec printr-un anumit punct M_0 și de pantă $m = 3$.

Funcțiile supermatematice, de **variabilă centrică α** , elimină dezavantajul discontinuității, prezentat de funcțiilor supermatematice circulare excentrice de **variabilă excentrică θ** , așa cum s-a arătat în lucrarea [8].

STRĂMBE DE VARIABILĂ CENTRICĂ α

Se obțin în mod asemănător, cu observația că variabila x , din ecuațiile dreptelor, exprimate în diverse forme, se înlocuiește cu funcția de variabilă centrică $Aex(\alpha, S)$, dată de expresia cunoscută :

$$Aex \alpha = \theta(\alpha) = \alpha + \beta(\alpha) = \alpha + \arcsin \frac{s \cdot \sin(\alpha - \varepsilon)}{Rex\alpha} = \alpha + \arcsin \frac{s \cdot \sin(\alpha - \varepsilon)}{\sqrt{1 + s^2 - 2s \cos(\alpha - \varepsilon)}}$$

În cazul funcțiilor de variabilă excentrică, dreapta generatoare d se rotește în jurul excentrului S și intersecta cercul unitate în punctele $W_{1,2}$. Apoi, din centrul O rezultau direcțiile radiale centrice $\alpha_{1,2}$. De aceea, pentru excentrul S , exterior cercului unitate, funcțiile existau numai în anumite domenii.

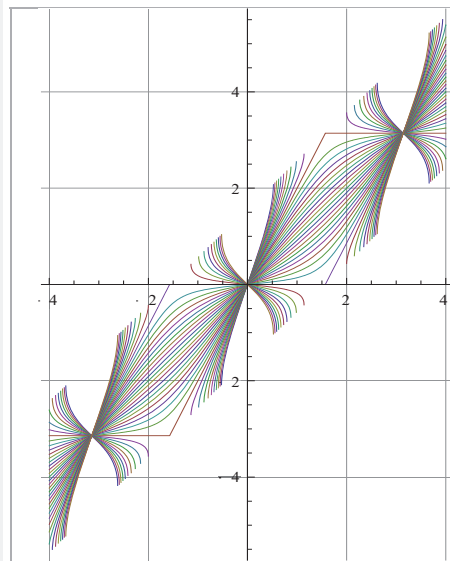


Fig.9.15 Strâmbe de excentricitate numerică e supraunitară $s \in [-2, 2]$, $m = 1$

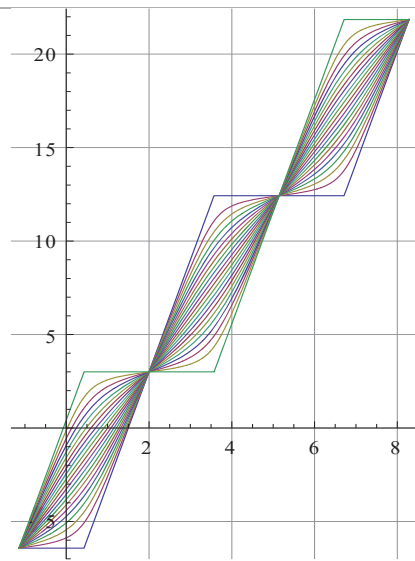
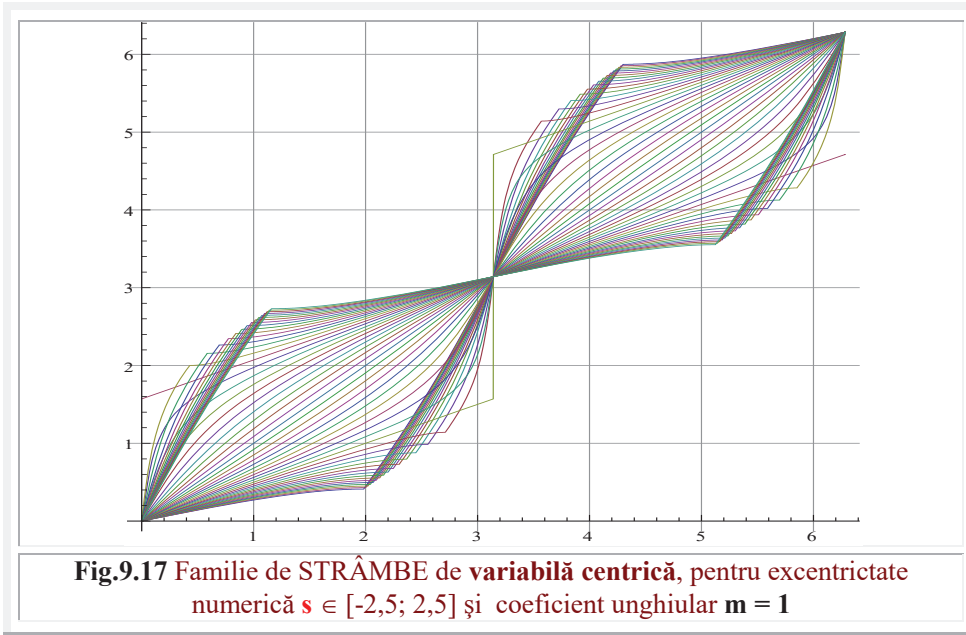


Fig.9.16 Strambe ce trec prin punctul $M_0(2, 3)$, $m = 3$

În cazul funcțiilor de **variabilă centrică**, dreapta generatoare se rotește în jurul centrului O al cercului unitate, astfel că, oriunde ar fi **excentrul S** , în planul cercului, dreapta intersectează în permanență cercul unitate în punctele $W_{1,2}$, diametral opuse,

într-o variantă posibilă și segmentele $SW_{1,2}$ vor defini direcțiile radiale excentrice de unghiuri $\theta_{1,2}$ cu axa absciselor.



Funcțiile supermatematice circulare excentrice și hiperbolice de **variabilă centrică** vor fi tratate în extenso în continuarea acestei lucrări (Vol. II).

Ecuția familiilor de **strâmb** de variabilă **centrică**, ce trec prin punctul $M_0 (x_0, y_0)$ și de coeficient unghiular $m = \tan k$, este :

$$(9.38) \quad y - y_0 = m \left[x + \arcsin \frac{e \cdot \sin(x-z)}{1+e^2-2e \cos(x-z)} - x_0 \right]$$

și pentru $M_0(2, 3)$ și coeficient unghiular $m = 3$ sunt prezentate în **figura 9.17**.

CONCLUZII LA STRÂMBE

La întrebarea pusă de **Fourier**, într-o discuție cu **Monge** în 1795 și relatată de **Jeremy Gray** în “**Idei despre spațiu**”, “**CE ARE DREPT O LINIE DREAPTĂ ?**” acum se poate răspunde cu certitudine : ”**EXCENTRICITATE NULĂ**”

Strâmba, ca și degenerata ei - **dreapta**, împarte planul în două **semiplane** pentru $Abs[s] < 1$.

Dacă **A. G. Köstner** afirma la 2 august 1789 “**Nu există o definiție clară a dreptei**”, acum se poate afirma cu claritate că **dreapta este o strâmbă de excentricitate nulă**.

Mai rămâne de aprofundat / definit **clar ce-i strâmba** ? Pentru că există foarte multe curbe diferite de dreaptă dar și de strambă.

Și strâmbetele sunt de mai multe genuri. Așa, de exemplu, utilizând funcția amplitudine (sau amplitudinus) **am(u,k)** a lui **Jacobi**, din teoria funcțiilor speciale eliptice, foarte asemănătoare cu funcțiile **ax θ** și **Aex α** , care sunt denumite, din această cauză, chiar amplitudine excentrică de variabilă excentrică și, respectiv, centrică, prin analogie cu funcția amplitudinus, se obțin curbe foarte apropiate de strambe prezentate în prezenta lucrare. Aceste strambe ar putea fi definite ca **strambe eliptice Jacobi**.

Și alte funcții supermatematice circulare și hiperbolice excentrice, elevate și exotice pot la fel de bine exprima caracteristici elastice neliniare, asemănătoare strâmbelor de excentricitate diferită de zero.

Vom denumi **strâmbetele** obținute cu funcții circulare excentrice **strâmbete excentrice**, iar cele obținute cu funcții circulare elevate și exotice, **strâmbete elevate** și, respectiv, **exotice**.

Toate acestea pot fi de simplă, dublă sau multiplă excentricitate, iar excentrul poate fi un punct fix (**e**, $\epsilon = \text{constante}$) sau de punct mobil ce evoluează pe diverse curbe.

9.3.2 LOBE, CVADRILOBE ȘI SISTEME VIBRANTE CVADRILOBICE

Lobele sunt familii de curbe închise, rezultate din transformarea continuă a cercului într-un poligon perfect, fiecare curbă închisă a familiei, dispunând de mai mulți lobi (**Fig.9.18**), cu excepția curbei generatoare, care, în toate cazurile, este un cerc, cu zero lobi.

Curbele din familia de lobe se disting printr-o anumită rază **R** și excentricitate **e**, sau o anumită excentricitate numerică **s = e/R**, denumită și modul.

În toate cazurile, pentru **s = 0** se obține cercul, care nu dispune de niciun lob, fiind considerată curbă generatoare a familiilor de lobe și, pentru **s = 1**, se obține un poligon cu **n** laturi, **perfect rectilini**.

Pentru valori intermediare **s** $\in (0, 1)$ se obțin **n**-lobele. Raza **R** a cercului generator al lobelor, aceeași pentru o familie de lobe, imprimă mărimea curbelor din familie, în timp ce, excentricitatea **e** sau **s** modifică continuu forma lobelor din familie: de la cerc (**s = 0**) la un poligon perfect cu 3, 4...**n** laturi (**s = ± 1**).

Transformare continuă a cercului într-un poligon cu **n** laturi perfect rectilini este posibilă prin utilizarea funcțiilor supermatematice circulare excentrice de variabila excentrica θ [1], [2], [3] sau centrica α [10], dependența dintre variabile fiind dată de relația cunoscută

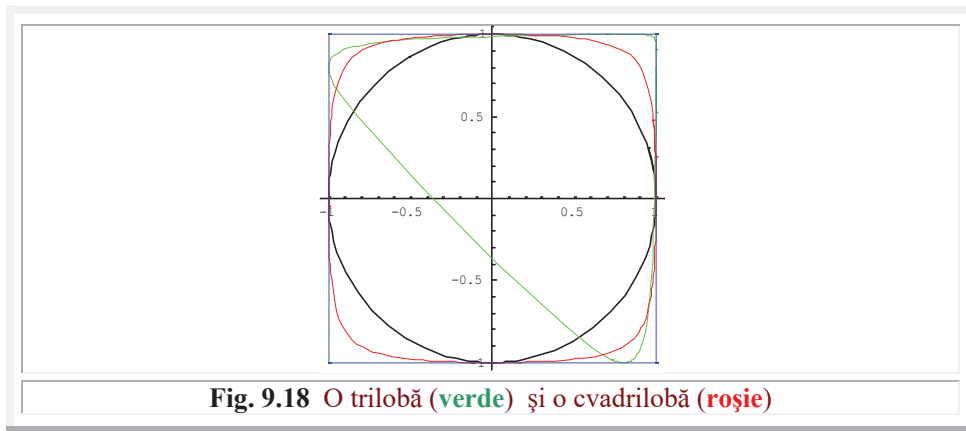
$\alpha = \theta - \arcsin[s \cdot \sin(\theta - \epsilon)]$ **Cvadrilobele (QL)** sunt o familie de curbe închise cu 4 lobi, rezultate din transformarea continuă a cercului în pătrat, de forma pătratelor cu laturi curbe și colțuri rotunjite (**Fig.9.19**), exprimate de ecuațiile parametrice

$$(9.40) \quad \mathbf{M} \begin{cases} x = R. dex\theta \\ y = R. dex(\theta \pm \frac{\pi}{2}) \end{cases}$$

sau, mai simplu:

$$(9.40') \quad \mathbf{M} \begin{cases} x = \frac{R.\cos(\theta-\varepsilon)}{\sqrt{R^2-e^2\sin^2(\theta-\varepsilon)}} = R. coq\theta \\ y = \frac{R.\sin(\theta-\varepsilon)}{\sqrt{R^2-e^2\cos^2(\theta-\varepsilon)}} = R. siq\theta \end{cases}$$

pentru $s^2 \in [0, 1]$.



FUNȚII CVDRILOBE (FQL)

Coordonatele punctului curent $M(x,y) \subset [QL(s)]$, ce aparține unei cvadrilobe (de rază $R = 1$ și de excentricitate numerică $s = k$, cu excentrul S pe axa $x \Rightarrow \varepsilon = 0$) și semidreptei d^+ ($\theta = \varphi$), cu polul în originea $O(0,0)$, adică $M = d^+(\varphi) \cap QL(s = k)$, sunt, totodată, funcțiile cvadrilobe centrice (FQC) **cosinus cvadrilob (coq θ)** și **sinus cvadrilob (siq θ)** centrice de **variabilă excentrică θ** [Fig.9.19].

Coordonatele polare ale lui $M(r, \varphi)$, de variabilă excentrică sunt

$$(9.41) \quad \mathbf{M} \begin{cases} x = coq\theta = \frac{\cos\theta}{\sqrt{1-k^2\sin^2\theta}} \\ y = siq\theta = \frac{\sin\theta}{\sqrt{1-k^2\cos^2\theta}} \end{cases} \quad \text{și utilizând (9.39),}$$

$$(9.41') \quad \mathbf{M} \begin{cases} x = coq\alpha \\ y = siq\alpha \end{cases}, \quad \text{de variabilă centrică } \alpha:$$

Coordonatele polare ale lui $M(r, \varphi)$ sunt

$$(9.42) \quad \mathbf{M} \begin{cases} r = \sqrt{x^2 + y^2} = \sqrt{coq^2\theta + siq^2\theta} \\ \varphi = \arcsin \frac{y}{x} = \arcsin \frac{siq\theta}{\sqrt{coq^2\theta + siq^2\theta}} \end{cases}$$

astfel că pot fi definite și funcțiile **cvadrilobe centrice** de variabilă centrică φ

$$(9.43) \quad \mathbf{M} \begin{cases} x = r \cdot \cos \varphi \\ y = r \cdot \sin \varphi \end{cases}$$

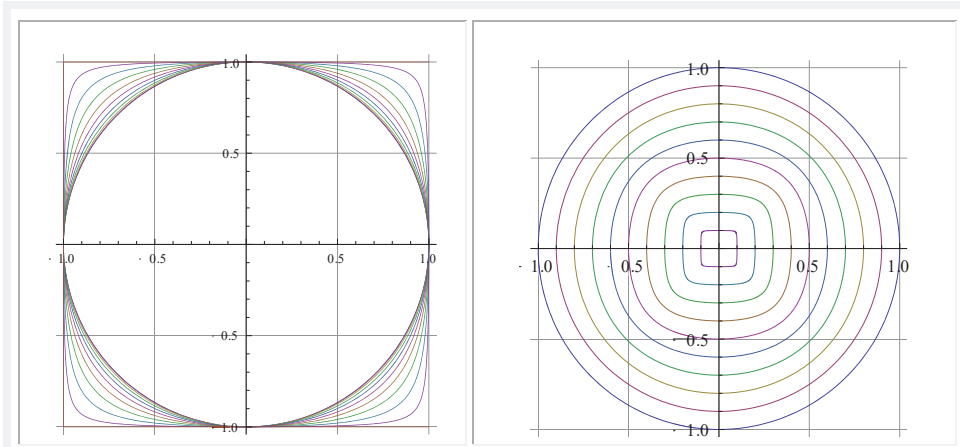


Fig. 9.19 Cvadrilobe centrice de $R = 1$ și de R variabil ($R = 1 - s$)

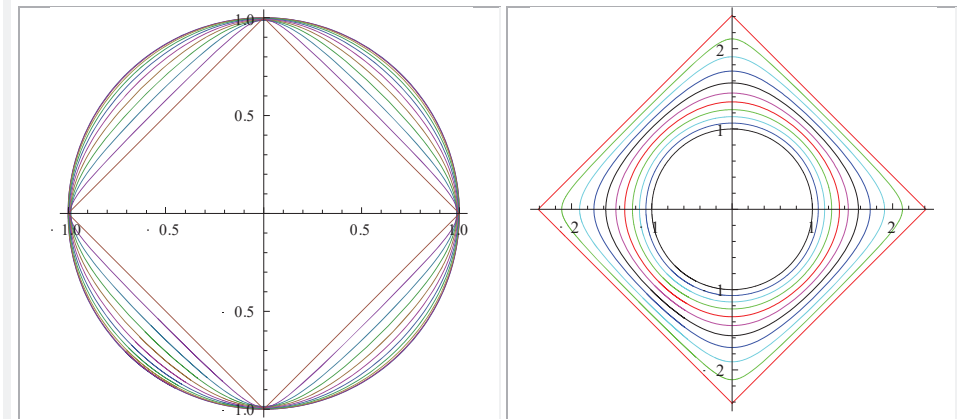


Fig. 9.20 Cvadrilobe Alaci Valeriu $R = 1 - s^2(1 - \sqrt{2})$ rotite cu $\pi/4$, pentru $s \in [0, 1]$

Cercul generator $R = 1$ este **înscris** tuturor cvadrilobelor, inclusiv **pătratului** sau cvadrilobei de $s = k = 1$.

Prin rotirea cvadrilobelor cu $\pi/4$ și modificarea razei cercului generator de la $R = 1$ la $R = 1 - k^2(1 - \frac{\sqrt{2}}{2})$, astfel, încât cercul generator, din cerc înscris, să devină cerc **circumscriș** tuturor cvadrilobelor, inclusiv pătratului rotit cu $\pi/4$, se obțin cvadrilobele **Valeriu Alaci** (Fig.9.20) centrice (**QLAC**) și, prin intersecția acestora cu semidreapta $d^+(\varphi)$, se vor obține funcțiile cvadrilobe **Valeriu Alaci** (**FQLA**).

9. APLICAȚII ALE FSM – CE cex ȘI sex

Ele constituie o trecere continua de la funcțiile **circulare**, din **trigonometria centrică Leonhard Euler** ($e = s = k = 0$), la **funcțiile pătratice Valeriu Alaci**, din **trigonometria pătratică**, introdusă în matematică, înainte de anul 1940, de fostul șef al Catedrei de Matematică al **Școlii Politehnice din Timișoara**, profesorul universitar dr. mat. **Valeriu Alaci**.

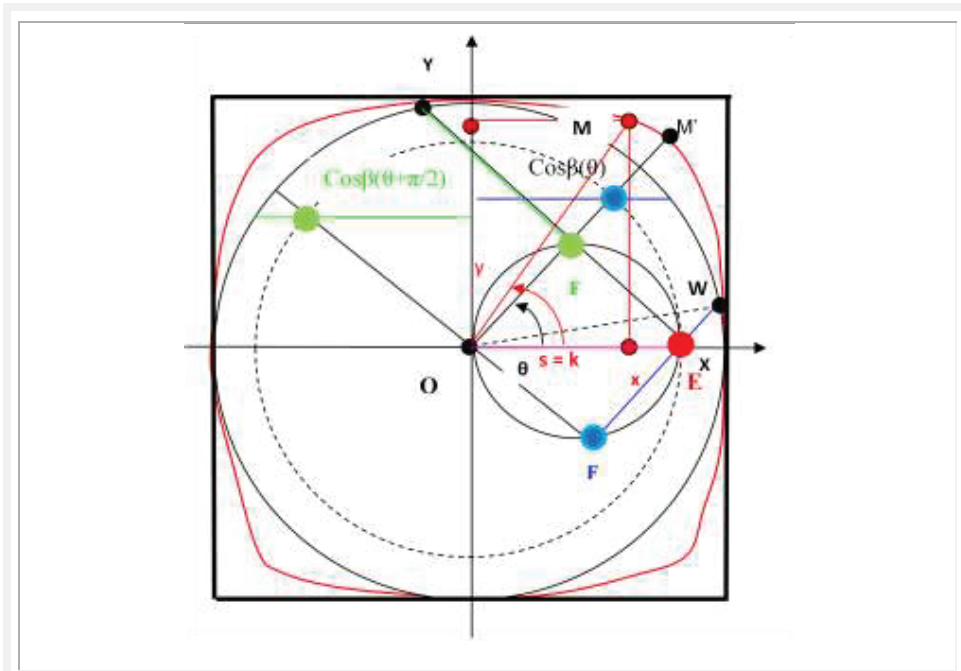


Fig. 9.21 Funcții cvadrilobe. Desen explicativ

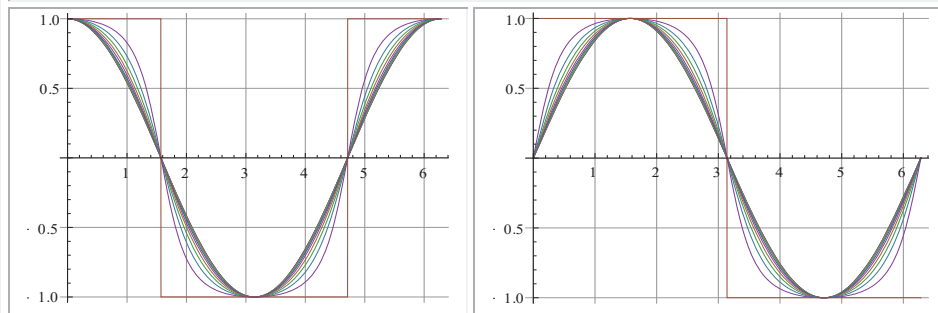


Fig. 9.22 Cosinusul $cq\varphi$ și sinusul $si\varphi$ cvadrilobe (cvadrilobe)

De variabilă θ , α sau φ , aceste funcții au cosinusul cvadrilob **Valeriu Alaci** $cq\alpha\varphi$ și sinusul cvadrilob Alaci $sq\alpha\varphi$ exprimate de relațiile :

$$(9.44) \quad M \begin{cases} cq\alpha\varphi = \left[1 - k^2 \left(1 - \frac{\sqrt{2}}{2}\right)\right] (x\cos\frac{\pi}{4} - y\sin\frac{\pi}{4}) \\ sq\alpha\varphi = \left[1 - k^2 \left(1 - \frac{\sqrt{2}}{2}\right)\right] (x\sin\frac{\pi}{4} - y\cos\frac{\pi}{4}) \end{cases}$$

în care x și y sunt FQLC (9.44).

SISTEME VIBRANTE CVADRILOBE

Punctul reprezentativ M al QL(k) se poate roti cu viteză unghiulară constantă Ω în jurul centrului O , caz în care, M se va roti și el pe QL(k) cu aceeași viteză unghiulară constantă, dar cu viteza \vec{v} („liniara”) pe QL(k) variabilă în modul și în direcție, cu excepția cazului $s = k = 0$, când modulul vitezei este constant ($r = R = 1$).

Considerand, în continuare, variabila excentrică θ ce poate varia în jurul excentrului S ($s = k, \epsilon$), pentru $\epsilon = 0$, după legea

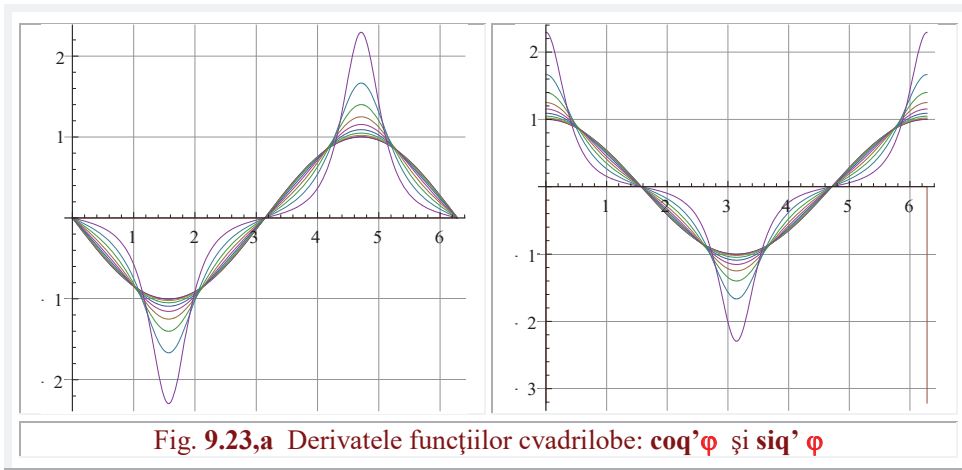
$$(9.45) \quad \theta = \Omega t,$$

rezultă că variabila centrică α , dată de (9.38), va avea expresia

$$(9.46) \quad \alpha = \Omega t - \arcsin[k \cdot \sin(\Omega t)]$$

a cărei derivată, dă viteza unghiulară variabilă ω , cu care punctul W se rotește pe cercul unitate generic.

$$(9.47) \quad \dot{\alpha} = \omega = \Omega \left[1 - \frac{\cos\Omega t}{\sqrt{1 - k^2 \sin^2 \Omega t}}\right] = \Omega \cdot dex\Omega t.$$



Punctul M de pe QL(k) se va roti și el în jurul lui O cu o alta viteză unghiulară variabilă.

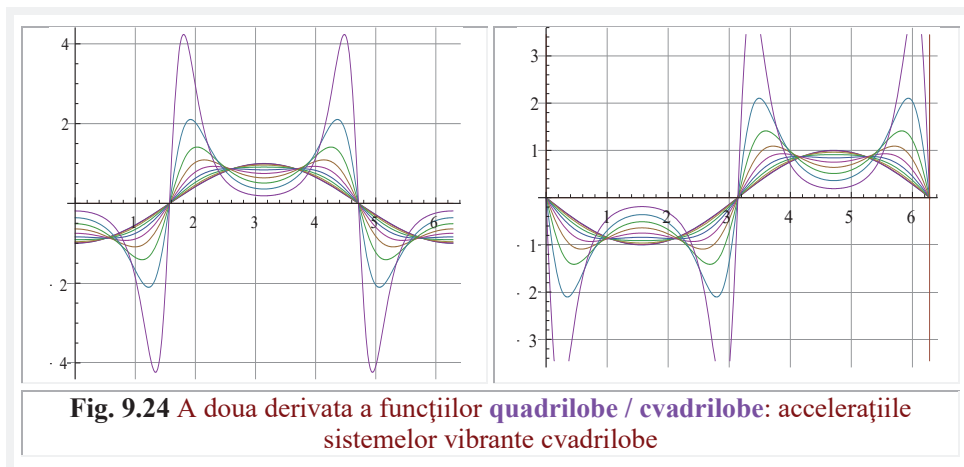
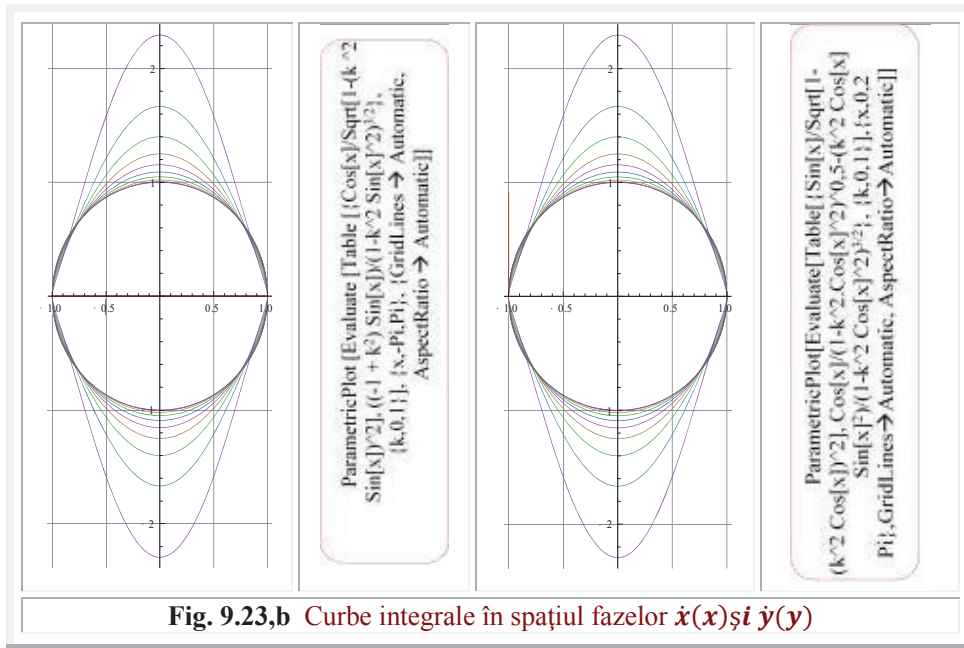
În punctele în care cercul unitate este tangent QL, pentru $\alpha = 0 + n \cdot \pi/2$, ($n = 1, 2, 3, \dots$), în care și $r = R = 1$ și $\varphi = \alpha$, vitezele unghiulare ale punctului M vor fi egale cu acelea ale semidrepte centrice din O , care face unghiul α cu axa x , deci cu ω .

Proiecțiile mișcării lui M (x, y) de pe QL pe axele x și y vor genera câte o

9. APLICAȚII ALE FSM – CE cex ȘI sex

mișcare de vibrație, iar sistemele vibrante, astfel obținute, sunt definite ca **sisteme vibrante cvadrilobe (SQL)**.

Dacă se consideră poziția lui **M** la momentul t și, respectiv, x și y pozițiile proiecțiilor lui **M** pe axa x și, respectiv, y , atunci vitezele de deplasare ale proiecțiilor lui **M** pe aceste axe sunt date de derivatele acestora, care sunt și derivatele **FQL** în funcție de timp.



Ținând cont de (9.41) acestea sunt :

$$(9.48) \quad M \begin{cases} \dot{x} = \frac{-\Omega(1-k^2)\sin\Omega t}{(1-k^2\sin^2\Omega t)^{1,5}} \\ \dot{y} = \frac{-\Omega(1-k^2)\cos\Omega t}{(1-k^2\cos^2\Omega t)^{1,5}} \end{cases}, \text{ cu graficele din figurile 9.23, a și 9.23, b}$$

și accelerațiile

$$(9.49) \quad \ddot{M} \begin{cases} \ddot{x} = \frac{-\Omega^2(1-k^2)(1+2k^2\sin^2\Omega t)\cos\Omega t}{(1-k^2\sin^2\Omega t)^{2,5}} = -\Omega^2\cos\Omega t \frac{1-k^2+(2k^2-2k^4)\sin^2\Omega t}{(1-k^2\sin^2\Omega t)^{\frac{5}{2}}} \\ \ddot{y} = \frac{-\Omega^2(1-k^2)(1+2k^2\cos^2\Omega t)\sin\Omega t}{(1-k^2\cos^2\Omega t)^{2,5}} = -\Omega^2\sin\Omega t \frac{1-k^2+(2k^2-2k^4)\cos^2\Omega t}{(1-k^2\cos^2\Omega t)^{\frac{5}{2}}}, \text{ sau} \end{cases}$$

$$(9.49') \quad \ddot{M} \begin{cases} \ddot{x} = -\Omega^2(1-k^2)\cos\Omega t \frac{1+2k^2\sin^2\Omega t}{(1-k^2\sin^2\Omega t)^{\frac{5}{2}}} \\ \ddot{y} = -\Omega^2\sin\Omega t(1-k^2) \frac{1+2k^2\cos^2\Omega t}{(1-k^2\cos^2\Omega t)^{\frac{5}{2}}} \end{cases}$$

ECUAȚIA DIFERENTIALĂ A VIBRAȚIILOR SISTEMELOR QUADRILOBE \ CVADRILOBE (VSQL)

Matricea Wronskiana a QLSV este:

$$(9.50) \quad W = \begin{vmatrix} x & y \\ \dot{x} & \dot{y} \end{vmatrix} = \frac{\Omega(1-k^2)(1-2k^2\cos^2\theta\sin^2\theta)}{1-k^2+k^2\cos^2\theta\sin^2\theta} = \frac{\Omega(1-k^2)(1-\frac{k^2\sin^2 2\theta}{2})}{1-k^2(1-\frac{\sin^2 2\theta}{2})} \neq 0$$

astfel că funcțiile QL (9.41) și combinații acestora

$$(9.51) \quad z = C_1 \cos\theta + C_2 \sin\theta$$

sunt soluții ale ecuației diferențiale

$$(9.52) \quad A\ddot{z} + B\dot{z} + Cz = 0$$

în care $A \equiv W$ și

$$(9.53) \quad B = \begin{vmatrix} x & y \\ \ddot{x} & \ddot{y} \end{vmatrix} = \frac{-\Omega^2(1-k^2)k^2(4-k^2-\frac{k^4\sin^2 2\theta}{2})\sin 4\theta}{4(1-k^2+\frac{k^4\sin^2 2\theta}{2})^{2,5}}$$

iar coeficientul variabil C este dat de determinantul

$$(9.54) \quad C = \begin{vmatrix} \dot{x} & \dot{y} \\ \ddot{x} & \ddot{y} \end{vmatrix} = \frac{\Omega^2(1-k^2)(1-k^2\cos^2 2\theta + \frac{k^2(1-k^2)\sin^2 2\theta}{2})}{(1-k^2+\frac{k^4\sin^2 2\theta}{2})^{2,5}}$$

CARACTERISTICILE ELASTICE STATICE (CES) ALE SVQL

Considerand un SVQL de masa $m = 1$ și de pulsație proprie $\Omega = 1$, forța de accelerație F_a , în funcție de θ , este dată de relațiile (9.49).

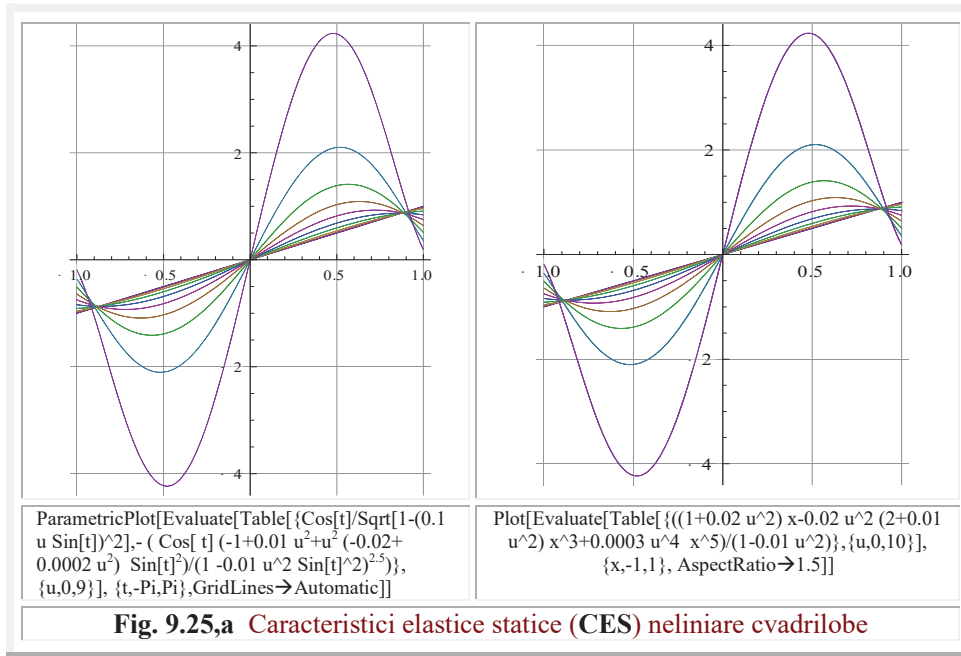
Prin schimbarea de variabilă în (9.49), ținând cont de relațiile (9.41), se obține forța de accelerație în funcție de deplasarea x și, respectiv, y .

9. APLICAȚII ALE FSM – CE cex ȘI sex

În lipsa forței de excitație și în cazul unui sistem neamortizat $C = 0$ sau $\zeta = 0$ – singurele forțe din sistem sunt: **forța de accelerație** F_a și **forța elastică** F_e care sunt egale și de sens contrar $F_e = -F_a$. În consecință, prin schimbarea semnului forței $F_a(x)$ și, respectiv $F_a(y)$, se obțin forțele elastice $F_e(x)$ și, respectiv, $F_e(y)$ date de relațiile parametrice, pentru $m = 1$

$$(9.55) \quad F_e \begin{cases} F_e(x) \left\{ \begin{aligned} x(t) &= coq\Omega t = \frac{\cos\Omega t}{\sqrt{1-k^2\sin^2\Omega t}} \\ -m\ddot{x}(t) &= -\frac{d^2x(t)}{dt^2} = -\Omega^2 \cos\Omega t \frac{1-k^2-2k^2(1-k^2)\sin^2\Omega t}{(1-k^2\sin^2\Omega t)^{\frac{5}{2}}} = -\Omega^2 \cos\Omega t \frac{(1-k^2)(1+2k^2\sin^2\Omega t)}{(1-k^2\sin^2\Omega t)^{\frac{5}{2}}} \end{aligned} \right. \\ F_e(y) \left\{ \begin{aligned} y(t) &= siq\Omega t = \frac{\sin\Omega t}{\sqrt{1-k^2\cos^2\Omega t}} \\ -m\ddot{y}(t) &= -\frac{d^2y(t)}{dt^2} = -\Omega^2 \sin\Omega t \frac{1-k^2-2k^2(1-k^2)\cos^2\Omega t}{(1-k^2\cos^2\Omega t)^{\frac{5}{2}}} \end{aligned} \right. \end{cases}$$

sau de cele explicate, în funcție de delasarea x și, respectiv, y

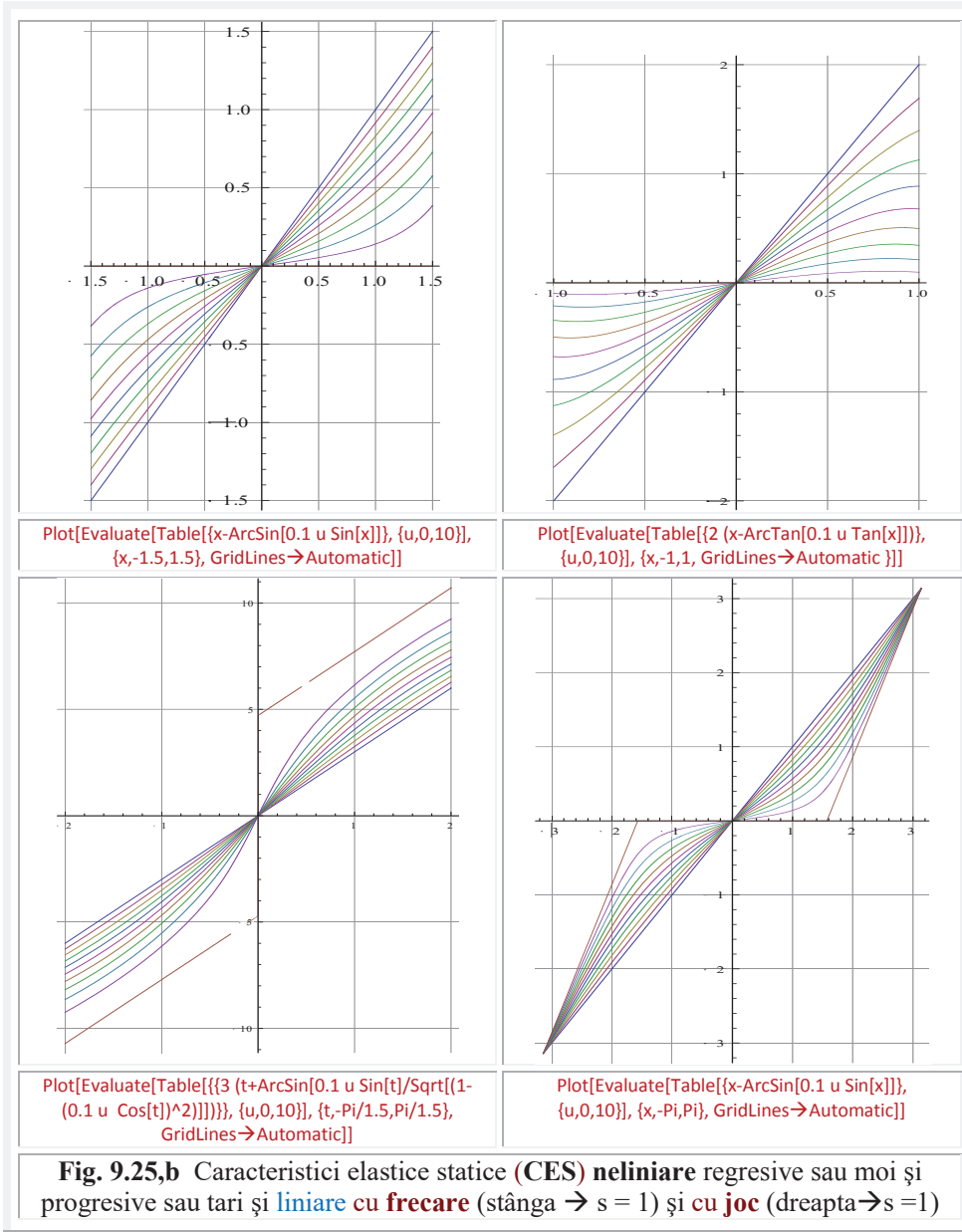


$$(9.55') \quad \begin{cases} F_e(x) = \frac{\Omega^2}{1-k^2} [(1-k^2)x + 2k^2(2+k^2)x^3 + 3k^4x^5] \\ F_e(y) = \frac{\Omega^2}{1-k^2} [(1-k^2)y + 2k^2(2+k^2)y^3 + 3k^4y^5] \end{cases}$$

care reprezintă, totodată, și CES neliniare **moi (regresive)** ale SVQL, redată în figura 9.25,a.

Atât CES în funcție de x cât și CES în funcție de y sunt, evident, identice pentru că exprimă CES a aceluiași sistem cvadrilob (unic), de aceea, în figura 9.25,a au fost reprezentate CES cvadrilobe prin relațiile(9.55) și (9.55').

9. APLICAȚII ALE FSM – CE cex și sex



9. APLICAȚII ALE FSM – CE cex ȘI sex

Alte tipuri de CES, împreună cu relațiile lor, sunt prezentate în **figura 9.25,b**. Primele, din stânga - sus, sunt progresive sau tari, iar cele din dreapta-sus sunt regresive sau moi. Mult mai interesante sunt CES din partea de jos a **figurii 9.25,b**.

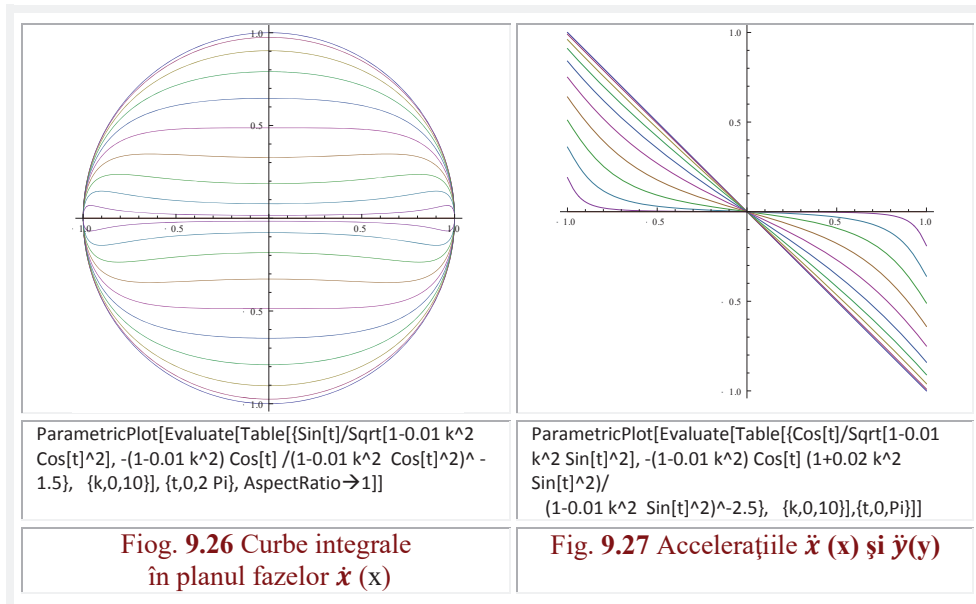
Astfel, în stânga-jos sunt prezentate CES moi sau regresive care pentru $s = 0$ sunt CES liniare, iar pentru $s = 1$ sunt CES liniare ale unui sistem cu strângere prin fricțiune, la care deplasarea apare numai când forța exterioară de excitație depășește valoarea forței de frecare din sistem.

În dreapta-jos sunt CES liniare care pentru $s = 0$ sunt liniare continue, iar pentru $s = 1$ reprezintă CES ale unor sisteme cu joc; în domeniul jocului forțele fiind nule.

CURBE INTEGRALE ÎN PLANUL FAZELOR

În consecință, **curbe integrale în planul fazelor** $\dot{x}(x)$ vor avea și ele aceleași forme, prezentate în **figura 9.26** pentru $s = k \in [0, 1]$ cu pasul **0,1**.

Curbele accelerațiilor pe x sau y au aceeași formă, așa cum sunt reprezentate în **figura 9.27**.

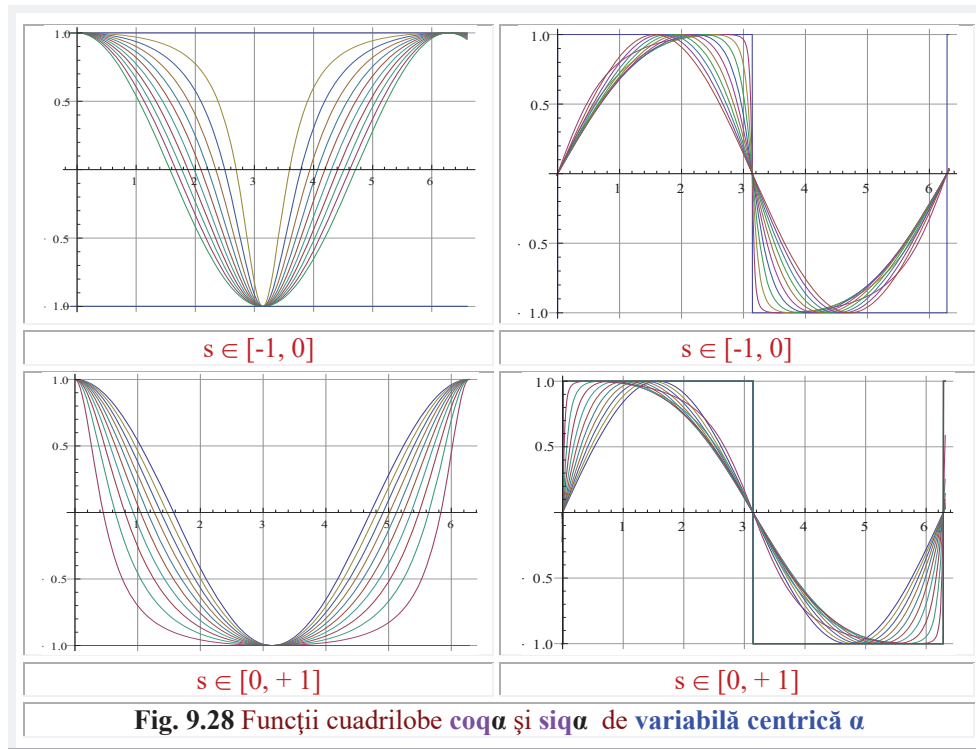


CONCLUZII

- Au fost introduse în matematică obiecte geometrice (QL și QLA) și funcții noi și utile, care sunt soluții ale unor sisteme vibrante neliniare de caracteristici elastice statice regresive (**Fig.9.25**), prezentate în prezenta lucrare ca funcție de variabila excentrică θ .

9. APLICAȚII ALE FSM – CE cex ȘI sex

- La fel de importante sunt și soluțiile date de celelalte variabile α și φ , care vor fi prezentate în lucrări viitoare.
- Noile curbe închise și funcțiile aferente lor, realizează o transformare continuă a cercului într-un poligon perfect; între două dintre cele mai importante forme geometrice ale matematicii, eliminand, astfel, granițele dintre ele: dintre cerc și pătrat.
- **FQL** de variabilă centrică α $coq\alpha$ și, respectiv, $siq\alpha$ au graficele prezentate în figura următoare (9.28) și au alura asemănătoare cu **FQL** de variabilă φ .
- Curbe închise de forma n-lobelor sau polilobelor se pot obține și cu ajutorul funcțiilor **SM - CE** $Rex(n \alpha)$, care nu tind la limită spre un n-polygon perfect ci spre n-roze, așa cum se observă în **figura 9.29** pentru $n = 4$ și $n = 8$.
- Funcțiile QL **Valeriu Alaci**, prezentate succint, unifică funcțiile circulare cu cele din trigonometria patrată a lui **Valeriu Alaci**, introducand o infinitate de alte funcții între cele mai uzuale funcții matematice (**circulare Euler** și **pătratică Alaci**).



- Dacă sistemele vibrante **Duffing** având CES de forma: $F_c = k_0 x \pm \beta x^3$, reprezintă primii doi termeni ai dezvoltării în serie de puteri **Taylor**, în jurul

originii, CES a SVQL reprezintă aceeași dezvoltare dar cu **un termen în plus, așa cum rezultă din ecuația explicită (9.55')**. Deci cu un pas mai apropiată de o oarecare CES reală, neliniară.

9.3.3 TOR EXCENTRIC

Torul **centric** este o suprafață închisă, generată de un cerc care se rotește în jurul unei axe paralele și exterioare planului cercului. Dacă Oz este axa de rotație, cercul generator având raza R iar centrul fiind la distanța A de această axă, ecuațiile parametrice ale torului **centric** vor fi

$$(9.56) \begin{cases} x = (A + R \cos\theta) \cos\alpha \\ y = (A + R \cos\theta) \sin\alpha \\ z = R \sin\theta \end{cases} \Rightarrow \alpha \in [0, 2\pi] \quad \text{și} \quad \theta \in [0, 2\pi]$$

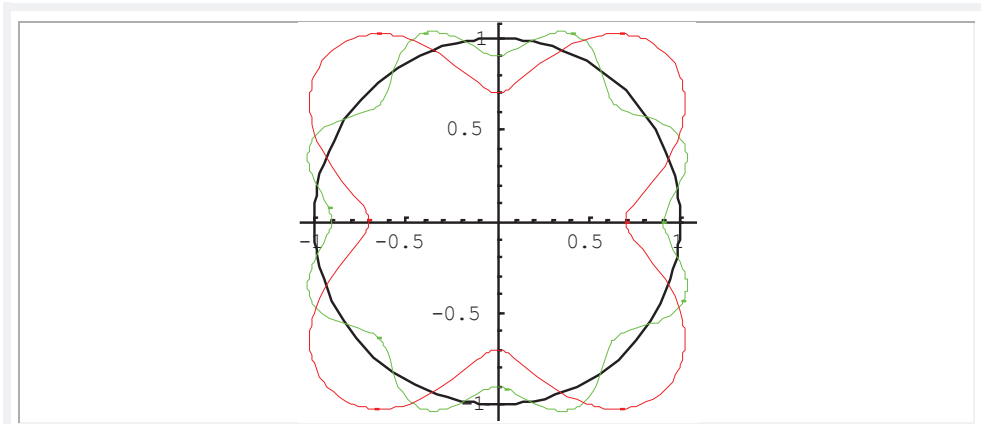


Fig. 9.29 Rex (na) în polar → epicloide (roze)

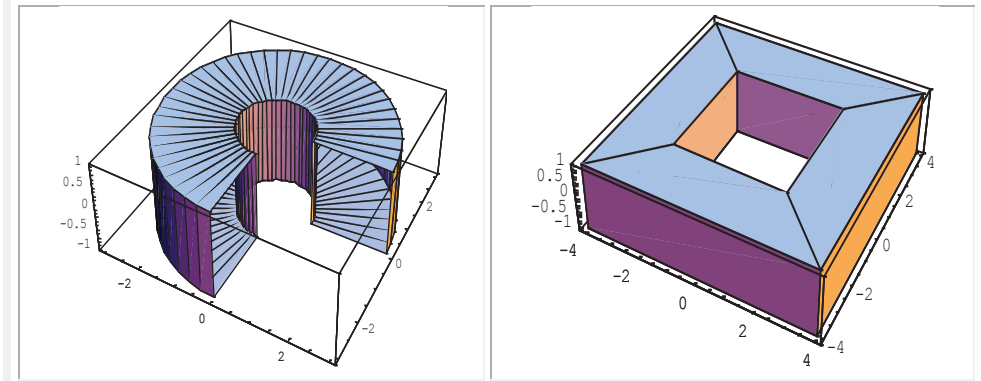


Fig. 9.30 Tor excentric circular și pătrat de secțiuni pătrate

9. APLICAȚII ALE FSM – CE cex ȘI sex

Față de notațiile clasice, cu \mathbf{t} și \mathbf{u} , s-au introdus alte notații care să corespundă **FSM-CE**.

De funcția de variabila α depinde **forma torului** : circulară (cu FCC) sau necirculară (**FSM-CE**), în jurul axei \mathbf{Z} , iar de funcțiile de variabila θ depinde **forma secțiunii** : circulare sau necirculare ale torului.

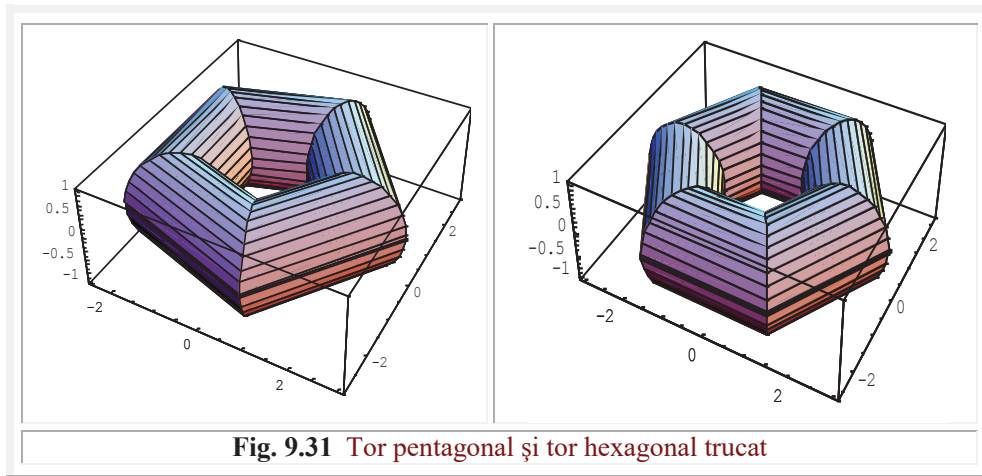
Așa cum s-a mai afirmat, prin simpla înlocuire a FCC cu FCE , de exemplu, se obțin noi forme matematice, sau, mai precis **supermatematice**.

Astfel, înlocuind în (9.56) funcțiile circulare centrice de variabila θ cu cele cvadrilobe ($\cos\theta \rightarrow \text{coq}\theta$ și pe $\sin\theta \rightarrow \text{siq}\theta$) se obține un **tor circular de secțiune pătrată**, reprezentat în **figura 9.30**. de ecuațiile parametrice (9.57).

Prin înlocuirea tuturor FCC cu funcții cvadrilobe, rezultă un tor pătrat de secțiune pătrată (**Fig. 9.30**) cu ecuațiile parametrice din relația (9.58).

$$(9.57) \quad \begin{cases} x = (A + \text{coq}\theta)\cos\alpha \\ y = (A + \text{coq}\theta)\sin\alpha \\ z = \text{siq}\theta \end{cases} \Rightarrow A = 2, \quad \alpha \in [0, 3\pi/2] \quad \text{și} \quad \theta \in [0, 2\pi]$$

În **figura 9.31** sunt prezentate un tor pentagonal și unul hexagonal de secțiuni circulare, obținute prin artificii de programare, în sensul că s-a dat comanda **PlotPoints**→(60, 6) pentru pentagon și **PlotPoints**→(60, 7) pentru hexagon.



Dacă FCC de θ ($\cos\theta$ și $\sin\theta$) din (9.56) se înlocuiesc cu FSM-CE, (cex θ și sex θ), se obțin ecuațiile parametrice (9.59) și torul excentric din figura 9.32.

$$(9.58) \quad \begin{cases} x = \text{coq}\alpha(A + \text{coq}\theta) \\ y = \sin q(A + \text{coq}\theta) \\ z = \text{siq}\theta \end{cases} \quad \alpha \in [0, 2\pi/2] \quad \text{și} \quad \theta \in [0, 2\pi], \quad A = 3$$

9.3.4 FORME DE ȚEVI ȘI ÎMBINAREA LOR DE COLȚ

Deoarece, un cilindru **circular** drept este reprezentat de ecuațiile parametrice

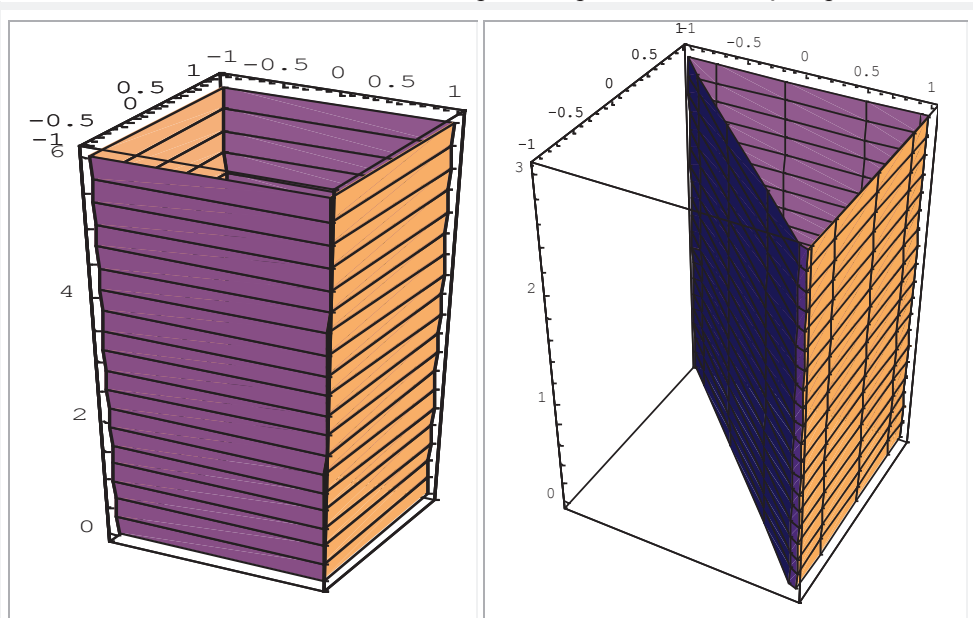


Fig. 9.33 Cilindri dreți de secțiune pătrată și triunghiulară

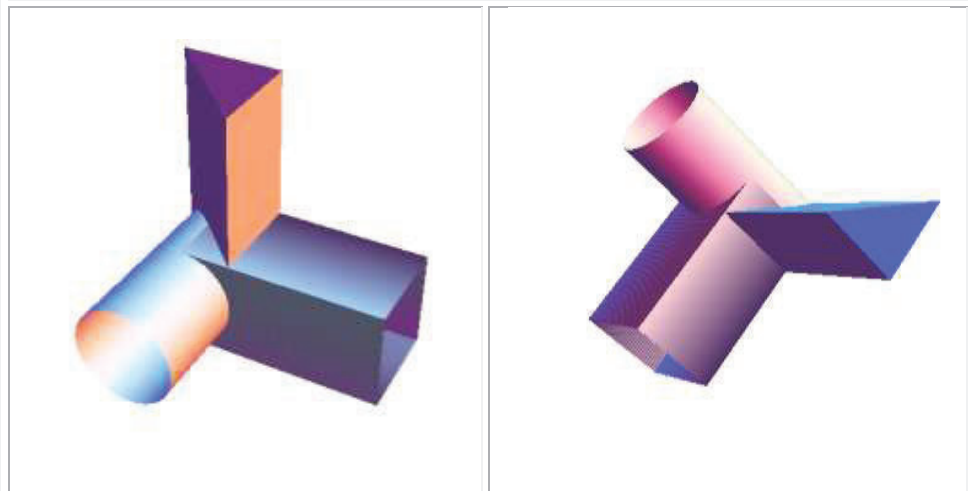


Fig.9.34 Îmbinare de colț cu țevi de secțiuni diferite

$$(9.59) \begin{cases} x = \cos \alpha \\ y = \sin \alpha, \\ z = \theta \end{cases}$$

în care $\alpha \in [0, 2\pi]$ și $\theta = H$, înălțimea cilindrului, prin înlocuirea FCC în (9.59) cu funcțiile cuadrilobe corespunzătoare sau cu funcțiile dex ($\theta = \alpha$) și dex ($\theta \pm \pi/2$) de excentricitate numerică $s = 1$, se obțin cilindri drepecți de secțiune **pătrată** (Fig.9.33).

În fine, prin programarea corespunzătoare a celor trei tipuri de cilindri se obțin îmbinări de colț, ca cea din **figura 9.34**.

Obiecte 3D, interesant pentru că demonstrează faptul că ecuații simple SM pot reprezenta corpuri complexe sunt prezentate în mai multe vederi în **figura 9.35**.

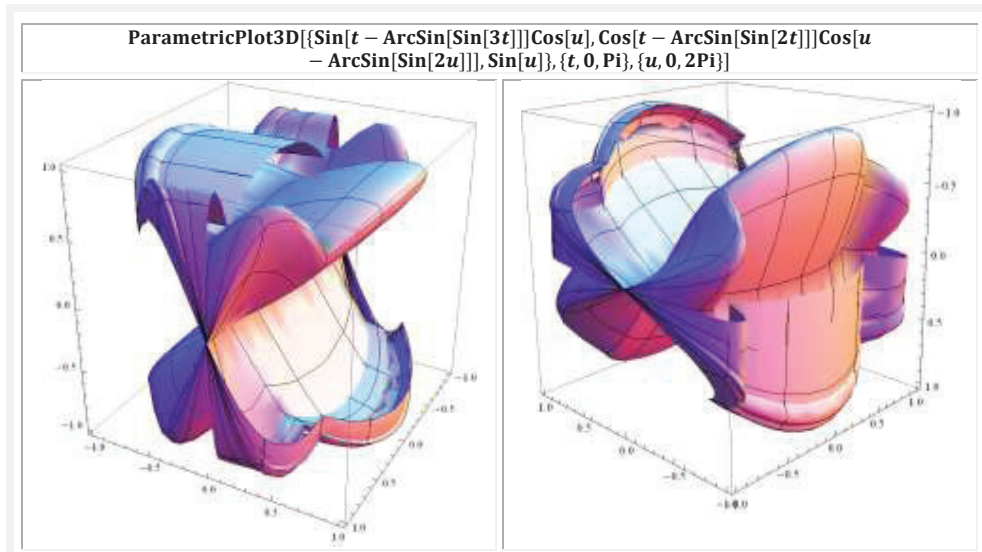
Încheiem cu corpuri 3D de forma unor elice (Fig.9.36), circulare, pătrate și triunghiulare, cu pas constant într-o rotație $2n$ și cu pas nul în următoarele rotații cu $2n$. Aici, $n = 1$. Situația descrisă se repetă periodic, după $4n$ rotații.

Referindu-ne la obiecte 3D complexe, exprimate matematic de relații simple, nu putem să omittere „cuburile supermatematice” din **figurile 9.37**.

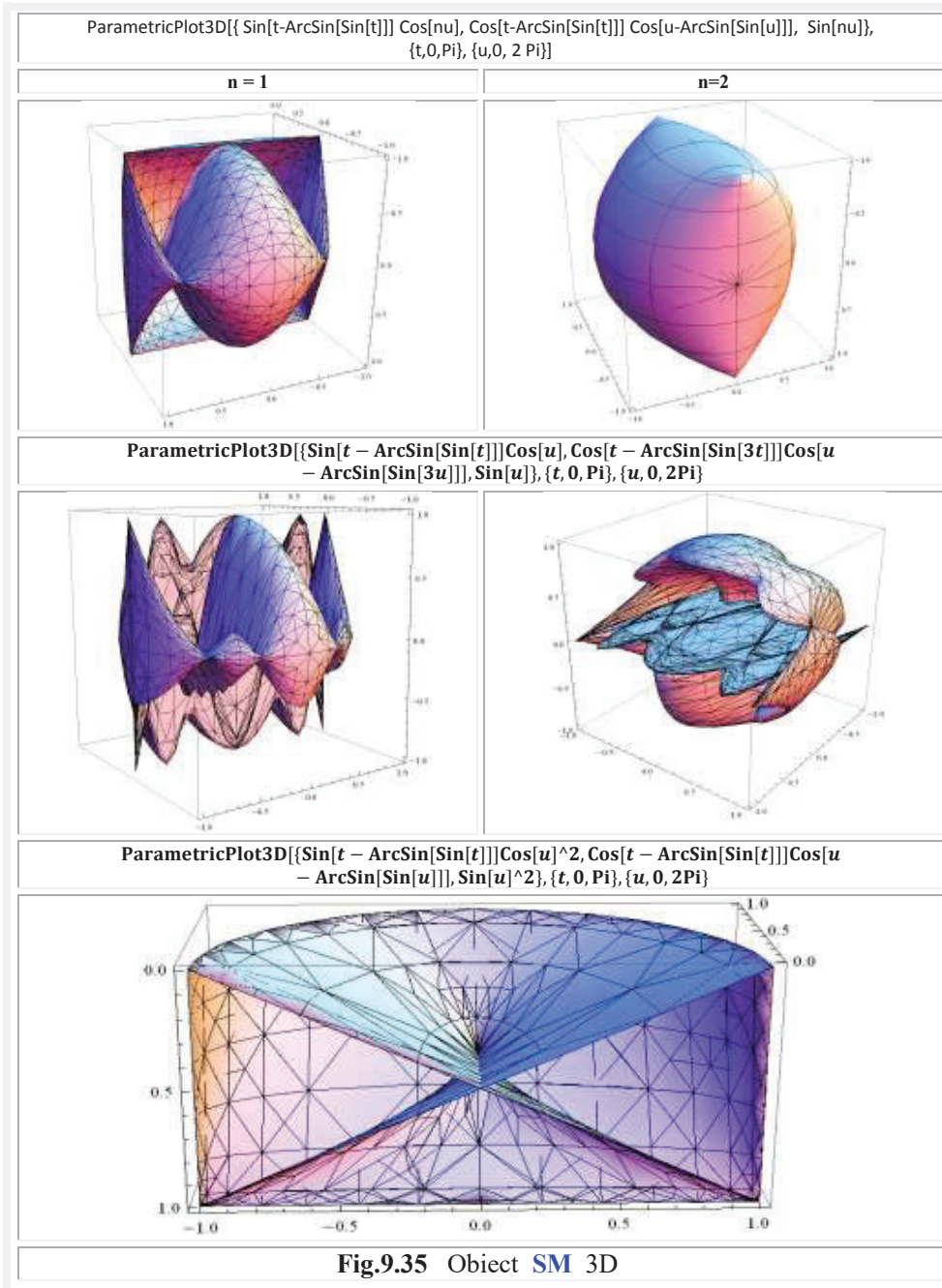
Unele ecuații parametrice sunt de excentricitate constantă, iar altele de excentricitate variabilă. În toate cazurile, excentrul S a variat doar pe axa Ox ($\varepsilon = 0$), deobicei pe partea ei pozitivă ($s > 0$).

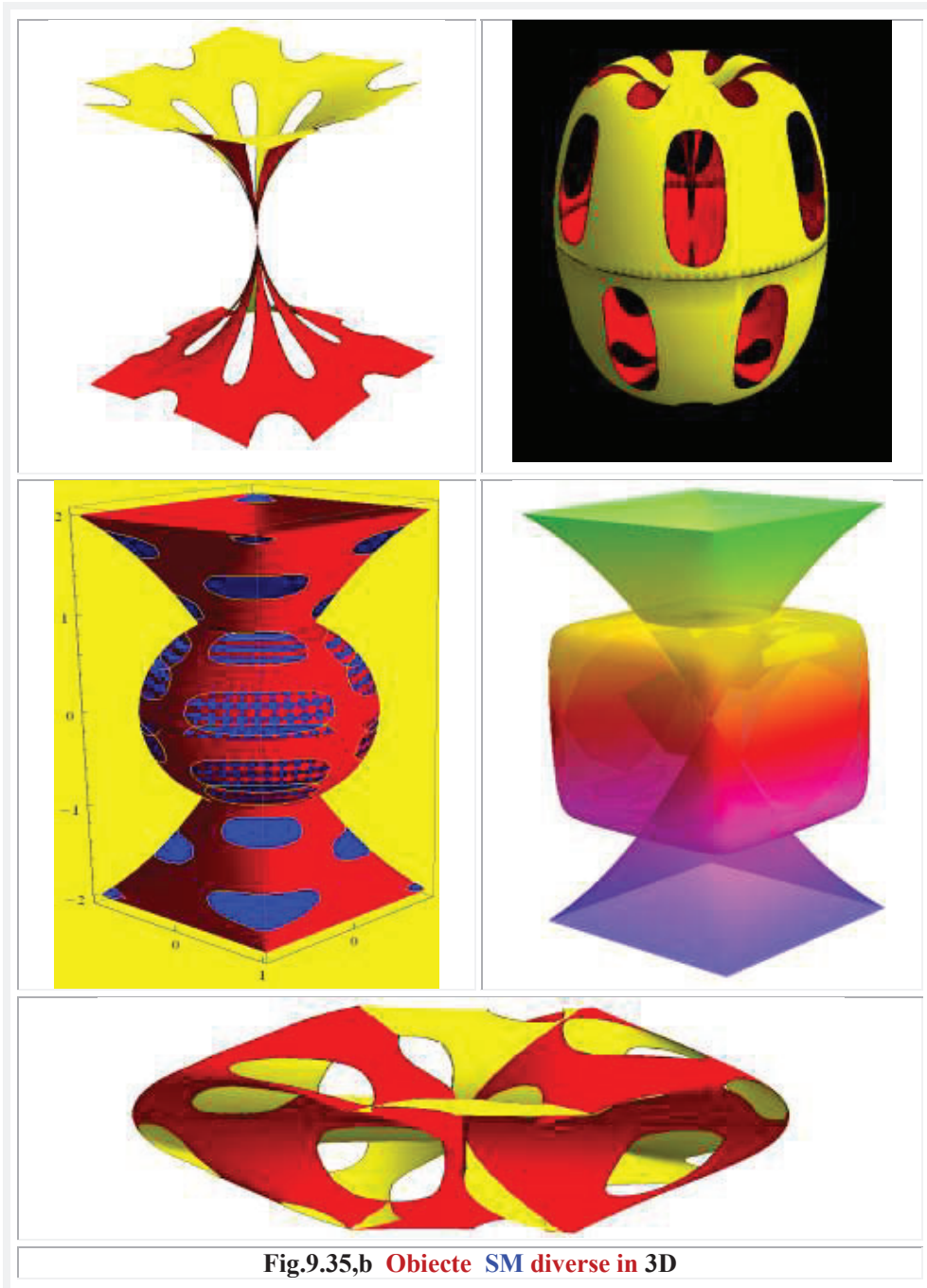
9.3.5 ALTE ALICAȚII

Alte aplicații pot fi văzute pe website-ul www.SuperMathematica.com în lucrarea ”Tehno-Art of Selariu Supermathematics Functions” Editura ARP, 2007, USA.

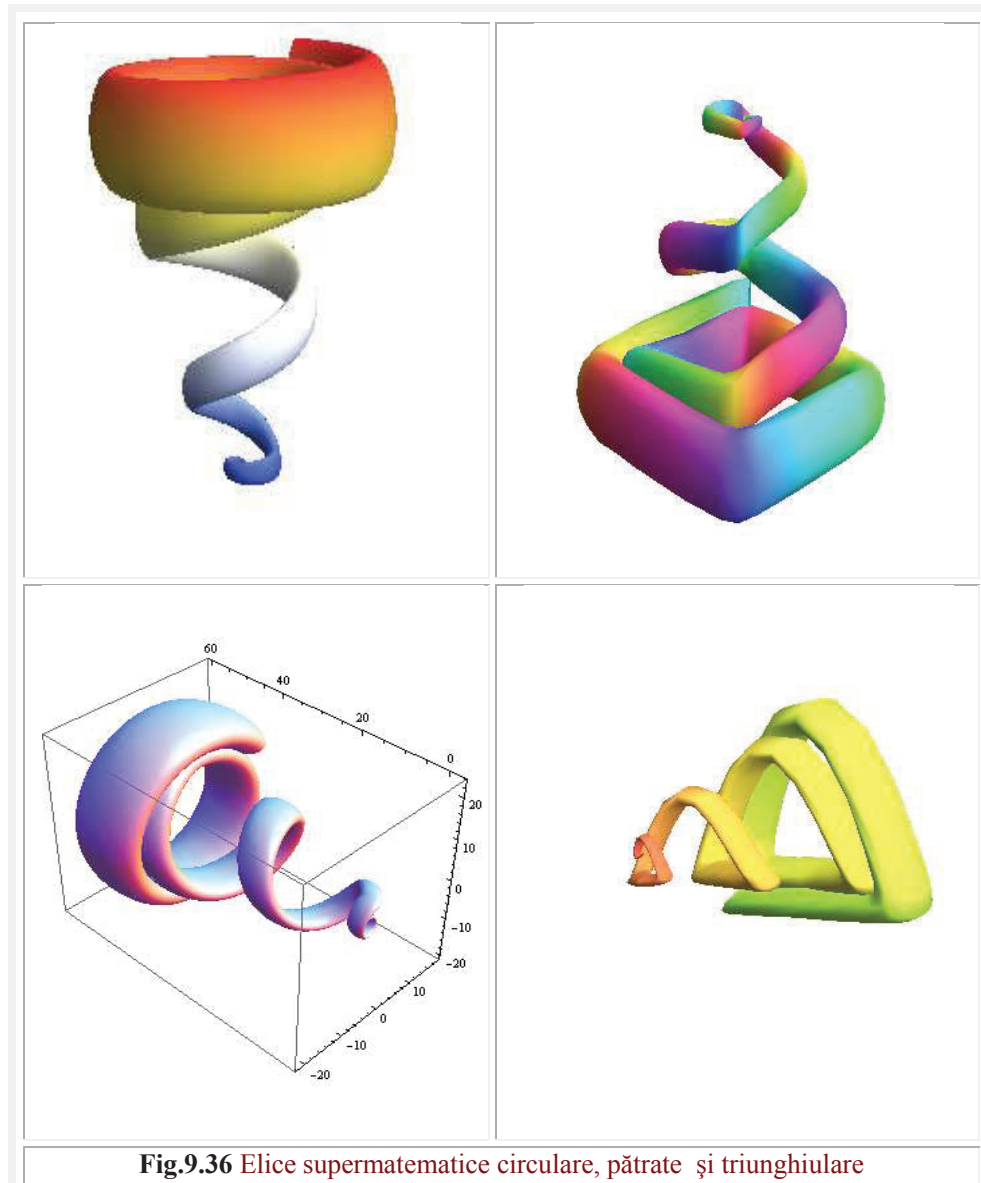


9. APLICAȚII ALE FSM – CE cex ȘI sex

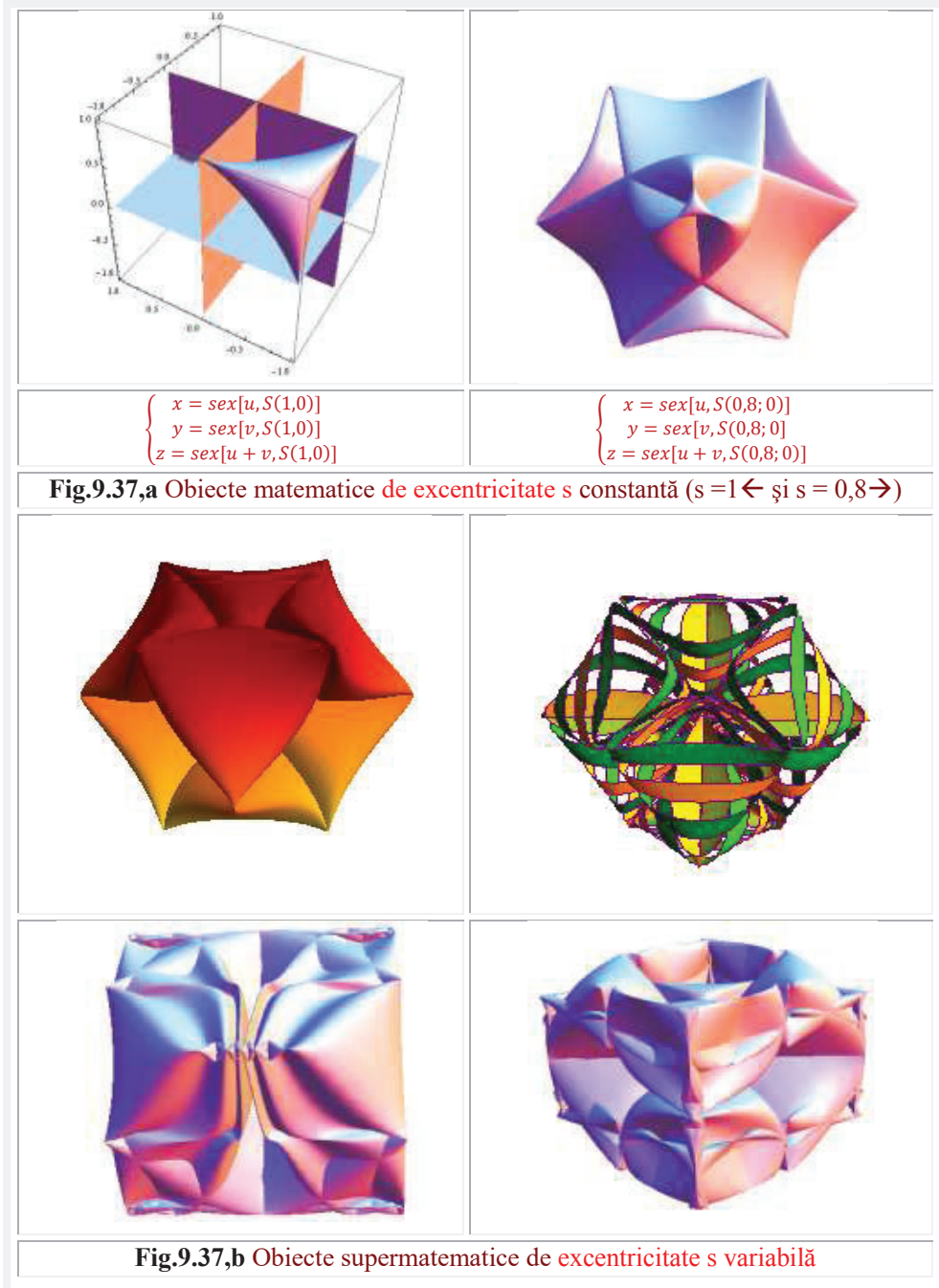


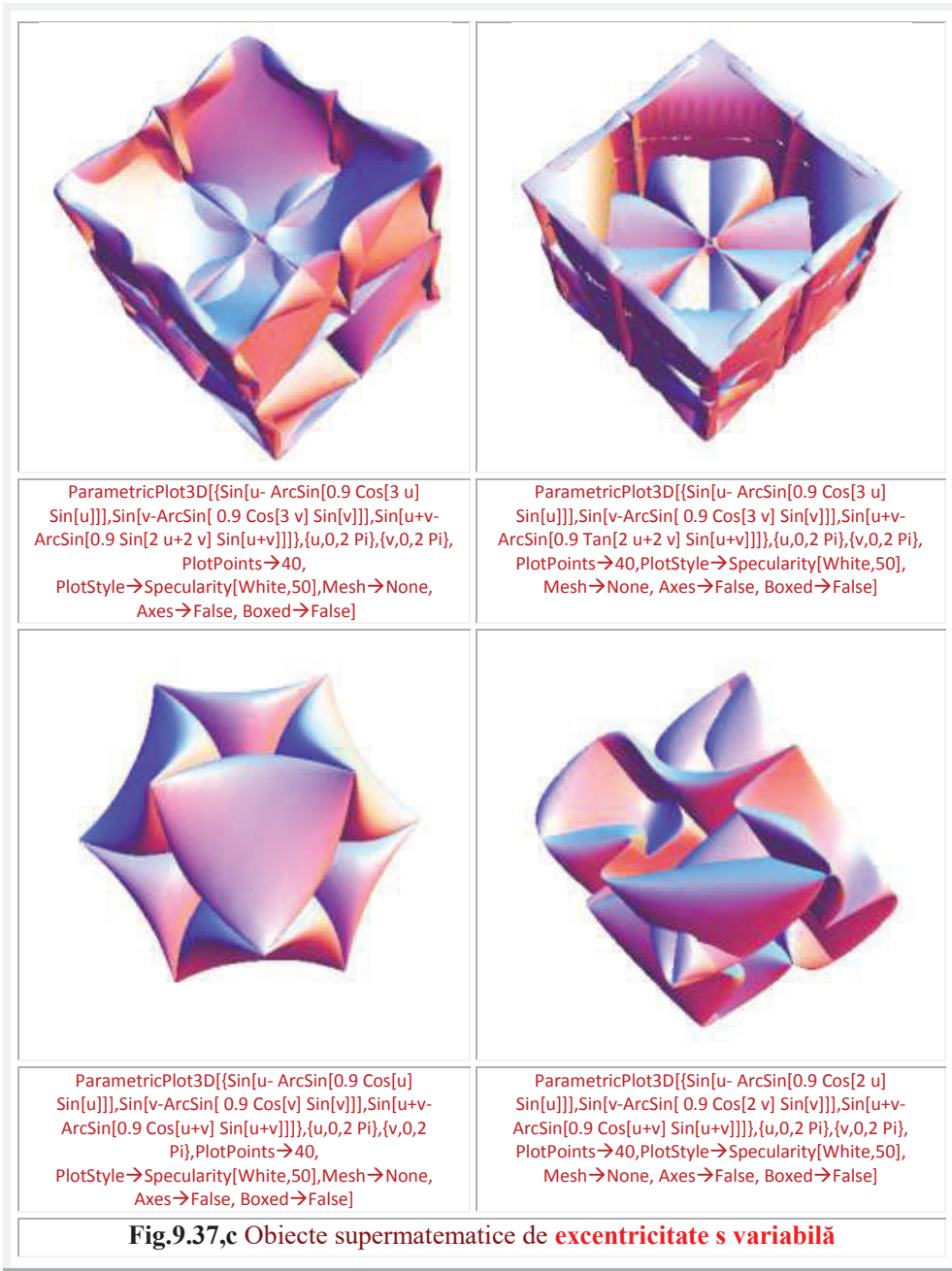


Elicele circulare din **figura 9.36** pot să realizeze succesiunea de rotire cu $2n$ rotații fără înălțare/pas pe z , apoi cu rotire de $2n$ ori și pasul pe z cu ajutorul **FSM-CE** derivat excentric de variabila excentrică $dex\theta$ de excentricitate $s = 1$. Elicele pătrate sunt realizate cu aceeași funcție.

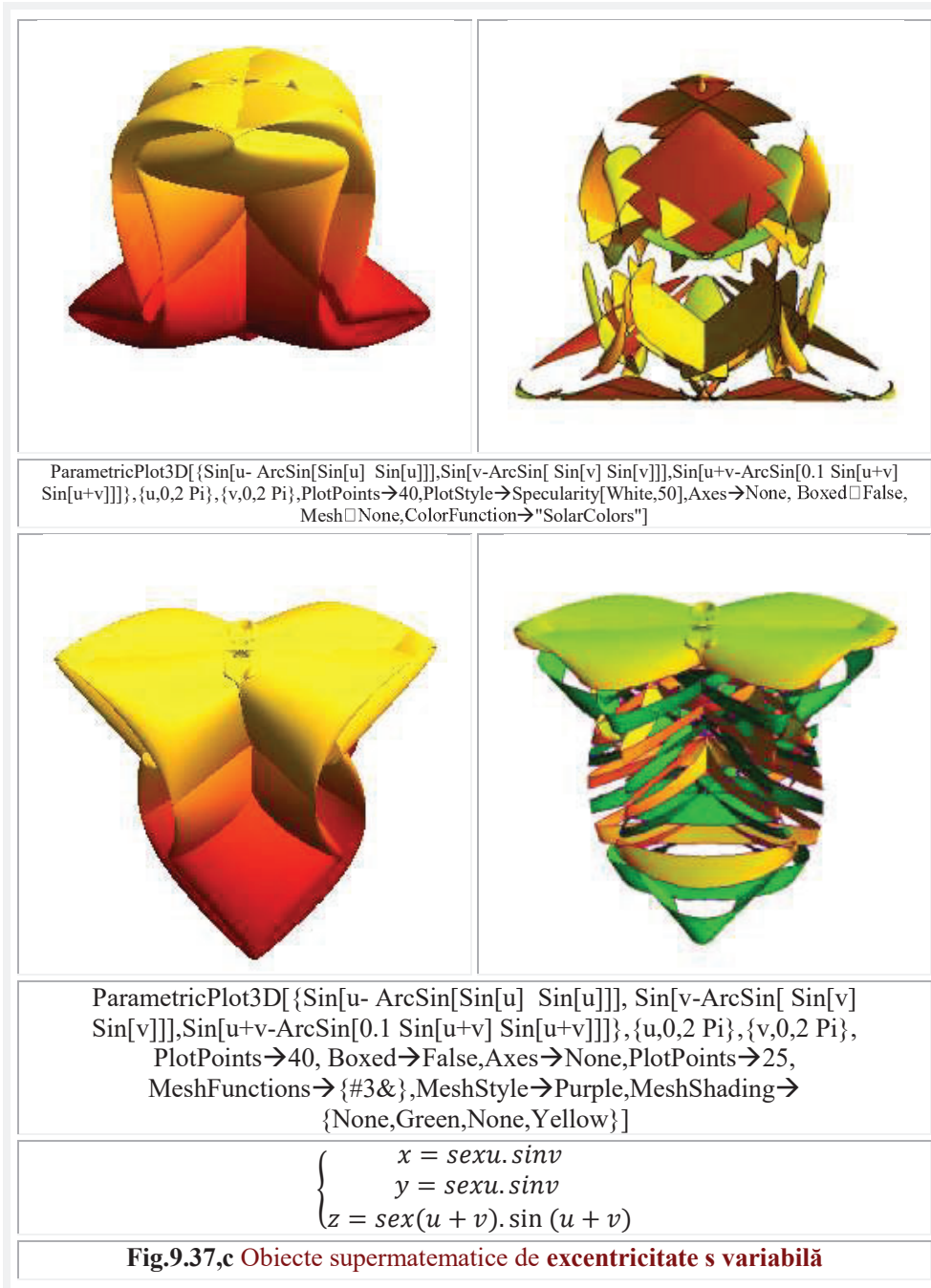


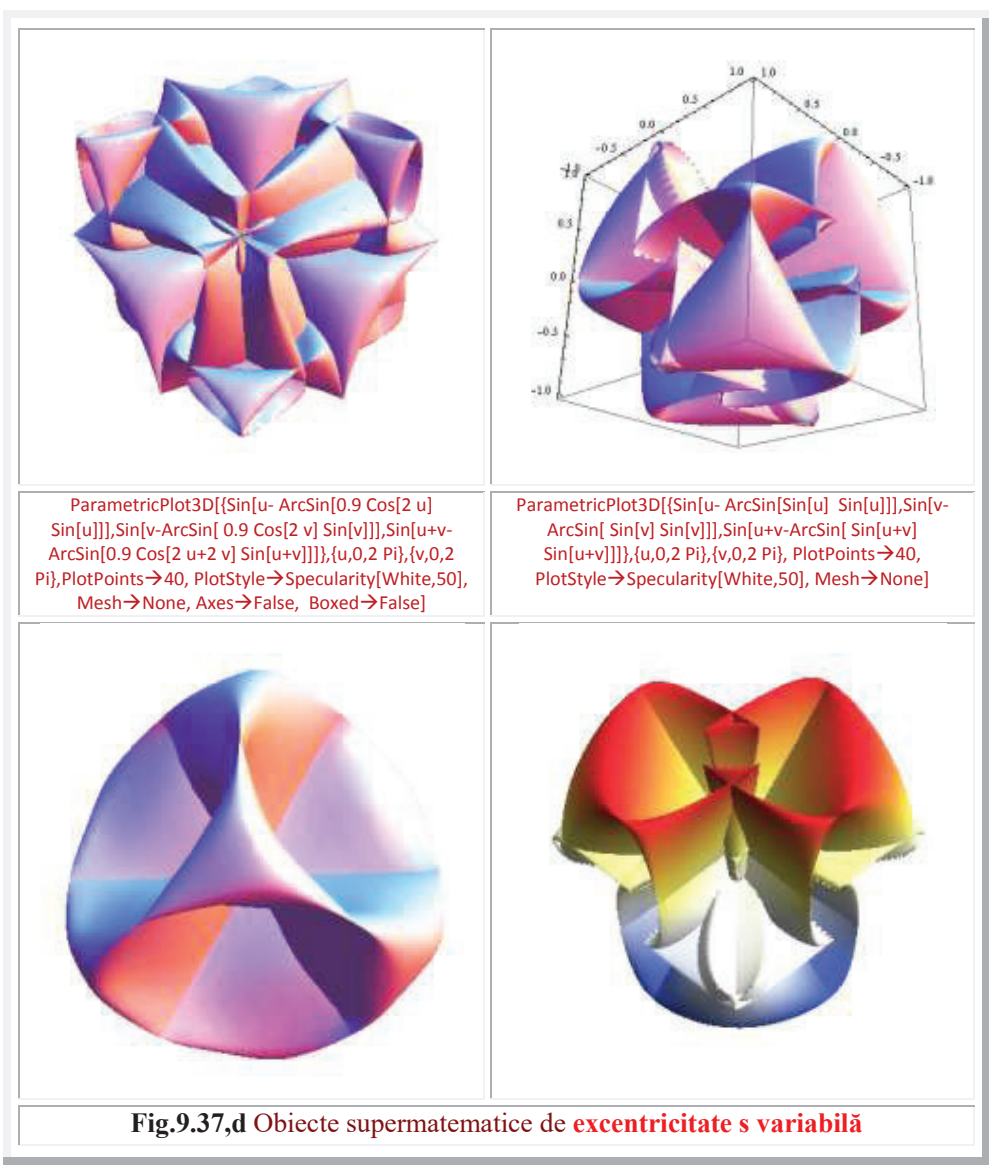
9. APLICAȚII ALE FSM – CE cex ȘI sex



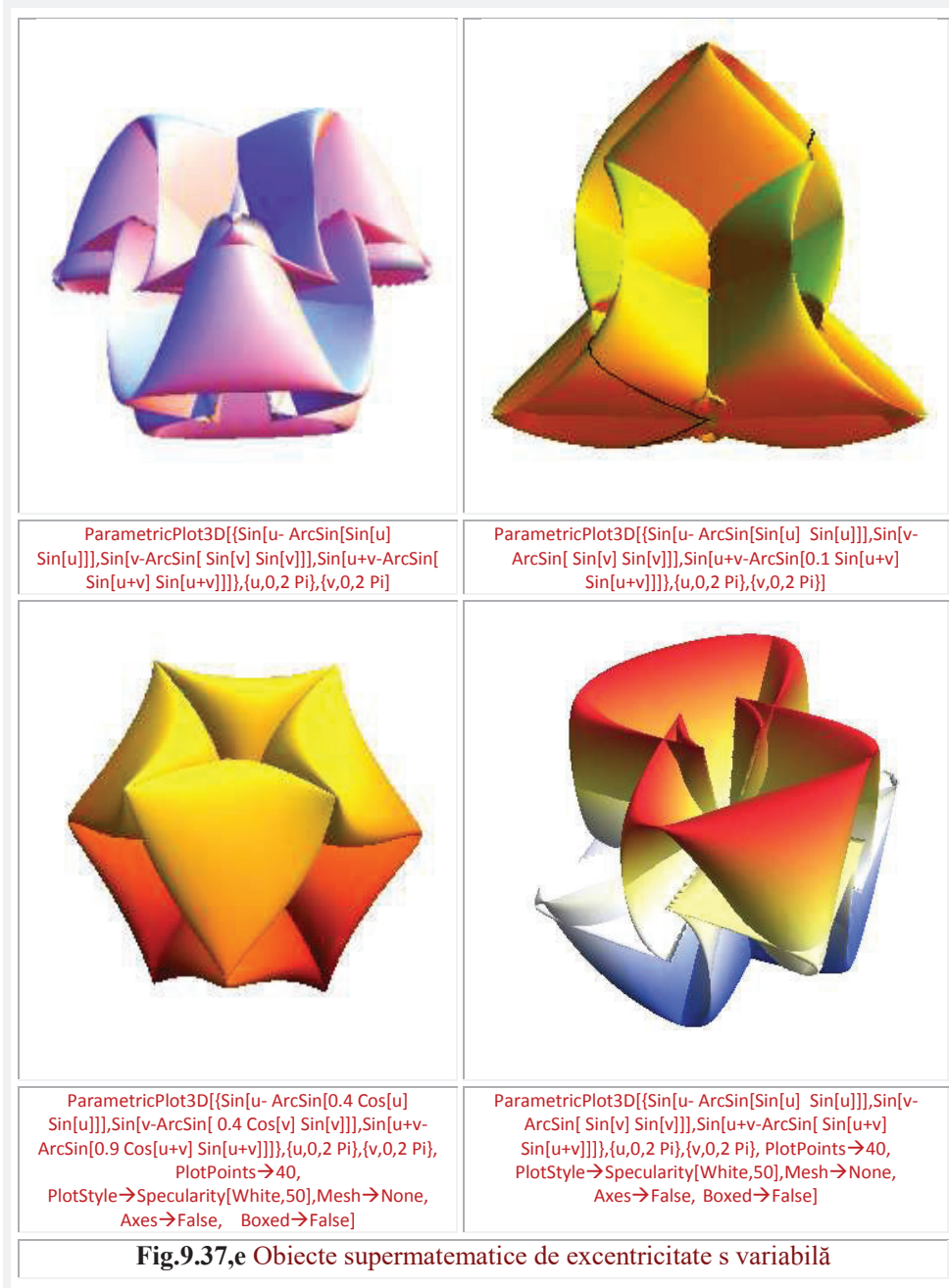


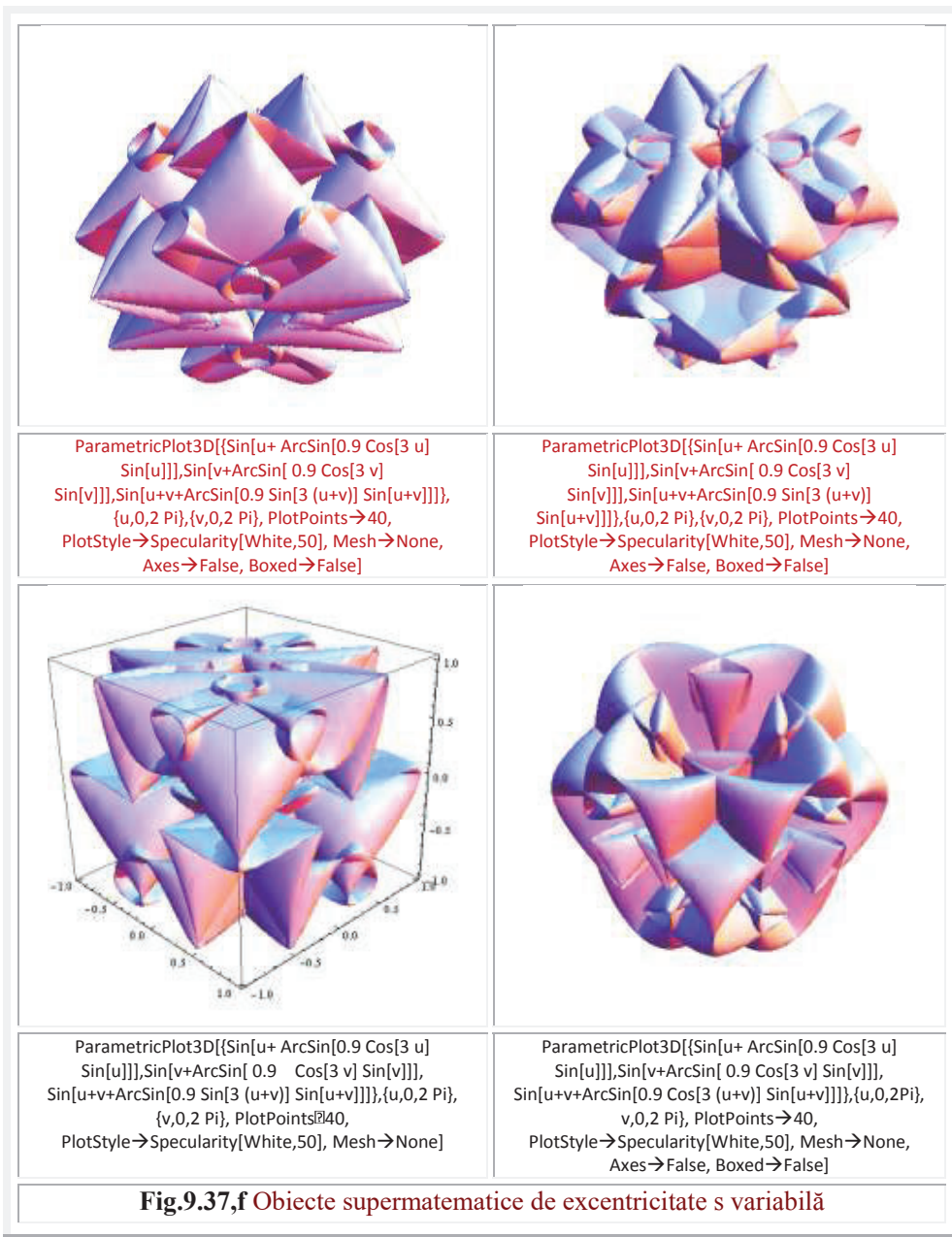
9. APLICAȚII ALE FSM – CE cex ȘI sex



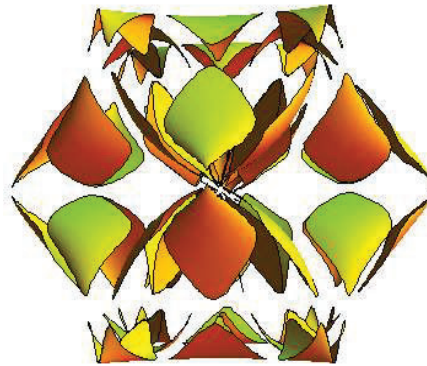


9. APLICAȚII ALE FSM – CE cex ȘI sex

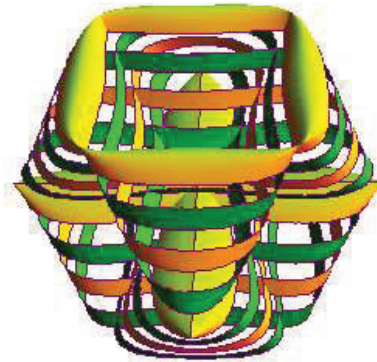
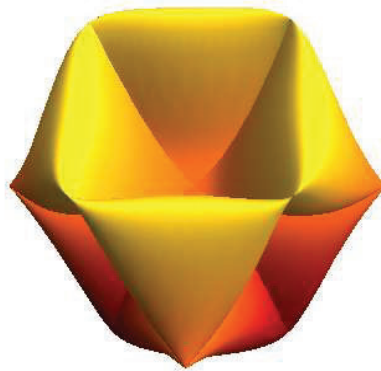




9. APLICAȚII ALE FSM – CE cex ȘI sex

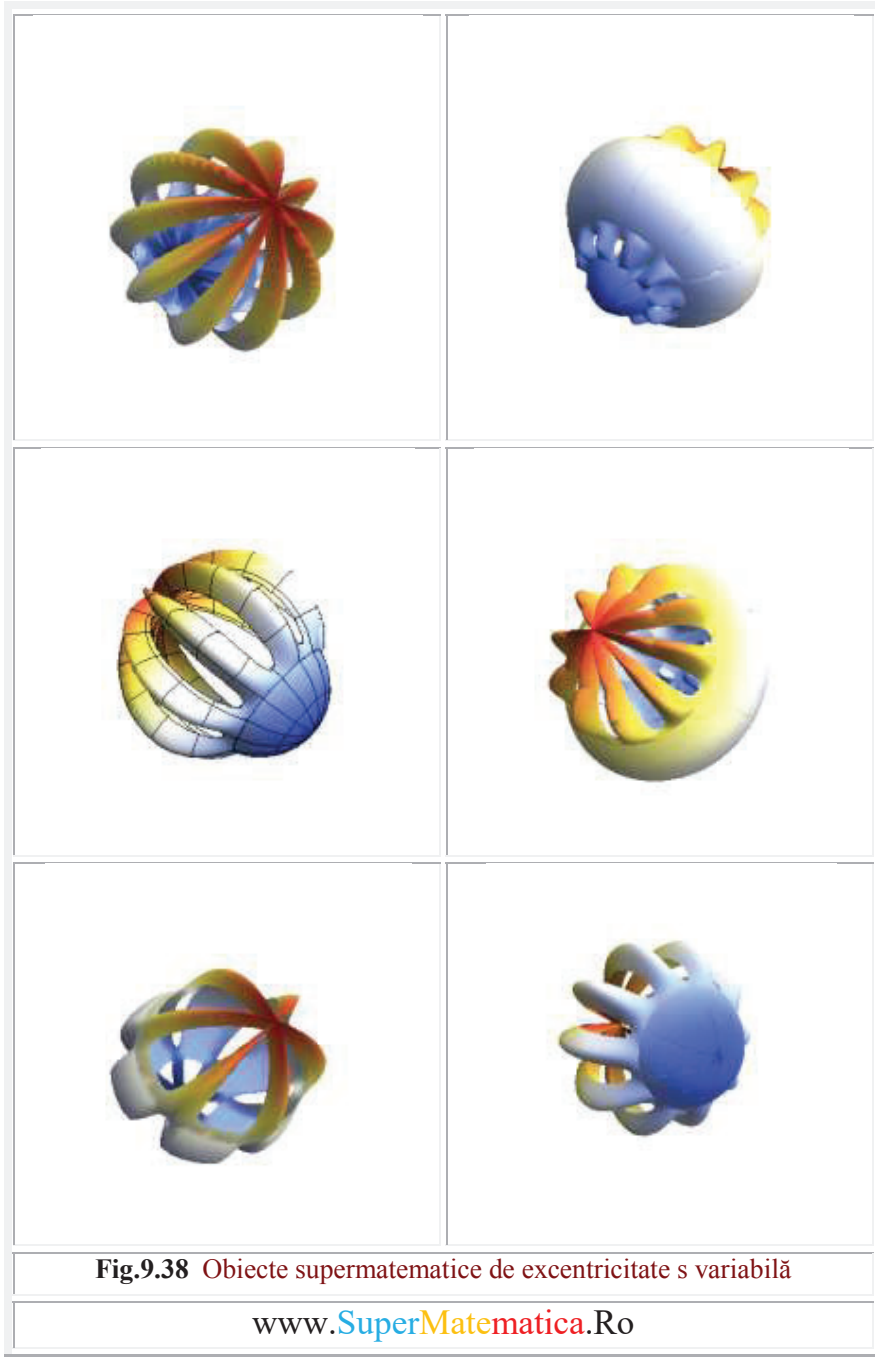


```
ParametricPlot3D[{Sin[u- ArcSin[0.9 Cos[u] Sin[u]]], Sin[v-ArcSin[ 0.9 Cos[v] Sin[v]]], Sin[u+v-ArcSin[0.6 Cos[u+v] Sin[u+v]]]}, {u,0,2 Pi}, {v,0,2 Pi}]
```



```
ParametricPlot3D[{Sin[u- ArcSin[0.4 Cos[u] Sin[u]]],Sin[v-ArcSin[ 0.4 Cos[v] Sin[v]]],Sin[u+v-ArcSin[0.9 Cos[u+v] Sin[u+v]]]}, {u,0,2 Pi}, {v,0,2 Pi},PlotPoints→40,PlotStyle→Specularity[White,50],Axes→None, Boxed→False, Mesh→None,ColorFunction→"SolarColors"]
```

Fig.9.37,g Obiecte supermatematice de excentricitate s variabilă



Motto: “Fiecare știe ce este o **curbă**, până când nu va învăța matematică.
Atât, încât se va încurca în nenumărate excepții.”
Felix Klein

Capitolul 10.

EXCENTRICILE – CURBE SUPERMATEMATICE

10.1 ÎN LOC DE INTRODUCERE

Denumirea de **excentrice** a fost introdusă în matematică de regretatul matematician, al **Universității “POLITEHNICA” din Timișoara**, **Anton Hadnagy**. Ea a fost atribuită tuturor curbelor noi, obținute cu ajutorul **funcțiilor supermatematice (FSM)**.

FSM excentrice, elevate și exotice, circulare și necirculare, hiperbolice, cuadrilobe ș.a. au fost introduse, la rândul lor, în matematică de autor.

Prima lucrare din acest domeniu, al noilor componente de matematică, reunite sub denumirea provizorie de **SuperMatematică (SM)**, se referea la “**Funcții circulare excentrice**” și a fost publicată [1] la prima Conferința Națională de “Vibrații în Construcția de Mașini”, în anul 1978.

O sinteză a lucrărilor din domeniul **SM**, ulterior publicate, precum și a unor cercetări și rezultate noi, nepublicate, fac obiectul prezentei lucrări. Printre acestea se numără și noile curbe, denumite **excentrice**, prezentate în acest capitol.

10.2 DEFINIREA ȘI CLASIFICAREA EXCENTRICELOR.

Cercul este cea mai simplă și mai regulată curbă închisă. Este curba pe care o divinizau grecii antici. Aceiași greci care l-au hulit pe **Apollonius din Perga** (260..170 î.e.n) pentru “**defăimarea**” **cercului** și introducerea în matematică a “**curbelor urâte**”, a **parabolei, elipsei** și a **hiperbolei**. Și a introdus în matematică doar trei curbe derivate din cerc. Ce va păși cel care a multiplicat la infinit toate curbele existente / cunoscute în **MC** și a introdus în matematică o pleiadă de curbe noi ?

Dar **poligoanele** regulate, ca de exemplu pătratul și cele neregulate, ca de exemplu, patrulaterul, triunghiul dreptunghic echilateral și oarecare (scalen) ș.a. sunt oare **curbe** ?

Cercul este definit ca un **loc geometric** sau ca **mulțimea** punctelor cu o anumită proprietate. Al punctelor, din plan, egal depărtate, la o distanță **R**, denumită raza cercului, de un punct fix- de exemplu $O(0,0)$ - numit centru.

Definiție pe care noi am generalizat-o, ca fiind “**locul geometric al punctelor, din plan, pentru care distanța, pe care am numit-o rază excentrică - de variabilă excentrică $r_{1,2}(\theta)$, sau de cea centrică $r(a_{1,2})$, de la un punct oarecare din plan, denumit excentru $E(e,\varepsilon)$, se poate exprima cu una dintre relațiile**

$$(10.1) \quad r_{1,2}(\theta) = R \cdot r_{e,\varepsilon} = r(a_{1,2}) = R \cdot R_{e,\varepsilon}$$

De ce este mai generală această nouă definiție ?

Pentru că, dacă **E** coincide cu O, atunci excentricitatea devine nulă ($e = s = 0$) și funcțiile radial excentrice ($rex_{1,2}\theta = Rex_{1,2} = 1$ și $\alpha_1 = \theta$ iar $\alpha_2 = \theta + \pi$) devin egale cu unitatea și $r_{1,2} = \pm R$. Adică, se obține definiția anterioară, din matematica centrică (MC), matematica “actuală” sau ordinară.

Poligoanele sunt definite fie ca o figură geometrică plană, formată dintr-un număr finit de segmente de linii drepte, numite laturi, fie ca o linie frântă închisă, fie ca o suprafață plană marginită de segmente de linii drepte, numite laturi.

Cuvântul “CURBĂ” lipsește !

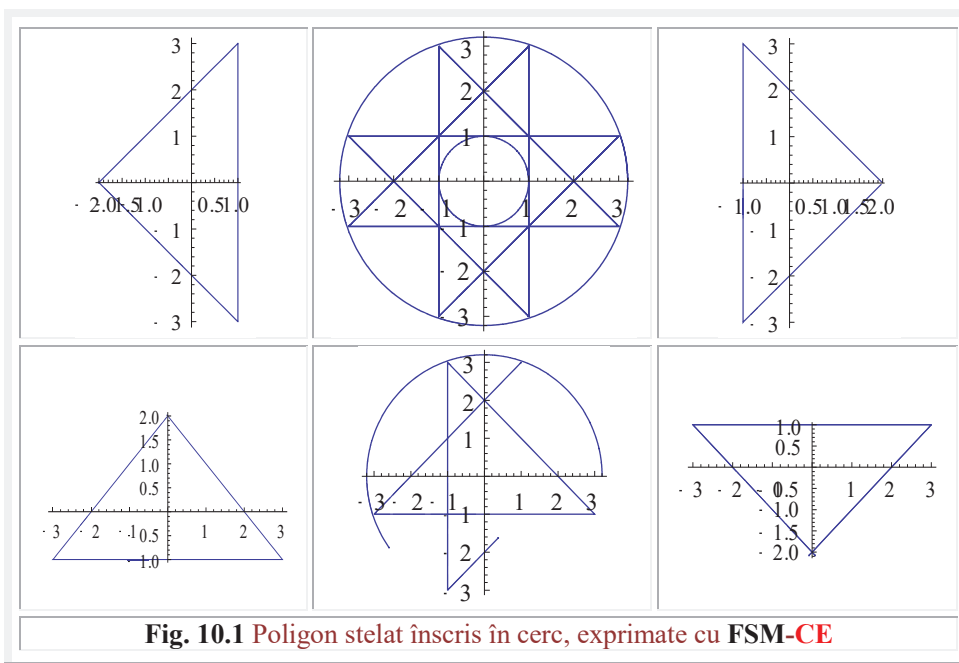


Fig. 10.1 Poligon stelat înscris în cerc, exprimate cu FSM-CE

Dreapta și cercul sunt primele curbe studiate în MC. Atunci și porțiuni ale dreptei, denumite **segmente** de dreaptă, sunt porțiuni de curbă. Rezultă că atât cercul cât și poligonul **sunt curbe** plane. Deși, în definițiile acestora, cuvântul **curbă** lipsește cu desăvârșire.

Dar cine și-ar fi închipuit, cu puțini ani în urmă, că ele, cercul și poligoanele, pot fi exprimate cu aceleași relații (**super**)matematice. Diferită fiind doar **excentricitatea**, această **nouă dimensiune a spațiului**: $e = s = 0$ pentru **cerc** și $s = 1$, sau $e = R$, pentru diverse **poligoane** (Fig. 10.1).

Cine și-ar fi închipuit că multe **profilele aerodinamice**, inclusiv profilul aerodinamic **Jukowski**, **Carafoli** ș.a. (Fig.10.2), nu sunt altceva decât niște **elipse supermatematice** sau, mai precis niște **excentrice eliptice**, așa cum se va demonstra în acest capitol.

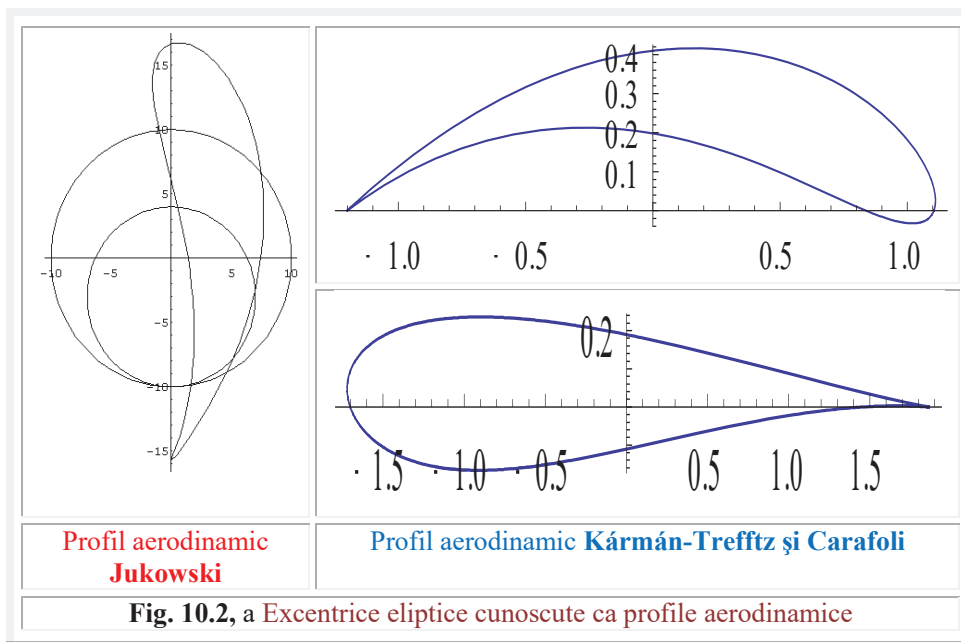
În **figura 10.1** cercul are raza $R = 3,2$ și ecuațiile parametrice arhicunoscute

$$(10.2) \quad \begin{cases} x = R \cdot \cos\theta \\ y = R \cdot \sin\theta \end{cases}, \text{ iar } \textbf{poligonul stelat} \text{ se obține cu ecuațiile parametrice ale funcțiilor } \textbf{cvasicvadrilobe}, \text{ cosinus } \textbf{coqqn}\theta \text{ și sinus } \textbf{siqqn}\theta \text{ cuasicvadrilobe de } \frac{3}{1}n\theta \text{ și, așa cum s-a mai spus / arătat, de } \textbf{excentricitate numerică } \mathbf{s = 1} \text{ și marime / rază } \mathbf{R}$$

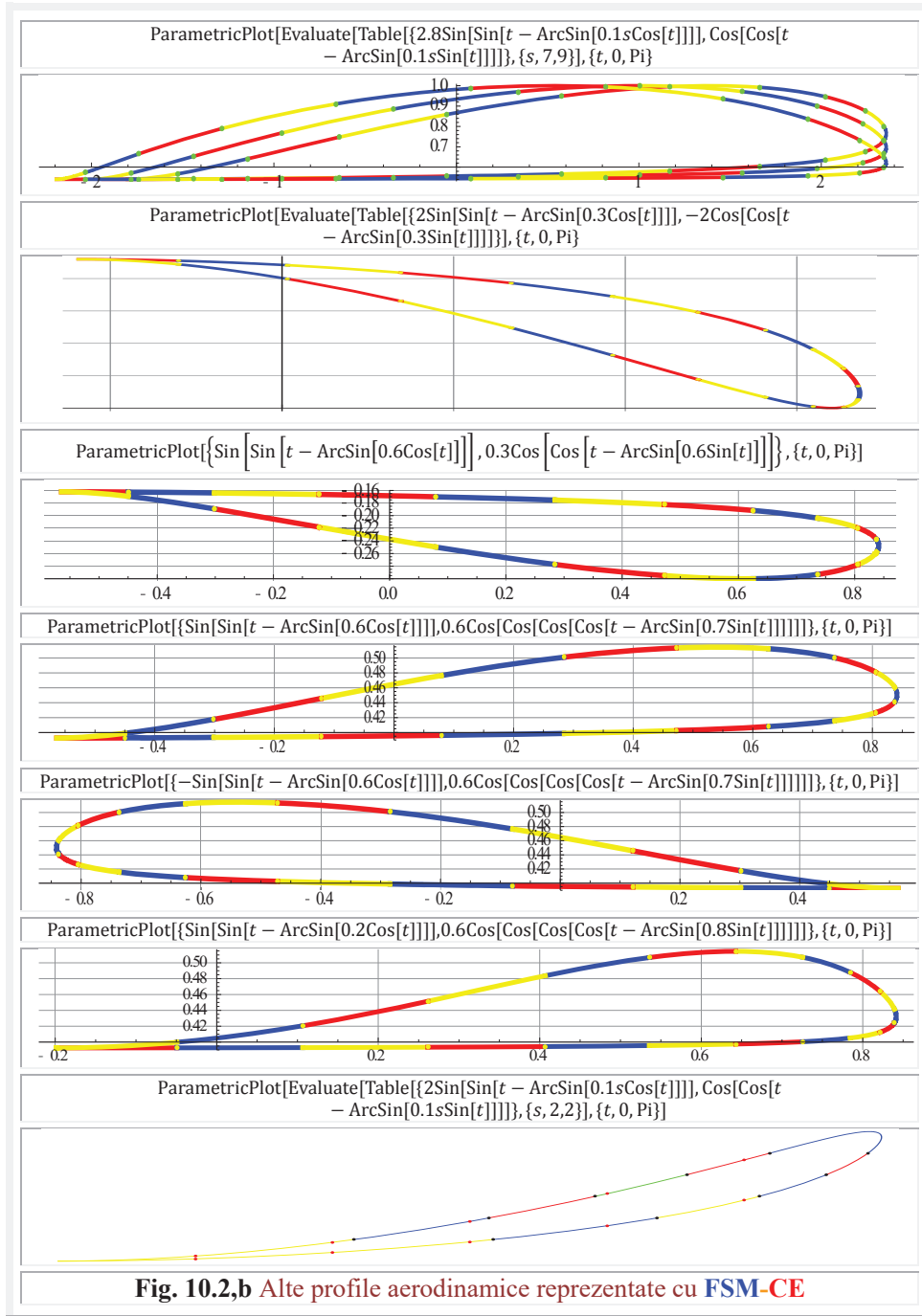
$$(10.3) \quad \begin{cases} x = R \cdot \text{coqqn}\theta = R \frac{\cos 3n(\theta - \varepsilon)}{\sqrt{1 - s^2 \sin^2 n(\theta - \varepsilon)}} \\ y = R \cdot \text{siqqn}\theta = R \frac{\sin 3n(\theta - \varepsilon)}{\sqrt{1 - s^2 \cos^2 n(\theta - \varepsilon)}} \end{cases}, \text{ în care } n \in \mathbb{R},$$

de marime/ raza $R = 1$ în **figura 10.1** și de excentru $\mathbf{S(s = 1, \varepsilon = 0)}$.

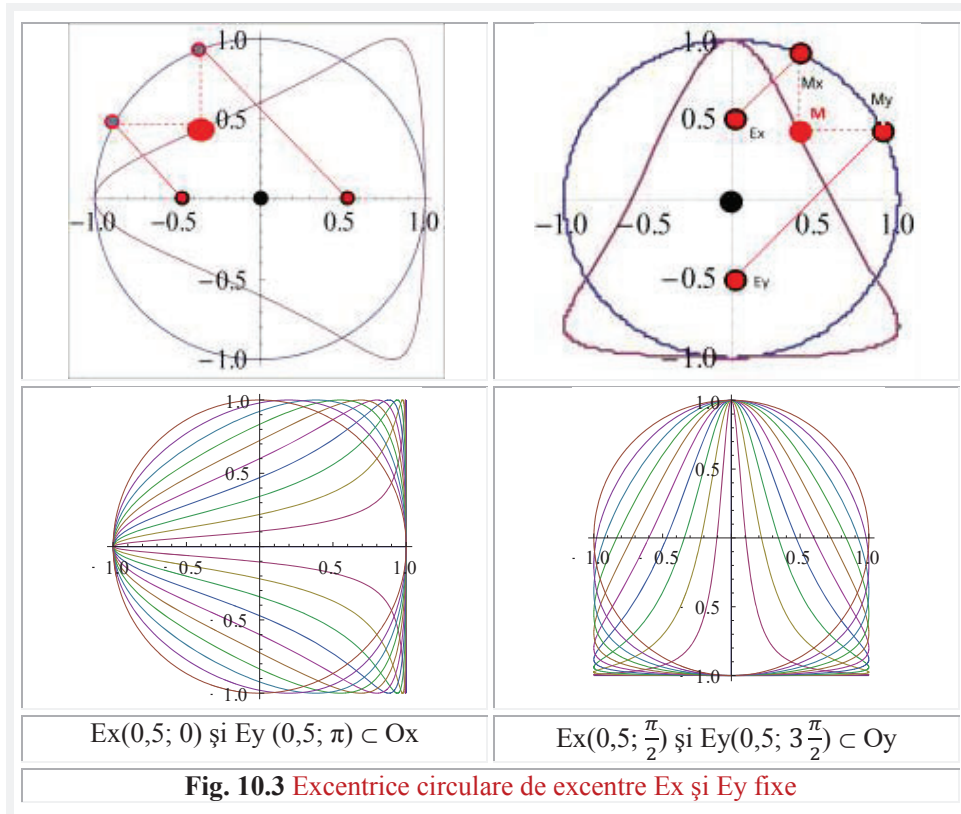
Notăția $\frac{3}{1}n(\theta - \varepsilon)$ indică faptul că, în ecuațiile de definire ale funcțiilor **cvadrilobe** (v. Cap. 9), la numărător se iau funcții de $3n(\theta - \varepsilon)$, iar la numitor numai de $1n(\theta - \varepsilon)$, adică, raportul variabilelor este de $\frac{3}{1}$; n poate lua orice valoare.



Pentru o înțelegere mai facilă a generării poligonului stelat, în aceeași figură, au fost prezentate și secvențele care corespund unor triunghiuri dreptunghice achilaterale, rotite cu π (cele din stânga față de cele din dreapta) și, respectiv, cu $\frac{\pi}{2}$ (cele de jos față de cele de sus) ca părți / secvențe și, respectiv, segmente componente ale poligonului stelat.



Poligonul stelat din **figura 10.1** este regulat, deoarece are toate laturile și unghiurile egale și admite un cerc circumscris poligonului și un cerc înscris în poligon, așa cum sunt reprezentate cercurile și în centrul **figurii 10.1**.



Alte transformări (continue) ale cercului în pătrat au fost prezentate deja, fiind reprezentate de cvadrilobe și funcțiile **cvadrilobe SM** și de cele **Valeriu Alaci**, rotite cu $\frac{\pi}{4}$ față de cele **SM**.

Aceleași transformări pot fi obținute, așa cum s-a mai arătat, cu ecuațiile parametrice $x = dex\theta$ și $y = dex(\theta \pm \frac{\pi}{2})$.

Transformarea continuă a cercului în triunghi se obține cu ecuațiile parametrice $x = cex\theta$ și $y = cex(\theta \pm \frac{\pi}{2}) = \mp \sin\theta$, așa cum a mai fost prezentat anterior în acest volum I al lucrării.

Obținerea **profilelor aerodinamice**, ca **excentrice eliptice**, reprezentate în **figura 10.2**, va fi prezentată în continuare într-un capitol dedicat acestei transformări a elipsei în diverse profile aerodinamice.

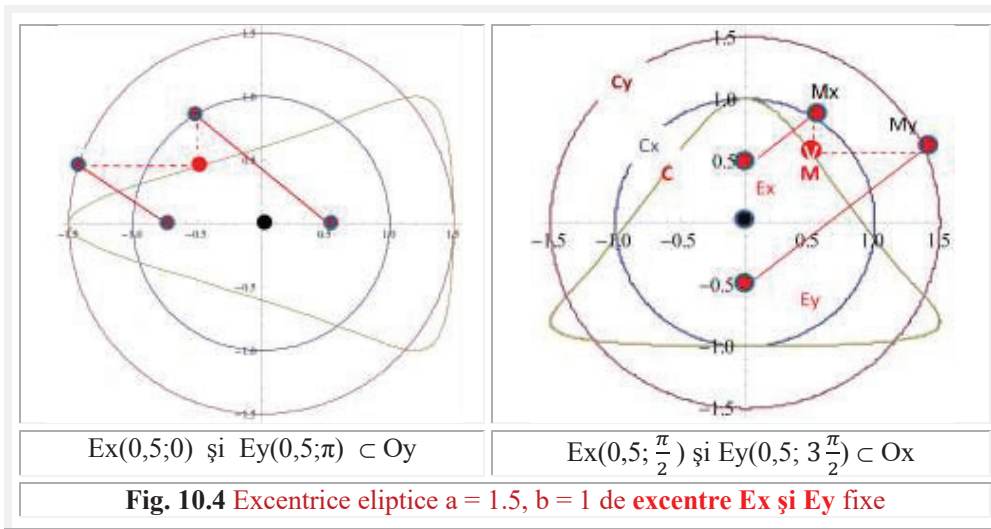
Înainte de a defini excentricele, este necesar să fie definite **centricele**. Operație relativ simplă, deoarece, toate curbele cunoscute în matematica centrică, actuală sau ordinară, vor fi numite în continuare **centrice**.

Se va vorbi, astfel, de **centrice** circulare (cercul), eliptice (elipsele), hiperbolice (hiperbolele), parabolice (parabolele), spirale (spiralele), cicloidale (cicloidele), elicoidale (elicele), sinusoidale (sinusurile și cosinusurile), ovoidale (ovalele), lemniscate (lemniscatele) ș.a.

10.3 EXCENTRICE CIRCULARE ȘI EXCENTRICE ELIPTICE

Excentricele sunt curbe (**super**)matematice a căror ecuații sunt exprimate de funcții supermatematice, în principal, de noile funcții ale **matematicii excentrice (ME)**.

Toate **excentricele**, care au corespondente în MC, pentru excentricitate nulă, degenerază în curbele **centrice** corespondente, denumite și **curbe generatoare**.



Astfel, pentru $e = s = 0$, excentricele circulare degenerază în cerc, excentricele eliptice degenerază în elipsă ș.a.m.d. Fiecărei centrice îi corespund o infinitate de excentrice, pentru infinitatea de valori pe care pot să le ia **excentricitatea reală e** și cea **numerică $s \in [-\infty, +\infty; \setminus 0]$** . Pe când, numai într-un singur caz, acela al excentricității nule, $e = s = 0$, printre **infinitatea de excentrice** se află și câte **o singură centrică**.

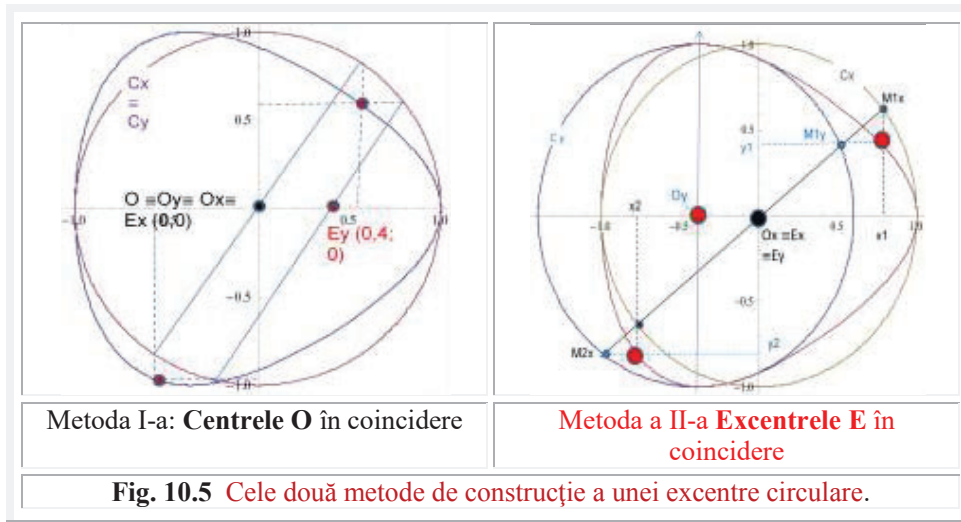
Prima clasificare a excentricelor se face, așa cum s-a operat deja, în funcție de curba generică de la care se pornește: excentrice **circulare**, eliptice, **hiperbolice** etc.

Ele se obțin prin simpla înlocuire a funcțiilor circulare centrice (FCC) sau hiperbolice **centrice (FHC)** cu cele **excentrice, elevate** sau **exotice** corespondente, circulare (**FCE, FCEL, FCEx**) sau hiperbolice (**FHE, FHEL, FHEx**).

Astfel, de exemplu, se pot deosebi **excentrice spirale excentrice**, **elevate** sau **exotice**, circulare sau hiperbolice.

Deoarece, toate aceste **FSM**, pot fi de **variabilă excentrică θ** sau de **variabilă centrică α** și în denumirea și definirea excentricelor se va specifica acest lucru. Astfel, de exemplu, putem deosebi excentrice eliptice de **variabilă excentrică θ** ca și excentrice eliptice de **variabilă centrică $\alpha_{1,2}$** .

Dacă excentrul **$E(e, \varepsilon)$** este un punct fix sau unul variabil în plan, care se mișcă după anumite legi, atunci și excentricele se vor denumi de **excentru fix** sau de **excentru variabil**.



Dacă excentrul **$E(e, \varepsilon)$** are $\varepsilon = \text{constant}$, atunci se poate vorbi de excentrice de **excentricitate constantă** ($e = \text{constant}$), care în general nu se mai specifică; însăși lipsa de specificație indicând că este vorba de $e = ct$, sau de **excentricitate variabilă**, trebuind sau (putându-se) să se specifice legea de variație a excentricității.

Ecuțiile parametrice ale excentricelor circulare și a celor eliptice sunt

$$(10.4) \quad \begin{cases} x = a \cdot cex(\theta, Ex) \\ y = b \cdot sex(\theta, Ey) \end{cases}$$

Dacă $a = b = R$ se obțin excentrice circulare de rază R , a căror curbe în 2D sunt reprezentate în **figura 10.3**. În partea superioară a figurii se prezintă construcția lor, într-o prima metodă, în care centrele celor două cercuri, de aceeași rază $R = 1$, se coincid, împreună cu centrele lor ($Ox \equiv Oy$) iar excentrele **Ex** și **Ey** sunt distincte.

Cele două metode sunt prezentate comparativ în **figura 10.5**. Literele x și, respectiv, y adăugate centrelor, excentrelor și, în general, tuturor mărimilor cu privire la excentrice, indică coordonata x și, respectiv, y pe care o determină / desemnează respectivul element geometric.

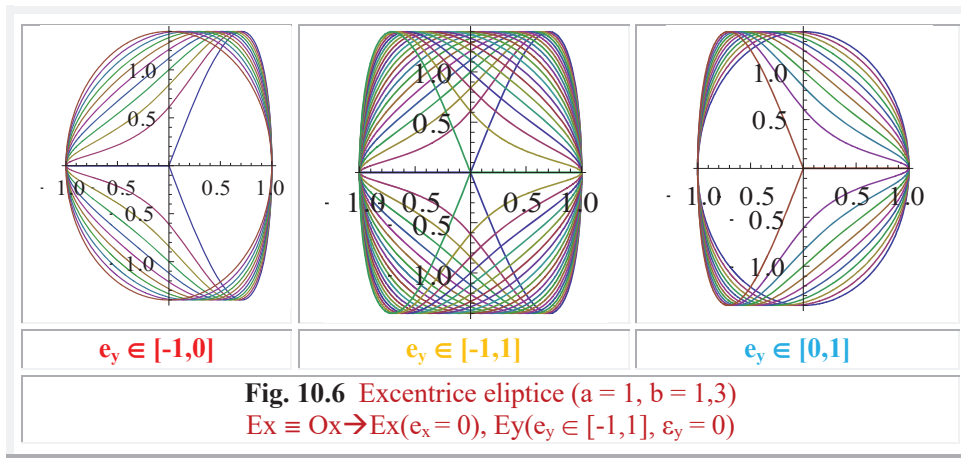
În partea inferioară a **figurii 10.3** sunt prezentate graficele excentricelor circulare, pentru $R = 1, e = s \in [0,1]$. Dacă a și b sunt semiaxele elipsei, $a \neq b$, atunci se obțin excentrice eliptice, ca cele prezentate în **figura 10.4**.

Se observă, și din aceste figuri, că excentricele, circulare sau eliptice, sunt curbe simetrice față de axa pe care sunt plasate ambele excentre **Ex** și **Ey**. Pe x , în stânga figurii și pe axa y în dreapta ei.

În **figura 10.5** sunt prezentate, comparativ, cele două metode de desenare grafică a unei excentrice. Fie ele circulare sau eliptice.

10.4 CONSTRUCȚIA EXCENTRICELOR

Prima metodă păstrează cercurile C_x și C_y în coincidență, în cazul excentricelor circulare, iar în cazul excentricelor eliptice, coincid doar centrele **Ox** și **Oy** ale celor două cercuri: O_x , centrul cercului C_x , care va genera coordonata x a excentricei și O_y , centrul cercului C_y , care va genera coordonata y a excentricei. Prin excentrele **Ex** și **Ey** se duc două drepte d_x și d_y , paralele între ele și care fac unghiul $\theta \in [0, 2\pi]$ cu axa x . Intersecțiile celor două drepte cu cele două cercuri vor da cele două coordonate x și y ale punctului $M(x,y)$ al excentrei.



Metoda a doua necesită doar o singură dreaptă $d \equiv d_x \equiv d_y$, deoarece se coincid cele două excentre **Ex** și **Ey**. Coinciderea este posibilă prin translatarea reciprocă, corespunzătoare, a celor două cercuri C_x și C_y , pe baza teoremei următoare.

10.5 TEOREMA EXCENTRELOR EXCENTRICELOR:

Excentricele nu-și modifică forma prin deplasarea nedeterminată a cercului C_x (împreună cu centrul O_x și excentrul E_x) pe direcția y și a cercului C_y (împreună cu centrul O_y și excentrul E_y) pe direcția x , deoarece, deplasările

exclusive pe direcția y nu modifică coordonata x, iar deplasările exclusive pe direcția x nu modifică coordonata y.

Oricare ar fi pozițiile excentrelor **Ex** și **Ey**, ducând prin **Ex** o paralelă cu axa y sau o verticală și prin **Ey** o paralelă cu axa x, sau o orizontală, la intersecția lor se vor plasa cele două excentre **Ex** și **Ey**, care vor fi, acum, în coincidere.

Față de acest punct comun, se vor stabili pozițiile relative ale celor doua centre, **Ox** și **Oy**, care nu vor mai fi, în acest caz, în coincidere, centre din care, cu razele R, sau, respectiv, a și b, se vor trasa cercurile **Cx** și **Cy**.

Intersecțiile celor două cercuri, cu singura dreaptă **d**, dusă prin excentrele **Ex** și **Ey**, în coincidere, vor determina coordonatele punctelor **M(x,y)** ale excentricii : $x = d \cap Cx$ și $y = d \cap Cy$. Teorema este valabila numai dacă dreapta comună ale excentrelor este axă (x sau y). În **figura 10.6** sunt prezentate graficele excentricelor eliptice simetrice față de axa x.

10.6 EXCENTRICE HIPERBOLICE.

Ecuția hiperbolei

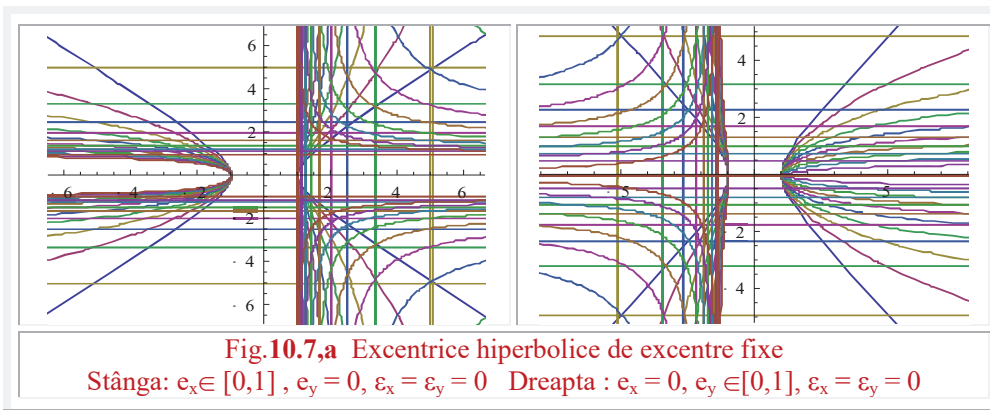
$$(10.5) \quad \frac{x^2}{a^2} - \frac{y^2}{b^2} - 1 = 0 \text{ are ecuațiile parametriche}$$

$$(10.6) \quad \begin{cases} x = \frac{a}{\cos\alpha} \\ y = b \tan\alpha \end{cases}, \text{ astfel că, prin înlocuirea funcțiilor circulare centrice}$$

(**FCC**) cu cele excentrice (**FSM-CE**) corespondente, se obțin excentrice hiperbolice de ecuații parametriche

$$(10.7) \quad \begin{cases} x = \frac{a}{c \cos\theta} \\ y = b \tan\theta \end{cases} \text{ cu graficele din } \mathbf{figura\ 10.7,a} \text{ pentru } a = b = 1 \text{ și câte}$$

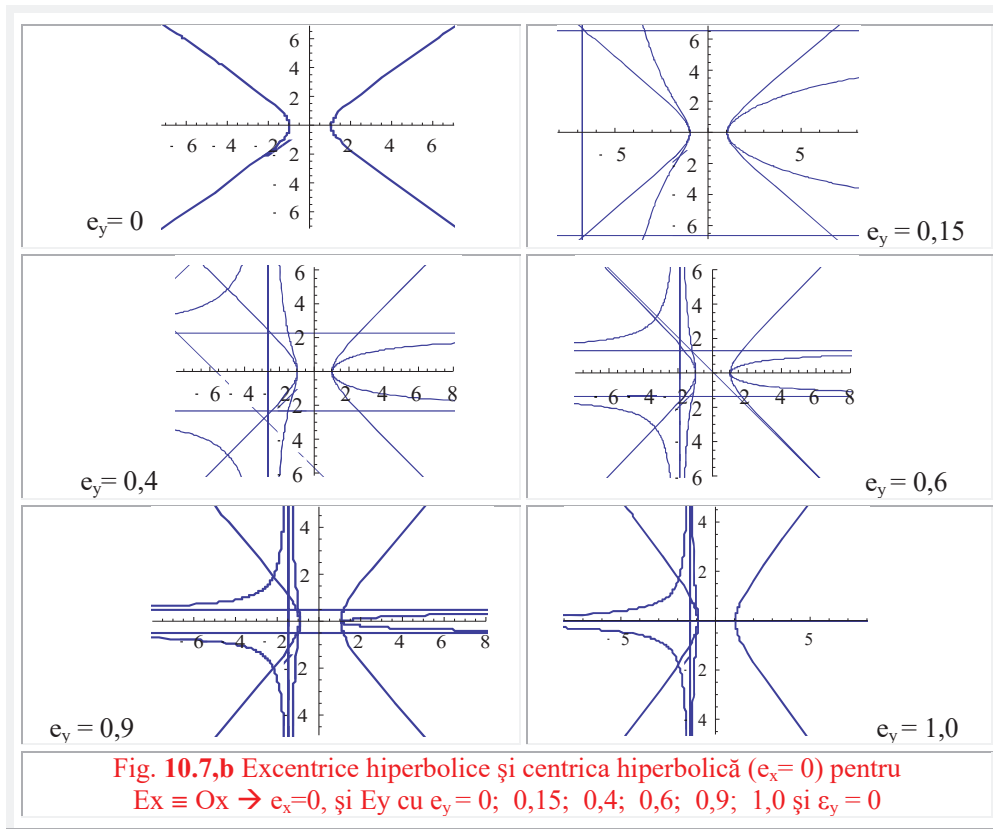
unul dintre excentre, pe rând, a fost menținut în originea **O(0,0)**; **Ey** sus și **Ex** jos.



Pentru a putea urmări, mai bine, evoluția formelor excentricelor hiperbolice, în funcție de modificarea excentricității, au fost reprezentate, separat, în **figura 10.7,b**,

câte o singură excentrică hiperbolică. Împreună cu centrica hiperbolică (pentru comparație), cu excepția cazului $e_y = 0$, pentru a ilustra că, în acest caz, se obține funcția generatoare, adică, centrica hiperbolică (hiperbola ordinară) de la care s-a plecat. Înregistrările au fost efectuate pentru $E_x \equiv Ox$ și $E_y \neq Oy$, cu excepția lui $e_y = 0 \rightarrow$ centrică hiperbolică.

În figuri se observă modificările formelor excentricelor hiperbolice, a căror ramuri se rotesc în sens dextrorum / dextrogin, față de originea $O(0,0)$. Adică, ramura din dreapta se apropie de axa x și cea din stânga de axa y , odată cu creșterea excentricității. În final, adică pentru $s = 1$, ramura din dreapta se suprapune complet peste axa $x > 0$. Pe lângă modificarea formei excentricelor hiperbolice are loc și o modificare a orientării asimptotelor, de la direcția bisectoarelor ($s = 0$) la cea de drepte paralele cu axa x și, respectiv, cu axa y .



10.7 EXCENTRICILE HIPERBOLICE PARAMETRICE.

Alte ecuații parametrice ale hiperbolei sunt

$$(10.8) \quad \begin{cases} x = \frac{a}{2}(\alpha + \frac{1}{\alpha}) \\ y = \frac{b}{2}(\alpha - \frac{1}{\alpha}) \end{cases}$$

în care α este un parametru real (centric) care, înlocuit cu un parametru real **excentric** $\theta(\alpha) = aex_{1,2}(\theta, s) = \theta - \arcsin[s \cdot \sin(\theta - \varepsilon)]$, conduce la obținerea altor forme de excentrice hiperbolice parametrice, notate cu **II**, prezentate în **figura 10.8**.

Dacă **excentricitatea numerică s** este aceeași, atât pentru coordonata $x(s_x)$ cât și pentru coordonata $y(s_y)$ ale excentricelor, atunci, în toate cazurile, se obține o singură curbă, care este curba generatoare, așa cum s-a văzut în cazul excentricelor eliptice, la care proporționalitatea/raportului dintre semiaxele elipsei generatoare cu raportul sau cu proporționalitatea excentricității reale ($\frac{a}{b} = \frac{e_x}{e_y}$), corespunzătoare coordonatelor și pe aceeași direcție ($\varepsilon_x = \varepsilon_y$), conduce la egalitatea excentricității numerice $s_x = s_y$. Deoarece, raportul poate fi scris sub forma $\frac{a}{e_x} = \frac{b}{e_y} \rightarrow 1/s_x = 1/s_y, \rightarrow s_x = s_y$.

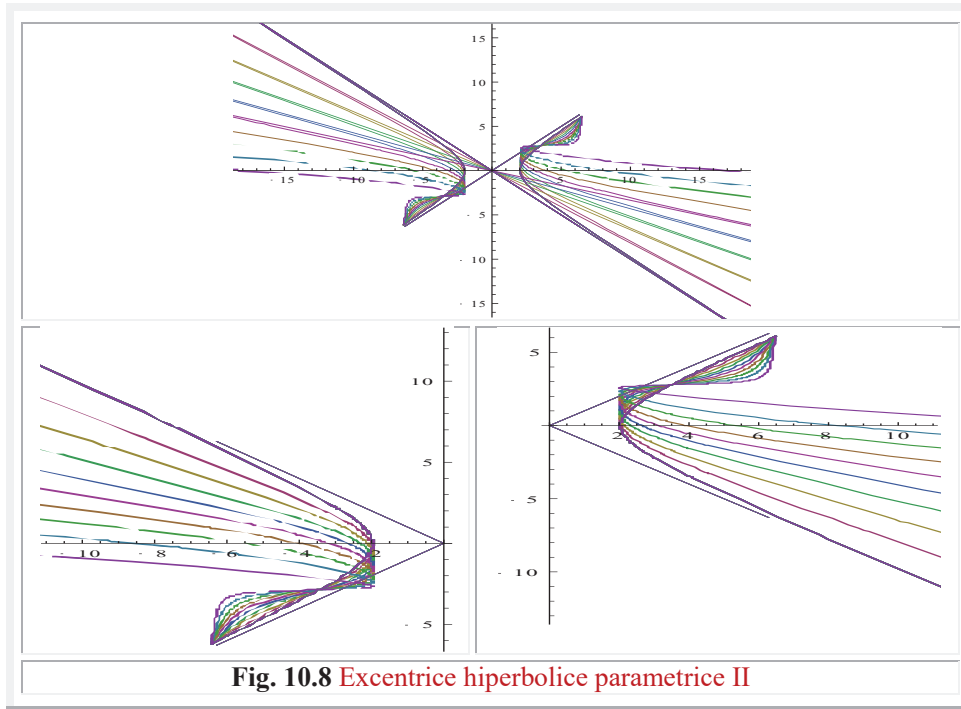
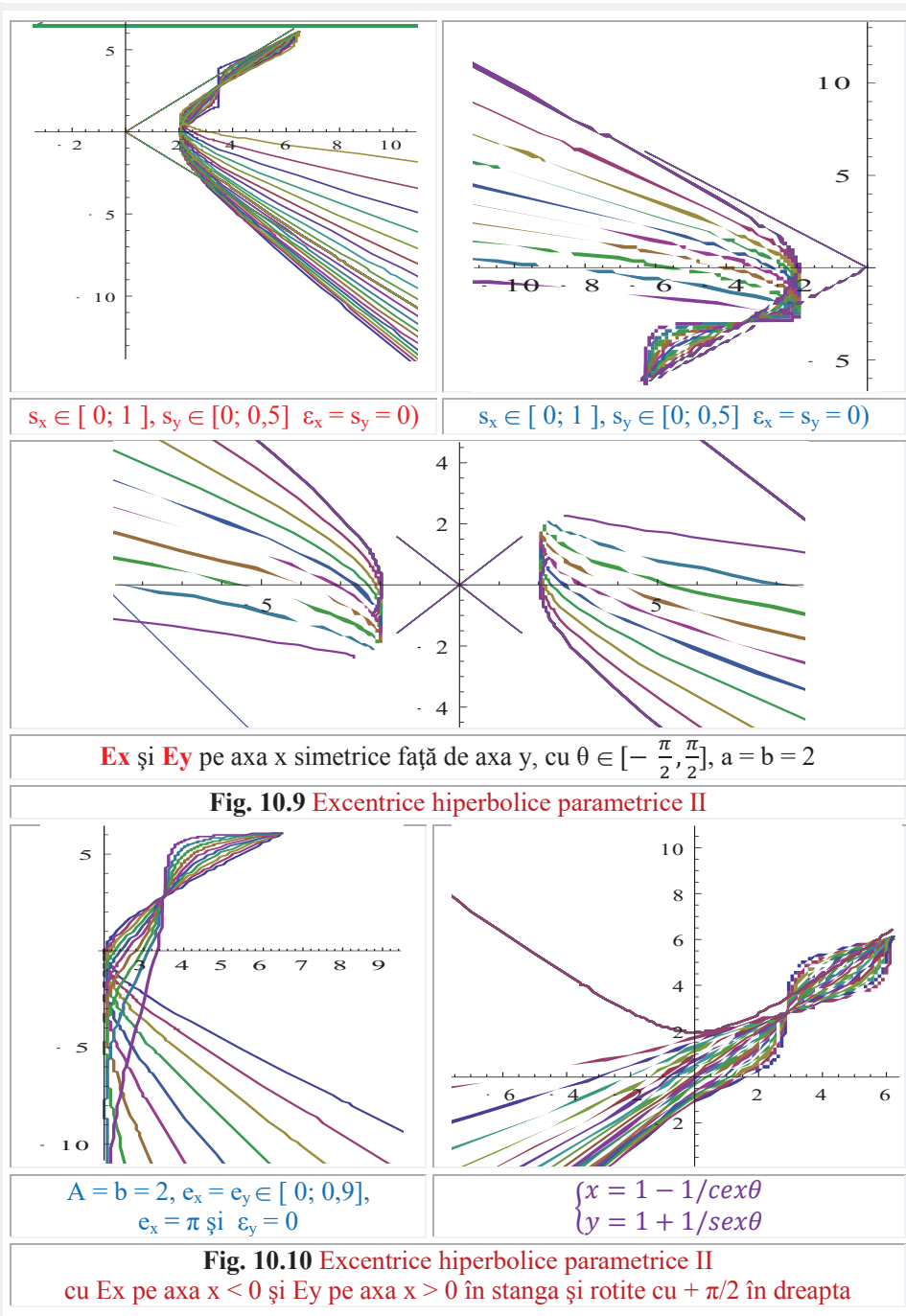


Fig. 10.8 Excentrice hiperbolice parametrice II

În partea superioară a **figurii 10.8** sunt prezentate excentricele hiperbolice parametrice II cu $a = b = 2$, pentru parametrul $\theta \in [-2\pi, +2\pi]$, iar în partea inferioară sunt prezentate, separat, pentru $\theta \in [-2\pi, 0]$ în stânga și $\theta \in [0, 2\pi]$ în dreapta. Ambele excentre sunt plasate pe axa x, simetrice față de axa y, adică, au excentricități numerice egale $s_x = s_y \in [0; 0,9]$ și $\varepsilon_x = 0$ iar $\varepsilon_y = \pi$.

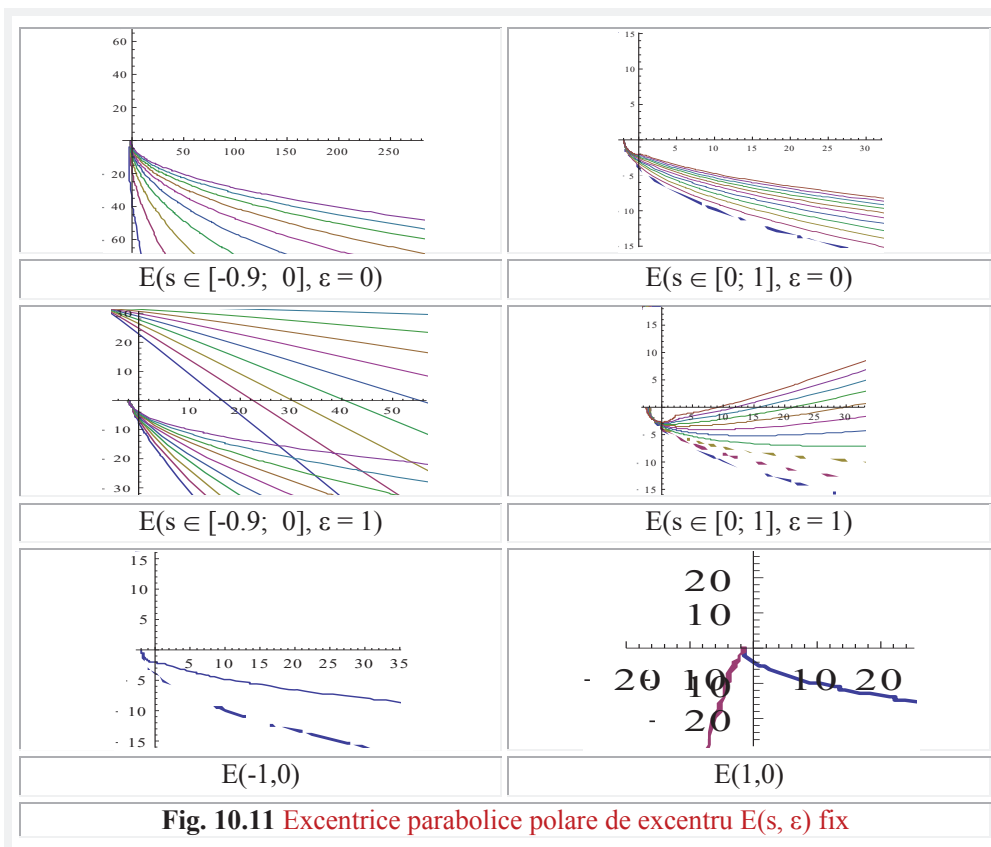


Asimptotele excentricelor hiperbolice sunt cele doua bisectoare, care, din cauza reducerii la scară a desenului s-au rotit, apropiindu-se. Același fenomen apare și în **figura 10.9**, în care, în partea superioară a figurii sunt curbele de $\theta \in [-2\pi, 0]$ în stânga și de $\theta \in [0, 2\pi]$ în dreapta figurii. În partea inferioară $\theta \in [-\pi/2, \pi/2]$ cu **Ex** și **Ey** pe axa x, simetrice față de axa y, având $\varepsilon_x = 0, \varepsilon_y = \pi$ și cu $s \in [0; 0,9]$.

În **figura 10.10**, din stânga, pozițiile celor doua excentre suferă o transpoziție. În sensul că **Ex** și **Ey** își schimbă reciproc pozițiile pe axa x, față de situația din figura anterioară; **Ex** trecând pe semiaxa negativa și **Ey** pe cea pozitivă. În partea dreaptă a **figurii 10.10**, prin schimbarea semnelor în relațiile parametrice (10.8) curbele se rotecesc cu $\pi/2$ în sensul dextrogin și se deschid în partea stângă, tinzând spre linii drepte.

10.8 EXCENTRICELE PARABOLICE

Se pot genera plecând de la ecuațiile conicelor în coordonate polare, pe care le vom denumi excentrice parabolice **polare**, spre deosebire de excentricele parabolice **parametrice** (**Fig. 10.12**), de care se deosebesc net.



Ecuția polară a conicelor este

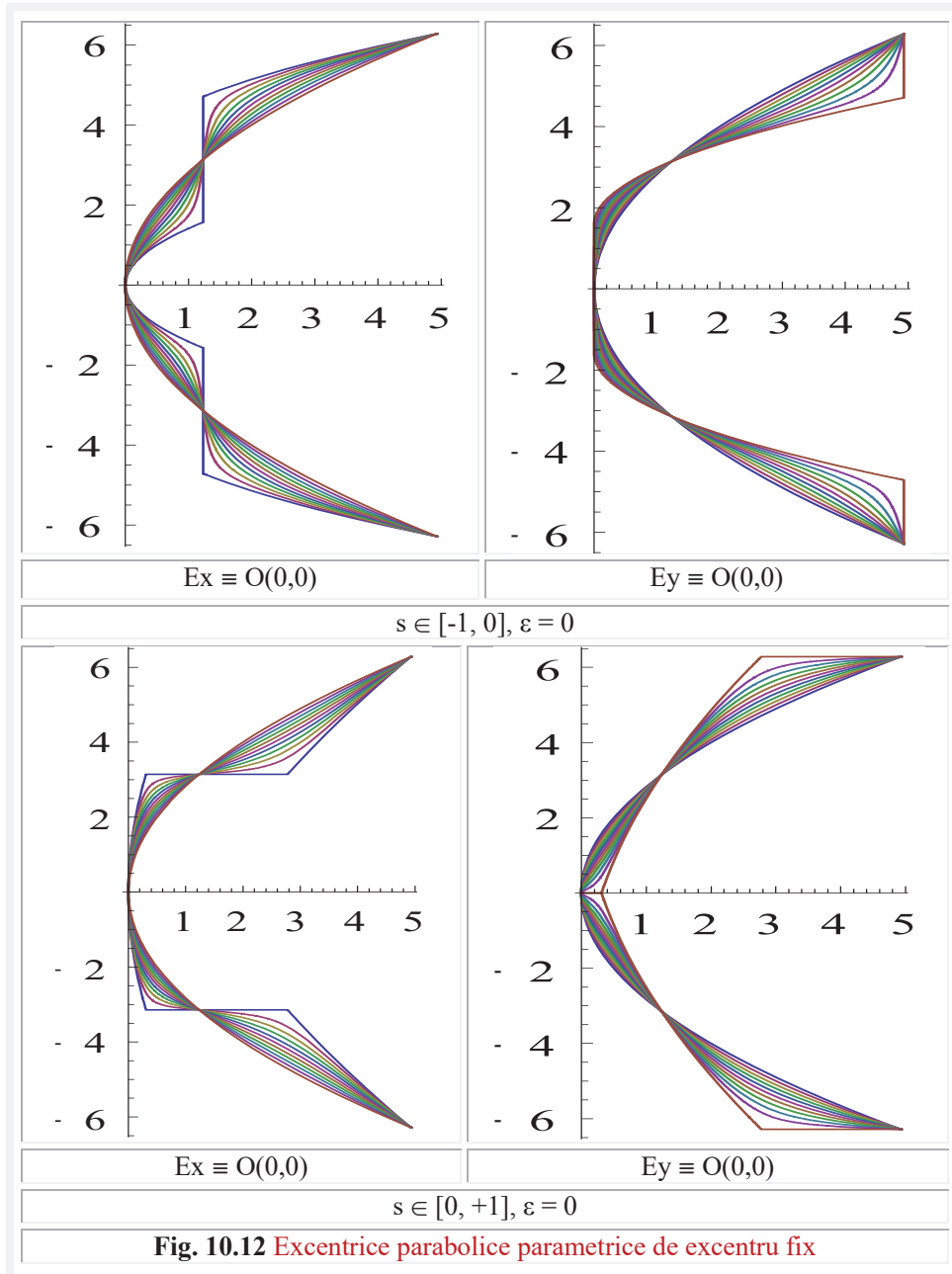


Fig. 10.12 Excentrice parabolice parametric de excentru fix

$$(10.9) \quad r = \frac{p}{1+\varepsilon \cos \alpha} \begin{cases} \varepsilon = 0 \rightarrow \text{CERC} \\ \varepsilon = 1 \rightarrow \text{PARABOLĂ} \\ \varepsilon > 1 \rightarrow \text{HIPERBOLĂ} \\ 0 < \varepsilon < 1 \rightarrow \text{ELIPSĂ} \end{cases}$$

în care, așa cum s-a mai afirmat, **FCC** $\cos \alpha$ se înlocuiește cu **FSM-CE** $\varepsilon \cos \theta$.

Astfel ecuațiile, în coordonate polare, ale excentricelor parabolice polare (**Fig.10.11**) vor fi

$$(10.10) \quad r = \frac{p}{1+\varepsilon \cdot \text{cex}_{1,2} \theta},$$

aici $\varepsilon \equiv s$ este **excentricitatea conicei** !

Excentricelile parabolice polare prezentate au $p = -4$, pentru ca centrul parabolică ($s = 0$) să aibe o deschidere mai pronunțată, deoarece, prin creșterea excentricității numerice s de la 0 la 1, ramurile excentricelor parabolice se îndepartează de ramura centrului parabolic și se apropie de axa $x > 0$.

Se observă, că vârful excentricelor parabolice sunt comune în originea $O(0,0)$ a sistemului de axe de coordonate. În centrul figurilor superioare a fost prezentată excentrica parabolică polară de $s = 1$.

Pentru $s < 0$ și $\varepsilon = 0$, sau $s > 0$ și $\varepsilon = \pi$, ramurile excentricelor parabolice polare se apropie de axa y pe care o și depășește, așa cum se poate observa în **figura 10.11**, centrală-jos pentru $e = -1$. Tot în partea inferioară a **figurii 10.11**, sunt prezentate excentricelile parabolice polare de $\varepsilon = 1$ radian, excentrice care suferă o rotire a graficelor lor în sens trigonometric pentru $s > 0$ și în sens invers pentru $s < 0$, de fapt, pentru $s > 0$ și $\varepsilon = -1$.

10.9 EXCENTRICELILE PARABOLICE PARAMETRICE

Se generează pornind de la ecuațiile parametrice ale parabolei

$$(10.11) \quad M \begin{cases} x = \frac{\alpha^2}{2p} \\ y = \alpha \end{cases}, \text{ în care } \alpha \text{ este un parametru real și, adăugăm noi, } \mathbf{centric}$$

Prin înlocuirea parametrului (variabilei) centric cu variabila (parametrul) excentrică

$$(10.12) \quad \alpha = \theta - \arcsin[s \cdot \sin(\theta - \varepsilon)] \text{ se face trecerea de la centric la excentric și de la centrul parabolic la excentricelile parabolice parametrice (Fig.10.12).}$$

Rezultă că ecuațiile parametrice ale **excentricelor parabolice parametrice** sunt

$$(10.13) \quad M \begin{cases} x = \frac{\alpha(\theta)^2}{2p} = \frac{\{\theta - \arcsin[s_x \cdot \sin(\theta - \varepsilon_x)]\}^2}{2p} = \frac{aex^2(\theta, Ex)}{2p} \\ y = \alpha(\theta) = \theta - \arcsin[s_y \cdot \sin(\theta - \varepsilon_y)] = aex(\theta, Ey) \end{cases}$$

Dacă excentrele E_x și E_y se coincid, $E_x \equiv E_y$, atunci excentricelile parabolice, ca și cele hiperbolice, degenerază în centricelile corespondente.

Tot așa, dacă **excentricitățile** e_x și e_y ale excentricelor eliptice și circulare de aceeași orientare ($\varepsilon_x = \varepsilon_y$) sunt în același raport cu raportul semiaxelor, adică

(10.14) $\frac{e_x}{e_y} = \frac{a}{b}$, atunci acestea degenerază și ele în curba generatoare, adică, în elipsă și, respectiv, în cerc (pentru $e_x = e_y$).

10.10 O NOUĂ ECUAȚIE A ELIPSEI

Vom da o demonstrație, pentru cazul excentricelor eliptice de excentru fix, care este imediată.

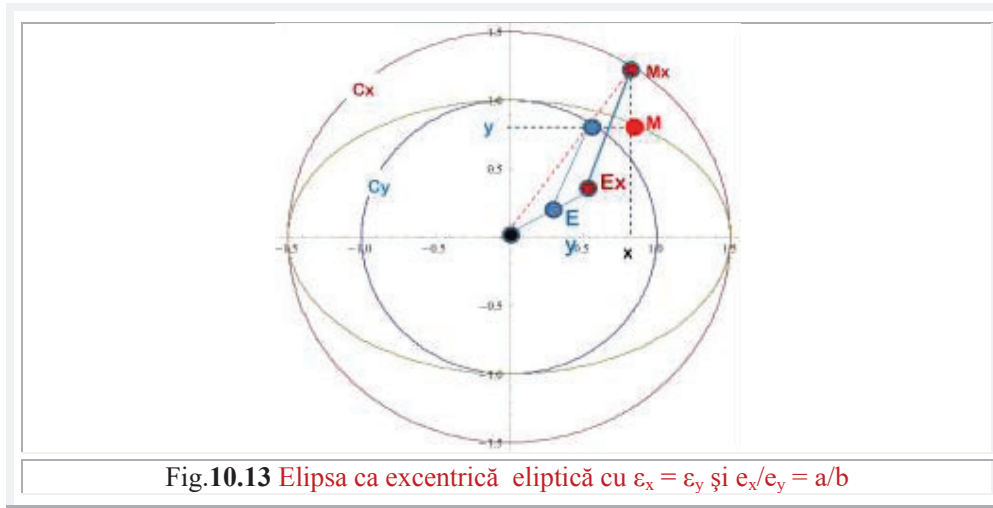


Fig.10.13 Elipsa ca excentrică eliptică cu $\varepsilon_x = \varepsilon_y$ și $e_x/e_y = a/b$

Se observă în **figura 10.13** că, din cele două triunghiuri formate, cu vârful comun în $O(0,0)$, există proporționalitate între razele celor două cercuri, care sunt tocmai semiaxele a și, respectiv, b ale elipsei și mărimile excentricității e_x și e_y .

De asemenea, că punctele generatoare M_x și M_y de pe cercurile $C_a(O,a)$ și $C_b(O,b)$ se obțin, atât prin intersectarea celor două cercuri, cu o singură semidreaptă, de direcție α cu axa x , dusă din $O(0,0)$, cât și cu cele două semidrepte, de direcție θ , duse din excentrele corespunzătoare. Ceea ce dovedește egalitatea dintre coordonatele excentricei eliptice și a elipsei.

În concluzie, dacă există proporționalitatea (10.14), atunci ecuațiile excentricelor eliptice sunt și ecuațiile centricelor eliptice.

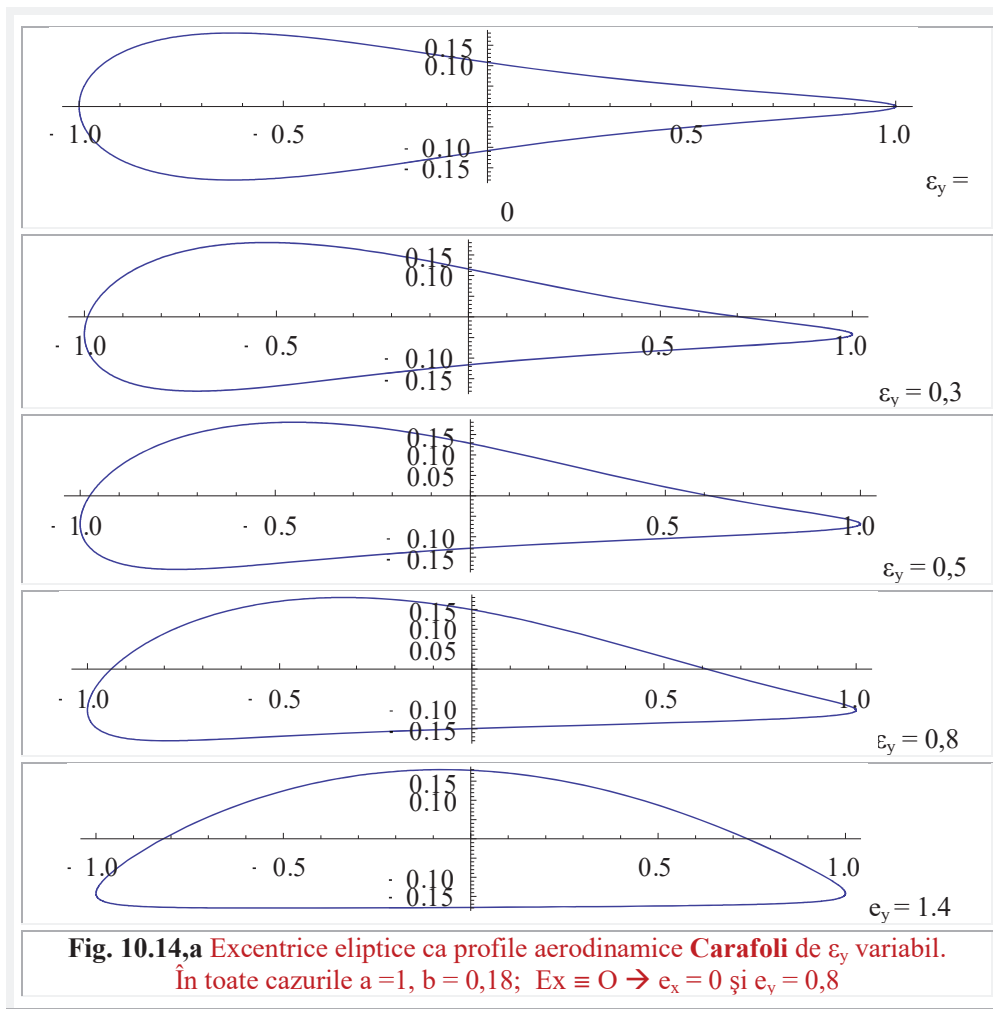
10.11 EXCENTRICE ELIPTICE DE FORME AERODINAMICE

Excentricele eliptice de $E_x \equiv O(0,0)$ cu $a \gg b$ și $E_y(s_y, \varepsilon_y \in [3\frac{\pi}{2}, 2\pi])$ au forme de profile aerodinamice. Astfel, în **figura 10.14** sunt prezentate profile aerodinamice, denumite de specialiști, l-am numit aici pe regretatul prof. dr. ing. **Victor Ancușa**, profile **Carafoli** cu bot de fugă rotunjit, simetrice și asimetrice, primele din partea de sus a **figurii 10.14**.

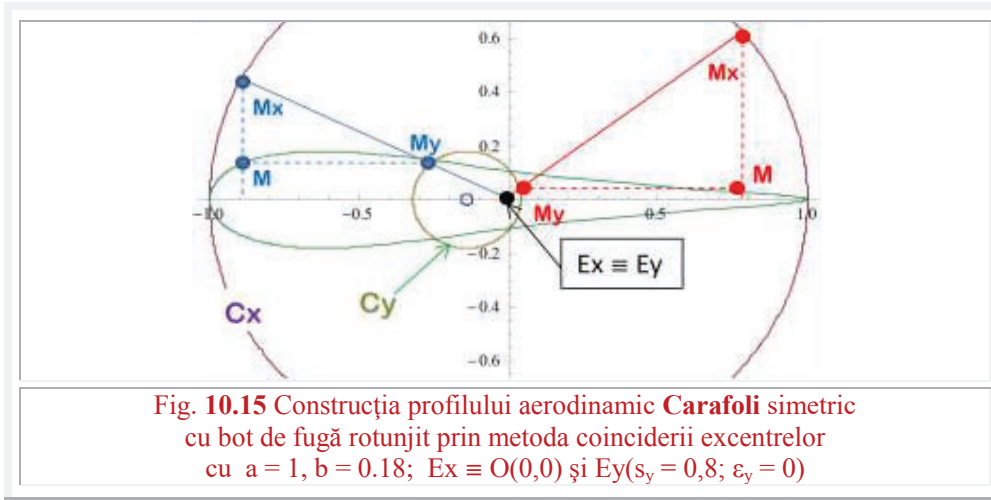
Prof. dr. ing. **Victor Ancușa** a fost cel dintâi care, cu mijloacele rudimentare existente atunci (1972), a reușit să înregistreze în "3D", prin deplasarea corespunzătoare a hârtiei în ploter, **forme supermatematice** de rexoid, dexoid ș.a.

10.12 CONSTRUCȚIA EXCENTRICEI ELIPTICE DE FORMĂ AERODINAMICĂ *Carafoli*

Construcția excentricii eliptice de formă aerodinamică ***Carafoli***, simetrică cu bot de fugă rotunjit, este prezentată în **figura 10.15**, pentru două puncte ale acesteia,



unul în cadranul I și celălalt în cadranul II. S-a folosit metoda coincidenței excentrelor $E_x(0,0)$ cu $E_y(0.8; 0)$.



10.13 EXCENTRICE OVOIDALE CASSINI

Pleacă de la ecuațiile curbelor (ovalelor) lui **Cassini** a căror ecuații cunoscute sunt

$$(10.15) \quad r^2 = e^2 \cdot \cos 2\varphi \pm \sqrt{a^4 - e^4 \sin^2(2\varphi)}$$

și, se observă că, poate fi exprimată cu **FSM-CE** radial excentric $rex_{2\theta}$ pe cercul de rază $R = a^2$, de variabila excentrică $2\theta = 2\varphi$ și de excentru $E(e, \varepsilon = 0)$ cu excentricitatea reală $-e^2$ și de excentricitate numerică $s = \frac{e}{R} = -\frac{e^2}{a^2}$.

Scoțând forțat pe a^4 de sub semnul radical, rezultă

$$(10.16) \quad r^2_{1,2} = a^2 \left[-\frac{e^2}{a^2} \cos 2\theta \pm \sqrt{1 - \left(\frac{e^2}{a^2}\right)^2 \sin^2 2\theta} \right] = R \left[-s \cdot \cos 2\theta \pm \sqrt{1 - s^2 \cdot \sin^2 2\theta} \right]$$

$$r^2_{1,2} = R \cdot \mathbf{rex}_{1,2} [2\theta, E(s = -\frac{e^2}{a^2}, \varepsilon 0)], \text{ sau } \mathbf{Rex}_\alpha \text{ de } E \text{ și } R = a^2.$$

Graficele acestor familii de curbe **Cassini** sunt prezentate în **figura 10.16,a** în stânga-sus, iar în dreapta-sus sunt prezentate lemniscatele lui **Booth**, curbe asemănătoare cu cele ale lui **Cassini**, având ecuațiile în coordonate polare exprimate de ambele determinări ale **FSM-CE** radial excentric de variabilă excentrică $rex_{1,2}\theta$

$$(10.17) \quad \rho = R(\mathbf{rex}_1\theta + \mathbf{rex}_2\theta) = 2 \cdot R \cdot \sqrt{1 - s^2 \sin^2(\theta - \varepsilon)}$$

Prin înlocuirea, în relațiile (10.16), a **FCC** $\cos 2\theta$ și $\sin 2\theta$ cu **FSM-CE** $cex_{2\theta}$ și $sex_{2\theta}$ se obțin excentricile **Cassini** din partea inferioară-stânga a **figurii 10.16** și pentru $E_y \equiv O(0,0)$, în partea din dreapta-jos. E_y este excentricitatea **FSM-CE** $sex_{2\theta}$ de sub semnul radical, care, pentru cazul $E_y \equiv O(0,0)$, $\rightarrow \sin 2\theta$. Excentrul a fost notat

cu indicele y pentru că sinusul asigură coordonata y a curbelor în general și a celor **Cassini**, în acest caz.

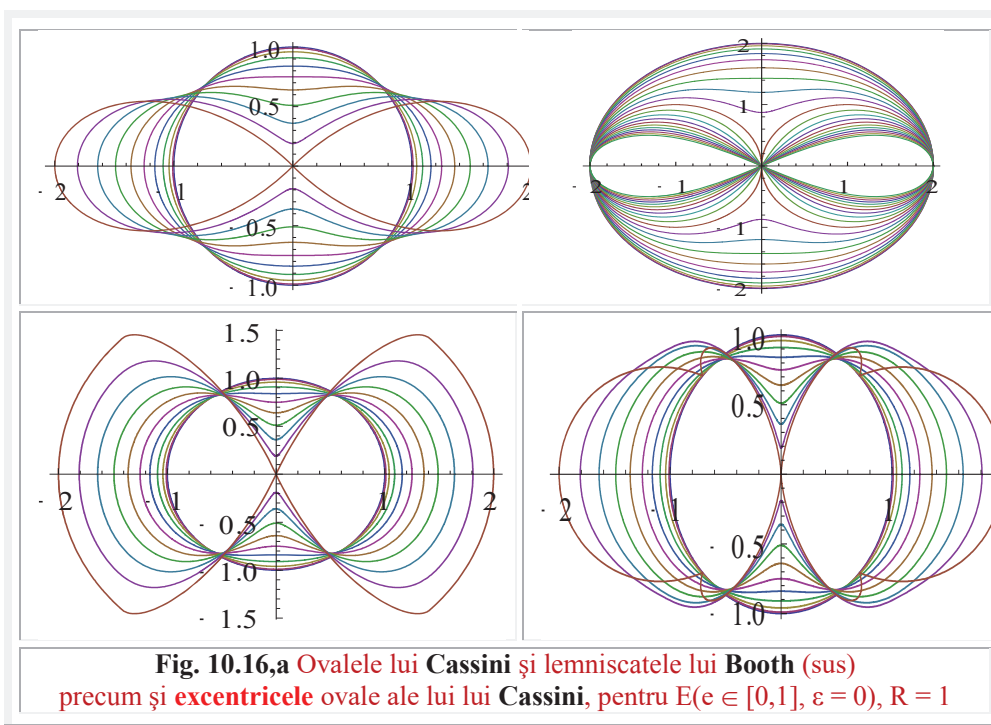
Pentru frumusețea formelor spațiale pe care le reprezintă (de gustibus non est disputandum) s-au prezentată și graficele 3D din **figura 10.16,b**.

În **figura** din dreapta-sus, lemniscatele lui **Booth** asigură o transformare continuă a unui cerc $C(O, R = 2)$ într-o lemniscată (curba în nod de fundă a lui **Bernoulli**) pentru $e = R$ sau $s = 1$.

Întroducând în relația (10.16) valoarea $s = 1$ se obține ecuația polară a lemniscatei lui **Bernoulli**

$$(10.18) \quad r_{1,2} = a\sqrt{\cos 2\varphi}$$

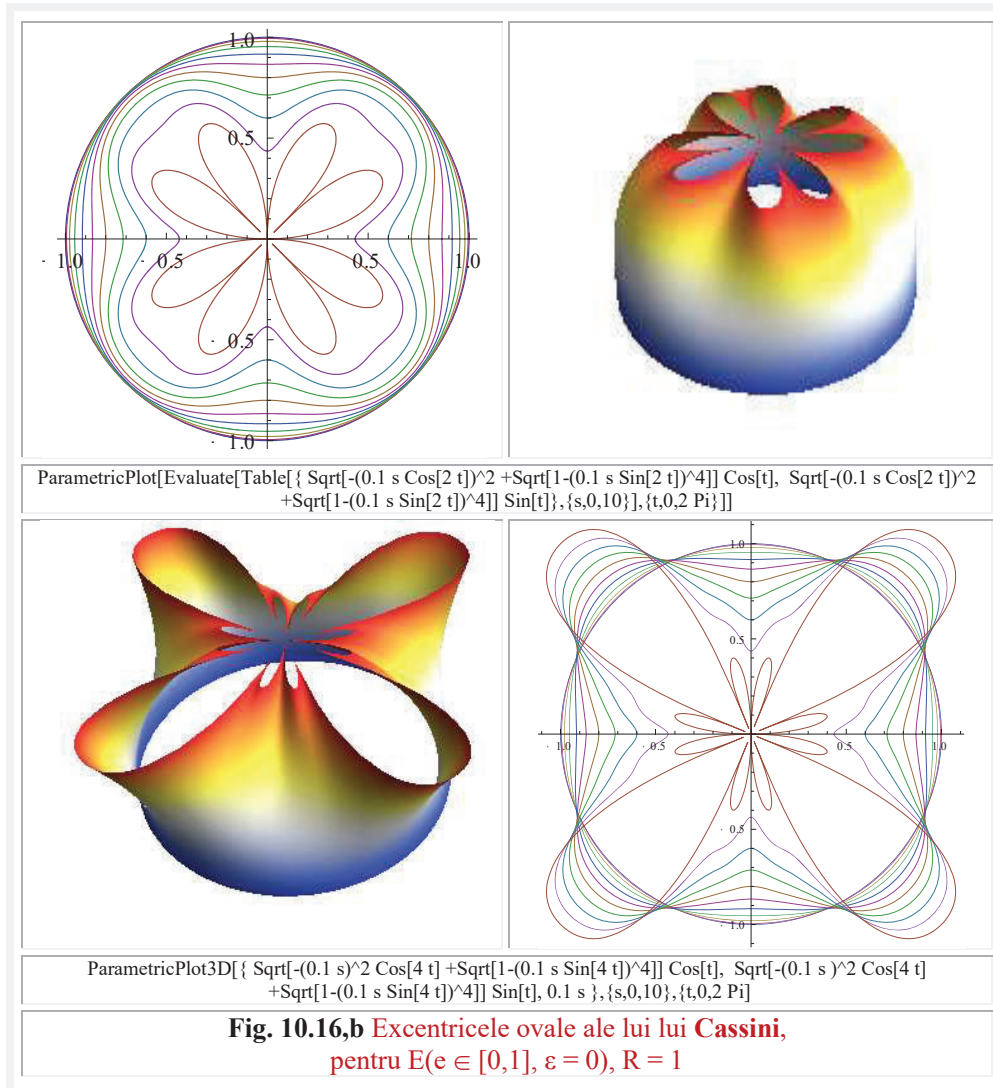
Dacă, în relația (10.17), se limitează excentricitatea numerică la $s \in [0,1]$, atunci obținem o transformare continuă a unui cerc în două cercuri tangente exterior.



Cu ocazia vizitei unei delegații a Universității din Budapesta, la Universitatea POLITEHNICA din Timișoara, autorul a fost solicitat să prezinte unele desene “artistice” (v. [www. → Tehno Art of Șelariu Supermathematics Functions](http://www.TehnoArt.com)).

Printre acestea a fost și “amestecatorul” (sau “distribuitorul”) din **figura 10.16,c**. Profesorul dr. ing. **Horvath**, pe atunci, șeful **Departamentului de Tehnologie** al **Universității Budapesta**, a rămas surprins cât de simplu poate fi reprezentat un astfel de corp cu ajutorul **FSM-CE** (care, după declarațiile lui, i-a luat multe zile pentru

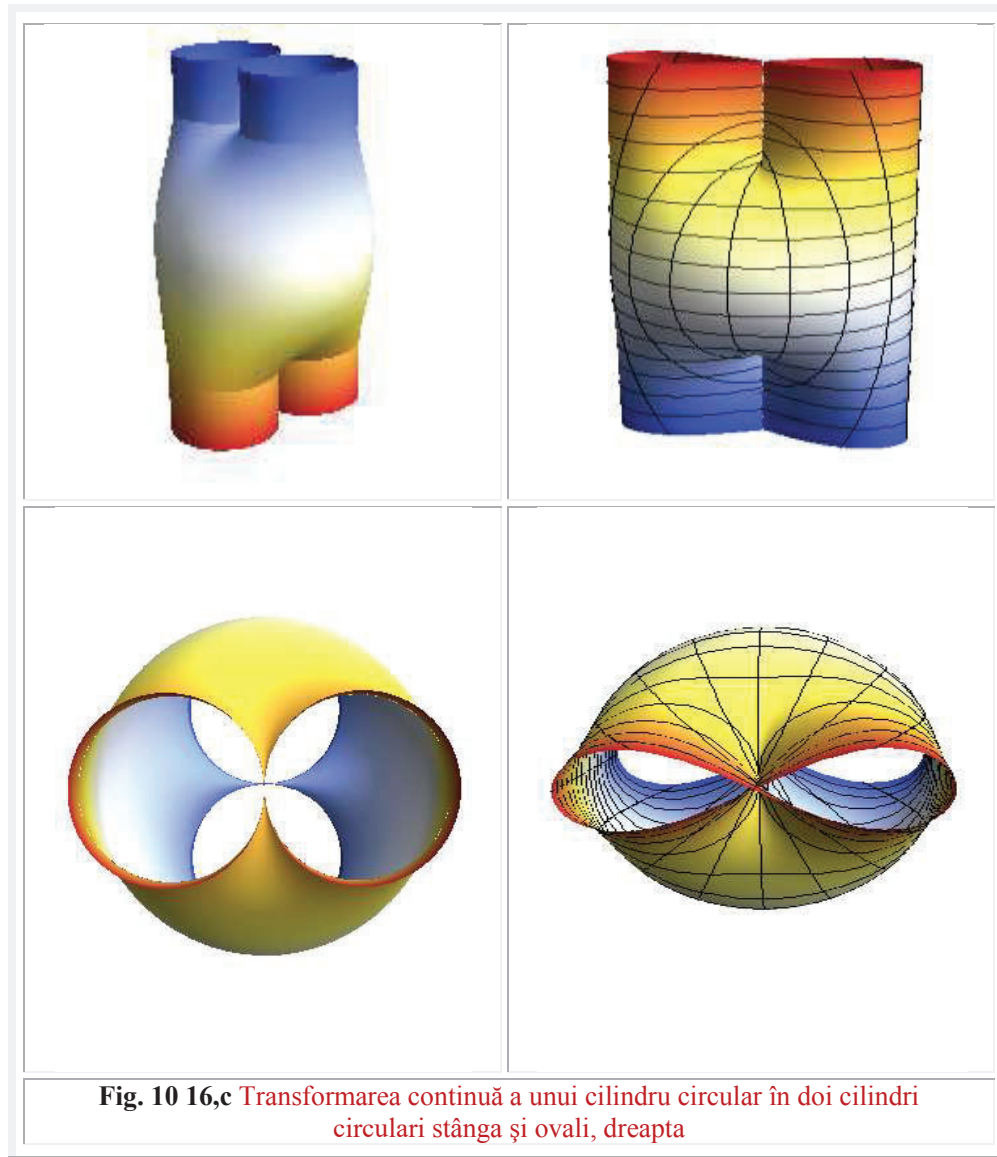
a fi reprezentat în ACAD) și a zis “ *Nu vii și la noi să ne înveți ?* “



Acestei transformări, îi corespunde în 3D, o transformare a unui cilindru în doi cilindri tangenți exterior, sau având axa cilindrului de rază $2R$ (mare) ca generatoare comună a celor doi cilindri de raze mai reduse (R).

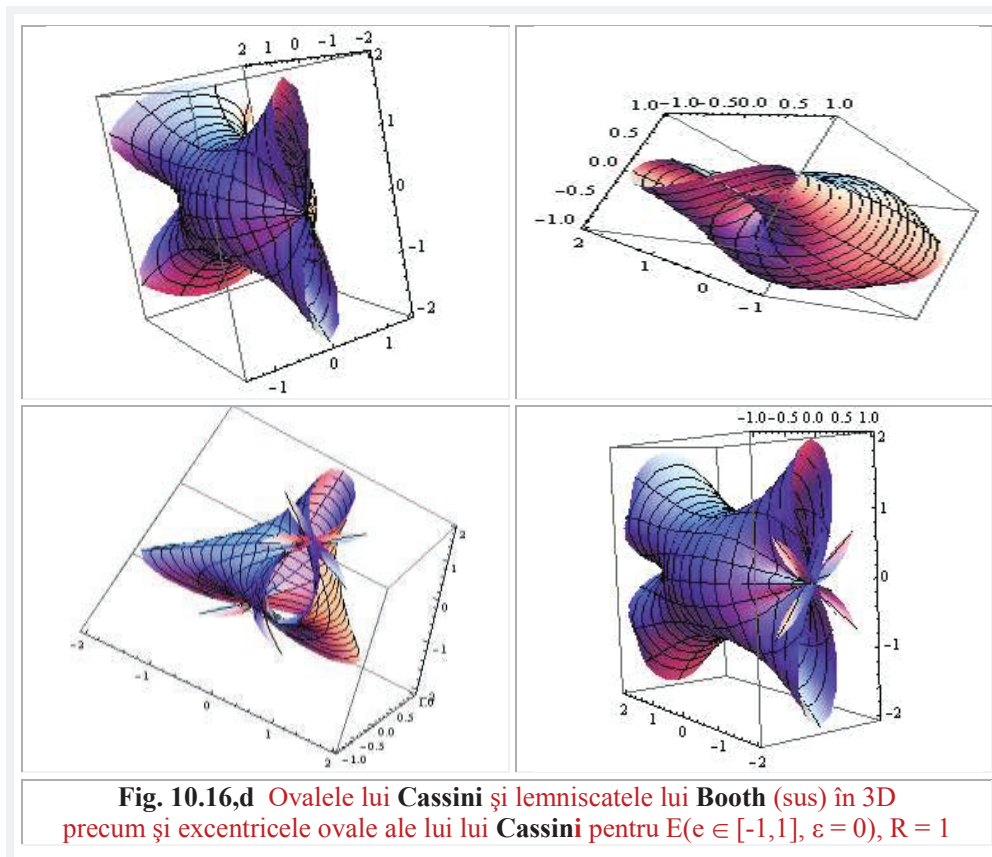
Aplicațiile tehnice ale acestei transformări se referă la reprezentarea și proiectarea asistată de calculator a unor bifurcații de țevi. Fie pentru aducțiunea unor fluide, prin două conducte, într-o singură conductă, de dimensiuni / debite mai mari,

eventual în vederea amestecării lor, când această joncțiune de conducte este denumită și **amestecător**. Fie invers, de ramificare, când debitul de fluid din conducta magistrală este distribuit pe două conducte de debite și, evident, de dimensiuni mai reduse, când poate fi denumit distribuitor.



Așa se face ca la 3 decembrie 1998, autorul a ținut o scurtă conferință despre “**Funcții supermatematice**” la departamentul tehnologic al d-lui **Horvath**, unde a fost invitată și Catedra de Matematică a **Universității din Budapesta**.

Un doctorand român, de origine maghiară, care urma să se specializeze în lentile optice speciale (ochi de muscă) pe care Universitatea din Budapesta le livrează și agenției NASA, pentru stabilirea poziției sateliților și a altor corpuri cosmice în spațiul cosmic, a făcut cu brio serviciul de translator.

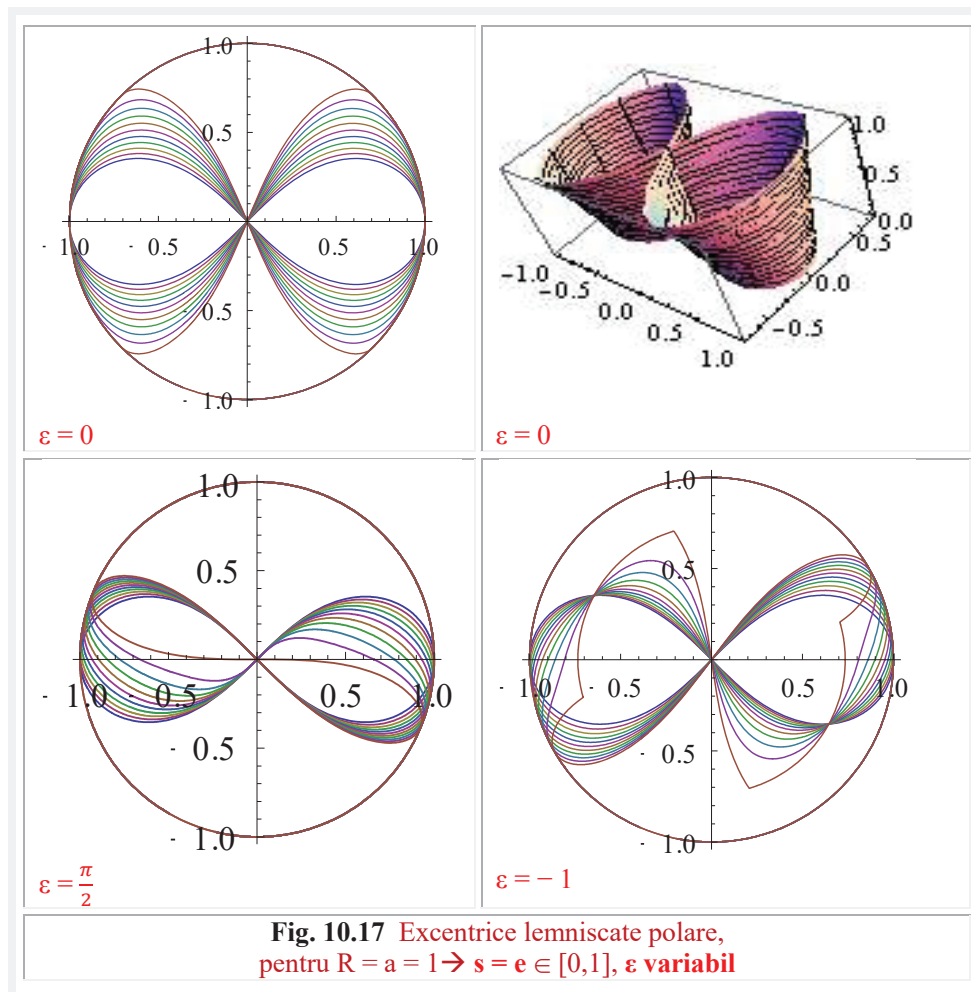


Imediat după Conferință, au fost stabilite două teme de cercetare comune, una în domeniul “**Funcțiilor Supermatematice și aplicațiile lor tehnice**” și a doua cu privire la o nouă metodă de cinetostatică, prezentată în aceasta lucrare și denumită de autor “**Metoda separării forțelor și a momentelor**”, sau, mai scurt, “**Metoda separării momentelor (MSM)**”, iar profesorul **Horvath** i-a oferit autorului spațiu publicitar într-o revistă de specialitate, din domeniul mașinilor-unelte, revistă de mare prestigiu internațional.

10.14 EXCENTRICELE LEMNISCATE

Se vor obține prin simpla înlocuire a $FCC \cos 2\theta$ cu $FSM-CE \text{ cex}2\theta$ în relația anterioară (10.18). Excentrele astfel obținute sunt prezentate în **figura 10.17**, în plan pentru $\varepsilon = 0$, $\varepsilon = \frac{\pi}{2}$ și $\varepsilon = -1$ cât și în 3D pentru $\varepsilon = 0$.

Se remarcă, încă odată, posibilitățile extrem de vaste ale $FSM-CE$ radial excentric, despre care s-a afirmat că este o adevărată “**funcție rege**”, de a exprima ecuațiile diverselor curbe plane, unele cunoscute în **MC** și altele noi, prezente doar în noua **ME**.



Toate curbele **Cassini** se bucură de proprietatea că produsul razelor din cele două focare, care nu sunt altceva decât doua excentre E^+ și E^- , de pe axa x , de aceeași excentricitate e dar de direcție $\varepsilon = 0$ și, respectiv, $e = \pi$, sau, așa cum s-a repetat, de $\varepsilon = 0$, dar de excentricități reale $+e$ și, respectiv, $-e$, este constantă și egală cu $R^2 = a^2$, adică

$$(10.19) \quad R^2 = r_{1,2}^+ \cdot r_{1,2}^- > 0,$$

în care r_1^+ și r_1^- sunt pozitive, iar r_2^+ și r_2^- sunt negative și aceste raze din focare (excentre) nu reprezintă altceva decât **FSM-necirculare radial excentrice** definite nu pe cercul unitate, ci pe pe curbele **Cassini**.

În cazul **FSM-CE**, de două excentre E^+ și E^- , simetrice față de centrul și originea $O(0,0)$, situația este prezentată în **figura 10.18**. Se observă, fără dificultate, că, așa cum s-a prezentat într-un capitol anterior (& 4.2.1), produsul celor două determinări ale **FSM-CE** radial excentric este și el constant și nu depinde de semnul excentricității e

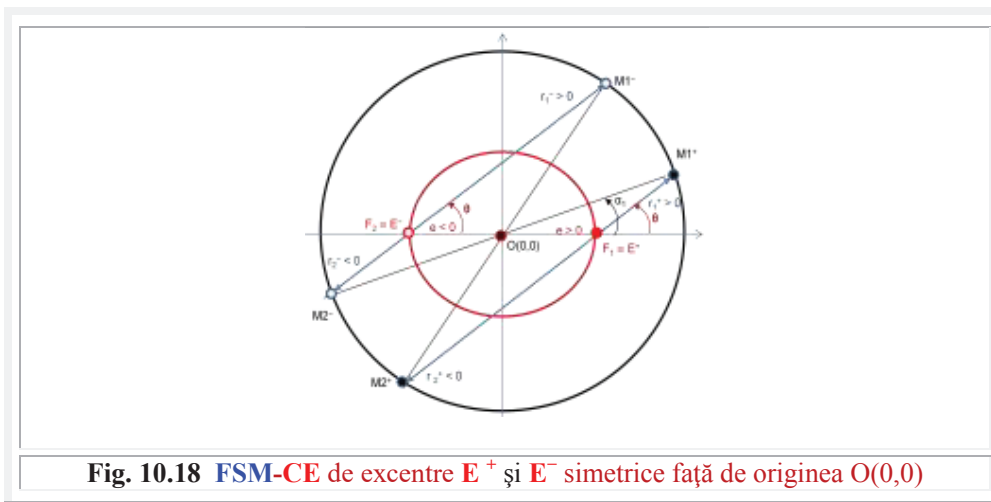


Fig. 10.18 FSM-CE de excentre E^+ și E^- simetrice față de originea $O(0,0)$

$$(10.20) \quad r_{1,2} = R^2 \cdot \text{rex}_1 \theta \cdot \text{rex}_2 \theta = - (R^2 - e^2) = - [R \cdot \text{rex}_1(\theta = \frac{\pi}{2}, s = \frac{e}{R})]^2 = - R^2 \cdot \text{rex}_2^2(\theta = \frac{\pi}{2}, s = \frac{e}{R}).$$

Ca urmare, $r_1^+ = -r_2^- > 0$ și $r_2^+ = -r_1^- < 0$, astfel că

$$(10.21) \quad r_{1,2}^+ \cdot r_{1,2}^- = R^2 - e^2 > 0.$$

Deci, și în cazul cercului, produsul razelor excentrice **de același unghi θ** , deci ale punctelor M_1^\pm sau ale punctelor M_2^\pm este constanta

$$(R^2 - e^2) = R^2 \cdot \text{rex}_1^2(\theta = \frac{\pi}{2}, s = \pm \frac{e}{R}, \varepsilon = 0).$$

Se vede din **figura 10.18** că, de exemplu, M_1^+ are razele excentrice, din cele două excentre simetrice E^+ și E^- , diferite, dar o singură rază centrică din $O(0,0)$ de direcție α_1 .

Exprimând razele excentrice r_1^+ și r_1^- , scrise concentrat r_1^\pm , în funcție de variabila centrică α_1 se obțin expresiile

$$(10.22) \quad r_1^\pm = \sqrt{R^2 + e^2 \mp e \cdot R \cdot \cos \alpha_1} \quad \text{a căror produs este}$$

$$(10.23) \quad r_1^- \cdot r_1^+ = \sqrt{(R^2 + e^2)^2 - 4e^2 R^2 \cdot \cos^2 \alpha_1} = \\ = \sqrt{(R^2 - e^2)^2 + 4e^2 R^2 \cdot \sin^2 \alpha_1} = R^2 \sqrt{rex_1^4\left(\frac{\pi}{2}\right) + 4e^2 \sin^2 \alpha_1} = \\ = R^2 rex_1^2\left(\frac{\pi}{2}\right) \sqrt{1 + 4 \frac{e^2 \sin^2 \alpha_1}{R^2 rex_1^4\left(\frac{\pi}{2}\right)}} = R^2 rex_1^2\left(\frac{\pi}{2}\right) \sqrt{1 + s'^2 \sin^2 \alpha_1}$$

Acest produs este valoric mai mare decât cel anterior, de același unghi θ , cu valorile radicalului (> 1) și mai mare decât produsul funcțiilor radial excentrice pe curbele lui **Cassini**, adică, al razelor polare din cele două focare ale uni punct curent al curbelor lui **Cassini** și nu mai este constant.

10.15 EXCENTRICILE EVOLVENTICE ALE CERCULUI.

10.15.1 EXCENTRICILE ȘI FUNCȚIILE EXCENTRICE ALE LUI GOGU CONSTANTINESCU.

Evolventele (latinescul *evolvere* = a desfășura) se pot obțin pentru o serie de curbe și sunt desfășurătoarele curbelor respective.

Ecuțiile parametrice ale evolventei unei curbe, de punct curent $P(x,y)$ și de arc $s = R \cdot \alpha$, sunt

$$(10.24) \quad \begin{cases} X = x + s \cdot \sin \alpha \\ Y = y - s \cdot \cos \alpha \end{cases}$$

Evolventa cercului $C(O,R)$ va avea ecuațiile parametrice

$$(10.25) \quad \begin{cases} X = R(\cos \alpha + \alpha \cdot \sin \alpha) \\ Y = R(\sin \alpha - \alpha \cdot \cos \alpha) \end{cases}$$

și, așa cum s-a mai procedat, prin înlocuirea **FCC** cu **FSM-CE** se vor obține ecuațiile parametrice ale excentricelor evolventice parametrice

$$(10.26) \quad \begin{cases} x = R(cex_{1,2}\theta + aex_{1,2}\theta \cdot sex_{1,2}\theta) \\ y = R(sex_{1,2}\theta - aex_{1,2}\theta \cdot cex_{1,2}\theta) \end{cases}$$

în care, $\alpha \rightarrow \alpha_{1,2}(\theta) = aex_{1,2}\theta$.

Excentricele evolventice din **figura 10.19** sunt reprezentate pentru $R = 1$, $\theta \in [0, 2\pi]$ și în **figura 10.20**, pentru $\theta \in [0, 3.5\pi]$ în stânga și $\theta \in [0, -3.5\pi]$ în dreapta.

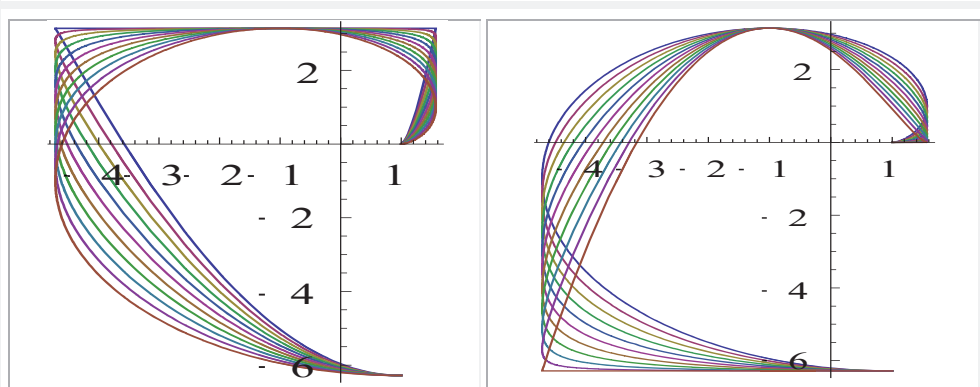


Fig. 10.19 Excentrice evolventice circulare parametrice **Gogu Constantinescu**
 Pentru $R = 1 \rightarrow e_{x,y} = s_{x,y}, Ex \equiv Sx \equiv O(0,0), Ey \equiv Sy (s_y \in [-1; 0], \varepsilon_y = 0)$

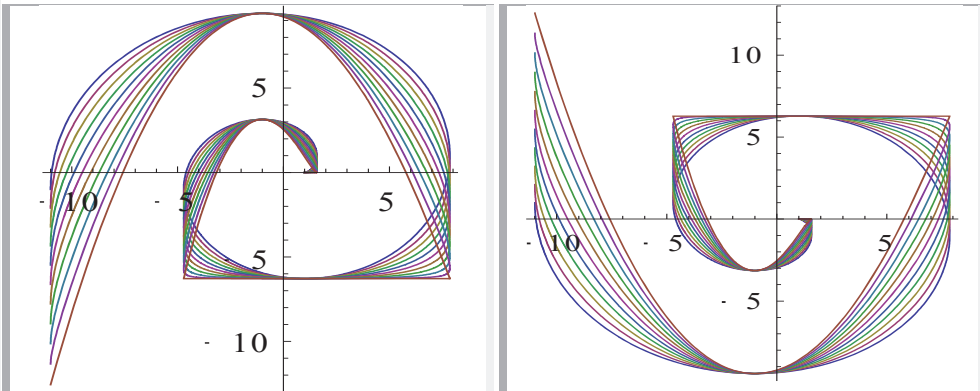


Fig. 10.20 Excentrice evolventice circulare polare **Gogu Constantinescu**
 pentru $\theta \in [0, 3.5\pi]$ în stânga și $\theta \in [0, -3.5\pi]$ în dreapta

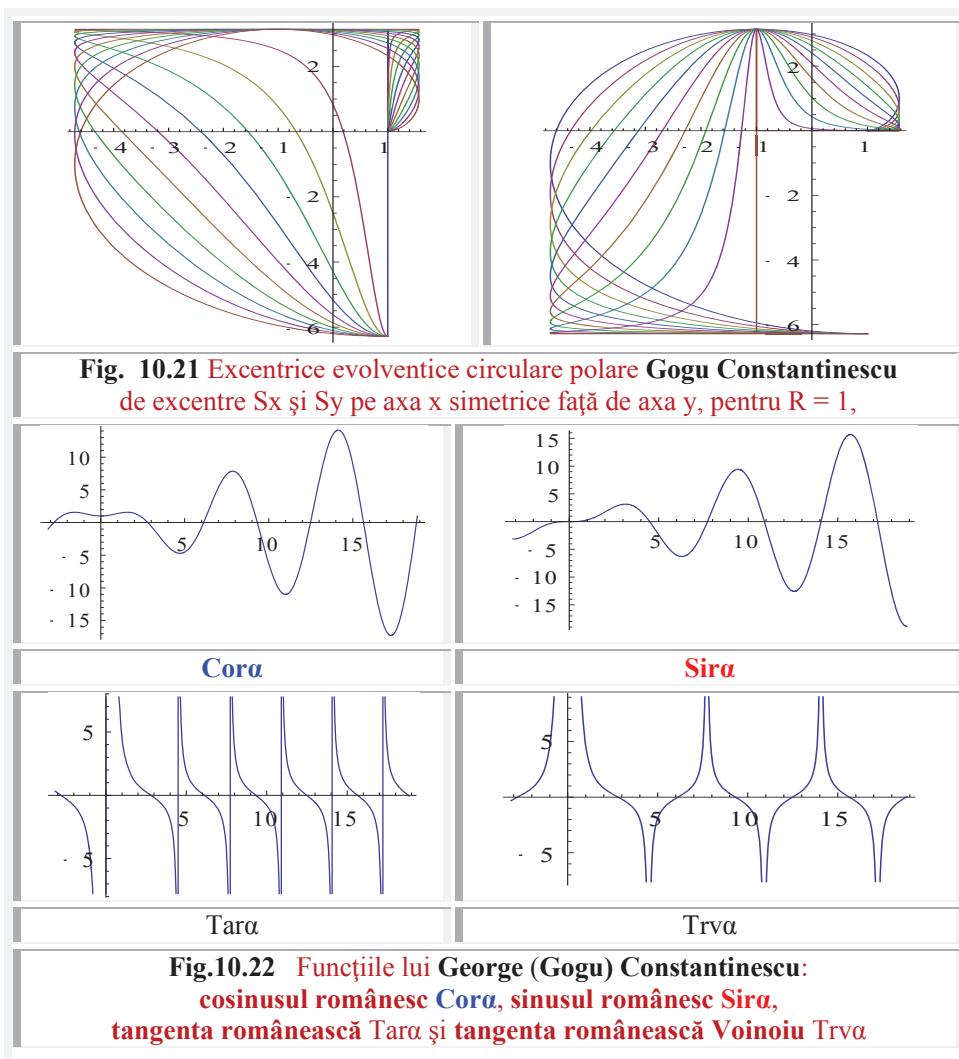
Dacă niciun excentru nu coincide cu centrul și originea $O(0,0)$, S_x și S_y fiind pe axa x , simetrice față de axa y , atunci alura excentricelor evolventice circulare polare este cea din **figura 10.21**.

Pot fi obținute multe alte curbe excentrice de acest gen, foarte diferite între ele, prin acceptarea unor valori pentru direcțiile ε_x și ε_y diferite de 0 și de π .

Pentru soluționarea unor ecuații diferențiale neliniare, ivite în teoria sonicității, teorie creată de savantul englez de origine română **Gogu Constantinescu** el, a introdus în matematica centrică (**MC**), așa cum s-a afirmat și în Cap. 2 al primului volum al acestei lucrări, funcțiile **cosinus românesc Cora** și **sinus românesc Sira**, care sunt funcții definite pe evolventa cercului unitate $C(O, R = 1)$, având expresiile

$$(10.27) \quad \begin{cases} \text{Cor } \alpha = \cos \alpha + \alpha \cdot \sin \alpha \\ \text{Sir } \alpha = \sin \alpha - \alpha \cdot \cos \alpha \end{cases}$$

Mai pot fi definite **funcțiile românești compuse**, ca tangenta românească **Tarθ**, cotangenta românească **Ctarθ**, secanta românească **Serθ**, ordinare și funcțiile redefinite corect în matematica centrica de **Octavian Voinoiu**, ca tangenta românească **Voinoiu Tarvθ** ș.a., adică de expresii



$$(10.29) \quad \text{Tar}\alpha = \frac{\text{Sir}\alpha}{\text{Cor}\alpha}, \quad \text{Ctar}\alpha = \frac{\text{Cor}\alpha}{\text{Sir}\alpha}, \quad \text{Ser}\alpha = \frac{1}{\text{Cor}\alpha}, \quad \text{Cser}\alpha = \frac{1}{\text{Sir}\alpha}$$

și cele **Voinoiu**

$$(10.30) \quad \text{Trv}\alpha = \frac{\text{Sir}\alpha}{\text{Abs}[\text{Cor}\alpha]}, \quad \text{Ctrv}\alpha = \frac{\text{Cor}\alpha}{\text{Abs}[\text{Sir}\alpha]}, \quad \text{Serv}\alpha = \frac{1}{\text{Abs}[\text{Cor}\alpha]}, \quad \text{Cserv}\alpha = \frac{1}{\text{Abs}[\text{Sir}\alpha]}$$

Toate aceste **funcții centrice** au corespondente în **matematica excentrică**, care se obțin prin înlocuirea variabilei centrice α cu funcția excentrică $\alpha(\theta) = aex_{1,2}\theta$.

Astfel, cosinusul românesc și sinusul excentric românesc vor fi

$$(10.31) \quad \text{Corex}_{1,2}\theta = \text{Cor}(\alpha(\theta)) = cex_{1,2}\theta + aex_{1,2}\theta \cdot sex_{1,2}\theta$$

$$(10.32) \quad \text{Sirex}_{1,2}\theta = \text{Sir}(\alpha(\theta)) = sex_{1,2}\theta - aex_{1,2}\theta \cdot cex_{1,2}\theta,$$

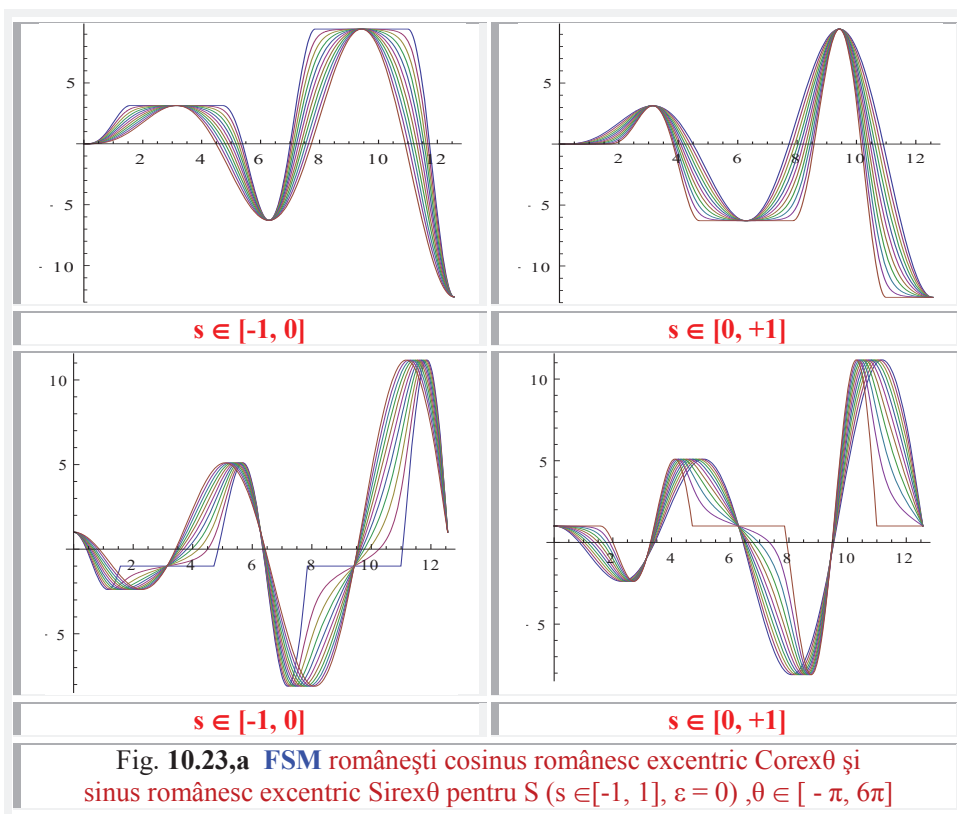
tangenta românească este

$$(10.33) \quad \text{Tarex}_{1,2}\theta = \frac{\text{Sir}(\alpha(\theta))}{\text{Cor}(\alpha(\theta))} = \frac{sex_{1,2}\theta - aex_{1,2}\theta \cdot cex_{1,2}\theta}{cex_{1,2}\theta + aex_{1,2}\theta \cdot sex_{1,2}\theta}$$

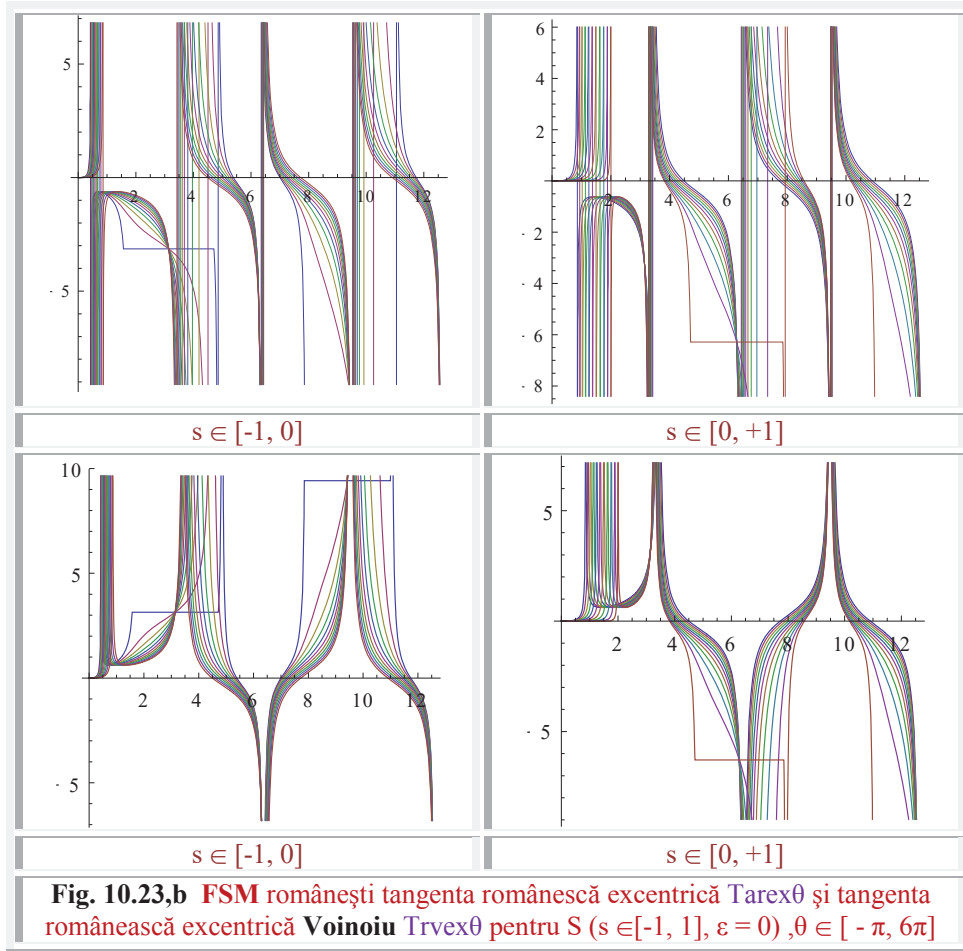
și tangenta românească **Voinoiu** este

$$(10.34) \quad \text{Trvex}_{1,2}\theta = \frac{\text{Sir}(\alpha(\theta))}{\text{Abs}[\text{Cor}(\alpha(\theta))]} = \frac{sex_{1,2}\theta - aex_{1,2}\theta \cdot cex_{1,2}\theta}{\text{Abs}[cex_{1,2}\theta + aex_{1,2}\theta \cdot sex_{1,2}\theta]}$$

prezentate în figura 10.23, a și b.



În figura 10.22 sunt date graficele funcțiilor trigonometrice românesci – cosinus și sinus romanesci, definite de **George (Gogu) Constantinescu** – sus-, ca și tangenta românească și tangenta românească în sensul Voinoiu - jos.



Funcțiile supermatematice evolventice excentrice, de variabilă excentrică, se obțin prin înlocuirea variabilei centrice α , din ecuațiile 10.27, cu variabila centrică $\theta(\alpha) = aex\theta$

Se obțin, astfel, **FSM** românești excentrice Corex θ , Sirex θ , Trex θ , precum și tangenta excentrică Voinoiu Trvex θ cu expresiile de definiție

$$(10.35) \quad \text{Corex}\theta = cex\theta + aex\theta \cdot sex\theta$$

$$(10.36) \quad \text{Sirex}\theta = sex\theta - aex\theta \cdot cex\theta$$

$$(10.37) \quad \text{Trex}\theta = \frac{\text{Corex}\theta}{\text{Sirex}\theta} = \frac{sex\theta - aex\theta \cdot cex\theta}{cex\theta + aex\theta \cdot sex\theta}$$

$$(10.38) \quad \text{Trvex}\theta = \frac{\text{Corex}\theta}{\text{Abs}[\text{Sirex}\theta]} = \frac{sex\theta - aex\theta \cdot cex\theta}{\text{Abs}[cex\theta + aex\theta \cdot sex\theta]}$$

cu graficele din **figura 10.23**

Funcțiile supermatematice evolventice excentrice de variabilă excentrică, se obțin prin înlocuirea variabilei centrice α , din ecuațiile 10.27, cu variabila centrică $\theta(\alpha) = aex\theta$

Se obțin, astfel, **FSM** românești excentrice $Corex\theta$, $Sirex\theta$, $Trex\theta$, precum și tangenta excentrică Voinoiu $Trvex\theta$ cu expresiile de definiție

$$(10.35) \quad Corex\theta = cex\theta + aex\theta \cdot sex\theta$$

$$(10.36) \quad Sirex\theta = sex\theta - aex\theta \cdot cex\theta$$

$$(10.37) \quad Trex\theta = \frac{Corex\theta}{Sirex\theta} = \frac{sex\theta - aex\theta \cdot cex\theta}{cex\theta + aex\theta \cdot sex\theta}$$

$$(10.38) \quad Trvex\theta = \frac{Corex\theta}{Abs[Sirex\theta]} = \frac{sex\theta - aex\theta \cdot cex\theta}{Abs[cex\theta + aex\theta \cdot sex\theta]}$$

cu graficele din **figura 10.23**

De aceea, ecuațiile parametrice ale evolventei cercului pot fi scrise sub forma

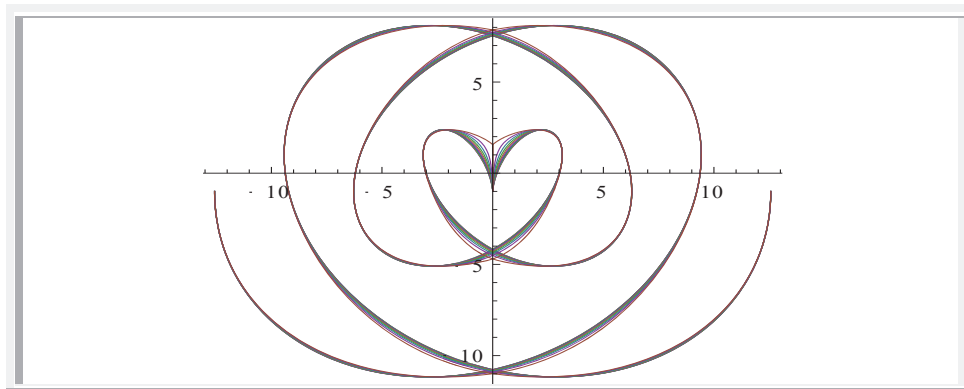
$$(10.39) \quad \begin{cases} x = R \cdot Cor \alpha \\ y = R \cdot Sir \alpha \end{cases}$$

și, în cinstea acestui savant, evolventele cercului pot fi denumite **evolventele lui Gogu Constantinescu**, iar cele exprimate de relația (10.26), adică, excentricile evolventice circulare vor fi denumite, din aceleași considerente, **excentrice evolventice Gogu Constantinescu**.

Dacă rotația dreptei tangente la cercul unitate se desfășoară în ambele sensuri, sau dacă unghiul θ evoluează în ambele sensuri, adică $\theta \in [-n\pi, +n\pi]$, în **figura 10.24** $n = 4$, atunci se obține o curbă excentrică spirală, ca toate excentricile evolventice, dar, de această dată, de forma unor inimi ce se cuprind și se succed la infinit.

10.15.2 CURBELE LUI GOGU CONSTANTINESCU ÎN FORMĂ DE INIMI

S-au denumit aceste curbe “**Inimile Gogu Constantinescu**”, care sunt diferite de cardioide. Ecuațiile parametrice ale inimilor **Gogu Constantinescu (Fig.10.24)**, sunt



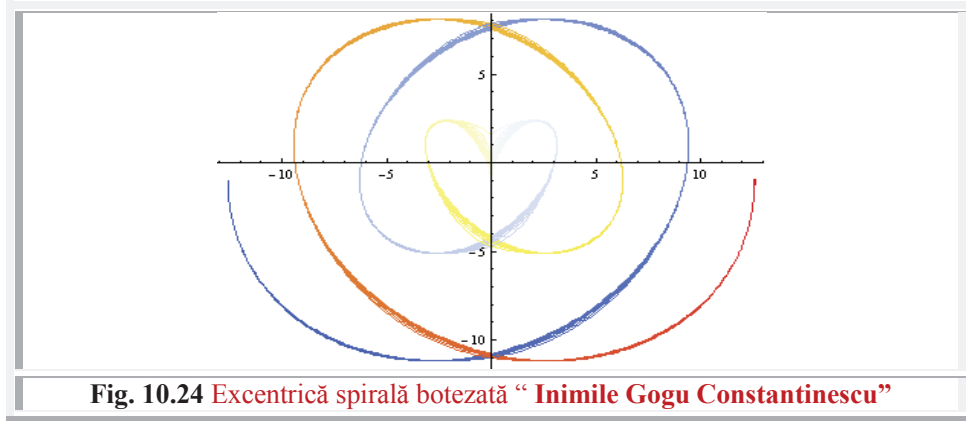


Fig. 10.24 Excentrică spirală botezată “**Inimile Gogu Constantinescu**”

$$(10.40) \quad \begin{cases} x = -\sin[\theta - \arcsin(s \cdot \sin\theta)] + [\theta - \arcsin(s \cdot \sin\theta)]\cos\theta \\ y = -\cos\theta + \theta \cdot \sin\theta \end{cases}$$

sau

$$(10.40') \quad \begin{cases} x = -s \cdot e^{i\theta} + a \cdot e^{i\theta} \cdot \cos\theta \\ y = -\cos\theta + \theta \cdot \sin\theta \end{cases}$$

și au fost desenate chiar într-o zi de 14 februarie, “Valentine’s day”.

10.16 EXCENTRICE SPIRALE

Sunt deosebit de variate, ca și spiralele însăși.

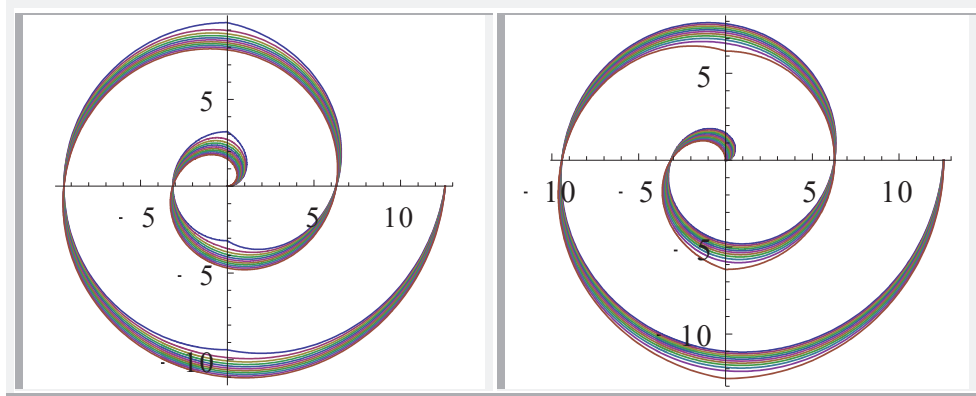
10.16.1 EXCENTRICE SPIRALE ARHIMEDICE.

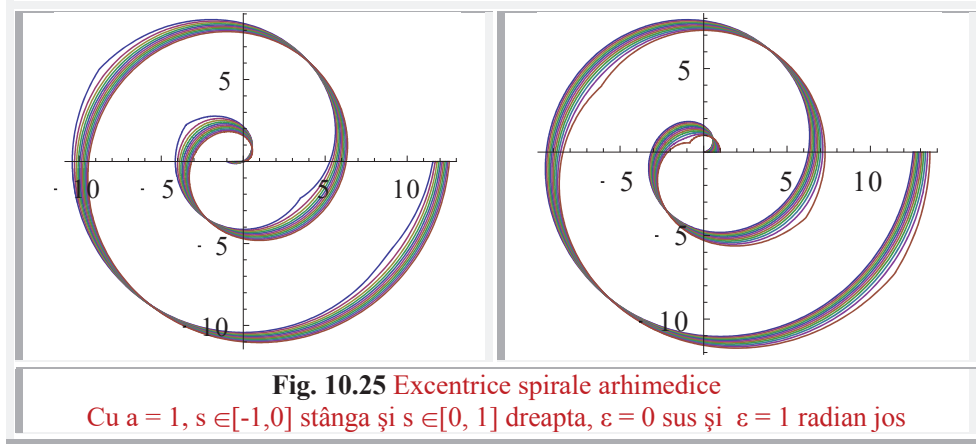
Spirala arhimedică are expresia

$$(10.41) \quad \rho = a \cdot \alpha,$$

astfel că ecuația polară a excentricei spirale arhimedice polare (**Fig. 10.25**) va fi

$$(10.42) \quad \rho = a \cdot \alpha(\theta) = a \cdot aex_{1,2}(\theta, E)$$

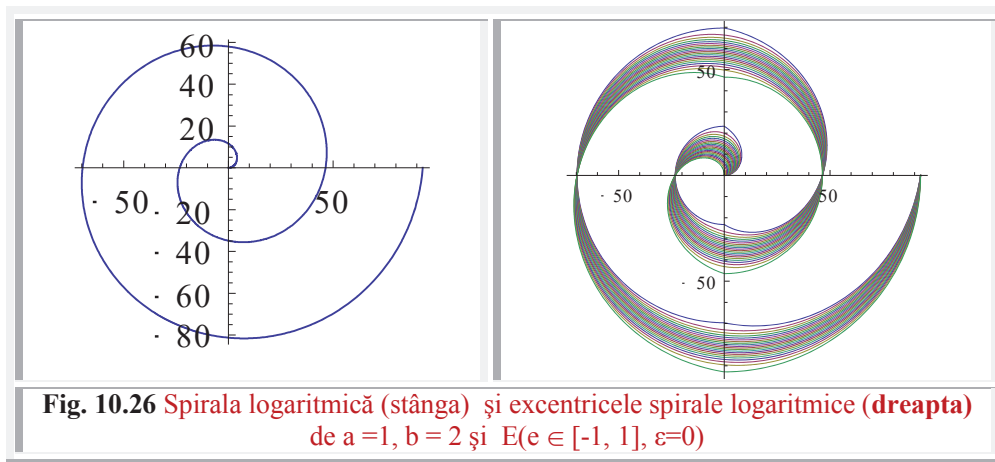




Se observa că, pe direcția ε a expulzării excentricii E din centrul $O(0,0)$, toate curbele excentrice trec prin puncte comune, care sunt situate toate pe dreapta de direcție ε cu axa x . Ele sunt pe axa x în **figurile 10.25** de sus, de $\varepsilon = 0$ și pe o dreaptă de direcție $\varepsilon = 1$ radian cu axa $x > 0$ în figurile de jos.

10.16.2 EXCENTRICE SPIRALE LOGARITMICE.

Spirala logaritmică are ecuația în coordonate polare (**Fig. 10.26**-stânga)
 (10.43) $\rho = a \cdot e^{b\alpha}$,
 aici e fiind numărul lui **Euler** ($e = 2.71828182846\dots$)



Spirala logaritmică a fost descoperită de **René Du Perron Descartes** (Renatus Cartesius -1638), botezată astfel de **P. Varignon** (1702) și studiată de **Jacques**

Bernoulli, care a constatat, în anul 1692, că are proprietatea de a fi asemenea cu ea însăși.

$$(10.44) \quad \rho = a e^{b(\theta - \arcsin [s.\sin (\theta - \varepsilon)])} = e^{b.aex\theta}$$

Ecuția excentricelor spirale logaritmice (Fig. 10.26) va fi

$$(10.44) \quad \rho = a e^{b(\theta - \arcsin [s.\sin (\theta - \varepsilon)])} = e^{b.aex\theta}$$

10.16.3 EXCENTRICE SPIRALE HIPERBOLICE.

Spirala hiperbolică are ecuația

$$(10.45) \quad \rho = \frac{a}{\alpha}$$

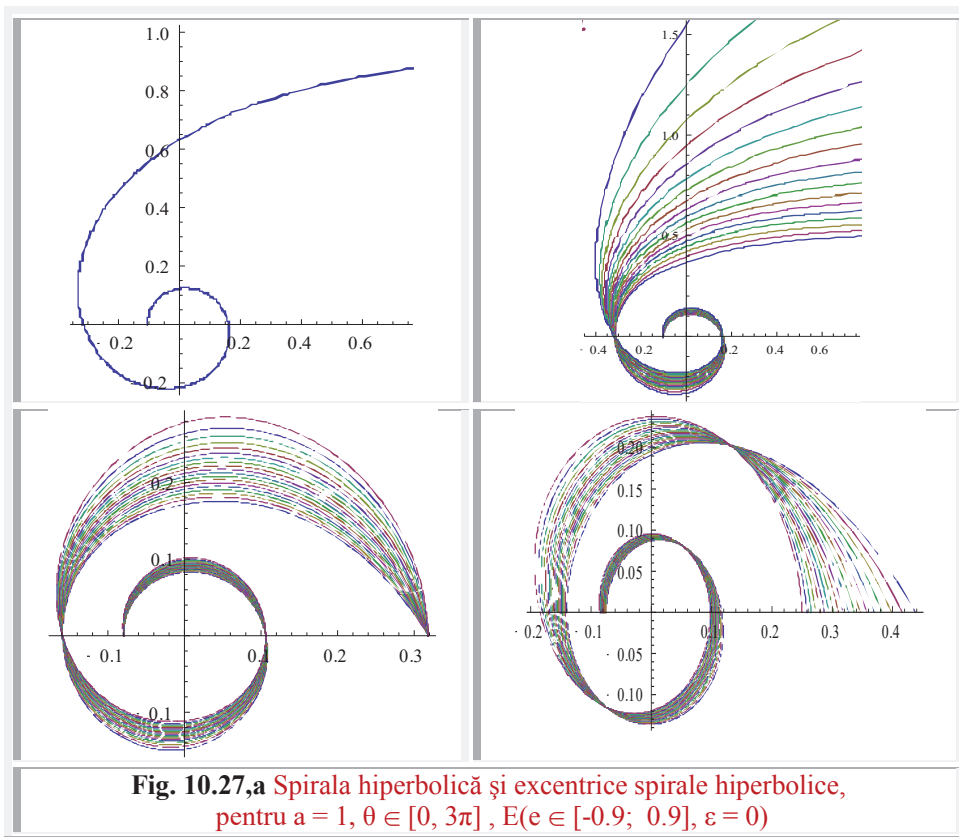
astfel că, ecuațiile excentricelor spirale logaritmice vor fi

$$(10.46) \quad \rho_1 = \frac{a}{\alpha_1} = \frac{a}{\theta - \arcsin [s.\sin (\theta - \varepsilon)]} = \frac{a}{aex_1\theta}$$

reprezentate în **figura 10.27,a sus-dreapta** și a doua determinare, de indice 2 este

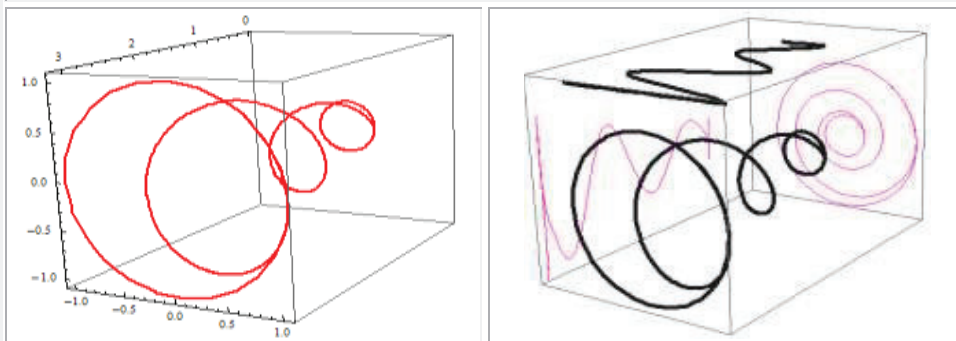
$$(10.47) \quad \rho_2 = \frac{a}{\alpha_2} = \frac{a}{\theta + \pi - \arcsin [s.\sin (\theta - \varepsilon)]} = \frac{a}{aex_2\theta}$$

cu graficele din **figura 10.27,a jos**.



ELICEA SUPERMATEMATICĂ

```
ParametricPlot3D[{{0.3 Cos[t] Exp[0.2 (0.25 t-ArcSin[1 Sin[0.25 t]])], 0.3 Sin[t] Exp[0.2 (0.25 t-ArcSin[1 Sin[0.25 t]])], 0.5 (0.25 t-ArcSin[1 Sin[0.25 t]])}}, {t,0,26}]
```



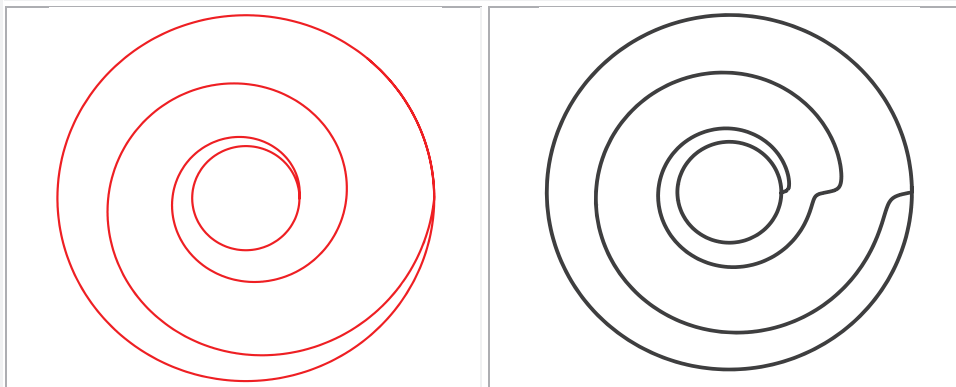
Cu **FSM-CE** amplitudine excentrică ($aex\theta$) de variabilă excentrică θ , de excentricitate numerică liniară $s = 1$ și unghiulară $\varepsilon = 0$

$$\begin{cases} x = 0,3\cos\theta \cdot e^{0,2.aex\frac{\theta}{4}} S(s=1,\varepsilon=0) \\ y = 0,3\sin\theta \cdot e^{0,2.aex\frac{\theta}{4}} S(s=1,\varepsilon=0) \\ z = 0,5.aex\frac{\theta}{4} S(s=1,\varepsilon=0) \end{cases}$$

SPIRALĂ SUPERMATEMATICĂ

```
PolarPlot[0.3 Exp[0.2 (t/4-ArcSin[ Sin[t/4]])], {t,0,10 Pi}]
```

```
ParametricPlot[{{0.3 Cos[t] Exp[0.2(0.25t-ArcSin[1Sin[0.25 t]])], 0.3Sin[t] Exp[0.2 (0.25t-ArcSin[1 Sin[0.25 t]])]}}, {t,0,26}]
```



$$\begin{cases} x = 0,3\cos\theta \cdot e^{0,2.aex\frac{\theta}{4}} S(s=1,\varepsilon=0) \\ y = 0,3\sin\theta \cdot e^{0,2.aex\frac{\theta}{4}} S(s=1,\varepsilon=0) \end{cases}$$

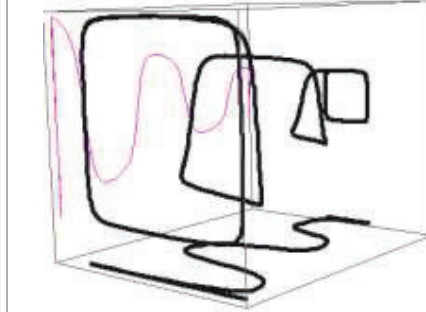
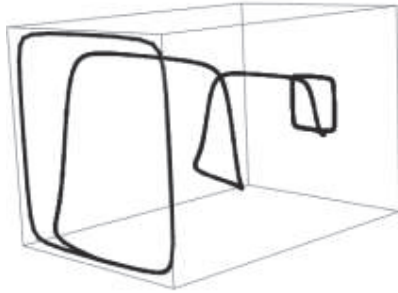
$$\begin{cases} x = 0,3cex[\theta,S(0,98;0)] \cdot e^{0,2.aex\frac{\theta}{4}} S(s=1,\varepsilon=0) \\ y = 0,3sex[\theta,S(0,98;0)] \cdot e^{0,2.aex\frac{\theta}{4}} S(s=1,\varepsilon=0) \end{cases}$$

Ecuatii parametrice în 2D cu **FSM-CE** amplitudine excentrică $aex\theta$

www.supermathematica.com ; www.supermatematica.ro

SPIRALĂ SPECIALĂ PĂTRATĂ

ParametricPlot3D[{{(0.3 Cos[t]/Sqrt[1-(0.9 Sin[t])^2]) Exp[0.2 (0.25 t-ArcSin[1 Sin[0.25 t]])], (0.3 Sin[t]/Sqrt[1-(0.9 Cos[t])^2]) Exp[0.2 (0.25 t-ArcSin[1 Sin[0.25 t]])], 0.5 (0.25 t-ArcSin[1 Sin[0.25 t]])}},{t,0,26}]

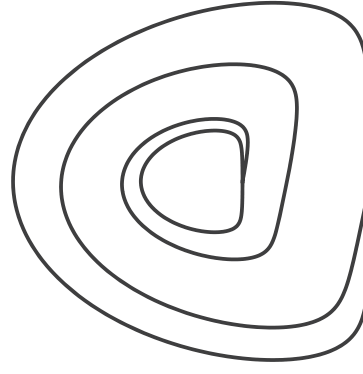
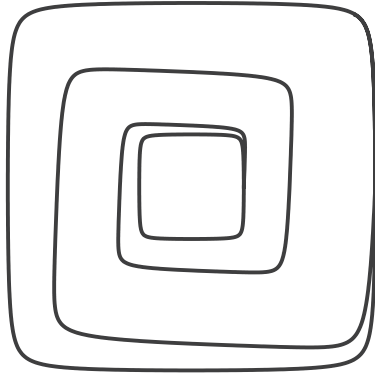


$$\begin{cases} x = 0,3coq[\theta, S(s = 0,9, \varepsilon = 0)].e^{0,2.aex[\frac{\theta}{4}, S(s=1,\varepsilon=0)]} \\ y = 0,3siq[\theta, (s = 0,9, \varepsilon = 0)].e^{0,2.aex[\frac{\theta}{4}, S(s=1,\varepsilon=0)]} \\ z = 0,5.aex[\frac{\theta}{4}, S(s = 1, \varepsilon = 0)] \end{cases}$$

SPIRALE SUPERMATEMATICE

de excentricitate numerică s = 1, în care FCC cosθ și sinθ sunt înlocuite cu FSM cvadrilobe cosinus coqθ și sinus siqθ cvadrilobe (în engleză quadrlobics*)

ParametricPlot[{{(0.3 Cos[t]/Sqrt[1-(0.9 Sin[t])^2]) Exp[0.2 (0.25 t-ArcSin[1 Sin[0.25 t]])], (0.3 Sin[t]/Sqrt[1-(0.9 Cos[t])^2]) Exp[0.2 (0.25 t-ArcSin[1 Sin[0.25 t]])]}},{t,0,26}]



$$\begin{cases} x = 0,3coq[\theta, S(s = 0,9, \varepsilon = 0)].e^{0,2.aex[\frac{\theta}{4}, S(s=1,\varepsilon=0)]} \\ y = 0,3siq[\theta, (s = 0,9, \varepsilon = 0)].e^{0,2.aex[\frac{\theta}{4}, S(s=1,\varepsilon=0)]} \end{cases} \begin{cases} x = 0,3cex[\theta, S(s = 0,9, \varepsilon = 0)].e^{0,2.aex[\frac{\theta}{4}, S(s=1,\varepsilon=0)]} \\ y = 0,3sex[\theta, (s = 0,5, \varepsilon = 0)].e^{0,2.aex[\frac{\theta}{4}, S(s=1,\varepsilon=0)]} \end{cases}$$

*

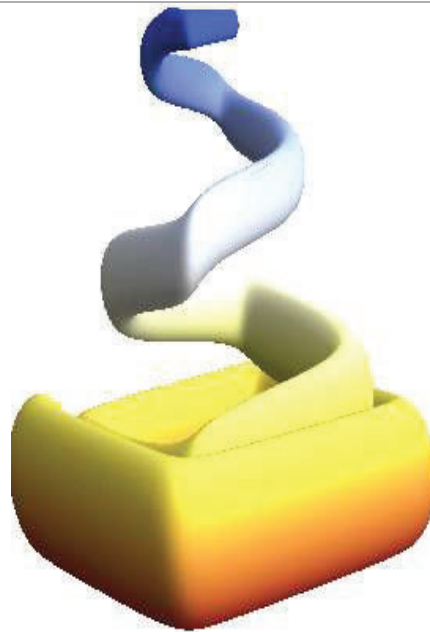
Șelariu
Mircea
Eugen

QUADRILOBIC
VIBRATION SYSTEMS

The 11-th International Conference on Vibration
Engineering, Timișoara, Sept.27-30, 2005 pag.77...82

www.supermatematica.com ; www.supermatematica.ro

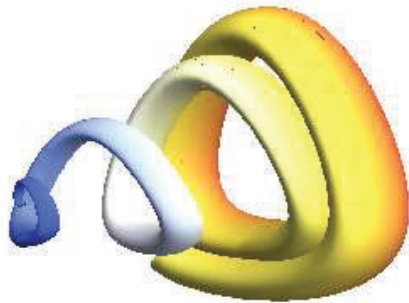
ELICE SUPERMATEMATICE



```
ParametricPlot3D[{1/13 (2 t) Cos[t] (5+Cos[(2 π t)/13+u]), 1/13 (2 t) Sin[t] (5+Cos[(2 π t)/13+u]), 8 (0.25 t+1/13 0.3 (2 t) Sin[(2 π t)/13+u]-ArcSin[Sin[0.25 t]])}, {t, 0, 26}, {u, 0, 2π}]
```

CIRCULARĂ

PĂTRATĂ



$s_x = 0,4; s_y = 0; s_z = 0,25$ ◀ **TRIUNGHILARE** ▶ $s_x = 0,9; s_y = 0; s_z = 0,25$

```
ParametricPlot3D[{1/13 (2 t) Cos[t-ArcSin[0.9 Sin[t]]] (5+Cos[(2 π t)/13+u]), 1/13 (2 t) Sin[t] (5+Cos[(2 π t)/13+u]), 8 (0.25 t+1/13 0.3 (2 t) Sin[(2 π t)/13+u]-ArcSin[Sin[0.25 t]])}, {t, 0, 26}, {u, 0, 2π}]
```

www.supermatematica.com ; www.supermatematica.ro

ARCURI SPIRALE DE SECȚIUNI DIVERSE

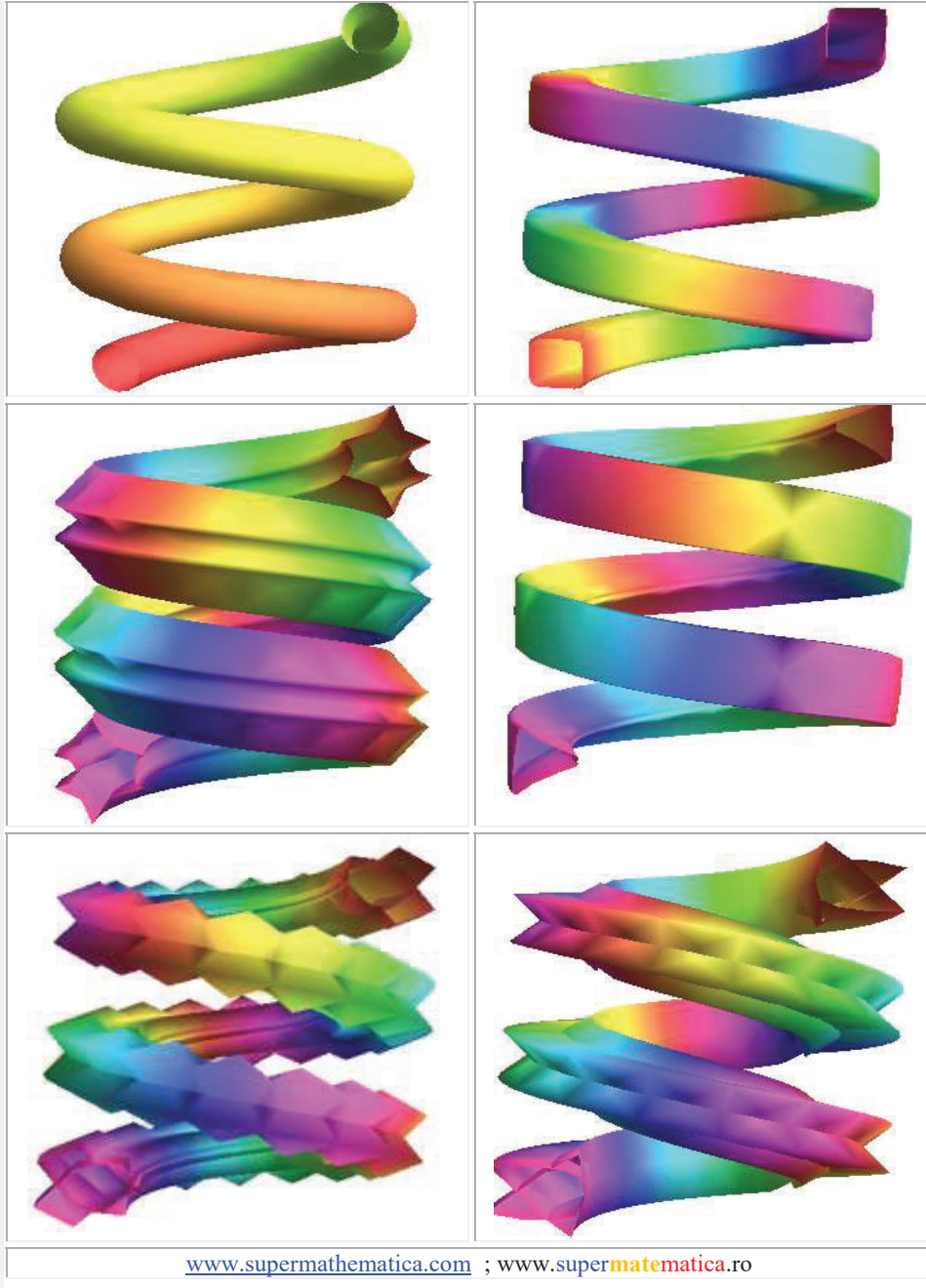




Figura din stânga jos are $\varepsilon_2 = 0$ iar cea din dreapta –jos are $\varepsilon_2 = 1$. Pe direcțiile lui ε se situează toate punctele comune de intersecție ale excentricelor de diverse excentricități.

Excentricele spirale de excentre variabile au forme deosebit de variate și de interesante, care frizează esteticul. Însă, spiralele care aduc forme și proprietăți eminamente noi, în matematică, sunt **spiralele supermatematice**, la care, punctul curent al spiralei se rotește de $2n$ ori pe o orbită, apoi prin alte $2n$ rotații, pe spirale propriu-zuse, sare pe orbita următoare, fenomenul repetându-se nedefinit.

O serie de elice și spirale au fost prezentate în **figura 10.27,b**

10.17 EXCENTRICE CICLOIDALE

Cicloida (gr. Kiklos = roată, eidos = aspect), amintită pentru prima dată de *Aristotel*, a fost introdusă în matematică de **Galileo Galilei** (1640).

Din punct de vedere mecanic, o cicloidă este generată de un punct **excentric** $E(e = a)$, evident, față de centrul cercului $C(O_r, r)$, sau față de axa unei roți de rază r , când cercul (roata) se rostogolește, fără alunecare, pe o dreaptă.

Acestea sunt cicloidele **clasice**, care, în funcție de poziția excentrului E , pot fi

1. $e = a = r \rightarrow s = 1 \rightarrow$ comune (propriu-zise)
2. $e = a < r \rightarrow s < 1 \rightarrow$ scurtate
3. $e = a > r \rightarrow s > 1 \rightarrow$ alungite

Dar curba poate fi, în general, oarecare și, în cazul în care este tot un cerc $K(O_R, R)$, cercul care se rostogolește pe el va fi $C(O_r, r)$, iar cicloidele pot fi clasificate în

- **Epicycloide**, dacă C se rostogolește, fără alunecare pe exteriorul cercului K . **Cardioida** este o epicycloidă de $r = R \rightarrow e = a = r = R \rightarrow s = 1$;
- **Hipocycloide**, dacă C se rostogolește, fără alunecare, pe partea interioară a cercului K .

Astroida este o astfel de hipocycloidă, obținută pentru $R = 4r \rightarrow e = a = r = \frac{3}{4}R \rightarrow s = \frac{3}{4} = 0,75$.

Oricare dintre acestea, la rândul lor, pot fi propriu-zise, scurtate sau alungite, ca și în cazul precedent, al cicloidelor clasice.

Din punct de vedere tehnologic, obținerea unor suprafețe complexe, de formă triunghiulară, pătratică, pentagonală, hexagonală ș.a., ca și curbe epicyclice, hipocyclice, dar și ca pericyclice, precum și a suprafețelor de formă de elipsă, cardioidă, sau melcul lui **Pascal**, ovale, nefroida lui **Cristian Huygens** ș.a. se pot realiza prin directoare și/sau generatoare cinematice, așa cum sunt prezentate pe larg de autor în tratatul [**Sanda-Vasii Roșculeț, Mircea Șelariu** ș.a, **PROIECTAREA DISPOZITIVELOR**, în Cap.17. **DISPOZITIVE DE PRELUCRARE** (pag. 474...664)].

Toate poligoanele obținute pe cale pur mecanică (**cinematică**), așa cum se indică în această lucrare de dispozitive de prelucrare, au laturile ușor rotunjite și colțurile rotunjite pronunțat/proeminent și nu sunt poligoane perfecte, ca cele obținute, pentru $s = 1$ cu ajutorul **FSM-CE**, așa cum se arată în prezenta lucrare în cele două volume.

Funcțiile noi, supermatematice pot contribui, însă, esențial, la realizarea traiectoriilor complexe ale directoarelor și/sau generatoarelor **programate** pentru generarea unor suprafețe complexe. În acest mod, suprafețele complexe, astfel obținute, sunt, teoretic, exacte.

Oricum, **FSM-CE** pot programa exact, în principiu, orice tip de suprafață, inclusiv pe acelea care, până de curând, adică, până la apariția noii matematici excentrice (**ME**) și a **FSM**, erau considerate **suprafețe nematematice**.

Practic, însă, intervin eroriile de prelucrare, inerente în toate sistemele tehnologice, ca și în oricare alt sistem tehnic, nu și în sistemele matematice.

Ca urmare, programarea oricărei suprafețe complexe, acum, cu ajutorul **FSM**, poate fi realizată exact, nu, însă, și execuția prin prelucrarea mecanică a acestora.

Considerăm că, prin cele prezentate până acum, în această lucrare, rezultă suficient de clar contribuțiile vaste (infinite) pe care **supermatematica (SM)** le aduce în lărgirea domeniului suprafețelor matematice, prin înglobarea multor suprafețe, anterior, considerate nematematice.

Fie și numai pentru acest lucru, lucrarea își justifică existența, merită să fie citită, înțeleasă și aplicată în multitudinea de domenii în care matematica s-a aplicat și până în prezent, ca și în altele, în care s-a implicat mai puțin.

Subliniind, totodată, importanța noilor componente de matematică, nu numai pentru domeniul matematic, ci, poate, mult mai important, în domeniul științei și a tehnologiei, în general și al tehnologiei informatice și în domeniul tehnologiei construcțiilor de mașini (**TCM**), în special.

Pentru facilitarea programării mașinilor – unelte, cu comandă numerică de conturare (**CNC**), s-a dat o extindere mai pronunțată acestui capitol, în general și excentricelor cicloidală, în special. Cu atât mai mult, cu cât, prin imaginarea unor cicloide cu **alunecare controlată** pot fi concepute și realizate dispozitive și/sau mașini – unelte complet noi, așa cum au apărut dispozitivele și mașinile – unelte pe principii complet noi ale hexapodului.

10.17.1 HEXAPODUL

Prezentat în (Fig.10.28) este o platformă, numită și platformă **Gough-Stewart**, universal localizabilă și universal orientabilă -deci, universal poziționabilă (**poziționarea = localizare U orientare**) – spațial, adică, în 3D - cu cinematică paralelă.

Ea este susținută de șase picioare telescopice, acționate de motoare. Motoarele pot fi electrice liniare, sau rotative și cu transformarea rotațiilor în translații prin șuruburi cu bile de mare precizie.

Pot fi acționate și cu motoare hidraulice liniare, pentru sarcini mari.

Pentru precizii mai reduse, dar viteze de execuție mai mari (simulatoare de zbor), pot fi acționate și cu motoare pneumatice liniare.

Numai cu ajutorul celor 6 translații ale picioarelor (extensii), platformei i se pot induce/aplica 3 mișcări de translație (notate cu X, Y, Z) și 3 mișcări de rotație (notate cu A, B, C). Prin combinarea cărora, se pot obține toate/orice pozițiile dorite ale platformei.

Ea a fost utilizată, în premieră, de **NASA**, pentru modificarea poziției telescopului spațial orbital **Hubble**. Este aplicată și la telescopul Universității Ruhr din Bochum. Apoi a fost extinsă la realizarea simulatoarelor de zbor, din domeniul aviației militare și apoi și civile, în domeniul roboților industriali (Kuka) și aplicațiile se extind vertiginos. De curând, au fost realizate dispozitive și mașini-unelte CNC pe principiul

hexapodului, la Institutul de Tehnică de Producție/Prelucrare și Automatizări (Fraunhofer IPA) din Stuttgart.



Fig. 10.28 Hexapozi ai firmei PI

Dispozitivul hexapod a fost realizat inițial de **D. Stewart** (1965) și perfecționat de Dr. **Eric Gough**.

10.17.2 TRIPODUL

Este o variantă simplificată a hexapodului, cu numai trei picioare telescopice, dispunând, în consecință, numai de mișcarea universală într-un singur plan (XOY) formată din două translații X și Y și o singură rotație C, în jurul unei axe Z, deobicei verticală, perpendiculară pe suprafața platoului central, planul XOY.

Schița de principiu este prezentată în figura 10.29, cu translație pură (a) și cu rotație pură (b).

Rotația pură, din poziția b, ca și translația pură, sau ambele simultan, cu centru O(0,0) de simetrie a ansamblului sistemului tripod, nu poate fi antamată, deoarece cele trei forțe radiale centrice, în poziția inițială, în acest caz, lucrând/acționând **toate** spre centrul O(0,0), se echilibrează. De aceea, există un sistem suplimentar, neprezentat în figură, care crează un cuplu de rotație în jurul lui O(0,0), care să ajute la amorsarea/antamarea rotației. Sensul cuplului este dictat de sensul de rotație sau de direcția de translație a platoului central.

Acest fenomen nu apare la hexapod, deoarece, la hexapod, acesta forțele nu pot lucra niciodată într-un singur plan.

Pentru realizarea unei rotații sau/și a unei translații este necesar să se determine cursele celor trei picioare (cilindri electromecanici), sau lungimile lor după efectuarea rotației, Z_{1R}, Z_{2R}, Z_{3R} , a translației Z_{1T}, Z_{2T}, Z_{3T} , sau a celor două mișcări realizate simultan Z_1, Z_2, Z_3 , cunoscându-se lungimile lor inițiale Z_{10}, Z_{20} și Z_{30} .

10.17.3 ROTAȚIA PURĂ

Cea mai simplă problemă de rezolvat este a rotației (Fig. 10.29,b). Articulațiile fixe ale tripodului se aleg drept excentre (E_1, E_2, E_3), raza cercului pe care acestea sunt dispuse constructiv, este excentricitatea e și raza pe care sunt dispuse articulațiile platoului mobil se considera raza R a cercului cu punctele $M_i, i = 1, 2, 3$.

Pozițiile inițiale, date de lungimile inițiale Z_{i0} , pot fi exprimate cu ajutorul **FSM-CE** radial excentric, de variabilă centrică α , și sunt egale toate, în modul, pentru cele 3 picioare, dacă centrul O al platoului coincide cu centrul de simetrie al tripodului.

$$(10.48) \quad Z_{i0} = -R \cdot \text{Rex} \left(\alpha_{20i}, s = \frac{e}{R}, \varepsilon_{0i} \right) = -R \sqrt{1 + s^2 - 2s \cdot \cos(\alpha_{20i} - \varepsilon_{0i})},$$

$$\text{în care} \begin{cases} \alpha_{201} = 0 = 0^0 \\ \alpha_{202} = 2 \frac{\pi}{3} = 120^0 \\ \alpha_{203} = 4 \frac{\pi}{3} = 240^0 \end{cases} \leftrightarrow \begin{cases} \theta 1 = \pi \\ \theta 2 = 5 \frac{\pi}{3} \\ \theta 3 = \frac{\pi}{3} \end{cases}, s = \frac{e}{R}$$

($i = 1, 2, 3$) iar, așa cum rezultă și din figură $\varepsilon_{0i} = \alpha_{20i} \rightarrow \cos(\alpha_{20i} - \varepsilon_{0i}) = \cos 0^0 = 1$, așa încât toate lungimile inițiale ale tripodului sunt egale între ele și egale cu

$$(10.49) \quad z_0 = -R \cdot (1-s) = e - R.$$

Prin **rotația R(O, ρ)**, adică în jurul centrului O al platoului cu unghiul ρ , lungimile celor trei "picioare" vor fi date de relația anterioară, pentru unghiurile modificate cu rotația impusă/necesară $\alpha'_{2i} = \alpha_{2i} + \rho, i = 1, 2, 3$. Datorită simetriei sistemului, și aceste lungimi vor fi egale între ele

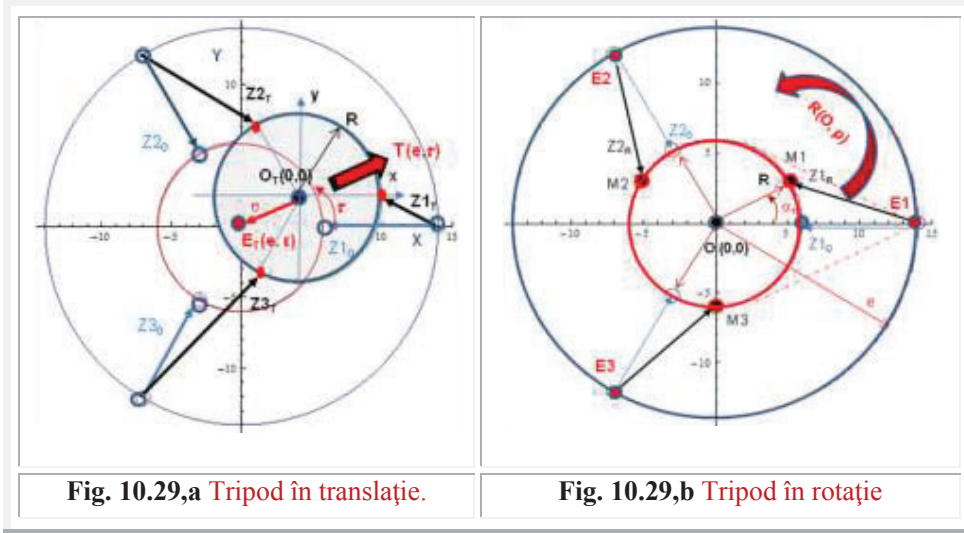


Fig. 10.29,a Tripod în translație.

Fig. 10.29,b Tripod în rotație

$$(10.50) \quad Z_{iR} = -R \cdot \text{ReX} \left(\alpha'_2 i, s = \frac{e}{R}, \varepsilon_0 i \right) = -\sqrt{1 + s^2 - 2s \cdot \cos(\alpha'_2 i - \varepsilon_0 i)},$$

$$\text{în care } \begin{cases} \alpha'_2 1 = 0 + \rho = \rho^0 \\ \alpha'_2 2 = 2\frac{\pi}{3} + \rho = 120^\circ + \rho^0, \quad s = \frac{e}{R} \text{ și egale cu} \\ \alpha'_2 3 = 4\frac{\pi}{3} + \rho = 240^\circ + \rho^0 \end{cases}$$

$$(10.51) \quad Z_R = -R \cdot \sqrt{1 + s^2 - 2s \cdot \cos \rho}, \text{ așa cum este cazul pentru punctul } M1.$$

Unghiul de rotație ρ poate fi constant, de exemplu, în cazul folosirii tripodului ca dispozitiv de poziționare, în coordonate, pentru realizarea unei scheme de găurire sau/și de filetare /tarodare a mai multor orificii.

Dacă este folosit la frezarea unor canale circulare, la o distanță a de centrul O , atunci unghiul ρ variază continuu, cu o viteză $\dot{\rho}$ impusă, de obicei constantă.

Considerând că unghiul ρ variază după legea

$$(10.52) \quad \rho = \rho_0 + a \cdot \omega,$$

atunci, tripodul se programează întâi pentru a ajunge în punctul de pornire, numai printr-o rotație inițială, în care, probabil există un orificiu, anterior realizat și în care va coborâ freza, după care se va programa rotirea continuă a platoului, în jurul centrului $O(0,0)$, cu viteza unghiulară ω , constantă sau variabilă, după caz.

Relațiile (10.52) vor fi utilizate de două ori: odată pentru rotirea cu $\rho = \rho_0$ pentru poziționarea platoului, cu piesa, în poziția inițială și, a doua oară, cu $\rho = a \cdot \omega$, ($\rho \in [\rho_i, \rho_f]$) pentru acționarea platoului cu piesă (rotirea piesei) în vederea frezării ei.

În acest caz, avem de-a face cu **FSM-CE** de excentru variabil.

Evident că, unghiul de rotire a platoului nu poate fi mai mare decât unghiul maxim admis prin construcția tripodului și este limitat de interferența tijelor (“picioarelor”) tripodului, fiind destul de redus.

De ce s-a ales a doua determinare, de indice 2, a **FSM-CE** radial excentric, în aceste două relații ? Pentru că, dreapta generatoare d_i^+ , definită de punctele **Ei Mi**, intersectează cercul **C(O,R)** în două puncte. Dintre care, **M_{1i}**, neprezentat în figură, se rotesc pe C în sens trigonometric pozitiv, la rotația drepteii în același sens. Pe când, cele reprezentate în figură (**M_{2i}**) – fără indicele 2 - se rotesc pe C(O,R) în sens trigonometric negativ ($- \rightarrow$ Sinistrorum/dextrogin) la rotațiile cu unghiul θ_i , în jurul excentrelor **Ei**, în sens trigonometric pozitiv ($+ \rightarrow$ sinistrorum/dextrogin) a drepteii d^+ .

Se poate urmări pe figură că, acest lucru, este valabil pentru toate punctele **Mi**, din toate excentrele **Ei**, deoarece, prin rotirea platoului, toate unghiurile θ_i , în jurul excentrelor **Ei**, se micșorează.

10.17.4 TRANSLAȚIA PURĂ

Este notată **T(e,τ)**, și se determină în două faze. A nu se confunda această excentricitate de “translație” ($- e = e_T$), eglă cu amplitudinea translației, care este variabilă, în funcție de cerințele impuse translației, cu cea anterioară de “rotație” ($e = e_R = \text{constant}$).

În prima fază, se determină razele $R_i = E_T M_i$ cu ajutorul, **FSM-CE** radial excentric, de variabilă centrică α_i , pe cercul C(O,R), care vor fi considerate, ulterior, ca raze ale unor cercuri, nefigurate în desen, în faza a doua.

Ele sunt

$$(10.52) \quad R_i = R \cdot \text{Rex}(\alpha_{10i}, e, \varepsilon = \tau + \pi) = R \cdot \text{Rex}(\alpha_{10i}, -e, \varepsilon = \tau),$$

ținând cont de echivalența $(e, \varepsilon = \tau + \pi) \Leftrightarrow (-e, \varepsilon = \tau)$

Se observă că, în acest caz, se va uza de prima determinare, de indice 1, a **FSM-CE** ($\text{Rex}\alpha_1$), deoarece, la rotirea dreptelor generatoare d^+ , în jurul unicului excentru central E_T , în sens pozitiv și punctele M_i se rotesc în același sens pe cercul C(O_T, R).

Astfel

$$(10.53) \quad R_i = R \cdot \sqrt{1 + s^2 - 2 \cdot s \cdot \cos \alpha_{10i}}, \text{ în care, } s = \frac{e}{R} = \frac{e_T}{R} \text{ și } \alpha_{10} = \alpha_{20} \text{ din}$$

$$(10.48), \text{ adică, } \alpha_{101} = 0, \quad \alpha_{102} = 2 \frac{\pi}{3} = 120^\circ, \quad \alpha_{103} = 4 \frac{\pi}{3} = 240^\circ.$$

În continuare, se pot calcula unghiurile la excentrul **E_T**, $\theta_i(\alpha_{10i})$, cu relațiile cunoscute

$$(10.54) \quad \theta_i = \alpha_{10i} + \beta_{1i} = \alpha_{10i} + \arcsin \frac{s \cdot \sin(\alpha_{10i} - \varepsilon)}{\text{Rex}(\alpha_{10i}, E_i(s, \varepsilon))} = \\ = \alpha_{10i} + \arcsin \frac{s \cdot \sin(\alpha_{10i} - \varepsilon)}{\sqrt{1 + s^2 - 2s \cdot \cos(\alpha_{10i} - \varepsilon)}}$$

și se poate trece la faza a doua.

În această a doua fază, se consideră trei cercuri **C_i(E_T, R_i)**, nefigurate în desen, toate având centrul comun în **E_T** și de raze R_i , determinate în faza anterioară.

Articulațiile fixe **E_i**, aceleași ca la rotație, se consideră din nou excentre și lungimile “picioarelor” Z_{iT} după translație vor fi calculate ca raze vectoriale din **E_i** la punctele M_i (nefigurate în desen, ele fiind articulațiile dintre platoul mobil și cele 3 “picioare” / tije de acționare) de pe cercul C(O,R), figurat în desen.

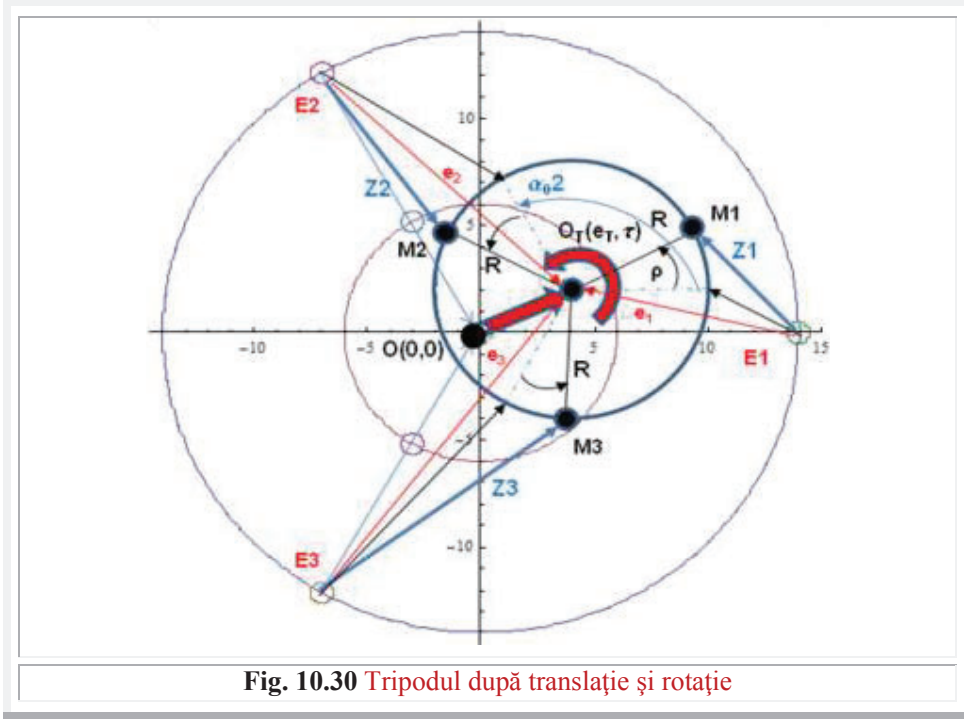


Fig. 10.30 Tripodul după translație și rotație

Translația fiind considerată pură, platoul nu se rotește, astfel ca unghiurile α_{10i} , din O_T , sub care se văd articulațiile rămân neschimbate. Ca urmare $s_i = \frac{e_T R}{R_i}$ și

$$(10.55) \quad \begin{aligned} Z_{iT} &= R_i \cdot \text{rex}_i [\theta_i, \mathbf{E}i(s_i, \varepsilon_i = \alpha_{10i})] = \\ &= R_i [-s \cos(\theta_i - \varepsilon_i) + \sqrt{1 - s_i^2 \cdot \sin^2(\theta_i - \varepsilon_i)}]. \end{aligned}$$

Problema determinării lungimii “picioarelor” tripodului, după o translație pură, poate fi rezolvată și vectorial știind că

$$(10.56) \quad \vec{Z}_{iT} = \vec{Z}_{0i} + \vec{T}, \text{ în care s-a notat cu } \vec{T} \text{ vectorul de translație.}$$

Scriind teorema lui Pitagora generalizată, care este aceeași cu funcția $\text{Rex}\alpha$ de variabilă centrică.

În acest caz, se consideră articulațiile mobile, ale platoului, ca centre ale unor cercuri $C_i(M_i, e_T)$ cu centrele în articulațiile mobile ale platoului M_i și de aceeași raze, egale toate cu lungimea cursei de translație e_T , translația (pură) fiind aceeași pentru toate punctele platoului.

Unghiurile γ_i dintre cei doi vectori cunoscuți sunt:

$$(10.57) \quad \begin{cases} \gamma_1 = \tau \\ \gamma_2 = \pi - \frac{\pi}{3} - \tau = 2\frac{\pi}{3} - \tau \\ \gamma_3 = \pi - \frac{\pi}{3} + \tau = 2\frac{\pi}{3} + \tau \end{cases}$$

și lungimile necesare picioarelor pentru translația $T(e, \tau)$ sunt

$$(10.58) \quad \begin{cases} Z_1 = e \cdot \text{Rex}(\gamma_1, Z_{1_0}/e) = \sqrt{e^2 + Z_{1_0}^2 - 2 \cdot e \cdot Z_{1_0} \cdot \cos \gamma_1} = e \sqrt{1 + \left(\frac{Z_{1_0}}{e}\right)^2 - 2 \frac{Z_{1_0}}{e} \cos \gamma_1} \\ Z_2 = e \cdot \text{Rex}(\gamma_2, Z_{2_0}/e) = \sqrt{e^2 + Z_{2_0}^2 - 2 \cdot e \cdot Z_{2_0} \cdot \cos \gamma_2} = e \sqrt{1 + \left(\frac{Z_{2_0}}{e}\right)^2 - 2 \frac{Z_{2_0}}{e} \cos \gamma_2} \\ Z_3 = e \cdot \text{Rex}(\gamma_3, Z_{3_0}/e) = \sqrt{e^2 + Z_{3_0}^2 - 2 \cdot e \cdot Z_{3_0} \cdot \cos \gamma_3} = e \sqrt{1 + \left(\frac{Z_{3_0}}{e}\right)^2 - 2 \frac{Z_{3_0}}{e} \cos \gamma_3} \end{cases}$$

în care, lungimile inițiale Z_{i_0} , aceleași pentru toate picioarele, pe care le notăm cu z_0 , sunt considerate excentricități reale, iar împărțite cu razele e sunt excentricitățile numerice.

Notând raportul $\frac{z_0}{e} = s_0$, care este excentricitatea numerică, rezultă

$$(10.58') \quad Z_i = e \cdot \text{Rex}(\gamma_i, s_0, \varepsilon = 0) = e \cdot \sqrt{1 + s_0^2 - 2s_0 \cos \gamma_i}$$

Dacă viteza de translație a platoului nu are importanță, translația fiind de poziționare și nu o mișcare de prelucrare, atunci e se poate considera o constantă, nefiind important cum se ajunge dintr-o poziție a platoului în alta.

Dacă, în schimb, deplasarea pe direcția τ , a translației, trebuie să se execute cu o viteză V bine determinată ($e = V \cdot t$), de condițiile tehnologice de prelucrare, atunci în relațiile (10.58') se va considera raza e și excentricitatea numerică $s_0 = z_0/e$ în consecință, adică, variabilă și, din relațiile anterioare, va rezulta $Z_i = Z_i(t)$.

Fiecare "picioar" al tripodului este, din punct de vedere tehnologic, o axă a unei mișcări de poziționare, în cazul unor roboți și/sau de prelucrare, în cazul unor dispozitive sau mașini-unelte.

De precizia cu care fiecare axă realizează deplasarea Z_i , depinde precizia traiectoriei ca și precizia de asigurare a vitezei prescrise pe traiectorie.

10.17.5 TRANSLAȚIA ȘI ROTAȚIA SUCCESIVĂ SAU SIMULTANĂ

Dacă, după translație, e necesară o rotație, care, deci, nu se va mai realiza în jurul centrului de simetrie al tripodului, ci în jurul centrului O_T al platoului (Fig.10.30), traslatat și el la distanțele e_{R_i} de articulațiile fixe E_i , atunci e necesar să se determine, în prealabil, aceste distanțe, pentru ca, ulterior, să se determine lungimile Z_i ale "picioarelor" după translația urmată de o rotație, adică lungimea finală a acestora.

Această situație este prezentată în figura 10.30. Excentricitățile $e_i = E_i O_T$ se pot determina tot cu FSM-CE radial excentric de variabilă centrică. Dar, să încercăm prin metodele matematicii centrice (MC) scriind distanțele e_i dintre două puncte în plan, E_i și $O_T(e_T, \tau)$, cu relația arhicunoscută

$$\begin{aligned}
 (10.59) \quad e_i &= \pm \sqrt{(x_{E_i} - x_{O_T})^2 + (y_{E_i} - y_{O_T})^2} = \\
 &= \pm \sqrt{(R_E \cdot \cos \alpha_{0i} - e_T \cdot \cos \tau)^2 + (R_E \cdot \sin \alpha_{0i} - e_T \cdot \sin \tau)^2} = \\
 &= \pm R_E \sqrt{(\cos \alpha_{0i} - s_T \cdot \cos \tau)^2 + (\sin \alpha_{0i} - s_T \cdot \sin \tau)^2} = \\
 &= \pm R_E \sqrt{1 + s_T^2 - 2 \cdot s_T \cdot \cos(\alpha_{0i} - \tau)} = \pm R_E \cdot \text{Rex}_i[\alpha_{0i}, S(s_T = e_T / R_E, \varepsilon = \tau)].
 \end{aligned}$$

Și, am ajuns din nou la **FSM-CE** radial excentric, de varioabilă centrică α_{0i} , prin care s-a dovedit, încă odată, că această **FSM-CE** nu reprezintă altceva decât distanța în plan dintre două puncte, exprimată în coordonate polare.

Cu R_E s-au notat razele polare pe care se găsesc excentrele E_i , sau raza cercului pe care sunt dispuse cele trei articulații fixe ale tripodului.

Cu e_T s-a notat deplasarea OO_T prin translația $T(e_T, \tau)$, care s-a ales și excentricitate reală, astfel că, împărțită cu raza R_E a cercului, dă excentricitatea numerică $s_T = e_T / R_T$.

Unghiurile α_{0i} sunt unghiurile sub care se văd punctele E_i din centrul $O(0,0)$, aceleași din relațiile (10.48) și reprezintă, totodată, variabilele centrice – din sau la centrul $O(0,0)$ - .

Utilizând, însă, de la bun început **FSM-CE** obținem, așa cum se poate observa, direct relația finală, scutindu-ne de calcule intermediare.

În **MC** nu există reguli pentru alegerea semnului din fața radicalului, decât faptul că o distanță trebuie să fie întotdeauna pozitivă.

Prin utilizarea **FSM-CE** $\text{Rex}_{\alpha_{1,2}}$, semnul radicalului depinde de determinarea 1 sau 2 a funcției și de poziția excentrului față de discul circular: interior sau exterior.

În cazul de față, la rotirea în jurul lui O_T a dreptei generatoare, punctele E_i se rotesc pe cercul mare, exterior, $C(O, R_E)$, în același sens. Rezultă că avem de-a face cu prima determinare, principală, de indice 1 și, în consecință, semnul din fața radicalului va fi semnul +.

În continuare, determinarea razelor polare, notate cu Z_i , ale punctelor M_i , care sunt articulațiile picioarelor cu platoul mobil, situate pe cercul $C(O_T, R)$ al platoului, după o translație și o rotație, succesive sau simultane, este o problemă de rutină.

Considerând cercul C și E_i ca excentre exterioare cercului ($e_i > R \rightarrow s_i > 1$), cele anterior determinate, și unghiurile la centrul O_T ca unghiuri la centru α_i , sau variabile centrice, în care aceste unghiuri se măresc sau se reduc cu unghiul de rotație τ al platoului

$$(10.60) \quad \alpha_i = \alpha_{0i} + \tau$$

astfel că va rezulta

$$(10.61) \quad Z_i = R \cdot \text{Rex} [\alpha_{2i}, S_i(s_i, \varepsilon_i)] = -R \sqrt{1 + s_i^2 - 2s_i \cdot \cos \alpha_i},$$

în care $s_i = \frac{e_i}{R}$ și $\varepsilon_i = \theta_i(\alpha_{0i}) = \alpha_{0i} + \beta_{0i} = \alpha_{0i} + \arcsin \frac{s_T \sin(\alpha_{0i} - \tau)}{\sqrt{1 + s_T^2 - 2s_T \cdot \cos(\alpha_{0i} - \tau)}}$ sunt unghiurile

pe care direcțiile excentricităților $e_i = O_T E_i$ la fac cu axa Ox și care, așa cum se știe de la **FSM-CE** $aex\theta$ și $Aex\alpha$, au expresiile anterioare în care sunt scrise concentrat trei expresii, pentru cele trei excentre E_i .

În concluzie, rezultă că, în cazul suprapunerii celor două mișcări, de translați și de rotație, cotele/deplasările pe cele trei axe se determina cu **FSM-CE** $R_E \cdot \text{Rex}\alpha_{2i}$ (10.61) în care excentricitatea numerică este exprimată de o altă **FSM-CE** $R \cdot \text{Rex}\alpha_{1i}$ (10.59).

Evident că soluționarea problemei programării tripodului poate fi realizată și clasic, utilizând matrici de transformare.

S-a uzat de **FSM-CE** din două motive. În primul rând, pentru a exemplifica modul de utilizare a acestor funcții la soluționarea unor probleme tehnologice destul de complexe. În al doilea rând, pentru a compara tripodul, care, ca și hexapodul, este un dispozitiv în vogă, cu un alt dispozitiv, mult mai adecvat realizării/prelucrării unor suprafețe complexe cu CNC, dispozitiv care are la bază realizarea excentricelor cicloidale.

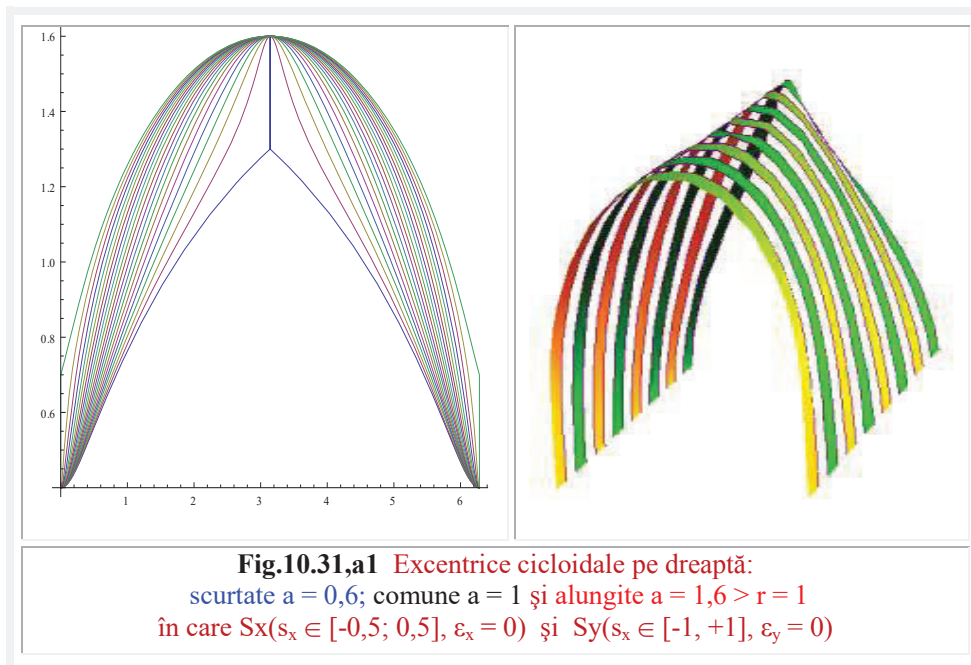
10.17.6 EXCENTRICE CICLOIDALE PE DREAPTĂ

Cicloida are ecuațiile parametrice

$$(10.62) \quad \begin{cases} x = r \cdot \alpha - a \cdot \sin \alpha \\ y = r - a \cdot \cos \alpha \end{cases}, \text{ în care } r \text{ este raza cercului discului rostogolitor,}$$

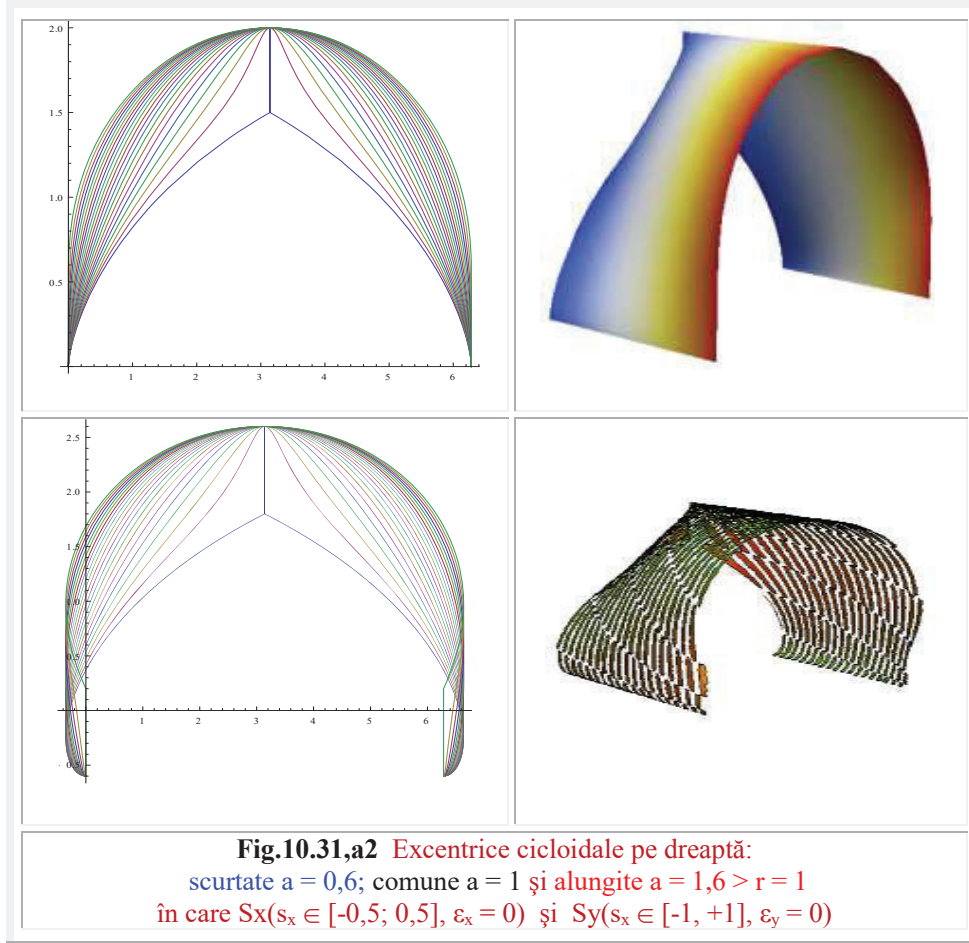
a -excentricitatea punctului M(x,y) care descrie mișcarea/curba și α -unghiul de rostogolire, fără alunecare. Atunci, excentrica cicloidală va avea ecuațiile parametrice

$$(10.63) \quad \begin{cases} x = r \cdot \theta - a \cdot \text{sex}_{1,2}\theta \\ y = r - a \cdot \text{cex}_{1,2}\theta \end{cases} \text{ sau } \begin{cases} x = r \cdot a \text{ex}_{1,2}\theta - a \cdot \text{sex}_{1,2}\theta \\ y = r - a \cdot \text{cex}_{1,2}\theta \end{cases}$$



În figura 10.31,a excentricele cicloidale au $s_x < s_y$ ($s_x = 0,5 s_y$) iar în figura 10.31,b situația este inversă: $s_x > s_y$ ($s_y = 0,5 s_x$).

Aceste arcade pot fi luate în considerare, ca forme, în domeniul arhitecturii industriale, la construcția stadioanelor acoperite și în alte domenii.



10.17.7 EXCENTRICE EPICICLOIDALE

Epicycloidele au ecuațiile parametric

$$(10.64) \quad \begin{cases} x = (R + r) \cos \alpha - a \cdot \cos \frac{R+r}{r} \alpha \\ y = (R + r) \sin \alpha - a \cdot \sin \frac{R+r}{r} \alpha \end{cases}$$

și reprezintă, așa cum se știe, curba descrisă de un punct, situat la distanța/excentricitatea a de centrul cercului mic de rază r , cerc care se rostogolește, fără alunecare, pe exteriorul cercului mare, fix, de raza R .

Și excentricele epicicloidale vor avea ecuațiile parametrice

$$(10.65) \quad \begin{cases} x = (R + r)cex_{1,2}\theta - a \cdot cex_{1,2} \frac{R+r}{r} \theta \\ y = (R + r)sex_{1,2}\theta - a \cdot sex_{1,2} \frac{R+r}{r} \theta \end{cases}$$

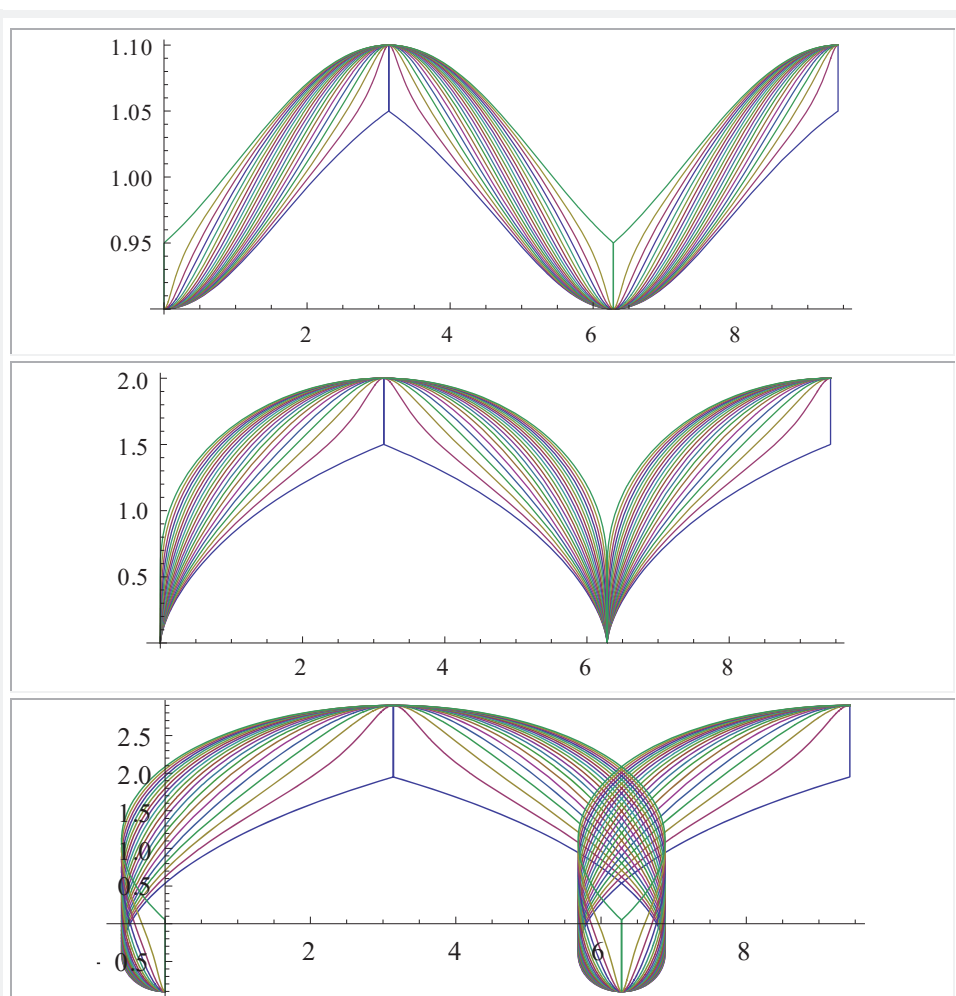
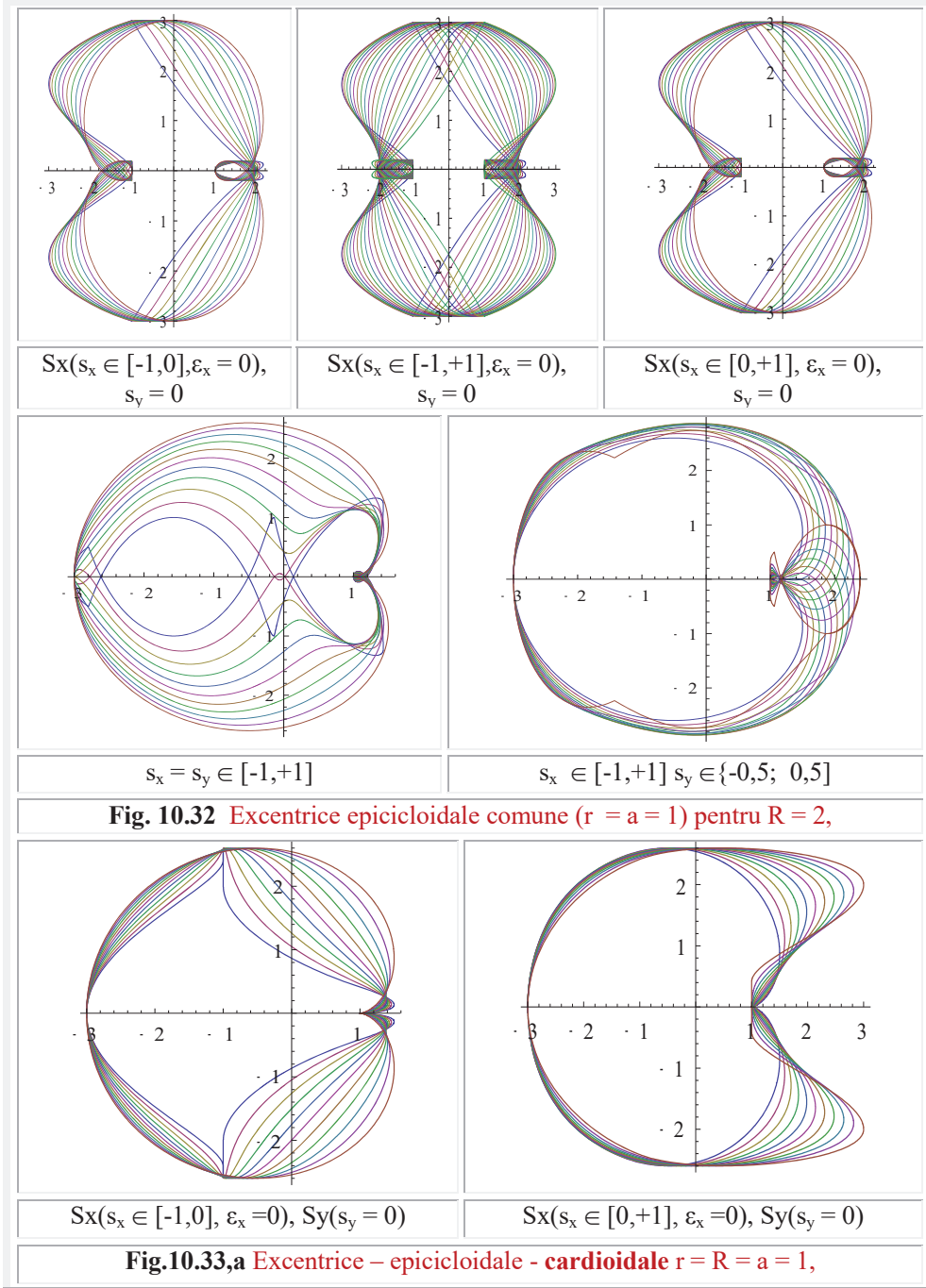
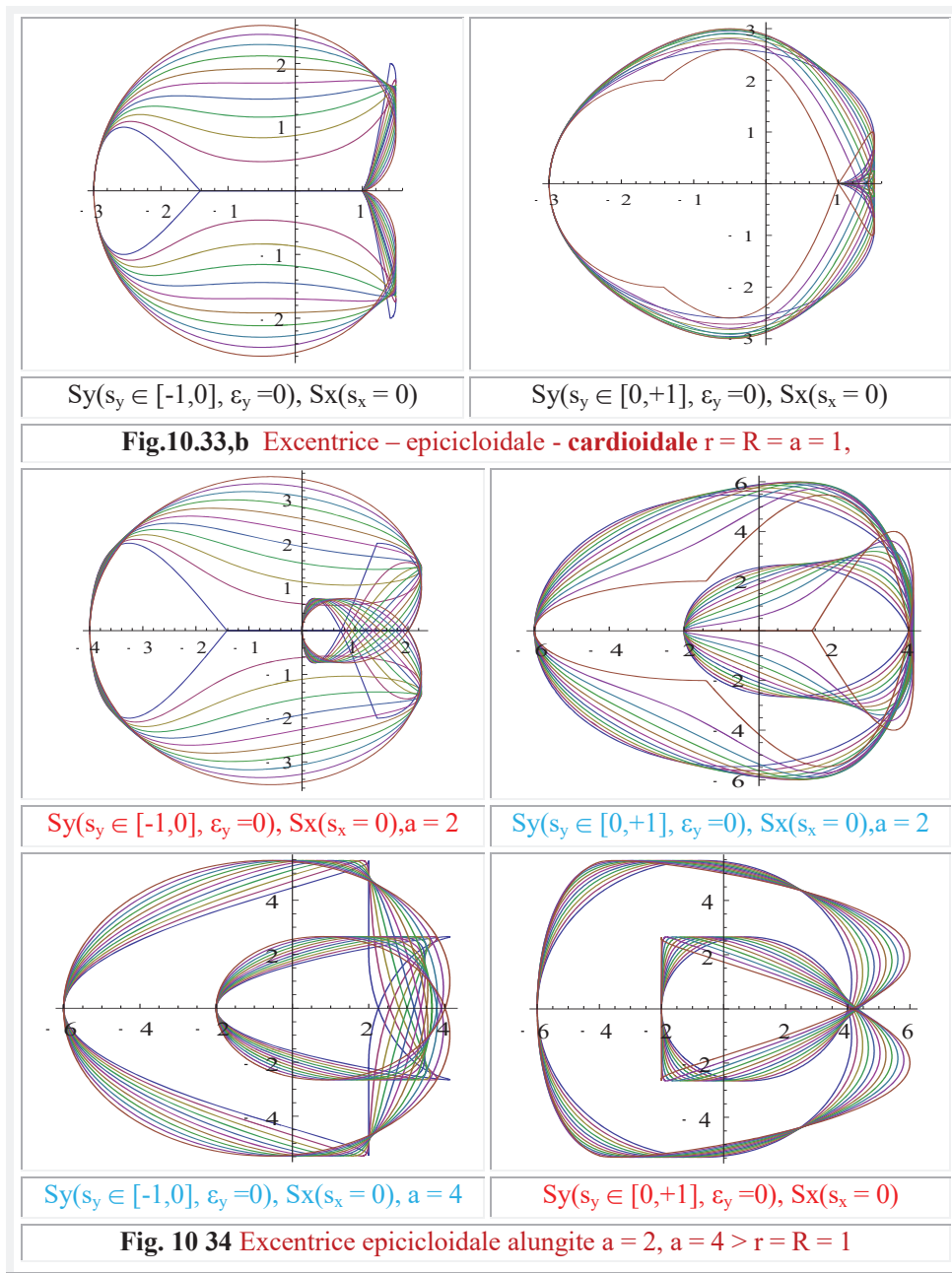


Fig.10.31,b Excentrice epicicloidale:
 scurtate $a = 0,1$; comune $a = 1$ și alungite $a = 1,9 > r = 1$
 în care $Sx(s_x \in [-1; 1], \varepsilon_x = 0)$ și $Sy(s_y \in [-0,5; +0,5], \varepsilon_y = 0)$





Excentricele epicycloidale comune ($a = r$) sunt prezentate în **figura 10.32**, cele cardioidale în **figura 10.33**, iar cele alungite în **figura 10.34**.

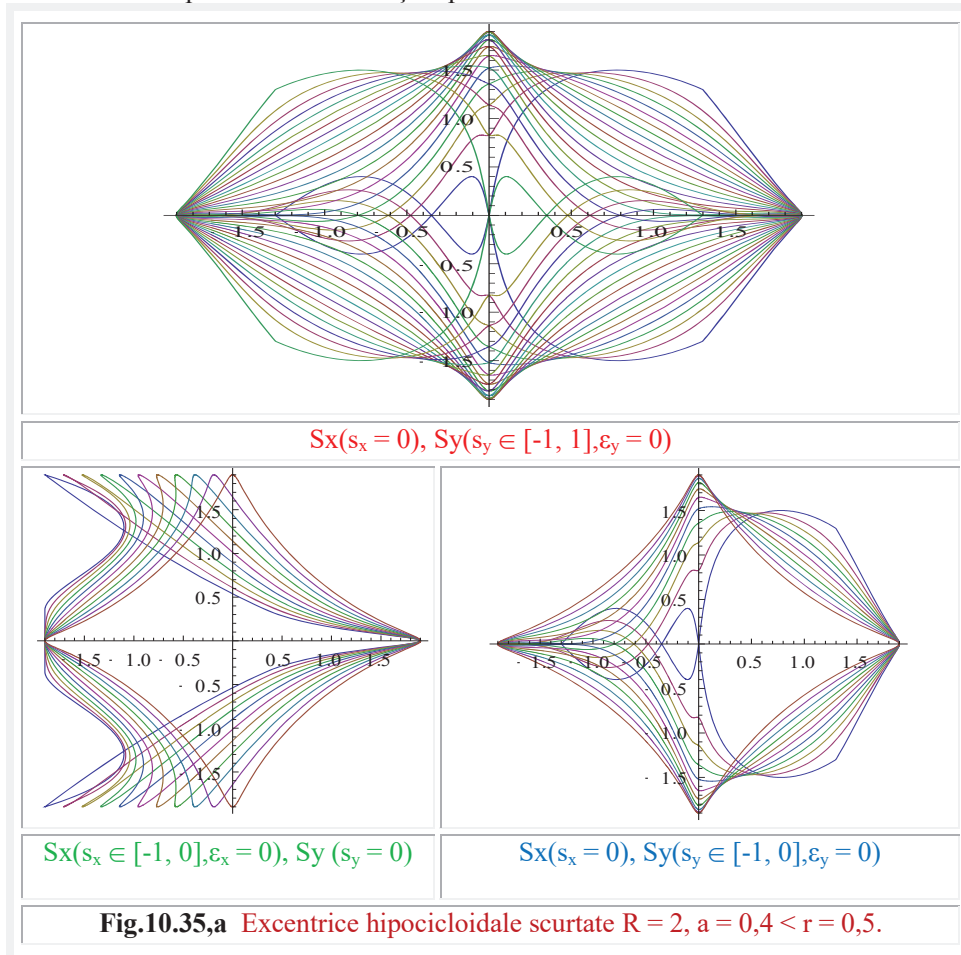
Se observă că, în toate cazurile, printre excentrice se afla și curbele centricelor cicloidale pentru $s = 0$, iar pentru $s = \pm 1$ curbele prezintă segmente de linii drepte, mai evidente în **figura 10.34** în dreapta-jos, unde este, clar, vizibil un triunghi echilateral.

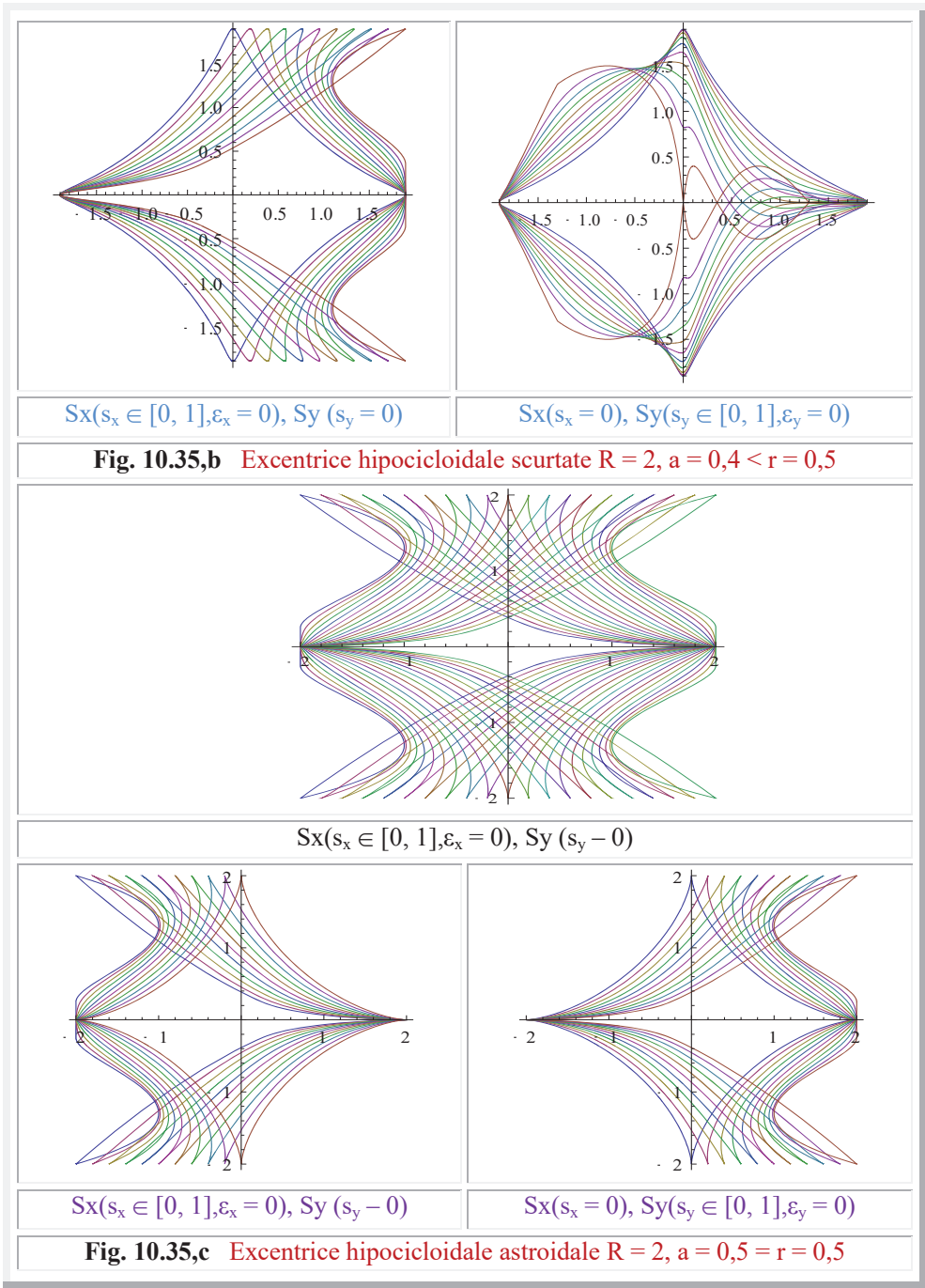
În **figura 10.33** sunt prezentate curbele excentricelor cardioidale care se obțin din ecuațiile (10.65) pentru $r = R$ și $a = r = R$, fiind excentrice epicicloidale.

10.17.8 EXCENTRICE HIPOCICLOIDALE.

Spre deosebire de epicicloidă (epi = peste), hipocicloida (hipo = sub, dedesubt) este generată, mecanic, de un punct, situat la o distanță a de centrul O al unui cerc mic $C(O_r, r)$, care se rostogolește pe interiorul cercului mare, fix, $K(O_R, R)$, fără alunecare relativă.

Dacă hipocicloida are ecuațiile parametrice



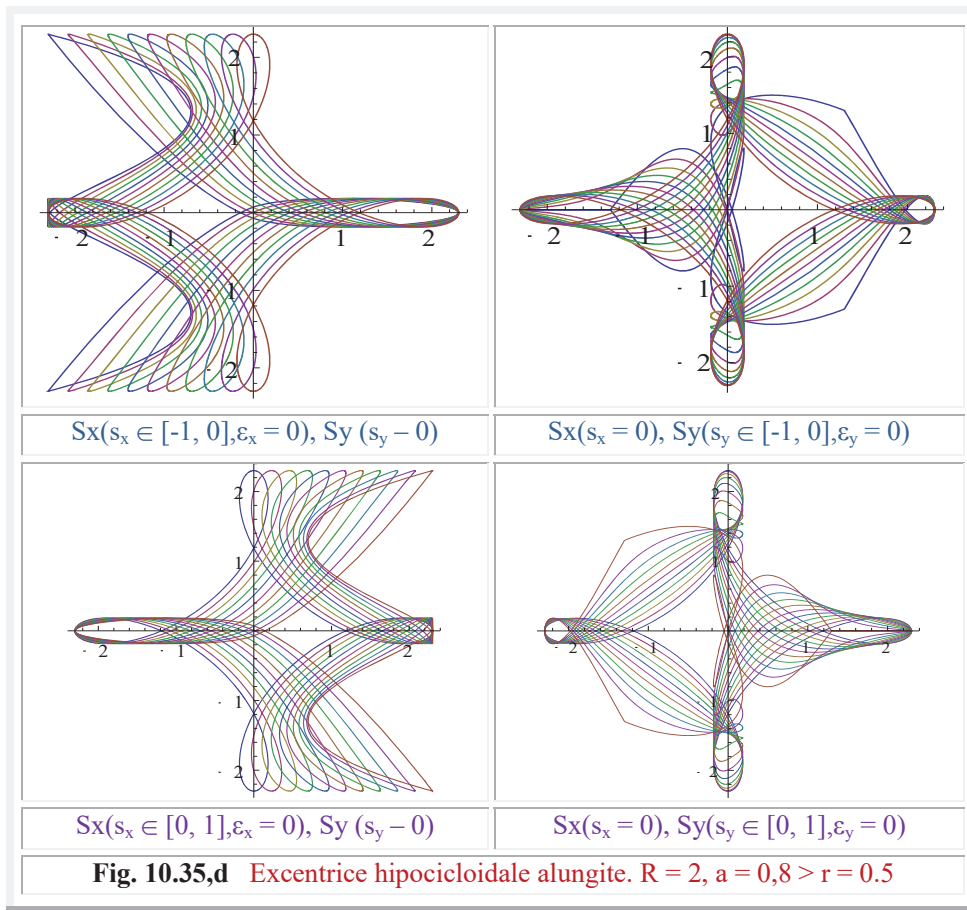


$$(10.66) \quad \begin{cases} x = (R - r)\cos\alpha + a \cdot \cos\frac{R-r}{r}\alpha \\ y = (R - r)\sin\alpha - a \cdot \sin\frac{R-r}{r}\alpha \end{cases}, \text{ atunci excentricele hipocicloidale}$$

vor avea ecuațiile parametrice

$$(10.67) \quad \begin{cases} x = (R - r)cex_{1,2}\theta + a \cdot cex_{1,2}\frac{R-r}{r}\theta \\ y = (R - r)sex_{1,2}\theta - a \cdot sex_{1,2}\frac{R-r}{r}\theta \end{cases} \text{ și familiile de curbe prezentate}$$

în **figura 10.35**: **a** și **b** → scurtate, **c** → comune, **d** și **e** → alungite.



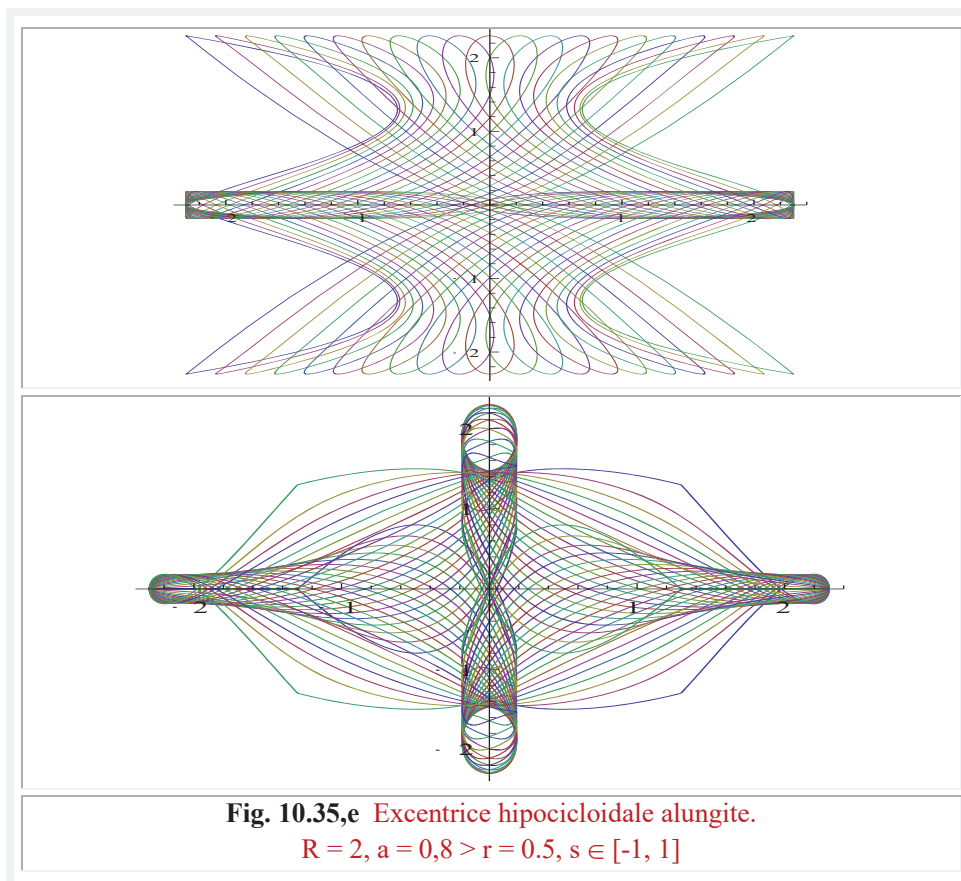
La aceste excentrice, s-a păstrat pe rând câte un excentru E_x sau E_y în origine ($e_x = 0$ sau $e_y = 0$) sau cele două excentricități s-au ales diferite, altminteri excentricele

degenerează în centrice, pentru toate valorile egale date excentricitațiilor numerice $s_x = s_y$, dacă și $\varepsilon_x = \varepsilon_y$.

Se observă, în **figura 10.35,d**, că familiile de excentrice hipocicloidale alungite au forme estetice care sugerează, cu puțin efort de imaginație, zborul unor păsări sau a unor avioane stilizate.

De aceea, unele au fost utilizate în albumul “Tehno Art of Șelariu Supermathematic Functions” apărut în USA în august 2007 și clasându-se, încă de la început, pe locul 10 în top, din peste 1650 de lucrări considerate în statisticile realizate de firma specializată Gallup-SUA.

Din păcate, toate graficele prezentate în această lucrare, care nu se vrea un album de artă, chiar dacă sunt realizate prin metode pur matematice, cu **FSM-CE**, au fost drastic reduse dimensional, pizând astfel mult din estetica lor. Mai mult, chiar, unele au fost și distorsionate, pentru a se încadra mai bine în suprafața avută la dispoziție, cu aceleași consecințe.

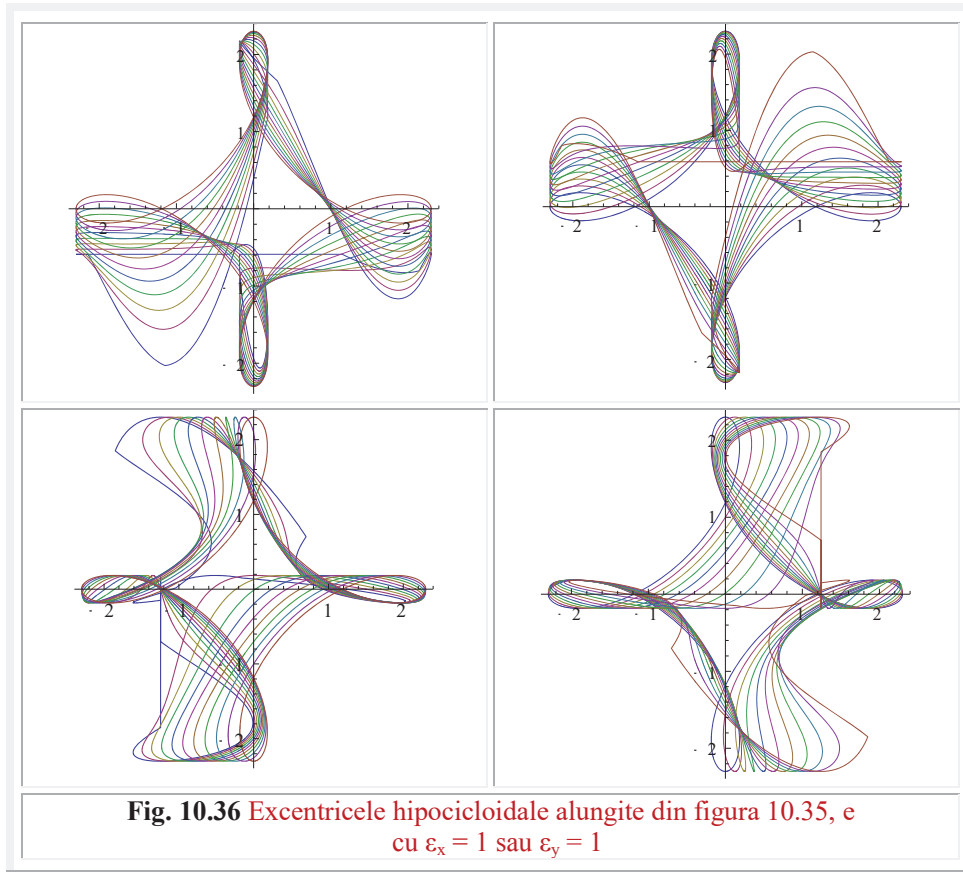


Aproape în toate cazurile, s-a ales direcția de expulzare a excentrelor $\varepsilon_x = \varepsilon_y = 0$. Adică, pe direcția axei absciselor x.

Pentru a ilustra modificările ce apar, în cazul expulzării excentrelor și pe o altă direcție, în **figura 10.36** au fost prezentate excentrele hipocicloidală alungite din **figura 10.35,e** pentru aceleași excentre dar expulzate pe direcția $\varepsilon = 1$ radian.

Aceste excentrice pot fi utilizate în CAD/CAM pentru reprezentarea pieselor tehnice mărginite de suprafețe complexe. Un astfel de exemplu, de suprafață deosebit de complexă poate fi reprezentată cu excentrice astroidale de $\varepsilon = 1$, așa cum se arată în **figura 10.37**, în care au fost, intenționat, prezentate, în paralel, curbele din plan (2D) și suprafețele din 3 D pe care le pot reprezenta și/sau genera.

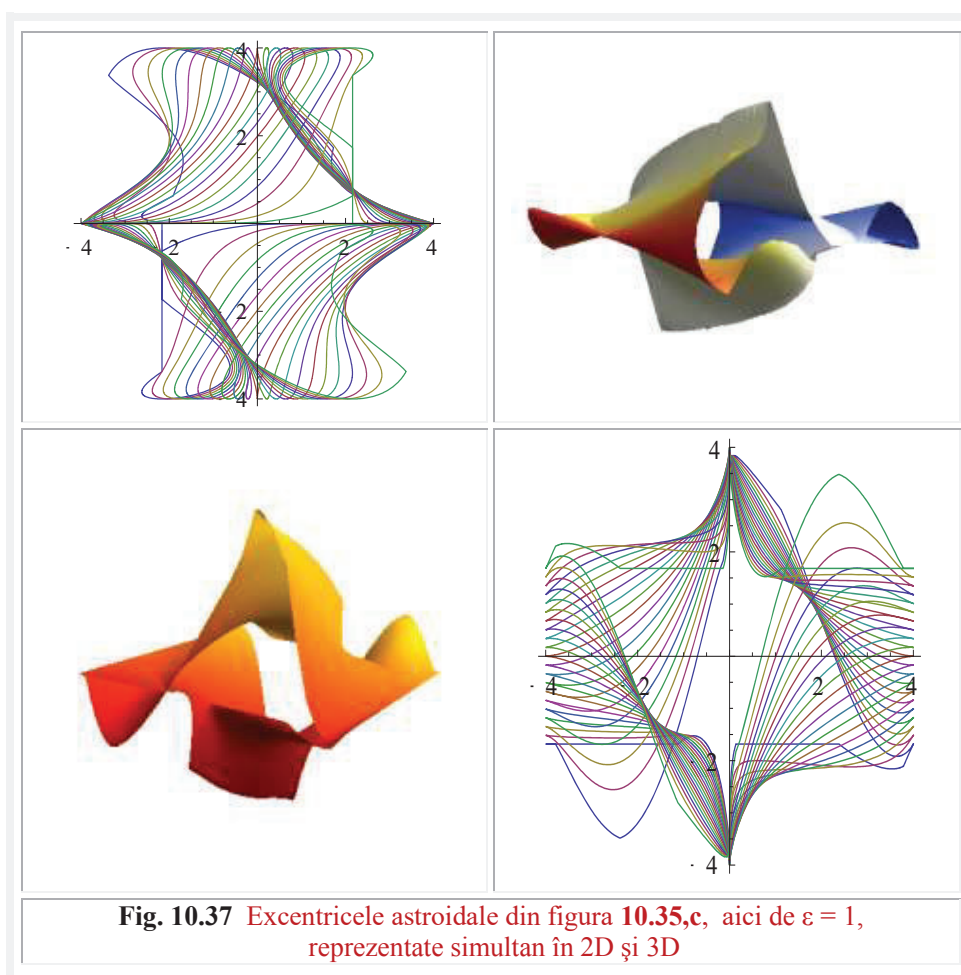
Sistemele de modelare geometrică sunt multiple și se bazează pe reprezentarea și manevrarea curbelor și a suprafețelor.



Definirea și reprezentarea curbelor și a suprafețelor parametrice complexe se face în prezent prin curbe **Hermite**, **Bezier**, **Beta-spline**, **NURBS**, **Coon** ș.a.

prezentate pe larg în lucrarea Prof. Dr. Ing **Nicolae-Valentin Ivan**, ș.a.[“Sisteme CAD/CAPP/CAM. Teorie și practică”, Editura Tehnică, Buc. 2007], ca și în multe alte lucrări de acest gen, dar toate reprezintă, cu mari aproximații și prin complexe procedee, suprafețele dorite.

De aceea, aceste metode pot fi definite, fără exagerare, ca niște “florare” matematice. Pentru că, nici una dintre aceste metode, nu cuprinde, în totalitate, punctele prin care trebuie, sau se preconizează, să treacă curba și/sau suprafața dorită. Curbele/suprafețele trecând, în majoritatea cazurilor, printre ele, mai ales când apar puncte/vârfuri de discontinuitate ale curbelor și/sau ale suprafețelor.



Ceea ce nu este cazul excentricelor care, așa cum a rezultat din curbele și suprafețele prezentate, conțin segmente de linii drepte care se racordează cu diverse curbe și au schimbări bruște de direcție care conțin și puncte de discontinuitate.

De fapt, în lucrarea autorului, "Funcții în trepte **Smarandache**" publicată în revista "SCIENTA MAGNA. An international journal" Vol.3, No.1,2007, pag. 81 ... 92 sunt prezentate o serie de curbe continue, alcătuite din segmente de linii drepte, care fac parte dintr-o familie de curbe obișnuite reprezentate cu **FSM-CE** și care, în exclusivitate pentru $s = \pm 1$, devin o succesiune continuă de segmente de linii drepte, unele schematizând diverse forme de trepte. De aceea au și fost denumite funcții în trepte și vor fi prezentate într-un capitol următor.

10.20 EXCENTRICE DE EXCENTRE VARIABLE

Excentricile, prezentate până acum, au fost de excentre puncte fixe în plan. Excentricile de excentre $E_x(s_x, \varepsilon_x)$ și $E_y(s_y, \varepsilon_y)$ variabile, sau puncte mobile după diverse legi și/sau pe diverse curbe plane, sunt foarte diverse.

Se vor prezenta doar cele mai semnificative, care prezintă interes științifice, tehnic, matematic și, de ce nu, artistic.

10.20.1 EXCENTRICE CIRCULARE ȘI ELIPTICE DE EXCENTRE MOBILE

Acestea prezintă interes deoarece pot avea contribuții în soluționarea unor vibrații neliniare. Construcția unei astfel de excentrice are ecuațiile parametrice

$$(10.70) \quad \begin{cases} x = R \cos \theta \\ y = R \sin \theta \end{cases},$$

în care, pentru $a = b = R$ se obțin excentrice **circulare**, pentru un cerc $C(O,R)$, iar pentru $a \neq b$ se obțin excentricile **eliptice**, pentru elipsa cu semiaxe a și, respectiv, b .

O astfel de excentrică este prezentată în **figura 10.51** și are excentrul E_x fix în originea $O(0,0)$ și excentrul E_y mobil după legea/expresia

$$(10.71) \quad s_y = s_{y0} \cdot \cos \theta \text{ cu } R = 10 \text{ și } s_{y0} = 0,5 \rightarrow e_{y0} = 5 \rightarrow e$$

Din figură, rezultă construcția acestor excentrice. Din excentrele E_x și E_y se duc două semidrepte, paralele între ele, de unghi θ cu axa Ox . Punctele de intersecție ale acestor semidrepte cu cercul $C(O,R)$ sunt punctele M_x și M_y a căror abscisă și, respectiv, ordonată sunt coordonatele punctului M al excentricei.

În partea dreaptă a figurii, sunt reprezentate alte patru excentrice circulare, dintre care, prima de sus are **$E_y \equiv O(0,0)$** și E_x mobil pe axa x după legea $s_x = s_{x0} \cos \theta$, cu $R = 1$ și **$s_{x0} = e_{0x} = 0,5$** . Mai jos, sunt prezentate excentrice de excentru E_x variabil - în stanga și de E_y variabil - în dreapta; variația fiind data, în ambele cazuri, de $s_x = s_y = 0,5 \cdot \sin \theta$.

O varietate de excentrice circulare, de diverse forme, sunt prezentate în **figura 10.52**, împreună cu cercul $C(O,1)$ pe care sunt definite. În toate cazurile $\varepsilon_x = \varepsilon_y = 0$, $R = 1 \rightarrow e_x = s_x$, $e_y = s_y, s_{x0} = s_{y0} = 0,5$ sau 1 și legea este fie sinusoidală fie cosinusoidală la diverși exponenți.

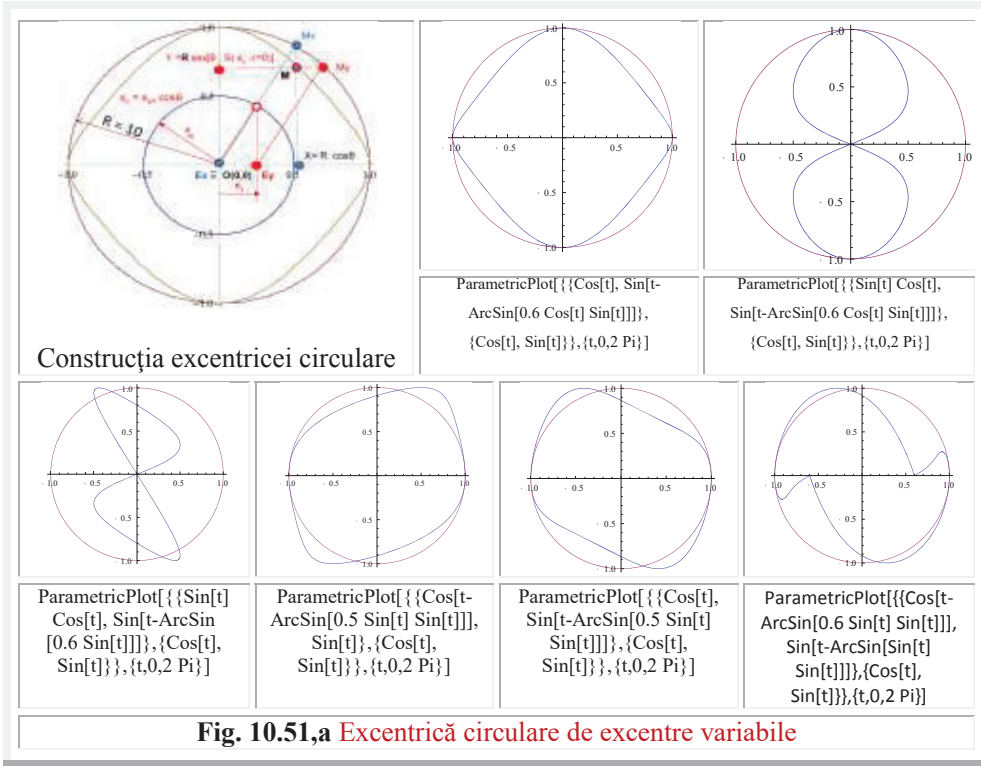
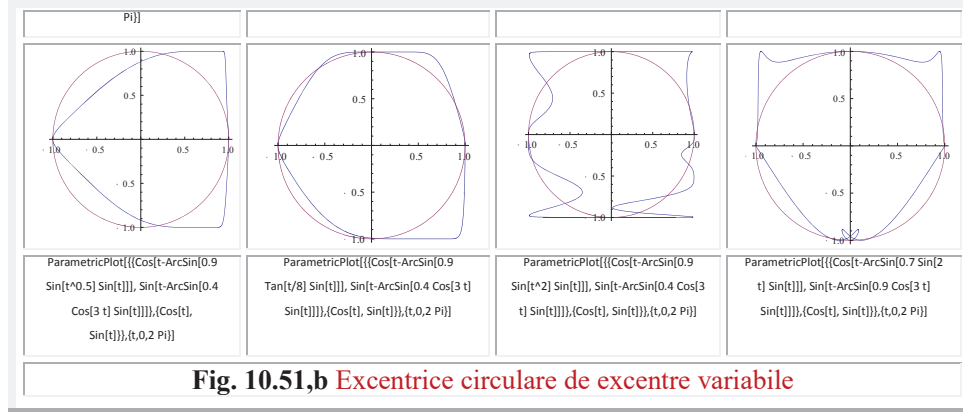


Fig. 10.51,a Excentrică circulare de excentre variabile





Dacă **Ex** și **Ey** variază după aceeași lege, oricare ar fi aceasta, atunci excentrica circulară degenerază în cerc. Din **figura 10.52** se observă că abaterile excentricelor de la circularitate sunt cu atât mai mari cu cât crește valoarea maximă a aexcentricității numerice ($s_0 = 0,5$ sau $s_0 = 1$).

Pentru anumite legi de variație ale excentrelor, se pot obține din nou excentrice de forma cvadrilobelor (**Fig. 10.53**) care, însă, pentru $s = +1$ nu mai descriu un pătrat perfect, ci unul cu colțuri rotunjite, iar pentru $s = -1$ o altă curbă, asemănătoare cu o curbă de distribuție a probabilităților, mai ales dacă se trece pe excentrice eliptice cu $b > a$.

Forme extrem de variate, prezentând o simetrie aparte, se obțin când ambele excentre **Ex** și **Ey** variază sincron, în sensuri opuse, pe aceeași axă x și când modulul excentricității numerice s_0 depășește unitatea, așa cum se prezintă situația în **figura 10.54**. În părțile laterale ale figurii, sunt prezentate extrase, de diverse valori s_0 , din **figura centrală**.

10.20.2 EXCENTRICILE SPECIALE

O serie de grafice, prezentând unele valențe / calități artistice și nu numai din acest motiv, sunt prezentate în continuare.

Ne având echivalente în matematica centrică, ele nu pot degenera întotdeauna în curbe centrice cunoscute. Astfel, o familie de excentrice speciale pe care le vom numi și **excentrice dexoidale** (pentru ca sunt realizate cu **FSM-CE dexnθ**) sunt prezentate în **figura 10.55,a** și pot simboliza un “soare” roșu.

Cu această denumire, ele figureaza într-un album “**Techno Art of Selariu Supermathematics Functions**”, editat la Universitatea New Mexico din USA în august 2007 și s-a bucurat de succes, figurând în topul de 10, din peste 1650 de lucrări, al lunii august, statistică publicată de firma specializată Gallup din USA.

Ecuatiile parametrice ale “soarelui” roșu, pentru $R = 1 \rightarrow e = s \in [-1, 1]$ sunt

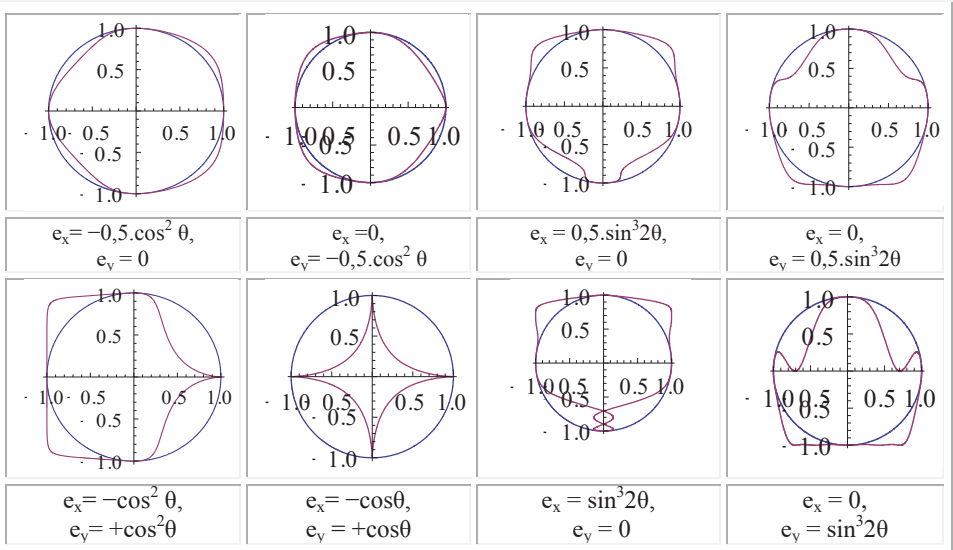
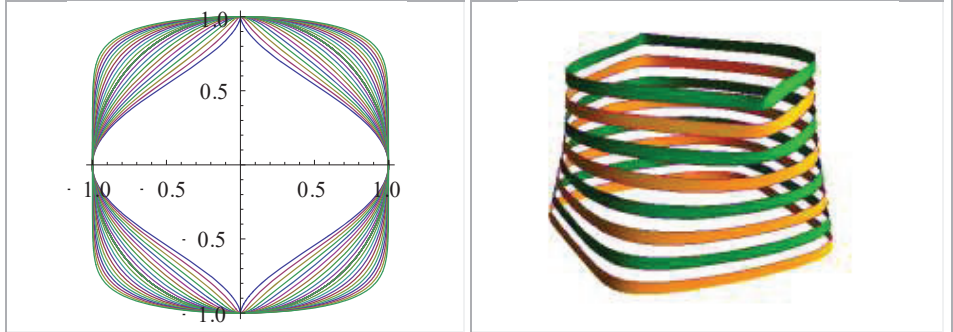
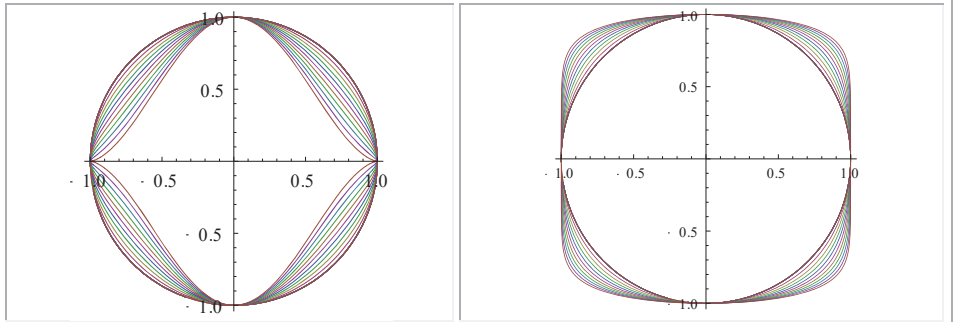


Fig. 10.52 Excentrice circulare de excentre variabile



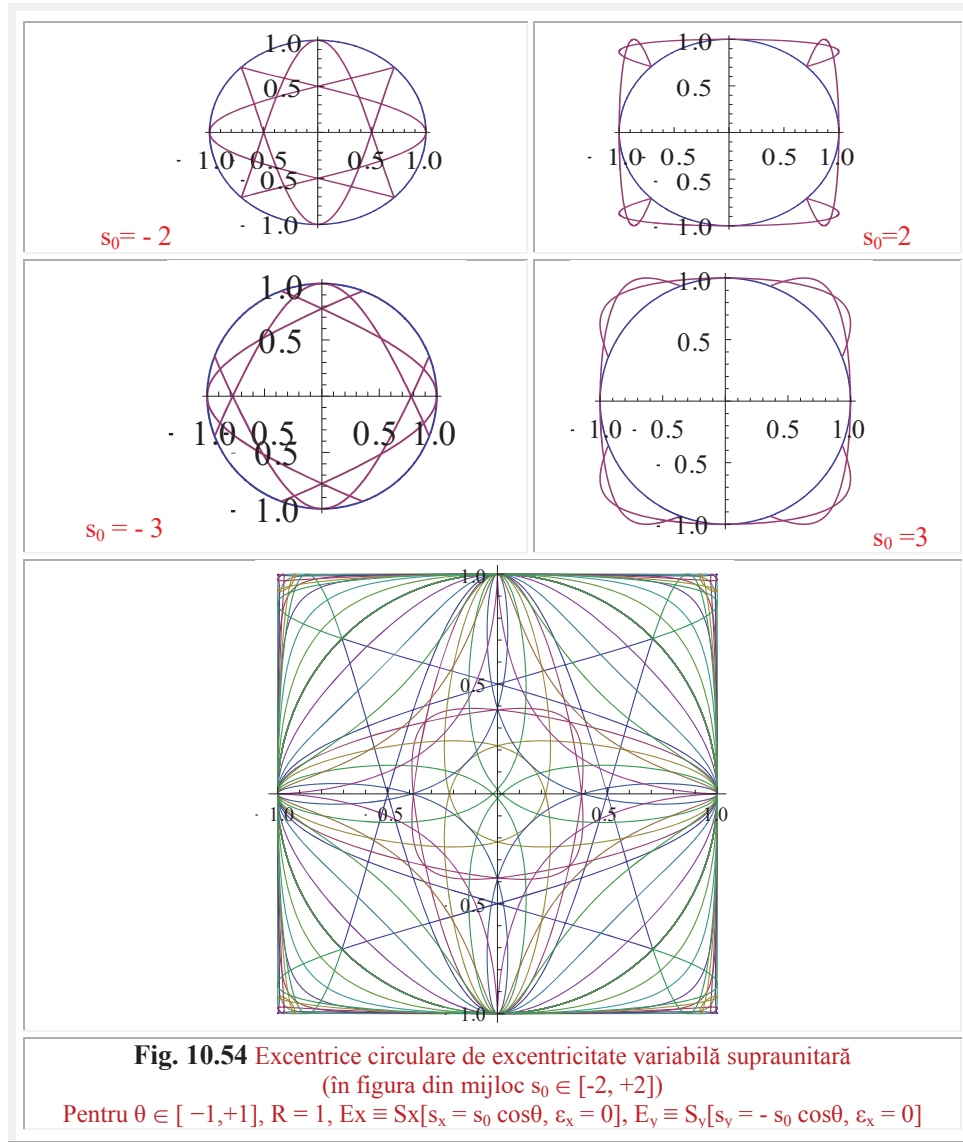
$$Ex(s_x = s_0 \cos \theta, e_x = 0), s_0 \in [-1, 1]; \quad Ey \equiv O(0,0)$$



Stanga $s_{y_0} \in [-1, 0]$ $Ex \equiv O(0,0)$; $Ey(s_y = s_{y_0} \cos \theta, e_y = 0)$, Dreapta: $s_{y_0} \in [0, 1]$

Fig.10.53 Excentrice circulare în 2D și un cilindru excentric SM în 3D

$$(10.72) \quad \begin{cases} x = R \cdot \text{dex}20\theta \cdot \cos\theta \\ y = R \cdot \text{dex}20\theta \cdot \sin\theta \end{cases}$$



iar ecuația polară va fi
 (10.72') $\rho = R \cdot \text{dex}20.\theta$,
 în polar simetria circulară fiind perfectă.

Dacă, la ecuațiile (10.72) se mai adaugă și coordonata $z = -0.05 s^2$, atunci rezultă, în 3D forma spațială, ce poate fi asemuită cu un brad stilizat, prezentată în **figura 10.55,b**.

Alte grafice din 2D, care dau senzația de a fi în 3D, sunt prezentate în **figura 10.56**, iar **chiar** în 3D, cu $z = 4s^2$, se obține un cilindru ondulat, prezentat în **figura 10.55,c**.

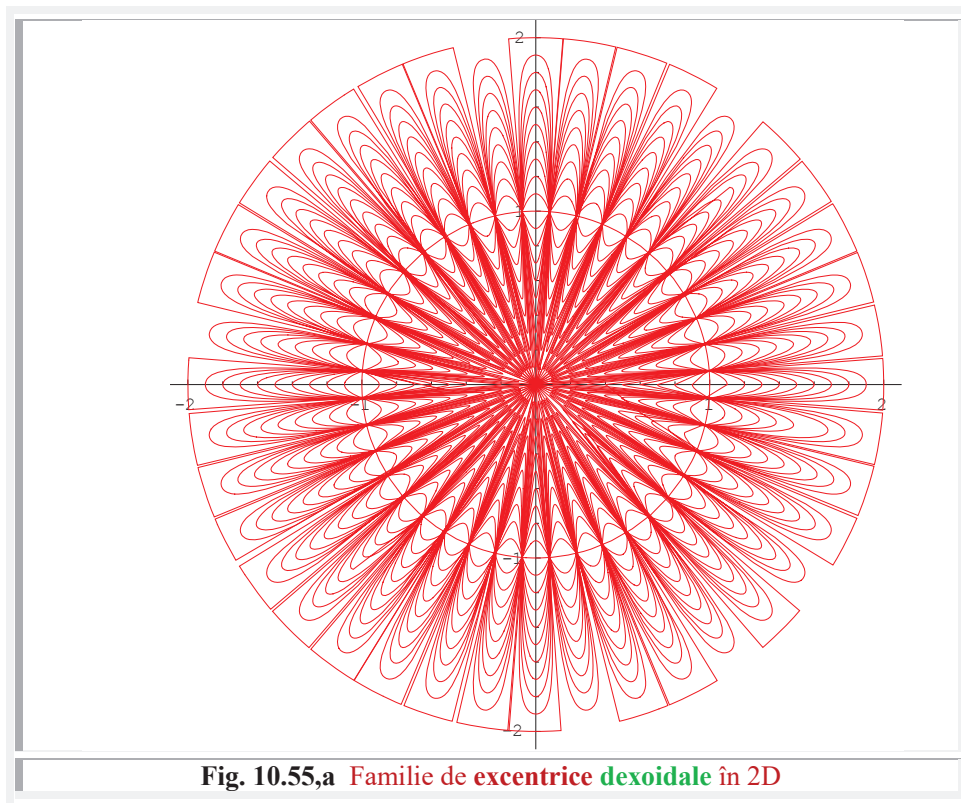
În partea de sus a **fugurii 10.56** sunt prezentate excentrice speciale rexoidale. Ele sunt denumite astfel pentru că sunt exprimate cu **FSM-CE radial excentric**, de variabilă centrică, de $10.\alpha$, având ecuațiile parametrice

$$(10.73) \quad \begin{cases} x = R.Rex10\alpha.\cos\alpha \\ y = R.Rex10\alpha.\sin\alpha \end{cases}$$

sau ecuația polară

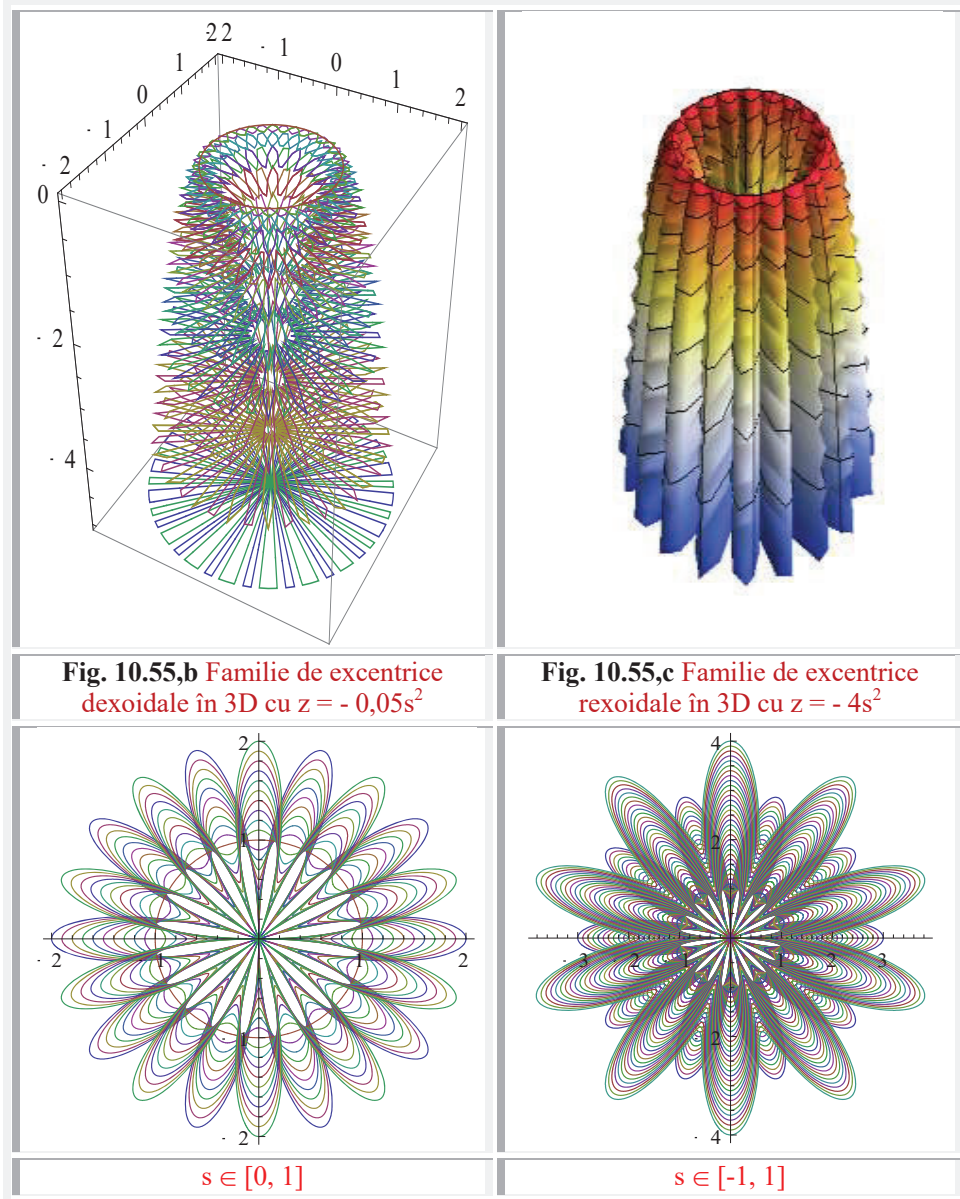
$$(10.73') \quad \rho = R.Rex10.\alpha, \quad \text{în care, s-a ales } R = 1, s \in [0, 1] \text{ în stânga și } s \in [-1, +1] \text{ în dreapta.}$$

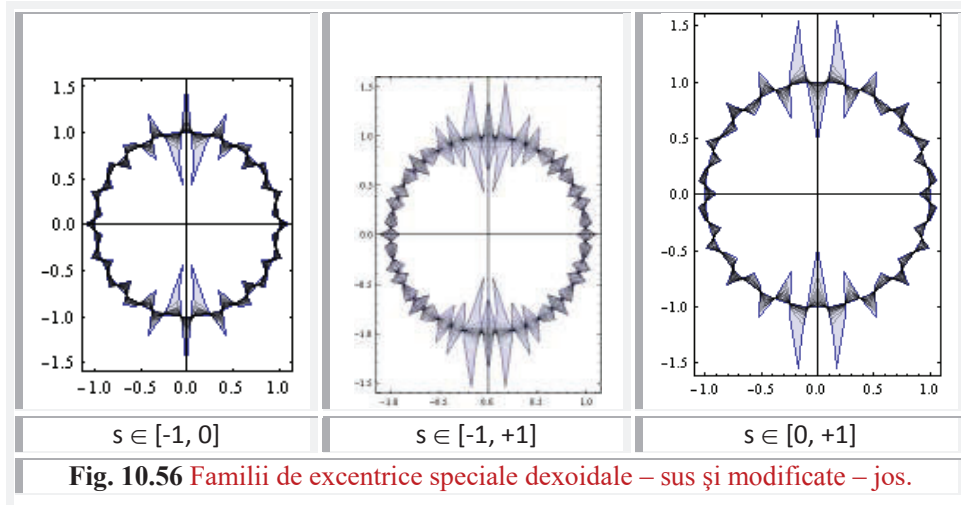
În aceeași figură, sunt prezentate și excentrice dexoidale **modificate**, în sensul că, în ecuația a doua din (10. 72) **FSM-CE** derivat excentrică este numai de arc dublu - **dex20** -.



Dacă, în ecuațiile (10.73) **FSM-CE** radial excentrică se alege de 2α sau de 3α , atunci, în 3D, se obțin obiecte matematice de forma ajutorajelor rachetelor cosmice.

Astfel de obiecte tehnice sunt prezentate în **figura 10.57-stânga**- și pot fi utilizate la realizarea **primei rachete matematice românești** - dreapta.





O călătorie sigură în cosmos trebuie să prezinte o protecție sigură împotriva plasmei și câmpurilor electro-magnetice puternice din timpul erupțiilor solare, erupții sugerate de excentricele speciale prezentate în **figura 10.58**.

Ele sunt reprezentate de **FSM-CE** radial excentric de variabilă centrică **Rexa**

$$(10.74) \quad \begin{cases} x = R \text{Rex } m\alpha \cdot \cos\alpha \\ y = R \text{Rex } n\alpha \cdot \sin\alpha \end{cases} ,$$

pentru $R = 1$, $s = e \in [0, 1]$.

Discurile colorate, din centru, au fost suprapuse pentru a mări senzația vizuală de soare.

10.20.3 EXCENTRICE DE EXCENTRE FIXE ȘI DE PROIECȚII VARIABLE. PROFILE AERODINAMICE.

Imită cu fidelitate construcția grafică a unor profile aerodinamice, ca de exemplu, profilul **Jukovsky**, până la identificare completă. Construcția grafică a unui profil **Jukovsky**, de caracteristici de profil $a = 0,6$, $s = 0,08$, $d = 0,075$ este prezentată în partea superioară a **figurii 10.59**, iar în partea inferioară sunt prezentate două profile de acest gen.

Ecuțiile parametrice, care descriu aceste profile, sunt

$$(10.75) \quad \begin{cases} x = R \cdot \text{cel}(\theta, s_1, \varepsilon_1) + r \cdot \text{cel}(-\theta, s_2, \varepsilon_2) \\ y = R \cdot \text{sel}(\theta, s_1, \varepsilon_1) + r \cdot \text{sel}(-\theta, s_2, \varepsilon_2) \end{cases} ,$$

în care, **cel** θ și **sel** θ sunt **FSM-CEI** (elevate) cosinus elevat și sinusul elevat de **variabilă excentrică** θ .

Aceste funcții se obțin prin proiectarea **FSM-CE** radial excentric **rex θ** pe cele două axe de coordonate x și, respectiv, y , deoarece în cazul **FSM-CEI** excentrul **E** coincide cu originea sistemului de coordonate și nu mai coincide cu centrul cercului unitate ($O \equiv E \neq C$), așa cum s-a mai afirmat deja. Rezultă, pentru variabila excentrică

$$(10.76) \quad \begin{cases} cel_{1,2}\theta = rex_{1,2}\theta \cdot \cos\theta \\ sel_{1,2}\theta = rex_{1,2}\theta \cdot \sin\theta \end{cases}$$

și, pentru variabila centrică

$$(10.76') \quad \begin{cases} Cel \alpha_{1,2} = Rex\alpha_{1,2} \cdot \cos\alpha_{1,2} \\ Sel \alpha_{1,2} = Rex\alpha_{1,2} \cdot \sin\alpha_{1,2} \end{cases}$$

Cele doua cercuri, pe baza cărora se realizează construcția grafică, sunt cercul mare $C_1(R_1, E_1)$, ales de rază $R_1 = 1$ și cercul mai mic $C_2(R_2, E_2)$ rezultat de rază $R_2 = 0,8819511$. Excentrele E_1 și E_2 au coordonatele

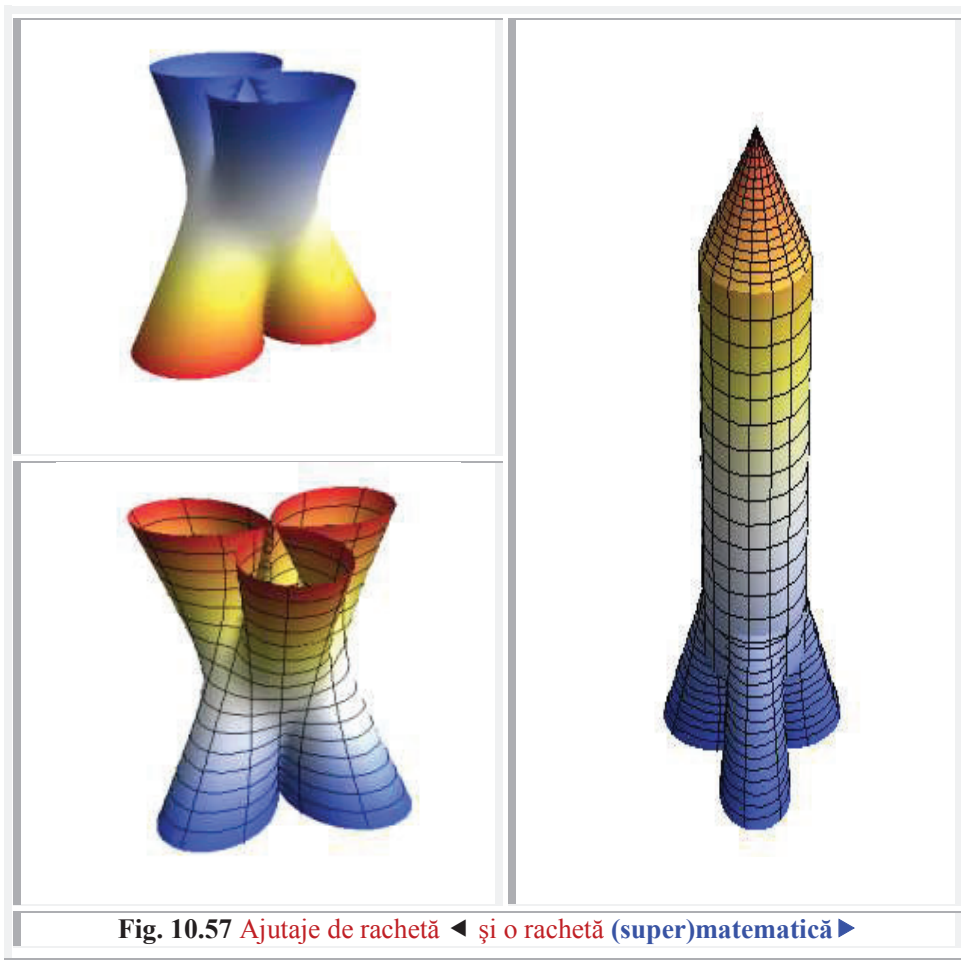
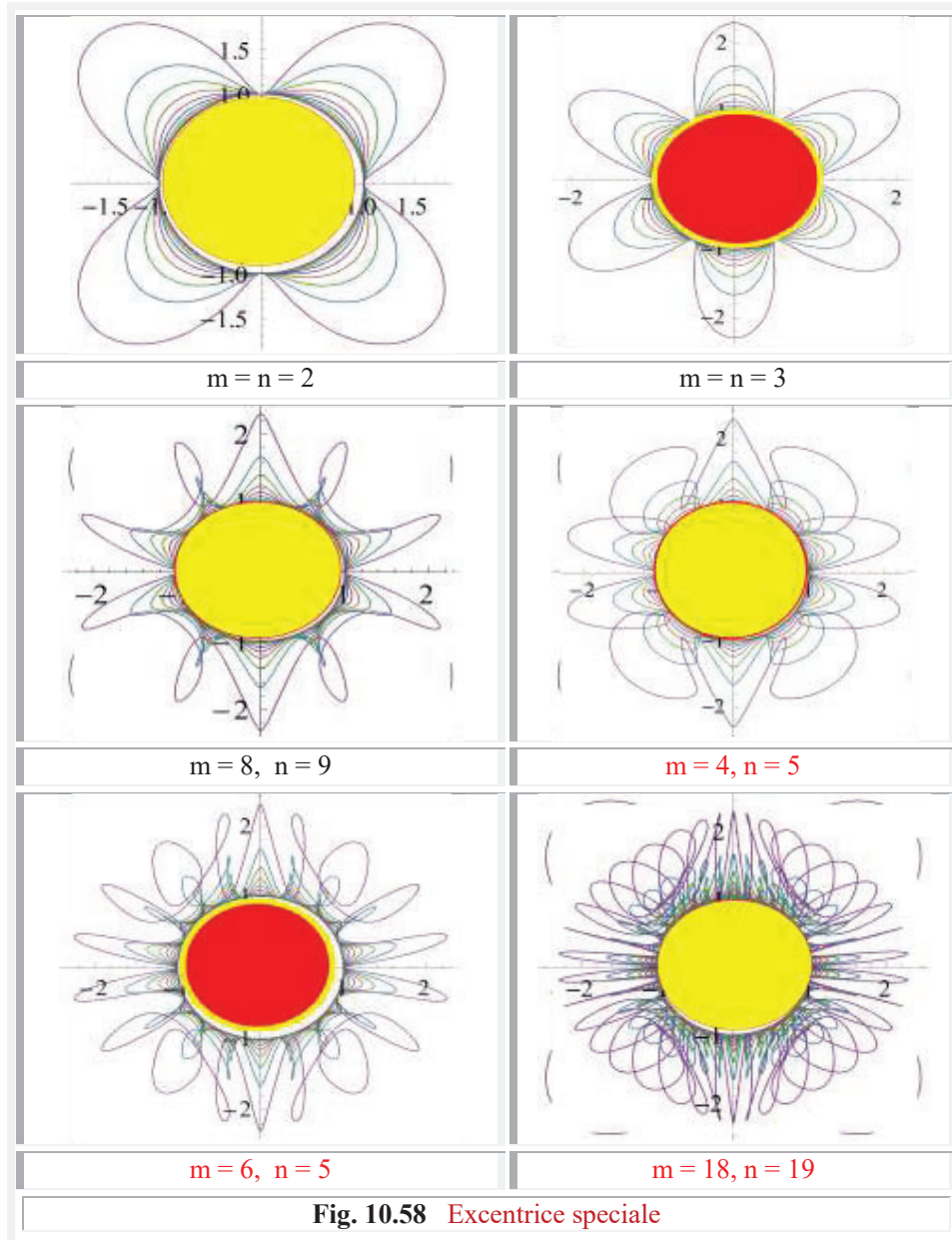
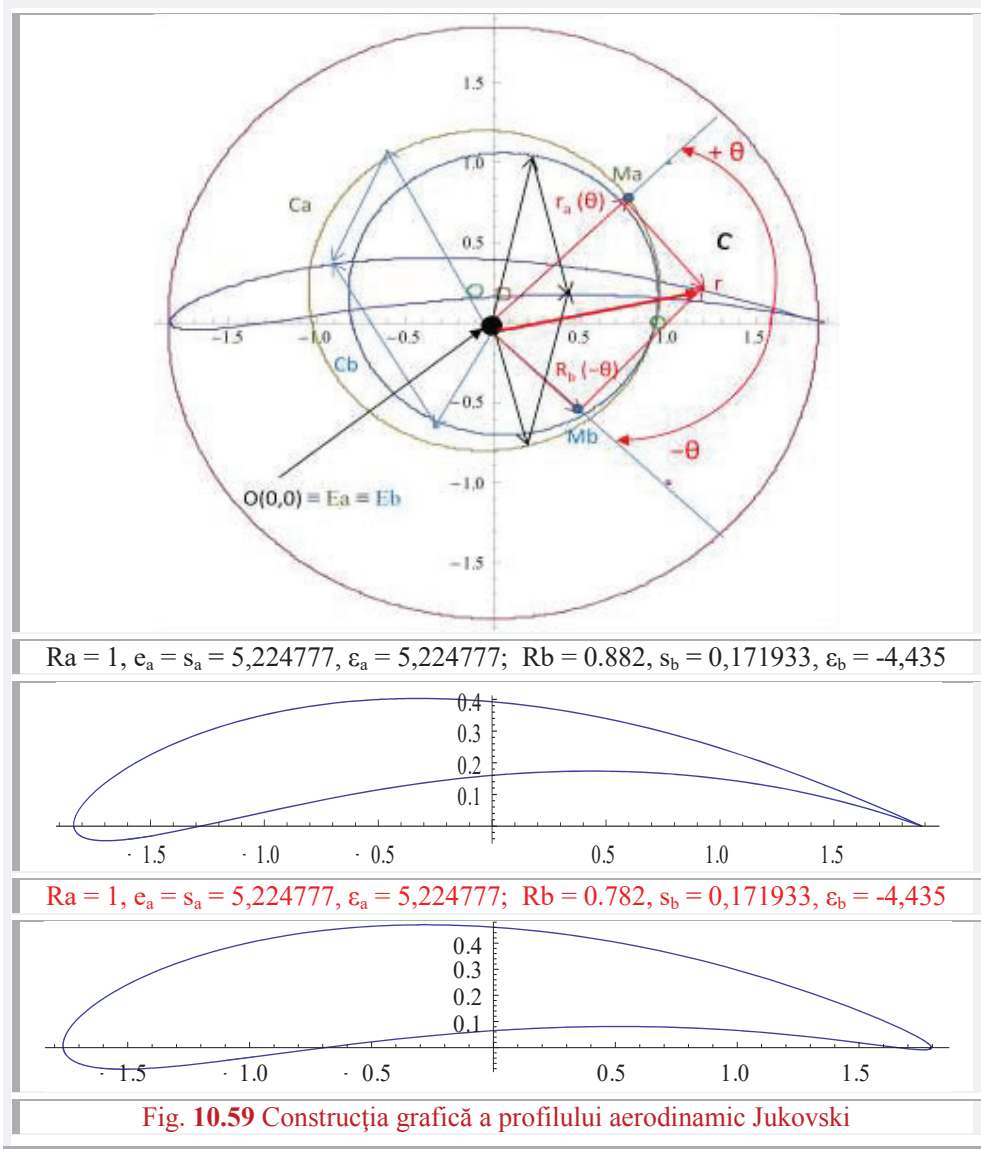


Fig. 10.57 Ajutaje de rachetă ◀ și o rachetă (super)matematică ▶

$$(10.77) \quad \begin{cases} E1(e_1 = 0,1516373, \varepsilon_1 = 5,2247771) \\ E2(e_2 = 0,1719339, \varepsilon_2 = 4,4351047) \end{cases}$$

care au fost calculate cu mai multe zecimale, deoarece, mici modificări ale unor valori, modifică substanțial forma profilului, așa cum rezultă și comparând cele doua profile aerodinamice din figură.





Construcția grafică a profilului **Jukovsky**, asemănătoare la început și în principiu, cu construcția excentricei circulare sau eliptice prin metoda coinciderii excentrelor, este următoarea. Cele două cercuri, tangente într-un punct situat pe axa x, au excentrele comune în originea $O(0,0)$ a unui reper drept xOy și centrele în cadranele II și, respectiv I. Din acest punct $O(0,0)$, se duc două raze polare, $\vec{\rho}_1$ de unghi θ și,

respectiv, $\vec{\rho}_2$ de unghi $-\theta$, cu axa $x > 0$, care intersectează cele două cercuri în două puncte Ma și, respectiv, Mb .

Suma vectorială a celor doua raze polare este vectorul $\vec{\rho}$ a cărui vârf descrie profilul aerodinamic **Jukovsky**

$$(10.78) \quad \vec{\rho} = \vec{\rho}_1 + \vec{\rho}_2,$$

în care, $\vec{\rho}_1 = \overrightarrow{OMa}$ și $\vec{\rho}_2 = \overrightarrow{OMb}$

Au fost reprezentate, în figură, trei puncte ale profilul Jukowsky.

Este cunoscut că, numai un număr redus de profile aerodinamice se pot obține prin transformări matematice, în spațiul în complex. Marea lor majoritate fiind obținute experimental, după lungi și laborioase încercări de laborator, dotate cu puternice tunele aerodinamice. Așa sunt profilele **NACA**, utilizate de **NASA**.

Avem convingerea fermă că, în cel mai scurt timp și aceste profile aerodinamice pot fi obținute cu ajutorul **FSM**, așa cum au fost obținute și alte profile, prezentate în această lucrare. Ca urmare, ele pot fi studiate prin mijloace **(super)matematice**, conducând la reducerea volumului de muncă, altfel necesar experimentărilor și cu obținerea unor spectaculoase îmbunătățiri ale performanțelor lor, în funcție de necesitățile impuse de diverse game de viteze, precum și de alte criterii de performanță. Trebuie doar îndrăzneală.

10.20.4 EXCENTRICE SPIRALE SPECIALE : SPIRALA GALACTICĂ CU 4 BRAȚE

Sunt excentrice circulare, sau, mai precis eliptice, de proiecții variabile, dar, spre deosebire de cele anterioare, sunt și de excentre variabile. Eliptice, deoarece există două cercuri de dimensiuni diferite. Cercul $Ca[Ra, O(0,0)]$ are raza Ra și, un al doilea cerc, mai mic, $Cb[Rb, Ob(0,-yb)]$ de rază Rb cu $Ra > Rb$.

Excentrica spirală specială, prezentată în figura **10.60**, are $Ra = 1$, $Rb = 0,5$, un excentru Ea fixat în originea $O(0,0)$ și al doilea excentru $Eb[Rb = 0,5; Ob(0, -0,4)]$ plasat pe axa $y < 0$. Construcția s-a realizat prin metoda coinciderii excenterelor $Ea \equiv Eb \equiv O(0,0)$.

Din cele două excentre confundate se duce o semidreaptă d^+ de unghi θ cu axa $x > 0$. Ea intersectează cele două cercuri în punctele Ma și, respectiv, Mb a căror coordonate sunt

$$(10.79) \quad \begin{cases} Ca \cap d^+ = Ma \begin{cases} x_a = \cos\theta \\ y_a = \sin\theta \end{cases} \\ Cb \cap d^+ = Mb \begin{cases} x_b = Rb \cdot \text{rex}(\theta, Eb) \cdot \cos\theta = Rb \cdot \text{cel}\theta \\ y_b = Rb \cdot \text{rex}(\theta, Eb) \cdot \sin\theta = Rb \cdot \text{sel}\theta \end{cases} \end{cases}$$

Din punctul Mb se duce o direcție de unghi $\alpha_b = \theta + \varphi$, iar din punctul Ma o direcție simetrică față de axa y , adică, de unghi $\alpha_a = \pi - \alpha_b = \pi - \theta - \varphi$ cu axa x . La intersecția celor doua direcții/drepte se va afla un punct $M(x,y)$ al excentricei spirale speciale, care sunt, totodată, și relațiile parametrice ale ei.

Ecuatiile celor doua drepte, ce trec prin Ma și Mb , sunt de forma

$$Ax + By + C = 0 \text{ și au expresiile}$$

(10.80) Da : $\tan(\pi - \theta - \varphi).x - y + \sin\theta - \tan(\pi - \theta - \varphi). \cos\theta = 0$ și
 (10.81) Db: $\tan(\theta + \varphi).x - y + Rb.rex\theta[\sin\theta - \tan(\theta + \varphi).\cos\theta]$

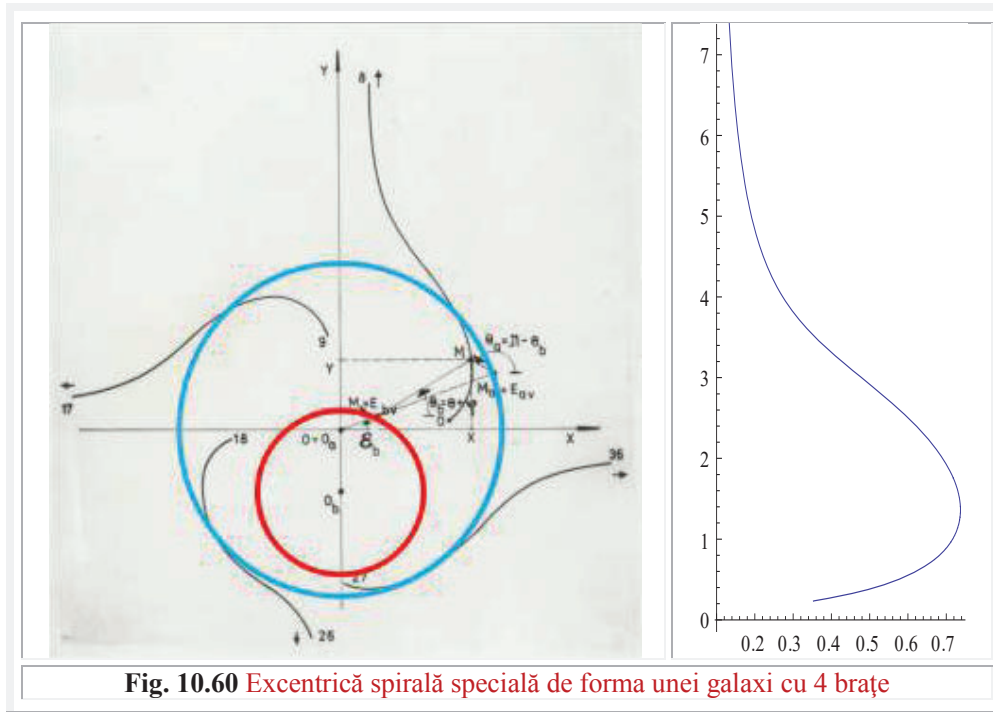


Fig. 10.60 Excentrică spirală specială de forma unei galaxii cu 4 brațe

Prin rezolvarea sistemului de ecuații rezultă punctele de intersecție

$$(10.80) \quad M(x,y) \begin{cases} x = -\frac{\tan(\pi - \theta - \varphi).\cos\theta - \sin\theta + Rb.rex\theta [\tan(\theta + \varphi) - \sin\theta]}{\tan(\theta + \varphi) - \tan(\pi - \theta - \varphi)} \\ y = \tan(\pi - \theta - \varphi) [x - \cos\theta] + \sin\theta \end{cases}$$

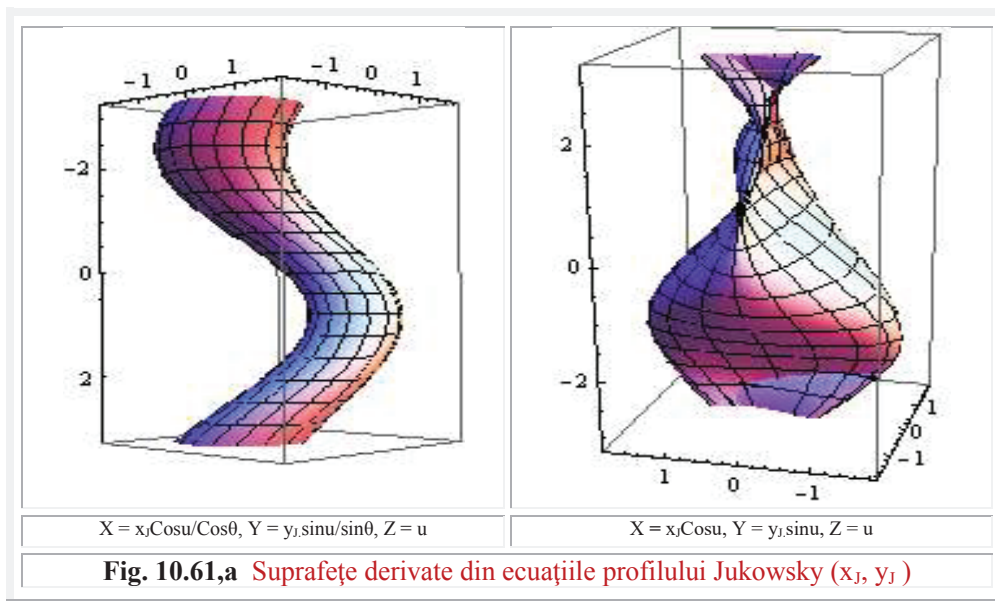
și, totodată, ecuațiile parametrice ale acestei excentrice speciale de forma unei spirale galactice cu patru brațe, pe care, o vom numi, în continuare, **spirală galactică cu 4 brațe**.

Spirale galactică, din **figura 10.60**, are $\varphi = 10^0 = 0,174533$ radiani.

În dreapta figurii este reprodus matematic primul braț, din cadranul I, al **excentricei galactice** cu 4 brațe. Cele 4 brațe nu sunt la fel: fiecare braț există doar într-un singur cadran, are punctul inițial al curbei la distanțe diferite față de centrul $O(0,0)$ și punctul final tinzând la infinit. Ca urmare, în centru, **excentrica galactică** cu 4 brațe nu are puncte, adică, nu există, aidoma unei galaxii, care în centrul ei prezintă o gaură neagră (blackhole).

10.21 SUPRAFEȚE SUPERMATEMATICE (SSM)

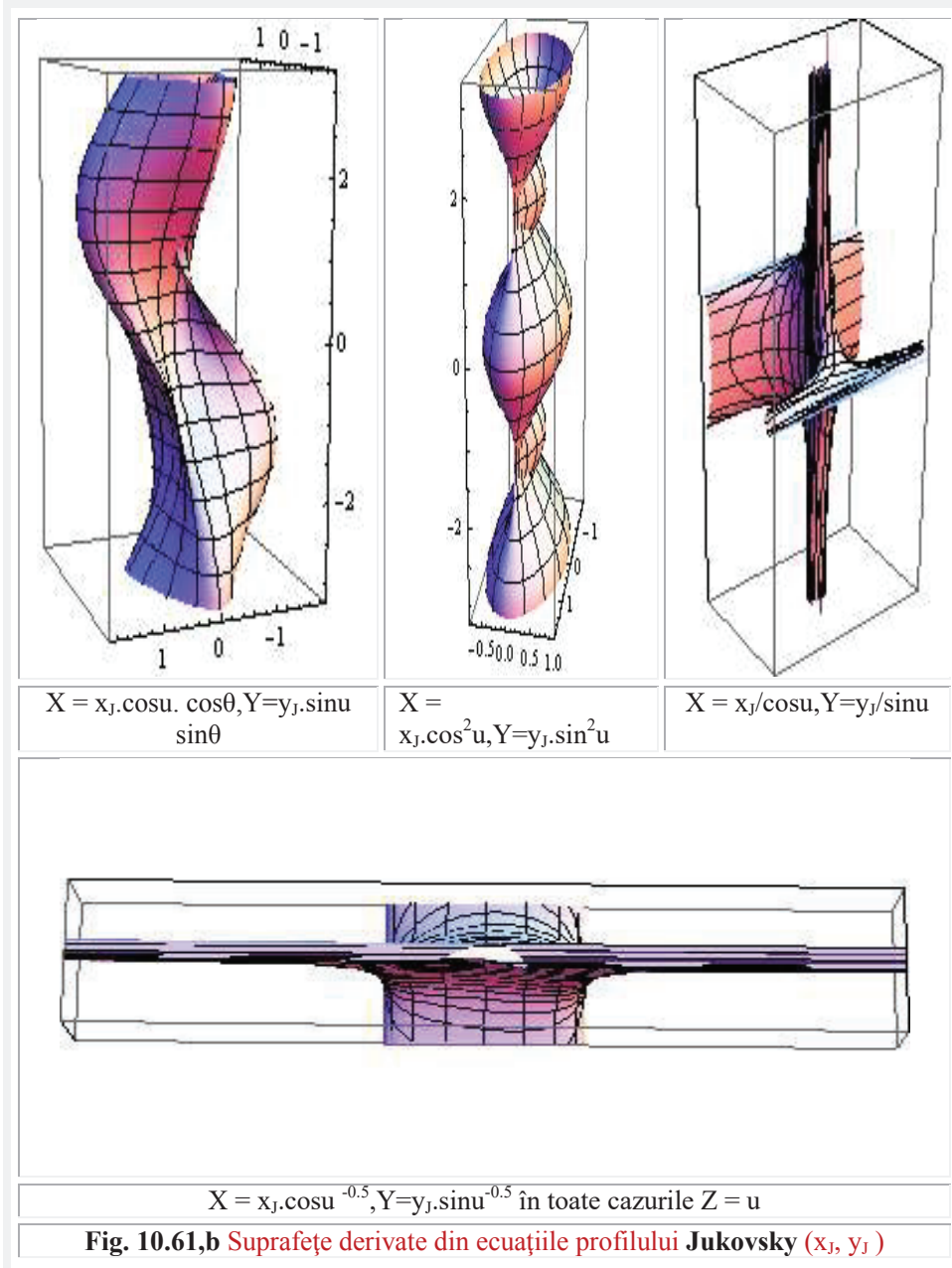
Sunt suprafețe matematice, mai puțin obișnuite, obținute / generate cu ajutorul **FSM**. Unele au fost deja prezentate, drept excentrice în 3D, ca, de exemplu, cilindri rezultați din excentricele ovalelor lui **Cassini** și din excentricele lemniscatelor lui **Booth** (Fig. 10.16,b și c), din excentricele astroidale (Fig. 10.37), arcul elicoidal **SM** (Fig. 10.46), piramida (Fig.10.48) excentricele rexoidale și din excentricele dexoidale (Fig. 10.55,b) ș.a.



În general, suprafețele **SM** sunt foarte sensibile la mici schimbări în ecuațiile lor de definiție. Astfel, dacă în ecuațiile profilului **Jukovsky** (10.75), se adaugă coordonata (10.75')

$Z = u, u \in [-\pi/2, \pi/2]$ și coordonatele X și Y se modifică, față de coordonatele x_j și y_j ale profilului **Jukovsky**, așa cum se indică în figura 10.61,a, atunci se obțin suprafețele sub formă de stâlp circular cabrat sau de pește, din aceeași figură. Dacă se folosesc și anumiți exponenți, indicați în figura 10.61,b, atunci se obțin alte forme de suprafețe indicate în aceeași figură. O **SSM**, de forma unei aripi de avion, cu profil aerodinamic (Fig. 10.62), se poate obține cu ecuațiile parametrice

$$(10.81) \quad \begin{cases} x = 0,4u^2 \cdot \cos\theta - 1,8u \\ y = 6 \cdot u \\ z = 0,1u^2 \cdot \text{sex}[\theta, S(s = 0,8; \varepsilon = 5,9)] + 1 \\ \text{în care } \theta \in [0, 2\pi], u \in [1; 2] \end{cases}$$



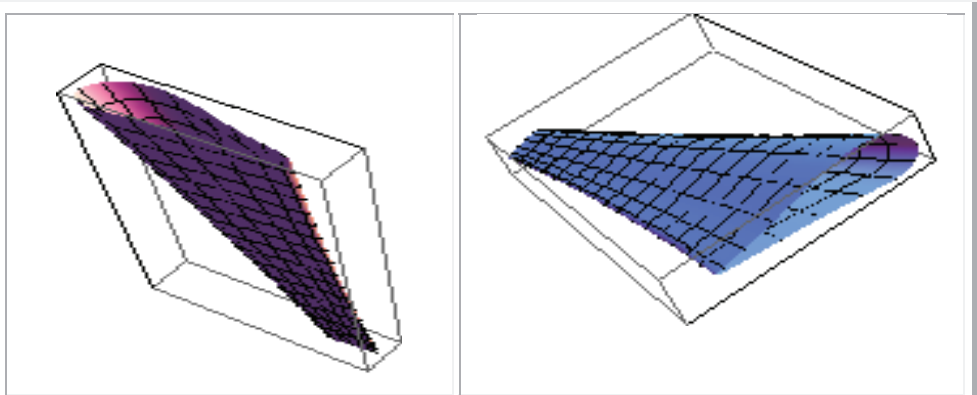


Fig. 10.62 SSM de forma aripilor de avion cu profil aerodinamic

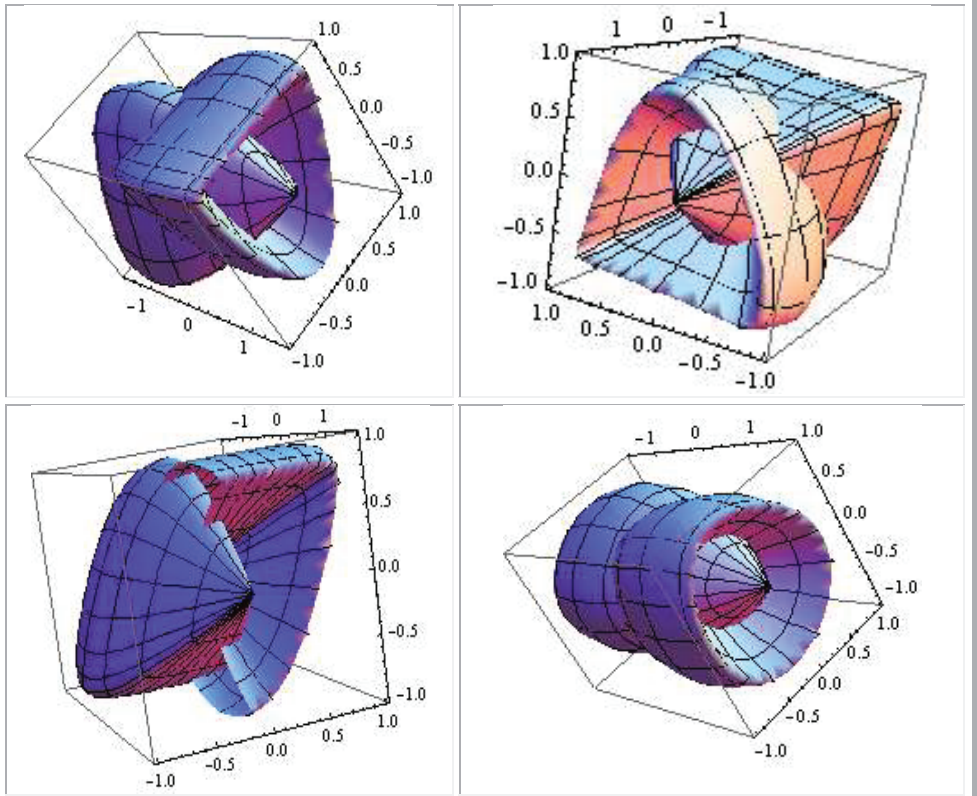


Fig. 10.63,a SSM autopătrunsă

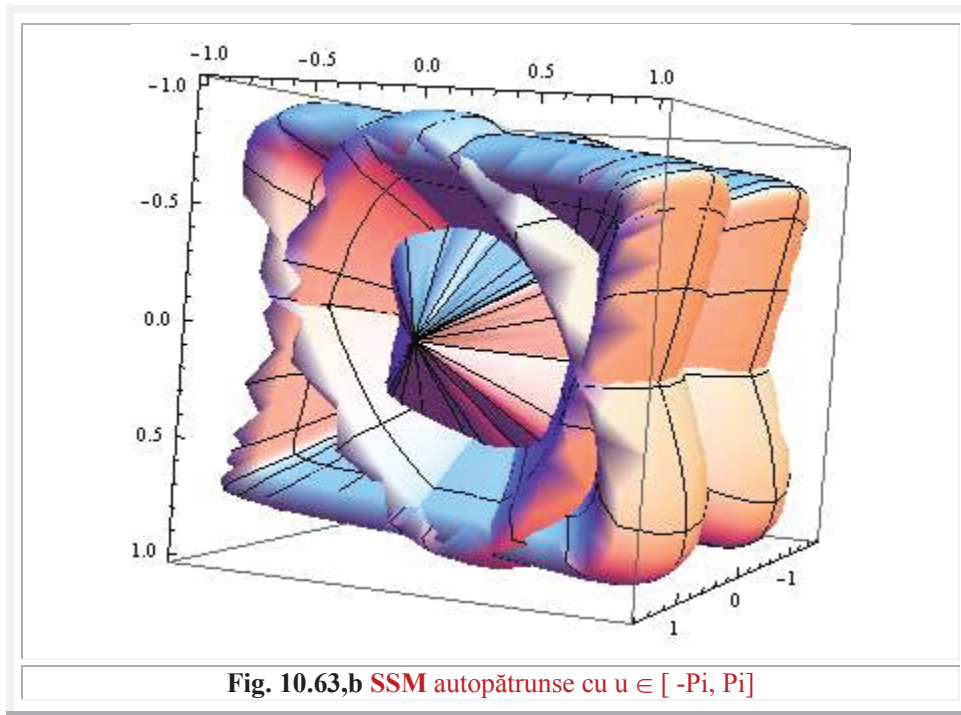
O SSM deosebit de interesantă, deoarece are un centru de simetrie și se autointersectează, este prezentată în **figura 10.63**. Ea are ecuațiile parametrice

$$(10.82) \quad \begin{cases} x = \arcsin 3\theta \\ y = \sin 2\theta \cdot \text{sex}(u, S_y(s_y, \varepsilon_y)), \\ z = \sin 2\theta \cdot \text{cex}(u, S_z(s_z, \varepsilon_z)) \end{cases}$$

cu $\begin{cases} S_y(s_y, \varepsilon_y) = S_y(0,2; -1) \\ S_z(s_z, \varepsilon_z) = S_z(0,9; 0) \end{cases}$, $\theta \in [-\frac{\pi}{2}, \frac{\pi}{2}]$ și $u \in [0, 2\pi]$ în **figura 10.63,a** – sus și $u \in [0, \pi]$ - jos, ca să se observe cât mai bine modul de autointrepătrundere a suprafeței.

Excentricele sunt de **excentre** $\begin{cases} S_y(s_y, \varepsilon_y) = S_y(0,9; -1) \\ S_z(s_z, \varepsilon_z) = S_z(0,5; 0) \end{cases}$, $\theta \in [-\frac{\pi}{2}, \frac{\pi}{2}]$ și $u \in [0, 2\pi]$

în dreapta-sus și de excentre $\begin{cases} S_y(s_y, \varepsilon_y) = S_y(0,2; -1) \\ S_z(s_z, \varepsilon_z) = S_z(0,05; 0) \end{cases}$, $\theta \in [-\frac{\pi}{2}, \frac{\pi}{2}]$ și $u \in [0, 2\pi]$ – în dreapta jos.



În **figura 10.63,b** ecuațiile sunt aceleași, cu cele din figura anterioară din stânga, diferența rezultând din dublarea domeniului variabilei θ , adică, $\theta \in [-\pi, +\pi]$.

FSM-CE au darul de-a putea reprezenta și suprafețele unor artefacte ca amforă (**Fig. 10.64**), vase de flori (**Fig. 10.65 și 10.66** - dreapta), statui stilizate (**Fig.10.66** - stânga), dansuri stilizate (**Fig. 10.67**) ș.a.

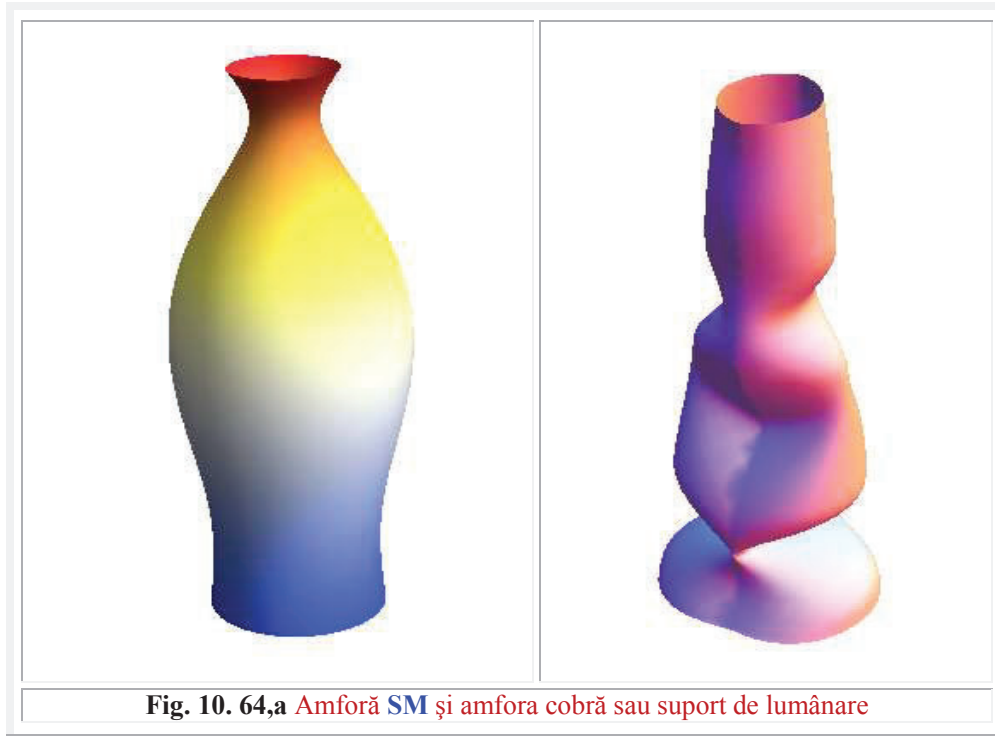


Fig. 10. 64,a Amforă SM și amfora cobră sau suport de lumânare

Amfora din figura 10.64 are ecuațiile parametrice

$$(10.83) \quad \begin{cases} x = Rex \alpha \cdot \cos \theta \\ y = Rex \alpha \cdot \sin \theta \\ z = u \end{cases} \text{ cu } \alpha, \theta \in [0, 2\pi],$$

iar amfora cobră, din aceeași figură, ecuațiile parametrice în care $Rex \alpha$ s-a modificat prin înlocuirea FCC $\cos \alpha$, de sub semnul radical cu FSM-CE $cexs$ și cu FSM-CE modificată / combinată $sex(\theta, s)$, adică

$$(10.84) \quad \begin{cases} x = \cos \theta \cdot \sqrt{1 + s^2 - 2s \cdot cex(s, S(s = 0,89, \varepsilon = 0))} = \\ \quad \cos \theta \cdot \sqrt{1 + s^2 - 2s \cdot \cos [s - \arcsin (s \cdot \sin s)]} \\ y = \sin \theta \cdot \sqrt{1 + s^2 - 2s \cdot \sin (s - \arcsin [\sin \theta])} \cos \left(\frac{s}{2}\right) \\ z = 0,9 \alpha \end{cases}$$

în care $\theta \in [0, 2\pi]$ și $s \in [-3,6\pi; \pi/2]$.

Prima amforă din stânga figurii 10.65 are ecuațiile parametrice

$$(10.85) \quad \begin{cases} x = \cos \theta \cdot Rex[s, S(s \in [0,1], \varepsilon = 0)] \\ y = \sin \theta \cdot Rex[s, S(s \in [0,1], \varepsilon = 0)], \text{ cu } \theta \in [0, 2\pi] \text{ și } s \in [-3,6\pi; 0] \\ z = s \end{cases}$$

în care se observă folosirea **FSM-CE** radial excentric de variabilă centrică în care variabila centrică α a fost înlocuită cu **excentricitatea numerică s**, adică **Rexs**.

Amfora din dreapta are ecuațiile parametrice

$$(10.86) \quad \begin{cases} x = \cos\theta \cdot \sqrt{1 + s^2 - 2s \cdot \cos [s - \arcsin (0,98 \sin s)]} \\ y = \sin\theta \cdot \sqrt{1 + s^2 - 2s \cdot \sin [s - \arcsin (\sin s)]} \cdot \cos \frac{s}{2} \text{ cu } \theta \in [0, 2\pi] \text{ și } s \in [-3,6\pi; 0,5\pi]. \end{cases}$$

$z = 0,9 s$

Aici, FCC \cos a fost înlocuită cu $\text{cex}[s, S(s = 0,98, \epsilon = 0)]$ în prima ecuație $x(\theta,s)$ și cu $\text{sex}[s, S(s = 1, \epsilon = 0)]$ în a doua ecuație, adică în $y(\theta,s)$.

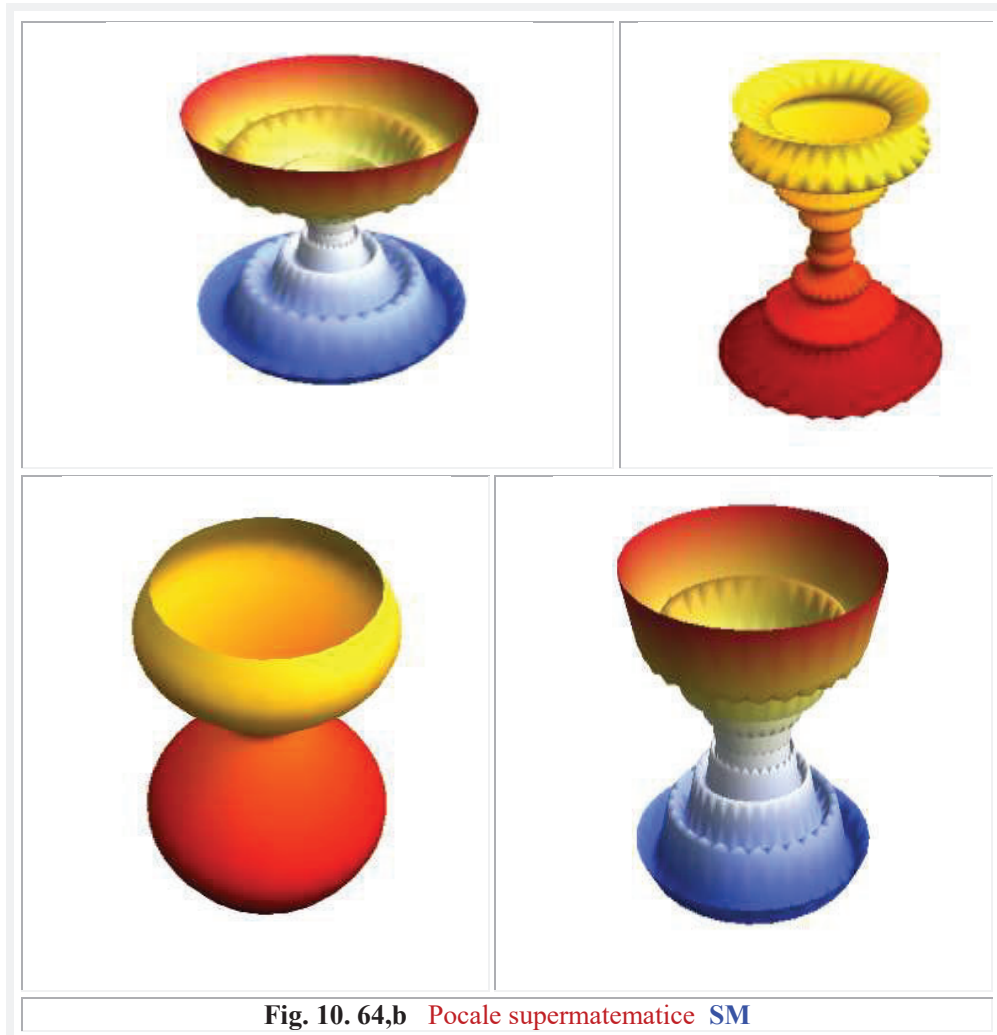


Fig. 10. 64,b Pocale supermatematice SM

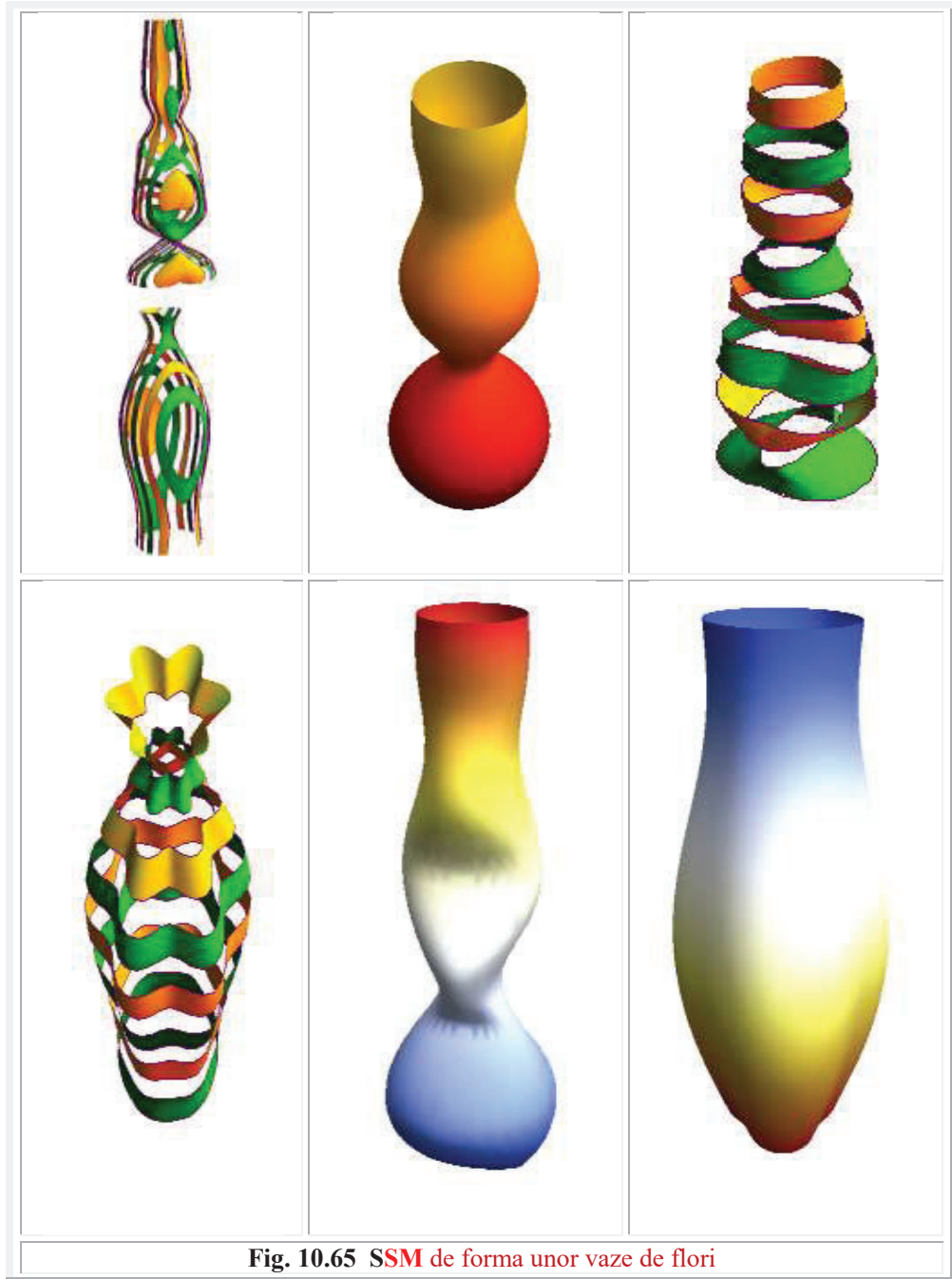


Fig. 10.65 SSM de forma unor vase de flori

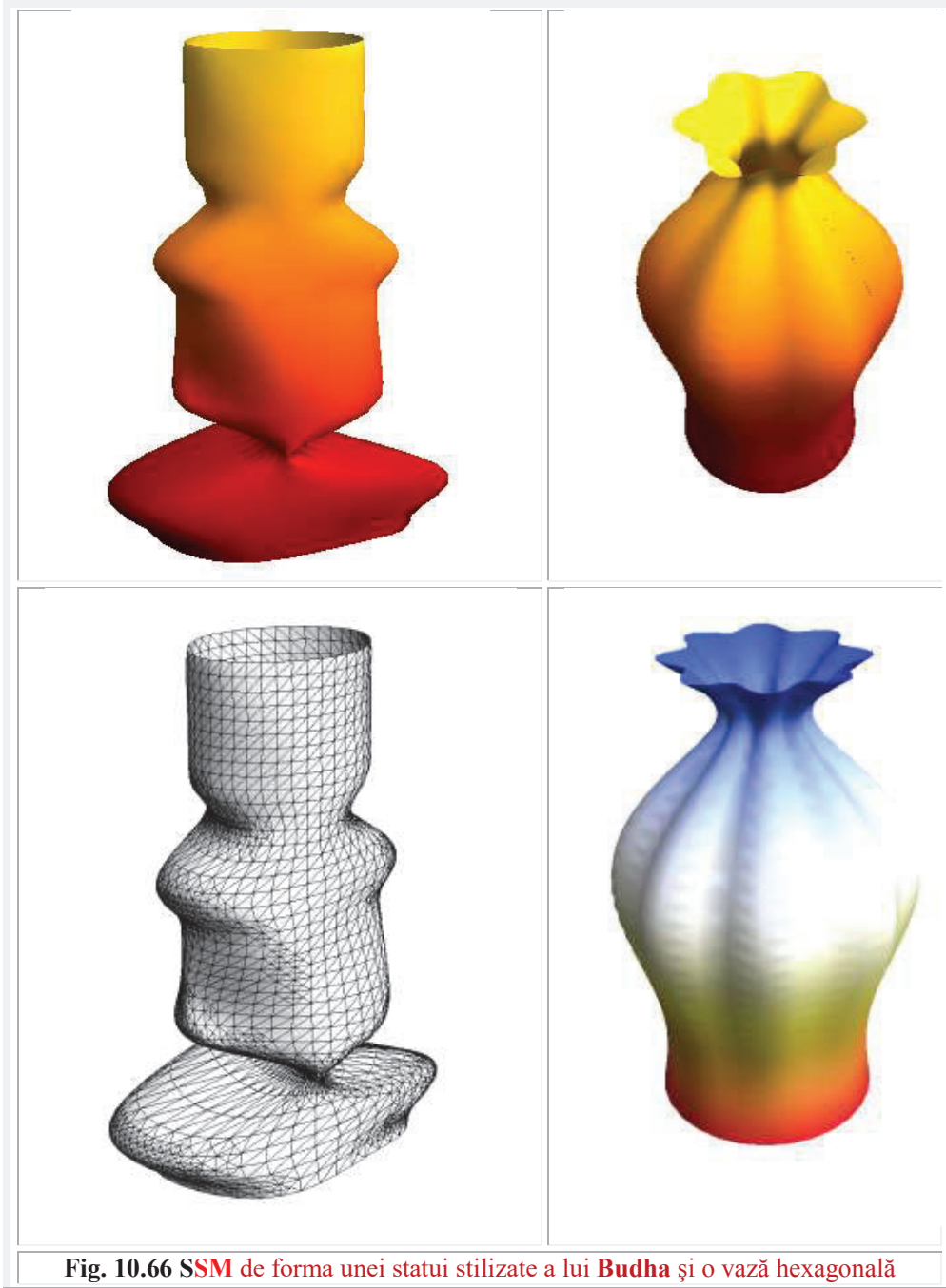


Fig. 10.66 SSM de forma unei statui stilizate a lui **Budha** și o vază hexagonală

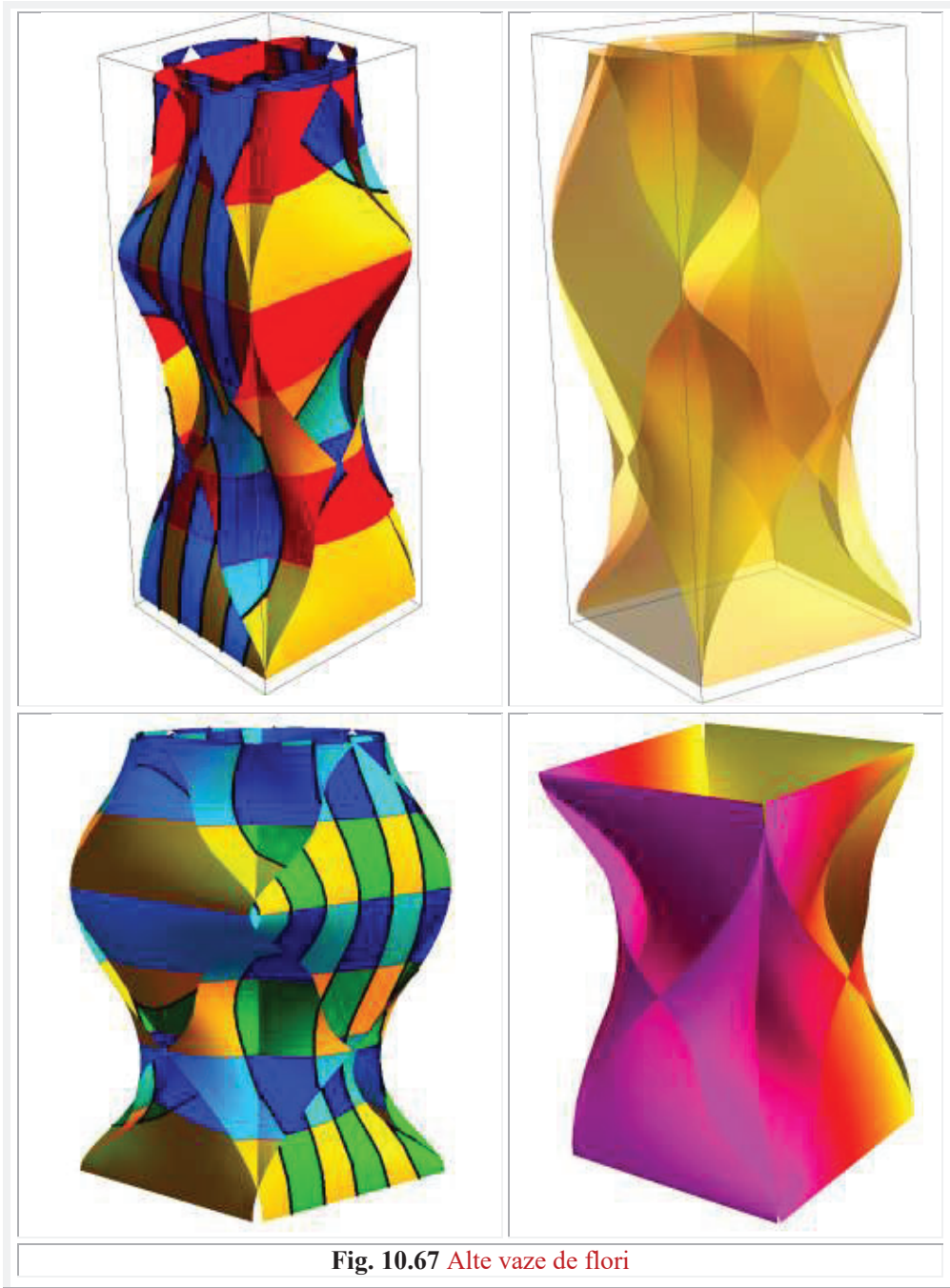


Fig. 10.67 Alte vase de flori

Motto “ Ceea ce este supus mișcării nu se poate odihni cu tâmpla pe static.
De aceea, când încearcă să se odihnească, de fapt visează”
Nichita Stănescu

Capitolul 11

FUNCȚIILE $\text{cex}\theta$ ȘI $\text{sex}\theta$ CA SOLUȚII ALE UNOR ECUAȚII DIFERENȚIALE LINIARE DE ORDINUL DOI CU COEFICIENȚI VARIABILI

11.1 SISTEMUL OSCILAȚIILOR EXCENTRICE (SOE)

Fie cercul $C(O,R)$, **excentrul** $E(e,\epsilon)$, dreapta $d = d^+ \cap d^-$, cu cele două semidrepte [pozitivă (+) și negativă (-)], adiacente în E și punctele $M_{1,2} = C(O,R) \cap d$. Dreapta d , turmantă în jurul excentrului $E(e,\epsilon)$, cu viteza unghiulară constantă Ω , are direcția dată de unghiul $\theta = \Omega.t$ cu axa $Ox > 0$. În acest fel, punctele $M_{1,2}(R, \alpha_{1,2})$ se rotesc pe cercul C , într-o **mișcare circulară excentrică (MCE)**, cu o viteză unghiulară $\omega_{1,2} = \Omega \text{dex}_{1,2}\theta$. Ea este constantă, dacă $e = 0$ și variabilă, dacă $e \neq 0$ și $e^2 \leq R^2$ sau $-1 \leq s = e/R \leq 1$, adică pentru un **excentru** E aparținând discului circular de rază R și, **inclusiv**, cercului C . Modulele vitezelor punctelor $M_{1,2}$ pe C sunt date de relația $v_{1,2} = R.\omega_{1,2} = R.\Omega.\text{dex}_{1,2}$.

Pozițiile punctelor $M_{1,2}$ sunt date de coordonatele polare $(R, \alpha_{1,2})$ în reperul cu originea în centrul $O(0,0)$ și de $(r_{1,2}, \theta)$ în reperul cu originea în excentrul E , în care, razele polare excentrice $r_{1,2}$ sunt, așa cum se știe, date de funcțiile radial excentric, fie în funcție de **variabila centrică** $\alpha_{1,2}$ fie de cea **excentrică** θ de expresiile

$$(11.1) \quad r_{1,2} = R. \text{Rex}\alpha_{1,2} = R. \text{rex}_{1,2}\theta$$

Coordonatele carteziene ale punctelor $M_{1,2}$ sunt

$$(11.2) \quad (x_{1,2} = R.\cos\alpha_{1,2}; y_{1,2} = R.\sin\alpha_{1,2}) \text{ în reperul cu originea în } O(0,0) \text{ și}$$

$$(11.3) \quad (x_{1,2} = R.\text{cex}_{1,2}\theta; y_{1,2} = R.\text{sex}_{1,2}\theta) \text{ în același reper, dar exprimate cu ajutorul funcțiilor supermatematice circulare excentrice (FSM-CE) cu excentrul în } E(e_x, e_y).$$

Proiecțiile mișcării punctelor $M_{1,2}$, pe oricare două axe rectangulare, reprezintă o mișcare de oscilație / vibrație a unui sistem, pe care Prof. dr. math. **Emilia Petrișor** l-a denumit **sistemul oscilațiilor excentrice (SOE)**.

În **figura 11.1**, sunt reprezentați vectorii de poziție, vitezele și accelerațiile punctelor $M_{1,2}$ în **MCE** și, prin proiecțiile acestora, mărimile de vibrație din **SOE**. Mărimi reprezentate grafic în **figurile 11.5, 11.6 și 11.7**. Graficele vitezelor unghiulare

și a accelerațiilor unghiulare sunt date în **figura 11.8**. Ele sunt reprezentate și în schema explicativă din **figura 11.1**. În toate cazurile – ca și în **figura 11.1**- s-a considerat raza R egală cu amplitudinea A a vibrației, adică $R = A = 1 \rightarrow \mathbf{e} = \mathbf{s} \in [0,1]$, $\varepsilon = 0 \rightarrow$ excentrul $\mathbf{E} \equiv \mathbf{S} \subset \text{Ox}$.

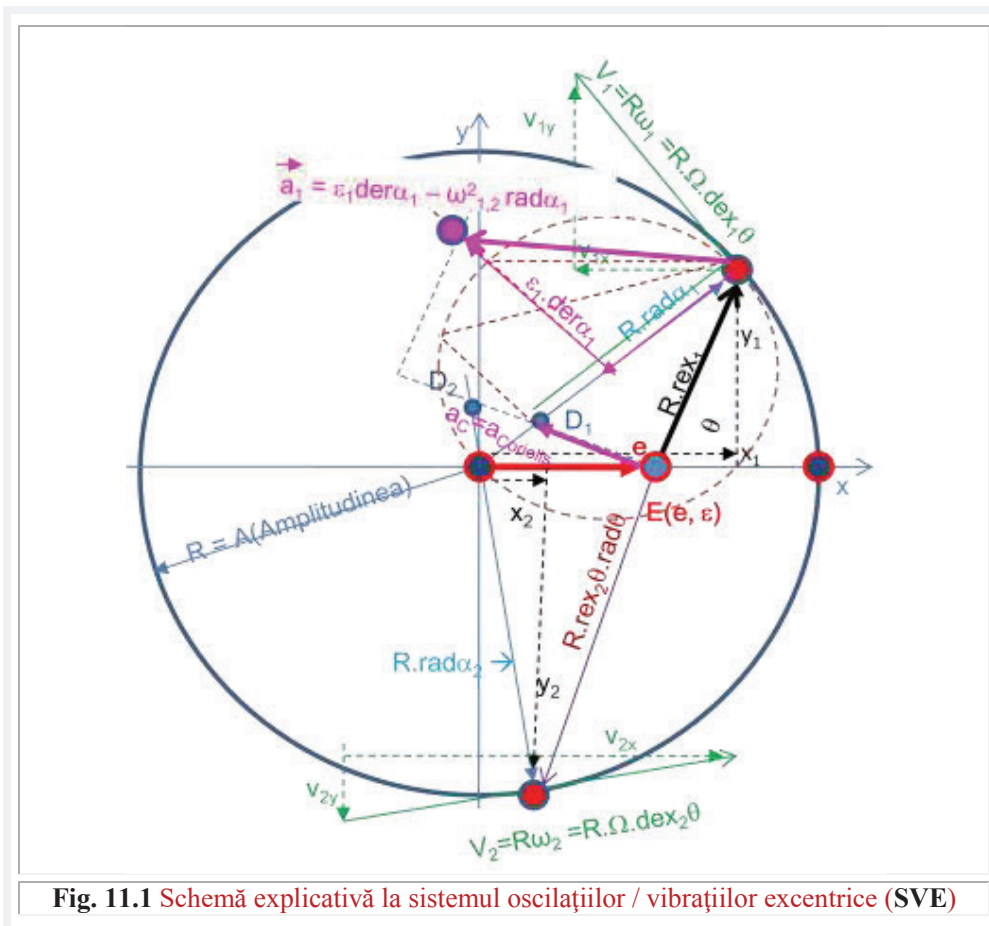
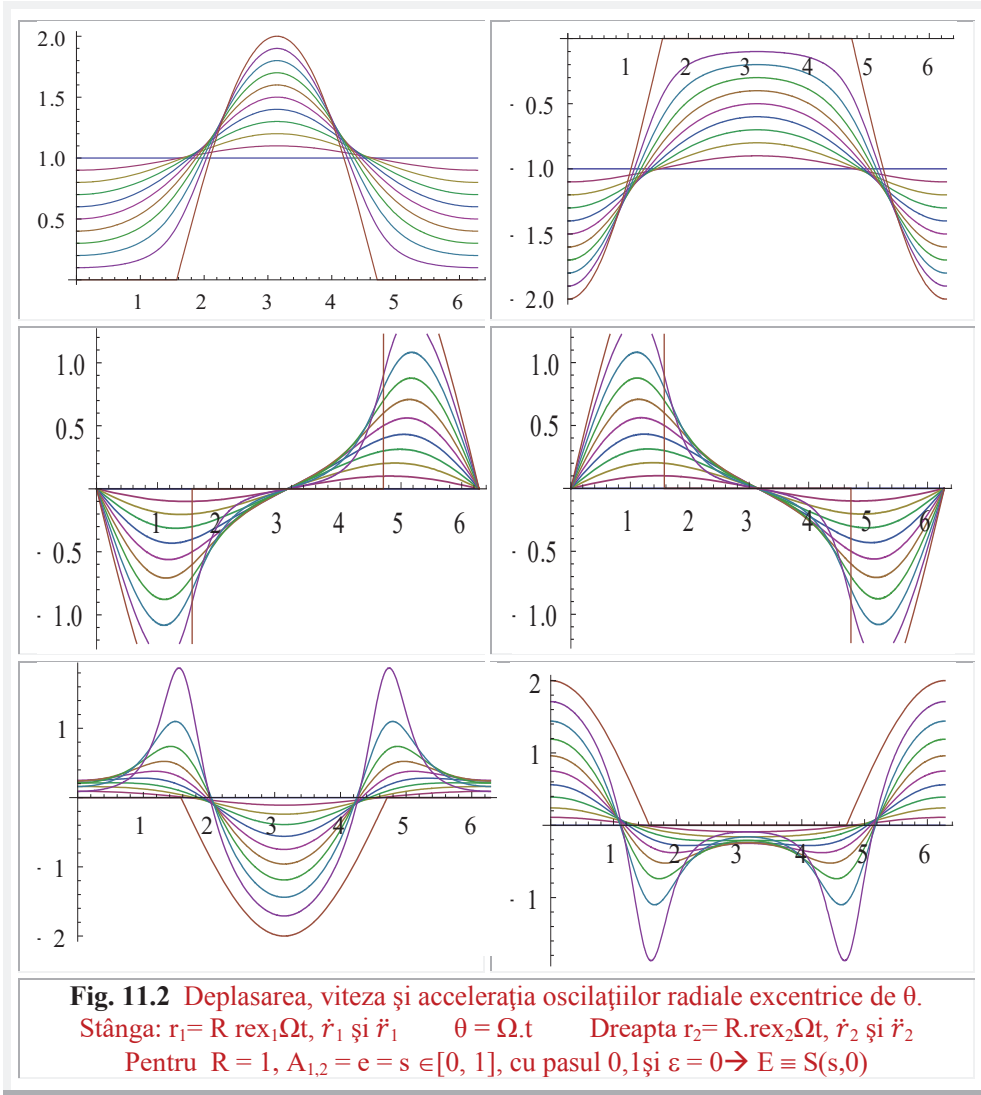


Fig. 11.1 Schemă explicativă la sistemul oscilațiilor / vibrațiilor excentrice (SVE)

11.2 SISTEMUL OSCILAȚIILOR RADIALE EXCENTRICE (ORE)

Nu există nicio rațiune pentru care variațiile în modul ale razelor polare excentrice $r_{1,2}$ să nu poată fi considerate ca **oscilații** / pulsații sau vibrații **radiale excentrice (ORE)**.

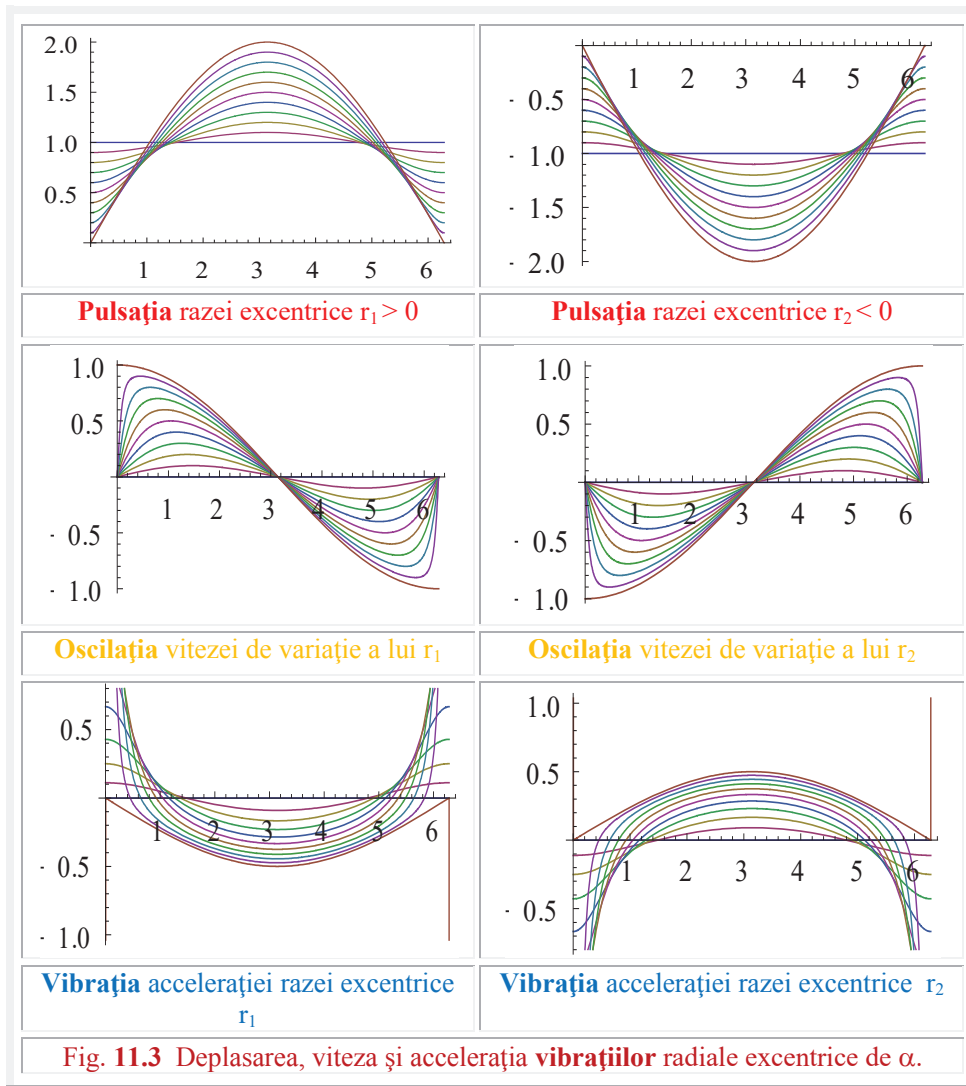
Variația periodică **simetrică** a valorii unei marimi, în raport cu o anumită valoare (de referință), este denumită **oscilație**. Acesta este cazul variațiilor lui $r_{1,2}(t)$ față de axa $Y = R = 1$, în cazul de față.



Dacă alternanțele sunt numai de un **singur sens**, cum este cazul accelerași mărimii $r_{1,2}$, dar față de reperul $Y = 0$, atunci vibrația se denumeste **pulsație**. O mișcare

pulsatorie nu trebuie confundată cu **pulsația proprie** Ω , în cazul de față, a unui sistem vibrant.

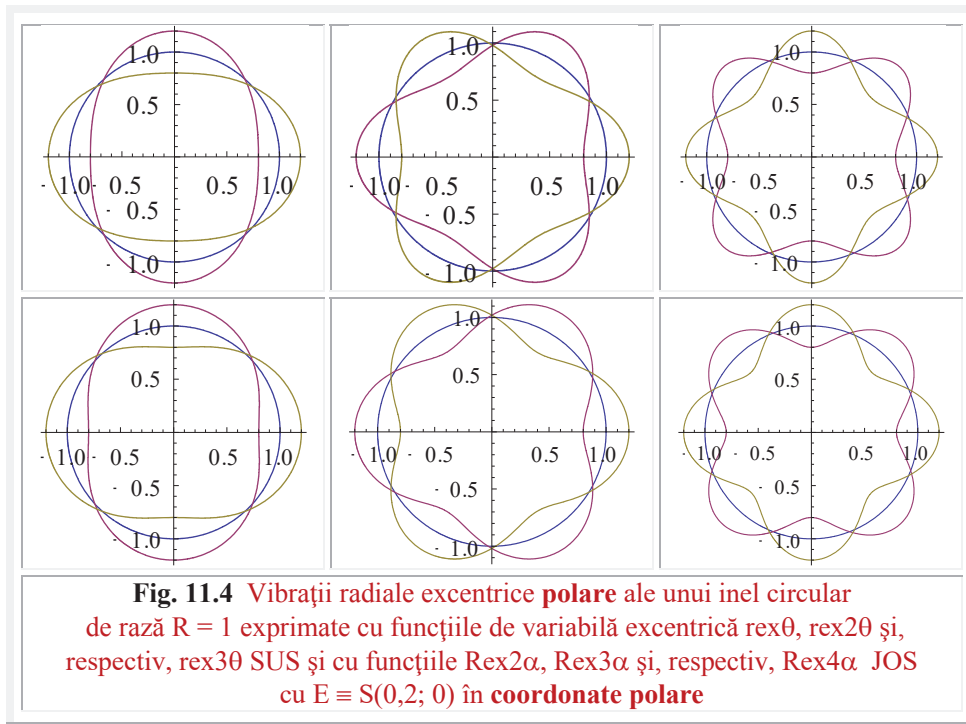
Vibrația este o denumire mult mai cuprinzătoare, care le include pe cele precedente și, în plus, poate fi atribuită oricărei variații periodice.



Oscilațiile, pulsațiile și vibrațiile sunt funcții de timp, dar funcția de timp poate fi exprimată prin intermediul variabilei excentrice $\theta(t)$, dacă mișcările / deplasările sunt reprezentate de razele polare excentrice de variabilă excentrică $\theta = \Omega t$, adică, $r_{1,2}(t) =$

$R \cdot \text{rex}_{1,2}\theta$ (**Fig. 11.2**) și / sau **ORE** de $\alpha(t)$, dacă mișcarea este reprezentată de **FSM-CE** radial excentrică de variabilă centrică $\alpha = \Omega t$, (**Fig. 11.3**), adică, $r_{1,2} = R \cdot \text{Rex}\alpha_{1,2}$.

Pulsațiile / impulsurile sunt de aceeași perioadă T , respectiv de aceeași pulsație proprie Ω și de amplitudine (maximă pentru prima determinare de indice 1 și minimă –sau maximă negativă– pentru a doua determinare, de indice 2) $A_{p1,2} = \pm(A \pm e)$, în care e este excentricitatea $e = R \cdot s \in (0, 1]$. În același timp, oscilațiile sunt de aceeași amplitudine, egală cu excentricitatea $e \in (0, 1]$, considerate față de axa $Y = \pm R = \pm A = \pm 1$, ambele tipuri de **ORE** sunt de **semiperioade** diferite, așa cum rezultă și din **figurile 11.2 și 11.3**.



Asemănările dintre **vibrațiile radiale excentrice** și **vibrațiile radiale clasice** (**Fig.11.4**), moduri de vibrație atribuite unor inele circulare elastice, consistă în faptul că sunt exprimate în coordonate polare. Primele cu ajutorul accelerației funcții radial excentrice, atât de variabile $\theta = \Omega t$, cât și cele de variabilă $\alpha = \Omega \cdot t$, iar cele clasice cu funcții trigonometrice / circulare centrice (**FCC**).

Unele dintre **ORE** clasice sunt reprezentate, în coordonate polare de funcția $\rho = R(1 \pm e \cdot \sin \alpha)$ și diferă ușor de cele prezentate în prezenta lucrare, pentru $e = 0,2$, deci de valori mici și diferă semnificativ dacă **excentricitatea e**, și cu rolul de amplitudine a deformării radiale, crește.

Oscilații și / sau pulsații reprezentate în **coordonate carteziane** se vor denumi **ORE / PRE** și celelalte, reprezentate în coordonate polare, oscilații / pulsații radiale excentrice (**ORE**) **polare** \rightarrow (**OREP/PREP**).

Rezultă că **ORE** sunt proiecțiile pe axele **x** și, respectiv **y** ale **OREP**. Ambele sunt de aceeași perioadă **T**, respectiv de aceeași pulsație proprie **Ω** . Oscilațiile sunt de amplitudine $A_p = \pm(A + e)$, în care $e = R \cdot s \in (0, 1]$ este excentricitatea reală.

Pulsațiile radiale excentrice au elongația maximă $r_M = R + e$ și cea minimă $r_m = R - e$. Concentrat, se poate scrie că elongațiile extreme sunt $r_{m,M} = R \mp e$

Când oscilațiile **ORE** sunt de aceeași amplitudine, egală cu excentricitatea $e \in (0, 1]$, considerate față de axa $Y = \pm R = \pm A = \pm 1$, ambele tipuri de **OPRE** sunt de **semi**-perioade diferite, pulsatorii, în trepte simetrice față de valoarea de nul, în cele doua sensuri de mișcare, așa cum rezultă și din **figurile 11.2 și 11.3**.

Diferențele dintre cele doua semiperioade cresc, cu creșterea amplitudinii oscilației, adică cu excentricitatea e , datorită alunecării punctelor de nul pe axa de referință, în timp ce punctele de extrem raman fixe.

Punctele de extrem sunt date de valorile variabilelor la care se anulează vitezele, adică la $\theta_{1,2}(t) = \alpha_{1,2}(t) = \pi \pm k \cdot \pi \rightarrow t_{\text{extrem}} = \frac{\pi \pm k \cdot \pi}{\Omega}$, așa cum se poate urmări și în graficele vitezelor **SOE** și a **ORE**. Punctele de nul ale oscilațiilor se obțin pentru $\alpha_{1,2} = \frac{\pi}{2} \pm k \pi$ și, respectiv, primul punct de nul, al variabilei excentrice, se obține pentru $\theta_0 = \frac{\pi}{2} + \beta(\alpha = \pi/2)$.

Se știe că pentru $\alpha = \alpha_1$

$$(11.4) \quad \beta(\alpha) = \frac{s \cdot \sin \alpha}{R e x \alpha} = \frac{s \cdot \sin \alpha}{\sqrt{1+s^2-2s \cdot \cos \alpha}}, \quad \text{astfel că pentru } \alpha = \frac{\pi}{2} \text{ se obține}$$

$$(11.5) \quad \beta\left(\alpha = \frac{\pi}{2}\right) = \frac{s}{\sqrt{1+s^2}} \quad \text{și} \quad \theta_0 = \frac{\pi}{2} + \frac{s}{\sqrt{1+s^2}}.$$

Următorul punct de nul se obține pentru $\theta_0' = \frac{3\pi}{2} - \beta\left(\alpha = \frac{\pi}{2}\right) = \frac{3\pi}{2} - \frac{s}{\sqrt{1+s^2}}$, apoi punctele se succed în același mod. Punctele de nul, în funcție de timp, vor fi

$$(11.6) \quad t_0 = \left(\frac{\pi}{2} + k\pi\right) \frac{1}{\Omega} \pm \frac{s}{\Omega \sqrt{1+s^2}} = \frac{1}{\Omega} \left(\frac{\pi}{2} + k\pi \pm \frac{s}{\sqrt{1+s^2}}\right).$$

Dacă excentricitatea $e = s \rightarrow 0$, atunci **vibrațiile radiale (VR)** încetează, întrucât $r_{1,2} = R = \text{constant}$, pentru că $r_{e x 1,2} \theta = R e x \alpha_{1,2} = \pm 1$.

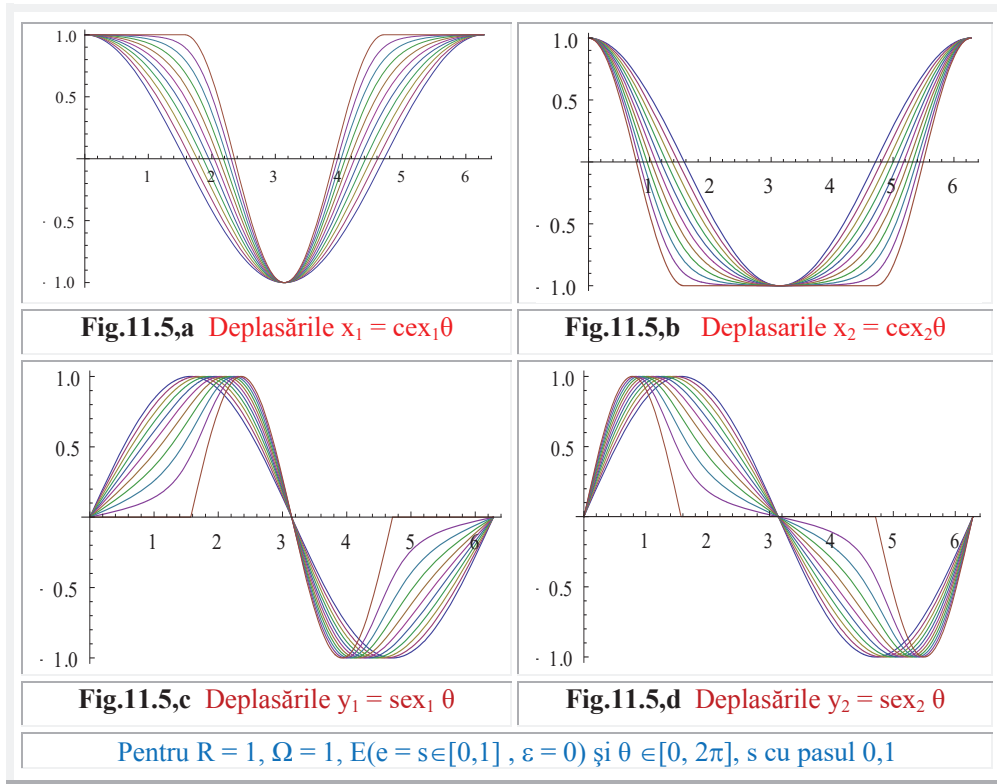
11.3 DEPLASAREA, VITEZA ȘI ACCELERAȚIA ÎN SISTEMUL VIBRAȚILOR EXCENTRICE (SVE)

Dacă relațiile (11.2) și/sau (11.3) reprezintă deplasarea în **MOE**, atunci vitezele sunt date de prima derivată în funcție de timp ale acestora, iar accelerațiile **SOE** de cea de a doua derivată. Scriind deplasările, ca **vectori** în funcții de timp,

$$(11.7) \quad \begin{cases} \vec{x}_{1,2}(t) = R \cdot cex_{1,2}(\Omega t) \cdot rad0 = R \cdot cex_{1,2}(\theta = \Omega \cdot t, E(e, \varepsilon)) \cdot rad0 \\ \vec{y}_{1,2}(t) = R \cdot sex_{1,2}(\Omega t) \cdot der0 = R \cdot sex_{1,2}(\theta = \Omega \cdot t, E(e, \varepsilon)) \cdot der0 \end{cases}$$

ei reprezintă proiecțiile vectorilor de poziție $\vec{R}_{1,2}(t)$ ai punctelor $M_{1,2}$, în **MCE** de excentru **E(e,ε)** punct fix, adică e și ε mărimi constante, având expresiile

$$(11.8) \quad \begin{aligned} \vec{R}_{1,2}(t) &= R \cdot rad\alpha_{1,2}(t) = \vec{e} + \vec{r}_{1,2}(t) = \\ &= e \cdot rad\varepsilon + R \cdot rex_{1,2}(\Omega t) \cdot rad(\theta = \Omega \cdot t). \end{aligned}$$



Vectorii vitezelor mișcărilor de vibrații rectilinii, pe cele două axe x și y, ca derivate ale deplasărilor, sunt

$$(11.9) \quad \begin{cases} \dot{\vec{x}}_{1,2}(t) = \vec{v}_{x_{1,2}}(t) = -R \cdot \Omega \cdot dex_{1,2}(\Omega t) \cdot sex_{1,2}(\Omega t) \cdot rad0^0 \\ \dot{\vec{y}}_{1,2}(t) = \vec{v}_{y_{1,2}}(t) = +R \cdot \Omega \cdot dex_{1,2}(\Omega t) \cdot cex_{1,2}(\Omega t) \cdot der0^0 \end{cases}$$

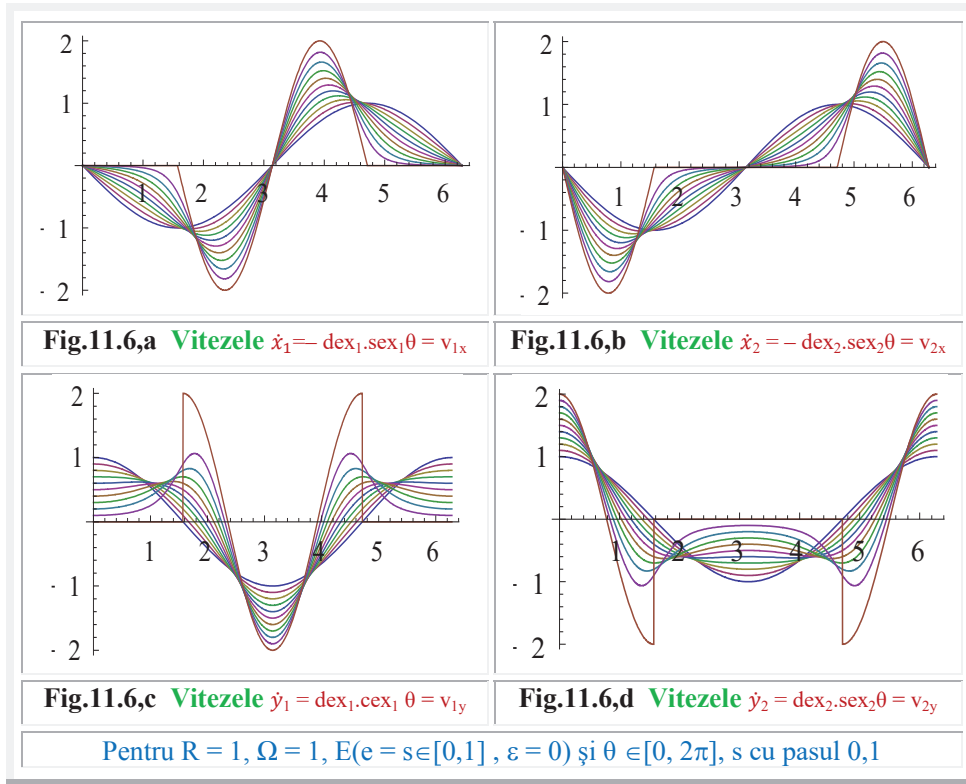
și sunt proiecții ale vectorilor viteză $\vec{v}_{1,2}(t)$ ale punctelor $M_{1,2}$ din MCE a lor de pe cercul C

$$(11.10) \quad \vec{v}_{1,2}(t) = \dot{\vec{R}}_{1,2}(t) = R \cdot \Omega \cdot dex_{1,2}(\Omega t) \cdot der \alpha_{1,2}(t)$$

În aceste relații s-a ținut cont de derivatele cunoscute din volumul I al lucrării

$$(11.11) \quad \dot{rad}_{1,2}(t) = \frac{d[rad_{1,2}(\Omega t)]}{dt} = \frac{d[rad_{1,2}(\theta = \Omega \cdot t)]}{d\theta} \frac{d\theta}{dt} = \Omega \cdot der_{1,2}(\Omega t).$$

Cu puncte s-au notat derivatele în funcție de timp și cu accent au fost notate derivatele în raport cu **variabila excentrică θ** . Accelerațiile acelorași mișcări rectiliniare sunt



$$(11.12) \quad \begin{cases} \ddot{x}_{1,2}(t) = \ddot{a}_{x1,2}(t) = \\ = R \cdot \Omega^2 [dex'_{1,2}(\Omega t) \cdot sex_{1,2}(\Omega t) + dex^2_{1,2}(\Omega t) \cdot cex_{1,2}(\Omega t)] rad 0^0 \\ \ddot{y}_{1,2}(t) = \ddot{a}_{y1,2}(t) = \\ = R \cdot \Omega^2 [dex'_{1,2}(\Omega t) \cdot cex_{1,2}(\Omega t) - dex^2_{1,2}(\Omega t) \cdot sex_{1,2}(\Omega t)] der 0^0 \end{cases}$$

și reprezintă proiecțiile vectorilor accelerațiilor punctelor în **MCE**, obținute prin derivarea, în funcție de timp, a vectorilor viteză (11.7) și au expresiile

$$(11.13) \quad \begin{aligned} \vec{a}_{1,2}(t) &= \dot{\vec{v}}_{1,2}(t) = \ddot{\vec{R}}_{1,2}(t) = \\ &= R \cdot \Omega [\varepsilon_{1,2}(t) \cdot der_{1,2}(\Omega t) - \omega_{1,2}^2(t) \cdot rad_{1,2}(\Omega t)] = \\ &= R \cdot \Omega^2 [dex'_{1,2}(\Omega \theta) \cdot der_{1,2}(\Omega t) - dex^2_{1,2}(\Omega t) \cdot rad_{1,2}(\Omega t)] \end{aligned}$$

Modulele vectorilor accelerațiilor din **MCE** vor fi

$$(11.14) \quad |\vec{a}_{1,2}(t)| = R\sqrt{\varepsilon^2 + \omega^4} = R \cdot \Omega^2 \sqrt{\left[\frac{d(dex_{1,2}(\Omega t))}{d\theta}\right]^2 + dex^4_{1,2}(\Omega t)}$$

în care, **acelerația unghiulară** $\varepsilon_{1,2}$ este derivata vitezei unghiulare $\omega_{1,2}$ și e dată de relația

$$(11.15) \quad \begin{aligned} \vec{\varepsilon}_{1,2}(t) &= \frac{\ddot{\omega}_{1,2}(t)}{dt} = \dot{\vec{\omega}}_{1,2}(t) = \frac{d[\Omega \cdot dex_{1,2}(\Omega t) \cdot der\alpha_{1,2}(\Omega t)]}{dt} = \\ &= \frac{d[\Omega \cdot dex_{1,2}(\Omega t) \cdot der\alpha_{1,2}(\Omega t)]}{d\theta} = \Omega^2 [\varepsilon_{1,2} \cdot der\alpha_{1,2}(t) - \omega_{1,2}^2(t) \cdot rad\alpha_{1,2}(t)] \\ &= \Omega^2 \cdot dex'_{1,2}(\Omega t) \cdot der\alpha_{1,2}(\Omega t) - \Omega^2 \cdot dex^2_{1,2}(\Omega t) \cdot rad\alpha_{1,2}(t) \\ &= \Omega^2 [dex'_{1,2}(\Omega t) \cdot der\alpha_{1,2}(\Omega t) - dex^2_{1,2}(\Omega t) \cdot rad\alpha_{1,2}(t)]. \end{aligned}$$

Se observă că, pentru excentricitate nulă $\mathbf{e} = \mathbf{s} = \mathbf{0}$, viteza unghiulară este

$$(11.16) \quad \omega_{1,2}(t) = \Omega \cdot dex_{1,2}(\theta = \Omega t) = \Omega,$$

deoarece $dex_{1,2}(\theta = \Omega t; e = 0) = 1$, deci, devine constantă, iar accelerația unghiulară (11.15) se anulează ($\vec{\varepsilon}_{1,2}(t) = 0$). Ca urmare, mișcarea circulară excentrică (**MCE**) devine centrică, mișcarea de rotație neuniformă pe cercul C devine uniformă și **SOE** degenerază într-un **sistem centric**.

Vibrațiile radiale excentrice polare (**VREP**), în cazul $e = 0$, încetează, deoarece $r_{1,2}(t, e = 0) \cdot rad_{1,2}\theta = R \cdot rad\alpha_{1,2} \rightarrow \theta = \alpha_1$ și $\alpha_2 = \theta + \pi$, deoarece $\beta_1 = 0$ și $\beta_2 = \pi$, știindu-se că $(\beta_1 + \beta_2 = \pi)$.

Vectorii de poziție ai punctelor $M_{1,2}$ din **E** revin în O, sau razele excentrice devin centrice, adică, modulele vectorilor $r_{1,2}$, care sunt $|\vec{r}_{1,2}| = R$, devin egale cu raza R a cercului pe care are loc, acum, mișcarea circulară centrică.

De la **MCE** se mai știe că:

- Suma razelor excentrice $r_{1,2}$, respectiv a modulelor vectorilor de poziție ai punctelor $M_{1,2}$ din polul E(e,ε), este egală cu produsul razei cercului R și funcția coardă **crd**, adică cu coarda $R \cdot crd[\theta, E(e, \varepsilon)]$ din cercul de rază R, în care, cu $crd[\theta, E(e, \varepsilon)]$ s-a notat funcția coardă dusă prin S(s, ε) în cercul unitate C(O,1), adică

$$(11.17) \quad R \cdot crd[\theta, S(s, \varepsilon)] = r_1 + |r_2|$$

- Suma modulelor vectorilor vitezei unghiulare $\omega_{1,2}$ este egală cu diametrul cercului unitate, adică

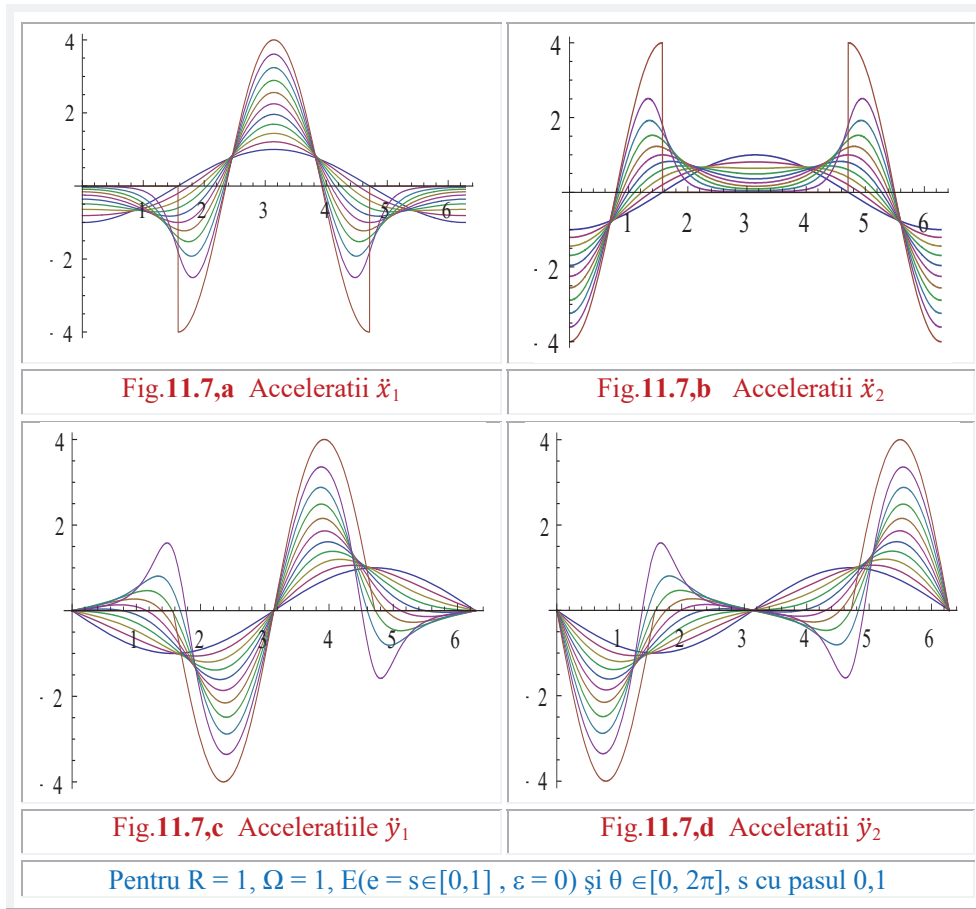
$$(11.18) \quad 2 = \omega_1 + \omega_2$$

- Suma modulelor vectorilor viteză $v_{1,2}$ este egală cu diametrul cercului R pe care are loc MCE, adică

$$(11.19) \quad 2R = v_1 + v_2$$

- Suma accelerațiilor unghiulare $\epsilon_{1,2}$ ale punctelor $M_{1,2}$ este nulă, cele două accelerații fiind egale și de semne opuse, adică

$$(11.20) \quad \epsilon_1 + \epsilon_2 = 0 \quad \rightarrow \quad \epsilon_2 = -\epsilon_1.$$



Unghiurile $\psi_{1,2}$ pe care vectorii accelerațiilor $\vec{a}_{1,2}$, aplicați în $M_{1,2}$, îl fac cu direcțiile radiale centrice, sau, mai precis, cu direcțiile negative ale vectorilor de poziție ($-\vec{R}_{1,2}$) din O ale punctelor $M_{1,2}$, sunt date de raportul componentelor accelerațiilor; cea tangentă la cerc sau accelerația centrifugă $a_{\tau_{1,2}}$ și cea normală la cerc, numită accelerație centripetă $a_{\eta_{1,2}}$, adică

$$(11.21) \quad \psi_{1,2} = \arctan \frac{a\tau_{1,2}}{a\eta_{1,2}} = \arctan \frac{\epsilon_{1,2}}{\omega_{1,2}^2} = \arctan \frac{s(1-s^2)\sin(\theta-\epsilon)}{del_{1,2}\theta \cdot rex_{1,2}^2\theta}$$

11.4 SISTEMUL FUNDAMENTAL DE SOLUȚII

Fie funcțiile (11.3) $x_{1,2}, y_{1,2} : \mathbb{R} \Rightarrow [1, 1]$, modulele vectorilor deplasare (11.7)

$$(11.22) \quad \begin{cases} x_{1,2}(t) = Rcx_{1,2}(\Omega t, E) \\ y_{1,2}(t) = Rsex_{1,2}(\Omega t, E) \end{cases}$$

cu $\Omega = \text{constant}$ și de **același excentru** $E(e, \epsilon)$.

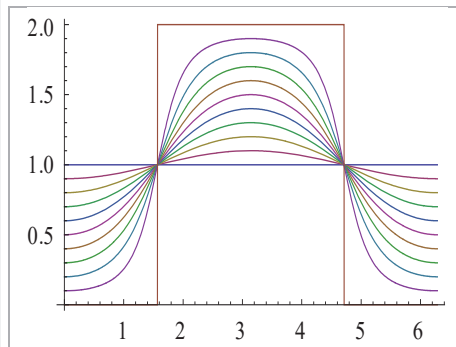


Fig.11.8,a Viteza unghiulară $\omega_1(\theta = \Omega t)$

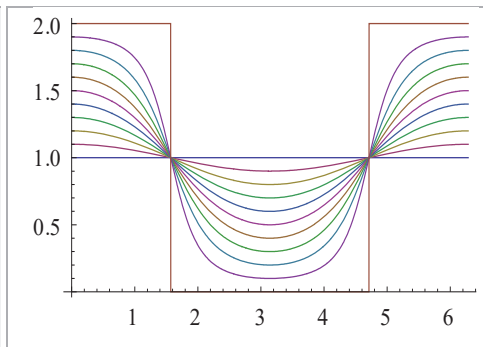


Fig.11.8,b Viteza unghiulară $\omega_1(\theta = \Omega t)$

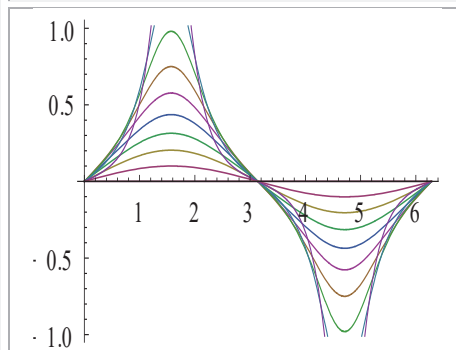


Fig.11.8,c Accelerațiile unghiulare $\dot{\epsilon}_1(\theta = \Omega t)$

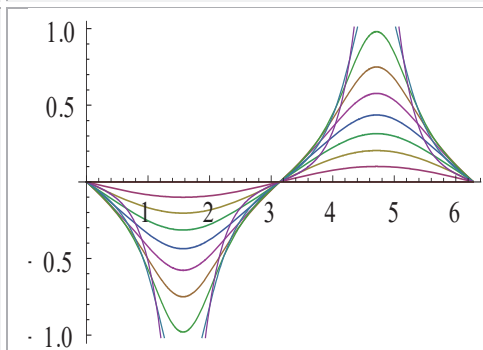


Fig.11.8,d Accelerații unghiulare $\dot{\epsilon}_2(\theta = \Omega t)$

Pentru $R = 1, \Omega = 1, E(e = s \in [0, 1], \epsilon = 0)$ și $\theta \in [0, 2\pi]$, s cu pasul 0,1

Ca ele, și combinațiile lor liniare, de forma

$$(11.23) \quad z(t) = C_1 \cdot \text{cex}_{1,2} \Omega t + C_2 \cdot \text{sex}_{1,2} \Omega t$$

să fie soluții ale ecuației diferențiale liniare de ordinul doi, de forma

$$(11.24) \quad \begin{vmatrix} x & y & z \\ \dot{x} & \dot{y} & \dot{z} \\ \ddot{x} & \ddot{y} & \ddot{z} \end{vmatrix} = 0, \quad \text{sau}$$

$$(11.25) \quad \ddot{z}_{1,2} + p_1 \cdot \dot{z}_{1,2} + p_2 \cdot z_{1,2} = 0,$$

cu coeficienții variabili $p_1(t)$ și $p_2(t)$, este necesar ca matricea lui **H. Wronski**, sau wronskianul **W** să fie diferit de zero.

Matricea wronskiană este

$$(11.26) \quad \mathbf{W} = \begin{vmatrix} x_{1,2}(t) & y_{1,2}(t) \\ \dot{x}_{1,2}(t) & \dot{y}_{1,2}(t) \end{vmatrix} = R^2 \Omega \text{dex}_{1,2}(\Omega t, E) = \omega_{1,2}(t)$$

$$\mathbf{W} \begin{cases} \neq 0 \rightarrow e^2 < R^2 \\ = 0 \rightarrow e = \pm R \end{cases}$$

și, pentru o excentricitate numerică $-1 < s < 1$, interval în care **FSM-CE** derivată excentrică $\text{dex}_{1,2}(\Omega t, E) > 0, \forall t \in \mathbb{R}$ este pozitivă și diferită de zero, adică

$$(11.27) \quad \text{dex}_{1,2}(\theta = \Omega t, s^2 < 1) = \frac{\omega}{\Omega} = \frac{\dot{\alpha}}{\theta} = \frac{\dot{\alpha}}{\Omega} > 0,$$

reprezintă condiția suficientă ca cele două perechi de funcții să fie liniar independente.

În punctele în care $\mathbf{W} = 0$, dar **numai** timp de **o semiperioadă**, pentru că, în semiperioada următoare $W = 2R \cdot \Omega$ pentru $e = \pm R$, s-a constatat [9] că și pentru $s^2 = 1$ sau $s = \pm 1$, **FSM-CE** $\text{cex}_{1,2}(\theta = \Omega \cdot t, s = \pm 1)$ și $\text{sex}_{1,2}(\theta = \Omega \cdot t, s = \pm 1)$ sunt soluții ale ecuației diferențiale (11.25), care, în timpul în care $\mathbf{W} = 0$, soluțiile sunt identic nule, iar în semiperioada următoare ele sunt $x_{1,2}(t) = R \cdot \text{cex}_{1,2} \Omega \cdot t = R \cdot \cos 2 \Omega \cdot t$ și $y_{1,2}(t) = R \cdot \text{sex}_{1,2} \Omega \cdot t = R \cdot \sin 2 \Omega \cdot t$.

Rezultă că perioada de oscilație $T = \frac{2\pi}{\Omega}$ rămâne aceeași în ambele situații.

Coeficienții variabili $p_1(t)$ și $p_2(t)$ se determina cu relațiile cunoscute

$$(11.28) \quad p_1 = \frac{D_1}{W} = - \frac{x_{1,2} \cdot \ddot{y}_{1,2} - y_{1,2} \cdot \ddot{x}_{1,2}}{x_{1,2} \cdot \dot{y}_{1,2} - y_{1,2} \cdot \dot{x}_{1,2}} = - \Omega \frac{1}{\text{dex}_{1,2}(\theta)} \frac{d(\text{dex}_{1,2}\theta)}{d\theta} = - \Omega \frac{d(\ln[\text{dex}_{1,2}\theta])}{d\theta}$$

$$(11.29) \quad p_1 = - \Omega \frac{1}{\text{dex}_{1,2}(\theta)} \frac{d(\text{dex}_{1,2}\theta)}{d\theta} = - \frac{1}{\text{dex}_{1,2}(\theta)} \frac{d(\text{dex}_{1,2}\theta)}{dt} = - \frac{\epsilon_{1,2}}{\omega_{1,2}}$$

$$(11.30) \quad p_2 = \frac{D_2}{W} = \frac{\dot{x}_{1,2} \dot{y}_{1,2} - \dot{y}_{1,2} \dot{x}_{1,2}}{x_{1,2} \cdot \dot{y}_{1,2} - y_{1,2} \cdot \dot{x}_{1,2}} = \Omega^2 \cdot \text{dex}_{1,2}^2 \theta = \omega_{1,2}^2 = \left(\frac{d\alpha_{1,2}}{dt} \right)^2 = \dot{\alpha}_{1,2}^2,$$

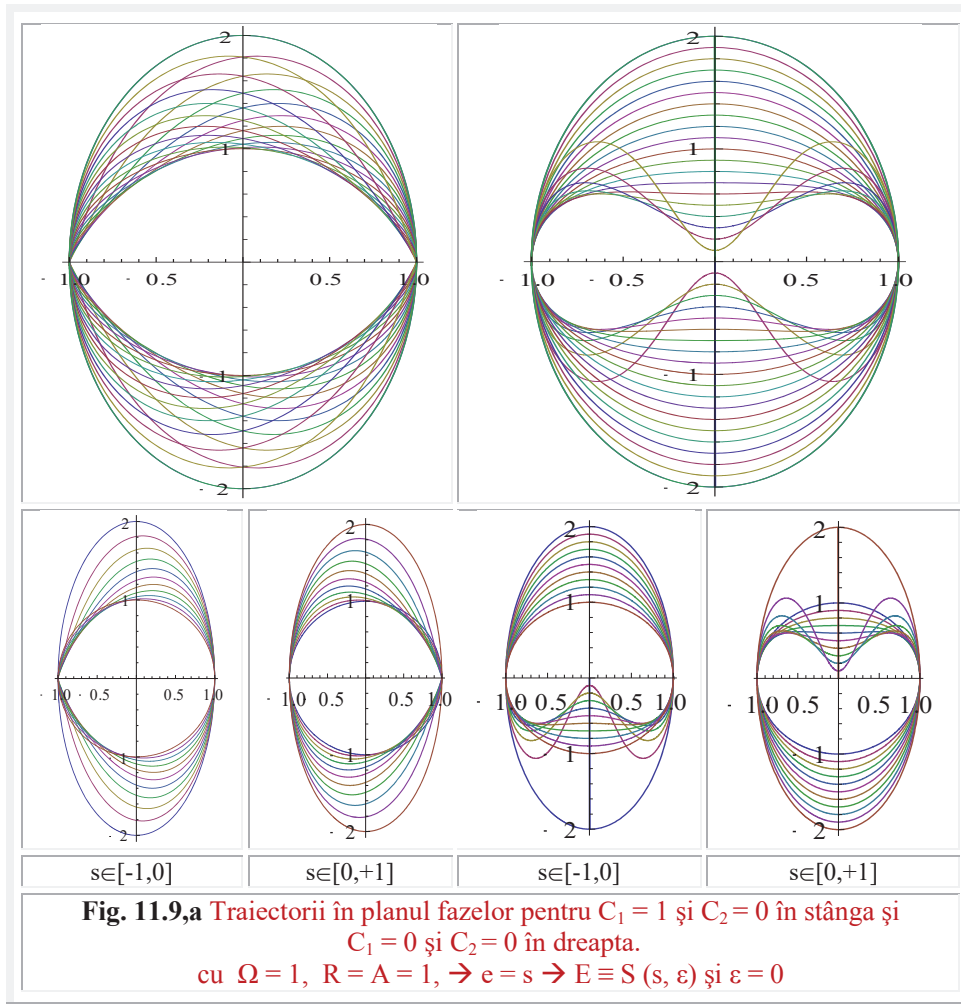
în care, determinanții D_1 și D_2 sunt

$$(11.31) \quad D_1 = - \begin{vmatrix} x_{1,2} & y_{1,2} \\ \ddot{x}_{1,2} & \ddot{y}_{1,2} \end{vmatrix} = - (x_{1,2} \cdot \ddot{y}_{1,2} - y_{1,2} \cdot \ddot{x}_{1,2}) = -R^2 \Omega^2 \text{dex}_{1,2} \theta \text{ și}$$

$$(11.32) \quad D_2 = + \begin{vmatrix} \dot{x}_{1,2} & \dot{y}_{1,2} \\ \ddot{x}_{1,2} & \ddot{y}_{1,2} \end{vmatrix} = \dot{x}_{1,2} \ddot{y}_{1,2} - \dot{y}_{1,2} \ddot{x}_{1,2} = R^2 \Omega^3 \text{dex}_{1,2}^3 \theta$$

În modurile de tratare clasice, din literatura matematică, se exclude cazul în care wronskianul $\mathbf{W} = 0$, caz în care conicele degenerază în două drepte ce trec prin origine, pentru care se anulează numitorul din expresiile (11.22) și (11.23) ale lui p_1 și

p_2 . Ceea ce nu este și cazul de față, care, dimpotrivă, scoate în relief situații surprinzător de importante.



Pentru $W \rightarrow 0$, p_1 și $p_2 \rightarrow \infty$, cazul a două drepte ce trec prin origine, corespunde situației $e = \pm R$ sau $s = \pm 1$, în care, așa cum va rezulta și din grafice (Fig. 11.12), în special în reprezentările din 3D, în mod **surprinzător**, caracteristicile elastice statice (CES) ale SOE sunt din nou liniare, ca și pentru $e = s = 0$!

Prin urmare, SOE admite **trei sisteme liniare**: pentru $\mathbf{e} = \mathbf{0}$, caz evident, întrucât SOE degenează în sisteme liniare, centrice, iar $\mathbf{e} = +\mathbf{R}$ și $\mathbf{e} = -\mathbf{R}$, **constitue surpriza SOE**.

Întroducând expresiile lui p_1 și p_2 în (11.19) se obține expresia finală, deosebit de simplă a ecuației diferențiale a **SOE**

$$\ddot{z}_{1,2} - \frac{\varepsilon_{1,2}}{\omega_{1,2}} \dot{z}_{1,2} + \omega_{1,2}^2 z_{1,2} = 0$$

(11.33)

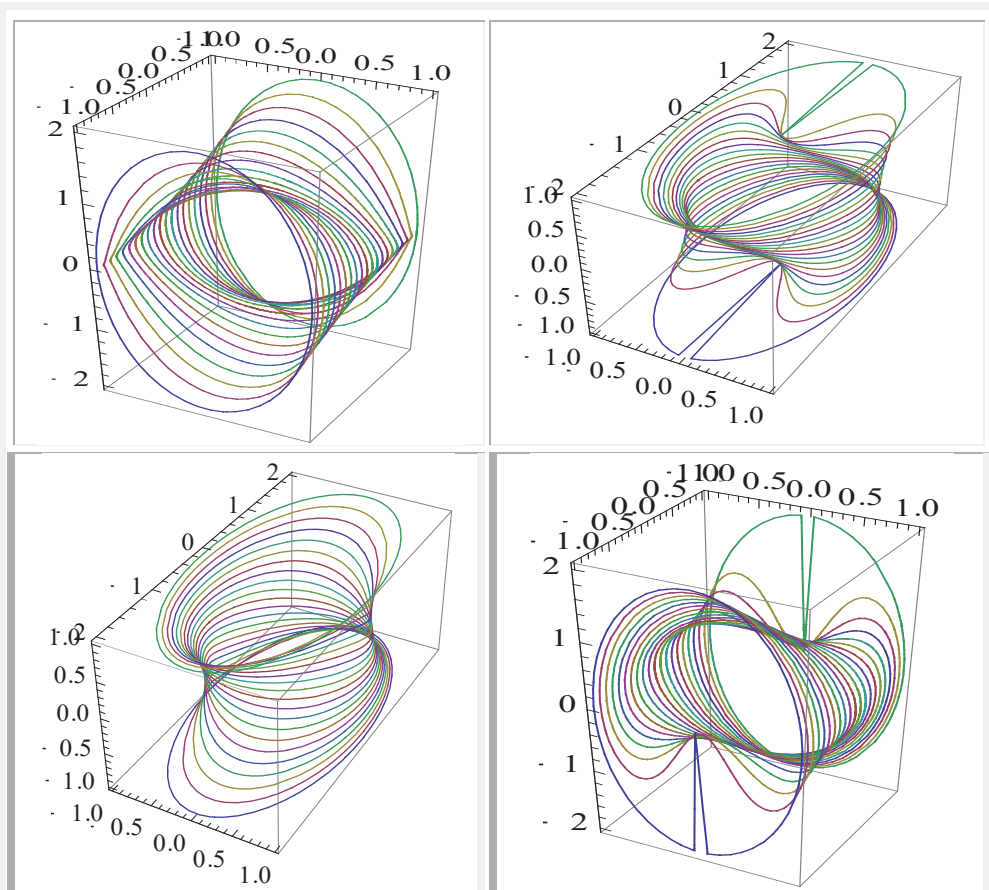
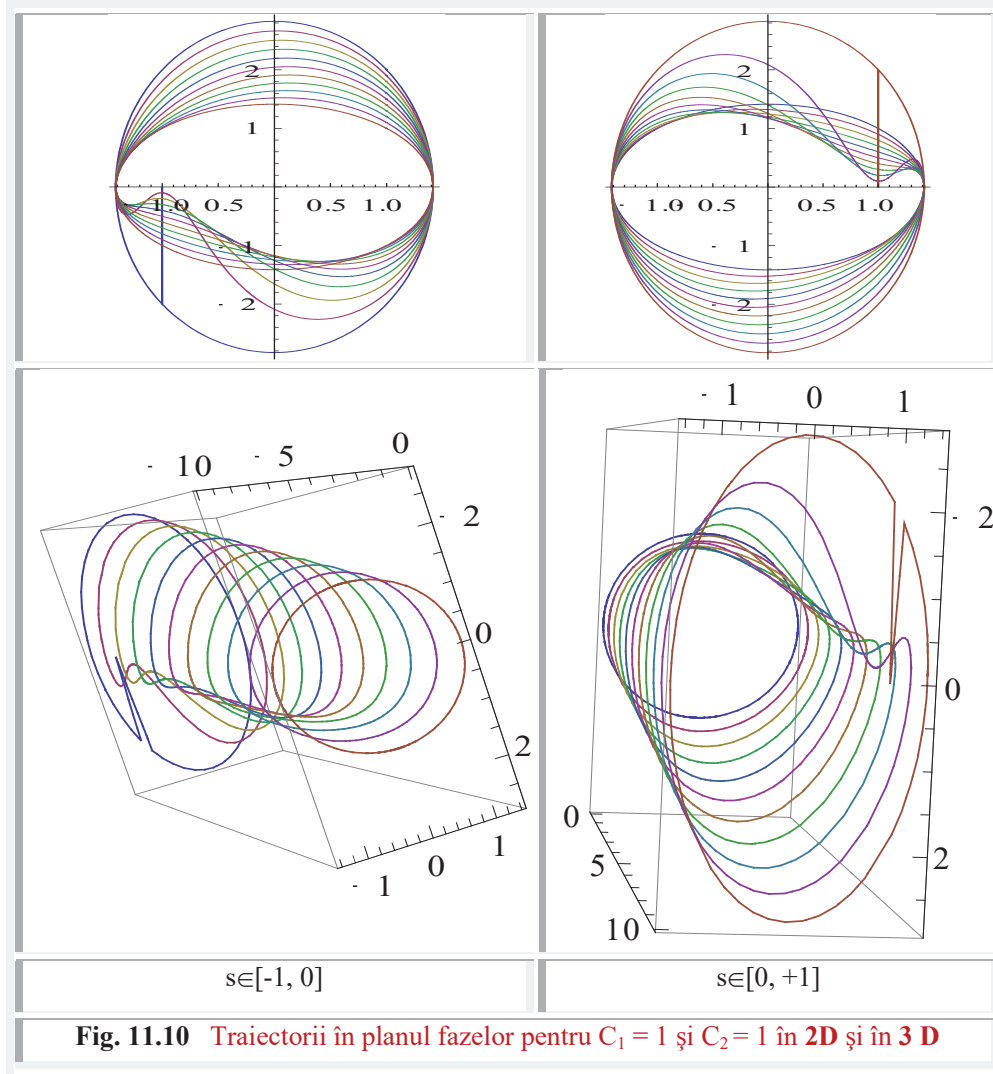


Fig. 11.9,b Traiectorii în planul fazelor pentru $C1 = 1$ și $C2 = 0$ în stânga și $C1 = 0$ și $C2 = 0$ în dreapta cu $\Omega = 1$, $R = A = 1$, $\rightarrow \mathbf{e} = \mathbf{s} \rightarrow \mathbf{E} \equiv \mathbf{S}(s, \varepsilon)$ și $\varepsilon = 0$ reprezentate în 3D cu $z = s \in [-1, 1]$



Întroducând, pe rând, deplasările $x_{1,2} = C_1 \cdot \text{cex}_{1,2}\theta$ și apoi pe $y = C_2 \cdot \text{sex}_{1,2}\theta$, în oricare dintre expresiile ecuației diferențiale, ea devine identic nulă, ceea ce arată că acestea (deplasările) sunt soluții / integrale ale ecuației diferențiale. Pentru că și wronskianul $W \neq 0$ ($W \geq 0$, pentru $e \in [-1, 1]$) rezultă că și combinațiile liniare ale acestora (11.23) sunt integrale / soluții ale ecuației diferențiale a SOE.

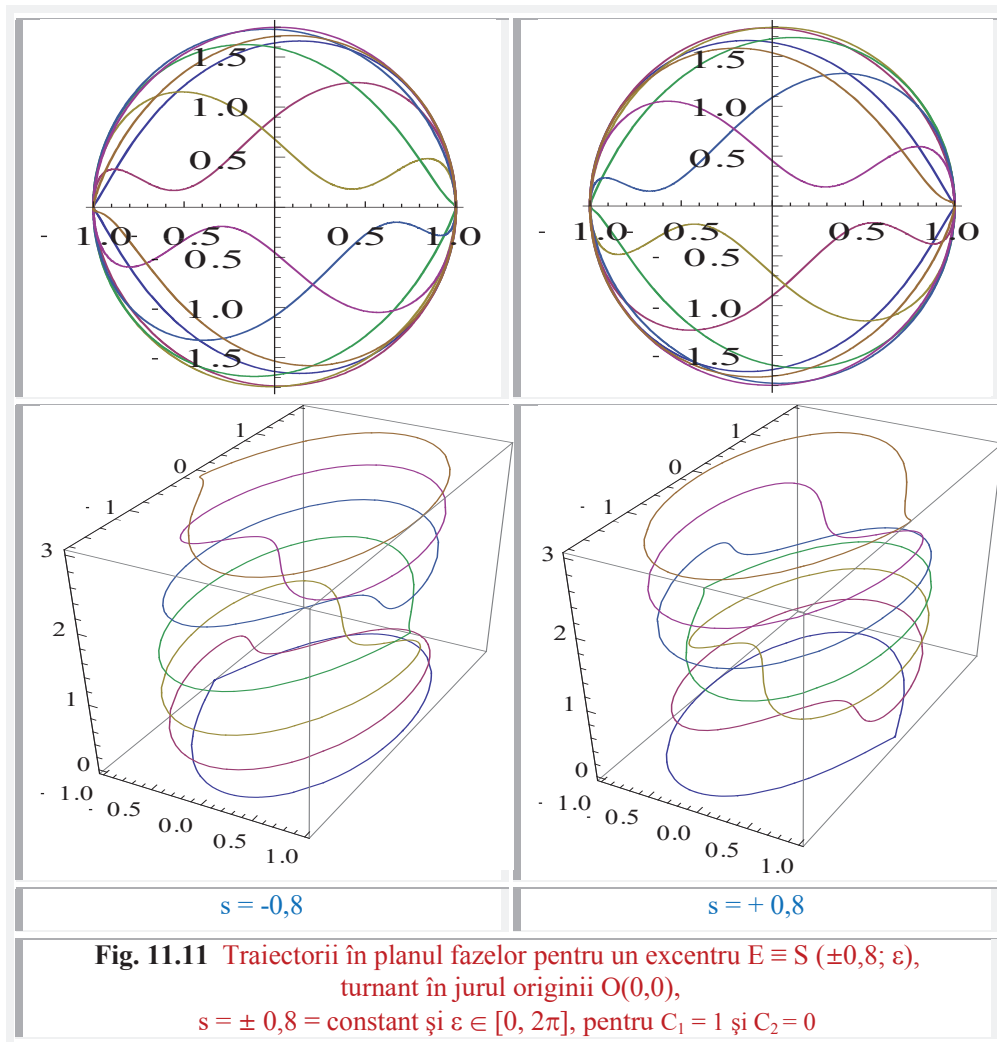
Curbele integrale din planul fazelor sunt reprezentate atât separat (Fig. 11.9 a și b), pentru $C_1 = 1$ $C_2 = 0 \rightarrow z = \text{cex}\theta$ și $C_1 = 0$, $C_2 = 1 \rightarrow z = \text{sex}\theta$, cât și pentru $C_1 =$

$C_2 = 1$, adică, pentru $z = cex\theta + sex\theta$ (**Fig. 11.10**), atât în plan (**2D**) cât și în spațiu**3D**. Ele pot fi reprezentate, fără dificultate, pentru oricare alte valori ale constantelor C_1 și C_2 .

Pentru un excentru **$E(e, \varepsilon)$** turnant în jurul originii O , adică $e = \text{constant}$ și $\varepsilon \in [0, 2\pi]$, curbele integrale din planul fazelor sunt prezentate în **figura 11.11**.

Ecuțiile parametrice ale curbelor integrale din planul fazelor sunt

$$(11.34) \quad M_{1,2} \begin{cases} X_{1,2} = C_1 cex_{1,2}\theta + C_2 sex_{1,2}\theta \\ Y_{1,2} = \dot{X}_{1,2} = -dex_{1,2}\theta (C_1 \cdot sex_{1,2}\theta + C_2 cex_{1,2}\theta) \end{cases}$$



Au fost reprezentate, în figurile anterioare, doar primele determinări, principale, de indice 1, ale **FSM-CE**.

Dacă se consideră masa **m** de oscilație a **SOE** egală cu unitatea de masă ($m = 1$), atunci forța de accelerație a **SOE** este egală cu accelerația masei.

$$(11.35) \quad F_{acc} = m \cdot a = 1 \cdot a = \ddot{z}$$

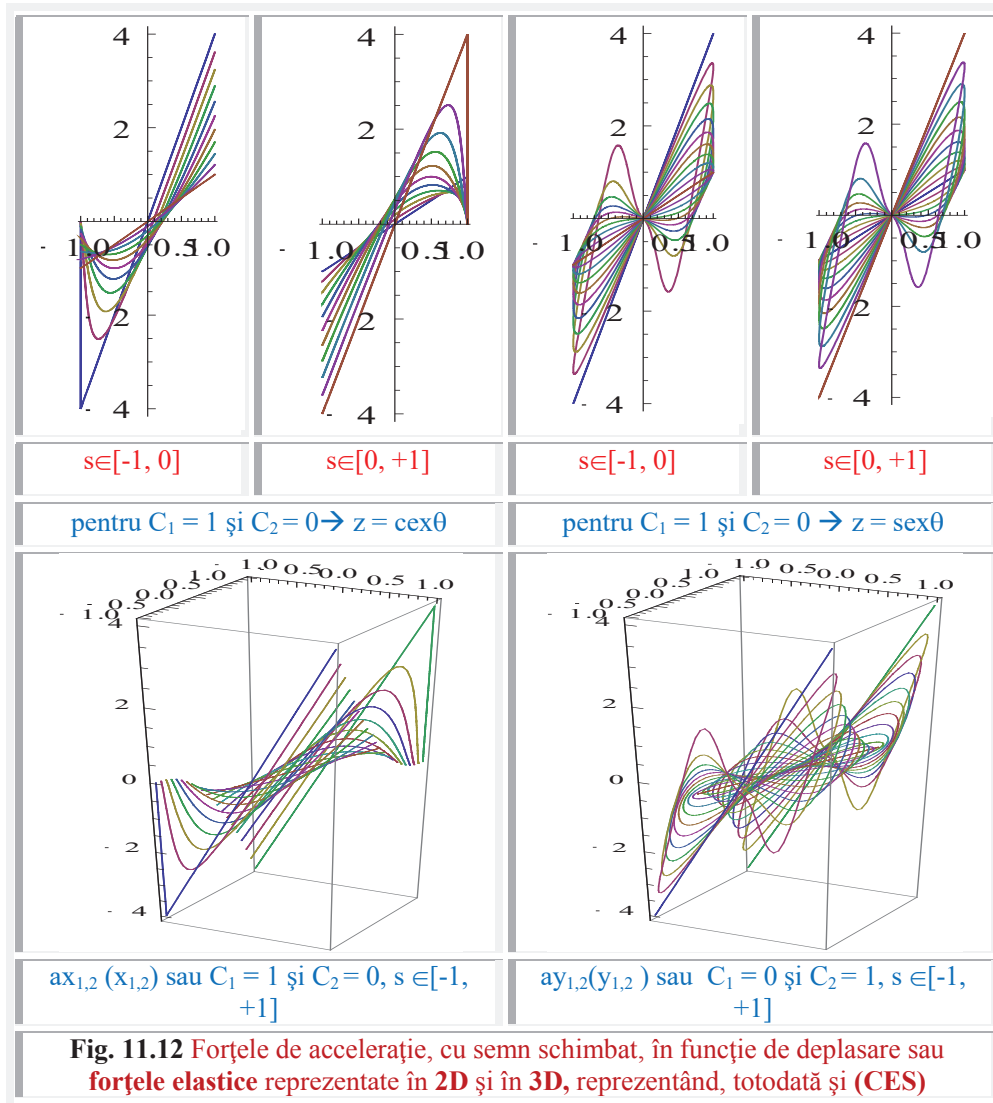


Fig. 11.12 Forțele de accelerație, cu semn schimbat, în funcție de deplasare sau forțele elastice reprezentate în **2D** și în **3D**, reprezentând, totodată și (**CES**)

11.5 FORMA CANONICĂ A ECUAȚIEI DIFERENȚIALE A SOE

Ecuția diferențială (11.25) a **SOE**, în care $p_1=0$, poate fi adusă la forma canonică,

$$(11.36) \quad \frac{d^2z}{d\tau^2} + k(\tau).z = 0, \text{ printr-o schimbare de parametru } \tau = \tau(t), \text{ în care } \frac{1}{k(\tau)} \text{ este curbură centroafină și } s \text{ este arcul centroafin.}$$

Punând condiția $p_1=0$ în ecuația (11.36) rezultă [**Mihaileanu, N.**, GEOMETRIE ANALITICĂ, PROIECTIVĂ și DIFERENȚIALĂ. Complemente, EDP, Buc.,1972, pag. 255...268]

$$(11.37) \quad \tau = a \int e^{-\int p_1} . dt + b = a \frac{\alpha}{\Omega} + b, \text{ a și b fiind constante.}$$

Pentru $a = \Omega$ și $b = 0$, rezultă

$$(11.38) \quad \tau = \alpha = \int \omega . dt \text{ și prima derivată este}$$

$$(11.39) \quad \dot{\tau} = \frac{d\tau}{dt} = \Omega . d\alpha = \omega, \text{ iar a doua derivată este}$$

$$(11.40) \quad \tau = \frac{d^2\tau}{dt^2} = \frac{d\omega}{dt} = \epsilon.$$

Deoarece $\cos\alpha = \mathbf{cex}\theta$ și $\sin\alpha = \mathbf{sex}\theta$, derivatele lui X și Y, în funcție de noul parametru $\tau = \alpha$, sunt

$$(11.41) \quad \begin{cases} X' = -\sin\alpha, \\ X'' = -\cos\alpha \\ Y' = \cos\alpha, \\ Y'' = -\sin\alpha \end{cases}$$

Funcțiile necunoscute p_1 și p_2 sunt acum

$$(11.42) \quad p_1 = 0 \text{ și } p_2 = \omega^2, \text{ astfel că ecuația (11.36) devine}$$

$$(11.43) \quad \frac{d^2z}{d\alpha^2} + \omega^2.Z = 0.$$

Traietoriile, în planul fazelor, sunt acum

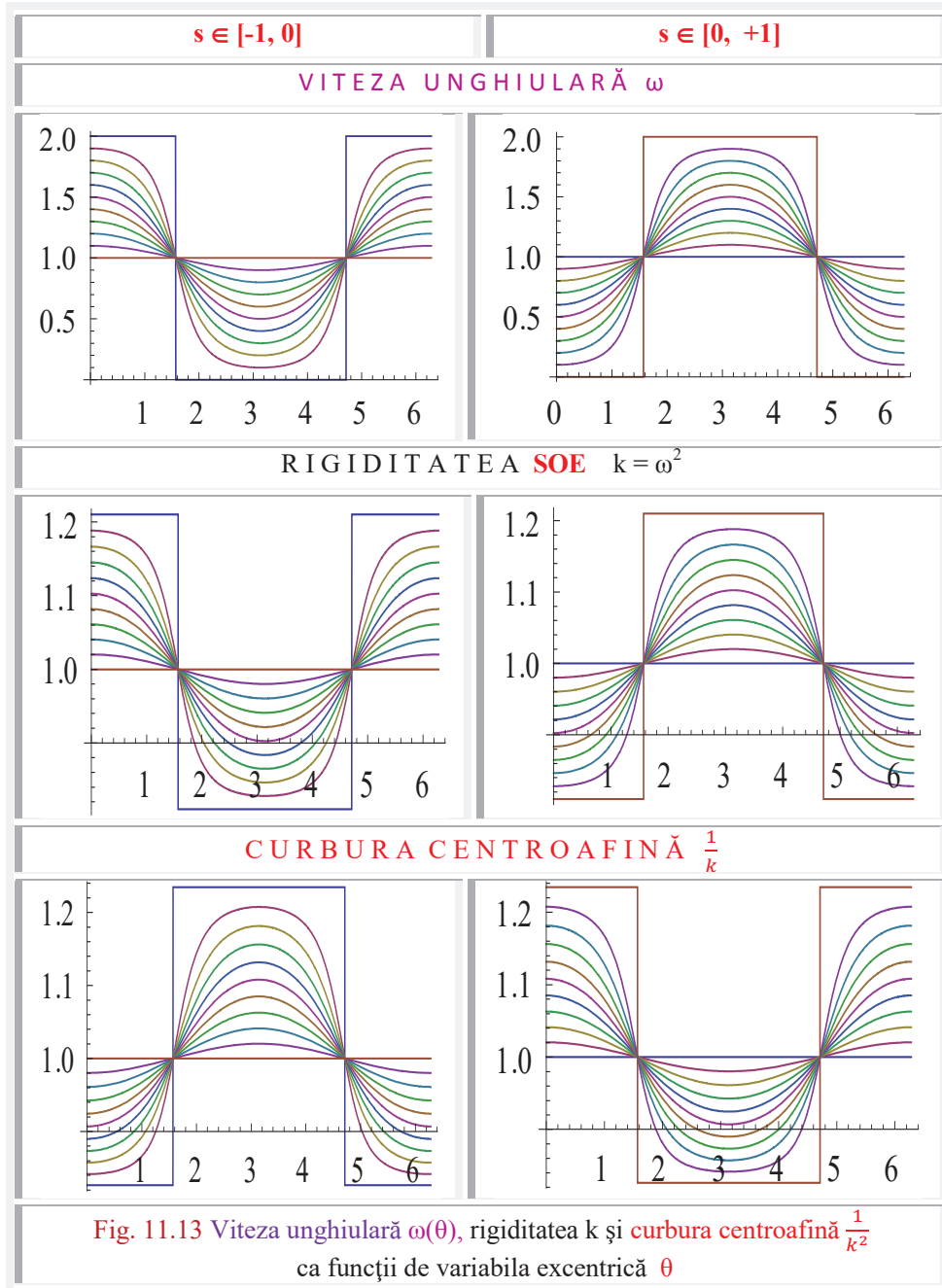
$$(11.44) \quad \mathbf{M}_x \begin{cases} X_x = \cos\alpha_{1,2} \\ Y_x = -\sin\alpha_{1,2} \end{cases} \text{ și } \mathbf{M}_y \begin{cases} X_y = \sin\alpha_{1,2} \\ Y_y = \cos\alpha_{1,2} \end{cases}, \text{ iar caracteristicile forță - deformație / deplasare sau CES au expresiile, pentru } \mathbf{m} = \mathbf{1}$$

$$(11.45) \quad \mathbf{P}_x \begin{cases} X_x = \cos\alpha_{1,2} \\ Y_x = \omega^2 . \cos\alpha_{1,2} \end{cases} \text{ și } \mathbf{P}_y \begin{cases} X_y = \sin\alpha_{1,2} \\ Y_y = \omega^2 . \sin\alpha_{1,2} \end{cases}, \text{ în care indicele x se referă la proiecția } \mathbf{mişcării circulare excentrice (MCE)} \text{ pe axa x și indicele y la proiecția } \mathbf{mişcării}$$
 pe axa y.

Aceste mărimi corespund deplasării, vitezei și accelerației de vibrație pe axa X și, respectiv, Y, ca urmare a proiecției mișcării unui punct, de masă $m = 1$, ce se rotește pe cercul de rază $R = 1$, cu viteza unghiulară variabilă $\omega_{1,2}$, în jurul centrului $O(0,0)$, obținută prin rotirea, în jurul excentrului $\mathbf{E(e,\epsilon)}$ a dreptei generatoare $\mathbf{d} = \mathbf{d}^+ \cup \mathbf{d}^-$ cu o viteză unghiulară constantă Ω .

Un program, de reprezentare a acestor mărimi de vibrație, a fost realizat și prezentat în lucrarea [**Preda Horea, REPREZENTAREA GRAFICĂ A TRAIECTORIILOR DE FAZĂ ALE VIBRAȚIILOR NELINIARE CU SOLUȚII ÎN FUNCȚII (SM) EXCENTRICE**, Com. VI-a Conf. Nat. Vibr. în CM, Timișoara, 1993].

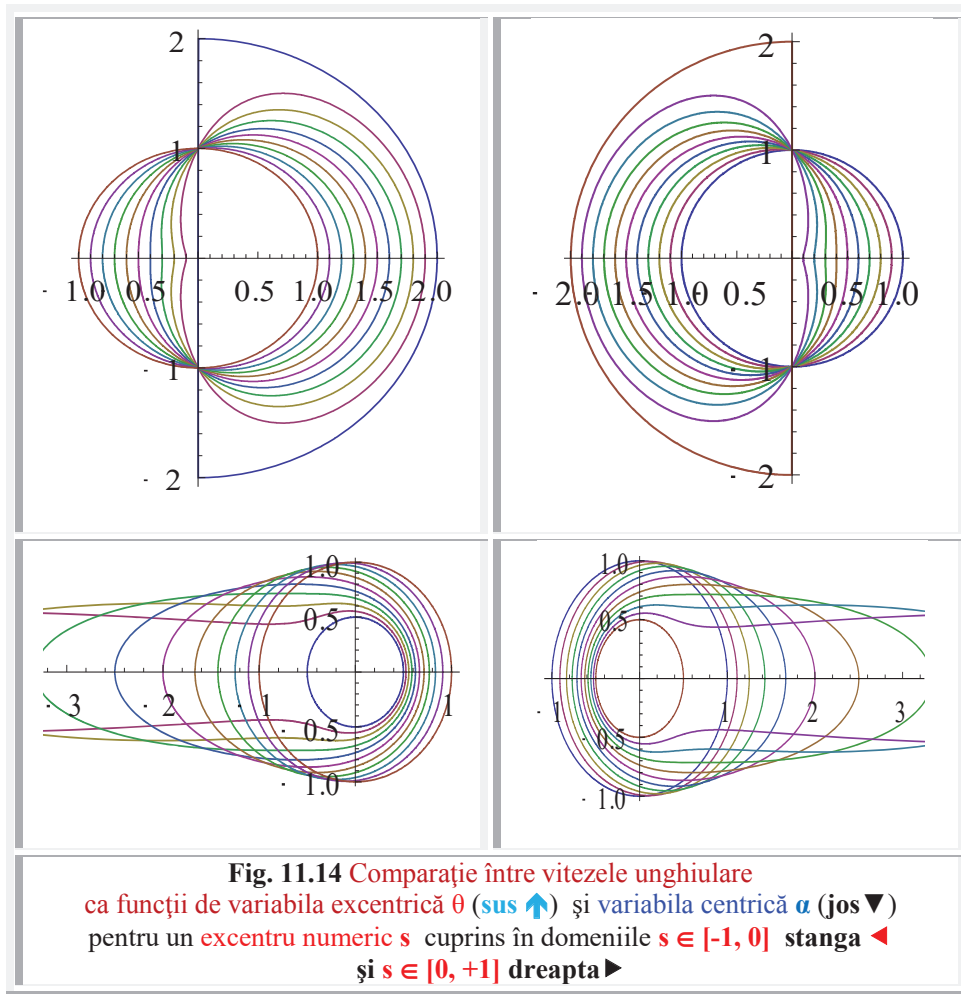
Dacă, în integrala generală (11.23), se notează



$$(11.46) \quad \tan \varepsilon \equiv \operatorname{tg} \varepsilon = \frac{c_2}{c_1} \rightarrow C = \frac{c_1}{\cos \varepsilon}, \text{ rezultă (11.23) de forma}$$

$$(11.47) \quad z(t) = C \cdot \cos(\alpha - \varepsilon) = C \cdot \operatorname{cex}(\theta - \varepsilon) = C \cdot \operatorname{cex}[\theta, E(e, \varepsilon)].$$

Se constată, în concluzie, fără dificultate, că pentru $e = s = 0$, se obțin vibrații liniare. De unde se deduce că sistemul liniar este conținut în **SOE** și este un caz particular, de excentricitate nulă, al **sistemului oscilațiilor excentrice (SOE)**.



Din toate diagramele prezentate în **figurile 11.13, 11.14 și 11.15** rezultă aceleași concluzii. Și anume, că pentru $e = R$ sau $s = 1$, mișcarea este circulară uniformă, sistemul vibrant este liniar, rigiditatea sistemului este, evident, constantă și

pulsația proprie este aceeași cu viteza unghiulară, în toate punctele de pe cerc, adică $\omega = \Omega = 1$, așa cum s-a considerat pentru simplificarea reprezentărilor.

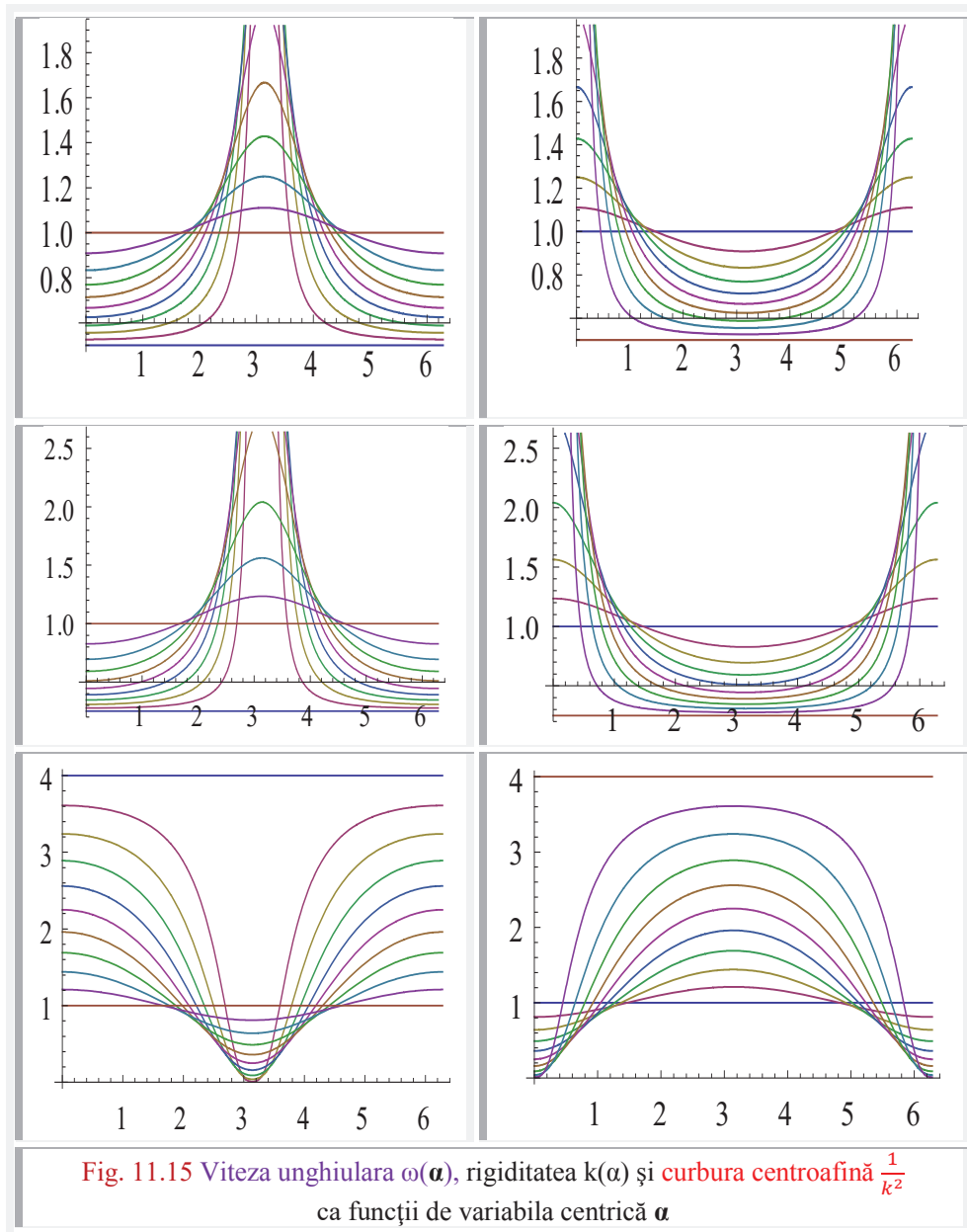


Fig. 11.15 Viteza unghiulară $\omega(\alpha)$, rigiditatea $k(\alpha)$ și curbura centroafină $\frac{1}{k^2}$ ca funcții de variabila centrică α

Rigiditatea sistemului, sau **CES**, este liniară și curbura centroafină este constantă și egală cu raza de curbură, adică cu $R = 1$. Rezultă că și arcul $s = \alpha$.

11.6 SISTEME TEHNOLOGICE ELASTICE (STE)

Ansamblul elementelor și al relațiilor unitate existente între ele, afară de relația conform căreia elementele aparțin sistemului, formează un **sistem**.

Sistemul tehnic, destinat efectuării unor operații tehnologice, în condiții tehnico-economice impuse, este un **sistem tehnologic**. El este componenta fizică (hard) a **sistemului de producție**, care cuprinde totalitatea relațiilor unitare existente între diferitele sisteme tehnologice componente. Cealaltă componentă este **procesul** de producție sau softul sistemului tehnologic.

Condiția impusă sistemelor de producție este de-a fi **raționale**, adică, de-a se realiza cu **minimum de efort uman** (fizic și intelectual) produse de **calitate înaltă** (superioară), la un **preț de cost cât mai scăzut**. Această condiție este realizată dacă toate procesele și fiecare sistem tehnologic component în parte sunt raționale.

Sistemul tehnologic reprezintă ansamblul elementelor fizice componente, ca, mașini de lucru, dispozitive, aparate, scule, semifabricate, piese ș.a. și al relațiilor unitare existente între acestea (proces de lucru, fenomene în interacțiunea lor).

Dintre componentele fizice ale sistemului tehnologic o parte, prin care se închide fluxul de forțe și energie, cauzând deformații ce influențează asupra preciziei de prelucrare, alcătuiesc **sistemul tehnologic elastic**, notat prescurtat **STE**.

Dispozitivele de lucru sunt acelea care intră în componența **STE**; cele de **alimentare automată, interconectare** și de **control** sunt, în general, exterioare **STE**.

În componența **STE**, cunoscut în literatura de specialitate și ca sistem elastic **MDPS – mașină, dispozitiv, piesă- sculă** - pot fi incluse, pe lângă dispozitivele amintite și cele de instalare sau numai de prindere a piesei și a sculei, dispozitivele însoțitoare, dispozitivele de copiere ș.a. prin care se închide fluxul forțelor de așchiere, provocând deformarea lor și, prin aceasta, modificând poziția relativă a sculei în raport cu piesa și provocând, implicit, imprecizii de prelucrare.

STE împreună cu procesele de producție, în interacțiunea lor, formează **sistemul tehnologic dinamic (STD)**.

Procesele de lucru sunt reprezentate prin procesele de **instalare** relativă a sculei în raport cu piesa (cuprinzând acțiunile de **localizare, orientare, reglare** și de menținere a acestora prin **fixare**), din procesele de **prelucrare dimensională** ca cele de **formare** (turnare, presare, forjare în matrițe, sinterizare), **deformare** la cald sau la rece (îndoire, ambutisare, sertizare, mandrinare ș.a), de **dislocare** (decupare, așchiere, eroziune, netezire), de **agregare** (asamblare, sudare, lipire), precum și din procesele care au loc în motoarele de acționare, însoțite de fenomene electromagnetice, aero- sau hidrodinamice ș.a.

Acțiunea proceselor de lucru asupra **STE** se manifestă, în general, sub forma unor solicitări mecanice (forțe sau momente) sau termice, având drept rezultat

deformarea sistemului și deplasarea relativă a elementelor componente, care, la rândul lor, provoacă o acțiune inversă a STE asupra proceselor de lucru.

Rezultă că **sistemul tehnologic dinamic** este un sistem închis, complex și zonele în care se desfășoară diferitele procese de lucru sunt separate de elementele STE. Acestea sunt particularitățile sistemului tehnologic dinamic (**STD**).

Acțiunile proceselor de lucru asupra STE și acțiunile inverse (consonanța sau reacțiunea), ale acestora asupra proceselor de lucru, sunt denumite **legături**.

Lanțul care cuprinde elementele și legăturile **STD** reprezintă **circuitul legăturilor**, care poate fi închis sau deschis. Marimea fizică care determină acțiunea asupra elementelor și/sau sistemului este denumită marime de **întrare**, iar rezultatul acțiunii este denumit marime de **ieșire**.

11.6.1 RIGIDITATEA SISTEMELOR TEHNOLOGICE ELASTICE

Dacă constanta elastică a **SOE**, sau rigiditatea ca funcție de z , se notează $k(z)$, deoarece, pentru $e \neq 0$ are o caracteristică elastică statică (**CES**) neliniară, atunci forța elastică a **SOE** va fi dată de relația

$$(11.48) \quad F_{el} = k(z) \cdot z$$

Se știe că, în lipsa unor forțe de amortizare în **SOE** ($\zeta, D \rightarrow 0$), singurele două forțe existente în sistem, forța elastică și forța de accelerație, sunt în permanență egale și de semne opuse. Concluzia rezultată din condiția de echilibru a singurelor două forțe din sistem, adică

$$(11.49) \quad F_{el} = -F_{acc}, \rightarrow k(z) \cdot z = a = \ddot{z}$$

Forțele elastice, ca forțe de accelerație cu semn schimbat, sunt reprezentate grafic în 2 D și în 3 D în **figura 11.12**. Ele reprezintă, totodată, în acest caz, și caracteristicile elastice statice **CES**, sau caracteristicile **forță-deformație**.

CES se măsoară, practic, prin aplicarea, peste un dinamometru, a unor forțe progresive, în trepte, cu creștere foarte lentă și cu pauze de stabilizare a sistemului, astfel încât viteza de creștere a forței să poată fi considerată aproape nulă, asupra elementului elastic și măsurarea deplasărilor și / sau a deformațiilor acestuia.

Forța se aplică până la o valoare maximă de unde începe modificarea în sens invers, adică, scăderea forțelor până la valoarea zero indicată de dinamometru.

În cazul unor sisteme tehnice complexe, ca mașini-unelte, dispozitive ș.a., de exemplu, datorită forțelor de fixare ale elementelor componente ale sistemului, deformațiile și deplasările relative ale elementelor se produc simultan.

Din cauza forțelor de frecare, existente între elementele sistemului, cauzate de forțele de strângere / fixare ale componentelor, la începerea încărcării cu forțe a sistemului, nu apar deformații / deplasări, până în momentul în care forțele de frecare și forțele de frecare interne ale materialului, forțe interne proprii unui singur element elastic, nu sunt depășite. Altfel spus, forța de încărcare a sistemului crește și deplasările

/ deformațiile înregistrate de comparatoarele de măsurare ale lor rămân cu indicatoarele imobile, adică nu indică deplasări.

Dacă treptele de creștere a forței sunt foarte mici (fine) atunci se pot determina, experimental, forțele de frecare existente din sistem. Ele sunt egale cu forțele maxime înregistrate în momentul apariției deplasărilor / deformațiilor.

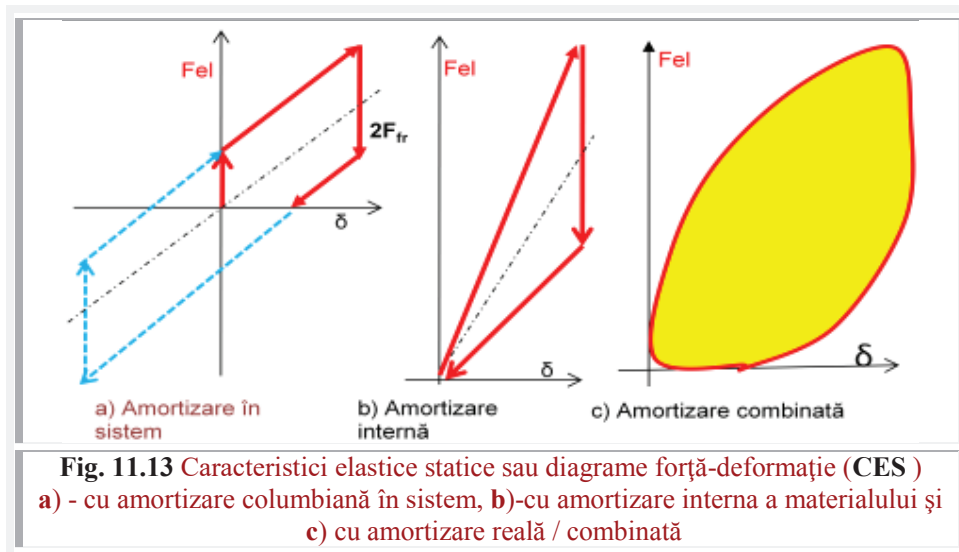
În continuare există trei posibilități.

Rigiditatea **SOE** va fi data de

$$(11.50) \quad k(z) = \frac{\ddot{z}}{z} \text{ [N/mm]}$$

Dată fiind importanța rigidității, în comportarea dinamică a diverselor sisteme tehnice, în continuare se va aprofunda acest important subiect.

Cu mulți ani în urmă, ocupându-ne de rigiditatea și, în general, de comportarea dinamică a diverselor mașini-unelte, fabricate în România și exportate, am constatat cu stupeoare că atât normele naționale cât și cele internaționale, cu privire la determinarea experimentală a **rigidității statice**, *sunt complet eronate / false*. Ele cerând încărcarea cu forțe, a strungului, de exemplu, pe un circuit al forțelor invers celui real / normal, plecând de la cuțitul de strung spre motorul electric de antrenare și nu invers, cum este situația reală.



Normele prevedeau ca forțele de așchiere să fie simulate prin deplasarea vârfului cuțitului, cu sania transversală a strungului, cuțit prevăzut cu o bilă care solicită un dinamometru. Forțele reale puteau fi create mult mai autentic prin rotirea manuală, sau cu un dispozitiv simplu, a rotorului motorului electric, sau prin tragerea

curelelor de transmisie, motor, evident, deconectat de la rețea și, printr-o suprafață excentrică a unui semifabricat / piesă, centrat în arborele principal al strungului, această suprafață acționează cu forțe asupra dinamometrului, proporțional cu momentul existent la arborele principal al strungului. În acest fel, forțele se propagă, pe de o parte, prin același lanț de mecanisme / piese, solicitând toate piesele sistemului ca și în cazul real și, în al doilea rând, *sensul de propagare al forțelor* coincide cu cel real.

S-a constatat că rigiditatea este în strânsă și directă legătură cu funcția / raportul de transmitere al forțelor rezultante i_R prin sistem, raport care diferă sensibil în cele două sensuri posibile de deplasare ale elementelor, așa cum s-a demonstrat în Cap. 8, pentru deplasarea în sensul strângerii $S(i_{RS})$ și în sensul desfacerii $D(i_{RD})$.

Dacă, în cazul unor sisteme simple, cu puține elemente, diferențele sunt sensibile dar nu exagerat de mari, în cazul sistemelor tehnologice, deosebit de complexe, caracteristicile, forță-deplasare / deformație sunt atât de diferite în cele două sensuri, încât caracteristicile forță-deformație nici măcar nu se situează în același cadran; într-un caz fiind în cadranul I, iar în celălalt în cadranul II.

11.7 CARACTERISTICA ELASTICĂ STATICĂ (CES) a STE

Dacă mărimea de intrare a unui element sau sistem este forța F și mărimea de ieșire este deformația sau deplasarea x , atunci caracteristica elementului poartă denumirea de **caracteristica elastică statică (CAS)** sau **dinamică (CAD)**, după cum forța de la intrare este aplicată static, respectiv, dinamic.

Caracteristica elastică poate fi **statică** sau **dinamică**, după cum exprimă dependența unor mărimi constante sau variabile în timp. Pentru determinarea **CAS statică (CES)**, valoarea mărimii de intrare trebuie modificată, în limitele domeniului de interes a **CES**.

Prin urmare, și **CAS** se obține prin varierea mărimii de intrare, dar viteza de variație este atât de mică, în trepte și cu pauze suficient de mari, încât forțele de accelerație și cele de amortizare să fie practic neglijabile, în raport cu forțele elastice și de frecare.

Aici apare o mare problemă, deoarece, la viteze foarte mici, forțele de frecare (și, deci, și de amortizare columbiană) cresc foarte mult (se pot dubla), întrucât și coeficientul de frecare static crește foarte mult, față de cel cinematic. O soluție practică consistă în creșterea cu viteză relativ ridicată a forțelor de intrare, pe fiecare treaptă, urmată de o pauză suficient de mare pentru stabilizarea sistemului.

Ideal ar fi ca aceste **CAS** să fie determinate pentru fiecare element în parte, izolate față de celelalte componente ale sistemului, astfel ca forțele de frecare dintre elemente, interioare sistemului, care reprezintă amortizările sistemului, să nu existe.

Apoi, se determina **CAS** a sistemului, pe baza **CAS** ale elementelor

componente, după metodologia de însumare a **CES**, legate în serie, paralel sau mixt, ce va fi prezentată în continuare.

Considerând că mărime de intrare o forță de excitație pulsatorie F_e de pulsație $\omega = 2\pi f$, în care f este frecvența $f = \frac{1}{T}$ și T perioada de oscilație, iar F este modul forței F_e exprimată de relația

$$(11.51) \quad F_e = F \cdot \sin \omega t$$

Viteza de variație a acestei forțe este

$$(11.52) \quad \dot{F}_e = \frac{dF_e}{dt} = F \cdot \omega \cdot \cos \omega t$$

și devine nulă pentru $\omega = 0$ când $F_e \in [-F, +F] \neq 0$.

Pentru diferite valori ω , se obțin diferite cracteristici dinamice (**CD**) și, în cazul particular $\omega = 0$, se obține, așa cum s-a arătat, **CES**.

Prin întreruperea unei legături, dintre elementele sistemului, un sistem închis poate fi transformat într-unul deschis.

Dacă se intrerup două legaturi, atunci se poate separa un element al sistemului, sau mai multe și studia separat, sub forma dependenței dintre mărimile sale de intrare și de ieșire. Această dependență se numește, așa cum s-a mai spus, **funcție de transfer (FT)** sau raport de transmitere (**RT**) și poate fi adimensional, dacă cele două mărimi, intrarea și ieșirea, sunt de aceeași natură. **FT** sunt de **ordinul zero** sau a deplasării, **FT** de **ordinul unu** sau a vitezelor, **FT** de **ordinul doi** sau a accelerațiilor, **FT** a forțelor, **FT** a momentelor), sau cu dimensiune, dacă cele două mărimi sunt de natură diferită, așa cum s-a arătat pe larg în Cap.8.

Astfel, dacă mărimea de intrare este forța $[F]$, care solicită un element sau un sistem, și cea de ieșire este deformația sau deplasarea $[L]$, atunci **FT** este denumită și **caracteristică elastică (CA)** a elementului, subsistemului sau a sistemului, în funcție de caz și are dimensiunea $[F/L]$, exprimandu-se în N/mm , $daN/\mu m$ sau alte unități.

CES reale sunt mai mult sau mai puțin neliniare. În anumite cazuri / condiții de aproximare, sau pentru deformații foarte mici, ele pot fi considerate liniare.

O **CES** poate fi **tare, liniară și moale** după cum derivata funcției

$$(11.53) \quad k(x) = F(x) / x$$

are semnul lui x , este nulă sau are semn contrar lui x .

În **figura 11.14** au fost prezentate câteva **CES**, dintre care : a) tare, b) liniară, c) moale și d) tare pentru $x > 0$ și moale pentru $x < 0$.

CES mai poate fi **progresivă, liniară sau regresivă** după cum expresia derivatei

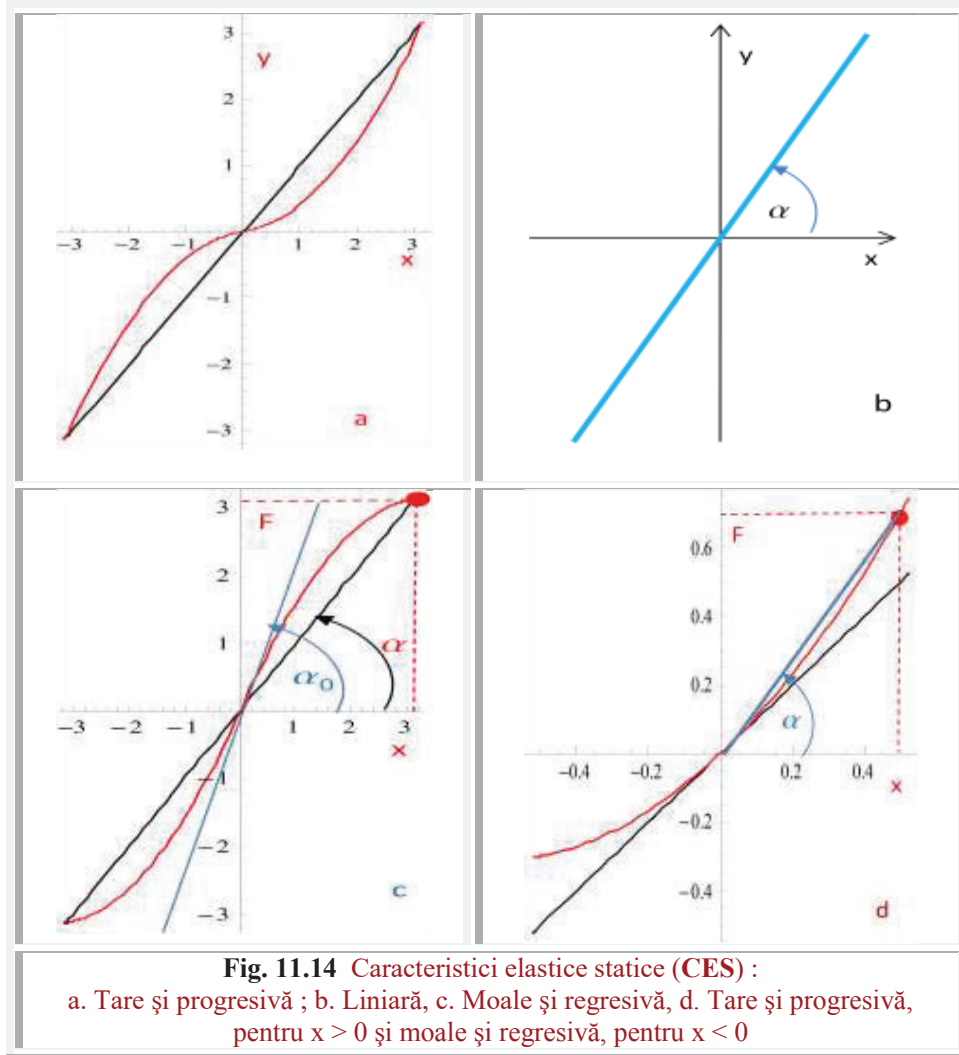
$$(11.54) \quad D^2[k(x), x] \equiv d^2k(x) / dx^2$$

are semnul lui x , este nulă sau are semn contrar lui x .

Așa cum se poate demonstra, orice **CES** progresivă este tare, oricare **CES** regresivă este moale, dar reciproca acestei teoreme nu este adevărată. Astfel, de exemplu, **CES** cu asimptotă oblică, reprezentată în **figura 11.15,a** este tare, dar, este progresivă pentru $x \in [0, a)$ și regresivă pentru $x > x_1$.

În **figura 11.15,b** sunt reprezentate două familii de funcții de acest gen care sunt tari în tot domeniul $x \in [-2, 2]$ dar, în punctele de intersecție ale curbelor își schimbă reciproc caracterul de progresive și regresive. Ele sunt exprimate de ecuațiile

$$(11.55) \quad F(x) = x \cdot a \cdot \exp[\theta = 1, S(s = s_0 \cos 2\theta, \varepsilon)], \text{ pentru } s_0 \in [0, 2; 0, 5]$$



În planul forță-deplasare / deformație CES este reprezentată de curba $F(x)$.

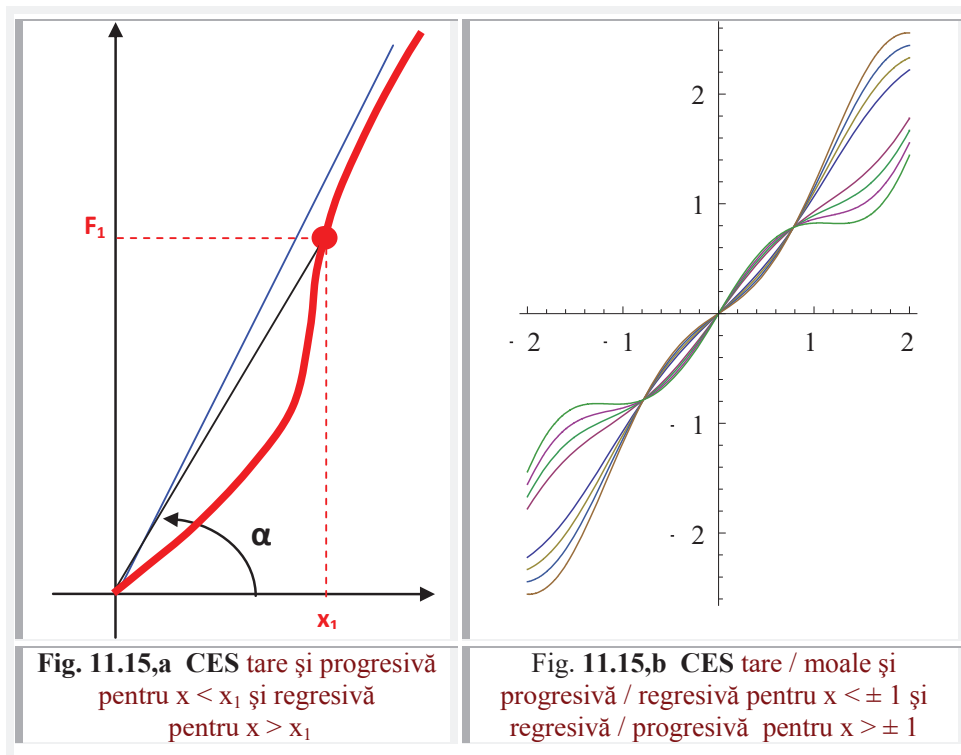
Funcția $F(x)$ poate fi dezvoltată în serie Taylor în jurul originii, sub forma

$$(11.56) \quad F(x) = F'(x) \cdot x + F''(x) \frac{x^2}{2!} + F'''(x) \frac{x^3}{3!} + \dots + F^{(n)}(x) \frac{x^n}{n!} + \dots$$

Dacă CES este exprimată de o funcție impară cu coeficienții k_i pozitivi, atunci

$$(11.57) \quad F(x) = k_1 x + k_3 x^3 + k_5 x^5 + \dots \text{ ea este progresivă și simetrică față de origine.}$$

Determinarea expresiei analitice aproximative a unei CES, obținute pe cale experimentală, se poate realiza prin diferite metode sau pe baza expresiilor analitice prezentate în literatură.



Aceste expresii analitice, depinzând de trei parametri (k , a și b), pot modela CES de toate tipurile. Prima dintre aceste expresii poate fi scrisă sub forma

$$(11.58) \quad F(x) = k \cdot x [1 + kx^2 / (x^2 + a^2)],$$

din care rezultă că pentru orice $x \in \mathfrak{R}$, dacă

- $b > 0$ – CES este **tare** și atunci pentru
- $\text{Abs}[x] < \frac{a}{\sqrt{3}}$ CES este progresivă, iar pentru
- $\text{Abs}[x] > \frac{a}{\sqrt{3}}$ CES este regresivă și invers pentru $b < 0$.
- $b = 0$ - CES este liniară;
- $b < 0$ – CES este **moale**

CES (11.46) admite ca asimptotă oblică dreapta de ecuație $y = k \cdot x \cdot (1+b)$ care trece prin origine.

O altă expresie analitică a CES, existentă în literatură este de forma

(11.59) $F(x) = kx[1+bx^2/(x^2 + a.Abs[x] + a^2)]$, care are avantajul că exprimă **CES** al căror caracter de progresivitate sau de regresivitate se păstrează pentru orice valoare a lui x . Astfel, pentru

- $b > 0$ – **CES** este **progresivă** și implicit **tare**, iar pentru
- $b < 0$ - **CES** este **regresivă** și implicit **moale**.

CES admite ca asimptotă oblică dreapta $F = k[(1+b)x \pm a.b]$.

În literatură se pune în evidență influența tipului **CES** asupra dependenței perioadei T de oscilație de amplitudinea A , demonstrându-se următoarea

Teoremă : *Perioada de oscilație T , a unui sistem oscilant conservativ, crește, rămâne constantă sau scade, odată cu creșterea energiei totale E_0 (sau cu diferența elongațiilor extreme $X_2 - X_1$, care crește monoton cu E_0), după cum **CES** este tare, liniară sau moale. Frecvența f , sau pulsația (frecvența circulară $\omega = 2\pi f$), variază invers proporțional cu perioada.*

11.8 RIGIDITATE LOCALĂ ȘI RIGIDITATE GLOBALĂ

Pentru noțiunea de rigiditate sunt întrebuințate în literatură [**Harris, E.** și **Crede, C.**, ȘOCURI și VIBRAȚII, Vol 1..3, Edutura Tehnică, Bucuresti, 1968] și [**Opitz, H.**, Aufbau und Auslegung hydrostatischer Lager und Führungen und Konstruktive Gesichtspunkte bei der Gestaltung von Spindellagerungen mit Wälzlagern, Bericht über die VDW- Konstrukteur- Arbeitstagung am Februar 1969] două definiții, care rezultă din modul diferit de exprimare a constantei elastice k și anume :

$$(11.60) \quad 1) k_G(x) = \frac{F(x)}{x}, \rightarrow \text{rigiditatea globală (G) și}$$

$$(11.61) \quad 2) k_L(x) = \frac{d(F(x))}{dx}, \rightarrow \text{rigiditatea locală (L),}$$

în care, $F(x)$ reprezintă forța elastică și x deformația (arcului) sau deplasarea (masei m).

Pentru sisteme cu **CES** liniară

$$(11.62) \quad F(x) = k_0 \cdot x - \text{rezultă}$$

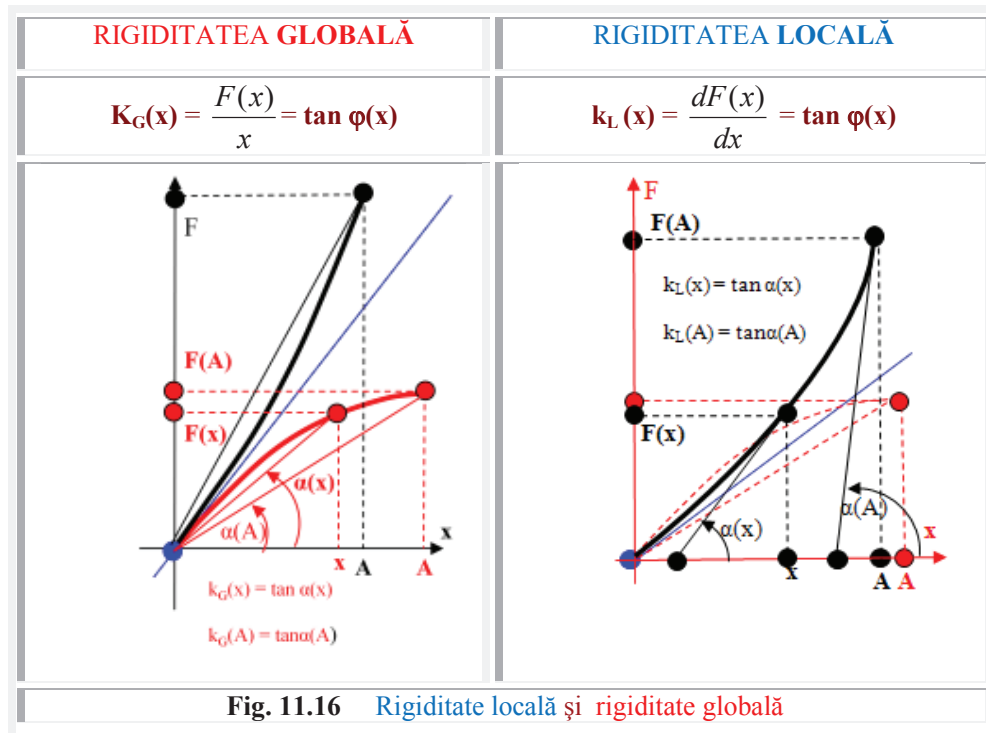
$$(11.63) \quad k_G = k_L = k_0 \text{ și ambele definiții sunt identice.}$$

Elementele și sistemele cu **CES** neliniară au o deosebire considerabilă a rigidității afirmate după ambele definiții. Acest lucru este ilustrat în **figura 11.16**, în care, este reprezentată o caracteristică elastică progresivă și tare și una regresivă și moale.

Determinarea deformației reale A , la o încărcare statică a sistemului $F(A)$, este posibilă numai în cazul exprimării constantei elastice sau rigidității conform primei definiții (11.59). Valoarea acestei rigidități depinde de poziția originii $O(0,0)$ pe curba $F(x)$ și de valoarea $x = A$ a deplasării globale a sistemului, din care cauză, se propune utilizarea denumirii de **rigiditate globală**.

Suprapunând peste încărcarea statică $F(A)$ o forță variabilă F_V , atunci este importantă, pentru calcule, constanta elastică k_L , care exprimă, pentru deplasări mici, valoarea rigidității sistemului considerat liniar, în apropierea punctului x , fiind

independentă de originea sistemului și dependentă doar de locul pe curba elastică a punctului considerat. Din această cauză, în lucrarea [Șelariu, M., STUDIUL VIBRAȚIILOR LIBERE ale UNUI SISTEM CU CARACTERISTICĂ ELASTICĂ STATICĂ NELINIARĂ, CU AJUTORUL SISTEMELOR LINIARE ECHIVALENTE, Com. II-a Conf. PUPR, Timișoara, 1973, pag.175...186] se propune utilizarea denumirii de **rigiditate locală**.



În lucrare, dimensiunile sunt clasificate în dimensiuni de **coordonare**, care indică poziția unui element geometric (punctul M(A) sau M(x), de exemplu) în raport cu un alt element geometric considerat de bază (originea O (0,0)).

Astfel că, rigiditatea globală este o **dimensiune de coordonare** în timp ce rigiditatea locală reprezintă o **dimensiune de gabarit**, dimensiune extrem de mică în jurul punctului curent M(A) sau M(x) de pe curba F(x), dimensiune care indică mărimea unui element geometric, adică, valoarea rigidității sistemului în acel punct.

Dacă, într-un sistem elastic neliniar, având CES simetrică față de origine, masa **m** oscilează cu amplitudinea $x = \pm A$, atunci există un **sistem elastic liniar echivalent (SLE)** a cărui rigiditate **k** este valoarea medie a rigidității locale din intervalul $x \in [-A, +A]$, exprimată de relația

$$(11.63) \quad k = \frac{1}{A} \int_0^A k_L(x) dx = \frac{1}{A} \int_0^A \frac{d(F(x))}{dx} dx = \frac{F(A)}{A} = k_G$$

Astfel, a rezultat dependența dintre rigiditatea globală și cea locală, exprimată de relația

$$(11.64) \quad k_G(A) = \frac{1}{A} \int_0^A k_L(x) dx$$

11.9 SISTEM LINIAR ECHIVALENT (SLE) SISTEMULUI NELINIAR, AVÂND ACELEAȘI AMPLITUDINI ȘI ACCELERAȚII MAXIME

Se consideră un sistem oscilant liber, neamortizat, de masă m și CES neliniară, simetrică față de originea O – poziția de echilibru- exprimată de funcția impară $F(x)$.

SLE sistemului neliniar, care are aceeași masă m , și CES liniară, din condiția egalității accelerațiilor maxime, corespunzătoare deplasării $x = A$, rezultă condiția egalității forțelor de accelerație maxime.

Din condiția de echilibru a sistemului, sub acțiunea forței elastice și a celei de accelerație, în oricare moment, rezultă că, pentru oricare deplasare x , forța de accelerație este valoric egală cu cea elastică și, deci, condiția de egalitate a forțelor de accelerație implică egalitatea forțelor elastice în punctul $x = A$, unde acestea sunt maxime, ceea ce conduce la

$$(11.65) \quad F(A) = m A \Omega^2$$

în care, Ω este **pulsatia proprie** a sistemului liniar echivalent (**SLE**), având expresia

$$(11.66) \quad \Omega = \sqrt{\frac{F(A)}{m \cdot A}} = \sqrt{\frac{k_G(A)}{m}}$$

Considerând, de exemplu, o CES neliniară, din ecuația lui **Duffing**, de forma

$$(11.67) \quad F(x) = k_0 x + \mu x^3,$$

care este o CES progresivă și tare pentru $\mu > 0$ și regresivă și moale pentru $\mu < 0$, se obține

$$(11.67') \quad F(A) = k_0 A + \mu A^3,$$

astfel că rigiditatea globală în $x = A$ este

$$(11.68) \quad k_G = F(A)/A = k_0 + \mu A^2$$

și pulsația proprie a **SLE** rezultă

$$(11.69) \quad \Omega = \sqrt{\frac{k_0 + \mu A^2}{m}} = \sqrt{\omega_0^2 + \frac{\mu}{m} A^2} = \sqrt{\omega_0^2 + 2\omega_\mu^2},$$

în care

$$(11.70) \quad \omega_0 = \sqrt{\frac{k_0}{m}}$$

și reprezintă pulsația unui **SLE** având rigiditatea egală cu rigiditatea locală a sistemului neliniar în punctul $x = 0$, în care tangenta la $F(x)$ are coeficientul unghiular k_0 , iar

$$(11.71) \quad \omega_\mu = A \sqrt{\frac{\mu}{2.m}}$$

este **pulsația variabilă**, dependentă de termenul neliniar și de coeficientul μ .

Relația (11.57) a fost obținută în literatură prin metode grafice [**Rădoi, M., Deciu, E., Voiculescu, D., ELEMENTE DE VIBRAȚII MECANICE**, Ed. Tehnică, Buc., 1973, §6.6.2] și prin metoda balanței energetice [**Marin Rădoi**, §6.3.4].

11.9.1 SISTEM LINIAR ECHIVALENT (SLE) SISTEMELOR NELINIARE (SN) DE ACELEAȘI AMPLITUDINI ȘI VITEZE MAXIME

Considerând același sistem oscilant liber, de **CES** neliniară $F(x)$, de la paragraful anterior, se cunoaște că viteza unui astfel de sistem neliniar într-un punct x este

$$(11.72) \quad v_{NL}^2 = \frac{2}{m} \int_x^A F(x).dx$$

și viteza maximă apare în punctul $x = 0$, astfel că ea este

$$(11.73) \quad v_{M.NL}^2 = \frac{2}{m} \int_0^A F(x).dx .$$

Pentru **SLE**, dependența dintre viteză și pulsația proprie se obține considerând expresia deplasării

$$(11.74) \quad x = A.\sin \Omega t , \text{ din care rezultă că viteza este}$$

$$(11.75) \quad v = \frac{dx}{dt} = A\Omega.\cos \Omega t .$$

Prin înlocuirea lui $\cos \Omega t$ cu valoarea dedusă din expresia deplasării (11.62) rezultă

$$(11.76) \quad v = \Omega.A \sqrt{1 - \frac{x^2}{A^2}} = \Omega \sqrt{A^2 - x^2} , \text{ astfel că viteza maximă este}$$

$$(11.77) \quad v_M = \Omega.A, \quad \text{din care rezultă pulsația}$$

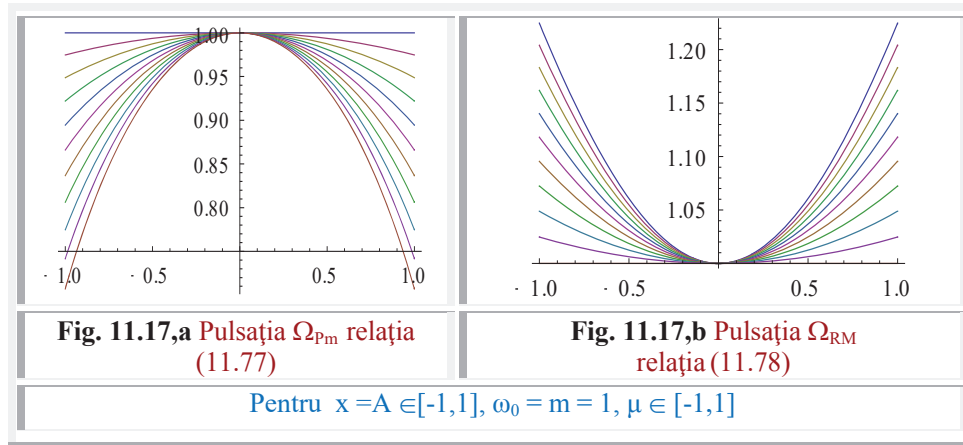
$$(11.78) \quad \Omega = \frac{v_M}{A}$$

Pulsația proprie a **SLE** , de aceeași viteze maxime, notată cu Ω_v , este

$$(11.79) \quad \Omega_v = \frac{v_{M.NL}}{A}$$

Înlocuind expresia vitezei maxime a **SN** (11.55) în relația (11.67) se obține

$$(11.80) \quad \Omega_v = \frac{1}{A} \sqrt{\frac{2}{m} \int_0^A F(x) dx}$$



Considerand, de exemplu, sistemul neliniar **Duffing**, se obține

$$(11.81) \quad \Omega_v = \sqrt{\frac{k_0 + \frac{\mu A^2}{2}}{m}}$$

sau, ținând cont de pulsațiile anterior stabilite / definite

$$(11.82) \quad \Omega_v = \sqrt{\omega_0^2 + \omega_\mu^2}$$

relație obținută și prin metoda balanței energetice [**Rădoi Marin**, § 6.3.4].

Se poate demonstra că pulsația proprie, exprimată de relația (11.70), corespunde și **SLE** care are aceeași energie cinetică maximă și aceeași energie potențială maximă ca și **SN**.

Pentru $\mu > 0$, **CES** este tare (T) și progresivă (P), relația (11.69) exprimă pulsația minimă (m) a acestui sistem **Duffing**, în care $\mu \rightarrow \text{Abs}[\mu]$

$$(11.83) \quad \Omega_{pm} = \sqrt{\omega_0^2 + \omega_\mu^2} = \sqrt{\omega_0^2 + \frac{\mu A^2}{2m}},$$

iar pentru $\mu < 0$ reprezintă pulsația maximă (M) a unui sistem moale și regresiv (R)

$$(11.84) \quad \Omega_{RM} = \sqrt{\omega_0^2 - \omega_\mu^2} = \sqrt{\omega_0^2 - \frac{\mu A^2}{2m}}$$

11.9.2 DETERMINAREA DOMENIULUI DE EXISTENȚĂ AL SISTEMULUI LINIAR ECHIVALENT (SLE) SISTEMULUI NELINIAR (SN) DE PULSAȚII PROPRII EGALE

Relația (11.60), de determinare a vitezei, corespunzătoare unei deplasări oarecare $x \in [0, A]$, fiind valabilă pentru SN este, deci, o relație generală, ea putând fi particularizată și la SL.

Comparând între ele vitezele celor două sisteme liniare echivalente (SLE), studiate anterior, cu a SN, presupus, de exemplu, de CES moale și regresivă, rezultă:

- a) pentru $x = A$, $v_A^2 = v_{NL}^2 = v_V^2 = 0$, în care v_A este viteza SLE de aceeași amplitudine A , iar v_V este viteza SLE de viteze egale, deoarece valoarea integralei (11.60) este zero ;
- b) pentru $x = 0$, $v_{MA}^2 \leq v_{MNL}^2 = v_{MV}^2$; întrucât CES a SLE de amplitudini și accelerații maxime (Macc) egale este

$$(11.85) \quad F_A(x) = \frac{F(A)}{A}x = k(A) \cdot x \quad \text{și}$$

$$(11.86) \quad \int_0^A \frac{F(A)}{A}x \cdot dx \leq \frac{2}{m} \int_0^A F(x) \cdot dx, \text{ deoarece CES a } F(x) \text{ a sistemului considerat poate fi exprimată sub forma}$$

$$(11.87) \quad F(x) = \frac{F(A)}{A}x + F'(x) \quad \text{în care } F'(x) \text{ este pozitivă, în acest caz și negativă în cazul SN tari și progresive.}$$

Egalitatea între vitezele maxime (Mvit) ale SN și cel LE de viteze maxime egale rezultă din definiție (§ 11.9)

- c) pentru oricare deplasare $x \in [0, A]$ rezultă

$$(11.88) \quad v_A^2 < v_{NL}^2 < v_V^2$$

Prima inegalitate este adevărată, deoarece, comparând vitezele celor două sisteme, pe baza relației (11.60) și ținând cont de egalitatea (11.69) rezultă

$$(11.89) \quad \frac{2}{m} \int_x^A \frac{F(A)}{A}x \cdot dx < \frac{2}{m} \left[\int_x^A \frac{F(A)}{A}x \cdot dx + \int_x^A F'(x) \cdot dx \right]$$

Pentru demonstrarea celei de a doua inegalități se determină

$$(11.90) \quad F(x)_V = k_V \cdot x = m \cdot \Omega_V^2 \cdot x = \frac{2x}{A^2} \int_0^A F(x) \cdot dx \text{ care, înlocuită în (11.60) dă}$$

$$(11.91) \quad v_V^2 = \frac{2}{m} \int_x^A \left[\frac{2x}{A^2} \int_0^A F(x) \cdot dx \right] \cdot dx$$

Scriind $F(x)$ sub forma (11.37) rezultă

$$(11.92) \quad v_V^2 = \frac{2}{m} \int_x^A \left[\frac{2x}{A^2} \int_0^A \left(\frac{F(A)}{A}x + F'(x) \right) dx \right] dx$$

Intrucât $F'(x)$ este continuă pe segmentul $[0, A]$ atunci, pe baza teoremei mediei, există un $\xi \in [0, A]$ pentru care există egalitatea

$$(11.93) \quad \int_0^A F'(x) \cdot dx = A \cdot F'(\xi) \text{ astfel că (11.74) devine}$$

$$(11.94) \quad v_V^2 = \frac{2}{m} \int_x^A \left[\frac{2x}{A^2} \left(\frac{F(A)}{A} \frac{A^2}{2} + A \cdot F'(\xi) \right) \right] dx$$

Efectuând simplificările și integrarea, rezultă

$$(11.95) \quad v_v^2 = \frac{2}{m} \left[\frac{E(A)}{A} \frac{(A^2 - x^2)}{2} + \frac{F'(\xi) \cdot (A^2 - x^2)}{A} \right]$$

Dând factor comun pe $(A^2 - x^2)$ se obține

$$(11.96) \quad v_v^2 = \frac{A^2 - x^2}{m} \left[\frac{F(A)}{A} + \frac{2}{A} F'(\xi) \right]$$

Înlocuind expresia **CES** sub forma (11.37) în relația (11.74) se obține viteza **SN**

$$(11.97) \quad v_{NL}^2 \frac{2}{m} \int_x^A \left[\frac{F(A)}{A} x + F'(x) \right] dx$$

Pe baza teoremei medie se poate scrie

$$(11.98) \quad \int_x^A F'(x) \cdot dx = (A - x) \cdot F'(\xi') \quad \text{și (11.79) devine}$$

$$(11.99) \quad v_{NL}^2 = \frac{2}{m} \left[\frac{F(A)}{A} \cdot \frac{A^2 - x^2}{2} + (A - x) \cdot F'(\xi') \right] \quad \text{sau}$$

$$(11.100) \quad v_{NL}^2 = \frac{A^2 - x^2}{m} \left[\frac{F(A)}{A} + \frac{2}{A + x} F'(\xi') \right]$$

Comparând (11.78) cu (11.80) rezulta că $v_v^2 > v_{NL}^2$ dacă $F'(\xi) > F'(\xi')$ întrucât $\frac{2}{A} > \frac{2}{A+x}$ pentru $x \in (0, A)$, iar restul termenilor sunt identici.

Intr-adevăr, din (11.75) și (11.80) rezultă

$$(11.101) \quad \begin{aligned} F'(\xi) - F'(\xi') &= \\ &= \frac{1}{A} \int_0^A F'(x) \cdot dx - \frac{1}{A-x} \int_x^A F'(x) \cdot dx = \frac{1}{A} \left[\int_0^x F'(x) \cdot dx + \int_x^A F'(x) \cdot dx \right] - \\ &- \frac{1}{A-x} \int_x^A F'(x) \cdot dx = \frac{1}{A} \int_0^A F'(x) \cdot dx + \frac{x}{A(x+A)} \int_x^A F'(x) \cdot dx \end{aligned}$$

expresie care este pozitivă pentru **CES** regresive la care $F'(x) > 0$, $x \in [0, A]$ și negativă în cazul **CES** progresive.

Deoarece viteza **SN** este cuprinsă între vitezele celor doua **SLE** (11.70), rezultă că și pulsația proprie a **SN** este cuprinsă între cele doua valori ale pulsațiilor **SLE**, adică

$$(11.102) \quad \frac{F(A)}{mA} < \omega_{NL}^2 < \frac{2}{mA^2} \int_0^A F(x) \cdot dx$$

Pulsația proprie a **SN**, de **CES** exprimată de relația (11.49 - **Duffing**) rezultă cuprinsă în intervalul

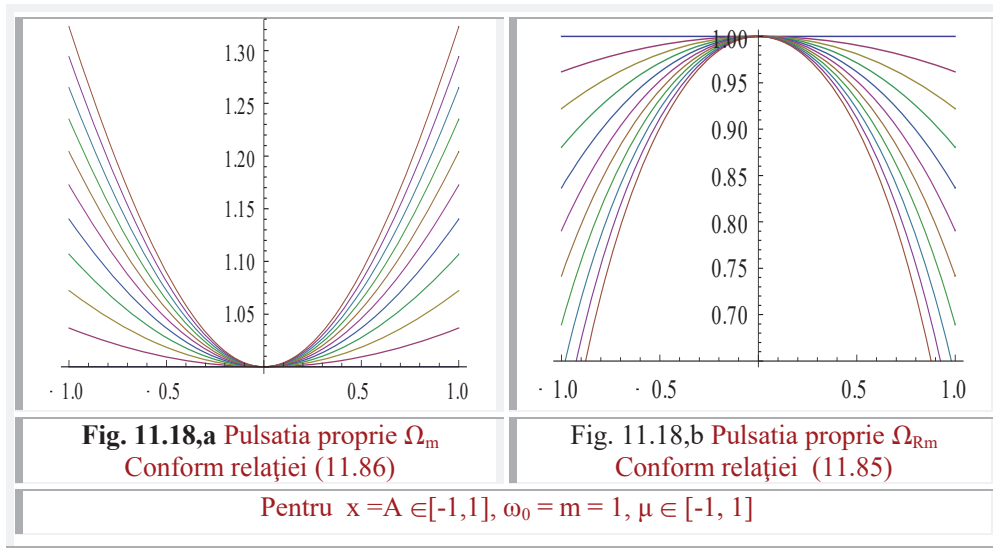
$$(11.103) \quad \Omega_{Rm}^2 = \Omega_{Rmin}^2 = \omega_0^2 - \frac{\mu}{m} A^2 < \omega_{NL}^2 < \omega_0^2 - \frac{\mu}{2m} A^2 = \Omega_{RMax}^2 = \Omega_{RM}^2$$

În mijlocul acestui interval există un **SLE** care are pulsația

$$(11.104) \quad \Omega_m^2 = \omega_0^2 + \frac{3}{4} \frac{\mu}{m} A^2 = \Omega_{PRcalcul}^2 = \frac{1}{2} (\Omega_{MaxPR}^2 + \Omega_{inmPR}^2)$$

valoare care mai rezultă și prin împărțirea amplitudinii A în două și considerarea pe fiecare porțiune a **SLE** care are valoarea vitezei, în acest interval, mai apropiată de viteza **SL**. Astfel, în domeniul $x \in [0, A/2]$, viteza **SN** este mai apropiată de viteza **SLE** de viteze maxime egale, iar în domeniul $x \in \{A/2, A\}$ de cel al **SLE** de accelerații maxime egale, rezultând

$$(11.105) \quad \Omega_m^2 = \int_0^{\frac{A}{2}} \omega_v(x).dx + \int_{\frac{A}{2}}^A \omega_A(x).dx$$



Expresia (11.86) corespunde pulsației proprii, determinate prin metoda parametrului mic (perturbației) [**Rădoiu**, §6.3.1] și prin metoda balanței armonice [**Rădoi**, §6.3.3]

11.9.3 SISTEM LINIAR (PE PORTIUNI INFINIT MICI) ECHIVALENT (SLE) SISTEMULUI NELINIAR (SN) DE AMPLITUDINI ȘI VITEZE INSTANTANEE EGALE.

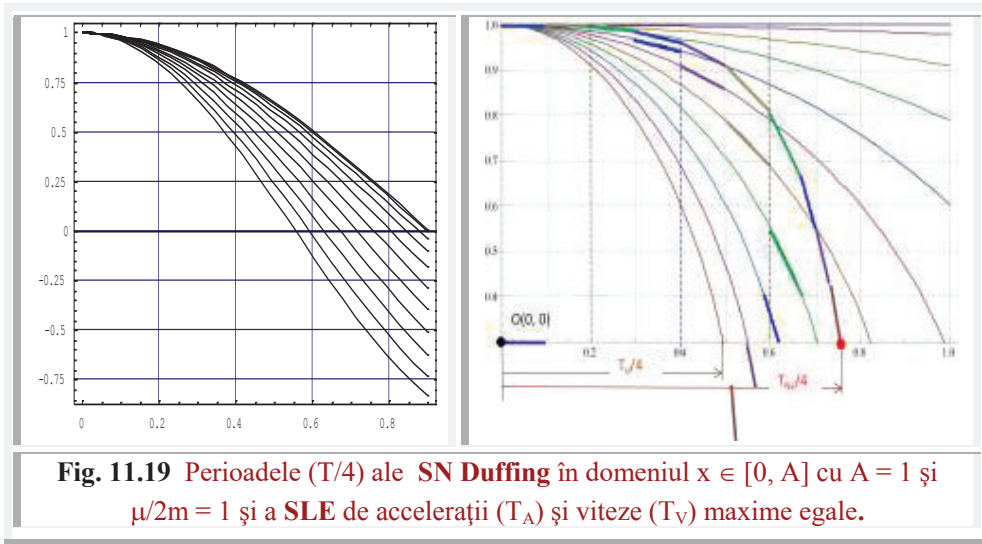
Vitezele instantanee ale unui **SN** se exprimă prin relația (11.55) , iar a unui **SL** prin relația (11.57). Egalând vitezele celor două sisteme rezultă

$$(11.106) \quad \omega^2(x) = \frac{2}{m(A^2 - x^2)} \int_x^A F(x).dx$$

în care, $\omega(x)$ reprezintă tocmai pulsația instantanee a **SN** fiind o funcție de compliantă / deplasarea / deformația x .

Se remarcă faptul că, pentru elongatia $x = 0$, se obține o expresie a pulsației **SLE** de viteze maxime egale, iar pentru $x = A$, folosind expresia vitezei sub forma (11.82), se obține pulsația proprie a **SLE** de accelerații maxime egale.

Din expresia (11.88) mai rezultă că pulsațiile proprii instantanee ale **SN** sunt cuprinse între aceste două valori limită, adică în domeniul determinat în lucrarea **Silaș, Gh., MECANICA. VIBRAȚII MECANICE, EDP, Buc., 1968**.



Pentru **SN** de caracteristica elastică (11.49-**Duffing**), din relația (11.88) rezultă pulsația proprie instantanee

$$(11.107) \quad \omega(x) = \sqrt{\omega_0^2 + \frac{\mu}{2m}(A^2 - x^2)}$$

Din relația (11.89) se obține un șir de valori ω_i , $i = 1, \dots, n$ pe baza cărora se obține fascicolul de curbe

$$(11.108) \quad x_i = A \cdot \cos \omega_i \cdot t,$$

toate trecând prin punctul $(0, A)$ din planul tOx așa cum se reprezintă un exemplu oarecare, fictiv, în **figura 11.19**.

Intersecția acestei curbe cu axa $x = 0$ dă tocmai valoarea sfertului de perioadă ($T_{NL}/4$) a **SN** și poate fi obținută pe cale grafică, grafo-analitică sau numerică.

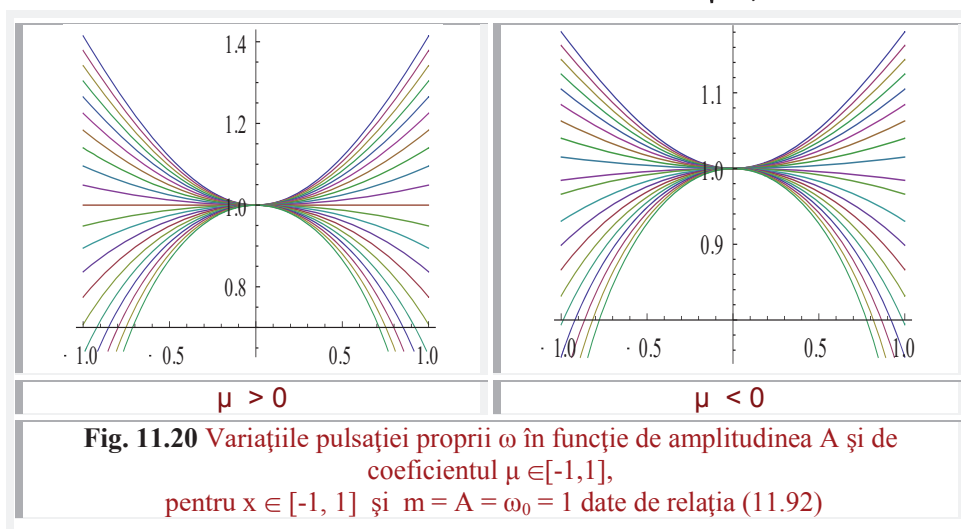
O valoare aproximativă a pulsației proprii a **SN** se poate obține considerând valoarea medie a pulsației proprii instantanee din domeniul $x \in [0, A]$ exprimată de relația

$$(11.109) \quad \omega = \frac{1}{A} \int_0^A \omega(x) \cdot dx = \frac{1}{A} \int_0^A \sqrt{\frac{2}{m(A^2 - x^2)} \int_x^A F(x) \cdot dx} dx$$

Utilizand relația (11.91) pentru SN de CES (11.49-Duffing) se obține pulsația proprie :

(11.110)

$$\omega = \frac{1}{2} \sqrt{\omega_0^2 - \frac{\mu}{m} A^2} + \left[\frac{\omega_0}{2A} \sqrt{2 \frac{m}{\mu}} - \frac{A}{2} \sqrt{\frac{\mu}{2m}} \right] \arcsin \frac{A}{\sqrt{\frac{2m\omega^2}{\mu} - A^2}}$$



11.10. VIBRAȚII NELINIARE (DE TIP DUFFING), LIBERE, NEAMORTIZATE

Fie sistemul vibrant nelinier (SVNL), neamortizat, liber

(11.111) $m\ddot{z} + k_0 z \pm \mu z^3 = 0,$

în care m este masa sistemului vibrant și $m\ddot{z}$ este forța de accelerație, $k_0 z$ este componenta liniară a forței elastice, k_0 este rigiditatea locală în originea $O(0,0)$, sau panta dreptei tangente în origine la CES neliniară și $\pm \mu \cdot z^3$ este componenta pur neliniară a CES, care, în funcție de semn, dă o CES tare, sau progresivă (notată cu indicele **P**) pentru semnul + și una moale sau regresivă (notată cu indicele **R**) pentru semnul – din fața constantei μ a termenului nelinier al forței elastice .

Împărțind ecuația diferențială neliniară (11.111) cu $m > 0$ ($\mu \neq 0$) ecuația devine

(11.112) $\ddot{z} + z(\omega_0^2 - \frac{\mu}{m} z^2) = 0,$ sau

(11.113) $\ddot{z} + z(\omega_0^2 - \omega_\mu^2 \frac{z^2}{A^2})$ în care s-au notat

11. FSM-CE SOLUȚII ALE UNOR SISTEME VIBRANTE NELINIARE

(11.114) $\omega_0^2 = \frac{k}{m} \Leftrightarrow \omega_0 = \sqrt{\frac{k}{m}}$, fiind o pulsație constantă, a părții liniare a CES.

Notând cu A amplitudinea vibrației, se definește

(11.115) $\omega_\mu^2 = \frac{\mu}{m} A^2 \Rightarrow \omega_\mu = A \sqrt{\frac{\mu}{m}}$ numită componenta **pur neliniară** a pulsației, care este și pulsația globală pur neliniară de elongație maximă A .

11.10.1 SOLUȚII ALE ECUAȚIEI FAZORIALE DE TIP DUFFING CU AJUTORUL FAZORILOR $\text{rad}\theta$ ȘI $\text{der}\theta$

Funcțiile $\text{rad}\theta = e^{i\theta}$ și $\text{der}\theta = i.e^{i\theta}$, așa cum s-a mai arătat în § 3.4, sunt echivalentele în matematica centrică (MC) ale funcțiilor supermatematice circulare excentrice (FSM-CE) de variabilă excentrică $\text{rex}\theta$ și $\text{dex}\theta$ din matematica excentrică (ME). Cu ajutorul lor și a FSM-CE de variabilă centrică α , $\text{Rex}\alpha$, s-a putut îmbunătăți studiul vibrațiilor sistemelor elastice liniare (SVL), amortizate, forțate de o forță sinusoidală aplicată asupra masei m a SVL, obținându-se o transformare riguroasă în cerc a diagramei polare a complianței, precum și o extensie a studiului SVL cu amortizare puternică și pentru pulsații negative, așa cum s-a prezentat în aplicația din § 3.9.

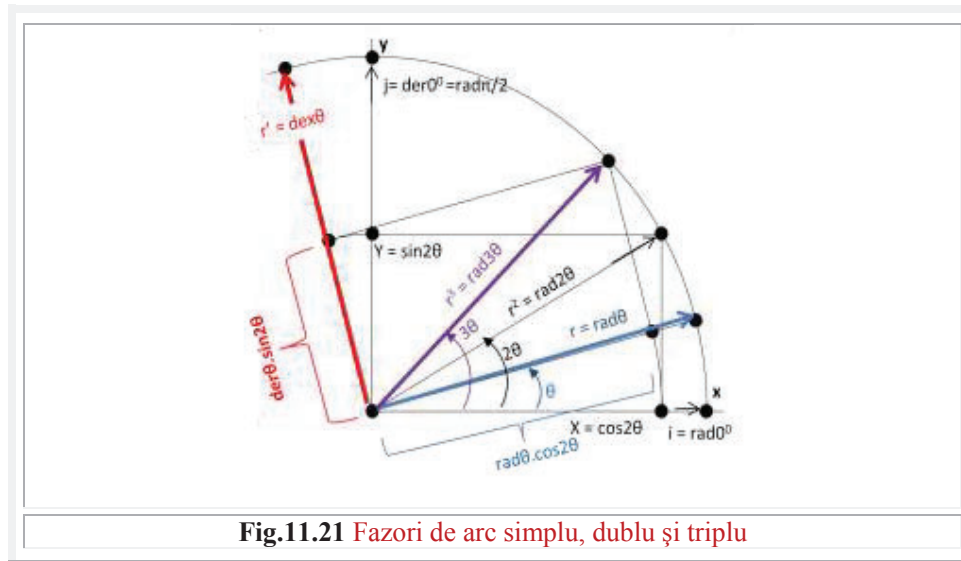


Fig.11.21 Fazi de arc simplu, dublu și triplu

Aceleși funcții ne ajută, în această aplicație, să determinăm pulsația instantanee $\omega[\theta(t)]$ sau viteza și accelerația $\epsilon[\theta(t)]$ unghiulare ale SVNL fazoriale de tip **Duffing**.

Se considera că \mathbf{z} este proiecția, pe una dintre axele x sau y , a fazorului $\vec{r}(\theta(t))$

(11.116) $\vec{r} = A \cdot \text{rad}\theta(t)$
 considerat soluție a ecuației diferențiale fazoriale

(11.117) $m \cdot \ddot{\vec{r}} + k_0 \vec{r} \pm \mu \cdot \vec{r}^3 = 0$

în care, reamintim (§ 3.4 pag79) că funcția radial centrică $\text{rad}\theta(t)$ este un fazor/versor, cronoid sau un vector unitate, de direcție $\theta(t)$ variabilă, în funcție de timpul t .

Dacă \vec{r} ar fi un vector obișnuit, atunci \vec{r}^3 poate fi:

- fie un produs **vectorial** a trei vectori coliniari și egali $\vec{r} \times \vec{r} = |\vec{r}| \cdot |\vec{r}| \sin 0^\circ = 0$, caz în care $\vec{r}^3 = 0$ și ecuația diferențială devine de **CES** liniară $F_{cl} = k_0 \cdot \vec{r}$,
- fie un produs **scalar** a trei vectori coliniari și egali în modul cu unitatea $\vec{r} \cdot \vec{r} = |\vec{r}| \cdot |\vec{r}| \cos 0^\circ = 1.1.1$, astfel că $\vec{r}^3 = \vec{r} \cdot (\vec{r})^2 = \vec{r} \cdot 1 = \vec{r}$ și, ca și în cazul precedent, forța elastică și **CES** devin din nou liniare.

Situația se modifică radical, dacă, așa cum am enunțat deja, \vec{r} este fazorul de modul A ($\vec{r} = A \text{ rad}\theta$), reprezentat pentru un unghi $\theta = \pi/12$ (15°) în **figura 11.21** și de $\pi/6$ (30°) în **figura 11.22**.

Ce semnificație au produsele fazorilor, versorilor de direcție $\theta(t)$ variabilă sau cronoidelor $\vec{r}(\theta(t))$ de tipul $\vec{r}^2, \vec{r}^3, \dots, \vec{r}^n$? \rightarrow [v. (§ 3.4)].

Se considera inițial produsul scalar al fazorului \vec{r} cu el însuși, adică

(11.118) $\vec{r}^2 = \vec{r} \cdot \vec{r} = [A \cdot \text{rad}\theta(t)] \cdot [A \cdot \text{rad}\theta(t)] = A^2 [\text{rad}\theta]^2 = A^2 \text{rad}2\theta$ și

(11.119) $\vec{r}^3 = [A \cdot \text{rad}\theta]^3 = A \text{rad}\theta \cdot A^2 \text{rad}^2 2\theta = A^3 \text{rad}3\theta$

Rezultă că produsele fazorilor/versorilor cu ei înșiși sunt

(11.120) $\text{rad}\theta \cdot \text{rad}\theta = \text{rad}2\theta$ și $\text{der}\theta \cdot \text{der}\theta = \text{der}2\theta$,

Înmulțirea a doi fazori perpendiculari între ei este

(11.121) $\text{rad}\theta \cdot \text{der}\theta = \text{rad}\theta \cdot \text{rad}\left(\theta + \frac{\pi}{2}\right) = e^{i\theta} \cdot e^{i\left(\theta + \frac{\pi}{2}\right)} = e^{i\left(2\theta + \frac{\pi}{2}\right)} = \text{der}2\theta$

Fazorii de sumă de arce și produsele a n fazori vor fi

(11.122)
$$\begin{cases} \text{rad}(\theta \pm \beta) = \text{rad}\theta \cdot \cos\beta \pm \text{der}\theta \cdot \sin\beta \\ \text{der}(\theta \pm \beta) = \text{der}\theta \cdot \cos\beta \mp \text{rad}\theta \cdot \sin\theta \\ \text{rad}\theta \cdot \text{rad}\theta \dots \text{rad}\theta = \text{rad}n\theta \\ \text{der}\theta \cdot \text{der}\theta \dots \text{der}\theta = \text{der}n\theta \\ (\text{rad}\theta \cdot \text{der}\theta) \dots (\text{rad}\theta \cdot \text{der}\theta) = \text{der}2n\theta \end{cases}, \quad \text{ca urmare}$$

n ori

(11.123) $\text{rad}3\theta = \text{rad}\theta \cdot \text{rad}2\theta = \text{rad}\theta \cdot \text{rad}(\theta + \theta) = \text{rad}\theta(\text{rad}\theta \cdot \cos\theta + \text{der}\theta \cdot \sin\theta)$

Cu aceste observații și împărțind ecuația diferențială neliniară (11.117) cu masa $m > 0$, se poate scrie ecuația sub forma

(11.124) $\ddot{\vec{r}} + \omega_0^2 \vec{r} \pm \frac{\mu}{m} \cdot \vec{r}^3 = 0 \rightarrow$

(11.125) $\ddot{\vec{r}} + \omega_0^2 \cdot A \cdot \text{rad}\theta \pm \omega_\mu^2 \cdot A \cdot \text{rad}3\theta = 0$, în care s-a notat

(11.125') $\omega_0^2 = A^2 \frac{\mu}{m}, \quad \omega_\mu = A \sqrt{\frac{\mu}{m}}$ astfel că, ținând cont de relația (11.105)

11. FSM-CE SOLUȚII ALE UNOR SISTEME VIBRANTE NELINIARE

$$(11.126) \quad \ddot{r} = -A \cdot \text{rad}\theta [\omega_0^2 \pm \omega_\mu^2 A^2 (\text{rad}\theta \cdot \cos\theta + \text{der}\theta \cdot \sin\theta)],$$

care exprimă echilibrul, adică egalitatea cu semne opuse, dintre accelerație, sau forța de accelerație redusă (prin împărțirea cu masa **SVNL m**) și forța elastică redusă. În relația (11.116) este explicitată accelerația masei **SVNL fazoriale** din (11.115).

Derivata lui $\text{rad}\theta$ este funcția derivată centrică $\text{der}\theta$, echivalenta în **MC** a funcției derivată excentrică $\text{dex}_{1,2}\theta$ din **ME**, fazor rotit cu $\frac{\pi}{2}$ în avans. Derivata fazorului $\text{dex}\theta$ este un alt fazor rotit în avans cu $\frac{\pi}{2}$, deci de sens contrar cu $\text{rad}\theta$ și, deci egal cu $-\text{rad}\theta$.

Prin derivarea soluției (11.98) se obține viteza $\dot{r}(\theta(t))$, un fazor de modul $A \cdot \omega(\theta(t))$, rotit cu $\frac{\pi}{2}$ în față/ în avans, a cărei expresie este (Fig.11.22)

$$(11.127) \quad \dot{r}(\theta(t)) = A \cdot \omega(\theta(t)) \text{der}\theta$$

și a cărei derivată, la rândul ei, exprimă accelerația **SVNL**

$$(11.128) \quad \ddot{r} = A[\epsilon \cdot \text{der}\theta - \omega^2 \text{rad}\theta], \quad \text{în care } \epsilon = \dot{\omega} = \ddot{\theta}.$$

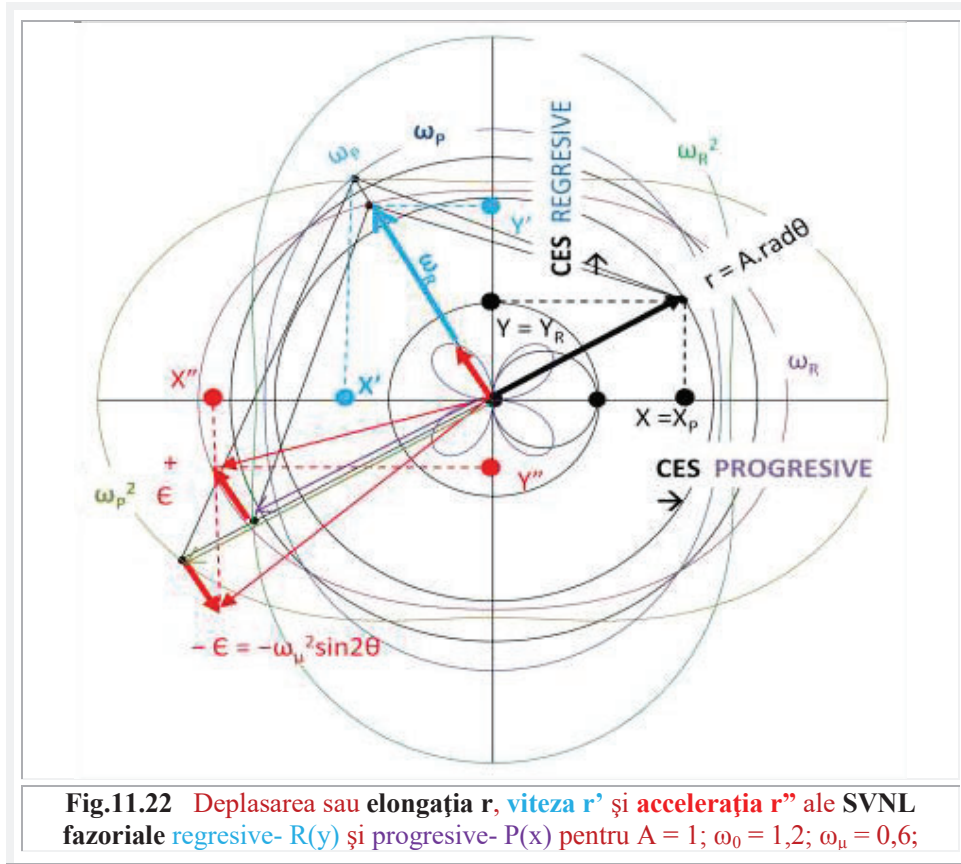


Fig.11.22 Deplasarea sau elongația r , viteza r' și accelerația r'' ale SVNL fazoriale regressive- $R(y)$ și progresive- $P(x)$ pentru $A = 1$; $\omega_0 = 1,2$; $\omega_\mu = 0,6$;

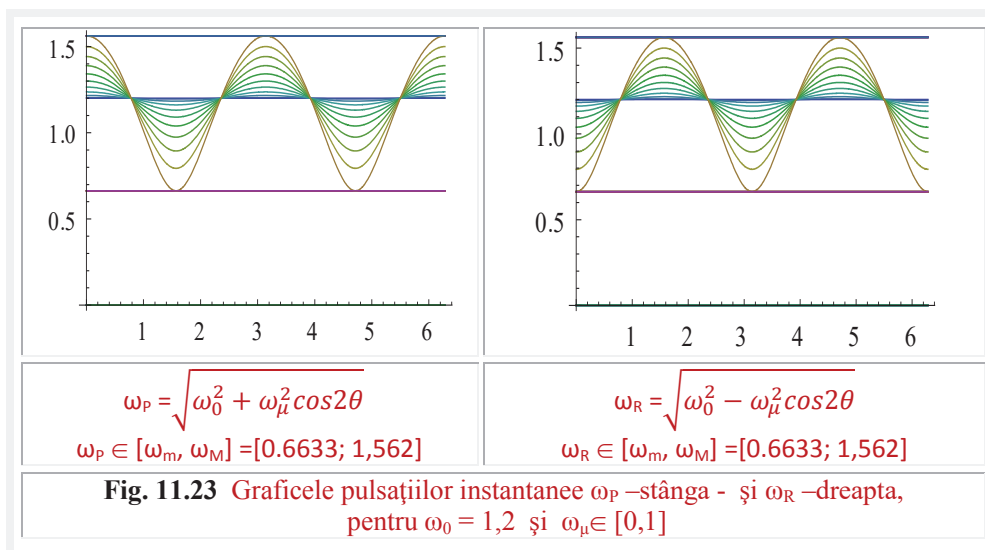
În relația anterioară (11.128) se recunoaște ușor expresia clasică a accelerației din mișcarea circulară neuniformă generală, sau, mai precis, din mișcarea circulară excentrică.

Punând condiția ca $r = A \cdot \text{rad}\theta$ și derivatele sale să fie o soluție a sistemului, este necesar ca ele să satisfacă identic nul ecuația diferențială fazorială (11.112) și (11.125).

Această condiție este îndeplinită dacă ambii coeficienți ai versorilor $\text{rad}\theta$ și $\text{der}\theta$, ortogonali, sunt **simultan** nuli, adică

$$(11.129) \quad [\epsilon \cdot \text{der}\theta - \omega^2 \text{rad}\theta] + \omega_0^2 \text{rad}\theta \pm \omega_\mu^2 \cos 2\theta \cdot \text{rad}\theta \pm \omega_\mu^2 \sin 2\theta \cdot \text{der}\theta = 0$$

$$(11.130) \quad \begin{cases} [-\omega^2 + \omega_0^2 \pm \omega_\mu^2 \cos 2\theta] \text{rad}\theta + (\epsilon \pm \omega_\mu^2 \sin 2\theta) \text{der}\theta = 0, \text{ dacă} \\ -\omega^2 + \omega_0^2 \pm \omega_\mu^2 \cos 2\theta = 0 \\ \epsilon \pm \omega_\mu^2 \sin 2\theta = 0 \end{cases}$$



Din prima ecuație rezultă expresia pulsației **instantanee** sau a vitezei unghiulare

$$(11.131) \quad \begin{aligned} \omega^2 &= \omega_0^2 \pm \omega_\mu^2 \cos 2\theta = \omega_0^2 \pm \omega_\mu^2 (1 - 2\sin^2\theta) = \\ &= \omega_0^2 \pm \omega_\mu^2 \mp 2\omega_\mu^2 \sin^2\theta = \omega_L^2 \mp 2\omega_\mu^2 \sin^2\theta = \omega_L^2 (1 - k^2 \sin^2\theta), \end{aligned}$$

$$(11.131') \quad \omega[\theta(t)] = \sqrt{\omega_0^2 \pm \omega_\mu^2 \cos 2\theta} = \omega_L \sqrt{1 \mp k^2 \sin^2\theta}$$

în care s-au notat valorile limită maxime (**M**) și minime (**m**) cu ω_L (**pulsațiile limită**) ale pulsației instantanee ω având expresia

$$(11.132) \quad \omega_L = \sqrt{\omega_0^2 \pm \omega_\mu^2} \quad \rightarrow \quad \omega_L^2 = \omega_0^2 \pm \omega_\mu^2 \quad \text{și}$$

11. FSM-CE SOLUȚII ALE UNOR SISTEME VIBRANTE NELINIARE

$$(11.133) \quad k^2 = \pm 2 \frac{\omega_\mu^2}{\omega_L^2} \quad \rightarrow \quad k = \sqrt{2} \frac{\omega_\mu}{\omega_L} = \frac{A}{\omega_L} \sqrt{2 \frac{k}{m}}$$

iar, din a doua ecuație, rezultă accelerația unghiulară ϵ a sistemului

$$(11.134) \quad \epsilon = \mp \omega_\mu^2 \sin 2\theta,$$

aceeași în valoare absolută pentru SVNL cu CES progresive (P \rightarrow +) și regresive (R \rightarrow -), dar de semne schimbate, respectiv, sensuri opuse.

Se observa că, prin derivarea vitezei unghiulare/pulsației ω , din (11.113'), se obține expresia accelerației unghiulare ϵ , adică

$$(11.135) \quad \epsilon = \dot{\omega} = \frac{d\omega}{dt} = \frac{d\omega}{d\theta} \frac{d\theta}{dt} = \omega \frac{d\omega}{d\theta} = \frac{1}{2} \frac{d\omega^2}{d\theta} = \frac{1}{2} \frac{d}{d\theta} [\omega_0^2 \pm \omega_\mu^2 \cos 2\theta]^2 = \\ = \frac{1}{2} \frac{d}{d\theta} (\omega_0^2 \pm \omega_\mu^2 \cos 2\theta) = \pm \frac{1}{2} (-2\omega_\mu^2 \sin 2\theta) = \mp \omega_\mu^2 \sin 2\theta.$$

Faptul că derivata vitezei este accelerația, demonstrează compatibilitatea dintre accelerația ϵ și viteza ω unghiulare și, totodată, atestă, într-o primă instanță, justetea soluției alese.

Este evident că, introducând acum soluția $r = A \text{ rad } \theta = A \cdot \text{rad} \int_0^t \omega(\theta(t)) \cdot dt$ și a doua ei derivată (11.128), în ecuația diferențială **Duffing**, aceasta va fi satisfăcută identic nul, deoarece mărimile vitezei și ale accelerației unghiulare au rezultat tocmai din condiția ca ecuația diferențială să fie satisfăcută, adică ecuația diferențială să fie identic nulă.

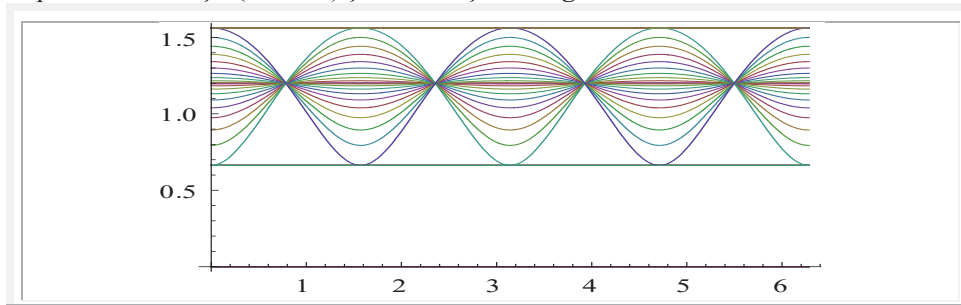
Dacă introducem soluția în expresia accelerației (11.126) se obține

$$(11.136) \quad \ddot{r} = A[\mp \omega_\mu^2 \sin 2\theta \cdot \text{der}\theta - (\omega_0^2 \pm \omega_\mu^2 \cos 2\theta) \text{rad}\theta] = \\ = -A[\omega_0^2 \text{rad}\theta \pm \omega_\mu^2 (\text{rad}\theta \cdot \cos 2\theta + \text{der}\theta \cdot \sin 2\theta)] = \\ = -[\omega_0^2 \cdot A \text{rad}\theta \pm \omega_\mu^2 A \text{rad} 3\theta] = -\left[\frac{k_0}{m} \cdot \vec{r} \pm \frac{\mu}{m} (\vec{r})^3\right] = -f(\vec{r})$$

ceea ce demonstrează că $r = A \cdot \text{rad } \theta$, cu $\dot{\theta} = \omega$ și $\ddot{\theta} = \epsilon$, este o soluție a ecuației diferențiale fazoriale de tip **Duffing**, deoarece $-f(\vec{r}) = -f_{el}$ este forța elastică redusă f_{el} cu semn schimbat.

11.10.2 PULSAȚII . PULSAȚIA INSTANTANEE

Pulsația instantanee sau viteza unghiulară de rotire a fazorilor r și r' este exprimată de relația (11.121') și are variația din **figura 11.23**.



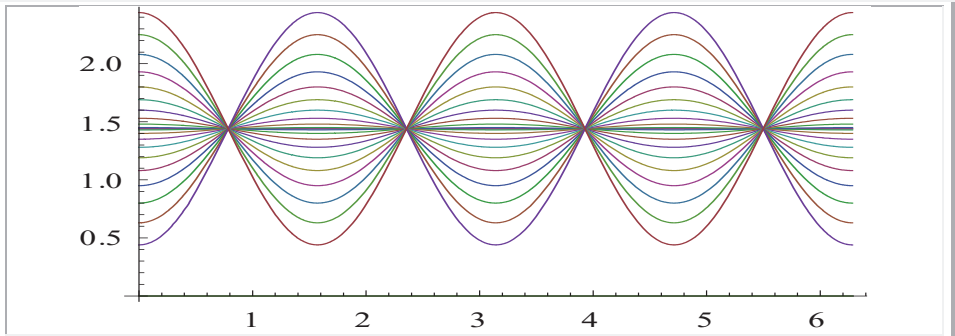


Fig. 11.24,a Graficele pulsațiilor instantanee ω –sus- si ω^2 –jos, pentru $\omega_0 = 1,2$ si $\omega_\mu \in [0,1]$

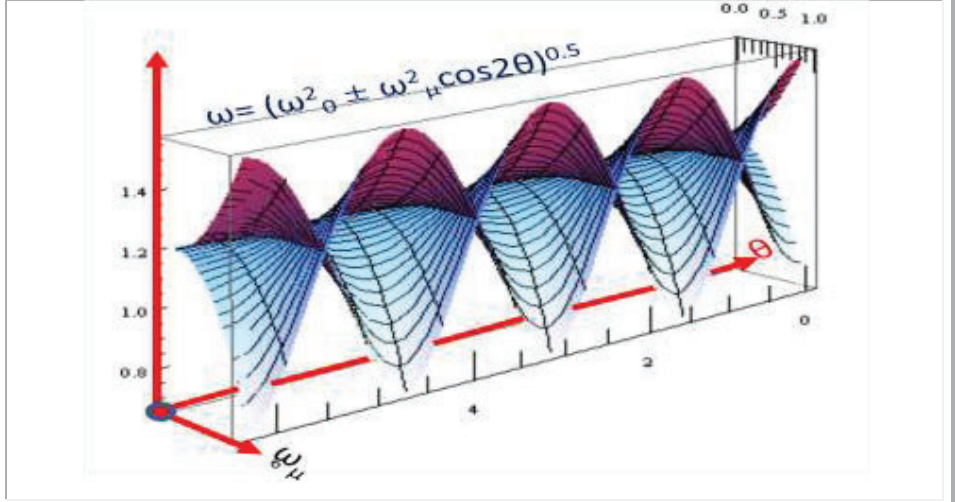
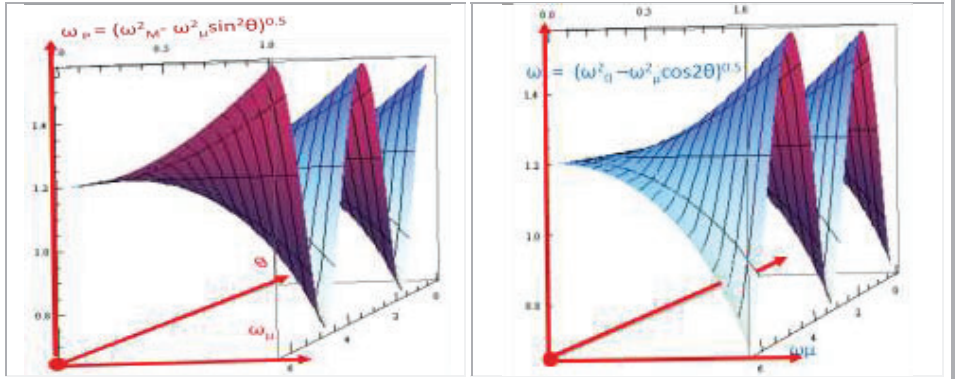


Fig. 11.24,b Pulsația instantanee în 3D $\omega_0 = 1,2$; $\omega_\mu \in [0, 1]$

11. FSM-CE SOLUȚII ALE UNOR SISTEME VIBRANTE NELINIARE

Se observă că pulsația instantanee variază asimetric față de valoarea ω_0 , cu care devine egală în punctele $\theta = \frac{\pi}{4} \pm n\pi$. Multiplii de π sunt notați aici și acum cu n și nu cu k , cum se obișnuiește, pentru a nu se confunda cu modulul k al integralelor și funcțiilor eliptice.

Egalitatea pulsațiilor cu valoarea ω_0 este ilustrată și în **figura 11.22** în care sunt reprezentate, în coordonate polare și valorile lui ω și ale lui ω^2 , atât pentru **CES progresive (P)** cât și pentru **CES regresive (R)**. În punctele $\theta = \frac{\pi}{4} \pm n\pi$ se egalizează valorile ω ale **CES progresive** ω_P cu valorile ω ale **CES regresive** ω_R , adică

$$(11.137) \quad \omega\left(\frac{\pi}{4} \pm n\frac{\pi}{2}\right) = \omega_P\left(\frac{\pi}{4} \pm n\frac{\pi}{2}\right) = \omega_R\left(\frac{\pi}{4} \pm n\frac{\pi}{2}\right) = \omega_0$$

Se notează valorile maxime (**M**) și minime (**m**) ale pulsație instantanee $\omega(t)$ cu ω_L fiind denumite pulsații limită

$$(11.137') \quad \omega_{Lim}^2 \equiv \omega_L^2 = \omega_0^2 \pm \omega_\mu^2 \quad \rightarrow \quad \omega_L = \sqrt{\omega_0^2 \pm \omega_\mu^2}$$

Valorile limită maxime cât și cele minime, atât ale **SVNL** de **CES progresive (P)** cât și a celor de **CES regresive (R)** sunt aceleași, dar se obțin din $\omega[\theta(t)]$ pentru valori ale unghiului θ decalate cu $\frac{\pi}{2}$. Astfel, pentru $\theta = 0 \pm n\pi$ cele de **CES P** au un **M**, iar cele de **CES R** au un **minim**. La $\theta = \frac{\pi}{2} \pm n\pi$ situația se inversează: **CES R** au un **maxim** și **CES P** prezintă un **minim**.

Așa cum s-a enunțat, inversarea valorilor **CES P** la **minim** când **CES R** este la **maxim**, rezultă și din următoarele relații ale valorilor limită:

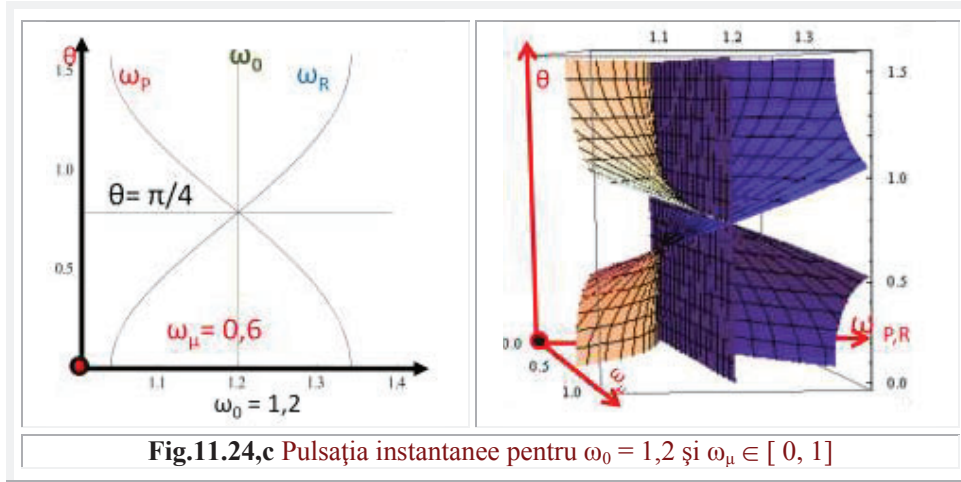
$$(11.138) \quad \begin{cases} \omega_{LP} = \sqrt{\omega_0^2 \pm \omega_\mu^2} = \begin{cases} \omega_{LPM} = \sqrt{\omega_0^2 + \omega_\mu^2} \\ \omega_{Lpm} = \sqrt{\omega_0^2 - \omega_\mu^2} \end{cases} \\ \omega_{LR} = \sqrt{\omega_0^2 \mp \omega_\mu^2} = \begin{cases} \omega_{LRm} = \sqrt{\omega_0^2 - \omega_\mu^2} \\ \omega_{LRM} = \sqrt{\omega_0^2 + \omega_\mu^2} \end{cases} \end{cases}$$

Valorile limită ale pulsațiilor instantanee, care se vor utiliza în continuare se obțin pentru

$$(11.139) \quad \theta = \begin{cases} \theta_{PM} = 0 \pm n\pi \rightarrow \omega_{PM} = \sqrt{\omega_0^2 + \omega_\mu^2} \\ \theta_{Rm} = 0 \pm n\pi \rightarrow \omega_{Rm} = \sqrt{\omega_0^2 - \omega_\mu^2} \end{cases}, \quad n \in \mathbb{N},$$

iar celelalte se obțin pentru

$$(11.140) \quad \theta = \begin{cases} \theta_{RM} = \frac{\pi}{2} \pm n\pi \rightarrow \omega_{RM} = \sqrt{\omega_0^2 + \omega_\mu^2} \\ \theta_{Pm} = \frac{\pi}{2} \pm n\pi \rightarrow \omega_{Pm} = \sqrt{\omega_0^2 - \omega_\mu^2} \end{cases}, \quad n \in \mathbb{N}.$$



Pulsațiile maxime (**M**) pentru CES progresive (**P**) și minime (**m**) pentru CES regresive (**R**) corespund rigidității globale a CES pentru elongațiile de valoare $x = \pm A$ și, respectiv, $y = 0$, sau pentru $t = 0 + n \cdot \frac{T}{2}$ sau $\theta = 0 + n \cdot \pi$. Și invers, pulsațiile maxime (**M**) pentru CES regresive (**R**), și minime (**m**) pentru CES progresive (**P**) corespund poziției pe cercul $C(O, A)$ a masei **m** în punctele pentru $\theta = \frac{\pi}{2} \pm n \cdot \pi$ sau $t = \frac{T}{4} + n \cdot \frac{T}{2}$, așa cum se arată și în **figurile 11. 22, 11.23 și 11.24, a b, și c** .

Toate cele expuse anterior, cu referire la sistemul de vibrații neliniare fazoriale (**SVNL-F**), sunt prezentate concentrat în **tabelul T 11.1**, în ideea că, în acest mod, prezentarea sistemului fazorial și a soluțiilor, ca și derularea verificării soluțiilor este mai ușor de urmărit și de înțeles.

11.10.3 CERCUL PULSAȚILOR

Fie cercurile $C1_\omega(O, R_P = \omega_M)$ și $C2_\omega(O, R_R = \omega_m)$ din **figura 11.25** și un excentru $E(e, \varepsilon = 0)$ de excentricitate reală $e_\omega = \omega_\mu \sqrt{2}$ sau de excentricitate numerica s egală cu modulul k al funcțiilor eliptice Jacobi

$$(11.141) \quad s = \frac{\omega_\mu}{\omega_L} \sqrt{2} = k$$

În care , pulsațiile limită de calcul ω_L , utilizate în **figura 11.25**, sunt

$$(11.142) \quad \omega_C \equiv \omega_L = \begin{cases} \omega_{CP} = \omega_M = \sqrt{\omega_0^2 + \omega_\mu^2} \\ \omega_{CR} = \omega_m = \sqrt{\omega_0^2 - \omega_\mu^2} \end{cases}$$

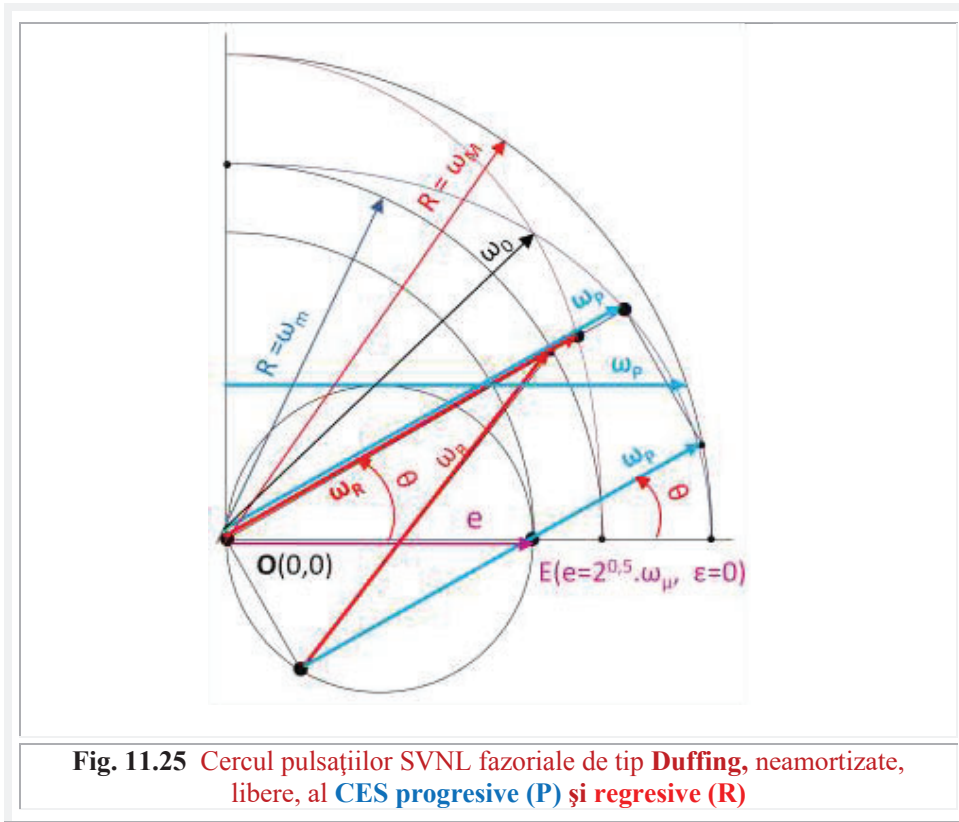
Există mai multe posibilități de-a reprezenta viteza unghiulară sau pulsația instantanee la un moment dat, sau pentru un anumit unghi $\theta(t)$.

11. FSM-CE SOLUȚII ALE UNOR SISTEME VIBRANTE NELINIARE

În figură sunt prezentate două cazuri pe cale geometrică și unul pe cale analitică, pentru CES progresive (P)- culoarea albastră.

Direcția radială centrică, de unghi θ , din $O(0,0)$, intersectează cercul de rază $e_\omega = \omega_\mu \sqrt{2}$ într-un punct, prin care, ducând o direcție orizontală, ea este segmentată în pulsația ω_p de axa Y și de cercul de rază ω_M .

Aceeași direcție radială centrică, intersectează curba polară $\omega_p(\theta)$ la o lungime din O egală, evident, cu ω_p și constituie varianta analitică de determinare a pulsației instantanee pentru comparație și verificare.



A treia variantă consistă într-un segment de dreaptă, paralelă cu direcția radială centrică, dar dusă dintr-un punct $F_\omega(\rho = e_\omega \cdot \sin\theta, \frac{\pi}{2} - \theta)$, de pe cercul de diametru egal cu excentricitatea e_ω , care trece prin $O(0,0)$ și a cărui raxă polară din $O(0,0)$ este $e_\omega \cdot \sin\theta$. Această direcție intersectează cercul de rază $R = \omega_M$ în punctul $P_M(\rho = \omega_M, \alpha = \theta - \beta(\theta) = \theta - \arcsin(\frac{e_\omega \cdot \sin\theta}{\omega_M}))$.

11. FSM-CE SOLUȚII ALE UNOR SISTEME VIBRANTE NELINIARE

Se poate deduce, imediat și fără dificultate, că segmentul $F_\omega P_M$ reprezintă, în triunghiul dreptunghic de ipotenuză ω_M și unghiul drept în punctul F_ω , o catetă exprimată de relația

$$(11.144) \quad \omega = \sqrt{\omega_M^2 - (e \cdot \sin\theta)^2} = \sqrt{\omega_M^2 - 2\omega_\mu^2 \sin^2\theta}$$

Se știe că

$$(11.145) \quad \cos 2\theta = \cos^2\theta - \sin^2\theta = 1 - 2\sin^2\theta \rightarrow -2\sin^2\theta = \cos 2\theta - 1$$

Dacă se consideră ω_M ca valoarea limită maximă a CES progresive (P), atunci înlocuind (11.124) în (11.113') rezultă

$$(11.145') \quad \omega_P(\theta) = \sqrt{\omega_M^2 - 2\omega_\mu^2 \sin^2\theta} = \sqrt{\omega_{MP}^2 - 2\omega_\mu^2 \sin^2\theta} = \\ = \omega_{MP} \sqrt{1 - k^2 \sin^2\theta} \text{ în care}$$

$$(11.142') \quad \omega_{MP} = \sqrt{\omega_0^2 + \omega_\mu^2}, \quad e = -2 \omega_\mu < 0 \text{ și pulsațiile vor fi:}$$

$$(11.146) \quad \omega_R = \omega_{mR} \sqrt{1 + e^2 \sin^2\theta} = \begin{cases} \alpha = 0 \rightarrow \omega(0) = \omega_m \\ \alpha = \frac{\pi}{2} \rightarrow \omega\left(\frac{\pi}{4}\right) = \omega_0 \\ \alpha = \pi \rightarrow \omega(\pi/2) = \omega_M \end{cases},$$

așa cum se observa și în **figura 11.24** și **11.26**.

Dacă, în cazul sistemelor cu CES liniară, pulsația instantanee ω este constantă și, deci, egală cu pulsația proprie Ω și cu pulsația ω_0 din $O(0,0)$, în cazul SVNL pulsația instantanee este variabilă așa cum se arată în **figura 11.28** în coordonate polare.

Un alt cerc al pulsațiilor (variante a 2-a) este prezentat în **figura 11.26**. La intersecția cercul de rază ω_0 cu axa $x > 0$ este plasat centrul cercului $C_\mu(\omega_0, 0)$ de rază ω_μ . O rază vectorială, de direcție 2θ , determină mărimea $\omega_\mu \cdot \cos 2\theta$ care este și raza unui cerc concentric cu C_μ și care determină lungimea unor catete, care, cu ω_0 drept ipotenuză determină o a doua catetă ca ω_R și cu ω_0 drept o a doua catetă determină pe ω_P ca ipotenuză.

Se observă imediat că pentru $2\theta = \pi/2 \rightarrow \theta = \pi/4 \rightarrow \cos 2\theta = 0$ și $\omega_P(\pi/4) = \omega_R(\pi/4) = \omega_0$ așa cum se vede clar din figură.

Iar pentru $2\theta = \pi \rightarrow \theta = \pi/2 \rightarrow \omega_P(\pi/2) = \omega_M$ și $\omega_R(\pi/2) = \omega_m$.

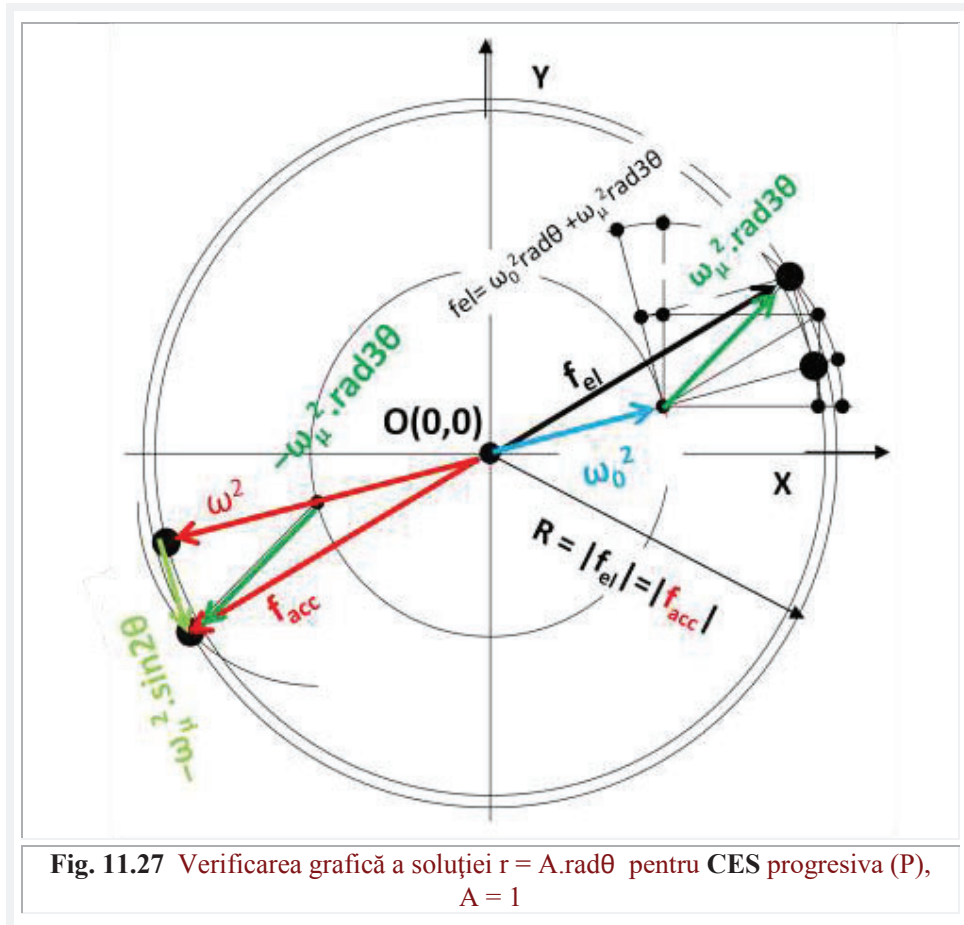
Există multe alte posibilități de exprimare grafică a pulsației instantanee în funcție de unghiul $\theta(t)$.

11.10.4 VERIFICAREA GRAFICĂ A SOLUȚIILOR SVNL FAZORIALE

Verificarea soluțiilor este prezentată în **figura 11.27**. Din figură, rezultă clar că cei doi fazori, reprezentând forța elastică redusă și, respectiv, forța de accelerație

redusă, sunt în permanență egali și de semne contrare. În figură sunt reproduși fazorii care alcătuiesc cele două forțe, de accelerație și elastică.

Deoarece, acestea sunt singurele forțe existente în sistem, rezultă că sistemul este în echilibru dinamic și, ca urmare, soluția preconizată este viabilă. Iar sistemul vibrațiilor neliniare, fazoriale, libere, este unul original, cu posibilități nelimitate de extindere și la alte CES polinomiale, și nu numai, și de generalizare la sistemele neliniare, libere.



Graficele pulsațiilor instantanee sunt prezentate, în coordonate polare, și în figura 11.28. În partea superioară, sunt prezentate, separat, pulsațiile instantanee pentru CES progresive (P) în stânga și ces regresive (R) în partea dreaptă.

11. FSM-CE SOLUȚII ALE UNOR SISTEME VIBRANTE NELINIARE

În subsolul figurii, sunt prezentate, împreună, pulsațiile instantanee ale CES progresive (**P**) și regresive (**R**), pentru a ilustra modul armonios în care, cele două sisteme, se completează, fără să se suprapună.

Cercul, din centrul figurii, reprezintă sistemele vibrante liniare, care corespund coeficientului termenului pur neliniar $\mu = 0$.

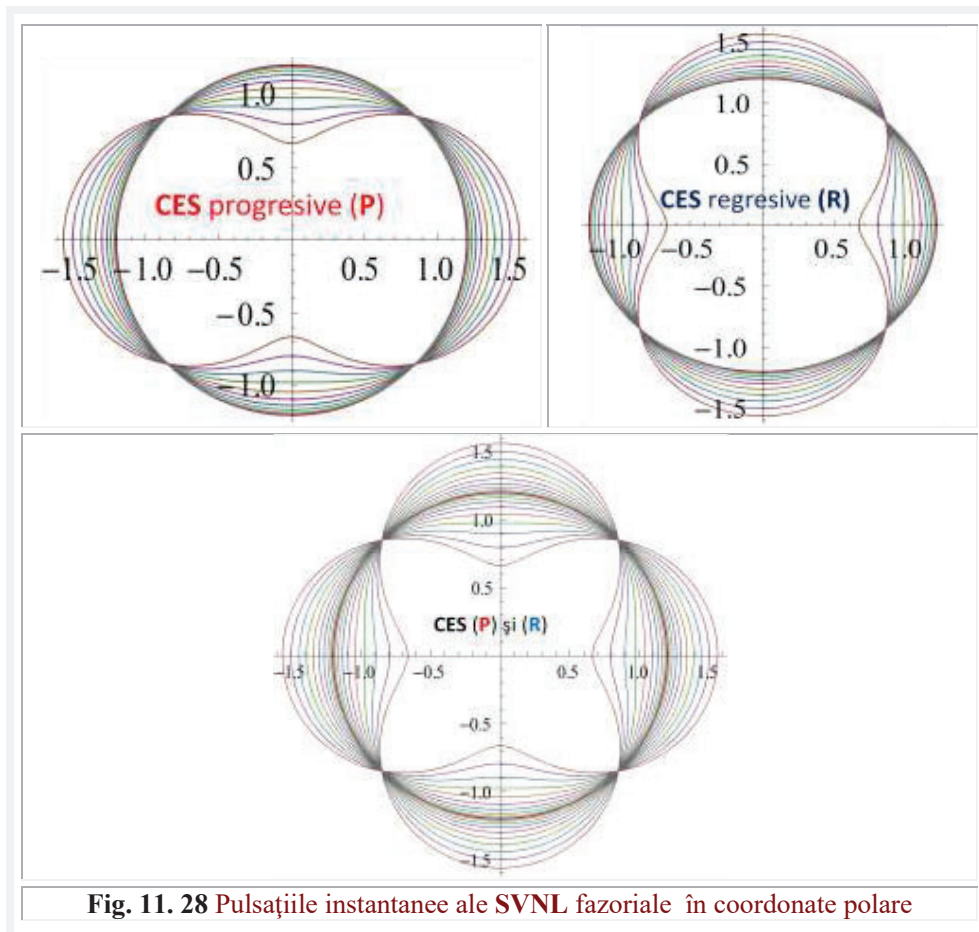


Fig. 11. 28 Pulsațiile instantanee ale SVNL fazoriale în coordonate polare

11.10.5 FORȚA ELASTICĂ ȘI FORȚA DE ACCELERAȚIA ÎN COORDONATE POLARE

Așa cum s-a putut constata, la verificarea analitică și grafică a soluțiilor, cele două forțe sunt în permanență în echilibru dinamic, fiind egale și de semn contrare.

Tabelul 11.1

ECUAȚIA DIFERENȚIALĂ FAZORIALĂ A SVN

$$F(\vec{r}) \equiv m \ddot{\vec{r}} + k_0 \vec{r} \pm \mu \vec{r}^3 = 0 \quad / : m \quad \rightarrow \quad f(\vec{r}) \equiv \ddot{\vec{r}} + \omega_0^2 \vec{r} \pm \frac{\mu}{m} \vec{r}^3 = 0$$

$$\|\vec{r}\| = A$$

$$\vec{r}^2 = \|\vec{r}\| \cdot \|\vec{r}\| \cdot \cos 0^\circ = A^2 \quad \vec{r}^3 = \vec{r}^2 \cdot \vec{r} = A^2 \cdot \vec{r},$$

$$f(\vec{r}) \equiv \ddot{\vec{r}} + \omega_0^2 \vec{r} \pm \frac{\mu}{m} A^2 \vec{r} = 0, \quad f(\vec{r}) \equiv \ddot{\vec{r}} + \omega_0^2 \vec{r} \pm \omega_\mu^2 \vec{r} = 0$$

NOTAȚII

$$\omega_0^2 = \frac{k_0}{m},$$

$$\omega_\mu^2 = \frac{\mu}{m} A^2$$

UNGHIIUL DE POZIȚIE ȘI DERIVATELE LUI

$$\theta = \int_0^t \omega \cdot dt \quad \rightarrow \quad \dot{\theta} = \omega, \quad \epsilon = \dot{\omega} = \ddot{\theta}$$

ELONGAȚIA

$$\vec{r} = A \text{ rad} \theta \rightarrow$$

$$\vec{r}^3 = A^3 (\text{rad} \theta)^3 = A^3 \text{ rad}^3 \theta$$

$$f(\vec{r}) \equiv \ddot{\vec{r}} + (\omega_0^2 \pm \omega_\mu^2) A \cdot \text{rad} \theta = 0$$

VITEZA

$$\dot{\vec{r}} = A \cdot \omega \cdot \text{der} \theta$$

ACCELERAȚIA

$$\ddot{\vec{r}} = A(\epsilon \cdot \text{der} \theta - \omega^2 \text{ rad} \theta)$$

INTRODUCEREA SOLUȚIILOR ÎN ECUAȚIA DIFERENȚIALĂ

$$A(\epsilon \cdot \text{der} \theta - \omega^2 \text{ rad} \theta) + \omega_0^2 A \cdot \text{rad} \theta \pm \omega_\mu^2 A \cdot \text{rad}^3 \theta = 0 \quad / : A$$

$$\text{rad}^3 \theta = \text{rad}(\theta + 2\theta) = \text{rad} \theta \cos 2\theta + \text{der} \theta \cdot \sin 2\theta$$

$$(\epsilon \cdot \text{der} \theta - \omega^2 \text{ rad} \theta) + \omega_0^2 \text{ rad} \theta \pm \omega_\mu^2 [\text{rad} \theta \cos 2\theta + \text{der} \theta \cdot \sin 2\theta] = 0$$

Reprezentate în coordonate polare, în **figura 11.29**, se observă că fiecare curbă polară, în parte, din familia de curbe din figură, este simetrică față de originea $O(0,0)$, ceea ce demonstrează încă odată, dacă acest lucru mai era necesar, egalitatea celor două forțe reduse.

11. FSM-CE SOLUȚII ALE UNOR SISTEME VIBRANTE NELINIARE

Cele două forțe reduse sunt proiectate pe direcția radială centrică, a fazorului $\text{rad}\theta$, pentru forța elastică și $-\text{rad}\theta$ pentru componenta radială centrică a forței de accelerație

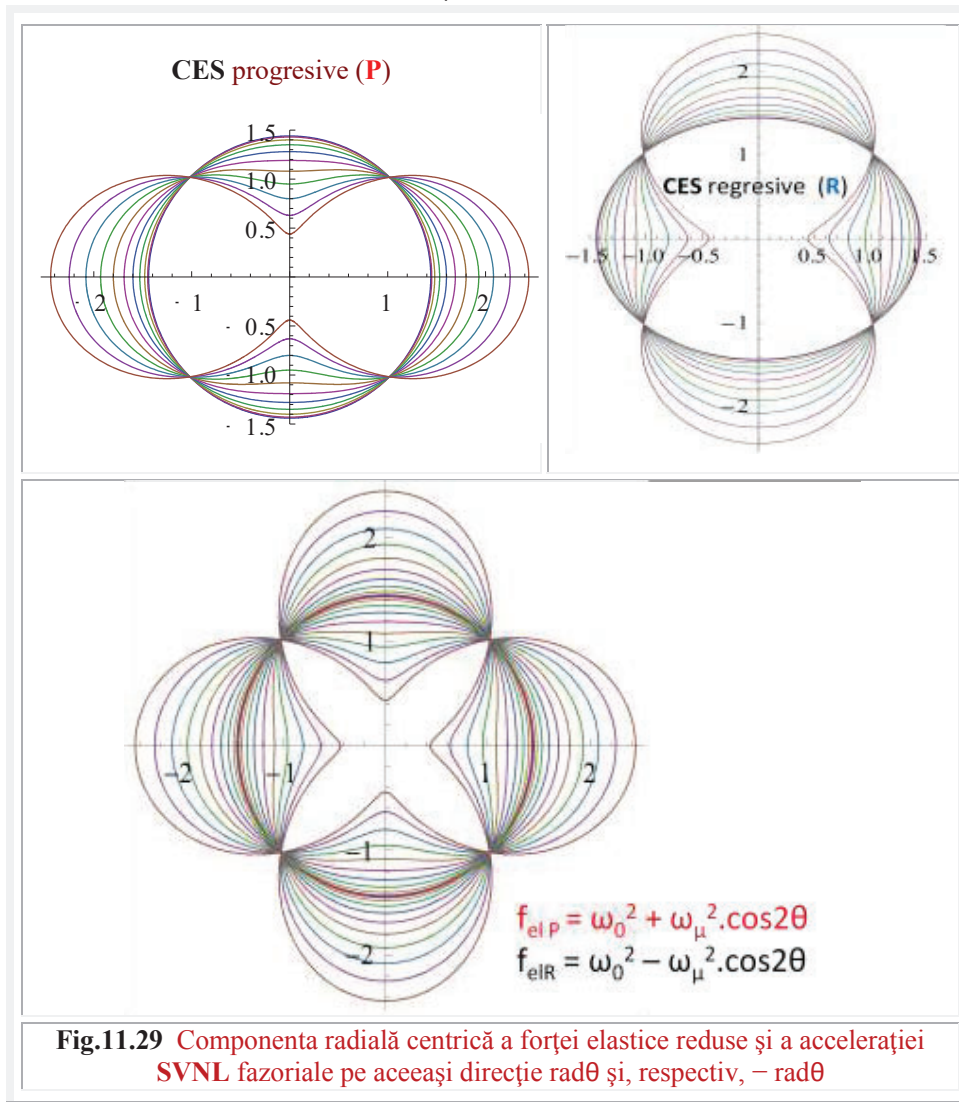
Tabelul 11.1 Continuare
ORDONAREA DUPĂ FAZORII $\text{rad}\theta$ și $\text{der}\theta$
$\text{rad}\theta [\omega_0^2 \pm \omega_\mu^2 \cos 2\theta - \omega^2] +$ $\text{der}\theta [\epsilon \pm \omega_\mu^2 \sin 2\theta] = 0 \quad \rightarrow$
$\begin{cases} \omega_0^2 \pm \omega_\mu^2 \cos 2\theta - \omega^2 = 0 \\ \epsilon \pm \omega_\mu^2 \sin 2\theta = 0 \end{cases} \quad \rightarrow$
VITEZA UNGHIULARĂ sau PULSAȚIA INSTANTANEE
$\omega^2 = \omega_0^2 \pm \omega_\mu^2 \cos 2\theta$ $\omega^2 = \omega_0^2 \pm \omega_\mu^2 (1 - 2\sin^2\theta) = \omega_L^2 \mp \omega_\mu^2 \sin^2\theta$
$\omega_L^2 = \omega_0^2 \pm \omega_\mu^2$
$k^2 = 2 \frac{\omega_\mu^2}{\omega_L^2}$
$\omega = \omega_M \cdot \text{del}(\theta, s = k) = \omega_M \sqrt{1 \mp k^2 \sin^2\theta}$
ACCELERAȚIA UNGHIULARĂ
$\epsilon = \mp \omega_\mu^2 \sin 2\theta = \mp \omega_\mu^2 \sin\theta \cdot \cos\theta = \mp \omega_\mu^2 \sin 2\theta$
VERIFICAREA SOLUȚIILOR
$\ddot{r} = A(\mp \omega_\mu^2 \sin 2\theta \cdot \text{der}\theta - (\omega_0^2 \pm \omega_\mu^2 \cos 2\theta) \text{rad}\theta)$ $\ddot{r} = -A[\omega_0^2 \text{rad}\theta \pm \omega_\mu^2 (\text{rad}\theta \cdot \cos 2\theta + \text{der}\theta \cdot \sin 2\theta)] =$ $-A[\omega_0^2 \text{rad}\theta \pm \omega_\mu^2 \text{rad}3\theta] = -[\omega_0^2 \pm \omega_\mu^2] A \cdot \text{rad}\theta = -f(\ddot{r})$
VERIFICAREA GRAFICĂ A SOLUȚIILOR
\rightarrow V. Fig. 11.27

$$(11.147) \quad \vec{f}_{el} = (\omega_0^2 \pm \omega_\mu^2 \cos 2\theta) \text{rad}\theta$$

$$(11.148) \quad \vec{f}_{acc} = -\omega^2 \text{rad}\theta = -(\omega_0^2 \pm \omega_\mu^2 \cos 2\theta) \text{rad}\theta$$

Proiecția acestor forțe, pe oricare alta direcție radială centrică, stabilește un echilibru între proiecțiile acestor forțe, inclusiv pe axele x și y. De exemplu, proiecția forței de accelerație f_{acc} pe axa x este

$$\begin{aligned}
 (11.149) \quad \ddot{f}_X &= -\omega^2 \cos\theta \pm \omega_\mu^2 \sin 2\theta \cdot \sin\theta = \\
 &= -\omega_0^2 \cos\theta \mp \omega_\mu^2 \cos 2\theta \cdot \cos\theta \pm \omega_\mu^2 \sin 2\theta \cdot \sin\theta = \\
 &= -\omega_0^2 \cos\theta \mp \omega_\mu^2 (\cos 2\theta \cdot \cos\theta - \sin 2\theta \cdot \sin\theta) = \\
 &= -(\omega_0^2 \cos\theta \pm \omega_\mu^2 \cos 3\theta) = -f_{elX}, \text{ iar pe axa } y \text{ este}
 \end{aligned}$$



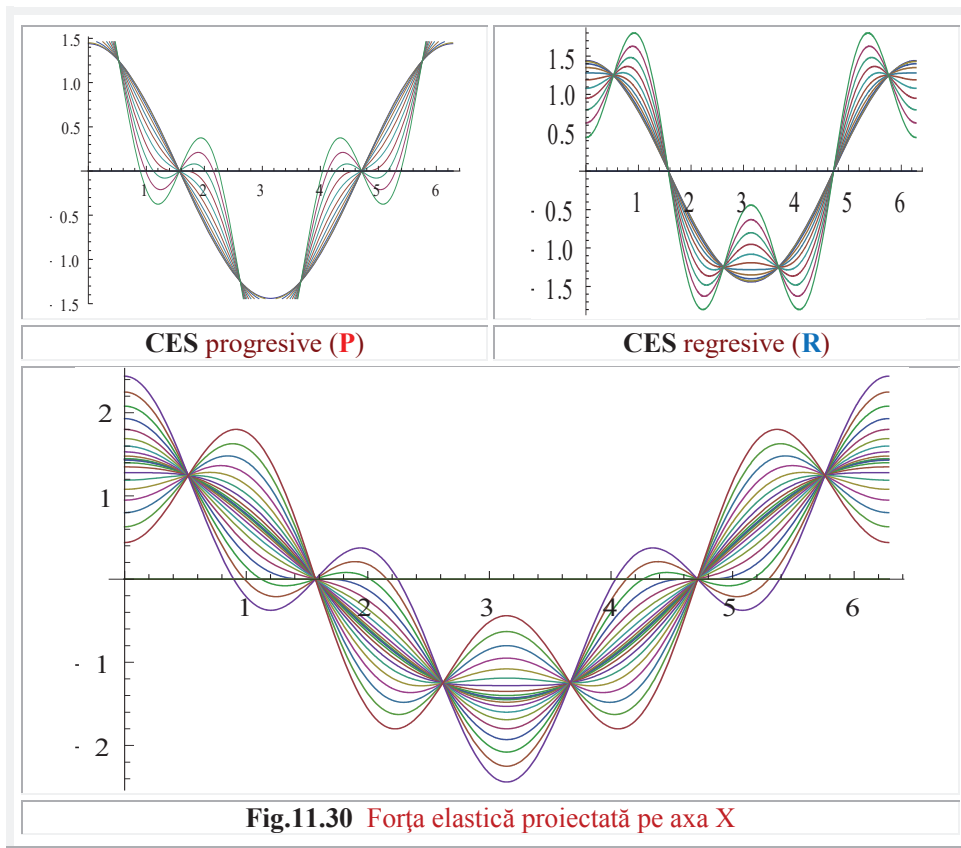
$$\begin{aligned}
 (11.150) \quad \ddot{f}_Y &= -\omega^2 \sin\theta \mp \omega_\mu^2 \sin 2\theta \cdot \cos\theta = \\
 &= -\omega_0^2 \sin\theta \mp \omega_\mu^2 \cos 2\theta \cdot \sin\theta \mp \omega_\mu^2 \sin 2\theta \cdot \cos\theta =
 \end{aligned}$$

11. FSM-CE SOLUȚII ALE UNOR SISTEME VIBRANTE NELINIARE

$$\begin{aligned}
 &= -\omega_0^2 \sin\theta \mp \omega_\mu^2 (\cos 2\theta \cdot \sin\theta + \sin 2\theta \cdot \cos\theta) = \\
 &= -(\omega_0^2 \cos\theta \pm \omega_\mu^2 \cos 3\theta) = -f_{elV}
 \end{aligned}$$

Atât în **figura 11.31** cât și în **figura 11.30**, din partea inferioară, în care sunt suprapuse CES progresive și CES regresive, se observă o dungă de culoare mai închisă în care sunt plasate graficele curbelor de neliniarități mai reduse, astfel că, în zona mijlocie se situează sistemul vibrant liniar de $\mu = 0$.

Se observă că, în proiecția pe axa Y, această forță elastică liniară redusă variază sinusoidal (**Fig. 11.31**), iar în proiecția pe axa X, variază cosinusoidal (**Fig. 11.30**). Adică, așa cum se comportă un sistem liniar, la care, vectorul forță redusă, de modul constant, se rotește cu viteză unghiulară constantă ω_0 , în acest caz, în jurul originii $O(0,0)$.



11.10.6 CARACTERISTICILE ELASTICE STATICE ALE SVNL FAZORIALE

Prin reprezentarea parametrică a forței elastice reduse și a elongației, adică

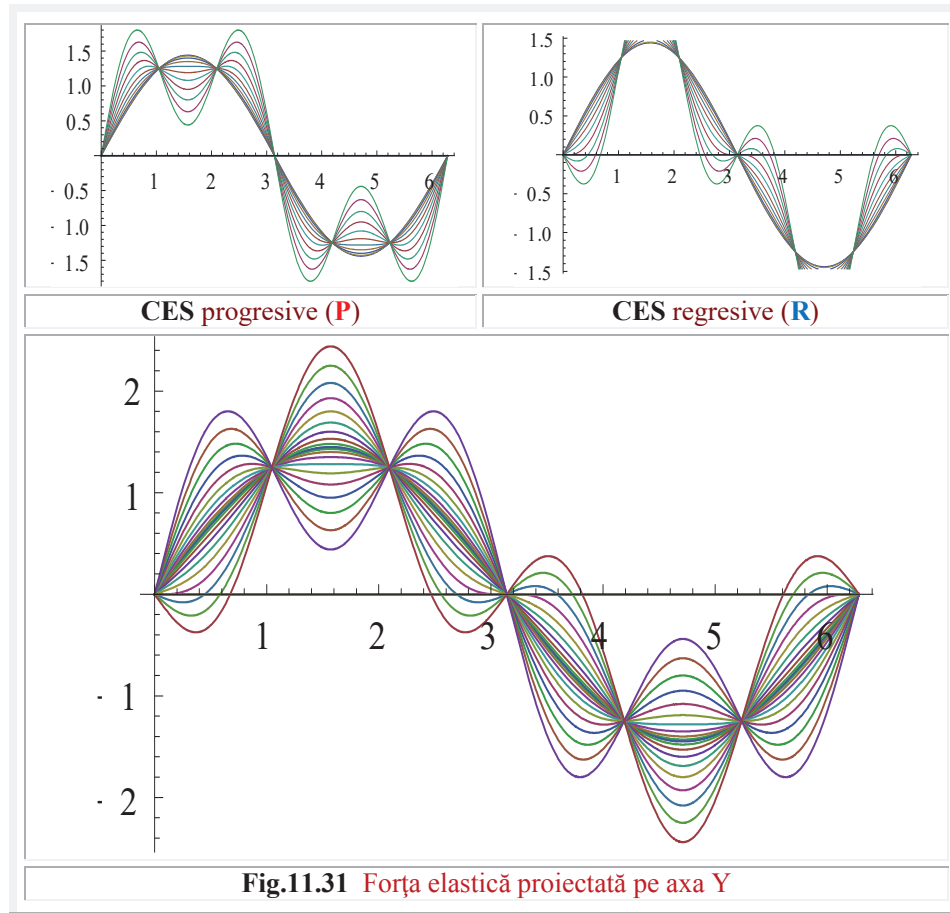
$$(11.151) \quad \begin{cases} x = A \cdot \cos [\theta] \\ Fel(x) = A(\omega_0^2 \cos\theta + \omega_\mu^2 \cos 3\theta) \end{cases} ,$$

pentru CES progresive (P) și

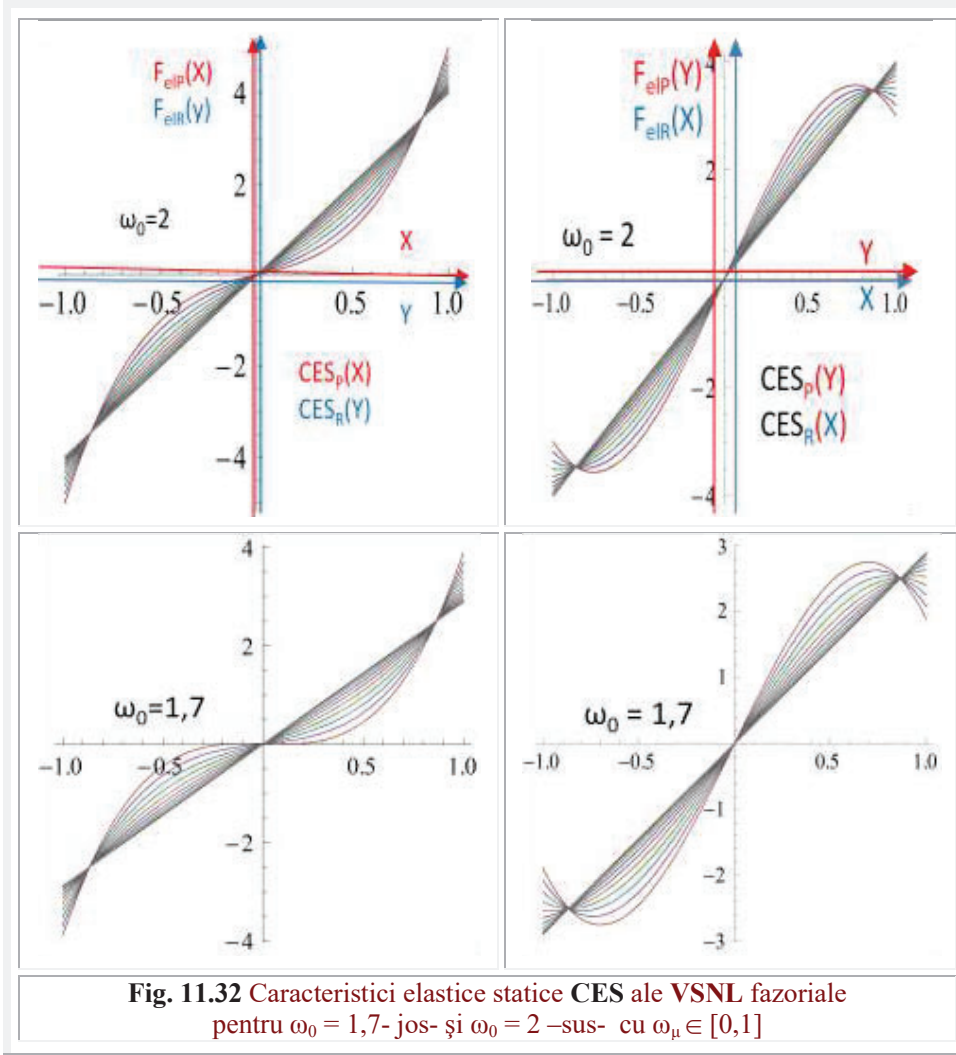
$$(11.152) \quad \begin{cases} y = A \cdot \sin\theta \\ Fel(Y) = A(\omega_0^2 \sin\theta - \omega_\mu^2 \sin 3\theta) \end{cases} ,$$

pentru CES regresive (R) se obțin aceleași CES neliniare.

O observație, foarte importantă, se referă la faptul că indiferent de semnul \pm al lui μ și ω_μ , după care s-au catalogat SVNLFazoriale în progresive (P) și în regresive (R), așa cum rezultă din figurile prezentate, ambele tipuri sunt, în acest caz, progresive și, prin inversarea proiecțiilor, ambele tipuri devin regresive – în dreapta **figurii 11.32** și **11.33**.



11. FSM-CE SOLUȚII ALE UNOR SISTEME VIBRANTE NELINIARE



În stânga **figurii 11.32**, sunt prezentate CES neliniare **tari** descrise de ecuațiile precedente, iar în dreapta, aceluiași figuri, sunt prezentate CES **moi** descrise de ecuațiile parametrice următoare, în care s-au inversat proiecțiile pe axe: CES progresive – în funcție de semnul termenului neliniar μ - sunt proiectate de axa Y și cele, așa-zise regresive (R), pe axa X.

$$(11.153) \quad \begin{cases} y = A \cdot \sin\theta \\ F_{el}(Y) = A(\omega_0^2 \sin\theta + \omega_\mu^2 \sin 3\theta) \end{cases}, \text{ pentru CES progresive (P) și}$$

$$(11.154) \quad \begin{cases} x = A \cdot \cos [\theta] \\ Fel(x) = A(\omega_0^2 \cos\theta - \omega_\mu^2 \cos 3\theta) \end{cases}, \text{ pentru CES regresive (R).}$$

Fenomenul descris anterior este general. Orice curbă $Y(X)$ considerată o CES progresivă sau regresivă prin inversare, adică curba $X(Y)$, fiind simetrică față de prima bisectoare își schimbă caracterul din progresivă devine regresivă și invers, dacă a fost regresivă devine progresivă.

Din figurile anterioare, se observă că pentru CES moi sau regresive, la neliniarități puternice, ($\omega_\mu \nearrow$ față de valoarea lui ω_0), apar rigidități negative la valori mai ridicate ale elongației/amplitudinii: zonele în care tangentele la CES sunt de pantă negativă (coeficientul unghiular al tangentei $m < 0$).

La CES progresive (v. Fig. 11.33- stânga- cu $\omega_0 = 1,2$), rigiditățile negative apar la valorile reduse ale elongației, în apropierea originii și nu apar dacă valoarea lui ω_0 este ridicată, față de valoarea lui ω_μ , așa cum se prezintă situațiile în figura 11.32 – stânga - cu $\omega_0 > 1,2$.

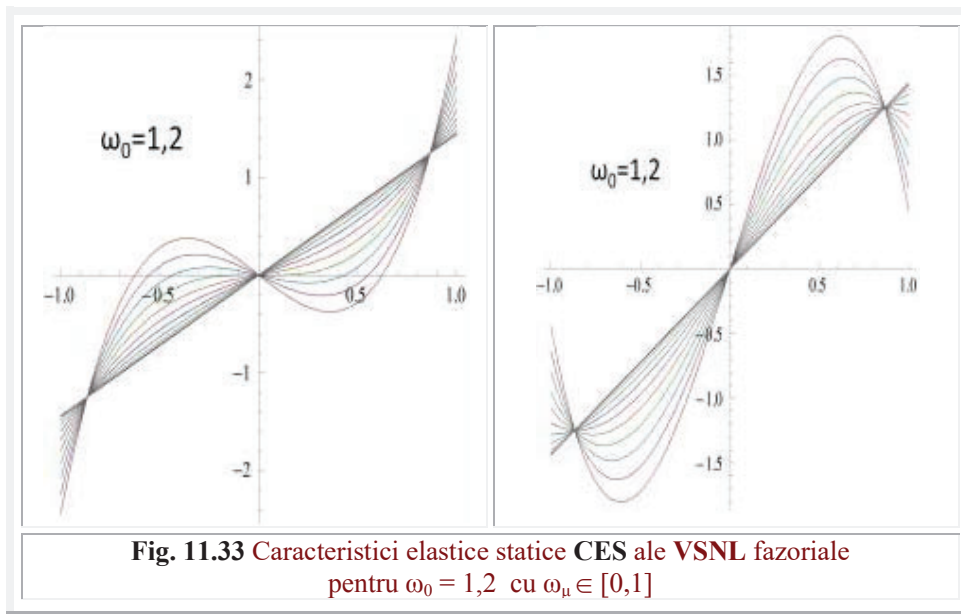


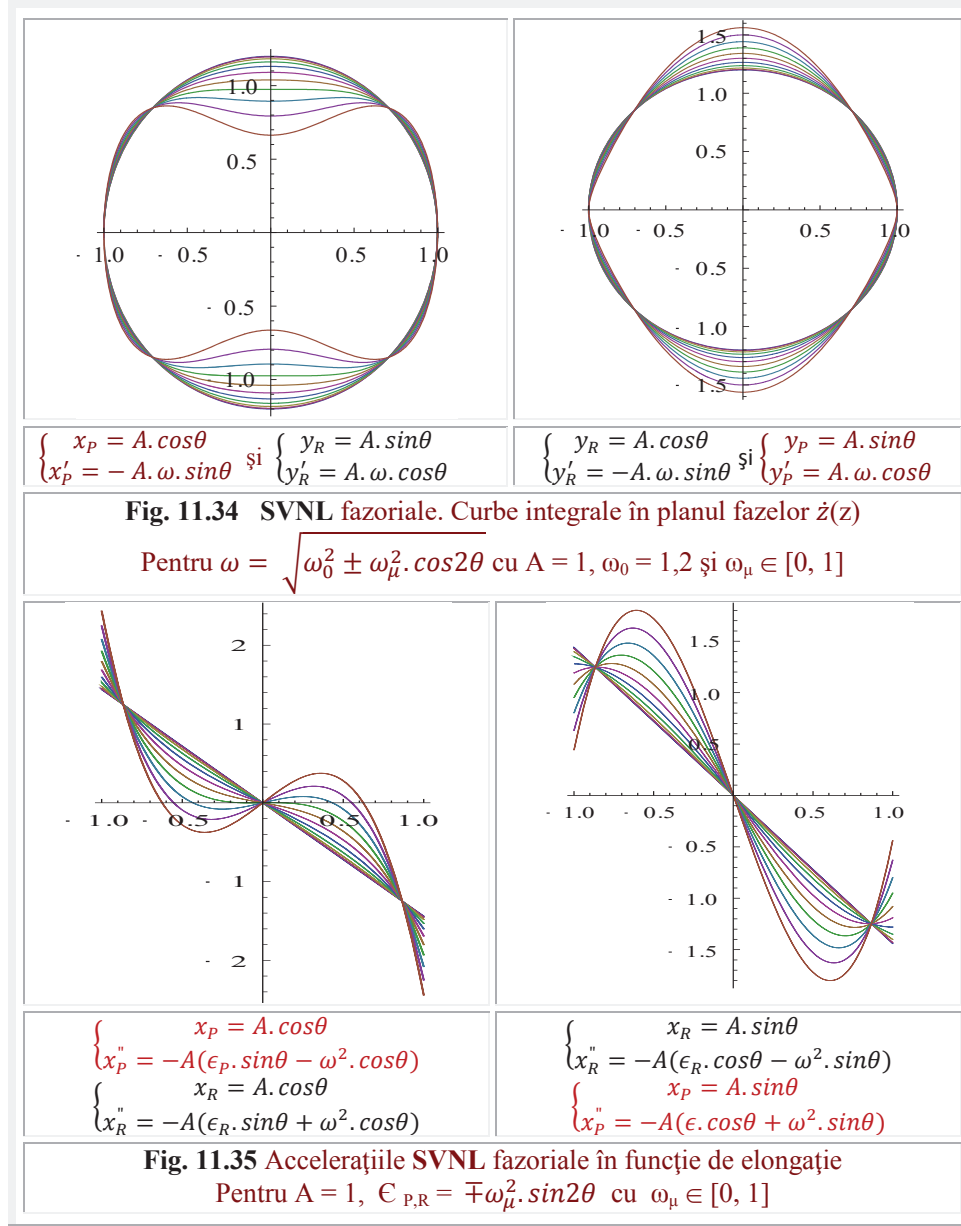
Fig. 11.33 Caracteristici elastice statice CES ale VSNL fazoriale pentru $\omega_0 = 1,2$ cu $\omega_\mu \in [0,1]$

11.10.7 CURBE INTEGRALE ÎN PLANUL FAZELOR

Din figura 11.34, în care sunt prezentate curbele integrale din planul fazelor, ale vitezei în funcție de elongație $X'(X)$ și $Y'(Y)$, se observă că, zonele cu rigiditate negativă, sunt despărțite de cele cu rigiditate pozitivă printr-un punct de intersecție a curbelor.

Pentru $\mu = 0$, CES este liniară și se obține o elipsă în planul fazelor.

11. FSM-CE SOLUȚII ALE UNOR SISTEME VIBRANTE NELINIARE



Accelerațiile SVNL fazoriale în funcție de elongație sunt prezentate în **figura 11.35**. Comparând aceste grafice, cu cele ale CES din **figura 11.33**, se observă că unele sunt simetricele celorlalte față de axa x. Este încă o dovadă, în plus, că soluțiile

atribuite **SVNL** fazoriale sunt valabile și descriu un sistem aflat în permanență în echilibru dinamic.

Cazul **SVNL** de tip **Duffing**, în care z, \dot{z}, \ddot{z} nu mai sunt fazori, ci sunt mărimi scalare, nu diferă în esență prea mult de cazul anterior studiat și va fi prezentat în continuare.

Acest caz, de vibrații libere, neamortizate, este unul din cele mai studiate cazuri de acest fel din literatura de specialitate.

De aceea, considerăm că posibilitatea simplificării studiului acestora, grație noilor complimente de matematică, reunite sub denumirea de **supermatematică**, nu este lipsită de interes. Cu atât mai mult cu cât *nu se folosesc metode aproximative*, ci *metode exacte* care verifică identic ecuația diferențială a lui **Duffing**, fără membrul drept.

11.10.8 DETERMINAREA PULSAȚIILOR SISTEMELOR OSCILANTE LIBERE, CONSERVATIVE CU CARACTERISTICĂ ELASTICĂ(CES) NELINIARĂ DE TIP DUFFING

Metoda a fost prezentată de autor la prima Conferință de “Vibrații în construcția de mașini” din Timișoara, în anul 1975 și este publicată în lucrările acesteia.

Se consideră simultan, în paralel, trei sisteme oscilante conservative, având aceeași masă m , aceeași amplitudine A și aceeași perioadă T de oscilație. Și, ca urmare, aceeași pulsație proprie Ω , sau viteză unghiulară de rotație a unui punct reprezentativ M pe cercul $C[O(0,0), R=A]$ ale cărui proiecții, pe oricare dintre axele x și/sau y , reproduc mișcările celor trei sisteme. Primele două sisteme, pentru comparație și ultimul pentru exemplificarea metodei.

Primulul (**SLE**) are caracteristica elastică statică (**CES**) liniară (Fig. 11.36)

$$(11.155) \quad F_L = K \cdot x,$$

în care K = constant este panta dreptei ce reprezintă **CES** liniară.

Al doilea sistem, neliniar (**SNL**), are **CES** reprezentată de funcția / curba (mai precis: **excentra** → v.ș. 9.3.1 Introducerea noțiunii de strambă în matematică),

$$(11.156) \quad F_N = F(x)$$

excentră simetrică față de originea $O(0,0)$.

Pentru exemplificare se mai consideră un al treilea sistem vibrant (**SND**) de **CES** a **SVNL** de tip **Duffing** având forța elastică exprimată de relația

$$F(z) = k_0 x - \mu \cdot x^3$$

Constanta elastică K a sistemului liniar echivalent (**SLE**) se alege astfel, încât, cele două mase identice m , pornind simultan la timpul $t_0 = 0$ din poziția $z_0 = A$, să ajungă simultan, după un sfert de perioadă, $t = T/4$, în poziția $z(T/4) = 0$.

Ca urmare, pulsațiile proprii, sau viteza unghiulară constantă Ω pentru sistemul liniar și viteză unghiulară medie Ω , care se consideră pulsație proprie a **SNL**, ale primelor două sisteme să fie egale între ele.

11 FSM -CE SOLUȚII ALE UNOR SISTEME DINAMICE NELINIARE

Pulsatia proprie constantă a sistemului liniar este, după cum se știe, arhicunoscuta relație

$$(11.157) \quad \Omega = \sqrt{\frac{K}{m}},$$

iar sistemul oscilant liniar este denumit **echivalent** sistemului neliniar de mase **m**, amplitudini **A** și pulsații propri **Ω** egale.

Ecuatiile diferențiale ale mișcărilor pentru cele trei sisteme sunt

$$(11.158) \quad \begin{cases} \text{SLE:} & m\ddot{x} + Kx = 0 \\ \text{SNL:} & m\ddot{x} + F(x) = 0 \\ \text{SND:} & m\ddot{x} + k_0x - \mu x^3 = 0 \end{cases}$$

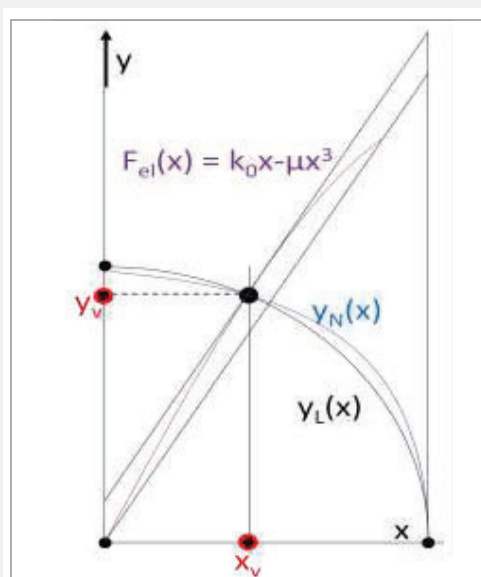


Fig. 11.36 Forțele elastice ale sistemelor neliniare (SNL) și liniare echivalente (SLE) precum și vitezele lor în funcție de deplasarea x

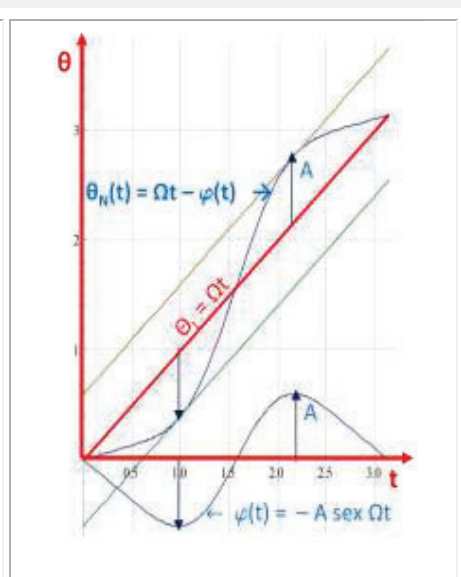


Fig. 11.37 Variabilele unghiulare ale SNL (θ_N) și SLE (θ_L) ca funcții de timpul t

Pentru sistemul liniar (SLE), cu condițiile inițiale amintite, lege de mișcare sau elongația, viteza și accelerația pot fi

$$(11.159) \quad \text{SLE:} \quad \begin{cases} x = A \cdot \cos\theta = A \cdot \cos\Omega t \\ \dot{x} = -A \Omega \sin\theta = -A \sin\Omega t = -\Omega \sqrt{A^2 - x^2} = -\Omega \cdot y \\ \ddot{x} = -A \Omega^2 \cos\theta = -A \Omega^2 \cos\Omega t = -\Omega^2 x \end{cases}$$

Accelerația SLE, exprimată în funcție de deplasarea x , verifică identic nul ecuația diferențială liniară a SLE din (11.158)

În mod analog, accelerația sistemului neliniar (SNL) trebuie să poată să se exprime în funcție de deplasarea x și, sub această formă, să verifice identic ecuația sa diferențială SNL din (11.158).

Forța elastică $F(x)$, fiind o funcție de deplasarea x se poate exprima și sub forma

$$(11.160) \quad F(x) = k_a(x) \cdot x,$$

în care rigiditatea variabilă $k_a(x)$, în funcție de x , are expresia

$$(11.161) \quad k_a(x) = F(x) / x$$

și reprezintă **rigiditatea locală** sau, cum este cunoscută în literatură [Gheorghiu, Al. "Conceptii moderne în calculul structurilor", Ed. Tehnică, Buc. 1966], **rigiditatea secantă**.

Împărțind această rigiditate, cu masa m , obținem pătratul pulsației variabile sau instantanee a accelerației care se va nota cu ω_a

$$(11.162) \quad \omega_a^2(x) = \frac{k_a(x)}{m} = \frac{F(x)}{m \cdot x} \rightarrow \omega_a = \sqrt{\frac{k_a(x)}{m}} = \sqrt{\frac{F(x)}{m \cdot x}}$$

Înlocuind expresia forței elastice, ca funcție de deplasarea x (11.160), în ecuația diferențială (11.158), se obține expresia accelerației SNL ca funcție de deplasare

$$(11.163) \quad \ddot{x}(x) = -\omega_a^2(x) \cdot x$$

Pentru exemplul considerat, rezultă

$$(11.164) \quad k_a = k_0 - \mu \cdot x^2$$

și pulsația instantanee a accelerației

$$(11.165) \quad \omega_a^2 = \frac{k_0}{m} - \frac{\mu}{m} x^2 = \omega_0^2 - \frac{\mu}{m} x^2 \rightarrow \omega_a = \sqrt{\frac{k_0}{m} - \frac{\mu}{m} x^2} = \sqrt{\omega_0^2 - \frac{\mu}{m} x^2}$$

Expresia vitezei SNL $\dot{x}(x)$ se poate determina pornind de la ecuația diferențială (11.158) sau prin integrarea accelerației SNL (11.163). Se obține aceeași expresie a vitezei SNL în funcție de deplasarea x sub formele

$$(11.166) \quad \dot{x}^2(x) = 2 \int_x^A \omega_a^2(x) \cdot x \cdot dx = \frac{2}{m} \int_x^A F(x) \cdot dx$$

care pot fi scrise și sub formele

$$(11.167) \quad \dot{x}^2(x) = \omega_v^2(x) (A^2 - x^2) = \omega_v^2(x) \cdot y^2, \quad \text{în care}$$

$$(11.168) \quad \omega_v^2(x) = \frac{\dot{x}^2(x)}{A^2 - x^2} = \left[\frac{\dot{x}(x)}{y} \right]^2$$

reprezintă pulsația instantanee a vitezei SNL în funcție de deplasarea x .

Din a treia relație (11.159) rezultă

$$(11.169) \quad y^2 = \left[\frac{\dot{x}}{\Omega} \right]^2$$

în care $y^2 = A^2 - x^2$ reprezintă ordonata traiectoriei de fază a SLE, traiectorie care este un cerc.

Prin egalarea relațiilor anterioare, rezultă că pentru oricare $x \in [0, A]$ se respectă egalitatea

$$(11.170) \quad \frac{\dot{x}}{\Omega} = \frac{\dot{x}(x)}{\omega_v(x)} \quad \text{sau} \quad \dot{x}(x) = \dot{x} \frac{\omega_v(x)}{\Omega}$$

11 FSM -CE SOLUȚII ALE UNOR SISTEME DINAMICE NELINIARE

care reprezintă o dependență între vitezele **SLE** și a **SNL** și pulsațiile vitezelor lor corespunzătoare.

Pentru exemplul considerat se obține

$$(11.171) \quad \dot{x}^2 = \frac{1}{m} [k_0(A^2 - x^2) - \frac{\mu}{2}(A^4 - x^4)] = \\ = [\omega_0^2 - \frac{\mu}{2m}(A^2 + x^2)](A^2 - x^2) \text{ și}$$

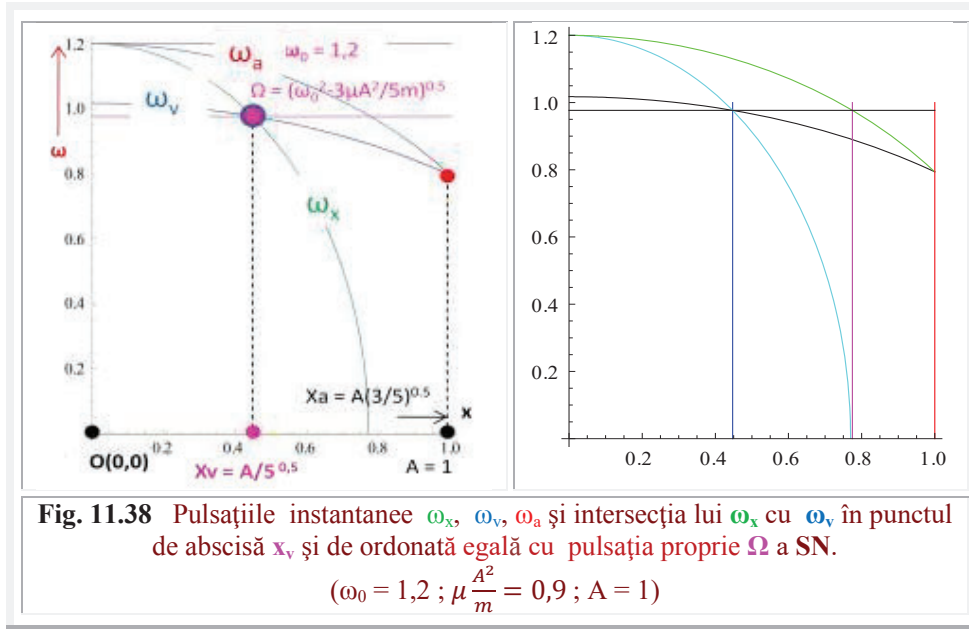
$$(11.172) \quad \omega_v^2 = \omega_0^2 - \frac{\mu}{2m}(A^2 + x^2) \rightarrow \omega_v = \sqrt{\omega_0^2 - \frac{\mu}{2m}(A^2 + x^2)}$$

Viteza **SLE** variază în funcție de deplasarea x după o elipsă care se intersectează cu curba de variație a vitezei **SNL** în funcție de deplasarea x , în intervalul $x \in [0, A]$, în trei puncte, în care, deci, vitezele celor două sisteme sunt egale. Primul punct are abscisa $x=A$, în care vitezele sunt egale între ele și egale cu zero. Celelalte două, sunt simetrice față de axa x și au abscisa notată cu $x = x_v$ (**Fig. 11.36, 11.38 și 11.39**).

Egalitatea vitezelor, cu semn pozitiv, se produce pentru deplasarea masei m de la $x = 0$ la $x = A$, iar egalitate lor, cu semn negativ, la sensul invers de deplasare.

Rezultă că, în punctul $x = x_v$, pătratele vitezelor celor două sisteme, liniar și neliniar, sunt egale, adică

$$(11.173) \quad \dot{x}^2 = \dot{x}^2(x)$$



11 FSM -CE SOLUȚII ALE UNOR SISTEME DINAMICE NELINIARE

Egalând cele două viteze, exprimate de relațiile (11.159), rezultă că, în $x = x_v$, funcția $\omega_v^2(x)$ intersectează dreapta paralelă cu axa x , care exprimă constanța pulsației sistemului liniar (Ω) în funcție de deplasarea x , adică

$$(11.174) \quad \Omega^2 = \omega_v^2(x_v), \text{ cea ce rezultă și din relația (11.170).}$$

Notând cu $k_x(x)$ coeficientul unghiular al dreptei tangente la CES neliniară $F(x)$, denumit în literatură **rigiditate locală** sau **rigiditate tangentă**, se obține

$$(11.175) \quad k_x(x) = \frac{dF(x)}{dx}$$

Împărțind (11.156) cu masa m se obține pulsația

$$(11.176) \quad \omega_x^2(x) = \frac{k_x(x)}{m} = \frac{1}{m} \frac{dF(x)}{dx}, \text{ denumită pulsație instantanee a deplasării } x.$$

Pentru exemplul considerat, ea este

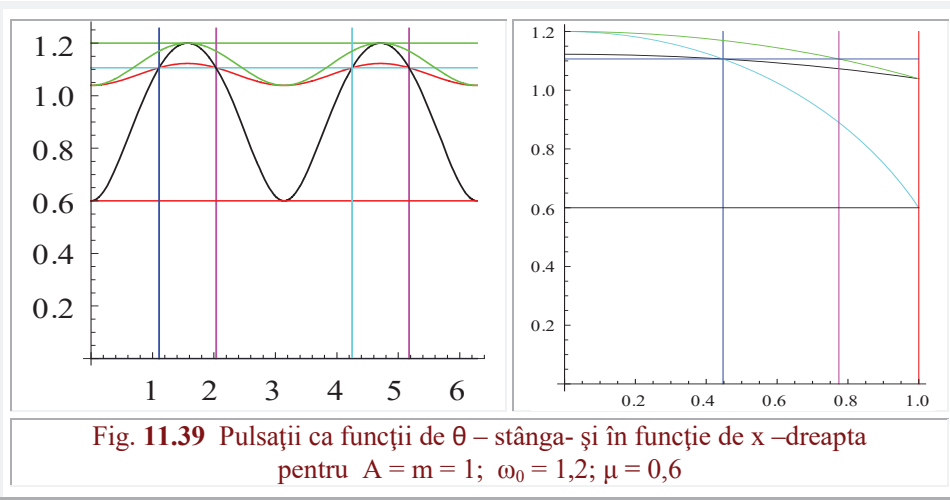
$$(11.177) \quad \omega_x^2(x) = \omega_0^2 - 3 \frac{\mu}{m} x^2 \rightarrow \omega_x(x) = \sqrt{\omega_0^2 - 3 \frac{\mu}{m} x^2}$$

Cu ajutorul pulsației instantanee a deplasării (11.176), forța elastică $F(x)$ se poate exprima prin

$$(11.178) \quad F(x) = \int_0^x \frac{dF}{dx} dx = m \int_0^x \omega_x^2 dx, \text{ cu condițiile inițiale } F(0) = 0.$$

Prin înlocuirea expresiei anterioare în relația (11.166) se obține

$$(11.179) \quad \dot{x}^2(x) = 2 \int_x^A (\int_0^x \omega_x^2(x) dx) dx$$



În punctul în care $\omega_x(x)$ intersectează dreapta, care exprimă constanța pulsației ($\Omega = ct$) a **SL**, se obține

$$(11.180) \quad \omega_x(x_v) = \Omega.$$

Considerând CES a **SNL** liniară pe porțiuni infinit mici dx , fiecare porțiune având pulsația $\omega_x(x)$, traiectoria acestuia $y(x)$ în planul fazelor este o curbă închisă pentru care [v. Harris,C și Crede,C. "Socuri și vibrații", Ed. Tehnică, Buc. 1968]

$$(11.181) \quad y^2(x) = \left(\frac{\dot{x}(x)}{\omega_v(x)}\right)^2$$

Egalând viteza SNL din relația anterioară (11.181), cu cea exprimată de relația (11.168) rezultă că, pentru oricare $x \in [0, A]$, se respectă egalitatea

$$(11.182) \quad y(x) = y \frac{\omega_v(x)}{\omega_x(x)}$$

care reprezintă o dependență între ordonata traiectoriei de fază a SNL și a SLE în funcție de deplasarea x .

Intersectarea vitezei SLE cu a SNL în $x = x_v$ impune și intersectarea traiectoriilor de fază ale celor două sistemela în același punct – abscisă și ordonată – pentru care și cele două ordonate ale celor două sisteme (Fig. 11.36 și 11.38), liniar și neliniar, sunt egale, adică $y(x) = y$. Rezultă, pe de o parte, că

$$(11.183) \quad \omega_v(x_v) = \omega_x(x_v)$$

și, pe de altă parte, ținând cont de relația (11.174) și (11.180) că

$$(11.184) \quad \omega_v(x_v) = \Omega = \omega_x(x_v).$$

S-a demonstrat, în acest mod, că ordonata punctelor de intersecție ale pulsațiilor instantanee ale deplasării $\omega_v(x)$ cu ale vitezei $\omega_x(x)$ are valoarea pulsației proprii Ω a SLE echivalent care este și pulsația proprie a SNL.

În concluzie, metoda de determinare a pulsației proprii Ω a unui SNL ca cel SND - Duffing, constă în următoarele etape:

- 1) Determinarea pulsațiilor instantanee ale deplasării $\omega_x(x)$, cu relația (11.176), precum și a pulsației instantanee a vitezei $\omega_v(x)$, cu relația (11.168);
- 2) Determinarea abscisei punctului de intersecție a celor trei pulsații (11.184)
- 3) Determinarea relației de calcul a pulsației proprii Ω , prin introducerea valorii $x = x_v$ în una dintre relațiile (11.174) sau (11.180).

Pentru exemplul considerat, egalând cele două pulsații instantanee, a deplasării (11.177) cu cea a vitezei (11.172), rezultă

$$(11.185) \quad x_v = \frac{A}{\sqrt{5}} \text{ pentru care, din (11.174) sau (11.180) se obține}$$

$$(11.186) \quad \Omega = \sqrt{\omega_0^2 - \frac{3\mu}{5m} A^2}$$

Pulsația instantanee a accelerației devine egală cu pulsația proprie Ω , sau curba $y = \omega_a(x)$ se intersectează cu dreapta $y = \Omega = ct$, în punctul de abscisă

$$(11.187) \quad x_a = A \sqrt{\frac{3}{5}}$$

în care accelerațiile, sistemului neliniar (SNL) și a celui liniar echivalent (SLE), sunt egale.

Așa cum se poate observa în figura 11.39, pulsația deplasării $\omega_v(x_v)$ și pulsația vitezei $\omega_x(x_v)$ se intersectează la abscisa $x_v = \frac{A}{\sqrt{5}}$ ca funcții de deplasare și intersecțiile curbelor pulsațiilor $\omega_v(\theta)$ cu $\omega_x(\theta)$

$$(11.188) \quad \theta = \theta_v = \omega_v(\theta) \cap \omega_x(\theta) \rightarrow \cos^2 \theta = \frac{1}{5} \rightarrow \cos \theta = \pm \sqrt{\frac{1}{5}} \rightarrow \theta_v = \arccos\left(\pm \sqrt{\frac{1}{5}}\right)$$

ca funcții de θ , au loc la în punctele de pe cercul $R = A$, centrat în originea $O(0,0)$ pentru valorile lui θ

$$(11.188') \quad \theta = \theta_v = \arccos x_v = \arccos \pm \frac{1}{\sqrt{5}} = \begin{cases} 1,10715 \\ 2,03444 \end{cases} \pm n \cdot \pi, \quad n = 0, 1, 2, \dots$$

pentru $A = m = 1, \mu = 0,6$ și $\omega_0 = 1,2$, valori adoptate în figură.

11.10.9 PULSAȚIA INSTANTANEE, CA VITEZĂ UNGHIULARĂ DE ROTAȚIE A PUNCTULUI $M(\theta, A)$ PE CERCUL DE RAZĂ $R = A$

În acest paragraf se va considera **SND-Duffing** și ecuația diferențială (11.111') a acestui sistem oscilant neliniar, liber și neamortizat.

Expresia pulsației instantanee a vitezei, ca funcție de deplasarea $x \rightarrow \omega_v(x)$, a acestui **SND** este dată de relația (11.172).

Se va demonstra în continuare că

$$(11.188) \quad x = \cos\theta(t)$$

este o soluție exactă a ecuației de mișcare (11.111'), dacă și numai dacă

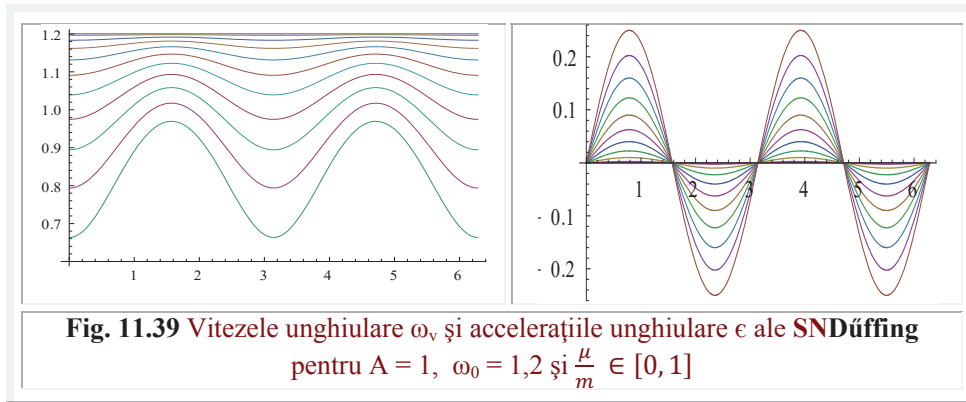
$$(11.189) \quad \dot{\theta}(t) = \frac{d\theta}{dt} = \omega(t) = \omega_v(t)$$

și relația de dependența lui $\omega_v = \omega_v(x)$ este cea dată de relația (11.170).

Introducând (11.188) în (11.172) pulsația instantanee și, acum, viteza unghiulară $\omega_v(\theta)$ poate fi adusă la forma

$$(11.190) \quad \omega(\theta(t)) = \sqrt{\omega_c^2 - \frac{\mu a^2}{4m} \cos 2\theta},$$

relație asemănătoare, ca formă și prin prezența funcției circulare centrice(CC) cosinus de arc dublu ($\cos 2\theta$), cu relația vitezei unghiulare de la **SNLD** fazoriale.



În relația anterioară s-a notat cu

11 FSM -CE SOLUȚII ALE UNOR SISTEME DINAMICE NELINIARE

$$(11.191) \quad \omega_c^2 = \omega_0^2 - \frac{3}{4} \frac{\mu}{m} A^2 \quad \rightarrow \quad \omega_c = \sqrt{\omega_0^2 - \frac{3}{4} \frac{\mu}{m} A^2}$$

pulsația denumită **pulsație de calcul** ω_c .

Este interesant faptul că, majoritatea metodelor aproximative, de determinare a pulsației proprii a sistemelor neliniare, dau expresia pulsației de calcul (11.191), în jurul căreie oscilează valorile pulsației instantanee (v. 11.190), ca pulsație proprie a acestor sisteme.

Funcția

$$(11.192) \quad \theta(t) = \int_0^t \omega(t) dt$$

reprezintă unghiul de poziție al punctului $M(\theta, A)$, pe cercul $C[O(0,0), R=A]$, de rază $R=A$, centrat în originea $O(0,0)$, la momentul t .

Pentru simplificarea scrierii relațiilor care urmează, determinarea explicită a funcției $\theta(t)$ se va realiza în finalul acestui paragraf.

Prin derivarea soluției (11.188) și ținând cont de relația (11.192), se obțin viteza și accelerația **SVNL Duffing** ecuații identice, ca formă, cu cele ale **SVNL** fazoriale:

$$(11.193) \quad \begin{cases} x = A \cdot \cos\theta(t) \\ \dot{x} = -A \cdot \omega \cdot \sin\theta(t) \\ \ddot{x} = -A(\epsilon \cdot \sin\theta(t) + \omega^2(t) \cdot \cos\theta(t)) \end{cases}$$

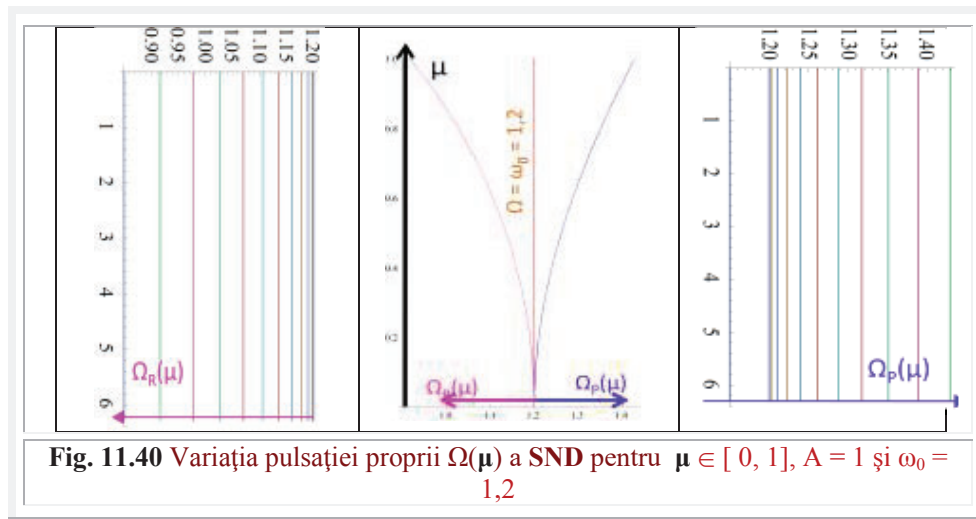


Fig. 11.40 Variația pulsației proprii $\Omega(\mu)$ a SND pentru $\mu \in [0, 1]$, $A = 1$ și $\omega_0 = 1, 2$

În relațiile anterioare, accelerația unghiulară $\epsilon [\theta(t)]$ este

$$(11.194) \quad \epsilon = \dot{\omega} = \ddot{\theta}(t)$$

și expresia ei se obține prin derivarea lui ω_p din (11.172) sau (11.190), adică

$$(11.195) \quad \epsilon = \frac{d\omega}{dt} = \frac{d\omega}{d\theta} \frac{d\theta}{dt} = \omega \frac{d\omega}{d\theta} = \frac{1}{2} \frac{d(\omega^2)}{d\theta} \quad \text{și rezultă}$$

$$(11.196) \quad \epsilon = \frac{1}{2} \frac{\mu}{m} A^2 \cos\theta \cdot \sin\theta = \frac{\mu A^2}{4m} \sin 2\theta$$

relație, ca și cea a vitezei unghiulare ω_v , asemanătoare cu cea de la **SVNL** fazoriale; diferența fiind dată de constanta $\frac{1}{4}$ față de 1 de al **SVNL** fazoriale, ceea ce arată că accelerația unghiulară, în acest caz, este de 4 ori mai mica decât în cazul **SVNL** fazoriale.

Înlocuind în expresia accelerației din (11.193), expresile obținute pentru ϵ și ω rezultă accelerația

$$(11.197) \quad \ddot{x} = -(A \cdot \omega_v^2 \cos\theta - \frac{\mu}{m} A^3 \cos^3\theta)$$

în care, înlocuind expresia lui $\omega(\theta)$ din (11.192) rezultă

$$(11.198) \quad \ddot{x} = -\left(\omega_0^2 x - \frac{\mu}{m} x^3\right) = -\frac{F(x)}{m}$$

Se observă că accelerația, astfel obținută, verifică identic ecuația diferențială a

SND

$$(11.199) \quad m\ddot{x} + k_0 x - \mu x^3 = 0$$

sau împărțind ecuația cu masa $m > 0$, constantă, rezultă

$$(11.199') \quad \ddot{x} + \omega_0^2 x - \frac{\mu}{m} x^3 = 0$$

S-a demonstrat, astfel, că soluțiile preconizate pentru ω , x , \dot{x} și \ddot{x} sunt viabile și sunt soluții care verifică exact **SNL Duffing**, libere, neamortizate, iar accelerația unghiulară ϵ este derivata vitezei unghiulare $\omega_v(x)$, pentru că ea a fost obținută tocmai prin derivarea lui $\omega_v(x)$, așa cum se poate vedea din (11.195).

Din graficele prezentate în **figura 11.39**, rezultă că accelerațiile unghiulare ale **SNL** cresc cu creșterea valorii termenului pur neliniar, adică cu valoarea lui μ , fiind nule pentru **SL** de $\mu = 0$.

Vitezele unghiulare au amplitudini de oscilație, față de valoarea lui ω_c , cu atât mai mari cu cât crește μ și devin nule pentru $\mu = 0$. Iar ω_c se apropie de ω_0 prin scaderea lui μ ; ω_0 ales de 1,2 în figură.

Figura 11.40 prezintă, în centru, deviațiile valorilor pulsațiilor proprii $\Omega(A, \mu)$ ale **SNL** în funcție de $\mu \in [0, 1]$, pentru $A = 1$ și $\omega_0 = 1,2$ pentru **SNL** progresive și regresive, adică pentru $\mu \rightarrow \pm \mu$.

În figura din stânga, se observă scăderea valorilor lui Ω , de la $\Omega(\mu=0) = \omega_0 = 1,2$, la $\Omega(\mu = -1) = 0,9$; valoare $\omega_0 = 1,2$ fiind aleasă arbitrar, odată cu creșterea valorilor negative a lui $-\mu$, iar, în figura din dreapta, se observă creșterile lui Ω , de la $\Omega(\mu = 0) = \omega_0 = 1,2$, odată cu creșterea lui $+\mu$ [$\Omega(+\mu = +1) = 1,5$].

11.10.10 SOLUȚII ÎN FUNCȚIE DE TIMPUL t

Sunt obținute cu ajutorul **integralelor și a funcțiilor eliptice**. Integrala eliptică completă de prima speță **K(k)** dă perioada $4K(k)$ a funcțiilor eliptice (**enu, snu, dnu**), iar cea de speța a doua **E(k)** exprimă lungimea sfertului de elipsă.

Elipsa din **figura 11.41** are axa mare $a = 1$ și axa mică $b = \frac{1}{\sqrt{1-k^2}} > a$, fiind prezentată și în lucrarea lui **Cebe László** "Elliptikus függvények" din revista

11 FSM -CE SOLUȚII ALE UNOR SISTEME DINAMICE NELINIARE

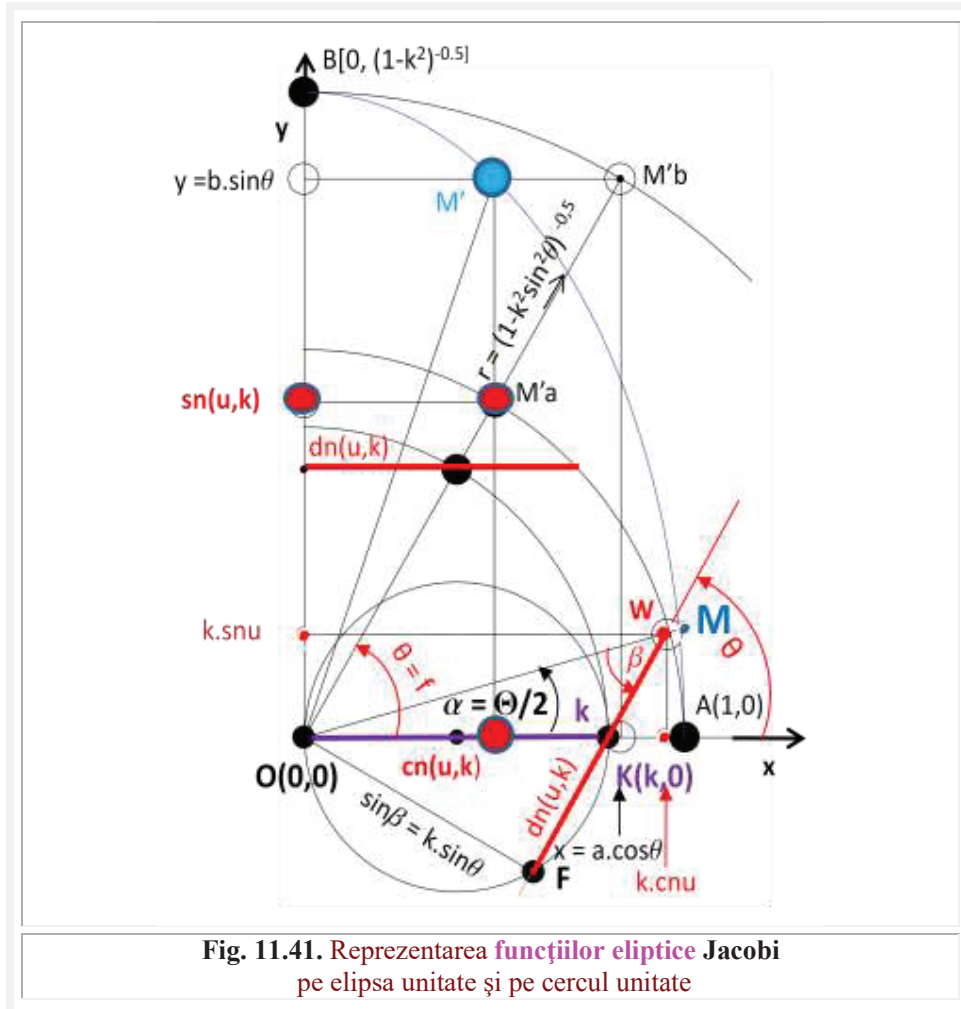
Hiradástechika XXV , 1974, pag. 176 .. 189, împreună cu o serie de funcții periodice remarcabile, printre care și cele eliptice. Mai puțin **FSM-CE** care sunt prezentate numai în aceasta lucrare și în această figură.

Ea are $a = 1$ și $b = \frac{1}{\sqrt{1-k^2}}$ și, deci, ecuația

$$(11.200) \quad x^2 + \frac{y^2}{1-k^2} = 1$$

și ecuațiile parametrice

$$(11.201) \quad \begin{cases} x = \cos\theta \\ y = \frac{1}{\sqrt{1-k^2}} \sin\theta \end{cases} .$$



Raza polară a elipsei poate fi dată din centrul O(0,0) de relația

$$(11.201) \quad \rho = r = \sqrt{x^2 + y^2} \rightarrow \rho = r = \frac{1}{\sqrt{1-k^2 \cdot \sin^2 \theta}}$$

cu notațiile din figură, sau din focarele, dispuse, în cazul elipsei rotite cu $-\pi/2$, pe axa y, fiind, totodată și excentrele $E_1 = E^+(e, \varepsilon_1 = \frac{\pi}{2})$ și $E_2 = E^-(e, \varepsilon_2 = \frac{3\pi}{2})$ ce se corspund dispunerii lor pe semiaxa $y > 0$ și, respectiv, pe $y < 0$ și de relații

$$(11.203) \quad r_{1,2} = \sqrt{x^2 + (e \mp y)^2}$$

și a căror sumă, în cazul de față, și în toate cazurile în care se exprimă una dintre proprietățile de bază ale unei elipse, care stipulează că suma distanțelor de la focarele elipsei la un punct curent de pe elipsă este constanta și egală cu lungimea axei celei mai mari a elipsei, în cazul de față cu $b > a$, adică

$$(11.204) \quad r_1 + r_2 = 2b = \frac{2}{\sqrt{1-k^2}}$$

Excentricitatea liniară e a elipsei, acum pe direcția axei y, adică de $\varepsilon = \pm \frac{\pi}{2}$, este dată de cunoscuta relație, aici modificată datorită rotirii elipsei,

$$(11.205) \quad e = \sqrt{b^2 - a^2} = \frac{k}{\sqrt{1-k^2}} = b \cdot k$$

iar excentricitatea liniară numerică, notată acum cu s , este

$$(11.206) \quad s = \frac{e}{b} = k.$$

Rezultă că **excentricitatea liniară numerică s** a elipsei este și **modulul k** al integralelor și al funcțiilor eliptice **Jacobi**.

Deoarece, cercul unitate, reprezentat în **figura 11.41** are raza $R = a = 1$, rezultă că excentricitatea reală e_{cerc} este egală cu excentricitatea numerică $s_{\text{cerc}} = e_{\text{cerc}}/a = e_{\text{cerc}}$.

Dacă modulul funcțiilor eliptice este k , se alege excentricitatea numerică, egală cu cea reală a **FSM-CE** pentru $R = 1$, atunci **$e = s = k$** .

Adică, excentricitățile numerice ale elipsei și ale cercului sunt aceleași; diferă doar excentricitățile reale ale celor două curbe închise. Diferență care face și distincția dintre **elipsa**, s-o numim **unitate**, deoarece are $a = 1$ și **cercul unitate** de $R = 1$.

În rezumat: **cercul unitate** are ambele excentricități liniare egale între ele și egale cu **k** , iar **elipsa unitate** le are diferite; dar excentricitățile numerice ale celor două curbe închise sunt egale între ele și egale cu modulul **k** al integralelor și al funcțiilor eliptice **Jacobi**.

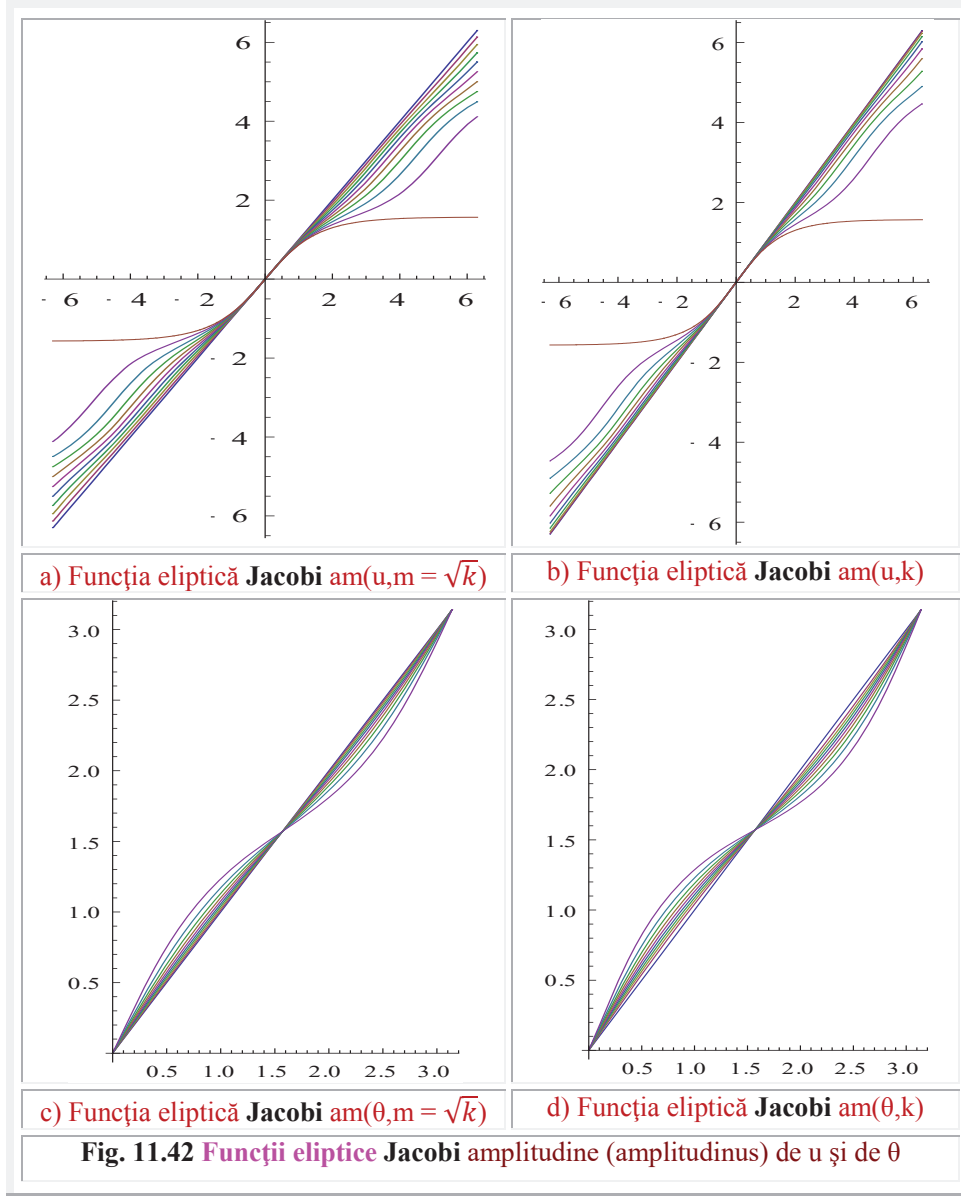
Sunt denumite funcții eliptice, pe de o parte, pentru că sunt legate de integralele eliptice, de determinare a perimetrului elipsei - **$E(u,k)$** - și, pe de altă parte, pentru că pe această curbă închisă pot fi definite aceste funcții și, cu precădere, arcul de elipsa **u** , de la originea arcului elipsei unitate **$A(1,0)$** la un punct curent **$P(\theta, \rho = 5)$** de pe elipsă.

Deoarece satisfac exact ecuații diferențiale neliniare de ordinul doi, au o multitudine de aplicații în matematică, fizică și în special în tehnică/tehnologie.

Fie integrala

$$(11.207) \quad \int R[x, \sqrt{P(x)}] dx$$

în care $R(x, y)$ este o funcție rațională de argument x , iar $P(x)$ - un polinom.



Dacă $P(x)$ este un polinom de ordinul doi, atunci integrala (11.207) se exprimă prin funcții elementare. În cazurile excepționale, când integrala poate fi exprimată prin funcții elementare, aceasta se numește **integrală pseudoeliptică**.

În cazul când $P(x)$ este o funcție de ordinul trei sau patru, integrala (11.207) se numește integrală eliptică și, în general, nu poate fi dată în formă finită, sub forma unei relații simple de calcul.

Pentru integrala eliptică completă de prima speță $K(k)$, s-a prezentat, în această lucrare [v.Cap.5 Aplicații matematice ale **FSM-CE** radial excentric $\text{rex}\theta$, pag. 152 ... 167], o metodă hibridă – numerico-analitică, bazată pe / (plecând de la) metoda **Landen**- prin care s-a reușit obținerea unei relații simple, cu numai doi termeni (5.55, 5.56 și 5.57), care oferă o **precizie, incredibilă de ridicată**, de calcul cu **15 zecimale exacte !**

La fel de bine, ea poate fi calculată cu ajutorul unui seriei hipergeometrice, dezvoltată după k având raza de convergență egală cu unitatea.

Se numește **serie hipergeometrică** seria (v. **Râjic I.M.** și **Gradștein I.S.** “Tabele de integrale, sume, serii și produse” Ed. Tehnică, Buc. 1955, pag. 415] (11.208)

$$F(\alpha; \beta; \gamma; z) = 1 + \frac{\alpha \cdot \beta}{\gamma \cdot 1} z + \frac{\alpha(\alpha+1)\beta(\beta+1)}{\gamma(\gamma+1)1 \cdot 2} z^2 + \frac{\alpha(\alpha+1)(\alpha+2)\beta(\beta+1)(\beta+2)}{\gamma(\gamma+1)(\gamma+2)1 \cdot 2 \cdot 3} z^3 + \dots$$

Cu ajutorul acestei serii, expresia care poate exprima, cu orice grad de precizie, valoarea integralei $K(k)$ este (11.209)

$$K(k) = \frac{\pi}{2} F\left(\frac{1}{2}; \frac{1}{2}; 1; k^2\right) = \frac{\pi}{2} \left\{ 1 + \left(\frac{1}{2}\right)^2 k^2 + \left(\frac{1 \cdot 3}{2 \cdot 4}\right)^2 k^4 + \dots + \left[\frac{(2n-1)!!}{2^n n!}\right]^2 k^{2n} + \dots \right\},$$

în care simbolul !! exprimă produsul numai a numerelor impare sau numai a celor pare, de la caz la caz, în funcție de indicațiile/continutul parantezei care precede simbolul.

Astfel,

$$(11.210) \quad \begin{cases} (2n-1)!! = 1^{n/2} = 1.3.5 \dots (2n-1) \\ 2n!! = 2^{n/2} = 2.4.6 \dots 2n = 2^n n! \end{cases}$$

și, ca simbolurile să fie complete, $n!$ se mai simbolizează și astfel

$$(11.210') \quad n! = 1^{n/1} = 1.2.3 \dots n$$

Integrala eliptică de prima speță $K(k)$ din forma normală **Legendre**

$$(11.211) \quad K(k) = \int \frac{dx}{(1-x^2)(1-k^2x^2)}$$

poate fi adusă sub forma trigonometrică normală prin substituția

$$(11.212) \quad x = \sin\theta.$$

Expresia lui $K(k)$ poate fi scrisă, mai concentrat, astfel

[v. → <http://sfm.asm.md/vol1/fizica%20matematica.html>]

$$(11.212') \quad K(k) = \int_0^{\frac{\pi}{2}} \frac{d\theta}{\sqrt{1-k^2 \sin^2 \theta}} = \int_0^{\frac{\pi}{2}} \left[1 + \sum_{n=1}^{\infty} \frac{1 \cdot 3 \cdot 5 \dots (2n-1)}{2^n n!} \sin^{2n} \theta \right] d\theta = \\ = \frac{\pi}{2} \left\{ 1 + \sum_{n=1}^{\infty} \left[\frac{1 \cdot 3 \cdot 5 \dots (2n-1)}{2 \cdot 4 \cdot 6 \dots 2n} \right]^2 k^{2n} \right\}$$

Așa cum rezultă și din “Tabelele” lui Râjic [pag. 174, rel(3.413)], dublul integralelor eliptice de prima și a doua speță, sunt date și de **FSM-CE**, de variabilă centrică α , radial excentric $\text{Rex}_{1,2}\alpha$ de excentricitate numerică $s = k$, → $k^2 < 1$

$$(11.213) \quad \mathbf{K}(\mathbf{k}) = \frac{1}{2} \int_0^\pi \frac{d\alpha}{\operatorname{Re}x_{1,2}\alpha} = \frac{1}{2} \int_0^\pi \frac{d\alpha}{\sqrt{1+k^2 \mp 2k \cos\alpha}} \quad \text{\textit{și}}$$

$$(11.214) \quad \pm \mathbf{E}(\mathbf{k}) = \frac{1}{2} \int_0^\pi \operatorname{Re}x_{1,2} \alpha \cdot d\alpha = \frac{1}{2} \int_0^\pi \sqrt{1+k^2 \mp 2k \cos\alpha} \, d\alpha.$$

Lungimea unui arc de elipsa este \mathbf{u} , variabila funcțiilor eliptice $\operatorname{cn}(\mathbf{u}, \mathbf{k})$, $\operatorname{sn}(\mathbf{u}, \mathbf{k})$ și $\operatorname{dn}(\mathbf{u}, \mathbf{k})$ și se poate determina cu integrala

$$(11.215) \quad \mathbf{u} = \mathbf{E}(\theta, \mathbf{k}) = \int_0^\theta \sqrt{x^2(\theta) + y^2(\theta)} \, d\theta = \int_0^\theta \sqrt{1 - k^2 \sin^2 \theta} \, d\theta$$

11.10.11 INFINIȚII MICI (DIFERENȚIALELE), FSM-CE ȘI FUNCȚIILE ELIPTICE Jacobi

Istoria confirmă că **Fourier** i-a acuzat pe **Jacobi** și pe **Abel** ca-și risipesc/pierd timpul cu funcții eliptice, când sunt atâtea probleme mai utile care ar putea fi rezolvate.

Răspunsul se găsește pe site (V. [Google](#) → ”Zâmbetul științei”).

Ca istoria să nu se mai repete, (deși, tot istoria, ne învață ca nu se învață nimic din istorie, din moment ce ea se repetă, deci, fără prea multe speranțe și fără să ne facem iluzii că vom pune punctul pe i), înserăm în acest capitol unele dependențe dintre infiniții mici, sub forma diferențialelor, funcțiile eliptice **Jacobi** și noile, introduse în matematică, **FSM-CE**, cu speranța că, în acest mod, se simplifică înțelegerea funcțiilor eliptice **Jacobi**, din moment ce, ele, pot fi vizualizate și pe cercul trigonometric/unitate cu care suntem mai familiarizați (**Fig. 11.41**).

Elementului de arc al elipsei $ds = du$ din **figurile 11.41** și **11.43** este

$$(11.216) \quad ds = du = \rho d\theta = \frac{d\theta}{\sqrt{1-k^2 \sin^2 \theta}},$$

în care raza polară ρ a unui punct al elipsei, măsurată din originea $O(0,0)$, este dată de relația (11.182).

Lungimea \mathbf{u} a arcului de elipsă (**Fig.11.41**), corespunzător arcului θ a unui punct $W(R=1, \theta)$ de pe cercul unitate, se determină prin integrarea elementului de arc al elipsei, adică, este integrala eliptică de speta a 2-a, incompletă, notată și cu $F(u, k)$

$$(11.217) \quad F(u, k) = \int_0^\theta \frac{d\theta}{\sqrt{1-k^2 \sin^2 \theta}}$$

Lungimea arcului unui sfert de elipsă, corespunzătoare lui $\theta = \pi/2$, pe cercul unitate, este $K(\mathbf{k})$.

Se observă că integrala eliptică de prima speță, $F(u, k)$ este dată de diferențiala $\frac{du}{d\theta}$, care, așa cum s-a indicat în figura **11.42** reprezintă inversul segmentului

$$(11.218) \quad FW = \operatorname{dn}(\mathbf{u}, \mathbf{k}) = \cos \beta = \sqrt{1 - k^2 \sin^2 \theta}$$

Din figură mai rezultă, fără să insistăm asupra deducerii acestor relații, că

$$(11.219) \quad \begin{cases} r = EW = rex\theta = Rex\alpha = \frac{d\alpha}{du} \\ FE = k \cdot \cos\theta = \frac{d\beta}{du} \\ FW = dnu = \frac{d\theta}{du} = \frac{d(\alpha+\beta)}{du} = \frac{d\alpha}{du} \frac{d\beta}{du} \Rightarrow \frac{d\alpha}{du} + \frac{d\beta}{du} + \frac{d\gamma}{du} = 1 \Rightarrow \\ 1 - FW = \frac{d\gamma}{du} \end{cases}$$

$$\Rightarrow d\alpha + d\beta + d\gamma = du \Rightarrow \alpha + \beta + \gamma = u = \theta + \gamma$$

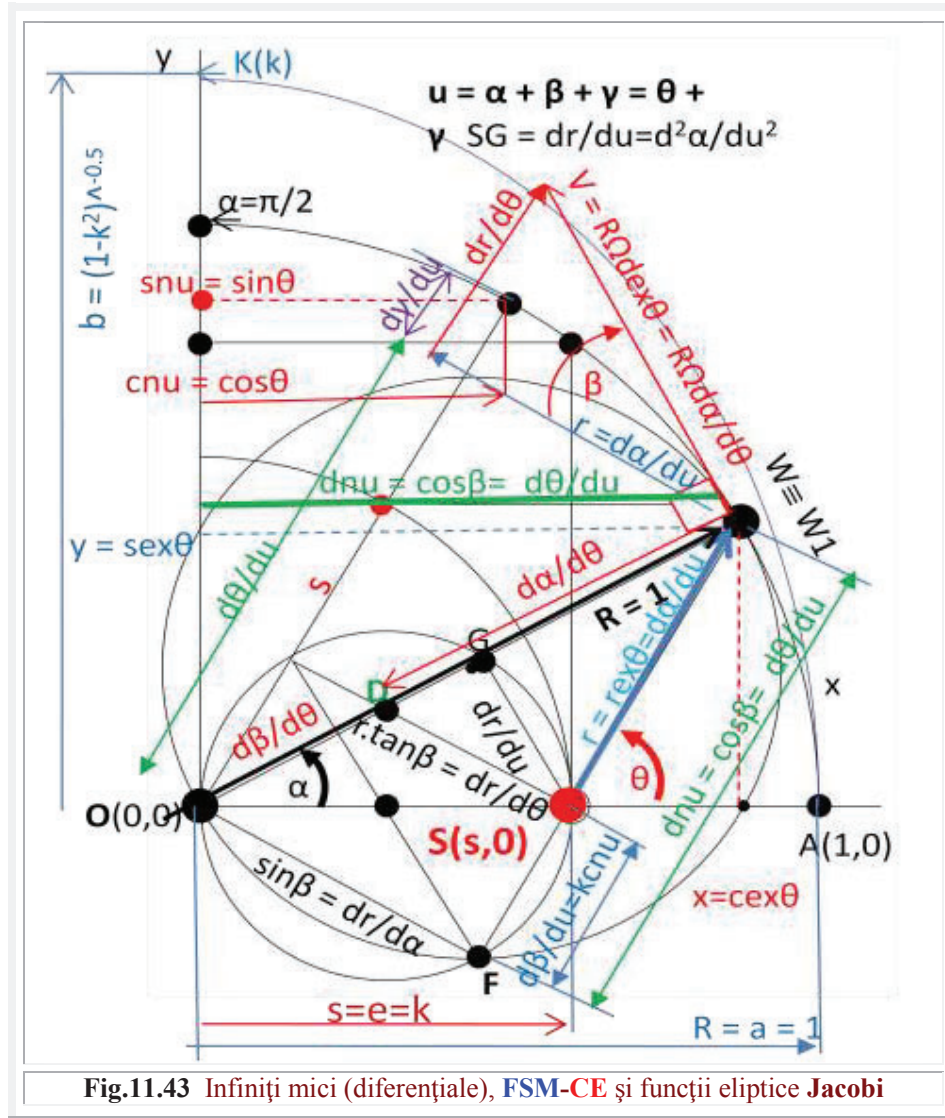


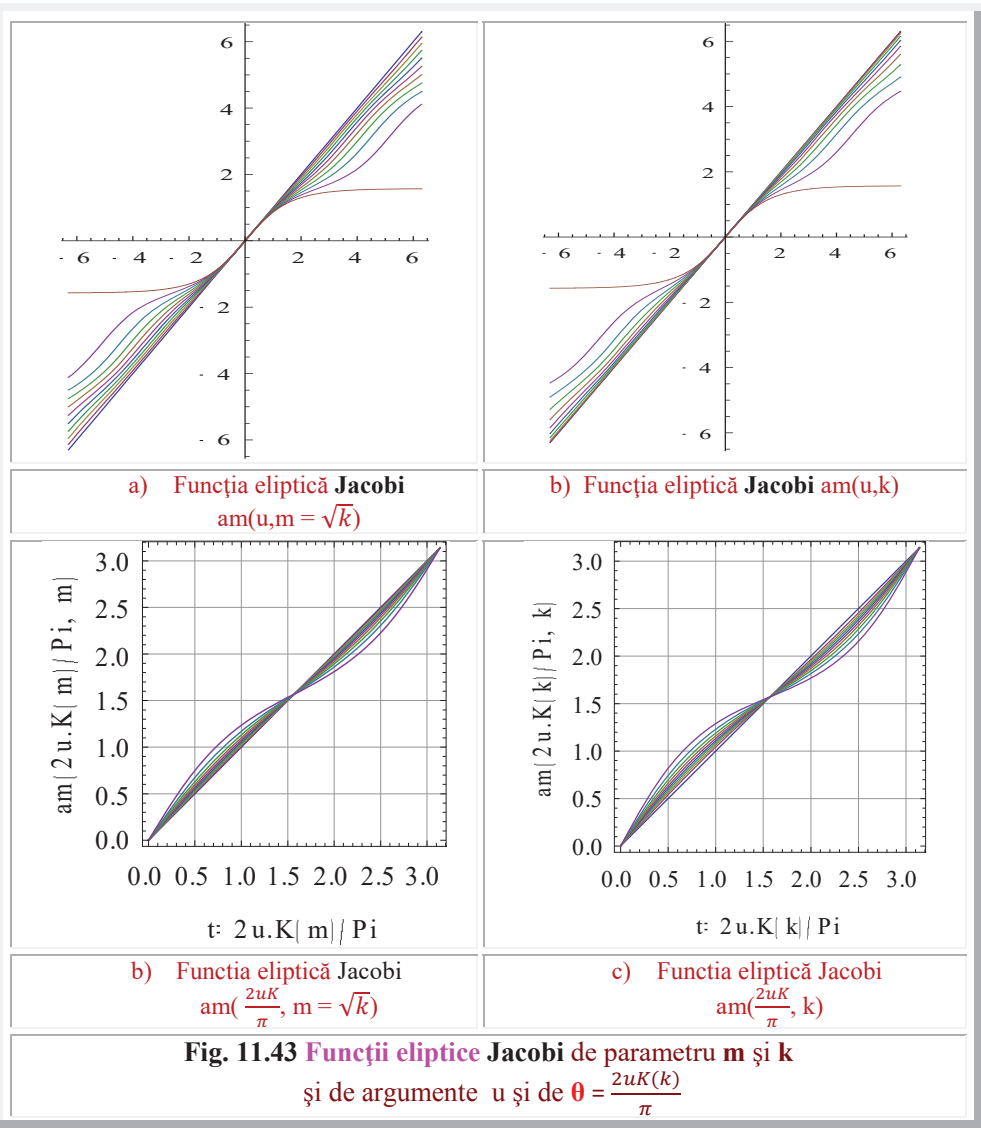
Fig.11.43 Infiniți mici (diferențiale), FSM-CE și funcții eliptice Jacobi

Rezultă că unghiul $\gamma = u - \theta$ este, deci, diferența dintre cele două argumente, cele ale funcțiilor eliptice **Jacobi** (u) și ale **FSM-CE** de **variabilă excentrică** (θ).

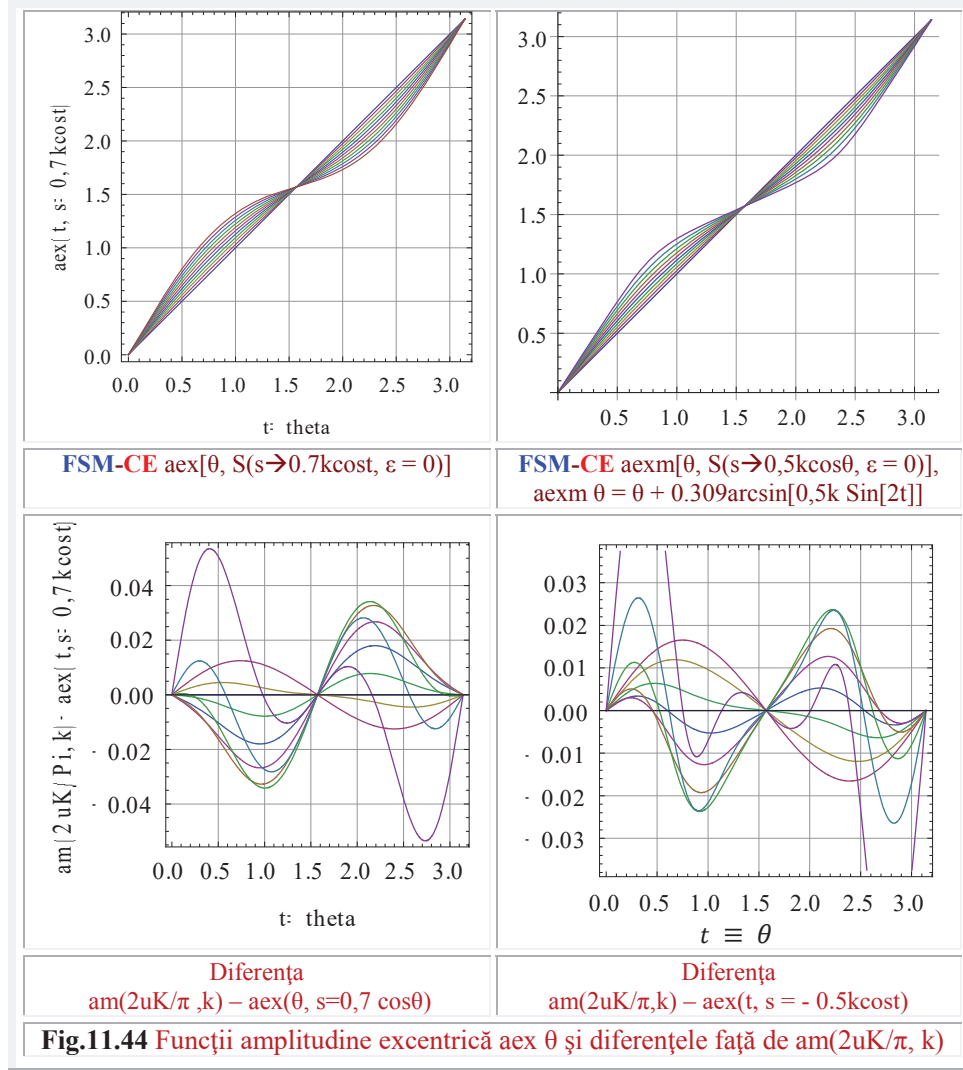
Transversal pe segmentul **FW**, apar segmente de drepte care pot fi exprimate prin diverse diferențiale, cum sunt

11 FSM -CE SOLUȚII ALE UNOR SISTEME DINAMICE NELINIARE

$$(11.220) \quad \left\{ \begin{array}{l} OF = k \cdot \sin\beta = \frac{dr}{d\alpha} = \frac{d}{d\alpha} Rex\alpha = \frac{k \cdot \sin\alpha}{Rex\alpha} = \frac{k \cdot \sin\alpha}{\sqrt{1+k^2-2k \cdot \cos\alpha}} \\ FP = \frac{dr}{du} \frac{d\theta}{d\alpha} = \frac{dr}{du} Dex\alpha = \frac{dr}{du} \frac{1}{dex\theta} = \frac{d}{d\theta} (dex\theta) \rightarrow FP \perp OW \\ SD = r \cdot \tan\beta = dex\theta \cdot \sin\beta = \frac{dr}{d\theta} = k \frac{sex\theta}{\cos\beta} \\ SG = r \cdot \sin\beta = \frac{dr}{du} = rex\theta \cdot \sin\beta \end{array} \right.$$



11 FSM -CE SOLUȚII ALE UNOR SISTEME DINAMICE NELINIARE



Pe direcția dreptei OW, înclinată cu unghiul α față de axa x, apar două segmente a căror sumă este raza cercului unitate $R = 1$. Aceste segmente sunt

$$(11.221) \quad \begin{cases} OD = \frac{d\beta}{d\theta} = \frac{k \cdot \cos \theta}{\sqrt{1 - k^2 \sin^2 \theta}} \\ DW = \frac{d\alpha}{d\theta} = dex \theta \\ GW = r \frac{d\theta}{du} = \frac{d\alpha}{du} \frac{d\theta}{du} = 1 - k \cdot \sin \alpha \end{cases}$$

Așa cum s-a mai afirmat și cum se cunoaște, de fapt, derivata vectorului de poziție $\vec{r}(\theta) = R \cdot \text{rex}\theta$, a punctului W în mișcarea lui pe cerc (v. **Vol.I**, Cap. 6.4 **MCE**, pag 197 ... 202), este viteza $\vec{v}(\theta = \Omega t) = R \cdot \Omega \cdot \text{dex}\theta$. Pentru $R = \Omega = 1$ rezultă

$$(11.200) \quad \frac{d}{d\theta} [\vec{r}(\theta)] = \dot{\vec{r}}(\theta) = \frac{d}{d\theta} (\text{rex}\theta \cdot \text{rad}\theta) = \frac{dr}{d\theta} \text{rad}\theta + r \cdot \text{der}\theta = \\ = \frac{dr}{d\theta} \text{rad}\theta + \frac{d\alpha}{du} \text{der}\theta = \frac{d\alpha}{du} \text{dera} = \vec{v} = \text{dex}\theta \cdot \text{rada}$$

în care se evidențiază cele două componente ale vitezei: una pe direcția $\text{rad}\theta$, adică pe direcția radială centrică ($\text{rad}\theta$), a razei vectoriale \vec{r} , care exprimă derivata în modul a lui \vec{r} și o a doua componentă, perpendiculară pe prima, pe direcția derivată centrică ($\text{der}\theta$), care reprezintă derivata în direcție a vectorului turnant $\vec{r} = \text{rex}\theta \text{ rad}\theta$.

Derivata în direcție este proiecția lui \vec{v} pe direcția $\text{der}\theta$, adică

$$(11.222) \quad \frac{d\alpha}{du} = \text{dex}\theta \cdot \cos\beta = \frac{d\alpha}{d\theta} \frac{d\theta}{du}$$

iar derivata în modul este proiecția lui \vec{v} pe direcția fazorului $\text{rad}\theta$

$$(11.223) \quad \frac{dr}{d\theta} = \text{dex}\theta \cdot \sin\beta = \frac{d\alpha}{d\theta} \frac{dr}{d\alpha}$$

ceea ce indică corectitudinea asocierii diferențialelor, respectiv a diverșilor infiniți mici, cu aceste segmente de dreapte, reprezentate în **figura 11.42**.

Dacă (11.217) dă pe $u(\theta)$, inversul ei $\theta(u)$ este dată de funcția eliptică **Jacobi** amplitudinus/amplitudine (și, adăugăm noi, **centrică**, pentru a evita confuziile cu amplitudinea excentrică $\text{aex}\theta$)

$$(11.224) \quad \theta(u) = \text{am}(u, k)$$

Aceste funcții au aliura din **figura 11.43**.

În partea de sus și în stânga figurii, sunt reprezentate funcțiile $\text{am}(u, m = \sqrt{k})$, de modul $m = \sqrt{k}$, care sunt funcții eliptice **Jacobi** de perioadă $4K(k)$, iar în dreapta figurii sunt prezentate aceleși funcții dar de modul $k = m^2$ și de aceeași perioadă $4K(k)$.

În partea de jos sunt prezentate aceleași funcții de aceeași parametri m și, respectiv, k , dar de argument modificat prin $t = 2uK(k)/\pi$.

Aceleași argumente vor fi utilizate și pentru reprezentarea celorlalte funcții eliptice **Jacobi** : $\text{cn } u, \text{sn } u, \text{dn } u$.

Pentru comparație și pentru evidențierea asemănării lot cu funcțiile amplitunide **Jacobi** și, prin aceasta, a justificării denumirii date acestor funcții, sunt prezentate **FSM-CE** amplitudine **excentrică** ($\text{aex}\theta$) de variabilă excentrică θ cât și **FSM-CE** $\text{aex}m\theta$ –**aex modificate**- în sensul că **FCC** inversă **arcsin** a fost înlocuită cu **arctan**, așa cum se indică în **figura 11.44** – sus. Jos, sunt prezentate diferențele dintre funcțiile eliptice **Jacobi** și **FSM-CE**

$$(11.225) \quad \Delta = \text{am}(u, k) - \text{aex}(\theta, s) \quad \text{sau}$$

$$(11.226) \quad \Delta M = \text{am}(u, k) - \text{aex}m(\theta, s)$$

Precizii de aproximare mult mai ridicate, pentru $k \in [0; 0,7]$ sunt reprezentate în **figura 11.45** fiind date de $\text{aex}m(\theta, s = k)$.

Modificarea consistă în următoarele: $\text{arcsin} \rightarrow 0,3\text{arctan}$, $s \rightarrow (s \cdot \cos\theta)^2$ și $\sin\theta \rightarrow \text{sinq}(\theta, s)$, în care, reamintim că **sinq** sau **siq** este sinusul cvadrilob / quadrilob (v. pag. 32, 53 .. 56).

11 FSM -CE SOLUȚII ALE UNOR SISTEME DINAMICE NELINIARE

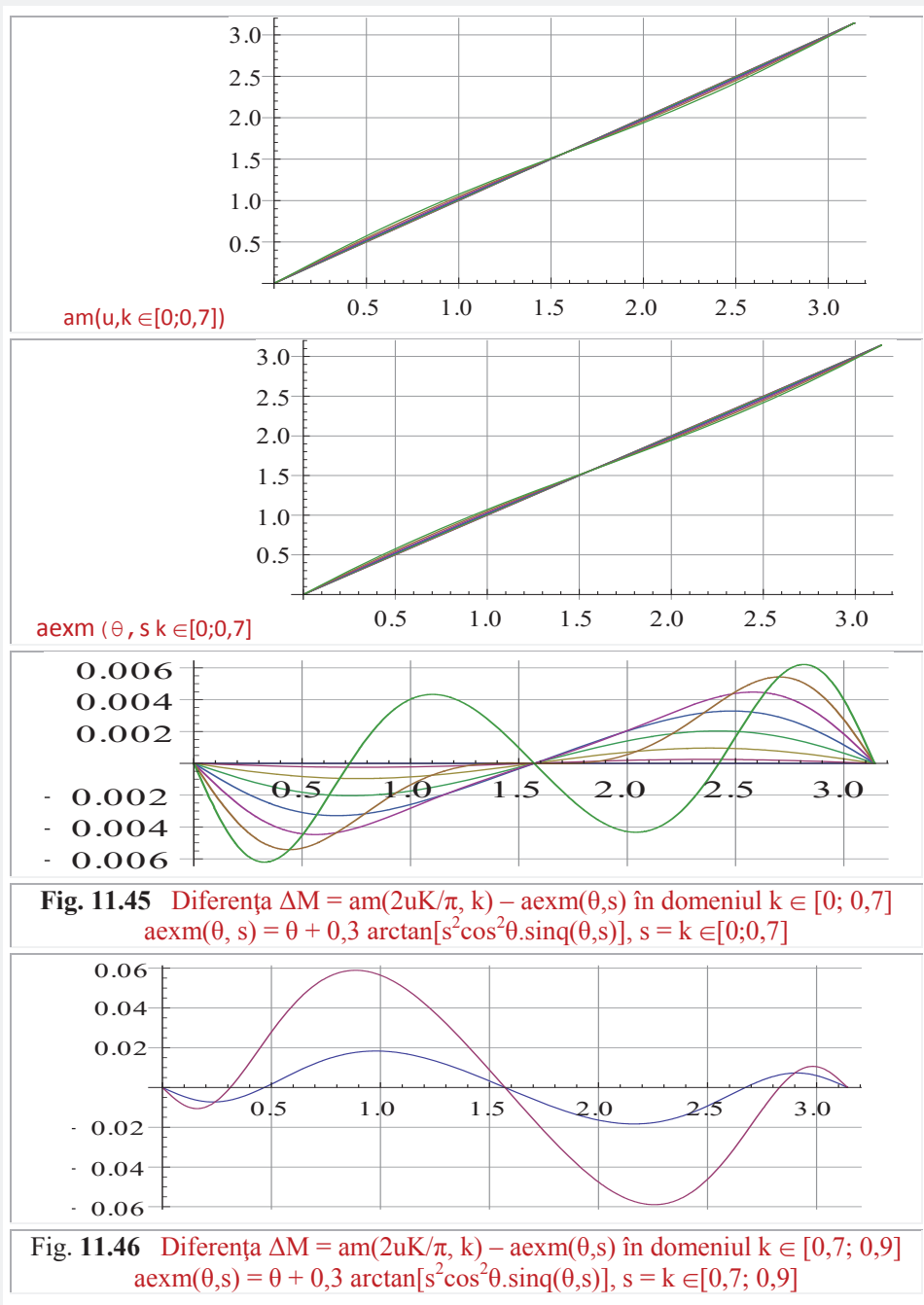


Fig. 11.45 Diferența $\Delta M = am(2uK/\pi, k) - aexm(\theta, s)$ în domeniul $k \in [0; 0.7]$
 $aexm(\theta, s) = \theta + 0,3 \arctan[s^2 \cos^2 \theta \cdot \text{sin}q(\theta, s)]$, $s = k \in [0; 0.7]$

Fig. 11.46 Diferența $\Delta M = am(2uK/\pi, k) - aexm(\theta, s)$ în domeniul $k \in [0.7; 0.9]$
 $aexm(\theta, s) = \theta + 0,3 \arctan[s^2 \cos^2 \theta \cdot \text{sin}q(\theta, s)]$, $s = k \in [0.7; 0.9]$

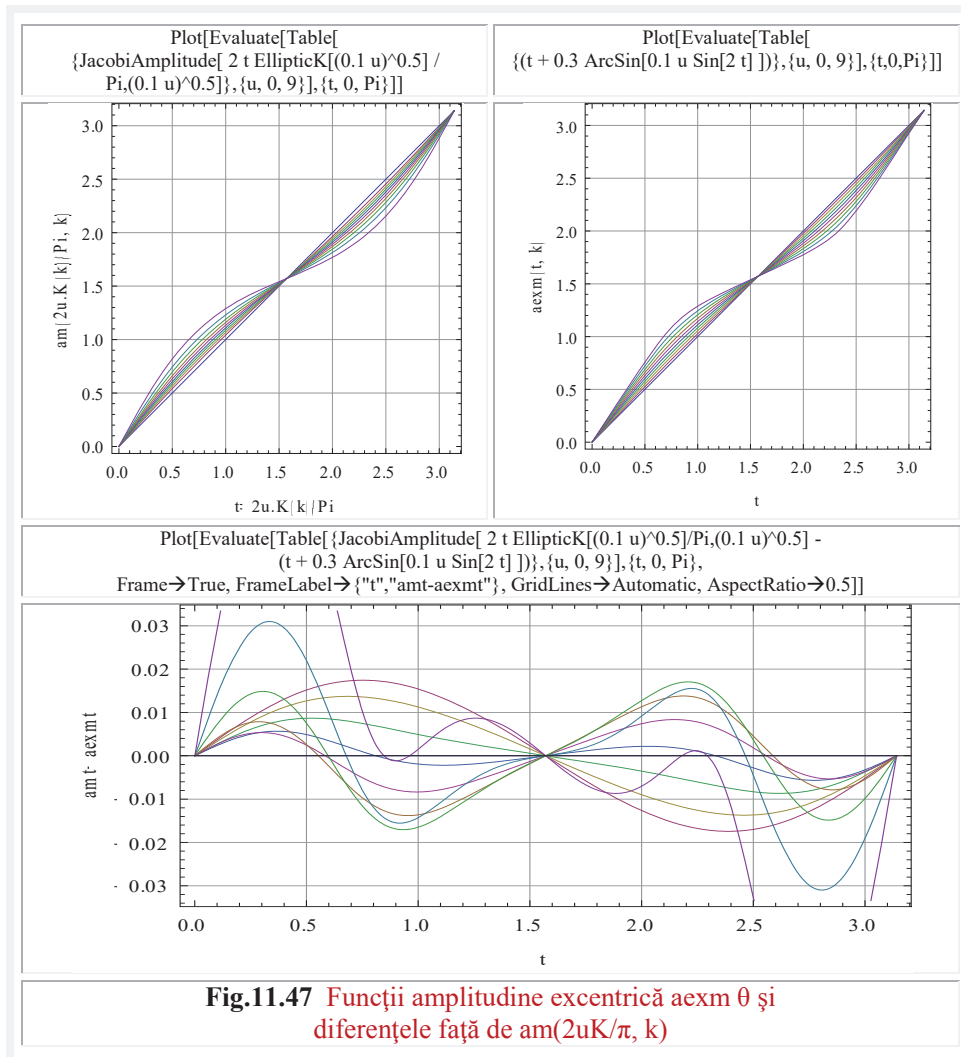
11 FSM -CE SOLUȚII ALE UNOR SISTEME DINAMICE NELINIARE

Așa cum se poate observa în **figura 11.45** – jos diferențele maxime sunt foarte mici și nu depășesc valoarea de $\pm 0,006$, iar cele minime ($k = 0$) sunt, evident, nule. Pentru domeniul $k \in [0,7; 0,9]$ diferențele aceluiași funcții sunt prezentate în figura **11.46** și nu depășesc valoarea de 0,06, fiind, astfel, de 10 ori mai imprecise decât în domeniul $k = 0 \dots 0,7$ ($k \in [0; 0,7]$).

O altă funcție de aproximare, cu trei termeni, este

$$(11.227) \text{ aexm}(\theta, s) = \theta + \arctan[0,05 s^2 \cos \theta \cdot \sin t / (1 - 0,05 s^2 \cos^2 \theta)] + (0,1 s + 0,023) \sin 2 \theta$$

Cel de-al treilea termen a rezultat din diferența cu numai 2 termeni, diferență care era reprezentată de o familie de funcții sinus.



Privind funcțiile diferență, simetrice față de axa θ , se observă că o îmbunătățire globală a aproximării, în tot domeniul $k \in [0; 0,9]$, nu mai este posibilă. În schimb, este posibilă o îmbunătățire pe cele două grupe de funcții, care prezintă diferențe de semne opuse.

O astfel de metodă este prezentată mai pe larg în lucrarea **Mircea Șelariu** și dr.ing. **Dumitru Bălă** “**Ways of presenting the delta function and amplitude function Jacobi**” Contemporary Science Association New York, Denbridge Press, Academic Division, New York, ISBN:978-973-88931-1-5 și într-o lucrare cu privire la “Un sistem supermatematic cu baza continua de aproximare a funcțiilor” ca și în lucrarea lui Dr. ing. **Dumitru Bălă** “Supermathematical-**Selariu** Functions Beta Eccentric $\text{bex}\theta$ ” publicată în lucrările “Proceedings of the 2nd World Congress on Science, Economics and Culture 25-29 August 2008, New York, ISBN: 78-973-88931-1-5(063)./

Cu siguranță, pot fi găsite și alte funcții care să aproximeze și mai bine funcțiile eliptice **Jacobi** $\text{am}(u,k)$ și, prin aceasta, și funcțiile sn , cn , dn , care se pot exprima, la rândul lor, cu ajutorul lui $\text{am}(u,k)$.

Rezultă, din stânga **figurii 11.44**, că diferența maximă absolută nu depășește valoarea de 0,06 – pentru $k = 0,9$ și este sub 0,03 pentru $k \in [0; 0,8]$.

Pentru $k \in [0; 0,4]$ diferențele sunt sub 0,02. Programul de calcul WOLFRAM-MATHEMATICA 6 nu a reprezentat/dat curba pentru $k = 1$.

Preciziile obținute, de aproximare a funcțiilor $\text{am}(u,k)$ prin $\text{aex}(\theta,s)$ de excentru variabil ($s = 0,7.k.\cos\theta$), sunt acceptabile pentru multe aplicații tehnice.

O aproximare satisfăcătoare a funcției $\text{am}(u,m)$ este dată de următoarea relație a funcției **SM aex θ** modificată

$$(11.228) \quad \text{aexm}(\theta,s) = \theta/2 + \arctan[0.05 s^2 \cos[\theta/2] \cdot \sin[\theta/2] / (1-0.05 s^2 \cos[\theta/2]^2)] + 0.0075 \cos[\theta/4] / \text{Sqrt}[1 - \sin[\theta/4]^2] - 0.0075 + 0.015 \sin[\theta].$$

În fine, o aproximare foarte bună, cu diferențe sub 0,03 până la $k = 0,8$, inclusiv, este prezentată în **figura 11.47**, împreună cu expresiile funcției de aproximare **aex θ** modificată.

Moto:” Omul e un animal care aproximează și ale cărei variante, constante, sunt "comodități mintale. "

Petre Țuțea

Capitolul 12

UN SISTEM SUPERMATEMATIC CU BAZĂ CONTINUĂ DE APROXIMARE A FUNCŢIILOR

12.1 INTRODUCERE

În acest capitol se prezintă un sistem nou de funcții circulare / trigonometrice, denumite funcții **supermatematice circulare excentrice (FSM-CE)** [1], [4], [5], ca **cexθ, sexθ, bexθ, dexθ, rexθ** ș.a. care constituie o bază continuă pentru aproximarea funcțiilor, pe de o parte, și oferă posibilitatea modelării exacte a unor funcții / curbe și / sau suprafețe, până de curând considerate **nematematice**, pe de alta parte.

Deoarece, între două funcții, de exemplu, **sin(ix)** și **sin(i+1)x**, din baza **sistemului trigonometric centric (STC)**, sistem format din funcțiile circulare centrice (FCC) **cosix** U **sinix**, nu există alte funcții, dacă $i \in \mathbb{N} \subset \mathbb{Z}$. De aceea, STC este considerat un sistem cu o **bază discretă de funcții**.

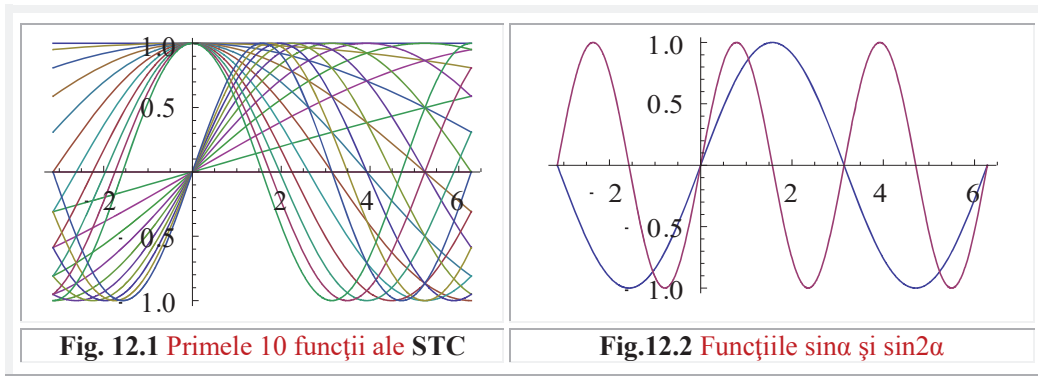


Fig. 12.1 Primele 10 funcții ale STC

Fig.12.2 Funcțiile sinα și sin2α

În aceleași condiții ($n \in \mathbb{Z}$), sistemul **trigonometric supermatematic (STS)** **sex(nx)** U **cex(nx)** constituie o **bază continuă** de funcții de aproximare, deoarece, între două dintre funcțiile bazei **sex[ix, s = 0] = sinx** și **sex[(i + 1)x, s = 0] = sin(i+1)x** se interpun o infinitate de alte funcții, care pot completa continuu (Fig.12.12 și Fig.12.13) spațiul dintre ele, când excentricitatea numerică **s** ia valorile din intervalul $s \in [-\infty, +\infty]$ sau în domeniul $s \in [-1, +1]$.

Așa cum se arată, **sexx**, pentru o excentricitate numerică $s \in [0, \pm 1]$, degenerază, la cele două limite extreme ale intervalului, în **sinx** și, respectiv, în **sin2x**, adică în două dintre funcțiile adiacente / limitrofe ale bazei STC, dar numai într-un anumit interval. Se știe că, toate FSM-CE pentru $s = 0$, degenerază în FCC. Astfel, **sex(x, s = 0) = sin x**. Intervalul **periodic**, cu perioada 2π , în care **sexx** \rightarrow **sin2x** este $x \in [-\pi/2, +\pi/2]$ pentru $s = -1$ și $x \in [\pi/2, 3\pi/2]$, pentru $s = +1$, (Fig. 12.12 și Fig.12.13).

Lucrarea este „pigmentată” din belșug cu grafice care să ilustreze cele afirmate.

Există o multitudine de metode de aproximare a funcțiilor / curbelor. Dintre acestea, unele folosesc drept bază **sistemul trigonometric**, pe care suntem obligați să-l denumim și **centric (STC)**, pentru a-l distinge de noul sistem trigonometric excentric (STE), apărut odată cu descoperirea **funcțiilor supermatematice circulare / trigonometrice excentrice (FSM-CE)**.

Sistemul trigonometric centric (STC) este format din asocierea funcțiilor cosinus și sinus centrice de multiplii de arce

$$(12.1) \begin{cases} 1, \cos \alpha, \cos 2\alpha, \dots, \cos n\alpha, \dots n \in \mathbf{1}, N \\ 0, \sin \alpha, \sin 2\alpha, \dots, \sin n\alpha, \dots n \in \mathbf{1}, N \end{cases}$$

În realitate, doar mulțimea infinită (1) $\{1, \sin\alpha, \cos\alpha, \sin 2\alpha, \cos 2\alpha, \dots, \sin n\alpha, \cos n\alpha, \dots\}$ formează o bază a spațiului de funcții, care s-a dovedit suficient de eficientă în aproximarea funcțiilor periodice, adică pentru $N \rightarrow \infty$.

Primele 10 funcții, **cosnx** și **sinnx** ale bazei **STC**, sunt prezentate în **figura 12.1**, iar două dintre sinusuri, pentru $n = 1$ și $n = 2$ sunt extrase separat în **figura 12.2**.

Un alt sistem de funcții, folosit pe larg drept bază a spațiului de funcții, este **sistemul exponențial centric (SEC)**

$$(12.2) \{e^{ik\alpha}\}, k \text{ ia toate valorile întregi.}$$

12.2 SISTEME SUPERMATEMATICE DE BAZE

Lucrarea **SUPERMATEMATICA. Fundamente** a scos în evidență faptul că, **doar prin separarea** celor 3 puncte **confundate**, alese de **Euler** la definirea funcțiilor circulare din **MC (O - originea unui reper, C - centrul cercului unitate și excentrele S(s,ε) pentru C(1,O) sau E(e,ε) pentru cercul oarecare C(R,O) - polul unei drepte turnante)**, se trece la **matematica excentrică (ME)**, în care, toate funcțiile trigonometrice (circulare și hiperbolice) cunoscute (centrice) **se multiplică la infinit** și, în plus, apar o serie de **FCC** ca și de **FCE** noi.

Astfel, fiecărei funcții **cos, sin, tan**, etc din **MC** îi corespund, în **ME**, câte o familie, cu o infinitate de membri, de **FSM-CE cex, sex, tex**, etc. pentru o excentricitate numerică $s \in [-\infty, +\infty]$. Se deduce că, **MC** este un caz particular, de $s = 0$, al **ME**, în care toate **FCE** degenerază în **FCC**. Rezultă, că **FCE** sunt o generalizare vastă și extrem de utilă a **FCC**, iar **ME** este o extindere nemarginită a **MC**, așa cum s-a putut constata din capitolele anterioare.

Reamintim **FCE** noi, deosebit de valoroase, care apar, grupate în **FSM-CE** sunt:

- **rexθ** și **Rexα** - **radial excentric** de **variabilă excentrică θ** și, respectiv, de **variabilă centrică α**, o adevărată **funcție rege**, cum a denumit-o Prof dr.math, **Octav Em. Gheorghiu**, funcție care, singură, poate exprima toate curbele plane din **MC** și o infinitate de curbe noi [1]. Important este și faptul că ele pot exprima forma trigonometrică a sumei și a diferenței numerelor complexe, așa cum se arată în [7].
- **dexθ** și **Dexα** - **derivată excentrică**, care exprima funcția de transfer de ordinul unu, sau funcția de transmitere a vitezelor sau a turațiilor tuturor mecanismelor plane cunoscute, așa cum se arată în lucrarea [8];
- **axθ** și **Aexα** - **amplitudine excentrică**, a cărei denumire este similară, nu din întâmplare, cu a funcției amplitudin(e)/(us) a lui **Jacobi**, deoarece $\sin[\mathbf{ax}\theta] = \mathbf{sex}\theta$, $\cos[\mathbf{ax}\theta] = \mathbf{cex}\theta$ și $\cos[\mathbf{Aex}\alpha] = \mathbf{Cex}\alpha$, $\sin[\mathbf{Aex}\alpha] = \mathbf{Sex}\alpha$, ș.a.m.d.
- **bexθ** și **Bexα** - **beta excentrică** [1],
- **uexθ** și **Uexα** - **unghiular excentrică**, ș.m.a.

Se cunosc devoltările în serii de puteri ale funcțiilor **cos, sin, tan**, etc., sau, altfel spus, că aceste funcții constituie rezultatul însumării acestor serii de puteri, adică, o funcție sumă. Multor serii de puteri nu li se cunoaște, însă, o funcție sumă, ci, eventual, o relație de mai multe funcții. Acest neajuns este cauzat tocmai de lipsa din **MC** a unor funcții, **funcții noi**, care au apărut odată cu **ME**.

Unele dintre acestea vor fi prezentate în continuare. Mai mult, o multitudine de funcții / semnale puteau fi reprezentate matematic doar prin dezvoltări în serii trigonometrice **Fourier**. Cu noile **FSM-CE**, ele pot fi reprezentate mai **simplu** și mai **exact** și, în plus, apare posibilitatea reprezentării matematice a transformării continue a semnalelor din unul în altul, așa cum se va prezenta în continuare.

12.3 FUNCȚII MATEMATICE CENTRICE NOI

Funcțiile matematice centrice noi sunt funcțiile **Euler-Cotes** vechi:

$$(12.3) \text{rad}\alpha = e^{i\alpha}$$

și reprezintă corespondența, în centric, a noii **FCE Rex** ca și **rexθ** pentru excentricitate $e = s = 0$, caz în care, $\theta \equiv \alpha$ și cele două funcții radial excentrice degenerază în funcția **radial centrică** – **rada**. Totodată, **rada** reprezintă vectorul de poziție al punctului curent $\mathbf{W}(x,y) \equiv \mathbf{W}(\alpha,1)$ de pe cercul unitate, față de centrul $C \equiv O(0,0) \equiv S(s = 0, \varepsilon)$ al acestuia.

În consecință, argumentul acestuia este $\alpha \equiv \theta$ și modulul lui este 1. El este, în același timp, un număr complex și un vector unitate (versor / **fazor**) și, neputând să aibă altă semnificație matematică, marcarea cu bară deasupra devine superfluuă.

Derivata lui **rada**, denumită **derivată centrică**, prin analogie cu **dexθ** – derivata excentrică - este

$$(12.4) \quad \mathbf{dera} = i \cdot e^{i\alpha} = \text{rad}(\alpha + \pi/2)$$

și este, de asemenea, un vector unitate, fazor defazat în avans cu $\pi/2$ ($\delta = -\pi/2$) față de **rada**.

Funcțiile **rad** și **der**, ca sumă și diferență de arce, au expresii asemănătoare cu cele de la funcțiile **sin** și **cos**, astfel:

$$(12.5) \quad \mathbf{rad}(A \pm B) = \mathbf{rad}A \cdot \mathbf{cos}B \pm \mathbf{der}A \cdot \mathbf{sin}B$$

$$(12.6) \quad \mathbf{der}(A \pm B) = \mathbf{der}A \cdot \mathbf{cos}B \pm \mathbf{rad}A \cdot \mathbf{sin}B$$

Cu ajutorul acestor funcții, ca și cu corespondentele lor din excentric, **rexθ** și **Rexα**, pot fi exprimate formele trigonometrice ale sumei și ale diferenței numerelor complexe, așa cum se prezintă în lucrarea [2]. Astfel, dacă doi vectori sau două numere complexe au expresia

$$(12.7) \quad Z_{1,2} = R_{1,2} \cdot \mathbf{rada}_{1,2}$$

suma Σ și diferența Δ lor este dată de

$$(12.8) \quad Z_{\Sigma,\Delta} = Z_2 \pm Z_1 = R_2 \cdot \mathbf{Rex}\alpha_{\Sigma,\Delta} \cdot \mathbf{rada}_{\Sigma,\Delta},$$

în care $R_{\Sigma,\Delta} = R_2$,

$$(12.9) \quad \mathbf{Rex}_{\Sigma,\Delta}\alpha_2 = \sqrt{1 + s^2 - 2s \cos(\alpha_2 - \varepsilon_{\Sigma,\Delta})}.$$

Prin $\varepsilon_{\Sigma,\Delta}$ semnul din fața lui $2s$, de sub semnul radical, devine + pentru sumă și minusul pentru diferență. Excentricitatea numerică este $s = R_1 / R_2 \leq 1$ și $\varepsilon_{\Sigma} = \alpha_1 + \pi$ și $\varepsilon_{\Delta} = \alpha_1$, dacă se alege raza cercului $R = R_2 = \text{Max}|R_1, R_2|$ și **excentricitatea reală** $e = \text{min}|R_1, R_2|$.

Coordonatele excentrului pentru cercul de raza $R = R_2$ sunt $\mathbf{E}(e, \varepsilon)$, iar pentru cercul unitate / trigonometric sunt $\mathbf{S}(s, \varepsilon)$, în care $s = \frac{e}{R}$.

12.4. SUME DE FUNCȚII CIRCULARE CENTRICE NOI

Notând modulul numărului complex z cu valoarea s a modulului coordonatei polare a excentrului $\mathbf{S}(s, \varepsilon)$, corespunzător cercului unitate, pentru un argument α rezultă

$$(12.10) \quad z = s \cdot \mathbf{rada} \quad \text{și}$$

$$(12.11) \quad z^n = s^n \cdot \mathbf{rad}n\alpha, \quad \text{astfel că suma}$$

$$(12.12) \quad \sum_{n=0}^{\infty} z^n = \sum_{n=0}^{\infty} s^n \cdot \mathbf{rad}n\alpha = \frac{z}{1-z} = s \frac{\mathbf{rad}\theta}{\mathbf{rex}\theta}, \quad \text{în care}$$

$$(12.13) \quad \theta = \alpha + \beta(\alpha) = \alpha + \arcsin \frac{s \cdot \sin \alpha}{\sqrt{1 + s^2 - 2s \cdot \cos(\alpha - \varepsilon)}}.$$

Unghiul $\beta(\alpha) = \mathbf{Bex}\alpha$, iar $\beta(\theta) = \mathbf{bex}\theta$ mai poate fi exprimat și astfel:

$$(12.14) \quad \beta(\alpha) = \mathbf{Bex}\alpha = \arctan \frac{s \cdot \sin \alpha}{1 - s \cdot \cos \alpha} = \sum_{n=0}^{\infty} \frac{s^n}{n} \sin n\alpha, \quad \text{sau}$$

$$(12.15) \quad \beta(\theta) = \text{bex}\theta = \arcsin(s \cdot \sin\theta) = s \cdot \sin\theta + \frac{1}{2} \frac{(s \cdot \sin\theta)^3}{3} + \frac{1.3}{2.4} \frac{(s \cdot \sin\theta)^5}{5} + \dots$$

$$+ \frac{1.3.5 \dots (2n-3)(s \cdot \sin\theta)^s}{2.4 \dots (2n-2)(2n-1)} + \dots, \quad r = 1.$$

Proiecțiile lui **rada** sunt **cosa** și, respectiv, **sina**, astfel că suma **S**, dată de (5), se descompune în suma în cosinuși :

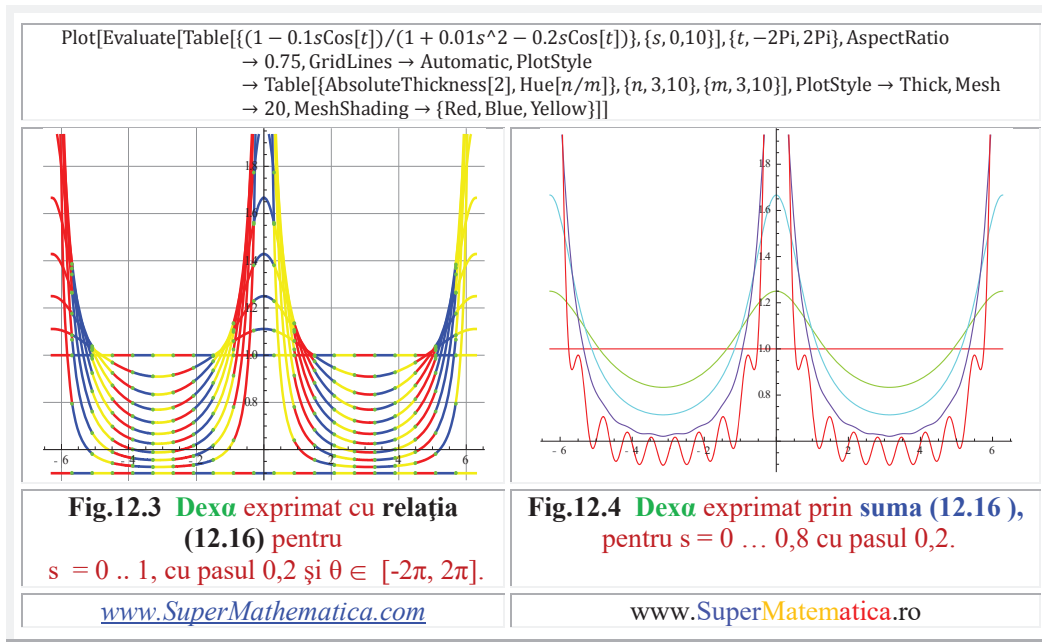
$$(12.16) \quad \mathbf{C}(\alpha) = \text{Re}(\Sigma) = \text{Re}(s^n \cdot \text{radna}) =$$

$$\sum_{n=0}^{\infty} s^n \cdot \cos n\alpha = \frac{1 - \cos \alpha}{1 + s^2 - 2s \cdot \cos \alpha} = \frac{\text{Re } x\alpha \cdot \cos \beta}{\text{Re } x^2 \alpha} = \frac{\cos \beta(\alpha)}{\text{Re } x\alpha} =$$

$$= \mathbf{Dex}\alpha = \frac{d\theta(\alpha)}{d\alpha} \quad \text{și suma în sinuși:}$$

$$(12.17) \quad \mathbf{S}(\alpha) = \text{Im}(\Sigma) = \text{Im}(k^s \cdot \text{radsa}) = \sum_{s=0}^{\infty} k^s \sin s\alpha = \frac{s \cdot \sin \alpha}{1 + s^2 - 2s \cdot \cos \alpha} = \frac{s \cdot \sin \alpha}{\text{Re } x^2 \alpha} =$$

$$\frac{\sin \beta(\alpha)}{\text{Re } x\alpha} = \frac{k \cdot \sin \theta}{\text{rex}\theta} = \sin \beta(\alpha) / \text{Rex}\alpha = \sin(\text{Bex}\alpha) / \text{Rex}\alpha = \sin \beta(\theta) / \text{rex}\theta = \sin(\text{bex}\theta) / \text{rex}\theta .$$



În relațiile anterioare, s-au folosit dependențele dintre cele trei unghiuri importante din **ME**: α – unghiul la centrul $O(0,0)$, θ – unghiul la excentrul $S(s,\epsilon)$ și $\beta = \theta - \alpha$ unghiul sub care se văd punctele **O** și **S** din punctul curent **W** de pe cercul unitate. Dacă $R = 1$ este raza cercului unitate, distanța dintre $C(0,0) \equiv O(0,0)$ și punctul curent de pe cerc $W(x,y) \equiv W(1, \alpha) \equiv W(r,\theta)$, în care, cu

(12.18) $r = \text{rex}\theta = \text{Rex}\alpha$ s-a notat **raza excentrică**, exprimată în funcție de cele două variabile independente, adică, distanța de la excentrul $S(s, \epsilon)$ la **W**, atunci [4], [5] :

$$(12.19) \quad s \cdot \sin\theta = 1 \cdot \sin \beta \quad \text{și}$$

$$(12.20) \quad s \cdot \sin\alpha = r \cdot \sin\beta .$$

Figurile 12.3 și 12.4 arată, comparativ, diferențele care există la exprimarea funcției **Dex** α cu relația ei invariantă de definiție și, respectiv, prin dezvoltarea ei în serie trigonometrică, la care s-au reținut primii 10 termeni din seria (12.16).

Un exemplu mai concludent, privind avantajele utilizării **FSM-CE** de variabilă excentrică, îl constituie funcția $y = \text{dex}\theta$ care, pentru $s = 0$, este dreapta $y = 1$, iar pentru $s =$

± 1 este un **semnal dreptunghiular** sau funcția poartă temporală care, prin dezvoltare în serie Fourier, se **apropie** de reprezentarea **exactă** dată de funcția :

$$(12.21) \quad \mathbf{dex\theta} = 1 - \frac{s \cdot \cos(\theta - \varepsilon)}{\sqrt{1 - s^2 \sin^2(\theta - \varepsilon)}}$$

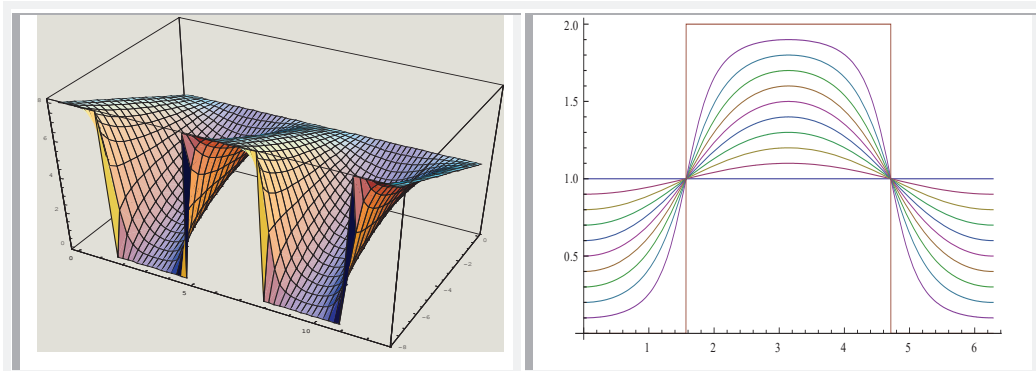


Fig. 12.5 Transformarea continua a unui semnal continuu în unul dreptunghiular

www.SuperMathematica.com; www.SuperMatematica.ro

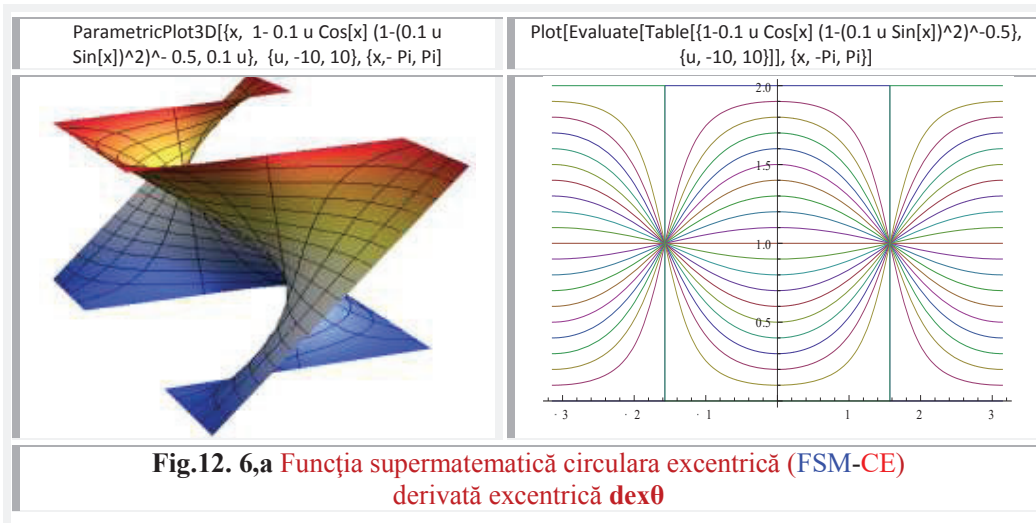


Fig.12. 6,a Funcția supermatematică circulara excentrică (FSM-CE) derivată excentrică dexθ

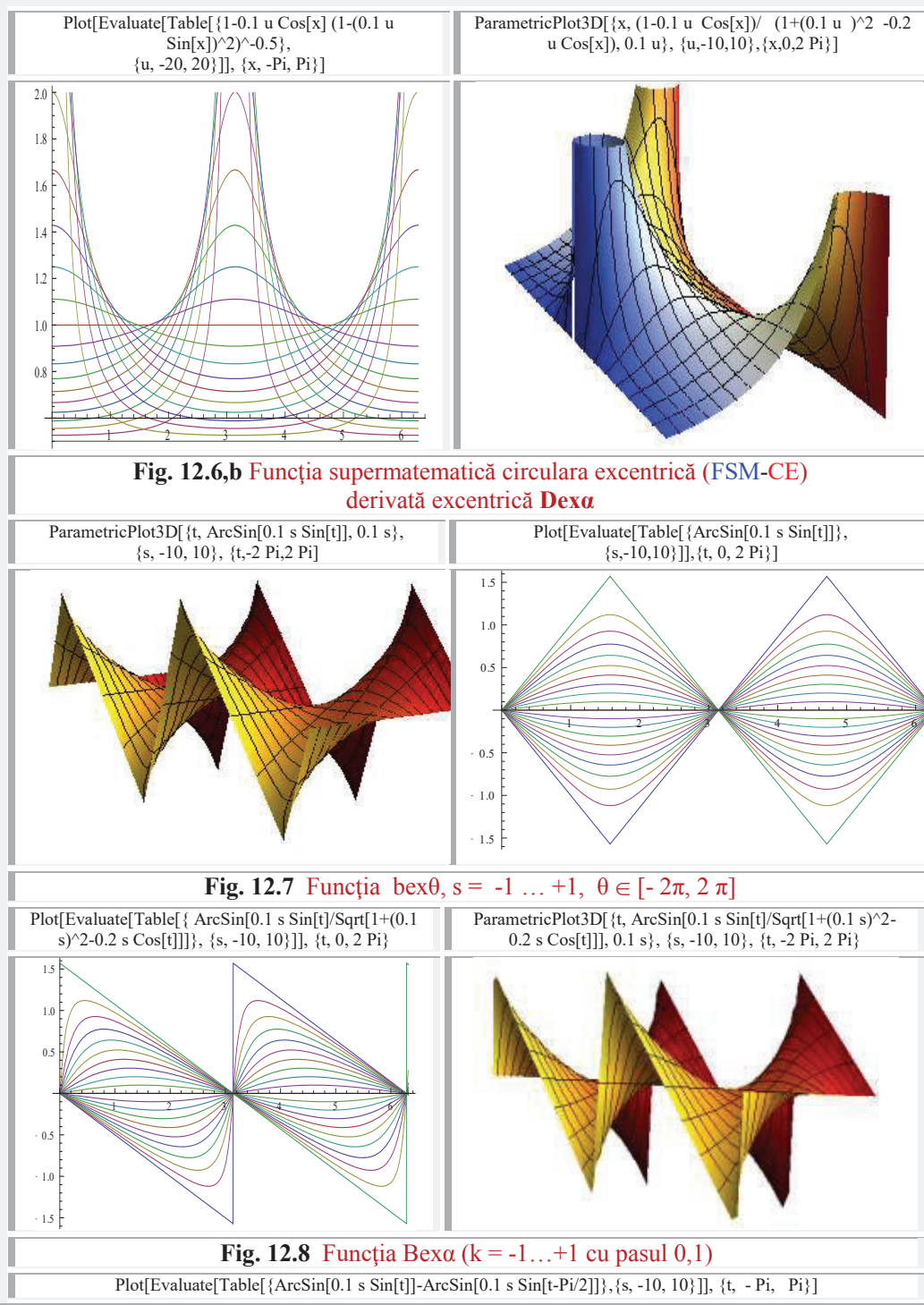
Pentru o baleare continuă a excentricității numerice s , de la 0 la 1, se va obține o transformare continuă a unui semnal continuu în unul dreptunghiular, așa cum se ilustrează în **figura 12.5**.

Relația (12.15) exprimă **FSM-CE** denumită **beta excentrică bexθ** care transformă continuu un semnal triunghiular simetric (**Fig.12.6,a**), în altul defazat cu π , iar pentru $s = 0$, trece printr-un semnal continuu, în timp ce, **FSM-CE Bexα** îl transformă în unul triunghiular asimetric (**Fig.12.7**).

Un semnal trapezoidal se poate obține prin funcția $y = \mathbf{bex\theta} - \mathbf{bex}(\theta - \pi/2)$, reprezentată în **figura 12.9**. Aceeași diferență pentru funcția $\mathbf{Bex\alpha}$ are alura din **figura 12.9**.

Funcția $y = \text{Bex}(\alpha+\pi/2) - \text{Bex}(\alpha-\pi/2)$ este identică cu

$$\text{Dex}_{1,2}\theta = 1 \mp \frac{s \cdot \cos(\theta - \varepsilon)}{\sqrt{1 - s^2 \sin^2(\theta - \varepsilon)}} \quad (\text{v. Fig.12.10 și Fig. 12.5}).$$



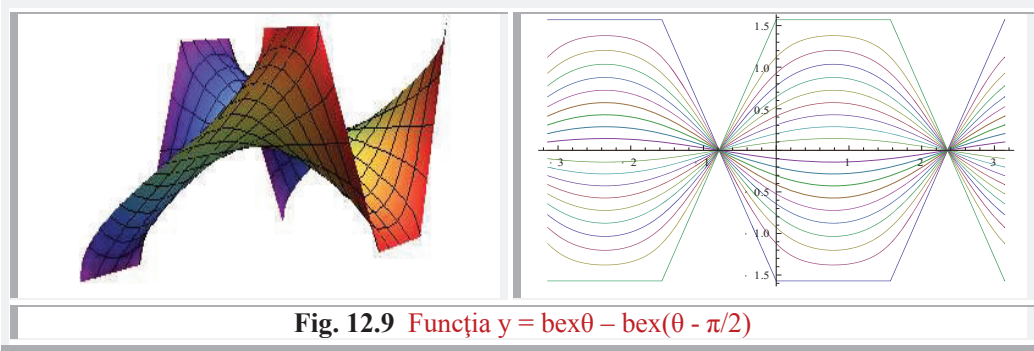
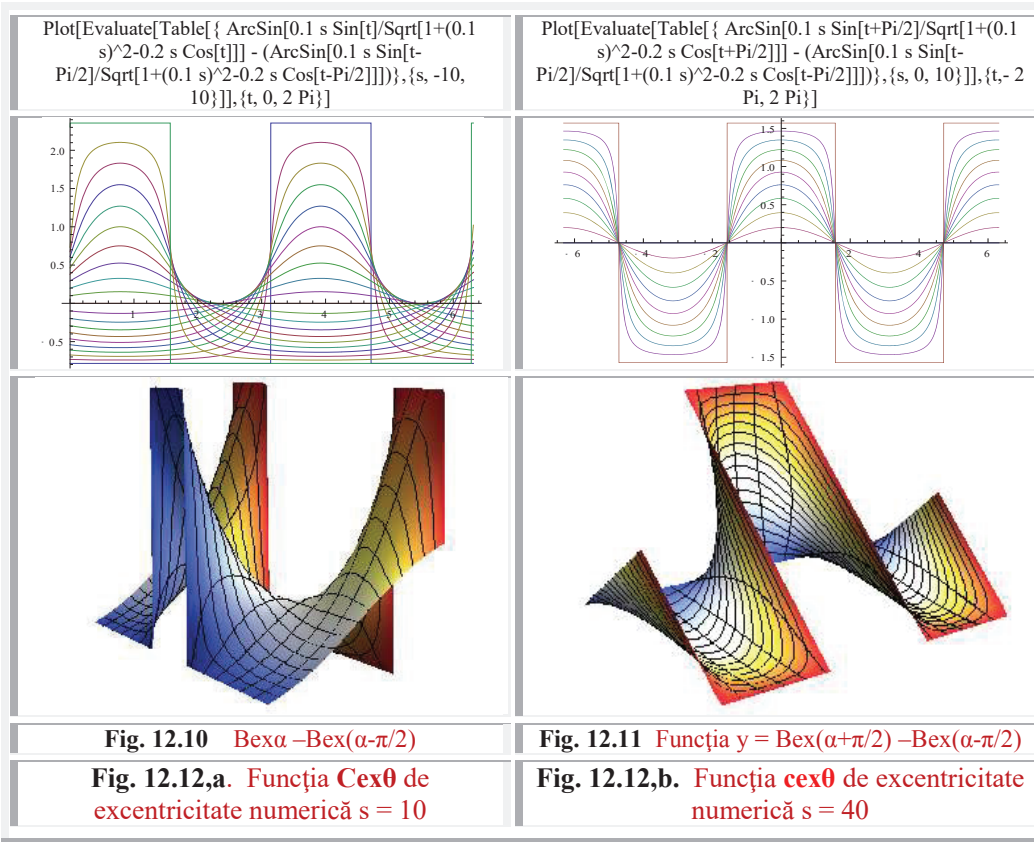


Fig. 12.9 Funcția $y = \text{bex}\theta - \text{bex}(\theta - \pi/2)$



FSM au două determinări: una **principală**, notată cu indice **1**- sau fără indice - și una secundară, notată cu indicele **2**, corespunzătoare celor două puncte de intersecție ale cercului unitate cu o dreaptă turnantă în jurul **polului unitate S** și nu cu o semidreaptă ca în **MC-Euler**.

12.5. FUNCȚII DELTA SAU FUNCȚII DIRAC PERIODICE

În anul 1926 **P.A.M. Dirac** a introdus în mecanica cuantică „funcția” **delta** (notată δ) care, d.p.d.v. fizic, reprezintă densitatea unei sarcini egale cu unitatea și situată într-un

anumit punct, de exemplu, originea axelor de coordonate. Dacă sarcina punctiformă este m , atunci densitatea liniară $\rho(x)$ se exprimă cu relația;

$$(12.22) \quad \rho(x) = m \cdot \delta(x).$$

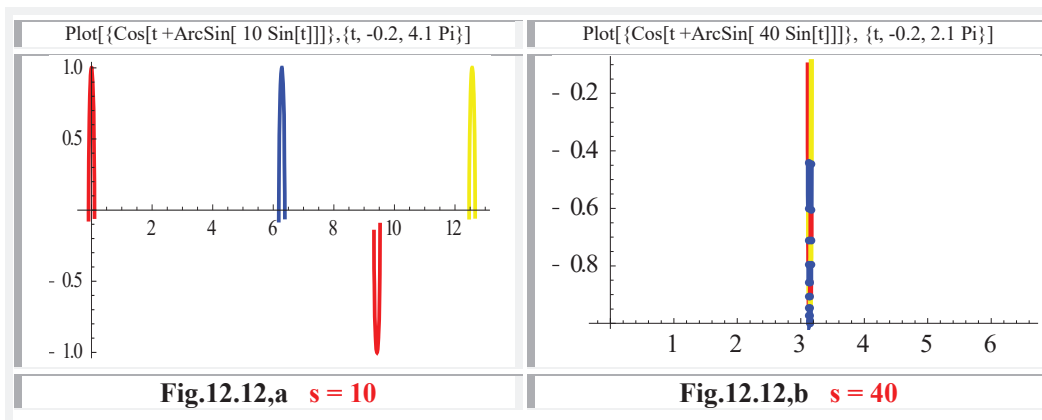
Pentru ca distribuția să fie punctiformă, este necesar ca funcția $\delta(x)$ să fie nulă peste tot, cu excepția punctului $O(0,0)$, unde ia valoarea ∞ și îndeplinește condiția (23)

$$(12.23) \quad \int_{-\infty}^{+\infty} \delta(x) \cdot dx = 1.$$

Din punctul de vedere al analizei matematice clasice, nu există o funcție care să îndeplinească condițiile anterior menționate, astfel că funcția delta nu este o funcție obișnuită. Procedul incorect d.p.d.v. al analizei matematice clasice, respectiv **CENTRICE**, a condus la crearea unei noi teorii, care să sintetizeze, să simplifice și să justifice toate faptele d.p.d.v. matematic [20].

Așa s-a ajuns la elaborarea **TEORIEI DISTRIBUTIILOR** sau a **funcțiilor generalizate**, ca un capitol al analizei matematice. Numai că generalizarea nu s-a făcut în cel mai fericit caz; apariția matematicii **excentrice**, ca o generalizare a matematicii **centrice** (clasice), fiind mult mai productivă, așa cum se va constata în continuare.

Una din cele două semidrepte din excentrul **S**($\infty, 0$) va intersecta cercul unitate numai pentru $\theta = \text{Pi} \pm 2k\text{Pi}$, $k = 1, 2, 3, \dots$



O astfel de funcție este prezentată în **figura 12.12,a** pentru $s = 10$, și în **figura 12.12,b** pentru $s = 40$.

Cu creșterea excentricității s , cresc exponențial și punctele plotate, altfel „calculatorul” nu nimerește ținta din **S**: cercul unitate, la saltul dintr-un punct la cel următor și graficele rezultă alterate.

Astfel, o funcție cu proprietățile menționate anterior, mai mult, una periodică, de perioadă 2π , este **FSM - CE cex θ** pentru o **excentricitate numerică** $s = k \Rightarrow \infty$.

În acest caz, intervalul de integrare infinit trebuie redus la unul din intervalele în care apare doar o singură dată valoarea funcției, condiție ce poate fi acceptată în multe situații practice.

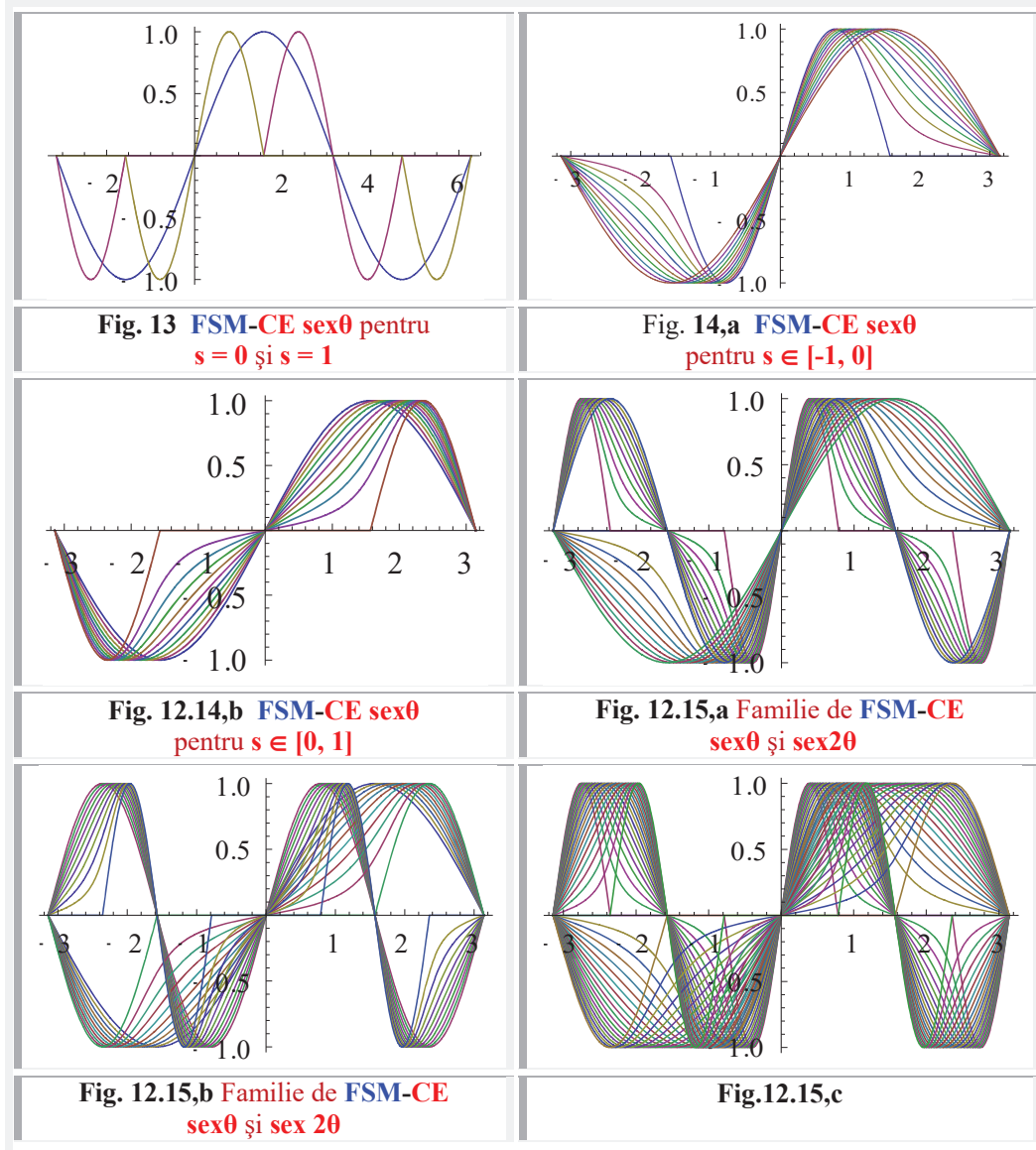
12.6 SISTEMUL TRIGONOMETRIC EXCENTRIC (STE).

STE este format prin asocierea funcțiilor **cosinus (cex)** și **sinus excentrice (sex)** de **variabilă excentrică θ**

$$(12.24) \quad \text{STE} \begin{cases} \mathbf{1, cex\theta, cex2\theta, \dots, cexn\theta, \dots} \\ \mathbf{0, sex\theta, sex2\theta, \dots, sexn\theta, \dots} \end{cases}$$

Așa cum s-a afirmat, într-un anumit interval, vizibil în **figura 12.11**, o singura **FCE** din bază supermatematică **STE** poate reprezenta două **FCC** din baza centrică, pentru valorile

marginale ale excentricității numerice s , în domeniul ± 1 și o infinitate de alte funcții, pentru valorile intermediare ale lui s . În cazul din **figura 12.13**, $\text{sex}\theta$ exprimă pe $\sin\theta$, pentru $s = 0$ și pe $\sin 2\theta$, pentru $s = -1$ și $\sin(2t + \pi)$ pentru $s = +1$.



Celelalte funcții intermediare ale bazei sunt prezentate în **figura 12.14,a** pentru $s \in [-1, 0]$ și în **figura 12.14,b** pentru $s \in [0, 1]$. În ambele figuri $\theta \in [-\pi, +\pi]$.

Existența unei baze, mult mai largi de funcții în cadrul STE, prin care se poate opera simplu, facilitează aproximarea funcțiilor periodice cu grafice din cele mai complicate.

Dacă se reprezintă doar două dintre funcțiile bazei excentrice, pentru $n = 1$ și $n = 2$, situația se prezintă ca în **figurile 12.15,a** pentru $s \in [-1, 0]$ și în **12.15,b** pentru $s \in [0, 1]$ și împreună în **12.15,c**.

Această bază de date a **STE** poate fi mult largită, pentru a acoperi și mai bine domeniul, prin utilizarea **FSM-CE** de dublă, triplă sau multiplă excentricitate. Cu cât baza de funcții este mai numeroasă și mai diferită, cu atât aproximațiile se pot realiza mai ușor și mai precis.

FSM-CE cexθ de simplă, dublă și de triplă excentricitate sunt prezentate în **figura 12.16**.

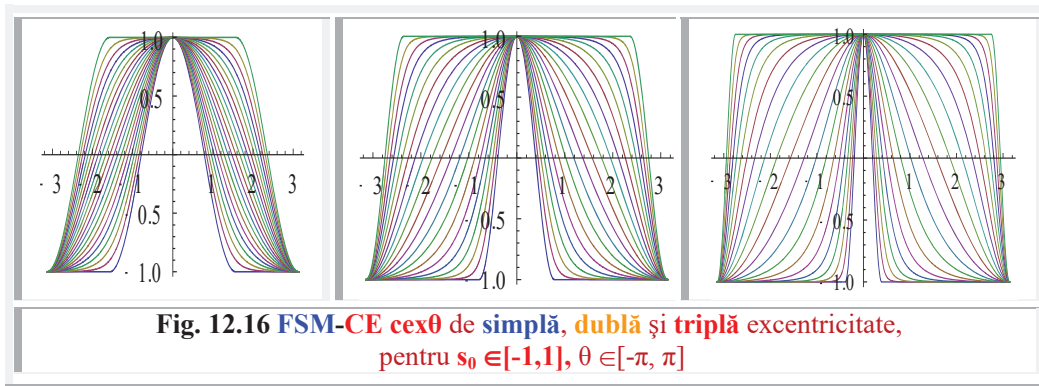


Fig. 12.16 FSM-CE cexθ de simplă, dublă și triplă excentricitate, pentru $s_0 \in [-1,1]$, $\theta \in [-\pi, \pi]$

Se observă, din **figura 12.16**, că spațiul rămas neacoperit de funcția cosinus excentric scade cu creșterea gradului de multiplicitate a excentricității funcțiilor.

Așa cum **FSM-CE** se obțin din cele centrice, prin înlocuirea variabilei centrice **α** cu cea excentrică **θ**, sau cu funcția amplitudine excentrică **aexθ**

$$(12.25) \quad \alpha = aex \theta = \theta - \arcsin(s \cdot \sin(\theta - \varepsilon)), \quad \text{adică,}$$

(12.26) $cex\theta = \cos\alpha = \cos[aex\theta]$, procedând în continuare și înlocuind pe **θ**, din expresia invariantă a lui **cexθ** cu funcția **aexθ**, se va obține un cosinus excentric de dublă excentricitate, notat **c2exθ** [1], adică

(12.27) $c2ex\theta = cex[aex\theta]$ și procedând în continuare, în mod asemănător, se pot obține **FSM-CE** de triplă, ... sau multiplă excentricitate.

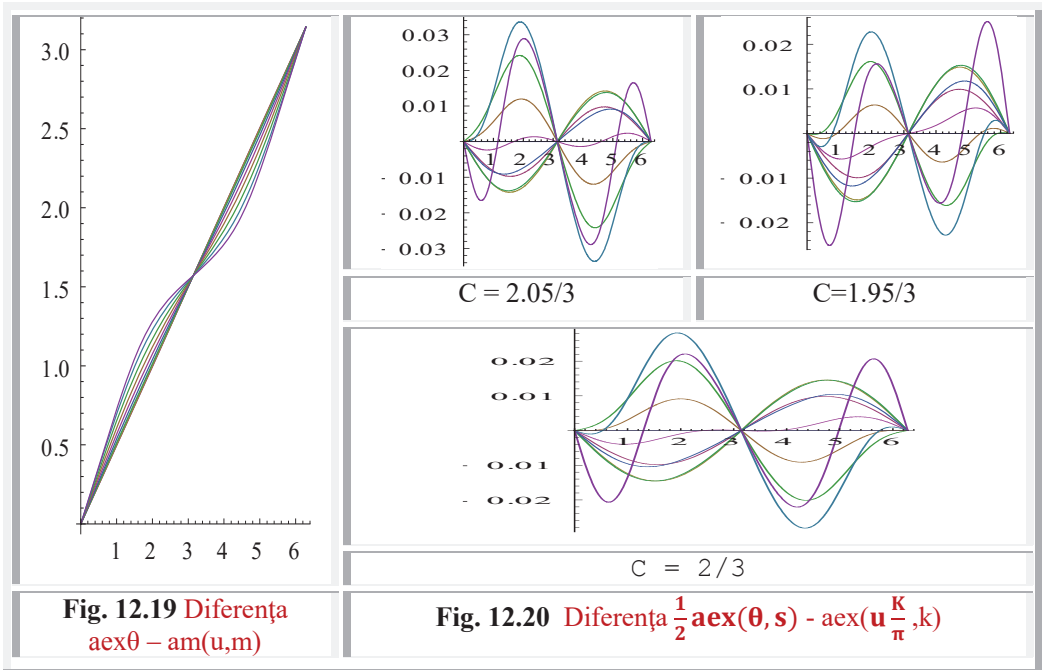
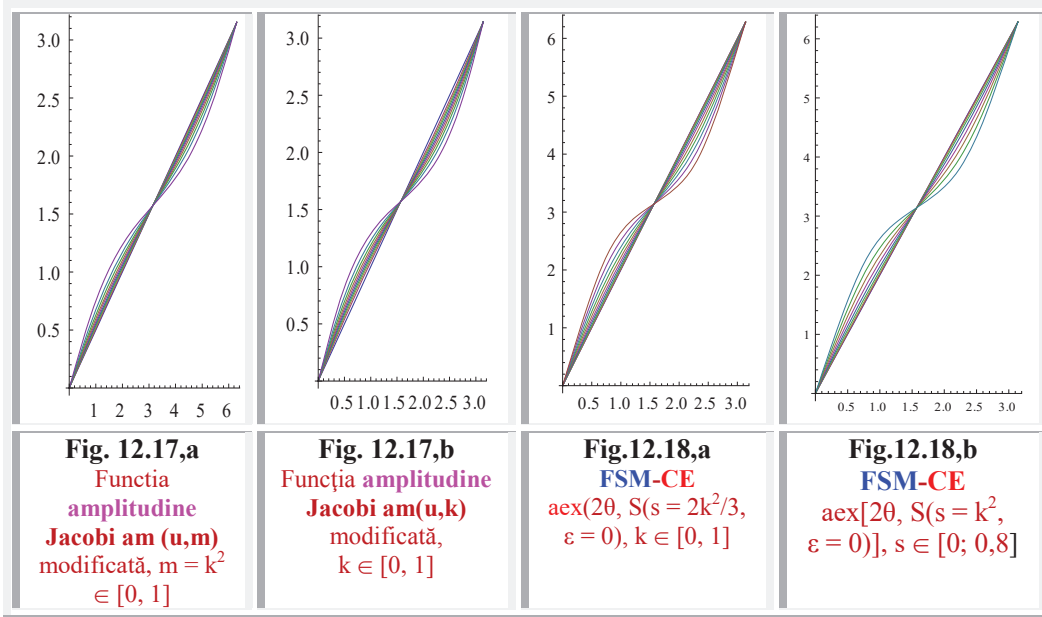
Dacă primele 10 funcții ale **STC** (**Fig. 12.1**) pot fi plotate simultan, nu același lucru are sens în cazul **STE** în care, din cauza numărului extrem de mare de funcții, chiar dacă se alege doar domeniu $s \in [0, 1]$, din cel infinit posibil, nu s-ar mai putea desluși nimic din grafice.

12.7 APROXIMAREA UNOR FUNCȚII ELIPTICE JACOBI.

Dacă se reușește o bună aproximare a funcției amplitudine **Jacobi** am(u,k), atunci se pot aproxima cu succes implicit funcțiile sinus eliptice sn(u,k) și cosinus eliptice cn(u,k) eliptice, deoarece, așa cum se știe

$$(12.28) \quad \begin{cases} cn(u, k) = \cos[am(u, k)] \\ sn(u, k) = \sin[am(u, k)] \end{cases}$$

Funcția **amplitudine / amplitudinus** a lui **Jacobi** este de perioadă **4K**. Convertită pentru a fi o funcție de perioada 2π (**Fig.12.17**), se aseamănă foarte mult cu funcția **amplitudine excentrică aexθ** (**Fig.12.18**, a și b) de **excentricitate variabilă**.



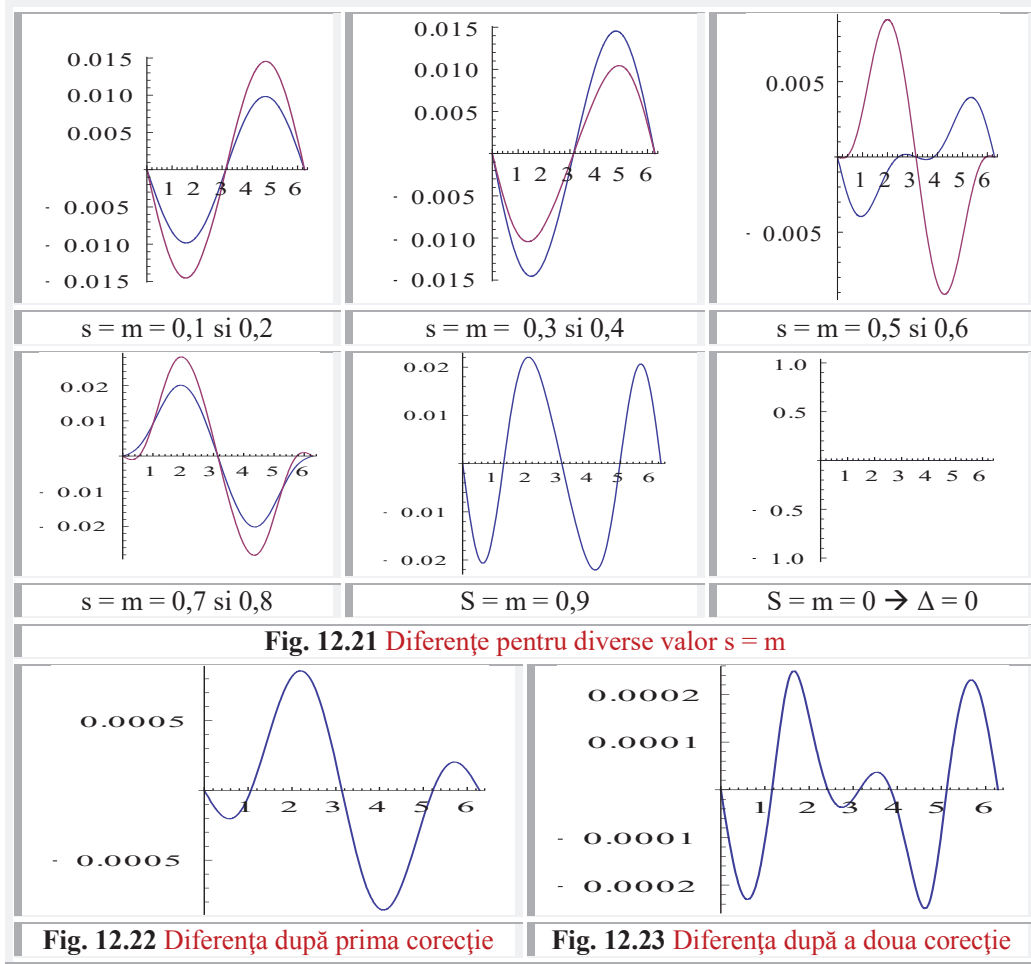
Funcția **amplitudine** a lui **Jacobi** are expresia computațională (29) și se calculează cu (12.29) $JacobiAmplitude[u,m] = z - \frac{mz^2}{6} + \frac{4m+m^2}{120} z^3 + \frac{-16m-44m^2-m^3}{5040} z^4 + O[m]^9$ seria din aceeași relație. Atragem atenția că $m = k^2 \rightarrow k = \sqrt{m}$.

În **figura 12.18,a** excentricitatea s este variabilă, fiind la puterea a doua și are expresia

$$(12.30) \quad s \rightarrow \frac{2}{3} s^2, \quad \text{sau } s = 2k^2/3 \text{ astfel ca FSM-CE este}$$

$$(12.31) \quad y = aex_2(2\theta, S(\frac{2}{3}s^2, \mathbf{0})) = 2\theta + \arcsin[\frac{2}{3}s^2 \sin 2\theta]$$

Fără a evoca istoria, s-a ajuns la concluzia că o aproximare și mai bună se obține dacă coeficientul $2/3 \rightarrow 1$, dar domeniului $s \in [0,1]$ se convertește în domeniu $s \in [0; 0,7]$ sau în domeniul $s \in [0; 0,8]$, ceea ce este cam același lucru (Fig.12.18,b), sau dacă, în relația (31) $\arcsin \rightarrow \arctan$.



$$(12.32) \quad \text{am}\left(u \frac{K}{\pi}, k\right) \cong \frac{1}{2} aex(\theta, s).$$

Făcând acum diferența

$$(12.33) \quad \frac{1}{2} aex(\theta, s) - \text{am}\left(u \frac{K}{\pi}, k\right) = \Delta(\theta) \text{ ea este prezentată în figura 12.20.}$$

Se observa, din figurile 12.20, că situația cea mai bună, dintre cele 3 analizate / încercate, este pentru $C = 2/3$, în care, diferența maximă nu depășește eroarea de 5 sutimi ($5 \cdot 10^{-2}$) eroare acceptabilă în multe din situațiile tehnice.

O îmbunătățire este posibilă pentru valorile modului k luate separat, făcându-se diferența (33), nu pentru familia de funcții, ci pentru anumite funcții, de un anumit modul k .

Prezentăm în figura 12.21 diversele diferențe pentru valorile k indicate.

Se observă că diferențele minime se obțin pentru valorile $s = m$ din mijlocul domeniului, pentru $s = m = 0,5$ și $0,6$. Pentru $s = m = 0,5$, eroarea maximă, în domeniul de existență a funcțiilor $\theta \in [0, 2\pi]$, nu depășește valoarea de 4 miimi ($0,004 = 4 \cdot 10^{-3}$), ceea ce, în acest domeniu, este o performanță remarcabilă, dată fiind simplitatea **FSM-CE** amplitudine excentrică de variabilă excentrică și excentricitate variabilă.

În continuare, ameliorarea preciziei se face separat pentru diversele valori $s = m$. Astfel, de exemplu, pentru $s = m = 0,2$ în diferența (33) mai trebuie adăugat termenul

(12.34) $+ 0.015 \sin \theta$ și rezultă

(12.35) $y_2 = a \exp(\theta, 2s^2/3, \varepsilon = 0) + 0.015 \sin \theta$

și noua diferență va fi de numai 6.10^{-4} , **de 10 ori mai bună** așa cum se observa în **figura 12.22**.

Analizând forma funcției diferență, din **figura 12.22**, se constată că diferența se mai poate ameliora prin scăderea din diferența anterioară a funcției **sex θ** , adică, funcția de aproximare va lua forma

(12.36) $y_3 = y_2 - 0.0008 \cdot \text{Sex}[\theta, s = 0,95; \varepsilon = 0]$

și rezultă noua diferență, care este numai jumătate din cea anterioară, așa cum se poate observa în **figura 12.23**.

Și procesul de ameliorare a preciziei de aproximare ar putea continua prin adăugarea unei funcții care să reducă diferențele maxime din **figura 12.23**, numai că, datorită erorilor de rotunjire, operația devine dificilă și precizia deja obținută este de notorietate matematică, ținând cont de numărul redus de termeni ai funcției de aproximare a funcției eliptice amplitudine **Jacobi**.

În lucrarea [18] se prezintă aproximarea cu o extraordinar de ridicată precizie, de minimum 15 zecimale exacte, a funcției **K(k)**, a integralei eliptice complete de prima speță și aplicațiile funcțiilor supermatematice sunt de abia la începutul lor.

12.8. APROXIMAREA UNEI INTEGRALE ELIPTICE **Jacobi** CU EROARE DE SUB 0,03 %

Integralele de forma

$$(1) \int R[x, P(x)] dx$$

în care **P(x)** este un polinom de gradul 3 sau 4, pot fi aduse la o funcție rațională de integrale, care duc la funcții elementare și la una dintre integralele

$$(2) \quad a) F(x, k) = \int \frac{dx}{\sqrt{(1-x^2)(1-k^2x^2)}}, \quad b) E(x, k) = \int \frac{(1-k^2x^2)dx}{\sqrt{(1-x^2)}}, \quad c) E(x, n, k) = \int \frac{dx}{(1+nx^2)\sqrt{(1-x^2)(1-k^2x^2)}}$$

care se numesc **integrale eliptice** de speța: a) Întâia, b) A doua și c) A treia **în formă normală Legendre**.

Prin substituțiile **sin θ = t** și **sin φ = x** ele iau **forma trigonometrică** a integralelor eliptice incomplete **Jacobi**

$$(3) \quad a) F(\varphi, k) = \int_0^\varphi \frac{d\theta}{\sqrt{1-k^2\sin^2\theta}}, \quad b) E(\varphi, k) = \int_0^\varphi \sqrt{1-k^2\sin^2\theta} d\theta, \quad c) E(\varphi, n, k) = \int_0^\varphi \frac{d\theta}{(1+n\sin^2\theta)\sqrt{1-k^2\sin^2\theta}}$$

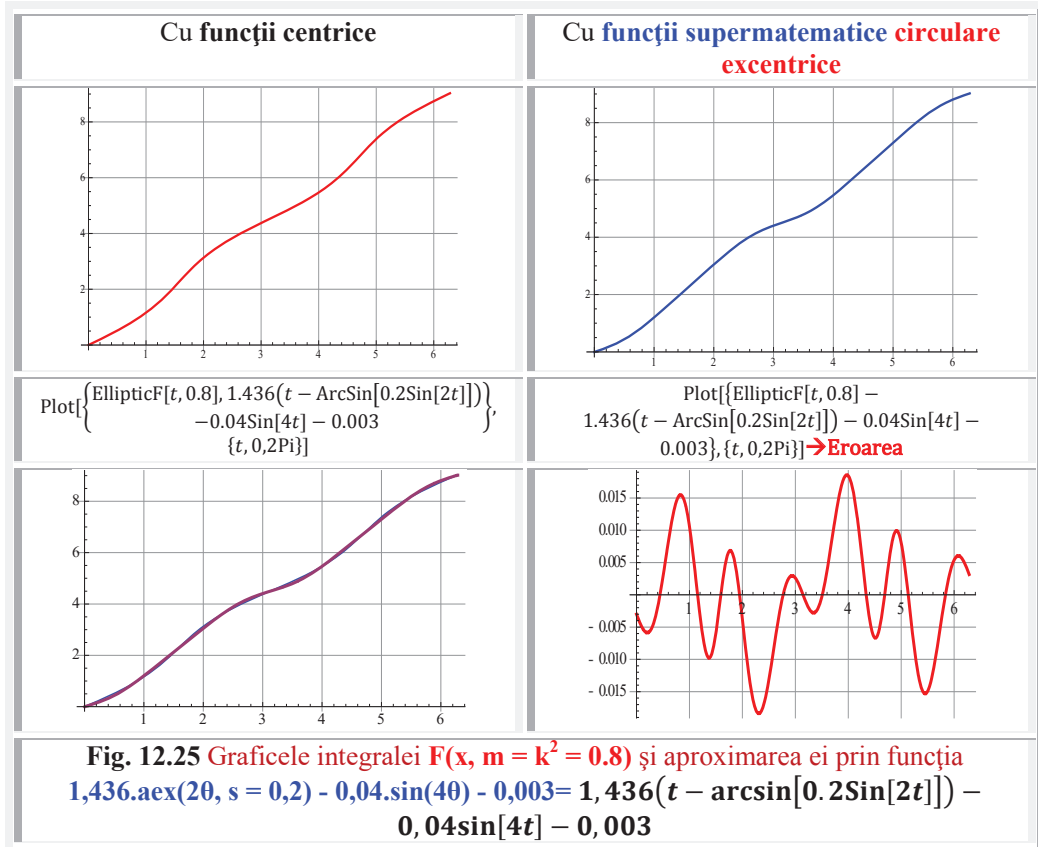
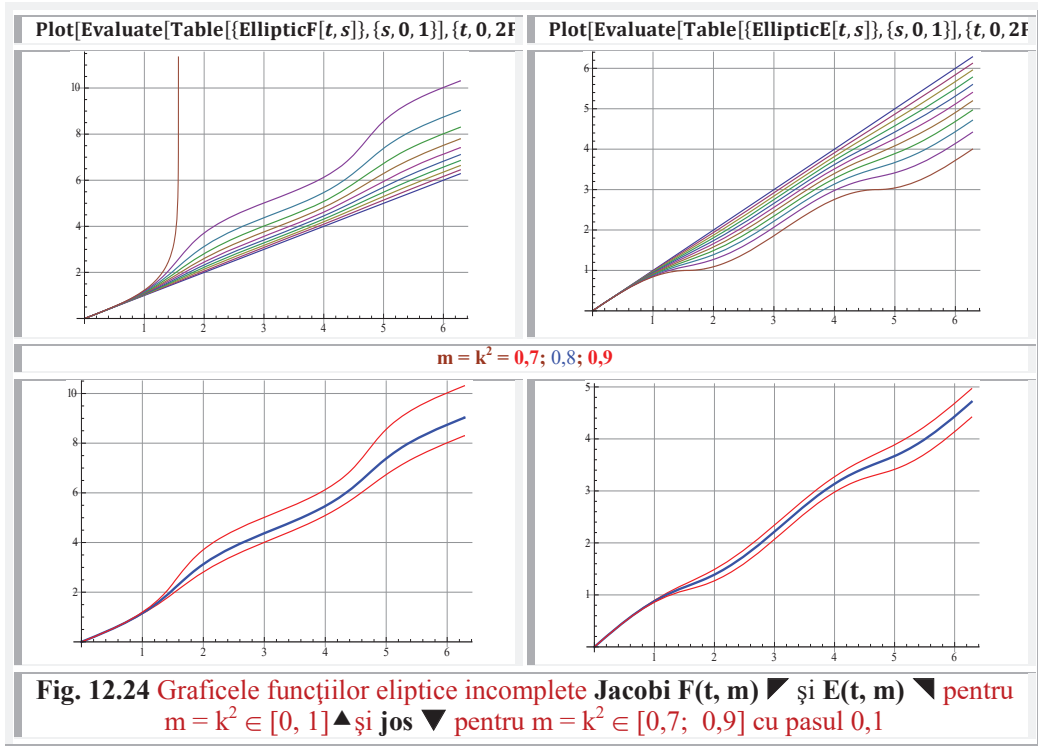
Integralele eliptice, luate între limitele $\theta \in [0, \frac{\pi}{2}]$, poartă denumirea de **integrale eliptice complete** și primele două integrale complete sunt notate cu **K(k)** și, respectiv, **E(k)**.

Pentru acestea, autorul a determinat relații de calcul care dau valoarea integralelor cu **15 (cincisprezece !) zecimale exacte** după numai 5 pași și precizia poate fi ameliorată prin următorii pași.

Graficele funcțiilor eliptice **Jacobi** incomplete sunt prezentate în **figura 12.24**.

În **figura 12.25** stânga-sus \blacktriangleright este prezentată integrala incompletă de prima speță de modul $m = k^2 = 0,8$, ($m = 0,8 \rightarrow k = 0,8944271909999159$) notată **F(x; 0,8)**, iar în dreapta-sus \blacktriangleleft este prezentată aproximarea acesteia prin **funcția supermatematică circulară excentrică (FSM-CE) amplitudine excentrică aex θ** , de variabilă excentrică θ , excentricitate numerică **s = 0,2** și excentricitate ungiulară **$\varepsilon = -\theta$** . Graficele celor două funcții sunt suprapuse în **figura 12.25** \blacktriangle , iar diferențele dintre ele sunt reprezentate în **figura 4** \blacktriangleleft , iar în **figura 12.25** \blacktriangle

sunt prezentate erorile față de funcția $\text{aex}[0, S(0, 2; 0)]$ modificată cu diferența $-0,04\sin[4t] - 0,003$.

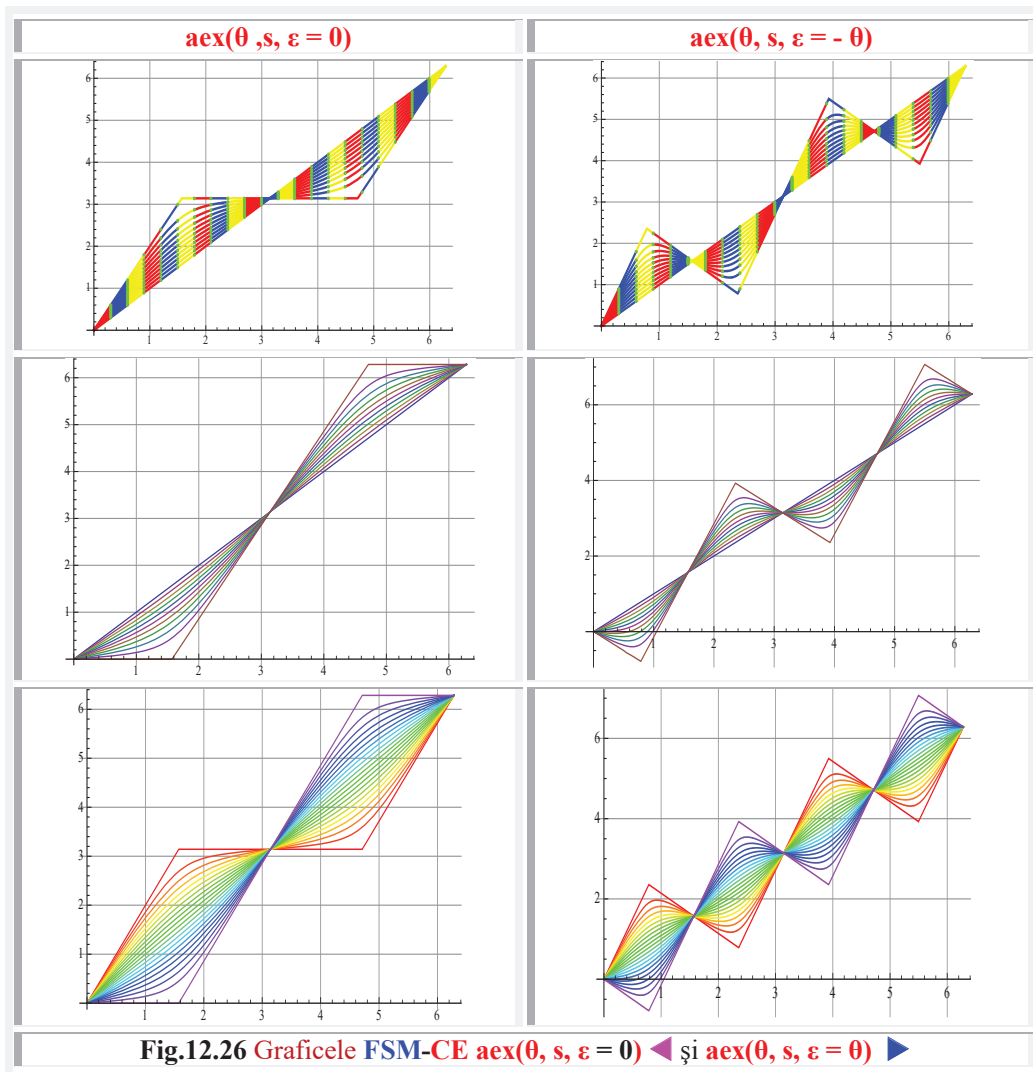


Graficele **FSM-CE amplitudine excentrică $aex\theta$** sunt prezentate în **figura 12.26** ◀ pentru un excentru $S(s,\varepsilon)$ de coordonate polare $S(s\in[-1,0], \varepsilon = 0)$ ▽, $S(s\in[0, +1], \varepsilon = 0)$ ◀ și $S(s\in[-1,+1], \varepsilon = 0)$ ▴, iar cele de $\varepsilon = \theta$ în dreapta ▶ pentru aceleași valori ale lui s .

Dacă se folosește exclusiv funcția $aex\theta$, atunci graficele sunt prezentate în **figura 12.27** ▲.

Din figură rezultă că, în acest caz, eroarea maximă de aproximare este de cca. **4 %**. Cum poate fi ea micșorată? Prin pași mici, dar numeroși, după așa-zisa “metoda Potrivescu și Încercărescu” la noi și Potrivenko în Rusia, a căror pași rezultă și din **figura 5**.

Deoarece eroarea variază după o funcție asemănătoare cu o funcție $\sin(4\theta)$, e normal să se încerce adăugarea acesteia la **FSM-CE $aex(\theta, s, \varepsilon = \theta)$** . În acest fel, eroarea se diminuează la cca. **1,5 %**, așa cum rezultă din **figura 5,a** ▽. Pentru a obține grafice mai cunoscute, în sensul în care la valorile argumentului de $\theta = 0$, $\theta = \pi$ și $\theta = 2\pi$ funcția erorii să fie nulă, s-a modificat amplitudinea funcției $\sin 4\theta$ de la 0,04 la 0,035, rezultând ceea ce s-a dorit, așa cum rezultă din **figura 5,a** ▽.



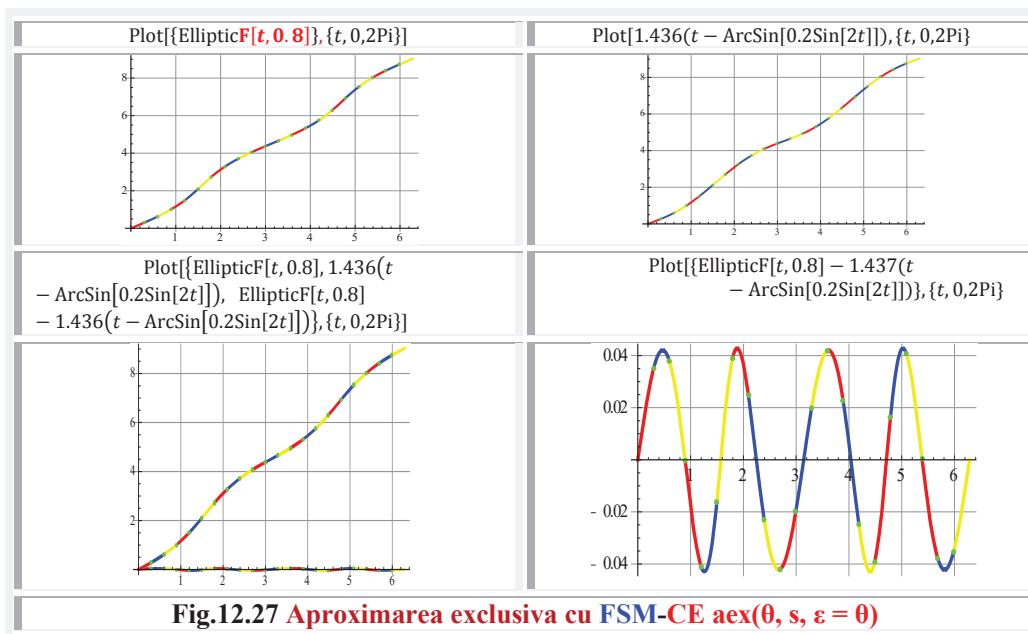


Fig.12.27 Aproximarea exclusiva cu FSM-CE aex(θ, s, ε = θ)

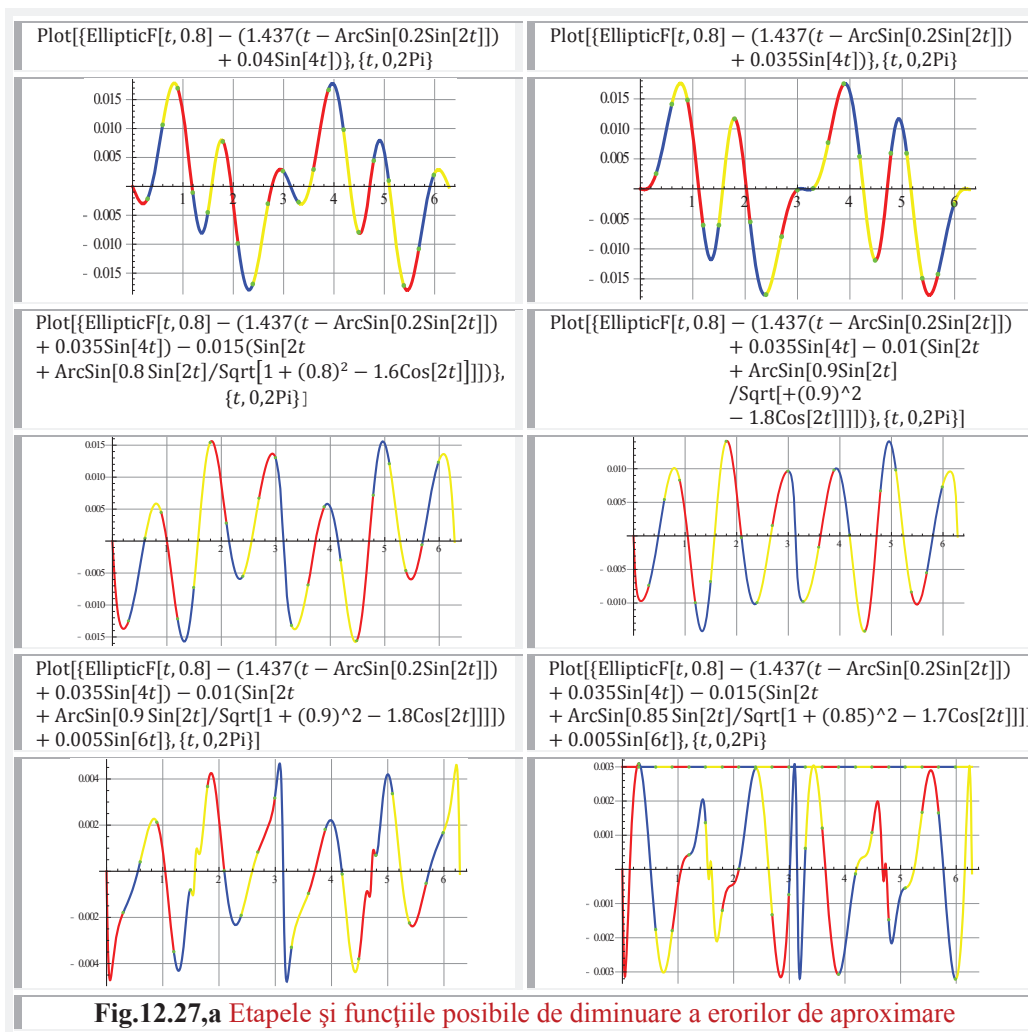
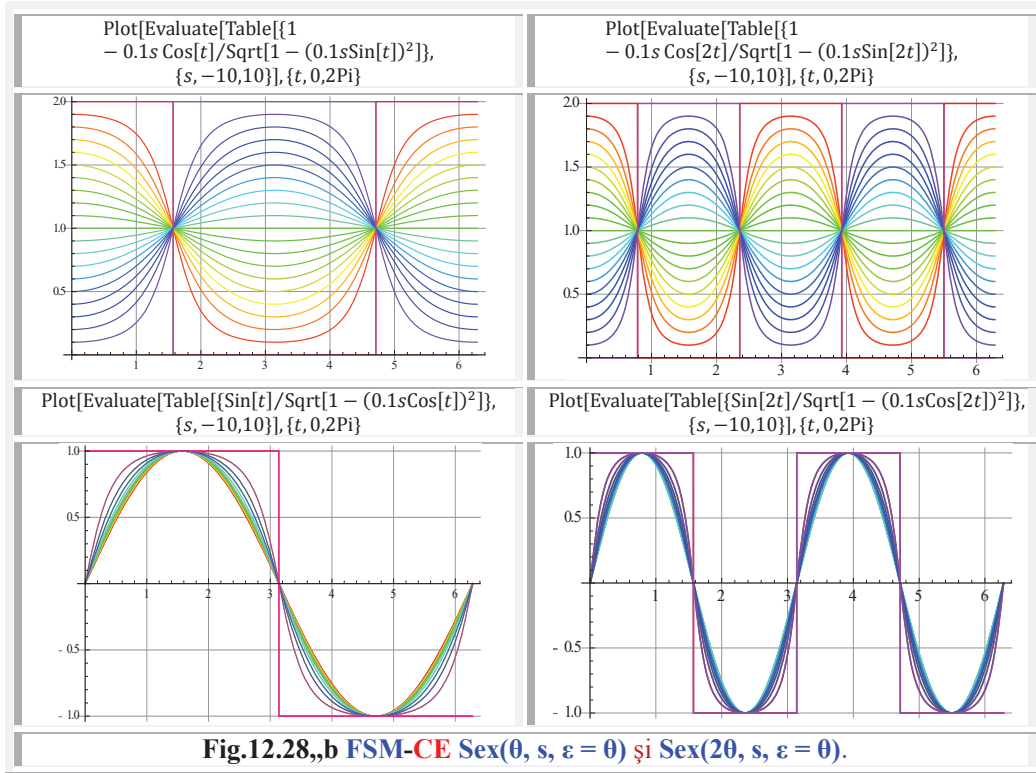
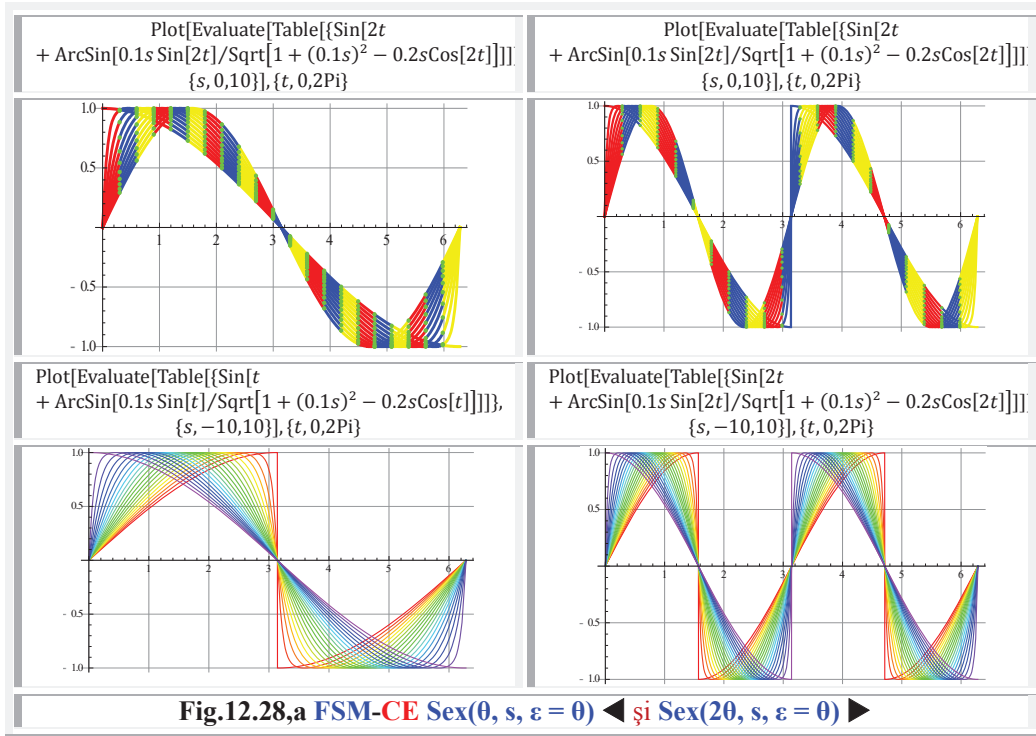


Fig.12.27,a Etapele și funcțiile posibile de diminuare a erorilor de aproximare



Deoarece graficele funcției erorilor sunt în trepte duble gândul ne duce la **FSM-CE** de variabilă centrică α și anume, la **FSM-CE** sinus excentric de variabilă centrică $Sex(\theta, s, e = \theta)$, reprezentate în **figura 6** \blacktriangledown ca funcții de α și $s \in [0, 1]$ și în **figura 6** \blacktriangledown ca funcții de 2α pentru aceleași valori ale excentricității numerice s .

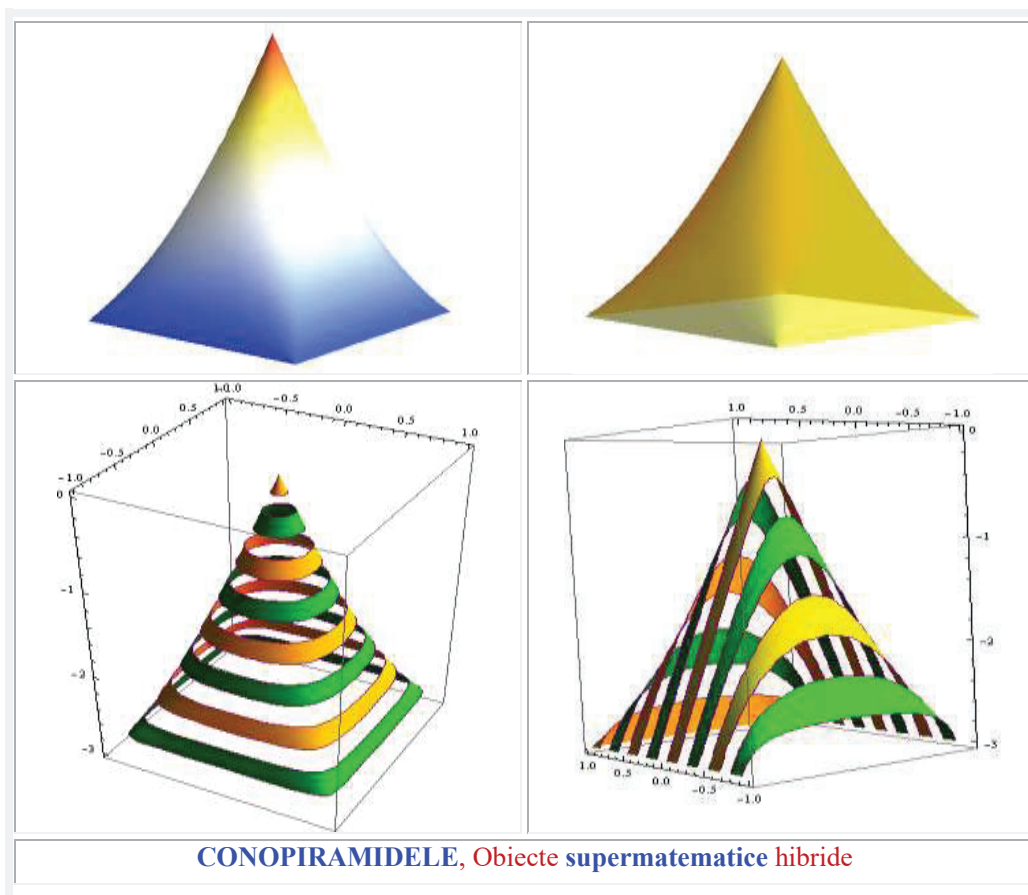
Pentru $s = 0,9$ s-au obținut graficele din **figura 5,a** \blacktriangle . Pentru a obține graficele unor funcții exprimabile mai simplu matematic sau supermatematic, s-a modificat valoarea excentricității de la $s = 0,9$ la $s = 0,85$ chiar dacă erorile maxime cresc puțin, însă forma graficelor lor este mai ușor de manipulat prin funcții supermatematice periodice.

Astfel, amplitudinile maxime pot fi diminuate prin utilizarea funcției anterioare $Sex\alpha$ modificate, cu graficele din **figura 6,b** \blacktriangledown , sau prin **FSM-CE** derivată excentrică $dex\theta$ (**Fig 6,b** \rightarrow) de variabilă excentrică θ , ca și prin **funcțiile supermatematice** sinus cavadrilobe $siq\theta$, prezentate în **figura 6,b** $\blacktriangle\blacktriangle$.

S-a apelat la prima variantă și, așa cum rezultă din graficele din **figura 5,b** \blacktriangle , erorile maxime au scăzut la **0,004**. Din forma graficelor, rezultă o posibilă îmbunătățire, în continuare, a preciziei de aproximare prin dublarea amplitudinii funcției $Sex\alpha$ modificate în sensul amplificării lor de la **0,005** la **0,01** și erorile maxime scad la **0,003**, adică la **0,3 %**, așa cum se poate observa în **figura 5,b** \blacktriangle .

Reamintim că, pentru calcule ingineresti, erorile maxime admise sunt cu mult mai mari, și anume, ele sunt de $\pm 2 \%$.

Precizii la fel de ridicate au fost obținute și pentru **funcțiile eliptice Jacobi** $sn(u, k)$ și $cn(u, k)$ și sunt redată în lucrarea **Mircea Eugen Șelariu** "APROXIMAREA **FUNCȚIILOR ELIPTICE JACOBI**" lucrare existentă și accesabilă pe internet.



Motto:” Împotriva **prostiei** și zeei luptă fără succes.” Schiller
 E adevărat ! O spun din proprie experiență:
 Am susținut în două articole o **MARE prostie**
 și niciun zeu nu m-a contrazis.

Capitolul 13

APROXIMAREA FUNCŢIILOR ELIPTICE JACOBI

13.1 PREAMBUL

Apropo de **mottoul** din dreapta ► sus ▲. Despre ce prostie este vorba ? Una mare, mare, ... cât roata carului, cum se spune. Dar nu mă pot considera **cel mai prost**, deoarece prostia nu are margini, așa cum spunea **Albert Einstein** “Doar două lucruri sunt **infinite**: universul și **prostia umană**; iar de univers nu sunt foarte sigur”, pe de o parte, iar, pe de altă parte nu pot fi “**cel mai**” că aş fi lipsit și de modestie.

Conform părerii lui **Valeriu Butulescu** “Sunt prostii extrem de complexe, pe care numai înțelepții le pot comite”. O astfel de prostie am săvârșit și despre ea este vorba.

M-am înșelat crezând că am găsit funcțiile circulare excentrice de variabila centrica **Aexa**, **Cexa**, **Sexa** ca fiind identice cu funcțiile eliptice corespondente **amu**, **cnu** și **snu modificate** → transferate din domeniul **eliptic centric** în domeniul **eliptic excentric**.

Ele au fost transformate din funcții de perioada **4K(k)** în funcții de perioada **2π**, prin înlocuirea variabilei / argumentului $u \rightarrow 2uK(k)$ și, apoi, prin înlocuirea lui **u** cu funcția excentrică $u = \mathbf{ax}\theta = \theta - \mathbf{arcsin}[s.\sin\theta]$ pentru o excentricitate **s = k**, prin care funcțiile **eliptice centrice** au fost transformate în **funcții eliptice excentrice**. Până aici, totu-i bine și corect !

Doi pași înțelepți !

Acum urmează (vorba unui neamț, dintr-un banc, care reclama că în România se înjură prea mult: “*Jetzt kommt...*”) **al treilea pas, greșit** și prostia imensă: s-au considerat modulele $k = m = 0$, în funcțiile eliptice modificate, de perioada **2π**, **excentrice**, fără să se observe că și **după** doi pași anteriori, în acest caz, funcțiile eliptice centrice **tot degenerază** în funcții circulare centrice și, ca urmare, egalitatea / identitatea a fost stabilită între funcțiile circulare excentrice și ... funcțiile circulare excentrice !!. Aceleași ! Evident identice ! După o mare bucurie a urmat o imensă tristețe. De rușine nici nu mai vorbim...

Ei bine, dacă identități nu s-au putut găsi, măcar să găsim niște aproximații. Cât mai bune. Nu spun că sunt și **cele mai bune** ! Nu mai îndrăznesc ! “Cine s-a fript cu ciorbă, sufla și-n iaurt !” Ca să-l citez pe Topârceanu.

13.2 FUNCŢIILE ELIPTICE CENTRICE JACOBI

Graficele familiilor de **funcții eliptice Jacobi**, cosinus eliptic $x = \mathbf{cn}(u, k)$ și sinus eliptic $y = \mathbf{sn}(u, k)$, de perioade **4K(k)**, sunt prezentate în **figura 1.a**.

Fiecare curbă a familiei corespunde unei valori a modulului $k \in [0, 1]$ sau $m = k^2$, $m \in [-1, +1]$; modulele **m** și **k** având aceeași semnificație ca și **excentricitatea numerică liniară s**, coordonata polară a punctului **S(s, e)**, denumit excentru, pentru o **excentricitate unghiulară e = 0**, din **matematica excentrică (ME)** și, totodată, din **supermatematică**, care este o reuniune a **ME** cu **matematica centrică (MC)**, ordinară, sau clasică. Iar modulul $m = k^2$ este echivalent cu excentricitatea **s²**.

Deoarece, odată cu apariția **supermatematicii**, au apărut și **funcțiile eliptice excentrice** **cnex(u,k), snex(u, k)** ș.a., astfel că **funcțiile eliptice Jacobi** sunt denumite “**eliptice centrice**” (**FEC**), pentru a se deosebi de cele **eliptice excentrice**.

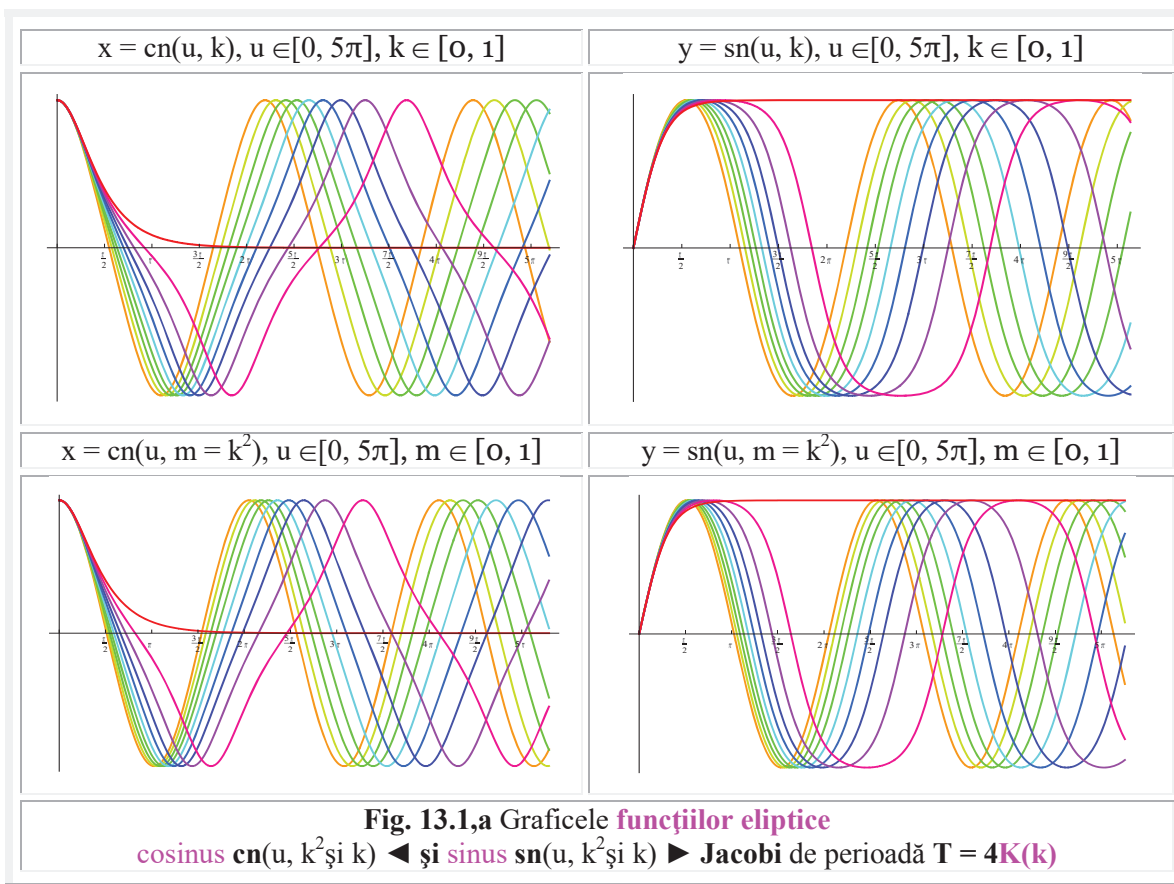
Ecuatiile **FEC** pot fi date sub forma seriilor de puteri, prezentate în relațiile (1) ... (4):

$$(13.1) \quad \text{am}(u, m) = u - \frac{m}{3!}u^3 + \frac{m(4+m)}{5!}u^5 - \frac{m(16+44m+m)}{7!}u^7 + \frac{m(64+91m+408m^2+m^3)}{9!}u^9 - \dots + \dots$$

$$(13.2) \quad \text{sn}(u, m) = u - \frac{1+m}{3!}u^3 + \frac{1+14m+m^2}{5!}u^5 - \frac{1+135m+135m^2+m^3}{7!}u^7 + \frac{1+1228m+5478m^2+1128m^3+m^4}{9!}u^9 - \dots$$

$$(13.3) \quad \text{cn}(u, m) = 1 - \frac{1}{2!}u^2 + \frac{1+4m}{4!}u^4 - \frac{1-44m+16m^2}{6!}u^6 + \frac{1+408m+912m^2+64m^3}{8!}u^8 - \dots + \dots$$

$$(13.4) \quad \text{dn}(u, m) = 1 - \frac{m}{2!}u^2 + \frac{m(4+m^2)}{4!}u^4 - \frac{m(16-44m+m^2)}{6!}u^6 + \frac{m(64+912m+408m^2+m^3)}{8!}u^8 - \dots + \dots$$



Pentru modulul $k = 0$ integrala eliptică completă de prima speță $K(k)$ ia valoarea $K(0) = \frac{\pi}{2}$ și perioada funcțiilor eliptice centrice (**FEC**) de $4K(k) \rightarrow 4K(0) = 2\pi$, astfel că, pentru această valoare, **FEC** **degenerează** într-o **funcție circulară centrică** (**FCC**). Ca urmare, fiecare familie de funcții / grafice din familiile de curbe din **figura 13.1,a** conține câte o singură curbă **circulară centrică**, a funcției **cosu** și, respectiv, **sinu** printre / alături de familia de **curbe eliptice centrice**.

Deoarece $k \in [-1, +1]$ se poate afirma că **FEC** sunt o generalizare a **FCC**, iar pentru $k = m = 0$, **funcțiile eliptice** centrice **degenerează** (**FEC**) în funcții **circulare centrice** (**FCC**). Tot așa cum **funcțiile circulare excentrice** (**FCE**) **cos** excentric $\text{cex}\theta$ și **sinus** excentric $\text{sex}\theta$ sunt și ele o generalizare a **FCC** și pentru $s = 0$ **degenerează** și ele, așijderea, în **FCC**.

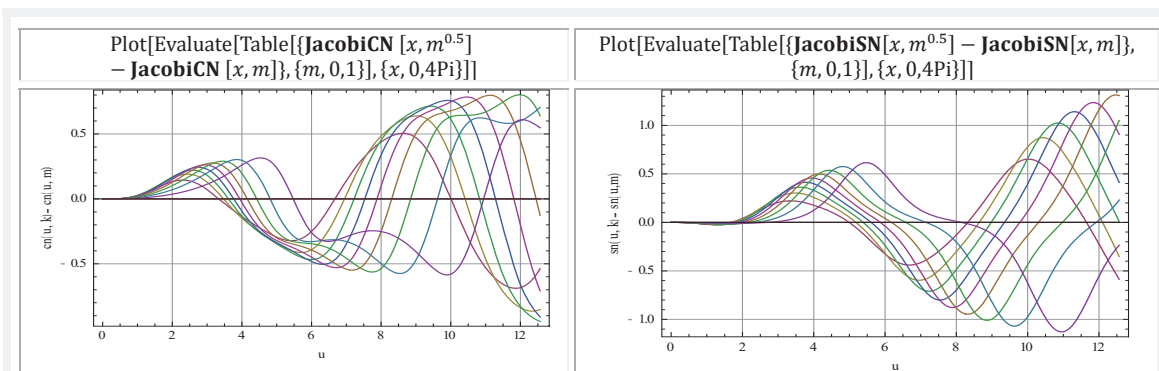


Fig. 13.1,b Graficele diferenţelor **funcţiilor eliptice cosinus** $y = \text{cn}(u, k) - \text{cn}(u, m = k^2)$ **şi sinus** $y = \text{sn}(u, k) - \text{sn}(u, m = k^2)$ **JACOBI** de perioadă $T = 4K(k)$

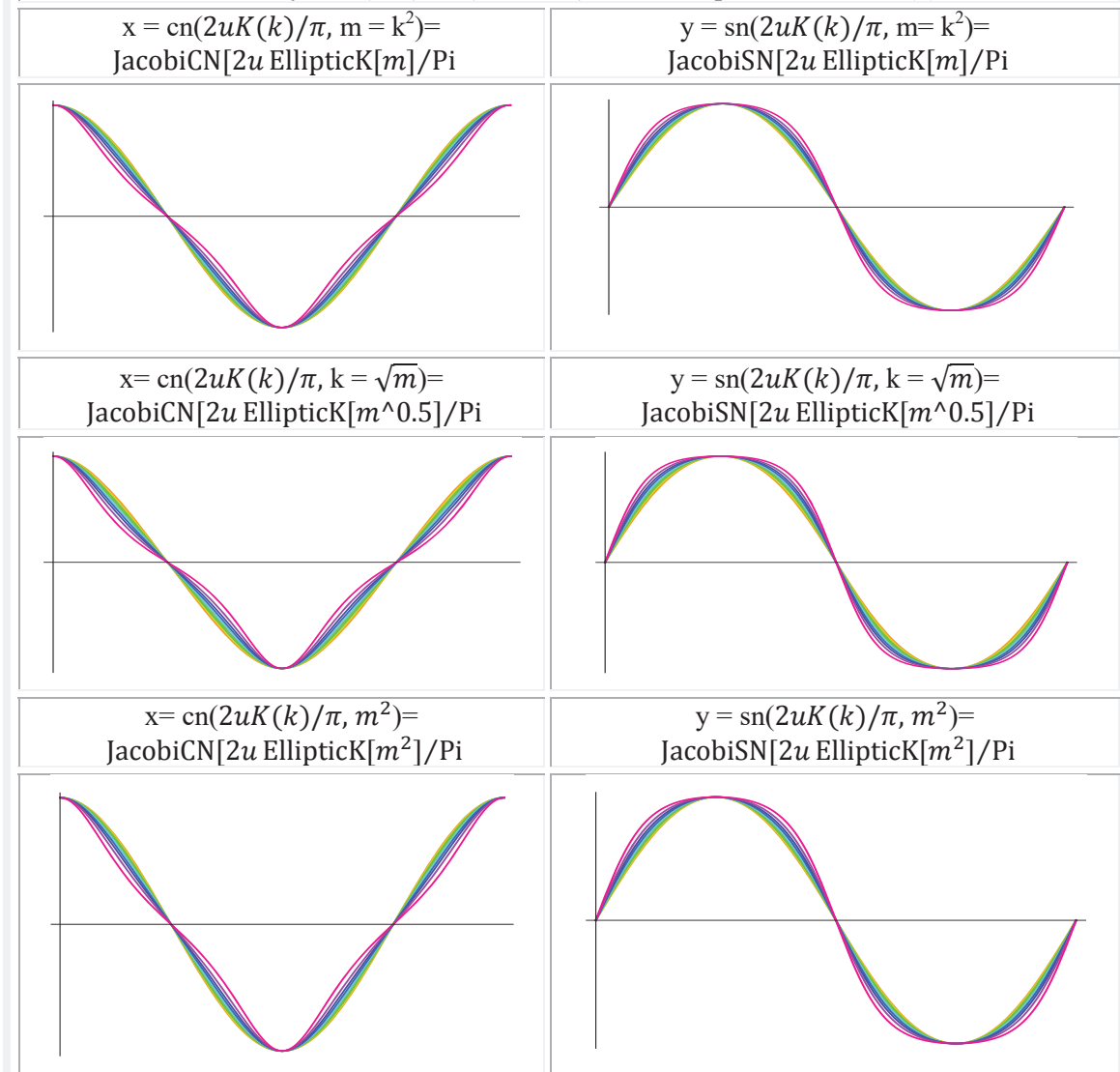


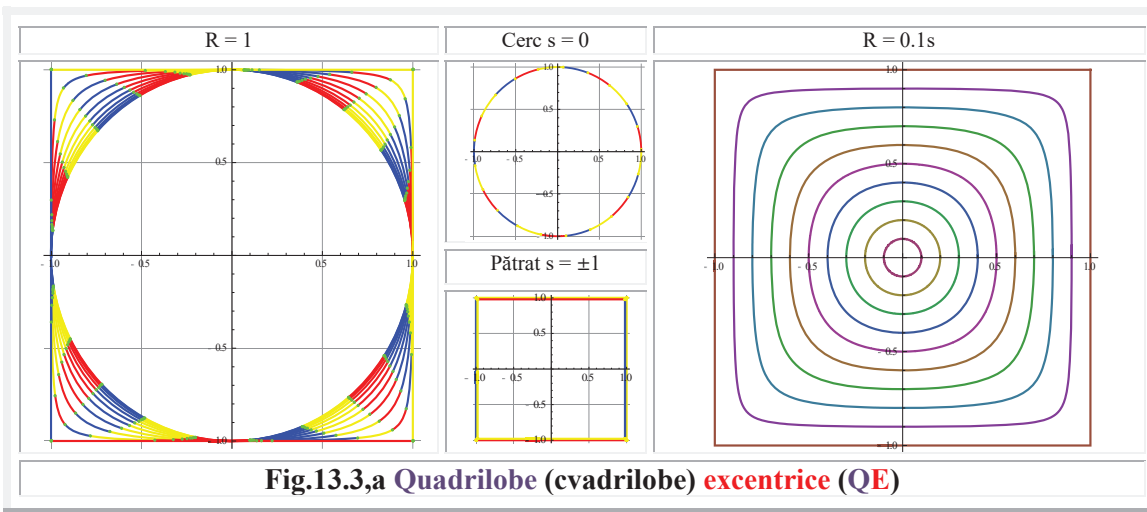
Fig. 13.2 Graficele **funcţiilor eliptice cosinus** cnu **şi sinus** $\text{sn}(u, m = k^2)$ **JACOBI** de perioadă $T = 2\pi$

Prin multiplicarea argumentului / variabilei u a FEC de perioadă $T = 4K(k)$ cu $\frac{2K(k)}{\pi}$, adică $u \rightarrow \frac{2K(k)}{\pi}u$, FEC devin de perioadă $T' = 2\pi$, așa cum este ilustrat în figura 13.2, ca funcții de $m = k^2 \rightarrow$ sus \blacktriangle , ca funcții de $k = \sqrt{m} \rightarrow$ la mijloc — și de $m^2 = k^4 \rightarrow$ jos \blacktriangledown și rămân funcții eliptice centrice cu excepția cazului $k = m = 0$.

Din figura 13.1,a rezultă, aparent, că modificarea modulelor de la k , la $m = k^2$ nu influențează prea mult forma curbelor, în schimb diferențele valorice sunt semnificative și cresc cu creșterea argumentului u , așa cum se poate observa în diferențele prezentate în figura 13.1,b. În principal, datorita defazajului lor.

13.3 FUNCȚII SUPERMATEMATICE QUADRILOBE (CVADRILOBE) EXCENTRICE

Quadrirobele sunt curbe supermatematice hibride, închise (Fig.13.3,a), rezultate prin hibridarea (super)matematică a cercului cu un pătrat, ce reprezintă, totodată, transformarea continuă a cercului în pătrat și invers. Pentru $s = 0$ se obține cercul, iar pentru $s = \pm 1$ se obține un pătrat perfect. În 2D, iar în 3D se obține un corp geometric nou, un hibrid între con ($s = 0$) și piramidă ($s = \pm 1$), denumit conopiramidă sau piramidocon (Fig. 13.3,b), care pentru $R = 1 =$ constant rezultă un cilindru circularo-pătrat, iar pentru $R = s \in [0, 1]$ rezultă conopiramida (Fig.13.3,b)

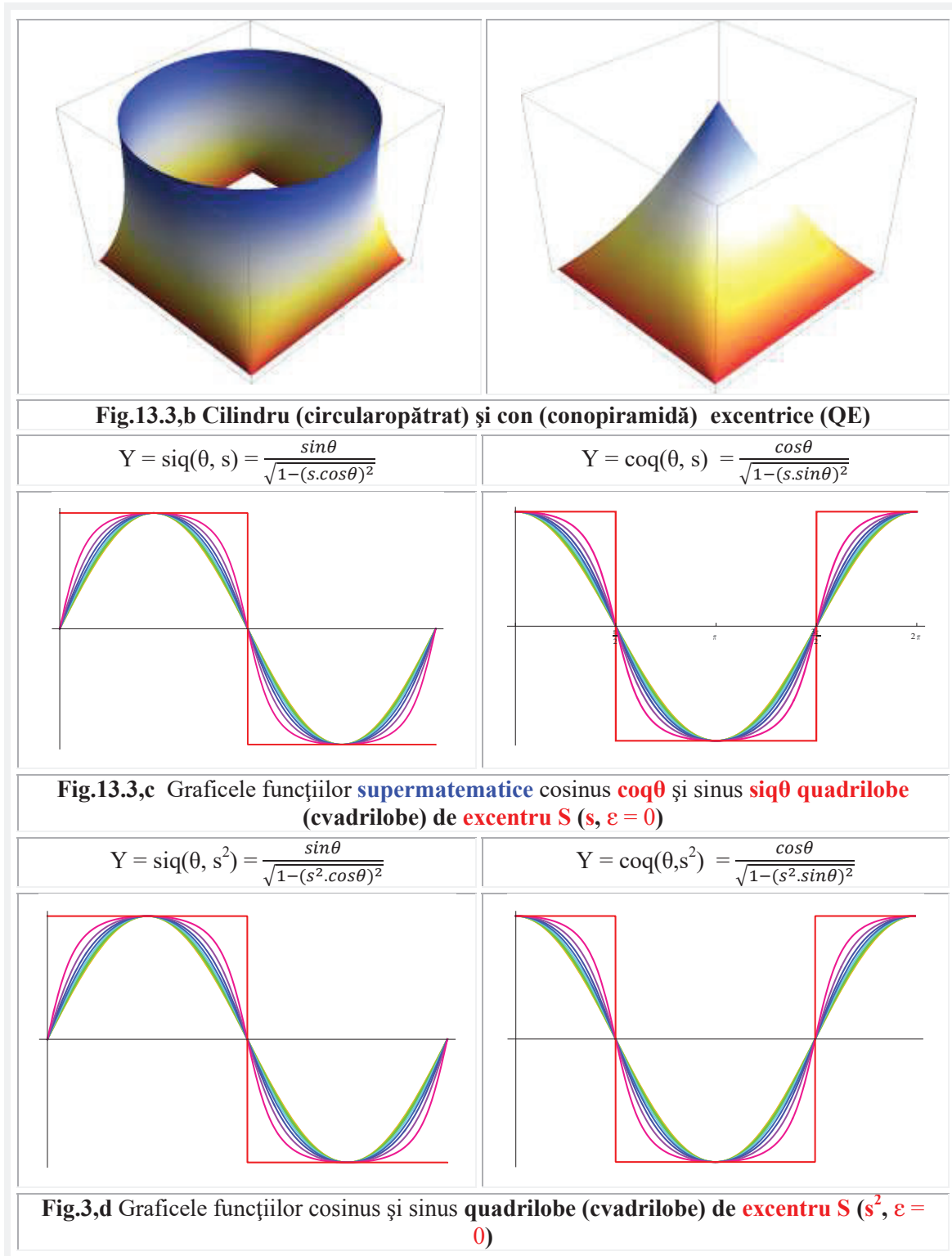


Rezultă că și quadrirobele sunt o generalizare a cercului. Ecuațiile parametrice ale acestora se exprimă prin funcțiile cosinus $coq\theta$ și, respectiv, sinusul $siq\theta$ quadrirobe, dar și prin $dex\theta$ și $dex(\theta - \frac{\pi}{2})$

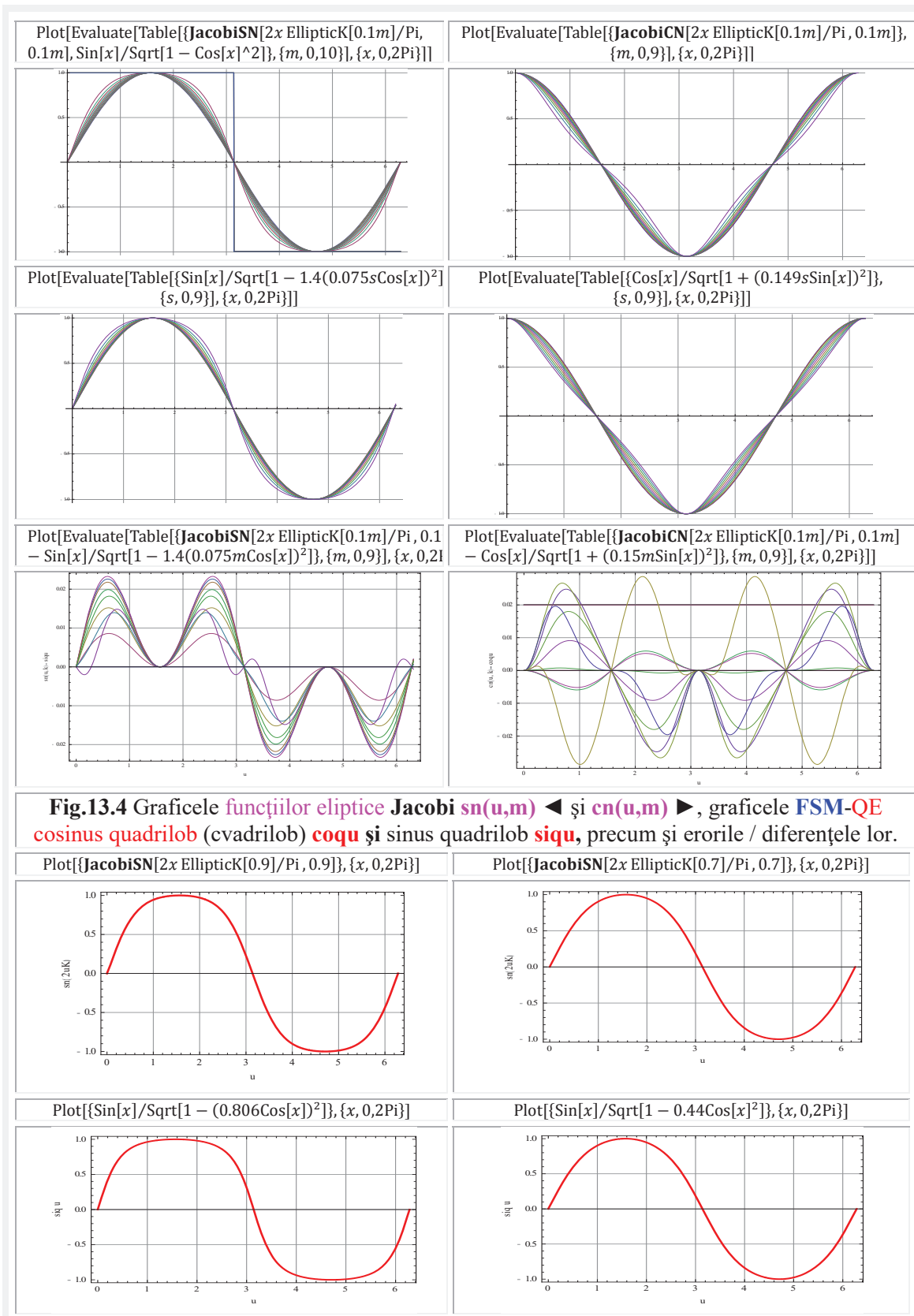
$$(13.5) \quad \begin{cases} x = coq\theta = \frac{\cos\theta}{\sqrt{1-s^2\sin^2\theta}} \\ y = siq\theta = \frac{\sin\theta}{\sqrt{1-s^2\cos^2\theta}} \end{cases}$$

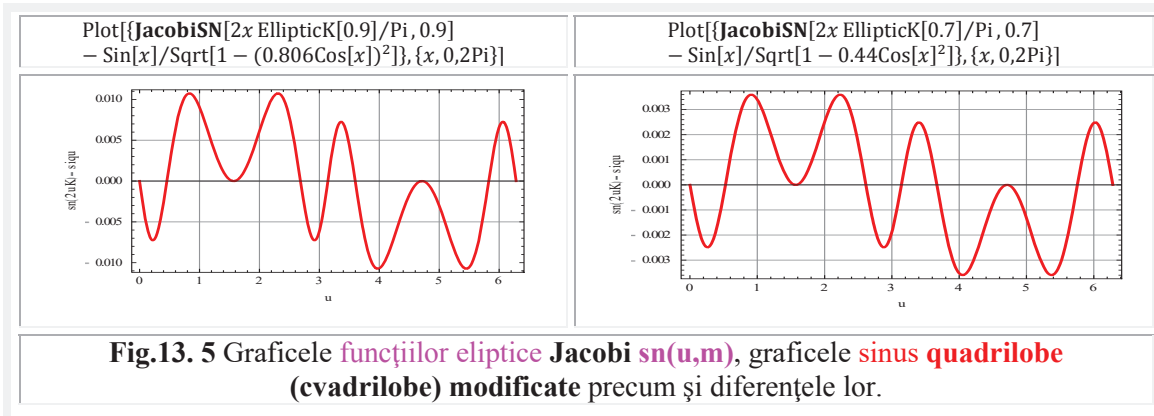
$$(13.5') \quad \begin{cases} dex\theta = -s\cos(\theta - \varepsilon) + \sqrt{1 - s^2\sin^2(\theta - \varepsilon)} \\ dex\theta = -s\cos\left(\theta - \frac{\pi}{2} - \varepsilon\right) + \sqrt{1 - s^2\sin^2\left(\theta - \frac{\pi}{2} - \varepsilon\right)} \end{cases}$$

cu graficele din figura 13.3,c pentru $R = 1$ și un excentru $S(s \in [0,1], \varepsilon = 0)$ de coordonate polare (s, ε) .



Din relațiile (5) rezultă imediat că, pentru $s = 0$, $\text{coq}\theta = \cos\theta$ și $\text{siq}\theta = \sin\theta$, care sunt ecuațiile parametrice ale cercului unitate ($R = 1$), centrat în originea $O(0, 0)$, adică $CU(1,0)$ iar pentru $s = 1$, $\text{coq}\theta = \pm \cos\theta / \text{Abs}[\cos\theta]$ și $\text{siq}\theta = \pm \sin\theta / \text{Abs}[\sin\theta]$, care sunt ecuațiile parametrice ale unui pătrat perfect, așa cum se poate constata în centrul (■) figurii 13.3,a.





Totodată, pentru $s = 0$, funcțiile **quadrilobe** (cvadrilobe) **excentrice** degenerază în funcții **circulare centrice** ($coq\theta \rightarrow \cos\theta$ și $siq\theta \rightarrow \sin\theta$), ceea ce rezultă din relațiile (13.5).

În figura 13.4 sunt prezentate funcțiile eliptice Jacobi snu și funcțiile **supermatematice quadrilobe excentrice** (FSM-QE) $siqu$ în stânga ◀ și cnu și $coqu$ în dreapta ▶, pentru un modul m , respectiv excentricitate s , cuprinse în domeniul $m, s \in [0; 0,9]$.

Nu s-a admis și valoarea $m = k = s = 1$, pentru că programele de matematică, utilizate de autor, nu pot plota curbele de această valoare, deoarece pentru $m = k = 1$ integrala eliptică completă de prima speță $K(k)$ tinde la infinit, adică, $K(1) \rightarrow \infty$.

Pentru a apropia cât mai mult forma graficelor celor două tipuri de funcții și, evident, pentru a asigura aproximații cât mai bune, s-a constatat, prin încercări, că raportul excentricitate / modul este $s = 1,49 m$, în cazul funcțiilor cnu și $coqu$ (Fig.4 -dreapta▶) și de $s = 1,075 m$ pentru funcțiile snu și $siqu$ din stânga ◀figurii 4, la acestea amplificându-se și funcția de sub semnul radical cu valoarea de 1,4, adică, $1 - (s \cdot \sin u)^2 \rightarrow 1 - 1,4 (s \cdot \sin u)^2$

Se observă, din graficele diferențelor (Fig.4 ▼), că erorile de aproximare sunt acceptabile, ele fiind cu puțin mai mari decât valoarea de $\pm 0,02$, adică $\pm 2 \%$ cât se acceptă în domeniul ingineriei mecanice. Dacă, pentru ansamblul grupului de funcții, îmbunătățirea aproximării este dificilă, pentru valori oarecare m și s precizate, respectiv ale modulului și excentricității, acest lucru poate fi realizat.

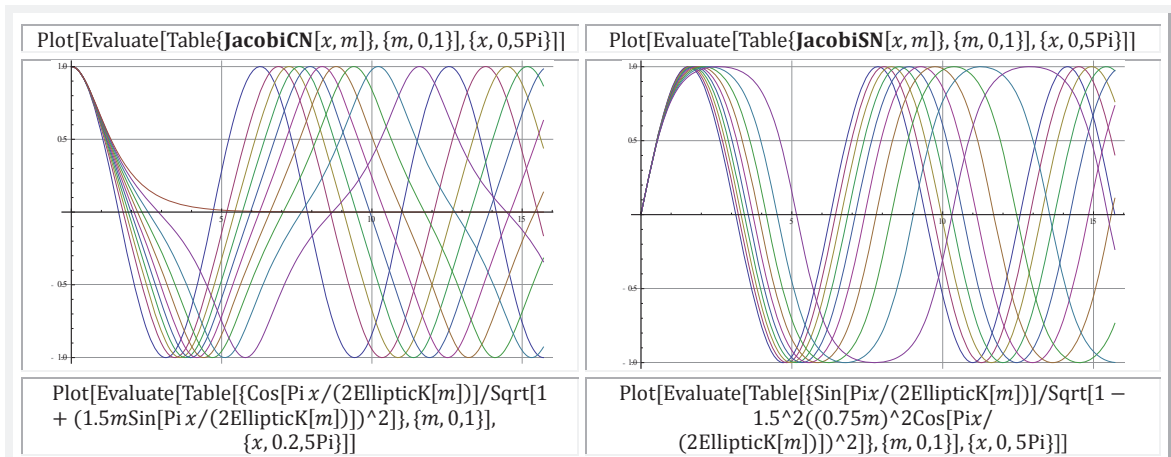
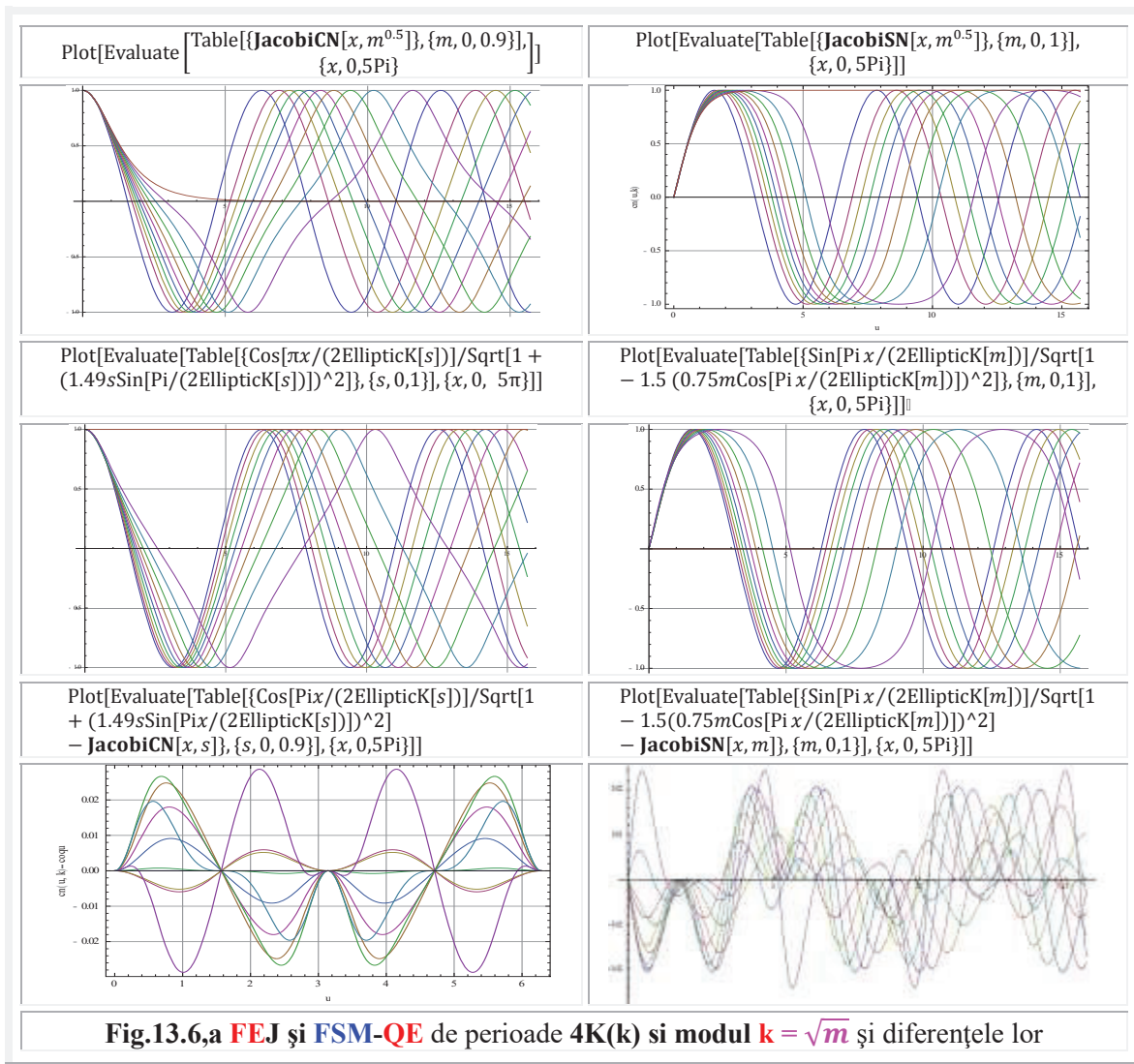
Astfel, s-au ales modulele de valori mai ridicate, de $m = 0,9$ ◀ și $m = 0,7$ ▶, care prezentau și erorile anterioare mai ridicate / mari și, prin încercări succesive, erorile au fost reduse considerabil (Fig.13.5), de la 0,02 la 0,003, adică la 0,3 % pentru $sn(u, m)$ și sub 1 % pentru $cn(u, m)$.

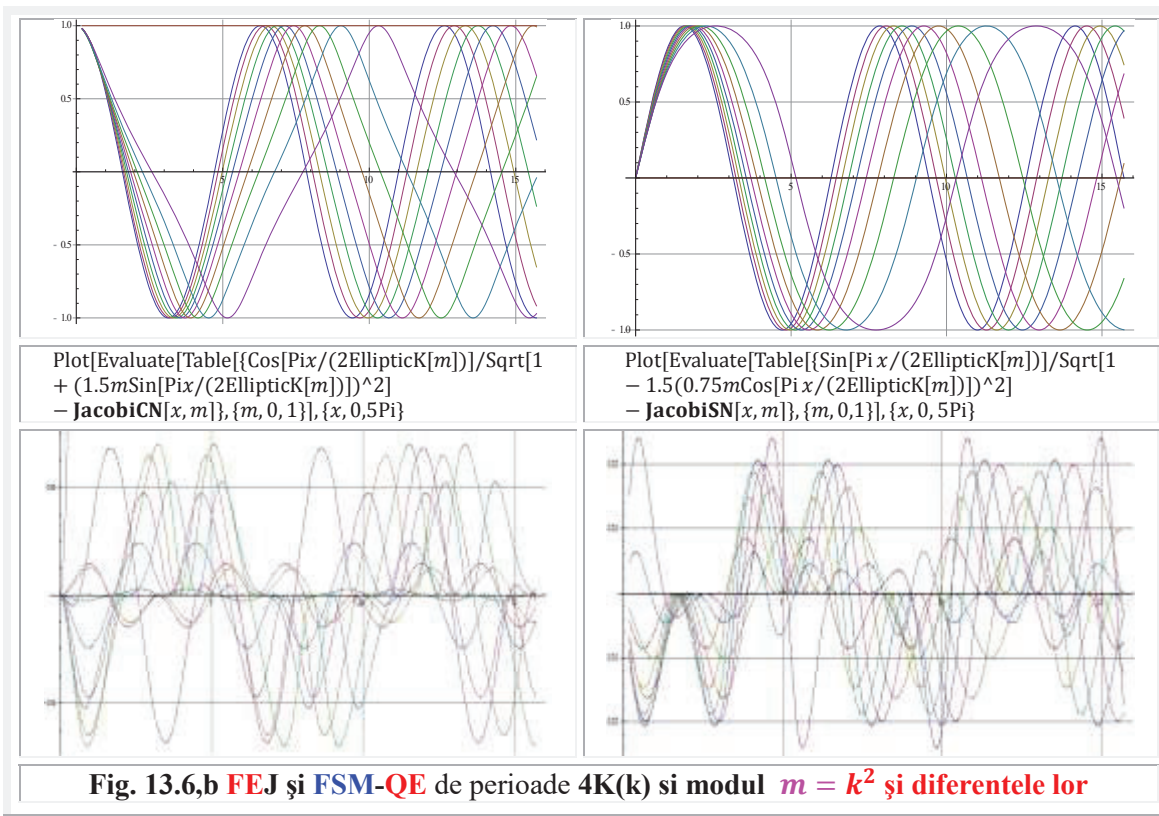
13.4 FUNCȚIILE SUPERMATEMATICE QUADRILOBE (FSM-QE) DE PERIOADĂ $4K(k)$

Dacă funcțiile eliptice Jacobi de perioada $T = 4K(k)$ pot fi aduse la perioada de $T' = 2\pi$, înseamnă că este posibil și invers, ca funcțiile **supermatematice quadrilobe** (FSM-QE) de perioadă $T' = 2\pi$ să fie aduse la perioada de $T = 4K(k)$. Acest lucru este ilustrat în figura 13.6,a pentru funcțiile eliptice Jacobi de modul $k = \sqrt{m}$ și în figura 13.6,b pentru modulele $m = k^2$.

Din figura 13.6,a rezultă că diferențele dintre FSM-QE $coq\theta$ de $4K(k)$ și de $s \rightarrow 1,49s$ și FEJ $cn(u, k)$ de $4K(k)$ și de $k = \sqrt{m}$, $s, m \in [0, 1]$ sunt acceptabile, ele fiind cu puțin peste valoarea de 0,02 (2%).

În cazul funcțiilor $siq\theta$ și snu , aceleași precizii se obțin pentru $sn(u, m \in [0, 1])$ și, respectiv, $siq[\theta = u]$ modificat, în care radicalul este $\sqrt{1 - s^2 \sin^2 \theta} \rightarrow \sqrt{1 - 1.5[(0.75s)^2 \sin^2 \theta]}$ cu modificarea corespunzătoare a argumentului / variabilei $\theta \rightarrow \pi \theta / 2K(k)$, în ambele cazuri.





Diferențe / erori, aproximativ, de aceeași mărime se obțin și pentru $cn(u, m = k^2)$ și $sn(u, m = k^2)$, așa cum rezultă din figura 13.6,b.

13.5 FUNCȚII ELIPTICE JACOBI $dn(u, k)$ ȘI $dn(u, m = k^2)$ DE PERIOADĂ $T = 4K(k)$ CENTRICE ȘI SUPERMATEMATICE EXCENTRICE DE VARIABILĂ EXCENTRICĂ θ ȘI CENTRICĂ α

Funcțiile eliptice Jacobi de module $m = k^2$ și k pot fi exprimate prin radicalul

$$(13.6) \quad \begin{cases} dn(u, k) = \sqrt{1 - k^2 \cdot sn^2(u, k)} \\ dn(u, m) = \sqrt{1 - m \cdot sn^2(u, m)} \end{cases}$$

sau de seriile ([www. Mathematica 8 - Wolfram Research](http://www.Mathematica 8 - Wolfram Research))

$$\text{Series}[\text{JacobiDN}[z, m], \{z, 0, 6\}] = 1 - (m z^2)/2 + 1/24 (4 m + m^2) z^4 + 1/720 (-16 m - 44 m^2 - m^3) z^6 + O[z]^7$$

$$(13.7) \quad \text{Series}[\text{JacobiDN}[z, m], \{m, 0, 2\}] = 1 - 1/2 \text{Sin}[z]^2 m + 1/32 (8 z \text{Cos}[z] \text{Sin}[z] - 5 \text{Sin}[z]^2 - \text{Sin}[z] \text{Sin}[3 z]) m^2 + O[m]^3$$

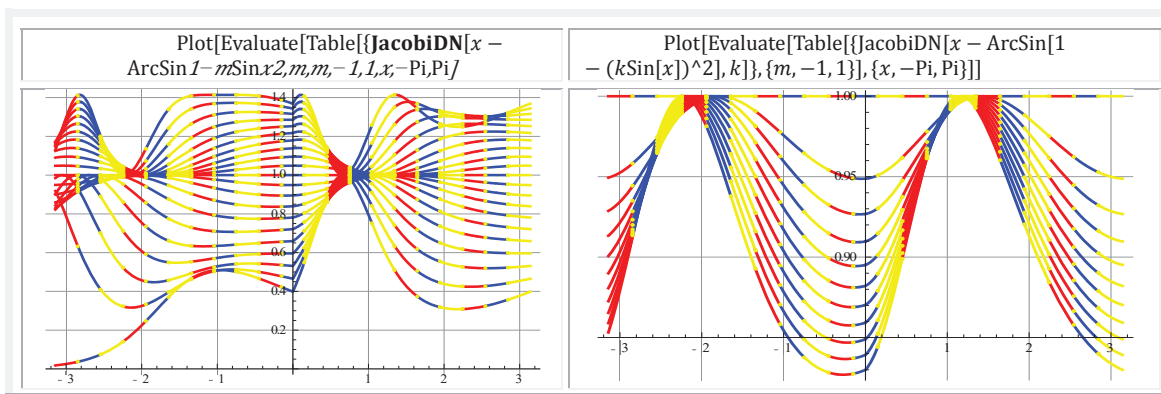
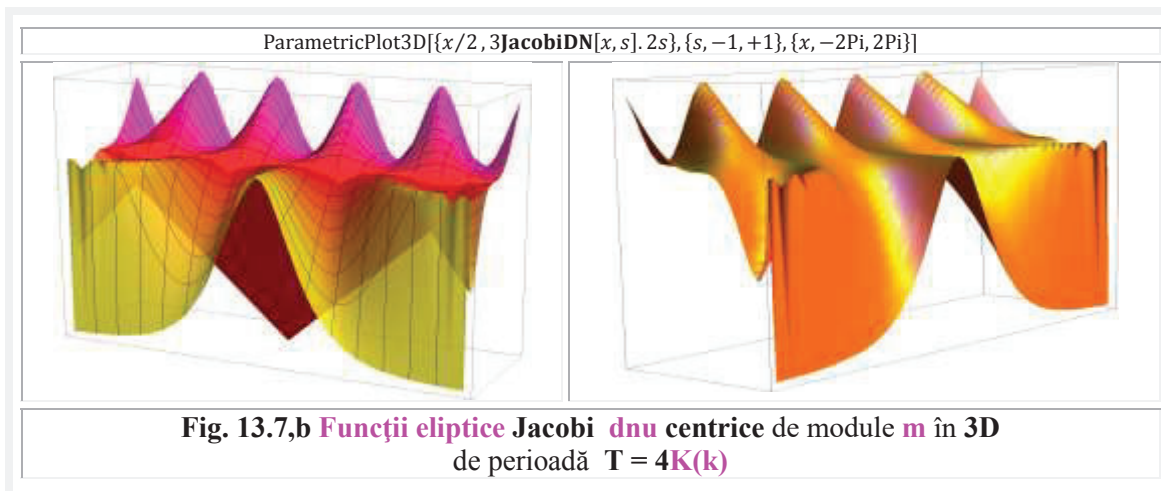
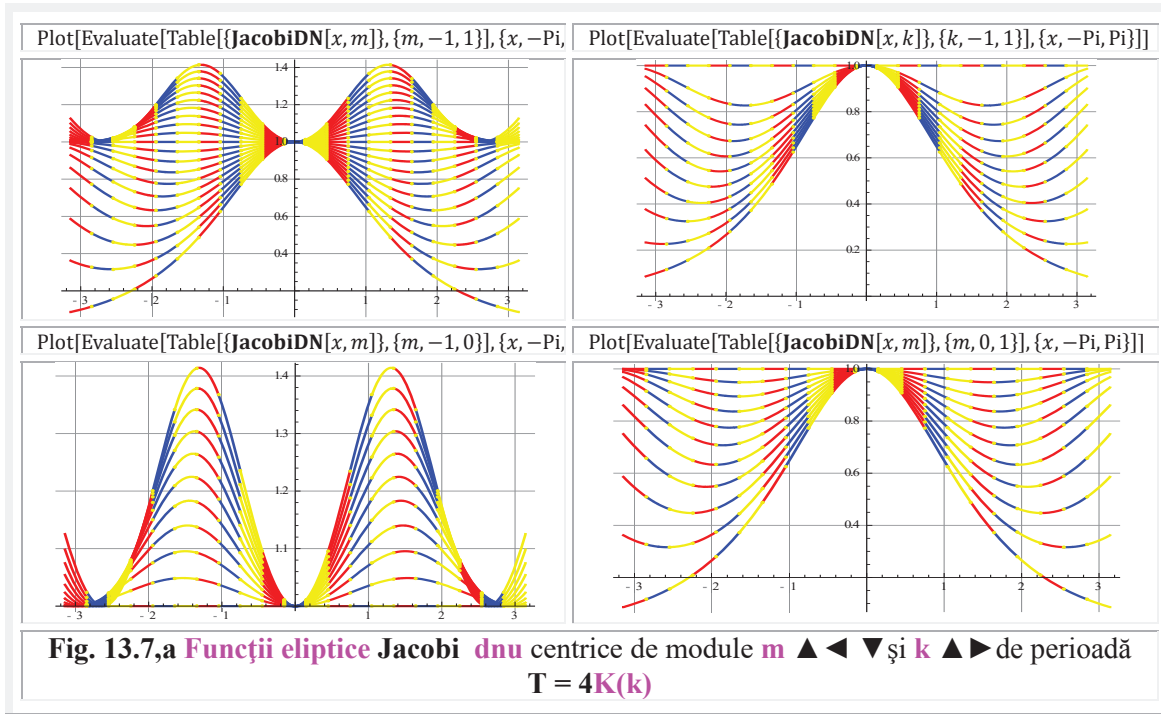
și au graficele din figura 13.7,a în 2D și 13.7,b în 3D.

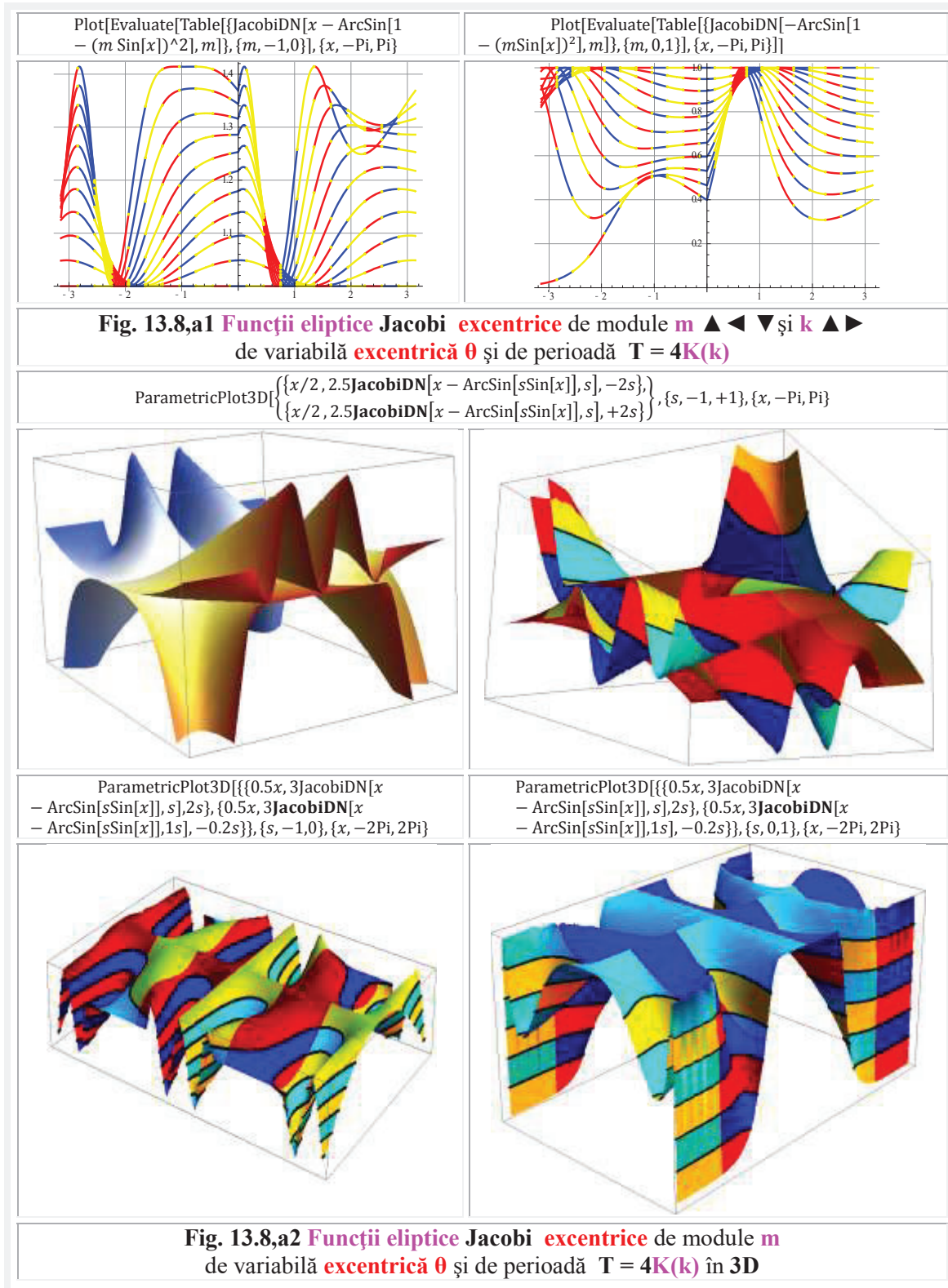
Funcțiile de modul k există doar pentru modulul $k > 0$, iar pentru $k = 0 \rightarrow dn(u, 0) = 1$, de aceea, în figura 7,a n-au mai fost prezentate și separat graficele, precum în cazul modulului $m = k^2$, pentru $m < 0$ și $m > 0$.

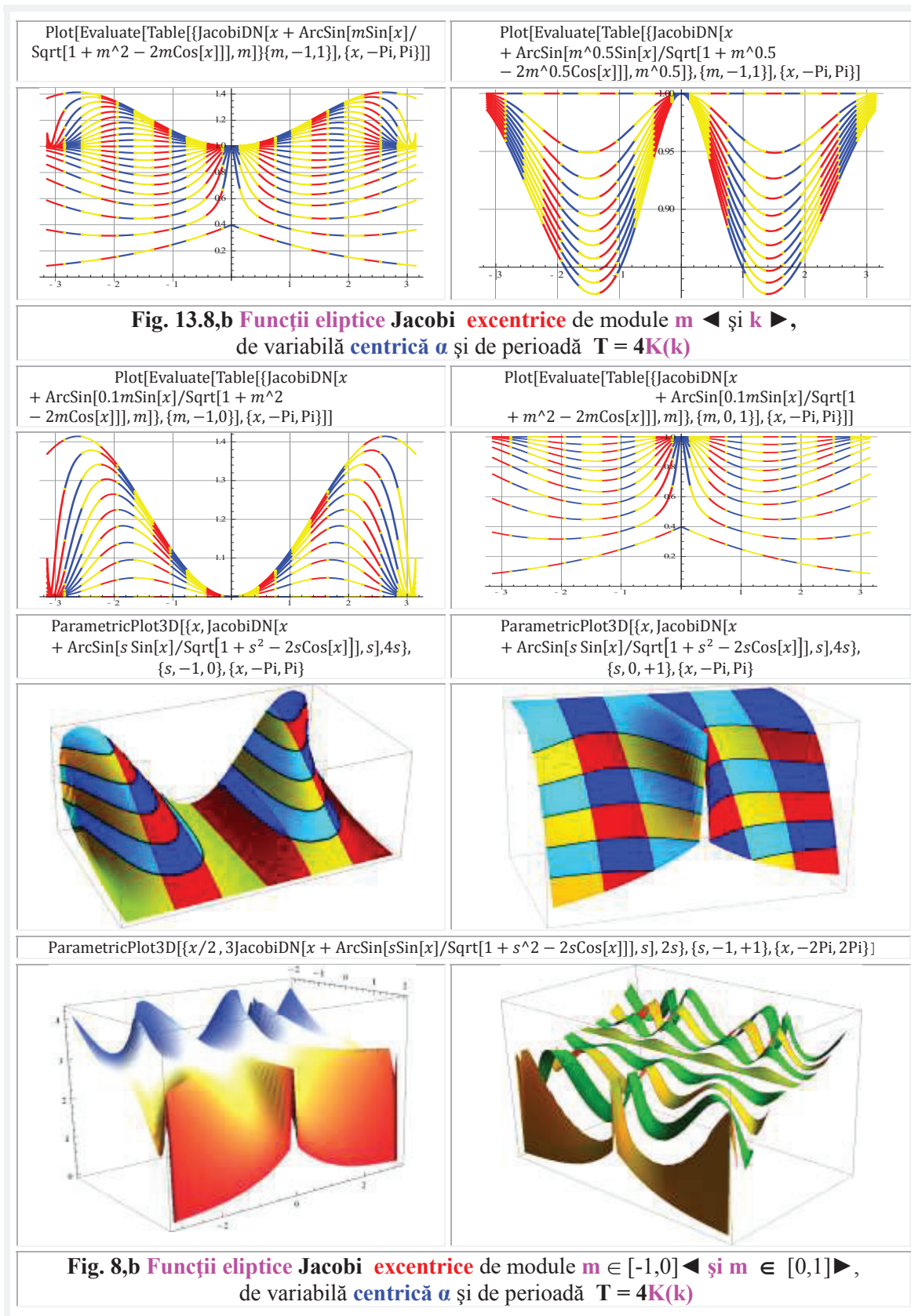
Prin înlocuirea variabilei $u \equiv x$ cu funcția supermatematică circulară excentrică (FSM-CE) amplitudine excentrică de variabilă θ , aex θ

$$(13.8) \quad u = aex\theta = \theta - \arcsin[s \cdot \sin(\theta - \epsilon)]$$

se obțin funcțiile eliptice SM excentrice de variabilă θ , prezentate în figura 13.8,a, iar prin funcția amplitudine excentrică de variabilă centrică α , Aex α







$$(13.9) \quad u = A\epsilon\alpha = \alpha + \arcsin \frac{s \cdot \sin(\alpha - \epsilon)}{\sqrt{1 + s^2 - 2s \cos(\alpha - \epsilon)}}$$

rezultă funcţiile eliptice **SM excentrice** de variabilă **centrică**, prezentate în **figura 13.8,b**.

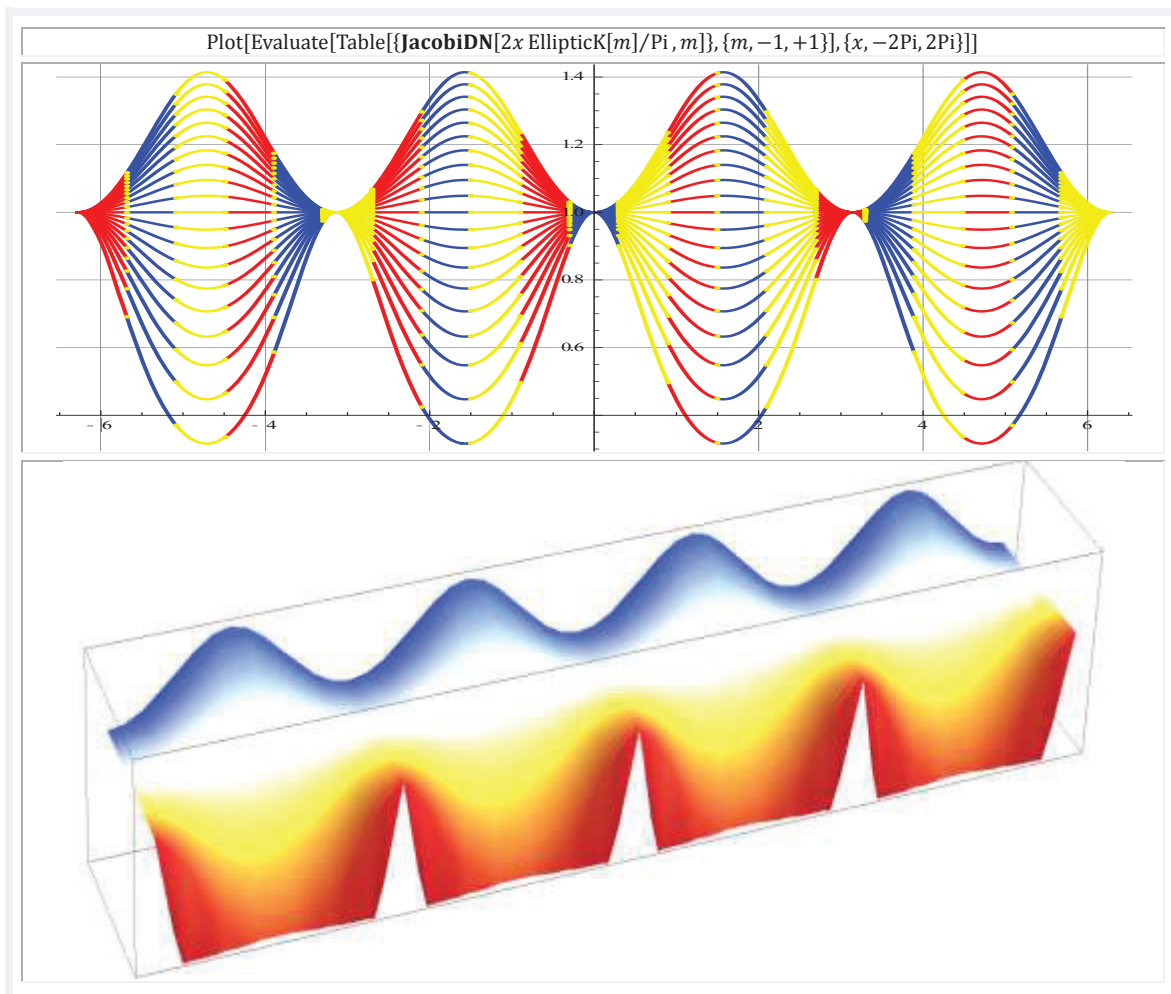
De precizat că aproximarea acestei **funcţii eliptice Jacobi** în momentul de faţă încă n-a reuşit cu suficientă precizie.

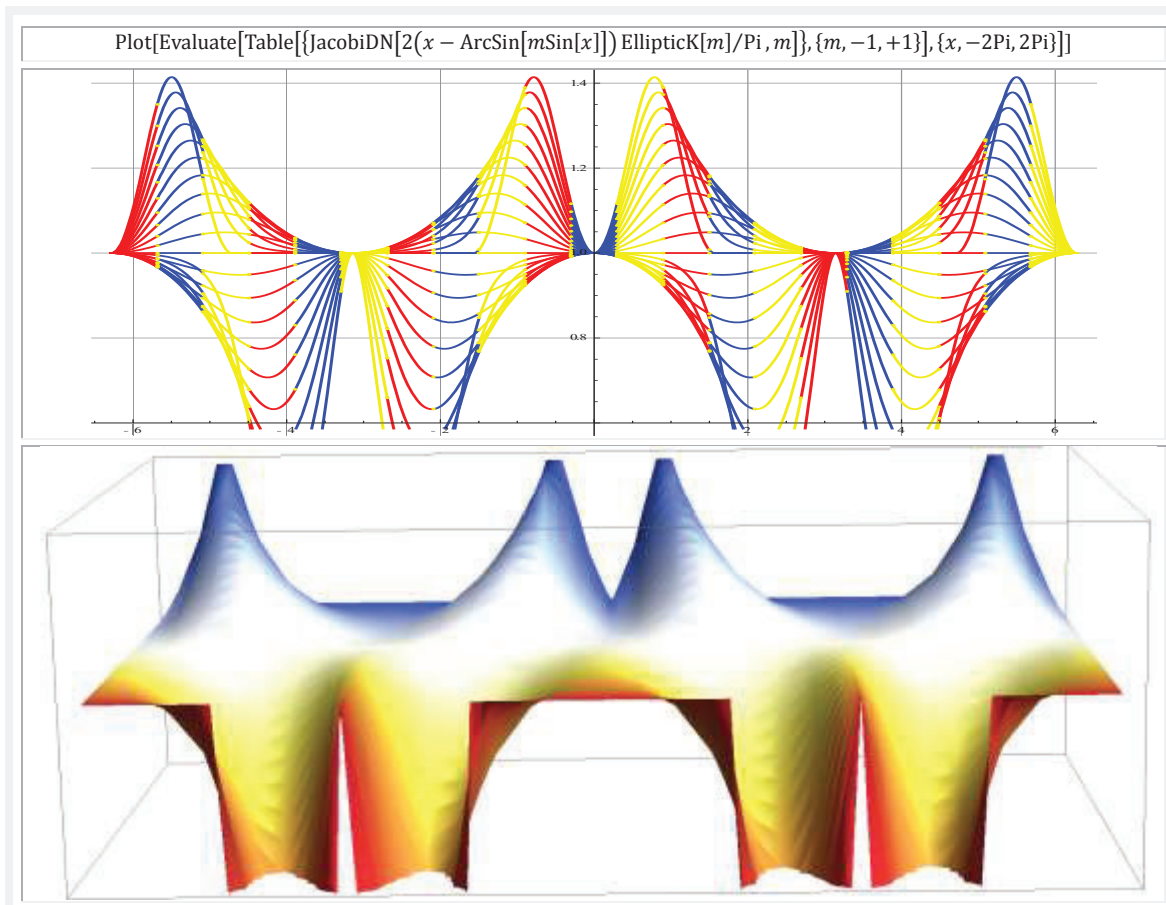
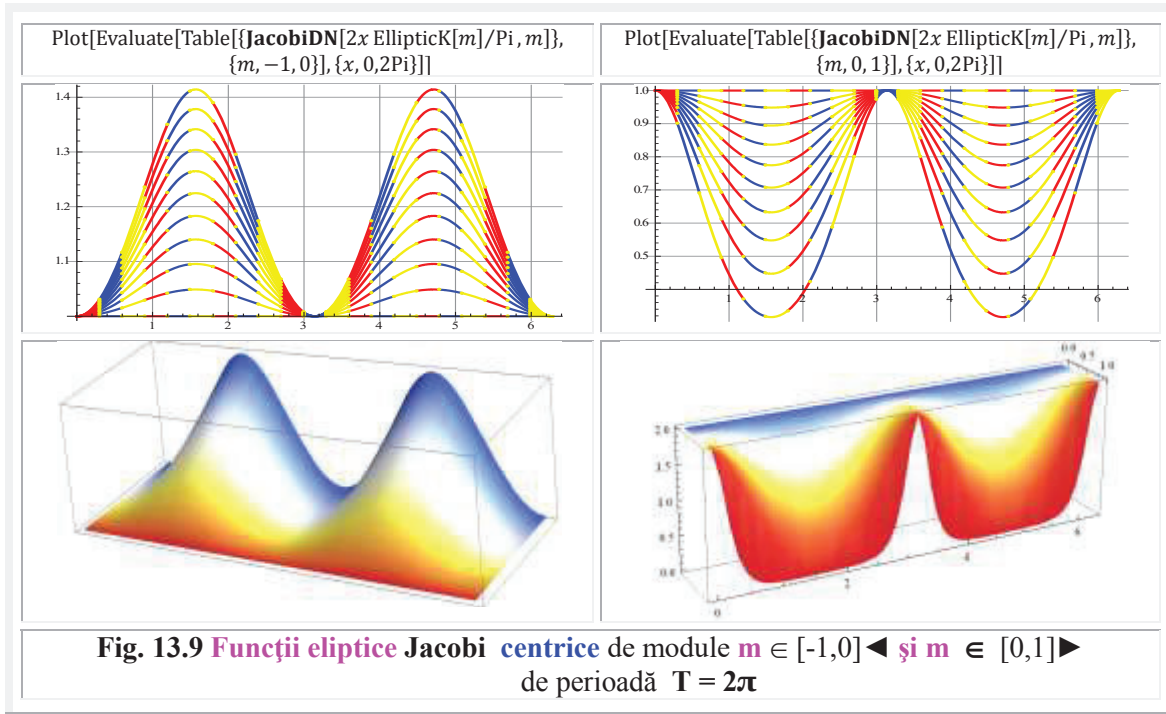
13.6 FUNCŢII ELIPTICE JACOBI dn(u, k) ŞI dn(u, m= k²) DE PERIOADĂ T = 2π CENTRICE ŞI SUPERMATEMATICE EXCENTRICE DE VARIABILE EXCENTRICĂ θ ŞI CENTRICĂ α

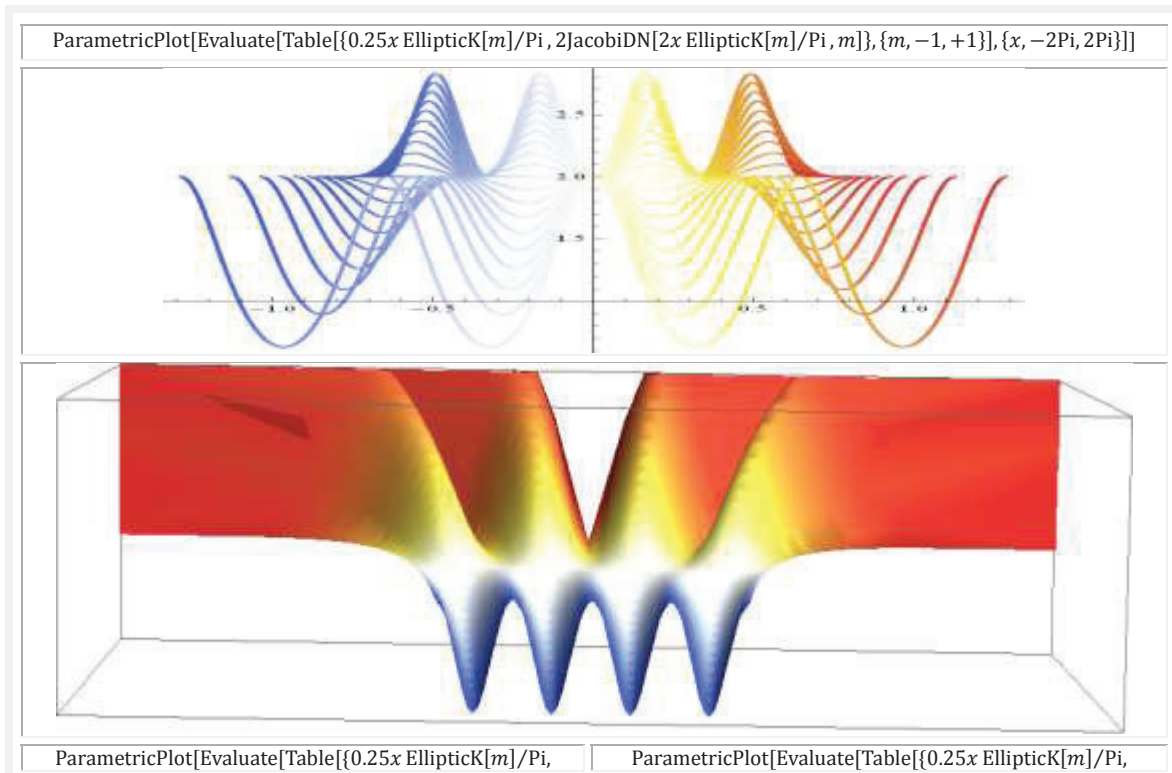
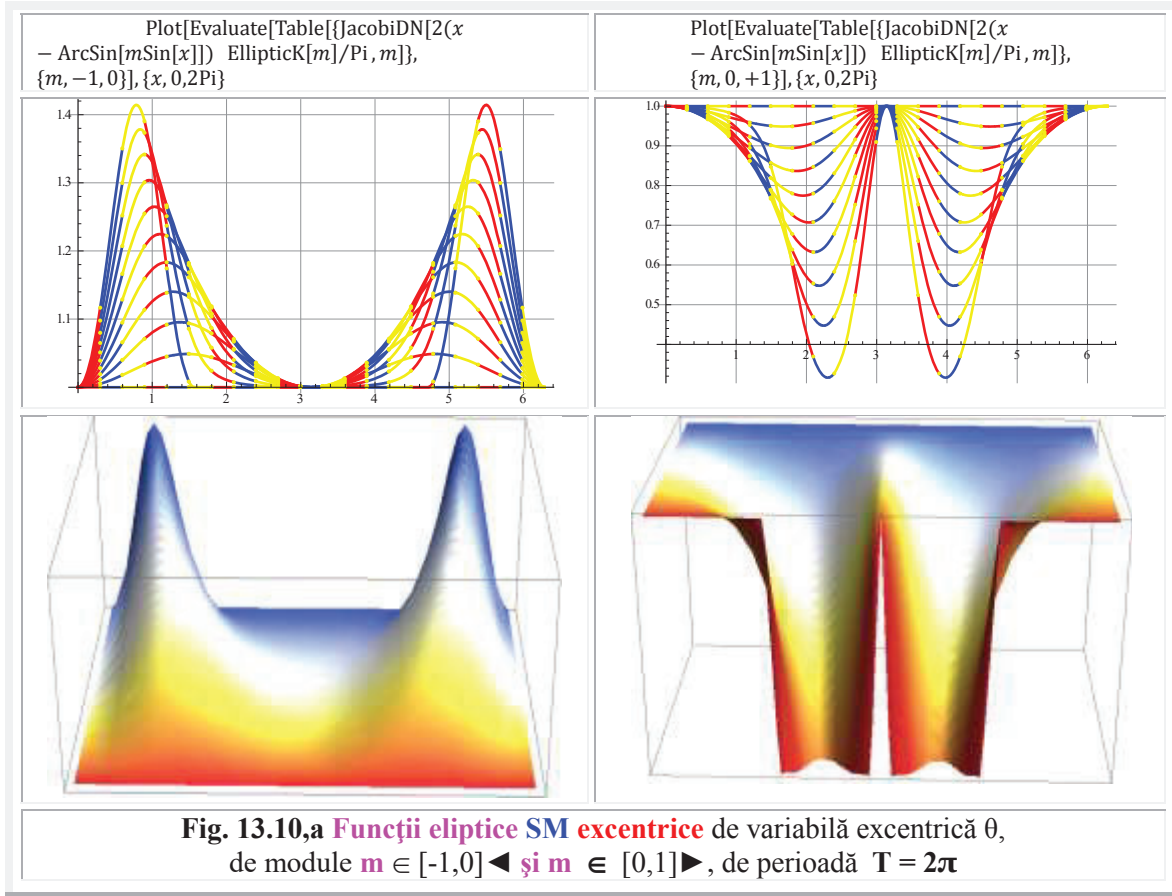
Funcţiile eliptice Jacobi centrice cât şi cele excentrice se obţin din cele de perioadă 4K(k) prin multiplicarea argumentului / variabilei **u**, respectiv, **θ** şi **α** cu 2K(k) / π, adică sunt de argument $\frac{2K(k)}{\pi} u$ şi, respectiv, $\frac{2K(k)}{\pi} \theta$ şi $\frac{2K(k)}{\pi} \alpha$.

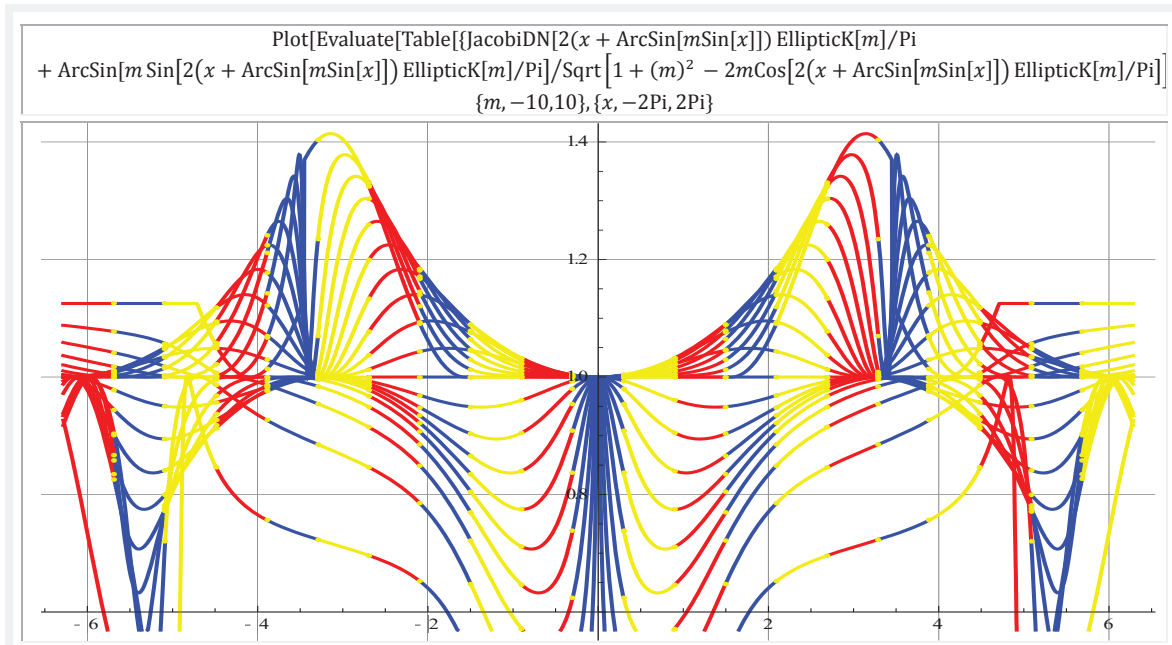
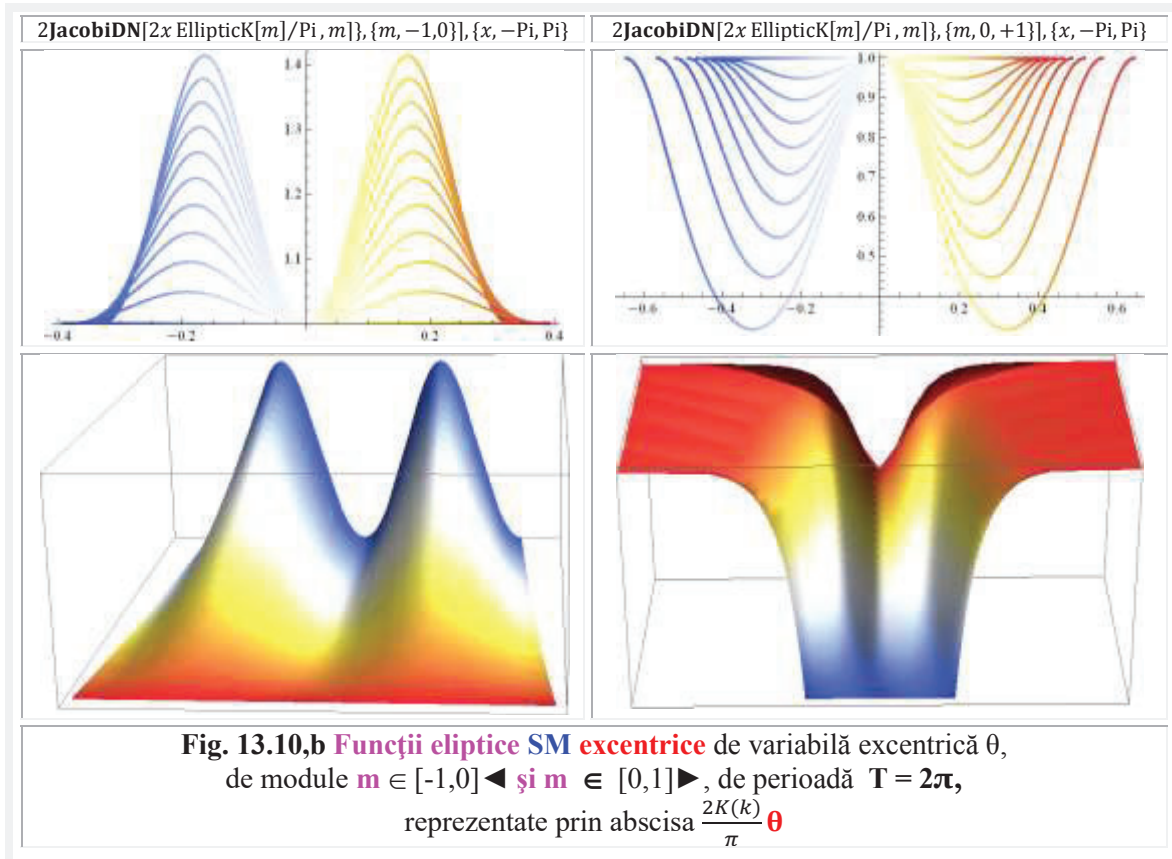
Graficele **funcţiilor eliptice Jacobi centrice** de perioada 2π sunt redată în **figura 13.9** în 2D şi în 3D

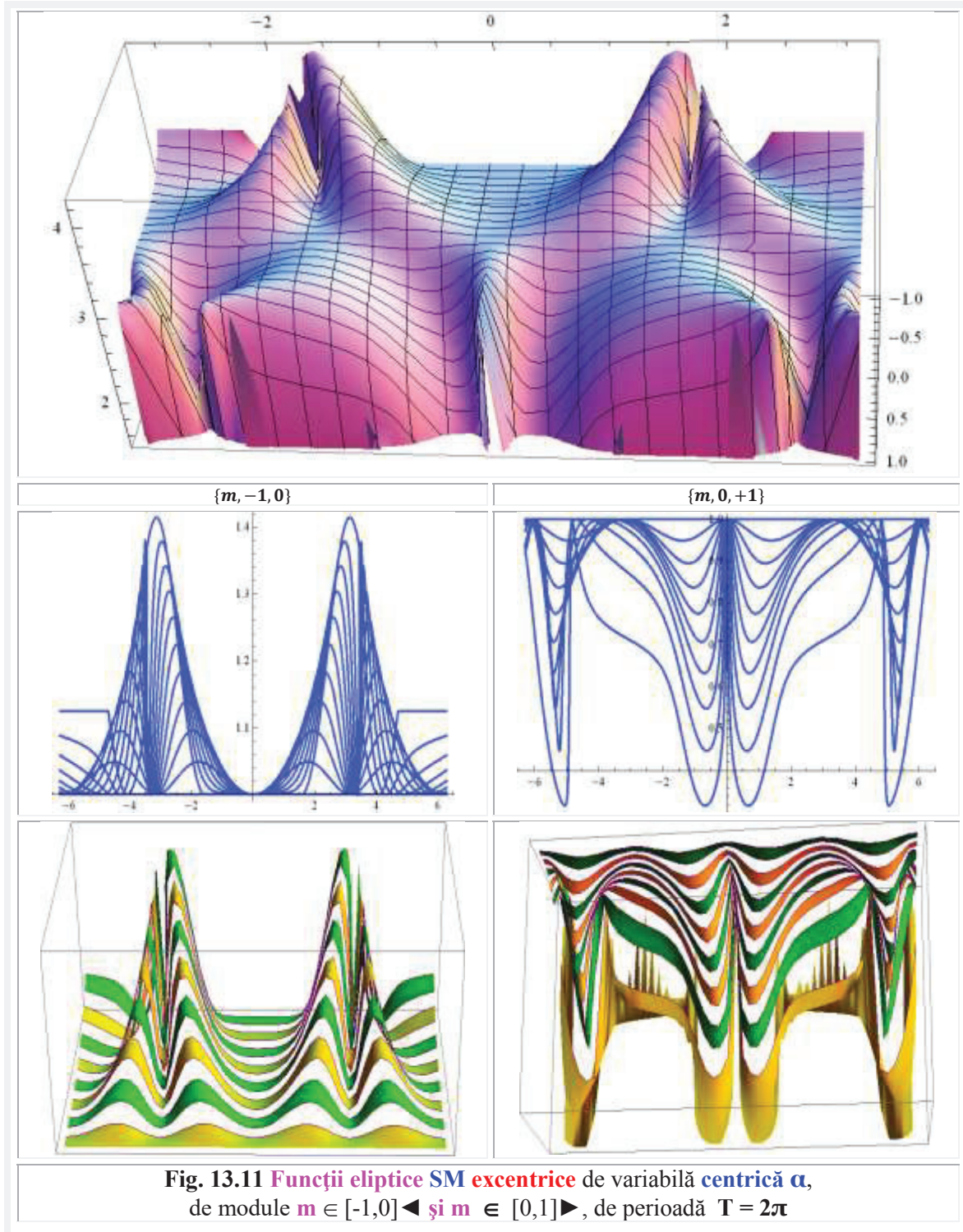
Graficele **funcţiilor eliptice SM** excentrice de **variabilă excentrică θ**, ca funcţii de $u \equiv \theta$, sunt redată în **figura 13.10,a**, iar ca funcţii de $\frac{2K(k)}{\pi} \theta$ în **figura 13.10,b**.



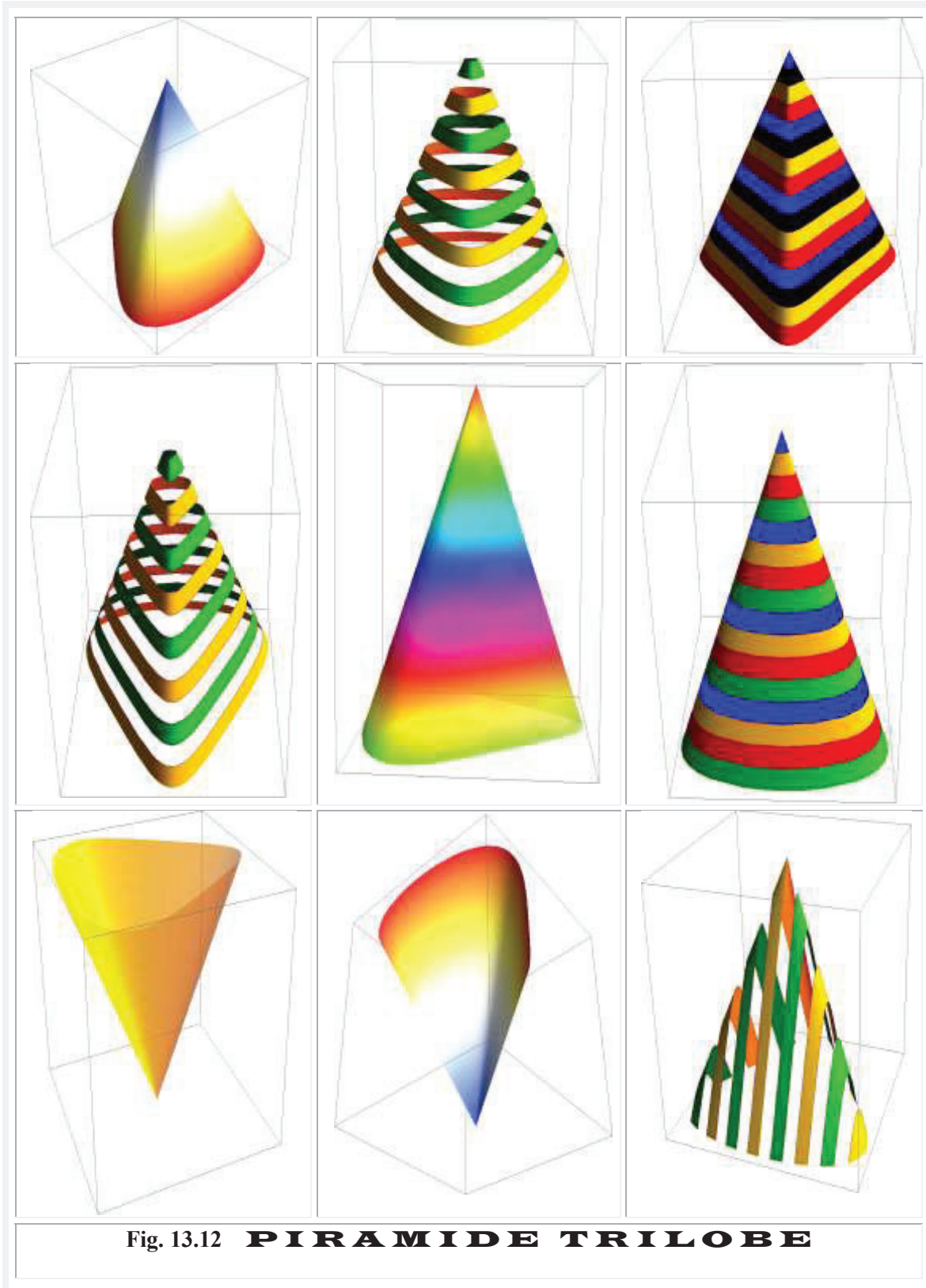








Graficele funcțiilor eliptice SM excentrice de variabilă centrică α sunt redată în figura 13.11.



Motto: ” E necesar să fii cinstit și bun măcar pentru a-ți aduce prinosul de recunoștință, celor ce cred în aceste idealuri, le-au făcut rare și le-au așezat printre bestii ca o unică justificare a vieții ”

Ilustrul Necunoscut

Capitolul 14

POSTFAȚĂ

Din anul 1970 și până în anul 2015 sunt exact 45 de ani. Aceasta-i vârsta supermatematicii. 45 de ani ... e mult ? E puțin ? E extrem de puțin !

Matematica ordinară, sau matematica centrică, are o vârstă matusalemică, de mii de ani: “La steaua care-a răsărit (aici ne referim la steaua matematicii) e-o cale atât de lungă, că mii de ani i-au trebuit luminii să ne-ajungă“. Să ne-ajungă, să ne lumineze, să ștergă petele albe de pe harta matematicii, să mărească nedefinit insulele de cunoaștere din oceanul ignoranței, să multiplice la infinit toate entitățile matematice, să ștergă granițele dintre liniar și neliniar, dintre cerc și pătrat, dintre sferă și cub, dintre elipsă și dreptunghi, dintre cerc și triunghi, dintre dorințe și posibilități...



Fig.14.1 Primele expuneri asupra « **Funcțiilor circulare excentrice** » la Clubul Studențesc al Caminului 1 MV

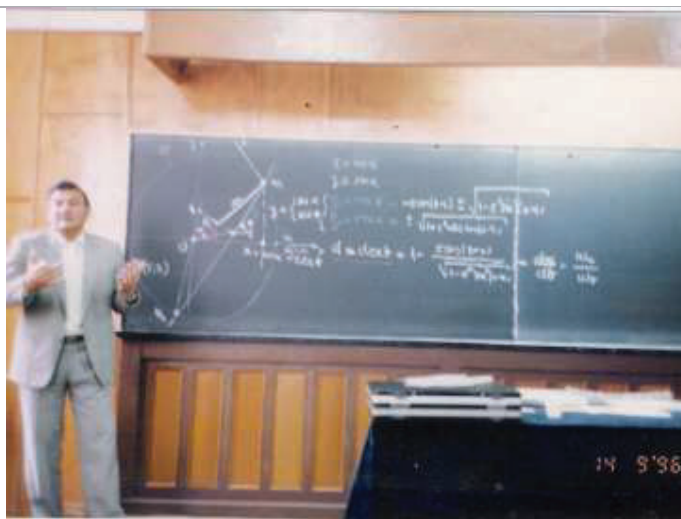


Fig.14.2 Primele expuneri despre « **Funcțiilor supermatematice** » în Amfiteatrul A1 « Traian Vuia » al Facultății de Mecanică din Timișoara.

Dar, chiar asta face **supermatematica** și va veni o zi când se vor șterge granițele dintre **matematică** și **supermatematică**. Granițe care, de fapt, există doar în închipuirea noastră, ca să discernem ce-i nou de ce-i

POSTFAȚĂ

vechi, ce-i deja cunoscut de mii de ani, de ce-i necunoscut de mii de ani, dar va fi cunoscut, grație acestei lucrări.

Acesteia și a multor altora care vor urma. De același autor, dar, mai bine, de alți autori, noi, de matematicieni versați, de matematicieni de « **mâna întâia** » și nu de « mâna a doua », ca în cazul de față, a unui inginer.

Patruzeci și cinci de ani sunt puțini, foarte puțini pentru matematică, dar mulți, foarte mulți, extrem de mulți pentru autorul supermatematicii.

La 45 de ani a descoperit noile funcții și de-abia la 70 de ani le-a publicat în prima sa carte despre ele: “**SUPERMATEMATICA.FUNDAMENTE**” Editura Politehnica, Timișoara, 2007 și “**Tehno Art of Șelariu Supermathematics Functions**”, Editura ARP (American Research Press), 2007.

De ce le-a descoperit chiar el ?

Pentru că, din **pură întâmplare**, el avea stringentă nevoie de alte funcții, destul de asemănătoare cu cele cunoscute, dar, totuși, ușor diferite de acestea. A căutat, a întrebat, și-a făcut prieteni dintre matematicieni, poate doar- doar careva să știe câte ceva de existența unor funcții de acest gen: un fel de sinus dar cu maximele deplasate. Acuma știm: este **sexθ** !

Constatând cu stupeoare că astfel de funcții nu există, nu se găsesc în literatura matematică, a trecut la pasul al doilea: **le-a inventat**. Că de aia-i inginer, să se descurce: să inventeze !

Le-a inventat ca să le aplice. Și a fost întrebat: Și la ce folosesc ?

A constatat că noile funcții excentrice, ca și cele eliptice și ca multe alte funcții speciale, nu necesită tabelarea lor, fiindcă se exprimă în funcție de cele centrice, care sunt tabelate. Și a fost apostrofat: Atunci ce rost mai au ?

Nu s-a descurajat. A continuat să le studieze, să le diversifice, să le extindă, să le găsească aplicații din ce în ce mai importante, în matematică, în tehnică, în arta grafică. Cu mult entuziasm, cu mult efort, cu dragoste față de ele, față de nou. Și a așteptat și a “săpat” și iarăși a așteptat și a trudit și a scris pe biroul lui “ing. Șelariu Mircea - trudit” și a sperat și a sperat și n-a mai sperat și a trudit...vorba unui poet interzis, de aceea nu-i pronunț numele

“Cine a încercat iubirea și nu s-a încredințat,
Că-i mai presus icoana ca lucru’ adevărat,
Că prima sărutare e cu muuuuult mai dulce,
Când n-o înfăptuiește gura, ci arde doar în gând.
Las’ să iubescă alții cu graba nerăbdării,
Eu vreau întârzierea, farmecul visării...”

De aceea s-a ajuns la o întârziere de 40 de ani și o visare, care are, și ea, farmecul ei. Speranța moare ultima !

Studentii sunt cei care au sesizat prompt utilitatea și importanța noilor componente de matematică și au solicitat expuneri pe această temă. Ca și **Fundația Astra Română** din Timișoara, care a introdus un “Curs de Supermatematică”, în ideea de a încasa niște fonduri pentru susținerea diasporei românești din împrejurimile României.

Primele expuneri au avut loc în căminele studentesti, din Complexul Studentesc și la Clubul Studentesc al Facultății de Mecanică (**Fig.14.1**), de la parterul Căminului Studentesc 1MV, apoi de la Casa Studenților din Timișoara. Amatori puțini, foarte puțini, dar entuziaști. Cu atâtea ședințe, pe atunci, nici nu-i de mirare că una în plus, fie ea și de supermatematică, care nu era obligatorie..

Apoi, au fost solicitate în cadrul Cursurilor Festive de încheiere a studiilor universitare (**Fig.14.2**). Prezența studenților absolvenți din anul V **TCM (Tehnologia Construcțiilor de Mașini): 100 %**. Zece ani consecutivi, schimbând uneori subiectul (**Fig.14.3**, v. **Cap.7**) să nu devin plictisitor, până când le-am spus studenților că mai sunt și alte cadre universitare care ar putea susține expuneri mult mai interesante, și nu m-am înșelat ! Astfel, rectorul Prof. Dr. Ing. **Ion Carțiș** le-a vorbit studenților despre cârdășia dintre constructorii de drumuri / șosele și constructorii de autoturisme. Succes garantat.

În rezumat / esență: primii le execută prost și cu mari întârzieri, facilitând, astfel, vânzarea și repararea autoturismelor. Temă de mare actualitate, deoarece, se vede, că fenomenul se continuă cu brio și în zilele noastre !



Fig. 14.3 Lângă motor și antor vorbind despre
« Caliatea mișcării »
în amfiteatrul A1 ”Traian Vuia”



Fig. 14.4 Universitatea din Budapesta,
Departamentul de Tehnologie,
3 decembrie 1998



Fig.14.5 În amfiteatrul Nicolae Gheorghiu, aceeași
temă

La prima Conferință de “**Vibrații în Construcția de Mașini**”, în 1978, unde s-au prezentat, în premieră, noile componente de matematică, sub denumirea de “**Funcții circulare excentrice**”, Prof. Em. Dr. Doc. Ing. **Gh Silaș** le-a elogiât spunând, așa cum s-a mai spus, că acestea nu sunt numai “**niște funcții**” ci o nouă matematică, o **supermatematică**. Tot atunci, s-a prezentat și o aplicație a acestora, cu privire la determinarea exactă a frecvenței proprii a unui sistem neliniar (**Düffing**), a căror rezultate au fost privite cu rezerve și cu neîncredere.

POSTFAȚĂ

În Cap. 11. § 11.10.8, al prezentei lucrări, fost reluată această importantă temă și, prin demonstrarea grafică și analitică a viabilității expresiei pulsației proprii, sperăm să fi îndepărtat cu succes aceste suspiciuni și oricare altă îndoială.

La a V-a Conferință Națională de Vibrații în Construcția de Mașini” sau prezentat patru lucrări, în “l. engleză”, de aplicații ale **FSM-CE** [5], [6], [7] și [8].



Fig. 14.6 Universitatea « POLITEHNICA » din Timișoara, Facultatea de Mecanică, Catedra de Tehnologia Construcțiilor de Mașini, Laboratorul de Dispozitive:
Primul robot (didactic) românesc și autorul lui

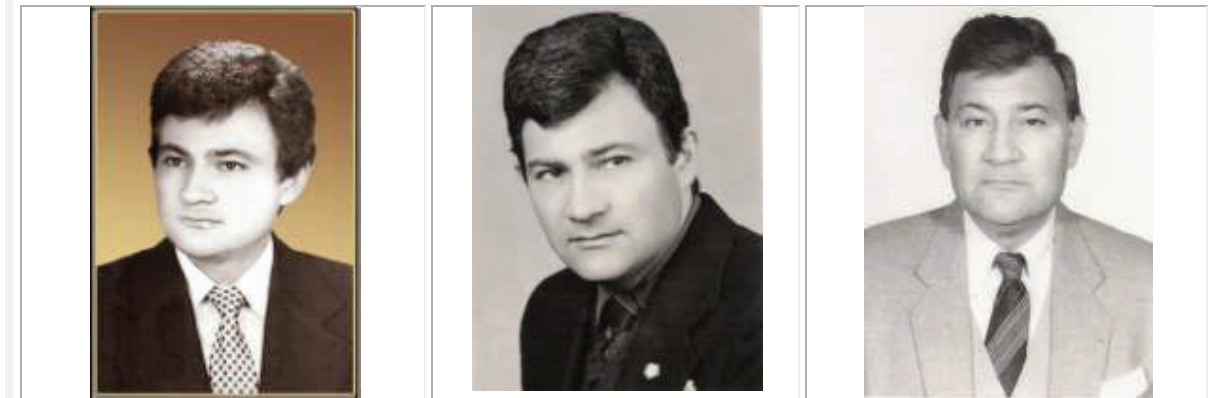


Fig. 14.7 Transformări, în funcție de timp (la 40, 50 și 60 de ani) și nu numai, ale autorului

Traducerile, contra cost, au fost realizate de o traducătoare autorizată de la un mare Institut Național de Cercetare.... Nu spunem care.

Un profesor american, sosit la facultatea noastră pentru o perioadă mai îndelungată, a făcut o vizită și în laboratorul nostru de **Proiectarea Dispozitivelor, Mecatronică, Manipulatoare și Roboți Industriali** (Fig. 14.6). În care, i s-au prezentat **primul robot (didactic) românesc**, care apuca obiecte cilindrice dintr-un

acumulator și le livra într-un post de lucru; **primul robot românesc complet pneumatic, Voinicel II**, frate cu **Voinicel I**, care a deservit o presă cu fricțiune la **Intreprinderea Ambalajul Metalic** din Timișoara și care a fost primul robot românesc care și-a pierdut brațul / mâna într-un accident de producție: presa anclanșând defectuos.

A admirat, în laborator și poza (**Fig.14.8** și **Fig.14.9**), la o scară mare, așa cum merita realizarea unică a primului robot industrial românesc, **REMT-1**, **laureat al Premiului “Traian Vuia” al Academiei României** pe anul 1981, botezat astfel de autorul prezentei lucrări, care, în calitate de conducător de proiect, alături de Prof. dr. ing. **Nicolae Gheorghiu**, a întocmit desenul de ansamblu al robotului, desen care trebuia să poarte un titlu, o denumire.

Care să fie agreeată / plăcută, în primul rând, beneficiarului..

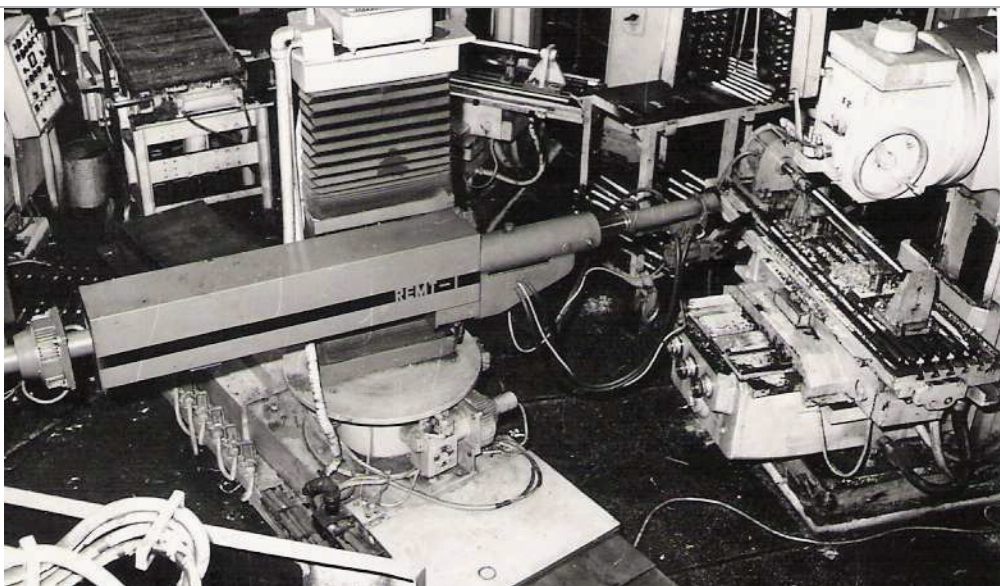


Fig. 14.8 Prima celulă de fabricație automatizată, deservită de primul robot industrial românesc REMT-1, pentru care toți autorii lui au fost distinși cu premiul « Traian Vuia » al Academiei României pe anul 1981

De aceea, l-a botezat **REMT** care însemna, pe de o parte, **Robot ElectroMotor Timișoara**, iar pe de altă parte **REMT** însemna și **Robot Economist Marin Tănase**, care era directorul general al acestei prestigioase, pe atunci, fabrici de motoare electrice, exportatoare în multe țări, fabrică, acum, în paragină.

Interesat și de eceste funcții noi, i-au fost oferite / date aceste patru lucrări, singurele, pe atunci, “traduse” în “limba engleză” sau foarte (?) apropiată de aceasta.

N-a spus că a rămas surprins cât de mult se aseamănă limba română de limba engleză, ci a spus ca el nu poate să înțeleagă nimic din text !

Să fie oare limba americană atât de diferită de limba engleză ? Sau am plătit de pomană traduceri ? M-am lecuit ! De atunci nu mai plătesc traduceri !

POSTFAȚĂ

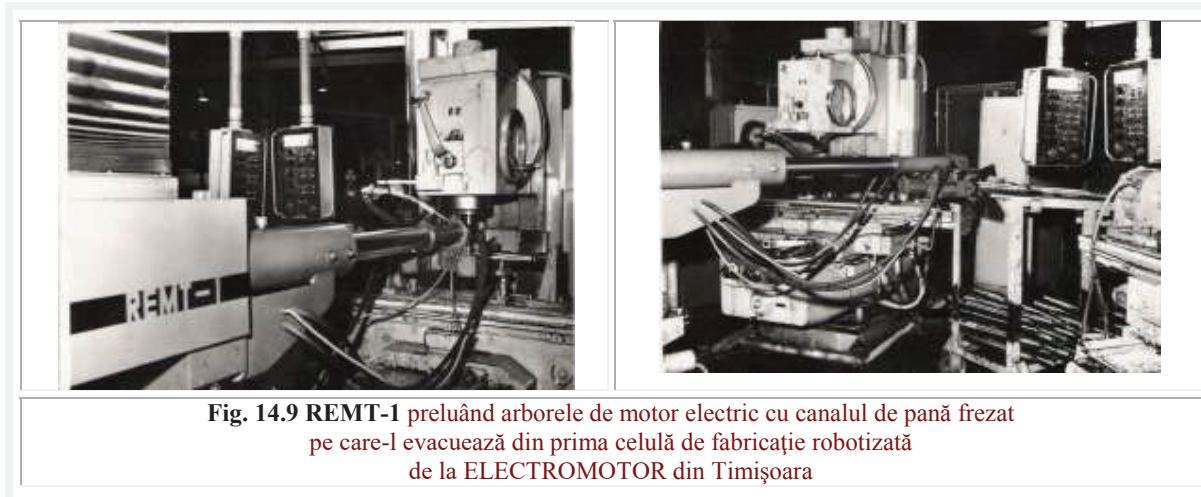


Fig. 14.9 REMT-1 preluând arborele de motor electric cu canalul de pană frezat pe care-l evacuează din prima celulă de fabricație robotizată de la ELECTROMOTOR din Timișoara

La a VII-a Conferința Națională de Vibrații în Construcția de Mașini s-au prezentat, în l. română, lucrarea [9] “FUNCTIILE SUPERMATEMATICE cex și sex- SOLUȚIILE UNOR SISTEME MECANICE NELINIARE, iar la a VIII-a Conferință Națională de Vibrații în Construcția de Mașini, lucrarea [14] ” DETERMINAREA ORICÂT DE EXACTĂ A RELAȚIEI DE CALCUL A INTEGRALEI ELIPTICE COMPLETE DE SPEȚA ÎNTÂIA $K(k)$ “. Și totuși, la a 11- a Conferință Internațională de Vibrații, Timișoara, Sept. 27 s-a prezentat, în limba engleză, lucrarea [19] “**QUADRILOBIC VIBRATION SYSTEMS**”, tradusă de matematicieni.

La toate aceste conferințe, lucrările s-au bucurat de un viu interes, dar la a V-a, din 1985, la care lucrările au fost conduse de Prof. dr. doc. **Dumitru Mangeron**, succesul a fost cu totul deosebit, chiar dacă din lucrările publicate în limba engleză nu se înțelegea mare lucru, susținerea s-a făcut în dulcea limbă a lui **Eminescu**.

Entuziasmat de noile complemente de matematică, reunite sub denumirea de **supermatematică**, **Mangeron** l-a întrebat pe **Silaș** sosit în control la Secțiunea I-a, ”Măi, tu știi ce-a făcut **copilul** ăsta ? Trebuie ajutat să publice imediat lucrările lui “. **Copilul eram eu**, autorul. Silaș era roșu la față ca focul, pentru că numai el știa cum a făcut rost de hartie, cu intervenții la fabrica de hartie de la Pallas-Constanța ca să publice lucrările și să nu se amâne sau să se anuleze Conferința. Era, pe atunci, criză nu mare, ci extrem de mare de hârtie: lucrările de doctorat trebuia să fie scrise pe ambele fețe, în cel mult 120 de pagini ! Nu-i basm, e adevărat ! O spune Stan Pațitu care a aflat de hotărâre când ajunsese la a 250 pagina !

Pe tratatul lui, în 3 volume “**MECANICA RIGIDELOR CU APLICAȚII ÎN INGINERIE**, Ed Tehnică 1978, **Dumitru Mangeron** mi-a dat următoarele autografe:

Vol I:” Scumpului coleg Mircea Șelariu cu urări de succese în continuare” Mangeron, 6 XII 1985. Pe atunci, încă nu s-a auzit de “succesuri” !

Vol II: “ Talentatului coleg Șelariu cu rugămintea să publice volumul de curbe noi descoperite de dansul “ Și le-a publicat. După ...22 de ani !

Vol III: “ Talentatului coleg Mircea Șelariu cu urări de succes în toate ”.

Vineeeeeeeee...

Și a venit ziua în care o delegație a Universității din Budapesta, în frunte cu Directorul Departamentului Tehnologic Prof. Dr. Ing. **Horvath**, a vizitat Catedra de TCM și inclusiv **Disciplina de Dispozitive, Mecatronica și Roboți**, disciplină astăzi desființată precum și **Catedra de TCM**, unde i s-au prezentat mai multe desene executate cu **FSM-CE**, printre care și un vas de amestec, despre care s-a amintit și în cuprinsul lucrării.

Profesorului nu-i venea să creadă că unul dintre desene a fost realizat cu o singură funcție simplă în ecuații parametriche (e vorba de transformarea continuă a unui cerc de rază $2R$ în două cercuri tangente comune de raze R cu ajutorul **FSM-CE** radial excentric), pentru că lui i-au trebuit câteva zile să proiecteze, asistat de calculator, un astfel de vas de amestec pentru o instalație hidrolică.

“*Nu vii și la noi să ne înveți ?*” am fost întrebat. Și în 30 noiembrie am fost primiți cu gulaș, în 1 decembrie cu sarmale, în 2 decembrie am vizitat Universitatea și în 3 decembrie s-a ținut expunerea din domeniul supermatematicii “Aplicații tehnice ale funcției circulare excentrice” la Departamentul de Tehnologie (Fig. 14.4), la care au fost invitate și cadrele didactice de la **Departamentul de Matematică al Universității din Budapesta**.

Cu această ocazie au fost antamate două colaborări științifice, derulate pe doi ani universitari, și s-a oferit spațiu redacțional pentru unele articole din domeniul super-matematicii, într-o revistă maghiară de mare prestigiu.

Cele două teme au fost:

- 1) “**Description of Industrial Robots Trajectory Defined by Characteristic Points, Using Supermatematics Functions**” și
- 2) “**Gripping Devices for Industrial Robots, Optimisation of their Construction Using Moments Separation Method**”.

La data la care au fost stabilite, ele erau deja rezolvate și expediate în scurt timp partenerului. Au fost expediate printr-un delegat și nu știm sigur dacă au fost (bine) primite, pentru că n-am primit confirmarea primirii lor și nici alte semnale...

Erticolele n-au putut fi onorate deoarece ele trebuiau să fie scrise în limba engleză, iar ce-i pe care-i știam eu că știu bine engleza, erau ocupați, extrem de ocupați, iar alții... sau altele.... și ca istoria să nu se mai repete ... Eu nici atât !

Un absolvent de prestigiu al Universității de Vest din Timișoara, Facultatea de Fizică, coleg de birou la Institutul Național de Cercetare Dezvoltare pentru Electrochimie și Materie Condensată din Timișoara, olimpic la Fizică în tinerețe, regretatul Dip. Univ. Fiz. **Marian Nițu**, s-a dovedit “olimpic” și în traducerea lucrărilor în limba engleză, vorbită, de această dată, chiar de **William Shakespeare**. Grație lui și a supervizării traducerilor de reputatul om de știință american de origine română, fizician, matematician și scriitor, Prof. Dr. **Florentin Smarandache**, seful Departamentului de Matematică de la Universitatea New Mexico (SUA), propus de “**Academia DacoRomână**” din București pentru a candida la Premiul Nobel pentru literatură pe anul 2011, pentru cele 75 de lucrări literare, scrise în 3 limbi (română, engleză, franceză) și traduse în mult mai multe, au fost scrise și publicate lucrările [20], [21] și [38], în limba engleză.

Editată cu sprijinul **Autorității Naționale pentru Cercetare Științifică**, sprijin în valoare de **700 Ron** și sponsorizată, prin bunăvoința Dr. Fiz. **Ion Grozescu**, directorul INCDMC, cu **2.500 Ron**, a văzut lumina tiparului lucrarea “**SUPERMATEMATICA. FUNDAMENTE**”, într-un singur volum, de 268 pagini **editate color**, grație Prof. Dr. Ing. **Sabin Ionel**, directorul **Editurii POLITEHNICA** din Timișoara, cărora le mulțumesc, pe această cale și le rămân îndatorat.. pe veci.

La vârsta de 75 de ani, “veciul” e foarte aproape, deci durata îndatorării nu-i chiar atât de ... mare / îndelungată.

Cele câteva exemplare (100) editate s-au epuizat instantaneu, astfel că foarte multe solicitări din partea prietenilor și a cunoștințelor, a foștilor studenți și a altora, mai puțin din partea matematicienilor și cu excepția familiei, n-au putut fi onorate.

Ele n-au putut fi anorate nici în **a 2-a ediție** a aceleiași edituri, prin tirajul de numai 30 de exemplare, în două volume, cu un total de cca. 1.000 de pagini, **realizate color** și editate în **alb – negru**, pentru reducerea

POSTFAȚĂ

costurilor de autosponsorizare, exemplare suficiente, însă, pentru expedierea lor la cei 4 recenzori și la **AGIR** cu propunerea de premiere. Și, în 2013, a fost premiată cu “**DIPLOMA AGIR**” în domeniul “**Tehnologia Informației - IT**” pentru anul 2012.

Toată speranța de-a disemina aceste minunate complemente de matematică, reunite sub denumirea de “**SUPERMATEMATICA**”, **LUCRARE UNICĂ** în literatura mondială, pe care matematicienii universitari de prestigiu din USA au denumit-o “**matematica mileniului III**” ne-o punem în **Editura Matrix Rom**, în care, prin bunăvoința matematicianului de prestigiu **Ilie Jancu** apare ce-a de a 3-a ediție a acestei lucrări. Fiind și un manager de excepție, v-a știi să promoveze această lucrare. Matematicienii la metematică trag !

Sperăm să se ajungă la un tiraj suficient de mare pentru a onora cererile, acum, cu ocazia celei de a treia ediții, revizuite, îmbogățite și îmbunătățite a **Suprermatematicii**. Și cu tirajul mai stufos, să ajungă cel puțin o carte la 10 librării...De biblioteci nu mai vorbim, pentru că majoritatea s-au desființat, ca și casele de cultură, cinematografele, teatrele ș.a, care s-au transformat în birturi, restaurante, cazinouri, case de amanet și alte case..

În asemenea circumstanțe, nu știi dacă e bine, sau, dimpotrivă, să te lauzi cu un certificat de apreciere emis de o universitate de prestigiu din SUA pentru contribuții aduse la dezvoltarea matematicii. Sau că în serverul de la **CERN (CERN Document Server)** figurează articole despre **supermatematică**.

Încercăm, și-om mai vedea !

Bănuim că cititorul a studiat cuprinsul acestei cărți, și-a făcut o idee despre ce-i **supermatematica**, idee care, astfel, nu-i preconcepută, e o idee deja formată despre importanța ei și le rămânem recunoscători dacă ne-o împărtășesc și nouă. Și veșnic îndatorați. Iar dacă vor să trudească și ei la consolidarea edificiului **supermatematicii**, le stăm cu cea mai mare plăcere la dispoziție cu informații suplimentare și explicații.

Tuturor, le dorim lectură plăcută și instructivă și la volumul al II-lea !



Autorul

www.supermatematica.ro
www.supermathematica.com
www.supermathematica.org;
www.supermatematicaonline.blogspot.ro

BIBLIOGRAFIE

BIBLIOGRAFIE

DIN DOMENIUL SUPERMATEMATICII

- 1 Șelariu Mircea Eugen **FUNCTII CIRCULARE EXCENTRICE** Com. I Conferință Națională de Vibrații în Construcția de Mașini, Timișoara , 1978, pag.101...108.
- 2 Șelariu Mircea Eugen **FUNCTII CIRCULARE EXCENTRICE și EXTENSIA LOR.** Bul .St.și Tehn. al I.P. ”TV” Timișoara, Seria Mecanică, Tomul 25(39), Fasc. 1-1980, pag. 189...196
- 3 Șelariu Mircea Eugen **STUDIUL VIBRAȚIILOR LIBERE ale UNUI SISTEM NELINIAR, CONSERVATIV cu AJUTORUL FUNCȚIILOR CIRCULARE EXCENTRICE** Com. I Conf. Naț. Vibr.în C.M. Timișoara,1978, pag. 95...100
- 4 Șelariu Mircea Eugen **APLICAȚII TEHNICE ale FUNCȚIILOR CIRCULARE EXCENTRICE** Com.a IV-a Conf. PUPR, Timișoara, 1981, Vol.1. pag. 142...150
- 5 Șelariu Mircea Eugen **THE DEFINITION of the ELLIPTIC ECCENTRIC with FIXED ECCENTER** A V-a Conf. Naț. de Vibr. în Constr. de Mașini,Timișoara, 1985, pag. 175...182
- 6 Șelariu Mircea Eugen **ELLIPTIC ECCENTRICS with MOBILE ECCENTER** IDEM pag. 183...188
- 7 Șelariu Mircea Eugen **CIRCULAR ECCENTRICS and HYPERBOLICS ECCENTRICS** Com. a V-a Conf. Naț. V. C. M. Timișoara, 1985, pag. 189...194.
- 8 Șelariu Mircea Eugen **ECCENTRIC LISSAJOUS FIGURES** IDEM, pag. 195...202
- 9 Șelariu Mircea Eugen **FUNȚIILE SUPERMATEMATICE CEX și SEX- SOLUȚIILE UNOR SISTEME MECANICE NELINIARE** Com. a VII-a Conf.Naț. V.C.M., Timișoara,1993, pag. 275...284.
- 10 Șelariu Mircea Eugen **SUPERMATEMATICA** Com.VII Conf. Internaț. de Ing. Manag. și Tehn.,TEHNO’95 Timișoara, 1995, Vol. 9: Matematica Aplicată,, pag.41...64

BIBLIOGRAFIE

- | | | | |
|----|-------------------------|---|---|
| 11 | Şelariu Mircea
Eugen | FORMA TRIGONOMETRICĂ a
SUMEI și a DIFERENȚEI
NUMERELOR COMPLEXE | Com.VII Conf. Internaț. de
Ing. Manag. și Tehn.,
TEHNO'95 Timișoara, 1995,
Vol. 9: Matematică Aplicată,
pag. 65...72 |
| 12 | Şelariu Mircea
Eugen | MIȘCAREA CIRCULARĂ
EXCENTRICĂ | Com.VII Conf. Internaț. de
Ing. Manag. și Tehn.
TEHNO'95., Timișoara, 1995
Vol.7: Mecatronică,
Dispozitive și Rob.Ind.,pag.
85...102 |
| 13 | Şelariu Mircea
Eugen | RIGIDITATEA DINAMICĂ
EXPRIMATĂ
CU FUNCȚII SUPERMATEMATICE | Com.VII Conf. Internaț. de
Ing. Manag. și Tehn.,
TEHNO'95 Timișoara, 1995
Vol.7: Mecatronică, Dispoz. și
Rob.Ind.,pag. 185...194 |
| 14 | Şelariu Mircea
Eugen | DETERMINAREA ORICÂT DE
EXACTĂ A RELAȚIEI DE CALCUL A
INTEGRALEI ELIPTICE
COMPLETE DE SPETA INTAIA K(k) | Bul. VIII-a Conf. de Vibr.
Mec., Timișoara,1996, Vol III,
pag.15 ... 24. |
| 15 | Şelariu Mircea
Eugen | FUNCȚII SUPERMATEMATICE
CIRCULARE EXCENTRICE DE
VARIABILĂ CENTRICĂ | TEHNO ' 98. A VIII-a
Conferința de Inginerie
Managerială și Tehnologică,
Timișoara 1998,
pag 531..548 |
| 16 | Şelariu Mircea
Eugen | FUNCȚII DE TRANZIȚIE
INFORMAȚIONALĂ | TEHNO ' 98. A VIII-a
Conferința de Inginerie
Managerială și Tehnologică,
Timișoara 1998,
pag 549... 556 |
| 17 | Şelariu Mircea
Eugen | FUNCȚIILE SUPERMATEMATICE
CIRCULARE EXCENTRICE DE
VARIABILĂ CENTRICĂ CA SOLUȚII
ALE UNOR SISTEME OSCILANTE
NELINIARE | TEHNO ' 98. A VIII-a
Conferința de Inginerie
Managerială și Tehnologică,
Timișoara 1998,
pag 557...572 |
| 18 | Şelariu Mircea
Eugen | INTRODUCEREA STRÂMBEI ÎN
MATEMATICĂ | Lucr. Simp. Național "Zilele
Universității Gh. Anghel" Ed. II-
a, Drobeta Turnu Severin, 16-17
mai 2003, pag. 171 ... 178 |
| 19 | Şelariu Mircea
Eugen | QUADRILOBIC VIBRATION
SYSTEMS | The 11 –th International
Conference on Vibration
Engineering, Timișoara, Sept.
27-30, 2005 pag. 77 ... 82 |
| 20 | Şelariu Mircea
Eugen | SMARANDACHE STEPPED
FUNCTIONS | Revista: "Scienta Magna"
Vol. 3, No. 1, 2007, ISSN |

BIBLIOGRAFIE

- | | | | |
|----|--|--|--|
| | | | 1556-6706 |
| 21 | Şelariu Mircea
Eugen | TEHNO ART OF ŞELARIU
SUPERMATHEMATICS FUNCTIONS | (ISBN-10):1-59973-037-5
(ISBN-13):974-1-59973-037-0
(EAN): 9781599730370 |
| 22 | Şelariu Mircea
Eugen | PROIECTAREA DISPOZI-TIVELOR DE
PRELUCRARE, Cap. 17 din
PROIECTAREA DISPOZITIVELOR | Editura Didactică și
Pedagogică, București, 1982,
pag. 474 ... 543 |
| 23 | Petrişor Emilia | ON THE DYNAMICS OF THE
DEFORMED STANDARD MAP | Workshop Dynamics
Days'94, Budapest, si Analele
Univ.din Timisoara,
Vol.XXXIII, Fasc.1-1995,
Seria Mat.-Inf.,pag. 91...105 |
| 24 | Petrişor Emilia | SISTEME DINAMICE HAOTICE | Seria Monografiilor matematice,
Tipografia Univ. de Vest din
Timișoara, 1992 |
| 25 | Petrişor Emilia | RECONNECTION SCENARIOS AND
THE THERESHOLD OF
RECONNECTION IN THE DYNAMICS
OF NONTWIST MAPS | Chaos, Solitons and Fractals,
14 (2002) 117...127 |
| 27 | Cioara Romeo | FORME CLASICE PENTRU FUNCȚII
CIRCULARE EXCENTRICE | Proceedings of the Scientific
Communications Meetings of
"Aurel Vlaicu" University,
Third Edition, Arad, 1996,
pg.61 ..65 |
| 28 | Preda Horea | REPREZENTAREA ASISTATĂ A
TRAIECTORILOR ÎN PLANUL
FAZELOR A VIBRAȚIILOR
NELINIARE | Com. VI-a Conf.Naț.Vibr. în
C.M. Timișoara, 1993 |
| 29 | Filipescu Avram | APLICAREA FUNCȚIILOR (ExPH)
EXCENTRICE PSEUDOHIPERBOLICE
ÎN TEHNICA | Com.VII-a Conf. Internat.de
Ing. Manag. Și Tehn.
TEHNO'95, Timișoara, Vol.
9. Matematica aplicată., pag.
181 ... 185 |
| 30 | Dragomir
Lucian
(Toronto
- Canada) | UTILIZAREA FUNCȚIILOR
SUPERMATEMATICE ÎN CAD / CAM :
SM-CAD / CAM. Nota I-a:
REPREZENTARE ÎN 2D | Com.VII-a Conf. Internaț.de
Ing. Manag. și Tehn.
TEHNO'95, Timișoara, Vol.
9. Matematică aplicată., pag.
83 ... 90 |
| 31 | Şelariu Şerban | UTILIZAREA FUNCȚIILOR
SUPERMATEMATICE ÎN CAD / CAM :
SM-CAD / CAM. Nota II –a:
REPREZENTARE ÎN 3D | Com.VII-a Conf. Internaț.de Ing.
Manag. și Tehn. TEHNO'95,
Timișoara, Vol. 9. Matematică
Aplicată., pag. 91 ... 96 |
| 32 | Staicu Florentiu | DISPOZITIVE UNIVERSALE de
PRELUCRARE a SUPRA-FEȚELOR
COMPLEXE de TIPUL
EXCENTRICELOR ELIPTICE | Com. Ses. Anuale de Com.Șt.
Oradea ,1994 |
| 33 | George LeMac | THE ECCENTRIC TRIGONOMETRIC
FUNCTIONS: AN EXTENTION OF
CLASSICAL TRIGONOMETRIC | The University of Western
Ontario, London, Ontario,
Canada Depertment of Applied |

BIBLIOGRAFIE

- | | | | |
|----|---|---|---|
| 34 | Şelariu Mircea
Ajiduah Cristoph
Bozântan Emil
(USA)
Filipescu Avram | FUNCTIONS.
INTEGRALELE UNOR FUNCȚII
SUPERMATEMATICE | Mathematics May 18, 2001
Com. VII Conf. Internaț. de
Ing. Manag. și Tehn.
TEHNO'95 Timișoara.
1995, Vol. IX: Matem. Aplic.
pag. 73...82 |
| 35 | Şelariu Mircea
Fritz Georg (G)
Meszaros A.(G) | ANALIZA CALITĂȚII MIȘCĂRILOR
PROGRAMATE cu FUNCȚII
SUPERMATEMATICE | IDEM, Vol. 7: Mecatronică,
Dispozitive și Rob. Ind.,
pag. 163...184 |
| 36 | Şelariu Mircea
Szekely Barna
(Ungaria) | ALTALANOS SIKMECHANIZMUSOK
FORDULATSZAMAINAK ATVITELI
FUGGVENYEI MAGASFOKU
MATEMATIKAVAL | Bul. Șt al Lucr.
Prem. IV, Universitatea din
Budapesta, nov. 1992 |
| 37 | Şelariu Mircea
Popovici Maria | A FELSOFOKU MATEMATIKA
ALKALMAZASAI | Bul. Șt al Lucr. Prem. IV,
Universitatea din Budapesta,
nov. 1994 |
| 38 | Smarandache
Florentin
Şelariu Mircea
Eugen | IMMEDIATE CALCULATION OF
SOME POISSON TYPE INTEGRALS
USING SUPERMATHMATICS
CIRCULAR EX-CENTRIC
FUNCTIONS | http://arxiv.org/abs/0706.4238
Archiv arXiv (United States)
viXra.org > Functions and
Analysis > viXra:1004.0053 |
| 39 | Konig Mariana
Şelariu Mircea | PROGRAMAREA MIȘCĂRII DE
CONTURARE A ROBOȚILOR
INDUSTRIALI cu AJUTORUL
FUNCȚIILOR TRIGONOMETRICE
CIRCULARE EXCENTRICE | MEROTEHNICA, Al V-lea
Simp. Naț. de Rob. Ind. cu Part
. Internaț. Bucuresti, 1985
pag. 419...425 |
| 40 | Konig Mariana
Şelariu Mircea | PROGRAMAREA MIȘCĂRII de
CONTURARE ale RI cu AJUTORUL
FUNCȚIILOR TRIGONOMETRICE
CIRCULARE EXCENTRICE, | Merotehnica, V-lea Simp.
Naț. de RI cu participare
internațională, Buc., 1985,
pag. 419 ... 425. |
| 41 | Konig Mariana
Şelariu Mircea | THE STUDY OF THE UNIVERSAL
PLUNGER IN CONSOLE USING THE
ECCENTRIC CIRCULAR FUNCTIONS | Com. V-a Conf. PUPR,
Timișoara, 1986, pag. 37...42 |
| 42 | Staicu Florențiu
Şelariu Mircea | CICLOIDELE EXPRIMATE CU
AJUTORUL FUNCȚIEI
SUPERMATEMATICE rex
FUNCȚII CIRCULARE EXCENTRICE
DE SUMA DE ARCE | Com. VII Conf. Internațională de
Ing. Manag. și Tehn. Timișoara
"TEHNO'95" pag. 195-204 |
| 43 | Gheorghiu Em.
Octav
Şelariu Mircea
Bozantan Emil | FUNCȚII CIRCULARE EXCENTRICE
DE SUMA DE ARCE | Ses. de com. št. stud., Secția
Matematică, Timișoara,
Premiul II la Secția
matematică pe 1983 |
| 44 | Gheorghiu
Emilian Octav
Selariu Mircea
Cojorean Ovidiu | FUNCȚII CIRCULARE EXCENTRICE.
DEFINIȚII, PROPRIETĂȚI,
APLICAȚII TEHNICE. | Ses. De com. št. stud. Secția
Matematică, premiul II la
Secția Matematică pe 1985. |
| 45 | Şelariu Mircea | CINETOSTATICĂ GEOMETRICĂ | Com. Primului Simpozion de |

BIBLIOGRAFIE

Eugen	(METODA SEPARĂRII MOMENTELEOR) ANALIZA AUTOFRÂNĂRII MECANISMELOR DE PREHENSIVUNE PRIN METODA SEPARARII MOMENTELEOR	Roboți Industriali, Buc. 1981, pag. 378...384 Com.I Simp. Naț.de Rob.Ind.,Buc.,1981
46 Șelariu Mircea Eugen Mădăraș Lucian	(METODA SEPARĂRII MOMENTELEOR)	
47 Savii Gh. Șelariu Mircea Vucu I.,Pop I. Demian Ioan	STUDIUL RIGIDITĂȚII ANSAMBLULUI CĂRUCIOR AL STRUNGULUI SN-400,	Bul.Șt.și Tehn.al IP Timișoara, Tom.11 (25) Fasc.2, 1966, pag. 731...740
48 Savii Gh. Pop Ion Șelariu Mircea	CONTRIBUȚII la DETERMINAREA RIGIDITĂȚII STRUNGURILOR NORMALE, CU REFERIRE LA STRUNGUL SN-400	Bul. Șt. și Tehn. Al IPT,1971 Tom 16(30), Fasc.1, Seria Mec. Pag.129...143
49 Savii Gh. Pop Ion Șelariu Mircea Micsa Ion	INFLUENȚA RIGIDITĂȚII ASUPRA PRECIZIEI FORMEI GEOMETRICE la PRELUCRAREA pe STRUNG	C.S.L.C.P. al IPTimisoara,1970, pag. 76 ... 77
50 Șelariu Mircea Eugen	SUPERMATEMATICA.FUNDAMENTE EDIȚIA 1-a	Editura " POLITEHNICA" Timișoara 2007
51 Șelariu Mircea Eugen	SUPERMATEMATICA.FUNDAMENTE Vol I și Vol. II, EDIȚIA a 2-a	Editura " POLITEHNICA" Timișoara 2012

Lucrari publicate de www.cartiaz.ro

LUCRARI EXISTENTE LA www.CARTIAZ.ro IN 13 ianuarie 2013

Pagina 1-a

Aplicarea metodei separarii momentelor (MSM) la mecanisme si sisteme in ansamblul lor [PDF]

Autori: Mircea Eugen Selariu  ★★★★★

157  Stiinta si Tehnica 0.66MB ★ (Carte donata de autor)

Aplicatii ale metodei separarii momentelor (MSM) la sisteme industriale concrete [PDF]

Autori: Mircea Eugen Selariu  ★★★★★

104  Stiinta si Tehnica 0.67MB ★ (Carte donata de autor)

Aproximarea functiilor: Un sistem supermatematic cu baza continua de aproximare a functiilor [PDF]

Autori: Mircea Eugen Selariu  ★★★★★

164  Stiinta si Tehnica 1.09MB ★ (Carte donata de autor)


Bucla centrata si versiunile excentrice [PDF]

Autori: Mircea Eugen Selariu  ★★★★★

141  Stiinta si Tehnica 0.83MB ★ (Carte donata de autor)

Cardinal functions and integral functions [PDF]

Autori: Mircea Eugen Selariu, Florentin Smarandache, Marian Nitu

44  Stiinta si Tehnica 1.23MB ★ (Carte donata de autor)

BIBLIOGRAFIE

[Cercurile lui Apollonius din Perga \[PDF\]](#)

Autori: Mircea Eugen Selariu  ★★★★★

117  Stiinta si Tehnica 1.78MB ★ (Carte donata de autor)

[Cercurile lui Apollonius si cercurile olimpice \[PDF\]](#)

Autori: Mircea Eugen Selariu  ★★★★★


152  Stiinta si Tehnica 0.97MB ★ (Carte donata de autor)

[Cifrele, particulele elementare ale Matematicii \[PDF\]](#)

Autori: Mircea Eugen Selariu  ★★★★★

117  Stiinta si Tehnica 0.71MB ★ (Carte donata de autor)

[De la rezolvarea triunghiurilor la functii supermatematice \[PDF\]](#)

Autori: Mircea Eugen Selariu  ★★★★★

191  Stiinta si Tehnica 1.59MB ★ (Carte donata de autor)

[Definirea FSM-CE hipoelementare de variabila excentrica theta si centrica alpha \[PDF\]](#)

Autori: Mircea Eugen Selariu  ★★★★★

131  Stiinta si Tehnica 3.94MB ★ (Carte donata de autor)

[Pagina a 2-a](#)

[Derivatele si integralele unor functii supermatematice circulare excentrice \(FSM-CE\) \[PDF\]](#)

Autori: Mircea Eugen Selariu  ★★★★★

158  Stiinta si Tehnica 1.82MB ★ (Carte donata de autor)


[Despre lobe si cvazilobe: Lobe exterioare si cvazilobe interioare cercului unitate \[PDF\]](#)

Autori: Mircea Eugen Selariu  ★★★★★

156  Stiinta si Tehnica 1.31MB ★ (Carte donata de autor)

[Determinarea oricat de exacta a relatiei de calcul a integralei eliptice complete de speta I \(Rom\) \[PDF\]](#)

Autori: Mircea Eugen Selariu  ★★★★★

111  Stiinta si Tehnica 0.21MB ★ (Carte donata de autor)

[Determinarea oricat de exacta a relatiei de calcul a integralei eliptice complete de speta intaia \(Engleza\)\[PDF\]](#)

Autori: Mircea Eugen Selariu  ★★★★★

116  Stiinta si Tehnica 0.34MB ★ (Carte donata de autor)

[Determinarea punctelor de intersectie din Teorema Liniilor Concurente a lui Florentin Smarandache \[PDF\]](#)

Autori: Mircea Eugen Selariu  ★★★★★

88  Stiinta si Tehnica 0.88MB ★ (Carte donata de autor)

[Dispozitive de acumulare si de transport \(dat\) prin vibratii \[PDF\]](#)

Autori: Mircea Eugen Selariu  ★★★★★

269  Stiinta si Tehnica 1.24MB ★ (Carte donata de autor)

[Elemente neliniare legate in serie \[PDF\]](#)

Autori: Mircea Eugen Selariu  ★★★★★

107  Stiinta si Tehnica 1.3MB ★ (Carte donata de autor)

BIBLIOGRAFIE

[Esantionarea semnalelor \[PDF\]](#)

Autori: Mircea Eugen Selariu  ★★★★★

114  Stiinta si Tehnica 1.18MB ★ (Carte donata de autor)

[Functia supermatematica \(FSM\) radial excentrica cvadriloba \[PDF\]](#)

Autori: Mircea Eugen Selariu  ★★★★★

119  Stiinta si Tehnica 1.67MB ★ (Carte donata de autor)

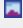
[Functii cardinale si functii integrale circulare excentrice \[PDF\]](#)

Autori: Mircea Eugen Selariu, Florentin Smarandache, Marian Nitu

112  Stiinta si Tehnica 2.2MB ★ (Carte donata de autor)


[Pagina a 3-a](#)

[Functii hiperbolice excentrice \[PDF\]](#)

Autori: Mircea Eugen Selariu  ★★★★★

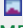
417  Stiinta si Tehnica 2.55MB ★ (Carte donata de autor)

[Functii in trepte Smarandache \[PDF\]](#)

Autori: Mircea Eugen Selariu  ★★★★★

123  Stiinta si Tehnica 0.18MB ★ (Carte donata de autor)

[Functii signadforasice Voinoiu \[PDF\]](#)

Autori: Mircea Eugen Selariu  ★★★★★


114  Stiinta si Tehnica 2.66MB ★ (Carte donata de autor)

[Functii supermatematice \(FSM\) inverse \(FSM-I\) \$\text{rex}\theta\$, \$\text{Rex}\alpha\$, \$\text{dex}\theta\$ și \$\text{Dex}\alpha\$ \[PDF\]](#)

Autori: Mircea Eugen Selariu  ★★★★★

114  Stiinta si Tehnica 3.39MB ★ (Carte donata de autor)

[Functii supermatematice circulare excentrice inverse \(FSM-CEI\) \[PDF\]](#)

Autori: Mircea Eugen Selariu  ★★★★★

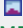
107  Stiinta si Tehnica 2.75MB ★ (Carte donata de autor)

[Functii supermatematice circulare excentrice inverse \(FSM-CEI\) \[PDF\]](#)

Autori: Mircea Eugen Selariu  ★★★★★


167  Stiinta si Tehnica 2.43MB ★ (Carte donata de autor)

[Functiile supermatematice circulare cosinus si sinus excentrice. Derivatele si integralele lor. \[PDF\]](#)

Autori: Mircea Eugen Selariu  ★★★★★

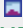
224  Stiinta si Tehnica 1.13MB ★ (Carte donata de autor)

[Intamplarea in matematica: Jocul dragostei fata de matematica si al intamplarii \[PDF\]](#)

Autori: Mircea Eugen Selariu  ★★★★★

108  Stiinta si Tehnica 1.46MB ★ (Carte donata de autor)

[Integrale si functii eliptice excentrice \[PDF\]](#)

Autori: Mircea Eugen Selariu  ★★★★★

160  Stiinta si Tehnica 6.29MB ★ (Carte donata de autor)

[Integrale si functii eliptice excentrice \[PDF\]](#)

Autori: Mircea Eugen Selariu  ★★★★★

128  Stiinta si Tehnica 1.85MB ★ (Carte donata de autor)

[Pagina a 4-a](#)

[Intersectii in plan \[PDF\]](#)

Autori: Mircea Eugen Selariu  ★★★★★

113  Stiinta si Tehnica 0.98MB ★ (Carte donata de autor)

[Introducerea strambeii in matematica \[PDF\]](#)

Autori: Mircea Eugen Selariu  ★★★★★

156  Stiinta si Tehnica 1.29MB ★ (Carte donata de autor)

BIBLIOGRAFIE

[Liniiile concurente si punctele lor de intersectie intr-un triunghi \[PDF\]](#)

Autori: Mircea Eugen Selariu  ★★★★★


113  Stiinta si Tehnica 0.99MB ★ (Carte donata de autor)

[Lobele - curbe matematice noi \[DOC\]](#)

Autori: Mircea Eugen Selariu  ★★★★★


141  Stiinta si Tehnica 19.65MB ★ (Carte donata de autor)

[Matematica atomica. Metoda determinarii succesive a cifrelor consecutive ale unui numar \[PDF\]](#)

Autori: Mircea Eugen Selariu  ★★★★★★


252  Stiinta si Tehnica 0.95MB ★ (Carte donata de autor)

[Metoda pentru determinarea relatiei exacte de calcul a pulsatiei proprii a unui sistem oscilant liber, conservativ, cu caracteristica elastica neliniara \[PDF\]](#)

Autori: Mircea Eugen Selariu  ★★★★★

106  Stiinta si Tehnica 0.72MB ★ (Carte donata de autor)

[Metoda separarii momentelor \(partea I\) \[PDF\]](#)

Autori: Mircea Eugen Selariu  ★★★★★★

103  Stiinta si Tehnica 0.3MB ★ (Carte donata de autor)

[Metoda separarii momentelor \(partea II-a\) \[PDF\]](#)

Autori: Mircea Eugen Selariu  ★★★★★

110  Stiinta si Tehnica 0.79MB ★ (Carte donata de autor)

[Miscarea circulara excentrica de excentru punct fix \[PDF\]](#)

Autori: Mircea Eugen Selariu  ★★★★★

169  Stiinta si Tehnica 1.23MB ★ (Carte donata de autor)

[Miscarea circulara excentrica de excentru punct mobil \[PDF\]](#)


Autori: Mircea Eugen Selariu  ★★★★★

148  Stiinta si Tehnica 1.28MB ★ (Carte donata de autor)

[Pagina a 5-a](#)

[Miscarea oscilanta excentrica: Pendulul Supermatematic \[PDF\]](#)

Autori: Mircea Eugen Selariu  ★★★★★


104  Stiinta si Tehnica 0.99MB ★ (Carte donata de autor)

[Multiplicarea dimensionala a spatiilor \[PDF\]](#)

Autori: Mircea Eugen Selariu  ★★★★★

115  Stiinta si Tehnica 1.89MB ★ (Carte donata de autor)

[Noi posibilitati de generare a suprafetelor complexe \[PPT\]](#)

Autori: Mircea Eugen Selariu  ★★★★★

131  Stiinta si Tehnica 7.05MB ★ (Carte donata de autor)

[O metoda noua de integrare: Metoda de integrare prin divizarea diferentialei \[PDF\]](#)

Autori: Mircea Eugen Selariu  ★★★★★

145  Stiinta si Tehnica 0.33MB ★ (Carte donata de autor)

[Obiecte geometrice supermatematice \[PDF\]](#)

Autori: Mircea Eugen Selariu  ★★★★★

173  Stiinta si Tehnica 0.3MB ★ (Carte donata de autor)

BIBLIOGRAFIE

[Optimizarea conceptiei sistemelor tehnologice utilizand metoda separarii momentelor \(MSM\) \[PDF\]](#)

Autori: Mircea Eugen Selariu  ★★★★★

106  Stiinta si Tehnica 0.19MB ★ (Carte donata de autor)

[Optimizarea transportului vibrational cu ajutorul FSM-CE \[PDF\]](#)

Autori: Mircea Eugen Selariu  ★★★★★

176  Stiinta si Tehnica 0.72MB ★ (Carte donata de autor)

[Optimization of workholding design using moments separation method \(MSM\) \[PDF\]](#)

Autori: Mircea Eugen Selariu, Ion Grozav

52  Stiinta si Tehnica 0.14MB ★ (Carte donata de autor)

[Optimization of workholding design using moments separation method \(MSM\) - lb. maghiara \[PDF\]](#)

Autori: Mircea Eugen Selariu, Kravec Robert

51  Stiinta si Tehnica 0.14MB ★ (Carte donata de autor)

[Polinoame ortogonale excentrice \[PDF\]](#)

Autori: Mircea Eugen Selariu  ★★★★★

121  Stiinta si Tehnica 0.37MB ★ (Carte donata de autor)

[Pagina a 6-a](#)

[Punctul, liniile, triunghiurile si cercurile \[PDF\]](#)

Autori: Mircea Eugen Selariu  ★★★★★

124  Stiinta si Tehnica 0.31MB ★ (Carte donata de autor)

[Rigiditatea dinamica exprimata cu functii supermatematice \[PDF\]](#)

Autori: Mircea Eugen Selariu  ★★★★★

193  Stiinta si Tehnica 0.2MB ★ (Carte donata de autor)

[Sisteme vibrante cuadrilobe \[PDF\]](#)

Autori: Mircea Eugen Selariu  ★★★★★

216  Stiinta si Tehnica 0.69MB ★ (Carte donata de autor)

[Smarandache stepped functions \[PDF\]](#)

Autori: Mircea Eugen Selariu  ★★★★★

71  Stiinta si Tehnica 0.15MB ★ (Carte donata de autor)

[Solutia simbolica exacta a unei ecuatii trigonometrice neliniare \[PDF\]](#)

Autori: Mircea Eugen Selariu  ★★★★★

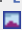
102  Stiinta si Tehnica 0.63MB ★ (Carte donata de autor)

[Spatiul matematicii centrice si spatiul matematicii excentrice \[PDF\]](#)

Autori: Mircea Eugen Selariu  ★★★★★

102  Stiinta si Tehnica 1.08MB ★ (Carte donata de autor)

[Super-mathematics functions \[PDF\]](#)

Autori: Mircea Eugen Selariu  ★★★★★★


119  Stiinta si Tehnica 0.3MB ★ (Carte donata de autor)

[Supermatematica \(vol. I\) \[PDF\]](#)

Autori: Mircea Eugen Selariu  ★★★★★★

3148  Stiinta si Tehnica 10.52MB ★ (Carte donata de autor)

[Supermatematica \(vol. II, partea a II-a\) \[PDF\]](#)


Autori: Mircea Eugen Selariu  ★★★★★★

260  Stiinta si Tehnica 22.33MB ★ (Carte donata de autor)

BIBLIOGRAFIE

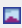
[Supermatematica \(vol. II, partea a III-a\) \[PDF\]](#)


Autori: Mircea Eugen Selariu  ★★★★★★

265  Stiinta si Tehnica 21.61MB ★ (Carte donata de autor)

[Pagina a 7-a](#)

[Supermatematica \(vol. II, partea I\) \[PDF\]](#)

Autori: Mircea Eugen Selariu  ★★★★★★

259  Stiinta si Tehnica 13.29MB ★ (Carte donata de autor)


[Techno-Art of Selariu SuperMathematics Functions \[PDF\]](#)

Autori: Florentin Smarandache  ★★★★★★

43  Stiinta si Tehnica 12.89MB ★ (Carte donata de autor)

[Teorema S a bisectoarelor unui patrulater inscriptibil si teoremele S ale triunghiului \[PDF\]](#)

Autori: Mircea Eugen Selariu  ★★★★★


152  Stiinta si Tehnica 1.43MB ★ (Carte donata de autor)


[Teoremele poligoanelor. Patrute, dreptunghiuri si trapeze isoscele \[PDF\]](#)

Autori: Mircea Eugen Selariu  ★★★★★

391  Stiinta si Tehnica 0.63MB ★ (Carte donata de autor)

[Transformarea riguroasa in cerc a diagramei polare a compilantei \[PDF\]](#)

Autori: Mircea Eugen Selariu  ★★★★★

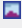
72  Stiinta si Tehnica 1.02MB ★ (Carte donata de autor)

[Un discurs cu tema impusa, tinut absolventilor despre ... Supermatematica \[PDF\]](#)

Autori: Mircea Eugen Selariu  ★★★★★

46  Stiinta si Tehnica 1.7MB ★ (Carte donata de autor)

[Un discurs despre Supermatematica \[PDF\]](#)

Autori: Mircea Eugen Selariu  ★★★★★

229  Stiinta si Tehnica 0.99MB ★ (Carte donata de autor)

[Vibratii \[PDF\]](#)

Autori: Mircea Eugen Selariu  ★★★★★★

70  Stiinta si Tehnica 4.48MB ★ (Carte donata de autor)

CUPRINS

Prefață, în limba română	5
Prefață, în limba engleză	17
ABREVIERI și NOTAȚII	28
Cap.1	INTRODUCERE
1.1	Esența (super)matematicii (SM): trecerea de la centric la excentric și reuniunea celor două domenii 33
1.2	Cum s-au descoperit și ce sunt matematica excentrică (ME) și supermatematica (SM) 38
1.3	Piramidele matematicii 47
1.4	Corectarea multiplelor coincidente ale lui Euler , care au sărăcit matematica 49
1.5	Dezlegarea enigmei matematice a mării teoreme a lui Fermat 54
1.6	Ce ne oferă matematica excentrică și supermatematica 58
	A) Introducerea în matematică a unor familii de funcții periodice noi descoperite și denumite funcții supermatematice (FSM) : 58
	B) Aplicații matematice ale funcțiilor supermatematice : 59
	C) Aplicațiile supermatematicii în informatică și în programare 61
	D) Aplicații tehnice ale funcțiilor supermatematice : 62
	Constatare 65
Cap.2	DIVERSIFICAREA FUNCȚIILOR PERIODICE
2.1	Contribuții mai recente la diversificarea funcțiilor periodice, prin înlocuirea cercului unitate (trigonometric) cu alte curbe închise. 69
2.2	Trigonometria pătratică și trigonometria rombică ale lui Valeriu Alaci 70
2.3	Funcțiile transtrigonometrice (FTT) ale Malvinei Baica și Mircea Cârdu , Funcții cuadrilobe SM (FQ) . Funcții pătratice SM (FPSM) și funcții cuadrilobe Alaci (FQA) 74
2.4	Funcțiile poligonale ale lui M. Ovidiu Enulescu 79
2.5	Funcții pseudohiperbolice ale lui Eugen Vișa 84
2.6	Trigonometria evolventică a lui George (Gogu) Constantinescu . Cosinusul (Corα) și sinusul (Sira) românești 87
2.7	Funcțiile trigonometrice înclinate ale lui Dr. Biehringer 89
Cap.3	COMPLETĂRI ȘI REDEFINIRI CORECTE ÎN MATEMATICA CENTRICĂ
3.1	Divagații asupra matematicii culese de pe internet 99
3.2	Matematica signadforasică a lui Octavian Nicolae Voinoiu 102

3.3	Funcții circulare / trigonometrice centrice $rad\alpha$ și $der\alpha$, echivalentele în centric ale funcțiilor SM circulare excentrice radial excentric $rex\theta$ și derivat excentrice $dex\theta$	105
3.4	Definirea funcțiilor radial ($rad\alpha$) și derivat ($der\alpha$) centrice	106
3.5	Teoreme de adăruine ale FCC $rad\alpha$ și $der\alpha$	109
3.6	Derivatele și integralele funcțiilor $rad\alpha$ și $der\alpha$	111
3.7	Forma trigonometrică centrică a sumei și a diferenței numerelor complexe	111
3.8	Forma geometrică a expresiilor exponențiale de forma x^n și $x^{1/n}$	113
3.9	Aplicație: Transformarea riguroasă în cerc a diagramei polare a complianței	117
3.9.1	Un alt cerc al amortizărilor vâscoase liniare	118
3.9.2	Rigiditatea dinamică, factorul de răspuns adimensional sau factorul de amplificare $A_1(\chi)$ și diagrama polară a complianței (receptanței și admitanței)	119
3.9.3	Unghiurile de fază	123
3.9.4	O relație simplă, riguros exactă, de calcul a fracțiunii din amortizarea critică ζ	124
3.9.5	Concluzii	125

Partea I-a

FUNCTII SUPERMATEMATICE CIRCULARE EXCENTRICE (FSM-CE)

Partea I.1 FUNCȚII SUPERMATEMATICE CIRCULARE EXCENTRICE DE VARIABILĂ EXCENTRICĂ

Cap. 4 FUNCȚIA RADIAL EXCENTRIC $rex\theta$ ȘI UNELE APLICAȚII MATEMATICE

4.1	Definirea funcțiilor SM circulare / trigonometrice excentrice de variabilă excentrică θ	129
4.2	Definirea FSM-CE noi, independente de poziția originii sistemului de referință	135
4.2.1	FSM-CE radial excentric de θ : $rex_{1,2}\theta$	135
4.2.2	APLICAȚII MATEMATICE ALE FSM-CE RADIAL EXCENTRIC	149
	Teorema lui Apollonius	149
	Rapoarte armonice și anarmonice	149
	Teorema REX	150
4.2.3	DEMONSTRAREA UNOR TEOREME CU AJUTORUL FSM-CE RADIAL EXCENTRIC:	152

1)	Teorema lui Pitagora .	152
2)	Teorema înălțimii	153
3)	Teorema catetei sau teorema lui Euclid	153
4)	Sinteza/unificarea teoremelor coardelor, secantelor și tangentelor	155
5)	Inversiune de centru dat	160
6)	Problema Murray Klamkin	163
7)	Reprezentarea într-un plan a triunghiurilor cu ajutorul FSM-CE radial excentric.	
8)	FSM-CE $rex_{1,2}\theta$ ca soluții ale ecuațiilor algebrice de gradul al doilea cu o singură necunoscută	165 172
9)	Inecuații fundamentale de gradul al doilea	
10)	MATEMATICA ATOMICA (MDSCNS) Metoda determinării succesive a cifrelor consecutive ale numărului soluție.	173
Cap.5 ALTE APLICAȚII MATEMATICE ȘI TEHNICE ALE FUNCȚIILOR RADIAL EXCENTRICE $rex\theta$		
5.1	Determinarea oricât de exactă a relației de calcul a integralei eliptice complete de speta întâia $K(k)$	175
	1. Prezentare pe scurt	175
	2. Introducere în integrale eliptice	172
	3. Exprimarea unor medii cu funcția $rex\theta$	181
	4. Transformarea geometrică excentrică și transformarea geometrică de centrare	184
	5. Metoda hibridă de determinare a lui $K(k)$	186
	6. Concluzii	187
5.2	$Rex\alpha$ – funcția generatoare a polinoamelor Legendre centrice	194
	5.2.1 Funcția $rex\theta$ - funcția generatoare a Polinoame Legendre excentrice $S_n(y) = S_n(\theta)$	196
	5.2.2 Ortogonalitatea polinoamelor Legendre excentrice	198
	5.2.3 Coordonate centrice și coordonate excentrice	200
5.3	Aplicațiile funcției $rex\theta$ la descrierea matematică a funcționării mecanismul motor manivela-biela centric și excentric	203
	1) Mecanismul motor bielă – manivelă centric	203
	2) Mecanismul motor bielă – manivelă excentric	205
5.4	Mecanismul cu camă circulară	208
Cap.6 FUNCȚIA DERIVATĂ EXCENTRICĂ $dex\theta$ ȘI UNELE APLICAȚII MATEMATICE ȘI TEHNICE		
6.1	Coordonate excentrice	211

6.2	Funcția derivată excentrică $dex\theta$ ca modul al derivatei vectorului radial excentric de variabilă excentrică θ : $(rex\theta \cdot rad\theta)' = dex\theta \cdot der\alpha$	212
6.3	Derivatele funcției $dex\theta$	215
6.4	MIȘCAREA CIRCULARĂ EXCENTRICĂ (MCE)	218
1.	Introducere	218
2.	Poziția pe traiectorie în MCE	220
3.	Funcția de transmitere de ordinul zero (funcția de poziție)	221
4.	Vitezele mișcării circulare excentrice	223
5.	Expresia generală a funcției de transmitere / transfer a vitezelor unghiulare sau a turațiilor tuturor mecanismelor plane.	223
6.	Accelerațiile mișcării circulare excentrice	227
7.	Transmisii prin fricțiune în cel mai general caz posibil și particularizări la transmisii cu roți dintate și/ sau cu fricțiune	234
8.	Transmisii cu manivele paralele și cu roți (dintate sau cu fricțiune)	234

Cap.7 ANALIZA CALITĂȚII MIȘCĂRILOR PROGRAMATE CU FUNCȚII SUPERMATEMATICE

7.1	Asupra calității	239
7.2	Despre design și conexiunea lui cu supermatematica	239
7.3	Generalizarea studiului intermitoarelor cu cruce de Malta clasice.	245
7.4	Intermitoare speciale cu antrenor cu traiectorie epicicloidală.	251

Cap.8 METODA SEPARĂRII FORȚELOR ȘI A MOMENTELOR

8.1	Principiul metodei separării momentelor	255
8.2	Stabilirea condițiilor de autoblocare și de autofrânare	261
8.3	Patrulateralele frecărilor la rezemarea în 2 (PF2) și în 3 puncte (PF3)	263
8.4.	Optimizarea localizării și orientării forței rezultante de fixare	265
8.4.1	Metoda grafică	267
8.4.2.	Metoda analitică	268
8.5	Optimizarea concepției sistemelor mecanice	270
8.6	Calculul expresiei generale a $FT_R \equiv \mathbf{i}_R$ a oricărui element solicitat de un sistem de forțe plane sau reductibile la acesta	271
8.7	Reducerea numărului forțelor rezultante	272
8.8	Aplicații la elementele unor mecanisme plane	276
8.9	Aplicarea metodei separării momentelor (MSM) la sisteme în ansamblul lor	279
8.10	Cazul a două elemente legate în serie, fiecare element	282

fiind solicitat de un număr diferit de forțe rezultante

Cap. 9 FUNCȚIILE SUPERMATEMATICE CIRCULARE EXCENTRICE COSINUS $\text{cex}\theta$ ȘI SINUS $\text{sex}\theta$

9.1 Definirea funcțiilor $\text{cex}\theta$ și $\text{sex}\theta$	285
9.2 Derivatele funcțiilor $\text{cex}\theta$ și $\text{sex}\theta$	296
9.3 Aplicații matematice și tehnice ale FSM-CE $\text{cex}\theta$ și $\text{sex}\theta$	300
9.3.1 Introducerea noțiunii de stâmba în matematică	302
Punctul	303
Distanța dintre două puncte	304
Strâmba de variabilă excentrică θ	305
Strâmba de variabilă centrică α	307
Concluzii la strâmba	308
9.3.2 Lobe, cvadrilobe, vibrații cvadrilobice (VQ)	309
Sisteme vibrante cvadrilobe (SVQ)	313
Funcții quadrilobe (cvadrilobe)	310
Ecuația diferențială a vibrațiilor sistemelor QUADRILOBE \ CVADRILOBE (VSQ)	315
Caracteristicile elastice statice (CES) ale SVQ	
Curbe integrale în planul fazelor	318
Concluzii	318
9.3.3 Tor excentric	319
9.3.4 Forme de țevi și îmbinările lor de colț	321
9.3.5 Alte aplicații	323

Cap. 10 EXCENTRICELE – CURBE SUPERMATEMATICE

10.1 În loc de introducere	335
10.2 Definirea și clasificarea excentricelor	335
10.3 Excentrice circulare și excentrice eliptice	340
10.4 Construcția excentricelor	342
10.5 Teorema excentrelor excentricelor	342
10.6 Excentrice hiperbolice	343
10.7 Excentrice hiperbolice parametrice	343
10.8 Excentricele parabolice	347
10.9 Excentricele parabolice parametrice	349
10.10 O nouă ecuație a elipsei	350
10.11 Excentrice eliptice de forme aerodinamice	350
10.12 Construcția excentricei eliptice de formă aerodinamică <i>Carafoli</i>	351
10.13 Excentrice ovoidale Cassini	352
10.14 Excentricele lemniscate	357
10.15 Excentricele evolventice ale cercului	359
10.15.1 Excentricele și funcțiile excentrice ale lui Gogu Constantinescu	359
10.15.2 Curbele lui Gogu Constantinescu în formă de inimi	364

10.16	Excentrice spirale	365
10.16.1	Excentrice spirale arhimedice	365
10.16.2	Excentrice spirale logaritmice	366
10.16.3	Excentrice spirale hiperbolice	367
10.17	Excentrice cicloidale	373
10.17.1	Hexapodul	374
10.17.2	Tripodul	376
10.17.3	Rotația pură	376
10.17.4	Translația pură	378
10.17.5	Translația și rotația succesivă sau simultană	380
10.17.6	Excentrice cicloidale pe dreaptă	382
10.17.7	Excentrice epicycloidale	383
10.17.8	Excentrice hipocicloidale	387
10.20	Excentrice de excentre variabile	393
10.20.1	Excentrice circulare și eliptice de excentre mobile	393
10.20.2	Excentrice speciale	395
10.20.3	Excentrice de excentre fixe și de proiecții variabile. Profile aerodinamice	400
10.20.4	Excentrice spirale speciale: spirala galactică cu 4 brațe	404
10.21	Suprafețe supermatematice (SSM)	405

**Cap. 11 FUNCȚIILE $cex\theta$ ȘI $sex\theta$ CA SOLUȚII ALE UNOR ECUAȚII
DIFERENȚIALE LINIARE DE ORDINUL DOI
CU COEFICIENȚI VARIABILI**

11.1	Sistemul oscilațiilor excentrice (SOE)	415
11.2	Sistemul oscilațiilor radiale excentrice (ORE)	416
11.3	Deplasarea, viteza și accelerația în sistemul vibrațiilor excentrice (SVE)	420
11.4	Sistemul fundamental de soluții	425
11.5	Forma canonică a ecuației diferențiale a SOE	432
11.6	Sisteme tehnologice elastice (STE)	436
11.6.1	Rigiditatea Sisteme tehnologice elastice (STE)	437
11.7	Caracteristica elastica statica (CES) a STE	439
11.8	Rigiditate locală și rigiditate globală	443
11.9	Sistem liniar echivalent (SLE) sistemului neliniar (SN), având aceleași amplitudini și accelerații maxime	444
11.9.1	De aceleași amplitudini și viteze maxime	446
11.9.2	Determinarea domeniului de existență al sistemului liniar echivalent (SLE) sistemului neliniar (SN) de pulsații proprii egale	447

11.9.3	Sistem liniar (pe porțiuni infinit mici) echivalent (SLE) sistemului neliniar (SN) de amplitudini și viteze instantanee egale	450
11.10	Vibrații neliniare (de tip Duffing), libere, neamortizate	452
11.10.1	Soluții ale ecuației fazoriale de tip Duffing cu ajutorul fazorilor $\text{rad}\theta$ și $\text{der}\theta$	453
11.10.2	Pulsații. Pulsația instantanee	457
11.10.3	Cercul pulsațiilor	460
11.10.4	Verificarea grafică a soluțiilor SVNL fazoriale	463
11.10.5	Forța elastică și forța de accelerația în coordonate polare	465
11.10.6	Caracteristicile elastice statice ale SVNL fazoriale	470
11.10.7	Curbe integrale în planul fazelor	473
11.10.8	Determinarea pulsațiilor sistemelor oscilante libere, conservative cu caracteristică elastică (CES) neliniară de tip Duffing	475
11.10.9	Pulsația instantanee, ca viteză unghiulară de rotație a punctului $M(\theta, A)$ pe cercul de rază $R = A$	480
11.10.10	Soluții în funcție de timpul t	482
11.10.11	Infiniții mici (diferențialele), FSM-CE și funcțiile eliptice Jacobi	487

Cap. 12 UN SISTEM SUPERMATEMATIC CU BAZĂ CONTINUĂ DE APROXIMARE A FUNCȚIILOR

12.1	INTRODUCERE	495
12.2	SISTEME SUPERMATEMATICE DE BAZE	496
12.3	FUNȚII MATEMATICE CENTRICE NOI	496
12.4	SUME DE FUNȚII CIRCULARE CENTRICE NOI	497
12.5	FUNȚII DELTA SAU FUNȚII DIRAC PERIODICE	501
12.6	SISTEMUL TRIGONOMETRIC EXCENTRIC (STE).	502
12.7	APROXIMAREA UNOR FUNȚII ELIPTICE JACOBI.	504
12.8	APROXIMAREA UNEI INTEGRALE ELIPTICE Jacobi CU EROARE DE SUB 0,03 %	507

Cap. 13. APROXIMAREA UNOR FUNȚII ELIPTICE JACOBI

13.1	PREAMBUL	513
13.2	FUNȚIILE ELIPTICE CENTRICE JACOBI	513
13.3	FUNȚII SUPERMATEMATICE QUADRILobe (CVADRILobe) EXCENTRICE	516
13.4	FUNȚIILE SUPERMATEMATICE QUADRILobe (FSM-QE) DE PERIOADĂ $4K(k)$	519
13.5	FUNȚII ELIPTICE JACOBI $\text{dn}(u, k)$ și $\text{dn}(u, m = k^2)$	

	DE PERIOADĂ $T = 4K(k)$ CENTRICE ȘI SUPERMATEMATICE EXCENTRICE DE VARIABILE EXCENTRICĂ θ ȘI CENTRICĂ α	521
13.6	FUNȚII ELIPTICE JACOBI $\text{dn}(u, k)$ ȘI $\text{dn}(u, m = k^2)$ DE PERIOADĂ $T = 2\pi$ CENTRICE ȘI SUPERMATEMATICE EXCENTRICE DE VARIABILE EXCENTRICĂ θ ȘI CENTRICĂ α	525
Cap. 14.	P O S T F A Ț Ă.	531 ... 538
	BIBLIOGRAFIE	539 ... 548
	CUPRINS	549 ... 556

Albert Einstein și **supermatematica**

